

PROVINCIA di PADOVA

**RELAZIONE di CALCOLO
STRUTTURE in CEMENTO ARMATO**

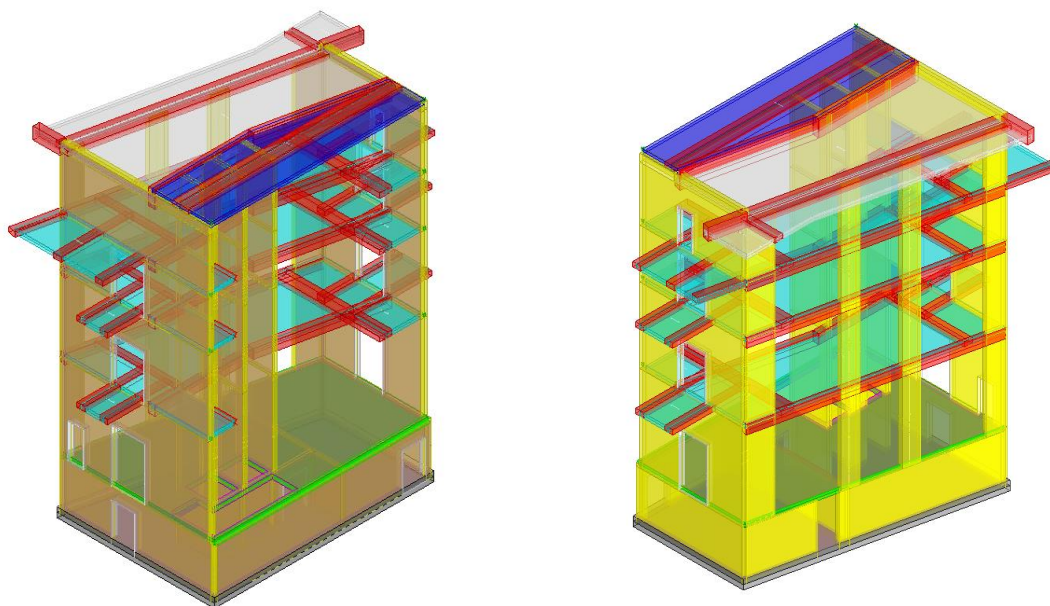
nel progetto di :

“ INGRESSO PRINCIPALE “

Polo Museale delle Scienze di Palazzo Cavalli - Lotto 3 -

Progetto esecutivo

Sito in Via Giotto, Padova



COMMITTENTE :

Università degli Studi di Padova

DATA

22.05.2015

IL CALCOLATORE

Ing. Gambarotto Dario

D.F.G. INGEGNERIA S.R.L.

31033 Via Delle Querce 3/A, Castelfranco Veneto (TV) , tel. 0423.720101, fax 0423.723379

INDICE

• Relazione illustrativa	pag.	3
• Normativa	pag.	5
• Caratteristiche dei materiali	pag.	5
• Analisi dei carichi	pag.	6
• Criteri di progetto	pag.	8
• Scala interna in acciaio	pag.	9
- Cosciali Piatto Rettangolare 2x30 cm	pag.	9
- Mensola Piatto Rettangolare 4x45 cm	pag.	11
• Sovrastruttura in acciaio per impianti	pag.	14
- IPE 200	pag.	14
- IPE 400	pag.	16
• Struttura in c.a. : Analisi Numerica ad Elementi Finiti	pag.	23
• <i>Appendice : Analisi ad Elementi Finiti Struttura in c.a.</i>	pag.	24

RELAZIONE ILLUSTRATIVA

La presente relazione riguarda il PROGETTO DEFINITIVO delle strutture in elevazione dell' INGRESSO PRINCIPALE di un fabbricato esistente, sito in Padova Via Giotto.

Esso verrà realizzato in c.a. in opera per la quasi totalità, adiacentemente ad un edificio esistente, mentre sarà in acciaio solamente per quanto riguarda la scala interna di collegamento dal piano terra al piano terzo.

L'ingresso interesserà tre piani fuoriterza, un piano interrato e avrà copertura piana a due livelli.

Esso avrà pianta di forma irregolare.

Il vano completo sarà costituito, oltre che dalla scala vera e propria a rampe in acciaio anche da un vano ascensore e da un ampio atrio ad ogni orizzontamento.

Le fondazioni saranno a platea di spessore 60 cm; al piano interrato saranno realizzati muri in c.a. di spessore 30 cm e 40 cm.

La struttura portante orizzontale al piano terra sarà costituita da una soletta piena in c.a. di spessore 30 cm mentre agli altri piani, inclusa la copertura, sarà in solaio tipo Predalles di spessore 5+20+5 cm; la struttura portante verticale sarà costituita da setti in c.a. in opera di spessore 40 cm e 30 cm e da pilastri in c.a..

La struttura sarà separata dal fabbricato esistente mediante un giunto sismico adeguato.

Nella presente relazione viene riportato inoltre il calcolo e verifica di una sovrastruttura in acciaio prevista in copertura adiacentemente all'ingresso principale che servirà da alloggiamento per macchinari clima. La sovrastruttura sarà realizzata mediante un piano di calpestio in grigliato su profili secondari IPE 200 ad interasse di 100 cm e su profili principali IPE 400. Sarà inoltre realizzata una copertura per i macchinari in lamiera forata con telai in profili HEA 140 che poggeranno su un profilo HEA 200; quest'ultimo verrà sostenuto da due colonne con profilo tubolare cavo $\varnothing 160$ $s_p=8$ mm

Terreno di fondazione :

Come prescritto dalla normativa vigente D.M. 11.03.1988 e Circ. del 05.04.2000 della Regione Veneto, del terreno in cui sarà realizzata l'opera è stata redatta dal dott. Geol. Gabriele Simonetto, iscritto all'Ordine dei Geologi del Veneto al n°653, una Relazione Geologico-Geotecnica.

La presente relazione è stata redatta in riferimento a tale Relazione Geologica e a quanto emerso da una serie di scavi eseguiti nella zona di costruzione e nell'area limitrofa nonchè considerando la tipologia della costruzione che verrà realizzata.

Il terreno su cui verrà realizzata l'opera risulta di buone caratteristiche geologiche e capacità portanti ed è costituito, al di sotto di uno strato superficiale di 1.0 mt di terreno di riporto, da uno strato fino a -1.60 mt di limo argilloso; da quota -1.60 a -3.00 mt è presente un'alternanza di argille e sabbia limosa; da -3.00 a -3.80 mt vi è limo argilloso sabbioso; da -3.80 a -4.80 mt sabbia limosa più o meno argillosa; da -4.80 a -7.60 mt sabbia limosa; da -7.60 a -10.0 mt sabbia più o meno limosa; da -10.0 a -18.20 mt sabbia limosa ed infine da -18.20 a -22.80 da sabbia addensata.

L'intervento quindi sarà su un TERRENO BUONO con buone caratteristiche litologiche, geotecniche e geomorfologiche e non obbliga a particolari interventi antisismici, se non la stretta applicazione della Normativa Antisismica.

Al terreno si attribuiscono i seguenti parametri:

- categoria del suolo tipo "C"
- categoria topografica T1
- coefficiente di sicurezza 2.3
- tensione limite per fondazioni a platea $\sigma_{t,lim} = 2347.37 \text{ kPa} \approx 23.47 \text{ daN/cm}^2$
- tensione di progetto per fondazioni a platea $\sigma_t = 1020.6 \text{ kPa} \approx 10.21 \text{ daN/cm}^2$

Quindi con riferimento alla tipologia della struttura e in relazione ai risultati di tali indagini si è ritenuto di adottare fondazioni a platea di spessore 60 cm ad una quota di posa magrone di -3.70 mt. Dati i valori delle tensioni a cui il terreno sarà sottoposto e vista la sua omogeneità orizzontale è prevedibile che si verificheranno degli abbassamenti delle fondazioni e di conseguenza dei cedimenti differenziali supportabili dalla struttura senza danno.

Si precisa inoltre che le caratteristiche meccaniche del terreno e quindi le conseguenti deformazioni delle fondazioni non possono essere influenzate dalla presenza di acque di falda essendo queste state rilevate ad una profondità superiore alla quota di imposta delle fondazioni stesse e cioè a quota di circa -5.54 mt da quota piazzale.

La natura del terreno e le sue caratteristiche meccaniche dovranno essere confermate da quanto emergerà nelle operazioni di scavo. La D.L. dovrà quindi verificare in fase esecutiva la natura, consistenza e uniformità stratigrafica del piano di posa delle fondazioni e se il caso apportare eventuali modifiche.

NORMATIVA

DECRETO MINISTERIALE INFRASTRUTTURE del 14 gennaio 2008 - NTC

“ Nuove Norme Tecniche per le Costruzioni “

CIRCOLARE n° 617 del 02 febbraio 2009 – MINISTERO DELLE INFRASTRUTTURE E DEI TRASPORTI

“ Istruzioni per l'applicazione delle <Nuove Norme Tecniche per le Costruzioni> “ di cui al Decreto Ministeriale del 14 gennaio 2008

EUROCODICE2

“ Progettazione delle strutture in calcestruzzo “

EUROCODICE3

“ Progettazione delle strutture in acciaio “

CARATTERISTICHE dei MATERIALI

CALCESTRUZZO

A struttura chiusa, con consistenza al momento della posa pari alla classe di abbassamento al cono Abrams S3.

Per strutture di fondazione :

Con grado di durabilità per una classe di esposizione XC2; sarà confezionato con cemento Portland tipo 325, con inerti di cava di varie pezzature atte ad assicurare un assortimento granulometrico adeguato alle destinazioni del getto secondo progetto strutturale e comunque con inerti di diametro $\max \leq 25$ mm, con dosatura di cemento e rapporto acqua/cemento compatibili con la classe di esposizione, con la lavorazione degli impasti e tali da garantire una resistenza cubica caratteristica a 28 gg. pari a $R_{ck}=30$ N/mm², classe C25/30.

Per strutture in elevazione :

Con grado di durabilità per una classe di esposizione XC1; sarà confezionato con cemento Portland tipo 325, con inerti di cava di varie pezzature atte ad assicurare un assortimento granulometrico adeguato alle destinazioni del getto secondo progetto strutturale e comunque con inerti di diametro $\max \leq 25$ mm, con dosatura di cemento e rapporto acqua/cemento compatibili con la classe di esposizione, con la lavorazione degli impasti e tali da garantire una resistenza cubica caratteristica a 28 gg. pari a $R_{ck}=30$ N/mm², classe C25/30.

ACCIAIO PER C.A.

Acciaio per barre ad aderenza migliorata tipo B450C conforme a quanto indicato nel prospetto 11.3.Ib del D.M. del 14/01/2008 con tensione caratteristica di snervamento $f_{yk}=450$ N/mm², con tensione caratteristica di rottura $f_{tk} = 540$ N/mm².

ACCIAIO LAMINATO per CARPENTERIA METALLICA

Acciaio tipo S275 conforme a quanto indicato nei prospetti 11.3.IX e 11.3.X del D.M. del 14/01/2008 con tensioni caratteristiche di snervamento e di rottura rispettivamente = 275 N/mm² e 430 N/mm² per laminati a caldo con profili a sezione aperta o cava di spessore ≤ 40 mm e = 255 N/mm² e 410 N/mm² per laminati a caldo con profili a sezione aperta o cava di spessore 40 mm < t ≤ 80 mm.

L'acciaio dovrà essere conforme a quanto previsto dal succitato D.M. e ogni fornitura dovrà essere accompagnata da copia di Attestato di Qualificazione del Servizio Tecnico Centrale della Presidenza del Consiglio Superiore dei LL.PP. e deve essere provvisto della marchiatura di identificazione depositata presso il Servizio Tecnico Centrale.

BULLONI AD ALTA RESISTENZA

Viti Classe 8.8 e Dadi Classe 8 associati come indicato nel prospetto 11.3.XII.a del D.M. del 14/01/2008, con caratteristiche meccaniche conformi a quanto indicato nel prospetto 11.3.XII.b, con tensione di rottura a trazione di 800 N/mm² e tensione di snervamento di 649 N/mm². Bulloni con caratteristiche dimensionali secondo UNI EN ISO 4016:2002 e UNI 5592:1968.

SALDATURE

Dovranno essere realizzate con uno dei procedimenti all'arco elettrico codificati secondo UNI EN ISO 4063:2001.

Si devono avere caratteristiche di duttilità, snervamento, resistenza e tenacia in zona fusa e in zona termica alterata non inferiori a quelle del materiale base come da § 11.3.4.5 del DM del 14/01/2008.

ANALISI dei CARICHI

PLATEA FONDAZIONE

PLATEA in C.A. s = 60 cm

Permanente G₁ : Peso proprio platea (in automatico)

Permanente portato G₂ : = 400 daN/mq

Sovraccarico variabile Q = 300 daN/mq

SOLAIO PIANO TERRA

SOLETTA in C.A. s = 30 cm

Permanente G₁ : Peso proprio soletta (in automatico)

Permanente portato G₂ : = 400 daN/mq

Sovraccarico variabile Q (ambienti suscettibili di affollamento cat.C3) = 500 daN/mq

SOLAI PIANI PRIMO – SECONDO – TERZO**SOLAIO PREDALLES s = 5+20+5 cm**

Permanente G_1 :	=	440 daN/mq
Permanente portato G_2 :	=	200 daN/mq
Sovraccarico variabile Q (ambienti suscettibili di affollamento cat.C3)		=	500 daN/mq

COPERTURA**SOLAIO PREDALLES s = 5+20+5 cm**

Permanente G_1 :	=	440 daN/mq
Permanente portato G_2 :	=	200 daN/mq
Sovraccarico variabile Q (neve)		=	80 daN/mq

RAMPE SCALE

Permanente portato G_2 :	=	500 daN/mq
Sovraccarico variabile Q (ambienti suscettibili di affollamento cat.C3)		=	500 daN/mq

FACCIATA ARCHITETTONICA

Peso proprio = 1000 daN/mq

SOVRASTRUTTURA IN ACCIAIO IN COPERTURA

Permanente G_1 :	p.proprio HEA 140	=	22 daN/m
Permanente G_1 :	p.proprio HEA 200	=	43 daN/m
Permanente G_1 :	p.proprio IPE 200	=	23 daN/m
Permanente G_1 :	p.proprio IPE 400	=	69 daN/m
Permanente G_1 :	p.proprio Ø 180x8 mm	=	30 daN/m
Permanente G_2 :	grigliato di calpestio	=	30 daN/mq
	lamiera forata di copertura	=	20 daN/mq
Variabile Q :	macchinario CTA	=	250 daN/mq
	macchinario GRUPPO FRIGO	=	500 daN/mq
	macchinario GENERATORE TERMICO	=	350 daN/mq

CRITERI di PROGETTO

La verifica antisismica, come previsto dalla normativa :

- DECRETO MINISTERIALE INFRASTRUTTURE del 14 gennaio 2008

“ Nuove Norme Tecniche per le Costruzioni “

è stata effettuata considerando la struttura come una struttura a setti in zona con grado di sismicità pari a IV.

Sono stati assunti inoltre, in funzione della tipologia dell'opera e delle caratteristiche tecniche del terreno, i seguenti parametri :

Tipo di costruzione “2”

Classe d'uso “III”

Classe di duttilità “B”

Struttura a pareti non accoppiate $q_0 = 3.0$

Tipo di terreno “C”

La struttura in c.a. è stata calcolata e verificata mediante un programma ad elementi finiti di cui si riporta in “Appendice” il file di output delle sollecitazioni e verifiche delle strutture più significative che lo costituiscono e cioè pilastri, setti, piastre e travi in c.a..

L'ipotesi più rilevante assunta è quella di zero sismico in corrispondenza del livello piano terra.

Le singole parti della struttura sono state verificate col *metodo agli stati limite*.

Di seguito vengono riportati il calcolo e la verifica degli elementi strutturali più significativi delle opere.

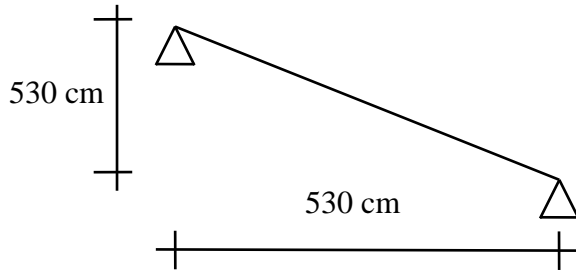
N.B. : Vista la quantità di dati contenuti nel file di output delle analisi ad elementi finiti della struttura in c.a., si riportano in “Appendice” solo alcune parti dello stesso, rimandando per altre parti alle uscite grafiche allegate. Si ricorda inoltre che presso lo studio dello scrivente sono disponibili tutte le parti integrali del file di relazione del telaio.

Per quanto riguarda le scale interne in acciaio, i cosciali sono stati calcolati come travi in semplice appoggio; mentre gli stessi poggeranno, oltre che sui pianerottoli, su piatti in acciaio calcolati come mensole incastrate.

I profili secondari e principali della sovrastruttura in acciaio che sarà predisposta in copertura adiacentemente all'ingresso principale sono stati dimensionati ancora come travi in semplice appoggio.

SCALA INTERNA in ACCIAIO

Cosciali Piatto Rettangolare 2x30 cm



$$L = 750 \text{ cm}$$

$$\text{Larghezza scala } B = 120 \text{ cm}$$

Analisi dei carichi :

$$G_1 = \text{Peso proprio} \dots\dots\dots = 100 \text{ daN/m}$$

$$G_2 = \text{permanente portato} = 500 \times B/2 \dots\dots\dots = 300 \text{ daN/m}$$

$$Q = \text{variabile scale } 500 \times B/2 \dots\dots\dots = 300 \text{ daN/m}$$

Inclinazione scala : $\alpha \approx 45^\circ \Rightarrow$ carico perpendicolare all'asse del piatto:

$$G_1 = 100 \times \cos \alpha = 70 \text{ daN/m}$$

$$G_2 = 300 \times \cos \alpha = 210 \text{ daN/m}$$

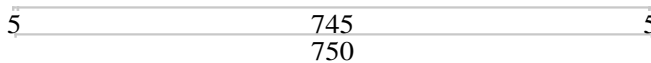
$$Q = 300 \times (5.3 / 7.5) \times \cos \alpha = 150 \text{ daN/m}$$

COSCIALE PIATTO 2x30 cm

TRAVE CONTINUA IN ACCIAIO

Metodo di calcolo: stati limite DM 2008. Valori in daN cm.

PROSPETTO TRAVE



Svergolamento: con carico di estradosso
 Materiale: S275
 Gamma M0 = 1.05
 Calcolo coefficienti C1, C2, C3 automatico
 Gamma M1 = 1.05

GEOMETRIA DELLE SEZIONI INIZIALI						
n.	Profilo	Area	Jx	Wx	Wplx	At
2	PL 300*20	60	4500	300	450	60

GEOMETRIA DELLE CAMPATE						
campata n.	luce	sezione	estradosso iniziale	estradosso finale	Y asse	
campata n. 1	750.0	2	0.0	0.0	0.00	0.00

CARATTERISTICHE DEGLI APPOGGI				
appoggio n.	nome	ampiezza	coeff. elastico verticale	
1		5.0	0.0000E+00	diretto
2		5.0	0.0000E+00	diretto

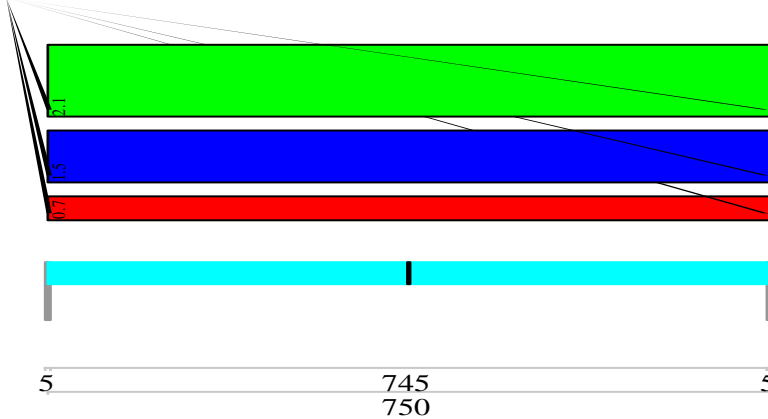
D.F.G. INGEGNERIA S.R.L.

31033 Via Delle Querce 3/A, Castelfranco Veneto (TV) , tel. 0423.720101, fax 0423.723379

CARATTERISTICHE DEL MATERIALE

	gamma	E	ni	Fy sp<=40mm	Fy sp>40mm
S275	0.0078500	2060000	0.300	2750.0	2550.0

SCHEMI DI CARICO

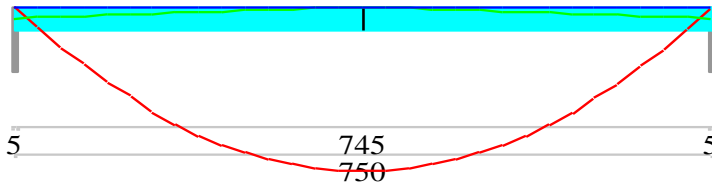


AZIONI CARATTERISTICHE APPLICATE ALLA TRAVE

CAMPATA n. 1

carico uniforme	permanente struttura	permanente portato	variabile
	0.70	2.10	1.50

VERIFICHE



Verifica asta 1

campata n°1

classe peggiore 1

X	MEd	Mc,Rd	Classe	Ro	VEd	Vc,Rd	MEd.sv	Mb,Rd.sv	Classe.sv	Chi	Lambda.ad	fy eff
0	0	0	0	0.000	2366	90726	0	0	0	0.00	0.00	2750.0
150	283950	1178572	1	0.000	1420	90726	0	0	0	0.00	0.00	2750.0
300	425925	1178572	1	0.000	473	90726	0	0	0	0.00	0.00	2750.0
450	425925	1178572	1	0.000	473	90726	0	0	0	0.00	0.00	2750.0
600	283950	1178572	1	0.000	1420	90726	0	0	0	0.00	0.00	2750.0
750	0	0	0	0.000	2366	90726	0	0	0	0.00	0.00	2750.0

Valori massimi

Asta sottoutilizzata

Flessione

X = 375

MEd 443672

Mc,Rd 1178572

Classe 1

Ro 0

Taglio

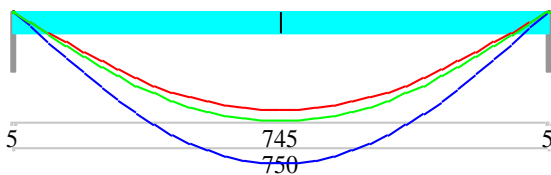
X = 750

VEd 2366

Vc,Rd 90726

Svergolamento: verifica non eseguita per la sezione adottata

DEFORMATA (cm)



D.F.G. INGEGNERIA S.R.L.

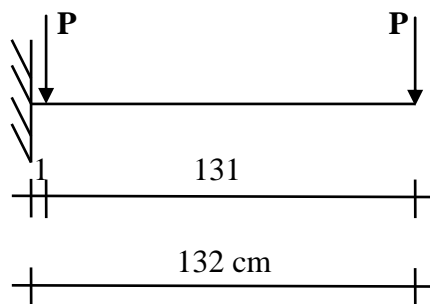
31033 Via Delle Querce 3/A, Castelfranco Veneto (TV) , tel. 0423.720101, fax 0423.723379

DEFORMATA

campata	x	f qp	f ra	f fr		
campata n°1	125	0.63	0.97	0.70		
campata n°1	275	1.14	1.75	1.26		
campata n°1	425	1.22	1.87	1.35		
campata n°1	575	0.84	1.29	0.93		
campata n°1	725	0.13	0.20	0.15		
Valori massimi						
campata		f qp	L/f qp	f ra	L/f ra	f fr
campata n°1		1.24	603	1.91	393	1.38
						L/f fr (2L/f per gli sbalzi)
						545

REAZIONI VINCOLARI (daN)

appoggio	n.	nome	ULTIME		RARE		FREQUENTI		QUASI PERMANENTI	
			massima	minima	massima	minima	massima	minima	massima	minima
	1		2366	263	1613	263	1163	263	1050	263
	2		2366	263	1613	263	1163	263	1050	263

Mensola Piatto Rettangolare 4x45 cm**Analisi dei carichi :**

- carico distribuito mensola

G_1 = Peso proprio piatti : in automatico dal programma

- Carichi concentrati P (cosciali)

P_{G1} = 1000 daN

P_{G2} = 2700 daN

P_Q = 2000 daN

Mensola 45x4 cm

TRAVE CONTINUA IN ACCIAIO

Metodo di calcolo: stati limite DM 2008. Valori in daN cm.

PROSPETTO TRAVE



4 132
5 132

D.F.G. INGEGNERIA S.R.L.

31033 Via Delle Querce 3/A, Castelfranco Veneto (TV) , tel. 0423.720101, fax 0423.723379

Svergolamento: con carico di estradosso
 Materiale: S275
 Gamma M0 =1.05
 Calcolo coefficienti C1,C2,C3 automatico
 Gamma M1 =1.05

GEOMETRIA DELLE SEZIONI INIZIALI

n.	Profilo	Area	Jx	Wx	Wplx	At
2	PL 450X40	180	30375	1350	2025	180

GEOMETRIA DELLE CAMPATE

	luce	sezione	estradosso iniziale	estradosso finale	Y asse
campata n. 1	5.0	2	0.0	0.0	0.00
mensola destra	132.0	2	0.0	0.0	0.00

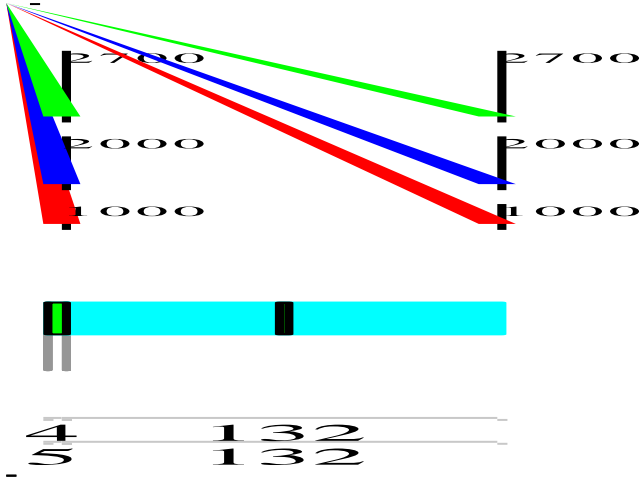
CARATTERISTICHE DEGLI APPOGGI

appoggio n.	nome	ampiezza	coeff. elastico verticale
1		1.0	0.0000E+00 diretto
2		1.0	0.0000E+00 diretto

CARATTERISTICHE DEL MATERIALE

	gamma	E	ni	Fy sp<=40mm	Fy sp>40mm
S275	0.0078500	2060000	0.300	2750.0	2550.0

SCHEMI DI CARICO



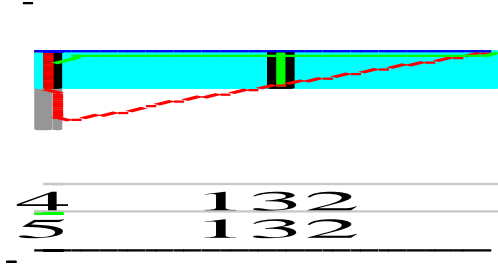
AZIONI CARATTERISTICHE APPLICATE ALLA TRAVE

CAMPATA n. 1
 peso della trave 1.41

MENSOLA DESTRA
 peso della trave 1.41
 forza concentrata perm. struttura permanente portato variabile ascissa da sin. ampiezza

1000.00		2700.00	2000.00	1.0	2.0
1000.00		2700.00	2000.00	131.0	2.0

VERIFICHE



Verifica asta 1

campata n°1
 classe peggiore 1

X	MEd	Mc,Rd	Classe	Ro	VEd	Vc,Rd	MEd.sv	Mb,Rd.sv	Classe.sv	Chi	Lambda.ad	fy eff
0	0	0	0	0.000	223637	272179	0	0	0	0.00	0.00	2750.0
1	-223638	3108656	1	0.414	223639	272179	0	0	0	0.00	0.00	2750.0
2	-447277	3108585	1	0.414	223640	272179	0	0	0	0.00	0.00	2750.0
3	-670918	3108503	1	0.414	223642	272179	0	0	0	0.00	0.00	2750.0
4	-894560	3108411	1	0.414	223643	272179	0	0	0	0.00	0.00	2750.0
5	-1058318	3108319	1	0.414	223645	272179	0	0	0	0.00	0.00	2750.0

D.F.G. INGEGNERIA S.R.L.

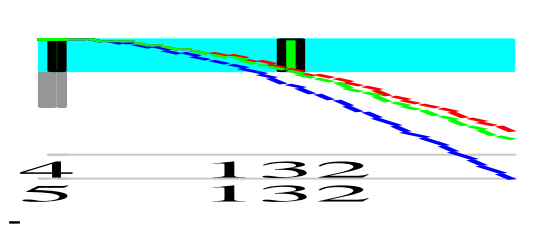
31033 Via Delle Querce 3/A, Castelfranco Veneto (TV) , tel. 0423.720101, fax 0423.723379

mensola dx
 classe peggiore 1

X	MEd	Mc,Rd	Classe	Ro	VEd	Vc,Rd	MEd.sv	Mb,Rd.sv	Classe.sv	Chi	Lambda.ad	fy eff
5	-1058318	3108319	1	0.414	16942	272179	0	0	0	0.00	0.00	2750.0
31	-883652	3108319	1	0.414	8544	272179	0	0	0	0.00	0.00	2750.0
58	-658731	3108319	1	0.414	8495	272179	0	0	0	0.00	0.00	2750.0
84	-435091	3108319	1	0.414	8447	272179	0	0	0	0.00	0.00	2750.0
111	-212730	3108319	1	0.414	8398	272179	0	0	0	0.00	0.00	2750.0
137	0	0	0	0.000	0	0	0	0	0	0.00	0.00	2750.0

Valori massimi
 Flessione
 X = 9
 MEd -1072064
 Mc,Rd 3108319
 Classe 1
 Ro 0.414
 Taglio
 X = 5
 VEd 223645
 Vc,Rd 272179
 Svergolamento: verifica non eseguita per la sezione adottata

DEFORMATA (cm)



DEFORMATA

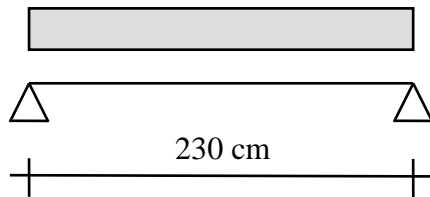
	x	f qp	f ra	f fr		
campata						
campata n°1	1	0.00	0.00	0.00		
campata n°1	2	0.00	0.00	0.00		
campata n°1	3	0.00	0.00	0.00		
campata n°1	4	0.00	0.00	0.00		
campata n°1	5	0.00	0.00	0.00		
mensola dx	23	0.00	0.00	0.00		
mensola dx	49	0.01	0.01	0.01		
mensola dx	75	0.02	0.03	0.02		
mensola dx	102	0.03	0.04	0.03		
mensola dx	128	0.04	0.07	0.05		
Valori massimi						
campata	f qp	L/f qp	f ra	L/f ra	f fr	L/f fr (2L/f per gli sbalzi)
campata n°1	0.00	1352579	0.00	1353647	0.00	1353647
mensola dx	0.05	5565	0.07	3646	0.05	5044

REAZIONI VINCOLARI (daN)

appoggio n.	nome	ULTIME		RARE		FREQUENTI		QUASI PERMANENTI	
		massima	minima	massima	minima	massima	minima	massima	minima
1		-28857	-223637	-28858	-152939	-28858	-110699	-28858	-100139
2		240588	31052	164532	31052	119092	31052	107732	31052

SOVRASTRUTTURA in ACCIAIO per IMPIANTI

Travi IPE 200 interasse 100 cm



Analisi dei carichi :

G_1 = Peso proprio profili : in automatico dal programma

G_2 = p.p. grigliato 30 x 1.00 = 30 daN/m

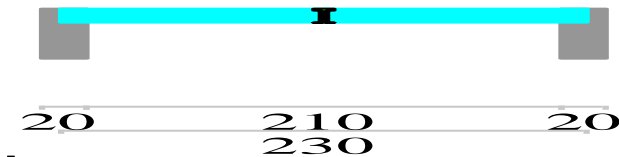
Q = macchinari 500 x 1.00 = 500 daN/m

IPE 200

TRAVE CONTINUA IN ACCIAIO

Metodo di calcolo: stati limite DM 2008. Valori in daN cm.

PROSPETTO TRAVE



Svergolamento: con carico di estradosso
 Materiale: S275
 Gamma M0 =1.05
 Calcolo coefficienti C1,C2,C3 automatico
 Gamma M1 =1.05

GEOMETRIA DELLE SEZIONI INIZIALI

n.	Profilo	Area	Jx	Wx	Wplx	At
1	IPE200	29	1949	195	221	10

GEOMETRIA DELLE CAMPATE

campata n.	luce	sezione	estradosso iniziale	estradosso finale	Y asse
campata n. 1	230.0	1	0.0	0.0	0.00

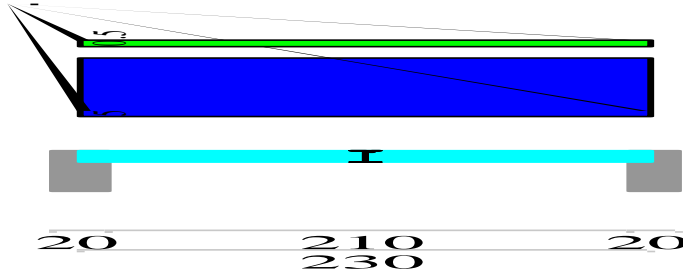
CARATTERISTICHE DEGLI APPOGGI

appoggio n.	nome	ampiezza	coeff. elastico verticale
1		20.0	0.0000E+00 diretto
2		20.0	0.0000E+00 diretto

CARATTERISTICHE DEL MATERIALE

	gamma	E	ni	Fy sp<=40mm	Fy sp>40mm
S275	0.0078500	2060000	0.300	2750.0	2550.0

SCHEMI DI CARICO



D.F.G. INGEGNERIA S.R.L.

31033 Via Delle Querce 3/A, Castelfranco Veneto (TV) , tel. 0423.720101, fax 0423.723379

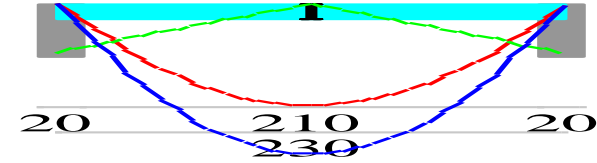
AZIONI CARATTERISTICHE APPLICATE ALLA TRAVE

CAMPATA n. 1

peso della trave 0.22

carico uniforme permanente struttura permanente portato variabile
0.00 0.50 5.00

VERIFICHE



Verifica asta 1

campata n°1

classe peggiore 1

X	MEd	Mc,Rd	Classe	Ro	VEd	Vc,Rd	MEd.sv	Mb,Rd.sv	Classe.sv	Chi	Lambda.ad	fy eff
0	0	0	0	0.000	982	21291	0	0	0	0.00	0.00	2750.0
46	36148	579681	1	0.000	589	21291	36148	391471	1	0.68	1.04	2750.0
92	54221	579681	1	0.000	196	21291	54221	391471	1	0.68	1.04	2750.0
138	54221	579681	1	0.000	196	21291	54221	391471	1	0.68	1.04	2750.0
184	36148	579681	1	0.000	589	21291	36148	391471	1	0.68	1.04	2750.0
230	0	0	0	0.000	982	21291	0	0	0	0.00	0.00	2750.0

Valori massimi

Asta sottoutilizzata

Flessione

X = 115

MEd 56481

Mc,Rd 579681

Classe 1

Ro 0

Taglio

X = 0

VEd 982

Vc,Rd 21291

Svergolamento

X = 115

MEd.sv = 56481

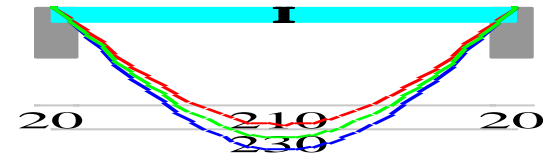
Mb,Rd.sv = 391471

Classe.sv = 1

Chi = 0.68

Lambda.ad = 1.04

DEFORMATA (cm)



DEFORMATA

campata	x	f qp	f ra	f fr		
campata n°1	38	0.02	0.03	0.02		
campata n°1	84	0.04	0.05	0.04		
campata n°1	130	0.04	0.05	0.05		
campata n°1	176	0.03	0.04	0.03		
campata n°1	222	0.00	0.01	0.01		
Valori massimi						
campata	f qp	L/f qp	f ra	L/f ra	f fr	L/f fr (2L/f per gli sbalzi)
campata n°1	0.04	5370	0.05	4432	0.05	4856

REAZIONI VINCOLARI (daN)

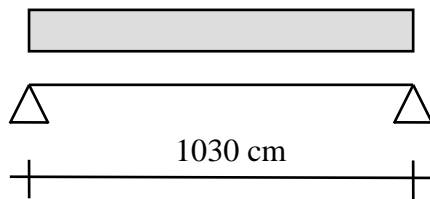
appoggio n.	nome	ULTIME		RARE		FREQUENTI		QUASI PERMANENTI	
		massima	minima	massima	minima	massima	minima	massima	minima
1		982	26	658	26	601	26	543	26
2		982	26	658	26	601	26	543	26

D.F.G. INGEGNERIA S.R.L.

31033 Via Delle Querce 3/A, Castelfranco Veneto (TV) , tel. 0423.720101, fax 0423.723379

TRAVI IPE 400

Schema 1 : Gruppo CTA L = 1030 cm



Analisi dei carichi :

G_1 = Peso proprio profili : in automatico dal programma

p.p. IPE 200 = 50 daN/m

G_2 = grigliato = 60 daN/m

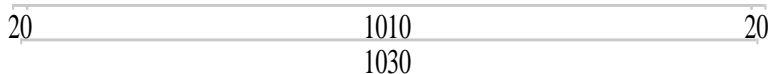
Q = grigliato CTA = 250 daN/m

IPE 400 - Schema 1

TRAVE CONTINUA IN ACCIAIO

Metodo di calcolo: stati limite DM 2008. Valori in daN cm.

PROSPETTO TRAVE



Svergolamento: con carico di estradosso
 Materiale: S275
 Gamma M0 =1.05
 Calcolo coefficienti C1,C2,C3 automatico
 Gamma M1 =1.05

GEOMETRIA DELLE SEZIONI INIZIALI

n.	Profilo	Area	Jx	Wx	Wplx	At
2	IPE400	85	23206	1160	1312	32

GEOMETRIA DELLE CAMPATE

campata n.	luce	sezione	estradosso iniziale	estradosso finale	Y asse
1	1030.0	2	0.0	0.0	0.00

CARATTERISTICHE DEGLI APPOGGI

appoggio n.	nome	ampiezza	coeff. elastico verticale
1		20.0	0.0000E+00 diretto
2		20.0	0.0000E+00 diretto

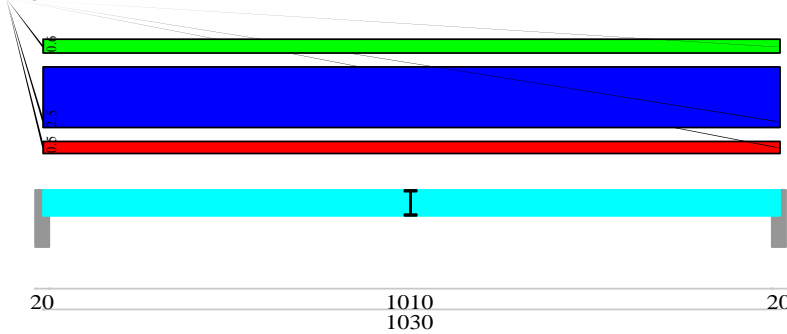
CARATTERISTICHE DEL MATERIALE

gamma	E	ni	Fy sp<=40mm	Fy sp>40mm
S275	0.0078500	2060000	0.300	2750.0 2550.0

D.F.G. INGEGNERIA S.R.L.

31033 Via Delle Querce 3/A, Castelfranco Veneto (TV) , tel. 0423.720101, fax 0423.723379

SCHEMI DI CARICO



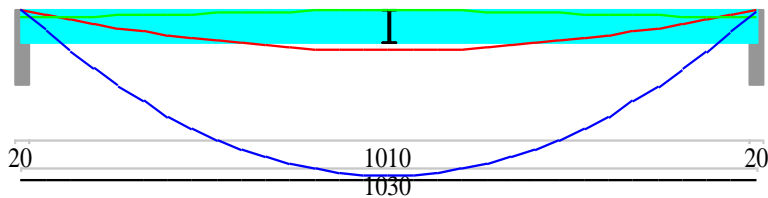
AZIONI CARATTERISTICHE APPLICATE ALLA TRAVE

CAMPATA n. 1

peso della trave 0.66

carico uniforme permanente struttura permanente portato variabile
0.50 0.60 2.50

VERIFICHE



Verifica asta 1

campata n°1

classe peggiore 1

X	MEd	Mc,Rd	Classe	Ro	VEd	Vc,Rd	MEd.sv	Mb,Rd.sv	Classe.sv	Chi	Lambda.ad	fy eff
0	0	0	0	0.000	3175	64930	0	0	0	0.00	0.00	2750.0
206	523190	3434916	1	0.000	1905	64930	523190	842335	1	0.25	2.01	2750.0
412	784784	3434916	1	0.000	635	64930	784784	842335	1	0.25	2.01	2750.0
618	784784	3434916	1	0.000	635	64930	784784	842335	1	0.25	2.01	2750.0
824	523190	3434916	1	0.000	1905	64930	523190	842335	1	0.25	2.01	2750.0
1030	0	0	0	0.000	3175	64930	0	0	0	0.00	0.00	2750.0

Valori massimi

Flessione

X = 515

MEd 817484

Mc,Rd 3434916

Classe 1

Ro 0

Taglio

X = 1030

VEd 3175

Vc,Rd 64930

Svergolamento

X = 515

MEd.sv = 817484

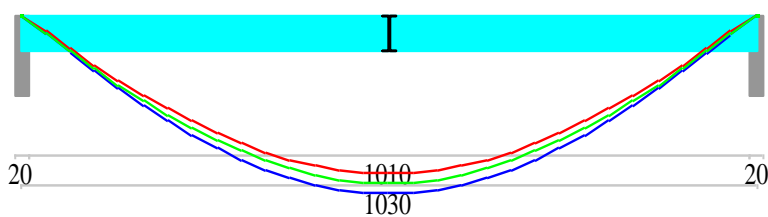
Mb,Rd.sv = 842335

Classe.sv = 1

Chi = 0.25

Lambda.ad = 2.01

DEFORMATA (cm)



D.F.G. INGEGNERIA S.R.L.

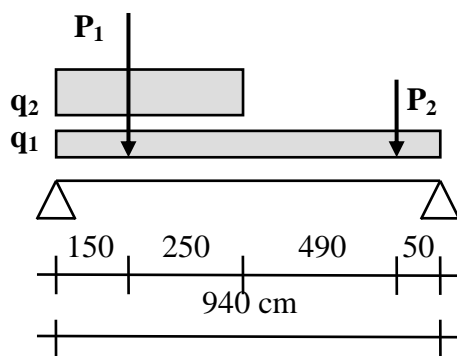
31033 Via Delle Querce 3/A, Castelfranco Veneto (TV) , tel. 0423.720101, fax 0423.723379

DEFORMATA

campata	x	f qp	f ra	f fr		
campata n°1	172	0.58	0.66	0.62		
campata n°1	378	1.06	1.20	1.13		
campata n°1	584	1.13	1.28	1.20		
campata n°1	790	0.78	0.88	0.83		
campata n°1	996	0.12	0.14	0.13		
Valori massimi						
campata		f qp	L/f qp	f ra	L/f ra	f fr
campata n°1		1.15	893	1.31	788	1.23
						838

REAZIONI VINCOLARI (daN)

appoggio n.	nome	ULTIME		RARE		FREQUENTI		QUASI PERMANENTI	
		massima	minima	massima	minima	massima	minima	massima	minima
1		3175	600	2196	600	2068	600	1939	600
2		3175	600	2196	600	2068	600	1939	600

Schema 2 : Gruppo FRIGO L = 940 cm**Analisi dei carichi :****q₁ :**G₁ = Peso proprio profili : in automatico dal programma

p.p. IPE 200 = 50 daN/m

G₂ = grigliato = 60 daN/m**q₂ :**

Q = grigliato FRIGO = 450 daN/m

P₁ :G₁ = Peso proprio profili = 250 daNG₂ = grigliato = 100 daN

Q = grigliato FRIGO = 1700 daN

P₂ :G₁ = Peso proprio profili = 200 daNG₂ = grigliato = 150 daN

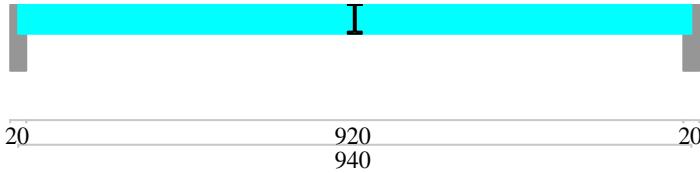
Q = grigliato GEN. TERMICO = 350 daN

IPE 400 - Schema 2

TRAVE CONTINUA IN ACCIAIO

Metodo di calcolo: stati limite DM 2008. Valori in daN cm.

PROSPETTO TRAVE



Svergolamento: con carico di estradosso
 Materiale: S275
 Gamma M0 =1.05
 Calcolo coefficienti C1,C2,C3 automatico
 Gamma M1 =1.05

GEOMETRIA DELLE SEZIONI INIZIALI

n.	Profilo	Area	Jx	Wx	Wplx	At
2	IPE400	85	23206	1160	1312	32

GEOMETRIA DELLE CAMPATE

campata n.	luce	sezione	estradosso iniziale	estradosso finale	Y asse
1	940.0	2	0.0	0.0	0.00

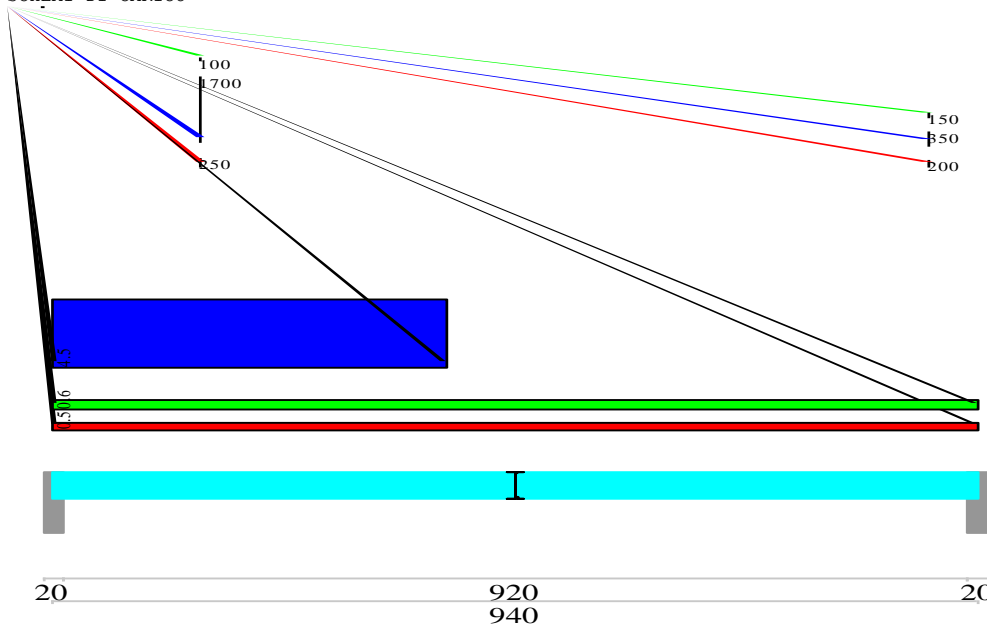
CARATTERISTICHE DEGLI APPOGGI

appoggio n.	nome	ampiezza	coeff. elastico verticale
1		20.0	0.0000E+00
2		20.0	0.0000E+00

CARATTERISTICHE DEL MATERIALE

	gamma	E	ni	Fy sp<=40mm	Fy sp>40mm
S275	0.0078500	2060000	0.300	2750.0	2550.0

SCHEMI DI CARICO



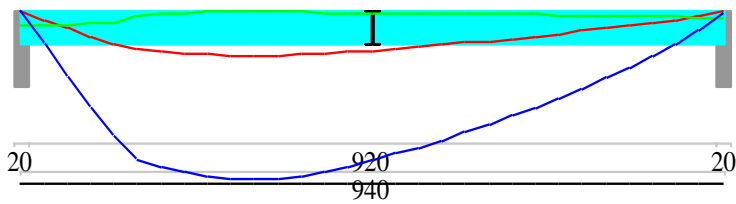
AZIONI CARATTERISTICHE APPLICATE ALLA TRAVE

CAMPATA n. 1									
peso della trave	0.66								
carico uniforme	permanente	struttura	permanente	portato	variabile				
	0.50		0.60		0.00				
carico trapezoidale	valori iniziali			valori finali					
	perm.strutt.	perm.port.	variabile	perm.strutt.	perm.port.	variabile	ascissa da sin.	ampiezza	
	0.00	0.00	4.50	0.00	0.00	4.50	0.0	400.0	
forza concentrata	perm.	struttura	permanente	portato	variabile	ascissa da sin.	ampiezza		
	250.00		100.00	1700.00		150.0	18.0		
	200.00		150.00	350.00		890.0	10.0		

D.F.G. INGEGNERIA S.R.L.

31033 Via Delle Querce 3/A, Castelfranco Veneto (TV) , tel. 0423.720101, fax 0423.723379

VERIFICHE



Verifica asta 1

campata n°1

classe peggiore 1

X	MEd	Mc,Rd	Classe	Ro	VEd	Vc,Rd	MEd.sv	Mb,Rd.sv	Classe.sv	Chi	Lambda.ad	fy eff
0	0	0	0	0.000	5856	64930	0	0	0	0.00	0.00	2750.0
188	824087	3434916	1	0.000	1108	64930	824087	914306	1	0.27	1.91	2750.0
376	870516	3434916	1	0.000	614	64930	870516	914306	1	0.27	1.91	2750.0
564	683810	3434916	1	0.000	1230	64930	683810	914306	1	0.27	1.91	2750.0
752	409823	3434916	1	0.000	1684	64930	409823	914306	1	0.27	1.91	2750.0
940	0	0	0	0.000	3148	64930	0	0	0	0.00	0.00	2750.0

Valori massimi

Flessione

X = 313

MEd 891029

Mc,Rd 3434916

Classe 1

Ro 0

Taglio

X = 0

VEd 5856

Vc,Rd 64930

Svergolamento

X = 313

MEd.sv = 891029

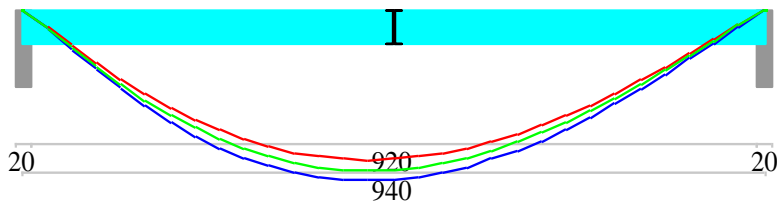
Mb,Rd.sv = 914306

Classe.sv = 1

Chi = 0.27

Lambda.ad = 1.91

DEFORMATA (cm)



DEFORMATA

campata	x	f qp	f ra	f fr		
campata n°1	157	0.56	0.64	0.60		
campata n°1	345	0.95	1.08	1.01		
campata n°1	533	0.95	1.08	1.01		
campata n°1	721	0.63	0.71	0.67		
campata n°1	909	0.10	0.11	0.10		
Valori massimi						
campata	f qp	L/f qp	f ra	L/f ra	f fr	L/f fr (2L/f per gli sbalzi)
campata n°1	0.99	945	1.13	832	1.06	885

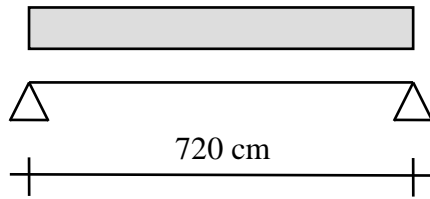
REAZIONI VINCOLARI (daN)

		ULTIME		RARE		FREQUENTI		QUASI PERMANENTI		
appoggio	n.	nome	massima	minima	massima	minima	massima	minima	massima	minima
	1		5856	768	4007	768	3720	768	3434	768
	2		3148	777	2202	777	2104	777	2005	777

D.F.G. INGEGNERIA S.R.L.

31033 Via Delle Querce 3/A, Castelfranco Veneto (TV) , tel. 0423.720101, fax 0423.723379

Schema 3 : Gruppo FRIGO L = 720 cm



Analisi dei carichi :

G_1 = Peso proprio profili : in automatico dal programma

p.p. IPE 200 = 50 daN/m

G_2 = grigliato = 60 daN/m

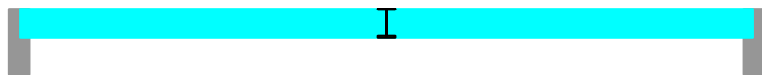
Q = grigliato FRIGO = 900 daN/m

IPE 400 - Schema 3

TRAVE CONTINUA IN ACCIAIO

Metodo di calcolo: stati limite DM 2008. Valori in daN cm.

PROSPETTO TRAVE



20 700 20
720

Svergolamento: con carico di estradosso
Materiale: S275
Gamma M0 =1.05
Calcolo coefficienti C1,C2,C3 automatico
Gamma M1 =1.05

GEOMETRIA DELLE SEZIONI INIZIALI

n.	Profilo	Area	Jx	Wx	Wplx	At
2	IPE400	85	23206	1160	1312	32

GEOMETRIA DELLE CAMPATE

campata n.	luce	sezione	estradosso iniziale	estradosso finale	Y asse
campata n. 1	720.0	2	0.0	0.0	0.00

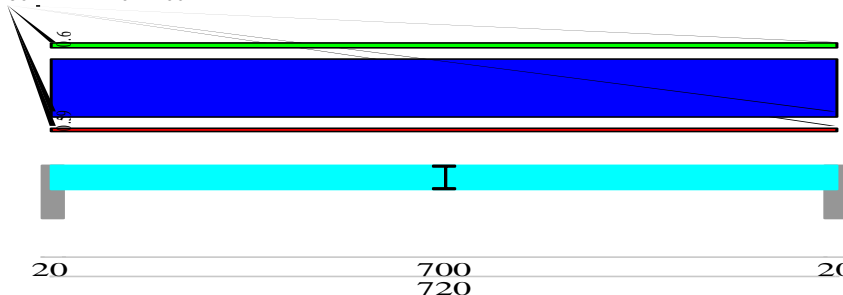
CARATTERISTICHE DEGLI APPOGGI

appoggio n.	nome	ampiezza	coeff. elastico verticale
1		20.0	0.0000E+00 diretto
2		20.0	0.0000E+00 diretto

CARATTERISTICHE DEL MATERIALE

	gamma	E	ni	Fy sp<=40mm	Fy sp>40mm
S275	0.0078500	2060000	0.300	2750.0	2550.0

SCHEMI DI CARICO



D.F.G. INGEGNERIA S.R.L.

31033 Via Delle Querce 3/A, Castelfranco Veneto (TV) , tel. 0423.720101, fax 0423.723379

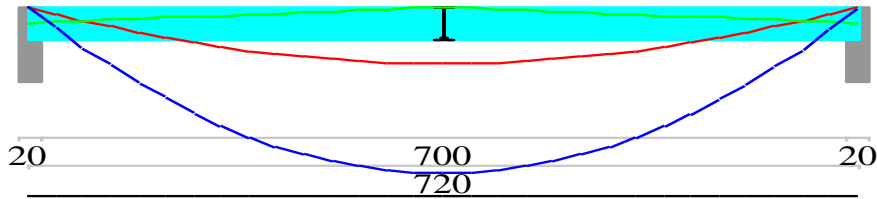
AZIONI CARATTERISTICHE APPLICATE ALLA TRAVE

CAMPATA n. 1

peso della trave 0.66

carico uniforme permanente struttura permanente portato variabile
0.50 0.60 9.00

VERIFICHE



Verifica asta 1

campata n°1

classe peggiore 1

X	MEd	Mc,Rd	Classe	Ro	VEd	Vc,Rd	MEd.sv	Mb,Rd.sv	Classe.sv	Chi	Lambda.ad	fy eff
0	0	0	0	0.000	5729	64930	0	0	0	0.00	0.00	2750.0
144	660004	3434916	1	0.000	3438	64930	660004	1168897	1	0.34	1.64	2750.0
288	990006	3434916	1	0.000	1146	64930	990006	1168897	1	0.34	1.64	2750.0
432	990006	3434916	1	0.000	1146	64930	990006	1168897	1	0.34	1.64	2750.0
576	660004	3434916	1	0.000	3438	64930	660004	1168897	1	0.34	1.64	2750.0
720	0	0	0	0.000	5729	64930	0	0	0	0.00	0.00	2750.0

Valori massimi

Flessione

X = 360

MEd 1031257

Mc,Rd 3434916

Classe 1

Ro 0

Taglio

X = 0

VEd 5729

Vc,Rd 64930

Svergolamento

X = 360

MEd.sv = 1031257

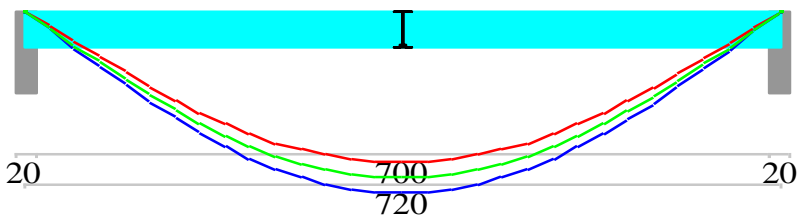
Mb,Rd.sv = 1168897

Classe.sv = 1

Chi = 0.34

Lambda.ad = 1.64

DEFORMATA (cm)



DEFORMATA

campata	x	f qp	f ra	f fr		
campata n°1	120	0.33	0.40	0.37		
campata n°1	264	0.60	0.72	0.66		
campata n°1	408	0.64	0.77	0.71		
campata n°1	552	0.44	0.53	0.49		
campata n°1	696	0.07	0.08	0.08		
Valori massimi						
campata	f qp	L/f qp	f ra	L/f ra	f fr	L/f fr (2L/f per gli sbalzi)
campata n°1	0.66	1098	0.79	915	0.72	998

REAZIONI VINCOLARI (daN)

		ULTIME		RARE		FREQUENTI		QUASI PERMANENTI		
appoggio	n.	nome	massima	minima	massima	minima	massima	minima	massima	minima
	1		5729	419	3875	419	3551	419	3227	419
	2		5729	419	3875	419	3551	419	3227	419

D.F.G. INGEGNERIA S.R.L.

31033 Via Delle Querce 3/A, Castelfranco Veneto (TV) , tel. 0423.720101, fax 0423.723379

STRUTTURA in C.A.

ANALISI NUMERICA ad ELEMENTI FINITI

Come precedentemente riportato la struttura in c.a. che costituisce la struttura portante dell'opera è stata calcolata e verificata utilizzando un programma ad elementi finiti di cui si riporta in "Appendice" il tabulato di output.

La verifica antisismica è stata effettuata secondo la normativa in vigore D.M. 14.01.2008.

Si tratta di una ***struttura a pareti non accoppiate, in zona con grado di sismicità pari a IV.***

Sono stati assunti, in funzione della tipologia dell'opera e delle caratteristiche tecniche del terreno, i seguenti **parametri** :

Località Padova, Via Giotto \Rightarrow Grado di sismicità : zona IV

Tipo di costruzione : 2

Classe d'uso : III

Classe di duttilità : B

Tipo di terreno : C

Tipo di struttura : Struttura a pareti non accoppiate $q_0 = 3.0$

Analisi : Lineare dinamica

Zero sismico : quota livello piano terra

Nell'analisi della struttura sono state considerate le seguenti **condizioni di carico** :

1. Azioni permanenti G_1 : pesi propri strutture orizzontali e verticali, in parte calcolati in automatico dal programma
2. Azioni permanenti portate G_2 : ai vari orizzontamenti
3. Azioni variabili Q : azioni variabili ai vari orizzontamenti
4. e 5. spinte orizzontali dovute al sisma nelle due direzioni principali X e Y : calcolate in automatico dal programma

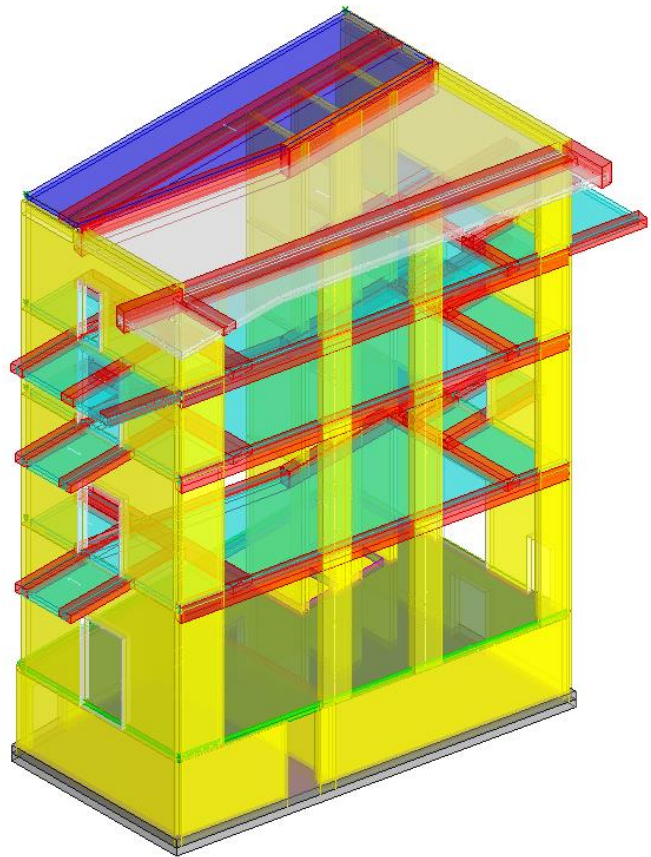
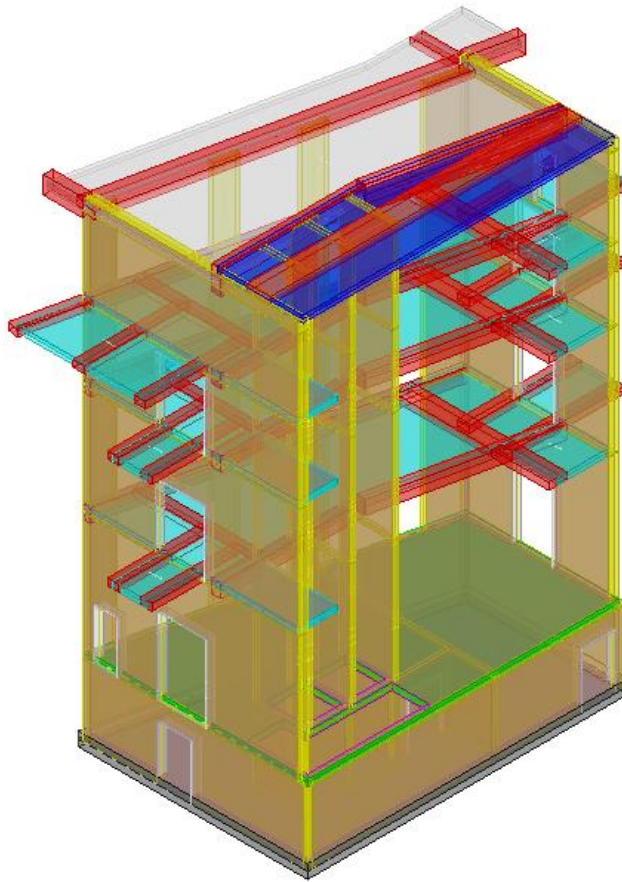
Esse sono state considerate secondo le **combinazioni di carico** agli stati limite sia in assenza di sisma (SLU – SLE) che in presenza di sisma (SLV – SLD).

APPENDICE

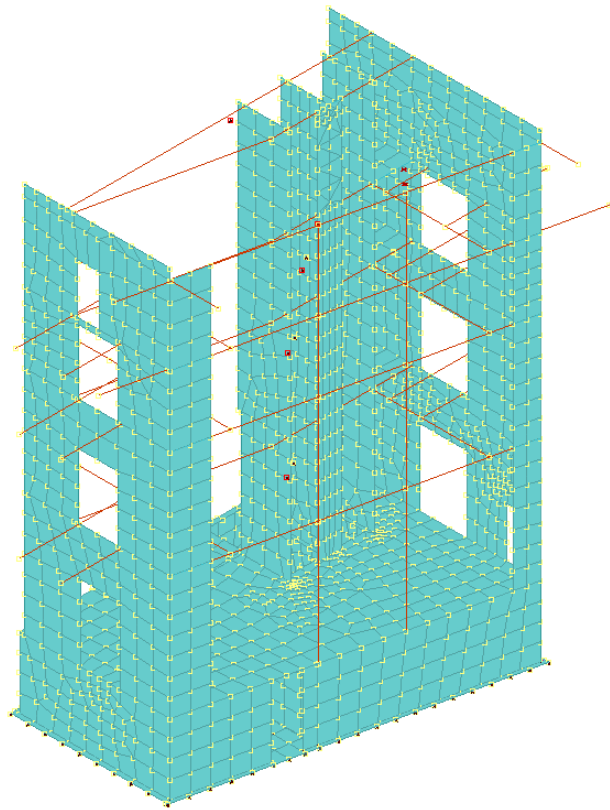
INGRESSO PRINCIPALE - Struttura in C.A.

ANALISI ad ELEMENTI FINITI

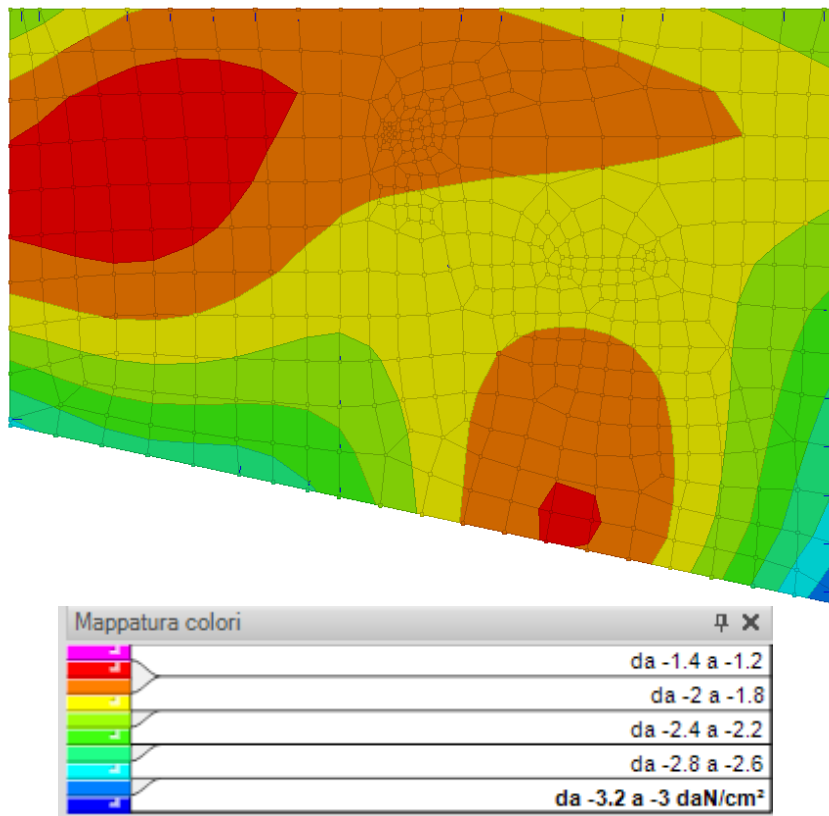
STRUTTURA



MODELLO



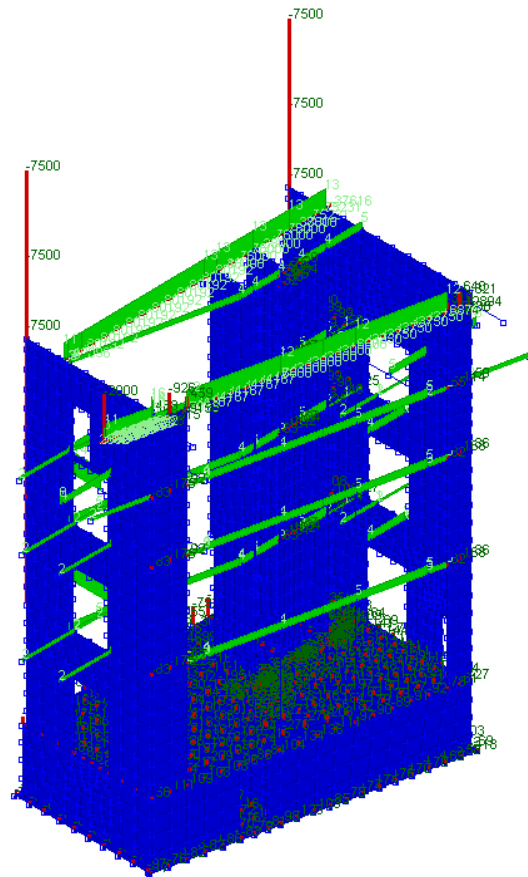
TENSIONI TERRENO MINIME (Compressione)



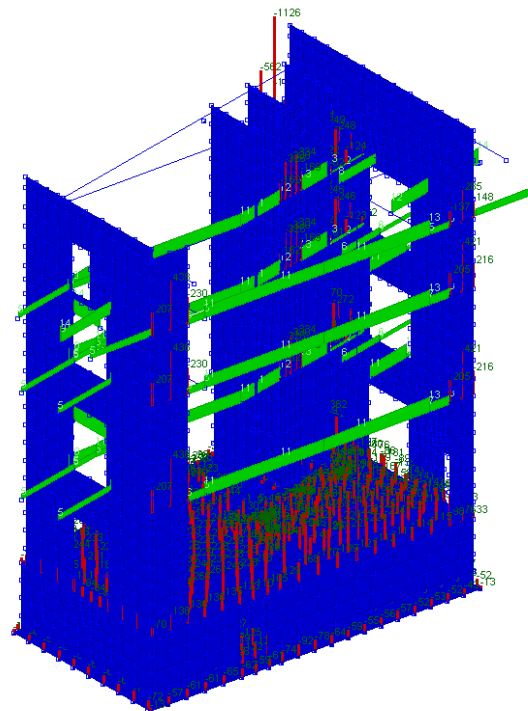
D.F.G. INGEGNERIA S.R.L.

31033 Via Delle Querce 3/A, Castelfranco Veneto (TV) , tel. 0423.720101, fax 0423.723379

CONDIZIONE DI CARICO : PERMANENTI PORTATI

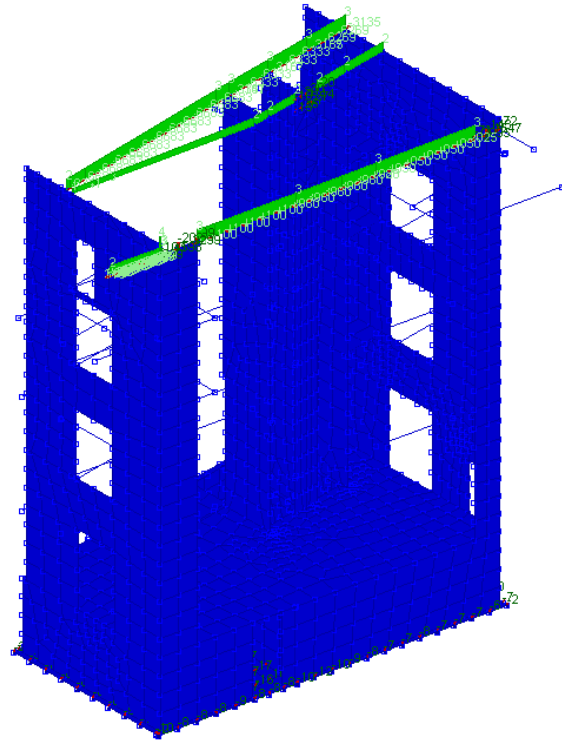


CONDIZIONE DI CARICO : VARIABILI “C”



D.F.G. INGEGNERIA S.R.L.
31033 Via Delle Querce 3/A, Castelfranco Veneto (TV) , tel. 0423.720101, fax 0423.723379

CONDIZIONE DI CARICO : VARIABILE NEVE



PALAZZO CAVALLI

Comune di: Padova

Committente: Università degli Studi di Padova

Progettista delle strutture: ing. Dario Gambarotto

Progettista architettonico: arch. Giovanna Mar

Oggetto: PROGETTO ESECUTIVO INGRESSO PRINCIPALE

1	Normative.....	2
2	Descrizione del software.....	2
3	Descrizione hardware.....	2
4	Dati generali.....	2
4.1	Materiali.....	2
4.1.1	Materiali c.a.....	2
4.1.2	Curve di materiali c.a.....	2
4.1.3	Armature.....	2
4.2	Sezioni.....	3
4.2.1	Sezioni C.A.....	3
4.2.1.1	Sezioni rettangolari C.A.....	3
4.2.1.2	Caratteristiche inerziali sezioni C.A.....	3
4.3	Dati di definizione.....	3
4.3.1	Preferenze commessa.....	3
4.3.1.1	Preferenze di analisi.....	3
4.3.1.2	Spettri NTC 08.....	4
4.3.1.3	Preferenze di verifica.....	6
4.3.1.3.1	Normativa di verifica in uso.....	6
4.3.1.3.2	Normativa di verifica C.A.....	6
4.3.1.4	Preferenze FEM.....	6
4.3.1.5	Moltiplicatori inerziali.....	6
4.3.1.6	Preferenze di analisi non lineare FEM.....	7
4.3.1.7	Preferenze di analisi carichi superficiali.....	7
4.3.2	Azioni e carichi.....	7
4.3.2.1	Condizioni elementari di carico.....	7
4.3.2.2	Combinazioni di carico.....	7
4.3.2.3	Definizioni di carichi concentrati.....	9
4.3.2.4	Definizioni di carichi lineari.....	9
4.3.2.5	Definizioni di carichi superficiali.....	9
4.3.3	Quote.....	9
4.3.3.1	Livelli.....	9
4.3.3.2	Tronchi.....	9
4.3.4	Elementi di input.....	10
4.3.4.1	Fili fissi.....	10
4.3.4.1.1	Fili fissi di piano.....	10
4.3.4.2	Travi C.A.....	10
4.3.4.2.1	Travi C.A. di piano.....	10
4.3.4.3	Pilastri C.A.....	11
4.3.4.4	Piastre C.A.....	11
4.3.4.4.1	Piastre C.A. di piano.....	11
4.3.4.5	Fondazioni di piastre.....	11
4.3.4.6	Pareti C.A.....	11
4.3.4.7	Aperture su pareti.....	12
4.3.4.8	Carichi concentrati.....	12
4.3.4.8.1	Carichi concentrati di piano.....	12
4.3.4.9	Carichi lineari.....	12
4.3.4.9.1	Carichi lineari di piano.....	12
4.3.4.10	Carichi superficiali.....	13
4.3.4.10.1	Carichi superficiali di piano.....	13
4.3.4.11	Fori su piastre e carichi superficiali.....	13
4.3.4.11.1	Fori di piano.....	13
5	Dati di modellazione.....	14
5.1	Nodi.....	14
5.1.1	Nodi di piano rigido.....	14
5.1.2	Nodi di definizione.....	14
5.2	Aste.....	19
5.2.1	Carichi su aste.....	19
5.2.1.1	Carichi trapezoidali locali.....	19
5.2.1.2	Coppie concentrate locali.....	22
5.2.2	Caratteristiche meccaniche aste.....	24
5.2.3	Definizioni aste.....	24
5.3	Masse aggregate.....	24
5.4	Masse di piano.....	29
5.5	Gusci.....	29
5.5.1	Caratteristiche meccaniche gusci.....	29
5.5.2	Definizioni gusci.....	29
5.6	Accelerazioni spettrali.....	39
6	Risultati numerici.....	41
6.1	Spostamenti nodali.....	41
6.1.1	Spostamenti nodali estremi.....	41
6.2	Reazioni nodali.....	41
6.2.1	Reazioni nodali estreme.....	41
6.3	Pressioni massime sul terreno.....	42
6.4	Spostamenti di interpiano estremi.....	46
6.5	Verifica effetti secondo ordine.....	47
6.6	Verifica deformabilità torsionale struttura.....	48
6.7	Baricentri delle rigidezze.....	48
6.8	Rigidezze di interpiano.....	48
6.9	Tagli ai livelli.....	49
6.10	Risposta modale.....	54
6.11	Equilibrio forze.....	54
6.12	Risposta di spettro.....	55
7	Verifiche.....	55
7.1	Verifiche pilastrate C.A.....	55
7.2	Verifiche travate C.A.....	60
7.3	Verifiche piastre e pareti C.A.....	91

1 Normative

D.M. LL. PP. 11-03-88

Norme Tecniche riguardanti le indagini sui terreni e sulle rocce, la stabilità dei pendii naturali e delle scarpate, i criteri generali e le prescrizioni per la progettazione, l'esecuzione ed il collaudo delle opere di sostegno delle terre e delle opere di fondazione.

Circolare Ministeriale del 24-07-88, n. 30483/STC.

Legge 02-02-74 n. 64, art. 1 - D.M. 11-03-88

Norme Tecniche riguardanti le indagini sui terreni e sulle rocce, la stabilità dei pendii naturali e delle scarpate, i criteri generali e le prescrizioni per la progettazione, l'esecuzione ed il collaudo delle opere di sostegno delle terre e delle opere di fondazione.

Norme Tecniche per le Costruzioni - D.M. 14-01-08

Sicurezza (cap.2), Azioni sulle costruzioni (cap.3), Costruzioni in calcestruzzo (par.4.1), Costruzioni in legno (par.4.4), Costruzioni in muratura (par.4.5), Progettazione geotecnica (cap.6), Progettazione per azioni sismiche (cap.7), Costruzioni esistenti (cap.8), Riferimenti tecnici (cap.12), EC3.

2 Descrizione del software

Descrizione del programma Sismicad

Si tratta di un programma di calcolo strutturale che nella versione più estesa è dedicato al progetto e verifica degli elementi in cemento armato, acciaio, muratura e legno di opere civili .Il programma utilizza come analizzatore e solutore del modello strutturale un proprio solutore agli elementi finiti tridimensionale fornito col pacchetto. Il programma è sostanzialmente diviso in tre moduli: un pre processore che consente l'introduzione della geometria e dei carichi e crea il file dati di input al solutore; il solutore agli elementi finiti; un post processore che a soluzione avvenuta elabora i risultati eseguendo il progetto e la verifica delle membrature e producendo i grafici ed i tabulati di output.

Specifiche tecniche

Denominazione del software: Sismicad 12.5

Produttore del software: Concrete

Concrete srl, via della Pieve, 15, 35121 PADOVA - Italy

http://www.concrete.it

Rivenditore: CONCRETE SRL - Via della Pieve 19 - 35121 Padova - tel.049-8754720

Versione: 12.5

Identificatore licenza: SW-21166

Intestatario della licenza: STUDIO D.F.G. INGEGNERIA - VIA DELLE QUERCE, 3/A CASTELFRANCO V.TO TV

Versione regolarmente licenziata

Schematizzazione strutturale e criteri di calcolo delle sollecitazioni

Il programma schematizza la struttura attraverso l'introduzione nell'ordine di fondazioni, poste anche a quote diverse, platee, platee nervate, plinti e travi di fondazione poggianti tutte su suolo elastico alla Winkler, di elementi verticali, pilastri e pareti in c.a. anche con fori, di orizzontamenti costituiti da solai orizzontali e inclinati (falde), e relative travi di piano e di falda; è ammessa anche l'introduzione di elementi prismatici in c.a. di interpiano con possibilità di collegamento in inclinato a solai posti a quote diverse. I nodi strutturali possono essere connessi solo a travi, pilastri e pareti, simulando così impalcati infinitamente deformabili nel piano, oppure a elementi lastra di spessore dichiarato dall'utente simulando in tal modo impalcati a rigidezza finita. I nodi appartenenti agli impalcati orizzontali possono essere connessi rigidamente ad uno o più nodi principali giacenti nel piano dell'impalcato; generalmente un nodo principale coincide con il baricentro delle masse. Tale opzione, oltre a ridurre significativamente i tempi di elaborazione, elimina le approssimazioni numeriche connesse all'utilizzo di elementi lastra quando si richiede l'analisi a impalcati infinitamente rigidi. Per quanto concerne i carichi, in fase di immissione dati, vengono definite, in numero a scelta dell'utente, condizioni di carico elementari le quali, in aggiunta alle azioni sismiche e variazioni termiche, vengono combinate attraverso coefficienti moltiplicativi per fornire le combinazioni richieste per le verifiche successive. L'effetto di disassamento delle forze orizzontali, indotto ad esempio dai torcenti di piano per costruzioni in zona sismica, viene simulato attraverso l'introduzione di eccentricità planari aggiuntive le quali costituiscono ulteriori condizioni elementari di carico da cumulare e combinare secondo i criteri del paragrafo precedente. Tipologicamente sono ammessi sulle travi e sulle pareti carichi uniformemente distribuiti e carichi trapezoidali; lungo le aste e nei nodi di incrocio delle membrature sono anche definibili componenti di forze e coppie concentrate comunque dirette nello spazio. Sono previste distribuzioni di temperatura, di intensità a scelta dell'utente, agenti anche su singole porzioni di struttura. Il calcolo delle sollecitazioni si basa sulle seguenti ipotesi e modalità: - travi e pilastri deformabili a sforzo normale, flessione deviata, taglio deviato e momento torcente. Sono previsti coefficienti riduttivi dei momenti di inerzia a scelta dell'utente per considerare la riduzione della rigidezza flessionale e torsionale per effetto della fessurazione del conglomerato cementizio. E' previsto un moltiplicatore della rigidezza assiale dei pilastri per considerare, se pure in modo approssimato, l'accorciamento dei pilastri per sforzo normale durante la costruzione. - le travi di fondazione su suolo alla Winkler sono risolte in forma chiusa tramite uno specifico elemento finito; - le pareti in c.a. sono analizzate schematizzandole come elementi lastra-piastra discretizzati con passo massimo assegnato in fase di immissione dati; - le pareti in muratura possono essere schematizzate con elementi lastra-piastra con spessore flessionale ridotto rispetto allo spessore membranale. - I plinti su suolo alla Winkler sono modellati con la introduzione di molle verticali elastoplastiche. La traslazione orizzontale a scelta dell'utente è bloccata o gestita da molle orizzontali di modulo di reazione proporzionale al verticale. - I pali sono modellati suddividendo l'asta in più aste immerse in terreni di stratigrafia definita dall'utente. Nei nodi di divisione tra le aste vengono inserite molle assialsimmetriche elastoplastiche precaricate dalla spinta a riposo che hanno come pressione limite minima la spinta attiva e come pressione limite massima la spinta passiva modificabile attraverso opportuni coefficienti. - i plinti su pali sono modellati attraverso aste di rigidezza elevata che collegano un punto della struttura in elevazione con le aste che simulano la presenza dei pali; - le piastre sono discretizzate in un numero finito di elementi lastra-piastra con passo massimo assegnato in fase di immissione dati; nel caso di platee di fondazione i nodi sono collegati al suolo da molle aventi rigidezze alla traslazione verticale ed richiesta anche orizzontale. - La deformabilità nel proprio piano di piani dichiarati non infinitamente rigidi e di falde (piani inclinati) può essere controllata attraverso la introduzione di elementi membranali nelle zone di solaio. - I disassamenti tra elementi asta sono gestiti automaticamente dal programma attraverso la introduzione di collegamenti rigidi locali. - Alle estremità di elementi asta è possibile inserire svincolamenti tradizionali così come cerniere parziali (che trasmettono una quota di ciò che trasmetterebbero in condizioni di collegamento rigido) o cerniere plastiche. - Alle estremità di elementi bidimensionali è possibile inserire svincolamenti con cerniere parziali del momento flettente avente come asse il bordo dell'elemento. - Il calcolo degli effetti del sisma è condotto, a scelta dell'utente, con analisi statica lineare, con analisi dinamica modale o con analisi statica non lineare, in accordo alle varie normative adottate. Le masse, nel caso di impalcati dichiarati rigidi sono concentrate nei nodi principali di piano altrimenti vengono considerate diffuse nei nodi giacenti sull'impalcato stesso. Nel caso di analisi sismica vengono anche controllati gli spostamenti di interpiano.

Verifiche delle membrature in cemento armato

Nel caso più generale le verifiche degli elementi in c.a. possono essere condotte col metodo delle tensioni ammissibili (D.M. 14-1-92) o agli stati limite in accordo al D.M. 09-01-96, al D.M. 14-01-08 o secondo Eurocodice 2. Le travi sono progettate e verificate a flessione retta e taglio; a richiesta è possibile la verifica per le sei componenti della sollecitazione. I pilastri ed i pali sono verificati per le sei componenti della sollecitazione. Per gli elementi bidimensionali giacenti in un medesimo piano è disponibile la modalità di verifica che consente di analizzare lo stato di verifica nei singoli nodi degli elementi. Nelle verifiche (a presso flessione e punzonamento) è ammessa la introduzione dei momenti di calcolo modificati in base alle direttive dell'EC2. Appendice A.2.8. I plinti superficiali sono verificati assumendo lo schema statico di mensole con incastri posti a filo o in asse pilastro. Gli ancoraggi delle armature delle membrature in c.a. sono calcolati sulla base della effettiva tensione normale che ogni barra assume nella sezione di verifica distinguendo le zone di ancoraggio in zone di buona o cattiva aderenza. In particolare il programma valuta la tensione normale che ciascuna barra può assumere in una sezione sviluppando l'aderenza sulla superficie cilindrica posta a sinistra o a destra della sezione considerata; se in una sezione una barra assume per effetto dell'aderenza una tensione normale minore di quella ammissibile, il suo contributo all'area complessiva viene ridotto dal programma nel rapporto tra la tensione normale che la barra può assumere per effetto dell'aderenza e quella ammissibile. Le verifiche sono effettuate a partire dalle aree di acciaio equivalenti così calcolate che vengono evidenziate in relazione.A seguito di analisi inelastiche eseguite in accordo a OPCM 3431 o D.M. 14-01-08 vengono condotte verifiche di resistenza per i meccanismi fragili (nodi e taglio) e verifiche di deformabilità per i meccanismi duttili.

3 Descrizione hardware

Processore	Intel(R) Core(TM)2 Duo CPU	E6550	@ 2.33GHz
Architettura	x86		
Frequenza	2331 MHz		
Memoria	2,00 GB		
Sistema operativo	Microsoft Windows 7 Professional Service Pack 1 (32 bit)		

4 Dati generali

4.1 Materiali

4.1.1 Materiali c.a.

Descrizione: descrizione o nome assegnato all'elemento.

Rck: resistenza caratteristica cubica; valore medio nel caso di edificio esistente. [daN/cm²]

E: modulo di elasticità longitudinale del materiale per edifici o materiali nuovi. [daN/cm²]

G: modulo di elasticità tangenziale del materiale, viene impiegato nella modellazione di aste e di elementi guscio a comportamento ortotropo. [daN/cm²]

Poisson: coefficiente di Poisson. Il valore è dimensionale.

γ: peso specifico del materiale. [daN/cm³]

α: coefficiente longitudinale di dilatazione termica. [°C-1]

Descrizione	Rck	E	G	Poisson	γ	α
C25/30	300	314472	Default (142941.64)	0.1	0.0025	0.00001

4.1.2 Curve di materiali c.a.

Descrizione: descrizione o nome assegnato all'elemento.

Curva: curva caratteristica.

Reaz.traz.: reagisce a trazione.

Comp.frag.: ha comportamento fragile.

E.compr.: modulo di elasticità a compressione. [daN/cm²]

Incr.compr.: incrudimento di compressione. Il valore è dimensionale.

EpsEc: ε elastico a compressione. Il valore è dimensionale.

EpsUc: ε ultimo a compressione. Il valore è dimensionale.

E.traz.: modulo di elasticità a trazione. [daN/cm²]

Incr.traz.: incrudimento di trazione. Il valore è dimensionale.

EpsEt: ε elastico a trazione. Il valore è dimensionale.

EpsUt: ε ultimo a trazione. Il valore è dimensionale.

Descrizione	Curva									
	Reaz.traz.	Comp.frag.	E.compr.	Incr.compr.	EpsEc	EpsUc	E.traz.	Incr.traz.	EpsEt	EpsUt
C25/30	No	SI	314471.61	0.0001	-0.002	-0.0035	314471.61	0.0001	0.0000569	0.0000626



4.1.3 Armature

Descrizione: descrizione o nome assegnato all'elemento.

Livello di conoscenza: indica se il materiale è nuovo o esistente, e in tal caso il livello di conoscenza secondo Circ. 02/02/09 n. 617 §C8A. Informazione impiegata solo in analisi D.M. 14-01-08 (N.T.C.).

4.2.1.1 Sezioni rettangolari C.A.

c.l.: copriferro laterale della sezione. [cm]

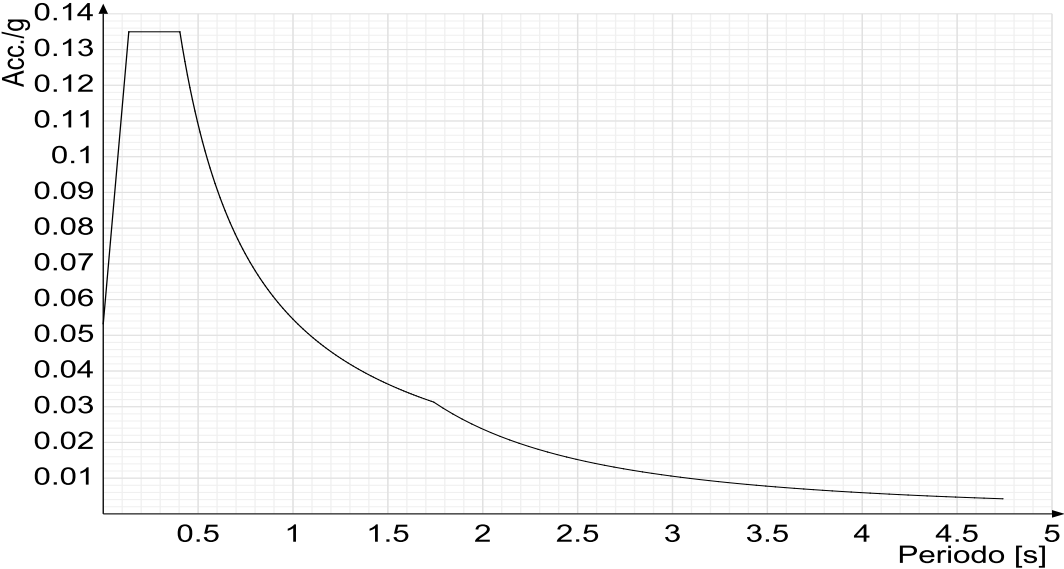
JxFEM: momento di inerzia attorno all'asse X per l'analisi FEM. [cm⁴]

STUDIO D'E.C. INGEGNERIA - VIA DELLE QUERCE

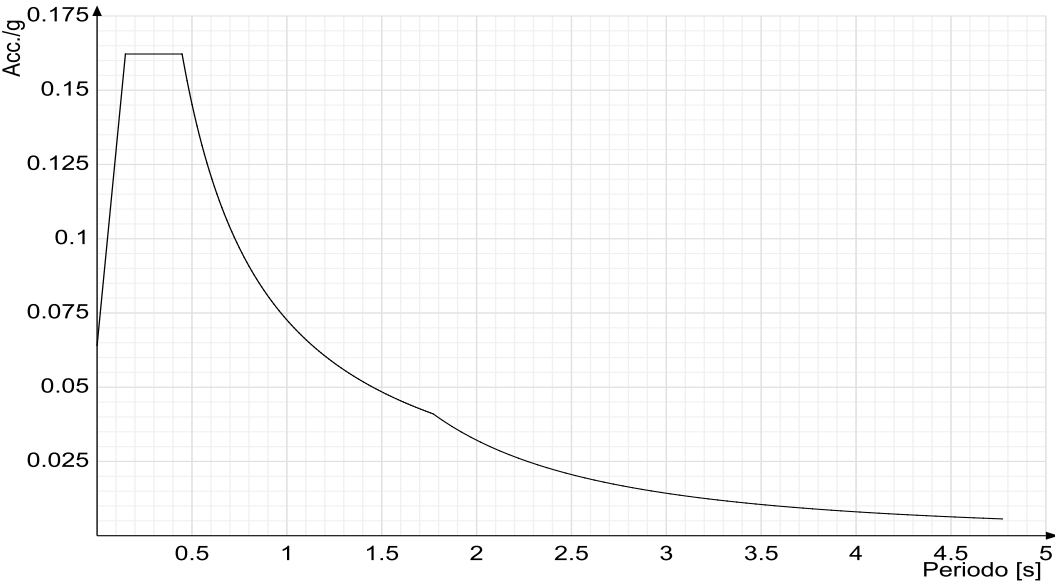
Eccentricità X (per sisma Y) livello "Fondazione"	0	[cm]
Eccentricità Y (per sisma X) livello "Fondazione"	0	[cm]
Eccentricità X (per sisma Y) livello "Piano Terra"	0	[cm]
Eccentricità Y (per sisma X) livello "Piano Terra"	0	[cm]
Eccentricità X (per sisma Y) livello "Piano 1"	68.5	[cm]
Eccentricità Y (per sisma X) livello "Piano 1"	46.5	[cm]
Eccentricità X (per sisma Y) livello "Piano 2"	68.5	[cm]
Eccentricità Y (per sisma X) livello "Piano 2"	46.5	[cm]
Eccentricità X (per sisma Y) livello "Piano 3"	94.6	[cm]
Eccentricità Y (per sisma X) livello "Piano 3"	48.8	[cm]
Eccentricità X (per sisma Y) livello "Copertura 1"	79.1	[cm]
Eccentricità Y (per sisma X) livello "Copertura 1"	44.9	[cm]
Eccentricità X (per sisma Y) livello "Copertura 2"	68.5	[cm]
Eccentricità Y (per sisma X) livello "Copertura 2"	19	[cm]
Limite spostamenti interpiano	0.005	
Fattore di struttura per sisma X	3	
Fattore di struttura per sisma Y	3	
Fattore di struttura per sisma Z	1.5	
Applica 1% (§ 3.1.1)	No	
Coefficiente di sicurezza portanza fondazioni superficiali	2.3	
Coefficiente di sicurezza scorrimento fondazioni superficiali	1.1	
Coefficiente di sicurezza portanza verticale pali infissi, punta	1.15	
Coefficiente di sicurezza portanza verticale pali infissi, laterale compressione	1.15	
Coefficiente di sicurezza portanza verticale pali infissi, laterale trazione	1.25	
Coefficiente di sicurezza portanza verticale pali trivellati, punta	1.35	
Coefficiente di sicurezza portanza verticale pali trivellati, laterale compressione	1.15	
Coefficiente di sicurezza portanza verticale pali trivellati, laterale trazione	1.25	
Coefficiente di sicurezza portanza verticale micropali, punta	1.35	
Coefficiente di sicurezza portanza verticale micropali, laterale compressione	1.15	
Coefficiente di sicurezza portanza verticale micropali, laterale trazione	1.25	
Coefficiente di sicurezza portanza trasversale pali	1.3	
Fattore di correlazione resistenza caratteristica dei pali in base alle verticali indagate	1.7	

4.3.1.2 Spettri NTC 08
Acc./g: Accelerazione spettrale normalizzata ottenuta dividendo l'accelerazione spettrale per l'accelerazione di gravità.
Periodo: Periodo di vibrazione.

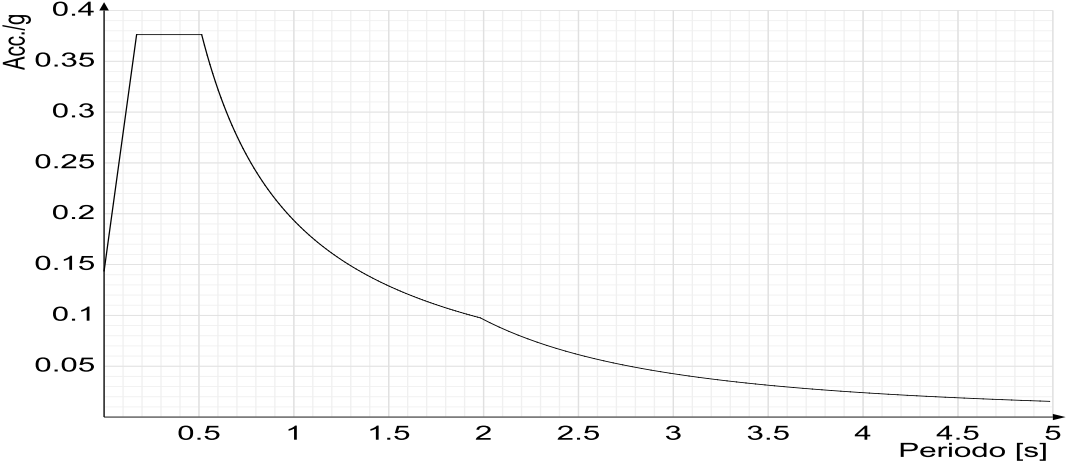
Spettro di risposta elastico in accelerazione delle componenti orizzontali SLO § 3.2.3.2.1 (3.2.4)



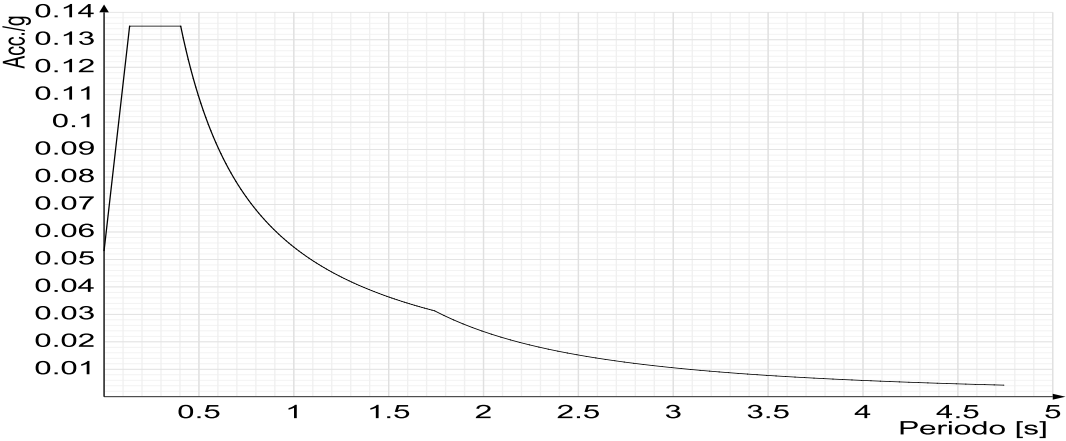
Spettro di risposta elastico in accelerazione delle componenti orizzontali SLD § 3.2.3.2.1 (3.2.4)



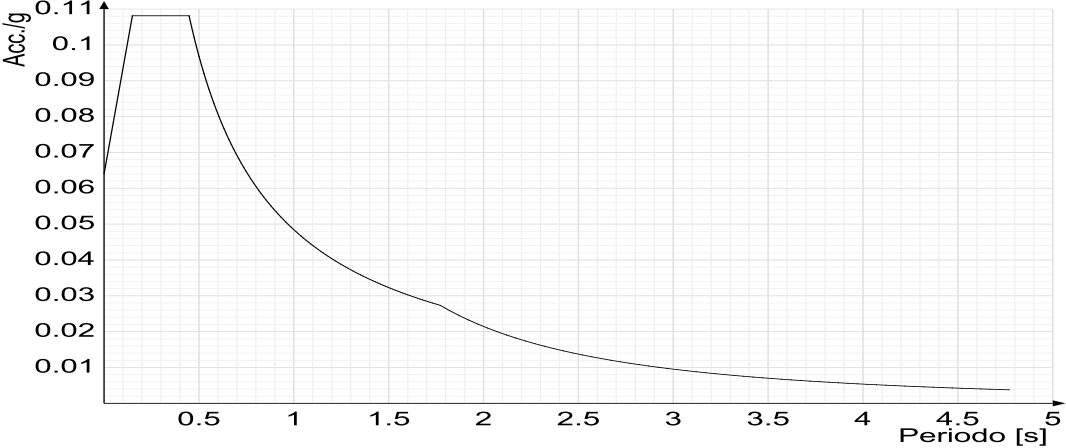
Spettro di risposta elastico in accelerazione delle componenti orizzontali SLV § 3.2.3.2.1 (3.2.4)



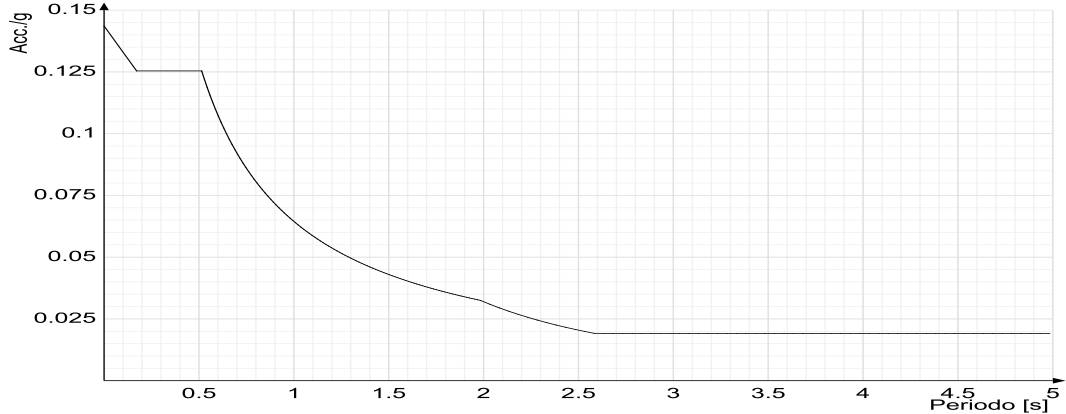
Spettro di risposta di progetto in accelerazione delle componenti orizzontali SLO § 3.2.3.4



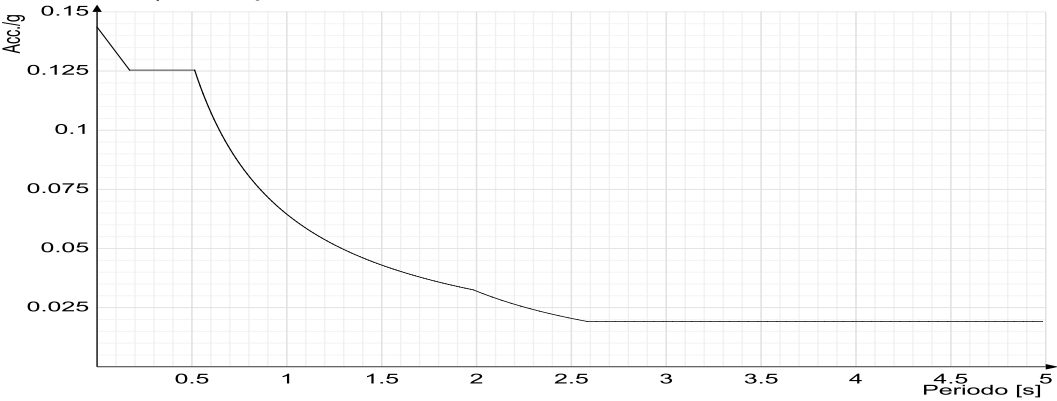
Spettro di risposta di progetto in accelerazione delle componenti orizzontali SLD § 7.3.7.1



Spettro di risposta di progetto in accelerazione della componente X SLV § 3.2.3.5

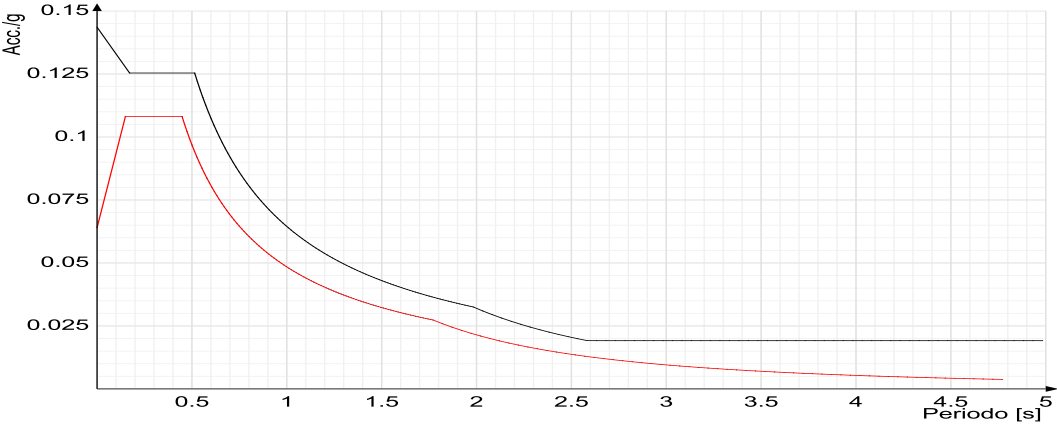


Spettro di risposta di progetto in accelerazione della componente Y SLV § 3.2.3.5



Confronti spettri SLV-SLD

Vengono confrontati lo spettro Spettro di risposta di progetto in accelerazione delle componenti orizzontali SLD § 7.3.7.1 (di colore rosso) e Spettro di risposta di progetto in accelerazione della componente X SLV § 3.2.3.5 (di colore nero). Questo confronto tra spettri è valido anche per l'altra componente orizzontale, essendo coincidente.



- 4.3.1.3 Preferenze di verifica
- 4.3.1.3.1 Normativa di verifica in uso
- Norma di verifica
- Cemento armato
- Legno
- Acciaio
- Alluminio
- Pannelli in gessofibra
- Psi

D.M. 14-01-08 (N.T.C.)
Preferenze analisi di verifica in stato limite
Preferenze di verifica legno NTC08
Preferenze di verifica acciaio EC3
Preferenze di verifica alluminio EC3
Preferenze di verifica pannelli gessofibra D.M. 14-01-08 (N.T.C.)

- 4.3.1.3.2 Normativa di verifica C.A.
- Coefficiente di omogeneizzazione
- ys (fattore di sicurezza parziale per l'acciaio)
- yc (fattore di sicurezza parziale per il calcestruzzo)
- Limite sigmac/fck in combinazione rara
- Limite sigmac/fck in combinazione quasi permanente
- Limite sigmat/fyk in combinazione rara
- Coefficiente di riduzione della tau per cattiva aderenza
- Dimensione limite fessure w1 §4.1.2.2.4.1
- Dimensione limite fessure w2 §4.1.2.2.4.1
- Dimensione limite fessure w3 §4.1.2.2.4.1
- Fattori parziali di sicurezza unitari per meccanismi duttili di strutture esistenti con fattore q
- Copriferro secondo EC2

15
1.15
1.5
0.6
0.45
0.8
0.7
0.02 [cm]
0.03 [cm]
0.04 [cm]

- 4.3.1.4 Preferenze FEM
- Dimensione massima ottimale mesh pareti (default)
- Dimensione massima ottimale mesh piastre (default)
- Tipo di mesh dei gusci (default)
- Tipo di mesh imposta ai gusci
- Metodo P-Delta
- Analisi buckling
- Rapporto spessore flessionale/membranale gusci muratura verticali
- Spessori membranale e flessionale pareti XLAM da sole tavole verticali
- Moltiplicatore rigidezza connettori pannelli pareti legno a diaframma
- Tolleranza di parallelismo
- Tolleranza di unicità punti
- Tolleranza generazione nodi di aste
- Tolleranza di parallelismo in suddivisione aste
- Tolleranza generazione nodi di gusci
- Tolleranza eccentricità carichi concentrati
- Considera deformazione a taglio delle piastre
- Modello elastico pareti in muratura
- Concentra masse pareti nei vertici
- Segno risultati analisi spettrale
- Memoria utilizzabile dal solutore
- Metodo di risoluzione della matrice
- Scrivi commenti nel file di input
- Scrivi file di output in formato testo
- Solidi colle e corpi ruvidi (default)
- Moltiplicatore rigidezza molla torsionale applicata ad aste di fondazione
- Modello trave su suolo alla Winkler nel caso di modellazione lineare

80 [cm]
80 [cm]
Quadrilateri o triangoli
Specifico dell'elemento
non utilizzato
non utilizzata
0.2
No
1
4.99 [deg]
10 [cm]
1 [cm]
4.99 [deg]
4 [cm]
100 [cm]
No
Gusci
No
Analisi statica
8000000
Matrici sparse
No
No
Solidi reali
1
Equilibrio elastico

- 4.3.1.5 Moltiplicatori inerziali
- Tipologia: tipo di entità a cui si riferiscono i moltiplicatori inerziali.
- J2: moltiplicatore inerziale di J2. Il valore è adimensionale.
- J3: moltiplicatore inerziale di J3. Il valore è adimensionale.
- Jt: moltiplicatore inerziale di Jt. Il valore è adimensionale.
- A: moltiplicatore dell'area della sezione. Il valore è adimensionale.
- A2: moltiplicatore dell'area a taglio in direzione 2. Il valore è adimensionale.
- A3: moltiplicatore dell'area a taglio in direzione 3. Il valore è adimensionale.
- Conci rigidi: fattore di riduzione dei tronchi rigidi. Il valore è adimensionale.

Tipologia	J2	J3	Jt	A	A2	A3	Conci rigidi
Trave C.A.	1	1	0.01	1	1	1	0.5
Pilastro C.A.	1	1	0.01	1	1	1	0.5
Trave di fondazione	1	1	0.01	1	1	1	0.5
Palo	1	1	0.01	1	1	1	0
Trave in legno	1	1	1	1	1	1	1
Colonna in legno	1	1	1	1	1	1	1
Trave in acciaio	1	1	1	1	1	1	1
Colonna in acciaio	1	1	1	1	1	1	1
Trave di reticolare in acciaio	1	1	1	1	1	1	1
Maschio in muratura	0	1	0	1	1	1	1
Trave di accoppiamento in muratura	0	1	0	1	1	1	1
Trave di scala C.A. nervata	1	1	1	1	1	1	0.5
Trave tralicciata	1	1	0.01	1	1	1	0.5

4.3.1.6 Preferenze di analisi non lineare FEM

Metodo iterativo

Tolleranza iterazione

Numero massimo iterazioni

Secante

0.0001

50

4.3.1.7 Preferenze di analisi carichi superficiali

Detrazione peso proprio solai nelle zone di sovrapposizione

Metodo di ripartizione

Percentuale carico calcolato a trave continua

Esegui smoothing diagrammi di carico

Tolleranza smoothing altezza trapezi

Tolleranza smoothing altezza media trapezi

non applicata

a zone d'influenza

0

applicata

0.001

[daN/cm]

0.001

[daN/cm]

4.3.2 Azioni e carichi

4.3.2.1 Condizioni elementari di carico

Descrizione: nome assegnato alla condizione elementare.

Nome breve: nome breve assegnato alla condizione elementare.

I/II: descrive la classificazione della condizione (necessario per strutture in acciaio e in legno).

Durata: descrive la durata della condizione (necessario per strutture in legno).

Psi0: coefficiente moltiplicatore Psi0. Il valore è adimensionale.

Psi1: coefficiente moltiplicatore Psi1. Il valore è adimensionale.

Psi2: coefficiente moltiplicatore Psi2. Il valore è adimensionale.

Var.segno: descrive se la condizione elementare ha la possibilità di variare di segno.

Descrizione	Nome breve	I/II	Durata	Psi0	Psi1	Psi2	Var.segno
Pesi strutturali	Pesi		Permanente	0	0	0	
Permanenti portati	Port.	I	Permanente	0	0	0	
Variabile C - Musei	Variabile C - Musei	I	Media	0.7	0.7	0.6	
Neve	Neve	I	Media	0.5	0.2	0	
Delta T	Dt	II	Media	0.6	0.5	0	No
Sisma X SLV	X SLV			0	0	0	
Sisma Y SLV	Y SLV			0	0	0	
Sisma Z SLV	Z SLV			0	0	0	
Eccentricità Y per sisma X SLV	EY SLV			0	0	0	
Eccentricità X per sisma Y SLV	EX SLV			0	0	0	
Sisma X SLO	X SLO			0	0	0	
Sisma Y SLO	Y SLO			0	0	0	
Sisma Z SLO	Z SLO			0	0	0	
Eccentricità Y per sisma X SLO	EY SLO			0	0	0	
Eccentricità X per sisma Y SLO	EX SLO			0	0	0	
Terreno sisma X SLV	Tr x SLV			0	0	0	
Terreno sisma Y SLV	Tr y SLV			0	0	0	
Terreno sisma Z SLV	Tr z SLV			0	0	0	
Terreno sisma X SLO	Tr x SLO			0	0	0	
Terreno sisma Y SLO	Tr y SLO			0	0	0	
Terreno sisma Z SLO	Tr z SLO			0	0	0	
Rig. Ux	R Ux			0	0	0	
Rig. Uy	R Uy			0	0	0	
Rig. Rz	R Rz			0	0	0	

4.3.2.2 Combinazioni di carico

Tutte le combinazioni di carico vengono raggruppate per famiglia di appartenenza. Le celle di una riga contengono i coefficienti moltiplicatori della i-esima combinazione, dove il valore della prima cella è da intendersi come moltiplicatore associato alla prima condizione elementare, la seconda cella si riferisce alla seconda condizione elementare e così via.

Famiglia SLU

Il nome compatto della famiglia è SLU.

Nome	Nome breve	Pesi	Port.	Variabile C - Musei	Neve	Dt
1	SLU 1	1	0	0	0	0
2	SLU 2	1	0	0	1.5	0
3	SLU 3	1	0	1.05	1.5	0
4	SLU 4	1	0	1.5	0	0
5	SLU 5	1	0	1.5	0.75	0
6	SLU 6	1	1.5	0	0	0
7	SLU 7	1	1.5	0	1.5	0
8	SLU 8	1	1.5	1.05	1.5	0
9	SLU 9	1	1.5	1.5	0	0
10	SLU 10	1	1.5	1.5	0.75	0
11	SLU 11	1.3	0	0	0	0
12	SLU 12	1.3	0	0	1.5	0
13	SLU 13	1.3	0	1.05	1.5	0
14	SLU 14	1.3	0	1.5	0	0
15	SLU 15	1.3	0	1.5	0.75	0
16	SLU 16	1.3	1.5	0	0	0
17	SLU 17	1.3	1.5	0	1.5	0
18	SLU 18	1.3	1.5	1.05	1.5	0
19	SLU 19	1.3	1.5	1.5	0	0
20	SLU 20	1.3	1.5	1.5	0.75	0

Famiglia SLE rara

Il nome compatto della famiglia è SLE RA.

Nome	Nome breve	Pesi	Port.	Variabile C - Musei	Neve	Dt
1	SLE RA 1	1	1	0	0	0
2	SLE RA 2	1	1	0	1	0
3	SLE RA 3	1	1	0.7	1	0
4	SLE RA 4	1	1	1	0	0
5	SLE RA 5	1	1	1	0.5	0

Famiglia SLE frequente

Il nome compatto della famiglia è SLE FR.

Nome	Nome breve	Pesi	Port.	Variabile C - Musei	Neve	Dt
1	SLE FR 1	1	1	0	0	0
2	SLE FR 2	1	1	0	0.2	0
3	SLE FR 3	1	1	0.6	0.2	0
4	SLE FR 4	1	1	0.7	0	0

Famiglia SLE quasi permanente

Il nome compatto della famiglia è SLE QP.

Nome	Nome breve	Pesi	Port.	Variabile C - Musei	Neve	Dt
1	SLE QP 1	1	1	0	0	0
2	SLE QP 2	1	1	0.6	0	0

Famiglia SLO

Il nome compatto della famiglia è SLO.

Poiché il numero di condizioni elementari previste per le combinazioni di questa famiglia è cospicuo, la tabella verrà spezzata in più parti.

Nome	Nome breve	Pesi	Port.	Variabile C - Musei	Neve	Dt	X SLO	Y SLO
1	SLO 1	1	1	0.6	0	0	-1	-0.3
2	SLO 2	1	1	0.6	0	0	-1	-0.3
3	SLO 3	1	1	0.6	0	0	-1	-0.3

Nome	Nome breve	Pesi	Port.	Variabile C - Musei	Neve	Dt	X SLO	Y SLO
4	SLO 4	1	1	0.6	0	0	-1	0.3
5	SLO 5	1	1	0.6	0	0	-0.3	-1
6	SLO 6	1	1	0.6	0	0	-0.3	-1
7	SLO 7	1	1	0.6	0	0	-0.3	1
8	SLO 8	1	1	0.6	0	0	-0.3	1
9	SLO 9	1	1	0.6	0	0	0.3	-1
10	SLO 10	1	1	0.6	0	0	0.3	-1
11	SLO 11	1	1	0.6	0	0	0.3	1
12	SLO 12	1	1	0.6	0	0	0.3	1
13	SLO 13	1	1	0.6	0	0	1	-0.3
14	SLO 14	1	1	0.6	0	0	1	-0.3
15	SLO 15	1	1	0.6	0	0	1	0.3
16	SLO 16	1	1	0.6	0	0	1	0.3

Nome	Nome breve	Z SLO	EY SLO	EX SLO	Tr x SLO	Tr y SLO	Tr z SLO
1	SLO 1	0	-1	0.3	-1	-0.3	0
2	SLO 2	0	-1	-0.3	-1	-0.3	0
3	SLO 3	0	-1	0.3	-1	0.3	0
4	SLO 4	0	1	-0.3	-1	0.3	0
5	SLO 5	0	-0.3	1	-0.3	-1	0
6	SLO 6	0	0.3	-1	-0.3	-1	0
7	SLO 7	0	-0.3	1	-0.3	1	0
8	SLO 8	0	0.3	-1	-0.3	1	0
9	SLO 9	0	-0.3	1	0.3	-1	0
10	SLO 10	0	0.3	-1	0.3	-1	0
11	SLO 11	0	-0.3	1	0.3	1	0
12	SLO 12	0	0.3	-1	0.3	1	0
13	SLO 13	0	-1	0.3	1	-0.3	0
14	SLO 14	0	1	-0.3	1	-0.3	0
15	SLO 15	0	-1	0.3	1	0.3	0
16	SLO 16	0	1	-0.3	1	0.3	0

Famiglia SLV

Il nome compatto della famiglia è SLV.

Poiché il numero di condizioni elementari previste per le combinazioni di questa famiglia è cospicuo, la tabella verrà spezzata in più parti.

Nome	Nome breve	Pesi	Port.	Variabile C - Musei	Neve	Dt	X SLV	Y SLV
1	SLV 1	1	1	0.6	0	0	-1	-0.3
2	SLV 2	1	1	0.6	0	0	-1	-0.3
3	SLV 3	1	1	0.6	0	0	-1	0.3
4	SLV 4	1	1	0.6	0	0	-1	0.3
5	SLV 5	1	1	0.6	0	0	-0.3	-1
6	SLV 6	1	1	0.6	0	0	-0.3	-1
7	SLV 7	1	1	0.6	0	0	-0.3	1
8	SLV 8	1	1	0.6	0	0	-0.3	1
9	SLV 9	1	1	0.6	0	0	0.3	-1
10	SLV 10	1	1	0.6	0	0	0.3	-1
11	SLV 11	1	1	0.6	0	0	0.3	1
12	SLV 12	1	1	0.6	0	0	0.3	1
13	SLV 13	1	1	0.6	0	0	1	-0.3
14	SLV 14	1	1	0.6	0	0	1	-0.3
15	SLV 15	1	1	0.6	0	0	1	0.3
16	SLV 16	1	1	0.6	0	0	1	0.3

Nome	Nome breve	Z SLV	EY SLV	EX SLV	Tr x SLV	Tr y SLV	Tr z SLV
1	SLV 1	0	-1	0.3	-1	-0.3	0
2	SLV 2	0	1	-0.3	-1	-0.3	0
3	SLV 3	0	-1	0.3	-1	0.3	0
4	SLV 4	0	1	-0.3	-1	0.3	0
5	SLV 5	0	-0.3	1	-0.3	-1	0
6	SLV 6	0	0.3	-1	-0.3	-1	0
7	SLV 7	0	-0.3	1	-0.3	1	0
8	SLV 8	0	0.3	-1	-0.3	1	0
9	SLV 9	0	-0.3	1	0.3	-1	0
10	SLV 10	0	0.3	-1	0.3	-1	0
11	SLV 11	0	-0.3	1	0.3	1	0
12	SLV 12	0	0.3	-1	0.3	1	0
13	SLV 13	0	-1	0.3	1	-0.3	0
14	SLV 14	0	1	-0.3	1	-0.3	0
15	SLV 15	0	-1	0.3	1	0.3	0
16	SLV 16	0	1	-0.3	1	0.3	0

Famiglia SLV fondazioni

Il nome compatto della famiglia è SLV FO.

Poiché il numero di condizioni elementari previste per le combinazioni di questa famiglia è cospicuo, la tabella verrà spezzata in più parti.

Nome	Nome breve	Pesi	Port.	Variabile C - Musei	Neve	Dt	X SLV	Y SLV
1	SLV FO 1	1	1	0.6	0	0	-1.1	-0.33
2	SLV FO 2	1	1	0.6	0	0	-1.1	-0.33
3	SLV FO 3	1	1	0.6	0	0	-1.1	0.33
4	SLV FO 4	1	1	0.6	0	0	-1.1	0.33
5	SLV FO 5	1	1	0.6	0	0	-0.33	-1.1
6	SLV FO 6	1	1	0.6	0	0	-0.33	-1.1
7	SLV FO 7	1	1	0.6	0	0	-0.33	1.1
8	SLV FO 8	1	1	0.6	0	0	-0.33	1.1
9	SLV FO 9	1	1	0.6	0	0	0.33	-1.1
10	SLV FO 10	1	1	0.6	0	0	0.33	-1.1
11	SLV FO 11	1	1	0.6	0	0	0.33	1.1
12	SLV FO 12	1	1	0.6	0	0	0.33	1.1
13	SLV FO 13	1	1	0.6	0	0	1.1	-0.33
14	SLV FO 14	1	1	0.6	0	0	1.1	-0.33
15	SLV FO 15	1	1	0.6	0	0	1.1	0.33
16	SLV FO 16	1	1	0.6	0	0	1.1	0.33

Nome	Nome breve	Z SLV	EY SLV	EX SLV	Tr x SLV	Tr y SLV	Tr z SLV
1	SLV FO 1	0	-1.1	0.33	-1.1	-0.33	0
2	SLV FO 2	0	1.1	-0.33	-1.1	-0.33	0
3	SLV FO 3	0	-1.1	0.33	-1.1	0.33	0
4	SLV FO 4	0	1.1	-0.33	-1.1	0.33	0
5	SLV FO 5	0	-0.33	1.1	-0.33	-1.1	0
6	SLV FO 6	0	0.33	-1.1	-0.33	-1.1	0
7	SLV FO 7	0	-0.33	1.1	-0.33	1.1	0
8	SLV FO 8	0	0.33	-1.1	-0.33	1.1	0
9	SLV FO 9	0	-0.33	1.1	0.33	-1.1	0
10	SLV FO 10	0	0.33	-1.1	0.33	-1.1	0
11	SLV FO 11	0	-0.33	1.1	0.33	1.1	0
12	SLV FO 12	0	0.33	-1.1	0.33	1.1	0
13	SLV FO 13	0	-1.1	0.33	1.1	-0.33	0
14	SLV FO 14	0	1.1	-0.33	1.1	-0.33	0
15	SLV FO 15	0	-1.1	0.33	1.1	0.33	0
16	SLV FO 16	0	1.1	-0.33	1.1	0.33	0

Famiglia Calcolo rigidità torsionale/flessionale di piano

Il nome compatto della famiglia è CRTFP.

Nome	Nome breve	R Ux	R Uy	R Rz
Rig. Ux+	CRTFP Ux+	1	0	0
Rig. Ux-	CRTFP Ux-	-1	0	0
Rig. Uy+	CRTFP Uy+	0	1	0
Rig. Uy-	CRTFP Uy-	0	-1	0
Rig. Rz+	CRTFP Rz+	0	0	1
Rig. Rz-	CRTFP Rz-	0	0	-1

4.3.2.3 Definizioni di carichi concentrati

Nome: nome identificativo della definizione di carico.

Valori: valori associati alle condizioni di carico.

Condizione: condizione di carico a cui sono associati i valori.

Descrizione: nome assegnato alla condizione elementare.

Fx: componente X del carico concentrato. [daN]

Fy: componente Y del carico concentrato. [daN]

Fz: componente Z del carico concentrato. [daN]

Mx: componente di momento della coppia concentrata attorno all'asse X. [daN*cm]

My: componente di momento della coppia concentrata attorno all'asse Y. [daN*cm]

Mz: componente di momento della coppia concentrata attorno all'asse Z. [daN*cm]

Nome	Valori						
	Condizione	Fx	Fy	Fz	Mx	My	Mz
	Descrizione						
Frangisole frontale	Pesi strutturali	0	0	0	0	0	0
	Permanenti portati	0	0	-7500	0	0	0
	Variabile C - Musei	0	0	0	0	0	0
	Neve	0	0	0	0	0	0
Angolo trave 40x78	Pesi strutturali	0	0	0	0	0	0
	Permanenti portati	0	0	-2000	0	0	0
	Variabile C - Musei	0	0	0	0	0	0
	Neve	0	0	0	0	0	0

4.3.2.4 Definizioni di carichi lineari

Nome: nome identificativo della definizione di carico.

Valori: valori associati alle condizioni di carico.

Condizione: condizione di carico a cui sono associati i valori.

Descrizione: nome assegnato alla condizione elementare.

Fx i.: valore iniziale della forza, per unità di lunghezza, agente in direzione X. [daN/cm]

Fx f.: valore finale della forza, per unità di lunghezza, agente in direzione X. [daN/cm]

Fy i.: valore iniziale della forza, per unità di lunghezza, agente in direzione Y. [daN/cm]

Fy f.: valore finale della forza, per unità di lunghezza, agente in direzione Y. [daN/cm]

Fz i.: valore iniziale della forza, per unità di lunghezza, agente in direzione Z. [daN/cm]

Fz f.: valore finale della forza, per unità di lunghezza, agente in direzione Z. [daN/cm]

Mx i.: valore iniziale della coppia, per unità di lunghezza, agente attorno l'asse X. [daN]

Mx f.: valore finale della coppia, per unità di lunghezza, agente attorno l'asse X. [daN]

My i.: valore iniziale della coppia, per unità di lunghezza, agente attorno l'asse Y. [daN]

My f.: valore finale della coppia, per unità di lunghezza, agente attorno l'asse Y. [daN]

Mz i.: valore iniziale della coppia, per unità di lunghezza, agente attorno l'asse Z. [daN]

Mz f.: valore finale della coppia, per unità di lunghezza, agente attorno l'asse Z. [daN]

Nome	Valori												
	Condizione	Fx i.	Fx f.	Fy i.	Fy f.	Fz i.	Fz f.	Mx i.	Mx f.	My i.	My f.	Mz i.	Mz f.
	Descrizione												
Peso facciata PT	Pesi strutturali	0	0	0	0	0	0	0	0	0	0	0	0
	Permanenti portati	0	0	0	0	-10	-10	0	0	0	0	0	0
	Variabile C - Musei	0	0	0	0	0	0	0	0	0	0	0	0
	Neve	0	0	0	0	0	0	0	0	0	0	0	0
Peso scale interne in acciaio PT	Pesi strutturali	0	0	0	0	0	0	0	0	0	0	0	0
	Permanenti portati	0	0	0	0	-6	-6	0	0	0	0	0	0
	Variabile C - Musei	0	0	0	0	-6	-6	0	0	0	0	0	0
	Neve	0	0	0	0	0	0	0	0	0	0	0	0
Cornicione ca sup facciata	Pesi strutturali	0	0	0	0	0	0	0	0	0	0	0	0
	Permanenti portati	0	0	0	0	-7	-7	-1200	-1200	0	0	0	0
	Variabile C - Musei	0	0	0	0	0	0	0	0	0	0	0	0
	Neve	0	0	0	0	-0.6	-0.6	-100	-100	0	0	0	0
Trave bordo mensola copertura 1	Pesi strutturali	0	0	0	0	-5	-5	300	300	0	0	0	0
	Permanenti portati	0	0	0	0	-8	-8	500	500	0	0	0	0
	Variabile C - Musei	0	0	0	0	0	0	0	0	0	0	0	0
	Neve	0	0	0	0	-1	-1	60	60	0	0	0	0
Peso scale interne in acciaio Psup	Pesi strutturali	0	0	0	0	0	0	0	0	0	0	0	0
	Permanenti portati	0	0	0	0	-14	-14	0	0	0	0	0	0
	Variabile C - Musei	0	0	0	0	-14	-14	0	0	0	0	0	0
	Neve	0	0	0	0	0	0	0	0	0	0	0	0

4.3.2.5 Definizioni di carichi superficiali

Nome: nome identificativo della definizione di carico.

Valori: valori associati alle condizioni di carico.

Condizione: condizione di carico a cui sono associati i valori.

Descrizione: nome assegnato alla condizione elementare.

Valore: modulo del carico superficiale applicato alla superficie. [daN/cm²]

Applicazione: modalità con cui il carico è applicato alla superficie.

Nome	Valori		
	Condizione	Valore	Applicazione
	Descrizione		
Piano Terra	Pesi strutturali	0	Verticale
	Permanenti portati	0.04	Verticale
	Variabile C - Musei	0.05	Verticale
	Neve	0	Verticale
Piani superiori	Pesi strutturali	0.044	Verticale
	Permanenti portati	0.02	Verticale
	Variabile C - Musei	0.05	Verticale
	Neve	0	Verticale
Copertura 2	Pesi strutturali	0.044	Verticale
	Permanenti portati	0.02	Verticale
	Variabile C - Musei	0	Verticale
	Neve	0.008	Verticale in proiezione
Copertura 1	Pesi strutturali	0.022	Verticale
	Permanenti portati	0.01	Verticale
	Variabile C - Musei	0	Verticale
	Neve	0.004	Verticale in proiezione
Piano Interrato	Pesi strutturali	0	Verticale
	Permanenti portati	0.04	Verticale
	Variabile C - Musei	0.03	Verticale
	Neve	0	Verticale in proiezione

4.3.3 Quote

4.3.3.1 Livelli

Descrizione breve: nome sintetico assegnato al livello.

Descrizione: nome assegnato al livello.

Quota: quota superiore espressa nel sistema di riferimento assoluto. [cm]

Spessore: spessore del livello. [cm]

Descrizione breve	Descrizione	Quota	Spessore
L1	Fondazione	-302	60
L2	Piano Terra	0	30
L3	Piano 1	555	30
L4	Piano 2	1038	30
L5	Piano 3	1354	30
L6	Copertura 1	1706	30
L7	Copertura 2	1754	30

4.3.3.2 Tronchi

Descrizione breve: nome sintetico assegnato al tronco.

Descrizione: nome assegnato al tronco.

Quota 1: riferimento della prima quota di definizione del tronco, esprimibile come livello, falda, piano orizzontale alla Z specificata. [cm]

Quota 2: riferimento della seconda quota di definizione del tronco, esprimibile come livello, falda, piano orizzontale alla Z specificata. [cm]

Descrizione breve	Descrizione	Quota 1	Quota 2
T1	Fondazione - Piano Terra	Fondazione	Piano Terra
T2	Piano Terra - Piano 1	Piano Terra	Piano 1
T3	Piano 1 - Piano 2	Piano 1	Piano 2
T4	Piano 2 - Piano 3	Piano 2	Piano 3
T5	Piano 3 - Copertura 1	Piano 3	Copertura 1
T6	Piano 3 - Copertura 2	Piano 3	Copertura 2
T7	Copertura 1 - Copertura 2	Copertura 1	Copertura 2

4.3.4 Elementi di input

4.3.4.1 Fili fissi

4.3.4.1.1 Fili fissi di piano

Livello: quota di inserimento espressa con notazione breve esprimibile come livello, falda, piano orizzontale alla Z specificata. [cm]

Punto: punto di inserimento.

X: coordinata X. [cm]

Y: coordinata Y. [cm]

Estradosso: distanza dalla quota di inserimento misurata in direzione ortogonale al piano della quota e con verso positivo verso l'alto. [cm]

Angolo: angolo misurato dal semiasse positivo delle ascisse in verso antiorario. [deg]

Tipo: tipo di simbolo.

T.c.: testo completo visualizzato accanto al filo fisso, costituito dalla concatenazione del prefisso e del testo.

Livello	Punto		Estradosso	Angolo	Tipo	T.c.	Livello	Punto		Estradosso	Angolo	Tipo	T.c.
	X	Y						X	Y				
L1	1390	-476.9	0	0	Croce	56	L1	1620	-476.9	0	0	Croce	65
L1	20	-301.8	0	0	Croce	13	L1	1390	-671.9	0	0	Croce	55
L1	-250	-479.3	0	0	Croce	1	L1	1201.9	-951.4	0	0	Croce	45
L1	1620	-671.9	0	0	Croce	64	L1	-250	-289.3	0	0	Croce	2
L1	1390	-235	0	0	Croce	59	L1	244.8	-202.1	0	0	Croce	27
L1	238.8	-914.9	0	0	Croce	21	L1	20	-235	0	0	Croce	16
L1	564.5	-217.1	0	0	Croce	32	L1	20	-479.3	0	0	Croce	11
L1	894.9	-62.8	0	0	Croce	40	L1	894.9	-202.1	0	0	Croce	39
L1	1201.9	-476.9	0	0	Croce	48	L1	1663	-755	0	0	Croce	67
L1	1663	-1066	0	0	Croce	66	L1	244.8	-262.2	0	0	Croce	26
L1	1663	-462	0	0	Croce	68	L1	-185	-914.9	0	0	Croce	7
L1	-185	-637.3	0	0	Croce	8	L1	1201.9	-755	0	0	Croce	46
L1	1390	-755	0	0	Croce	54	L1	-240	-479.3	0	0	Croce	4
L1	-240	-289.3	0	0	Croce	5	L1	1201.9	-671.9	0	0	Croce	47
L1	244.8	-479.3	0	0	Croce	23	L1	-240	-656.2	0	0	Croce	3
L1	-240	-262.2	0	0	Croce	6	L1	20	-289.3	0	0	Croce	14
L1	244.8	-289.3	0	0	Croce	25	L1	1395	-1163.9	0	0	Croce	63
L1	821.9	-436.1	0	0	Croce	36	L1	1011.9	-217.1	0	0	Croce	43
L1	765	-217.1	0	0	Croce	35	L1	821.9	-217.1	0	0	Croce	37
L1	1011.9	-421.1	0	0	Croce	42	L1	1201.9	-217.1	0	0	Croce	50
L1	957.9	-421.1	0	0	Croce	41	L1	1065.9	-421.1	0	0	Croce	44
L1	1390	-418.6	0	0	Croce	57	L1	1390	-991.9	0	0	Croce	53
L1	20	-20	0	0	Croce	19	L1	20	-265	0	0	Croce	15
L1	393.8	-777.3	0	0	Croce	29	L1	564.5	-20	0	0	Croce	33
L1	564.5	-814.1	0	0	Croce	31	L1	511.1	-802.6	0	0	Croce	30
L1	1201.9	-436.1	0	0	Croce	49	L1	244.8	-745.2	0	0	Croce	22
L1	20	-62.8	0	0	Croce	17	L1	244.8	-62.8	0	0	Croce	28
L1	244.8	-312.8	0	0	Croce	24	L1	20	-696.8	0	0	Croce	10
L1	15	-914.9	0	0	Croce	9	L1	1216.9	-62.8	0	0	Croce	51
L1	1390	-62.8	0	0	Croce	60	L1	20	-42	0	0	Croce	18
L1	1390	-42	0	0	Croce	61	L1	1390	-20	0	0	Croce	62
L1	1390	-302.2	0	0	Croce	58	L1	893.2	-884.9	0	0	Croce	38
L1	754.3	-421.1	0	0	Croce	34	L1	169.8	-729.1	0	0	Croce	20
L1	1289.2	-970.2	0	0	Croce	52							

4.3.4.2 Travi C.A.

4.3.4.2.1 Travi C.A. di piano

Sezione: riferimento ad una definizione di sezione C.A..

P.i.: posizione dei punti d'inserimento rispetto alla geometria della sezione. SA=Sinistra anima, CA=Centro anima, DA=Destra anima

Liv.: quota del punto di inserimento iniziale. esprimibile come livello, falda, piano orizzontale alla Z specificata. [cm]

Punto i.: punto di inserimento iniziale.

X: coordinata X. [cm]

Y: coordinata Y. [cm]

Punto f.: punto di inserimento finale.

X: coordinata X. [cm]

Y: coordinata Y. [cm]

Estr.: distanza dalla quota di inserimento misurata in direzione ortogonale al piano della quota e con verso positivo verso l'alto. [cm]

Mat.: riferimento ad una definizione di materiale calcestruzzo.

Car.lin.: riferimento alla definizione di un carico lineare. L: valori del carico espressi nel sistema locale dell'elemento. G: valori del carico espressi nel sistema globale.

DeltaT: riferimento alla definizione di una variazione termica. Accetta anche il valore "Nessuno".

Sovr.: aliquota di sovrarresistenza da assicurare in verifica.

S.Z.: indica se l'elemento deve essere verificato considerando il sisma verticale.

C.i.: svincolo o cerniera da applicare al relativo estremo dell'asta nel modello.

C.f.: svincolo o cerniera da applicare al relativo estremo dell'asta nel modello.

P.lin.: peso per unità di lunghezza. [da/Ncm]

Sezione	P.i.	Liv.	Punto i.		Punto f.		Estr.	Mat.	Car.lin.	DeltaT	Sovr.	S.Z.	C.i.	C.f.	P.lin.
			X	Y	X	Y									
R 50x30	CA	L3	1390	-501.9	1620	-501.9	0	C25/30	Nessuno; G		0	No	No	No	3.75
R 50x30	CA	L3	1201.9	-646.9	1390	-646.9	0	C25/30	Nessuno; G		0	No	No	No	3.75
R 50x30	CA	L3	1201.9	-951.4	1201.9	-436.1	0	C25/30	Nessuno; G		0	No	No	No	3.75
R 50x30	CA	L3	1201.9	-501.9	1390	-501.9	0	C25/30	Nessuno; G		0	No	No	No	3.75
R 50x30	CA	L3	1390	-646.9	1620	-646.9	0	C25/30	Nessuno; G		0	No	No	No	3.75
R 50x30	CA	L3	-250	-479.3	20	-479.3	0	C25/30	Nessuno; G		0	No	No	No	3.75
R 50x30	CA	L3	20	-479.3	244.8	-479.3	0	C25/30	Nessuno; G		0	No	No	No	3.75
R 50x30	CA	L3	-250	-289.3	20	-289.3	0	C25/30	Nessuno; G		0	No	No	No	3.75
R 50x30	CA	L3	20	-289.3	244.8	-289.3	0	C25/30	Nessuno; G		0	No	No	No	3.75
R 40x60	CA	L3	754.3	-421.1	1390	-421.1	0	C25/30	Nessuno; G		0	No	No	No	6
R 40x60	CA	L3	20	-265	754.3	-421.1	0	C25/30	Nessuno; G		0	No	No	No	6
R 30x60	CA	L3	20	-696.8	1390	-991.9	0	C25/30	Nessuno; G		0	No	No	No	4.5
R 80x30	CA	L3	244.8	-312.8	244.8	-62.8	0	C25/30	Nessuno; G		0	No	No	No	6
R 80x30	CA	L3	244.8	-745.2	244.8	-312.8	0	C25/30	Nessuno; G		0	No	No	No	6
R 50x30	CA	L4	-250	-479.3	20	-479.3	0	C25/30	Nessuno; G		0	No	No	No	3.75
R 50x30	CA	L4	1201.9	-951.4	1201.9	-436.1	0	C25/30	Nessuno; G		0	No	No	No	3.75
R 50x30	CA	L4	1201.9	-501.9	1390	-501.9	0	C25/30	Nessuno; G		0	No	No	No	3.75
R 50x30	CA	L4	-250	-289.3	20	-289.3	0	C25/30	Nessuno; G		0	No	No	No	3.75
R 50x30	CA	L4	20	-289.3	244.8	-289.3	0	C25/30	Nessuno; G		0	No	No	No	3.75
R 50x30	CA	L4	20	-479.3	244.8	-479.3	0	C25/30	Nessuno; G		0	No	No	No	3.75
R 50x30	CA	L4	1390	-501.9	1620	-501.9	0	C25/30	Nessuno; G		0	No	No	No	3.75
R 50x30	CA	L4	1201.9	-646.9	1390	-646.9	0	C25/30	Nessuno; G		0	No	No	No	3.75
R 50x30	CA	L4	1390	-646.9	1620	-646.9	0	C25/30	Nessuno; G		0	No	No	No	3.75
R 30x60	CA	L4	20	-696.8	1390	-991.9	0	C25/30	Nessuno; G		0	No	No	No	4.5
R 80x30	CA	L4	244.8	-745.2	244.8	-312.8	0	C25/30	Nessuno; G		0	No	No	No	6
R 80x30	CA	L4	244.8	-312.8	244.8	-62.8	0	C25/30	Nessuno; G		0	No	No	No	6
R 40x60	CA	L4	20	-265	754.3	-421.1	0	C25/30	Nessuno; G		0	No	No	No	6
R 40x60	CA	L4	754.3	-421.1	1390	-421.1	0	C25/30	Nessuno; G		0	No	No	No	6
R 50x30	CA	L5	1201.9	-487	1390	-487	0	C25/30	Nessuno; G		0	No	No	No	3.75
R 50x30	CA	L5	1390	-487	1663	-487	0	C25/30	Nessuno; G		0	No	No	No	3.75
R 50x30	CA	L5	20	-479.3	244.8	-479.3	0	C25/30	Nessuno; G		0	No	No	No	3.75
R 50x30	CA	L5	-234.7	-631.7	22.1	-687	0	C25/30	Nessuno; G		0	No	No	No	3.75
R 50x30	CA	L5	-240	-479.3	20	-479.3	0	C25/30	Nessuno; G		0	No	No	No	3.75
R 50x30	CA	L5	1201.9	-951.4	1201.9	-755	0	C25/30	Nessuno; G		0	No	No	No	3.75
R 50x30	CA	L5	1201.9	-755	1201.9	-436.1	0	C25/30	Nessuno; G		0	No	No	No	3.75
R 50x30	CA	L5	-240	-262.2	20	-262.2	0	C25/30	Nessuno; G		0	No	No	No	3.75
R 50x30	CA	L5	1201.9	-755	1390	-755	0	C25/30	Nessuno; G		0	No	No	No	3.75
R 50x30	CA	L5	1390	-755	1663	-755	0	C25/30	Nessuno; G		0	No	No	No	3.75
R 50x30	CA	L5	1392.1	-982.1	1668.3	-1041.6	0	C25/30	Nessuno; G		0	No	No	No	3.75
R 80x30	CA	L5	244.8	-745.2	244.8	-312.8	0	C25/30	Nessuno; G		0	No	No	No	6
R 80x30	CA	L5	244.8	-312.8	244.8	-62.8	0	C25/30	Nessuno; G		0	No	No	No	6

Ingresso-Principale

Sezione	P.I.	Liv.	Punto i.		Punto f.		Estr.	Mat.	Car.lin.	DeltaT	Sovr.	S.Z	C.i.	C.f.	P.lin.
			X	Y	X	Y									
R 30x60	CA	L5	20	-696.8	1390	-991.9	0	C25/30	Nessuno; G		0	No	No	No	4.5
R 50*30	CA	L5	20	-262.2	244.8	-262.2	0	C25/30	Nessuno; G		0	No	No	No	3.75
R 40x60	CA	L5	20	-265	754.3	-421.1	0	C25/30	Nessuno; G		0	No	No	No	6
R 40x60	CA	L5	754.3	-421.1	1390	-421.1	0	C25/30	Nessuno; G		0	No	No	No	6
R 40x78	CA	L6	-189.2	-656.9	18.9	-701.7	33	C25/30	Nessuno; G		0	No	No	No	7.8
R 50*30	CA	L6	20	-696.8	20	-914.9	0	C25/30	Nessuno; G		0	No	No	No	3.75
R 100x30	CA	L6	15	-695.7	1396.6	-993.3	0	C25/30	Nessuno; G		0	No	No	No	7.5
R 40x78	CA	L6	1390	-991.9	1390	-1163.9	33	C25/30	Nessuno; G		0	No	No	No	7.8
R 100x30	CA	L7	20	-235	1390	-235	0	C25/30	Nessuno; G		0	No	No	No	7.5
R 40x108	CA	L7	754.3	-421.1	1390	-421.1	0	C25/30	Nessuno; G		0	No	No	No	10.8
R 40x108	CA	L7	20	-265	754.3	-421.1	0	C25/30	Nessuno; G		0	No	No	No	10.8

4.3.4.3 Pilastr C.A.
Tr.: riferimento al tronco indicante la quota inferiore e superiore.
Sezione: riferimento ad una definizione di sezione C.A..
P.I.: posizione del punto di inserimento rispetto alla geometria della sezione. SS=Sinistra-sotto, SC=Sinistra-centro, SA=Sinistra-alto, CS=Centro-sotto, CC=Centro-centro, CA=Centro-alto, DS=Destra-sotto, DC=Destra-centro, DA=Destra-alto
Punto: posizione del punto di inserimento rispetto alla geometria della sezione.
X: coordinata X. [cm]
Y: coordinata Y. [cm]
Ang.: angolo misurato dal semiasse positivo delle ascisse in verso antiorario. [deg]
Mat.: riferimento ad una definizione di calcestruzzo.
Car.lin.: riferimento alla definizione di un carico lineare.L: valori del carico espressi nel sistema locale dell'elemento.G: valori del carico espressi nel sistema globale.
DeltaT: riferimento alla definizione di una variazione termica. Accetta anche il valore "Nessuno".
Sovr.: aliquota di sovreresistenza da assicurare in verifica.
S.Z. indica se l'elemento deve essere verificato considerando il sisma verticale.
C.i.: svincolo o cerniera da applicare al relativo estremo dell'asta nel modello.
C.f.: svincolo o cerniera da applicare al relativo estremo dell'asta nel modello.
P.lin.: peso per unità di lunghezza. [daN/cm]
Corr.: lista di elementi correlati all'elemento generati durante la modellazione.

Tr.	Sezione	P.I.	Punto		Ang.	Mat.	Car.lin.	DeltaT	Sovr.	S.Z	C.i.	C.f.	P.lin.	Corr.
			X	Y										
T2	R 100x30	CC	570.6	-815.4	167.8	C25/30	Nessuno; G		0	No	No	No	7.5	1
T2	R 100x30	CC	893.2	-884.9	167.8	C25/30	Nessuno; G		0	No	No	No	7.5	2
T3	R 100x30	CC	570.6	-815.4	167.8	C25/30	Nessuno; G		0	No	No	No	7.5	52
T3	R 100x30	CC	893.2	-884.9	167.8	C25/30	Nessuno; G		0	No	No	No	7.5	51
T4	R 100x30	CC	570.6	-815.4	167.8	C25/30	Nessuno; G		0	No	No	No	7.5	54
T4	R 100x30	CC	893.2	-884.9	167.8	C25/30	Nessuno; G		0	No	No	No	7.5	53
T5	R 100x30	CC	893.2	-884.9	167.8	C25/30	Nessuno; G		0	No	No	No	7.5	79
T5	R 100x30	CC	570.6	-815.4	167.8	C25/30	Nessuno; G		0	No	No	No	7.5	80

4.3.4.4 Piastre C.A.
4.3.4.4.1 Piastre C.A. di piano
Livello: quota di inserimento espressa con notazione breve esprimibile come livello, falda, piano orizzontale alla Z specificata. [cm]
Sp.: spessore misurato in direzione ortogonale al piano medio dell'elemento. [cm]
Punti: punti di definizione in pianta.
L: indice del punto corrente nell'insieme dei punti di definizione dell'elemento.
X: coordinata X. [cm]
Y: coordinata Y. [cm]
Estr.: distanza dalla quota di inserimento misurata in direzione ortogonale al piano della quota e con verso positivo verso l'alto. [cm]
Mat.: riferimento ad una definizione di calcestruzzo.
Car.sup.: riferimento alla definizione di un carico superficiale. Accetta anche il valore "Nessuno".
Car.pot.: riferimento alla definizione di un carico potenziale. Accetta anche il valore "Nessuno".
DeltaT: riferimento alla definizione di una variazione termica. Accetta anche il valore "Nessuno".
Sovr.: aliquota di sovreresistenza da assicurare in verifica.
S.Z. indica se l'elemento deve essere verificato considerando il sisma verticale.
P.sup.: peso per unità di superficie. [daN/cm²]
Fond.: riferimento alla fondazione sottostante l'elemento.
Fori: riferimenti a tutti gli elementi che forano la piastra.

Livello	Sp.	Punti			Estr.	Mat.	Car.sup.	Car.pot.	DeltaT	Sovr.	S.Z	P.sup.	Fond.	Fori
		I.	X	Y										
L1	60	1	1410	-1011.6	0	C25/30	Piano Interrato			0	No	0.15		
		2	1410	0										
		3	0	0										
		4	0	-707.8										
L2	30	1	1390	-991.9	0	C25/30	Piano Terra			0	No	0.075		H1, H2, H3
		2	1390	-20										
		3	20	-20										
		4	20	-696.8										
L3	25	1	1216.9	-418.6	0	C25/30	Piani superiori			0	No	0.0625		
		2	1390	-418.6										
		3	1390	-62.8										
		4	1216.9	-62.8										
L4	25	1	1216.9	-418.6	0	C25/30	Piani superiori			0	No	0.0625		
		2	1390	-418.6										
		3	1390	-62.8										
		4	1216.9	-62.8										
L5	25	1	1390	-421.1	0	C25/30	Piani superiori			0	No	0.0625		
		2	1390	-62.8										
		3	1216.9	-62.8										
		4	1216.9	-421.1										

4.3.4.5 Fondazioni di piastre
Descrizione breve: descrizione breve usata nelle tabelle dei capitoli delle piastre di fondazione.
Stratigrafia: stratigrafia del terreno nel punto medio in pianta dell'elemento.
Sondaggio: è possibile indicare esplicitamente un sondaggio definito nelle preferenze oppure richiedere di estrapolare il sondaggio dalla definizione del sito espressa nelle preferenze.
Estradosso: distanza dalla quota superiore del sondaggio misurata in verticale con verso positivo verso l'alto. [cm]
Deformazione volumetrica: valore della deformazione volumetrica impiegato nel calcolo della pressione limite a rottura con la formula di Vesic. Il valore è adimensionale. Accetta anche il valore di default espresso nelle preferenze.
K verticale: coefficiente di sottofondo verticale del letto di molle. [daN/cm²]
Limite compressione: pressione limite di plasticizzazione a compressione del letto di molle. [daN/cm²]
Limite trazione: pressione limite di plasticizzazione a trazione del letto di molle. [daN/cm²]

Descrizione breve	Stratigrafia			K verticale	Limite compressione	Limite trazione
	Sondaggio	Estradosso	Deformazione volumetrica			
FS1	Piu' vicino in sito	0		Default (2)	Default (10)	Default (0.001)

4.3.4.6 Pareti C.A.
Tr.: riferimento al tronco indicante la quota inferiore e superiore.
Sp.: spessore misurato in direzione ortogonale al piano medio dell'elemento. [cm]
P.I.: posizione del punto di inserimento rispetto ad una sezione verticale, vista dal punto iniziale verso il punto finale.
Punto I.: punto iniziale in pianta.
X: coordinata X. [cm]
Y: coordinata Y. [cm]
Punto f.: punto finale in pianta.
X: coordinata X. [cm]
Y: coordinata Y. [cm]
Mat.: riferimento ad una definizione di calcestruzzo.
Car.pot.: riferimento alla definizione di un carico potenziale. Accetta anche il valore "Nessuno".
DeltaT: riferimento alla definizione di una variazione termica. Accetta anche il valore "Nessuno".
Sovr.: aliquota di sovreresistenza da assicurare in verifica.
S.Z. indica se l'elemento deve essere verificato considerando il sisma verticale.
Aperture: Riferimenti a tutti gli elementi che forano la parete.

Tr.	Sp.	P.I.	Punto i.		Punto f.		Mat.	Car.pot.	DeltaT	Sovr.	S.Z	Aperture
			X	Y	X	Y						
T1	30	Centro	957.9	-421.1	1065.9	-421.1	C25/30			0	No	
T1	30	Centro	821.9	-217.1	1011.9	-217.1	C25/30			0	No	

Tr.	Sp.	P.I.	Punto i.		Punto f.		Mat.	Car.pot.	DeltaT	Sovr.	S.Z	Aperture
			X	Y	X	Y						
T1	30	Centro	1011.9	-217.1	1201.9	-217.1	C25/30			0	No	
T1	30	Centro	1201.9	-217.1	1201.9	-436.1	C25/30			0	No	
T1	30	Centro	821.9	-217.1	821.9	-436.1	C25/30			0	No	
T1	40	Centro	20	-20	1390	-20	C25/30			0	No	W1
T1	30	Centro	564.5	-217.1	821.9	-217.1	C25/30			0	No	W3
T1	30	Centro	1011.9	-217.1	1011.9	-421.1	C25/30			0	No	
T1	30	Centro	564.5	-20	564.5	-814.1	C25/30			0	No	
T1	40	Centro	20	-20	20	-696.8	C25/30			0	No	
T1	30	Centro	20	-696.8	393.8	-777.3	C25/30			0	No	
T1	30	Centro	511.1	-802.6	564.5	-814.1	C25/30			0	No	
T1	30	Centro	564.5	-814.1	1390	-991.9	C25/30			0	No	
T1	40	Centro	1390	-20	1390	-991.9	C25/30			0	No	W2
T2	30	Centro	957.9	-421.1	1065.9	-421.1	C25/30			0	No	
T2	30	Centro	1201.9	-202.4	1201.9	-436.1	C25/30			0	No	
T2	30	Centro	821.9	-202.1	821.9	-436.1	C25/30			0	No	
T2	30	Centro	1011.9	-202.1	1011.9	-421.1	C25/30			0	No	
T2	30	Centro	20	-696.8	169.8	-729.1	C25/30			0	No	
T2	40	Centro	1390	-42	1390	-991.9	C25/30			0	No	W5, W6
T2	30	Centro	1289.2	-970.2	1390	-991.9	C25/30			0	No	
T2	40	Centro	20	-42	20	-696.8	C25/30			0	No	W4
T3	30	Centro	1011.9	-202.1	1011.9	-421.1	C25/30			0	No	
T3	30	Centro	1201.9	-202.4	1201.9	-436.1	C25/30			0	No	
T3	30	Centro	821.9	-202.1	821.9	-436.1	C25/30			0	No	
T3	30	Centro	957.9	-421.1	1065.9	-421.1	C25/30			0	No	
T3	30	Centro	20	-696.8	169.8	-729.1	C25/30			0	No	
T3	40	Centro	1390	-42	1390	-991.9	C25/30			0	No	W8
T3	30	Centro	1289.2	-970.2	1390	-991.9	C25/30			0	No	
T3	40	Centro	20	-42	20	-696.8	C25/30			0	No	W7
T4	30	Centro	1011.9	-202.1	1011.9	-421.1	C25/30			0	No	
T4	30	Centro	1201.9	-202.4	1201.9	-436.1	C25/30			0	No	
T4	30	Centro	821.9	-202.1	821.9	-436.1	C25/30			0	No	
T4	30	Centro	957.9	-421.1	1065.9	-421.1	C25/30			0	No	
T4	30	Centro	20	-696.8	169.8	-729.1	C25/30			0	No	
T4	40	Centro	1390	-42	1390	-991.9	C25/30			0	No	W10
T4	30	Centro	1289.2	-970.2	1390	-991.9	C25/30			0	No	
T4	40	Centro	20	-42	20	-696.8	C25/30			0	No	W9
T6	30	Centro	1011.9	-202.1	1011.9	-421.1	C25/30			0	No	
T6	30	Centro	821.9	-202.1	821.9	-436.1	C25/30			0	No	
T6	30	Centro	1201.9	-202.4	1201.9	-436.1	C25/30			0	No	
T6	30	Centro	957.9	-421.1	1065.9	-421.1	C25/30			0	No	
T5	30	Centro	20	-696.8	169.8	-729.1	C25/30			0	No	
T5	40	Centro	20	-42	20	-696.8	C25/30			0	No	W11
T5	40	Centro	1390	-42	1390	-991.9	C25/30			0	No	
T5	30	Centro	1289.2	-970.2	1390	-991.9	C25/30			0	No	
T7	40	Centro	1390	-42	1390	-991.9	C25/30			0	No	
T7	40	Centro	20	-42	20	-265	C25/30			0	No	
T7	40	Centro	20	-265	20	-696.8	C25/30			0	No	

4.3.4.7 Aperture su pareti
Desc.: descrizione breve dell'apertura utilizzata dalle pareti.
Tr.: riferimento al tronco indicante la quota inferiore e superiore.
Sp.: spessore misurato in direzione ortogonale al piano medio dell'elemento. [cm]
P.I.: posizione del punto di inserimento rispetto ad una sezione verticale, vista dal punto iniziale verso il punto finale.
Porta: apertura fino al pavimento o presenza della chiusura inferiore.
Architrave: presenza della chiusura superiore o apertura fino al soffitto.
Larghezza: larghezza della finestra. [cm]
Altezza: altezza della finestra. [cm]
Dist.inf.: distanza dalla quota inferiore. [cm]
Dist.lat.: distanza dal punto di riferimento. [cm]
Punto di rif.: primo punto di riferimento in pianta.
X: coordinata X. [cm]
Y: coordinata Y. [cm]
Punto di dir.: secondo punto in pianta che, in coppia col punto di riferimento, definisce la direzione e quindi il piano verticale su cui giace l'apertura.
X: coordinata X. [cm]
Y: coordinata Y. [cm]

Desc.	Tr.	Sp.	P.I.	Porta	Architrave	Larghezza	Altezza	Dist.inf.	Dist.lat.	Punto di rif.		Punto di dir.	
										X	Y	X	Y
W1	T1	40	Centro	S1	S1	150	210		30	20	-20	564.5	-20
W2	T1	40	Centro	S1	S1	150	210		330	1390	-991.9	1390	-20
W3	T1	30	Centro	S1	S1	160	210		40	564.5	-217.1	821.9	-217.1
W6	T2	40	Centro	S1	S1	100	210		50	1390	-991.9	1390	-418.6
W5	T2	40	Centro	S1	S1	213	326		330	1390	-991.9	1390	-42
W4	T2	40	Centro	S1	S1	180	326		225	20	-696.8	20	-42
W8	T3	40	Centro	S1	S1	213	275		323	1390	-991.9	1390	-418.6
W7	T3	40	Centro	S1	S1	179	275		234	20	-696.8	20	-42
W10	T4	40	Centro	S1	S1	213	275		323	1390	-991.9	1390	-418.6
W9	T4	40	Centro	S1	S1	179	275		234	20	-696.8	20	-42
W11	T5	40	Centro	S1	S1	95	210		320	20	-696.8	20	-42

4.3.4.8 Carichi concentrati
4.3.4.8.1 Carichi concentrati di piano
Carico: riferimento alla definizione di un carico concentrato.
Liv.: quota di inserimento espressa con notazione breve esprimibile come livello, falda, piano orizzontale alla Z specificata. [cm]
Punto: punto di inserimento.
X: coordinata X. [cm]
Y: coordinata Y. [cm]
Estradosso: distanza dalla quota di inserimento misurata in direzione ortogonale al piano della quota e con verso positivo verso l'alto. [cm]

Carico	Liv.	Punto		Estradosso
		X	Y	
Frangisole frontale	L3	20	-42	0
Frangisole frontale	L3	1390	-42	0
Frangisole frontale	L4	1390	-42	0
Frangisole frontale	L4	20	-42	0
Frangisole frontale	L5	20	-42	0
Frangisole frontale	L5	1390	-42	0
Angolo trave 40x78	L6	-189.2	-656.9	0
Frangisole frontale	L7	20	-42	0
Frangisole frontale	L7	1390	-42	0

4.3.4.9 Carichi lineari
4.3.4.9.1 Carichi lineari di piano
Carico: riferimento alla definizione di un carico lineare.
Livello: quota del punto di inserimento iniziale. esprimibile come livello, falda, piano orizzontale alla Z specificata. [cm]
Punto i.: punto di inserimento iniziale.
X: coordinata X. [cm]
Y: coordinata Y. [cm]
Punto f.: punto di inserimento finale.
X: coordinata X. [cm]
Y: coordinata Y. [cm]
Estr.: distanza dalla quota di inserimento misurata in direzione ortogonale al piano della quota e con verso positivo verso l'alto. [cm]

Carico	Livello	Punto i.		Punto f.		Estr.
		X	Y	X	Y	
Peso scale interne in acciaio PT	Piano Terra	1217	-302.2	1370	-302.2	0
Peso facciata PT	Piano Terra	20	-20	1390	-20	0
Peso scale interne in acciaio Psup	Piano 1	1216.9	-62.8	1216.9	-202.4	0
Peso scale interne in acciaio Psup	Piano 1	244.8	-62.8	244.8	-262.2	0
Peso scale interne in acciaio Psup	Piano 2	1216.9	-62.8	1216.9	-202.4	0
Peso scale interne in acciaio Psup	Piano 2	244.8	-62.8	244.8	-202.1	0

Ingresso-Principale

Carico	Livello	Punto i.		Punto f.		Estr.
		X	Y	X	Y	
Peso scale interne in acciaio Psup	Piano 3	1216.9	-62.8	1216.9	-202.1	0
Trave bordo mensola copertura 1	Copertura 1	-189.2	-656.9	18.9	-701.7	0
Trave bordo mensola copertura 1	Copertura 1	15	-695.7	1396.6	-993.3	0
Cornicione ca sup facciata	Copertura 2	20	-235	1390	-235	0

4.3.4.10 Carichi superficiali

4.3.4.10.1 Carichi superficiali di piano

Carico: riferimento alla definizione di un carico di superficie.

Solaio: caratteristiche dell'eventuale solaio in latero-cemento.

Liv.: quota di inserimento espressa con notazione breve esprimibile come livello, falda, piano orizzontale alla Z specificata. [cm]

Punti: punti di definizione in pianta.

Indice: indice del punto corrente nell'insieme dei punti di definizione dell'elemento.

X: coordinata X. [cm]

Y: coordinata Y. [cm]

Estr.: distanza dalla quota di inserimento misurata in direzione ortogonale al piano della quota e con verso positivo verso l'alto. [cm]

Angolo: direzione delle nervature che trasmettono il carico. Angolo misurato dal semiasse positivo delle ascisse in verso antiorario. [deg]

Comp.: descrizione sintetica del comportamento del carico superficiale o, nel caso di comportamento membranale, riferimento alla descrizione analitica della membrana.

Fori: riferimenti a tutti gli elementi che forano il carico superficiale.

Carico	Solaio	Liv.	Punti		Estr.	Angolo	Comp.	Fori
			Indice	X	Y			
Piani superiori		L3	1	1390	-991.9	0	90	Rigido
			2	1390	-421.1			
			3	754.3	-421.1			
			4	20	-265			
			5	20	-696.8			
Piani superiori		L3	1	1620	-646.9	0	90	Nessuno
			2	1620	-501.9			
			3	1390	-501.9			
			4	1390	-646.9			
Piani superiori		L3	1	20	-479.3	0	90	Nessuno
			2	20	-289.3			
			3	-250	-289.3			
			4	-250	-479.3			
Piani superiori		L3	1	244.8	-312.8	0	90	Rigido
			2	244.8	-62.8			
			3	20	-62.8			
			4	20	-265			
Piani superiori		L4	1	1390	-991.9	0	90	Rigido
			2	1390	-421.1			
			3	754.3	-421.1			
			4	20	-265			
			5	20	-696.8			
Piani superiori		L4	1	1620	-646.9	0	90	Nessuno
			2	1620	-501.9			
			3	1390	-501.9			
			4	1390	-646.9			
			1	20	-479.3	0	90	Nessuno
Piani superiori		L4	2	20	-289.3			
			3	-250	-289.3			
			4	-250	-479.3			
			1	244.8	-312.8	0	90	Rigido
Piani superiori		L4	2	244.8	-62.8			
			3	20	-62.8			
			4	20	-265			
			1	1653	-1038.3	0	90	Rigido
Piani superiori		L5	2	1653	-487			
			3	1390	-487			
			4	1390	-991.9			
			1	20	-712.2	0	90	Rigido
Piani superiori		L5	2	20	-262.2			
			3	-240	-262.2			
			4	-240	-656.2			
			1	244.8	-312.8	0	90	Rigido
Piani superiori		L5	2	244.8	-62.8			
			3	20	-62.8			
			4	20	-265			
			1	1390	-991.9	0	90	Rigido
Piani superiori		L5	2	1390	-421.1			
			3	754.3	-421.1			
			4	20	-265			
			5	20	-696.8			
			1	15	-914.9	0	90	Rigido
Copertura 1		L6	2	15	-695.7			
			3	-185	-656.2			
			4	-185	-914.9			
			1	238.8	-914.9	0	90	Rigido
Copertura 1		L6	2	1395	-1163.9			
			3	1396.6	-993.3			
			4	15	-695.7			
			5	15	-914.9			
			1	1396.6	-993.3	0	90	Rigido
Copertura 1		L6	2	1395	-418.6			
			3	754.3	-421.1			
			4	20	-265			
			5	15	-265			
			6	15	-695.7			
			1	754.3	-421.1	0	90	Rigido
Copertura 2		L7	2	1390	-418.6			
			3	1390	-42			
			4	20	-42			
			5	20	-265			

4.3.4.11 Fori su piastre e carichi superficiali

4.3.4.11.1 Fori di piano

Desc.: descrizione breve del foro utilizzata dagli elementi forabili come piastre e carichi superficiali.

Quota: quota di inserimento esprimibile come livello, falda, piano orizzontale alla Z specificata. [cm]

Livello: quota di inserimento espressa con notazione breve esprimibile come livello, falda, piano orizzontale alla Z specificata. [cm]

Estradosso: distanza dalla quota di inserimento misurata in direzione ortogonale al piano della quota e con verso positivo verso l'alto. [cm]

Spessore: spessore misurato in direzione ortogonale al piano medio dell'elemento. [cm]

Punti: punti di definizione in pianta.

Indice: indice del punto corrente nell'insieme dei punti di definizione dell'elemento.

X: coordinata X. [cm]

Y: coordinata Y. [cm]

Desc.	Quota	Livello	Estradosso	Spessore	Punti	
					Indice	Y
H2	Piano Terra	L2	0	30	1	1186.9
					2	1186.9
					3	1026.9
					4	1026.9
H1	Piano Terra	L2	0	30	1	996.9
					2	996.9
					3	836.9
					4	836.9
H3	Piano Terra	L2	0	30	1	836.9
					2	1216.9
					3	1217
					4	1370
					5	1370
					6	836.9

5 Dati di modellazione

5.1 Nodi

5.1.1 Nodi di piano rigido

Indice: numero dell'elemento nell'insieme che lo contiene.

Posizione: coordinata del nodo.

X: coordinata X [cm]

Y: coordinata Y [cm]

Z: coordinata Z [cm]

Indice	Posizione			Indice	Posizione			Indice	Posizione			Indice	Posizione		
	X	Y	Z		X	Y	Z		X	Y	Z		X	Y	Z
2	670.4	-574	540	3	675.3	-572.5	1023	4	712.4	-598.5	1339	5	576.4	-807.3	1691
6	733.6	-254.4	1739												

5.1.2 Nodi di definizione

Indice: numero dell'elemento nell'insieme che lo contiene.

Posizione: coordinata del nodo.

X: coordinata X [cm]

Y: coordinata Y [cm]

Z: coordinata Z [cm]

Indice	Posizione			Indice	Posizione			Indice	Posizione			Indice	Posizione		
	X	Y	Z		X	Y	Z		X	Y	Z		X	Y	Z
7	1410	-1011.6	-332	8	1339.3	-996.3	-332	9	1390	-991.9	-332	10	1410	-991.9	-332
11	1268.6	-981.1	-332	12	1315	-975.7	-332	13	1197.8	-965.9	-332	14	1239.9	-959.5	-332
15	1343.3	-953.8	-332	16	1127.1	-950.6	-332	17	1164.9	-943.4	-332	18	1056.4	-935.4	-332
19	1273.4	-932.3	-332	20	1089.8	-927.2	-332	21	985.7	-920.2	-332	22	1204.1	-917.2	-332
23	1014.8	-911.1	-332	24	1390	-909.4	-332	25	1410	-909.4	-332	26	914.9	-904.9	-332
27	1134	-903.4	-332	28	939.7	-894.9	-332	29	1345.5	-890.2	-332	30	844.2	-889.7	-332
31	1064.7	-882.7	-332	32	864.7	-878.7	-332	33	1277.4	-876.2	-332	34	773.5	-874.5	-332
35	993.2	-869.2	-332	36	1210.2	-863.5	-332	37	789.6	-862.6	-332	38	702.8	-859.2	-332
39	923.6	-854.9	-332	40	1144	-848.3	-332	41	714.6	-846.4	-332	42	632.1	-844	-332
43	855.3	-836.5	-332	44	639.5	-830.2	-332	45	561.3	-828.8	-332	46	1390	-826.9	-332
47	1410	-826.9	-332	48	1075.4	-821.4	-332	49	786.1	-818.1	-332	50	1345.1	-817.3	-332
51	508	-817.3	-332	52	1279	-815.5	-332	53	564.5	-814.1	-332	54	1000.5	-812	-332
55	1215.2	-811.3	-332	56	449.3	-804.6	-332	57	1156.1	-803.4	-332	58	511.1	-802.6	-332
59	933.4	-798.4	-332	60	1113.3	-793.4	-332	61	390.7	-792	-332	62	717.3	-791	-332
63	868.4	-780.7	-332	64	393.8	-777.3	-332	65	312.5	-775.2	-332	66	319.1	-761.2	-332
67	1060.4	-761	-332	68	803.5	-760.6	-332	69	234.4	-758.3	-332	70	1000.4	-758.3	-332
71	641.3	-758.2	-332	72	1214.6	-756.4	-332	73	1159.3	-756.1	-332	74	1108.5	-755.5	-332
75	561.7	-752.3	-332	76	1273.2	-751.1	-332	77	941.1	-745.9	-332	78	507.1	-745.3	-332
79	244.3	-745.1	-332	80	1390	-744.4	-332	81	1410	-744.4	-332	82	156.3	-741.5	-332
83	564.5	-739.5	-332	84	448.1	-737.3	-332	85	1339.3	-733.2	-332	86	386.2	-730.3	-332
87	169.5	-729	-332	88	739	-728.4	-332	89	881.4	-727	-332	90	78.1	-724.7	-332
91	314.2	-719.6	-332	92	683.9	-716.7	-332	93	820.6	-714.7	-332	94	94.8	-712.9	-332
95	1107	-708.9	-332	96	1058	-708.7	-332	97	1157.3	-708.6	-332	98	0	-707.8	-332
99	239.3	-707.1	-332	100	1209.9	-706.4	-332	101	1005.6	-703.7	-332	102	1259.9	-699.4	-332
103	778.3	-698.2	-332	104	0	-696.8	-332	105	20	-696.8	-332	106	1300.7	-692.1	-332
107	952.3	-691.1	-332	108	164.9	-690.9	-332	109	562.1	-675.8	-332	110	622.3	-674	-332
111	507.8	-672.7	-332	112	86.1	-672.4	-332	113	449.1	-668.4	-332	114	896	-665.2	-332
115	564.5	-664.8	-332	116	385.7	-663.9	-332	117	671.4	-663.5	-332	118	1155	-662.5	-332
119	1107.4	-662.4	-332	120	1390	-661.9	-332	121	1410	-661.9	-332	122	1059.9	-660.8	-332
123	1203.9	-659.2	-332	124	726.1	-658.5	-332	125	316.1	-657.8	-332	126	1011.7	-656.5	-332
127	1351.7	-655.2	-332	128	831.6	-654.3	-332	129	775.3	-651.6	-332	130	244.4	-651.1	-332
131	967	-649.3	-332	132	1247.8	-644.5	-332	133	1302.9	-643.6	-332	134	178.1	-642.6	-332
135	931.7	-639.4	-332	136	128.1	-635	-332	137	20	-621.6	-332	138	0	-619.4	-332
139	1154.7	-618.4	-332	140	1194.4	-617.7	-332	141	1108.4	-617.4	-332	142	1062.5	-615.6	-332
143	1017.4	-612.1	-332	144	974	-607	-332	145	66.3	-603.8	-332	146	931.9	-603.8	-332
147	889.5	-603.5	-332	148	562.5	-599.4	-332	149	507.3	-597.8	-332	150	615.2	-597.6	-332
151	449.3	-596	-332	152	663.2	-595.5	-332	153	386.1	-594	-332	154	317.3	-591.2	-332
155	564.5	-590.2	-332	156	120.3	-590.1	-332	157	719.3	-589.6	-332	158	247.4	-586.9	-332
159	1410	-586.9	-332	160	834.5	-585.7	-332	161	181.5	-585	-332	162	774.8	-584.4	-332
163	1354	-582.1	-332	164	1297.2	-577.3	-332	165	1224.5	-575.6	-332	166	1160.7	-574.4	-332
167	1110.7	-574	-332	168	1065.8	-572.4	-332	169	1022.5	-568.7	-332	170	979.7	-562.9	-332
171	936.5	-560.9	-332	172	895.7	-559.1	-332	173	863.2	-553.9	-332	174	20	-546.4	-332
175	0	-542	-332	176	59.3	-532.9	-332	177	1067.8	-531.7	-332	178	1109	-531.5	-332
179	1191.5	-531.1	-332	180	1152.7	-529.8	-332	181	1028	-527.4	-332	182	117	-525.6	-332
183	562.9	-522.9	-332	184	822.6	-522.2	-332	185	506.2	-522.2	-332	186	448.1	-521.7	-332
187	612.7	-521.7	-332	188	662.1	-521.7	-332	189	384.8	-521.1	-332	190	180.4	-520.5	-332
191	316.6	-519.8	-332	192	713.6	-519.6	-332	193	247.6	-519.1	-332	194	938.9	-517.7	-332
195	859.4	-516.8	-332	196	898.2	-516.1	-332	197	564.5	-515.6	-332	198	986	-514.4	-332
199	1390	-511.9	-332	200	1410	-511.9	-332	201	1356.6	-509.1	-332	202	771.7	-508.9	-332
203	1304.2	-506.6	-332	204	1244.6	-500.9	-332	205	1068.9	-495.7	-332	206	1036.2	-495.6	-332
207	1010	-493	-332	208	1105.3	-490.6	-332	209	1197.3	-487.7	-332	210	937.1	-478.8	-332
211	1147.1	-478.2	-332	212	825.1	-476.6	-332	213	860.2	-474.4	-332	214	796.1	-473.5	-332
215	973.9	-472	-332	216	20	-471.2	-332	217	898.7	-470.8	-332	218	1007.8	-469	-332
219	1037.2	-468	-332	220	1066.3	-465.6	-332	221	0	-464.5	-332	222	54	-460.1	-332
223	1095.7	-456	-332	224	956.4	-455.6	-332	225	936.8	-455.5	-332	226	112.5	-455.1	-332
227	1121.9	-453	-332	228	707	-451.5	-332	229	917.2	-451.1	-332	230	177.2	-450.5	-332
231	660.3	-448.9	-332	232	245.3	-448.2	-332	233	314.9	-447.2	-332	234	382.4	-446.7	-332
235	563.3	-446.5	-332	236	445.5	-446.4	-332	237	504.9	-446.3	-332	238	1009.8	-444.3	-332
239	751.7	-443.8	-332	240	611.4	-443.8	-332	241	981.8	-443.7	-332	242	1037.5	-443.2	-332
243	1062.7	-442.8	-332	244	1390	-441.6	-332	245	1081.1	-441.3	-332	246	564.5	-441	-332
247	958.5	-439.2	-332	248	1410	-438.7	-332	249	1357.7	-436.3	-332	250	821.9	-436.1	-332
251	1201.9	-436.1	-332	252	938.5	-436.1	-332	253	1304.9	-434.5	-332	254	746.5	-434.3	-332
255	788	-433.5	-332	256	858	-433.3	-332	257	1251.4	-433.3	-332	258	890.1	-432.7	-332
259	1102.2	-429.4	-332	260	916.3	-427.2	-332	261	1153.8	-427.1	-332	262	1084.2	-426.2	-332
263	1122.9	-424.7	-332	264	942.9	-421.5	-332	265	957.9	-421.1	-332	266	984.9	-421.1	-332
267	1011.9	-421.1	-332	268	1038.9	-421.1	-332	269	1065.9	-421.1	-332	270	1087.6	-421.8	-332
271	1098.9	-410.6	-332	272	932.4	-407.2	-332	273	907.6	-404.3	-332	274	1077.6	-402.2	-332
275	888.1	-399.4	-332	276	20	-396	-332	277	951.2	-393.6	-332	278	702.2	-393.2	-332
279	860.3	-389.9	-332	280	1106.5	-389.8	-332	281	0	-387.1	-332	282	918.5	-386.3	-332
283	1050	-385.4	-332	284	52.9	-383.4	-332	285	739.8	-381.5	-332	286	821.9	-381.4	-332
287	977.2	-381.2	-332	288	782.2	-380.1	-332	289	110.3	-379.4	-332	290	660.2	-377.9	-332
291	173.4	-376.1	-332	292	241.8	-374.3	-332	293	310.8	-372.2	-332	294	1390	-371.3	-332
295	378.3	-371	-332	296	441.9	-370.2	-332	297	1011.9	-370.1	-332	298	503.8	-370	-332
299	1143.4	-369.2	-332	300	898.7	-368.7	-332	301	564.5	-366.4	-332	302	1410	-365.6	-

Indice	Posizione			Indice	Posizione			Indice	Posizione			Indice	Posizione		
	X	Y	Z		X	Y	Z		X	Y	Z		X	Y	Z
395	721.6	-214.9	-332	396	1252.7	-214.5	-332	397	636.3	-214.5	-332	398	646.9	-213	-332
399	656.9	-211.2	-332	400	667.7	-207.1	-332	401	685.6	-205.2	-332	402	647.5	-202.9	-332
403	639.5	-202.4	-332	404	702.4	-201.6	-332	405	655.6	-201.1	-332	406	720	-195.8	-332
407	648	-195.1	-332	408	742.8	-192.8	-332	409	635	-188.7	-332	410	776.7	-188.1	-332
411	700.3	-187.7	-332	412	664.1	-187.6	-332	413	685.4	-186.8	-332	414	829.4	-178.4	-332
415	714.3	-174.1	-332	416	20	-170.4	-332	417	741.6	-169.1	-332	418	653.3	-168.1	-332
419	675.6	-167.5	-332	420	695.4	-166.7	-332	421	1390	-160.5	-332	422	771.7	-159.5	-332
423	903.1	-159.3	-332	424	615.1	-156.1	-332	425	0	-154.8	-332	426	719.3	-154.2	-332
427	995.5	-152.4	-332	428	44.2	-151.8	-332	429	738.2	-151.5	-332	430	564.5	-151.4	-332
431	816	-149.2	-332	432	93.1	-148.4	-332	433	671.1	-148.1	-332	434	643	-147.8	-332
435	1410	-146.2	-332	436	152.7	-145.2	-332	437	564.5	-144.8	-332	438	1363.3	-144	-332
439	220.2	-142.9	-332	440	1307.9	-142.9	-332	441	499.8	-142.3	-332	442	291.5	-142	-332
443	363	-141.6	-332	444	432.8	-141.4	-332	445	1247.2	-141.2	-332	446	706.3	-138.5	-332
447	1179.4	-138.3	-332	448	856.9	-137.8	-332	449	1084.9	-133	-332	450	753.8	-131	-332
451	661.9	-119.2	-332	452	804.9	-118.3	-332	453	851.7	-104.9	-332	454	910.9	-104.6	-332
455	981.2	-100.7	-332	456	704	-100.7	-332	457	20	-95.2	-332	458	1036.5	-94.8	-332
459	753.7	-90.5	-332	460	1390	-90.3	-332	461	797.1	-88.9	-332	462	564.5	-85.7	-332
463	635.1	-81.2	-332	464	0	-77.4	-332	465	35.4	-75.5	-332	466	1410	-73.1	-332
467	78.2	-72.8	-332	468	564.5	-72.4	-332	469	1369.4	-71.5	-332	470	140	-70.3	-332
471	1312.6	-70.2	-332	472	495.9	-69.6	-332	473	1248.7	-69.2	-332	474	210	-68.5	-332
475	282.6	-68.2	-332	476	426.3	-68.2	-332	477	354.9	-68	-332	478	1179.4	-67.4	-332
479	1105.4	-62.9	-332	480	701.4	-58.4	-332	481	832.7	-57.8	-332	482	907.4	-53.4	-332
483	764.5	-51.6	-332	484	977.2	-51.2	-332	485	1042.4	-51.2	-332	486	1183.6	-50	-332
487	1252.4	-20	-332	488	1321.2	-20	-332	489	1390	-20	-332	490	977.2	-20	-332
491	1046	-20	-332	492	1114.8	-20	-332	493	491.6	-20	-332	494	564.5	-20	-332
495	633.3	-20	-332	496	702.1	-20	-332	497	770.9	-20	-332	498	839.7	-20	-332
499	908.5	-20	-332	500	200	-20	-332	501	272.9	-20	-332	502	345.8	-20	-332
503	418.7	-20	-332	504	20	-20	-332	505	850	-20	-332	506	0	0	-332
507	20	0	-332	508	50	0	-332	509	125	0	-332	510	200	0	-332
511	272.9	0	-332	512	345.6	0	-332	513	418.7	0	-332	514	491.6	0	-332
515	564.5	0	-332	516	633.3	0	-332	517	702.1	0	-332	518	770.9	0	-332
519	839.7	0	-332	520	908.5	0	-332	521	977.2	0	-332	522	1046	0	-332
523	1114.8	0	-332	524	1183.6	0	-332	525	1252.4	0	-332	526	1321.2	0	-332
527	1390	0	-332	528	1410	0	-332	529	20	-391	-275.1	530	20	-320.8	-275.1
531	20	-249.8	-273.3	532	20	-460.7	-269.5	533	20	-178.1	-266.6	534	1011.9	-319	-253.5
535	1390	-991.9	-252.8	536	1319.3	-976.7	-252.8	537	1247.6	-961.2	-252.8	538	1174.2	-945.4	-252.8
539	1099.3	-929.3	-252.8	540	1023.7	-913	-252.8	541	947.6	-896.6	-252.8	542	871.3	-880.2	-252.8
543	794.8	-863.7	-252.8	544	718.1	-847.2	-252.8	545	641.3	-830.6	-252.8	546	564.5	-814.1	-252.8
547	511.1	-802.6	-252.8	548	393.8	-777.3	-252.8	549	319.1	-761.2	-252.8	550	244.3	-745.1	-252.8
551	169.6	-729	-252.8	552	94.8	-712.9	-252.8	553	20	-696.8	-252.8	554	821.9	-436.1	-252.8
555	1201.9	-436.1	-252.8	556	957.9	-421.1	-252.8	557	985.1	-421.1	-252.8	558	1011.9	-421.1	-252.8
559	1038.7	-421.1	-252.8	560	1065.9	-421.1	-252.8	561	1011.9	-217.1	-252.8	562	1106.9	-217.1	-252.8
563	1201.9	-217.1	-252.8	564	1325.7	-20	-252.8	565	1390	-20	-252.8	566	840.3	-20	-252.8
567	910.2	-20	-252.8	568	980.4	-20	-252.8	569	1050.8	-20	-252.8	570	1121.1	-20	-252.8
571	1190.9	-20	-252.8	572	1259.3	-20	-252.8	573	564.5	-20	-252.8	574	633.2	-20	-252.8
575	701.9	-20	-252.8	576	770.9	-20	-252.8	577	564.5	-739.5	-252.7	578	1390	-87	-252.7
579	1011.9	-371.4	-252.7	580	491.6	-20	-252.7	581	564.5	-664.8	-252.6	582	1390	-156.2	-252.6
583	821.9	-381.3	-252.6	584	564.5	-590.2	-252.6	585	1390	-227.5	-252.6	586	418.7	-20	-252.6
587	564.5	-85.7	-252.6	588	564.5	-515.6	-252.5	589	1390	-299.4	-252.5	590	821.9	-325.7	-252.5
591	564.5	-441	-252.5	592	345.8	-20	-252.4	593	916.9	-217.1	-252.4	594	1390	-370.9	-252.4
595	564.5	-366.4	-252.4	596	1390	-910	-252.4	597	564.5	-151.4	-252.3	598	821.9	-270.6	-252.3
599	272.9	-20	-252.3	600	1390	-441.7	-252.2	601	564.5	-291.7	-252.2	602	1390	-661.9	-252
603	1390	-511.9	-252	604	564.5	-217.1	-252	605	604.5	-217.1	-252	606	764.5	-217.1	-252
607	821.9	-217.1	-252	608	20	-20	-252	609	50	-20	-252	610	200	-20	-252
611	20	-618.3	-251.6	612	1011.9	-269	-249.1	613	1201.9	-286.5	-248.9	614	1390	-828	-248.6
615	20	-533.3	-248	616	1201.9	-360.1	-245.7	617	20	-100.9	-245.5	618	1390	-745.1	-244.5
619	20	-386.5	-224	620	20	-447.8	-221.4	621	20	-321.7	-219.3	622	20	-255.1	-219
623	20	-192.2	-214.1	624	20	-493.7	-214	625	20	-144	-204.8	626	1390	-991.9	-173.5
627	1324.3	-977.7	-173.5	628	1256.3	-963.1	-173.5	629	1184.1	-947.5	-173.5	630	1109.1	-931.4	-173.5
631	1032.7	-914.9	-173.5	632	955.6	-898.3	-173.5	633	878.1	-881.6	-173.5	634	800	-864.8	-173.5
635	721.6	-847.9	-173.5	636	643.1	-831	-173.5	637	564.5	-814.1	-173.5	638	511.1	-802.6	-173.5
639	393.8	-777.3	-173.5	640	319.1	-761.2	-173.5	641	244.4	-745.1	-173.5	642	169.6	-729	-173.5
643	94.8	-712.9	-173.5	644	20	-696.8	-173.5	645	821.9	-436.1	-173.5	646	1201.9	-436.1	-173.5
647	957.9	-421.1	-173.5	648	985.8	-421.1	-173.5	649	1011.9	-421.1	-173.5	650	1038	-421.1	-173.5
651	1065.9	-421.1	-173.5	652	1011.9	-217.1	-173.5	653	1106.9	-217.1	-173.5	654	1201.9	-217.1	-173.5
655	1127.6	-20	-173.5	656	1198.6	-20	-173.5	657	1267.3	-20	-173.5	658	1331.7	-20	-173.5
659	1390	-20	-173.5	660	1055.7	-20	-173.5	661	564.5	-20	-173.5	662	533	-20	-173.5
663	701.7	-20	-173.5	664	770.8	-20	-173.5	665	840.6	-20	-173.5	666	911.7	-20	-173.5
667	983.5	-20	-173.5	668	564.5	-739.5	-173.4	669	1390	-82.1	-173.4	670	491.6	-20	-173.4
671	564.5	-664.8	-173.3	672	1390	-150.8	-173.3	673	821.9	-382.1	-173.3	674	564.5	-590.2	-173.3
675	1390	-223.9	-173.2	676	418.7	-20	-173.2	677	564.5	-85.7	-173.2	678	564.5	-515.6	-173.2
679	1011.9	-326.1	-173.1	680	1390	-298.1	-173.1	681	564.5	-441	-173.1	682	821.9	-324.4	-173.1
683	20	-620.5	-173	684	345.8	-20	-173	685	1390	-371	-172.9	686	564.5	-366.4	-172.9
687	916.9	-217.1	-172.9	688	564.5	-151.4	-172.7	689	821.9	-267.9	-172.7	690	272.9	-20	-172.6
691	1390	-442.2	-172.6	692	564.5	-291.7	-172.6	693	1011.9	-375.5	-172.5	694	1390	-661.9	-172
695	1390	-511.9	-172	696	564.5	-217.1	-172	697	604.5	-217.1	-172	698	764.5	-217.1	-172
699	821.9	-217.1	-172	700	20	-20	-172	701	50	-20	-172	702	200	-20	-172
703	1390	-914.7	-172	704	20	-546.7	-171.7	705	20	-497.3	-170.5	706	20	-387.3	-168.7
707	20	-444.8	-168.6	708	20	-258.3	-166.6	709	20	-82.4	-165.6	710	1201.9	-279.9	-165
711	1390	-834.5	-163.6	712	20	-324.8	-158.4	713	1011.9	-271.9	-158.2	714	20	-202	-156.2
715	20	-138.9	-154.7	716	1201.9	-354.8	-149	717	1390	-748.2	-146.4	718	20	-494.1	-126
719	20	-354.5	-125	720	20	-393.4	-123.8	721	20	-260	-121.8	722	20	-446.4	-112.6
723	1011.														

Indice	Posizione			Indice	Posizione			Indice	Posizione			Indice	Posizione		
	X	Y	Z		X	Y	Z		X	Y	Z		X	Y	Z
871	649.2	-752.1	-15	872	1390	-751.9	-15	873	1077	-747.3	-15	874	244.5	-745.2	-15
875	1335.5	-742.7	-15	876	564.5	-739.5	-15	877	797.5	-737.6	-15	878	1278.4	-732.2	-15
879	1004.2	-730.4	-15	880	169.8	-729.1	-15	881	506.7	-727.4	-15	882	1218.1	-720.2	-15
883	445.9	-714.9	-15	884	94.9	-712.9	-15	885	1390	-706.9	-15	886	1153.3	-706	-15
887	933.6	-706	-15	888	383.1	-701.2	-15	889	20	-696.8	-15	890	863.2	-695	-15
891	1336.8	-692	-15	892	1087.5	-689.5	-15	893	312.7	-686.7	-15	894	797.3	-686.6	-15
895	724.1	-679.4	-15	896	1280.9	-678.4	-15	897	240.2	-671.3	-15	898	641.6	-667.7	-15
899	1019.2	-666.7	-15	900	1221	-665.1	-15	901	564.5	-664.8	-15	902	1390	-661.9	-15
903	166.9	-655.3	-15	904	504	-653.2	-15	905	1160.1	-651.7	-15	906	697	-641.3	-15
907	441.5	-641.2	-15	908	1340.9	-640	-15	909	93.4	-638.2	-15	910	664.3	-636.9	-15
911	1098.4	-636.7	-15	912	870.8	-630.7	-15	913	377.1	-627.8	-15	914	946.4	-626.3	-15
915	1283.1	-623.1	-15	916	746.7	-622.9	-15	917	20	-621.8	-15	918	805.1	-621.5	-15
919	1039.3	-620.1	-15	920	308.2	-613.7	-15	921	1224.7	-610.3	-15	922	704	-606.5	-15
923	995.6	-602.9	-15	924	658.3	-600.5	-15	925	236.7	-598.7	-15	926	1165.2	-597.7	-15
927	625.8	-593.5	-15	928	564.5	-590.2	-15	929	785.8	-590	-15	930	1390	-586.9	-15
931	1106.8	-585.1	-15	932	910.4	-583.7	-15	933	754.9	-583	-15	934	164.2	-582.8	-15
935	502.1	-579.9	-15	936	868.6	-579	-15	937	1341.3	-575.5	-15	938	823.8	-572.8	-15
939	1051	-572.8	-15	940	438.1	-569.3	-15	941	91.9	-565.7	-15	942	1285.8	-563.9	-15
943	796	-563.6	-15	944	1001.1	-562.2	-15	945	714.3	-561.5	-15	946	956.2	-561.3	-15
947	670.5	-559.2	-15	948	372.9	-557.4	-15	949	1227.3	-553.8	-15	950	769.4	-553.8	-15
951	20	-546.8	-15	952	917	-546.2	-15	953	304.2	-544.9	-15	954	1169	-543.8	-15
955	745.6	-541.5	-15	956	800.9	-539.1	-15	957	1112.5	-532.1	-15	958	233.3	-531.3	-15
959	781.3	-527.2	-15	960	825.4	-527.2	-15	961	873.5	-525.4	-15	962	1056.7	-523.7	-15
963	1007.7	-519.1	-15	964	161.7	-516.3	-15	965	564.5	-515.6	-15	966	639	-515.5	-15
967	927.8	-514.5	-15	968	962.9	-514.4	-15	969	703.3	-514.4	-15	970	1390	-511.9	-15
971	797.9	-508.8	-15	972	751.6	-508.7	-15	973	500.6	-507.4	-15	974	1339.8	-504.5	-15
975	435.5	-498.8	-15	976	90.6	-498.3	-15	977	856.8	-496.9	-15	978	1285	-495.7	-15
979	1227.1	-495.6	-15	980	779	-495.2	-15	981	1177.2	-492.3	-15	982	830.8	-491.2	-15
983	369.5	-489.5	-15	984	905	-485.2	-15	985	806.3	-485	-15	986	300.7	-479.4	-15
987	1122.7	-478.4	-15	988	868.6	-477.4	-15	989	1191.8	-476.7	-15	990	1010.6	-476.6	-15
991	822.2	-475.4	-15	992	690.2	-474.3	-15	993	809.9	-472.2	-15	994	670.8	-472.1	-15
995	1209.4	-472	-15	996	20	-471.8	-15	997	843.7	-471.2	-15	998	1056.3	-471.1	-15
999	963.8	-470.5	-15	1000	706.5	-469.5	-15	1001	230.1	-468.5	-15	1002	786.6	-467.9	-15
1003	1188.7	-467.4	-15	1004	1175.6	-466.8	-15	1005	801.1	-466.4	-15	1006	1263.6	-465.7	-15
1007	748.8	-465.3	-15	1008	828	-465	-15	1009	1237.1	-464.1	-15	1010	814.9	-461.7	-15
1011	1152.7	-461.1	-15	1012	805.9	-460.2	-15	1013	1198.7	-458.6	-15	1014	1220.2	-458.1	-15
1015	869.5	-456.6	-15	1016	159.3	-456.4	-15	1017	848	-452.5	-15	1018	1037.9	-452.3	-15
1019	832.1	-452	-15	1020	802.9	-452	-15	1021	817.8	-450.4	-15	1022	1016.9	-450.1	-15
1023	1184	-449.9	-15	1024	1390	-448.9	-15	1025	1209.5	-448.6	-15	1026	1225.1	-445.1	-15
1027	1299.8	-444.3	-15	1028	89.3	-442.8	-15	1029	893.4	-442.2	-15	1030	992.7	-441.6	-15
1031	1217.2	-441.5	-15	1032	564.5	-441	-15	1033	834.3	-440.3	-15	1034	1042.6	-439.6	-15
1035	627.3	-439.1	-15	1036	1117.4	-438.8	-15	1037	1159.7	-438.2	-15	1038	1268.7	-437.4	-15
1039	779.5	-437.3	-15	1040	821.9	-436.1	-15	1041	1201.9	-436.1	-15	1042	1237.9	-435.6	-15
1043	499.3	-435.1	-15	1044	1342.9	-434.8	-15	1045	1063.3	-434.8	-15	1046	947.7	-434.7	-15
1047	852.4	-434.7	-15	1048	1026.6	-431.6	-15	1049	666.7	-431.3	-15	1050	800	-429.5	-15
1051	432.9	-428.7	-15	1052	1218.1	-427.9	-15	1053	20	-426.8	-15	1054	978.8	-426.3	-15
1055	706.5	-425.3	-15	1056	1038.9	-424.2	-15	1057	365.5	-421.5	-15	1058	957.9	-421.1	-15
1059	996.9	-421.1	-15	1060	1011.9	-421.1	-15	1061	1026.9	-421.1	-15	1062	1065.9	-421.1	-15
1063	748.7	-415.2	-15	1064	297	-414.9	-15	1065	1011.9	-413.6	-15	1066	1329.5	-409.2	-15
1067	1302.7	-409.2	-15	1068	227.2	-406.4	-15	1069	821.9	-406.1	-15	1070	836.9	-406.1	-15
1071	897.4	-406.1	-15	1072	957.9	-406.1	-15	1073	996.9	-406.1	-15	1074	1011.9	-406.1	-15
1075	1026.9	-406.1	-15	1076	1065.9	-406.1	-15	1077	1126.4	-406.1	-15	1078	1186.9	-406.1	-15
1079	1201.9	-406.1	-15	1080	1272.7	-405.9	-15	1081	1244.3	-403.4	-15	1082	157.5	-398.4	-15
1083	1219.2	-398	-15	1084	667.3	-395.6	-15	1085	795.5	-392.7	-15	1086	695.6	-392.1	-15
1087	88.4	-390.2	-15	1088	1332.3	-388.8	-15	1089	20	-381.8	-15	1090	1307.3	-377.5	-15
1091	1249	-377.2	-15	1092	1390	-375.5	-15	1093	1275	-373.6	-15	1094	639.1	-368.5	-15
1095	1351.5	-367.2	-15	1096	564.5	-366.4	-15	1097	498	-362.6	-15	1098	430.6	-358.1	-15
1099	712.9	-356.5	-15	1100	1227.6	-354.5	-15	1101	1186.9	-354.2	-15	1102	1201.9	-354.2	-15
1103	362.4	-353.1	-15	1104	996.9	-348.1	-15	1105	1011.9	-348.1	-15	1106	1026.9	-348.1	-15
1107	293.6	-348	-15	1108	1312.3	-345.6	-15	1109	1270.7	-344	-15	1110	224.4	-342.9	-15
1111	155.5	-338.7	-15	1112	20	-336.8	-15	1113	87.3	-336.4	-15	1114	780.7	-329.6	-15
1115	821.9	-319.1	-15	1116	836.9	-319.1	-15	1117	1186.9	-302.2	-15	1118	1201.9	-302.2	-15
1119	1217	-302.2	-15	1120	1268	-302.2	-15	1121	1319	-302.2	-15	1122	1370	-302.2	-15
1123	1390	-302.2	-15	1124	20	-291.8	-15	1125	564.5	-291.7	-15	1126	996.9	-290.1	-15
1127	1011.9	-290.1	-15	1128	1026.9	-290.1	-15	1129	496.7	-290.1	-15	1130	428.6	-287.6	-15
1131	625.8	-286.9	-15	1132	359.5	-284.1	-15	1133	290.4	-280.8	-15	1134	85.6	-279	-15
1135	701.1	-278.3	-15	1136	221.3	-277.1	-15	1137	153	-275.6	-15	1138	774.4	-259.7	-15
1139	821.9	-232.1	-15	1140	836.9	-232.1	-15	1141	890.3	-232.1	-15	1142	943.6	-232.1	-15
1143	996.9	-232.1	-15	1144	1011.9	-232.1	-15	1145	1026.9	-232.1	-15	1146	1106.9	-232.1	-15
1147	1186.9	-232.1	-15	1148	1201.9	-232.1	-15	1149	495.4	-218.7	-15	1150	426.1	-217.1	-15
1151	564.5	-217.1	-15	1152	604.5	-217.1	-15	1153	684.5	-217.1	-15	1154	764.5	-217.1	-15
1155	821.9	-217.1	-15	1156	916.9	-217.1	-15	1157	1004.4	-217.1	-15	1158	1011.9	-217.1	-15
1159	1106.9	-217.1	-15	1160	1201.9	-217.1	-15	1161	1390	-215.5	-15	1162	1370	-214.8	-15
1163	356.5	-214.6	-15	1164	286.7	-211.8	-15	1165	691.5	-210.1	-15	1166	217.4	-209.1	-15
1167	20	-208.5	-15	1168	149.7	-207	-15	1169	84.2	-206.5	-15	1170	776.2	-205.5	-15
1171	836.9	-202.1	-15	1172	924.4	-202.1	-15	1173	1011.9	-202.1	-15	1174	1026.9	-202.1	-15
1175	1121.9	-202.1	-15	1176	1216.9	-202.1	-15	1177	564.5	-151.4	-15	1178	494.1	-151.1	-15
1179	423.7	-149.5	-15	1180	624.3	-147.6	-15	1181	353.2	-147.1	-15	1182	282.9	-144.4	-15
1183	695.9	-142.2	-15	1184	213.8	-141.5	-15	1185	147.2	-138	-15	1186	769.3	-134	-15
1187	82.8	-133.1	-15	1188	1390	-128.7	-15	1189	1370	-127.4	-15	1190	20	-125.3	-15
1191	836.9	-121.1	-15	1192	564.5	-85.7	-15	1193	492.9	-85.3	-15	1194	421.2	-84.3	-15
1195	349.7	-82.9	-15	1196	630	-82.7	-15	1197	278.6	-81.2	-15	1198</			

Indice	Posizione			Indice	Posizione			Indice	Posizione			Indice	Posizione		
	X	Y	Z		X	Y	Z		X	Y	Z		X	Y	Z
1347	94.9	-712.9	222.9	1348	20	-696.8	222.9	1349	821.9	-436.1	222.9	1350	1201.9	-436.1	222.9
1351	957.9	-421.1	222.9	1352	985.2	-421.1	222.9	1353	1011.9	-421.1	222.9	1354	1038.6	-421.1	222.9
1355	1065.9	-421.1	222.9	1356	821.9	-380.8	222.9	1357	821.9	-324.6	222.9	1358	821.9	-269.6	222.9
1359	821.9	-217.1	222.9	1360	1011.9	-217.1	222.9	1361	1201.9	-217.1	222.9	1362	20	-42	222.9
1363	1390	-42	222.9	1364	20	-122.4	227.7	1365	20	-621.6	227.7	1366	1390	-103	230.6
1367	20	-205.3	233.4	1368	20	-546.6	233.4	1369	1390	-794.9	233.8	1370	1390	-158.6	235.3
1371	1390	-397.8	237.2	1372	1390	-817.9	237.2	1373	1390	-220.8	239.5	1374	1390	-703.9	240.2
1375	1390	-661.9	240.8	1376	20	-471.8	240.8	1377	1390	-448.9	240.8	1378	20	-291.8	240.8
1379	1390	-282.7	241.9	1380	1390	-342.4	243.4	1381	1390	-767.9	248.9	1382	1390	-739.4	249.8
1383	1390	-850.2	256.1	1384	1390	-791.6	259.4	1385	1390	-893.2	260.7	1386	1390	-814.2	266.3
1387	1390	-833.8	273.5	1388	1390	-936.1	278.3	1389	1390	-766.4	280.9	1390	1390	-787.8	289.6
1391	1390	-991.9	292.5	1392	1390	-812.6	295.7	1393	1339.6	-981	297.6	1394	1390	-836.5	298.7
1395	1201.9	-362.9	299.3	1396	1201.9	-289.8	300.2	1397	1011.9	-269.5	301.6	1398	1289.2	-970.2	302.1
1399	169.8	-729.1	302.1	1400	94.9	-712.9	302.1	1401	20	-696.8	302.1	1402	821.9	-436.1	302.1
1403	1201.9	-436.1	302.1	1404	957.9	-421.1	302.1	1405	985.1	-421.1	302.1	1406	1011.9	-421.1	302.1
1407	1038.6	-421.1	302.1	1408	1065.9	-421.1	302.1	1409	821.9	-380.7	302.1	1410	821.9	-325.2	302.1
1411	821.9	-270.5	302.1	1412	821.9	-217.1	302.1	1413	1011.9	-217.1	302.1	1414	1201.9	-217.1	302.1
1415	20	-42	302.1	1416	1390	-42	302.1	1417	1011.9	-371.7	302.2	1418	1390	-859.2	302.3
1419	1011.9	-321.2	302.3	1420	1390	-890.3	304.1	1421	1390	-743.4	304.4	1422	1390	-699.8	307
1423	20	-118.3	307.3	1424	20	-621.4	307.3	1425	1390	-158.5	309.3	1426	1390	-101.3	309.9
1427	1390	-223.1	309.9	1428	1390	-404.5	311	1429	1390	-286.6	314	1430	20	-199.5	314.1
1431	20	-546.2	314.1	1432	1390	-351.9	321.9	1433	1390	-779.6	322.8	1434	1390	-836.1	325.7
1435	1390	-661.9	326	1436	1390	-590.9	326	1437	1390	-519.9	326	1438	20	-471.8	326
1439	1390	-448.9	326	1440	20	-411.8	326	1441	20	-351.8	326	1442	20	-291.8	326
1443	1390	-812.2	328	1444	1390	-917.6	350	1445	1390	-859.8	350.3	1446	1390	-689.7	357.6
1447	1390	-384.6	358.2	1448	1390	-418.2	358.6	1449	1390	-732.5	359.2	1450	1390	-646.2	363
1451	1390	-816	365.3	1452	1390	-773.2	365.7	1453	1390	-460.6	366.3	1454	1390	-589.7	373.2
1455	1390	-991.9	375	1456	1390	-227.4	375.7	1457	1390	-286.3	377.8	1458	1339.6	-981	378.3
1459	1390	-519.2	379.3	1460	1390	-167.2	379.8	1461	1201.9	-363.2	380.5	1462	1201.9	-290.5	380.8
1463	1289.2	-970.2	381.4	1464	169.8	-729.1	381.4	1465	94.9	-712.9	381.4	1466	20	-696.8	381.4
1467	821.9	-436.1	381.4	1468	1201.9	-436.1	381.4	1469	957.9	-421.1	381.4	1470	985	-421.1	381.4
1471	1011.9	-421.1	381.4	1472	1038.9	-421.1	381.4	1473	1065.9	-421.1	381.4	1474	821.9	-380.9	381.4
1475	821.9	-325.7	381.4	1476	821.9	-271	381.4	1477	821.9	-217.1	381.4	1478	1011.9	-217.1	381.4
1479	1201.9	-217.1	381.4	1480	20	-42	381.4	1481	1390	-42	381.4	1482	1011.9	-370.9	381.7
1483	1011.9	-268.9	381.9	1484	1011.9	-320.3	382.1	1485	1390	-341.5	382.8	1486	20	-109.3	385.3
1487	20	-620.8	385.3	1488	20	-182.7	389.7	1489	20	-545.2	389.7	1490	1390	-382.2	393.4
1491	20	-260	394.6	1492	20	-470.7	394.6	1493	1390	-643.3	395.8	1494	20	-330.2	396.1
1495	20	-399.9	396.1	1496	1390	-419.2	396.9	1497	1390	-103	397.9	1498	1390	-457	400.6
1499	1390	-680.3	400.6	1500	1390	-860.2	403.8	1501	1390	-490.2	404.9	1502	1390	-722.3	405.4
1503	1390	-764.6	415.4	1504	1390	-818.1	415.9	1505	1390	-539.9	423.3	1506	1390	-603.4	423.7
1507	1390	-497.2	432.1	1508	1390	-420	433.8	1509	1390	-457.9	434.2	1510	1390	-383.9	434.2
1511	1390	-233.6	434.9	1512	1390	-179.7	436.1	1513	1390	-344.2	436.3	1514	1390	-664.7	436.7
1515	1390	-290	438	1516	1390	-710.4	439	1517	1390	-136.5	441	1518	1390	-902.7	445.1
1519	1390	-991.9	457.5	1520	1390	-540.1	457.6	1521	1339.6	-981	459.1	1522	1201.9	-363.4	460.6
1523	1201.9	-290.5	460.6	1524	1289.2	-970.2	460.7	1525	169.8	-729.1	460.7	1526	94.9	-712.9	460.7
1527	20	-696.8	460.7	1528	821.9	-436.1	460.7	1529	1201.9	-436.1	460.7	1530	957.9	-421.1	460.7
1531	985	-421.1	460.7	1532	1011.9	-421.1	460.7	1533	1038.9	-421.1	460.7	1534	1065.9	-421.1	460.7
1535	821.9	-381.1	460.7	1536	821.9	-326.2	460.7	1537	821.9	-271.5	460.7	1538	821.9	-217.1	460.7
1539	1011.9	-217.1	460.7	1540	1201.9	-217.1	460.7	1541	20	-42	460.7	1542	1390	-42	460.7
1543	1011.9	-370.5	461.1	1544	1011.9	-268.5	461.1	1545	1011.9	-319.8	461.4	1546	20	-94.1	462.7
1547	20	-619.8	462.7	1548	1390	-388	463.9	1549	20	-162.1	464.8	1550	20	-542.9	464.8
1551	1390	-500.6	465.8	1552	20	-235.4	466.8	1553	1390	-465.9	466.8	1554	20	-309.1	467.6
1555	20	-387.1	467.6	1556	1390	-823.8	468.6	1557	1390	-419.6	469.2	1558	1390	-458.3	469.6
1559	1390	-84.3	471.5	1560	1390	-744.1	473.5	1561	1390	-580.6	482.8	1562	1390	-664.6	483.6
1563	1390	-129.3	487.2	1564	1390	-360.6	488.3	1565	1390	-181.9	488.4	1566	1390	-238	488.4
1567	1390	-297.1	488.9	1568	1390	-510.7	497.8	1569	1390	-414.7	499.9	1570	1390	-459.8	501.9
1571	1390	-991.9	540	1572	1339.6	-981	540	1573	1289.2	-970.2	540	1574	1201.9	-951.4	540
1575	1390	-911.1	540	1576	893.2	-884.9	540	1577	1390	-830.4	540	1578	570.6	-815.4	540
1579	1390	-749.6	540	1580	244.8	-745.2	540	1581	169.8	-729.1	540	1582	94.9	-712.9	540
1583	20	-696.8	540	1584	1390	-668.9	540	1585	1201.9	-646.9	540	1586	1390	-646.9	540
1587	1620	-646.9	540	1588	20	-618.8	540	1589	1390	-585.4	540	1590	20	-540.8	540
1591	741.1	-532.3	540	1592	1201.9	-501.9	540	1593	1390	-501.9	540	1594	1620	-501.9	540
1595	-250	-479.3	540	1596	20	-479.3	540	1597	244.8	-479.3	540	1598	20	-462.8	540
1599	1390	-455.9	540	1600	821.9	-436.1	540	1601	1201.9	-436.1	540	1602	1390	-421.1	540
1603	1303.5	-421.1	540	1604	1201.9	-421.1	540	1605	821.9	-421.1	540	1606	754.3	-421.1	540
1607	957.9	-421.1	540	1608	984.9	-421.1	540	1609	1011.9	-421.1	540	1610	1038.9	-421.1	540
1611	1065.9	-421.1	540	1612	1216.9	-418.6	540	1613	1303.5	-418.6	540	1614	1390	-418.6	540
1615	821.9	-381.4	540	1616	20	-373.3	540	1617	1011.9	-370.1	540	1618	1201.9	-363.1	540
1619	1390	-359.3	540	1620	1303.5	-355.7	540	1621	1216.9	-351.4	540	1622	821.9	-326.6	540
1623	1011.9	-319.1	540	1624	244.8	-312.8	540	1625	1390	-300	540	1626	1303.5	-293.6	540
1627	1201.9	-290.1	540	1628	-250	-289.3	540	1629	20	-289.3	540	1630	244.8	-289.3	540
1631	1216.9	-284.3	540	1632	20	-283.8	540	1633	821.9	-271.9	540	1634	1011.9	-268.1	540
1635	20	-265	540	1636	244.8	-262.2	540	1637	1390	-240.7	540	1638	1303.5	-234.3	540
1639	821.9	-217.1	540	1640	1011.9	-217.1	540	1641	1201.9	-217.1	540	1642	1216.9	-217.1	540
1643	20	-210.1	540	1644	1201.9	-202.4	540	1645	1216.9	-202.4	540	1646	821.9	-202.1	540
1647	1011.9	-202.1	540	1648	1303.5	-186	540	1649	1390	-181.4	540	1650	20	-136.5	540
1651	1216.9	-132.6	540	1652	1303.5	-125.9	540	1653	1390	-122.1	540	1654	20	-62.8	540
1655	244.8	-62.8	540	1656	1216.9	-62.8	540	1657	1303.5	-62.8	540	1658	1390	-62.8	540

Indice	Posizione			Indice	Posizione			Indice	Posizione			Indice	Posizione		
	X	Y	Z		X	Y	Z		X	Y	Z		X	Y	Z
1823	1390	-911.3	858.6	1824	20	-95.3	858.6	1825	1390	-242.7	858.7	1826	1390	-188.3	860
1827	1390	-135.7	860.8	1828	1390	-86.6	861.5	1829	1390	-991.9	862	1830	1339.6	-981	862
1831	1289.2	-970.2	862	1832	169.8	-729.1	862	1833	94.9	-712.9	862	1834	20	-696.8	862
1835	821.9	-436.1	862	1836	1201.9	-436.1	862	1837	957.9	-421.1	862	1838	984.9	-421.1	862
1839	1011.9	-421.1	862	1840	1038.9	-421.1	862	1841	1065.9	-421.1	862	1842	1011.9	-375.3	862
1843	1201.9	-374.7	862	1844	1011.9	-330	862	1845	1201.9	-314.9	862	1846	1011.9	-285.9	862
1847	1201.9	-257.6	862	1848	1011.9	-243.4	862	1849	1201.9	-202.4	862	1850	821.9	-202.1	862
1851	1011.9	-202.1	862	1852	20	-42	862	1853	1390	-42	862	1854	821.9	-308.7	864.4
1855	821.9	-261.8	865.7	1856	821.9	-349.3	921.3	1857	1390	-560.9	926.8	1858	1390	-507.2	927
1859	1390	-616.6	927.1	1860	20	-374	927.6	1861	1390	-457	928.4	1862	1390	-676.6	928.5
1863	20	-289.6	928.6	1864	20	-459.9	928.8	1865	1390	-409	933.5	1866	1390	-751.9	933.9
1867	20	-216.8	933.9	1868	20	-540	934.4	1869	1390	-354.8	937.1	1870	1390	-831.1	937.8
1871	20	-148.8	937.9	1872	821.9	-273.5	938.5	1873	20	-618.6	938.9	1874	1390	-298.6	939.3
1875	1390	-911.4	940.5	1876	20	-87.2	940.5	1877	1390	-241.9	940.5	1878	1390	-185.6	941.3
1879	1390	-131	941.8	1880	1390	-80.6	942.2	1881	1390	-991.9	942.5	1882	1339.6	-981	942.5
1883	1289.2	-970.2	942.5	1884	169.8	-729.1	942.5	1885	94.9	-712.9	942.5	1886	20	-696.8	942.5
1887	821.9	-436.1	942.5	1888	1201.9	-436.1	942.5	1889	957.9	-421.1	942.5	1890	984.9	-421.1	942.5
1891	1011.9	-421.1	942.5	1892	1038.9	-421.1	942.5	1893	1065.9	-421.1	942.5	1894	1011.9	-376.3	942.5
1895	1201.9	-376.2	942.5	1896	1011.9	-331.8	942.5	1897	1201.9	-317.1	942.5	1898	1011.9	-287.8	942.5
1899	1201.9	-259.2	942.5	1900	1011.9	-244.7	942.5	1901	1201.9	-202.4	942.5	1902	821.9	-202.1	942.5
1903	1011.9	-202.1	942.5	1904	20	-42	942.5	1905	1390	-42	942.5	1906	1390	-991.9	1023
1907	1339.6	-981	1023	1908	1289.2	-970.2	1023	1909	1201.9	-951.4	1023	1910	1390	-911.1	1023
1911	893.2	-884.9	1023	1912	1390	-830.4	1023	1913	570.6	-815.4	1023	1914	1390	-749.6	1023
1915	244.8	-745.2	1023	1916	169.8	-729.1	1023	1917	94.9	-712.9	1023	1918	20	-696.8	1023
1919	1390	-668.9	1023	1920	1201.9	-646.9	1023	1921	1390	-646.9	1023	1922	1620	-646.9	1023
1923	20	-618.8	1023	1924	1390	-613.2	1023	1925	1390	-557.5	1023	1926	20	-540.8	1023
1927	748.6	-529.6	1023	1928	1201.9	-501.9	1023	1929	1390	-501.9	1023	1930	1620	-501.9	1023
1931	-250	-479.3	1023	1932	20	-479.3	1023	1933	244.8	-479.3	1023	1934	20	-462.8	1023
1935	1390	-455.9	1023	1936	821.9	-436.1	1023	1937	1201.9	-436.1	1023	1938	1390	-421.1	1023
1939	1303.5	-421.1	1023	1940	1201.9	-421.1	1023	1941	821.9	-421.1	1023	1942	754.3	-421.1	1023
1943	957.9	-421.1	1023	1944	984.9	-421.1	1023	1945	1011.9	-421.1	1023	1946	1038.9	-421.1	1023
1947	1065.9	-421.1	1023	1948	1216.9	-418.6	1023	1949	1303.5	-418.6	1023	1950	1390	-418.6	1023
1951	1201.9	-377.7	1023	1952	1011.9	-377.3	1023	1953	20	-373.3	1023	1954	1216.9	-364.5	1023
1955	1303.5	-361.9	1023	1956	1390	-359.3	1023	1957	821.9	-358.1	1023	1958	1011.9	-333.5	1023
1959	1201.9	-319.2	1023	1960	244.8	-312.8	1023	1961	1216.9	-310.5	1023	1962	1303.5	-305.1	1023
1963	1390	-300	1023	1964	1011.9	-289.7	1023	1965	-250	-289.3	1023	1966	20	-289.3	1023
1967	244.8	-289.3	1023	1968	20	-283.8	1023	1969	821.9	-280.1	1023	1970	20	-265	1023
1971	1201.9	-260.8	1023	1972	1216.9	-256.4	1023	1973	1303.5	-248	1023	1974	1011.9	-245.9	1023
1975	1390	-240.7	1023	1976	20	-210.1	1023	1977	1201.9	-202.4	1023	1978	1216.9	-202.4	1023
1979	244.8	-202.1	1023	1980	821.9	-202.1	1023	1981	1011.9	-202.1	1023	1982	1303.5	-189.6	1023
1983	1390	-181.4	1023	1984	20	-136.5	1023	1985	1216.9	-132.6	1023	1986	1303.5	-126.8	1023
1987	1390	-122.1	1023	1988	20	-62.8	1023	1989	244.8	-62.8	1023	1990	1216.9	-62.8	1023
1991	1303.5	-62.8	1023	1992	1390	-62.8	1023	1993	20	-42	1023	1994	1390	-42	1023
1995	1390	-991.9	1086.2	1996	1339.6	-981	1086.2	1997	1289.2	-970.2	1086.2	1998	20	-44.2	1086.2
1999	1390	-42	1086.2	2000	1390	-78.9	1087	2001	1390	-129.3	1087.7	2002	20	-84.8	1088
2003	1390	-911.4	1088.2	2004	1390	-184.2	1088.7	2005	1390	-241.5	1089.5	2006	20	-146.2	1089.9
2007	1390	-830.7	1090.3	2008	1390	-299.2	1091.1	2009	1390	-355.9	1092.3	2010	20	-213.6	1092.5
2011	1390	-749.9	1092.8	2012	1390	-409.6	1093.8	2013	1390	-668.9	1095.5	2014	20	-462.8	1095.5
2015	1390	-455.9	1095.5	2016	20	-283.8	1095.5	2017	20	-536.8	1099.3	2018	169.8	-729.1	1102
2019	94.9	-712.9	1102	2020	20	-696.8	1102	2021	821.9	-436.1	1102	2022	1201.9	-436.1	1102
2023	957.9	-421.1	1102	2024	984.9	-421.1	1102	2025	1011.9	-421.1	1102	2026	1038.9	-421.1	1102
2027	1065.9	-421.1	1102	2028	1201.9	-377.7	1102	2029	1011.9	-377.3	1102	2030	821.9	-358.1	1102
2031	1011.9	-333.5	1102	2032	1201.9	-319.2	1102	2033	1011.9	-289.7	1102	2034	821.9	-280.1	1102
2035	1201.9	-260.8	1102	2036	1011.9	-245.9	1102	2037	1201.9	-202.4	1102	2038	821.9	-202.1	1102
2039	1011.9	-202.1	1102	2040	20	-614.3	1104.3	2041	1390	-991.9	1149.4	2042	1339.6	-981	1149.4
2043	1289.2	-970.2	1149.4	2044	20	-42	1149.4	2045	1390	-42	1149.4	2046	1390	-83.4	1150.8
2047	1390	-132.2	1152.1	2048	20	-90.9	1152.5	2049	1390	-911.6	1153	2050	1390	-185.5	1153.8
2051	1390	-241.9	1155.4	2052	20	-150	1156.2	2053	1390	-831.1	1156.9	2054	1390	-298.9	1158
2055	1390	-354.7	1160.4	2056	20	-215.1	1161.3	2057	1390	-750.2	1161.8	2058	1390	-407.2	1163.6
2059	1390	-668.9	1168	2060	20	-462.8	1168	2061	1390	-455.9	1168	2062	20	-283.8	1168
2063	20	-529.5	1174.6	2064	169.8	-729.1	1181	2065	94.9	-712.9	1181	2066	20	-696.8	1181
2067	821.9	-436.1	1181	2068	1201.9	-436.1	1181	2069	957.9	-421.1	1181	2070	984.9	-421.1	1181
2071	1011.9	-421.1	1181	2072	1038.9	-421.1	1181	2073	1065.9	-421.1	1181	2074	1201.9	-377.7	1181
2075	1011.9	-377.3	1181	2076	821.9	-358.1	1181	2077	1011.9	-333.5	1181	2078	1201.9	-319.2	1181
2079	1011.9	-289.7	1181	2080	821.9	-280.1	1181	2081	1201.9	-260.8	1181	2082	1011.9	-245.9	1181
2083	1201.9	-202.4	1181	2084	821.9	-202.1	1181	2085	1011.9	-202.1	1181	2086	20	-604.6	1193.4
2087	1390	-991.9	1212.6	2088	1339.6	-981	1212.6	2089	1289.2	-970.2	1212.6	2090	20	-42	1212.6
2091	1390	-42	1212.6	2092	1390	-83.4	1214.2	2093	1390	-131.5	1215.9	2094	20	-90.8	1216.2
2095	1390	-911.9	1216.7	2096	1390	-185.2	1217.7	2097	1390	-241.9	1219.8	2098	20	-148.7	1221
2099	1390	-831.6	1221.6	2100	1390	-299.2	1222.1	2101	1390	-355	1225.4	2102	20	-214.8	1228.4
2103	1390	-750.7	1229	2104	1390	-407.5	1230.9	2105	20	-514.4	1237.1	2106	20	-560	1239
2107	1390	-668.9	1240.5	2108	20	-462.8	1240.5	2109	1390	-455.9	1240.5	2110	20	-283.8	1240.5
2111	169.8	-729.1	1260	2112	94.9	-712.9	1260	2113	20	-696.8	1260	2114	821.9	-436.1	1260
2115	1201.9	-436.1	1260	2116	957.9	-421.1	1260	2117	984.9	-421.1	1260	2118	1011.9	-421.1	1260
2119	1038.9	-421.1	1260	2120	1065.9	-421.1	1260	2121	1201.9	-377.7	1260	2122	1011.9	-377.3	1260
2123	821.9	-358.1	1260	2124	1011.9	-333.5	1260	2125	1201.9	-319.2	1260	2126	1011.9	-289.7	1260
2127	821.9	-280.1	1260	2128	1201.9	-260.8	1260	2129	1011.9	-245.9	1260	2130	1201.9	-202.4	1260
21															

Indice	Posizione			Indice	Posizione			Indice	Posizione			Indice	Posizione		
	X	Y	Z		X	Y	Z		X	Y	Z		X	Y	Z
2299	1390	-991.9	1427	2300	1339.6	-981	1427	2301	1289.2	-970.2	1427	2302	169.8	-729.1	1427
2303	94.9	-712.9	1427	2304	20	-696.8	1427	2305	957.9	-421.1	1427	2306	1065.9	-421.1	1427
2307	20	-42	1427	2308	1390	-42	1427	2309	1390	-471.1	1427.2	2310	1390	-908.9	1427.5
2311	1390	-256.7	1427.9	2312	1390	-819.7	1430.6	2313	1390	-507.2	1433	2314	1390	-544.9	1439.3
2315	1390	-209.5	1442.6	2316	1390	-603	1445.8	2317	1390	-160.4	1451.3	2318	1390	-668.4	1451.9
2319	1390	-732	1457.7	2320	1390	-501.3	1463	2321	1390	-778.3	1466.7	2322	1390	-264.3	1466.7
2323	1390	-468	1468.1	2324	1390	-309.5	1470.7	2325	1390	-421.3	1471.7	2326	1390	-364.8	1472.1
2327	20	-376.8	1489	2328	20	-281.8	1489	2329	1390	-529.1	1490.1	2330	821.9	-436.1	1499
2331	1201.9	-436.1	1499	2332	1011.9	-421.1	1499	2333	1201.9	-377.7	1499	2334	1011.9	-377.3	1499
2335	821.9	-358.1	1499	2336	1011.9	-333.5	1499	2337	1201.9	-319.2	1499	2338	1011.9	-289.7	1499
2339	821.9	-280.1	1499	2340	1201.9	-260.8	1499	2341	1011.9	-245.9	1499	2342	1201.9	-202.4	1499
2343	821.9	-202.1	1499	2344	1011.9	-202.1	1499	2345	20	-440.4	1499.9	2346	20	-215	1500.7
2347	1390	-229.9	1502.1	2348	1390	-591.5	1503.4	2349	20	-500.7	1506.2	2350	20	-151.8	1507.7
2351	20	-564.1	1509.9	2352	1390	-479.1	1510.1	2353	1390	-661.8	1511.3	2354	20	-93.8	1511.9
2355	1390	-134.3	1512.5	2356	20	-629.9	1512.6	2357	1390	-725.3	1513.2	2358	1390	-780.6	1514.1
2359	1390	-831.8	1514.2	2360	1390	-910.3	1514.3	2361	1390	-991.9	1515	2362	1339.6	-981	1515
2363	1289.2	-970.2	1515	2364	169.8	-729.1	1515	2365	94.9	-712.9	1515	2366	20	-696.8	1515
2367	957.9	-421.1	1515	2368	1065.9	-421.1	1515	2369	20	-42	1515	2370	1390	-42	1515
2371	1390	-301.6	1518.3	2372	1390	-363.2	1523.7	2373	1390	-426.9	1534.8	2374	1390	-529.9	1536.3
2375	1390	-492.5	1547.4	2376	1390	-458.1	1556.6	2377	1390	-775.7	1560.7	2378	20	-376.8	1564
2379	20	-329.3	1564	2380	20	-281.8	1564	2381	1390	-571.9	1565.6	2382	1390	-726.7	1569.6
2383	1390	-240.2	1569.7	2384	1390	-360.4	1570.4	2385	1390	-183.2	1570.7	2386	1390	-655.3	1570.8
2387	1390	-304.5	1576.4	2388	821.9	-436.1	1579	2389	1201.9	-436.1	1579	2390	1011.9	-421.1	1579
2391	1201.9	-377.7	1579	2392	1011.9	-358.1	1579	2393	821.9	-358.1	1579	2394	1011.9	-333.5	1579
2395	1201.9	-319.2	1579	2396	1011.9	-289.7	1579	2397	821.9	-280.1	1579	2398	1201.9	-260.8	1579
2399	1011.9	-245.9	1579	2400	1201.9	-202.1	1579	2401	821.9	-202.1	1579	2402	1011.9	-202.1	1579
2403	1390	-457.6	1584.6	2404	1390	-503.6	1586.1	2405	20	-440.2	1587.4	2406	20	-214.8	1588
2407	20	-503	1595.5	2408	20	-153.9	1596.6	2409	1390	-816.6	1597.7	2410	20	-566.7	1599
2411	20	-96.6	1600.5	2412	20	-631.5	1601.2	2413	1390	-907.5	1601.4	2414	1390	-991.9	1603
2415	1339.6	-981	1603	2416	1289.2	-970.2	1603	2417	169.8	-729.1	1603	2418	94.9	-712.9	1603
2419	20	-696.8	1603	2420	957.9	-421.1	1603	2421	1065.9	-421.1	1603	2422	20	-42	1603
2423	1390	-42	1603	2424	1390	-114.6	1608.9	2425	1390	-413.9	1610	2426	1390	-737.7	1621.6
2427	1390	-322.3	1627.1	2428	1390	-659.7	1628.4	2429	1390	-579.1	1628.9	2430	1390	-175.6	1629.2
2431	1390	-243.1	1629.4	2432	1390	-499.8	1629.5	2433	821.9	-436.1	1659	2434	1201.9	-436.1	1659
2435	1011.9	-421.1	1659	2436	1201.9	-377.7	1659	2437	1011.9	-377.3	1659	2438	821.9	-358.1	1659
2439	1011.9	-333.5	1659	2440	1201.9	-319.2	1659	2441	1011.9	-289.7	1659	2442	821.9	-280.1	1659
2443	1201.9	-260.8	1659	2444	1011.9	-245.9	1659	2445	1201.9	-202.1	1659	2446	821.9	-202.1	1659
2447	1011.9	-202.1	1659	2448	1002.9	-421.1	1661.7	2449	1390	-1163.9	1691	2450	1390	-991.9	1691
2451	1339.6	-981	1691	2452	1289.2	-970.2	1691	2453	20	-914.9	1691	2454	1390	-910.3	1691
2455	893.2	-884.9	1691	2456	1390	-828.8	1691	2457	570.6	-815.4	1691	2458	1390	-747.3	1691
2459	169.8	-729.1	1691	2460	94.9	-712.9	1691	2461	20	-701.9	1691	2462	20	-696.8	1691
2463	1390	-665.7	1691	2464	-189.2	-656.9	1691	2465	20	-632.8	1691	2466	1390	-584.2	1691
2467	20	-568.8	1691	2468	20	-504.8	1691	2469	1390	-502.7	1691	2470	20	-440.8	1691
2471	1390	-421.1	1691	2472	957.9	-421.1	1691	2473	984.9	-421.1	1691	2474	1011.9	-421.1	1691
2475	1038.9	-421.1	1691	2476	1065.9	-421.1	1691	2477	20	-376.8	1691	2478	1390	-328.1	1691
2479	20	-320.9	1691	2480	20	-265	1691	2481	1390	-235	1691	2482	20	-209.3	1691
2483	1390	-170.7	1691	2484	20	-153.5	1691	2485	1390	-106.3	1691	2486	20	-97.8	1691
2487	20	-42	1691	2488	1390	-42	1691	2489	957.9	-421.1	1715	2490	998.4	-421.1	1715
2491	1038.9	-421.1	1715	2492	1390	-991.9	1739	2493	1390	-910.3	1739	2494	1390	-828.8	1739
2495	1390	-747.3	1739	2496	20	-696.8	1739	2497	1390	-665.7	1739	2498	20	-610.4	1739
2499	1390	-584.2	1739	2500	20	-524.1	1739	2501	1390	-502.7	1739	2502	20	-437.7	1739
2503	821.9	-436.1	1739	2504	1201.9	-436.1	1739	2505	1390	-421.1	1739	2506	1201.9	-421.1	1739
2507	821.9	-421.1	1739	2508	754.3	-421.1	1739	2509	957.9	-421.1	1739	2510	984.9	-421.1	1739
2511	1011.9	-421.1	1739	2512	1065.9	-421.1	1739	2513	1201.9	-377.7	1739	2514	1011.9	-377.3	1739
2515	821.9	-358.1	1739	2516	20	-351.4	1739	2517	1011.9	-333.5	1739	2518	1390	-328.1	1739
2519	1201.9	-319.2	1739	2520	1011.9	-289.7	1739	2521	821.9	-280.1	1739	2522	20	-265	1739
2523	1201.9	-260.8	1739	2524	1011.9	-245.9	1739	2525	20	-235	1739	2526	821.9	-235	1739
2527	1011.9	-235	1739	2528	1201.9	-235	1739	2529	1390	-235	1739	2530	20	-209.3	1739
2531	1201.9	-202.1	1739	2532	821.9	-202.1	1739	2533	1011.9	-202.1	1739	2534	1390	-170.7	1739
2535	20	-153.5	1739	2536	1390	-106.3	1739	2537	20	-97.8	1739	2538	20	-42	1739
2539	1390	-42	1739												

5.2 Aste

5.2.1 Carichi su aste

5.2.1.1 Carichi trapezoidali locali

Indice asta: indice dell'asta a cui si riferisce il carico trapezoidale.

Condizione: condizione elementare di carico a cui si riferisce il carico.

Posizione iniziale: posizione iniziale del carico sull'asse locale 1. [cm]

F1 iniziale: componente del valore iniziale del carico lungo l'asse locale 1. [daN/cm]

F2 iniziale: componente del valore iniziale del carico lungo l'asse locale 2. [daN/cm]

F3 iniziale: componente del valore iniziale del carico lungo l'asse locale 3. [daN/cm]

Posizione finale: posizione finale del carico sull'asse locale 1. [cm]

F1 finale: componente del valore finale del carico lungo l'asse locale 1. [daN/cm]

F2 finale: componente del valore finale del carico lungo l'asse locale 2. [daN/cm]

F3 finale: componente del valore finale del carico lungo l'asse locale 3. [daN/cm]

Indice asta	Condizione	Posizione iniziale	F1 iniziale	F2 iniziale	F3 iniziale	Posizione finale	F1 finale	F2 finale	F3 finale
5	Pesi strutturali	0	0	-5.372	0	76.7	0	-5.719	0
5	Permanenti portati	0	0	-2.442	0	76.7	0	-2.6	0
5	Variabile C - Musei	0	0	-6.104	0	76.7	0	-6.499	0
6	Pesi strutturali	0	0	-9.3	0	333.3	0	-9.319	0
6	Permanenti portati	0	0	-4.227	0	333.3	0	-4.236	0
6	Variabile C - Musei	0	0	-10.568	0	333.3	0	-10.59	0
7	Pesi strutturali	0	0	-9.319	0	187.9	0	-9.33	0
7	Permanenti portati	0	0	-4.236	0	187.9	0	-4.241	0
7	Variabile C - Musei	0	0	-10.59	0	187.9	0	-10.603	0
7	Pesi strutturali	187.9	0	-9.33	0	330	0	-9.974	0
7	Permanenti portati	187.9	0	-4.241	0	330	0	-4.534	0
7	Variabile C - Musei	187.9	0	-10.603	0	330	0	-11.334	0
8	Pesi strutturali	0	0	-9.974	0	315.8	0	-11.404	0
8	Permanenti portati	0	0	-4.534	0	315.8	0	-5.184	0
8	Variabile C - Musei	0	0	-11.334	0	315.8	0	-12.959	0
9	Pesi strutturali	0	0	-6.549	0	89.2	0	-6.953	0
9	Permanenti portati	0	0	-2.977	0	89.2	0	-3.16	0
9	Variabile C - Musei	0	0	-7.442	0	89.2	0	-7.901	0
12	Pesi strutturali	0	0	-9.226	0	116.9	0	-9.749	0
12	Permanenti portati	0	0	-4.194	0	116.9	0	-4.431	0
12	Variabile C - Musei	0	0	-10.484	0	116.9	0	-11.078	0
12	Pesi strutturali	116.9	0	-4.089	0	229.9	0	-4.089	0
12	Permanenti portati	116.9	0	-1.858	0	229.9	0	-1.858	0
12	Variabile C - Musei	116.9	0	-4.646	0	229.9	0	-4.646	0
13	Pesi strutturali	0	0	-9.305	0	520.8	0	-9.335	0
13	Permanenti portati	0	0	-4.23	0	520.8	0	-4.243	0
13	Variabile C - Musei	0	0	-10.574	0	520.8	0	-10.609	0
14	Pesi strutturali	0	0	-9.544	0	67.6	0	-9.865	0
14	Permanenti portati	0	0	-4.338	0	67.6	0	-4.484	0
14	Variabile C - Musei	0	0	-10.846	0	67.6	0	-11.21	0
15	Pesi strutturali	0	0	-9.865	0	136	0	-10.509	0
15	Permanenti portati	0	0	-4.484	0	136	0	-4.777	0
15	Variabile C - Musei	0	0	-11.21	0	136	0	-11.942	0
20	Pesi strutturali	0	0	-11.021	0	136	0	-11.665	0
20	Permanenti portati	0	0	-5.009	0	136	0	-5.302	0
20	Variabile C - Musei	0	0	-12.524	0	136	0	-13.256	0
21	Pesi strutturali	0	0	-1.776	0	101.5	0	-1.776	0
21	Permanenti portati	0	0	-0.807	0	101.5	0	-0.807	0
21	Variabile C - Musei	0	0	-2.019	0	101.5	0	-2.019	0
22	Pesi strutturali	0	0	-1.776	0	86.5	0	-1.776	0
22	Permanenti portati	0	0	-0.807	0	86.5	0	-0.807	0
22	Variabile C - Musei	0	0	-2.019	0	86.5	0	-2.019	0
26	Permanenti portati	0	0	-14	0	199.4	0	-14	0

Indice asta	Condizione	Posizione iniziale	F1 iniziale	F2 iniziale	F3 iniziale	Posizione finale	F1 finale	F2 finale	F3 finale
26	Variabile C - Musei	0	0	-14	0	199.4	0	-14	0
29	Pesi strutturali	0	0	-5.372	0	76.7	0	-5.719	0
29	Permanenti portati	0	0	-2.442	0	76.7	0	-2.6	0
29	Variabile C - Musei	0	0	-6.104	0	76.7	0	-6.499	0
30	Pesi strutturali	0	0	-9.3	0	333.3	0	-9.319	0
30	Permanenti portati	0	0	-4.227	0	333.3	0	-4.236	0
30	Variabile C - Musei	0	0	-10.568	0	333.3	0	-10.59	0
31	Pesi strutturali	0	0	-9.319	0	187.9	0	-9.33	0
31	Permanenti portati	0	0	-4.236	0	187.9	0	-4.241	0
31	Variabile C - Musei	0	0	-10.59	0	187.9	0	-10.603	0
31	Pesi strutturali	187.9	0	-9.33	0	330	0	-9.974	0
31	Permanenti portati	187.9	0	-4.241	0	330	0	-4.534	0
31	Variabile C - Musei	187.9	0	-10.603	0	330	0	-11.334	0
32	Pesi strutturali	0	0	-9.974	0	315.8	0	-11.404	0
32	Permanenti portati	0	0	-4.534	0	315.8	0	-5.184	0
32	Variabile C - Musei	0	0	-11.334	0	315.8	0	-12.959	0
33	Pesi strutturali	0	0	-6.549	0	89.2	0	-6.953	0
33	Permanenti portati	0	0	-2.977	0	89.2	0	-3.16	0
33	Variabile C - Musei	0	0	-7.442	0	89.2	0	-7.901	0
36	Pesi strutturali	0	0	-9.226	0	116.9	0	-9.749	0
36	Permanenti portati	0	0	-4.194	0	116.9	0	-4.431	0
36	Variabile C - Musei	0	0	-10.484	0	116.9	0	-11.078	0
36	Pesi strutturali	116.9	0	-4.089	0	229.9	0	-4.089	0
36	Permanenti portati	116.9	0	-1.858	0	229.9	0	-1.858	0
36	Variabile C - Musei	116.9	0	-4.646	0	229.9	0	-4.646	0
37	Pesi strutturali	0	0	-9.305	0	520.8	0	-9.335	0
37	Permanenti portati	0	0	-4.23	0	520.8	0	-4.243	0
37	Variabile C - Musei	0	0	-10.574	0	520.8	0	-10.609	0
38	Pesi strutturali	0	0	-9.544	0	67.6	0	-9.865	0
38	Permanenti portati	0	0	-4.338	0	67.6	0	-4.484	0
38	Variabile C - Musei	0	0	-10.846	0	67.6	0	-11.21	0
39	Pesi strutturali	0	0	-9.865	0	136	0	-10.509	0
39	Permanenti portati	0	0	-4.484	0	136	0	-4.777	0
39	Variabile C - Musei	0	0	-11.21	0	136	0	-11.942	0
44	Pesi strutturali	0	0	-11.021	0	136	0	-11.665	0
44	Permanenti portati	0	0	-5.009	0	136	0	-5.302	0
44	Variabile C - Musei	0	0	-12.524	0	136	0	-13.256	0
45	Pesi strutturali	0	0	-1.776	0	101.5	0	-1.776	0
45	Permanenti portati	0	0	-0.807	0	101.5	0	-0.807	0
45	Variabile C - Musei	0	0	-2.019	0	101.5	0	-2.019	0
46	Pesi strutturali	0	0	-1.776	0	86.5	0	-1.776	0
46	Permanenti portati	0	0	-0.807	0	86.5	0	-0.807	0
46	Variabile C - Musei	0	0	-2.019	0	86.5	0	-2.019	0
50	Permanenti portati	0	0	-14	0	139.3	0	-14	0
50	Variabile C - Musei	0	0	-14	0	139.3	0	-14	0
55	Pesi strutturali	0	0	-4.673	0	156.4	0	-4.673	0
55	Permanenti portati	0	0	-2.124	0	156.4	0	-2.124	0
55	Variabile C - Musei	0	0	-5.31	0	156.4	0	-5.31	0
55	Pesi strutturali	156.4	0	-4.673	0	189	0	-4.646	0
55	Permanenti portati	156.4	0	-2.124	0	189	0	-2.112	0
55	Variabile C - Musei	156.4	0	-5.31	0	189	0	-5.28	0
55	Pesi strutturali	189	0	-4.646	0	204.9	0	-4.673	0
55	Permanenti portati	189	0	-2.112	0	204.9	0	-2.124	0
55	Variabile C - Musei	189	0	-5.28	0	204.9	0	-5.31	0
55	Pesi strutturali	204.9	0	-4.673	0	229.9	0	-4.687	0
55	Permanenti portati	204.9	0	-2.124	0	229.9	0	-2.13	0
55	Variabile C - Musei	204.9	0	-5.31	0	229.9	0	-5.326	0
56	Pesi strutturali	0	0	-9.305	0	520.8	0	-9.335	0
56	Permanenti portati	0	0	-4.23	0	520.8	0	-4.243	0
56	Variabile C - Musei	0	0	-10.574	0	520.8	0	-10.609	0
57	Pesi strutturali	0	0	-9.544	0	67.6	0	-9.865	0
57	Permanenti portati	0	0	-4.338	0	67.6	0	-4.484	0
57	Variabile C - Musei	0	0	-10.846	0	67.6	0	-11.21	0
58	Pesi strutturali	0	0	-9.865	0	136	0	-10.509	0
58	Permanenti portati	0	0	-4.484	0	136	0	-4.777	0
58	Variabile C - Musei	0	0	-11.21	0	136	0	-11.942	0
63	Pesi strutturali	0	0	-11.021	0	136	0	-11.665	0
63	Permanenti portati	0	0	-5.009	0	136	0	-5.302	0
63	Variabile C - Musei	0	0	-12.524	0	136	0	-13.256	0
64	Pesi strutturali	0	0	-1.449	0	101.5	0	-1.449	0
64	Permanenti portati	0	0	-0.659	0	101.5	0	-0.659	0
64	Variabile C - Musei	0	0	-1.647	0	101.5	0	-1.647	0
65	Pesi strutturali	0	0	-1.449	0	86.5	0	-1.449	0
65	Permanenti portati	0	0	-0.659	0	86.5	0	-0.659	0
65	Variabile C - Musei	0	0	-1.647	0	86.5	0	-1.647	0
72	Pesi strutturali	0	0	-5.372	0	76.7	0	-5.719	0
72	Permanenti portati	0	0	-2.442	0	76.7	0	-2.6	0
72	Variabile C - Musei	0	0	-6.104	0	76.7	0	-6.499	0
73	Pesi strutturali	0	0	-9.3	0	333.3	0	-9.319	0
73	Permanenti portati	0	0	-4.227	0	333.3	0	-4.236	0
73	Variabile C - Musei	0	0	-10.568	0	333.3	0	-10.59	0
74	Pesi strutturali	0	0	-9.319	0	187.9	0	-9.33	0
74	Permanenti portati	0	0	-4.236	0	187.9	0	-4.241	0
74	Variabile C - Musei	0	0	-10.59	0	187.9	0	-10.603	0
74	Pesi strutturali	187.9	0	-9.33	0	330	0	-9.974	0
74	Permanenti portati	187.9	0	-4.241	0	330	0	-4.534	0
74	Variabile C - Musei	187.9	0	-10.603	0	330	0	-11.334	0
75	Pesi strutturali	0	0	-9.974	0	315.8	0	-11.404	0
75	Permanenti portati	0	0	-4.534	0	315.8	0	-5.184	0
75	Variabile C - Musei	0	0	-11.334	0	315.8	0	-12.959	0
76	Pesi strutturali	0	0	-4.223	0	89.2	0	-4.627	0
76	Permanenti portati	0	0	-1.92	0	89.2	0	-2.103	0
76	Variabile C - Musei	0	0	-4.799	0	89.2	0	-5.258	0
83	Pesi strutturali	0	0	-5	0	410	0	-5	0
83	Permanenti portati	0	0	-8	0	410	0	-8	0
83	Neve	0	0	-1	0	410	0	-1	0
84	Pesi strutturali	0	0	-5	0	330	0	-5	0
84	Permanenti portati	0	0	-8	0	330	0	-8	0
84	Neve	0	0	-1	0	330	0	-1	0
85	Pesi strutturali	0	0	-5	0	405	0	-5	0
85	Permanenti portati	0	0	-8	0	405	0	-8	0
85	Neve	0	0	-1	0	405	0	-1	0
83	Pesi strutturali	0	0	-8.645	0	70.5	0	-8.328	0
83	Permanenti portati	0	0	-3.93	0	70.5	0	-3.785	0
83	Neve	0	0	-1.572	0	70.5	0	-1.514	0
83	Pesi strutturali	70.5	0	-8.328	0	410	0	-8.337	0
83	Permanenti portati	70.5	0	-3.785	0	410	0	-3.79	0
83	Neve	70.5	0	-1.514	0	410	0	-1.516	0
84	Pesi strutturali	0	0	-8.337	0	187.9	0	-8.343	0
84	Permanenti portati	0	0	-3.79	0	187.9	0	-3.792	0
84	Neve	0	0	-1.516	0	187.9	0	-1.517	0
84	Pesi strutturali	187.9	0	-8.343	0	330	0	-8.665	0
84	Permanenti portati	187.9	0	-3.792	0	330	0	-3.938	0
84	Neve	187.9	0	-1.517	0	330	0	-1.575	0
85	Pesi strutturali	0	0	-8.665	0	405	0	-9.582	0
85	Permanenti portati	0	0	-3.938	0	405	0	-4.355	0
85	Neve	0	0	-1.575	0	405	0	-1.742	0
89	Pesi strutturali	0	0	-4.646	0	750.7	0	-4.668	0
89	Permanenti portati	0	0	-2.112	0	750.7	0	-2.122	0
89	Neve	0	0	-0.845	0	750.7	0	-0.849	0

Indice asta	Condizione	Posizione iniziale	F1 iniziale	F2 iniziale	F3 iniziale	Posizione finale	F1 finale	F2 finale	F3 finale
89	Pesi strutturali	0	0	-0.646	0	4.3	0	-0.88	0
89	Permanententi portati	0	0	-0.293	0	4.3	0	-0.4	0
89	Neve	0	0	-0.117	0	4.3	0	-0.16	0
89	Pesi strutturali	4.3	0	-0.665	0	20.4	0	-0.737	0
89	Permanententi portati	4.3	0	-0.302	0	20.4	0	-0.335	0
89	Neve	4.3	0	-0.121	0	20.4	0	-0.134	0
89	Pesi strutturali	20.4	0	-0.88	0	96.2	0	-1.076	0
89	Permanententi portati	20.4	0	-0.4	0	96.2	0	-0.489	0
89	Neve	20.4	0	-0.16	0	96.2	0	-0.196	0
89	Pesi strutturali	96.2	0	-1.076	0	750.7	0	-4.005	0
89	Permanententi portati	96.2	0	-0.489	0	750.7	0	-1.821	0
89	Neve	96.2	0	-0.196	0	750.7	0	-0.728	0
90	Pesi strutturali	0	0	-4.772	0	67.6	0	-4.932	0
90	Permanententi portati	0	0	-2.169	0	67.6	0	-2.242	0
90	Neve	0	0	-0.868	0	67.6	0	-0.897	0
91	Pesi strutturali	0	0	-4.932	0	136	0	-5.255	0
91	Permanententi portati	0	0	-2.242	0	136	0	-2.388	0
91	Neve	0	0	-0.897	0	136	0	-0.955	0
95	Pesi strutturali	0	0	-5.538	0	136	0	-5.872	0
95	Permanententi portati	0	0	-2.517	0	136	0	-2.669	0
95	Neve	0	0	-1.007	0	136	0	-1.068	0
96	Pesi strutturali	0	0	-5.872	0	188.1	0	-6.334	0
96	Permanententi portati	0	0	-2.669	0	188.1	0	-2.879	0
96	Neve	0	0	-1.068	0	188.1	0	-1.152	0
90	Pesi strutturali	0	0	-4.095	0	67.6	0	-4.095	0
90	Permanententi portati	0	0	-1.861	0	67.6	0	-1.861	0
90	Neve	0	0	-0.745	0	67.6	0	-0.745	0
91	Pesi strutturali	0	0	-4.095	0	136	0	-4.095	0
91	Permanententi portati	0	0	-1.861	0	136	0	-1.861	0
91	Neve	0	0	-0.745	0	136	0	-0.745	0
95	Pesi strutturali	0	0	-4.04	0	136	0	-4.016	0
95	Permanententi portati	0	0	-1.836	0	136	0	-1.825	0
95	Neve	0	0	-0.735	0	136	0	-0.73	0
96	Pesi strutturali	0	0	-4.016	0	188.1	0	-3.983	0
96	Permanententi portati	0	0	-1.825	0	188.1	0	-1.81	0
96	Neve	0	0	-0.73	0	188.1	0	-0.724	0
97	Permanententi portati	0	0	-7	0	801.9	0	-7	0
97	Neve	0	0	-0.6	0	801.9	0	-0.6	0
98	Permanententi portati	0	0	-7	0	190	0	-7	0
98	Neve	0	0	-0.6	0	190	0	-0.6	0
99	Permanententi portati	0	0	-7	0	190	0	-7	0
99	Neve	0	0	-0.6	0	190	0	-0.6	0
100	Permanententi portati	0	0	-7	0	188.1	0	-7	0
100	Neve	0	0	-0.6	0	188.1	0	-0.6	0
97	Pesi strutturali	0	0	-9.152	0	4.2	0	-8.951	0
97	Permanententi portati	0	0	-4.16	0	4.2	0	-4.069	0
97	Neve	0	0	-1.664	0	4.2	0	-1.627	0
97	Pesi strutturali	4.2	0	-9.171	0	20	0	-9.246	0
97	Permanententi portati	4.2	0	-4.169	0	20	0	-4.203	0
97	Neve	4.2	0	-1.668	0	20	0	-1.681	0
97	Pesi strutturali	20	0	-9.099	0	94.1	0	-9.592	0
97	Permanententi portati	20	0	-4.136	0	94.1	0	-4.36	0
97	Neve	20	0	-1.654	0	94.1	0	-1.744	0
97	Pesi strutturali	94.1	0	-9.592	0	734.3	0	-12.587	0
97	Permanententi portati	94.1	0	-4.36	0	734.3	0	-5.721	0
97	Neve	94.1	0	-1.744	0	734.3	0	-2.289	0
97	Pesi strutturali	734.3	0	-12.587	0	801.9	0	-12.587	0
97	Permanententi portati	734.3	0	-5.721	0	801.9	0	-5.721	0
97	Neve	734.3	0	-2.289	0	801.9	0	-2.289	0
98	Pesi strutturali	0	0	-12.587	0	190	0	-12.587	0
98	Permanententi portati	0	0	-5.721	0	190	0	-5.721	0
98	Neve	0	0	-2.289	0	190	0	-2.289	0
99	Pesi strutturali	0	0	-12.587	0	190	0	-12.587	0
99	Permanententi portati	0	0	-5.721	0	190	0	-5.721	0
99	Neve	0	0	-2.289	0	190	0	-2.289	0
100	Pesi strutturali	0	0	-12.587	0	188.1	0	-12.587	0
100	Permanententi portati	0	0	-5.721	0	188.1	0	-5.721	0
100	Neve	0	0	-2.289	0	188.1	0	-2.289	0
104	Pesi strutturali	0	0	-4.966	0	188.1	0	-4.966	0
104	Permanententi portati	0	0	-2.257	0	188.1	0	-2.257	0
104	Variabile C - Musei	0	0	-5.644	0	188.1	0	-5.644	0
105	Pesi strutturali	0	0	-3.19	0	230	0	-3.19	0
105	Permanententi portati	0	0	-1.45	0	230	0	-1.45	0
105	Variabile C - Musei	0	0	-3.625	0	230	0	-3.625	0
106	Pesi strutturali	0	0	-9.889	0	188.1	0	-10.78	0
106	Permanententi portati	0	0	-4.495	0	188.1	0	-4.9	0
106	Variabile C - Musei	0	0	-11.237	0	188.1	0	-12.25	0
107	Pesi strutturali	0	0	-3.19	0	230	0	-3.19	0
107	Permanententi portati	0	0	-1.45	0	230	0	-1.45	0
107	Variabile C - Musei	0	0	-3.625	0	230	0	-3.625	0
108	Pesi strutturali	0	0	-4.18	0	270	0	-4.18	0
108	Permanententi portati	0	0	-1.9	0	270	0	-1.9	0
108	Variabile C - Musei	0	0	-4.75	0	270	0	-4.75	0
109	Pesi strutturali	0	0	-4.715	0	114.3	0	-4.18	0
109	Permanententi portati	0	0	-2.143	0	114.3	0	-1.9	0
109	Variabile C - Musei	0	0	-5.358	0	114.3	0	-4.75	0
109	Pesi strutturali	114.3	0	-9.967	0	224.8	0	-10.484	0
109	Permanententi portati	114.3	0	-4.53	0	224.8	0	-4.765	0
109	Variabile C - Musei	114.3	0	-11.326	0	224.8	0	-11.914	0
110	Pesi strutturali	0	0	-4.18	0	270	0	-4.18	0
110	Permanententi portati	0	0	-1.9	0	270	0	-1.9	0
110	Variabile C - Musei	0	0	-4.75	0	270	0	-4.75	0
111	Pesi strutturali	0	0	-8.965	0	114.3	0	-9.507	0
111	Permanententi portati	0	0	-4.075	0	114.3	0	-4.321	0
111	Variabile C - Musei	0	0	-10.187	0	114.3	0	-10.803	0
111	Pesi strutturali	114.3	0	-9.507	0	224.8	0	-9.513	0
111	Permanententi portati	114.3	0	-4.321	0	224.8	0	-4.324	0
111	Variabile C - Musei	114.3	0	-10.803	0	224.8	0	-10.811	0
112	Pesi strutturali	0	0	-4.18	0	270	0	-4.18	0
112	Permanententi portati	0	0	-1.9	0	270	0	-1.9	0
112	Variabile C - Musei	0	0	-4.75	0	270	0	-4.75	0
113	Pesi strutturali	0	0	-4.966	0	188.1	0	-4.966	0
113	Permanententi portati	0	0	-2.257	0	188.1	0	-2.257	0
113	Variabile C - Musei	0	0	-5.644	0	188.1	0	-5.644	0
114	Pesi strutturali	0	0	-3.19	0	230	0	-3.19	0
114	Permanententi portati	0	0	-1.45	0	230	0	-1.45	0
114	Variabile C - Musei	0	0	-3.625	0	230	0	-3.625	0
115	Pesi strutturali	0	0	-9.889	0	188.1	0	-10.78	0
115	Permanententi portati	0	0	-4.495	0	188.1	0	-4.9	0
115	Variabile C - Musei	0	0	-11.237	0	188.1	0	-12.25	0
116	Pesi strutturali	0	0	-3.19	0	230	0	-3.19	0
116	Permanententi portati	0	0	-1.45	0	230	0	-1.45	0
116	Variabile C - Musei	0	0	-3.625	0	230	0	-3.625	0
117	Pesi strutturali	0	0	-4.18	0	270	0	-4.18	0
117	Permanententi portati	0	0	-1.9	0	270	0	-1.9	0
117	Variabile C - Musei	0	0	-4.75	0	270	0	-4.75	0
118	Pesi strutturali	0	0	-4.715	0	114.3	0	-4.18	0
118	Permanententi portati	0	0	-2.143	0	114.3	0	-1.9	0
118	Variabile C - Musei	0	0	-5.358	0	114.3	0	-4.75	0
118	Pesi strutturali	114.3	0	-9.967	0	224.8	0	-10.484	0

Indice asta	Condizione	Posizione iniziale	F1 iniziale	F2 iniziale	F3 iniziale	Posizione finale	F1 finale	F2 finale	F3 finale
118	Permanententi portati	114.3	0	-4.53	0	224.8	0	-4.765	0
118	Variabile C - Musei	114.3	0	-11.326	0	224.8	0	-11.914	0
119	Pesi strutturali	0	0	-8.965	0	114.3	0	-9.507	0
119	Permanententi portati	0	0	-4.075	0	114.3	0	-4.321	0
119	Variabile C - Musei	0	0	-10.187	0	114.3	0	-10.803	0
119	Pesi strutturali	114.3	0	-9.507	0	224.8	0	-9.513	0
119	Permanententi portati	114.3	0	-4.321	0	224.8	0	-4.324	0
119	Variabile C - Musei	114.3	0	-10.803	0	224.8	0	-10.811	0
120	Pesi strutturali	0	0	-4.777	0	260	0	-4.777	0
120	Permanententi portati	0	0	-2.172	0	260	0	-2.172	0
120	Variabile C - Musei	0	0	-5.429	0	260	0	-5.429	0
121	Pesi strutturali	0	0	-8.835	0	153	0	-9.55	0
121	Permanententi portati	0	0	-4.016	0	153	0	-4.341	0
121	Variabile C - Musei	0	0	-10.04	0	153	0	-10.853	0
121	Pesi strutturali	153	0	-9.55	0	184.8	0	-9.727	0
121	Permanententi portati	153	0	-4.341	0	184.8	0	-4.421	0
121	Variabile C - Musei	153	0	-10.853	0	184.8	0	-11.053	0
121	Pesi strutturali	184.8	0	-9.727	0	200.4	0	-9.772	0
121	Permanententi portati	184.8	0	-4.421	0	200.4	0	-4.442	0
121	Variabile C - Musei	184.8	0	-11.053	0	200.4	0	-11.105	0
121	Pesi strutturali	200.4	0	-9.772	0	224.8	0	-9.872	0
121	Permanententi portati	200.4	0	-4.442	0	224.8	0	-4.487	0
121	Variabile C - Musei	200.4	0	-11.105	0	224.8	0	-11.219	0
122	Pesi strutturali	0	0	-4.378	0	260.6	0	-5.558	0
122	Permanententi portati	0	0	-1.99	0	260.6	0	-2.526	0
122	Variabile C - Musei	0	0	-4.975	0	260.6	0	-6.316	0
123	Pesi strutturali	0	0	-12.559	0	9.3	0	-12.609	0
123	Permanententi portati	0	0	-5.708	0	9.3	0	-5.731	0
123	Variabile C - Musei	0	0	-14.271	0	9.3	0	-14.328	0
123	Pesi strutturali	5.3	0	-8.13	0	260	0	-9.337	0
123	Permanententi portati	5.3	0	-3.696	0	260	0	-4.244	0
123	Variabile C - Musei	5.3	0	-9.239	0	260	0	-10.611	0
124	Pesi strutturali	0	0	-9.5	0	224.8	0	-9.513	0
124	Permanententi portati	0	0	-4.318	0	224.8	0	-4.324	0
124	Variabile C - Musei	0	0	-10.795	0	224.8	0	-10.811	0
125	Pesi strutturali	0	0	-7.345	0	188.1	0	-7.345	0
125	Permanententi portati	0	0	-3.339	0	188.1	0	-3.339	0
125	Variabile C - Musei	0	0	-8.347	0	188.1	0	-8.347	0
126	Pesi strutturali	0	0	-5.896	0	263	0	-5.896	0
126	Permanententi portati	0	0	-2.68	0	263	0	-2.68	0
126	Variabile C - Musei	0	0	-6.7	0	263	0	-6.7	0
127	Pesi strutturali	0	0	-10.216	0	188.1	0	-11.107	0
127	Permanententi portati	0	0	-4.644	0	188.1	0	-5.049	0
127	Variabile C - Musei	0	0	-11.609	0	188.1	0	-12.621	0
128	Pesi strutturali	0	0	-10.883	0	263	0	-12.129	0
128	Permanententi portati	0	0	-4.947	0	263	0	-5.513	0
128	Variabile C - Musei	0	0	-12.367	0	263	0	-13.783	0
130	Pesi strutturali	0	0	-5.313	0	5.4	0	-5.289	0
130	Permanententi portati	0	0	-2.415	0	5.4	0	-2.404	0
130	Variabile C - Musei	0	0	-6.038	0	5.4	0	-6.01	0
130	Pesi strutturali	5.4	0	-5.289	0	20.5	0	-5.372	0
130	Permanententi portati	5.4	0	-2.404	0	20.5	0	-2.442	0
130	Variabile C - Musei	5.4	0	-6.01	0	20.5	0	-6.105	0
130	Pesi strutturali	20.5	0	-5.372	0	269	0	-6.093	0
130	Permanententi portati	20.5	0	-2.442	0	269	0	-2.77	0
130	Variabile C - Musei	20.5	0	-6.105	0	269	0	-6.924	0
135	Pesi strutturali	0	0	-5	0	212.9	0	-5	0
135	Permanententi portati	0	0	-8	0	212.9	0	-8	0
135	Neve	0	0	-1	0	212.9	0	-1	0
135	Pesi strutturali	4.3	0	-5.565	0	208.6	0	-4.715	0
135	Permanententi portati	4.3	0	-2.53	0	208.6	0	-2.143	0
135	Neve	4.3	0	-1.012	0	208.6	0	-0.857	0
135	Pesi strutturali	208.6	0	-18.694	0	209.7	0	-18.669	0
135	Permanententi portati	208.6	0	-8.497	0	209.7	0	-8.486	0
135	Neve	208.6	0	-3.399	0	209.7	0	-3.394	0
135	Pesi strutturali	209.7	0	-13.978	0	214	0	-13.978	0
135	Permanententi portati	209.7	0	-6.354	0	214	0	-6.354	0
135	Neve	209.7	0	-2.541	0	214	0	-2.541	0

5.2.1.2 Coppie concentrate locali

Indice asta: indice dell'asta a cui si riferisce la coppia concentrata.

Condizione: condizione elementare di carico a cui si riferisce il carico.

Distanza: posizione del carico sull'asse locale 1. [cm]

M1: componente della coppia attorno all'asse locale 1. [daN*cm]

M2: componente della coppia attorno all'asse locale 2. [daN*cm]

M3: componente della coppia attorno all'asse locale 3. [daN*cm]

Indice asta	Condizione	Distanza	M1	M2	M3
83	Pesi strutturali	0	10020.2	0	-2158.1
83	Pesi strutturali	68.3	20040.5	0	-4316.2
83	Pesi strutturali	136.7	20040.5	0	-4316.2
83	Pesi strutturali	205	20040.5	0	-4316.2
83	Pesi strutturali	273.3	20040.5	0	-4316.2
83	Pesi strutturali	341.7	20040.5	0	-4316.2
83	Pesi strutturali	410	10020.2	0	-2158.1
83	Permanententi portati	0	16700.4	0	-3596.8
83	Permanententi portati	68.3	33400.8	0	-7193.6
83	Permanententi portati	136.7	33400.8	0	-7193.6
83	Permanententi portati	205	33400.8	0	-7193.6
83	Permanententi portati	273.3	33400.8	0	-7193.6
83	Permanententi portati	341.7	33400.8	0	-7193.6
83	Permanententi portati	410	16700.4	0	-3596.8
83	Neve	0	2004	0	-431.6
83	Neve	68.3	4008.1	0	-863.2
83	Neve	136.7	4008.1	0	-863.2
83	Neve	205	4008.1	0	-863.2
83	Neve	273.3	4008.1	0	-863.2
83	Neve	341.7	4008.1	0	-863.2
83	Neve	410	2004	0	-431.6
84	Pesi strutturali	0	9678.1	0	-2084.4
84	Pesi strutturali	66	19356.2	0	-4168.8
84	Pesi strutturali	132	19356.2	0	-4168.8
84	Pesi strutturali	198	19356.2	0	-4168.8
84	Pesi strutturali	264	19356.2	0	-4168.8
84	Pesi strutturali	330	9678.1	0	-2084.4
84	Permanententi portati	0	16130.1	0	-3474
84	Permanententi portati	66	32260.3	0	-6948
84	Permanententi portati	132	32260.3	0	-6948
84	Permanententi portati	198	32260.3	0	-6948
84	Permanententi portati	264	32260.3	0	-6948
84	Permanententi portati	330	16130.1	0	-3474
84	Neve	0	1935.6	0	-416.9
84	Neve	66	3871.2	0	-833.8
84	Neve	132	3871.2	0	-833.8
84	Neve	198	3871.2	0	-833.8
84	Neve	264	3871.2	0	-833.8
84	Neve	330	1935.6	0	-416.9
85	Pesi strutturali	0	9898	0	-2131.8
85	Pesi strutturali	67.5	19796.1	0	-4263.5
85	Pesi strutturali	135	19796.1	0	-4263.5

Indice asta	Condizione	Distanza	M1	M2	M3
85	Pesi strutturali	202,5	19796.1	0	-4263.5
85	Pesi strutturali	270	19796.1	0	-4263.5
85	Pesi strutturali	337,5	19796.1	0	-4263.5
85	Pesi strutturali	405	9898	0	-2131.8
85	Permanenti portati	0	16496.7	0	-3553
85	Permanenti portati	67,5	32993.5	0	-7105.9
85	Permanenti portati	135	32993.5	0	-7105.9
85	Permanenti portati	202,5	32993.5	0	-7105.9
85	Permanenti portati	270	32993.5	0	-7105.9
85	Permanenti portati	337,5	32993.5	0	-7105.9
85	Permanenti portati	405	16496.7	0	-3553
85	Neve	0	1979.6	0	-426.4
85	Neve	67,5	3959.2	0	-852.7
85	Neve	135	3959.2	0	-852.7
85	Neve	202,5	3959.2	0	-852.7
85	Neve	270	3959.2	0	-852.7
85	Neve	337,5	3959.2	0	-852.7
85	Neve	405	1979.6	0	-426.4
97	Permanenti portati	0	-40096.1	0	0
97	Permanenti portati	66.8	-80192.2	0	0
97	Permanenti portati	133.7	-80192.2	0	0
97	Permanenti portati	200.5	-80192.2	0	0
97	Permanenti portati	267.3	-80192.2	0	0
97	Permanenti portati	334.1	-80192.2	0	0
97	Permanenti portati	401	-80192.2	0	0
97	Permanenti portati	467.8	-80192.2	0	0
97	Permanenti portati	534.6	-80192.2	0	0
97	Permanenti portati	601.4	-80192.2	0	0
97	Permanenti portati	668.3	-80192.2	0	0
97	Permanenti portati	735.1	-80192.2	0	0
97	Permanenti portati	801.9	-40096.1	0	0
97	Neve	0	-3341.3	0	0
97	Neve	66.8	-6682.7	0	0
97	Neve	133.7	-6682.7	0	0
97	Neve	200.5	-6682.7	0	0
97	Neve	267.3	-6682.7	0	0
97	Neve	334.1	-6682.7	0	0
97	Neve	401	-6682.7	0	0
97	Neve	467.8	-6682.7	0	0
97	Neve	534.6	-6682.7	0	0
97	Neve	601.4	-6682.7	0	0
97	Neve	668.3	-6682.7	0	0
97	Neve	735.1	-6682.7	0	0
97	Neve	801.9	-3341.3	0	0
98	Permanenti portati	0	-38000	0	0
98	Permanenti portati	63.3	-76000	0	0
98	Permanenti portati	126.7	-76000	0	0
98	Permanenti portati	190	-38000	0	0
98	Neve	0	-3166.7	0	0
98	Neve	63.3	-6333.3	0	0
98	Neve	126.7	-6333.3	0	0
98	Neve	190	-3166.7	0	0
99	Permanenti portati	0	-38000	0	0
99	Permanenti portati	63.3	-76000	0	0
99	Permanenti portati	126.7	-76000	0	0
99	Permanenti portati	190	-38000	0	0
99	Neve	0	-3166.7	0	0
99	Neve	63.3	-6333.3	0	0
99	Neve	126.7	-6333.3	0	0
99	Neve	190	-3166.7	0	0
100	Permanenti portati	0	-37615.7	0	0
100	Permanenti portati	62.7	-75231.4	0	0
100	Permanenti portati	125.4	-75231.4	0	0
100	Permanenti portati	188.1	-37615.7	0	0
100	Neve	0	-3134.6	0	0
100	Neve	62.7	-6269.3	0	0
100	Neve	125.4	-6269.3	0	0
100	Neve	188.1	-3134.6	0	0
135	Pesi strutturali	0	1561.2	0	-336.2
135	Pesi strutturali	10.6	3122.3	0	-672.5
135	Pesi strutturali	21.3	3122.3	0	-672.5
135	Pesi strutturali	31.9	3122.3	0	-672.5
135	Pesi strutturali	42.6	3122.3	0	-672.5
135	Pesi strutturali	53.2	3122.3	0	-672.5
135	Pesi strutturali	63.9	3122.3	0	-672.5
135	Pesi strutturali	74.5	3122.3	0	-672.5
135	Pesi strutturali	85.2	3122.3	0	-672.5
135	Pesi strutturali	95.8	3122.3	0	-672.5
135	Pesi strutturali	106.5	3122.3	0	-672.5
135	Pesi strutturali	117.1	3122.3	0	-672.5
135	Pesi strutturali	127.8	3122.3	0	-672.5
135	Pesi strutturali	138.4	3122.3	0	-672.5
135	Pesi strutturali	149	3122.3	0	-672.5
135	Pesi strutturali	159.7	3122.3	0	-672.5
135	Pesi strutturali	170.3	3122.3	0	-672.5
135	Pesi strutturali	181	3122.3	0	-672.5
135	Pesi strutturali	191.6	3122.3	0	-672.5
135	Pesi strutturali	202.3	3122.3	0	-672.5
135	Pesi strutturali	212.9	1561.2	0	-336.2
135	Permanenti portati	0	2601.9	0	-560.4
135	Permanenti portati	10.6	5203.9	0	-1120.8
135	Permanenti portati	21.3	5203.9	0	-1120.8
135	Permanenti portati	31.9	5203.9	0	-1120.8
135	Permanenti portati	42.6	5203.9	0	-1120.8
135	Permanenti portati	53.2	5203.9	0	-1120.8
135	Permanenti portati	63.9	5203.9	0	-1120.8
135	Permanenti portati	74.5	5203.9	0	-1120.8
135	Permanenti portati	85.2	5203.9	0	-1120.8
135	Permanenti portati	95.8	5203.9	0	-1120.8
135	Permanenti portati	106.5	5203.9	0	-1120.8
135	Permanenti portati	117.1	5203.9	0	-1120.8
135	Permanenti portati	127.8	5203.9	0	-1120.8
135	Permanenti portati	138.4	5203.9	0	-1120.8
135	Permanenti portati	149	5203.9	0	-1120.8
135	Permanenti portati	159.7	5203.9	0	-1120.8
135	Permanenti portati	170.3	5203.9	0	-1120.8
135	Permanenti portati	181	5203.9	0	-1120.8
135	Permanenti portati	191.6	5203.9	0	-1120.8
135	Permanenti portati	202.3	5203.9	0	-1120.8
135	Permanenti portati	212.9	2601.9	0	-560.4
135	Neve	0	312.2	0	-67.2
135	Neve	10.6	624.5	0	-134.5
135	Neve	21.3	624.5	0	-134.5
135	Neve	31.9	624.5	0	-134.5
135	Neve	42.6	624.5	0	-134.5
135	Neve	53.2	624.5	0	-134.5
135	Neve	63.9	624.5	0	-134.5
135	Neve	74.5	624.5	0	-134.5
135	Neve	85.2	624.5	0	-134.5
135	Neve	95.8	624.5	0	-134.5

Indice asta	Condizione	Distanza	M1	M2	M3
135	Neve	106,5	624,5	0	-134,5
135	Neve	117,1	624,5	0	-134,5
135	Neve	127,8	624,5	0	-134,5
135	Neve	138,4	624,5	0	-134,5
135	Neve	149	624,5	0	-134,5
135	Neve	159,7	624,5	0	-134,5
135	Neve	170,3	624,5	0	-134,5
135	Neve	181	624,5	0	-134,5
135	Neve	191,6	624,5	0	-134,5
135	Neve	202,3	624,5	0	-134,5
135	Neve	212,9	312,2	0	-67,2

5.2.2 Caratteristiche meccaniche aste
I seguenti dati si riferiscono alle caratteristiche meccaniche delle aste utilizzate dal solutore ad elementi finiti. Normalmente differiscono dalle caratteristiche inerziali delle sezioni definite nel database. Tengono conto dei moltiplicatori inerziali espressi nelle preferenze FEM e di indicazioni tratte dalla bibliografia (SAP 90 Volume I Figura X-8; Belluzzi Vol. 1).
I.: numero dell'elemento nell'insieme che lo contiene.
Area: area della sezione trasversale. [cm²]
Area 2: area di taglio per sforzo di taglio nella direzione 2. [cm²]
Area 3: area di taglio per sforzo di taglio nella direzione 3. [cm²]
In.2: momento d'inerzia attorno all'asse locale 2. [cm⁴]
In.3: momento d'inerzia attorno all'asse locale 3. [cm⁴]
In.tors.: momento d'inerzia torsionale corretto con il fattore di torsione. [cm⁴]
E: modulo di elasticità longitudinale. [daN/cm²]
G: modulo di elasticità tangenziale. [daN/cm²]
Alfa: coefficiente di dilatazione termica longitudinale. [°C-1]
P.unit.: peso per unità di lunghezza dell'elemento. [daN/cm]
S.fibre: caratteristiche della sezione a fibre
Sez.corr.: sezione degli elementi correlati.
Desc.: descrizione o nome assegnato all'elemento.
Mat.corr.: materiale degli elementi correlati.
Desc.: descrizione o nome assegnato all'elemento.

I.	Area	Area 2	Area 3	In.2	In.3	In.tors.	E	G	Alfa	P.unit.	S.fibre	Sez.corr.	Mat.corr.
												Desc.	Desc.
1	3000	2500	2500	2500000	225000	7299	314472	142942	0,00001	7,5		R 100x30	C25/30
2	1800	1500	1500	135000	540000	3699	314472	142942	0,00001	4,5		R 30x60	C25/30
3	2400	2000	2000	320000	720000	7424	314472	142942	0,00001	6		R 40x60	C25/30
4	2400	2000	2000	1280000	180000	5499	314472	142942	0,00001	6		R 80x30	C25/30
5	3000	2500	2500	2500000	225000	7299	314472	142942	0,00001	7,5		R 100x30	C25/30
6	3120	2600	2600	416000	1581840	11264	314472	142942	0,00001	7,8		R 40x78	C25/30
7	4320	3600	3600	576000	4199040	17664	314472	142942	0,00001	10,8		R 40x108	C25/30
8	1500	1250	1250	312500	112500	2799	314472	142942	0,00001	3,75		R 50*30	C25/30

5.2.3 Definizioni aste
Indice: numero dell'elemento nell'insieme che lo contiene.
Nodo I: nodo iniziale.
Nodo J: nodo finale.
Nodo K: nodo che definisce l'asse locale 2.
Sezione: caratteristiche inerziali-meccaniche della sezione.
Indice: numero dell'elemento nell'insieme che lo contiene.

Indice	Nodo I	Nodo J	Nodo K	Sezione	Indice	Nodo I	Nodo J	Nodo K	Sezione	Indice	Nodo I	Nodo J	Nodo K	Sezione	Indice	Nodo I	Nodo J	Nodo K	Sezione
				Indice					Indice					Indice					Indice
1	854	1578	2544	1	2	841	1576	2543	1	3	1583	1582	2542	2	4	1582	1581	2542	2
5	1581	1580	2542	2	6	1580	1578	2542	2	7	1578	1576	2542	2	8	1576	1574	2542	2
9	1574	1573	2542	2	10	1573	1572	2542	2	11	1572	1571	2542	2	12	1635	1624	2542	3
13	1624	1606	2542	3	14	1606	1605	2542	3	15	1605	1607	2542	3	16	1607	1608	2542	3
17	1608	1609	2542	3	18	1609	1610	2542	3	19	1610	1611	2542	3	20	1611	1604	2542	3
21	1604	1603	2542	3	22	1603	1602	2542	3	23	1580	1597	2542	4	24	1597	1630	2542	4
25	1630	1636	2542	4	26	1636	1655	2542	4	27	1918	1917	2542	2	28	1917	1916	2542	2
29	1916	1915	2542	2	30	1915	1913	2542	2	31	1913	1911	2542	2	32	1911	1909	2542	2
33	1909	1908	2542	2	34	1908	1907	2542	2	35	1907	1906	2542	2	36	1970	1960	2542	3
37	1960	1942	2542	3	38	1942	1941	2542	3	39	1941	1943	2542	3	40	1943	1944	2542	3
41	1944	1945	2542	3	42	1945	1946	2542	3	43	1946	1947	2542	3	44	1947	1940	2542	3
45	1940	1939	2542	3	46	1939	1938	2542	3	47	1915	1933	2542	4	48	1933	1967	2542	4
49	1967	1979	2542	4	50	1979	1989	2542	4	51	1576	1911	2545	1	52	1578	1913	2546	1
53	1911	2171	2547	1	54	1913	2173	2548	1	55	2228	2221	2542	3	56	2221	2205	2542	3
57	2205	2204	2542	3	58	2204	2206	2542	3	59	2206	2207	2542	3	60	2207	2208	2542	3
61	2208	2209	2542	3	62	2209	2210	2542	3	63	2210	2202	2542	3	64	2202	2201	2542	3
65	2201	2200	2542	3	66	2178	2195	2542	4	67	2195	2221	2542	4	68	2221	2231	2542	4
69	2231	2249	2542	4	70	2181	2180	2542	2	71	2180	2179	2542	2	72	2179	2178	2542	2
73	2178	2173	2542	2	74	2173	2171	2542	2	75	2171	2169	2542	2	76	2169	2168	2542	2
77	2168	2167	2542	2	78	2167	2165	2542	2	79	2171	2455	2549	1	80	2173	2457	2550	1
81	2462	2460	2542	5	82	2460	2459	2542	5	83	2459	2457	2542	5	84	2457	2455	2542	5
85	2455	2452	2542	5	86	2452	2451	2542	5	87	2451	2450	2542	5	88	2450	2449	2542	6
89	2522	2508	2542	7	90	2508	2507	2542	7	91	2507	2509	2542	7	92	2509	2510	2542	7
93	2510	2511	2542	7	94	2511	2512	2542	7	95	2512	2506	2542	7	96	2506	2505	2542	7
97	2525	2526	2542	5	98	2526	2527	2542	5	99	2527	2528	2542	5	100	2528	2529	2542	5
101	1574	1585	2542	8	102	1585	1592	2542	8	103	1592	1604	2542	8	104	1592	1593	2542	8
105	1593	1594	2542	8	106	1585	1586	2542	8	107	1586	1587	2542	8	108	1628	1629	2542	8
109	1629	1630	2542	8	110	1595	1596	2542	8	111	1596	1597	2542	8	112	1931	1932	2542	8
113	1928	1929	2542	8	114	1929	1930	2542	8	115	1920	1921	2542	8	116	1921	1922	2542	8
117	1965	1966	2542	8	118	1966	1967	2542	8	119	1932	1933	2542	8	120	2229	2230	2542	8
121	2230	2231	2542	8	122	2184	2182	2542	8	123	2193	2194	2542	8	124	2194	2195	2542	8
125	2190	2191	2542	8	126	2191	2192	2542	8	127	2174	2175	2542	8	128	2175	2176	2542	8
129	2176	2177	2542	8	130	2166	2164	2542	8	131	2164	2163	2542	8	132	2169	2174	2542	8
133	2174	2190	2542	8	134	2190	2202	2542	8	135	2464	2461	2542	6	136	2462	2453	2542	8
137	1909	1920	2542	8	138	1920	1928	2542	8	139	1928	1940	2542	8					

Nodo: Nodo in cui si considera l'aggregazione delle masse.
Ind.: indice del nodo.
Massa X: massa per la componente di spostamento lungo l'asse X. [daN/(cm/s²)]
Massa Y: massa per la componente di spostamento lungo l'asse Y. [daN/(cm/s²)]
Massa Z: massa per la componente di spostamento lungo l'asse Z. [daN/(cm/s²)]
Momento Z: massa momento d'inerzia per la componente di rotazione attorno all'asse Z. [(daN/(cm/s²))cm²]

Nodo	Massa X	Massa Y	Massa Z	Momento Z	Nodo	Massa X	Massa Y	Massa Z	Momento Z
Ind.					Ind.				
2	119,944	119,944	0	33337516	3	117,684	117,684	0	33127057
4	135,665	135,665	0	49983878	5	65,376	65,376	0	17472151
6	94,331	94,331	0	25382903	1234	0,083	0,083	0	
1235	0,176	0,176	0	1236	0,154	0,154	0		
1237	0,175	0,175	0	1238	0,251	0,251	0		
1239	0,277	0,277	0	1240	0,204	0,204	0		
1241	0,229	0,229	0	1242	0,278	0,278	0		
1243	0,522	0,522	0	1244	0,526	0,526	0		
1245	0,33	0,33	0	1246	0,34	0,34	0		
1247	0,191	0,191	0	1248	0,164	0,164	0		
1249	0,304	0,304	0	1250	0,358	0,358	0		
1251	0,155	0,155	0	1252	0,232	0,232	0		
1253	0,465	0,465	0	1254	0,537	0,537	0		
1255	0,145	0,145	0	1256	0,147	0,147	0		
1257	0,094	0,094	0	1258	0,163	0,163	0		
1259	0,241	0,241	0	1260	0,165	0,165	0		
1261	0,093	0,093	0	1262	0,337	0,337	0		
1263	0,408	0,408	0	1264	0,329	0,329	0		
1265	0,109	0,109	0	1266	0,11	0,11	0		
1267	0,13	0,13	0	1268	0,337	0,337	0		
1269	0,362	0,362	0	1270	0,687	0,687	0		
1271	0,619	0,619	0	1272	0,709	0,709	0		
1273	0,634	0,634	0	1274	0,411	0,411	0		

Nodo	Massa X	Massa Y	Massa Z	Momento Z	Nodo	Massa X	Massa Y	Massa Z	Momento Z
Ind.					Ind.				
1275	0,21	0,21	0		1276	0,322	0,322	0	
1277	0,356	0,356	0		1278	0,361	0,361	0	
1279	0,656	0,656	0		1280	0,173	0,173	0	
1281	0,614	0,614	0		1282	0,137	0,137	0	
1283	0,338	0,338	0		1284	0,334	0,334	0	
1285	0,532	0,532	0		1286	0,251	0,251	0	
1287	0,245	0,245	0		1288	0,327	0,327	0	
1289	0,281	0,281	0		1290	0,402	0,402	0	
1291	0,34	0,34	0		1292	0,191	0,191	0	
1293	0,145	0,145	0		1294	0,305	0,305	0	
1295	0,318	0,318	0		1296	0,274	0,274	0	
1297	0,288	0,288	0		1298	0,155	0,155	0	
1299	0,232	0,232	0		1300	0,465	0,465	0	
1301	0,537	0,537	0		1302	0,163	0,163	0	
1303	0,238	0,238	0		1304	0,085	0,085	0	
1305	0,163	0,163	0		1306	0,291	0,291	0	
1307	0,164	0,164	0		1308	0,085	0,085	0	
1309	0,338	0,338	0		1310	0,353	0,353	0	
1311	0,326	0,326	0		1312	0,147	0,147	0	
1313	0,165	0,165	0		1314	0,19	0,19	0	
1315	0,332	0,332	0		1316	0,284	0,284	0	
1317	0,681	0,681	0		1318	0,618	0,618	0	
1319	0,712	0,712	0		1320	0,631	0,631	0	
1321	0,516	0,516	0		1322	0,223	0,223	0	
1323	0,321	0,321	0		1324	0,27	0,27	0	
1325	0,365	0,365	0		1326	0,477	0,477	0	
1327	0,397	0,397	0		1328	0,352	0,352	0	
1329	0,348	0,348	0		1330	0,379	0,379	0	
1331	0,374	0,374	0		1332	0,186	0,186	0	
1333	0,201	0,201	0		1334	0,146	0,146	0	
1335	0,355	0,355	0		1336	0,269	0,269	0	
1337	0,129	0,129	0		1338	0,154	0,154	0	
1339	0,507	0,507	0		1340	0,312	0,312	0	
1341	0,453	0,453	0		1342	0,34	0,34	0	
1343	0,326	0,326	0		1344	0,3	0,3	0	
1345	0,156	0,156	0		1346	0,232	0,232	0	
1347	0,465	0,465	0		1348	0,537	0,537	0	
1349	0,167	0,167	0		1350	0,239	0,239	0	
1351	0,083	0,083	0		1352	0,164	0,164	0	
1353	0,306	0,306	0		1354	0,164	0,164	0	
1355	0,083	0,083	0		1356	0,337	0,337	0	
1357	0,338	0,338	0		1358	0,326	0,326	0	
1359	0,158	0,158	0		1360	0,167	0,167	0	
1361	0,215	0,215	0		1362	0,321	0,321	0	
1363	0,248	0,248	0		1364	0,665	0,665	0	
1365	0,614	0,614	0		1366	0,463	0,463	0	
1367	0,719	0,719	0		1368	0,624	0,624	0	
1369	0,064	0,064	0		1370	0,431	0,431	0	
1371	0,41	0,41	0		1372	0,097	0,097	0	
1373	0,438	0,438	0		1374	0,307	0,307	0	
1375	0,18	0,18	0		1376	0,319	0,319	0	
1377	0,217	0,217	0		1378	0,374	0,374	0	
1379	0,429	0,429	0		1380	0,433	0,433	0	
1381	0,102	0,102	0		1382	0,174	0,174	0	
1383	0,171	0,171	0		1384	0,075	0,075	0	
1385	0,233	0,233	0		1386	0,067	0,067	0	
1387	0,053	0,053	0		1388	0,399	0,399	0	
1389	0,074	0,074	0		1390	0,085	0,085	0	
1391	0,387	0,387	0		1392	0,08	0,08	0	
1393	0,318	0,318	0		1394	0,07	0,07	0	
1395	0,462	0,462	0		1396	0,45	0,45	0	
1397	0,324	0,324	0		1398	0,157	0,157	0	
1399	0,232	0,232	0		1400	0,465	0,465	0	
1401	0,537	0,537	0		1402	0,168	0,168	0	
1403	0,226	0,226	0		1404	0,082	0,082	0	
1405	0,164	0,164	0		1406	0,313	0,313	0	
1407	0,164	0,164	0		1408	0,082	0,082	0	
1409	0,336	0,336	0		1410	0,334	0,334	0	
1411	0,328	0,328	0		1412	0,162	0,162	0	
1413	0,16	0,16	0		1414	0,221	0,221	0	
1415	0,296	0,296	0		1416	0,245	0,245	0	
1417	0,304	0,304	0		1418	0,134	0,134	0	
1419	0,315	0,315	0		1420	0,154	0,154	0	
1421	0,229	0,229	0		1422	0,241	0,241	0	
1423	0,62	0,62	0		1424	0,606	0,606	0	
1425	0,451	0,451	0		1426	0,494	0,494	0	
1427	0,436	0,436	0		1428	0,31	0,31	0	
1429	0,435	0,435	0		1430	0,654	0,654	0	
1431	0,597	0,597	0		1432	0,412	0,412	0	
1433	0,142	0,142	0		1434	0,071	0,071	0	
1435	0,182	0,182	0		1436	0,164	0,164	0	
1437	0,18	0,18	0		1438	0,407	0,407	0	
1439	0,214	0,214	0		1440	0,236	0,236	0	
1441	0,236	0,236	0		1442	0,486	0,486	0	
1443	0,104	0,104	0		1444	0,546	0,546	0	
1445	0,254	0,254	0		1446	0,184	0,184	0	
1447	0,129	0,129	0		1448	0,153	0,153	0	
1449	0,215	0,215	0		1450	0,194	0,194	0	
1451	0,186	0,186	0		1452	0,211	0,211	0	
1453	0,218	0,218	0		1454	0,293	0,293	0	
1455	0,478	0,478	0		1456	0,382	0,382	0	
1457	0,364	0,364	0		1458	0,319	0,319	0	
1459	0,31	0,31	0		1460	0,4	0,4	0	
1461	0,448	0,448	0		1462	0,446	0,446	0	
1463	0,157	0,157	0		1464	0,232	0,232	0	
1465	0,465	0,465	0		1466	0,538	0,538	0	
1467	0,167	0,167	0		1468	0,222	0,222	0	
1469	0,082	0,082	0		1470	0,164	0,164	0	
1471	0,315	0,315	0		1472	0,164	0,164	0	
1473	0,082	0,082	0		1474	0,335	0,335	0	
1475	0,333	0,333	0		1476	0,329	0,329	0	
1477	0,163	0,163	0		1478	0,157	0,157	0	
1479	0,223	0,223	0		1480	0,254	0,254	0	
1481	0,239	0,239	0		1482	0,306	0,306	0	
1483	0,314	0,314	0		1484	0,311	0,311	0	
1485	0,278	0,278	0		1486	0,558	0,558	0	
1487	0,602	0,602	0		1488	0,6	0,6	0	
1489	0,577	0,577	0		1490	0,161	0,161	0	
1491	0,54	0,54	0		1492	0,53	0,53	0	
1493	0,136	0,136	0		1494	0,505	0,505	0	
1495	0,506	0,506	0		1496	0,144	0,144	0	
1497	0,481	0,481	0		1498	0,133	0,133	0	
1499	0,175	0,175	0		1500	0,241	0,241	0	
1501	0,104	0,104	0		1502	0,193	0,193	0	
1503	0,259	0,259	0		1504	0,296	0,296	0	
1505	0,214	0,214	0		1506	0,353	0,353	0	
1507	0,132	0,132	0		1508	0,137	0,137	0	
1509	0,137	0,137	0		1510	0,145	0,145	0	
1511	0,323	0,323	0		1512	0,285	0,285	0	

Nodo	Massa X	Massa Y	Massa Z	Momento Z	Nodo	Massa X	Massa Y	Massa Z	Momento Z
Ind.					Ind.				
1513	0,252	0,252	0		1514	0,253	0,253	0	
1515	0,319	0,319	0		1516	0,161	0,161	0	
1517	0,202	0,202	0		1518	0,685	0,685	0	
1519	0,539	0,539	0		1520	0,15	0,15	0	
1521	0,319	0,319	0		1522	0,444	0,444	0	
1523	0,444	0,444	0		1524	0,157	0,157	0	
1525	0,232	0,232	0		1526	0,465	0,465	0	
1527	0,541	0,541	0		1528	0,167	0,167	0	
1529	0,221	0,221	0		1530	0,082	0,082	0	
1531	0,164	0,164	0		1532	0,317	0,317	0	
1533	0,164	0,164	0		1534	0,082	0,082	0	
1535	0,333	0,333	0		1536	0,332	0,332	0	
1537	0,33	0,33	0		1538	0,165	0,165	0	
1539	0,155	0,155	0		1540	0,222	0,222	0	
1541	0,169	0,169	0		1542	0,165	0,165	0	
1543	0,307	0,307	0		1544	0,311	0,311	0	
1545	0,308	0,308	0		1546	0,486	0,486	0	
1547	0,608	0,608	0		1548	0,099	0,099	0	
1549	0,557	0,557	0		1550	0,59	0,59	0	
1551	0,154	0,154	0		1552	0,546	0,546	0	
1553	0,579	0,579	0		1554	0,566	0,566	0	
1555	0,586	0,586	0		1556	0,492	0,492	0	
1557	0,127	0,127	0		1558	0,143	0,143	0	
1559	0,341	0,341	0		1560	0,471	0,471	0	
1561	0,42	0,42	0		1562	0,421	0,421	0	
1563	0,294	0,294	0		1564	0,284	0,284	0	
1565	0,29	0,29	0		1566	0,304	0,304	0	
1567	0,313	0,313	0		1568	0,236	0,236	0	
1569	0,191	0,191	0		1570	0,165	0,165	0	
1587	1,239	1,239	0		1594	1,239	1,239	0	
1595	1,745	1,745	0		1615	0,316	0,316	0	
1617	0,307	0,307	0		1618	0,438	0,438	0	
1619	0,789	0,789	0		1620	0,867	0,867	0	
1621	0,443	0,443	0		1622	0,299	0,299	0	
1623	0,305	0,305	0		1625	0,795	0,795	0	
1626	0,86	0,86	0		1627	0,433	0,433	0	
1628	1,745	1,745	0		1631	0,432	0,432	0	
1633	0,292	0,292	0		1634	0,301	0,301	0	
1637	0,767	0,767	0		1638	0,7	0,7	0	
1639	0,203	0,203	0		1640	0,172	0,172	0	
1641	0,261	0,261	0		1642	0,392	0,392	0	
1644	0,776	0,776	0		1645	0,287	0,287	0	
1646	0,032	0,032	0		1647	0,048	0,048	0	
1648	0,751	0,751	0		1649	0,787	0,787	0	
1651	2,053	2,053	0		1652	0,862	0,862	0	
1653	0,806	0,806	0		1656	1,032	1,032	0	
1657	0,438	0,438	0		1658	0,505	0,505	0	
1659	7,826	7,826	0		1660	7,776	7,776	0	
1661	0,22	0,22	0		1662	0,252	0,252	0	
1663	0,29	0,29	0		1664	0,303	0,303	0	
1665	0,293	0,293	0		1666	0,173	0,173	0	
1667	0,257	0,257	0		1668	0,229	0,229	0	
1669	0,379	0,379	0		1670	0,62	0,62	0	
1671	0,522	0,522	0		1672	0,602	0,602	0	
1673	0,436	0,436	0		1674	0,637	0,637	0	
1675	0,514	0,514	0		1676	0,45	0,45	0	
1677	0,623	0,623	0		1678	0,455	0,455	0	
1679	0,651	0,651	0		1680	0,436	0,436	0	
1681	0,452	0,452	0		1682	0,435	0,435	0	
1683	0,369	0,369	0		1684	0,488	0,488	0	
1685	0,317	0,317	0		1686	0,159	0,159	0	
1687	0,236	0,236	0		1688	0,472	0,472	0	
1689	0,554	0,554	0		1690	0,158	0,158	0	
1691	0,21	0,21	0		1692	0,083	0,083	0	
1693	0,166	0,166	0		1694	0,318	0,318	0	
1695	0,166	0,166	0		1696	0,083	0,083	0	
1697	0,302	0,302	0		1698	0,412	0,412	0	
1699	0,295	0,295	0		1700	0,389	0,389	0	
1701	0,28	0,28	0		1702	0,31	0,31	0	
1703	0,232	0,232	0		1704	0,119	0,119	0	
1705	0,119	0,119	0		1706	0,086	0,086	0	
1707	0,163	0,163	0		1708	0,143	0,143	0	
1709	0,162	0,162	0		1710	0,236	0,236	0	
1711	0,304	0,304	0		1712	0,305	0,305	0	
1713	0,294	0,294	0		1714	0,187	0,187	0	
1715	0,247	0,247	0		1716	0,394	0,394	0	
1717	0,625	0,625	0		1718	0,502	0,502	0	
1719	0,605	0,605	0		1720	0,426	0,426	0	
1721	0,642	0,642	0		1722	0,493	0,493	0	
1723	0,442	0,442	0		1724	0,626	0,626	0	
1725	0,363	0,363	0		1726	0,446	0,446	0	
1727	0,654	0,654	0		1728	0,456	0,456	0	
1729	0,438	0,438	0		1730	0,418	0,418	0	
1731	0,383	0,383	0		1732	0,489	0,489	0	
1733	0,317	0,317	0		1734	0,159	0,159	0	
1735	0,236	0,236	0		1736	0,472	0,472	0	
1737	0,554	0,554	0		1738	0,166	0,166	0	
1739	0,2	0,2	0		1740	0,083	0,083	0	
1741	0,166	0,166	0		1742	0,314	0,314	0	
1743	0,166	0,166	0		1744	0,083	0,083	0	
1745	0,293	0,293	0		1746	0,391	0,391	0	
1747	0,285	0,285	0		1748	0,368	0,368	0	
1749	0,268	0,268	0		1750	0,329	0,329	0	
1751	0,243	0,243	0		1752	0,15	0,15	0	
1753	0,179	0,179	0		1754	0,111	0,111	0	
1755	0,209	0,209	0		1756	0,177	0,177	0	
1757	0,317	0,317	0		1758	0,309	0,309	0	
1759	0,296	0,296	0		1760	0,192	0,192	0	
1761	0,244	0,244	0		1762	0,346	0,346	0	
1763	0,406	0,406	0		1764	0,638	0,638	0	
1765	0,504	0,504	0		1766	0,617	0,617	0	
1767	0,434	0,434	0		1768	0,653	0,653	0	
1769	0,497	0,497	0		1770	0,633	0,633	0	
1771	0,446	0,446	0		1772	0,447	0,447	0	
1773	0,659	0,659	0		1774	0,466	0,466	0	
1775	0,437	0,437	0		1776	0,417	0,417	0	
1777	0,389	0,389	0		1778	0,489	0,489	0	
1779	0,317	0,317	0		1780	0,159	0,159	0	
1781	0,236	0,236	0		1782	0,472	0,472	0	
1783	0,555	0,555	0		1784	0,182	0,182	0	
1785	0,193	0,193	0		1786	0,083	0,083	0	
1787	0,166	0,166	0		1788	0,31	0,31	0	
1789	0,166	0,166	0		1790	0,083	0,083	0	
1791	0,286	0,286	0		1792	0,381	0,381	0	
1793	0,279	0,279	0		1794	0,362	0,362	0	
1795	0,266	0,266	0		1796	0,339	0,339	0	
1797	0,251	0,251	0		1798	0,163	0,163	0	
1799	0,182	0,182	0		1800	0,121	0,121	0	
1801	0,219	0,219	0		1802	0,184	0,184	0	

Nodo	Massa X	Massa Y	Massa Z	Momento Z	Nodo	Massa X	Massa Y	Massa Z	Momento Z
Ind.					Ind.				
1803	0.354	0.354	0		1804	0.314	0.314	0	
1805	0.469	0.469	0		1806	0.282	0.282	0	
1807	0.269	0.269	0		1808	0.263	0.263	0	
1809	0.56	0.56	0		1810	0.343	0.343	0	
1811	0.435	0.435	0		1812	0.499	0.499	0	
1813	0.408	0.408	0		1814	0.442	0.442	0	
1815	0.681	0.681	0		1816	0.573	0.573	0	
1817	0.663	0.663	0		1818	0.458	0.458	0	
1819	0.673	0.673	0		1820	0.526	0.526	0	
1821	0.651	0.651	0		1822	0.462	0.462	0	
1823	0.666	0.666	0		1824	0.468	0.468	0	
1825	0.458	0.458	0		1826	0.446	0.446	0	
1827	0.423	0.423	0		1828	0.385	0.385	0	
1829	0.49	0.49	0		1830	0.317	0.317	0	
1831	0.159	0.159	0		1832	0.236	0.236	0	
1833	0.472	0.472	0		1834	0.558	0.558	0	
1835	0.214	0.214	0		1836	0.188	0.188	0	
1837	0.083	0.083	0		1838	0.166	0.166	0	
1839	0.307	0.307	0		1840	0.166	0.166	0	
1841	0.083	0.083	0		1842	0.28	0.28	0	
1843	0.373	0.373	0		1844	0.275	0.275	0	
1845	0.361	0.361	0		1846	0.267	0.267	0	
1847	0.347	0.347	0		1848	0.258	0.258	0	
1849	0.17	0.17	0		1850	0.184	0.184	0	
1851	0.127	0.127	0		1852	0.206	0.206	0	
1853	0.173	0.173	0		1854	0.227	0.227	0	
1855	0.317	0.317	0		1856	0.523	0.523	0	
1857	0.534	0.534	0		1858	0.514	0.514	0	
1859	0.544	0.544	0		1860	0.859	0.859	0	
1861	0.47	0.47	0		1862	0.67	0.67	0	
1863	0.784	0.784	0		1864	0.801	0.801	0	
1865	0.449	0.449	0		1866	0.71	0.71	0	
1867	0.63	0.63	0		1868	0.709	0.709	0	
1869	0.492	0.492	0		1870	0.69	0.69	0	
1871	0.57	0.57	0		1872	0.441	0.441	0	
1873	0.667	0.667	0		1874	0.485	0.485	0	
1875	0.674	0.674	0		1876	0.461	0.461	0	
1877	0.477	0.477	0		1878	0.466	0.466	0	
1879	0.445	0.445	0		1880	0.377	0.377	0	
1881	0.491	0.491	0		1882	0.317	0.317	0	
1883	0.159	0.159	0		1884	0.236	0.236	0	
1885	0.472	0.472	0		1886	0.56	0.56	0	
1887	0.268	0.268	0		1888	0.184	0.184	0	
1889	0.083	0.083	0		1890	0.166	0.166	0	
1891	0.304	0.304	0		1892	0.166	0.166	0	
1893	0.083	0.083	0		1894	0.275	0.275	0	
1895	0.366	0.366	0		1896	0.272	0.272	0	
1897	0.36	0.36	0		1898	0.268	0.268	0	
1899	0.354	0.354	0		1900	0.264	0.264	0	
1901	0.175	0.175	0		1902	0.22	0.22	0	
1903	0.131	0.131	0		1904	0.149	0.149	0	
1905	0.131	0.131	0		1922	1.239	1.239	0	
1930	1.239	1.239	0		1931	1.745	1.745	0	
1951	0.357	0.357	0		1952	0.269	0.269	0	
1954	0.385	0.385	0		1955	0.785	0.785	0	
1956	0.85	0.85	0		1957	0.534	0.534	0	
1958	0.268	0.268	0		1959	0.356	0.356	0	
1961	0.386	0.386	0		1962	0.786	0.786	0	
1963	0.85	0.85	0		1964	0.267	0.267	0	
1965	1.745	1.745	0		1969	0.49	0.49	0	
1971	0.356	0.356	0		1972	0.391	0.391	0	
1973	0.788	0.788	0		1974	0.266	0.266	0	
1975	0.847	0.847	0		1977	0.921	0.921	0	
1978	0.407	0.407	0		1980	0.237	0.237	0	
1981	0.132	0.132	0		1982	0.839	0.839	0	
1983	0.851	0.851	0		1985	2.058	2.058	0	
1986	0.877	0.877	0		1987	0.843	0.843	0	
1990	1.033	1.033	0		1991	0.443	0.443	0	
1992	0.492	0.492	0		1993	7.795	7.795	0	
1994	7.775	7.775	0		1995	0.386	0.386	0	
1996	0.249	0.249	0		1997	0.125	0.125	0	
1998	0.122	0.122	0		1999	0.107	0.107	0	
2000	0.288	0.288	0		2001	0.352	0.352	0	
2002	0.349	0.349	0		2003	0.533	0.533	0	
2004	0.376	0.376	0		2005	0.39	0.39	0	
2006	0.446	0.446	0		2007	0.551	0.551	0	
2008	0.396	0.396	0		2009	0.394	0.394	0	
2010	0.491	0.491	0		2011	0.572	0.572	0	
2012	0.354	0.354	0		2013	0.295	0.295	0	
2014	0.275	0.275	0		2015	0.167	0.167	0	
2016	0.257	0.257	0		2017	0.602	0.602	0	
2018	0.231	0.231	0		2019	0.463	0.463	0	
2020	0.575	0.575	0		2021	0.236	0.236	0	
2022	0.176	0.176	0		2023	0.082	0.082	0	
2024	0.163	0.163	0		2025	0.295	0.295	0	
2026	0.163	0.163	0		2027	0.082	0.082	0	
2028	0.353	0.353	0		2029	0.265	0.265	0	
2030	0.471	0.471	0		2031	0.265	0.265	0	
2032	0.353	0.353	0		2033	0.265	0.265	0	
2034	0.471	0.471	0		2035	0.353	0.353	0	
2036	0.265	0.265	0		2037	0.176	0.176	0	
2038	0.236	0.236	0		2039	0.132	0.132	0	
2040	0.681	0.681	0		2041	0.384	0.384	0	
2042	0.249	0.249	0		2043	0.125	0.125	0	
2044	0.151	0.151	0		2045	0.128	0.128	0	
2046	0.291	0.291	0		2047	0.336	0.336	0	
2048	0.352	0.352	0		2049	0.526	0.526	0	
2050	0.363	0.363	0		2051	0.378	0.378	0	
2052	0.422	0.422	0		2053	0.541	0.541	0	
2054	0.379	0.379	0		2055	0.371	0.371	0	
2056	0.472	0.472	0		2057	0.564	0.564	0	
2058	0.353	0.353	0		2059	0.294	0.294	0	
2060	0.241	0.241	0		2061	0.176	0.176	0	
2062	0.251	0.251	0		2063	0.496	0.496	0	
2064	0.231	0.231	0		2065	0.463	0.463	0	
2066	0.594	0.594	0		2067	0.236	0.236	0	
2068	0.176	0.176	0		2069	0.082	0.082	0	
2070	0.163	0.163	0		2071	0.295	0.295	0	
2072	0.163	0.163	0		2073	0.082	0.082	0	
2074	0.353	0.353	0		2075	0.265	0.265	0	
2076	0.471	0.471	0		2077	0.265	0.265	0	
2078	0.353	0.353	0		2079	0.265	0.265	0	
2080	0.471	0.471	0		2081	0.353	0.353	0	
2082	0.265	0.265	0		2083	0.176	0.176	0	
2084	0.236	0.236	0		2085	0.132	0.132	0	
2086	0.668	0.668	0		2087	0.382	0.382	0	
2088	0.249	0.249	0		2089	0.125	0.125	0	
2090	0.147	0.147	0		2091	0.126	0.126	0	
2092	0.29	0.29	0		2093	0.329	0.329	0	

Nodo	Massa X	Massa Y	Massa Z	Momento Z	Nodo	Massa X	Massa Y	Massa Z	Momento Z
Ind.					Ind.				
2094	0,346	0,346	0		2095	0,514	0,514	0	
2096	0,354	0,354	0		2097	0,365	0,365	0	
2098	0,405	0,405	0		2099	0,519	0,519	0	
2100	0,361	0,361	0		2101	0,348	0,348	0	
2102	0,461	0,461	0		2103	0,543	0,543	0	
2104	0,332	0,332	0		2105	0,329	0,329	0	
2106	0,246	0,246	0		2107	0,29	0,29	0	
2108	0,184	0,184	0		2109	0,172	0,172	0	
2110	0,249	0,249	0		2111	0,231	0,231	0	
2112	0,463	0,463	0		2113	0,537	0,537	0	
2114	0,236	0,236	0		2115	0,176	0,176	0	
2116	0,082	0,082	0		2117	0,163	0,163	0	
2118	0,295	0,295	0		2119	0,163	0,163	0	
2120	0,082	0,082	0		2121	0,353	0,353	0	
2122	0,265	0,265	0		2123	0,471	0,471	0	
2124	0,265	0,265	0		2125	0,353	0,353	0	
2126	0,265	0,265	0		2127	0,471	0,471	0	
2128	0,353	0,353	0		2129	0,265	0,265	0	
2130	0,176	0,176	0		2131	0,236	0,236	0	
2132	0,132	0,132	0		2133	0,509	0,509	0	
2134	0,379	0,379	0		2135	0,249	0,249	0	
2136	0,125	0,125	0		2137	0,109	0,109	0	
2138	0,098	0,098	0		2139	0,285	0,285	0	
2140	0,338	0,338	0		2141	0,332	0,332	0	
2142	0,497	0,497	0		2143	0,352	0,352	0	
2144	0,353	0,353	0		2145	0,344	0,344	0	
2146	0,391	0,391	0		2147	0,48	0,48	0	
2148	0,323	0,323	0		2149	0,319	0,319	0	
2150	0,381	0,381	0		2151	0,461	0,461	0	
2152	0,259	0,259	0		2153	0,254	0,254	0	
2154	0,268	0,268	0		2155	0,08	0,08	0	
2156	0,08	0,08	0		2157	0,061	0,061	0	
2158	0,162	0,162	0		2159	0,135	0,135	0	
2160	0,088	0,088	0		2161	0,062	0,062	0	
2162	0,216	0,216	0		2163	0,03	0,03	0	
2177	0,019	0,019	0		2211	0,355	0,355	0	
2212	0,266	0,266	0		2214	0,389	0,389	0	
2215	0,792	0,792	0		2216	0,671	0,671	0	
2217	0,474	0,474	0		2218	0,266	0,266	0	
2220	0,355	0,355	0		2222	0,39	0,39	0	
2223	0,793	0,793	0		2224	0,698	0,698	0	
2225	0,266	0,266	0		2227	0,474	0,474	0	
2232	0,355	0,355	0		2233	0,394	0,394	0	
2234	0,796	0,796	0		2235	0,266	0,266	0	
2236	0,717	0,717	0		2238	0,915	0,915	0	
2239	0,41	0,41	0		2240	0,237	0,237	0	
2241	0,133	0,133	0		2242	0,844	0,844	0	
2243	0,751	0,751	0		2245	2,059	2,059	0	
2246	0,881	0,881	0		2247	0,787	0,787	0	
2250	1,033	1,033	0		2251	0,444	0,444	0	
2252	0,541	0,541	0		2253	7,803	7,803	0	
2254	7,762	7,762	0		2255	0,242	0,242	0	
2256	0,108	0,108	0		2257	0,183	0,183	0	
2258	0,153	0,153	0		2259	0,247	0,247	0	
2260	0,248	0,248	0		2261	0,264	0,264	0	
2262	0,267	0,267	0		2263	0,297	0,297	0	
2264	0,354	0,354	0		2265	0,081	0,081	0	
2266	0,413	0,413	0		2267	0,096	0,096	0	
2268	0,331	0,331	0		2269	0,49	0,49	0	
2270	0,085	0,085	0		2271	0,285	0,285	0	
2272	0,27	0,27	0		2273	0,255	0,255	0	
2274	0,459	0,459	0		2275	0,558	0,558	0	
2276	0,239	0,239	0		2277	0,179	0,179	0	
2278	0,134	0,134	0		2279	0,357	0,357	0	
2280	0,268	0,268	0		2281	0,477	0,477	0	
2282	0,268	0,268	0		2283	0,357	0,357	0	
2284	0,268	0,268	0		2285	0,477	0,477	0	
2286	0,357	0,357	0		2287	0,268	0,268	0	
2288	0,179	0,179	0		2289	0,239	0,239	0	
2290	0,134	0,134	0		2291	0,437	0,437	0	
2292	0,491	0,491	0		2293	0,553	0,553	0	
2294	0,275	0,275	0		2295	0,58	0,58	0	
2296	0,467	0,467	0		2297	0,25	0,25	0	
2298	0,608	0,608	0		2299	0,543	0,543	0	
2300	0,347	0,347	0		2301	0,173	0,173	0	
2302	0,258	0,258	0		2303	0,516	0,516	0	
2304	0,568	0,568	0		2305	0,268	0,268	0	
2306	0,389	0,389	0		2307	0,175	0,175	0	
2308	0,243	0,243	0		2309	0,144	0,144	0	
2310	0,753	0,753	0		2311	0,234	0,234	0	
2312	0,651	0,651	0		2313	0,117	0,117	0	
2314	0,252	0,252	0		2315	0,309	0,309	0	
2316	0,364	0,364	0		2317	0,279	0,279	0	
2318	0,377	0,377	0		2319	0,327	0,327	0	
2320	0,113	0,113	0		2321	0,229	0,229	0	
2322	0,179	0,179	0		2323	0,204	0,204	0	
2324	0,255	0,255	0		2325	0,288	0,288	0	
2326	0,294	0,294	0		2327	0,261	0,261	0	
2328	0,265	0,265	0		2329	0,28	0,28	0	
2330	0,239	0,239	0		2331	0,179	0,179	0	
2332	0,134	0,134	0		2333	0,357	0,357	0	
2334	0,268	0,268	0		2335	0,477	0,477	0	
2336	0,268	0,268	0		2337	0,357	0,357	0	
2338	0,268	0,268	0		2339	0,477	0,477	0	
2340	0,357	0,357	0		2341	0,268	0,268	0	
2342	0,179	0,179	0		2343	0,239	0,239	0	
2344	0,134	0,134	0		2345	0,523	0,523	0	
2346	0,554	0,554	0		2347	0,497	0,497	0	
2348	0,393	0,393	0		2349	0,544	0,544	0	
2350	0,538	0,538	0		2351	0,577	0,577	0	
2352	0,219	0,219	0		2353	0,421	0,421	0	
2354	0,491	0,491	0		2355	0,735	0,735	0	
2356	0,595	0,595	0		2357	0,341	0,341	0	
2358	0,277	0,277	0		2359	0,552	0,552	0	
2360	0,743	0,743	0		2361	0,54	0,54	0	
2362	0,347	0,347	0		2363	0,173	0,173	0	
2364	0,258	0,258	0		2365	0,516	0,516	0	
2366	0,558	0,558	0		2367	0,363	0,363	0	
2368	0,363	0,363	0		2369	0,226	0,226	0	
2370	0,389	0,389	0		2371	0,347	0,347	0	
2372	0,338	0,338	0		2373	0,364	0,364	0	
2374	0,184	0,184	0		2375	0,175	0,175	0	
2376	0,124	0,124	0		2377	0,232	0,232	0	
2378	0,475	0,475	0		2379	0,321	0,321	0	
2380	0,485	0,485	0		2381	0,485	0,485	0	
2382	0,348	0,348	0		2383	0,417	0,417	0	
2384	0,273	0,273	0		2385	0,339	0,339	0	
2386	0,46	0,46	0		2387	0,358	0,358	0	
2388	0,239	0,239	0		2389	0,179	0,179	0	

Ingresso-Principale

Nodo	Massa X	Massa Y	Massa Z	Momento Z	Nodo	Massa X	Massa Y	Massa Z	Momento Z
Ind.					Ind.				
2390	0,134	0,134	0		2391	0,357	0,357	0	
2392	0,268	0,268	0		2393	0,477	0,477	0	
2394	0,268	0,268	0		2395	0,357	0,357	0	
2396	0,268	0,268	0		2397	0,477	0,477	0	
2398	0,357	0,357	0		2399	0,268	0,268	0	
2400	0,179	0,179	0		2401	0,239	0,239	0	
2402	0,134	0,134	0		2403	0,132	0,132	0	
2404	0,246	0,246	0		2405	0,612	0,612	0	
2406	0,597	0,597	0		2407	0,594	0,594	0	
2408	0,547	0,547	0		2409	0,691	0,691	0	
2410	0,592	0,592	0		2411	0,51	0,51	0	
2412	0,59	0,59	0		2413	0,743	0,743	0	
2414	0,549	0,549	0		2415	0,347	0,347	0	
2416	0,173	0,173	0		2417	0,258	0,258	0	
2418	0,516	0,516	0		2419	0,552	0,552	0	
2420	0,373	0,373	0		2421	0,283	0,283	0	
2422	0,245	0,245	0		2423	0,329	0,329	0	
2424	0,619	0,619	0		2425	0,603	0,603	0	
2426	0,513	0,513	0		2427	0,516	0,516	0	
2428	0,498	0,498	0		2429	0,477	0,477	0	
2430	0,452	0,452	0		2431	0,446	0,446	0	
2432	0,472	0,472	0		2433	0,239	0,239	0	
2434	0,179	0,179	0		2435	0,134	0,134	0	
2436	0,357	0,357	0		2437	0,268	0,268	0	
2438	0,477	0,477	0		2439	0,268	0,268	0	
2440	0,357	0,357	0		2441	0,268	0,268	0	
2442	0,477	0,477	0		2443	0,357	0,357	0	
2444	0,268	0,268	0		2445	0,179	0,179	0	
2446	0,239	0,239	0		2447	0,134	0,134	0	
2448	0,212	0,212	0		2454	0,583	0,583	0	
2456	0,578	0,578	0		2458	0,496	0,496	0	
2463	0,461	0,461	0		2466	0,456	0,456	0	
2469	0,466	0,466	0		2471	0,555	0,555	0	
2472	0,174	0,174	0		2473	0,262	0,262	0	
2474	0,265	0,265	0		2475	0,326	0,326	0	
2476	0,166	0,166	0		2478	0,534	0,534	0	
2481	0,437	0,437	0		2482	0,457	0,457	0	
2483	0,369	0,369	0		2484	0,416	0,416	0	
2485	0,425	0,425	0		2486	0,396	0,396	0	
2487	0,192	0,192	0		2488	0,225	0,225	0	
2489	0,041	0,041	0		2490	0,066	0,066	0	
2491	0,074	0,074	0		2492	0,1	0,1	0	
2493	0,199	0,199	0		2494	0,199	0,199	0	
2495	0,199	0,199	0		2496	0,099	0,099	0	
2497	0,199	0,199	0		2498	0,198	0,198	0	
2499	0,199	0,199	0		2500	0,198	0,198	0	
2501	0,199	0,199	0		2502	0,272	0,272	0	
2516	0,165	0,165	0						

5.4 Masse di piano

Quota: quota, livello o falda, a cui compete la massa risultante.
Massa X: massa per la componente di spostamento lungo l'asse X. [daN/(cm/s²)]
Massa Y: massa per la componente di spostamento lungo l'asse Y. [daN/(cm/s²)]

Quota	Massa X	Massa Y	Quota	Massa X	Massa Y
Piano 1	159,262	159,262	Piano 2	157,583	157,583
Piano 3	169,034	169,034	Copertura 1	73,617	73,617
Copertura 2	96,558	96,558	Altre quote	308,198	308,198

5.5.1 Caratteristiche meccaniche gusci

Indice: numero dell'elemento nell'insieme che lo contiene.
Comportamento: comportamento del materiale.
E1: modulo di elasticità longitudinale, lungo l'asse 1 del sistema di riferimento locale. [daN/cm²]
Poisson: modulo di Poisson. Il valore è adimensionale.
E2: modulo di elasticità longitudinale, lungo l'asse 2 del sistema di riferimento locale. [daN/cm²]
G: modulo di elasticità tangenziale. [daN/cm²]
Alfa: coefficiente di dilatazione termica longitudinale. [°C-1]
Peso unitario: peso per unità di volume, riferito allo spessore membrinale. [daN/cm³]

Indice	Comportamento	E1	Poisson	E2	G	Alfa	Peso unitario
1	Isotropo	314472	0,1	0	0	0,00001	0,0025

5.5.2 Definizioni gusci

In.: numero dell'elemento nell'insieme che lo contiene.
Nodo I: primo nodo di definizione dell'elemento.
Nodo J: secondo nodo di definizione dell'elemento.
Nodo L: terzo nodo di definizione dell'elemento; nel caso di elementi triangolari non è definito.
Nodo K: ultimo nodo di definizione dell'elemento.
Sp.mem.: spessore membrinale dell'elemento. [cm]
Sp.fless.: spessore flessionale dell'elemento. [cm]
Var.term.: variazione termica a cui è soggetto l'elemento. [°C]
Mat.: caratteristiche meccaniche dell'elemento.
Ind.: numero dell'elemento nell'insieme che lo contiene.

In.	Nodo I	Nodo J	Nodo L	Nodo K	Sp.mem.	Sp.fless.	Var.term.	Mat.	In.	Nodo I	Nodo J	Nodo L	Nodo K	Sp.mem.	Sp.fless.	Var.term.	Mat.
								Ind.									Ind.
1	489	488	564	565	40	40	0	1	2	565	564	658	659	40	40	0	1
3	659	658	762	763	40	40	0	1	4	763	762	1215	1216	40	40	0	1
5	488	487	572	564	40	40	0	1	6	564	572	657	658	40	40	0	1
7	658	657	761	762	40	40	0	1	8	762	761	1214	1215	40	40	0	1
9	487	486	571	572	40	40	0	1	10	572	571	656	657	40	40	0	1
11	657	656	760	761	40	40	0	1	12	761	760	1213	1214	40	40	0	1
13	486	492	570	571	40	40	0	1	14	571	570	655	656	40	40	0	1
15	656	655	759	760	40	40	0	1	16	760	759	1223	1213	40	40	0	1
17	492	491	569	570	40	40	0	1	18	570	569	660	655	40	40	0	1
19	655	660	758	759	40	40	0	1	20	759	758	1222	1223	40	40	0	1
21	491	490	568	569	40	40	0	1	22	569	568	667	660	40	40	0	1
23	660	667	770	758	40	40	0	1	24	758	770	1221	1222	40	40	0	1
25	490	499	567	568	40	40	0	1	26	568	567	666	667	40	40	0	1
27	667	666	769	770	40	40	0	1	28	770	769	1220	1221	40	40	0	1
29	499	498	566	567	40	40	0	1	30	567	566	665	666	40	40	0	1
31	666	665	768	769	40	40	0	1	32	769	768	1219	1220	40	40	0	1
33	498	497	576	566	40	40	0	1	34	566	576	664	665	40	40	0	1
35	665	664	767	768	40	40	0	1	36	768	767	1218	1219	40	40	0	1
37	497	496	575	576	40	40	0	1	38	576	575	663	664	40	40	0	1
39	664	663	766	767	40	40	0	1	40	767	766	1217	1218	40	40	0	1
41	496	495	574	575	40	40	0	1	42	575	574	662	663	40	40	0	1
43	663	662	765	766	40	40	0	1	44	766	765	1228	1217	40	40	0	1
45	495	494	573	574	40	40	0	1	46	574	573	661	662	40	40	0	1
47	662	661	764	765	40	40	0	1	48	765	764	1227	1228	40	40	0	1
49	494	493	580	573	40	40	0	1	50	573	580	670	661	40	40	0	1
51	661	670	773	764	40	40	0	1	52	764	773	1226	1227	40	40	0	1
53	493	503	586	580	40	40	0	1	54	580	586	676	670	40	40	0	1
55	670	676	779	773	40	40	0	1	56	773	779	1225	1226	40	40	0	1
57	503	502	592	586	40	40	0	1	58	586	592	684	676	40	40	0	1
59	676	684	785	779	40	40	0	1	60	779	785	1224	1225	40	40	0	1
61	502	501	599	592	40	40	0	1	62	592	599	690	684	40	40	0	1
63	684	690	791	785	40	40	0	1	64	785	791	1233	1224	40	40	0	1
65	501	500	610	599	40	40	0	1	66	599	610	702	690	40	40	0	1
67	690	702	806	791	40	40	0	1	68	791	806	1232	1233	40	40	0	1

In.	Nodo I	Nodo J	Nodo L	Nodo K	Sp.mem.	Sp.fless.	Var.term.	Mat.	In.	Nodo I	Nodo J	Nodo L	Nodo K	Sp.mem.	Sp.fless.	Var.term.	Mat.
								Ind.									Ind.
69	806	805	1231	1232	40	40	0	1	70	805	804	1230	1231	40	40	0	1
71	804	803	1229	1230	40	40	0	1	72	804	701	700	803	40	40	0	1
73	701	609	608	700	40	40	0	1	74	609	505	504	608	40	40	0	1
75	872	859	819	826	40	40	0	1	76	859	849	812	819	40	40	0	1
77	849	834	794	812	40	40	0	1	78	830	729	794	834	40	40	0	1
79	729	626	703	794	40	40	0	1	80	626	535	596	703	40	40	0	1
81	9	24	596	535	40	40	0	1	82	24	46	614	596	40	40	0	1
83	46	80	618	614	40	40	0	1	84	120	602	618	80	40	40	0	1
85	602	694	717	618	40	40	0	1	86	694	795	818	717	40	40	0	1
87	902	885	818	795	40	40	0	1	88	885	872	826	818	40	40	0	1
89	711	703	596	614	40	40	0	1	90	614	618	717	711	40	40	0	1
91	812	794	703	711	40	40	0	1	92	819	812	711	717	40	40	0	1
93	717	818	826	819	40	40	0	1	94	795	796	930	902	40	40	0	1
95	796	797	970	930	40	40	0	1	96	970	797	792	1024	40	40	0	1
97	1024	792	786	1092	40	40	0	1	98	1092	786	782	1123	40	40	0	1
99	1123	782	778	1161	40	40	0	1	100	1161	778	775	1188	40	40	0	1
101	1188	775	772	1204	40	40	0	1	102	1204	772	763	1216	40	40	0	1
103	797	695	691	792	40	40	0	1	104	792	691	685	786	40	40	0	1
105	786	685	680	782	40	40	0	1	106	782	680	675	778	40	40	0	1
107	778	675	672	775	40	40	0	1	108	775	672	669	772	40	40	0	1
109	772	669	659	763	40	40	0	1	110	695	603	600	691	40	40	0	1
111	691	600	594	685	40	40	0	1	112	685	594	589	680	40	40	0	1
113	680	589	585	675	40	40	0	1	114	675	585	582	672	40	40	0	1
115	672	582	578	669	40	40	0	1	116	669	578	565	659	40	40	0	1
117	603	199	244	600	40	40	0	1	118	600	244	294	594	40	40	0	1
119	594	294	332	589	40	40	0	1	120	589	332	366	585	40	40	0	1
121	585	366	421	582	40	40	0	1	122	582	421	460	578	40	40	0	1
123	578	460	489	565	40	40	0	1	124	1190	1167	809	813	40	40	0	1
125	1167	1124	821	809	40	40	0	1	126	1124	1112	825	821	40	40	0	1
127	1112	1089	828	825	40	40	0	1	128	1089	1053	829	828	40	40	0	1
129	1053	996	820	829	40	40	0	1	130	996	951	726	820	40	40	0	1
131	951	917	728	726	40	40	0	1	132	889	747	728	917	40	40	0	1
133	747	644	683	728	40	40	0	1	134	644	553	611	683	40	40	0	1
135	105	137	611	553	40	40	0	1	136	137	174	615	611	40	40	0	1
137	174	216	532	615	40	40	0	1	138	216	276	529	532	40	40	0	1
139	276	324	530	529	40	40	0	1	140	324	358	531	530	40	40	0	1
141	358	416	533	531	40	40	0	1	142	416	457	617	533	40	40	0	1
143	504	608	617	457	40	40	0	1	144	608	700	709	617	40	40	0	1
145	700	803	807	709	40	40	0	1	146	1229	1203	807	803	40	40	0	1
147	1203	1190	813	807	40	40	0	1	148	704	726	728	683	40	40	0	1
149	683	611	615	704	40	40	0	1	150	722	820	726	718	40	40	0	1
151	726	704	705	718	40	40	0	1	152	705	707	722	718	40	40	0	1
153	620	707	705	624	40	40	0	1	154	705	704	615	624	40	40	0	1
155	615	532	620	624	40	40	0	1	156	619	706	707	620	40	40	0	1
157	620	532	529	619	40	40	0	1	158	810	828	829	814	40	40	0	1
159	829	820	722	814	40	40	0	1	160	722	720	810	814	40	40	0	1
161	722	707	706	720	40	40	0	1	162	619	529	530	621	40	40	0	1
163	621	712	706	619	40	40	0	1	164	727	724	821	825	40	40	0	1
165	825	828	810	727	40	40	0	1	166	727	810	720	719	40	40	0	1
167	720	706	712	719	40	40	0	1	168	712	724	727	719	40	40	0	1
169	715	709	807	813	40	40	0	1	170	714	715	813	809	40	40	0	1
171	724	712	708	721	40	40	0	1	172	708	714	809	721	40	40	0	1
173	809	821	724	721	40	40	0	1	174	622	708	712	621	40	40	0	1
175	621	530	531	622	40	40	0	1	176	715	714	623	625	40	40	0	1
177	623	533	617	625	40	40	0	1	178	617	709	715	625	40	40	0	1
179	622	531	533	623	40	40	0	1	180	623	714	708	622	40	40	0	1
181	105	553	552	94	30	30	0	1	182	94	552	551	87	30	30	0	1
183	87	551	550	79	30	30	0	1	184	79	550	549	66	30	30	0	1
185	66	549	548	64	30	30	0	1	186	553	644	643	552	30	30	0	1
187	552	643	642	551	30	30	0	1	188	551	642	641	550	30	30	0	1
189	550	641	640	549	30	30	0	1	190	549	640	639	548	30	30	0	1
191	644	747	746	643	30	30	0	1	192	643	746	745	642	30	30	0	1
193	642	745	744	641	30	30	0	1	194	641	744	743	640	30	30	0	1
195	640	743	742	639	30	30	0	1	196	747	889	884	746	30	30	0	1
197	746	884	880	745	30	30	0	1	198	745	880	874	744	30	30	0	1
199	744	874	869	743	30	30	0	1	200	743	869	864	742	30	30	0	1
201	855	740	741	858	30	30	0	1	202	740	637	638	741	30	30	0	1
203	637	946	547	638	30	30	0	1	204	546	53	58	547	30	30	0	1
205	9	12	536	535	30	30	0	1	206	535	536	627	626	30	30	0	1
207	626	627	730	729	30	30	0	1	208	729	730	831	830	30	30	0	1
209	12	14	537	536	30	30	0	1	210	536	537	628	627	30	30	0	1
211	627	628	731	730	30	30	0	1	212	730	731	832	831	30	30	0	1
213	14	17	538	537	30	30	0	1	214	537	538	629	628	30	30	0	1
215	628	629	732	731	30	30	0	1	216	731	732	833	832	30	30	0	1
217	17	20	539	538	30	30	0	1	218	538	539	630	629	30	30	0	1
219	629	630	733	732	30	30	0	1	220	732	733	835	833	30	30	0	1
221	20	23	540	539	30	30	0	1	222	539	540	631	630	30	30	0	1
223	630	631	734	733	30	30	0	1	224	733	734	837	835	30	30	0	1
225	23	28	541	540	30	30	0	1	226	540	541	632	631	30	30	0	1
227	631	632	735	734	30	30	0	1	228	734	735	839	837	30	30	0	1
229	28	32	542	541	30	30	0	1	230	541	542	633	632	30	30	0	1
231	632	633	736	735	30	30	0	1	232	735	736	841	839	30	30	0	1
233	32	37	543	542	30	30	0	1	234	542	543	634	633	30	30	0	1
235	633	634	737	736	30	30	0	1	236	736	737	843	841	30	30	0	1
237	37	41	544	543	30	30	0	1	238	543	544	635	634	30	30	0	1
239	634	635	738	737	30	30	0	1	240	737	738	846	843	30	30	0	1
241	41	44	545	544	30	30	0	1	242	544	545	636	635	30	30	0	1
243	635	636	739	738	30	30	0	1	244	738	739	851	846	30	30	0	1
245	44	53	546	545	30	30	0	1	246	545	546	637	636	30	30	0	1
247	636	637	740	739	30												

Ingresso-Principale

In.	Nodo I	Nodo J	Nodo L	Nodo K	Sp.mem.	Sp.fless.	Var.term.	Mat.	In.	Nodo I	Nodo J	Nodo L	Nodo K	Sp.mem.	Sp.fless.	Var.term.	Mat.
								Ind.									Ind.
307	699	802	788	687	30	30	0	1	308	687	788	755	652	30	30	0	1
309	802	1155	1156	788	30	30	0	1	310	788	1156	1158	755	30	30	0	1
311	391	390	562	563	30	30	0	1	312	563	562	653	654	30	30	0	1
313	654	653	756	757	30	30	0	1	314	757	756	1159	1160	30	30	0	1
315	390	389	561	562	30	30	0	1	316	562	561	652	653	30	30	0	1
317	653	652	755	756	30	30	0	1	318	756	755	1158	1159	30	30	0	1
319	1118	1102	824	817	30	30	0	1	320	1102	1079	816	824	30	30	0	1
321	1041	749	816	1079	30	30	0	1	322	749	646	716	816	30	30	0	1
323	646	555	616	716	30	30	0	1	324	251	305	616	555	30	30	0	1
325	305	345	613	616	30	30	0	1	326	391	563	613	345	30	30	0	1
327	563	654	710	613	30	30	0	1	328	654	757	811	710	30	30	0	1
329	1160	1148	811	757	30	30	0	1	330	1148	1118	817	811	30	30	0	1
331	716	616	613	710	30	30	0	1	332	817	824	816	716	30	30	0	1
333	716	710	811	817	30	30	0	1	334	250	286	583	554	30	30	0	1
335	554	583	673	645	30	30	0	1	336	645	673	776	748	30	30	0	1
337	748	776	1069	1040	30	30	0	1	338	286	322	590	583	30	30	0	1
339	583	590	682	673	30	30	0	1	340	673	682	784	776	30	30	0	1
341	776	784	1115	1069	30	30	0	1	342	322	352	598	590	30	30	0	1
343	590	598	689	682	30	30	0	1	344	682	689	790	784	30	30	0	1
345	784	790	1139	1115	30	30	0	1	346	352	387	607	598	30	30	0	1
347	598	607	699	689	30	30	0	1	348	689	699	802	790	30	30	0	1
349	790	802	1155	1139	30	30	0	1	350	1127	1105	823	822	30	30	0	1
351	1105	1074	827	823	30	30	0	1	352	1074	1065	808	827	30	30	0	1
353	1060	752	808	1065	30	30	0	1	354	752	649	693	808	30	30	0	1
355	649	558	579	693	30	30	0	1	356	267	297	579	558	30	30	0	1
357	297	325	534	579	30	30	0	1	358	325	353	612	534	30	30	0	1
359	389	561	612	353	30	30	0	1	360	561	652	713	612	30	30	0	1
361	652	755	815	713	30	30	0	1	362	1158	1144	815	755	30	30	0	1
363	1144	1127	822	815	30	30	0	1	364	679	693	579	534	30	30	0	1
365	534	612	713	679	30	30	0	1	366	725	823	827	808	30	30	0	1
367	808	693	679	725	30	30	0	1	368	725	679	713	723	30	30	0	1
369	713	815	822	723	30	30	0	1	370	822	823	725	723	30	30	0	1
371	1062	754	753	1061	30	30	0	1	372	1061	753	752	1060	30	30	0	1
373	754	651	650	753	30	30	0	1	374	753	650	649	752	30	30	0	1
375	651	560	559	650	30	30	0	1	376	650	559	558	649	30	30	0	1
377	560	269	268	559	30	30	0	1	378	559	268	267	558	30	30	0	1
379	267	266	557	558	30	30	0	1	380	558	557	648	649	30	30	0	1
381	649	648	751	752	30	30	0	1	382	752	751	1059	1060	30	30	0	1
383	266	265	556	557	30	30	0	1	384	557	556	647	648	30	30	0	1
385	648	647	750	751	30	30	0	1	386	751	750	1058	1059	30	30	0	1
387	1583	1527	1547	1588	40	40	0	1	388	1588	1547	1550	1590	40	40	0	1
389	1590	1550	1553	1598	40	40	0	1	390	1598	1553	1555	1616	40	40	0	1
391	1616	1555	1554	1632	40	40	0	1	392	1632	1554	1552	1643	40	40	0	1
393	1643	1552	1549	1650	40	40	0	1	394	1650	1549	1546	1654	40	40	0	1
395	1654	1546	1541	1659	40	40	0	1	396	1527	1466	1487	1547	40	40	0	1
397	1547	1487	1489	1550	40	40	0	1	398	1550	1489	1492	1553	40	40	0	1
399	1553	1492	1495	1555	40	40	0	1	400	1555	1495	1494	1554	40	40	0	1
401	1554	1494	1491	1552	40	40	0	1	402	1552	1491	1488	1549	40	40	0	1
403	1549	1488	1486	1546	40	40	0	1	404	1546	1486	1480	1541	40	40	0	1
405	1466	1401	1424	1487	40	40	0	1	406	1487	1424	1431	1489	40	40	0	1
407	1489	1431	1438	1492	40	40	0	1	408	1492	1438	1440	1495	40	40	0	1
409	1495	1440	1441	1494	40	40	0	1	410	1494	1441	1442	1491	40	40	0	1
411	1491	1442	1430	1488	40	40	0	1	412	1488	1430	1423	1486	40	40	0	1
413	1486	1423	1415	1480	40	40	0	1	414	1401	1348	1365	1424	40	40	0	1
415	1424	1365	1368	1431	40	40	0	1	416	1431	1368	1376	1438	40	40	0	1
417	1442	1378	1367	1430	40	40	0	1	418	1430	1367	1364	1423	40	40	0	1
419	1423	1364	1362	1415	40	40	0	1	420	1348	1301	1318	1365	40	40	0	1
421	1365	1318	1320	1368	40	40	0	1	422	1368	1320	1323	1376	40	40	0	1
423	1378	1325	1319	1367	40	40	0	1	424	1367	1319	1317	1364	40	40	0	1
425	1364	1317	1315	1362	40	40	0	1	426	1301	1254	1271	1318	40	40	0	1
427	1318	1271	1273	1320	40	40	0	1	428	1320	1273	1276	1323	40	40	0	1
429	1325	1278	1272	1319	40	40	0	1	430	1319	1272	1270	1317	40	40	0	1
431	1317	1270	1268	1315	40	40	0	1	432	1254	889	917	1271	40	40	0	1
433	1271	917	951	1273	40	40	0	1	434	1273	951	996	1276	40	40	0	1
435	1278	1124	1167	1272	40	40	0	1	436	1272	1167	1190	1270	40	40	0	1
437	1270	1190	1203	1268	40	40	0	1	438	1583	1582	1526	1527	30	30	0	1
439	1527	1526	1465	1466	30	30	0	1	440	1466	1465	1400	1401	30	30	0	1
441	1401	1400	1347	1348	30	30	0	1	442	1348	1347	1300	1301	30	30	0	1
443	1301	1300	1253	1254	30	30	0	1	444	1254	1253	884	889	30	30	0	1
445	1582	1581	1525	1526	30	30	0	1	446	1526	1525	1464	1465	30	30	0	1
447	1465	1464	1399	1400	30	30	0	1	448	1400	1399	1346	1347	30	30	0	1
449	1347	1346	1299	1300	30	30	0	1	450	1300	1299	1252	1253	30	30	0	1
451	1253	1252	880	884	30	30	0	1	452	1571	1519	1521	1572	30	30	0	1
453	1572	1521	1524	1573	30	30	0	1	454	1519	1455	1458	1521	30	30	0	1
455	1521	1458	1463	1524	30	30	0	1	456	1455	1391	1393	1458	30	30	0	1
457	1458	1393	1398	1463	30	30	0	1	458	1391	1335	1340	1393	30	30	0	1
459	1393	1340	1345	1398	30	30	0	1	460	1335	1291	1294	1340	30	30	0	1
461	1340	1294	1298	1345	30	30	0	1	462	1291	1246	1249	1294	30	30	0	1
463	1294	1249	1251	1298	30	30	0	1	464	1246	830	831	1249	30	30	0	1
465	1249	831	832	1251	30	30	0	1	466	1316	1363	1366	1321	40	40	0	1
467	1363	1416	1426	1366	40	40	0	1	468	1416	1481	1497	1426	40	40	0	1
469	1481	1542	1559	1497	40	40	0	1	470	1660	1658	1559	1542	40	40	0	1
471	1658	1653	1563	1559	40	40	0	1	472	1653	1649	1565	1563	40	40	0	1
473	1649	1637	1566	1565	40	40	0	1	474	1637	1625	1567	1566	40	40	0	1
475	1625	1619	1564	1567	40	40	0	1	476	1619	1614	1569	1564	40	40	0	1
477	1614	1599	1570	1569	40	40	0	1									

In.	Nodo I	Nodo J	Nodo L	Nodo K	Sp.mem.	Sp.fless.	Var.term.	Mat.	In.	Nodo I	Nodo J	Nodo L	Nodo K	Sp.mem.	Sp.fless.	Var.term.	Mat.
								Ind.									Ind.
545	1513	1515	1567	1564	40	40	0	1	546	1457	1515	1513	1485	40	40	0	1
547	1485	1513	1510	1490	40	40	0	1	548	1490	1510	1508	1496	40	40	0	1
549	1432	1429	1457	1485	40	40	0	1	550	1490	1496	1448	1447	40	40	0	1
551	1448	1428	1432	1447	40	40	0	1	552	1432	1485	1490	1447	40	40	0	1
553	1505	1506	1454	1459	40	40	0	1	554	1496	1508	1509	1498	40	40	0	1
555	1498	1453	1448	1496	40	40	0	1	556	1498	1509	1507	1501	40	40	0	1
557	1507	1505	1459	1501	40	40	0	1	558	1459	1453	1498	1501	40	40	0	1
559	1557	1569	1570	1558	40	40	0	1	560	1558	1509	1508	1557	40	40	0	1
561	1505	1507	1551	1520	40	40	0	1	562	1551	1568	1561	1520	40	40	0	1
563	1561	1506	1505	1520	40	40	0	1	564	1551	1507	1509	1558	40	40	0	1
565	1558	1570	1568	1551	40	40	0	1	566	1295	1289	1245	1250	40	40	0	1
567	1250	1274	1327	1295	40	40	0	1	568	1506	1561	1562	1514	40	40	0	1
569	1450	1454	1506	1493	40	40	0	1	570	1506	1514	1499	1493	40	40	0	1
571	1499	1446	1450	1493	40	40	0	1	572	1502	1499	1514	1516	40	40	0	1
573	1514	1562	1560	1516	40	40	0	1	574	1560	1503	1502	1516	40	40	0	1
575	1502	1503	1452	1449	40	40	0	1	576	1449	1446	1499	1502	40	40	0	1
577	1445	1451	1504	1500	40	40	0	1	578	1504	1556	1518	1500	40	40	0	1
579	1518	1444	1445	1500	40	40	0	1	580	1503	1560	1556	1504	40	40	0	1
581	1504	1451	1452	1503	40	40	0	1	582	1418	1445	1444	1420	40	40	0	1
583	1444	1388	1385	1420	40	40	0	1	584	1385	1383	1418	1420	40	40	0	1
585	1443	1451	1445	1434	40	40	0	1	586	1445	1418	1394	1434	40	40	0	1
587	1394	1392	1443	1434	40	40	0	1	588	1386	1392	1394	1387	40	40	0	1
589	1394	1418	1383	1387	40	40	0	1	590	1383	1372	1386	1387	40	40	0	1
591	1422	1446	1449	1421	40	40	0	1	592	1421	1449	1452	1433	40	40	0	1
593	1433	1452	1451	1443	40	40	0	1	594	1382	1374	1422	1421	40	40	0	1
595	1392	1386	1384	1390	40	40	0	1	596	1390	1433	1443	1392	40	40	0	1
597	1390	1384	1381	1389	40	40	0	1	598	1381	1382	1421	1389	40	40	0	1
599	1421	1433	1390	1389	40	40	0	1	600	1382	1381	1333	1334	40	40	0	1
601	1333	1295	1327	1334	40	40	0	1	602	1327	1374	1382	1334	40	40	0	1
603	1332	1289	1295	1333	40	40	0	1	604	1384	1386	1372	1369	40	40	0	1
605	1372	1332	1333	1369	40	40	0	1	606	1333	1381	1384	1369	40	40	0	1
607	1335	1291	1292	1336	40	40	0	1	608	1291	1246	1247	1292	40	40	0	1
609	1246	830	834	1247	40	40	0	1	610	1600	1528	1535	1615	30	30	0	1
611	1615	1535	1536	1622	30	30	0	1	612	1622	1536	1537	1633	30	30	0	1
613	1633	1537	1538	1639	30	30	0	1	614	1528	1467	1474	1535	30	30	0	1
615	1535	1474	1475	1536	30	30	0	1	616	1536	1475	1476	1537	30	30	0	1
617	1537	1476	1477	1538	30	30	0	1	618	1467	1402	1409	1474	30	30	0	1
619	1474	1409	1410	1475	30	30	0	1	620	1475	1410	1411	1476	30	30	0	1
621	1476	1411	1412	1477	30	30	0	1	622	1402	1349	1356	1409	30	30	0	1
623	1409	1356	1357	1410	30	30	0	1	624	1410	1357	1358	1411	30	30	0	1
625	1411	1358	1359	1412	30	30	0	1	626	1349	1302	1309	1356	30	30	0	1
627	1356	1309	1310	1357	30	30	0	1	628	1357	1310	1311	1358	30	30	0	1
629	1358	1311	1312	1359	30	30	0	1	630	1302	1255	1262	1309	30	30	0	1
631	1309	1262	1263	1310	30	30	0	1	632	1310	1263	1264	1311	30	30	0	1
633	1311	1264	1265	1312	30	30	0	1	634	1255	1040	1069	1262	30	30	0	1
635	1262	1069	1115	1263	30	30	0	1	636	1263	1115	1139	1264	30	30	0	1
637	1264	1139	1155	1265	30	30	0	1	638	1314	1361	1341	1290	30	30	0	1
639	1361	1414	1396	1341	30	30	0	1	640	1414	1479	1462	1396	30	30	0	1
641	1479	1540	1523	1462	30	30	0	1	642	1641	1627	1523	1540	30	30	0	1
643	1627	1618	1522	1523	30	30	0	1	644	1601	1529	1522	1618	30	30	0	1
645	1529	1468	1461	1522	30	30	0	1	646	1468	1403	1395	1461	30	30	0	1
647	1403	1350	1339	1395	30	30	0	1	648	1350	1303	1285	1339	30	30	0	1
649	1303	1256	1239	1285	30	30	0	1	650	1041	1079	1239	1256	30	30	0	1
651	1079	1102	1235	1239	30	30	0	1	652	1102	1118	1238	1235	30	30	0	1
653	1118	1148	1242	1238	30	30	0	1	654	1160	1267	1242	1148	30	30	0	1
655	1267	1314	1290	1242	30	30	0	1	656	1238	1242	1290	1285	30	30	0	1
657	1285	1239	1235	1238	30	30	0	1	658	1290	1341	1339	1285	30	30	0	1
659	1341	1396	1395	1339	30	30	0	1	660	1396	1462	1461	1395	30	30	0	1
661	1462	1523	1522	1461	30	30	0	1	662	1074	1105	1236	1234	30	30	0	1
663	1105	1127	1237	1236	30	30	0	1	664	1127	1144	1240	1237	30	30	0	1
665	1158	1266	1240	1144	30	30	0	1	666	1266	1313	1288	1240	30	30	0	1
667	1313	1360	1342	1288	30	30	0	1	668	1360	1413	1397	1342	30	30	0	1
669	1413	1478	1483	1397	30	30	0	1	670	1478	1539	1544	1483	30	30	0	1
671	1640	1634	1544	1539	30	30	0	1	672	1634	1623	1545	1544	30	30	0	1
673	1623	1617	1543	1545	30	30	0	1	674	1609	1532	1543	1617	30	30	0	1
675	1532	1471	1482	1543	30	30	0	1	676	1471	1406	1417	1482	30	30	0	1
677	1406	1353	1344	1417	30	30	0	1	678	1353	1306	1296	1344	30	30	0	1
679	1306	1259	1241	1296	30	30	0	1	680	1060	1065	1241	1259	30	30	0	1
681	1065	1074	1234	1241	30	30	0	1	682	1343	1344	1296	1297	30	30	0	1
683	1297	1288	1342	1343	30	30	0	1	684	1280	1236	1237	1282	30	30	0	1
685	1237	1240	1288	1282	30	30	0	1	686	1288	1297	1280	1282	30	30	0	1
687	1280	1297	1296	1241	30	30	0	1	688	1241	1234	1236	1280	30	30	0	1
689	1342	1397	1419	1343	30	30	0	1	690	1397	1483	1484	1419	30	30	0	1
691	1483	1544	1545	1484	30	30	0	1	692	1343	1419	1417	1344	30	30	0	1
693	1419	1484	1482	1417	30	30	0	1	694	1484	1545	1543	1482	30	30	0	1
695	1607	1608	1531	1530	30	30	0	1	696	1530	1531	1470	1469	30	30	0	1
697	1469	1470	1405	1404	30	30	0	1	698	1404	1405	1352	1351	30	30	0	1
699	1351	1352	1305	1304	30	30	0	1	700	1304	1305	1258	1257	30	30	0	1
701	1257	1258	1059	1058	30	30	0	1	702	1608	1609	1532	1531	30	30	0	1
703	1531	1532	1471	1470	30	30	0	1	704	1470	1471	1406	1405	30	30	0	1
705	1405	1406	1353	1352	30	30	0	1	706	1352	1353	1306	1305	30	30	0	1
707	1305	1306	1259	1258	30	30	0	1	708	1258	1259	1060	1059	30	30	0	1
709	1609	1610	1533	1532	30	30	0	1	710	1532	1533	1472	1471	30	30	0	1
711	1471	1472	1407	1406	30	30	0	1	712	1406	1407	1354	1353	30	30	0	1
713	1353																

Ingresso-Principale

In.	Nodo I	Nodo J	Nodo L	Nodo K	Sp.mem.	Sp.fless.	Var.term.	Mat.	In.	Nodo I	Nodo J	Nodo L	Nodo K	Sp.mem.	Sp.fless.	Var.term.	Mat.
								Ind.									Ind.
783	1718	1671	1675	1722	40	40	0	1	784	1722	1675	1680	1728	40	40	0	1
785	1728	1680	1707	1755	40	40	0	1	786	1689	1583	1588	1677	40	40	0	1
787	1677	1588	1590	1672	40	40	0	1	788	1672	1590	1598	1665	40	40	0	1
789	1667	1632	1643	1671	40	40	0	1	790	1671	1643	1650	1675	40	40	0	1
791	1675	1650	1654	1680	40	40	0	1	792	1680	1654	1659	1707	40	40	0	1
793	1918	1917	1885	1886	30	30	0	1	794	1886	1885	1833	1834	30	30	0	1
795	1834	1833	1782	1783	30	30	0	1	796	1783	1782	1736	1737	30	30	0	1
797	1737	1736	1688	1689	30	30	0	1	798	1689	1688	1582	1583	30	30	0	1
799	1917	1916	1884	1885	30	30	0	1	800	1885	1884	1832	1833	30	30	0	1
801	1833	1832	1781	1782	30	30	0	1	802	1782	1781	1735	1736	30	30	0	1
803	1736	1735	1687	1688	30	30	0	1	804	1688	1687	1581	1582	30	30	0	1
805	1908	1907	1882	1883	30	30	0	1	806	1883	1882	1830	1831	30	30	0	1
807	1831	1830	1779	1780	30	30	0	1	808	1780	1779	1733	1734	30	30	0	1
809	1734	1733	1685	1686	30	30	0	1	810	1686	1685	1572	1573	30	30	0	1
811	1907	1906	1881	1882	30	30	0	1	812	1882	1881	1829	1830	30	30	0	1
813	1830	1829	1778	1779	30	30	0	1	814	1779	1778	1732	1733	30	30	0	1
815	1733	1732	1684	1685	30	30	0	1	816	1685	1684	1571	1572	30	30	0	1
817	1906	1881	1875	1910	40	40	0	1	818	1910	1875	1870	1912	40	40	0	1
819	1912	1870	1866	1914	40	40	0	1	820	1914	1866	1862	1919	40	40	0	1
821	1919	1862	1859	1924	40	40	0	1	822	1924	1859	1857	1925	40	40	0	1
823	1925	1857	1858	1929	40	40	0	1	824	1929	1858	1861	1935	40	40	0	1
825	1935	1861	1865	1950	40	40	0	1	826	1950	1865	1869	1956	40	40	0	1
827	1956	1869	1874	1963	40	40	0	1	828	1963	1874	1877	1975	40	40	0	1
829	1975	1877	1878	1983	40	40	0	1	830	1983	1878	1879	1987	40	40	0	1
831	1987	1879	1880	1992	40	40	0	1	832	1992	1880	1905	1994	40	40	0	1
833	1881	1829	1823	1875	40	40	0	1	834	1875	1823	1819	1870	40	40	0	1
835	1870	1819	1815	1866	40	40	0	1	836	1866	1815	1805	1862	40	40	0	1
837	1862	1805	1806	1859	40	40	0	1	838	1859	1806	1807	1857	40	40	0	1
839	1857	1807	1808	1858	40	40	0	1	840	1858	1808	1810	1861	40	40	0	1
841	1861	1810	1814	1865	40	40	0	1	842	1865	1814	1818	1869	40	40	0	1
843	1869	1818	1822	1874	40	40	0	1	844	1874	1822	1825	1877	40	40	0	1
845	1877	1825	1826	1878	40	40	0	1	846	1878	1826	1827	1879	40	40	0	1
847	1879	1827	1828	1880	40	40	0	1	848	1880	1828	1853	1905	40	40	0	1
849	1829	1778	1773	1823	40	40	0	1	850	1823	1773	1768	1819	40	40	0	1
851	1819	1768	1764	1815	40	40	0	1	852	1815	1764	1758	1805	40	40	0	1
853	1810	1760	1763	1814	40	40	0	1	854	1814	1763	1767	1818	40	40	0	1
855	1818	1767	1771	1822	40	40	0	1	856	1822	1771	1772	1825	40	40	0	1
857	1825	1772	1775	1826	40	40	0	1	858	1826	1775	1776	1827	40	40	0	1
859	1827	1776	1777	1828	40	40	0	1	860	1828	1777	1802	1853	40	40	0	1
861	1778	1732	1727	1773	40	40	0	1	862	1773	1727	1721	1768	40	40	0	1
863	1768	1721	1717	1764	40	40	0	1	864	1764	1717	1712	1758	40	40	0	1
865	1760	1714	1716	1763	40	40	0	1	866	1763	1716	1720	1767	40	40	0	1
867	1767	1720	1723	1771	40	40	0	1	868	1771	1723	1726	1772	40	40	0	1
869	1772	1726	1729	1775	40	40	0	1	870	1775	1729	1730	1776	40	40	0	1
871	1776	1730	1731	1777	40	40	0	1	872	1777	1731	1756	1802	40	40	0	1
873	1732	1684	1679	1727	40	40	0	1	874	1727	1679	1674	1721	40	40	0	1
875	1721	1674	1670	1717	40	40	0	1	876	1717	1670	1664	1712	40	40	0	1
877	1714	1666	1669	1716	40	40	0	1	878	1716	1669	1673	1720	40	40	0	1
879	1720	1673	1676	1723	40	40	0	1	880	1723	1676	1678	1726	40	40	0	1
881	1726	1678	1681	1729	40	40	0	1	882	1729	1681	1682	1730	40	40	0	1
883	1730	1682	1683	1731	40	40	0	1	884	1731	1683	1708	1756	40	40	0	1
885	1684	1571	1575	1679	40	40	0	1	886	1679	1575	1577	1674	40	40	0	1
887	1674	1577	1579	1670	40	40	0	1	888	1670	1579	1584	1664	40	40	0	1
889	1666	1599	1614	1669	40	40	0	1	890	1669	1614	1619	1673	40	40	0	1
891	1673	1619	1625	1676	40	40	0	1	892	1676	1625	1637	1678	40	40	0	1
893	1678	1637	1649	1681	40	40	0	1	894	1681	1649	1653	1682	40	40	0	1
895	1682	1653	1658	1683	40	40	0	1	896	1683	1658	1660	1708	40	40	0	1
897	1622	1633	1661	1662	30	30	0	1	898	1633	1639	1668	1661	30	30	0	1
899	1646	1705	1668	1639	30	30	0	1	900	1705	1753	1725	1668	30	30	0	1
901	1753	1799	1803	1725	30	30	0	1	902	1799	1850	1855	1803	30	30	0	1
903	1850	1902	1872	1855	30	30	0	1	904	1980	1969	1872	1902	30	30	0	1
905	1969	1957	1856	1872	30	30	0	1	906	1936	1887	1856	1957	30	30	0	1
907	1887	1835	1813	1856	30	30	0	1	908	1835	1784	1762	1813	30	30	0	1
909	1784	1738	1711	1762	30	30	0	1	910	1738	1690	1663	1711	30	30	0	1
911	1600	1615	1663	1690	30	30	0	1	912	1615	1622	1662	1663	30	30	0	1
913	1804	1803	1855	1854	30	30	0	1	914	1855	1872	1856	1854	30	30	0	1
915	1856	1813	1804	1854	30	30	0	1	916	1804	1813	1762	1757	30	30	0	1
917	1757	1762	1711	1710	30	30	0	1	918	1710	1711	1663	1662	30	30	0	1
919	1725	1803	1804	1757	30	30	0	1	920	1710	1662	1661	1709	30	30	0	1
921	1661	1668	1725	1709	30	30	0	1	922	1725	1757	1710	1709	30	30	0	1
923	1977	1971	1899	1901	30	30	0	1	924	1901	1899	1847	1849	30	30	0	1
925	1849	1847	1796	1798	30	30	0	1	926	1798	1796	1750	1752	30	30	0	1
927	1752	1750	1702	1704	30	30	0	1	928	1704	1702	1641	1644	30	30	0	1
929	1971	1959	1897	1899	30	30	0	1	930	1899	1897	1845	1847	30	30	0	1
931	1847	1845	1794	1796	30	30	0	1	932	1796	1794	1748	1750	30	30	0	1
933	1750	1748	1700	1702	30	30	0	1	934	1702	1700	1627	1641	30	30	0	1
935	1959	1951	1895	1897	30	30	0	1	936	1897	1895	1843	1845	30	30	0	1
937	1845	1843	1792	1794	30	30	0	1	938	1794	1792	1746	1748	30	30	0	1
939	1748	1746	1698	1700	30	30	0	1	940	1700	1698	1618	1627	30	30	0	1
941	1951	1937	1888	1895	30	30	0	1	942	1895	1888	1836	1843	30	30	0	1
943	1843	1836	1785	1792	30	30	0	1	944	1792	1785	1739	1746	30	30	0	1
945	1746	1739	1691	1698	30	30	0	1	946	1698	1691	1601	1618	30	30	0	1
947	1943	1944	1890	1889	30	30	0	1	948	1889	1890	1838	1837	30	30	0	1
949	1837	1838	1787	1786	30	30	0	1	9								

In.	Nodo I	Nodo J	Nodo L	Nodo K	Sp.mem.	Sp.fless.	Var.term.	Mat.	In.	Nodo I	Nodo J	Nodo L	Nodo K	Sp.mem.	Sp.fless.	Var.term.	Mat.
								Ind.									Ind.
1021	2237	2150	2146	2244	40	40	0	1	1022	2244	2146	2141	2248	40	40	0	1
1023	2248	2141	2137	2253	40	40	0	1	1024	2162	2110	2102	2150	40	40	0	1
1025	2150	2102	2098	2146	40	40	0	1	1026	2146	2098	2094	2141	40	40	0	1
1027	2141	2094	2090	2137	40	40	0	1	1028	2110	2062	2056	2102	40	40	0	1
1029	2102	2056	2052	2098	40	40	0	1	1030	2098	2052	2048	2094	40	40	0	1
1031	2094	2048	2044	2090	40	40	0	1	1032	2062	2016	2010	2056	40	40	0	1
1033	2056	2010	2006	2052	40	40	0	1	1034	2052	2006	2002	2048	40	40	0	1
1035	2048	2002	1998	2044	40	40	0	1	1036	2016	1968	1976	2010	40	40	0	1
1037	2010	1976	1984	2006	40	40	0	1	1038	2006	1984	1988	2002	40	40	0	1
1039	2002	1988	1993	1998	40	40	0	1	1040	2181	2180	2112	2113	30	30	0	1
1041	2113	2112	2065	2066	30	30	0	1	1042	2066	2065	2019	2020	30	30	0	1
1043	2020	2019	1917	1918	30	30	0	1	1044	2180	2179	2111	2112	30	30	0	1
1045	2112	2111	2064	2065	30	30	0	1	1046	2065	2064	2018	2019	30	30	0	1
1047	2019	2018	1916	1917	30	30	0	1	1048	2168	2167	2135	2136	30	30	0	1
1049	2136	2135	2088	2089	30	30	0	1	1050	2089	2088	2042	2043	30	30	0	1
1051	2043	2042	1996	1997	30	30	0	1	1052	1997	1996	1907	1908	30	30	0	1
1053	2167	2165	2134	2135	30	30	0	1	1054	2135	2134	2087	2088	30	30	0	1
1055	2088	2087	2041	2042	30	30	0	1	1056	2042	2041	1995	1996	30	30	0	1
1057	1996	1995	1906	1907	30	30	0	1	1058	2165	2134	2142	2170	40	40	0	1
1059	2170	2142	2147	2172	40	40	0	1	1060	2172	2147	2151	2175	40	40	0	1
1061	2175	2151	2154	2183	40	40	0	1	1062	2134	2087	2095	2142	40	40	0	1
1063	2142	2095	2099	2147	40	40	0	1	1064	2147	2099	2103	2151	40	40	0	1
1065	2151	2103	2107	2154	40	40	0	1	1066	2087	2041	2049	2095	40	40	0	1
1067	2095	2049	2053	2099	40	40	0	1	1068	2099	2053	2057	2103	40	40	0	1
1069	2103	2057	2059	2107	40	40	0	1	1070	2041	1995	2003	2049	40	40	0	1
1071	2049	2003	2007	2053	40	40	0	1	1072	2053	2007	2011	2057	40	40	0	1
1073	2057	2011	2013	2059	40	40	0	1	1074	1995	1906	1910	2003	40	40	0	1
1075	2003	1910	1912	2007	40	40	0	1	1076	2007	1912	1914	2011	40	40	0	1
1077	2011	1914	1919	2013	40	40	0	1	1078	2154	2155	2186	2183	40	40	0	1
1079	2155	2156	2189	2186	40	40	0	1	1080	2156	2157	2191	2189	40	40	0	1
1081	2157	2159	2197	2191	40	40	0	1	1082	2197	2159	2152	2200	40	40	0	1
1083	2200	2152	2148	2216	40	40	0	1	1084	2216	2148	2145	2224	40	40	0	1
1085	2224	2145	2144	2236	40	40	0	1	1086	2236	2144	2143	2243	40	40	0	1
1087	2243	2143	2140	2247	40	40	0	1	1088	2247	2140	2139	2252	40	40	0	1
1089	2252	2139	2138	2254	40	40	0	1	1090	2159	2109	2104	2152	40	40	0	1
1091	2152	2104	2101	2148	40	40	0	1	1092	2148	2101	2100	2145	40	40	0	1
1093	2145	2100	2097	2144	40	40	0	1	1094	2144	2097	2096	2143	40	40	0	1
1095	2143	2096	2093	2140	40	40	0	1	1096	2140	2093	2092	2139	40	40	0	1
1097	2139	2092	2091	2138	40	40	0	1	1098	2109	2061	2058	2104	40	40	0	1
1099	2104	2058	2055	2101	40	40	0	1	1100	2101	2055	2054	2100	40	40	0	1
1101	2100	2054	2051	2097	40	40	0	1	1102	2097	2051	2050	2096	40	40	0	1
1103	2096	2050	2047	2093	40	40	0	1	1104	2093	2047	2046	2092	40	40	0	1
1105	2092	2046	2045	2091	40	40	0	1	1106	2061	2015	2012	2058	40	40	0	1
1107	2058	2012	2009	2055	40	40	0	1	1108	2055	2009	2008	2054	40	40	0	1
1109	2054	2008	2005	2051	40	40	0	1	1110	2051	2005	2004	2050	40	40	0	1
1111	2050	2004	2001	2047	40	40	0	1	1112	2047	2001	2000	2046	40	40	0	1
1113	2046	2000	1999	2045	40	40	0	1	1114	2015	1935	1950	2012	40	40	0	1
1115	2012	1950	1956	2009	40	40	0	1	1116	2009	1956	1963	2008	40	40	0	1
1117	2008	1963	1975	2005	40	40	0	1	1118	2005	1975	1983	2004	40	40	0	1
1119	2004	1983	1987	2001	40	40	0	1	1120	2001	1987	1992	2000	40	40	0	1
1121	2000	1992	1994	1999	40	40	0	1	1122	1936	1957	2030	2021	30	30	0	1
1123	2021	2030	2076	2067	30	30	0	1	1124	2067	2076	2123	2114	30	30	0	1
1125	2114	2123	2217	2198	30	30	0	1	1126	1957	1969	2034	2030	30	30	0	1
1127	2030	2034	2080	2076	30	30	0	1	1128	2076	2080	2127	2123	30	30	0	1
1129	2123	2127	2227	2217	30	30	0	1	1130	1969	1980	2038	2034	30	30	0	1
1131	2034	2038	2084	2080	30	30	0	1	1132	2080	2084	2131	2127	30	30	0	1
1133	2127	2131	2240	2227	30	30	0	1	1134	1937	1951	2028	2022	30	30	0	1
1135	2022	2028	2074	2068	30	30	0	1	1136	2068	2074	2121	2115	30	30	0	1
1137	2115	2121	2211	2199	30	30	0	1	1138	1951	1959	2032	2028	30	30	0	1
1139	2028	2032	2078	2074	30	30	0	1	1140	2074	2078	2125	2121	30	30	0	1
1141	2121	2125	2220	2211	30	30	0	1	1142	1959	1971	2035	2032	30	30	0	1
1143	2032	2035	2081	2078	30	30	0	1	1144	2078	2081	2128	2125	30	30	0	1
1145	2125	2128	2232	2220	30	30	0	1	1146	1971	1977	2037	2035	30	30	0	1
1147	2035	2037	2083	2081	30	30	0	1	1148	2081	2083	2130	2128	30	30	0	1
1149	2128	2130	2238	2232	30	30	0	1	1150	2210	2120	2119	2209	30	30	0	1
1151	2209	2119	2118	2208	30	30	0	1	1152	2120	2073	2072	2119	30	30	0	1
1153	2119	2072	2071	2118	30	30	0	1	1154	2073	2027	2026	2072	30	30	0	1
1155	2072	2026	2025	2071	30	30	0	1	1156	2027	1947	1946	2026	30	30	0	1
1157	2026	1946	1945	2025	30	30	0	1	1158	1945	1944	2024	2023	30	30	0	1
1159	2025	2024	2070	2071	30	30	0	1	1160	2071	2070	2117	2118	30	30	0	1
1161	2118	2117	2207	2208	30	30	0	1	1162	1944	1943	2023	2024	30	30	0	1
1163	2024	2023	2069	2070	30	30	0	1	1164	2070	2069	2116	2117	30	30	0	1
1165	2117	2116	2206	2207	30	30	0	1	1166	1981	2039	2036	1974	30	30	0	1
1167	1974	2036	2033	1964	30	30	0	1	1168	1964	2033	2031	1958	30	30	0	1
1169	1958	2031	2029	1952	30	30	0	1	1170	1952	2029	2025	1945	30	30	0	1
1171	2039	2085	2082	2036	30	30	0	1	1172	2036	2082	2079	2033	30	30	0	1
1173	2033	2079	2077	2031	30	30	0	1	1174	2031	2077	2075	2029	30	30	0	1
1175	2029	2075	2071	2025	30	30	0	1	1176	2085	2132	2129	2082	30	30	0	1
1177	2082	2129	2126	2079	30	30	0	1	1178	2079	2126	2124	2077	30	30	0	1
1179	2077	2124	2122	2075	30	30	0	1	1180	2075	2122	2118	2071	30	30	0	1
1181	2132	2241	2235	2129	30	30	0	1	1182	2129	2235	2225	2126	30	30	0	1
1183	2126	2225	2218	2124	30	30	0	1	1184	2124	2218	2212	2122	30	30	0	1
1185	2122	2212	2208	2118	30	3											

Ingresso-Principale

In.	Nodo I	Nodo J	Nodo L	Nodo K	Sp.mem.	Sp.fless.	Var.term.	Mat.	In.	Nodo I	Nodo J	Nodo L	Nodo K	Sp.mem.	Sp.fless.	Var.term.	Mat.
								Ind.									Ind.
1259	2261	2263	2315	2311	40	40	0	1	1260	2324	2297	2311	2322	40	40	0	1
1261	2311	2315	2347	2322	40	40	0	1	1262	2347	2371	2324	2322	40	40	0	1
1263	2404	2432	2429	2381	40	40	0	1	1264	2329	2352	2375	2374	40	40	0	1
1265	2375	2404	2381	2374	40	40	0	1	1266	2381	2348	2329	2374	40	40	0	1
1267	2372	2371	2387	2384	40	40	0	1	1268	2387	2427	2425	2384	40	40	0	1
1269	2425	2373	2372	2384	40	40	0	1	1270	2404	2375	2376	2403	40	40	0	1
1271	2373	2425	2403	2376	40	40	0	1	1272	2375	2352	2373	2376	40	40	0	1
1273	2425	2432	2404	2403	40	40	0	1	1274	2259	2260	2297	2294	40	40	0	1
1275	2294	2297	2324	2326	40	40	0	1	1276	2326	2324	2371	2372	40	40	0	1
1277	2316	2264	2262	2314	40	40	0	1	1278	2314	2329	2348	2316	40	40	0	1
1279	2267	2309	2313	2270	40	40	0	1	1280	2313	2314	2262	2270	40	40	0	1
1281	2262	2258	2267	2270	40	40	0	1	1282	2323	2352	2329	2320	40	40	0	1
1283	2329	2314	2313	2320	40	40	0	1	1284	2313	2309	2323	2320	40	40	0	1
1285	2373	2352	2323	2325	40	40	0	1	1286	2325	2326	2372	2373	40	40	0	1
1287	2294	2326	2325	2273	40	40	0	1	1288	2273	2257	2259	2294	40	40	0	1
1289	2267	2258	2256	2265	40	40	0	1	1290	2256	2257	2273	2265	40	40	0	1
1291	2273	2309	2267	2265	40	40	0	1	1292	2273	2325	2323	2309	40	40	0	1
1293	2462	2419	2412	2465	40	40	0	1	1294	2465	2412	2410	2467	40	40	0	1
1295	2467	2410	2407	2468	40	40	0	1	1296	2468	2407	2405	2470	40	40	0	1
1297	2470	2405	2378	2477	40	40	0	1	1298	2419	2366	2356	2412	40	40	0	1
1299	2412	2356	2351	2410	40	40	0	1	1300	2410	2351	2349	2407	40	40	0	1
1301	2407	2349	2345	2405	40	40	0	1	1302	2405	2345	2327	2378	40	40	0	1
1303	2366	2304	2298	2356	40	40	0	1	1304	2356	2298	2295	2351	40	40	0	1
1305	2351	2295	2292	2349	40	40	0	1	1306	2349	2292	2274	2345	40	40	0	1
1307	2345	2274	2271	2327	40	40	0	1	1308	2304	2181	2185	2298	40	40	0	1
1309	2298	2185	2188	2295	40	40	0	1	1310	2295	2188	2194	2292	40	40	0	1
1311	2292	2194	2196	2274	40	40	0	1	1312	2274	2196	2213	2271	40	40	0	1
1313	2378	2379	2479	2477	40	40	0	1	1314	2379	2380	2480	2479	40	40	0	1
1315	2480	2380	2406	2482	40	40	0	1	1316	2482	2406	2408	2484	40	40	0	1
1317	2484	2408	2411	2486	40	40	0	1	1318	2486	2411	2422	2487	40	40	0	1
1319	2380	2328	2346	2406	40	40	0	1	1320	2406	2346	2350	2408	40	40	0	1
1321	2408	2350	2354	2411	40	40	0	1	1322	2411	2354	2369	2422	40	40	0	1
1323	2328	2272	2275	2346	40	40	0	1	1324	2346	2275	2293	2350	40	40	0	1
1325	2350	2293	2296	2354	40	40	0	1	1326	2354	2296	2307	2369	40	40	0	1
1327	2272	2226	2237	2275	40	40	0	1	1328	2275	2237	2244	2293	40	40	0	1
1329	2293	2244	2248	2296	40	40	0	1	1330	2296	2248	2253	2307	40	40	0	1
1331	2199	2211	2279	2277	30	30	0	1	1332	2277	2279	2333	2331	30	30	0	1
1333	2331	2333	2391	2389	30	30	0	1	1334	2389	2391	2436	2434	30	30	0	1
1335	2434	2436	2513	2504	30	30	0	1	1336	2211	2220	2283	2279	30	30	0	1
1337	2279	2283	2337	2333	30	30	0	1	1338	2333	2337	2395	2391	30	30	0	1
1339	2391	2395	2440	2436	30	30	0	1	1340	2436	2440	2519	2513	30	30	0	1
1341	2220	2232	2286	2283	30	30	0	1	1342	2283	2286	2340	2337	30	30	0	1
1343	2337	2340	2398	2395	30	30	0	1	1344	2395	2398	2443	2440	30	30	0	1
1345	2440	2443	2523	2519	30	30	0	1	1346	2232	2238	2288	2286	30	30	0	1
1347	2286	2288	2342	2340	30	30	0	1	1348	2340	2342	2400	2398	30	30	0	1
1349	2398	2400	2445	2443	30	30	0	1	1350	2443	2445	2531	2523	30	30	0	1
1351	2240	2289	2285	2227	30	30	0	1	1352	2227	2285	2281	2217	30	30	0	1
1353	2217	2281	2276	2198	30	30	0	1	1354	2289	2343	2339	2285	30	30	0	1
1355	2285	2339	2335	2281	30	30	0	1	1356	2281	2335	2330	2276	30	30	0	1
1357	2343	2401	2397	2339	30	30	0	1	1358	2339	2397	2393	2335	30	30	0	1
1359	2335	2393	2388	2330	30	30	0	1	1360	2401	2446	2442	2397	30	30	0	1
1361	2397	2442	2438	2393	30	30	0	1	1362	2393	2438	2433	2388	30	30	0	1
1363	2446	2532	2521	2442	30	30	0	1	1364	2442	2521	2515	2438	30	30	0	1
1365	2438	2515	2503	2433	30	30	0	1	1366	2489	2473	2472	2472	30	30	0	1
1367	2474	2491	2474	2475	30	30	0	1	1368	2475	2491	2476	2476	30	30	0	1
1369	2490	2491	2474	2474	30	30	0	1	1370	2490	2489	2510	2510	30	30	0	1
1371	2489	2490	2473	2473	30	30	0	1	1372	2510	2489	2509	2509	30	30	0	1
1373	2510	2511	2490	2490	30	30	0	1	1374	2491	2490	2511	2511	30	30	0	1
1375	2474	2473	2490	2490	30	30	0	1	1376	2511	2512	2491	2491	30	30	0	1
1377	2512	2476	2491	2491	30	30	0	1	1378	2305	2306	2255	2255	30	30	0	1
1379	2206	2255	2207	2207	30	30	0	1	1380	2255	2209	2208	2208	30	30	0	1
1381	2255	2210	2209	2209	30	30	0	1	1382	2255	2206	2305	2305	30	30	0	1
1383	2367	2306	2305	2305	30	30	0	1	1384	2306	2367	2368	2368	30	30	0	1
1385	2420	2368	2367	2367	30	30	0	1	1386	2368	2420	2421	2421	30	30	0	1
1387	2448	2472	2473	2473	30	30	0	1	1388	2448	2473	2474	2474	30	30	0	1
1389	2476	2421	2475	2475	30	30	0	1	1390	2421	2420	2448	2448	30	30	0	1
1391	2475	2448	2474	2474	30	30	0	1	1392	2472	2448	2420	2420	30	30	0	1
1393	2448	2475	2421	2421	30	30	0	1	1394	2210	2255	2306	2306	30	30	0	1
1395	2207	2255	2208	2208	30	30	0	1	1396	2241	2290	2287	2235	30	30	0	1
1397	2235	2287	2284	2225	30	30	0	1	1398	2225	2284	2282	2218	30	30	0	1
1399	2218	2282	2280	2212	30	30	0	1	1400	2212	2280	2278	2208	30	30	0	1
1401	2290	2344	2341	2287	30	30	0	1	1402	2287	2341	2338	2284	30	30	0	1
1403	2284	2338	2336	2282	30	30	0	1	1404	2282	2336	2334	2280	30	30	0	1
1405	2280	2334	2332	2278	30	30	0	1	1406	2344	2402	2399	2341	30	30	0	1
1407	2341	2399	2396	2338	30	30	0	1	1408	2338	2396	2394	2336	30	30	0	1
1409	2336	2394	2392	2334	30	30	0	1	1410	2334	2392	2390	2332	30	30	0	1
1411	2402	2447	2444	2399	30	30	0	1	1412	2399	2444	2441	2396	30	30	0	1
1413	2396	2441	2439	2394	30	30	0	1	1414	2394	2439	2437	2392	30	30	0	1
1415	2392	2437	2435	2390	30	30	0	1	1416	2447	2533	2524	2444	30	30	0	1
1417	2444	2524	2520	2441	30	30	0	1	1418	2441	2520	2517	2439	30	30	0	1
1419	2439	2517	2514	2437	30	30	0	1	1420	2437	2514	2511	2435	30	30	0	1
1421	301	235	240	310	60	60	0	1	1422	235	183	187	240	60	60	0	1
1423	183	148	150	187	60	60	0	1	1424	148	109	110	150	60	60	0	1
1425																	

In.	Nodo I	Nodo J	Nodo L	Nodo K	Sp.mem.	Sp.fless.	Var.term.	Mat.	In.	Nodo I	Nodo J	Nodo L	Nodo K	Sp.mem.	Sp.fless.	Var.term.	Mat.
								Ind.									Ind.
1497	521	520	482	484	60	60	0	1	1498	520	519	481	482	60	60	0	1
1499	519	518	483	481	60	60	0	1	1500	518	517	480	483	60	60	0	1
1501	517	516	463	480	60	60	0	1	1502	515	468	463	516	60	60	0	1
1503	468	437	424	463	60	60	0	1	1504	384	385	424	437	60	60	0	1
1505	385	392	409	424	60	60	0	1	1506	392	385	351	362	60	60	0	1
1507	384	343	351	385	60	60	0	1	1508	343	301	310	351	60	60	0	1
1509	397	392	362	370	60	60	0	1	1510	362	363	372	370	60	60	0	1
1511	372	398	397	370	60	60	0	1	1512	399	398	372	377	60	60	0	1
1513	372	363	371	377	60	60	0	1	1514	371	400	399	377	60	60	0	1
1515	371	373	401	400	60	60	0	1	1516	373	379	404	401	60	60	0	1
1517	379	395	406	404	60	60	0	1	1518	395	393	408	406	60	60	0	1
1519	290	310	240	231	60	60	0	1	1520	231	228	278	290	60	60	0	1
1521	355	363	362	351	60	60	0	1	1522	317	333	331	320	60	60	0	1
1523	351	310	320	331	60	60	0	1	1524	333	355	351	331	60	60	0	1
1525	310	290	317	320	60	60	0	1	1526	319	317	290	311	60	60	0	1
1527	290	278	309	311	60	60	0	1	1528	309	318	319	311	60	60	0	1
1529	329	333	317	319	60	60	0	1	1530	319	318	326	329	60	60	0	1
1531	361	373	371	359	60	60	0	1	1532	371	363	355	359	60	60	0	1
1533	355	356	361	359	60	60	0	1	1534	329	326	350	348	60	60	0	1
1535	350	356	355	348	60	60	0	1	1536	355	333	329	348	60	60	0	1
1537	239	255	288	285	60	60	0	1	1538	285	278	228	239	60	60	0	1
1539	285	288	323	321	60	60	0	1	1540	318	309	308	315	60	60	0	1
1541	285	321	315	308	60	60	0	1	1542	309	278	285	308	60	60	0	1
1543	321	326	318	315	60	60	0	1	1544	361	356	357	364	60	60	0	1
1545	364	379	373	361	60	60	0	1	1546	395	379	364	367	60	60	0	1
1547	364	357	360	367	60	60	0	1	1548	360	393	395	367	60	60	0	1
1549	349	321	323	354	60	60	0	1	1550	354	360	357	349	60	60	0	1
1551	350	326	321	349	60	60	0	1	1552	349	357	356	350	60	60	0	1
1553	485	484	455	458	60	60	0	1	1554	455	427	449	458	60	60	0	1
1555	449	479	485	458	60	60	0	1	1556	449	447	478	479	60	60	0	1
1557	447	445	473	478	60	60	0	1	1558	445	440	471	473	60	60	0	1
1559	440	438	469	471	60	60	0	1	1560	455	484	482	454	60	60	0	1
1561	454	423	427	455	60	60	0	1	1562	431	414	423	448	60	60	0	1
1563	423	454	453	448	60	60	0	1	1564	453	452	431	448	60	60	0	1
1565	422	410	414	431	60	60	0	1	1566	431	452	450	422	60	60	0	1
1567	459	450	452	461	60	60	0	1	1568	452	453	481	461	60	60	0	1
1569	481	483	459	461	60	60	0	1	1570	453	454	482	481	60	60	0	1
1571	420	446	433	419	60	60	0	1	1572	433	418	412	419	60	60	0	1
1573	412	413	420	419	60	60	0	1	1574	418	409	407	412	60	60	0	1
1575	456	480	463	451	60	60	0	1	1576	451	433	446	456	60	60	0	1
1577	418	433	451	434	60	60	0	1	1578	451	463	424	434	60	60	0	1
1579	424	409	418	434	60	60	0	1	1580	400	401	413	412	60	60	0	1
1581	399	400	412	405	60	60	0	1	1582	412	407	402	405	60	60	0	1
1583	402	398	399	405	60	60	0	1	1584	402	407	409	403	60	60	0	1
1585	409	392	397	403	60	60	0	1	1586	397	398	402	403	60	60	0	1
1587	459	483	480	456	60	60	0	1	1588	450	459	456	446	60	60	0	1
1589	415	417	429	426	60	60	0	1	1590	450	446	426	429	60	60	0	1
1591	417	422	450	429	60	60	0	1	1592	446	420	415	426	60	60	0	1
1593	408	410	422	417	60	60	0	1	1594	406	408	417	415	60	60	0	1
1595	404	406	415	411	60	60	0	1	1596	415	420	413	411	60	60	0	1
1597	413	401	404	411	60	60	0	1	1598	252	247	265	264	60	60	0	1
1599	265	277	272	264	60	60	0	1	1600	260	252	264	272	60	60	0	1
1601	275	258	260	273	60	60	0	1	1602	260	272	282	273	60	60	0	1
1603	282	300	275	273	60	60	0	1	1604	275	300	313	279	60	60	0	1
1605	279	256	258	275	60	60	0	1	1606	300	282	303	314	60	60	0	1
1607	303	316	336	314	60	60	0	1	1608	336	313	300	314	60	60	0	1
1609	277	287	316	303	60	60	0	1	1610	303	282	272	277	60	60	0	1
1611	249	304	306	253	60	60	0	1	1612	304	344	346	306	60	60	0	1
1613	253	306	307	257	60	60	0	1	1614	306	346	347	307	60	60	0	1
1615	88	124	117	92	60	60	0	1	1616	117	110	71	92	60	60	0	1
1617	71	62	88	92	60	60	0	1	1618	152	150	110	117	60	60	0	1
1619	117	124	157	152	60	60	0	1	1620	88	62	49	68	60	60	0	1
1621	129	128	160	162	60	60	0	1	1622	162	157	124	129	60	60	0	1
1623	93	128	129	103	60	60	0	1	1624	129	124	88	103	60	60	0	1
1625	88	68	93	103	60	60	0	1	1626	147	160	128	114	60	60	0	1
1627	131	107	101	126	60	60	0	1	1628	126	143	144	131	60	60	0	1
1629	146	147	114	135	60	60	0	1	1630	114	107	131	135	60	60	0	1
1631	131	144	146	135	60	60	0	1	1632	128	93	89	114	60	60	0	1
1633	93	68	63	89	60	60	0	1	1634	68	49	43	63	60	60	0	1
1635	114	89	77	107	60	60	0	1	1636	89	63	59	77	60	60	0	1
1637	63	43	39	59	60	60	0	1	1638	107	77	70	101	60	60	0	1
1639	77	59	54	70	60	60	0	1	1640	59	39	35	54	60	60	0	1
1641	196	172	171	194	60	60	0	1	1642	172	147	146	171	60	60	0	1
1643	194	171	170	198	60	60	0	1	1644	171	146	144	170	60	60	0	1
1645	198	170	169	181	60	60	0	1	1646	170	144	143	169	60	60	0	1
1647	225	252	260	229	60	60	0	1	1648	260	258	217	229	60	60	0	1
1649	217	210	225	229	60	60	0	1	1650	217	196	194	210	60	60	0	1
1651	210	194	198	215	60	60	0	1	1652	247	252	225	224	60	60	0	1
1653	225	210	215	224	60	60	0	1	1654	215	241	247	224	60	60	0	1
1655	238	241	215	218	60	60	0	1	1656	218	219	242	238	60	60	0	1
1657	218	215	198	207	60	60	0	1	1658	198	181	206	207	60	60	0	1
1659	206	219	218	207	60	60	0	1	1660	228	231	188	192	60	60	0	1
1661	231	240	187	188	60	60	0	1	1662	192	188	152	157	60	60	0	1
1663	188	187	150	152	60	60	0	1	1664	202	192	157	162	60	60	0	1
1665	184	202	162	160	60	60	0	1	1666	195	184	160	173	60	60	0	1
1667	160	147	172	173	60	60	0	1	1668	172	196	195	173	60	60	0	1
1669	217	258	256	213	60	60	0	1	1670	213	195	196	217	60	60	0	1
1671	213	256	250	212	60	60	0	1	1672	212	184	195	213	60	60	0	1
1673	239</																

Ingresso-Principale

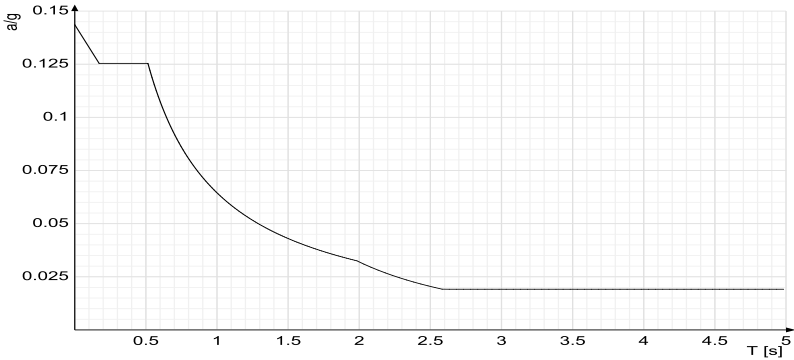
In.	Nodo I	Nodo J	Nodo L	Nodo K	Sp.mem.	Sp.fless.	Var.term.	Mat.	Ind.	In.	Nodo I	Nodo J	Nodo L	Nodo K	Sp.mem.	Sp.fless.	Var.term.	Mat.	Ind.
1735	52	33	29	50	60	60	0	1	1736	33	19	15	29	60	60	0	1		
1737	123	118	97	100	60	60	0	1	1738	100	97	73	72	60	60	0	1		
1739	72	73	57	55	60	60	0	1	1740	52	50	85	76	60	60	0	1		
1741	76	72	55	52	60	60	0	1	1742	102	132	123	100	60	60	0	1		
1743	100	72	76	102	60	60	0	1	1744	133	132	102	106	60	60	0	1		
1745	102	76	85	106	60	60	0	1	1746	85	127	133	106	60	60	0	1		
1747	425	365	368	428	60	60	0	1	1748	365	327	328	368	60	60	0	1		
1749	327	281	284	328	60	60	0	1	1750	281	221	222	284	60	60	0	1		
1751	221	175	176	222	60	60	0	1	1752	175	138	145	176	60	60	0	1		
1753	138	104	112	145	60	60	0	1	1754	98	90	112	104	60	60	0	1		
1755	90	82	108	112	60	60	0	1	1756	82	69	99	108	60	60	0	1		
1757	69	65	91	99	60	60	0	1	1758	65	61	86	91	60	60	0	1		
1759	61	56	84	86	60	60	0	1	1760	56	51	78	84	60	60	0	1		
1761	45	75	78	51	60	60	0	1	1762	75	109	111	78	60	60	0	1		
1763	109	148	149	111	60	60	0	1	1764	148	183	185	149	60	60	0	1		
1765	183	235	237	185	60	60	0	1	1766	235	301	298	237	60	60	0	1		
1767	301	343	341	298	60	60	0	1	1768	343	384	381	341	60	60	0	1		
1769	384	437	441	381	60	60	0	1	1770	437	468	472	441	60	60	0	1		
1771	515	514	472	468	60	60	0	1	1772	514	513	476	472	60	60	0	1		
1773	513	512	477	476	60	60	0	1	1774	512	511	475	477	60	60	0	1		
1775	511	510	474	475	60	60	0	1	1776	510	509	470	474	60	60	0	1		
1777	509	508	467	470	60	60	0	1	1778	508	507	465	467	60	60	0	1		
1779	506	464	465	507	60	60	0	1	1780	464	425	428	465	60	60	0	1		
1781	232	292	291	230	60	60	0	1	1782	230	291	289	226	60	60	0	1		
1783	226	289	284	222	60	60	0	1	1784	130	158	161	134	60	60	0	1		
1785	134	108	99	130	60	60	0	1	1786	134	161	156	136	60	60	0	1		
1787	156	145	112	136	60	60	0	1	1788	112	108	134	136	60	60	0	1		
1789	158	193	190	161	60	60	0	1	1790	193	232	230	190	60	60	0	1		
1791	161	190	182	156	60	60	0	1	1792	190	230	226	182	60	60	0	1		
1793	156	182	176	145	60	60	0	1	1794	182	226	222	176	60	60	0	1		
1795	99	91	125	130	60	60	0	1	1796	91	86	116	125	60	60	0	1		
1797	86	84	113	116	60	60	0	1	1798	84	78	111	113	60	60	0	1		
1799	130	125	154	158	60	60	0	1	1800	125	116	153	154	60	60	0	1		
1801	116	113	151	153	60	60	0	1	1802	113	111	149	151	60	60	0	1		
1803	158	154	191	193	60	60	0	1	1804	154	153	189	191	60	60	0	1		
1805	153	151	186	189	60	60	0	1	1806	151	149	185	186	60	60	0	1		
1807	193	191	233	232	60	60	0	1	1808	191	189	234	233	60	60	0	1		
1809	189	186	236	234	60	60	0	1	1810	186	185	237	236	60	60	0	1		
1811	232	233	293	292	60	60	0	1	1812	233	234	295	293	60	60	0	1		
1813	234	236	296	295	60	60	0	1	1814	236	237	298	296	60	60	0	1		
1815	298	341	340	295	60	60	0	1	1816	341	381	383	340	60	60	0	1		
1817	381	441	444	383	60	60	0	1	1818	441	472	476	444	60	60	0	1		
1819	296	340	339	295	60	60	0	1	1820	340	383	380	339	60	60	0	1		
1821	383	444	443	380	60	60	0	1	1822	444	476	477	443	60	60	0	1		
1823	295	339	338	293	60	60	0	1	1824	339	380	378	338	60	60	0	1		
1825	380	443	442	378	60	60	0	1	1826	443	477	475	442	60	60	0	1		
1827	293	338	337	292	60	60	0	1	1828	338	378	375	337	60	60	0	1		
1829	378	442	439	375	60	60	0	1	1830	442	475	474	439	60	60	0	1		
1831	292	337	334	291	60	60	0	1	1832	337	375	374	334	60	60	0	1		
1833	375	439	436	374	60	60	0	1	1834	439	474	470	436	60	60	0	1		
1835	291	334	330	289	60	60	0	1	1836	334	374	369	330	60	60	0	1		
1837	374	436	432	369	60	60	0	1	1838	436	470	467	432	60	60	0	1		
1839	289	330	328	284	60	60	0	1	1840	330	369	368	328	60	60	0	1		
1841	369	432	428	368	60	60	0	1	1842	432	467	465	428	60	60	0	1		
1843	1142	1172		1141	30	30	0	1	1844	1172	1157		1173	30	30	0	1		
1845	1060	1075		1065	30	30	0	1	1846	1075	1074		1065	30	30	0	1		
1847	1074	1073		1065	30	30	0	1	1848	1073	1060		1065	30	30	0	1		
1849	1143	1144		1157	30	30	0	1	1850	1144	1173		1157	30	30	0	1		
1851	889	884	909	917	30	30	0	1	1852	884	880	903	909	30	30	0	1		
1853	880	874	897	903	30	30	0	1	1854	874	869	893	897	30	30	0	1		
1855	869	864	888	893	30	30	0	1	1856	864	862	883	888	30	30	0	1		
1857	862	858	881	883	30	30	0	1	1858	858	855	876	881	30	30	0	1		
1859	917	909	941	951	30	30	0	1	1860	909	903	934	941	30	30	0	1		
1861	903	897	925	934	30	30	0	1	1862	897	893	920	925	30	30	0	1		
1863	893	888	913	920	30	30	0	1	1864	888	883	907	913	30	30	0	1		
1865	883	881	904	907	30	30	0	1	1866	881	876	901	904	30	30	0	1		
1867	951	941	976	995	30	30	0	1	1868	941	934	964	976	30	30	0	1		
1869	934	925	958	964	30	30	0	1	1870	925	920	953	958	30	30	0	1		
1871	920	913	948	953	30	30	0	1	1872	913	907	940	948	30	30	0	1		
1873	907	904	935	940	30	30	0	1	1874	904	901	928	935	30	30	0	1		
1875	996	976	1028	1053	30	30	0	1	1876	976	964	1016	1028	30	30	0	1		
1877	964	958	1001	1016	30	30	0	1	1878	958	953	986	1001	30	30	0	1		
1879	953	948	983	986	30	30	0	1	1880	948	940	975	983	30	30	0	1		
1881	940	935	973	975	30	30	0	1	1882	935	928	965	973	30	30	0	1		
1883	1053	1028	1087	1089	30	30	0	1	1884	1028	1016	1082	1087	30	30	0	1		
1885	1016	1001	1068	1082	30	30	0	1	1886	1001	986	1064	1068	30	30	0	1		
1887	986	983	1057	1064	30	30	0	1	1888	983	975	1051	1057	30	30	0	1		
1889	975	973	1043	1051	30	30	0	1	1890	973	965	1032	1043	30	30	0	1		
1891	1089	1087	1113	1112	30	30	0	1	1892	1087	1082	1111	1113	30	30	0	1		
1893	1082	1068	1110	1111	30	30	0	1	1894	1068	1064	1107	1110	30	30	0	1		
1895	1064	1057	1103	1107	30	30	0	1	1896	1057	1051	1098	1103	30	30	0	1		
1897	1051	1043	1097	1098	30	30	0	1	1898	1043	1032	1096	1097	30	30	0	1		
1899	1112	1113	1134	1124	30	30	0	1	1900	1113	1111	1137	1134	30	30	0	1		
1901	1111	1110	1136	1137	30	30	0	1	1902	1110	1107	1133	1136	30	30	0	1		
1903	1107	1103	1132	1133	30	30	0	1	1904	1103	1098	1130	1132	30	30	0	1		
1905	1																		

In.	Nodo I	Nodo J	Nodo L	Nodo K	Sp.mem.	Sp.fless.	Var.term.	Mat.	In.	Nodo I	Nodo J	Nodo L	Nodo K	Sp.mem.	Sp.fless.	Var.term.	Mat.
								Ind.									Ind.
1973	1073	1072	1046	1054	30	30	0	1	1974	1072	1071	1029	1046	30	30	0	1
1975	1071	1070	1047	1029	30	30	0	1	1976	1070	1040	1033	1047	30	30	0	1
1977	1040	1021	1019	1033	30	30	0	1	1978	1021	1040	1050	1020	30	30	0	1
1979	1040	1070	1085	1050	30	30	0	1	1980	1070	1116	1114	1085	30	30	0	1
1981	1116	1140	1138	1114	30	30	0	1	1982	1171	1170	1138	1140	30	30	0	1
1983	1170	1165	1135	1138	30	30	0	1	1984	1165	1152	1131	1135	30	30	0	1
1985	1151	1125	1131	1152	30	30	0	1	1986	1125	1096	1094	1131	30	30	0	1
1987	1096	1032	1035	1094	30	30	0	1	1988	1032	965	966	1035	30	30	0	1
1989	965	928	927	966	30	30	0	1	1990	928	901	898	927	30	30	0	1
1991	901	876	871	898	30	30	0	1	1992	855	851	871	876	30	30	0	1
1993	851	846	867	871	30	30	0	1	1994	1114	1138	1135	1099	30	30	0	1
1995	1099	1063	1085	1114	30	30	0	1	1996	1049	1055	1086	1084	30	30	0	1
1997	1099	1094	1084	1086	30	30	0	1	1998	1055	1063	1099	1086	30	30	0	1
1999	1094	1035	1049	1084	30	30	0	1	2000	1099	1135	1131	1094	30	30	0	1
2001	918	916	895	894	30	30	0	1	2002	894	890	912	918	30	30	0	1
2003	870	890	894	877	30	30	0	1	2004	894	895	867	877	30	30	0	1
2005	867	857	870	877	30	30	0	1	2006	922	924	910	906	30	30	0	1
2007	898	895	906	910	30	30	0	1	2008	924	927	898	910	30	30	0	1
2009	895	916	922	906	30	30	0	1	2010	898	871	867	895	30	30	0	1
2011	936	961	960	938	30	30	0	1	2012	938	918	912	936	30	30	0	1
2013	943	950	933	929	30	30	0	1	2014	933	916	918	929	30	30	0	1
2015	918	938	943	929	30	30	0	1	2016	959	950	943	956	30	30	0	1
2017	943	938	960	956	30	30	0	1	2018	960	971	959	956	30	30	0	1
2019	988	997	982	977	30	30	0	1	2020	982	960	961	977	30	30	0	1
2021	961	984	988	977	30	30	0	1	2022	985	971	960	982	30	30	0	1
2023	1008	1010	993	991	30	30	0	1	2024	993	985	982	991	30	30	0	1
2025	982	997	1008	991	30	30	0	1	2026	1019	1021	1010	1008	30	30	0	1
2027	988	984	1029	1015	30	30	0	1	2028	1029	1047	1017	1015	30	30	0	1
2029	1017	997	988	1015	30	30	0	1	2030	1017	1047	1033	1019	30	30	0	1
2031	1019	1008	997	1017	30	30	0	1	2032	1000	1055	1049	994	30	30	0	1
2033	1049	1035	966	994	30	30	0	1	2034	966	969	1000	994	30	30	0	1
2035	945	969	966	947	30	30	0	1	2036	966	927	924	947	30	30	0	1
2037	924	922	945	947	30	30	0	1	2038	945	922	916	933	30	30	0	1
2039	950	959	972	955	30	30	0	1	2040	972	969	945	955	30	30	0	1
2041	945	933	950	955	30	30	0	1	2042	971	985	1002	980	30	30	0	1
2043	1002	1007	972	980	30	30	0	1	2044	972	959	971	980	30	30	0	1
2045	1007	1000	969	972	30	30	0	1	2046	1063	1055	1000	1007	30	30	0	1
2047	1050	1085	1063	1039	30	30	0	1	2048	1063	1007	1002	1039	30	30	0	1
2049	1002	1020	1050	1039	30	30	0	1	2050	993	1010	1012	1005	30	30	0	1
2051	1020	1002	1005	1012	30	30	0	1	2052	1010	1021	1020	1012	30	30	0	1
2053	1002	985	993	1005	30	30	0	1	2054	912	890	887	914	30	30	0	1
2055	890	870	866	887	30	30	0	1	2056	870	857	852	866	30	30	0	1
2057	914	887	879	899	30	30	0	1	2058	887	866	861	879	30	30	0	1
2059	866	852	847	861	30	30	0	1	2060	952	961	936	932	30	30	0	1
2061	936	912	914	932	30	30	0	1	2062	914	946	952	932	30	30	0	1
2063	919	939	944	923	30	30	0	1	2064	944	946	914	923	30	30	0	1
2065	914	899	919	923	30	30	0	1	2066	999	1046	1029	984	30	30	0	1
2067	952	946	968	967	30	30	0	1	2068	968	999	984	967	30	30	0	1
2069	984	961	952	967	30	30	0	1	2070	944	939	962	963	30	30	0	1
2071	963	968	946	944	30	30	0	1	2072	990	999	968	963	30	30	0	1
2073	963	962	998	990	30	30	0	1	2074	1018	998	1045	1034	30	30	0	1
2075	1045	1056	1048	1034	30	30	0	1	2076	1048	1022	1018	1034	30	30	0	1
2077	1030	1054	1046	999	30	30	0	1	2078	999	990	1022	1030	30	30	0	1
2079	990	998	1018	1022	30	30	0	1	2080	1090	1067	1066	1088	30	30	0	1
2081	1044	1095	1088	1066	30	30	0	1	2082	1067	1027	1044	1066	30	30	0	1
2083	1095	1108	1090	1088	30	30	0	1	2084	1108	1109	1093	1090	30	30	0	1
2085	1090	1093	1080	1067	30	30	0	1	2086	1067	1080	1038	1027	30	30	0	1
2087	1081	1083	1052	1042	30	30	0	1	2088	1042	1038	1080	1081	30	30	0	1
2089	1093	1109	1100	1091	30	30	0	1	2090	1100	1083	1081	1091	30	30	0	1
2091	1081	1080	1093	1091	30	30	0	1	2092	978	942	937	974	30	30	0	1
2093	974	1044	1027	978	30	30	0	1	2094	979	949	942	978	30	30	0	1
2095	1038	1042	1009	1006	30	30	0	1	2096	1009	979	978	1006	30	30	0	1
2097	978	1027	1038	1006	30	30	0	1	2098	998	962	957	987	30	30	0	1
2099	987	1036	1045	998	30	30	0	1	2100	1031	1025	1014	1026	30	30	0	1
2101	1014	1009	1042	1026	30	30	0	1	2102	1042	1052	1031	1026	30	30	0	1
2103	954	949	979	981	30	30	0	1	2104	981	987	957	954	30	30	0	1
2105	1011	1004	1023	1037	30	30	0	1	2106	1037	1036	987	1011	30	30	0	1
2107	1004	1003	1013	1023	30	30	0	1	2108	1004	1011	987	981	30	30	0	1
2109	1003	1004	981	989	30	30	0	1	2110	981	979	995	989	30	30	0	1
2111	995	1013	1003	989	30	30	0	1	2112	995	979	1009	1014	30	30	0	1
2113	1014	1025	1013	995	30	30	0	1	2114	962	939	931	957	30	30	0	1
2115	939	919	911	931	30	30	0	1	2116	919	899	892	911	30	30	0	1
2117	899	879	873	892	30	30	0	1	2118	879	861	856	873	30	30	0	1
2119	861	847	844	856	30	30	0	1	2120	957	931	926	954	30	30	0	1
2121	931	911	905	926	30	30	0	1	2122	911	892	886	905	30	30	0	1
2123	892	873	868	886	30	30	0	1	2124	873	856	853	868	30	30	0	1
2125	856	844	842	853	30	30	0	1	2126	954	926	921	949	30	30	0	1
2127	926	905	900	921	30	30	0	1	2128	905	886	882	900	30	30	0	1
2129	886	868	865	882	30	30	0	1	2130	868	853	850	865	30	30	0	1
2131	853	842	840	850	30	30	0	1	2132	949	921	915	942	30	30	0	1
2133	921	900	896	915	30	30	0	1	2134	900	882	878	896	30	30	0	1
2135	882	865	863	878	30	30	0	1	2136	865	850	848	863	30	30	0	1
2137	850	840	838	848	30	30	0	1	2138	942	915	908	937	30	30	0	1
2139	915	896	891	908	30	30	0	1	2140	896	878	875	891	30	30	0	1
2141	878	863	860	875	30	30	0	1	2142	863	848	845	860	30	30	0	1
2143	848	838	836	845	30	30	0	1	2144	1123	1161	1162	1122	3			

In.	Nodo I	Nodo J	Nodo L	Nodo K	Sp.mem.	Sp.fless.	Var.term.	Mat.	In.	Nodo I	Nodo J	Nodo L	Nodo K	Sp.mem.	Sp.fless.	Var.term.	Mat.
2211	2500	2498	2465	2467	40	40	0	1	2212	2479	2516	2502	2477	40	40	0	1
2213	2502	2500	2467	2468	40	40	0	1									

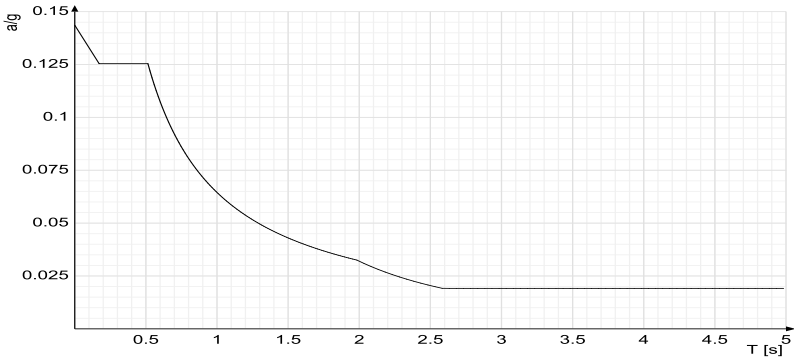
5.6 Accelerazioni spettrali

Ind.vertice: Indice del valore.
T: Periodo di vibrazione. [s]
a/g: Accelerazione spettrale normalizzata ottenuta dividendo l'accelerazione spettrale per l'accelerazione di gravità. Il valore è adimensionale.
Sisma X SLV



Ind.vertice	T	a/g	Ind.vertice	T	a/g	Ind.vertice	T	a/g	Ind.vertice	T	a/g
1	0	0.144	2	0.171	0.125	3	0.514	0.125	4	0.529	0.122
5	0.543	0.119	6	0.558	0.116	7	0.572	0.113	8	0.587	0.11
9	0.602	0.107	10	0.616	0.105	11	0.631	0.102	12	0.645	0.1
13	0.66	0.098	14	0.674	0.096	15	0.689	0.094	16	0.703	0.092
17	0.718	0.09	18	0.732	0.088	19	0.747	0.086	20	0.761	0.085
21	0.776	0.083	22	0.791	0.082	23	0.805	0.08	24	0.82	0.079
25	0.834	0.077	26	0.849	0.076	27	0.863	0.075	28	0.878	0.073
29	0.892	0.072	30	0.907	0.071	31	0.921	0.07	32	0.936	0.069
33	0.951	0.068	34	0.965	0.067	35	0.98	0.066	36	0.994	0.065
37	1.009	0.064	38	1.023	0.063	39	1.038	0.062	40	1.052	0.061
41	1.067	0.06	42	1.081	0.06	43	1.096	0.059	44	1.11	0.058
45	1.125	0.057	46	1.14	0.057	47	1.154	0.056	48	1.169	0.055
49	1.183	0.055	50	1.198	0.054	51	1.212	0.053	52	1.227	0.053
53	1.241	0.052	54	1.256	0.051	55	1.27	0.051	56	1.285	0.05
57	1.299	0.05	58	1.314	0.049	59	1.329	0.049	60	1.343	0.048
61	1.358	0.048	62	1.372	0.047	63	1.387	0.047	64	1.401	0.046
65	1.416	0.046	66	1.43	0.045	67	1.445	0.045	68	1.459	0.044
69	1.474	0.044	70	1.489	0.043	71	1.503	0.043	72	1.518	0.042
73	1.532	0.042	74	1.547	0.042	75	1.561	0.041	76	1.576	0.041
77	1.59	0.041	78	1.605	0.04	79	1.619	0.04	80	1.634	0.039
81	1.648	0.039	82	1.663	0.039	83	1.678	0.038	84	1.692	0.038
85	1.707	0.038	86	1.721	0.037	87	1.736	0.037	88	1.75	0.037
89	1.765	0.037	90	1.779	0.036	91	1.794	0.036	92	1.808	0.036
93	1.823	0.035	94	1.838	0.035	95	1.852	0.035	96	1.867	0.035
97	1.881	0.034	98	1.896	0.034	99	1.91	0.034	100	1.925	0.034
101	1.939	0.033	102	1.954	0.033	103	1.968	0.033	104	1.983	0.033
105	2.033	0.031	106	2.083	0.029	107	2.133	0.028	108	2.183	0.027
109	2.233	0.026	110	2.283	0.025	111	2.333	0.023	112	2.383	0.023
113	2.433	0.022	114	2.483	0.021	115	2.533	0.02	116	2.583	0.019
117	2.633	0.019	118	2.683	0.019	119	2.733	0.019	120	2.783	0.019
121	2.833	0.019	122	2.883	0.019	123	2.933	0.019	124	2.983	0.019
125	3.033	0.019	126	3.083	0.019	127	3.133	0.019	128	3.183	0.019
129	3.233	0.019	130	3.283	0.019	131	3.333	0.019	132	3.383	0.019
133	3.433	0.019	134	3.483	0.019	135	3.533	0.019	136	3.583	0.019
137	3.633	0.019	138	3.683	0.019	139	3.733	0.019	140	3.783	0.019
141	3.833	0.019	142	3.883	0.019	143	3.933	0.019	144	3.983	0.019
145	4.033	0.019	146	4.083	0.019	147	4.133	0.019	148	4.183	0.019
149	4.233	0.019	150	4.283	0.019	151	4.333	0.019	152	4.383	0.019
153	4.433	0.019	154	4.483	0.019	155	4.533	0.019	156	4.583	0.019
157	4.633	0.019	158	4.683	0.019	159	4.733	0.019	160	4.783	0.019
161	4.833	0.019	162	4.883	0.019	163	4.933	0.019	164	4.983	0.019

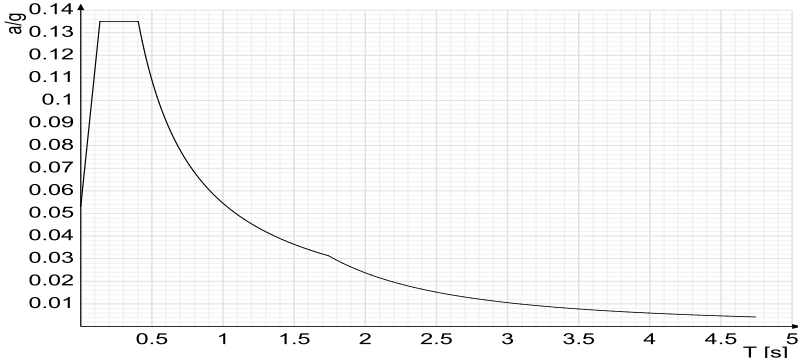
Sisma Y SLV



Ind.vertice	T	a/g	Ind.vertice	T	a/g	Ind.vertice	T	a/g	Ind.vertice	T	a/g
1	0	0.144	2	0.171	0.125	3	0.514	0.125	4	0.529	0.122
5	0.543	0.119	6	0.558	0.116	7	0.572	0.113	8	0.587	0.11
9	0.602	0.107	10	0.616	0.105	11	0.631	0.102	12	0.645	0.1
13	0.66	0.098	14	0.674	0.096	15	0.689	0.094	16	0.703	0.092
17	0.718	0.09	18	0.732	0.088	19	0.747	0.086	20	0.761	0.085
21	0.776	0.083	22	0.791	0.082	23	0.805	0.08	24	0.82	0.079
25	0.834	0.077	26	0.849	0.076	27	0.863	0.075	28	0.878	0.073
29	0.892	0.072	30	0.907	0.071	31	0.921	0.07	32	0.936	0.069
33	0.951	0.068	34	0.965	0.067	35	0.98	0.066	36	0.994	0.065
37	1.009	0.064	38	1.023	0.063	39	1.038	0.062	40	1.052	0.061
41	1.067	0.06	42	1.081	0.06	43	1.096	0.059	44	1.11	0.058
45	1.125	0.057	46	1.14	0.057	47	1.154	0.056	48	1.169	0.055
49	1.183	0.055	50	1.198	0.054	51	1.212	0.053	52	1.227	0.053
53	1.241	0.052	54	1.256	0.051	55	1.27	0.051	56	1.285	0.05
57	1.299	0.05	58	1.314	0.049	59	1.329	0.049	60	1.343	0.048
61	1.358	0.048	62	1.372	0.047	63	1.387	0.047	64	1.401	0.046
65	1.416	0.046	66	1.43	0.045	67	1.445	0.045	68	1.459	0.044
69	1.474	0.044	70	1.489	0.043	71	1.503	0.043	72	1.518	0.042
73	1.532	0.042	74	1.547	0.042	75	1.561	0.041	76	1.576	0.041
77	1.59	0.041	78	1.605	0.04	79	1.619	0.04	80	1.634	0.039

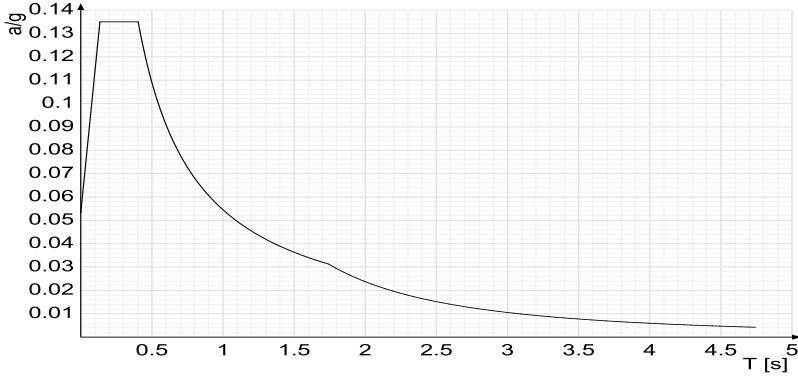
Ind.vertice	T	a/g	Ind.vertice	T	a/g	Ind.vertice	T	a/g	Ind.vertice	T	a/g
81	1.648	0.039	82	1.663	0.039	83	1.678	0.038	84	1.692	0.038
85	1.707	0.038	86	1.721	0.037	87	1.736	0.037	88	1.75	0.037
89	1.765	0.037	90	1.779	0.036	91	1.794	0.036	92	1.808	0.036
93	1.823	0.035	94	1.838	0.035	95	1.852	0.035	96	1.867	0.035
97	1.881	0.034	98	1.896	0.034	99	1.91	0.034	100	1.925	0.034
101	1.939	0.033	102	1.954	0.033	103	1.968	0.033	104	1.983	0.033
105	2.033	0.031	106	2.083	0.029	107	2.133	0.028	108	2.183	0.027
109	2.233	0.026	110	2.283	0.025	111	2.333	0.023	112	2.383	0.023
113	2.433	0.022	114	2.483	0.021	115	2.533	0.02	116	2.583	0.019
117	2.633	0.019	118	2.683	0.019	119	2.733	0.019	120	2.783	0.019
121	2.833	0.019	122	2.883	0.019	123	2.933	0.019	124	2.983	0.019
125	3.033	0.019	126	3.083	0.019	127	3.133	0.019	128	3.183	0.019
129	3.233	0.019	130	3.283	0.019	131	3.333	0.019	132	3.383	0.019
133	3.433	0.019	134	3.483	0.019	135	3.533	0.019	136	3.583	0.019
137	3.633	0.019	138	3.683	0.019	139	3.733	0.019	140	3.783	0.019
141	3.833	0.019	142	3.883	0.019	143	3.933	0.019	144	3.983	0.019
145	4.033	0.019	146	4.083	0.019	147	4.133	0.019	148	4.183	0.019
149	4.233	0.019	150	4.283	0.019	151	4.333	0.019	152	4.383	0.019
153	4.433	0.019	154	4.483	0.019	155	4.533	0.019	156	4.583	0.019
157	4.633	0.019	158	4.683	0.019	159	4.733	0.019	160	4.783	0.019
161	4.833	0.019	162	4.883	0.019	163	4.933	0.019	164	4.983	0.019

Sisma X SLO



Ind.vertice	T	a/g	Ind.vertice	T	a/g	Ind.vertice	T	a/g	Ind.vertice	T	a/g
1	0	0.053	2	0.135	0.135	3	0.404	0.135	4	0.417	0.131
5	0.43	0.127	6	0.444	0.123	7	0.457	0.119	8	0.47	0.116
9	0.483	0.113	10	0.497	0.11	11	0.51	0.107	12	0.523	0.104
13	0.536	0.102	14	0.55	0.099	15	0.563	0.097	16	0.576	0.095
17	0.589	0.092	18	0.603	0.09	19	0.616	0.089	20	0.629	0.087
21	0.642	0.085	22	0.656	0.083	23	0.669	0.082	24	0.682	0.08
25	0.695	0.078	26	0.709	0.077	27	0.722	0.076	28	0.735	0.074
29	0.748	0.073	30	0.762	0.072	31	0.775	0.07	32	0.788	0.069
33	0.801	0.068	34	0.814	0.067	35	0.828	0.066	36	0.841	0.065
37	0.854	0.064	38	0.867	0.063	39	0.881	0.062	40	0.894	0.061
41	0.907	0.06	42	0.92	0.059	43	0.934	0.058	44	0.947	0.058
45	0.96	0.057	46	0.973	0.056	47	0.987	0.055	48	1	0.055
49	1.013	0.054	50	1.026	0.053	51	1.04	0.052	52	1.053	0.052
53	1.066	0.051	54	1.079	0.05	55	1.093	0.05	56	1.106	0.049
57	1.119	0.049	58	1.132	0.048	59	1.146	0.048	60	1.159	0.047
61	1.172	0.047	62	1.185	0.046	63	1.199	0.045	64	1.212	0.045
65	1.225	0.044	66	1.238	0.044	67	1.252	0.044	68	1.265	0.043
69	1.278	0.043	70	1.291	0.042	71	1.305	0.042	72	1.318	0.041
73	1.331	0.041	74	1.344	0.041	75	1.358	0.04	76	1.371	0.04
77	1.384	0.039	78	1.397	0.039	79	1.411	0.039	80	1.424	0.038
81	1.437	0.038	82	1.45	0.038	83	1.464	0.037	84	1.477	0.037
85	1.49	0.037	86	1.503	0.036	87	1.517	0.036	88	1.53	0.036
89	1.543	0.035	90	1.556	0.035	91	1.57	0.035	92	1.583	0.034
93	1.596	0.034	94	1.609	0.034	95	1.623	0.034	96	1.636	0.033
97	1.649	0.033	98	1.662	0.033	99	1.676	0.033	100	1.689	0.032
101	1.702	0.032	102	1.715	0.032	103	1.729	0.032	104	1.742	0.031
105	1.792	0.03	106	1.842	0.028	107	1.892	0.027	108	1.942	0.025
109	1.992	0.024	110	2.042	0.023	111	2.092	0.022	112	2.142	0.021
113	2.192	0.02	114	2.242	0.019	115	2.292	0.018	116	2.342	0.017
117	2.392	0.017	118	2.442	0.016	119	2.492	0.015	120	2.542	0.015
121	2.592	0.014	122	2.642	0.014	123	2.692	0.013	124	2.742	0.013
125	2.792	0.012	126	2.842	0.012	127	2.892	0.011	128	2.942	0.011
129	2.992	0.011	130	3.042	0.01	131	3.092	0.01	132	3.142	0.01
133	3.192	0.009	134	3.242	0.009	135	3.292	0.009	136	3.342	0.009
137	3.392	0.008	138	3.442	0.008	139	3.492	0.008	140	3.542	0.008
141	3.592	0.007	142	3.642	0.007	143	3.692	0.007	144	3.742	0.007
145	3.792	0.007	146	3.842	0.006	147	3.892	0.006	148	3.942	0.006
149	3.992	0.006	150	4.042	0.006	151	4.092	0.006	152	4.142	0.006
153	4.192	0.005	154	4.242	0.005	155	4.292	0.005	156	4.342	0.005
157	4.392	0.005	158	4.442	0.005	159	4.492	0.005	160	4.542	0.005
161	4.592	0.005	162	4.642	0.004	163	4.692	0.004	164	4.742	0.004

Sisma Y SLO



Ind.vertice	T	a/g	Ind.vertice	T	a/g	Ind.vertice	T	a/g	Ind.vertice	T	a/g
1	0	0.053	2	0.135	0.135	3	0.404	0.135	4	0.417	0.131
5	0.43	0.127	6	0.444	0.123	7	0.457	0.119	8	0.47	0.116
9	0.483	0.113	10	0.497	0.11	11	0.51	0.107	12	0.523	0.104
13	0.536	0.102	14	0.55	0.099	15	0.563	0.097	16	0.576	0.095
17	0.589	0.092	18	0.603	0.09	19	0.616	0.089	20	0.629	0.087
21	0.642	0.085	22	0.656	0.083	23	0.669	0.082	24	0.682	0.08

Ind.vertice	T	a/g	Ind.vertice	T	a/g	Ind.vertice	T	a/g	Ind.vertice	T	a/g
25	0.695	0.078	26	0.709	0.077	27	0.722	0.076	28	0.735	0.074
29	0.748	0.073	30	0.762	0.072	31	0.775	0.07	32	0.788	0.069
33	0.801	0.068	34	0.814	0.067	35	0.828	0.066	36	0.841	0.065
37	0.854	0.064	38	0.867	0.063	39	0.881	0.062	40	0.894	0.061
41	0.907	0.06	42	0.92	0.059	43	0.934	0.058	44	0.947	0.058
45	0.96	0.057	46	0.973	0.056	47	0.987	0.055	48	1	0.055
49	1.013	0.054	50	1.026	0.053	51	1.04	0.052	52	1.053	0.052
53	1.066	0.051	54	1.079	0.05	55	1.093	0.05	56	1.106	0.049
57	1.119	0.049	58	1.132	0.048	59	1.146	0.048	60	1.159	0.047
61	1.172	0.047	62	1.185	0.046	63	1.199	0.045	64	1.212	0.045
65	1.225	0.044	66	1.238	0.044	67	1.252	0.044	68	1.265	0.043
69	1.278	0.043	70	1.291	0.042	71	1.305	0.042	72	1.318	0.041
73	1.331	0.041	74	1.344	0.041	75	1.358	0.04	76	1.371	0.04
77	1.384	0.039	78	1.397	0.039	79	1.411	0.039	80	1.424	0.038
81	1.437	0.038	82	1.45	0.038	83	1.464	0.037	84	1.477	0.037
85	1.49	0.037	86	1.503	0.036	87	1.517	0.036	88	1.53	0.036
89	1.543	0.035	90	1.556	0.035	91	1.57	0.035	92	1.583	0.034
93	1.596	0.034	94	1.609	0.034	95	1.623	0.034	96	1.636	0.033
97	1.649	0.033	98	1.662	0.033	99	1.676	0.033	100	1.689	0.032
101	1.702	0.032	102	1.715	0.032	103	1.729	0.032	104	1.742	0.031
105	1.792	0.03	106	1.842	0.028	107	1.892	0.027	108	1.942	0.025
109	1.992	0.024	110	2.042	0.023	111	2.092	0.022	112	2.142	0.021
113	2.192	0.02	114	2.242	0.019	115	2.292	0.018	116	2.342	0.017
117	2.392	0.017	118	2.442	0.016	119	2.492	0.015	120	2.542	0.015
121	2.592	0.014	122	2.642	0.014	123	2.692	0.013	124	2.742	0.013
125	2.792	0.012	126	2.842	0.012	127	2.892	0.011	128	2.942	0.011
129	2.992	0.011	130	3.042	0.01	131	3.092	0.01	132	3.142	0.01
133	3.192	0.009	134	3.242	0.009	135	3.292	0.009	136	3.342	0.009
137	3.392	0.008	138	3.442	0.008	139	3.492	0.008	140	3.542	0.008
141	3.592	0.007	142	3.642	0.007	143	3.692	0.007	144	3.742	0.007
145	3.792	0.007	146	3.842	0.006	147	3.892	0.006	148	3.942	0.006
149	3.992	0.006	150	4.042	0.006	151	4.092	0.006	152	4.142	0.006
153	4.192	0.005	154	4.242	0.005	155	4.292	0.005	156	4.342	0.005
157	4.392	0.005	158	4.442	0.005	159	4.492	0.005	160	4.542	0.005
161	4.592	0.005	162	4.642	0.004	163	4.692	0.004	164	4.742	0.004

6 Risultati numerici

6.1 Spostamenti nodali

6.1.1 Spostamenti nodali estremi

Nodo: nodo interessato dallo spostamento.

Ind.: indice del nodo.

Cont.: condizione o combinazione di carico a cui si riferisce lo spostamento.

N.br.: nome breve della condizione o combinazione di carico.

Spostamento: spostamento traslazionale del nodo.

ux: componente X dello spostamento del nodo. [cm]

uy: componente Y dello spostamento del nodo. [cm]

uz: componente Z dello spostamento del nodo. [cm]

Rotazione: spostamento rotazionale del nodo.

rx: componente X della rotazione del nodo. [deg]

ry: componente Y della rotazione del nodo. [deg]

rz: componente Z della rotazione del nodo. [deg]

Spostamenti nodali con componente Ux minima

Vengono mostrati i soli 5 nodi più sollecitati.

Nodo	Cont.	Spostamento			Rotazione		
Ind.	N.br.	ux	uy	uz	rx	ry	rz
2539	SLV FO 1	-1.76251	-2.10793	-0.29441	0.059	-0.0374	0.0116
2538	SLV FO 1	-1.76251	-2.12489	-0.91566	0.0402	-0.0321	0.0116
2537	SLV FO 1	-1.75183	-2.12489	-0.92629	0.0746	-0.0308	0.0116
2536	SLV FO 1	-1.75019	-2.10793	-0.34498	0.0553	-0.0366	0.0116
2535	SLV FO 1	-1.74116	-2.12489	-0.94008	0.0372	-0.0268	0.0116

Spostamenti nodali con componente Ux massima

Vengono mostrati i soli 5 nodi più sollecitati.

Nodo	Cont.	Spostamento			Rotazione		
Ind.	N.br.	ux	uy	uz	rx	ry	rz
2539	SLV FO 16	2.16216	0.72183	-1.0432	-0.0193	0.0536	-0.0233
2538	SLV FO 16	2.16216	1.02002	-0.59675	-0.0495	0.0512	-0.0233
2537	SLV FO 16	2.14004	1.02002	-0.60979	-0.0129	0.0503	-0.0233
2536	SLV FO 16	2.13663	0.72183	-1.03221	-0.023	0.0524	-0.0233
2487	SLV FO 16	2.11931	0.99393	-0.59566	-0.0149	0.0514	-0.0226

Spostamenti nodali con componente Uy minima

Vengono mostrati i soli 5 nodi più sollecitati.

Nodo	Cont.	Spostamento			Rotazione		
Ind.	N.br.	ux	uy	uz	rx	ry	rz
2496	SLV FO 5	-1.30035	-2.57287	-1.31528	0.071	-0.035	0.0064
2498	SLV FO 5	-1.30968	-2.57186	-1.22117	0.0714	-0.0329	0.0079
2500	SLV FO 5	-1.32121	-2.57116	-1.13663	0.074	-0.0299	0.0086
2502	SLV FO 5	-1.33307	-2.57075	-1.07003	0.0647	-0.0274	0.0085
2516	SLV FO 5	-1.34152	-2.56978	-0.74989	0.0866	-0.0243	0.0038

Spostamenti nodali con componente Uy massima

Vengono mostrati i soli 5 nodi più sollecitati.

Nodo	Cont.	Spostamento			Rotazione		
Ind.	N.br.	ux	uy	uz	rx	ry	rz
2522	Y SLV	0.92764	1.50366	-0.14609	-0.0433	0.0114	-0.0081
2530	Y SLV	0.93503	1.50366	-0.16992	-0.0417	0.0181	-0.0081
2525	Y SLV	0.93162	1.50366	-0.15736	-0.0433	0.0114	-0.0081
2535	Y SLV	0.94243	1.50366	-0.19951	-0.0426	0.0188	-0.0081
2537	Y SLV	0.94984	1.50366	-0.23265	-0.0419	0.02	-0.0081

Spostamenti nodali con componente Uz minima

Vengono mostrati i soli 5 nodi più sollecitati.

Nodo	Cont.	Spostamento			Rotazione		
Ind.	N.br.	ux	uy	uz	rx	ry	rz
1655	SLU 20	0.03489	-0.39769	-2.91564	-0.3295	0.1469	-0.0023
1989	SLU 20	0.11434	-0.59809	-2.71669	-0.2886	0.1314	-0.0048
2177	SLU 20	0.08961	-0.89085	-2.14702	0.0283	0.2328	-0.0066
2176	SLU 20	0.08961	-0.88969	-2.10638	0.0283	0.2328	-0.0066
1979	SLU 20	0.10264	-0.59809	-2.02701	-0.2658	0.1314	-0.0048

Spostamenti nodali con componente Uz massima

Vengono mostrati i soli 5 nodi più sollecitati.

Nodo	Cont.	Spostamento			Rotazione		
Ind.	N.br.	ux	uy	uz	rx	ry	rz
2449	Y SLV	0.79992	1.37058	0.48365	-0.0388	0.0201	-0.0078
1595	X SLV	0.53383	0.39262	0.44249	-0.0264	0.0491	-0.0039
2163	Y SLV	0.6908	1.11887	0.43644	-0.0389	0.0217	-0.0063
2164	Y SLV	0.69113	1.11958	0.43217	-0.0389	0.0217	-0.0063
2453	Y SLV	0.83132	1.46808	0.42608	-0.0424	0.0212	-0.0078

6.2 Reazioni nodali

6.2.1 Reazioni nodali estreme

Nodo: Nodo sollecitato dalla reazione vincolare.

Ind.: indice del nodo.

Cont.: Contesto a cui si riferisce la reazione vincolare.

N.br.: nome breve della condizione o combinazione di carico.

Reazione a traslazione: reazione vincolare traslazionale del nodo.

x: componente X della reazione vincolare del nodo. [daN]

y: componente Y della reazione vincolare del nodo. [daN]

z: componente Z della reazione vincolare del nodo. [daN]

Reazione a rotazione: reazione vincolare rotazionale del nodo.

x: componente X della reazione a rotazione del nodo. [daN*cm]

y: componente Y della reazione a rotazione del nodo. [daN*cm]

z: componente Z della reazione a rotazione del nodo. [daN*cm]

Reazioni Fx minime
Vengono mostrati i soli 5 nodi più sollecitati.

Nodo		Reazione a traslazione			Reazione a rotazione		
Ind.	Cont.	x	y	z	x	y	z
64	SLU 20	-91530	17852	5253	-77062	16599	0
105	SLV FO 1	-50595	14042	5963	-1	119244	0
501	SLU 20	-43110	3087	3946	78911	0	0
500	SLU 20	-37725	887	4121	82423	0	0
502	SLU 20	-35089	2376	3896	77924	0	0

Reazioni Fx massime
Vengono mostrati i soli 5 nodi più sollecitati.

Nodo		Reazione a traslazione			Reazione a rotazione		
Ind.	Cont.	x	y	z	x	y	z
53	SLU 20	82059	-43369	5768	-84650	18233	0
9	SLV FO 14	44850	-2263	4888	0	-97753	0
488	SLV FO 11	28207	3300	4911	98214	0	0
24	SLU 20	27601	-11765	6934	0	-138674	0
487	SLV FO 11	26182	1309	4819	96374	0	0

Reazioni Fy minime
Vengono mostrati i soli 5 nodi più sollecitati.

Nodo		Reazione a traslazione			Reazione a rotazione		
Ind.	Cont.	x	y	z	x	y	z
504	SLV FO 1	-4274	-54265	2083	41663	0	0
83	SLU 20	-6449	-47059	11583	-148728	32035	0
489	SLV FO 16	18061	-44467	3287	65741	0	0
53	SLU 20	82059	-43369	5768	-84650	18233	0
115	SLU 20	-2134	-38929	9582	-105459	22715	0

Reazioni Fy massime
Vengono mostrati i soli 5 nodi più sollecitati.

Nodo		Reazione a traslazione			Reazione a rotazione		
Ind.	Cont.	x	y	z	x	y	z
105	SLV FO 12	-15461	53971	2472	0	49428	0
504	X SLV	2419	25533	-599	-11976	0	0
462	SLU 20	1282	23839	7895	105263	0	0
430	SLU 20	1431	22318	6835	45566	0	0
267	SLU 20	97	21589	1916	0	0	0

Reazioni Fz minime
Vengono mostrati i soli 5 nodi più sollecitati.

Nodo		Reazione a traslazione			Reazione a rotazione		
Ind.	Cont.	x	y	z	x	y	z
29	Y SLV	21	43	-2590	0	0	0
50	Y SLV	13	-14	-2458	0	0	0
71	Y SLV	-55	-18	-2345	0	0	0
15	Y SLV	-55	-103	-2270	0	0	0
83	Y SLV	1585	-2528	-2215	28446	-6127	0

Reazioni Fz massime
Vengono mostrati i soli 5 nodi più sollecitati.

Nodo		Reazione a traslazione			Reazione a rotazione		
Ind.	Cont.	x	y	z	x	y	z
390	SLU 20	16993	-261	13235	0	0	0
50	SLU 20	-80	18	12568	0	0	0
71	SLU 20	341	90	12346	0	0	0
29	SLV FO 10	-83	-182	11626	0	0	0
85	SLU 20	228	387	11617	0	0	0

6.3 Pressioni massime sul terreno

Nodo: Nodo che interagisce col terreno.
Ind.: indice del nodo.
Pressione minima: situazione in cui si verifica la pressione minima nel nodo.
Cont.: nome breve della condizione o combinazione di carico a cui si riferisce la pressione minima.
uz: spostamento massimo verticale del nodo. [cm]
Valore: pressione minima sul terreno del nodo. [daN/cm²]
Pressione massima: situazione in cui si verifica la pressione massima nel nodo.
Cont.: nome breve della condizione o combinazione di carico a cui si riferisce la pressione massima.
uz: spostamento minimo verticale del nodo. [cm]
Valore: pressione massima sul terreno del nodo. [daN/cm²]

Compressione estrema massima -2.97433 al nodo di indice 7, di coordinate x = 1410, y = -1012, z = -332, nel contesto SLV fondazioni 10.
Spostamento estremo minimo -1.48717 al nodo di indice 7, di coordinate x = 1410, y = -1012, z = -332, nel contesto SLV fondazioni 10.
Spostamento estremo massimo -0.17238 al nodo di indice 528, di coordinate x = 1410, y = 0, z = -332, nel contesto SLV fondazioni 6.

Nodo		Pressione minima		Pressione massima	
Ind.	Cont.	uz	Valore	Cont.	uz
7	SLV FO 10	-1.48717	-2.97433	SLV FO 7	-0.45506
8	SLV FO 10	-1.35989	-2.71978	SLV FO 7	-0.42292
10	SLV FO 10	-1.46397	-2.92794	SLV FO 7	-0.46343
11	SLV FO 10	-1.20941	-2.41882	SLV FO 7	-0.38018
13	SLV FO 10	-1.06252	-2.12504	SLV FO 7	-0.33658
15	SLV FO 10	-1.31873	-2.63745	SLV FO 7	-0.44407
16	SLV FO 10	-0.93904	-1.87809	SLV FO 7	-0.29984
18	SLV FO 10	-0.8506	-1.7012	SLV FO 7	-0.27484
19	SLV FO 10	-1.16774	-2.33548	SLV FO 7	-0.40629
21	SLV FO 10	-0.8025	-1.605	SLV FO 7	-0.26422
22	SLV FO 10	-1.0301	-2.06021	SLV FO 7	-0.36602
25	SLV FO 10	-1.37392	-2.74784	SLV FO 7	-0.49996
26	SLV FO 6	-0.79544	-1.59087	SLV FO 11	-0.26908
27	SLV FO 10	-0.91433	-1.82867	SLV FO 7	-0.33121
29	SLV FO 10	-1.25347	-2.50695	SLV FO 7	-0.47312
30	SLV FO 6	-0.82651	-1.65303	SLV FO 11	-0.28924
31	SLU 20	-0.8305	-1.661	SLV FO 7	-0.31211
33	SLU 20	-1.12399	-2.24799	SLV FO 7	-0.43486
34	SLU 20	-0.89168	-1.78337	SLV FO 11	-0.32304
35	SLU 20	-0.79113	-1.58226	SLV FO 7	-0.3013
36	SLU 20	-1.00804	-2.01609	SLV FO 7	-0.39742
38	SLU 20	-0.98748	-1.97495	SLV FO 12	-0.36638
39	SLU 20	-0.79006	-1.58012	SLV FO 11	-0.30548
40	SLU 20	-0.91212	-1.82424	SLV FO 7	-0.36819
42	SLU 20	-1.09089	-2.18178	SLV FO 12	-0.41287
43	SLU 20	-0.82331	-1.64661	SLV FO 11	-0.32574
45	SLU 20	-1.17434	-2.34868	SLV FO 12	-0.45171
47	SLU 20	-1.31199	-2.62398	SLV FO 7	-0.53451
48	SLU 20	-0.8424	-1.68481	SLV FO 7	-0.35543
49	SLU 20	-0.88494	-1.76989	SLV FO 11	-0.35752
50	SLU 20	-1.2121	-2.42421	SLV FO 7	-0.5035
51	SLU 20	-1.21086	-2.42173	SLV FO 12	-0.47142
52	SLU 20	-1.10376	-2.20752	SLV FO 7	-0.46348
54	SLU 20	-0.80317	-1.60635	SLV FO 7	-0.34259
55	SLU 20	-1.00314	-2.00628	SLV FO 7	-0.42697
56	SLU 20	-1.24676	-2.49352	SLV FO 12	-0.49272
57	SLU 20	-0.92309	-1.84618	SLV FO 7	-0.39992
59	SLU 20	-0.80123	-1.60245	SLV FO 7	-0.34655
60	SLU 20	-0.87692	-1.75384	SLV FO 7	-0.38712
61	SLU 20	-1.26962	-2.53923	SLV FO 12	-0.50771
62	SLU 20	-0.96443	-1.92886	SLV FO 12	-0.40207
63	SLU 20	-0.82767	-1.65534	SLV FO 11	-0.36413
65	SLU 20	-1.25796	-2.51593	SLV FO 12	-0.50534
67	SLU 20	-0.83967	-1.67934	SLV FO 7	-0.39097
68	SLU 20	-0.87628	-1.75256	SLV FO 11	-0.39224
69	SLU 20	-1.24255	-2.48509	SLV FO 12	-0.49788
70	SLU 20	-0.8151	-1.63019	SLV FO 7	-0.38096
71	SLU 20	-1.05066	-2.10133	SLV FO 12	-0.45271
72	SLU 20	-0.99242	-1.98485	SLV FO 7	-0.45482

Nodo		Pressione minima			Pressione massima		
Ind.	Cont.	uz	Valore	Cont.	uz	Valore	
73	SLU 20	-0.92482	-1.84964	SLV FO 7	-0.42867	-0.85734	
74	SLU 20	-0.87518	-1.75036	SLV FO 7	-0.40921	-0.81842	
75	SLU 20	-1.12615	-2.25231	SLV FO 12	-0.48133	-0.96267	
76	SLU 20	-1.07384	-2.14768	SLV FO 7	-0.48887	-0.97774	
77	SLU 20	-0.81441	-1.62881	SLV FO 7	-0.38567	-0.77134	
78	SLU 20	-1.15498	-2.30997	SLV FO 12	-0.49353	-0.98705	
81	SLU 20	-1.26959	-2.53917	SLV FO 3	-0.55301	-1.10602	
82	SLU 20	-1.25122	-2.50245	SLV FO 12	-0.49842	-0.99685	
84	SLU 20	-1.1747	-2.3494	SLV FO 12	-0.5023	-1.0046	
85	SLU 20	-1.16564	-2.33129	SLV FO 3	-0.52711	-1.05422	
86	SLU 20	-1.18343	-2.36687	SLV FO 12	-0.50457	-1.00914	
88	SLU 20	-0.93822	-1.87644	SLV FO 12	-0.43339	-0.86678	
89	SLU 20	-0.83544	-1.67089	SLV FO 11	-0.40275	-0.8055	
90	SLU 20	-1.28564	-2.57129	SLV FO 12	-0.50793	-1.01586	
91	SLU 20	-1.17125	-2.3425	SLV FO 12	-0.49656	-0.99312	
92	SLU 20	-0.99296	-1.98593	SLV FO 12	-0.4592	-0.91841	
93	SLU 20	-0.8715	-1.74301	SLV FO 12	-0.42118	-0.84236	
95	SLU 20	-0.88057	-1.76114	SLV FO 7	-0.43909	-0.87818	
96	SLU 20	-0.8501	-1.7002	SLV FO 7	-0.42709	-0.85418	
97	SLU 20	-0.924	-1.84801	SLV FO 7	-0.45588	-0.91175	
98	SLU 20	-1.32051	-2.64102	SLV FO 12	-0.51575	-1.03151	
99	SLU 20	-1.15933	-2.31867	SLV FO 12	-0.48715	-0.97429	
100	SLU 20	-0.98094	-1.96188	SLV FO 7	-0.47848	-0.95695	
101	SLU 20	-0.83254	-1.66508	SLV FO 7	-0.42239	-0.84477	
102	SLU 20	-1.04231	-2.08463	SLV FO 3	-0.50187	-1.00374	
103	SLU 20	-0.90507	-1.81013	SLV FO 12	-0.44235	-0.88469	
104	SLU 20	-1.30042	-2.60085	SLV FO 12	-0.51183	-1.02365	
106	SLU 20	-1.09478	-2.18956	SLV FO 3	-0.51806	-1.03613	
107	SLU 20	-0.83202	-1.66403	SLV FO 7	-0.42843	-0.85686	
108	SLU 20	-1.1609	-2.32181	SLV FO 12	-0.48361	-0.96722	
109	SLU 20	-1.07616	-2.15232	SLV FO 12	-0.50936	-1.01872	
110	SLU 20	-1.0366	-2.0732	SLV FO 12	-0.49993	-0.99986	
111	SLU 20	-1.0925	-2.18499	SLV FO 12	-0.51202	-1.02404	
112	SLU 20	-1.18316	-2.36633	SLV FO 12	-0.48762	-0.97525	
113	SLU 20	-1.09615	-2.1923	SLV FO 12	-0.50875	-1.0175	
114	SLU 20	-0.85088	-1.70176	SLV FO 12	-0.45022	-0.90045	
116	SLU 20	-1.09026	-2.18053	SLV FO 12	-0.49999	-0.99999	
117	SLU 20	-0.99356	-1.98712	SLV FO 12	-0.49302	-0.98604	
118	SLU 20	-0.92642	-1.85284	SLV FO 7	-0.48294	-0.96587	
119	SLU 20	-0.89086	-1.78172	SLV FO 7	-0.47049	-0.94098	
121	SLU 20	-1.22424	-2.44848	SLV FO 3	-0.55625	-1.1125	
122	SLU 20	-0.86558	-1.73117	SLV FO 7	-0.46243	-0.92486	
123	SLU 20	-0.97241	-1.94481	SLV FO 3	-0.49725	-0.9945	
124	SLU 20	-0.94855	-1.8971	SLV FO 12	-0.4821	-0.96421	
125	SLU 20	-1.07746	-2.15491	SLV FO 12	-0.48715	-0.9743	
126	SLU 20	-0.85136	-1.70271	SLU 1	-0.45899	-0.91797	
127	SLU 20	-1.14831	-2.29662	SLV FO 3	-0.53983	-1.07965	
128	SLU 20	-0.87967	-1.75933	SLU 1	-0.4647	-0.9294	
129	SLU 20	-0.91315	-1.82629	SLV FO 12	-0.47592	-0.95184	
130	SLU 20	-1.0699	-2.1398	SLV FO 12	-0.47541	-0.95082	
131	SLU 20	-0.84881	-1.69762	SLU 1	-0.4547	-0.9094	
132	SLU 20	-1.01839	-2.03678	SLV FO 3	-0.51203	-1.02407	
133	SLU 20	-1.08272	-2.16543	SLV FO 3	-0.52682	-1.05364	
134	SLU 20	-1.07405	-2.14811	SLV FO 12	-0.46961	-0.93922	
135	SLU 20	-0.85447	-1.70895	SLU 1	-0.45522	-0.91045	
136	SLU 20	-1.08559	-2.17118	SLV FO 12	-0.46886	-0.93772	
138	SLU 20	-1.14334	-2.28668	SLV FO 16	-0.47139	-0.94279	
139	SLU 20	-0.9331	-1.86619	SLV FO 3	-0.50528	-1.01057	
140	SLU 20	-0.96469	-1.92938	SLV FO 3	-0.5099	-1.0198	
141	SLU 20	-0.90375	-1.80751	SLU 1	-0.49018	-0.98036	
142	SLU 20	-0.8832	-1.76639	SLU 1	-0.47634	-0.95268	
143	SLU 20	-0.87158	-1.74317	SLU 1	-0.46732	-0.93464	
144	SLU 20	-0.86823	-1.73646	SLU 1	-0.46279	-0.92557	
145	SLU 20	-1.06747	-2.13494	SLV FO 12	-0.46217	-0.92434	
146	SLU 20	-0.87034	-1.74069	SLU 1	-0.46142	-0.92284	
147	SLU 20	-0.87702	-1.75403	SLU 1	-0.46271	-0.92543	
148	SLU 20	-1.02833	-2.05666	SLU 1	-0.52855	-1.05711	
149	SLU 20	-1.02996	-2.05993	SLU 1	-0.52789	-1.05579	
150	SLU 20	-1.00942	-2.01884	SLU 1	-0.52012	-1.04024	
151	SLU 20	-1.01969	-2.03937	SLV FO 12	-0.51681	-1.03363	
152	SLU 20	-0.98379	-1.96759	SLU 1	-0.50821	-1.01642	
153	SLU 20	-1.00267	-2.00533	SLV FO 12	-0.49887	-0.99773	
154	SLU 20	-0.98499	-1.96998	SLV FO 12	-0.47957	-0.95914	
156	SLU 20	-1.01288	-2.02575	SLV FO 12	-0.45452	-0.90903	
157	SLU 20	-0.95144	-1.90289	SLU 1	-0.49297	-0.98595	
158	SLU 20	-0.97458	-1.94916	SLV FO 12	-0.46364	-0.92728	
159	SLU 20	-1.18082	-2.36164	SLV FO 3	-0.5543	-1.1086	
160	SLU 20	-0.89921	-1.79842	SLU 1	-0.47048	-0.94096	
161	SLU 20	-0.98163	-1.96326	SLV FO 12	-0.45487	-0.90973	
162	SLU 20	-0.92355	-1.84709	SLU 1	-0.48035	-0.9607	
163	SLU 20	-1.11874	-2.23748	SLV FO 3	-0.54396	-1.08793	
164	SLU 20	-1.05829	-2.11659	SLV FO 3	-0.5346	-1.06919	
165	SLU 20	-0.99137	-1.98274	SLV FO 3	-0.52605	-1.05211	
166	SLU 20	-0.94522	-1.89044	SLU 1	-0.51255	-1.0251	
167	SLU 20	-0.91841	-1.83681	SLU 1	-0.49524	-0.99048	
168	SLU 20	-0.90169	-1.80339	SLU 1	-0.48362	-0.96724	
169	SLU 20	-0.89261	-1.78522	SLU 1	-0.47607	-0.95214	
170	SLU 20	-0.88996	-1.77992	SLU 1	-0.47187	-0.94375	
171	SLU 20	-0.89027	-1.78055	SLU 1	-0.4695	-0.939	
172	SLU 20	-0.89478	-1.78955	SLU 1	-0.46953	-0.93906	
173	SLU 20	-0.90253	-1.80507	SLU 1	-0.47152	-0.94305	
175	SLU 20	-0.98921	-1.97842	SLV FO 16	-0.42138	-0.84276	
176	SLU 20	-0.94704	-1.89409	SLV FO 16	-0.42277	-0.84553	
177	SLU 20	-0.91866	-1.83733	SLU 1	-0.4901	-0.98021	
178	SLU 20	-0.931	-1.862	SLU 1	-0.49897	-0.99794	
179	SLU 20	-0.96977	-1.93954	SLU 1	-0.52431	-1.04861	
180	SLU 20	-0.94945	-1.8989	SLU 1	-0.51116	-1.02231	
181	SLU 20	-0.91255	-1.8251	SLU 1	-0.48432	-0.96864	
182	SLU 20	-0.91373	-1.82746	SLV FO 16	-0.4267	-0.8534	
183	SLU 20	-0.98444	-1.96888	SLU 1	-0.49854	-0.99708	
184	SLU 20	-0.9215	-1.843	SLU 1	-0.47709	-0.95419	
185	SLU 20	-0.97329	-1.94657	SLU 1	-0.49134	-0.98269	
186	SLU 20	-0.9515	-1.903	SLU 1	-0.47894	-0.95787	
187	SLU 20	-0.97952	-1.95903	SLU 1	-0.4975	-0.99501	
188	SLU 20	-0.96696	-1.93392	SLU 1	-0.49293	-0.98587	
189	SLU 20	-0.92472	-1.84944	SLU 1	-0.4638	-0.92759	
190	SLU 20	-0.89152	-1.78304	SLV FO 16	-0.43632	-0.87265	
191	SLU 20	-0.90018	-1.80037	SLU 1	-0.4493	-0.89861	
192	SLU 20	-0.95078	-1.90157	SLU 1	-0.48666	-0.97332	
193	SLU 20	-0.88723	-1.77445	SLU 1	-0.44019	-0.88038	
194	SLU 20	-0.91002	-1.82003	SLU 1	-0.47723	-0.95446	
195	SLU 20	-0.91638	-1.83275	SLU 1	-0.47602	-0.95203	
196	SLU 20	-0.9122	-1.82439	SLU 1	-0.47594	-0.95188	
198	SLU 20	-0.91351	-1.82702	SLU 1	-0.48158	-0.96315	
200	SLU 20	-1.13532	-2.27063	SLV FO 3	-0.54474	-1.08948	
201	SLU 20	-1.08831	-2.17661	SLV FO 3	-0.54084	-1.08167	
202	SLU 20	-0.93539	-1.87079	SLU 1	-0.48066	-0.96131	
203	SLU 20	-1.0437	-2.0874	SLV FO 3	-0.53796	-1.07592	
204	SLU 20	-1.00108	-2.00215	SLV FO 3	-0.53911	-1.07823	

Nodo Ind.	Cont.	Pressione minima		Cont.	Pressione massima	
		uz	Valore		uz	Valore
205	SLU 20	-0.93193	-1.86386	SLU 1	-0.49477	-0.98955
206	SLU 20	-0.92694	-1.85387	SLU 1	-0.49303	-0.98059
207	SLU 20	-0.92429	-1.8498	SLU 1	-0.48755	-0.9751
208	SLU 20	-0.94114	-1.88229	SLU 1	-0.50129	-1.00259
209	SLU 20	-0.97492	-1.94984	SLU 1	-0.52407	-1.04815
210	SLU 20	-0.92493	-1.84986	SLU 1	-0.48228	-0.96457
211	SLU 20	-0.95548	-1.91096	SLU 1	-0.51027	-1.02053
212	SLU 20	-0.9318	-1.86361	SLU 1	-0.47919	-0.95839
213	SLU 20	-0.92857	-1.85713	SLU 1	-0.47934	-0.95868
214	SLU 20	-0.93555	-1.8711	SLU 1	-0.47926	-0.95852
215	SLU 20	-0.92942	-1.85884	SLU 1	-0.48636	-0.97272
217	SLU 20	-0.92708	-1.85416	SLU 1	-0.48054	-0.96107
218	SLU 20	-0.93337	-1.86673	SLU 1	-0.49022	-0.98045
219	SLU 20	-0.93643	-1.87285	SLU 1	-0.49344	-0.98687
220	SLU 20	-0.94011	-1.88021	SLU 1	-0.49682	-0.99363
221	SLU 20	-0.87053	-1.74105	SLV FO 16	-0.38355	-0.76711
222	SLU 20	-0.84869	-1.69738	SLV FO 16	-0.39031	-0.78061
223	SLU 20	-0.94585	-1.8917	SLU 1	-0.50072	-1.00144
224	SLU 20	-0.93279	-1.86557	SLU 1	-0.48587	-0.97175
225	SLU 20	-0.93144	-1.86287	SLU 1	-0.48396	-0.96793
226	SLU 20	-0.82775	-1.6555	SLU 1	-0.39799	-0.79598
227	SLU 20	-0.95106	-1.90213	SLU 1	-0.50464	-1.00928
228	SLU 20	-0.94391	-1.88782	SLU 1	-0.47688	-0.95376
229	SLU 20	-0.93151	-1.86302	SLU 1	-0.48248	-0.96496
230	SLU 20	-0.81403	-1.62806	SLU 1	-0.39376	-0.78752
231	SLU 20	-0.94801	-1.89603	SLU 1	-0.47643	-0.95287
232	SLU 20	-0.81492	-1.62984	SLU 1	-0.39678	-0.79356
233	SLU 20	-0.83174	-1.66349	SLU 1	-0.40748	-0.81496
234	SLU 20	-0.86048	-1.72096	SLU 1	-0.4237	-0.84741
235	SLU 20	-0.94464	-1.88928	SLU 1	-0.47057	-0.94114
236	SLU 20	-0.89361	-1.78723	SLU 1	-0.44181	-0.88362
237	SLU 20	-0.92395	-1.84789	SLU 1	-0.45846	-0.91691
238	SLU 20	-0.94017	-1.88033	SLU 1	-0.4921	-0.9842
239	SLU 20	-0.93934	-1.87868	SLU 1	-0.47626	-0.95252
240	SLU 20	-0.94845	-1.89689	SLU 1	-0.47401	-0.94802
241	SLU 20	-0.93777	-1.87554	SLU 1	-0.48914	-0.97828
242	SLU 20	-0.94228	-1.88456	SLU 1	-0.49471	-0.98943
243	SLU 20	-0.94399	-1.88798	SLU 1	-0.49696	-0.99392
245	SLU 20	-0.94573	-1.89147	SLU 1	-0.49875	-0.9975
247	SLU 20	-0.93627	-1.87255	SLU 1	-0.48658	-0.97315
248	SLU 20	-1.07984	-2.15969	SLV FO 2	-0.52063	-1.04127
249	SLU 20	-1.04569	-2.09139	SLV FO 2	-0.52249	-1.04498
250	SLU 20	-0.93709	-1.87419	SLU 1	-0.47852	-0.95703
251	SLU 20	-0.97408	-1.94816	SLU 1	-0.51974	-1.03948
252	SLU 20	-0.935	-1.87	SLU 1	-0.48442	-0.96885
253	SLU 20	-1.01527	-2.03054	SLV FO 2	-0.52655	-1.0531
255	SLU 20	-0.93764	-1.87528	SLU 1	-0.47657	-0.95315
256	SLU 20	-0.93501	-1.87002	SLU 1	-0.47932	-0.95864
257	SLU 20	-0.99072	-1.98144	SLU 1	-0.53089	-1.06178
258	SLU 20	-0.93381	-1.86762	SLU 1	-0.48057	-0.96113
259	SLU 20	-0.94876	-1.89752	SLU 1	-0.50051	-1.00101
260	SLU 20	-0.93456	-1.86913	SLU 1	-0.4821	-0.96421
261	SLU 20	-0.95866	-1.91732	SLU 1	-0.50827	-1.01653
262	SLU 20	-0.94684	-1.89368	SLU 1	-0.49828	-0.99656
263	SLU 20	-0.95186	-1.90372	SLU 1	-0.50285	-1.0057
264	SLU 20	-0.93656	-1.87313	SLU 1	-0.48433	-0.96866
265	SLU 20	-0.93798	-1.87596	SLU 1	-0.48597	-0.97194
266	SLU 20	-0.94072	-1.88144	SLU 1	-0.48906	-0.97813
267	SLU 20	-0.94302	-1.88604	SLU 1	-0.49188	-0.98377
268	SLU 20	-0.94441	-1.88882	SLU 1	-0.49415	-0.9883
269	SLU 20	-0.94562	-1.89125	SLU 1	-0.49626	-0.99252
270	SLU 20	-0.9468	-1.89361	SLU 1	-0.49733	-0.99465
271	SLU 20	-0.94774	-1.89548	SLU 1	-0.49823	-0.99646
272	SLU 20	-0.93574	-1.87148	SLU 1	-0.48203	-0.96406
273	SLU 20	-0.93438	-1.86877	SLU 1	-0.47953	-0.95907
274	SLU 20	-0.9452	-1.89041	SLU 1	-0.49505	-0.9901
275	SLU 20	-0.93376	-1.86752	SLU 1	-0.47758	-0.95515
277	SLU 20	-0.93607	-1.87214	SLU 1	-0.48217	-0.96434
278	SLU 20	-0.93043	-1.86085	SLU 1	-0.4643	-0.92861
279	SLU 20	-0.93301	-1.86602	SLU 1	-0.47464	-0.94929
280	SLU 20	-0.94595	-1.89189	SLU 1	-0.49587	-0.99174
281	SLU 20	-0.79715	-1.59429	SLV FO 15	-0.35694	-0.71388
282	SLU 20	-0.93305	-1.86609	SLU 1	-0.47791	-0.95582
283	SLU 20	-0.94126	-1.88252	SLU 1	-0.48997	-0.97994
284	SLU 20	-0.78207	-1.56414	SLU 1	-0.36459	-0.72917
285	SLU 20	-0.92805	-1.8561	SLU 1	-0.46409	-0.92818
286	SLU 20	-0.93177	-1.86354	SLU 1	-0.47088	-0.94176
287	SLU 20	-0.9362	-1.8724	SLU 1	-0.48271	-0.96541
288	SLU 20	-0.92977	-1.85954	SLU 1	-0.46734	-0.93468
289	SLU 20	-0.76773	-1.53546	SLU 1	-0.35992	-0.71984
290	SLU 20	-0.92464	-1.84928	SLU 1	-0.45765	-0.9153
291	SLU 20	-0.7595	-1.519	SLU 1	-0.35843	-0.71685
292	SLU 20	-0.76338	-1.52675	SLU 1	-0.36297	-0.72593
293	SLU 20	-0.78118	-1.56235	SLU 1	-0.37397	-0.74793
295	SLU 20	-0.81136	-1.62272	SLU 1	-0.39082	-0.78163
296	SLU 20	-0.84711	-1.69422	SLU 1	-0.41018	-0.82037
297	SLU 20	-0.93604	-1.87209	SLU 1	-0.48365	-0.96731
298	SLU 20	-0.88237	-1.76474	SLU 1	-0.42937	-0.85874
299	SLU 20	-0.94645	-1.8929	SLU 1	-0.4962	-0.9924
300	SLU 20	-0.92931	-1.85861	SLU 1	-0.47312	-0.94624
301	SLU 20	-0.90686	-1.81371	SLU 1	-0.44317	-0.88635
302	SLU 20	-1.02153	-2.04307	SLV FO 2	-0.48389	-0.96778
303	SLU 20	-0.93011	-1.86022	SLU 1	-0.47561	-0.95121
304	SLU 20	-0.99895	-1.9979	SLV FO 2	-0.4899	-0.9798
305	SLU 20	-0.95529	-1.91059	SLU 1	-0.50334	-1.00668
306	SLU 20	-0.9796	-1.9592	SLV FO 2	-0.49794	-0.99587
307	SLU 20	-0.96518	-1.93036	SLV FO 2	-0.50861	-1.01721
308	SLU 20	-0.92112	-1.84224	SLU 1	-0.45746	-0.91493
309	SLU 20	-0.92026	-1.84053	SLU 1	-0.45595	-0.9119
310	SLU 20	-0.91256	-1.82512	SLU 1	-0.44703	-0.89406
311	SLU 20	-0.91787	-1.83574	SLU 1	-0.45315	-0.90631
312	SLU 20	-0.93278	-1.86557	SLU 1	-0.48309	-0.96617
313	SLU 20	-0.92303	-1.84605	SLU 1	-0.46609	-0.93218
314	SLU 20	-0.92356	-1.84711	SLU 1	-0.46892	-0.93784
315	SLU 20	-0.91415	-1.8283	SLU 1	-0.45188	-0.90377
316	SLU 20	-0.92458	-1.84917	SLU 1	-0.47172	-0.94358
317	SLU 20	-0.90787	-1.81573	SLU 1	-0.44457	-0.88915
318	SLU 20	-0.91059	-1.82118	SLU 1	-0.44834	-0.89668
319	SLU 20	-0.90835	-1.8167	SLU 1	-0.4457	-0.89141
320	SLU 20	-0.90302	-1.80603	SLU 1	-0.44019	-0.88039
321	SLU 20	-0.91013	-1.82026	SLU 1	-0.44936	-0.89873
322	SLU 20	-0.91537	-1.83075	SLU 1	-0.4571	-0.9142
323	SLU 20	-0.91216	-1.82432	SLU 1	-0.45258	-0.90516
325	SLU 20	-0.91959	-1.83918	SLU 1	-0.47006	-0.94012
326	SLU 20	-0.90196	-1.80392	SLU 1	-0.44181	-0.88361
327	SLU 20	-0.77215	-1.54431	SLV FO 13	-0.33806	-0.67612
328	SLU 20	-0.75785	-1.5157	SLU 1	-0.34302	-0.68603
329	SLU 20	-0.89721	-1.79442	SLU 1	-0.43722	-0.87444
330	SLU 20	-0.7442	-1.48841	SLU 1	-0.33874	-0.67748

Nodo		Pressione minima			Pressione massima		
Ind.	Cont.	uz	Valore	Cont.	uz	Valore	
331	SLU 20	-0.89173	-1.78345	SLU 1	-0.43173	-0.86346	
333	SLU 20	-0.89404	-1.78809	SLU 1	-0.43411	-0.86821	
334	SLU 20	-0.73534	-1.47068	SLU 1	-0.3369	-0.67381	
335	SLU 20	-0.91808	-1.83616	SLU 1	-0.47255	-0.9451	
336	SLU 20	-0.90747	-1.81493	SLU 1	-0.45589	-0.91179	
337	SLU 20	-0.73659	-1.47318	SLU 1	-0.34031	-0.68061	
338	SLU 20	-0.75178	-1.50355	SLU 1	-0.35024	-0.70047	
339	SLU 20	-0.77932	-1.55864	SLU 1	-0.36595	-0.73189	
340	SLU 20	-0.81423	-1.62845	SLU 1	-0.38511	-0.77022	
341	SLU 20	-0.84902	-1.69803	SLU 1	-0.40425	-0.80849	
342	SLU 20	-0.97046	-1.94091	SLV FO 2	-0.43876	-0.87753	
343	SLU 20	-0.87441	-1.74883	SLU 1	-0.41888	-0.83777	
344	SLU 20	-0.95518	-1.91035	SLV FO 2	-0.46637	-0.89273	
345	SLU 20	-0.9255	-1.85101	SLV FO 6	-0.47716	-0.95432	
346	SLU 20	-0.94183	-1.88366	SLV FO 2	-0.45502	-0.91005	
347	SLU 20	-0.93181	-1.86362	SLV FO 2	-0.4656	-0.9312	
348	SLU 20	-0.88831	-1.77662	SLU 1	-0.43055	-0.8611	
349	SLU 20	-0.89158	-1.78316	SLU 1	-0.43493	-0.86986	
350	SLU 20	-0.88895	-1.77791	SLU 1	-0.43183	-0.86365	
351	SLU 20	-0.88001	-1.76002	SLU 1	-0.42261	-0.84522	
352	SLU 20	-0.89372	-1.78745	SLU 1	-0.44042	-0.88085	
353	SLU 20	-0.89966	-1.79931	SLU 1	-0.45448	-0.90896	
354	SLU 20	-0.88787	-1.77573	SLU 1	-0.43358	-0.86716	
355	SLU 20	-0.87843	-1.75686	SLU 1	-0.42244	-0.84489	
356	SLU 20	-0.87917	-1.75834	SLU 1	-0.42413	-0.84826	
357	SLU 20	-0.87871	-1.75742	SLU 1	-0.42473	-0.84947	
359	SLU 20	-0.87032	-1.74065	SLU 1	-0.4168	-0.8336	
360	SLU 20	-0.87452	-1.74904	SLU 1	-0.42235	-0.8447	
361	SLU 20	-0.87055	-1.7411	SLU 1	-0.41762	-0.83523	
362	SLU 20	-0.86472	-1.72943	SLU 1	-0.41136	-0.82273	
363	SLU 20	-0.86645	-1.7329	SLU 1	-0.41322	-0.82644	
364	SLU 20	-0.86999	-1.73998	SLU 1	-0.41791	-0.83582	
365	SLU 20	-0.79307	-1.58615	SLV FO 13	-0.32647	-0.65293	
367	SLU 20	-0.86878	-1.73756	SLU 1	-0.41753	-0.83506	
368	SLU 20	-0.77546	-1.55091	SLV FO 13	-0.32702	-0.65403	
369	SLU 20	-0.75782	-1.51564	SLV FO 13	-0.32768	-0.65536	
370	SLU 20	-0.85989	-1.71978	SLU 1	-0.4079	-0.81581	
371	SLU 20	-0.86217	-1.72434	SLU 1	-0.41051	-0.82103	
372	SLU 20	-0.86018	-1.72036	SLU 1	-0.40842	-0.81683	
373	SLU 20	-0.8626	-1.72521	SLU 1	-0.41158	-0.82316	
374	SLU 20	-0.7431	-1.4862	SLU 1	-0.32979	-0.65958	
375	SLU 20	-0.73619	-1.47239	SLU 1	-0.32968	-0.65935	
376	SLU 20	-0.93127	-1.86254	SLV FO 2	-0.38865	-0.77729	
377	SLU 20	-0.85922	-1.71845	SLU 1	-0.40798	-0.81596	
378	SLU 20	-0.74395	-1.48791	SLU 1	-0.3364	-0.6728	
379	SLU 20	-0.86243	-1.72486	SLU 1	-0.41215	-0.8243	
380	SLU 20	-0.76467	-1.52934	SLU 1	-0.34916	-0.69831	
381	SLU 20	-0.82219	-1.64439	SLU 1	-0.38217	-0.76434	
382	SLU 20	-0.91986	-1.83972	SLV FO 6	-0.39205	-0.78411	
383	SLU 20	-0.79303	-1.58607	SLU 1	-0.36546	-0.73092	
384	SLU 20	-0.84486	-1.68971	SLU 1	-0.39591	-0.79182	
385	SLU 20	-0.85271	-1.70543	SLU 1	-0.40175	-0.8035	
386	SLU 20	-0.86642	-1.73283	SLU 1	-0.41749	-0.83497	
387	SLU 20	-0.87009	-1.74018	SLU 1	-0.4227	-0.8454	
388	SLU 20	-0.8742	-1.7484	SLU 1	-0.43046	-0.86091	
389	SLU 20	-0.87906	-1.75811	SLV FO 6	-0.42585	-0.8517	
390	SLU 20	-0.88572	-1.77144	SLV FO 6	-0.41592	-0.83185	
391	SLU 20	-0.89477	-1.78954	SLV FO 6	-0.40534	-0.81067	
392	SLU 20	-0.85505	-1.7101	SLU 1	-0.40391	-0.80782	
393	SLU 20	-0.86434	-1.72867	SLU 1	-0.41499	-0.82998	
394	SLU 20	-0.90906	-1.81812	SLV FO 6	-0.39441	-0.78882	
395	SLU 20	-0.86228	-1.72457	SLU 1	-0.41271	-0.82543	
396	SLU 20	-0.90002	-1.80004	SLV FO 6	-0.39776	-0.79552	
397	SLU 20	-0.85539	-1.71078	SLU 1	-0.40447	-0.80894	
398	SLU 20	-0.85576	-1.71153	SLU 1	-0.40507	-0.81013	
399	SLU 20	-0.85585	-1.7117	SLU 1	-0.40546	-0.81093	
400	SLU 20	-0.85497	-1.70995	SLU 1	-0.40518	-0.81037	
401	SLU 20	-0.8555	-1.711	SLU 1	-0.40625	-0.81249	
402	SLU 20	-0.85153	-1.70305	SLU 1	-0.40189	-0.80378	
403	SLU 20	-0.85058	-1.70117	SLU 1	-0.40093	-0.80185	
404	SLU 20	-0.85511	-1.71022	SLU 1	-0.40661	-0.81322	
405	SLU 20	-0.85146	-1.70291	SLU 1	-0.40211	-0.80422	
406	SLU 20	-0.85385	-1.7077	SLU 1	-0.40637	-0.81274	
407	SLU 20	-0.84828	-1.69655	SLU 1	-0.39945	-0.7989	
408	SLU 20	-0.85412	-1.70824	SLU 1	-0.40749	-0.81498	
409	SLU 20	-0.84447	-1.68894	SLU 1	-0.39615	-0.79229	
410	SLU 20	-0.85433	-1.70866	SLV FO 6	-0.40583	-0.81167	
411	SLU 20	-0.84897	-1.69793	SLU 1	-0.40193	-0.80386	
412	SLU 20	-0.8466	-1.69279	SLU 1	-0.3986	-0.79719	
413	SLU 20	-0.84757	-1.69515	SLU 1	-0.4003	-0.80059	
414	SLU 20	-0.85322	-1.70645	SLV FO 6	-0.39486	-0.78971	
415	SLU 20	-0.84405	-1.6881	SLV FO 9	-0.39	-0.77999	
417	SLU 20	-0.84368	-1.68737	SLV FO 10	-0.3852	-0.77039	
418	SLU 20	-0.83742	-1.67484	SLV FO 9	-0.38133	-0.76267	
419	SLU 20	-0.83871	-1.67742	SLV FO 9	-0.38166	-0.76331	
420	SLU 20	-0.83968	-1.67936	SLV FO 9	-0.38152	-0.76303	
422	SLU 20	-0.84145	-1.68291	SLV FO 6	-0.37492	-0.74985	
423	SLU 20	-0.84899	-1.69799	SLV FO 6	-0.37115	-0.74231	
424	SLU 20	-0.82948	-1.65896	SLV FO 9	-0.36654	-0.73308	
425	SLU 20	-0.85235	-1.7047	SLV FO 13	-0.32341	-0.64682	
426	SLU 20	-0.83589	-1.67178	SLV FO 9	-0.36869	-0.73739	
427	SLU 20	-0.85234	-1.70468	SLV FO 6	-0.35785	-0.71569	
428	SLU 20	-0.82917	-1.65834	SLV FO 13	-0.31872	-0.63745	
429	SLU 20	-0.83589	-1.67178	SLV FO 5	-0.36605	-0.73209	
431	SLU 20	-0.83973	-1.67947	SLV FO 6	-0.36331	-0.72661	
432	SLU 20	-0.80353	-1.60706	SLV FO 9	-0.31105	-0.6221	
433	SLU 20	-0.83037	-1.66075	SLV FO 9	-0.36077	-0.72155	
434	SLU 20	-0.82845	-1.6569	SLV FO 9	-0.35941	-0.71881	
435	SLV FO 11	-0.96726	-1.93452	SLV FO 6	-0.31827	-0.63654	
436	SLU 20	-0.77616	-1.55232	SLV FO 9	-0.30122	-0.60245	
437	SLU 20	-0.81874	-1.63747	SLV FO 9	-0.35035	-0.70069	
438	SLV FO 11	-0.95116	-1.90232	SLV FO 6	-0.3195	-0.639	
439	SLU 20	-0.75722	-1.51444	SLV FO 9	-0.29662	-0.59325	
440	SLV FO 11	-0.93177	-1.86354	SLV FO 6	-0.32224	-0.64448	
441	SLU 20	-0.80273	-1.60546	SLV FO 9	-0.33818	-0.67636	
442	SLU 20	-0.75425	-1.50849	SLV FO 9	-0.30078	-0.60157	
443	SLU 20	-0.76524	-1.53048	SLV FO 9	-0.31146	-0.62292	
444	SLU 20	-0.78331	-1.56662	SLV FO 9	-0.32463	-0.64926	
445	SLV FO 11	-0.91228	-1.82455	SLV FO 6	-0.32512	-0.65023	
446	SLU 20	-0.82854	-1.65707	SLV FO 9	-0.35146	-0.70293	
447	SLV FO 11	-0.89316	-1.78632	SLV FO 6	-0.32774	-0.65548	
448	SLU 20	-0.83738	-1.67476	SLV FO 6	-0.34979	-0.69957	
449	SLV FO 11	-0.87032	-1.74064	SLV FO 6	-0.33027	-0.66054	
450	SLU 20	-0.82826	-1.65652	SLV FO 5	-0.34408	-0.68815	
451	SLU 20	-0.81824	-1.63649	SLV FO 9	-0.32976	-0.65952	
452	SLU 20	-0.82617	-1.65234	SLV FO 6	-0.32996	-0.65992	
453	SLV FO 11	-0.8374	-1.67479	SLV FO 6	-0.31441	-0.62882	
454	SLV FO 11	-0.84834	-1.69669	SLV FO 6	-0.31171	-0.62342	
455	SLV FO 11	-0.86562	-1.73124	SLV FO 6	-0.30383	-0.60767	

Nodo Ind.	Pressione minima			Pressione massima		
	Cont.	uz	Valore	Cont.	uz	Valore
456	SLV FO 12	-0.82046	-1.64091	SLV FO 5	-0.31082	-0.62164
458	SLV FO 11	-0.8829	-1.7658	SLV FO 6	-0.2941	-0.5882
459	SLV FO 12	-0.83178	-1.66356	SLV FO 5	-0.30023	-0.60045
461	SLV FO 12	-0.83834	-1.67668	SLV FO 5	-0.29833	-0.59666
463	SLV FO 8	-0.82586	-1.65172	SLV FO 9	-0.28868	-0.57735
464	SLV FO 8	-0.95864	-1.91727	SLV FO 9	-0.31531	-0.63063
465	SLV FO 8	-0.93532	-1.87065	SLV FO 9	-0.30476	-0.60952
466	SLV FO 11	-1.0231	-2.04619	SLV FO 6	-0.24595	-0.49189
467	SLV FO 8	-0.90532	-1.81064	SLV FO 9	-0.29028	-0.58057
468	SLV FO 8	-0.82536	-1.65072	SLV FO 9	-0.27697	-0.55395
469	SLV FO 11	-1.00904	-2.01809	SLV FO 6	-0.24726	-0.49452
470	SLV FO 8	-0.86101	-1.72203	SLV FO 9	-0.26963	-0.53926
471	SLV FO 11	-0.9887	-1.9774	SLV FO 6	-0.24991	-0.49982
472	SLV FO 8	-0.8204	-1.6408	SLV FO 9	-0.27041	-0.54082
473	SLV FO 11	-0.96623	-1.93246	SLV FO 6	-0.25325	-0.5065
474	SLV FO 8	-0.82591	-1.65183	SLV FO 9	-0.25508	-0.51016
475	SLV FO 8	-0.81175	-1.62349	SLV FO 9	-0.2535	-0.50699
476	SLV FO 8	-0.81521	-1.63042	SLV FO 9	-0.26415	-0.5283
477	SLV FO 8	-0.81116	-1.62233	SLV FO 9	-0.25828	-0.51657
478	SLV FO 11	-0.94408	-1.88816	SLV FO 6	-0.25624	-0.51249
479	SLV FO 11	-0.92439	-1.84878	SLV FO 6	-0.25661	-0.51322
480	SLV FO 12	-0.84522	-1.69043	SLV FO 5	-0.26547	-0.53094
481	SLV FO 12	-0.86291	-1.72582	SLV FO 5	-0.26437	-0.52873
482	SLV FO 11	-0.88019	-1.76037	SLV FO 6	-0.25716	-0.51432
483	SLV FO 12	-0.85667	-1.71334	SLV FO 5	-0.25828	-0.51656
484	SLV FO 11	-0.8976	-1.7952	SLV FO 6	-0.25178	-0.50356
485	SLV FO 11	-0.91463	-1.82926	SLV FO 6	-0.24831	-0.4963
506	SLV FO 8	-1.08128	-2.16257	SLV FO 9	-0.29184	-0.58368
507	SLV FO 8	-1.0658	-2.13161	SLV FO 9	-0.28559	-0.57118
508	SLV FO 8	-1.04136	-2.08272	SLV FO 9	-0.27557	-0.55115
509	SLV FO 8	-0.96706	-1.93412	SLV FO 9	-0.24246	-0.48492
510	SLV FO 8	-0.90753	-1.81506	SLV FO 9	-0.21556	-0.43111
511	SLV FO 8	-0.88523	-1.77046	SLV FO 9	-0.2082	-0.4164
512	SLV FO 8	-0.87883	-1.75766	SLV FO 9	-0.20829	-0.41659
513	SLV FO 8	-0.87437	-1.74875	SLV FO 9	-0.20742	-0.41484
514	SLV FO 8	-0.8712	-1.7424	SLV FO 9	-0.2052	-0.41039
515	SLV FO 8	-0.87078	-1.74157	SLV FO 9	-0.20305	-0.40609
516	SLV FO 8	-0.87418	-1.74835	SLV FO 9	-0.2027	-0.4054
517	SLV FO 12	-0.88041	-1.76082	SLV FO 5	-0.20271	-0.40541
518	SLV FO 12	-0.88926	-1.77853	SLV FO 5	-0.20239	-0.40478
519	SLV FO 12	-0.90069	-1.80138	SLV FO 5	-0.20168	-0.40337
520	SLV FO 11	-0.91499	-1.82998	SLV FO 6	-0.2001	-0.40019
521	SLV FO 11	-0.93215	-1.8643	SLV FO 6	-0.19759	-0.39518
522	SLV FO 11	-0.95161	-1.90323	SLV FO 6	-0.19463	-0.38926
523	SLV FO 11	-0.97326	-1.94653	SLV FO 6	-0.19124	-0.38249
524	SLV FO 11	-0.99674	-1.99347	SLV FO 6	-0.18739	-0.37479
525	SLV FO 11	-1.02175	-2.0435	SLV FO 6	-0.18311	-0.36621
526	SLV FO 11	-1.04804	-2.09609	SLV FO 6	-0.17853	-0.35706
527	SLV FO 11	-1.07458	-2.14915	SLV FO 6	-0.1738	-0.34759
528	SLV FO 11	-1.0823	-2.16459	SLV FO 6	-0.17238	-0.34476

6.4 Spostamenti di interpiano estremi

Nodo inferiore: nodo inferiore.
I.: numero dell'elemento nell'insieme che lo contiene.
Pos.: coordinate del nodo.
X: coordinata X. [cm]
Y: coordinata Y. [cm]
Z: coordinata Z. [cm]

Nodo superiore: nodo superiore.
I.: numero dell'elemento nell'insieme che lo contiene.
Pos.: coordinate del nodo.
Z: coordinata Z. [cm]

Spost. rel.: spostamento relativo. Il valore è adimensionale.
Comb.: combinazione.

N.b.: nome breve e compatto della combinazione di carico.

Spostamento inferiore: spostamento in pianta del nodo inferiore.
X: coordinata X. [cm]
Y: coordinata Y. [cm]

Spostamento superiore: spostamento in pianta del nodo superiore.
X: coordinata X. [cm]
Y: coordinata Y. [cm]
S.V.: si intende non verificato qualora lo spostamento relativo sia superiore al valore limite espresso nelle preferenze di analisi.

Questo capitolo mostra gli spostamenti estremi per ogni interpiano in ognuna delle combinazioni di carico.
Per spostamenti estremi si intendono i primi 5 spostamenti massimi tra tutti gli interpianti che condividono la stessa quota iniziale e la stessa quota finale.
limite SLO = 0,003333

Nodo inferiore				Nodo superiore		Spost. rel.	Comb.	Spostamento inferiore		Spostamento superiore		S.V.
I.	Pos.			I.	Pos.			X	Y	X	Y	
	X	Y	Z		Z							
1160	1201.9	-217.1	-15	1641	540	0.001189	SLO 1	-0.077	-0.257	-0.527	-0.739	si
1060	1011.9	-421.1	-15	1609	540	0.001164	SLO 1	-0.092	-0.253	-0.517	-0.739	si
1062	1065.9	-421.1	-15	1611	540	0.001162	SLO 1	-0.092	-0.254	-0.517	-0.739	si
1058	957.9	-421.1	-15	1607	540	0.001161	SLO 1	-0.093	-0.254	-0.517	-0.739	si
1040	821.9	-436.1	-15	1600	540	0.001161	SLO 1	-0.091	-0.256	-0.517	-0.739	si
1160	1201.9	-217.1	-15	1641	540	0.001178	SLO 2	-0.077	-0.259	-0.513	-0.747	si
1041	1201.9	-436.1	-15	1601	540	0.001158	SLO 2	-0.089	-0.26	-0.507	-0.747	si
1060	1011.9	-421.1	-15	1609	540	0.001157	SLO 2	-0.092	-0.253	-0.508	-0.742	si
1062	1065.9	-421.1	-15	1611	540	0.001156	SLO 2	-0.091	-0.255	-0.508	-0.743	si
1058	957.9	-421.1	-15	1607	540	0.001153	SLO 2	-0.092	-0.254	-0.508	-0.741	si
1160	1201.9	-217.1	-15	1641	540	0.000751	SLO 3	-0.045	-0.182	-0.347	-0.441	si
1041	1201.9	-436.1	-15	1601	540	0.00073	SLO 3	-0.056	-0.183	-0.341	-0.441	si
1060	1011.9	-421.1	-15	1609	540	0.000729	SLO 3	-0.058	-0.149	-0.341	-0.439	si
1062	1065.9	-421.1	-15	1611	540	0.000729	SLO 3	-0.058	-0.151	-0.341	-0.44	si
1058	957.9	-421.1	-15	1607	540	0.000726	SLO 3	-0.059	-0.151	-0.341	-0.438	si
1160	1201.9	-217.1	-15	1641	540	0.000739	SLO 4	-0.046	-0.154	-0.332	-0.448	si
832	1289.2	-970.2	-15	1573	540	0.000729	SLO 4	-0.054	-0.157	-0.331	-0.452	si
1041	1201.9	-436.1	-15	1601	540	0.000727	SLO 4	-0.055	-0.155	-0.332	-0.449	si
830	1390	-991.9	-15	1571	540	0.000724	SLO 4	-0.056	-0.162	-0.33	-0.456	si
841	893.2	-884.9	-15	1576	540	0.000724	SLO 4	-0.047	-0.154	-0.331	-0.438	si
1160	1201.9	-217.1	-15	1641	540	0.001206	SLO 5	-0.058	-0.302	-0.415	-0.868	si
1060	1011.9	-421.1	-15	1609	540	0.001195	SLO 5	-0.071	-0.298	-0.407	-0.87	si
1040	821.9	-436.1	-15	1600	540	0.001194	SLO 5	-0.07	-0.301	-0.406	-0.872	si
1058	957.9	-421.1	-15	1607	540	0.001194	SLO 5	-0.072	-0.299	-0.407	-0.871	si
1062	1065.9	-421.1	-15	1611	540	0.001192	SLO 5	-0.071	-0.3	-0.407	-0.87	si
1160	1201.9	-217.1	-15	1641	540	0.001198	SLO 6	-0.058	-0.305	-0.394	-0.879	si
1060	1011.9	-421.1	-15	1609	540	0.001189	SLO 6	-0.07	-0.299	-0.393	-0.874	si
1062	1065.9	-421.1	-15	1611	540	0.001188	SLO 6	-0.07	-0.301	-0.393	-0.876	si
1041	1201.9	-436.1	-15	1601	540	0.001188	SLO 6	-0.067	-0.306	-0.393	-0.879	si
841	893.2	-884.9	-15	1576	540	0.001187	SLO 6	-0.059	-0.302	-0.39	-0.871	si
2480	20	-265	1691	2522	1739	0.000472	SLO 7	0.551	0.418	0.569	0.431	si
1203	20	-42	-15	2538	1739	0.000401	SLO 7	0.014	0.035	0.595	0.431	si
1583	20	-696.8	540	1918	1023	0.000394	SLO 7	0.173	0.151	0.329	0.261	si
1644	1201.9	-202.4	540	1977	1023	0.000388	SLO 7	0.187	0.127	0.359	0.202	si
1581	169.8	-729.1	540	1916	1023	0.000388	SLO 7	0.172	0.148	0.327	0.253	si
2480	20	-265	1691	2522	1739	0.000508	SLO 8	0.61	0.15	0.629	0.525	si
1203	20	-42	-15	2538	1739	0.000469	SLO 8	0.013	0.041	0.678	0.525	si
1583	20	-696.8	540	1918	1023	0.000436	SLO 8	0.177	0.182	0.339	0.317	si
1581	169.8	-729.1	540	1916	1023	0.000421	SLO 8	0.175	0.174	0.335	0.3	si
1644	1201.9	-202.4	540	1977	1023	0.00042	SLO 8	0.209	0.116	0.4	0.184	si
1060	1011.9	-421.1	-15	1609	540	0.000836	SLO 9	-0.019	-0.234	-0.134	-0.683	si
1058	957.9	-421.1	-15	1607	540	0.000834	SLO 9	-0.019	-0.235	-0.134	-0.683	si

Nodo inferiore				Nodo superiore		Spost. rel.	Comb.	Spostamento inferiore		Spostamento superiore		S.V.
I.	Pos.			I.	Pos.			X	Y	X	Y	
	X	Y	Z		Z		N.b.					
1062	1065.9	-421.1	-15	1611	540	0.000833	SLO 9	-0.018	-0.235	-0.134	-0.682	si
841	893.2	-884.9	-15	1576	540	0.000832	SLO 9	-0.009	-0.237	-0.129	-0.683	si
1160	1201.9	-217.1	-15	1641	540	0.000832	SLO 9	-0.01	-0.237	-0.136	-0.681	si
832	1289.2	-970.2	-15	1573	540	0.000842	SLO 10	-0.017	-0.243	-0.133	-0.695	si
1041	1201.9	-436.1	-15	1601	540	0.000836	SLO 10	-0.014	-0.241	-0.121	-0.693	si
1160	1201.9	-217.1	-15	1641	540	0.000836	SLO 10	-0.01	-0.24	-0.115	-0.692	si
830	1390	-991.9	-15	1571	540	0.000836	SLO 10	-0.019	-0.249	-0.134	-0.698	si
1060	1011.9	-421.1	-15	1609	540	0.000836	SLO 10	-0.017	-0.235	-0.12	-0.687	si
1644	1201.9	-202.4	540	1977	1023	0.00088	SLO 11	0.467	0.313	0.851	0.495	si
1583	20	-696.8	540	1918	1023	0.000868	SLO 11	0.437	0.345	0.791	0.57	si
1600	821.9	-436.1	540	1936	1023	0.000866	SLO 11	0.452	0.323	0.822	0.517	si
1203	20	-42	-15	2538	1739	0.000864	SLO 11	0.059	0.102	1.34	0.911	si
1607	957.9	-421.1	540	1943	1023	0.000863	SLO 11	0.453	0.319	0.824	0.509	si
1203	20	-42	-15	2538	1739	0.000932	SLO 12	0.058	0.108	1.423	1.006	si
1644	1201.9	-202.4	540	1977	1023	0.00091	SLO 12	0.489	0.302	0.892	0.477	si
1583	20	-696.8	540	1918	1023	0.000907	SLO 12	0.441	0.376	0.801	0.626	si
1600	821.9	-436.1	540	1936	1023	0.000892	SLO 12	0.466	0.325	0.849	0.523	si
1581	169.8	-729.1	540	1916	1023	0.00089	SLO 12	0.438	0.367	0.795	0.606	si
1644	1201.9	-202.4	540	1977	1023	0.000706	SLO 13	0.405	-0.117	0.74	-0.18	si
1611	1065.9	-421.1	540	1947	1023	0.000681	SLO 13	0.392	-0.115	0.715	-0.176	si
1609	1011.9	-421.1	540	1945	1023	0.000681	SLO 13	0.392	-0.115	0.715	-0.174	si
1601	1201.9	-436.1	540	1937	1023	0.000681	SLO 13	0.391	-0.117	0.714	-0.18	si
1607	957.9	-421.1	540	1943	1023	0.00068	SLO 13	0.392	-0.114	0.715	-0.171	si
1644	1201.9	-202.4	540	1977	1023	0.000735	SLO 14	0.42	-0.125	0.768	-0.193	si
1611	1065.9	-421.1	540	1947	1023	0.000701	SLO 14	0.401	-0.12	0.734	-0.182	si
1601	1201.9	-436.1	540	1937	1023	0.000701	SLO 14	0.4	-0.125	0.732	-0.193	si
1609	1011.9	-421.1	540	1945	1023	0.0007	SLO 14	0.401	-0.117	0.734	-0.178	si
1607	957.9	-421.1	540	1943	1023	0.000699	SLO 14	0.401	-0.115	0.734	-0.174	si
1644	1201.9	-202.4	540	1977	1023	0.001005	SLO 15	0.586	0.181	1.059	0.288	si
1600	821.9	-436.1	540	1936	1023	0.000976	SLO 15	0.567	0.191	1.023	0.309	si
1607	957.9	-421.1	540	1943	1023	0.000976	SLO 15	0.568	0.187	1.025	0.301	si
1609	1011.9	-421.1	540	1945	1023	0.000975	SLO 15	0.568	0.186	1.025	0.298	si
1611	1065.9	-421.1	540	1947	1023	0.000974	SLO 15	0.568	0.184	1.025	0.295	si
1644	1201.9	-202.4	540	1977	1023	0.00103	SLO 16	0.601	0.174	1.088	0.275	si
1600	821.9	-436.1	540	1936	1023	0.000995	SLO 16	0.576	0.192	1.041	0.313	si
1203	20	-42	-15	2538	1739	0.000994	SLO 16	0.075	0.06	1.713	0.662	si
1607	957.9	-421.1	540	1943	1023	0.000994	SLO 16	0.577	0.185	1.044	0.299	si
1609	1011.9	-421.1	540	1945	1023	0.000993	SLO 16	0.577	0.183	1.044	0.293	si

6.5 Verifica effetti secondo ordine

Quota inf.: quota inferiore esprimibile come livello, falda, piano orizzontale alla Z specificata, espressa con notazione breve. esprimibile come livello, falda, piano orizzontale alla Z specificata. [cm]

Quota sup.: quota superiore esprimibile come livello, falda, piano orizzontale alla Z specificata, espressa con notazione breve. esprimibile come livello, falda, piano orizzontale alla Z specificata. [cm]

Comb.: combinazione.

N.b.: nome breve o compatto della combinazione di carico.

Carico verticale: carico verticale. [daN]

Spostamento: spostamento medio di interpiano. [cm]

Forza orizzontale totale: forza orizzontale totale. [daN]

Altezza del piano: altezza del piano. [cm]

Theta: coefficiente Theta formula (7.3.2) § 7.3.1 NTC 2008. Il valore è adimensionale.

Quota inf.	Quota sup.	Comb.	Carico verticale	Spostamento	Forza orizzontale totale	Altezza del piano	Theta
		N.b.					
L1	L2	SLV 1	1117913	1.047	53168	317	0.069
L1	L2	SLV 2	1117913	1.046	53168	317	0.069
L1	L2	SLV 3	1070472	0.609	67418	317	0.03
L1	L2	SLV 4	1070472	0.608	67418	317	0.03
L1	L2	SLV 5	1186800	1.201	63155	317	0.071
L1	L2	SLV 6	1186800	1.2	63155	317	0.071
L1	L2	SLV 7	1028663	0.278	75545	317	0.012
L1	L2	SLV 8	1028663	0.278	75545	317	0.012
L1	L2	SLV 9	1198405	0.91	75545	317	0.046
L1	L2	SLV 10	1198405	0.909	75545	317	0.045
L1	L2	SLV 11	1040268	0.605	63155	317	0.031
L1	L2	SLV 12	1040268	0.606	63155	317	0.031
L1	L2	SLV 13	1156596	0.321	67418	317	0.017
L1	L2	SLV 14	1156596	0.319	67418	317	0.017
L1	L2	SLV 15	1109155	0.53	53168	317	0.035
L1	L2	SLV 16	1109155	0.53	53168	317	0.035
L2	L3	SLV 1	819995	2.495	59321	555	0.062
L2	L3	SLV 2	819995	2.483	59321	555	0.062
L2	L3	SLV 3	812177	1.534	59888	555	0.037
L2	L3	SLV 4	812177	1.521	59888	555	0.037
L2	L3	SLV 5	841559	2.559	71516	555	0.054
L2	L3	SLV 6	841559	2.545	71516	555	0.054
L2	L3	SLV 7	815502	0.715	71987	555	0.015
L2	L3	SLV 8	815502	0.734	71987	555	0.015
L2	L3	SLV 9	852226	1.748	71987	555	0.037
L2	L3	SLV 10	852226	1.74	71987	555	0.037
L2	L3	SLV 11	826168	1.71	71516	555	0.036
L2	L3	SLV 12	826168	1.73	71516	555	0.036
L2	L3	SLV 13	855550	1.223	59888	555	0.031
L2	L3	SLV 14	855550	1.239	59888	555	0.032
L2	L3	SLV 15	847733	1.878	59321	555	0.048
L2	L3	SLV 16	847733	1.894	59321	555	0.049
L3	L4	SLV 1	599158	2.161	47956	483	0.056
L3	L4	SLV 2	599158	2.147	47956	483	0.056
L3	L4	SLV 3	576855	1.295	48102	483	0.032
L3	L4	SLV 4	576855	1.279	48102	483	0.032
L3	L4	SLV 5	626599	2.208	50189	483	0.057
L3	L4	SLV 6	626599	2.191	50189	483	0.057
L3	L4	SLV 7	552255	0.753	50329	483	0.017
L3	L4	SLV 8	552255	0.777	50329	483	0.018
L3	L4	SLV 9	627815	1.491	50329	483	0.039
L3	L4	SLV 10	627815	1.482	50329	483	0.038
L3	L4	SLV 11	553472	1.671	50189	483	0.038
L3	L4	SLV 12	553472	1.696	50189	483	0.039
L3	L4	SLV 13	603215	1.242	48102	483	0.032
L3	L4	SLV 14	603215	1.26	48102	483	0.033
L3	L4	SLV 15	580912	1.851	47956	483	0.046
L3	L4	SLV 16	580912	1.869	47956	483	0.047
L4	L5	SLV 1	375490	1.29	36392	316	0.042
L4	L5	SLV 2	375490	1.282	36392	316	0.042
L4	L5	SLV 3	386899	0.754	33502	316	0.028
L4	L5	SLV 4	386899	0.746	33502	316	0.027
L4	L5	SLV 5	368358	1.373	34423	316	0.046
L4	L5	SLV 6	368358	1.363	34423	316	0.046
L4	L5	SLV 7	406387	0.457	31352	316	0.019
L4	L5	SLV 8	406387	0.471	31352	316	0.019
L4	L5	SLV 9	373654	0.965	31352	316	0.036
L4	L5	SLV 10	373654	0.959	31352	316	0.036
L4	L5	SLV 11	411682	0.977	34423	316	0.037
L4	L5	SLV 12	411682	0.992	34423	316	0.038
L4	L5	SLV 13	393142	0.691	33502	316	0.026
L4	L5	SLV 14	393142	0.701	33502	316	0.026
L4	L5	SLV 15	404550	1.04	36392	316	0.037
L4	L5	SLV 16	404550	1.051	36392	316	0.037
L5	L6	SLV 1	160594	1.366	17455	352	0.036
L5	L6	SLV 2	160594	1.358	17455	352	0.035
L5	L6	SLV 3	159836	0.795	14257	352	0.025

Quota inf.	Quota sup.	Comb. N.b.	Carico verticale	Spostamento	Forza orizzontale totale	Altezza del piano	Theta
L5	L6	SLV 4	159836	0,787	14257	352	0,025
L5	L6	SLV 5	160364	1,489	15390	352	0,044
L5	L6	SLV 6	160364	1,475	15390	352	0,044
L5	L6	SLV 7	157837	0,452	11637	352	0,017
L5	L6	SLV 8	157837	0,462	11637	352	0,018
L5	L6	SLV 9	159408	1,067	11637	352	0,042
L5	L6	SLV 10	159408	1,053	11637	352	0,041
L5	L6	SLV 11	156881	0,966	15390	352	0,028
L5	L6	SLV 12	156881	0,976	15390	352	0,028
L5	L6	SLV 13	157409	0,623	14257	352	0,02
L5	L6	SLV 14	157409	0,621	14257	352	0,019
L5	L6	SLV 15	156651	0,981	17455	352	0,025
L5	L6	SLV 16	156651	0,984	17455	352	0,025
L6	L7	SLV 1	88888	0,156	11291	48	0,026
L6	L7	SLV 2	88888	0,151	11291	48	0,025
L6	L7	SLV 3	87979	0,079	8118	48	0,018
L6	L7	SLV 4	87979	0,073	8118	48	0,017
L6	L7	SLV 5	90160	0,185	10865	48	0,032
L6	L7	SLV 6	90160	0,177	10865	48	0,031
L6	L7	SLV 7	87130	0,09	7515	48	0,022
L6	L7	SLV 8	87130	0,096	7515	48	0,023
L6	L7	SLV 9	90341	0,138	7515	48	0,035
L6	L7	SLV 10	90341	0,13	7515	48	0,033
L6	L7	SLV 11	87312	0,152	10865	48	0,025
L6	L7	SLV 12	87312	0,159	10865	48	0,027
L6	L7	SLV 13	89493	0,099	8118	48	0,023
L6	L7	SLV 14	89493	0,1	8118	48	0,023
L6	L7	SLV 15	88584	0,148	11291	48	0,024
L6	L7	SLV 16	88584	0,151	11291	48	0,025
L2	L7	SLV 1	88888	7,678	11291	1754	0,034
L2	L7	SLV 2	88888	7,511	11291	1754	0,034
L2	L7	SLV 3	87979	4,561	8118	1754	0,028
L2	L7	SLV 4	87979	4,388	8118	1754	0,027
L2	L7	SLV 5	90160	7,93	10865	1754	0,038
L2	L7	SLV 6	90160	7,726	10865	1754	0,037
L2	L7	SLV 7	87130	2,701	7515	1754	0,018
L2	L7	SLV 8	87130	2,975	7515	1754	0,02
L2	L7	SLV 9	90341	5,377	7515	1754	0,037
L2	L7	SLV 10	90341	5,25	7515	1754	0,036
L2	L7	SLV 11	87312	5,941	10865	1754	0,027
L2	L7	SLV 12	87312	6,22	10865	1754	0,028
L2	L7	SLV 13	89493	4,355	8118	1754	0,027
L2	L7	SLV 14	89493	4,545	8118	1754	0,029
L2	L7	SLV 15	88584	6,542	11291	1754	0,029
L2	L7	SLV 16	88584	6,742	11291	1754	0,03
L5	L7	SLV 1	88888	1,533	11291	400	0,03
L5	L7	SLV 2	88888	1,527	11291	400	0,03
L5	L7	SLV 3	87979	0,886	8118	400	0,024
L5	L7	SLV 4	87979	0,879	8118	400	0,024
L5	L7	SLV 5	90160	1,669	10865	400	0,035
L5	L7	SLV 6	90160	1,665	10865	400	0,035
L5	L7	SLV 7	87130	0,544	7515	400	0,016
L5	L7	SLV 8	87130	0,563	7515	400	0,016
L5	L7	SLV 9	90341	1,202	7515	400	0,036
L5	L7	SLV 10	90341	1,206	7515	400	0,036
L5	L7	SLV 11	87312	1,14	10865	400	0,023
L5	L7	SLV 12	87312	1,159	10865	400	0,023
L5	L7	SLV 13	89493	0,793	8118	400	0,022
L5	L7	SLV 14	89493	0,813	8118	400	0,022
L5	L7	SLV 15	88584	1,186	11291	400	0,023
L5	L7	SLV 16	88584	1,202	11291	400	0,024
L3	L7	SLV 1	88888	5,068	11291	1199	0,033
L3	L7	SLV 2	88888	5	11291	1199	0,033
L3	L7	SLV 3	87979	2,979	8118	1199	0,027
L3	L7	SLV 4	87979	2,907	8118	1199	0,026
L3	L7	SLV 5	90160	5,304	10865	1199	0,037
L3	L7	SLV 6	90160	5,23	10865	1199	0,036
L3	L7	SLV 7	87130	1,84	7515	1199	0,018
L3	L7	SLV 8	87130	1,969	7515	1199	0,019
L3	L7	SLV 9	90341	3,667	7515	1199	0,037
L3	L7	SLV 10	90341	3,638	7515	1199	0,036
L3	L7	SLV 11	87312	3,96	10865	1199	0,027
L3	L7	SLV 12	87312	4,091	10865	1199	0,027
L3	L7	SLV 13	89493	2,916	8118	1199	0,027
L3	L7	SLV 14	89493	3,019	8118	1199	0,028
L3	L7	SLV 15	88584	4,322	11291	1199	0,028
L3	L7	SLV 16	88584	4,422	11291	1199	0,029

6.6 Verifica deformabilità torsionale struttura
Quota inf.: quota inferiore dell'interpiano per il quale è stata valutata la rigidezza relativa. esprimibile come livello, falda, piano orizzontale alla Z specificata. [cm]
Quota sup.: quota superiore dell'interpiano per il quale è stata valutata la rigidezza relativa. esprimibile come livello, falda, piano orizzontale alla Z specificata. [cm]
KUx: rigidezza relativa alla traslazione in direzione globale X. [daN/cm]
KUy: rigidezza relativa alla traslazione in direzione globale Y. [daN/cm]
KRz: rigidezza relativa alla rotazione attorno l'asse globale Z. [daN*cm/rad]
L: dimensione in pianta, lungo l'asse globale X, dell'edificio. [cm]
B: dimensione in pianta, lungo l'asse globale Y, dell'edificio. [cm]
Is: radice quadrata di (L²+B²)/12. [cm]
rx/Is: rapporto rx/Is. Il valore è adimensionale.
ry/Is: rapporto ry/Is. Il valore è adimensionale.

Quota inf.	Quota sup.	KUx	KUy	KRz	L	B	Is	rx/Is	ry/Is
L1	L2	446577	215596	5,0764E012	1370	972	485	6,95	10,01
L2	L3	106510	109763	2,8560E011	1870	929	603	2,72	2,68
L3	L4	105706	124309	3,3124E011	1870	929	603	2,94	2,71
L4	L5	177543	187592	4,5795E011	1908	979	619	2,59	2,52
L5	L6	218002	157535	4,3564E011	1586	899	526	2,69	3,16
L6	L7	226851	1996861	2,3546E012	1370	379	410	7,85	2,65

6.7 Baricentri delle rigidzze
Quota: quota alla quale è stato valutato il baricentro delle rigidzze. esprimibile come livello, falda, piano orizzontale alla Z specificata. [cm]
Posizione: posizione in pianta del baricentro delle rigidzze.
X: coordinata X. [cm]
Y: coordinata Y. [cm]
Baricentro masse: posizione in pianta del baricentro delle masse.
X: coordinata X. [cm]
Y: coordinata Y. [cm]
Distanza: distanza in pianta tra il baricentro delle rigidzze e il baricentro delle masse.
X: coordinata X. [cm]
Y: coordinata Y. [cm]

Quota	Posizione		Baricentro masse		Distanza	
	X	Y	X	Y	X	Y
L6	922,5	-850,8	576,4	-807,3	346	-43,5
L7	929,2	-838,9	733,6	-254,4	195,6	-584,5

6.8 Rigidzze di interpiano
Quota inf.: quota inferiore dell'interpiano per il quale è stata valutata la rigidezza relativa. esprimibile come livello, falda, piano orizzontale alla Z specificata. [cm]
Quota sup.: quota superiore dell'interpiano per il quale è stata valutata la rigidezza relativa. esprimibile come livello, falda, piano orizzontale alla Z specificata. [cm]
KUx: rigidezza relativa alla traslazione in direzione globale X. [daN/cm]
KUy: rigidezza relativa alla traslazione in direzione globale Y. [daN/cm]

Quota inf.		Quota sup.		KÙx		KÙy	
L1		L2		446577		215596	
L2		L3		106510		109763	
L3		L4		105706		124309	
L4		L5		177543		187592	
L5		L6		218002		157535	
L6		L7		226851		1996861	

Livello: livello rispetto a cui è calcolato il taglio. 6.9 Tagli ai livelli

Nome: nome completo del livello.
Cont.: Contesto nel quale viene valutato il taglio.
N.br.: nome breve della condizione o combinazione di carico.
Totale: totale del taglio al livello.

F: forza del taglio. [daN]
X: componente lungo l'asse X globale. [daN]
Y: componente lungo l'asse Y globale. [daN]
Z: componente lungo l'asse Z globale. [daN]
Aste verticali: contributo al taglio totale dato dalle aste verticali.
F: forza del taglio. [daN]
X: componente lungo l'asse X globale. [daN]
Y: componente lungo l'asse Y globale. [daN]
Z: componente lungo l'asse Z globale. [daN]
Pareti: contributo al taglio totale dato dalle pareti e piastre generiche verticali.
F: forza del taglio. [daN]
X: componente lungo l'asse X globale. [daN]
Y: componente lungo l'asse Y globale. [daN]
Z: componente lungo l'asse Z globale. [daN]

Livello Nome	Cont. N.br.	Totale			Aste verticali			Pareti		
		X	Y	Z	X	Y	Z	X	Y	Z
Fondazione	Pesi	0	0	-945129	0	0	0	0	0	-945129
Fondazione	Port.	0	0	-220342	0	0	0	0	0	-220342
Fondazione	Variabile C - Musei	0	0	-193344	0	0	0	0	0	-193344
Fondazione	Neve	0	0	-9842	0	0	0	0	0	-9842
Fondazione	X SLV	36204	19193	-32072	0	0	0	36204	19193	-32072
Fondazione	Y SLV	-1965	43255	-19935	0	0	0	-1965	43255	-19935
Fondazione	EY SLV	0	0	0	0	0	0	0	0	0
Fondazione	EX SLV	0	0	0	0	0	0	0	0	0
Fondazione	X SLO	28534	16427	-27089	0	0	0	28534	16427	-27089
Fondazione	Y SLO	-1696	36557	-16847	0	0	0	-1696	36557	-16847
Fondazione	EY SLO	0	0	0	0	0	0	0	0	0
Fondazione	EX SLO	0	0	0	0	0	0	0	0	0
Fondazione	R Ux	1	0	0	0	0	0	1	0	0
Fondazione	R Uy	0	1	0	0	0	0	0	1	0
Fondazione	R Rz	0	0	0	0	0	0	0	0	0
Fondazione	SLU 1	0	0	-945129	0	0	0	0	0	-945129
Fondazione	SLU 2	0	0	-959892	0	0	0	0	0	-959892
Fondazione	SLU 3	0	0	-1162903	0	0	0	0	0	-1162903
Fondazione	SLU 4	0	0	-1235145	0	0	0	0	0	-1235145
Fondazione	SLU 5	0	0	-1242526	0	0	0	0	0	-1242526
Fondazione	SLU 6	0	0	-1275642	0	0	0	0	0	-1275642
Fondazione	SLU 7	0	0	-1290405	0	0	0	0	0	-1290405
Fondazione	SLU 8	0	0	-1493416	0	0	0	0	0	-1493416
Fondazione	SLU 9	0	0	-1565658	0	0	0	0	0	-1565658
Fondazione	SLU 10	0	0	-1573039	0	0	0	0	0	-1573039
Fondazione	SLU 11	0	0	-1228667	0	0	0	0	0	-1228667
Fondazione	SLU 12	0	0	-1243430	0	0	0	0	0	-1243430
Fondazione	SLU 13	0	0	-1446441	0	0	0	0	0	-1446441
Fondazione	SLU 14	0	0	-1518683	0	0	0	0	0	-1518683
Fondazione	SLU 15	0	0	-1526065	0	0	0	0	0	-1526065
Fondazione	SLU 16	0	0	-1559180	0	0	0	0	0	-1559180
Fondazione	SLU 17	0	0	-1573943	0	0	0	0	0	-1573943
Fondazione	SLU 18	0	0	-1776955	0	0	0	0	0	-1776955
Fondazione	SLU 19	0	0	-1849196	0	0	0	0	0	-1849196
Fondazione	SLU 20	0	0	-1856578	0	0	0	0	0	-1856578
Fondazione	SLE RA 1	0	0	-1165471	0	0	0	0	0	-1165471
Fondazione	SLE RA 2	0	0	-1175313	0	0	0	0	0	-1175313
Fondazione	SLE RA 3	0	0	-1310654	0	0	0	0	0	-1310654
Fondazione	SLE RA 4	0	0	-1358815	0	0	0	0	0	-1358815
Fondazione	SLE RA 5	0	0	-1363736	0	0	0	0	0	-1363736
Fondazione	SLE FR 1	0	0	-1165471	0	0	0	0	0	-1165471
Fondazione	SLE FR 2	0	0	-1167439	0	0	0	0	0	-1167439
Fondazione	SLE FR 3	0	0	-1283446	0	0	0	0	0	-1283446
Fondazione	SLE FR 4	0	0	-1300812	0	0	0	0	0	-1300812
Fondazione	SLE QP 1	0	0	-1165471	0	0	0	0	0	-1165471
Fondazione	SLE QP 2	0	0	-1281477	0	0	0	0	0	-1281477
Fondazione	SLO 1	-28025	-27394	-1249334	0	0	0	-28025	-27394	-1249334
Fondazione	SLO 2	-28025	-27394	-1249334	0	0	0	-28025	-27394	-1249334
Fondazione	SLO 3	-29043	-5459	-1259442	0	0	0	-29043	-5459	-1259442
Fondazione	SLO 4	-29043	-5459	-1259442	0	0	0	-29043	-5459	-1259442
Fondazione	SLO 5	-6864	-41485	-1256504	0	0	0	-6864	-41485	-1256504
Fondazione	SLO 6	-6864	-41485	-1256504	0	0	0	-6864	-41485	-1256504
Fondazione	SLO 7	-10256	31630	-1290197	0	0	0	-10256	31630	-1290197
Fondazione	SLO 8	-10256	31630	-1290197	0	0	0	-10256	31630	-1290197
Fondazione	SLO 9	10256	-31630	-1272757	0	0	0	10256	-31630	-1272757
Fondazione	SLO 10	10256	-31630	-1272757	0	0	0	10256	-31630	-1272757
Fondazione	SLO 11	6864	41485	-1306451	0	0	0	6864	41485	-1306451
Fondazione	SLO 12	6864	41485	-1306451	0	0	0	6864	41485	-1306451
Fondazione	SLO 13	29043	5459	-1303512	0	0	0	29043	5459	-1303512
Fondazione	SLO 14	29043	5459	-1303512	0	0	0	29043	5459	-1303512
Fondazione	SLO 15	28025	27394	-1313620	0	0	0	28025	27394	-1313620
Fondazione	SLO 16	28025	27394	-1313620	0	0	0	28025	27394	-1313620
Fondazione	SLV 1	-35615	-32169	-1243424	0	0	0	-35615	-32169	-1243424
Fondazione	SLV 2	-35615	-32169	-1243424	0	0	0	-35615	-32169	-1243424
Fondazione	SLV 3	-36794	-6216	-1255385	0	0	0	-36794	-6216	-1255385
Fondazione	SLV 4	-36794	-6216	-1255385	0	0	0	-36794	-6216	-1255385
Fondazione	SLV 5	-8896	-49013	-1251920	0	0	0	-8896	-49013	-1251920
Fondazione	SLV 6	-8896	-49013	-1251920	0	0	0	-8896	-49013	-1251920
Fondazione	SLV 7	-12826	37497	-1291790	0	0	0	-12826	37497	-1291790
Fondazione	SLV 8	-12826	37497	-1291790	0	0	0	-12826	37497	-1291790
Fondazione	SLV 9	12826	-37497	-1271164	0	0	0	12826	-37497	-1271164
Fondazione	SLV 10	12826	-37497	-1271164	0	0	0	12826	-37497	-1271164
Fondazione	SLV 11	8896	49013	-1311034	0	0	0	8896	49013	-1311034
Fondazione	SLV 12	8896	49012	-1311034	0	0	0	8896	49012	-1311034
Fondazione	SLV 13	36794	6216	-1307569	0	0	0	36794	6216	-1307569
Fondazione	SLV 14	36794	6216	-1307569	0	0	0	36794	6216	-1307569
Fondazione	SLV 15	35615	32169	-1319530	0	0	0	35615	32169	-1319530
Fondazione	SLV 16	35615	32169	-1319530	0	0	0	35615	32169	-1319530
Fondazione	SLV FO 1	-39176	-35386	-1239619	0	0	0	-39176	-35386	-1239619
Fondazione	SLV FO 2	-39176	-35386	-1239619	0	0	0	-39176	-35386	-1239619
Fondazione	SLV FO 3	-40473	-6838	-1252776	0	0	0	-40473	-6838	-1252776
Fondazione	SLV FO 4	-40473	-6838	-1252776	0	0	0	-40473	-6838	-1252776
Fondazione	SLV FO 5	-9786	-53914	-1248965	0	0	0	-9786	-53914	-1248965
Fondazione	SLV FO 6	-9786	-53914	-1248965	0	0	0	-9786	-53914	-1248965
Fondazione	SLV FO 7	-14109	41247	-1292822	0	0	0	-14109	41247	-1292822
Fondazione	SLV FO 8	-14109	41247	-1292822	0	0	0	-14109	41247	-1292822
Fondazione	SLV FO 9	14109	-41247	-1270132	0	0	0	14109	-41247	-1270132
Fondazione	SLV FO 10	14109	-41247	-1270132	0	0	0	14109	-41247	-1270132
Fondazione	SLV FO 11	9786	53914	-1313990	0	0	0	9786	53914	-1313990

Livello Nome	Cont. N.br.	Totale			Aste verticali			Pareti		
		X	F Y	Z	X	F Y	Z	X	F Y	Z
Fondazione	SLV FO 12	9786	53914	-1313990	0	0	0	9786	53914	-1313990
Fondazione	SLV FO 13	40473	6838	-1310178	0	0	0	40473	6838	-1310178
Fondazione	SLV FO 14	40473	6838	-1310178	0	0	0	40473	6838	-1310178
Fondazione	SLV FO 15	39176	35386	-1323335	0	0	0	39176	35386	-1323335
Fondazione	SLV FO 16	39176	35386	-1323335	0	0	0	39176	35386	-1323335
Fondazione	CRTFF Ux+	1	0	0	0	0	0	1	0	0
Fondazione	CRTFF Ux-	-1	0	0	0	0	0	-1	0	0
Fondazione	CRTFF Uy+	0	1	0	0	0	0	0	1	0
Fondazione	CRTFF Uy-	0	-1	0	0	0	0	0	-1	0
Fondazione	CRTFF Rz+	0	0	0	0	0	0	0	0	0
Fondazione	CRTFF Rz-	0	0	0	0	0	0	0	0	0
Piano Terra	Pes1	0	0	-704292	-1799	408	-84913	1799	-408	-619378
Piano Terra	Port.	0	0	-166877	-459	92	-19953	459	-92	-146925
Piano Terra	Variabile C - Musei	0	0	-143867	-418	57	-26292	418	-57	-117575
Piano Terra	Neve	0	0	-9842	-28	6	-1915	28	-6	-7927
Piano Terra	X SLV	58769	-1424	-36281	6943	-1300	-1526	51825	-124	-34755
Piano Terra	Y SLV	-1427	80240	128123	4379	-750	9283	-5806	80991	118840
Piano Terra	EY SLV	0	0	0	-53	14	-7	53	-14	7
Piano Terra	EX SLV	0	0	0	109	-29	12	-109	29	-12
Piano Terra	X SLO	50429	-982	-30769	5936	-1112	-1286	44493	130	-29483
Piano Terra	Y SLO	-1195	67806	108317	3703	-635	7846	-4898	68441	100471
Piano Terra	EY SLO	0	0	0	-54	14	-7	54	-14	7
Piano Terra	EX SLO	0	0	0	112	-29	13	-112	29	-13
Piano Terra	R Ux	1	0	0	0	0	0	1	0	0
Piano Terra	R Uy	0	1	0	0	0	0	0	1	0
Piano Terra	R Rz	0	0	0	0	0	0	0	0	0
Piano Terra	SLU 1	0	0	-704292	-1799	408	-84913	1799	-408	-619378
Piano Terra	SLU 2	0	0	-719055	-1841	417	-87786	1841	-417	-631268
Piano Terra	SLU 3	0	0	-870115	-2280	476	-115393	2280	-476	-754722
Piano Terra	SLU 4	0	0	-920093	-2426	493	-124352	2426	-493	-795741
Piano Terra	SLU 5	0	0	-927474	-2447	498	-125788	2447	-498	-801686
Piano Terra	SLU 6	0	0	-954607	-2488	546	-114842	2488	-546	-839765
Piano Terra	SLU 7	0	0	-969371	-2530	555	-117715	2530	-555	-851655
Piano Terra	SLU 8	0	0	-1120431	-2969	615	-145322	2969	-615	-975109
Piano Terra	SLU 9	0	0	-1170408	-3115	632	-154280	3115	-632	-1016128
Piano Terra	SLU 10	0	0	-1177790	-3136	636	-155717	3136	-636	-1022073
Piano Terra	SLU 11	0	0	-915579	-2339	530	-110388	2339	-530	-805192
Piano Terra	SLU 12	0	0	-930342	-2381	539	-113260	2381	-539	-817082
Piano Terra	SLU 13	0	0	-1081403	-2820	599	-140867	2820	-599	-940536
Piano Terra	SLU 14	0	0	-1131380	-2966	616	-149826	2966	-616	-981554
Piano Terra	SLU 15	0	0	-1138762	-2987	620	-151262	2987	-620	-987500
Piano Terra	SLU 16	0	0	-1165895	-3028	669	-140316	3028	-669	-1025579
Piano Terra	SLU 17	0	0	-1180658	-3070	677	-143189	3070	-677	-1037469
Piano Terra	SLU 18	0	0	-1331719	-3509	737	-170796	3509	-737	-1160923
Piano Terra	SLU 19	0	0	-1381696	-3655	754	-179754	3655	-754	-1201941
Piano Terra	SLU 20	0	0	-1389078	-3676	759	-181191	3676	-759	-1207887
Piano Terra	SLE RA 1	0	0	-871169	-2258	500	-104866	2258	-500	-766303
Piano Terra	SLE RA 2	0	0	-881011	-2287	506	-106781	2287	-506	-774230
Piano Terra	SLE RA 3	0	0	-981718	-2579	546	-125186	2579	-546	-856532
Piano Terra	SLE RA 4	0	0	-1015036	-2676	557	-131158	2676	-557	-883878
Piano Terra	SLE RA 5	0	0	-1019957	-2690	560	-132116	2690	-560	-887842
Piano Terra	SLE FR 1	0	0	-871169	-2258	500	-104866	2258	-500	-766303
Piano Terra	SLE FR 2	0	0	-873137	-2264	501	-105249	2264	-501	-767888
Piano Terra	SLE FR 3	0	0	-959458	-2515	535	-121024	2515	-535	-838433
Piano Terra	SLE FR 4	0	0	-971876	-2551	540	-123270	2551	-540	-848606
Piano Terra	SLE QP 1	0	0	-871169	-2258	500	-104866	2258	-500	-766303
Piano Terra	SLE QP 2	0	0	-957489	-2509	534	-120641	2509	-534	-836848
Piano Terra	SLO 1	-50070	-19360	-959216	-9468	1813	-121699	-40602	-21174	-837517
Piano Terra	SLO 2	-50070	-19360	-959216	-9643	1859	-121720	-40427	-21219	-837496
Piano Terra	SLO 3	-50787	21323	-894226	-7247	1433	-116991	-43541	19891	-777235
Piano Terra	SLO 4	-50787	21323	-894226	-7421	1478	-117013	-43366	19845	-777213
Piano Terra	SLO 5	-13934	-67512	-1056575	-7865	1469	-128087	-6069	-68980	-928489
Piano Terra	SLO 6	-13934	-67512	-1056575	-8120	1536	-128116	-5813	-69047	-928459
Piano Terra	SLO 7	-16323	68101	-839942	-459	200	-112395	-15864	67901	-727547
Piano Terra	SLO 8	-16323	68101	-839942	-715	267	-112424	-15609	67834	-727518
Piano Terra	SLO 9	16323	-68101	-1075036	-4304	802	-128858	20627	-68903	-946178
Piano Terra	SLO 10	16323	-68101	-1075036	-4559	869	-128889	20883	-68969	-946149
Piano Terra	SLO 11	13934	67512	-858403	3102	-467	-113166	10832	67979	-745237
Piano Terra	SLO 12	13934	67512	-858403	2847	-400	-113196	11087	67912	-745207
Piano Terra	SLO 13	50787	-21323	-1020753	2403	-410	-124270	48385	-20914	-896483
Piano Terra	SLO 14	50787	-21323	-1020753	2228	-364	-124292	48559	-20959	-896461
Piano Terra	SLO 15	50070	19360	-955763	4625	-791	-119562	45446	20151	-836200
Piano Terra	SLO 16	50070	19360	-955763	4450	-745	-119584	45620	20105	-836179
Piano Terra	SLV 1	-58341	-22648	-959645	-10681	2037	-121889	-47660	-24685	-837756
Piano Terra	SLV 2	-58341	-22648	-959645	-10852	2081	-121911	-47489	-24730	-837734
Piano Terra	SLV 3	-59197	25496	-882771	-8053	1586	-116320	-51143	23910	-766451
Piano Terra	SLV 4	-59197	25496	-882771	-8224	1631	-116341	-50972	23865	-766430
Piano Terra	SLV 5	-16204	-79813	-1074728	-8846	1642	-129452	-7358	-81455	-945276
Piano Terra	SLV 6	-16204	-79813	-1074728	-9096	1707	-129481	-7108	-81520	-945247
Piano Terra	SLV 7	-19057	80668	-818482	-88	141	-110886	-80527	707596	-707596
Piano Terra	SLV 8	-19057	80668	-818482	-338	207	-110915	-18719	80461	-707567
Piano Terra	SLV 9	19057	-80668	-1096497	-4680	862	-130367	23737	-81530	-966129
Piano Terra	SLV 10	19057	-80668	-1096497	-4930	928	-130396	23987	-81595	-966100
Piano Terra	SLV 11	16204	79813	-840250	4078	-639	-111802	12126	80452	-728449
Piano Terra	SLV 12	16204	79813	-840250	3828	-573	-111831	12376	80386	-728420
Piano Terra	SLV 13	59197	-25496	-1032207	3206	-563	-124942	55991	-24933	-907266
Piano Terra	SLV 14	59197	-25496	-1032207	3035	-518	-124963	56162	-24978	-907245
Piano Terra	SLV 15	58341	22648	-955334	5833	-1013	-119372	52507	23661	-835962
Piano Terra	SLV 16	58341	22648	-955334	5662	-968	-119393	52678	23616	-835940
Piano Terra	SLV FO 1	-64175	-24913	-959861	-11498	2187	-122014	-52677	-27100	-837846
Piano Terra	SLV FO 2	-64175	-24913	-959861	-11686	2236	-122037	-52489	-27149	-837823
Piano Terra	SLV FO 3	-65116	28046	-875299	-8608	1692	-115888	-56509	26354	-759412
Piano Terra	SLV FO 4	-65116	28046	-875299	-8796	1741	-115911	-56320	26305	-759388
Piano Terra	SLV FO 5	-17824	-87794	-1086452	-9480	1753	-130333	-8345	-89547	-956119
Piano Terra	SLV FO 6	-17824	-87794	-1086452	-9755	1825	-130365	-8069	-89619	-956087
Piano Terra	SLV FO 7	-20963	88734	-804581	154	102	-109911	-21117	88633	-694670
Piano Terra	SLV FO 8	-20963	88734	-804581	-121	174	-109943	-20842	88561	-694638
Piano Terra	SLV FO 9	20963	-88734	-1110398	-4897	895	-131340	25860	-89629	-979058
Piano Terra	SLV FO 10	20963	-88734	-1110398	-5172	967	-131372	26135	-89701	-979026
Piano Terra	SLV FO 11	17824	87794	-828527	4737	-756	-110918	13088	88550	-717609
Piano Terra	SLV FO 12	17824	87794	-828527	4461	-684	-110950	13363	88478	-717577
Piano Terra	SLV FO 13	65116	-28046	-1039679	3777	-672	-125372	61339	-27373	-914308
Piano Terra	SLV FO 14	65116	-28046	-1039679	3589	-623	-125395	61527	-27423	-914284
Piano Terra	SLV FO 15	64175	24913	-955118	6668	-1168	-119245	57507	26080	-835873
Piano Terra	SLV FO 16	64175	24913	-955118	6479	-1118	-119268	57695	26031	-835850
Piano Terra	CRTFF Ux+	1	0	0	0	0	0	1	0	0
Piano Terra	CRTFF Ux-	-1	0	0	0	0	0	-1	0	0
Piano Terra	CRTFF Uy+	0	1	0	0	0	0	0	1	0
Piano Terra	CRTFF Uy-	0	-1	0	0	0	0	0	-1	0
Piano Terra	CRTFF Rz+	0	0	0	0	0	0	0	0	0
Piano Terra	CRTFF Rz-	0	0	0	0	0	0	0	0	0
Piano 1	Pes1	0	0	-512558	1037	-185	-62376	-1037	185	-450182
Piano 1	Port.	0	0	-130475	294	10	-16258	-294	-10	-114218
Piano 1	Variabile C - Musei	0	0	-97440	273	-42	-17490	-273	42	-79950
Piano 1	Neve	0	0	-9842	-14	11	-1923	14	-11	-7920
Piano 1	X SLV	49968	157	-20925	13435	-2882	-1009	36534	3039	-19916

Livello Nome	Cont. N.br.	Totale			Aste verticali			Pareti		
		X	F Y	Z	X	F Y	Z	X	F Y	Z
Piano 1	Y SLV	-2	50764	16361	-164	-32	6421	162	50796	9939
Piano 1	EY SLV	0	0	0	-55	11	2	55	-11	-2
Piano 1	EX SLV	0	0	0	116	-24	-6	-116	24	6
Piano 1	X SLO	42315	245	-17199	11363	-2438	-845	30952	2683	-16355
Piano 1	Y SLO	0	42910	13946	-139	-27	5429	138	42937	8517
Piano 1	EY SLO	0	0	0	-57	12	2	57	-12	-2
Piano 1	EX SLO	0	0	0	118	-24	-6	-118	24	6
Piano 1	R Ux	1	0	0	0	0	0	1	0	0
Piano 1	R Uy	0	1	0	0	0	0	0	1	0
Piano 1	R Rz	0	0	0	0	0	0	0	0	0
Piano 1	SLU 1	0	0	-512558	1037	-185	-62376	-1037	185	-450182
Piano 1	SLU 2	0	0	-527321	1015	-168	-65260	-1015	168	-462061
Piano 1	SLU 3	0	0	-629633	1302	-212	-83624	-1302	212	-546009
Piano 1	SLU 4	0	0	-658718	1446	-247	-88610	-1446	247	-570107
Piano 1	SLU 5	0	0	-666099	1435	-239	-90052	-1435	239	-576047
Piano 1	SLU 6	0	0	-708271	1478	-170	-86762	-1478	170	-621509
Piano 1	SLU 7	0	0	-723034	1457	-153	-89646	-1457	153	-633388
Piano 1	SLU 8	0	0	-825346	1743	-197	-108010	-1743	197	-717336
Piano 1	SLU 9	0	0	-854431	1887	-233	-112997	-1887	233	-741434
Piano 1	SLU 10	0	0	-861812	1877	-225	-114439	-1877	225	-747374
Piano 1	SLU 11	0	0	-666325	1348	-240	-81089	-1348	240	-585236
Piano 1	SLU 12	0	0	-681088	1326	-223	-83973	-1326	223	-597116
Piano 1	SLU 13	0	0	-783400	1613	-267	-102337	-1613	267	-681063
Piano 1	SLU 14	0	0	-812485	1757	-303	-107323	-1757	303	-705162
Piano 1	SLU 15	0	0	-819866	1746	-294	-108765	-1746	294	-711101
Piano 1	SLU 16	0	0	-862039	1789	-226	-105475	-1789	226	-756563
Piano 1	SLU 17	0	0	-876802	1768	-209	-108359	-1768	209	-768443
Piano 1	SLU 18	0	0	-979113	2054	-253	-126723	-2054	253	-852390
Piano 1	SLU 19	0	0	-1008198	2199	-288	-131709	-2199	288	-876489
Piano 1	SLU 20	0	0	-1015580	2188	-280	-133151	-2188	280	-882428
Piano 1	SLE RA 1	0	0	-643033	1331	-175	-78634	-1331	175	-564400
Piano 1	SLE RA 2	0	0	-652875	1317	-164	-80556	-1317	164	-572319
Piano 1	SLE RA 3	0	0	-721083	1508	-193	-92799	-1508	193	-628285
Piano 1	SLE RA 4	0	0	-740473	1604	-217	-96123	-1604	217	-644350
Piano 1	SLE RA 5	0	0	-745394	1597	-211	-97084	-1597	211	-648310
Piano 1	SLE FR 1	0	0	-643033	1331	-175	-78634	-1331	175	-564400
Piano 1	SLE FR 2	0	0	-645002	1328	-173	-79018	-1328	173	-565984
Piano 1	SLE FR 3	0	0	-703466	1492	-198	-89512	-1492	198	-613954
Piano 1	SLE FR 4	0	0	-711241	1522	-204	-90876	-1522	204	-620365
Piano 1	SLE QP 1	0	0	-643033	1331	-175	-78634	-1331	175	-564400
Piano 1	SLE QP 2	0	0	-701497	1495	-200	-89127	-1495	200	-612370
Piano 1	SLO 1	-42315	-13118	-688482	-9735	2227	-89915	-32581	-15345	-598567
Piano 1	SLO 2	-42315	-13118	-688482	-9919	2265	-89907	-32396	-15383	-598574
Piano 1	SLO 3	-42315	12628	-680114	-9818	2211	-86658	-32497	10417	-593456
Piano 1	SLO 4	-42315	12628	-680114	-10002	2249	-86650	-32313	10379	-593464
Piano 1	SLO 5	-12694	-42984	-710283	-1640	530	-94309	-11054	-43514	-615974
Piano 1	SLO 6	-12694	-42984	-710283	-1911	586	-94296	-10784	-43570	-615988
Piano 1	SLO 7	-12695	-42837	-682391	-1918	476	-83452	-10777	-42360	-598940
Piano 1	SLO 8	-12695	-42837	-682391	-2188	532	-83439	-10507	-42305	-598953
Piano 1	SLO 9	-12695	-42837	-720603	-5178	-933	-94816	-7517	-41904	-625787
Piano 1	SLO 10	-12695	-42837	-720603	-4907	-877	-94803	-7788	-41960	-625800
Piano 1	SLO 11	-12694	-42984	-692711	-4900	-986	-83959	-7794	-43970	-608752
Piano 1	SLO 12	-12694	-42984	-692711	-4630	-931	-83946	-8065	-43914	-608766
Piano 1	SLO 13	-12628	-13118	-722880	-12992	-2649	-91604	-29324	-9979	-631276
Piano 1	SLO 14	-12628	-13118	-722880	-12808	-2611	-91597	-29508	-10017	-631284
Piano 1	SLO 15	-13118	-13118	-714513	-12909	-2665	-88347	-29407	-15783	-626166
Piano 1	SLO 16	-13118	-13118	-714513	-12724	-2627	-88339	-29591	-15745	-626173
Piano 1	SLV 1	-49968	-15387	-685481	-11801	2673	-90049	-38167	-18059	-595432
Piano 1	SLV 2	-49968	-15387	-685481	-11981	2710	-90041	-37987	-18096	-595440
Piano 1	SLV 3	-49969	15072	-675664	-11899	2654	-86196	-38070	-12418	-589468
Piano 1	SLV 4	-49969	15072	-675664	-12079	2691	-86188	-37890	-12381	-589476
Piano 1	SLV 5	-14988	-50811	-711581	-2239	669	-95253	-12749	-51480	-616328
Piano 1	SLV 6	-14988	-50811	-711581	-2504	724	-95240	-12484	-51535	-616341
Piano 1	SLV 7	-14993	-50717	-678859	-2567	605	-82410	-12426	-50112	-596449
Piano 1	SLV 8	-14993	-50717	-678859	-2832	660	-82397	-12160	-50057	-596462
Piano 1	SLV 9	-14993	-50717	-724135	-5822	-1060	-95858	-9171	-49657	-628278
Piano 1	SLV 10	-14993	-50717	-724135	-5557	-1006	-95845	-9436	-49711	-628291
Piano 1	SLV 11	14988	50811	-691414	5494	-1124	-83015	9495	51935	-608399
Piano 1	SLV 12	14988	50811	-691414	5229	-1069	-83002	9760	51880	-608412
Piano 1	SLV 13	49969	-15072	-727330	15069	-3091	-92066	34900	-11981	-635264
Piano 1	SLV 14	49969	-15072	-727330	14889	-3054	-92058	35080	-12018	-635272
Piano 1	SLV 15	49968	15387	-717514	14971	-3110	-88213	34997	18497	-629300
Piano 1	SLV 16	49968	15387	-717514	14790	-3073	-88206	35177	18460	-629308
Piano 1	SLV FO 1	-54965	-16925	-683879	-13130	2960	-90141	-41834	-19885	-593738
Piano 1	SLV FO 2	-54965	-16925	-683879	-13329	3001	-90133	-41636	-19926	-593747
Piano 1	SLV FO 3	-54966	16579	-673081	-13238	2939	-85903	-41728	13640	-587178
Piano 1	SLV FO 4	-54966	16579	-673081	-13437	2980	-85894	-41529	13599	-587187
Piano 1	SLV FO 5	-16487	-55892	-712589	-2612	756	-95865	-13875	-56648	-616724
Piano 1	SLV FO 6	-16487	-55892	-712589	-2904	816	-95851	-13583	-56708	-616738
Piano 1	SLV FO 7	-16492	55788	-676595	-2973	686	-81738	-13519	55103	-594857
Piano 1	SLV FO 8	-16492	55788	-676595	-3265	746	-81724	-13227	55043	-594871
Piano 1	SLV FO 9	16492	-55788	-726399	6255	-1146	-96531	10237	-54642	-629869
Piano 1	SLV FO 10	16492	-55788	-726399	5963	-1086	-96517	10529	-54702	-629883
Piano 1	SLV FO 11	16487	55892	-690406	5894	-1216	-82404	10594	57109	-608002
Piano 1	SLV FO 12	16487	55892	-690406	5602	-1156	-82389	10885	57048	-608016
Piano 1	SLV FO 13	54966	-16579	-729914	16427	-3380	-92360	38539	-13199	-637553
Piano 1	SLV FO 14	54966	-16579	-729914	16228	-3339	-92352	38738	-13240	-637562
Piano 1	SLV FO 15	54965	16925	-719115	16318	-3401	-88122	38646	20326	-630993
Piano 1	SLV FO 16	54965	16925	-719115	16120	-3360	-88113	38845	20285	-631002
Piano 1	CRTFF Ux+	1	0	0	0	0	0	0	0	0
Piano 1	CRTFF Ux-	-1	0	0	0	0	0	0	-1	0
Piano 1	CRTFF Uy+	0	1	0	0	0	0	0	0	0
Piano 1	CRTFF Uy-	0	-1	0	0	0	0	0	-1	0
Piano 1	CRTFF Rz+	0	0	0	0	0	0	0	0	0
Piano 1	CRTFF Rz-	0	0	0	0	0	0	0	0	0
Piano 2	Pesi	0	0	-332987	1313	-560	-41222	-1313	560	-291766
Piano 2	Port.	0	0	-94914	172	-487	-12783	-172	487	-82131
Piano 2	Variabile C - Musei	0	0	-51853	277	-73	-8757	-277	73	-43096
Piano 2	Neve	0	0	-9842	-37	-47	-1949	37	47	-7893
Piano 2	X SLV	36715	-3139	12048	-2603	-469	24667	-536	3579	
Piano 2	Y SLV	2848	34059	22862	110	3023	3076	33949	19838	
Piano 2	EY SLV	0	0	0	-156	35	1	156	-35	-1
Piano 2	EX SLO	0	0	0	320	-71	-3	-320	71	3
Piano 2	X SLO	31481	-2557	2815	10288	-2223	-389	21193	-334	3204
Piano 2	Y SLO	2414	28795	19359	-193	93	2557	2606	28702	16802
Piano 2	EY SLO	0	0	0	35	159	1	159	-35	-1
Piano 2	EX SLO	0	0	0	327	-72	-3	-327	72	3
Piano 2	R Ux	1	0	0	0	0	0	1	0	0
Piano 2	R Uy	0	1	0	0	0	0	0	1	0
Piano 2	R Rz	0	0	0	0	0	0	0	0	0
Piano 2	SLU 1	0	0	-332987	1313	-560	-41222	-1313	560	-291766
Piano 2	SLU 2	0	0	-347750	1258	-630	-44145	-1258	630	-303606
Piano 2	SLU 3	0	0	-402196	1549	-707	-53339	-1549	707	-348857
Piano 2	SLU 4	0	0	-410766	1728	-669	-54356	-1728	669	-356410
Piano 2	SLU 5	0	0	-418148	1701	-704	-55818	-1701	704	-362330
Piano 2	SLU 6	0	0	-475359	1571	-1291	-60396	-1571	1291	-414962
Piano 2	SLU 7	0	0	-490122	1516	-1361	-63320	-1516	1361	-426802

Livello Nome	Cont. N.br.	Totale			Aste verticali			Pareti		
		X	F Y	Z	X	F Y	Z	X	F Y	Z
Piano 2	SLU 8	0	0	-544567	1807	-1437	-72514	-1807	1437	-472053
Piano 2	SLU 9	0	0	-553138	1987	-1400	-73531	-1987	1400	-479606
Piano 2	SLU 10	0	0	-560519	1959	-1435	-74993	-1959	1435	-485526
Piano 2	SLU 11	0	0	-432884	1707	-728	-53588	-1707	728	-379296
Piano 2	SLU 12	0	0	-447647	1652	-798	-56511	-1652	798	-391136
Piano 2	SLU 13	0	0	-502092	1942	-875	-65706	-1942	875	-436386
Piano 2	SLU 14	0	0	-510663	2122	-837	-66723	-2122	837	-443940
Piano 2	SLU 15	0	0	-518044	2095	-872	-68184	-2095	872	-449860
Piano 2	SLU 16	0	0	-575255	1965	-1459	-72763	-1965	1459	-502492
Piano 2	SLU 17	0	0	-590018	1910	-1529	-75686	-1910	1529	-514332
Piano 2	SLU 18	0	0	-644463	2201	-1605	-84880	-2201	1605	-559583
Piano 2	SLU 19	0	0	-653034	2381	-1568	-85898	-2381	1568	-567136
Piano 2	SLU 20	0	0	-660415	2353	-1603	-87359	-2353	1603	-573056
Piano 2	SLE RA 1	0	0	-427902	1485	-1047	-54005	-1485	1047	-373897
Piano 2	SLE RA 2	0	0	-437744	1448	-1094	-55954	-1448	1094	-381790
Piano 2	SLE RA 3	0	0	-474040	1642	-1145	-62083	-1642	1145	-411957
Piano 2	SLE RA 4	0	0	-479754	1762	-1120	-62761	-1762	1120	-416993
Piano 2	SLE RA 5	0	0	-484675	1744	-1143	-63736	-1744	1143	-420940
Piano 2	SLE FR 1	0	0	-427902	1485	-1047	-54005	-1485	1047	-373897
Piano 2	SLE FR 2	0	0	-429870	1478	-1056	-54395	-1478	1056	-375475
Piano 2	SLE FR 3	0	0	-460982	1644	-1100	-59648	-1644	1100	-401333
Piano 2	SLE FR 4	0	0	-464198	1679	-1098	-60134	-1679	1098	-404064
Piano 2	SLE QF 1	0	0	-427902	1485	-1047	-54005	-1485	1047	-373897
Piano 2	SLE QF 2	0	0	-459013	1651	-1091	-59259	-1651	1091	-399754
Piano 2	SLO 1	-32205	-6082	-467636	-8321	1047	-59638	-23884	-7129	-407797
Piano 2	SLO 2	-32205	-6082	-467636	-8837	1161	-59635	-23368	-7243	-408000
Piano 2	SLO 3	-30757	11195	-456020	-8437	1103	-58105	-22320	10092	-397916
Piano 2	SLO 4	-30757	11195	-456020	-8952	1217	-58101	-21805	9978	-397919
Piano 2	SLO 5	-11858	-28028	-479216	-867	-600	-61702	-10990	-27429	-417515
Piano 2	SLO 6	-11858	-28028	-479216	-1617	-434	-61696	-10240	-27595	-417521
Piano 2	SLO 7	-7031	29562	-440499	-1253	-414	-56588	-5778	29976	-383911
Piano 2	SLO 8	-7031	29562	-440499	-2003	-248	-56582	-5028	29810	-383916
Piano 2	SLO 9	7031	-29562	-477527	5306	-1933	-61935	1725	-27629	-415592
Piano 2	SLO 10	7031	-29562	-477527	4556	-1767	-61929	2475	-27795	-415598
Piano 2	SLO 11	11858	28028	-438810	4920	-1748	-56822	6938	29776	-381988
Piano 2	SLO 12	11858	28028	-438810	4170	-1582	-56816	7688	29610	-381994
Piano 2	SLO 13	30757	-11195	-462006	12255	-3398	-60416	18502	-7797	-401590
Piano 2	SLO 14	30757	-11195	-462006	11740	-3284	-60413	19017	-7911	-401593
Piano 2	SLO 15	32205	6082	-450391	12139	-3342	-58882	20066	9425	-391508
Piano 2	SLO 16	32205	6082	-450391	11624	-3229	-58879	20581	9311	-391512
Piano 2	SLV 1	-37569	-7079	-468982	-10075	1423	-59699	-27494	-8502	-409283
Piano 2	SLV 2	-37569	-7079	-468982	-10580	1535	-59695	-26989	-8614	-409286
Piano 2	SLV 3	-35860	13356	-455265	-10212	1489	-57885	-25648	11867	-397380
Piano 2	SLV 4	-35860	13356	-455265	-10717	1601	-57881	-25143	11756	-397383
Piano 2	SLV 5	-13863	-33118	-482808	-1367	-501	-62144	-12495	-32616	-420663
Piano 2	SLV 6	-13863	-33118	-482808	-2102	-339	-62138	-11761	-32779	-420669
Piano 2	SLV 7	-8166	35001	-437085	-1824	-281	-56098	-6342	35282	-380987
Piano 2	SLV 8	-8166	35001	-437085	-2558	-119	-56092	-5608	35119	-380993
Piano 2	SLV 9	8166	-35001	-480942	5861	-2063	-62425	2305	-32938	-418516
Piano 2	SLV 10	8166	-35001	-480942	5126	-1900	-62420	3040	-33101	-418522
Piano 2	SLV 11	13863	33118	-435219	5405	-1843	-56379	8458	34960	-378840
Piano 2	SLV 12	13863	33118	-435219	4670	-1680	-56373	9193	34798	-378845
Piano 2	SLV 13	35860	-13356	-462762	14020	-3782	-60636	21841	-9574	-402126
Piano 2	SLV 14	35860	-13356	-462762	13515	-3670	-60633	22345	-9686	-402129
Piano 2	SLV 15	37569	7079	-449045	13883	-3716	-58822	23687	10795	-390223
Piano 2	SLV 16	37569	7079	-449045	13378	-3604	-58819	24191	10684	-390226
Piano 2	SLV FO 1	-41326	-7787	-469979	-11248	1674	-59743	-30078	-9462	-410236
Piano 2	SLV FO 2	-41326	-7787	-469979	-11803	1797	-59739	-29523	-9584	-410239
Piano 2	SLV FO 3	-39446	14692	-454890	-11399	1747	-57747	-28048	12945	-397143
Piano 2	SLV FO 4	-39446	14692	-454890	-11954	1870	-57744	-27493	12822	-397146
Piano 2	SLV FO 5	-15249	-36429	-485187	-1669	-442	-62433	-13580	-35987	-422754
Piano 2	SLV FO 6	-15249	-36429	-485187	-2477	-263	-62426	-12772	-36166	-422761
Piano 2	SLV FO 7	-8983	38501	-434892	-2171	-200	-55782	-6812	38701	-379110
Piano 2	SLV FO 8	-8983	38501	-434892	-2979	-21	-55775	-6003	38522	-379116
Piano 2	SLV FO 9	8983	-38501	-483135	6282	-2160	-62742	2701	-36341	-420392
Piano 2	SLV FO 10	8983	-38501	-483135	5474	-1981	-62736	3509	-36520	-420399
Piano 2	SLV FO 11	15249	36429	-432839	5780	-1918	-56091	9469	38347	-376748
Piano 2	SLV FO 12	15249	36429	-432839	4972	-1739	-56085	10277	38169	-376755
Piano 2	SLV FO 13	39446	-14692	-463136	15257	-4051	-60774	24190	-10641	-402363
Piano 2	SLV FO 14	39446	-14692	-463136	14701	-3928	-60770	24745	-10763	-402366
Piano 2	SLV FO 15	41326	7787	-448048	15106	-3979	-58778	26220	11766	-389269
Piano 2	SLV FO 16	41326	7787	-448048	14551	-3856	-58775	26776	11643	-389273
Piano 2	CRITFP Ux+	1	0	0	0	0	0	1	0	0
Piano 2	CRITFP Ux-	-1	0	0	0	0	0	-1	0	0
Piano 2	CRITFP Uy+	1	0	0	0	0	0	1	0	0
Piano 2	CRITFP Uy-	0	-1	0	0	0	0	0	-1	0
Piano 2	CRITFP Rz+	0	0	0	0	0	0	0	0	0
Piano 2	CRITFP Rz-	0	0	0	0	0	0	0	0	0
Piano 3	Pesi	0	0	-186334	347	769	-22784	-347	-769	-163549
Piano 3	Port.	0	0	-58019	-35	1420	-9292	35	-1420	-48727
Piano 3	Variabile C - Musei	0	0	0	153	-30	-54	-153	30	54
Piano 3	Neve	0	0	-9842	-77	186	-1983	77	-186	-7859
Piano 3	X SLV	21464	-3671	-1982	6073	-1338	-122	15391	-2333	-1860
Piano 3	Y SLV	4029	19699	4977	-146	3	840	4176	19696	4137
Piano 3	EY SLV	0	0	0	-136	29	1	136	-29	-1
Piano 3	EX SLV	0	0	0	280	-59	-2	-280	59	2
Piano 3	X SLO	18715	-3155	-2025	5212	-1148	-101	13503	-2006	-1924
Piano 3	Y SLO	3410	16656	4219	-124	2	711	3534	16653	3508
Piano 3	EY SLO	0	0	0	-139	29	1	139	-29	-1
Piano 3	EX SLO	0	0	0	286	-61	-2	-286	61	2
Piano 3	R Ux	1	0	0	0	0	0	1	0	0
Piano 3	R Uy	0	1	0	0	0	0	0	1	0
Piano 3	R Rz	0	0	0	0	0	0	0	0	0
Piano 3	SLU 1	0	0	-186334	347	769	-22784	-347	-769	-163549
Piano 3	SLU 2	0	0	-201097	232	1048	-25758	-232	-1048	-175339
Piano 3	SLU 3	0	0	-201097	392	1016	-25815	-392	-1016	-175282
Piano 3	SLU 4	0	0	-186334	576	723	-22865	-576	-723	-163469
Piano 3	SLU 5	0	0	-193715	519	863	-24352	-519	-863	-169363
Piano 3	SLU 6	0	0	-273362	295	2898	-36722	-295	-2898	-236640
Piano 3	SLU 7	0	0	-288125	180	3177	-39696	-180	-3177	-248429
Piano 3	SLU 8	0	0	-288125	340	3145	-39752	-340	-3145	-248373
Piano 3	SLU 9	0	0	-273362	524	2853	-36803	-524	-2853	-236560
Piano 3	SLU 10	0	0	-280744	467	2992	-38290	-467	-2992	-242454
Piano 3	SLU 11	0	0	-242234	451	999	-29619	-451	-999	-212614
Piano 3	SLU 12	0	0	-256997	336	1278	-32593	-336	-1278	-224403
Piano 3	SLU 13	0	0	-256997	496	1246	-32650	-496	-1246	-224347
Piano 3	SLU 14	0	0	-242234	681	954	-29700	-681	-954	-212533
Piano 3	SLU 15	0	0	-249615	623	1093	-31187	-623	-1093	-218428
Piano 3	SLU 16	0	0	-329262	399	3129	-43557	-399	-3129	-285705
Piano 3	SLU 17	0	0	-344025	284	3408	-46531	-284	-3408	-297494
Piano 3	SLU 18	0	0	-344025	444	3376	-46588	-444	-3376	-297438
Piano 3	SLU 19	0	0	-329262	629	3083	-43638	-629	-3083	-285624
Piano 3	SLU 20	0	0	-336644	571	3223	-45125	-571	-3223	-291519
Piano 3	SLE RA 1	0	0	-244353	313	2188	-32076	-313	-2188	-212277
Piano 3	SLE RA 2	0	0	-254195	236	2374	-34059	-236	-2374	-220136
Piano 3	SLE RA 3	0	0	-254195	343	2353	-34096	-343	-2353	-220098
Piano 3	SLE RA 4	0	0	-244353	465	2158	-32130	-465	-2158	-212223

Livello Nome	Cont. N.br.	Totale			Aste verticali			Pareti		
		X	F Y	Z	X	F Y	Z	X	F Y	Z
Piano 3	SLE RA 5	0	0	-249274	427	2251	-33121	-427	-2251	-216153
Piano 3	SLE FR 1	0	0	-244353	313	2188	-32076	-313	-2188	-212277
Piano 3	SLE FR 2	0	0	-246321	297	2226	-32473	-297	-2226	-213849
Piano 3	SLE FR 3	0	0	-246321	389	2207	-32505	-389	-2207	-213816
Piano 3	SLE FR 4	0	0	-244353	419	2167	-32114	-419	-2167	-212239
Piano 3	SLE QP 1	0	0	-244353	313	2188	-32076	-313	-2188	-212277
Piano 3	SLE QP 2	0	0	-244353	404	2170	-32108	-404	-2170	-212244
Piano 3	SLO 1	-19738	-1842	-243594	-4546	3270	-32222	-15192	-5112	-211372
Piano 3	SLO 2	-19738	-1842	-243594	-4996	3365	-32219	-14742	-5208	-211374
Piano 3	SLO 3	-17692	8151	-241062	-4621	3272	-31796	-13071	4880	-209267
Piano 3	SLO 4	-17692	8151	-241062	-5070	3367	-31793	-12622	4784	-209269
Piano 3	SLO 5	-9025	-15709	-247964	-709	2443	-32791	-8316	-18152	-215173
Piano 3	SLO 6	-9025	-15709	-247964	-1363	2582	-32786	-7661	-18291	-215177
Piano 3	SLO 7	-2204	17602	-239527	-956	2448	-31370	-1249	15155	-208157
Piano 3	SLO 8	-2204	17602	-239527	-1610	2587	-31365	-594	15016	-208161
Piano 3	SLO 9	2204	-17602	-249179	2419	1754	-32851	-214	-19356	-216327
Piano 3	SLO 10	2204	-17602	-249179	1764	1893	-32847	440	-19495	-216332
Piano 3	SLO 11	9025	15709	-240741	2172	1759	-31430	6853	13951	-209311
Piano 3	SLO 12	9025	15709	-240741	1517	1898	-31426	7508	13812	-209316
Piano 3	SLO 13	17692	-8151	-247643	5878	974	-32424	11814	-9125	-215219
Piano 3	SLO 14	17692	-8151	-247643	5429	1069	-32421	12263	-9220	-215222
Piano 3	SLO 15	19738	1842	-245112	5804	975	-31997	13934	867	-213114
Piano 3	SLO 16	19738	1842	-245112	5355	1070	-31995	14383	772	-213117
Piano 3	SLV 1	-22673	-2239	-243864	-5405	3461	-32239	-17268	-5700	-211624
Piano 3	SLV 2	-22673	-2239	-243864	-5845	3554	-32237	-16828	-5793	-211627
Piano 3	SLV 3	-20255	9581	-240877	-5493	3463	-31735	-14762	6118	-209142
Piano 3	SLV 4	-20255	9581	-240877	-5933	3556	-31732	-14322	6024	-209145
Piano 3	SLV 5	-10469	-18597	-248735	-951	2501	-32914	-9518	-21098	-215821
Piano 3	SLV 6	-10469	-18597	-248735	-1592	2637	-32910	-8877	-21234	-215826
Piano 3	SLV 7	-2410	20800	-238781	-1243	2506	-31234	-1166	18293	-207547
Piano 3	SLV 8	-2410	20800	-238781	-1885	2643	-31229	-525	18157	-207552
Piano 3	SLV 9	2410	-20800	-249924	2693	1698	-32987	-283	-22498	-216937
Piano 3	SLV 10	2410	-20800	-249924	2052	1834	-32983	358	-22634	-216941
Piano 3	SLV 11	10469	18597	-239970	2401	1703	-31307	8068	16894	-208663
Piano 3	SLV 12	10469	18597	-239970	1759	1840	-31303	8709	16758	-208667
Piano 3	SLV 13	20255	-9581	-247828	6742	784	-32484	13514	-10365	-215344
Piano 3	SLV 14	20255	-9581	-247828	6301	878	-32481	13954	-10458	-215346
Piano 3	SLV 15	22673	2239	-244842	6654	786	-31980	16019	1453	-212861
Piano 3	SLV 16	22673	2239	-244842	6213	879	-31977	16460	1359	-212864
Piano 3	SLV FO 1	-24940	-2462	-243815	-5986	3590	-32252	-18954	-6053	-211563
Piano 3	SLV FO 2	-24940	-2462	-243815	-6470	3693	-32249	-18470	-6155	-211565
Piano 3	SLV FO 3	-22281	10539	-240530	-6083	3592	-31698	-16198	6947	-208832
Piano 3	SLV FO 4	-22281	10539	-240530	-6567	3695	-31695	-15714	6844	-208835
Piano 3	SLV FO 5	-11516	-20457	-249173	-1086	2534	-32994	-10429	-22991	-216179
Piano 3	SLV FO 6	-11516	-20457	-249173	-1792	2684	-32990	-9724	-23141	-216184
Piano 3	SLV FO 7	-2651	22880	-238224	-1408	2540	-31146	-1243	20340	-207078
Piano 3	SLV FO 8	-2651	22880	-238224	-2114	2690	-31141	-537	20190	-207082
Piano 3	SLV FO 9	2651	-22880	-250482	2922	1651	-33075	-271	-24531	-217406
Piano 3	SLV FO 10	2651	-22880	-250482	2217	1800	-33071	434	-24680	-217411
Piano 3	SLV FO 11	11516	20457	-239532	2600	1657	-31227	8915	18800	-208305
Piano 3	SLV FO 12	11516	20457	-239532	1895	1807	-31222	9621	18650	-208310
Piano 3	SLV FO 13	22281	-10539	-248175	7375	646	-32522	14906	-11184	-215654
Piano 3	SLV FO 14	22281	-10539	-248175	6891	749	-32519	15390	-11287	-215657
Piano 3	SLV FO 15	24940	2462	-244890	7279	648	-31967	17662	1815	-212923
Piano 3	SLV FO 16	24940	2462	-244890	6794	750	-31964	18146	1712	-212926
Piano 3	CRTFP Ux+	1	0	0	0	0	0	1	0	0
Piano 3	CRTFP Ux-	-1	0	0	0	0	0	-1	0	0
Piano 3	CRTFP Uy+	0	1	0	0	0	0	0	1	0
Piano 3	CRTFP Uy-	0	-1	0	0	0	0	0	-1	0
Piano 3	CRTFP Rz+	0	0	0	0	0	0	0	0	0
Piano 3	CRTFP Rz-	0	0	0	0	0	0	0	0	0
Copertura 1	Pesi	0	0	-64202	0	0	0	0	0	-64202
Copertura 1	Port.	0	0	-36745	0	0	0	0	0	-36745
Copertura 1	Variabile C - Musei	0	0	0	0	0	0	0	0	0
Copertura 1	Neve	0	0	-5684	0	0	0	0	0	-5684
Copertura 1	X SLV	9268	-185	-281	0	0	0	9268	-185	-281
Copertura 1	Y SLV	7352	8370	1254	0	0	0	7352	8370	1254
Copertura 1	EY SLV	0	0	0	0	0	0	0	0	0
Copertura 1	EX SLV	0	0	0	0	0	0	0	0	0
Copertura 1	X SLO	8149	-44	-241	0	0	0	8149	-44	-241
Copertura 1	Y SLO	6226	7076	1064	0	0	0	6226	7076	1064
Copertura 1	EY SLO	0	0	0	0	0	0	0	0	0
Copertura 1	EX SLO	0	0	0	0	0	0	0	0	0
Copertura 1	R Ux	1	0	0	0	0	0	1	0	0
Copertura 1	R Uy	0	1	0	0	0	0	0	1	0
Copertura 1	R Rz	0	0	0	0	0	0	0	0	0
Copertura 1	SLU 1	0	0	-64202	0	0	0	0	0	-64202
Copertura 1	SLU 2	0	0	-72728	0	0	0	0	0	-72728
Copertura 1	SLU 3	0	0	-72728	0	0	0	0	0	-72728
Copertura 1	SLU 4	0	0	-64202	0	0	0	0	0	-64202
Copertura 1	SLU 5	0	0	-68465	0	0	0	0	0	-68465
Copertura 1	SLU 6	0	0	-119320	0	0	0	0	0	-119320
Copertura 1	SLU 7	0	0	-127847	0	0	0	0	0	-127847
Copertura 1	SLU 8	0	0	-127847	0	0	0	0	0	-127847
Copertura 1	SLU 9	0	0	-119320	0	0	0	0	0	-119320
Copertura 1	SLU 10	0	0	-123584	0	0	0	0	0	-123584
Copertura 1	SLU 11	0	0	-83463	0	0	0	0	0	-83463
Copertura 1	SLU 12	0	0	-91989	0	0	0	0	0	-91989
Copertura 1	SLU 13	0	0	-91989	0	0	0	0	0	-91989
Copertura 1	SLU 14	0	0	-83463	0	0	0	0	0	-83463
Copertura 1	SLU 15	0	0	-87726	0	0	0	0	0	-87726
Copertura 1	SLU 16	0	0	-138581	0	0	0	0	0	-138581
Copertura 1	SLU 17	0	0	-147107	0	0	0	0	0	-147107
Copertura 1	SLU 18	0	0	-147107	0	0	0	0	0	-147107
Copertura 1	SLU 19	0	0	-138581	0	0	0	0	0	-138581
Copertura 1	SLU 20	0	0	-142844	0	0	0	0	0	-142844
Copertura 1	SLE RA 1	0	0	-100948	0	0	0	0	0	-100948
Copertura 1	SLE RA 2	0	0	-106632	0	0	0	0	0	-106632
Copertura 1	SLE RA 3	0	0	-106632	0	0	0	0	0	-106632
Copertura 1	SLE RA 4	0	0	-100948	0	0	0	0	0	-100948
Copertura 1	SLE RA 5	0	0	-103790	0	0	0	0	0	-103790
Copertura 1	SLE FR 1	0	0	-100948	0	0	0	0	0	-100948
Copertura 1	SLE FR 2	0	0	-102085	0	0	0	0	0	-102085
Copertura 1	SLE FR 3	0	0	-102085	0	0	0	0	0	-102085
Copertura 1	SLE FR 4	0	0	-100948	0	0	0	0	0	-100948
Copertura 1	SLE QP 1	0	0	-100948	0	0	0	0	0	-100948
Copertura 1	SLE QP 2	0	0	-100948	0	0	0	0	0	-100948
Copertura 1	SLO 1	-10016	-2079	-101026	0	0	0	-10016	-2079	-101026
Copertura 1	SLO 2	-10016	-2079	-101026	0	0	0	-10016	-2079	-101026
Copertura 1	SLO 3	-6281	2167	-100387	0	0	0	-6281	2167	-100387
Copertura 1	SLO 4	-6281	2167	-100387	0	0	0	-6281	2167	-100387
Copertura 1	SLO 5	-8670	-7063	-101940	0	0	0	-8670	-7063	-101940
Copertura 1	SLO 6	-8670	-7063	-101940	0	0	0	-8670	-7063	-101940
Copertura 1	SLO 7	3781	7089	-99811	0	0	0	3781	7089	-99811
Copertura 1	SLO 8	3781	7089	-99811	0	0	0	3781	7089	-99811
Copertura 1	SLO 9	-3781	-7089	-102085	0	0	0	-3781	-7089	-102085
Copertura 1	SLO 10	-3781	-7089	-102085	0	0	0	-3781	-7089	-102085

Livello Nome	Cont. N.br.	Totale			Aste verticali			Pareti		
		X	F Y	Z	X	F Y	Z	X	F Y	Z
Copertura 1	SLO 11	8670	7063	-99956	0	0	0	8670	7063	-99956
Copertura 1	SLO 12	8670	7063	-99956	0	0	0	8670	7063	-99956
Copertura 1	SLO 13	6281	-2167	-101508	0	0	0	6281	-2167	-101508
Copertura 1	SLO 14	6281	-2167	-101508	0	0	0	6281	-2167	-101508
Copertura 1	SLO 15	10016	2079	-100870	0	0	0	10016	2079	-100870
Copertura 1	SLO 16	10016	2079	-100870	0	0	0	10016	2079	-100870
Copertura 1	SLV 1	-11474	-2326	-101043	0	0	0	-11474	-2326	-101043
Copertura 1	SLV 2	-11474	-2326	-101043	0	0	0	-11474	-2326	-101043
Copertura 1	SLV 3	-7062	2696	-100290	0	0	0	-7062	2696	-100290
Copertura 1	SLV 4	-7062	2696	-100290	0	0	0	-7062	2696	-100290
Copertura 1	SLV 5	-10132	-8315	-102117	0	0	0	-10132	-8315	-102117
Copertura 1	SLV 6	-10132	-8315	-102117	0	0	0	-10132	-8315	-102117
Copertura 1	SLV 7	4572	8425	-99609	0	0	0	4572	8425	-99609
Copertura 1	SLV 8	4572	8425	-99609	0	0	0	4572	8425	-99609
Copertura 1	SLV 9	-4572	-8425	-102286	0	0	0	-4572	-8425	-102286
Copertura 1	SLV 10	-4572	-8425	-102286	0	0	0	-4572	-8425	-102286
Copertura 1	SLV 11	10132	8315	-99778	0	0	0	10132	8315	-99778
Copertura 1	SLV 12	10132	8315	-99778	0	0	0	10132	8315	-99778
Copertura 1	SLV 13	7062	-2696	-101605	0	0	0	7062	-2696	-101605
Copertura 1	SLV 14	7062	-2696	-101605	0	0	0	7062	-2696	-101605
Copertura 1	SLV 15	11474	2326	-100853	0	0	0	11474	2326	-100853
Copertura 1	SLV 16	11474	2326	-100853	0	0	0	11474	2326	-100853
Copertura 1	SLV FO 1	-12621	-2559	-101052	0	0	0	-12621	-2559	-101052
Copertura 1	SLV FO 2	-12621	-2559	-101052	0	0	0	-12621	-2559	-101052
Copertura 1	SLV FO 3	-7769	2965	-100225	0	0	0	-7769	2965	-100225
Copertura 1	SLV FO 4	-7769	2965	-100225	0	0	0	-7769	2965	-100225
Copertura 1	SLV FO 5	-11146	-9146	-102234	0	0	0	-11146	-9146	-102234
Copertura 1	SLV FO 6	-11146	-9146	-102234	0	0	0	-11146	-9146	-102234
Copertura 1	SLV FO 7	5029	9268	-99475	0	0	0	5029	9268	-99475
Copertura 1	SLV FO 8	5029	9268	-99475	0	0	0	5029	9268	-99475
Copertura 1	SLV FO 9	-5029	-9268	-102420	0	0	0	-5029	-9268	-102420
Copertura 1	SLV FO 10	-5029	-9268	-102420	0	0	0	-5029	-9268	-102420
Copertura 1	SLV FO 11	11146	9146	-99661	0	0	0	11146	9146	-99661
Copertura 1	SLV FO 12	11146	9146	-99661	0	0	0	11146	9146	-99661
Copertura 1	SLV FO 13	7769	-2965	-101671	0	0	0	7769	-2965	-101671
Copertura 1	SLV FO 14	7769	-2965	-101671	0	0	0	7769	-2965	-101671
Copertura 1	SLV FO 15	12621	2559	-100843	0	0	0	12621	2559	-100843
Copertura 1	SLV FO 16	12621	2559	-100843	0	0	0	12621	2559	-100843
Copertura 1	CRTPF Ux+	1	0	0	0	0	0	1	0	0
Copertura 1	CRTPF Ux-	-1	0	0	0	0	0	-1	0	0
Copertura 1	CRTPF Uy+	0	1	0	0	0	0	0	1	0
Copertura 1	CRTPF Uy-	0	-1	0	0	0	0	0	-1	0
Copertura 1	CRTPF Rz+	0	0	0	0	0	0	0	0	0
Copertura 1	CRTPF Rz-	0	0	0	0	0	0	0	0	0

6.10 Risposta modale

Modo: identificativo del modo di vibrare.

Periodo: periodo. [s]

Massa X: massa partecipante in direzione globale X. Il valore è adimensionale.

Massa Y: massa partecipante in direzione globale Y. Il valore è adimensionale.

Massa Z: massa partecipante in direzione globale Z. Il valore è adimensionale.

Massa rot X: massa rotazionale partecipante attorno la direzione globale X. Il valore è adimensionale.

Massa rot Y: massa rotazionale partecipante attorno la direzione globale Y. Il valore è adimensionale.

Massa rot Z: massa rotazionale partecipante attorno la direzione globale Z. Il valore è adimensionale.

Totale masse partecipanti:

Traslazione X: 0.946966

Traslazione Y: 0.893473

Traslazione Z: 0

Rotazione X: 0.992441

Rotazione Y: 0.989529

Rotazione Z: 0.791653

Modo	Periodo	Massa X	Massa Y	Massa Z	Massa rot X	Massa rot Y	Massa rot Z
1	0.843792907	0.39669405	0.481047917	0	0.536949184	0.453166092	0.521732672
2	0.750932239	0.472037085	0.410747054	0	0.455396348	0.536303949	0.030316405
3	0.179757339	0.0782348	0.001678438	0	0.000095263	0.000058851	0.23960401

6.11 Equilibrio forze

Contributo: Nome attribuito al sistema risultante.

Fx: Componente X di traslazione del sistema risultante. [daN]

Fy: Componente Y di traslazione del sistema risultante. [daN]

Fz: Componente Z di traslazione del sistema risultante. [daN]

Mx: Componente di momento attorno l'asse X del sistema risultante. [daN*cm]

My: Componente di momento attorno l'asse Y del sistema risultante. [daN*cm]

Mz: Componente di momento attorno l'asse Z del sistema risultante. [daN*cm]

Bilancio in condizione di carico: Pesi strutturali

Contributo	Fx	Fy	Fz	Mx	My	Mz
Applicate	0	0	-1126954.643	531076006	880830530	0
Reazioni	0	0	1126954.643	-531076006	-880830530	0
PDelta	0	0	0	0	0	0
Totale	0	0	0	0	0	0

Bilancio in condizione di carico: Permanenti portati

Contributo	Fx	Fy	Fz	Mx	My	Mz
Applicate	0	0	-268718.027	96107636	190938642	0
Reazioni	0	0	268718.027	-96107636	-190938642	0
PDelta	0	0	0	0	0	0
Totale	0	0	0	0	0	0

Bilancio in condizione di carico: Variabile C - Musei

Contributo	Fx	Fy	Fz	Mx	My	Mz
Applicate	0	0	-229625.872	115520646	168012762	0
Reazioni	0	0	229625.872	-115520646	-168012762	0
PDelta	0	0	0	0	0	0
Totale	0	0	0	0	0	0

Bilancio in condizione di carico: Neve

Contributo	Fx	Fy	Fz	Mx	My	Mz
Applicate	0	0	-14679.651	7095775	10492030	0
Reazioni	0	0	14679.651	-7095775	-10492030	0
PDelta	0	0	0	0	0	0
Totale	0	0	0	0	0	0

Bilancio in condizione di carico: Sisma X SLV

Contributo	Fx	Fy	Fz	Mx	My	Mz
Applicate	100830.77	0	0	0	128749997	48113416
Reazioni	-100830.77	0	0	0	-128749997	-48113416
PDelta	0	0	0	0	0	0
Totale	0	0	0	0	0	0

Bilancio in condizione di carico: Sisma Y SLV

Contributo	Fx	Fy	Fz	Mx	My	Mz
Applicate	0	100830.77	0	-128749997	0	77464491
Reazioni	0	-100830.77	0	128749997	0	-77464491
PDelta	0	0	0	0	0	0
Totale	0	0	0	0	0	0

Bilancio in condizione di carico: Eccentricità Y per sisma X SLV

Contributo	Fx	Fy	Fz	Mx	My	Mz
Applicate	0	0	0	0	0	-2508336
Reazioni	0	0	0	0	0	2508336
PDelta	0	0	0	0	0	0
Totale	0	0	0	0	0	0

Ingresso-Principale

Bilancio in condizione di carico: Eccentricità X per sisma Y SLV						
Contributo	Fx	Fy	Fz	Mx	My	Mz
Applicate	0	0	0	0	0	4896372
Reazioni	0	0	0	0	0	-4896372
PDelta	0	0	0	0	0	0
Totale	0	0	0	0	0	0
Bilancio in condizione di carico: Sisma X SLO						
Contributo	Fx	Fy	Fz	Mx	My	Mz
Applicate	102927,991	0	0	0	131427921	49114147
Reazioni	-102927,991	0	0	0	-131427921	-49114147
PDelta	0	0	0	0	0	0
Totale	0	0	0	0	0	0
Bilancio in condizione di carico: Sisma Y SLO						
Contributo	Fx	Fy	Fz	Mx	My	Mz
Applicate	0	102927,991	0	-131427921	0	79075707
Reazioni	0	-102927,991	0	131427921	0	-79075707
PDelta	0	0	0	0	0	0
Totale	0	0	0	0	0	0
Bilancio in condizione di carico: Eccentricità Y per sisma X SLO						
Contributo	Fx	Fy	Fz	Mx	My	Mz
Applicate	0	0	0	0	0	-2560508
Reazioni	0	0	0	0	0	2560508
PDelta	0	0	0	0	0	0
Totale	0	0	0	0	0	0
Bilancio in condizione di carico: Eccentricità X per sisma Y SLO						
Contributo	Fx	Fy	Fz	Mx	My	Mz
Applicate	0	0	0	0	0	4998214
Reazioni	0	0	0	0	0	-4998214
PDelta	0	0	0	0	0	0
Totale	0	0	0	0	0	0
Bilancio in condizione di carico: Rig. Ux						
Contributo	Fx	Fy	Fz	Mx	My	Mz
Applicate	1	0	0	0	1739	254
Reazioni	-1	0	0	0	-1739	-254
PDelta	0	0	0	0	0	0
Totale	0	0	0	0	0	0
Bilancio in condizione di carico: Rig. Uy						
Contributo	Fx	Fy	Fz	Mx	My	Mz
Applicate	0	1	0	-1739	0	734
Reazioni	0	-1	0	1739	0	-734
PDelta	0	0	0	0	0	0
Totale	0	0	0	0	0	0
Bilancio in condizione di carico: Rig. Rz						
Contributo	Fx	Fy	Fz	Mx	My	Mz
Applicate	0	0	0	0	0	1
Reazioni	0	0	0	0	0	-1
PDelta	0	0	0	0	0	0
Totale	0	0	0	0	0	0

6.12 Risposta di spettro

Spettro: condizione elementare corrispondente allo spettro.
N.b.: nome breve della condizione elementare.
Fx: componente della forza lungo l'asse X, [daN]
Fy: componente della forza lungo l'asse Y, [daN]
Fz: componente della forza lungo l'asse Z, [daN]
Mx: componente della coppia attorno all'asse X, [daN*cm]
My: componente della coppia attorno all'asse Y, [daN*cm]
Mz: componente della coppia attorno all'asse Z, [daN*cm]
Max X: massima reazione lungo l'asse X.
Valore: valore massimo della reazione, [daN]
Angolo: angolo d'ingresso del sisma che provoca il valore massimo della reazione, [deg]
Max Y: massima reazione lungo l'asse Y.
Valore: valore massimo della reazione, [daN]
Angolo: angolo d'ingresso del sisma che provoca il valore massimo della reazione, [deg]
Max Z: massima reazione lungo l'asse Z.
Valore: valore massimo della reazione, [daN]
Angolo: angolo d'ingresso del sisma che provoca il valore massimo della reazione, [deg]

Spettro	Fx	Fy	Fz	Mx	My	Mz	Max X		Max Y		Max Z	
N.b.							Valore	Angolo	Valore	Angolo	Valore	Angolo
X SLV	57566,02	36382,95	0	4,470E07	70648281	3,773E07	58156,34	169	57626,21	95	0	0
Y SLV	36382,95	57492,71	0	7,071E07	4,524E07	4,516E07	58156,34	169	57626,21	95	0	0
X SLO	49048,48	30760,57	0	3,778E07	5,971E07	3,405E07	49512,42	169	48700,45	95	0	0
Y SLO	30760,57	48587,87	0	5,976E07	3,823E07	3,820E07	49512,42	169	48700,45	95	0	0

7 Verifiche

7.1 Verifiche pilastrate C.A.

Rck: resistenza caratteristica compressione cubica del cls
quota: quota della sezione
Asp: area di acciaio di spigolo
copX: copriferro medio lungo X dell'armatura di spigolo
copY: copriferro medio lungo Y dell'armatura di spigolo
Cop: copriferro per aree di parete
ApX: area di acciaio di parete lungo X
ApY: area di acciaio di parete lungo Y
MsdX: momento di calcolo attorno all'asse X
MsdY: momento di calcolo attorno all'asse Y
Nsd: sforzo normale di calcolo
coef: coefficiente di sicurezza
Co: combinazione di carico
SLV: stato limite di salvaguardia della vita
SLU: stato limite ultimo
Ger.: sollecitazioni derivanti da gerarchia delle resistenze
VEDX: taglio di calcolo lungo X
VRdX: resistenza del cls per taglio lungo X
VRsdX: resistenza delle staffe per taglio lungo X
VRcdX: resistenza delle bielle in cls per taglio lungo X
VRdY: resistenza del cls per taglio lungo Y
VRsdY: resistenza delle staffe per taglio lungo Y
VRcdY: resistenza delle bielle in cls per taglio lungo Y
VEDmax: taglio risultante massimo di calcolo
cotg: cotangente dell'angolo di inclinazione delle bielle assunto in verifica
AstX: area di staffe lungo X
AstY: area di staffe lungo Y
Luce: Luce netta del pilastro (misurata a filo delle travi)
Mxp.i: momento da gerarchia attorno all'asse X della sezione inferiore
Mxp.s: momento da gerarchia attorno all'asse X della sezione superiore
Myp.i: momento da gerarchia attorno all'asse Y della sezione inferiore
Myp.s: momento da gerarchia attorno all'asse Y della sezione superiore
Tpx: taglio lungo X in applicazione della gerarchia delle resistenze
Tpy: taglio lungo Y in applicazione della gerarchia delle resistenze
sc.ra: tensione sul cls in combinazione rara (caratteristica)
sf.ra: tensione sull'acciaio in combinazione rara (caratteristica)
sc.q.p.: tensione sul cls in combinazione quasi permanente
Mx: momento attorno all'asse X
My: momento attorno all'asse Y
N: sforzo normale
Wk ra: apertura caratteristica delle fessure in combinazione rara
Wk fr: apertura caratteristica delle fessure in combinazione frequente
Wk q.p: apertura caratteristica delle fessure in combinazione quasi permanente
MtMax: momento torcente massimo
sc: tensione sul cls
sf: tensione sull'acciaio
AminX: area minima di staffe richieste lungo X

AminY: area minima di staffe richieste lungo Y

Tmax: taglio massimo

M2: Momento flettente attorno all'asse locale 2

M3: Momento flettente attorno all'asse locale 3

bw,x: Larghezza della sezione assunta per verifica a taglio in direzione x

bw,y: Larghezza della sezione assunta per verifica a taglio in direzione y

Tmax: taglio massimo

M2p,i: momento da gerarchia attorno all'asse 2 della sezione inferiore

M2p,s: momento da gerarchia attorno all'asse 2 della sezione superiore

T3p: taglio lungo l'asse locale 3 in applicazione della gerarchia delle resistenze

A.l.: area longitudinale

A.st.: area staffe

A.l.r.: area longitudinale richiesta per la torsione

A.st.r.: area staffe richiesta per la torsione

A.l.disp.: area longitudinale disponibile per la torsione

A.st.Disp.: area staffe disponibile per la torsione

MdMax: momento torcente massimo

lambda,x lambda,y: snellezze per sbandamento in direzione degli assi di definizione della sezione

Max May: momenti dovuti alle imperfezioni costruttive

M0ex M0ey: momenti secondo EC2 5.8.8.2 (2)

M2x M2y: momenti dovuti agli effetti del secondo ordine EC2 5.8.8.2 (3)

c.s.x c.s.y: coefficienti di sicurezza a pressoflessione retta

(5.38): soddisfacimento sia di EC2 (5.38a) che di EC2 (5.38b)

(5.39): coefficiente risultato dell'applicazione del criterio semplificato EC2 (5.39)

i: interasse verticale delle staffe interne al nodo

bx, by: dimensioni x ed y assunte nella verifica del nodo

nst*Ast,x: area di una staffa per resistenza in direzione x

nst*Ast,y: area di una staffa per resistenza in direzione y

Fi,mm: diametro medio delle barre in mm

h22, h33: altezza della sezione per inflessione attorno agli assi 2 e 3

Lv,plast,22 Lv,plast,33: lunghezza della cerniera plastica per inflessione attorno agli assi 2 e 3

Lv: luce di taglio

Fy: curvatura a snervamento

R.SLU: massima rotazione alla corda in combinazione SLU

Theta,y: capacità di rotazione totale rispetto alla corda allo snervamento

Min: capitolo del DM 14-01-08 di cui applicare i minimi di armatura (cap.4 o cap.7)

R.SLV: massima rotazione alla corda in combinazione SLV

Theta,u: 3/4 della capacità di rotazione totale rispetto alla corda in condizioni di collasso

Grd: coefficiente di amplificazione per gerarchia delle resistenze

Som(Mb,rd): sommatoria dei momenti resistenti delle travi

Sum(Mc,rd): sommatoria dei momenti resistenti dei pilastri

Mc,inf: momento resistente del pilastro inferiore

Mc,sup: momento resistente del pilastro superiore

P1

forze in kN, momenti in kN*m, tensioni in daN/cm², apertura fessure in mm

Materiali per le armature

B450C, fyk = 4500 (daN/cm²)

Verifiche di resistenza SLE (§ 7.3.7.1) omesse in quanto garantite da uno spettro SLD sempre minore di quello SLV

asta sap n° 1

calcestruzzo C25/30

sezione rettangolare H tot. 30.0 B 100.0 rot. 168

Verifiche a pressoflessione

quota	Asp	copX	copY	ApX	cop	ApY	cop	coef	MsdX	MsdY	Nsd	Co
0.0	2.0	5.6	5.6	10.1	5.6	2.0	5.6	3.3	0	279	-777	1 SLV-Ger.
121.2	2.0	5.6	5.6	10.1	5.6	2.0	5.6	3.3	0	279	-768	1 SLV-Ger.
242.3	2.0	5.6	5.6	10.1	5.6	2.0	5.6	3.3	0	279	-759	1 SLV-Ger.
363.5	2.0	5.6	5.6	10.1	5.6	2.0	5.6	3.3	0	279	-750	1 SLV-Ger.
484.6	2.0	5.6	5.6	10.1	5.6	2.0	5.6	3.3	0	279	-741	1 SLV-Ger.
525.0	2.0	5.6	5.6	10.1	5.6	2.0	5.6	3.3	0	279	-738	1 SLV-Ger.

Sezione a quota 0 Compressione massima = 777 < 2751 DM 08 - 7.4.4.2.2.1

combinazione 1 SLV

Verifiche a taglio

Nelle tese esistenti il taglio ammissibile è assunto come Vrd + Vrsd (C8.7.2.5)

SLU	quota	VRdX	Co	N	AstX	VRcdX	VRdX	VRsdX	cotg	VRdY	Co	N	AstY	VRcdY	VRdY	VRsdY	cotg	VEDmax	Co
	0.0	15.9	20	-1053.8	0.11	1122.9	207.2	371.4	1.00	1.8	20	-1053.8	0.28	967.5	215.4	240.0	1.00	16.0	20
	121.2	15.9	20	-1053.8	0.11	1122.9	207.2	371.4	1.00	1.8	20	-1053.8	0.28	967.5	215.4	240.0	1.00	16.0	20
	242.3	15.9	20	-1053.8	0.11	1122.9	207.2	371.4	1.00	1.8	20	-1053.8	0.28	967.5	215.4	240.0	1.00	16.0	20
	363.5	15.9	20	-1053.8	0.11	1122.9	207.2	371.4	1.00	1.8	20	-1053.8	0.28	967.5	215.4	240.0	1.00	16.0	20
	484.6	15.9	20	-1053.8	0.11	1122.9	207.2	371.4	1.00	1.8	20	-1053.8	0.28	967.5	215.4	240.0	1.00	16.0	20
	525.0	15.9	20	-1004.1	0.13	1112.4	207.2	417.8	1.00	1.8	20	-1004.1	0.31	958.4	215.4	270.0	1.00	16.0	20

SLV	quota	VRdX	Co	N	AstX	VRcdX	VRdX	VRsdX	cotg	VRdY	Co	N	AstY	VRcdY	VRdY	VRsdY	cotg	VEDmax	Co
	0.0	319.4	1	-778.7	0.11	1064.5	197.5	371.4	1.00	91.2	1	-778.7	0.28	917.1	207.1	240.0	1.00	332.1	1
	121.2	319.4	1	-778.7	0.11	1064.5	197.5	371.4	1.00	91.2	1	-778.7	0.28	917.1	207.1	240.0	1.00	332.1	1
	242.3	319.4	1	-778.7	0.11	1064.5	197.5	371.4	1.00	91.2	1	-778.7	0.28	917.1	207.1	240.0	1.00	332.1	1
	363.5	319.4	1	-778.7	0.11	1064.5	197.5	371.4	1.00	91.2	1	-778.7	0.28	917.1	207.1	240.0	1.00	332.1	1
	484.6	319.4	1	-778.7	0.11	1064.5	197.5	371.4	1.00	91.2	1	-778.7	0.28	917.1	207.1	240.0	1.00	332.1	1
	525.0	319.4	1	-740.5	0.13	1056.4	192.1	417.8	1.00	91.2	1	-740.5	0.31	910.1	202.4	270.0	1.00	332.1	1

Tagli plastici secondo (7.4.5) in combinazione SLV

Luce	Mxp,i	Myp,i	Mxp,s	Myp,s	Txp	Typ	Co
495	206.7	722.5	203.6	714.6	319.4	91.2	1

Verifiche di esercizio

quota	sc.ra	Mx	My	N	Co	sf.ra	Mx	My	N	Co	sc.q.p.	Mx	My	N	Co	Wk	ra	Wk	fr	Wk	q.p
0	-33	6	44	-769	5	-460	6	44	-769	5	-30.2	5	41	-705	2	0.000	0.000	0.000	0.000		
121	-29	4	30	-760	5	-418	4	30	-760	5	-27.0	4	28	-697	2	0.000	0.000	0.000	0.000		
242	-26	3	16	-750	5	-373	3	16	-750	5	-23.7	3	15	-687	2	0.000	0.000	0.000	0.000		
363	-22	1	2	-742	5	-330	1	2	-742	5	-20.4	1	2	-678	2	0.000	0.000	0.000	0.000		
485	-23	0	-12	-732	5	-344	0	-12	-732	5	-21.3	0	-11	-669	2	0.000	0.000	0.000	0.000		
525	-24	-1	-17	-729	5	-356	-1	-17	-729	5	-22.2	-1	-15	-666	2	0.000	0.000	0.000	0.000		

asta sap n° 52

calcestruzzo C25/30

sezione rettangolare H tot. 30.0 B 100.0 rot. 168

Verifiche a pressoflessione

quota	Asp	copX	copY	ApX	cop	ApY	cop	coef	MsdX	MsdY	Nsd	Co
555.0	2.0	5.6	5.6	10.1	5.6	2.0	5.6	3.1	0	279	-460	16 SLV-Ger.
678.5	2.0	5.6	5.6	10.1	5.6	2.0	5.6	4.4	0	210	-551	1 SLV-Ger.
802.1	2.0	5.6	5.6	10.1	5.6	2.0	5.6	5.3	0	171	-542	1 SLV-Ger.
925.6	2.0	5.6	5.6	10.1	5.6	2.0	5.6	3.5	0	251	-433	16 SLV-Ger.
1008.0	2.0	5.6	5.6	10.1	5.6	2.0	5.6	3.1	0	279	-426	16 SLV-Ger.

Sezione a quota 555 Compressione massima = 560 < 2751 DM 08 - 7.4.4.2.2.1

combinazione 1 SLV

Verifiche a taglio

Nelle tese esistenti il taglio ammissibile è assunto come Vrd + Vrsd (C8.7.2.5)

SLU	quota	VRdX	Co	N	AstX	VRcdX	VRdX	VRsdX	cotg	VRdY	Co	N	AstY	VRcdY	VRdY	VRsdY	cotg	VEDmax	Co
	555.0	15.9	20	-1004.1	0.13	1112.4	207.2	417.8	1.00	1.8	20	-1004.1	0.31	958.4	215.4	270.0	1.00	16.0	20
	678.5	30.2	19	-750.4	0.13	1058.5	193.5	417.8	1.00	0.3	7	-513.8	0.31	868.7	174.8	270.0	1.00	30.2	19
	802.1	30.2	19	-750.4	0.13	1058.5	193.5	417.8	1.00	0.3	7	-513.8	0.31	868.7	174.8	270.0	1.00	30.2	19
	925.6	30.2	19	-750.4	0.13	1058.5	193.5	417.8	1.00	0.3	7	-513.8	0.31	868.7	174.8	270.0	1.00	30.2	19
	1008.0	30.2	19	-709.2	0.20	1049.7	187.7	668.4	1.00	0.3	7	-482.2	0.50	862.9	170.9	431.9	1.00	30.2	19

SLV	quota	VRdX	Co	N	AstX	VRcdX	VRdX	VRsdX	cotg	VRdY	Co	N	AstY	VRcdY	VRdY	VRsdY	cotg	VEDmax	Co
	555.0	319.4	1	-740.5	0.13	1056.4	192.1	417.8	1.00	91.2	1	-740.5	0.31	910.1	202.4	270.0	1.00	332.1	1
	678.5	349.5	1	-559.9	0.13	1018.0	166.6	417.8	1.00	97.3	1	-559.9	0.31	877.1	180.4	270.0	1.00	362.8	1
	802.1	349.5	1	-559.9	0.13	1018.0	166.6	417.8	1.00	97.3	1	-559.9	0.31	877.1	180.4	270.0	1.00	362.8	1
	925.6	349.5	1	-559.9	0.13	1018.0	166.6	417.8	1.00	97.3	1	-559.9	0.31	877.1	180.4	270.0	1.00	362.8	1
	1008.0	349.5	1	-528.3	0.20	1011.3	162.1	668.4	1.00	97.3	1	-528.3	0.50	871.3	176.5	431.9	1.00	362.8	1

Tagli plastici secondo (7.4.5) in combinazione SLV

Ingresso-Principale

Luce	Mxp,i	Myp,i	Mxp,s	Myp,s	Txp	Typ	Co														
423	188.3	675.5	185.7	668.6	349.5	97.3	1														
Verifiche di esercizio																					
quota sc.ra	Mx	My	N	Co	sf.ra	Mx	My	N	Co	sc.q.p.	Mx	My	N	Co	Wk	ra	Wk	fr	Wk	q.p	
555 -27	-1	-61	-554	5	-380	-1	-61	-554	5	-24.7	-1	-57	-510	2	0.000	0.000	0.000	0.000	0.000		
679 -22	-1	-34	-544	5	-317	-1	-34	-544	5	-20.3	-1	-32	-501	2	0.000	0.000	0.000	0.000	0.000		
802 -17	-1	-8	-535	5	-255	-1	-8	-535	5	-16.1	-1	-7	-492	2	0.000	0.000	0.000	0.000	0.000		
926 -19	-1	21	-526	5	-280	-1	21	-526	5	-17.8	-1	19	-482	2	0.000	0.000	0.000	0.000	0.000		
1008 -22	-2	39	-520	5	-317	-2	39	-520	5	-20.5	-1	36	-476	2	0.000	0.000	0.000	0.000	0.000		
asta sap n° 54																					
calcestruzzo C25/30																					
sezione rettangolare								H tot.	30.0	B	100.0	rot.	168								
Verifiche a pressoflessione																					
quota	Asp	copX	copY	ApX	cop	ApY	cop	coef	MsdX	MsdY	Nsd	Co									
1038.0	2.0	5.6	5.6	10.1	5.6	2.0	5.6	2.8	0	279	-313	16	SLV-Ger.								
1160.6	2.0	5.6	5.6	10.1	5.6	2.0	5.6	5.2	0	171	-303	16	SLV-Ger.								
1201.4	2.0	5.6	5.6	10.1	5.6	2.0	5.6	5.0	0	175	-300	16	SLV-Ger.								
1283.1	2.0	5.6	5.6	10.1	5.6	2.0	5.6	3.0	0	255	-294	16	SLV-Ger.								
1324.0	2.0	5.6	5.6	10.1	5.6	2.0	5.6	3.0	0	256	-291	16	SLV-Ger.								
Sezione a quota 1038 Compressione massima = 358 < 2751								DM 08 - 7.4.4.2.2.1													
combinazione 1 SLV																					
Verifiche a taglio																					
Nelle tese esistenti il taglio ammissibile è assunto come Vrd + Vrsd (C8.7.2.5)																					
SLU																					
quota	VEDx	Co	N AstX		VRcdX	VRdX	VrsdX	cotg	VEDy	Co	N AstY		VRcdY	VRdY	VrsdY	cotg	VEDmax	Co			
1038.0	30.2	19	-709.2 0.20		1049.7	187.7	668.4	1.00	0.3	7	-482.2 0.50		862.9	170.9	431.9	1.00	30.2	19			
1160.6	35.5	19	-485.8 0.20		1002.3	156.1	668.4	1.00	5.2	17	-426.9 0.50		852.8	164.2	431.9	1.00	35.8	19			
1201.4	35.5	19	-485.8 0.20		1002.3	156.1	668.4	1.00	5.2	17	-426.9 0.50		852.8	164.2	431.9	1.00	35.8	19			
1283.1	35.5	19	-485.8 0.20		1002.3	156.1	668.4	1.00	5.2	17	-426.9 0.50		852.8	164.2	431.9	1.00	35.8	19			
1324.0	35.5	19	-485.8 0.20		1002.3	156.1	668.4	1.00	5.2	17	-426.9 0.50		852.8	164.2	431.9	1.00	35.8	19			
SLV																					
quota	VEDx	Co	N AstX		VRcdX	VRdX	VrsdX	cotg	VEDy	Co	N AstY		VRcdY	VRdY	VrsdY	cotg	VEDmax	Co			
1038.0	349.5	1	-528.3 0.20		1011.3	162.1	668.4	1.00	97.3	1	-528.3 0.50		871.3	176.5	431.9	1.00	362.8	1			
1160.6	541.1	1	-357.9 0.20		975.1	138.0	668.4	1.00	146.5	1	-357.9 0.50		840.1	155.7	431.9	1.00	560.6	1			
1201.4	541.1	1	-357.9 0.20		975.1	138.0	668.4	1.00	146.5	1	-357.9 0.50		840.1	155.7	431.9	1.00	560.6	1			
1283.1	541.1	1	-357.9 0.20		975.1	138.0	668.4	1.00	146.5	1	-357.9 0.50		840.1	155.7	431.9	1.00	560.6	1			
1324.0	541.1	1	-357.9 0.20		975.1	138.0	668.4	1.00	146.5	1	-357.9 0.50		840.1	155.7	431.9	1.00	560.6	1			
Tagli plastici secondo (7.4.5) in combinazione SLV																					
Luce	Mxp,i	Myp,i	Mxp,s	Myp,s	Txp	Typ	Co														
256	171.3	631.8	169.6	627.5	541.1	146.5	1														
Verifiche di esercizio																					
quota sc.ra	Mx	My	N	Co	sf.ra	Mx	My	N	Co	sc.q.p.	Mx	My	N	Co	Wk	ra	Wk	fr	Wk	q.p	
1038 -17	-1	-35	-360	5	-238	-1	-35	-360	5	-15.7	-1	-32	-335	2	0.000	0.000	0.000	0.000	0.000		
1161 -12	3	-2	-351	5	-172	3	-2	-351	5	-11.4	3	-2	-326	2	0.000	0.000	0.000	0.000	0.000		
1201 -14	5	9	-348	5	-195	5	9	-348	5	-13.2	4	8	-323	2	0.000	0.000	0.000	0.000	0.000		
1283 -19	8	31	-341	5	-256	8	31	-341	5	-18.0	7	29	-316	2	0.000	0.000	0.000	0.000	0.000		
1324 -22	9	41	-338	5	-285	9	41	-338	5	-20.3	9	38	-314	2	0.000	0.000	0.000	0.000	0.000		
asta sap n° 80																					
calcestruzzo C25/30																					
sezione rettangolare								H tot.	30.0	B	100.0	rot.	168								
Verifiche a pressoflessione																					
quota	Asp	copX	copY	ApX	cop	ApY	cop	coef	MsdX	MsdY	Nsd	Co									
1354.0	2.0	5.6	5.6	10.1	5.6	2.0	5.6	2.6	0	256	-166	16	SLV-Ger.								
1474.8	2.0	5.6	5.6	10.1	5.6	2.0	5.6	4.3	0	170	-157	16	SLV-Ger.								
1515.0	2.0	5.6	5.6	10.1	5.6	2.0	5.6	5.6	0	138	-154	16	SLV-Ger.								
1595.5	2.0	5.6	5.6	10.1	5.6	2.0	5.6	6.9	-30	32	-222	17	SLU								
1676.0	2.0	5.6	5.6	10.1	5.6	2.0	5.6	4.2	-28	109	-144	13	SLV								
Sezione a quota 1354 Compressione massima = 178 < 2751								DM 08 - 7.4.4.2.2.1													
combinazione 1 SLV																					
Verifiche a taglio																					
Nelle tese esistenti il taglio ammissibile è assunto come Vrd + Vrsd (C8.7.2.5)																					
SLU																					
quota	VEDx	Co	N AstX		VRcdX	VRdX	VrsdX	cotg	VEDy	Co	N AstY		VRcdY	VRdY	VrsdY	cotg	VEDmax	Co			
1354.0	35.5	19	-485.8 0.20		1002.3	156.1	668.4	1.00	5.2	17	-426.9 0.50		852.8	164.2	431.9	1.00	35.8	19			
1474.8	25.6	20	-242.5 0.13		950.6	121.6	417.8	1.00	17.0	17	-246.3 0.31		819.7	142.1	270.0	1.00	30.4	20			
1515.0	25.6	20	-242.5 0.13		950.6	121.6	417.8	1.00	17.0	17	-246.3 0.31		819.7	142.1	270.0	1.00	30.4	20			
1595.5	25.6	20	-242.5 0.13		950.6	121.6	417.8	1.00	17.0	17	-246.3 0.31		819.7	142.1	270.0	1.00	30.4	20			
1676.0	25.6	20	-242.5 0.13		950.6	121.6	417.8	1.00	17.0	17	-246.3 0.31		819.7	142.1	270.0	1.00	30.4	20			
SLV																					
quota	VEDx	Co	N AstX		VRcdX	VRdX	VrsdX	cotg	VEDy	Co	N AstY		VRcdY	VRdY	VrsdY	cotg	VEDmax	Co			
1354.0	541.1	1	-357.9 0.20		975.1	138.0	668.4	1.00	146.5	1	-357.9 0.50		840.1	155.7	431.9	1.00	560.6	1			
1474.8	394.5	1	-178.1 0.13		936.9	112.5	417.8	1.00	105.9	1	-178.1 0.31		807.2	133.8	270.0	1.00	408.5	1			
1515.0	394.5	1	-178.1 0.13		936.9	112.5	417.8	1.00	105.9	1	-178.1 0.31		807.2	133.8	270.0	1.00	408.5	1			
1595.5	394.5	1	-178.1 0.13		936.9	112.5	417.8	1.00	105.9	1	-178.1 0.31		807.2	133.8	270.0	1.00	408.5	1			
1676.0	394.5	1	-178.1 0.13		936.9	112.5	417.8	1.00	105.9	1	-178.1 0.31		807.2	133.8	270.0	1.00	408.5	1			
Tagli plastici secondo (7.4.5) in combinazione SLV																					
Luce	Mxp,i	Myp,i	Mxp,s	Myp,s	Txp	Typ	Co														
322	156.1	581.1	154.0	573.7	394.5	105.9	1														
Verifiche di esercizio																					
quota sc.ra	Mx	My	N	Co	sf.ra	Mx	My	N	Co	sc.q.p.	Mx	My	N	Co	Wk	ra	Wk	fr	Wk	q.p	
1354 -14	8	-24	-178	5	29	8	-24	-173	4	-13.4	8	-22	-172	2	0.000	0.000	0.000	0.000	0.000		
1475 -9	-6	2	-171	2	-113	-6	2	-171	2	-8.3	-6	2	-161	1	0.000	0.000	0.000	0.000	0.000		
1515 -13	-11	9	-168	2	19	-11	9	-168	2	-12.3	-10	8	-158	1	0.000	0.000	0.000	0.000	0.000		
1596 -28	-21	24	-164	3	286	-21	23	-162	2	-25.9	-19	23	-154	2	0.000	0.000	0.000	0.000	0.000		
1676 -43	-30	38	-158	3	643	-30	38	-158	3	-40.7	-28	37	-148	2	0.000	0.000	0.000	0.000	0.000		
Verifiche di instabilità																					
Verifica secondo il metodo basato sulla curvatura nominale Ec2 5.8.8																					
quota	lambda,x	lambda,y	Nsd	co	Max	M0ex	M2x	May	M0ey	M2y	c.s.x	c.s.y (5.38)	(5.39)								
0	19.2	64.1	-1052	20SLU	-15	-4	-60	-15	-28	-26	2.731	4.416	NO	0.541							
40	19.2	64.1	-1048	20SLU	-15	-4	-61	-15	-28	-26	2.721	4.447	NO	0.542							
81	19.2	64.1	-1045	20SLU	-14	-4	-60	-14	-28	-26	2.749	4.445	NO	0.538							
121	19.2	64.1	-1041	20SLU	-14	-4	-60	-14	-28	-26	2.760	4.462	NO	0.536							
162	19.2	64.1	-1037	20SLU	-14	-4	-59	-14	-28	-26	2.770	4.478	NO	0.535							
202	19.2	64.1	-1033	20SLU	-14	-4	-59	-14	-28	-26	2.780	4.494	NO	0.533							
242	19.2	64.1	-1029	20SLU	-14	-4	-59	-14	-28	-26	2.791	4.510	NO	0.531							
283	19.2	64.1	-1025	20SLU	-14	-4	-59	-14	-28	-25	2.801	4.525	NO	0.530							
323	19.2	64.1	-1021	20SLU	-14	-4	-58	-14	-28	-25	2.811	4.542	NO	0.528							
363	19.2	64.1	-1017	20SLU	-14	-4	-58	-14	-28	-25	2.822	4.559	NO	0.526							
404	19.2	64.1	-1013	20SLU	-14	-4	-58	-14	28	25	2.832	4.575	NO	0.524							
444	19.2	64.1	-1009	20SLU	-14	-4	-58	14	28	25	2.844	4.593	NO	0.523							
485	19.2	64.1	-1005	20SLU	14	4	58	14	28	25	2.854	4.609	NO	0.521							
525	19.2	64.1	-1001	20SLU	14	4	57	14	28	25	2.865	4.626	NO	0.519							
555	16.7	55.8	-758	20SLU	9	2	36	9	35	15	4.230	5.510	NO	0.398							
596	16.7	55.8	-754	20SLU	9	2	36	9	35	15	4.234	5.777	NO	0.390							
637	16.7	55.8	-750	20SLU	9	2	36	9	35												

Nodo a quota 540 (Nodo non confinato)

-Travature con direzione inclinata di 168 gradi rispetto all'asse X globale

Nodo trave-colonna interni

Verificata poichè rispetta i minimi di staffe 7.4.6.2.3

$(nst*Ast)/(i*b)=0.00419$

$(0.05*fck)/fyk=0.00277$

$(nst*Ast)/(i*b),min > (0.05*fck)/fyk$

$(nst*Ast)/(i*b) = 0.00419 > (0.05*fck)/fyk = 0.00277$

b = 30

Verifica secondo 7.4.6.2.3

b,x=30

b,y=100

$(nst*Ast)/(i*b),x=0.00419$

$(nst*Ast)/(i*b),y=0.00314$

$(0.05*fck)/fyk=0.00277$

$(nst*Ast)/(i*b),min > (0.05*fck)/fyk$

Nodo a quota 1023 (Nodo non confinato)

-Travature con direzione inclinata di 168 gradi rispetto all'asse X globale

Nodo trave-colonna interni

Verificata poichè rispetta i minimi di staffe 7.4.6.2.3

$(nst*Ast)/(i*b)=0.0067$

$(0.05*fck)/fyk=0.00277$

$(nst*Ast)/(i*b),min > (0.05*fck)/fyk$

$(nst*Ast)/(i*b) = 0.0067 > (0.05*fck)/fyk = 0.00277$

b = 30

Verifica secondo 7.4.6.2.3

b,x=30

b,y=100

$(nst*Ast)/(i*b),x=0.0067$

$(nst*Ast)/(i*b),y=0.00503$

$(0.05*fck)/fyk=0.00277$

$(nst*Ast)/(i*b),min > (0.05*fck)/fyk$

Nodo a quota 1339 (Nodo non confinato)

-Travature con direzione inclinata di 168 gradi rispetto all'asse X globale

Nodo trave-colonna interni

Verificata poichè rispetta i minimi di staffe 7.4.6.2.3

$(nst*Ast)/(i*b)=0.0067$

$(0.05*fck)/fyk=0.00277$

$(nst*Ast)/(i*b),min > (0.05*fck)/fyk$

$(nst*Ast)/(i*b) = 0.0067 > (0.05*fck)/fyk = 0.00277$

b = 30

Verifica secondo 7.4.6.2.3

b,x=30

b,y=100

$(nst*Ast)/(i*b),x=0.0067$

$(nst*Ast)/(i*b),y=0.00503$

$(0.05*fck)/fyk=0.00277$

$(nst*Ast)/(i*b),min > (0.05*fck)/fyk$

Nodo a quota 1691 (Nodo non confinato)

-Travature con direzione inclinata di 168 gradi rispetto all'asse X globale

Nodo trave-colonna interni

Verificata poichè rispetta i minimi di staffe 7.4.6.2.3

$(nst*Ast)/(i*b)=0.00314$

$(0.05*fck)/fyk=0.00277$

$(nst*Ast)/(i*b),min > (0.05*fck)/fyk$

$(nst*Ast)/(i*b) = 0.00314 > (0.05*fck)/fyk = 0.00277$

b = 80

Verifica secondo 7.4.6.2.3

b,x=80

b,y=100

$(nst*Ast)/(i*b),x=0.00314$

$(nst*Ast)/(i*b),y=0.00628$

$(0.05*fck)/fyk=0.00277$

$(nst*Ast)/(i*b),min > (0.05*fck)/fyk$

Verifiche della gerarchia resistenza nodi trave pilastro

Verifica gerarchia nodo trave pilastro

quota	angolo	t.	Grd	Som(Mb,rd)		Som(Mc,rd)	Mc,inf	Mc,sup	comb
540	168			5581343	<	13369190	6829906	6539288	16
540	348			5581343	<	13369190	6829906	6539288	16
1023	168			5581343	<	12674010	6466035	6207972	16
1023	348			5581343	<	12674010	6466035	6207972	16
1339	168			5126550	<	11918930	6144670	5774256	16
1339	348			5126550	<	11918930	6144670	5774256	16

P2

forze in kN, momenti in kN*m, tensioni in daN/cm², apertura fessure in mm

Materiali per le armature

B450C, $fyk = 4500$ (daN/cm²)

Verifiche di resistenza SLE (§ 7.3.7.1) omesse in quanto garantite da uno spettro SLD sempre minore di quello SLV

asta sap n° 2

calcestruzzo C25/30

sezione rettangolare H tot. 30.0 B 100.0 rot. 168

Verifiche a pressoflessione

quota	Asp	copX	copY	ApX	cop	ApY	cop	coef	MsdX	MsdY	Nsd	Co
0.0	2.0	5.6	5.6	10.1	5.6	2.0	5.6	4.7	0	194	-586	14 SLV-Ger.
121.2	2.0	5.6	5.6	10.1	5.6	2.0	5.6	4.7	0	194	-577	14 SLV-Ger.
242.3	2.0	5.6	5.6	10.1	5.6	2.0	5.6	4.7	0	194	-393	3 SLV-Ger.
363.5	2.0	5.6	5.6	10.1	5.6	2.0	5.6	4.7	0	194	-384	3 SLV-Ger.
484.6	2.0	5.6	5.6	10.1	5.6	2.0	5.6	4.7	0	194	-375	3 SLV-Ger.
525.0	2.0	5.6	5.6	10.1	5.6	2.0	5.6	4.7	0	194	-372	3 SLV-Ger.

Sezione a quota 0 Compressione massima = 586 < 2751 DM 08 - 7.4.4.2.2.1

combinazione 14 SLV

Verifiche a taglio

Nelle tese esistenti il taglio ammissibile è assunto come $V_{rd} + V_{rsd}$ (C8.7.2.5)

SLV	quota	VEdX	Co	N	AstX	VRcdX	VRdX	VRsdX	cotg	VEdY	Co	N	AstY	VRcdY	VRdY	VRsdY	cotg	VEdmax	Co
	0.0	21.6	20	-758.1	0.11	1060.1	194.6	371.4	1.00	2.1	20	-758.1	0.28	913.4	204.6	240.0	1.00	21.7	20
	121.2	21.6	20	-758.1	0.11	1060.1	194.6	371.4	1.00	2.1	20	-758.1	0.28	913.4	204.6	240.0	1.00	21.7	20
	242.3	21.6	20	-758.1	0.11	1060.1	194.6	371.4	1.00	2.1	20	-758.1	0.28	913.4	204.6	240.0	1.00	21.7	20
	363.5	21.6	20	-758.1	0.11	1060.1	194.6	371.4	1.00	2.1	20	-758.1	0.28	913.4	204.6	240.0	1.00	21.7	20
	484.6	21.6	20	-758.1	0.11	1060.1	194.6	371.4	1.00	2.1	20	-758.1	0.28	913.4	204.6	240.0	1.00	21.7	20
	525.0	21.6	20	-708.4	0.13	1049.5	187.6	417.8	1.00	2.1	20	-708.4	0.31	904.3	198.5	270.0	1.00	21.7	20

SLV	quota	VEdX	Co	N	AstX	VRcdX	VRdX	VRsdX	cotg	VEdY	Co	N	AstY	VRcdY	VRdY	VRsdY	cotg	VEdmax	Co
	0.0	300.9	14	-586.9	0.11	1023.7	170.4	371.4	1.00	84.0	14	-586.9	0.28	882.0	183.7	240.0	1.00	312.4	14
	121.2	300.9	14	-586.9	0.11	1023.7	170.4	371.4	1.00	84.0	14	-586.9	0.28	882.0	183.7	240.0	1.00	312.4	14
	242.3	300.9	14	-586.9	0.11	1023.7	170.4	371.4	1.00	84.0	14	-586.9	0.28	882.0	183.7	240.0	1.00	312.4	14
	363.5	300.9	14	-586.9	0.11	1023.7	170.4	371.4	1.00	84.0	14	-586.9	0.28	882.0	183.7	240.0	1.00	312.4	14
	484.6	300.9	14	-586.9	0.11	1023.7	170.4	371.4	1.00	84.0	14	-586.9	0.28	882.0	183.7	240.0	1.00	312.4	14
	525.0	300.9	14	-548.6	0.13	1015.6	165.0	417.8	1.00	84.0	14	-548.6	0.31	875.0	179.0	270.0	1.00	312.4	14

Tagli plastici secondo (7.4.5) in combinazione SLV

Luce	Mxp,i	Myp,i	Mxp,s	Myp,s	Txp	Typ	Co
495	190.5	681.0	187.4	673.1	300.9	84.0	14

Verifiche di esercizio

quota	sc.ra	Mx	My	N	Co	sf.ra	Mx	My	N	Co	sc.q.p.	Mx	My	N	Co	Wk	ra	Wk	fr	Wk	q.p.
0	-23	-5	28	-550	5	-326	-5	28	-550	5	-21.1	-4	26	-498	2	0.000	0.000	0.000		0.000	
121	-19	-3	9	-541	5	-271	-3	9	-541	5	-17.1	-3	9	-489	2	0.000	0.000	0.000		0.000	
242	-18	-1	-10	-532	5	-259	-1	-10	-532	5	-16.0	-1	-9	-480	2	0.000	0.000	0.000		0.000	

Ingresso-Principale

363	-20	0	-29	-523	5	-291	0	-29	-523	5	-18.2	0	-27	-471	2	0.000	0.000	0.000
485	-24	2	-48	-514	5	-340	2	-48	-514	5	-21.8	2	-45	-462	2	0.000	0.000	0.000
525	-25	3	-55	-511	5	-356	3	-55	-511	5	-23.1	2	-51	-459	2	0.000	0.000	0.000

asta sap n° 51

calcestruzzo C25/30

sezione rettangolare H tot. 30.0 B 100.0 rot. 168

Verifiche a pressoflessione

quota	Asp	copX	copY	ApX	cop	ApY	cop	coef	MsdX	MsdY	Nsd	Co
555.0	2.0	5.6	5.6	10.1	5.6	2.0	5.6	4.2	4	192	-339	2 SLV
678.5	2.0	5.6	5.6	10.1	5.6	2.0	5.6	6.3	0	146	-429	14 SLV-Ger.
802.1	2.0	5.6	5.6	10.1	5.6	2.0	5.6	7.8	0	107	-420	14 SLV-Ger.
925.6	2.0	5.6	5.6	10.1	5.6	2.0	5.6	5.7	0	158	-291	3 SLV-Ger.
1008.0	2.0	5.6	5.6	10.1	5.6	2.0	5.6	4.0	-2	-198	-305	2 SLV

Sezione a quota 555 Compressione massima = 439 < 2751 DM 08 - 7.4.4.2.2.1
combinazione 14 SLV

Verifiche a taglio

Nelle tese esistenti il taglio ammissibile è assunto come Vrd + Vrsd (C8.7.2.5)

SLU	quota	VRdX	Co	N	AstX	VRcdX	VRdX	VRsdX	cotg	VRdY	Co	N	AstY	VRcdY	VRdY	VRsdY	cotg	VEDmax	Co
	555.0	21.6	20	-708.4	0.13	1049.5	187.6	417.8	1.00	2.1	20	-708.4	0.31	904.3	198.5	270.0	1.00	21.7	20
	678.5	8.2	15	-463.4	0.13	997.5	152.9	417.8	1.00	1.7	20	-570.2	0.31	879.0	181.6	270.0	1.00	8.3	20
	802.1	8.2	15	-463.4	0.13	997.5	152.9	417.8	1.00	1.7	20	-570.2	0.31	879.0	181.6	270.0	1.00	8.3	20
	925.6	8.2	15	-463.4	0.13	997.5	152.9	417.8	1.00	1.7	20	-570.2	0.31	879.0	181.6	270.0	1.00	8.3	20
	1008.0	8.2	15	-422.3	0.20	998.8	147.1	668.4	1.00	1.7	20	-529.1	0.50	871.5	176.6	431.9	1.00	8.3	20

SLV	quota	VRdX	Co	N	AstX	VRcdX	VRdX	VRsdX	cotg	VRdY	Co	N	AstY	VRcdY	VRdY	VRsdY	cotg	VEDmax	Co
	555.0	300.9	14	-548.6	0.13	1015.6	165.0	417.8	1.00	84.0	14	-548.6	0.31	875.0	179.0	270.0	1.00	312.4	14
	678.5	335.9	14	-438.5	0.13	992.2	149.4	417.8	1.00	91.9	14	-438.5	0.31	854.9	165.6	270.0	1.00	348.2	14
	802.1	335.9	14	-438.5	0.13	992.2	149.4	417.8	1.00	91.9	14	-438.5	0.31	854.9	165.6	270.0	1.00	348.2	14
	925.6	335.9	14	-438.5	0.13	992.2	149.4	417.8	1.00	91.9	14	-438.5	0.31	854.9	165.6	270.0	1.00	348.2	14
	1008.0	335.9	14	-406.9	0.20	985.5	144.9	668.4	1.00	91.9	14	-406.9	0.50	849.1	161.7	431.9	1.00	348.2	14

Tagli plastici secondo (7.4.5) in combinazione SLV

Luce	Mxp,i	Myp,i	Mxp,s	Myp,s	Txp	Typ	Co
423	178.1	649.2	175.4	642.4	335.9	91.9	14

Verifiche di esercizio

quota	sc.ra	Mx	My	N	Co	sf.ra	Mx	My	N	Co	sc.q.p.	Mx	My	N	Co	Wk	ra	Wk	fr	Wk	q.p
555	-15	3	12	-415	5	-219	3	12	-415	5	-14.0	2	10	-379	2	0.000	0.000	0.000			
679	-13	1	4	-406	5	-190	1	4	-406	5	-11.8	1	4	-370	2	0.000	0.000	0.000			
802	-12	0	-3	-397	5	-179	0	-3	-397	5	-11.0	0	-3	-361	2	0.000	0.000	0.000			
926	-14	-2	-11	-387	5	-200	-2	-11	-387	5	-12.7	-2	-10	-351	2	0.000	0.000	0.000			
1008	-15	-3	-16	-381	5	-214	-3	-16	-381	5	-13.8	-3	-15	-345	2	0.000	0.000	0.000			

asta sap n° 53

calcestruzzo C25/30

sezione rettangolare H tot. 30.0 B 100.0 rot. 168

Verifiche a pressoflessione

quota	Asp	copX	copY	ApX	cop	ApY	cop	coef	MsdX	MsdY	Nsd	Co
1038.0	2.0	5.6	5.6	10.1	5.6	2.0	5.6	4.6	0	175	-229	3 SLV-Ger.
1160.6	2.0	5.6	5.6	10.1	5.6	2.0	5.6	6.4	0	135	-219	3 SLV-Ger.
1201.4	2.0	5.6	5.6	10.1	5.6	2.0	5.6	4.5	0	175	-216	3 SLV-Ger.
1283.1	2.0	5.6	5.6	10.1	5.6	2.0	5.6	2.8	0	255	-210	3 SLV-Ger.
1324.0	2.0	5.6	5.6	10.1	5.6	2.0	5.6	2.7	0	256	-207	3 SLV-Ger.

Sezione a quota 1038 Compressione massima = 282 < 2751 DM 08 - 7.4.4.2.2.1
combinazione 14 SLV

Verifiche a taglio

Nelle tese esistenti il taglio ammissibile è assunto come Vrd + Vrsd (C8.7.2.5)

SLU	quota	VRdX	Co	N	AstX	VRcdX	VRdX	VRsdX	cotg	VRdY	Co	N	AstY	VRcdY	VRdY	VRsdY	cotg	VEDmax	Co
	1038.0	8.2	15	-422.3	0.20	998.8	147.1	668.4	1.00	1.7	20	-529.1	0.50	871.5	176.6	431.9	1.00	8.3	20
	1160.6	10.1	14	-285.3	0.20	959.7	127.7	668.4	1.00	5.9	18	-367.9	0.50	842.0	157.0	431.9	1.00	10.5	19
	1201.4	10.1	14	-285.3	0.20	959.7	127.7	668.4	1.00	5.9	18	-367.9	0.50	842.0	157.0	431.9	1.00	10.5	19
	1283.1	10.1	14	-285.3	0.20	959.7	127.7	668.4	1.00	5.9	18	-367.9	0.50	842.0	157.0	431.9	1.00	10.5	19
	1324.0	10.1	14	-285.3	0.20	959.7	127.7	668.4	1.00	5.9	18	-367.9	0.50	842.0	157.0	431.9	1.00	10.5	19

SLV	quota	VRdX	Co	N	AstX	VRcdX	VRdX	VRsdX	cotg	VRdY	Co	N	AstY	VRcdY	VRdY	VRsdY	cotg	VEDmax	Co
	1038.0	335.9	14	-406.9	0.20	985.5	144.9	668.4	1.00	91.9	14	-406.9	0.50	849.1	161.7	431.9	1.00	348.2	14
	1160.6	523.4	14	-282.2	0.20	959.0	127.2	668.4	1.00	141.0	14	-282.2	0.50	826.3	146.5	431.9	1.00	542.0	14
	1201.4	523.4	14	-282.2	0.20	959.0	127.2	668.4	1.00	141.0	14	-282.2	0.50	826.3	146.5	431.9	1.00	542.0	14
	1283.1	523.4	14	-282.2	0.20	959.0	127.2	668.4	1.00	141.0	14	-282.2	0.50	826.3	146.5	431.9	1.00	542.0	14
	1324.0	523.4	14	-282.2	0.20	959.0	127.2	668.4	1.00	141.0	14	-282.2	0.50	826.3	146.5	431.9	1.00	542.0	14

Tagli plastici secondo (7.4.5) in combinazione SLV

Luce	Mxp,i	Myp,i	Mxp,s	Myp,s	Txp	Typ	Co
256	164.9	611.8	163.2	606.1	523.4	141.0	14

Verifiche di esercizio

quota	sc.ra	Mx	My	N	Co	sf.ra	Mx	My	N	Co	sc.q.p.	Mx	My	N	Co	Wk	ra	Wk	fr	Wk	q.p
1038	-12	-3	15	-275	5	-167	-3	15	-275	5	-11.0	-2	14	-256	2	0.000	0.000	0.000			
1161	-10	2	7	-266	5	-144	2	7	-266	5	-9.6	2	7	-246	2	0.000	0.000	0.000			
1201	-11	4	4	-263	5	-145	4	4	-263	5	-10.0	4	4	-243	2	0.000	0.000	0.000			
1283	-12	8	-1	-257	5	-164	8	-1	-257	5	-11.0	7	0	-237	2	0.000	0.000	0.000			
1324	-13	9	-4	-254	5	-166	9	-4	-254	5	-12.2	9	-3	-234	2	0.000	0.000	0.000			

asta sap n° 79

calcestruzzo C25/30

sezione rettangolare H tot. 30.0 B 100.0 rot. 168

Verifiche a pressoflessione

quota	Asp	copX	copY	ApX	cop	ApY	cop	coef	MsdX	MsdY	Nsd	Co
1354.0	2.0	5.6	5.6	10.1	5.6	2.0	5.6	2.5	0	256	-140	4 SLV-Ger.
1474.8	2.0	5.6	5.6	10.1	5.6	2.0	5.6	4.1	0	170	-131	4 SLV-Ger.
1515.0	2.0	5.6	5.6	10.1	5.6	2.0	5.6	5.3	0	138	-128	4 SLV-Ger.
1595.5	2.0	5.6	5.6	10.1	5.6	2.0	5.6	7.0	-30	-28	-193	17 SLU
1676.0	2.0	5.6	5.6	10.1	5.6	2.0	5.6	4.1	-43	-49	-185	17 SLU

Sezione a quota 1354 Compressione massima = 154 < 2751 DM 08 - 7.4.4.2.2.1
combinazione 13 SLV

Verifiche a taglio

Nelle tese esistenti il taglio ammissibile è assunto come Vrd + Vrsd (C8.7.2.5)

SLU	quota	VRdX	Co	N	AstX	VRcdX	VRdX	VRsdX	cotg	VRdY	Co	N	AstY	VRcdY	VRdY	VRsdY	cotg	VEDmax	Co
	1354.0	10.1	14	-285.3	0.20	959.7	127.7	668.4	1.00	5.9	18	-367.9	0.50	842.0	157.0	431.9	1.00	10.5	19
	1474.8	27.5	18	-214.7	0.13	944.7	117.7	417.8	1.00	17.0	18	-214.7	0.31	813.9	138.3	270.0	1.00	32.4	18
	1515.0	27.5	18	-214.7	0.13	944.7	117.7	417.8	1.00	17.0	18	-214.7	0.31	813.9	138.3	270.0	1.00	32.4	18
	1595.5	27.5	18	-214.7	0.13	944.7	117.7	417.8	1.00	17.0	18	-214.7	0.31	813.9	138.3	270.0	1.00	32.4	18
	1676.0	27.5	18	-214.7	0.13	944.7	117.7	417.8	1.00	17.0	18	-214.7	0.31	813.9	138.3	270.0	1.00	32.4	18

SLV	quota	VRdX	Co	N	AstX	VRcdX	VRdX	VRsdX	cotg	VRdY	Co	N	AstY	VRcdY	VRdY	VRsdY	cotg	VEDmax	Co
	1354.0	523.4	14	-282.2	0.20	959.0	127.2	668.4	1.00	141.0	14	-282.2	0.50	826.3	146.5	431.9	1.00	542.0	14
	1474.8	389.6	13	-154.4	0.13	931.9	109.1	417.8	1.00	104.5	13	-154.4	0.31	802.9	130.9	270.0	1.00	403.3	13
	1515.0	389.6	13	-154.4	0.13	931.9	109.1	417.8	1.00	104.5	13	-154.4	0.31	802.9	130.9	270.0	1.00	403.3	13
	1595.5	389.6	13	-154.4	0.13	931.9	109.1	417.8	1.00	104.5	13	-154.4	0.31	802.9	130.9	270.0	1.00	403.3	13

1475	-9	-6	6	-148	3	-109	-6	6	-148	3	-8.1	-6	5	-138	2	0.000	0.000	0.000
1515	-12	-11	-4	-146	2	19	-11	-4	-146	2	-10.9	-10	-3	-136	1	0.000	0.000	0.000
1596	-27	-21	-20	-140	2	320	-21	-20	-140	2	-25.0	-19	-19	-130	1	0.000	0.000	0.000
1676	-43	-30	-35	-134	2	696	-30	-35	-133	3	-39.9	-28	-33	-124	1	0.000	0.000	0.000

Verifiche di instabilità non necessaria

Dettaglio verifica nodi (daN,cm)

Nodo a quota 540 (Nodo non confinato)

-Travature con direzione inclinata di 168 gradi rispetto all'asse X globale

Nodo trave-colonna interni

Verificata poichè rispetta i minimi di staffe 7.4.6.2.3

$(nst*Ast)/(i*b)=0.00419$

$(0.05*fck)/fyk=0.00277$

$(nst*Ast)/(i*b),min > (0.05*fck)/fyk$

$(nst*Ast)/(i*b) = 0.00419 > (0.05*fck)/fyk = 0.00277$

b = 30

Verifica secondo 7.4.6.2.3

b,x=30

b,y=100

$(nst*Ast)/(i*b),x=0.00419$

$(nst*Ast)/(i*b),y=0.00314$

$(0.05*fck)/fyk=0.00277$

$(nst*Ast)/(i*b),min > (0.05*fck)/fyk$

Nodo a quota 1023 (Nodo non confinato)

-Travature con direzione inclinata di 168 gradi rispetto all'asse X globale

Nodo trave-colonna interni

Verificata poichè rispetta i minimi di staffe 7.4.6.2.3

$(nst*Ast)/(i*b)=0.0067$

$(0.05*fck)/fyk=0.00277$

$(nst*Ast)/(i*b),min > (0.05*fck)/fyk$

$(nst*Ast)/(i*b) = 0.0067 > (0.05*fck)/fyk = 0.00277$

b = 30

Verifica secondo 7.4.6.2.3

b,x=30

b,y=100

$(nst*Ast)/(i*b),x=0.0067$

$(nst*Ast)/(i*b),y=0.00503$

$(0.05*fck)/fyk=0.00277$

$(nst*Ast)/(i*b),min > (0.05*fck)/fyk$

Nodo a quota 1339 (Nodo non confinato)

-Travature con direzione inclinata di 168 gradi rispetto all'asse X globale

Nodo trave-colonna interni

Verificata poichè rispetta i minimi di staffe 7.4.6.2.3

$(nst*Ast)/(i*b)=0.0067$

$(0.05*fck)/fyk=0.00277$

$(nst*Ast)/(i*b),min > (0.05*fck)/fyk$

$(nst*Ast)/(i*b) = 0.0067 > (0.05*fck)/fyk = 0.00277$

b = 30

Verifica secondo 7.4.6.2.3

b,x=30

b,y=100

$(nst*Ast)/(i*b),x=0.0067$

$(nst*Ast)/(i*b),y=0.00503$

$(0.05*fck)/fyk=0.00277$

$(nst*Ast)/(i*b),min > (0.05*fck)/fyk$

Nodo a quota 1691 (Nodo non confinato)

-Travature con direzione inclinata di 168 gradi rispetto all'asse X globale

Nodo trave-colonna interni

Verificata poichè rispetta i minimi di staffe 7.4.6.2.3

$(nst*Ast)/(i*b)=0.00314$

$(0.05*fck)/fyk=0.00277$

$(nst*Ast)/(i*b),min > (0.05*fck)/fyk$

$(nst*Ast)/(i*b) = 0.00314 > (0.05*fck)/fyk = 0.00277$

b = 80

Verifica secondo 7.4.6.2.3

b,x=80

b,y=100

$(nst*Ast)/(i*b),x=0.00314$

$(nst*Ast)/(i*b),y=0.00628$

$(0.05*fck)/fyk=0.00277$

$(nst*Ast)/(i*b),min > (0.05*fck)/fyk$

Verifiche della gerarchia resistenza nodi trave pilastro

Verifica gerarchia nodo trave pilastro

quota	angolo	t.	Grd	Som(Mb,rd)	Som(Mc,rd)	Mc,inf	Mc,sup	comb
540	168	3871764	<	12573420	6347697	6225725	3	
540	348	3871764	<	12573420	6347696	6225724	3	
1023	168	3500404	<	12091760	6127481	5964276	3	
1023	348	3500404	<	12091760	6127481	5964275	3	
1339	168	5126550	<	11595770	5898576	5697191	3	
1339	348	5126550	<	11595770	5898576	5697191	3	

7.2 Verifiche travate C.A.

x: distanza da asse appoggio sinistro [cm]

Asup: area efficace di armatura longitudinale superiore [cm²]

Cs: distanza tra bordo superiore e baricentro dell'armatura superiore [cm]

Ainf: area efficace di armatura longitudinale inferiore [cm²]

Ci: distanza tra bordo inferiore e baricentro dell'armatura inferiore [cm]

Mela: momento flettente elastico [daN*cm]

Comb.: combinazione che produce Mela

MEd: momento flettente di progetto [daN*cm]

MRd: momento ultimo [daN*cm]

x/d: distanza asse neutro dal bordo compresso / altezza utile

Ast: area delle staffe [cm²/cm] [cm²]

Alp+: area di staffe equivalenti da sagomati per taglio positivo [cm²]

Alp-: area di staffe equivalenti da sagomati per taglio negativo [cm²]

VEd: taglio di progetto [daN]

Comb.: combinazione che produce VEd

VRcd: resistenza a taglio per rottura delle bielle compresse [daN]

VRd: resistenza a taglio in assenza di staffatura [daN]

VRsd: resistenza a taglio per la presenza di armatura [daN]

Theta: angolo di inclinazione delle bielle compresse [deg]

Ver.: stato di verifica

M.rara: momento flettente in combinazione rara [daN*cm]

Comb.R: combinazione rara

sigma c. rara: tensione nel c.a in combinazione rara [daN/cm²]

sigma f. rara: tensione nell'acciaio in combinazione rara [daN/cm²]

M.QP: momento flettente in combinazione quasi permanente [daN*cm]

Comb.QP: combinazione quasi permanente

sigma c. QP: tensione nel c.a in combinazione quasi permanente [daN/cm²]

srmi: interasse tra le fessure al lembo inferiore [cm]

wki rara: apertura caratteristica delle fessure al lembo inferiore in combinazione rara [cm]

wki freq.: apertura caratteristica delle fessure al lembo inferiore in combinazione frequente [cm]

wki QP: apertura caratteristica delle fessure al lembo inferiore in combinazione quasi permanente [cm]

srms: interasse tra le fessure al lembo superiore [cm]

wks rara: apertura caratteristica delle fessure al lembo superiore in combinazione rara [cm]

wks freq.: apertura caratteristica delle fessure al lembo superiore in combinazione frequente [cm]

wks QP: apertura caratteristica delle fessure al lembo superiore in combinazione quasi permanente [cm]

fg. rara: freccia a sezione interamente reagente in combinazione rara [cm]

ff. rara: freccia a sezione fessurata in combinazione rara [cm]

fg. QP: freccia a sezione interamente reagente in combinazione quasi permanente [cm]

ff. QP: freccia a sezione fessurata in combinazione quasi permanente [cm]

VEd positivo: taglio di progetto positivo [daN]

T11

Caratteristiche dei materiali

Calcestruzzo: C25/30 fck,cub (cubica) = 300 fck (cilindrica) = 249

Sovraresistenza 0%

Campata collegata a parete. La relazione di verifica non viene prodotta.

Sezione rettangolare H tot. 60 B 30 Cs 4 Ci 4

Sovraresistenza 0%
Verifiche in stato li

x	id	cs	anfr	ci	mela	confo.	med	mra	d/a	asr	aipr	aip	v	vsr	confo.	vme	vra	vsa	teta	ver.
0	10.3	8.2	10.3	5.7	-1821677	SUV 3	-1821677	-2031953	0.171	1.006	0	0	16358	ger.	16358	7872	-20213	45	S1	
0	10.3	8.2	10.3	5.7	-1033538	SLV 4	-1033538	-1928786	0.141	1.006	0	0	87739	ger.	16358	7872	-20213	45	S1	
0	10.3	8.2	10.3	5.7	1821642	SLV 13	1821642	-2031953	0.171	1.006	0	0	16358	ger.	16358	7872	-20213	45	S1	
0	10.3	8.2	10.3	5.7	-1033498	SLV 4	-1033498	-1928786	0.141	1.006	0	0	87739	ger.	16358	7872	-20213	45	S1	
23	10.3	8.2	10.3	5.7	1659565	SLV 13	1821642	-2031953	0.171	1.006	0	0	15987	ger.	16358	7872	-20213	45	S1	
23	10.3	8.2	10.3	5.7	-855333	SLV 4	-1033498	-1928786	0.141	1.006	0	0	-9109	ger.	16358	7872	-20213	45	S1	
37	10.3	8.2	10.3	5.7	1558894	SLV 13	1736734	-2031953	0.171	1.006	0	0	15764	ger.	16358	7872	-20213	45	S1	
37	10.3	8.2	10.3	5.7	-753246	SLV 4	-937953	-1928786	0.141	1.006	0	0	-9333	ger.	16358	7872	-20213	45	S1	
77	10.3	8.2	10.3	5.7	1247719	SLV 13	1409954	-2031953	0.171	1.006	0	0	15103	ger.	16358	7872	-20213	45	S1	
77	10.3	8.2	10.3	5.7	-473117	SLV 4	-606545	-1928786	0.141	1.006	0	0	-9994	ger.	16358	7872	-20213	45	S1	

x	contr.gravitaz.	VEd negativo	contr.mom.resist.	elastico	VEd positivo	contr.mom.resist.	elastico
0	4439	-8739	-13178	-6857	16358	11919	7926
0	4438	-8739	-13178	-6857	16358	11919	7926
23	4068	-9109	-13178	-7228	15987	11919	7555
37	3845	-9333	-13178	-7451	15764	11919	7332
77	3184	-9994	-13178	-8112	15103	11919	6671

x	M.rara	Comb.R	sigma c. rara	sigma f. rara	M.QP	Comb.QP	sigma c. QP	srm	wki rara	wki freq.	wki QP	srm	wks rara	wks freq.	wks QP	fg. rara	ff. rara	fg. QP	ff. QP	l/ff.qp	Ver.
0	398359	4	20	292	394070	2	19	0	0	0	0	0	0	0	0	0	0	0	0	9999	S1
0	412413	4	20	302	402332	2	20	0	0	0	0	0	0	0	0	0	0	0	0	9999	S1
23	415231	4	20	304	402943	2	20	0	0	0	0	0	0	0	0	0.01	0	0.01	0.01	9999	S1
37	415231	4	20	304	402943	2	20	0	0	0	0	0	0	0	0	0	0	0	0	9999	S1
77	417629	4	21	306	401704	2	20	0	0	0	0	0	0	0	0	0.01	0.01	0.01	0.02	9999	S1

Sezione rettangolare H tot. 60 B 30 Cs 4 Ci 4

Sovraresistenza 0%
Verifiche in stato li

x	ASUP	cS	AI ₃	cI	MeIA	Comb.	MEG	MKA	X/a	As ⁺	Air ⁺	Air ⁻	VEd	comb.	VKCD	VKd	VKSD	t4	Ver.
0	10.3	8.2	10.3	5.7	125021	SLV 13	106776	2031953	0.171	0.106	0	0	15103	ger.	V1696	7523	20213	45	S1
40	8.2	8.2	10.3	5.7	-14555	SLV 13	-134416	-1328786	0.141	0.106	0	0	-9912	ger.	-V1696	7523	20213	45	S1
40	8.93	8.6	10.06	5.7	903434	SLV 13	903434	1977899	0.177	0.106	0	0	14128	ger.	V1693	6675	20212	45	S1
40	8.93	8.6	10.06	5.7	-215242	SLV 4	-215242	-1666968	0.133	0.106	0	0	-10968	ger.	V1693	6675	-20212	45	S1
100	6.28	9.8	6.28	5.8	323682	SLU 19	563866	1278555	0.162	0.106	0	0	12666	ger.	V1621	6671	20184	45	S1
100	6.28	9.8	6.28	5.8	99655	SLV 4	-18561	-1161536	0.125	0.106	0	0	-12430	ger.	V1621	6671	-20184	45	S1
211	12.14	7.9	8.77	6.9	450930	SLV 4	487630	1720019	0.159	0.106	0	0	9957	ger.	49663	7059	19418	45	S1
211	12.14	7.9	8.77	6.9	-1018176	SLV 13	-1352451	-2269401	0.179	0.106	0	0	-15140	ger.	49663	7059	-19418	45	S1
283	14.58	7.5	12.57	7.8	517338	SLV 4	517338	2361997	0.175	0.106	0	0	8196	ger.	50006	8585	19552	45	S1
283	14.58	7.5	12.57	7.8	-2043847	SLV 13	-2043847	-2711951	0.198	0.106	0	0	-16901	ger.	50006	8585	-19552	45	S1
333	14.58	7.5	12.57	7.8	489423	SLV 4	518822	2361997	0.175	0	0	0	6975	ger.	50006	8698	0	45	S1
333	14.58	7.5	12.57	7.8	-2828094	SLV 13	-2420526	-2711951	0.198	0	0	0	-18122	ger.	50006	8698	0	45	S1

x	contr.gravitaz.	VEd negativo	contr.mom.resist.	elastico	VEd positivo	contr.mom.resist.	elastico
0	3184	-9994	-13178	-8175	15103	11919	6952
40	2209	-10968	-13178	-9150	14128	11919	5977
100	747	-12430	-13178	-10612	12666	11919	4515
211	-1962	-15140	-13178	-13321	9957	11919	1806
283	-3723	-16901	-13178	-15082	8196	11919	44
333	-4944	-18122	-13178	-16303	6975	11919	-1176

x	M.rara	Comb.R	sigma c. rara	sigma f. rara	M.QP	Comb.QP	sigma c. QP	srmi	wki rara	wki freq.	wki QP	srms	wks rara	wks freq.	wks QP	qp. rara	ff. rara	fg. QP	ff. QP	l/ff.qp	Ver.
0	400104	4	20	293	376181	2	18	0	0	0	0	0	0	0	0	0.01	0.01	0.01	0.02	9999	Si
40	371032	4	18	274	344096	2	17	0	0	0	0	0	0	0	0	0	0	0	0	9999	Si
100	302401	4	16	234	272653	2	14	0	0	0	0	0	0	0	0	0.01	0	0.01	0.01	9999	Si
211	-456301	4	23	334	-432410	2	21	0	0	0	0	0	0	0	0	-0.01	-0.01	-0.01	-0.03	9999	Si
283	-824100	4	46	1292	-763254	2	42	0	0	0	0	25.6	0.007	0.006	0.008	0	0	0	0	9999	Si
333	-1033524	4	57	1620	-950852	2	53	0	0	0	0	25.6	0.009	0.008	0.01	0	0	0	0	9999	Si

Sezione rettangolare H tot. 60 B 30 Cs 4 Ci 4

Sovraresistenza 0%
Verificato in stato "i"

x	Asup	cs	Ainf	ci	Mela	comb.	MEd	Mrd	x/d	Ast	Afp+	Afp-	VEd	comb.	VRcd	VRd	VRsd	teta	Ver.
0	14.58	7.5	12.57	7.8	844068	SLV 15	770152	2361997	0.175	0	0	0	22650	ger.	50006	8698	0	45	SL
0	14.58	7.5	12.57	7.8	-2318093	SLV 2	-1914717	-2711951	0.198	0	0	0	-14714	ger.	50006	8698	0	45	SL
50	14.58	7.5	12.57	7.8	665368	SLV 15	665368	2361997	0.175	0.124	0	0	21430	ger.	50006	8552	22961	45	SL
100	14.58	7.5	12.57	7.8	-1936648	SLV 2	-1711951	-2711951	0.198	0.124	0	0	-25935	ger.	48781	8696	-22961	45	SL
99	13.86	7.5	9.82	8.4	431762	SLV 15	555931	1859914	0.163	0.124	0	0	20233	ger.	49965	7420	22943	45	SL
99	13.86	7.5	9.82	8.4	-827365	SLV 2	-1174611	-2561291	0.211	0.124	0	0	-17131	ger.	49965	7420	-22943	45	SL
209	8.17	6.7	6.28	9.8	584845	SLV 2	814415	1182780	0.136	0.124	0	0	17544	ger.	47812	6432	21954	45	SL
209	8.17	6.7	6.28	9.8	-3073310	SLV 15	-512722	-1585016	0.181	0.124	0	0	-19820	ger.	47812	6432	-21954	45	SL
280	10.3	7.3	8.29	8.8	1277704	SLV 2	1277704	1567545	0.154	0.124	0	0	15770	ger.	48781	6896	22399	45	SL
280	10.3	7.3	8.29	8.8	-942784	SLV 15	-942784	-1952240	0.188	0.124	0	0	-21594	ger.	48781	6896	-22399	45	SL
330	10.3	7.3	8.29	8.8	1715544	SLV 2	1512838	1567545	0.154	0	0	0	14492	ger.	48781	7123	0	45	SL
330	10.3	7.3	8.29	8.8	-1466085	SLV 15	-1188210	-1952240	0.188	0	0	0	-22872	ger.	48781	7123	0	45	SL

x	contr.gravitaz.	VEd negativo	contr.mom.resist.	elastico	VEd positivo	contr.mom.resist.	elastico
0	4044	-14714	-18758	-2957	22650	18607	16267
50	2823	-15935	-18758	-4177	21430	18607	15046
99	1627	-17131	-18758	-5374	20233	18607	13849
209	-1063	-19820	-18758	-8063	17544	18607	11160
280	-2836	-21594	-18758	-9837	15770	18607	9386
330	-4115	-22872	-18758	-11115	14492	18607	8108

[illegible]

Verifiche in stato limite ultimo

Valutazione dei tagli secondo gerarchia delle resistenze

Verifiche in esercizio

Verifiche in stato li

Valutazione dei tagli secondo gerarchia delle resistenze

Verifiche in esercizio

Campata collegata a parete. La relazione di verifica non viene prodotta.

campata	
---------	--

Coefficienti di sicurezza minimi

T12

Caratteristiche dei materiali

Output campate

Sezione rettangolare

62 Sismicad 12.3 - Licenza assegnata a STUDIO D.F.G. INGEGNERIA - VIA DELLE QUERCE, 3/A CASTELFRANCO V.TO TV

Ingresso-Principale

x	Asup	cs	Ainf	ci	Mela	comb.	MEd	MRd	x/d	Ast	Afp+	Afp-	VEd	comb.	VRcd	VRd	VRsd	teta	Ver.
146	18.85	4.8	17.93	6.1	690444	SLV 16	1342057	3510635	0.127	0.087	0	0	23550	SLU 20	47236	9229	41336	22	SI
146	18.85	4.8	17.93	6.1	-273904	SLV 1	-1235874	-3777902	0.153										SI
190	18.85	4.8	18.85	6.1	1342057	SLU 19	1342057	3682191	0.131	0.087	0	0	22537	SLU 20	47176	11214	41283	22	SI
190	18.85	4.8	18.85	6.1	368594	SLV 1	-545738	-3780109	0.152	0.087	0	0	-426	ger.	47176	11214	-41283	22	SI
230	18.85	4.8	18.85	6.1	2225308	SLU 19	1792889	3682191	0.131	0.087	0	0	21622	SLU 20	47176	11621	41283	22	SI
230	18.85	4.8	18.85	6.1						0.087	0	0	-1016	ger.	47176	11621	-41283	22	SI

Valutazione dei tagli secondo gerarchia delle resistenze

x	contr.gravitaz.	VEd negativo	contr.mom.resist.	elastico	VEd positivo	contr.mom.resist.	elastico
0	9644	3720	-5925	8695	29206	6486	29206
20	9128	3203	-5925	8389	28367	6486	28367
69	7849	1924	-5925	7634	26284	6486	26284
146	6151	226	-5925	6595	23550	6486	23550
190	5499	-426	-5925	6148	22537	6486	22537
230	4909	-1016	-5925	5745	21622	6486	21622

Verifiche in esercizio

x	M.rara	Comb.R	sigma c. rara	sigma f. rara	M.QP	Comb.QP	sigma c. QP	srmi	wki rara	wki freq.	wki QP	srms	wks rara	wks freq.	wks QP	fg. rara	ff. rara	fg. QP	ff. QP	I/ff.qp	Ver.
0	-2253603	5	97	2906	-1916523	2	82	0	0	0	0	23.3	0.02	0.017	0.02	0	0	0	0	9999	SI
20	-2053509	5	88	2648	-1745056	2	75	0	0	0	0	23.3	0.018	0.015	0.018	0	0	0	0	9999	SI
69	28348	1	1	16	28348	1	1	0	0	0	0	21.9	0.014	0.012	0.015	0.09	0.2	0.08	0.28	2940.1	SI
69	-2053509	5	84	2314	-1745056	2	1														SI
146	944978	4	35	1123	822019	2	30	23.7	0.006	0.005	0.006	21.6	0.004	0.004	0.004	0.22	0.46	0.19	0.66	1242.71	SI
146	-849177	2	31	917	-713165	1	30														SI
190	944978	4	34	1074	822019	2	30	23	0.005	0.005	0.005	0	0	0	0	0	0	0	0	9999	SI
190	-77068	2	3	40	-51779	1	30														SI
230	1261935	4	46	1434	1092780	2	40	23	0.008	0.006	0.008	0	0	0	0	0.35	0.74	0.3	1.06	772.51	SI

Campata n. 2 tra i fili 24 e 34, asta n. 13

Sezione rettangolare H tot. 60 B 40 Cs 3 Ci 3

Sovreresistenza 0%

Verifiche in stato limite ultimo

x	Asup	cs	Ainf	ci	MeI	comb.	MEd	MRd	x/d	Ast	Afp+	Afp-	VEd	comb.	VRcd	VRd	VRsd	teta	Ver.
0	18.85	4.8	18.85	6.1	2375343	SLU 19	2477870	3682191	0.131	0.087	0	0	11395	ger.	47176	11595	41283	22	SI
0	18.85	4.8	18.85	6.1						0.087	0	0	-1016	ger.	47176	11595	-41283	22	SI
40	18.85	4.8	18.85	6.1	2545370	SLU 19	2678965	3682191	0.131	0.087	0	0	10360	ger.	47176	11492	41283	22	SI
40	18.85	4.8	18.85	6.1						0.087	0	0	-2051	ger.	47176	11492	-41283	22	SI
156	9.42	4.8	15.71	6.4	2662253	SLU 19	2687365	3058162	0.147	0.063	0	0	7350	ger.	46943	10725	29607	22	SI
156	9.42	4.8	15.71	6.4						0.063	0	0	-5061	ger.	46943	10725	-29607	22	SI
330	9.42	4.8	15.71	6.4	1774615	SLU 20	2238576	3058162	0.147	0.063	0	0	2852	ger.	46943	10615	29607	22	SI
330	9.42	4.8	15.71	6.4						0.063	0	0	-9559	ger.	46943	10615	-29607	22	SI
503	13.25	4.8	14.43	5.9	-135656	SLU 2	537347	2848377	0.123	0.063	0	0	-16098	SLU 19	48372	9335	-30509	22	SI
503	13.25	4.8	14.43	5.9	-384283	SLU 19	-670118	-2701179	0.132										SI
521	14.09	4.8	13.2	5.6	-232986	SLU 2	297298	2629747	0.115	0.095	0	0	-16831	SLU 19	48381	9858	-46439	22	SI
521	14.09	4.8	13.2	5.6	-670118	SLU 19	-670118	-2858003	0.132										SI
521	14.09	4.8	13.2	5.6	-232986	SLU 2	297298	2629747	0.115	0.095	0	0	-16831	SLU 19	48381	9858	-46439	22	SI
521	14.09	4.8	13.2	5.6	-670118	SLU 19	-670118	-2858003	0.132										SI

Valutazione dei tagli secondo gerarchia delle resistenze

x	contr.gravitaz.	VEd negativo	contr.mom.resist.	elastico	VEd positivo	contr.mom.resist.	elastico
0	4909	-1016	-5925	1947	11395	6486	5128
40	3874	-2051	-5925	912	10360	6486	3582
156	864	-5061	-5925	208	7350	6486	317
330	-3634	-9559	-5925	-8773	2852	6486	-2812
503	-8136	-16098	-5925	-16098	-1650	6486	-5473
521	-8586	-16831	-5925	-16831	-2101	6486	-5739
521	-8586	-16831	-5925	-16831	-2101	6486	-5739

Verifiche in esercizio

x	M.rara	Comb.R	sigma c. rara	sigma f. rara	M.QP	Comb.QP	sigma c. QP	srmi	wki rara	wki freq.	wki QP	srms	wks rara	wks freq.	wks QP	fg. rara	ff. rara	fg. QP	ff. QP	I/ff.qp	Ver.
0	1748389	4	64	1987	1514060	2	55	23	0.012	0.01	0.012	0	0	0	0	0.35	0.74	0.3	1.06	772.51	SI
40	1896291	4	69	2155	1637955	2	60	23	0.013	0.012	0.013	0	0	0	0	0	0	0	0	9999	SI
156	1903245	4	85	2640	1643186	2	74	25	0.018	0.016	0.019	0	0	0	0	0.45	1.02	0.39	1.46	562.29	SI
330	1589547	5	71	2205	1367854	2	61	25	0.014	0.012	0.015	0	0	0	0	0.34	0.79	0.29	1.16	703.99	SI
503	381565	2	14	207	322644	1	12	0	0	0	0	0	0	0	0	0.06	0.26	0.05	0.39	2123.7	SI
503	-477938	4	17	259	-419016	2	12														SI
521	210762	2	8	114	175143	1	6	0	0	0	0	0	0	0	0	0	0	0	0	9999	SI
521	-477938	4	17	258	-419016	2	6														SI
521	210762	2	8	114	175143	1	6	0	0	0	0	0	0	0	0	0.03	0.2	0.02	0.3	2708.16	SI
521	-477938	4	17	258	-419016	2	6														SI

Campata n. 3 tra i fili 34 e 36, asta n. 14

Sezione rettangolare H tot. 60 B 40 Cs 3 Ci 3

Sovreresistenza 0%

Verifiche in stato limite ultimo

x	Asup	cs	Ainf	ci	MeI	comb.	MEd	MRd	x/d	Ast	Afp+	Afp-	VEd	comb.	VRcd	VRd	VRsd	teta	Ver.
0	14.09	4.8	13.2	5.6	-228744	m.i.p.	0	2629747	0.115	0.095	0	0	-16831	SLU 19	48381	10509	-46439	22	SI
0	14.09	4.8	13.2	5.6	-656756	SLU 19	-1602796	-2858003	0.132										SI
0	14.09	4.8	13.2	5.6	-1602300	SLU 19	-1602300	-2858003	0.132	0.095	0	0	-16831	SLU 19	48381	10509	-46439	22	SI
20	13.27	4.7	9.42	4.8	-348421	m.i.p.	0	1923946	0.099	0.095	0	0	-17707	SLU 19	48396	10466	-46454	22	SI
20	13.27	4.7	9.42	4.8	-1007178	SLU 19	-1602796	-2684031	0.126										SI
43	13.45	4.7	9.42	4.8	-488951	m.i.p.	0	1923939	0.099	0.095	0	0	-18688	SLU 19	48396	10511	-46453	22	SI
43	13.45	4.7	9.42	4.8	-1417474	SLU 19	-1602796	-2718044	0.127										SI
53	13.45	4.7	9.42	4.8	-1602796	SLU 19	-1602796	-2718044	0.127	0.095	0	0	-19118	SLU 19	48396	10511	-46453	22	SI
68	13.45	4.7	9.42	4.8	-652783	m.i.p.	0	1923939	0.099	0	0	0	-19778	SLU 19	70174	10511	0	45	SI
68	13.45	4.7	9.42	4.8	-1894486	SLU 19	-1746149	-2718044	0.127										SI

Valutazione dei tagli secondo gerarchia delle resistenze

x	contr.gravitaz.	VEd negativo	contr.mom.resist.	elastico	VEd positivo	contr.mom.resist.	elastico
0	-8586	-16831	-5925	-16831	-2101	6486	-5739
0	-8586	-16831	-5925	-16831	-2101	6486	-5739
20	-9124	-17707	-5925	-17707	-2638	6486	-6056
43	-9726	-18688	-5925	-18688	-3241	6486	-6410
53	-9990	-19118	-5925	-19118	-3504	6486	-6564
68	-10395	-19778	-5925	-19778	-3909	6486	-6802

Verifiche in esercizio

x	M.rara	Comb.R	sigma c. rara	sigma f. rara	M.QP	Comb.QP	sigma c. QP	srmi	wki rara	wki freq.	wki QP	srms	wks rara	wks freq.	wks QP	fg. rara	ff. rara	fg. QP	ff. QP	I/ff.qp	Ver.
0	-1142358	4	49	1632	-991979	2	42	0	0	0	0	23.9	0.009	0.008	0.009	0.03	0.2	0.02	0.3	2708.16	SI
0	-1142005	4	49	1632	-991675	2	42	0	0	0	0	23.9	0.009	0.008	0.009	0	0	0	0	9999	SI
20	-1142358	4	52	1730	-991979	2	45	0	0	0	0	24.6	0.01	0.009	0.01	0.02	0.14	0.02	0.21	3958.01	SI
43	-1142358	4	51	1708	-991979	2	45	0	0	0	0	24.1	0.01	0.008	0.01	0.01	0.07	0.01	0.1	7818.87	SI
53	-1142358	4	51	1708	-991979	2	45	0	0	0	0	24.1	0.01	0.008	0.01	0	0	0	0	9999	SI
68	-1244494	4	56	1861	-1080043	2	49	0	0	0	0	24.1	0.011	0.01	0.011	0	0	0	0	9999	SI

Valutazione dei tagli secondo gerarchia delle resistenze														
x	contr.gravitaz.		VED negativo		contr.mom.resist.		elastico		VED positivo		contr.mom.resist.		elastico	
0	1872		-36493		-38365		-9919		40237		38365		20391	
15	1465		-36900		-38365		-10326		39830		38365		19984	
41	759		-37606		-38365		-11032		39124		38365		19278	
86	-497		-38862		-38365		-12288		37868		38365		18022	
131	-1775		-40140		-38365		-13566		36590		38365		16744	
136	-1903		-40268		-38365		-13694		36462		38365		16616	
136	-1903		-40269		-38365		-13695		36462		38365		16616	

Verifiche in esercizio																					
x	M.rara	Comb.R	sigma c. rara	sigma f. rara	M.QP	Comb.QP	sigma c. QP	srmi	wki rara	wki freq.	wki QP	srms	wks rara	wks freq.	wks QP	fg. rara	ff. rara	fg. QP	ff. QP	l/ff.qp	Ver.
0	-971223	4	44	1452	-841654	2	38	0	0	0	0	24.1	0.008	0.007	0.008	0	0	0	0	9999	SI
15	-928910	4	42	1389	-805493	2	36	0	0	0	0	24.1	0.007	0.006	0.007	0	0	0	0	9999	SI
41	-928910	4	42	1389	-805493	2	36	0	0	0	0	24.1	0.007	0.006	0.007	-0.01	-0.01	-0.01	-0.02	8571.16	SI
86	-880962	5	40	1317	-764521	2	34	0	0	0	0	24.1	0.007	0.006	0.007	-0.01	-0.01	-0.01	-0.02	8525.27	SI
131	-670583	5	25	367	-584582	2	22	0	0	0	0	0	0	0	0	0	0	0	0	9999	SI
136	-653236	5	24	357	-569728	2	21	0	0	0	0	0	0	0	0	0	0	0	0	9999	SI
136	-482339	5	18	264	-423425	2	16	0	0	0	0	0	0	0	0	0	0	0	0	9999	SI

Campata n. 5 tra i fili 41 e 42, asta n. 16,17
Sezione rettangolare H tot. 60 B 40 Cs 3 Ci 3
Sovreresistenza 0%
Campata collegata a parete. La relazione di verifica non viene prodotta.
Campata n. 6 tra i fili 42 e 44, asta n. 18,19
Sezione rettangolare H tot. 60 B 40 Cs 3 Ci 3
Sovreresistenza 0%
Campata collegata a parete. La relazione di verifica non viene prodotta.
Campata n. 7 tra i fili 44 e 49, asta n. 20
Sezione rettangolare H tot. 60 B 40 Cs 3 Ci 3
Sovreresistenza 0%

Verifiche in stato limite ultimo																			
x	Asup	cs	Ainf	ci	Mela	comb.	MEd	MRd	x/d	Ast	Afp+	Afp-	VEd	comb.	VRcd	VRd	VRsd	teta	Ver.
0	13.45	4.7	9.42	4.8	1317048	SLV 16	1317048	1923939	0.099	0.083	0	0	40405	ger.	48396	10511	40423	22	Si
0	13.45	4.7	9.42	4.8	-1937193	SLV 1	-1937193	-2718044	0.127	0.083	0	0	-36325	ger.	48396	10511	-40423	22	Si
0	13.45	4.7	9.42	4.8	1316971	SLV 16	1316971	1923939	0.099	0.083	0	0	40405	ger.	48396	10511	40423	22	Si
0	13.45	4.7	9.42	4.8	-1937094	SLV 1	-1937094	-2718044	0.127	0.083	0	0	-36325	ger.	48396	10511	-40423	22	Si
41	13.45	4.7	9.42	4.8	671232	SLV 16	1316971	1923939	0.099	0.083	0	0	39191	ger.	48396	10511	40423	22	Si
41	13.45	4.7	9.42	4.8	-1159562	SLV 1	-1937094	-2718044	0.127	0.083	0	0	-37539	ger.	48396	10511	-40423	22	Si
86	13.45	4.7	9.42	4.8	-87934	SLV 14	947753	1923939	0.099	0.083	0	0	37823	ger.	48396	10511	40423	22	Si
86	13.45	4.7	9.42	4.8	-370969	SLV 3	-1479388	-2718044	0.127	0.083	0	0	-38907	ger.	48396	10511	-40423	22	Si
121	13.45	4.7	9.42	4.8	234369	SLV 1	375531	1923939	0.099	0.083	0	0	36756	ger.	48396	10511	40423	22	Si
121	13.45	4.7	9.42	4.8	-755729	SLV 16	-837602	-2718044	0.127	0.083	0	0	-39974	ger.	48396	10511	-40423	22	Si
136	13.45	4.7	9.42	4.8	469783	SLV 1	352881	1923939	0.099	0	0	0	36294	ger.	70174	10511	0	45	Si
136	13.45	4.7	9.42	4.8	-1040785	SLV 16	-895521	-2718044	0.127	0	0	0	-40437	ger.	70174	10511	0	45	Si

Valutazione dei tagli secondo gerarchia delle resistenze														
x	contr.gravitaz.		VEd negativo		contr.mom.resist.		elastico		VEd positivo		contr.mom.resist.		elastico	
0		2040		-36325		-38365		-15257		40405		38365		19699
0		2040		-36325		-38365		-15257		40405		38365		19699
41		826		-37539		-38365		-16471		39191		38365		18485
86		-542		-38907		-38365		-17839		37823		38365		17116
121		-1609		-39974		-38365		-18906		36756		38365		16050
136		-2071		-40437		-38365		-19369		36294		38365		15587

Verifiche in esercizio																					
x	M.rara	Comb.R	sigma c. rara	sigma f. rara	M.QP	Comb.QP	sigma c. QP	srmi	wki rara	wki freq.	wki QP	srms	wks rara	wks freq.	wks QP	fg. rara	ff. rara	fg. QP	ff. QP	l/ff.qp	Ver.
0	-324328	5	12	177	-310073	2	12	0	0	0	0	0	0	0	0	0	0	0	0	9999	S1
0	-324316	5	12	177	-310062	2	12	0	0	0	0	0	0	0	0	0	0	0	0	9999	S1
41	-324316	5	12	177	-310062	2	12	0	0	0	0	0	0	0	0	0	0	0	0	9999	S1
86	-272195	2	10	149	-265817	1	10	0	0	0	0	0	0	0	0	0	0	0	0	9999	S1
121	-265037	4	10	145	-260680	2	10	0	0	0	0	0	0	0	0	0	0	0	0	9999	S1
136	-277446	4	10	152	-271320	2	10	0	0	0	0	0	0	0	0	0	0	0	0	9999	S1

Campata n. 8 tra i fili 49 e 57, asta n. 21,22
Sezione rettangolare H tot. 60 B 40 Cs 3 Ci 3
Sovreresistenza 0%

Verifiche in stato limite ultimo																			
x	Asup	cs	Ainf	ci	Mela	comb.	MEd	MRd	x/d	Ast	Afp+	Afp-	VEd	comb.	VRcd	VRd	VRsd	teta	Ver.
0	13.45	4.7	9.42	4.8	-26024	SLV 1	24626	1923939	0.099	0	0	0	31243	ger.	70174	10511	0	45	Si
0	13.45	4.7	9.42	4.8	-655941	SLV 16	-632648	-2718044	0.127	0	0	0	-24214	ger.	70174	10511	0	45	Si
15	13.45	4.7	9.42	4.8	79237	SLV 1	509914	1923939	0.099	0.079	0	0	31096	ger.	48396	10511	38341	22	Si
15	13.45	4.7	9.42	4.8	-615636	SLV 16	-615636	-2718044	0.127	0.079	0	0	-24360	ger.	48396	10511	-38341	22	Si
56	15.45	4.7	12.29	4.8	367092	SLV 1	831029	2489965	0.107	0.079	0	0	30691	ger.	48344	9332	38299	22	Si
56	15.45	4.7	12.29	4.8	-523977	SLV 16	-615636	-3113137	0.129	0.079	0	0	-24766	ger.	48344	9332	-38299	22	Si
119	13.32	4.8	16.01	4.8	832193	SLV 1	1217977	3220377	0.129	0.079	0	0	30077	ger.	48344	9332	38299	22	Si
119	13.32	4.8	16.01	4.8	-439847	SLV 16	-523504	-2692468	0.111	0.079	0	0	-25380	ger.	48344	9332	-38299	22	Si
168	9.42	4.8	9.42	4.8	1217977	SLV 3	1217977	1923635	0.104	0.079	0	0	29597	ger.	48344	9332	38299	22	Si
168	9.42	4.8	9.42	4.8	-489446	SLV 14	-489446	-1923635	0.104	0.079	0	0	-25860	ger.	48344	9332	-38299	22	Si
188	9.42	4.8	9.42	4.8	1361342	SLV 3	1290020	1923635	0.104	0	0	0	29401	ger.	70098	9332	0	45	Si
188	9.42	4.8	9.42	4.8	-508887	SLV 14	-497529	-1923635	0.104	0	0	0	-26056	ger.	70098	9332	0	45	Si

Valutazione dei tagli secondo gerarchia delle resistenze														
x	contr.gravitaz.		VED negativo		contr.mom.resist.		elastico		VED positivo		contr.mom.resist.		elastico	
0		921		-24214		-25135		2071		31243		30322		7788
15		774		-24360		-25135		1924		31096		30322		7641
56		368		-24766		-25135		1519		30691		30322		7235
119		-246		-25380		-25135		-460		30077		30322		7808
168		-725		-25860		-25135		-940		29597		30322		7328
188		-921		-26056		-25135		-1136		29401		30322		7132

Verifiche in esercizio																					
x	M.rara	Comb.R	sigma c. rara	sigma f. rara	M.QP	Comb.QP	sigma c. QP	srmi	wki rara	wki freq.	wki QP	srms	wks rara	wks freq.	wks QP	fg. rara	ff. rara	fg. QP	ff. QP	l/ff.qp	Ver.
0	-310458	4	12	170	-304011	2	11	0	0	0	0	0	0	0	0	0	0	0	0	9999	S1
15	13997	2	1	8	11332	1	0	0	0	0	0	0	0	0	0	0	0	0	0	9999	S1
15	-273524	4	10	150	-268199	2	0														S1
56	201016	3	7	109	195227	2	7	0	0	0	0	0	0	0	0	0	0	0	0	9999	S1
56	-273524	1	10	146	-268199	1	7														S1
119	370109	5	13	197	364265	2	13	0	0	0	0	0	0	0	0	0	0	0	0	9999	S1
119	-77689	1	3	42	-77689	1	13														S1
168	370109	5	14	209	364265	2	14	0	0	0	0	0	0	0	0	0	0	0	0	9999	S1
188	401905	5	15	227	396246	2	15	0	0	0	0	0	0	0	0	0	0	0	0	9999	S1

Ingresso-Principale

Tensioni in combinazione quasi permanente: 1,50
Fessurazione: 10,27
Deformazione: 2,24

T13

Verifiche di resistenza SLE (§ 7.3.7.1) omesse in quanto garantite da uno spettro SLD sempre minore di quello SLV

Caratteristiche dei materiali

Acciaio: B450C fyk = 4500
Calcestruzzo: C25/30 fck,cub (cubica) = 300 fck (cilindrica) = 249

Output campate

Mensola sinistra tra i fili 1 e 11, asta n. 110

Sezione rettangolare H tot. 30 B 50 Cs 3 Ci 3

Sovreresistenza 0%

Verifiche in stato limite ultimo

x	Asup	cs	Ainf	ci	Mela	comb.	MEd	MRd	x/d	Ast	Afp+	Afp-	VEd	comb.	VRcd	VRd	VRsd	teta	Ver.
0	0	3,8	0	3,8	0	SLV 20	0	0	0	0,076	0	0	0	SLV 12	40002	5722	6780	45	S1
0	0	3,8	0	3,8	0	SLV 1	-1499	0	0	0,076	0	0	0	SLV 5	40002	5722	-6780	45	S1
0	0	3,8	0	3,8	0	SLV 20	0	0	0	0,076	0	0	0	SLV 12	40002	5722	6780	45	S1
0	0	3,8	0	3,8	0	SLV 1	-1499	0	0	0,076	0	0	0	SLV 5	40002	5722	-6780	45	S1
81	6,03	4,6	6,03	4,6	-26014	m.i.p.	0	561731	0,175	0,076	0	0	-1643	SLV 19	40319	6553	-6834	45	S1
81	6,03	4,6	6,03	4,6	-66542	SLV 19	-86894	-561731	0,175	0	0	0	0	0	0	0	0	0	S1
171	6,03	4,6	6,03	4,6	-115941	m.i.p.	0	561731	0,175	0,076	0	0	-3469	SLV 19	40319	6553	-6834	45	S1
171	6,03	4,6	6,03	4,6	-296562	SLV 19	-337863	-561731	0,175	0	0	0	0	0	0	0	0	0	S1
250	10,05	4,6	6,03	4,6	-634017	SLV 19	-634017	-892825	0,221	0,076	0	0	-5071	SLV 19	40319	7770	-6834	45	S1
270	10,05	4,6	6,03	4,6	-289049	m.i.p.	0	561993	0,177	0	0	0	-5477	SLV 19	40319	7770	0	45	S1
270	10,05	4,6	6,03	4,6	-739352	SLV 19	-684585	-892825	0,221	0	0	0	0	0	0	0	0	0	S1

Verifiche in esercizio

x	M.rara	Comb.R	sigma c. rara	sigma f. rara	M.QP	Comb.QP	sigma c. QP	srmi	wki rara	wki freq.	wki QP	srms	wks rara	wks freq.	wks QP	fg. rara	ff. rara	fg. QP	ff. QP	l/ff.qp	Ver.	
0	-1078	1	0	0	-937	1	0	0	0	0	0	0	0	0	0	0	0,2	0,48	0,17	0,9	598,22	S1
0	-1078	1	0	0	-937	1	0	0	0	0	0	0	0	0	0	0	0	0	0	0	9999	S1
81	-62459	4	8	116	-54320	2	7	0	0	0	0	0	0	0	0	0	0,12	0,3	0,1	0,56	968,34	S1
171	-242854	4	49	1782	-211206	2	43	0	0	0	0	29,9	0,01	0,009	0,01	0,03	0,12	0,03	0,2	2664,43	S1	
250	-455727	4	76	2050	-396339	2	66	0	0	0	0	22,4	0,009	0,007	0,009	0	0	0	0	0	9999	S1
270	-492075	4	82	2213	-427950	2	71	0	0	0	0	22,4	0,01	0,008	0,01	0	0	0	0	0	9999	S1

Campata n. 1 tra i fili 11 e 23, asta n. 111

Sezione rettangolare H tot. 30 B 50 Cs 3 Ci 3

Sovreresistenza 0%

Verifiche in stato limite ultimo

x	Asup	cs	Ainf	ci	Mela	comb.	MEd	MRd	x/d	Ast	Afp+	Afp-	VEd	comb.	VRcd	VRd	VRsd	teta	Ver.
0	10.05	4.6	6.03	4.6	-136239	m.i.p.	0	561993	0.177	0	0	0	6175	SLV 20	40319	7770	0	45	S1
0	10.05	4.6	6.03	4.6	-459183	SLU 15	-402068	-892825	0.221	0	0	0	-3408	ger.	40319	7770	0	45	S1
20	10.05	4.6	6.03	4.6	-351533	SLU 15	-351533	-892825	0.221	0.168	0	0	5887	ger.	40319	7770	14987	45	S1
20	10.05	4.6	6.03	4.6					0.168	0	0	0	-3408	ger.	40319	7770	-14987	45	S1
67	8.97	4.6	6.03	4.6	30234	SLV 16	47793	561936	0.176	0.077	0	0	5887	ger.	40319	7020	6862	45	S1
67	8.97	4.6	6.03	4.6	-164658	SLV 1	-199575	-804038	0.207	0.077	0	0	-3408	ger.	40319	7020	-6862	45	S1
142	6.03	4.6	6.03	4.6	89248	SLV 16	89411	561731	0.175	0.077	0	0	5887	ger.	40319	6553	6862	45	S1
142	6.03	4.6	6.03	4.6	-22498	SLU 12	-35268	-561731	0.175	0.077	0	0	-3408	ger.	40319	6553	-6862	45	S1
185	6.03	4.6	6.03	4.6	67656	SLU 19	77667	561731	0.175	0.168	0	0	5887	ger.	40319	6553	14987	45	S1
185	6.03	4.6	6.03	4.6					0.168	0	0	0	-3408	ger.	40319	6553	-14987	45	S1
225	6.03	4.6	6.03	4.6	1650	SLU 11	46089	561731	0.175	0	0	0	5887	ger.	40319	6553	0	45	S1
225	6.03	4.6	6.03	4.6					0	0	0	0	-3408	ger.	40319	6553	0	45	S1

Valutazione dei tagli secondo gerarchia delle resistenze

x	contr.gravitaz.	VEd negativo	contr.mom.resist.	elastico	VEd positivo	contr.mom.resist.	elastico
0	0	-3408	-3408	2628	6175	5887	6175
20	0	-3408	-3408	2372	5887	5887	5413
67	0	-3408	-3408	1680	5887	5887	3577
142	0	-3408	-3408	-112	5887	5887	1101
185	0	-3408	-3408	-1153	5887	5887	272
225	0	-3408	-3408	-2689	5887	5887	-321

Verifiche in esercizio

x	M.rara	Comb.R	sigma c. rara	sigma f. rara	M.QP	Comb.QP	sigma c. QP	srmi	wki rara	wki freq.	wki QP	srms	wks rara	wks freq.	wks QP	fg. rara	ff. rara	fg. QP	ff. QP	l/ff.qp	Ver.
0	-262232	5	44	1179	-236055	2	39	0	0	0	0	22,4	0,005	0,004	0,005	0	0	0	0	9999	S1
20	-223143	5	37	1004	-202246	2	34	0	0	0	0	22,4	0,004	0,004	0,004	0	0	0	0	9999	S1
67	-99664	5	12	181	-95168	2	12	0	0	0	0	0	0	0	0	0,02	0,01	0,02	0,04	9999	S1
142	53597	4	7	100	41189	2	5	0	0	0	0	0	0	0	0	0,05	0,04	0,05	0,11	4203,26	S1
185	51812	4	6	96	40967	2	5	0	0	0	0	0	0	0	0	0	0	0	0	9999	S1
225	31755	1	4	59	26050	1	3	0	0	0	0	0	0	0	0	0,08	0,06	0,07	0,17	2620,85	S1

Momenti resistenti a filo appoggi (per controllo pilastri)

campata	x	appoggio	Mb,Rd +	Mb,Rd -
mensola sinistra	250	11	561993	-892825
1	20	11	561993	-892825
1	185	23	561731	-561731

Coefficienti di sicurezza minimi

Resistenza a flessione: 1,41
Resistenza a taglio: 1,17
Tensioni in combinazione rara: 1,76
Tensioni in combinazione quasi permanente: 1,70
Fessurazione: 31,35
Deformazione: 2,39

T14

Verifiche di resistenza SLE (§ 7.3.7.1) omesse in quanto garantite da uno spettro SLD sempre minore di quello SLV

Caratteristiche dei materiali

Acciaio: B450C fyk = 4500
Calcestruzzo: C25/30 fck,cub (cubica) = 300 fck (cilindrica) = 249

Output campate

Mensola sinistra tra i fili 2 e 14, asta n. 108

Sezione rettangolare H tot. 30 B 50 Cs 3 Ci 3

Sovreresistenza 0%

Verifiche in stato limite ultimo

x	Asup	cs	Ainf	ci	Mela	comb.	MEd	MRd	x/d	Ast	Afp+	Afp-	VEd	comb.	VRcd	VRd	VRsd	teta	Ver.
0	0	3,8	0	3,8	0	SLV 4	0	0	0	0,076	0	0	0	SLV 7	40002	5722	6780	45	S1
0	0	3,8	0	3,8	0	SLV 13	-1499	0	0	0,076	0	0	0	SLV 10	40002	5722	-6780	45	S1
0	0	3,8	0	3,8	0	SLV 4	0	0	0	0,076	0	0	0	SLV 7	40002	5722	6780	45	S1
0	0	3,8	0	3,8	0	SLV 13	-1499	0	0	0,076	0	0	0	SLV 10	40002	5722	-6780	45	S1
81	6,03	4,6	6,03	4,6	-26014	m.i.p.	0	561731	0,175	0,076	0	0	-1643	SLV 19	40319	6553	-6834	45	S1
81	6,03	4,6	6,03	4,6	-66542	SLV 19	-86894	-561731	0,175	0	0	0	0	0	0	0	0	0	S1
171	6,03	4,6	6,03	4,6	-115941	m.i.p.	0	561731	0,175	0,076	0	0	-3469	SLV 19	40319	6553	-6834	45	S1
171	6,03	4,6	6,03	4,6	-296562	SLV 19	-337863	-561731	0,175	0	0	0	0	0	0	0	0	0	S1
250	10,05	4,6	6,03	4,6	-634017	SLV 19	-634017	-892825	0,221	0,076	0	0	-5071	SLV 19	40319	7770	-6834	45	S1
270	10,05	4,6	6,03	4,6	-289049	m.i.p.	0	561993	0,177	0	0	0	-5477	SLV 19	40319	7770	0	45	S1
270	10,05	4,6	6,03	4,6	-739352	SLV 19	-684585	-892825	0,221	0	0	0	0	0	0	0	0	0	S1

Verifiche in esercizio

x	M.rara	Comb.R	sigma c. rara	sigma f. rara	M.QP	Comb.QP	sigma c. QP	srmi	wki rara	wki freq.	wki QP	srms	wks rara	wks freq.	wks QP	fg. rara	ff. rara	fg. QP	ff. QP	l/ff.qp	Ver.
0	-1078	1	0	0	-937	1	0	0	0	0	0	0	0	0	0	0	0,48	0	0,9	598,22	S1
0	-1078	1	0	0	-937	1	0	0	0	0	0	0	0	0	0	0	0	0	0	9999	S1
81	-62459	4	8	116	-54320	2	7	0	0	0	0	0	0	0	0	-0,03	0,3	-0,02	0,56	968,34	S1
171	-242854	4	49	1782	-211206	2	43	0	0	0	0	29,9	0,01	0,009	0,01	-0,04	0,12	-0,04	0,2	2664,43	S1
250	-455727	4	76	2050	-396339	2	66	0	0	0	0	22,4	0,009	0,007	0,009	0	0	0	0	9999	S1
270	-492075	4	82	2213	-427950	2	71	0	0	0	0	22,4	0,01	0,008	0,01	0	0	0	0	9999	S1

Campata n. 1 tra i fili 14 e 25, asta n. 109

Sezione rettangolare H tot. 30 B 50 Cs 3 Ci 3

Sovreresistenza 0%

Verifiche in stato limite ultimo

x	Asup	cs	Ainf	ci	Mela	comb.	MEd	MRd	x/d	Ast	Afp+	Afp-	VEd	comb.	VRcd	VRd	VRsd	teta	Ver.
0	10.05	4.6	6.03	4.6	-240929	m.i.p.	0	561993	0.177	0	0	0	7758	SLU 20	40319	7770	0	45	Si
0	10.05	4.6	6.03	4.6	-916908	SLU 20	-839333	-892825	0.221	0	0	0	-3588	ger.	40319	7770	0	45	Si
20	10.05	4.6	6.03	4.6	-766322	SLU 20	-766322	-892825	0.221	0.168	0	0	7316	SLU 20	40319	7770	14987	45	Si

x	contr.gravitaz.	VEd negativo	contr.mom.resist.	elastico	VEd positivo	contr.mom.resist.	elastico
0	0	-3588	-3588	2428	7758	6305	7758
20	0	-3588	-3588	2260	7316	6305	7316
67	0	-3588	-3588	1868	6305	6305	6296
142	0	-3588	-3588	1104	6305	6305	4151
185	0	-3588	-3588	512	6305	6305	2348
225	0	-3588	-3588	-69	6305	6305	637

x	M.rara	Comb.R	sigma c. rara	sigma f. rara	M.QP	Comb.QP	sigma c. QP	srm1	wki rara	wki freq.	wki QP	srm5	wks rara	wks freq.	wks QP	fg.rara	ff.rara	fg.QP	ff.QP	l/ff.qp	Ver.
0	-588441	5	98	2647	-498041	2	83	0	0	0	0	22.4	0.013	0.011	0.013	0	0	0	0	9999	S1
20	-536761	5	89	2414	-453755	2	76	0	0	0	0	22.4	0.011	0.009	0.011	0	0	0	0	9999	S1
67	-360537	5	63	1809	-302841	2	53	0	0	0	0	23.7	0.008	0.007	0.008	0.08	0.08	0.07	0.12	3691.79	S1
142	-18093	2	2	34	-18093	2	2	0	0	0	0	0	0	0	0	0.22	0.26	0.19	0.4	1112.55	S1
142	-58493	5	7	109	-44841	2	3	0	0	0	0	0	0	0	0	0	0	0	0	9999	S1
185	73587	4	9	137	68172	2	8	0	0	0	0	0	0	0	0	0	0	0	0	9999	S1
225	106517	4	13	198	96517	2	12	0	0	0	0	0	0	0	0	0.38	0.45	0.32	0.73	617.95	S1

campata	x	appoggio	Mb,Rd +	Mb,Rd -
mensola sinistra	250	14	561993	-892825
1	20	14	561993	-892825
1	185	25	561731	-561731

Resistenza a flessione: 1,17
Resistenza a taglio 1,09
Tensioni in combinazione rara: 1,49
Tensioni in combinazione quasi permanente: 1,48
Fessurazione: 26,54
Deformazione: 2,39

Verifiche di resistenza SLE (§ 7.3.7.1) omesse in quanto garantite da uno spettro SLD sempre minore di quello SLV

Output campate

Verifiche in stato limite ultimo																			
x	Asup	cs	Ainf	ci	Mela	comb.	MEd	MRd	x/d	Ast	Afp+	Afp-	VEd	comb.	VRcd	VRd	VRsd	teta	Ver.
0	6.03	4.6	6.03	4.6	5280	SLV 2	40497	561731	0.175	0	0	0	2915	SLV 3	40319	6553	0	45	SI
0	6.03	4.6	6.03	4.6	-2147	SLV 15	-18115	-561731	0.175	0	0	0	-1376	SLV 14	40319	6553	0	45	SI
25	6.03	4.6	6.03	4.6	70244	SLV 3	94799	561731	0.175	0.077	0	0	2290	SLV 3	40319	6553	6913	45	SI
25	6.03	4.6	6.03	4.6	-44226	SLV 14	-68905	-561731	0.175	0.077	0	0	-2001	SLV 14	40319	6553	-6913	45	SI
56	6.03	4.6	6.03	4.6	129758	SLV 3	145172	561731	0.175	0.077	0	0	1496	SLV 3	40319	6553	6913	45	SI
56	6.03	4.6	6.03	4.6	-119541	SLV 14	-153364	-561731	0.175	0.077	0	0	-2795	SLV 14	40319	6553	-6913	45	SI
119	8.86	4.6	6.03	4.6	173102	SLV 3	173339	561934	0.176	0.077	0	0	-4410	SLV 14	40319	6553	-6913	45	SI
119	8.86	4.6	6.03	4.6	-345205	SLV 14	-397607	-795496	0.206	0.077	0	0	-5818	SLV 20	40319	7770	-6913	45	SI
168	10.05	4.6	6.03	4.6	135706	SLV 3	150194	561993	0.177	0.077	0	0	-5818	SLV 20	40319	7770	-6913	45	SI
168	10.05	4.6	6.03	4.6	-592692	SLV 14	-592692	-892825	0.221	0.077	0	0	-6706	SLV 20	40319	7770	0	45	SI
188	10.05	4.6	6.03	4.6	102283	SLV 3	121706	561993	0.177	0.077	0	0	-6706	SLV 20	40319	7770	0	45	SI
188	10.05	4.6	6.03	4.6	-711933	SLV 14	-649601	-892825	0.221	0.077	0	0	-6706	SLV 20	40319	7770	0	45	SI

x	M.rara	Comb.R	sigma c. rara	sigma f. rara	M.QP	Comb.QP	sigma c. QP	srmi	wki rara	wki freq.	wki QP	srms	wks rara	wks freq.	wks QP	fg. rara	ff. rara	fg. QP	ff. QP	l/ff.qp	Ver.
0	13574	4	2	25	11191	2	1	0	0	0	0	0	0	0	0	0	0	0	0	9999	S1
25	17000	4	2	32	13428	2	2	0	0	0	0	0	0	0	0	0	0	0	0	9999	S1
56	14487	4	2	27	10822	2	1	0	0	0	0	0	0	0	0	0	0	0	0	9999	S1
56	-6986	2	1	13	-6970	1	1														
119	-12990	2	16	234	-113835	2	14	0	0	0	0	0	0	0	0	-0.01	-0.01	-0.01	-0.02	8542.08	S1
168	-263202	5	44	1184	-228493	2	38	0	0	0	0	22.4	0.005	0.004	0.005					9999	S1
188	-304693	5	51	1370	-263948	2	44	0	0	0	0	22.4	0.005	0.005	0.006	0	0	0	0	9999	S1

Verifiche in stato limite ultimo																			
x	Asup	cs	Ainf	ci	Mela	comb.	MEd	MRd	x/d	Ast	Afp+	Afp-	VEd	comb.	VRcd	VRd	VRsd	teta	Ver.
0	10.05	4.6	6.03	4.6	-183569	m.i.p.	0	561993	0.177	0	0	0	3826	SLU 19	40319	7770	0	45	SI
0	10.05	4.6	6.03	4.6	-439995	SLU 19	-401735	-892825	0.221										SI
20	10.05	4.6	6.03	4.6	-366919	SLU 19	-366919	-892825	0.221	0.08	0	0	3493	SLU 19	40319	7770	7174	45	SI
69	8.86	4.6	6.03	4.6	-89949	m.i.p.	0	561934	0.176	0.08	0	0	2678	SLU 19	40319	6975	7174	45	SI
69	8.86	4.6	6.03	4.6	-215597	SLU 19	-247546	-795245	0.206										SI
146	6.03	4.6	6.03	4.6	-24679	m.i.p.	0	561731	0.175	0.08	0	0	1403	SLU 19	40319	6553	7174	45	SI
146	6.03	4.6	6.03	4.6	-59154	SLU 19	-76469	-561731	0.175										SI
222	6.03	4.6	6.03	4.6	-204	SLU 1	0	561731	0.175	0.08	0	0	128	SLU 19	40319	5751	7174	45	SI
222	6.03	4.6	6.03	4.6	-489	SLU 19	-3169	-561731	0.175										SI
230	0	4.6	0	4.6	0	SLV 13	0	0	0.165	0.08	0	0	0	SLV 9	40319	5751	7174	45	SI
230	0	4.6	0	4.6	0	SLV 4	-1217	0	0.175	0.08	0	0	0	SLV 8	40319	5751	-7174	45	SI
230	0	4.6	0	4.6	0	SLV 13	0	0	0.165	0.08	0	0	0	SLV 9	40319	5751	7174	45	SI
230	0	4.6	0	4.6	0	SLV 4	-1217	0	0.175	0.08	0	0	0	SLV 8	40319	5751	-7174	45	SI

x	M.rara	Comb.R	sigma c. rara	sigma f. rara	M.QP	Comb.QP	sigma c. QP	srm1	wki rara	wki freq.	wki QP	srm5	wks rara	wks freq.	wks QP	fg. rara	ff. rara	fg. QP	ff. QP	l/ff.qp	Ver.
0	-290171	4	48	1305	-255153	2	43	0	0	0	0	22.4	0.005	0.005	0.005	0	0	0	0	9999	S1
20	-265023	4	44	1192	-233040	2	39	0	0	0	0	22.4	0.005	0.004	0.005	0	0	0	0	9999	S1
69	-178801	4	22	324	-157223	2	19	0	0	0	0	0	0	0	0	0.02	0.02	0.02	0.05	9307.33	S1
166	-35233	4	7	103	-48567	2	6	0	0	0	0	0	0	0	0	0.06	0.07	0.06	0.16	2835.41	S1
232	-879	4	0	4	-2013	2	0	0	0	0	0	0	0	0	0	0.31	0.12	0.31	0.28	1573.8	S1
230	-879	5	0	0	-773	2	0	0	0	0	0	0	0	0	0	0	0	0	0	9999	S1
230	-879	5	0	0	-773	2	0	0	0	0	0	0	0	0	0	0.12	0.13	0.11	0.31	1505.99	S1

campata	x	appoggio	Mb,Rd +	Mb,Rd -
1	25	47	561731	-561731
1	168	55	561993	-892825
mensola destra	20	55	561993	-892825

Resistenza a flessione: 1,51
Resistenza a taglio 1,34
Tensioni in combinazione rara: 3,02
Tensioni in combinazione quasi permanente: 2,89
Fessurazione: 61,29
Deformazione: 6,02

Ingresso-Principale

T16

Verifiche di resistenza SLE (§ 7.3.7.1) omesse in quanto garantite da uno spettro SLD sempre minore di quello SLV

Caratteristiche dei materiali

Acciaio: B450C fyk = 4500

Calcestruzzo: C25/30 fck,cub (cubica) = 300 fck (cilindrica) = 249

Output campate

Campata n. 1 tra i fili 48 e 56, asta n. 104

Campata considerata a comportamento non dissipativo

Le sollecitazioni sismiche sono moltiplicate per il fattori di struttura

Sezione rettangolare H tot. 30 B 50 Cs 3 Ci 3

Sovrarestistenza 0%

Verifiche in stato limite ultimo

x	Asup	cs	Ainf	ci	Mela	comb.	MEd	MRd	x/d	Ast	Afp+	Afp-	VEd	comb.	VRcd	VRd	VRsd	teta	Ver.
0	6.03	4.6	6.03	4.6	44	SLV 5	47573	561731	0.175	0	0	0	3850	SLV 3	40319	6553	0	45	S1
0	6.03	4.6	6.03	4.6	-1658	SLV 12	-27157	-561731	0.175	0	0	0	-2088	SLV 14	40319	6553	0	45	S1
25	6.03	4.6	6.03	4.6	90841	SLV 3	129916	561731	0.175	0.077	0	0	3491	SLV 3	40319	6553	6913	45	S1
25	6.03	4.6	6.03	4.6	-57376	SLV 14	-86433	-561731	0.175	0.077	0	0	-2447	SLV 14	40319	6553	-6913	45	S1
56	6.03	4.6	6.03	4.6	193455	SLV 3	227352	561731	0.175	0.077	0	0	3040	SLV 3	40319	6553	6913	45	S1
56	6.03	4.6	6.03	4.6	-141341	SLV 14	-175579	-561731	0.175	0.077	0	0	-2898	SLV 14	40319	6553	-6913	45	S1
119	8.86	4.6	6.03	4.6	358810	SLV 3	379377	561934	0.176	0.077	0	0	2140	SLV 3	40319	6553	6913	45	S1
119	8.86	4.6	6.03	4.6	-351234	SLV 14	-395802	-795496	0.206	0.077	0	0	-3798	SLV 14	40319	6553	-6913	45	S1
168	10.05	4.6	6.03	4.6	443312	SLV 3	443312	561993	0.177	0.077	0	0	1436	SLV 3	40319	7770	6913	45	S1
168	10.05	4.6	6.03	4.6	-554453	SLV 14	-554453	-892825	0.221	0.077	0	0	-4501	SLV 14	40319	7770	-6913	45	S1
188	10.05	4.6	6.03	4.6	469213	SLV 3	457720	561993	0.177	0	0	0	1149	SLV 3	40319	7770	0	45	S1
188	10.05	4.6	6.03	4.6	-647305	SLV 14	-599421	-892825	0.221	0	0	0	-4788	SLV 14	40319	7770	0	45	S1

Verifiche in esercizio

x	M.rara	Comb.R	sigma c. rara	sigma f. rara	M.QP	Comb.QP	sigma c. QP	srmi	wki rara	wki freq.	wki QP	srms	wks rara	wks freq.	wks QP	fg. rara	ff. rara	fg. QP	ff. QP	l/ff.qp	Ver.
0	11423	2	1	21	10208	1	1	0	0	0	0	0	0	0	0	0	0	0	0	9999	S1
25	23826	5	3	44	21742	2	3	0	0	0	0	0	0	0	0	0	0	0	0	9999	S1
56	28036	5	3	52	26220	2	3	0	0	0	0	0	0	0	0	0	0	0	0	9999	S1
119	14484	2	2	27	14473	1	2	0	0	0	0	0	0	0	0	0	0	0	0	9999	S1
119	-14545	4	2	26	-8213	2	2	0	0	0	0	0	0	0	0	0	0	0	0	9999	S1
168	-70823	4	9	127	-55570	2	7	0	0	0	0	0	0	0	0	0	0	0	0	9999	S1
188	-88899	4	11	160	-70851	2	9	0	0	0	0	0	0	0	0	0	0	0	0	9999	S1

Mensola destra tra i fili 56 e 65, asta n. 105

Campata considerata a comportamento non dissipativo

Le sollecitazioni sismiche sono moltiplicate per il fattori di struttura

Sezione rettangolare H tot. 30 B 50 Cs 3 Ci 3

Sovrarestistenza 0%

Verifiche in stato limite ultimo

x	Asup	cs	Ainf	ci	Mela	comb.	MEd	MRd	x/d	Ast	Afp+	Afp-	VEd	comb.	VRcd	VRd	VRsd	teta	Ver.
0	10.05	4.6	6.03	4.6	-183567	m.i.p.	0	561993	0.177	0	0	0	3826	SLU 19	40319	7770	0	45	S1
0	10.05	4.6	6.03	4.6	-439993	SLU 19	-401733	-892825	0.221	0	0	0	0	0	0	0	0	0	9999
20	10.05	4.6	6.03	4.6	-366917	SLU 19	-366917	-892825	0.221	0.077	0	0	3493	SLU 19	40319	7770	6851	45	S1
69	8.86	4.6	6.03	4.6	-89948	m.i.p.	0	561934	0.176	0.077	0	0	2678	SLU 19	40319	6975	6851	45	S1
69	8.86	4.6	6.03	4.6	-215597	SLU 19	-247546	-795249	0.206	0	0	0	0	0	0	0	0	0	9999
146	6.03	4.6	6.03	4.6	-24680	m.i.p.	0	561731	0.175	0.077	0	0	1403	SLU 19	40319	6553	6851	45	S1
146	6.03	4.6	6.03	4.6	-59155	SLU 19	-76470	-561731	0.175	0	0	0	0	0	0	0	0	0	9999
222	6.03	4.6	6.03	4.6	-204	SLU 1	0	561731	0.175	0.077	0	0	128	SLU 19	40319	5751	6851	45	S1
222	6.03	4.6	6.03	4.6	-489	SLU 19	-3170	-561731	0.175	0	0	0	0	0	0	0	0	0	9999
230	0	4.6	0	4.6	0	SLV 16	0	0	0.165	0.077	0	0	0	SLV 10	40319	5751	6851	45	S1
230	0	4.6	0	4.6	0	SLV 1	-1217	0	0.175	0.077	0	0	0	SLV 7	40319	5751	-6851	45	S1
230	0	4.6	0	4.6	0	SLV 16	0	0	0.165	0.077	0	0	0	SLV 10	40319	5751	6851	45	S1
230	0	4.6	0	4.6	0	SLV 1	-1217	0	0.175	0.077	0	0	0	SLV 7	40319	5751	-6851	45	S1

Verifiche in esercizio

x	M.rara	Comb.R	sigma c. rara	sigma f. rara	M.QP	Comb.QP	sigma c. QP	srmi	wki rara	wki freq.	wki QP	srms	wks rara	wks freq.	wks QP	fg. rara	ff. rara	fg. QP	ff. QP	l/ff.qp	Ver.
0	-290169	4	48	1305	-255151	2	43	0	0	0	0	22.4	0.005	0.005	0.005	0	0	0	0	9999	S1
20	-265022	4	44	1192	-233038	2	39	0	0	0	0	22.4	0.005	0.004	0.005	0	0	0	0	9999	S1
69	-178801	4	22	324	-157223	2	19	0	0	0	0	0	0	0	0	0.03	0.02	0.02	0.05	9307.49	S1
146	-55234	4	7	103	-48568	2	6	0	0	0	0	0	0	0	0	0.08	0.07	0.07	0.16	2835.45	S1
222	-2289	4	0	4	-2013	2	0	0	0	0	0	0	0	0	0	0.14	0.12	0.13	0.29	1573.82	S1
230	-879	1	0	0	-773	1	0	0	0	0	0	0	0	0	0	0	0	0	0	9999	S1
230	-879	1	0	0	-773	1	0	0	0	0	0	0	0	0	0	0.14	0.13	0.13	0.31	1506.01	S1

Momenti resistenti a filo appoggi (per controllo pilastri)

campata	x	appoggio	Mb,Rd +	Mb,Rd -
1	25	48	561731	-561731
1	168	56	561993	-892825
mensola destra	20	56	561993	-892825

Coefficienti di sicurezza minimi

Resistenza a flessione: 1,27

Resistenza a taglio 1,73

Tensioni in combinazione rara: 3,02

Tensioni in combinazione quasi permanente: 2,89

Fessurazione: 61,29

Deformazione: 6,02

T17

Verifiche di resistenza SLE (§ 7.3.7.1) omesse in quanto garantite da uno spettro SLD sempre minore di quello SLV

Caratteristiche dei materiali

Acciaio: B450C fyk = 4500

Calcestruzzo: C25/30 fck,cub (cubica) = 300 fck (cilindrica) = 249

Output campate

Campata n. 1 tra i fili 22 e 23, asta n. 23

Sezione rettangolare H tot. 30 B 80 Cs 3 Ci 3

Sovrarestistenza 0%

Verifiche in stato limite ultimo

x	Asup	cs	AInf	ci	meta	comb.	MEd	MRd	x/d	Ast	Afp+	Afp-	VEd	comb.	VRcd	VRd	VRsd	teta	Ver.
0	10.05	5.6	10.05	5.6	1177	SLU 10	5152	903620	0.209	0	0	0	1250	SLU 11	61971	10447	0	45	S1
0	10.05	5.6	10.05	5.6	-4222	SLU 11	-6465	-903620	0.209	0	0	0	-3632	ger.	61971	10447	0	45	S1
15	10.05	5.6	10.05	5.6	13582	SLU 11	26128	903620	0.209	0.125	0	0	1133	SLU 11	61971	10447	10706	45	S1
15	10.05	5.6	10.05	5.6	-14832	SLU 10	-27905	-903620	0.209	0.125	0	0	-3632	ger.	61971	10447	-10706	45	S1
80	19.86	5.6	19.86	5.6	70660	SLU 11	77283	1637204	0.266	0.125	0	0	627	SLU 11	61971	12009	10706	45	S1
80	19.86	5.6	19.86	5.6	-99206	SLU 10	-116835	-1637204	0.266	0.125	0	0	-3632	ger.	61971	12009	-10706	45	S1
168	10.05	5.6	10.05	5.6	95638	SLU 11	95898	903620	0.209	0.125	0	0	-3632	ger.	61971	10447	-10706	45	S1
168	10.05	5.6	10.05	5.6	-255529	SLU 10	-279261	-903620	0.209	0	0	0	0	0	0	0	0	9999	S1
241	10.05	5.6	10.05	5.6	70456	SLU 11	77180	903620	0.209	0.125	0	0	-3632	ger.	61971	10447	-10706	45	S1
241	10.05	5.6	10.05	5.6	-418483	SLU 10	-418483	-903620	0.209	0	0	0	0	0	0	0	0	9999	S1
266	10.05	5.6	10.05	5.6	52328	SLU 11	62633	903620	0.209	0	0	0	-3632	ger.	61971	10447	0	45	S1
266	10.05	5.6	10.05	5.6	-481936	SLU 10	-449255	-903620	0.209	0	0	0	0	0	0	0	0	9999	S1

Valutazione dei tagli secondo gerarchia delle resistenze

x	contr.gravitaz.	VEd negativo	contr.mom.resist.	elastico	VEd positivo	contr.mom.resist.	elastico
0	0	-3632	-3632	-1019	1250	-360	1250
15	0	-3632	-3632	-1109	1133	-360	1133
80	0	-3632	-3632	-1498	627	-360	627
168	0	-3632	-3632	-2044	-49	-360	-49
241	0	-3632	-3632	-2610	-360	-360	-484
266	0	-3632	-3632	-2805	-360	-360	-634

Verifiche in esercizio

x	M.rara	Comb.R	sigma c. rara	sigma f. rara	M.QP	Comb.QP	sigma c. QP	srmi	wki rara	wki freq.	wki QP	srms	wks rara	wks freq.	wks QP	fg. rara	ff. rara	fg. QP	ff. QP	l/ff.qp	Ver.
0	775	5	0	1	775	2	0	0	0	0	0	0	0	0	0	0	0	0	0	9999	S1
0	-2989	1	0	4	-1483	1	0														S1
15	3719	1	0	4	3719	1	0		0	0	0	0	0	0	0	0	0	0	0	9999	S1
15	-11904	5	1	14	-5653	2	0														S1
80	2911	1	0	3	2911	1	0	0	0	0	0	0	0	0	0	-0.02		-0.01	0	9999	S1
80	-58074	5	4	64	-35625	2	0														S1
168	-161988	5	13	190	-117373	2	9	0	0	0	0	0	0	0	0	-0.03	0.01	-0.01	0.01	9999	S1
241	-260923	5	20	306	-201047	2	16	0	0	0	0	0	0	0	0	0	0	0	0	9999	S1
266	-283444	5	22	333	-220442	2	17	0	0	0	0	0	0	0	0	-0.01	0.04	0.01	0.07	9999	S1

Verifiche in stato limite ultimo

x	Asup	cs	Ainf	ci	Mela	comb.	MEd	MRd	x/d	Ast	Afp+	Afp-	VEd	comb.	VRcd	VRd	VRsd	teta	Ver.
0	6.03	4.6	6.03	4.6	182915	SLV 3	164872	561731	0.175	0.101	0	0	-1536	SLU 19	40319	6553	-9065	45	S1
25	6.03	4.6	6.03	4.6	145902	SLV 1	145902	561731	0.175	0.101	0	0	-1658	SLU 19	40319	6553	-9065	45	S1
44	6.03	4.6	6.03	4.6	117091	SLV 1	135097	561731	0.175	0.101	0	0	-1748	SLU 19	40319	6553	-9065	45	S1
92	9.26	4.6	9.16	4.6	36504	SLV 1	56252	819341	0.202	0.101	0	0	-1984	SLU 19	40319	6553	-9065	45	S1
92	9.26	4.6	9.16	4.6	-20965	SLV 16	-31501	-827876	0.204										S1
120	12.06	4.6	12.06	4.6	-12876	SLV 1	7295	1056498	0.222	0.101	0	0	-2121	SLU 19	40319	7694	-9065	45	S1
120	12.06	4.6	12.06	4.6	-48367	SLV 16	-48367	-1056498	0.222										S1
145	12.06	4.6	12.06	4.6	-47692	m.i.p.	0	1056498	0.222	0.101	0	0	-2243	SLU 19	40319	8256	-9065	45	S1
145	12.06	4.6	12.06	4.6	-99699	SLU 19	-71661	-1056498	0.222										S1

Valutazione dei tagli secondo gerarchia delle resistenze

x	contr.gravitaz.	VEd negativo	contr.mom.resist.	elastico	VEd positivo	contr.mom.resist.	elastico
0	0	-1536	-717	-1536	-255	-255	-488
25	0	-1658	-717	-1658	-255	-255	-582
44	0	-1748	-717	-1748	-255	-255	-651
92	0	-1984	-717	-1984	-255	-255	-832
120	0	-2121	-717	-2121	-255	-255	-938
145	0	-2243	-717	-2243	-255	-255	-1032

Verifiche in esercizio

x	M.rara	Comb.R	sigma c. rara	sigma f. rara	M.QP	Comb.QP	sigma c. QP	srmi	wki rara	wki freq.	wki QP	srms	wks rara	wks freq.	wks QP	fg. rara	ff. rara	fg. QP	ff. QP	l/ff.qp	Ver.
0	112387	4	14	209	100186	2	12	0	0	0	0	0	0	0	0	-0.08	-0.08	-0.07	-0.2	5308.27	S1
25	97455	4	12	181	86938	2	11	0	0	0	0	0	0	0	0	0	0	0	0	9999	S1
44	88970	5	11	165	79399	2	10	0	0	0	0	0	0	0	0	-0.12	-0.12	-0.1	-0.28	3776.67	S1
92	25607	5	3	46	22544	2	3	0	0	0	0	0	0	0	0	-0.16	-0.16	-0.14	-0.38	2786.59	S1
92	-7554	1	1	14	-7519	1	3														S1
120	-32905	4	4	57	-30621	2	4	0	0	0	0	0	0	0	0	0	0	0	0	9999	S1
145	-52278	4	6	91	-48310	2	6	0	0	0	0	0	0	0	0	-0.21	-0.2	-0.18	-0.49	2157.81	S1

Campata n. 3 tra i fili 48 e 49, asta n. 103

Sezione rettangolare H tot. 30 B 50 Cs 3 Ci 3

Sovreresistenza 0%

Verifiche in stato limite ultimo

x	Asup	cs	Ainf	ci	Mela	comb.	MEd	MRd	x/d	Ast	Afp+	Afp-	VEd	comb.	VRcd	VRd	VRsd	teta	Ver.
0	12.06	4.6	12.06	4.6	-46886	m.i.p.	0	1056498	0.222	0.101	0	0	-3856	SLV 3	40319	7901	-9065	45	S1
0	12.06	4.6	12.06	4.6	-98001	SLU 19	-143074	-1056498	0.222										S1
25	10.57	4.6	10.57	4.6	-232772	SLU 19	-232772	-934802	0.212	0.101	0	0	-3950	SLV 3	40319	7160	-9065	45	S1
51	7.87	4.6	7.87	4.6	-118955	m.i.p.	0	713197	0.192	0.101	0	0	-4048	SLV 3	40319	6553	-9065	45	S1
51	7.87	4.6	7.87	4.6	-288769	SLU 19	-326030	-713197	0.192										S1
61	6.03	4.6	6.03	4.6	-326030	SLU 19	-326030	-561731	0.175	0.101	0	0	-4084	SLV 3	40319	6553	-9065	45	S1
81	6.03	4.6	6.03	4.6	-154076	m.i.p.	0	561731	0.175		0	0	-4159	SLV 3	40319	6553	0	45	S1
81	6.03	4.6	6.03	4.6	-405040	SLU 19	-365045	-561731	0.175										S1

Valutazione dei tagli secondo gerarchia delle resistenze

x	contr.gravitaz.	VEd negativo	contr.mom.resist.	elastico	VEd positivo	contr.mom.resist.	elastico
0	0	-3856	-717	-3856	-255	-255	-925
25	0	-3950	-717	-3950	-255	-255	-1019
51	0	-4048	-717	-4048	-255	-255	-1117
61	0	-4084	-717	-4084	-255	-255	-1153
81	0	-4159	-717	-4159	-255	-255	-1228

Verifiche in esercizio

x	M.rara	Comb.R	sigma c. rara	sigma f. rara	M.QP	Comb.QP	sigma c. QP	srmi	wki rara	wki freq.	wki QP	srms	wks rara	wks freq.	wks QP	fg. rara	ff. rara	fg. QP	ff. QP	l/ff.qp	Ver.
0	-104396	4	12	181	-95927	2	11	0	0	0	0	0	0	0	0	-0.21	-0.2	-0.18	-0.49	2157.81	S1
25	-169816	4	20	300	-155739	2	18	0	0	0	0	0	0	0	0	0	0	0	0	9999	S1
51	-237931	4	42	1355	-218178	2	39	0	0	0	0	25.6	0.006	0.006	0.006	-0.25	-0.24	-0.22	-0.59	1809.66	S1
61	-237931	4	48	1746	-218178	2	44	0	0	0	0	29.9	0.009	0.009	0.01	0	0	0	0	9999	S1
81	-266451	4	54	1955	-244358	2	49	0	0	0	0	29.9	0.011	0.01	0.011	-0.27	-0.26	-0.24	-0.62	1704.81	S1

Momenti resistenti a filo appoggi (per controllo pilastri)

campata	x	appoggio	Mb,Rd +	Mb,Rd -
1	15	45	561731	-561731
1	279	47	561731	-561731
2	25	47	561731	-561731
2	120	48	1056498	-1056498
3	25	48	934802	-934802
3	61	49	561731	-561731

Coefficienti di sicurezza minimi

Resistenza a flessione: 1,72

Resistenza a taglio 2,22

Tensioni in combinazione rara: 2,06

Tensioni in combinazione quasi permanente: 2,55

Fessurazione: 30,35

Deformazione: 6,82

T21

Verifiche di resistenza SLE (§ 7.3.7.1) omesse in quanto garantite da uno spettro SLD sempre minore di quello SLV

Caratteristiche dei materiali

Acciaio: B450C fyk = 4500

Calcestruzzo: C25/30 fck,cub (cubica) = 300 fck (cilindrica) = 249

Output campate

Campata n. 1 tra i fili 10 e 20, asta n. 27,28

Sezione rettangolare H tot. 60 B 30 Cs 4 Ci 4

Sovreresistenza 0%

Campata collegata a parete. La relazione di verifica non viene prodotta.

Campata n. 2 tra i fili 20 e 22, asta n. 29

Sezione rettangolare H tot. 60 B 30 Cs 4 Ci 4

Sovreresistenza 0%

Verifiche in stato limite ultimo

x	Asup	cs	Ainf	ci	Mela	comb.	MEd	MRd	x/d	Ast	Afp+	Afp-	VEd	comb.	VRcd	VRd	VRsd	teta	Ver.
0	10.3	8.2	10.3	5.7	1550886	SLV 13	1550886	2031953	0.171	0.106	0	0	16358	ger.	51696	7872	20213	45	S1
0	10.3	8.2	10.3	5.7	-833595	SLV 4	-833595	-1928786	0.141	0.106	0	0	-8739	ger.	51696	7872	-20213	45	S1
0	10.3	8.2	10.3	5.7	1550858	SLV 13	1550858	2031953	0.171	0.106	0	0	16358	ger.	51696	7872	20213	45	S1
0	10.3	8.2	10.3	5.7	-833560	SLV 4	-833560	-1928786	0.141	0.106	0	0	-8739	ger.	51696	7872	-20213	45	S1
23	10.3	8.2	10.3	5.7	1416387	SLV 13	1550858	2031953	0.171	0.106	0	0	15987	ger.	51696	7872	20213	45	S1
23	10.3	8.2	10.3	5.7	-674264	SLV 4	-833560	-1928786	0.141	0.106	0	0	-9109	ger.	51696	7872	-20213	45	S1
37	10.3	8.2	10.3	5.7	1332168	SLV 13	1480592	2031953	0.171	0.106	0	0	15764	ger.	51696	7872	20213	45	S1
37	10.3	8.2	10.3	5.7	-583421	SLV 4	-748022	-1928786	0.141	0.106	0	0	-9333	ger.	51696	7872	-20213	45	S1
77	10.3	8.2	10.3	5.7	1068970	SLV 13	1207214	2031953	0.171	0.106	0	0	15103	ger.	51696	7872	20213	45	S1
77	10.3	8.2	10.3	5.7	-336084	SLV 4	-453114	-1928786	0.141	0.106	0	0	-9994	ger.	51696	7872	-20213	45	S1

Valutazione dei tagli secondo gerarchia delle resistenze

x	contr.gravitaz.	VEd negativo	contr.mom.resist.	elastico	VEd positivo	contr.mom.resist.	elastico
0	4439	-8739	-13178	-5658	16358	11919	7106
0	4438	-8739	-13178	16358	16358	11919	7106
23	4068	-9109	-13178	-6028	15987	11919	6736
37	3845	-9333	-13178	-6251	15764	11919	6512
77	3184	-9994	-13178	-6912	15103	11919	5852

Verifiche in esercizio

x	M.rara	Comb.R	sigma c. rara	sigma f. rara	M.QP	Comb.QP	sigma c. QP	srmi	wki rara	wki freq.	wki QP	srms	wks rara	wks freq.	wks QP	fg. rara	ff. rara	fg. QP	ff. QP	l/ff.qp	Ver.
0	359742	4	18	264	358646	2	18	0	0	0	0	0	0	0	0	0	0	0	0	9999	S1
0	379431	4	19	278	371564	2	18	0	0	0	0	0	0	0	0	0	0	0	0	9999	S1
23	385054	4	19	282	374373	2	18	0	0	0	0	0	0	0	0	0.01	0	0	0.01	9999	S1
37	385054	4	19	282	374373	2	18	0	0	0	0	0	0	0	0	0	0	0	0	9999	S1
77	392046	4	19	287	377050	2	19	0	0	0	0	0	0	0	0	0.01	0.01	0.01	0.02	9999	S1

Campata n. 3 tra i fili 22 e 31, asta n. 30

Sezione rettangolare H tot. 60 B 30 Cs 4 Ci 4

Sovreresistenza 0%

Verifiche in stato limite ultimo

x	Asup	cs	Ainf	ci	Mela	comb.	MEd	MRd	x/d	Ast	Afp+	Afp-	VEd	comb.	VRcd	VRd	VRsd	teta	Ver.
0	10.3	8.2	10.3	5.7	1071181	SLV 13	928244	2031953	0.171	0.106	0	0	15103	ger.	51696	7523	20213	45	S1
0	10.3	8.2	10.3	5.7	-336324	SLV 4	-218477	-1928786	0.141	0.106	0	0	-9994	ger.	51696	7523	-20213	45	S1

x	Asup	cs	Ainf	ci	Mela	comb.	MEd	MRd	x/d	Ast	Afp+	Afp-	VEd	comb.	VRcd	VRd	VRsd	teta	Ver.
40	8.93	8.6	10.06	5.7	765453	SLV 13	765453	1977899	0.177	0.106	0	0	14128	ger.	51693	6675	20212	45	SI
40	8.93	8.6	10.06	5.7	-120490	SLV 4	-120490	-1666968	0.133	0.106	0	0	-10968	ger.	51693	6675	-20212	45	SI
100	6.28	9.8	6.28	5.8	291644	SLU 19	462312	1278555	0.162	0.106	0	0	12666	ger.	51621	6671	20184	45	SI
100	6.28	9.8	6.28	5.8	119102	SLU 2	-7839	-1161536	0.125	0.106	0	0	-12430	ger.	51621	6671	-20184	45	SI
211	12.14	7.9	8.77	6.9	364381	SLV 4	375098	1720019	0.159	0.106	0	0	9957	ger.	49663	7059	19418	45	SI
211	12.14	7.9	8.77	6.9	-980286	SLV 13	-1289354	-2269401	0.179	0.106	0	0	-15140	ger.	49663	7059	-19418	45	SI
283	14.58	7.5	12.57	7.8	354295	SLV 4	371922	2361997	0.175	0.106	0	0	8196	ger.	50006	8585	19552	45	SI
283	14.58	7.5	12.57	7.8	-1931753	SLV 13	-1931753	-2711951	0.198	0.106	0	0	-16901	ger.	50006	8585	-19552	45	SI
333	14.58	7.5	12.57	7.8	273400	SLV 4	329390	2361997	0.175	0	0	0	6975	ger.	50006	8698	0	45	SI
333	14.58	7.5	12.57	7.8	-2664608	SLV 13	-2282737	-2711951	0.198	0	0	0	-18122	ger.	50006	8698	0	45	SI

Valutazione dei tagli secondo gerarchia delle resistenze

x	contr.gravitaz.	VEd negativo	contr.mom.resist.	elastico	VEd positivo	contr.mom.resist.	elastico
0	3184	-9994	-13178	-7147	15103	11919	5892
40	2209	-10968	-13178	-8122	14128	11919	4918
100	747	-12430	-13178	-9584	12666	11919	3455
211	-1962	-15140	-13178	-12293	9957	11919	746
283	-3723	-16901	-13178	-14055	8196	11919	-1015
333	-4944	-18122	-13178	-15275	6975	11919	-2236

Verifiche in esercizio

x	M.rara	Comb.R	sigma c. rara	sigma f. rara	M.QP	Comb.QP	sigma c. QP	srmi	wki rara	wki freq.	wki QP	srms	wks rara	wks freq.	wks QP	fg. rara	ff. rara	fg. QP	ff. QP	I/ff.qp	Ver.
0	378460	4	19	277	354883	2	17	0	0	0	0	0	0	0	0	0.01	0.01	0.01	0.02	9999	SI
40	348862	4	17	258	322482	2	16	0	0	0	0	0	0	0	0	0	0	0	0	9999	SI
100	279298	4	14	216	250476	2	13	0	0	0	0	0	0	0	0	0.01	0	0.01	0	9999	SI
211	-483615	4	24	354	-457128	2	23	0	0	0	0	0	0	0	0	-0.01	-0.02	-0.01	-0.04	9999	SI
283	-852668	4	47	1337	-788729	2	44	0	0	0	0	25.6	0.007	0.006	0.008	0	0	0	0	9999	SI
333	-1062749	4	59	1666	-976724	2	54	0	0	0	0	25.6	0.01	0.009	0.011	0	0	0	0	9999	SI

Campata n. 4 tra i fili 31 e 38, asta n. 31

Sezione rettangolare H tot. 60 B 30 Cs 4 Ci 4

Sovreresistenza 0%

Verifiche in stato limite ultimo

x	Asup	cs	Ainf	ci	Mela	comb.	MEd	MRd	x/d	Ast	Afp+	Afp-	VEd	comb.	VRcd	VRd	VRsd	teta	Ver.
0	14.58	7.5	12.57	7.8	1041605	SLV 15	942483	2361997	0.175	0	0	0	22613	ger.	50006	8698	0	45	SI
0	14.58	7.5	12.57	7.8	-1953031	SLV 2	-1597330	-2711951	0.198	0	0	0	-13283	ger.	50006	8698	0	45	SI
50	14.58	7.5	12.57	7.8	812484	SLV 15	812484	2361997	0.175	0.124	0	0	21393	ger.	50006	8552	22961	45	SI
50	14.58	7.5	12.57	7.8	-1272513	SLV 2	-1272513	-2711951	0.198	0.124	0	0	-14503	ger.	50006	8552	-22961	45	SI
99	13.86	7.5	9.82	8.4	529495	SLV 15	678363	1859914	0.163	0.124	0	0	20196	ger.	49965	7420	22943	45	SI
99	13.86	7.5	9.82	8.4	-664106	SLV 2	-961368	-2561291	0.211	0.124	0	0	-15700	ger.	49965	7420	-22943	45	SI
209	7.23	6.3	6.28	9.8	487352	SLV 2	703349	1173691	0.131	0.124	0	0	17507	ger.	47812	6432	21954	45	SI
209	7.23	6.3	6.28	9.8	-520437	SLV 15	-550579	-1431937	0.171	0.124	0	0	-18389	ger.	47812	6432	-21954	45	SI
280	8.29	6.7	8.29	8.8	1071911	SLV 2	1071911	1559092	0.148	0.124	0	0	15733	ger.	48781	6896	22399	45	SI
280	8.29	6.7	8.29	8.8	-1027517	SLV 15	-1027517	-1623093	0.17	0.124	0	0	-20163	ger.	48781	6896	-22399	45	SI
330	8.29	6.7	8.29	8.8	1407829	SLV 2	1256087	1559092	0.148	0	0	0	14455	ger.	50744	7258	0	45	SI
330	8.29	6.7	8.29	8.8	-1601238	SLV 15	-1298156	-1623093	0.17	0	0	0	-21441	ger.	50744	7258	0	45	SI

Valutazione dei tagli secondo gerarchia delle resistenze

x	contr.gravitaz.	VEd negativo	contr.mom.resist.	elastico	VEd positivo	contr.mom.resist.	elastico
0	4044	-13283	-17326	-3965	22613	18570	14228
50	2823	-14503	-17326	-5186	21393	18570	13007
99	1627	-15700	-17326	-6382	20196	18570	11811
209	-1063	-18389	-17326	-9071	17507	18570	9122
280	-2836	-20163	-17326	-10845	15733	18570	7348
330	-4115	-21441	-17326	-12123	14455	18570	6070

Verifiche in esercizio

x	M.rara	Comb.R	sigma c. rara	sigma f. rara	M.QP	Comb.QP	sigma c. QP	srmi	wki rara	wki freq.	wki QP	srms	wks rara	wks freq.	wks QP	fg. rara	ff. rara	fg. QP	ff. QP	I/ff.qp	Ver.
0	-365411	5	18	260	-327424	2	16	0	0	0	0	0	0	0	0	0	0	0	0	9999	SI
50	-254066	5	12	181	-230015	2	11	0	0	0	0	0	0	0	0	0	0	0	0	9999	SI
99	-153100	3	8	111	-141502	2	7	0	0	0	0	0	0	0	0	0	0	0	0	9999	SI
209	94931	5	5	74	83467	2	4	0	0	0	0	0	0	0	0	0	0	0	0	9999	SI
280	60604	2	3	46	57661	1	3	0	0	0	0	0	0	0	0	0	0	0	0	9999	SI
330	14197	2	1	11	9639	1	0	0	0	0	0	0	0	0	0	0	0	0	0	9999	SI
330	-41483	4	2	31	-21034	2	0	0	0	0	0	0	0	0	0	0	0	0	0	SI	

Campata n. 5 tra i fili 38 e 45, asta n. 32

Sezione rettangolare H tot. 60 B 30 Cs 4 Ci 4

Sovreresistenza 0%

Verifiche in stato limite ultimo

x	Asup	cs	Ainf	ci	Mela	comb.	MEd	MRd	x/d	Ast	Afp+	Afp-	VEd	comb.	VRcd	VRd	VRsd	teta	Ver.
0	8.29	6.7	8.29	8.8	904373	SLV 15	901787	1559092	0.148	0	0	0	13486	ger.	50744	7258	0	45	SI
0	8.29	6.7	8.29	8.8	-1697365	SLV 2	-1409282	-1623093	0.17	0	0	0	-3339	ger.	50744	7258	0	45	SI
50	8.29	6.7	8.29	8.8	866467	SLV 15	866467	1559092	0.148	0.084	0	0	12183	ger.	50744	7052	15719	45	SI
50	8.29	6.7	8.29	8.8	-1153932	SLV 2	-1153932	-1623093	0.17	0.084	0	0	-4642	ger.	50744	7052	-15719	45	SI
95	7.86	6.6	7.67	9	777410	SLV 15	832631	1440493	0.143	0.084	0	0	10998	ger.	50895	6626	15766	45	SI
95	7.86	6.6	7.67	9	-722942	SLV 2	-952868	-1547127	0.169	0.084	0	0	-5827	ger.	50895	6626	-15766	45	SI
200	6.28	5.8	6.28	9.8	356245	SLU 20	479929	1161536	0.125	0.068	0	0	8131	ger.	47812	6432	12101	45	SI
200	6.28	5.8	6.28	9.8	78129	SLV 2	-81812	-1278555	0.162	0.068	0	0	-8694	ger.	47812	6432	-12101	45	SI
291	7.97	6.2	8.09	8.9	522251	SLV 2	522251	1513459	0.14	0.068	0	0	5573	ger.	48703	6489	12326	45	SI
291	7.97	6.2	8.09	8.9	-256643	SLV 15	-256643	-1580772	0.167	0.068	0	0	-11252	ger.	48703	6489	-12326	45	SI
316	9.12	6.6	10.67	8.1	603915	SLV 2	567766	2004936	0.161	0.068	0	0	4854	ger.	49457	6536	12517	45	SI
316	9.12	6.6	10.67	8.1	-465647	SLV 15	-356461	-1789829	0.164	0.068	0	0	-11971	ger.	49457	6536	-12517	45	SI

Valutazione dei tagli secondo gerarchia delle resistenze

x	contr.gravitaz.	VEd negativo	contr.mom.resist.	elastico	VEd positivo	contr.mom.resist.	elastico
0	5389	-3339	-8728	-103	13486	8097	11523
50	4086	-4642	-8728	-1406	12183	8097	10221
95	2900	-5827	-8728	-2592	10998	8097	9035
200	34	-8694	-8728	-9458	8131	8097	6169
291	-2524	-11252	-8728	-8016	5573	8097	3610
316	-3243	-11971	-8728	-8735	4854	8097	2892

Verifiche in esercizio

x	M.rara	Comb.R	sigma c. rara	sigma f. rara	M.QP	Comb.QP	sigma c. QP	srmi	wki rara	wki freq.	wki QP	srms	wks rara	wks freq.	wks QP	fg. rara	ff. rara	fg. QP	ff. QP	I/ff.qp	Ver.
0	-294210	4	15	222	-253747	2	13	0	0	0	0	0	0	0	0	0	0	0	0	9999	SI
50	-165566	4	8	125	-143733	2	7	0	0	0	0	0	0	0	0	0	0	0	0	9999	SI
95	117091	5	6	89	97858	2	5	0	0	0	0	0	0	0	0	0.01	0.01	0.01	0.02	9999	SI
95	-67834	1	3	52	-60118	1	5	0	0	0	0	0	0	0	0	0	0	0	0	SI	
200	255660	5	13	199	218633	2	11	0	0	0	0	0	0	0	0	0.02	0.02	0.02	0.04	9999	SI
291	205943	4	10	156	178292	2	9	0	0	0	0	0	0	0	0	0	0	0	0	9999	SI
316	118993	4	6	88	105652	2	5	0	0	0	0	0	0	0	0	0.01	0.01	0.01	0.02	9999	SI

Ingresso-Principale

x		contr.gravitaz.	VEd negativo	contr.mom.resist.	elastico	VEd positivo	contr.mom.resist.	elastico
27		-3741	-12469	-8728	-9979	4356	8097	1262
57		-4303	-13031	-8728	-10541	3794	8097	700
86		-4874	-13602	-8728	-11111	3223	8097	129
89		-4931	-13659	-8728	-11169	3166	8097	72
89		-4931	-13659	-8728	-11169	3166	8097	72

Verifiche in esercizio

x	M.rara	Comb.R	sigma c. rara	sigma f. rara	M.QP	Comb.QP	sigma c. QP	srmi	wki rara	wki freq.	wki QP	srms	wks rara	wks freq.	wks QP	fg. rara	ff. rara	fg. QP	ff. QP	l/ff.qp	Ver.
0	21853	4	1	16	21853	2	1	0	0	0	0	0	0	0	0	0.01	0.01	0.01	0.02	9999	SI
25	-173855	5	9	128	-145883	2	7	0	0	0	0	0	0	0	0	0	0	0	0	9999	SI
27	-183715	5	9	135	-154392	2	8	0	0	0	0	0	0	0	0	0.01	0.01	0.01	0.01	9999	SI
57	-359716	5	18	268	-306247	2	15	0	0	0	0	0	0	0	0	0	0	0	0.01	9999	SI
86	-411632	5	21	313	-351030	2	18	0	0	0	0	0	0	0	0	0	0	0	0	9999	SI
89	-411632	5	21	313	-351030	2	18	0	0	0	0	0	0	0	0	0	0	0	0	9999	SI
89	-411664	5	21	313	-351058	2	18	0	0	0	0	0	0	0	0	0	0	0	0	9999	SI

Campata n. 7 tra i fili 52 e 53, asta n. 34,35

Sezione rettangolare H tot. 60 B 30 Cs 4 Ci 4

Sovreresistenza 0%

Campata collegata a parete. La relazione di verifica non viene prodotta.

Momenti resistenti a filo appoggi (per controllo pilastri)

campata	x	appoggio	Mb,Rd +	Mb,Rd -
1	20	10	862304	-1114622
1	153	20	2031953	-1928786
2	0	20	2031953	-1928786
2	37	22	2031953	-1928786
3	40	22	1977899	-1666968
3	283	31	2361997	-2711951
4	50	31	2361997	-2711951
4	280	38	1559092	-1623093
5	50	38	1559092	-1623093
5	291	45	1513459	-1580772
6	25	45	2099083	-1944243
6	89	52	1251332	-1539197
7	0	52	1251332	-1539197
7	83	53	1251332	-1539197

Coefficienti di sicurezza minimi

Resistenza a flessione: 1,11

Resistenza a taglio 1,02

Tensioni in combinazione rara: 2,69

Tensioni in combinazione quasi permanente: 2,56

Fessurazione: 37,74

Deformazione: 37,08

T22

Verifiche di resistenza SLE (§ 7.3.7.1) omesse in quanto garantite da uno spettro SLD sempre minore di quello SLV

Caratteristiche dei materiali

Acciaio: B450C fyk = 4500

Calcestruzzo: C25/30 fck,cub (cubica) = 300 fck (cilindrica) = 249

Output campate

Campata n. 1 tra i fili 15 e 24, asta n. 36

Sezione rettangolare H tot. 60 B 40 Cs 3 Ci 3

Sovreresistenza 0%

Verifiche in stato limite ultimo

x	Asup	cs	Ainf	ci	Mela	comb.	MEd	MRd	x/d	Ast	Afp+	Afp-	VEd	comb.	VRcd	VRd	VRsd	teta	Ver.
0	15,71	4,8	9,42	4,8	-1039834	m.i.p.	0	1923130	0,098	0	0	0	27215	SLU 20	70098	11064	0	45	SI
0	15,71	4,8	9,42	4,8	-3309028	SLU 20	-3036878	-3156508	0,143										SI
20	15,71	4,8	9,42	4,8	-2773405	SLU 20	-2773405	-3156508	0,143	0,084	0	0	26375	SLU 20	48344	11064	40714	22	SI
69	18,09	4,8	9,42	4,8	-474094	SLU 1	349160	1922990	0,097	0,084	0	0	24293	SLU 20	48344	11064	40714	22	SI
69	18,09	4,8	9,42	4,8	-1532573	SLU 20	-2773405	-3616957	0,162										SI
146	18,85	4,8	17,93	6,1	529269	SLV 16	1143077	3510635	0,127	0,087	0	0	21559	SLU 20	48344	11744	42305	22	SI
146	18,85	4,8	17,93	6,1	-244238	SLV 1	-1192457	-3777902	0,153										SI
190	18,85	4,8	18,85	6,1	1143077	SLU 19	1143077	3682191	0,131	0,087	0	0	20546	SLU 20	47176	11214	41283	22	SI
190	18,85	4,8	18,85	6,1	347288	SLV 1	-495179	-3780109	0,152	0,087	0	0	-426	ger.	47176	11214	-41283	22	SI
230	18,85	4,8	18,85	6,1	1946674	SLU 19	1554082	3682191	0,131	0,087	0	0	19631	SLU 20	47176	11621	41283	22	SI
230	18,85	4,8	18,85	6,1						0,087	0	0	-1016	ger.	47176	11621	-41283	22	SI

Valutazione dei tagli secondo gerarchia delle resistenze

x	contr.gravitaz.	VEd negativo	contr.mom.resist.	elastico	VEd positivo	contr.mom.resist.	elastico
0	9644	3720	-5925	8732	27215	6486	27215
20	9128	3203	-5925	8427	26375	6486	26375
69	7849	1924	-5925	7672	24293	6486	24293
146	6151	226	-5925	6633	21559	6486	21559
190	5499	-426	-5925	6186	20546	6486	20546
230	4909	-1016	-5925	5782	19631	6486	19631

Verifiche in esercizio

x	M.rara	Comb.R	sigma c. rara	sigma f. rara	M.QP	Comb.QP	sigma c. QP	srmi	wki rara	wki freq.	wki QP	srms	wks rara	wks freq.	wks QP	fg. rara	ff. rara	fg. QP	ff. QP	l/ff.qp	Ver.
0	-2151587	5	92	2775	-1839884	2	79	0	0	0	0	23.3	0.019	0.016	0.019	0	0	0	0	9999	SI
20	-1964716	5	84	2534	-1678920	2	72	0	0	0	0	23.3	0.017	0.014	0.017	0	0	0	0	9999	SI
69	-1964716	5	81	2214	-1678920	2	69	0	0	0	0	21.9	0.013	0.012	0.014	0.08	0.18	0.07	0.27	3065,64	SI
146	809242	4	30	962	709755	2	26	23,7	0,005	0,004	0,005	21,6	0,004	0,004	0,004	0,2	0,42	0,17	0,63	1293,05	SI
146	-843890	2	31	911	-713346	1	26														SI
190	809242	4	30	920	709755	2	26	23	0,005	0,004	0,005	0	0	0	0	0	0	0	0	9999	SI
190	-130344	2	5	67	-98470	1	26														SI
230	1099747	4	40	1250	959512	2	35	23	0,006	0,006	0,006	0	0	0	0	0,32	0,68	0,27	1,02	799,46	SI

Campata n. 2 tra i fili 24 e 34, asta n. 37

Sezione rettangolare H tot. 60 B 40 Cs 3 Ci 3

Sovreresistenza 0%

Verifiche in stato limite ultimo

x	Asup	cs	Ainf	ci	Mela	comb.	MEd	MRd	x/d	Ast	Afp+	Afp-	VEd	comb.	VRcd	VRd	VRsd	teta	Ver.
0	18.85	4.8	18.85	6.1	2068713	SLU 19	2185255	3682191	0.131	0.087	0	0	11395	ger.	47176	11595	41283	22	SI
0	18.85	4.8	18.85	6.1						0.087	0	0	-1016	ger.	47176	11595	-41283	22	SI
40	18.85	4.8	18.85	6.1	2266770	SLU 19	2444118	3682191	0.131	0.087	0	0	10360	ger.	47176	11322	41283	22	SI
40	18.85	4.8	18.85	6.1						0.087	0	0	-2051	ger.	47176	11322	-41283	22	SI
156	9.42	4.8	13.45	6.6	2465113	SLU 19	2471853	2619679	0.132	0.063	0	0	7350	ger.	46759	10340	29492	22	SI
156	9.42	4.8	13.45	6.6						0.063	0	0	-5061	ger.	46759	10340	-29492	22	SI
330	9.42	4.8	13.45	6.6	1699102	SLU 20	2119338	2619679	0.132	0.063	0	0	2852	ger.	46759	10340	29492	22	SI
330	9.42	4.8	13.45	6.6						0.063	0	0	-9559	ger.	46759	10340	-29492	22	SI
503	13.25	4.8	14.43	5.9	-111399	SLV 1	539779	2848377	0.123	0.063	0	0	-15397	SLU 19	48372	9335	-30509	22	SI
503	13.25	4.8	14.43	5.9	-338114	SLU 19	-611782	-2701179	0.132										SI
521	14.09	4.8	13.2	5.6	-234170	SLU 2	311902	2629747	0.115	0.095	0	0	-16130	SLU 19	48381	9858	-46439	22	SI
521	14.09	4.8	13.2	5.6	-611782	SLU 19	-611782	-2858003	0.132										SI
521	14.09	4.8	13.2	5.6	-234170	SLU 2	311902	2629747	0.115	0.095	0	0	-16130	SLU 19	48381	9858	-46439	22	SI
521	14.09	4.8	13.2	5.6	-611782	SLU 19	-611782	-2858003	0.132										SI

Valutazione dei tagli secondo gerarchia delle resistenze

x	contr.gravitaz.	VEd negativo	contr.mom.resist.	elastico	VEd positivo	contr.mom.resist.	elastico
0	4909	-1016	-5925	2281	11395	6486	5830
40	3874	-2051	-5925	1496	10360	6486	4145
156	864	-5061	-5925	-1514	7350	6486	508
330	-3634	-9559	-5925	-8072	2852	6486	-2766
503	-8136	-15397	-5925	-15397	-1650	6486	-5427
521	-8586	-16130	-5925	-16130	-2101	6486	-5693
521	-8586	-16130	-5925	-16130	-2101	6486	-5693

Verifiche in esercizio

x	M.rara	Comb.R	sigma c. rara	sigma f. rara	M.QP	Comb.QP	sigma c. QP	srmi	wki rara	wki freq.	wki QP	srms	wks rara	wks freq.	wks QP	fg. rara	ff. rara	fg. QP	ff. QP	l/ff.qp	Ver.
0	1550108	4	57	1762	1351770	2	49	23	0,01	0,009	0,01	0	0	0	0	0,32	0,68	0,27	1,02	799,46	SI
40	1737021	4	63	1974	1507620	2	55	23	0,012	0,01	0,012	0	0	0	0	0	0	0	0	9999	SI
156	1757647	4	83	2862	1523225	2	72	26,5	0,021	0,018	0,021	0	0	0	0	0,42	0,95	0,36	1,44	568,98	SI
330	1508350	5	72	2456	1301469	2	62	26,5	0,017	0,014	0,017	0	0	0	0	0,31	0,75	0,27	1,16	703,99	SI
503	382533	2	14	207	323554	1	12	0	0	0	0	0	0	0	0	0,06	0,25	0,05	0,39	2114,6	SI

x	M.rara	Comb.R	sigma c. rara	sigma f. rara	M.QP	Comb.QP	sigma c. QP	srmi	wki rara	wki freq.	wki QP	srms	wks rara	wks freq.	wks QP	fg. rara	ff. rara	fg. QP	ff. QP	l/ff.qp	Ver.
503	-439217	4	16	238	-387174	2	12														S1
521	219949	2	8	119	182782	1	7	0	0	0	0	0	0	0	0	0	0	0	0	9999	S1
521	-439217	4	16	237	-387174	2	7														S1
521	219949	2	8	119	182782	1	7	0	0	0	0	0	0	0	0	0.03	0.19	0.02	0.3	2693.43	S1
521	-439217	4	16	237	-387174	2	7														S1

Campata n. 3 tra i fili 34 e 36, asta n. 38

Sezione rettangolare H tot. 60 B 40 Cs 3 Ci 3

Sovrarestistenza 0%

Verifiche in stato limite ultimo

x	Asup	cs	Ainf	ci	Mela	comb.	MEd	MRd	x/d	Ast	Afp+	Afp-	VEd	comb.	VRcd	VRd	VRsd	teta	Ver.
0	14.09	4,8	13.2	5,6	-229857	m.i.p.	0	2629747	0,115	0,095	0	0	-16130	SLU 19	48381	10509	-46439	22	S1
0	14.09	4,8	13.2	5,6	-599688	SLU 19	-1508838	-2858003	0,132										S1
0	14.09	4,8	13.2	5,6	-1508359	SLU 19	-1508359	-2858003	0,132	0,095	0	0	-16130	SLU 19	48381	10509	-46439	22	S1
20	13.27	4,7	9.42	4,8	-348596	m.i.p.	0	1923946	0,099	0,095	0	0	-17006	SLU 19	48396	10466	-46454	22	S1
20	13.27	4,7	9.42	4,8	-935890	SLU 19	-1508838	-2684031	0,126										S1
43	13.45	4,7	9.42	4,8	-488084	m.i.p.	0	1923939	0,099	0,095	0	0	-17988	SLU 19	48396	10511	-46453	22	S1
43	13.45	4,7	9.42	4,8	-1330385	SLU 19	-1508838	-2718044	0,127										S1
53	13.45	4,7	9.42	4,8	-1508838	SLU 19	-1508838	-2718044	0,127	0,095	0	0	-18417	SLU 19	48396	10511	-46453	22	S1
68	13.45	4,7	9.42	4,8	-650771	m.i.p.	0	1923939	0,099	0	0	0	-19078	SLU 19	70174	10511	0	45	S1
68	13.45	4,7	9.42	4,8	-1790017	SLU 19	-1646936	-2718044	0,127										S1

Valutazione dei tagli secondo gerarchia delle resistenze

x	contr.gravitaz.	VEd negativo	contr.mom.resist.	elastico	VEd positivo	contr.mom.resist.	elastico
0	-8586	-16130	-5925	-16130	-2101	6486	-5693
0	-8586	-16130	-5925	-16130	-2101	6486	-5693
20	-9124	-17006	-5925	-17006	-2638	6486	-6010
43	-9726	-17988	-5925	-17988	-3241	6486	-6363
53	-9990	-18417	-5925	-18417	-3504	6486	-6518
68	-10395	-19078	-5925	-19078	-3909	6486	-6756

Verifiche in esercizio

x	M.rara	Comb.R	sigma c. rara	sigma f. rara	M.QP	Comb.QP	sigma c. QP	srmi	wki rara	wki freq.	wki QP	srms	wks rara	wks freq.	wks QP	fg. rara	ff. rara	fg. QP	ff. QP	l/ff.qp	Ver.
0	-1079562	4	46	1543	-940409	2	40	0	0	0	0	23,9	0,008	0,007	0,009	0,03	0,19	0,02	0,3	2693.43	S1
0	-1079220	4	46	1542	-940114	2	40	0	0	0	0	23,9	0,008	0,007	0,009	0	0	0	0	9999	S1
20	-1079562	4	49	1634	-940409	2	43	0	0	0	0	24,6	0,009	0,008	0,01	0,02	0,13	0,02	0,21	3929,28	S1
43	-1079562	4	49	1614	-940409	2	42	0	0	0	0	24,1	0,009	0,008	0,009	0,01	0,07	0,01	0,11	7738,96	S1
53	-1079562	4	49	1614	-940409	2	42	0	0	0	0	24,1	0,009	0,008	0,009	0	0	0	0	9999	S1
68	-1178148	5	53	1762	-1025566	2	46	0	0	0	0	24,1	0,01	0,009	0,011	0	0	0	0	9999	S1

Campata n. 4 tra i fili 36 e 41, asta n. 39

Sezione rettangolare H tot. 60 B 40 Cs 3 Ci 3

Sovrarestistenza 0%

Verifiche in stato limite ultimo

x	Asup	cs	Ainf	ci	Mela	comb.	MEd	MRd	x/d	Ast	Afp+	Afp-	VEd	comb.	VRcd	VRd	VRsd	teta	Ver.
0	13.45	4,7	9.42	4,8	-1067407	SLU 19	-1067407	-2718044	0,127	0	0	0	40237	ger.	70174	10511	0	45	S1
0	13.45	4,7	9.42	4,8						0	0	0	-36493	ger.	70174	10511	0	45	S1
15	13.45	4,7	9.42	4,8	-386063	SLU 2	9818	1923939	0,099	0,083	0	0	39830	ger.	48396	10511	40423	22	S1
15	13.45	4,7	9.42	4,8	-1043609	SLU 19	-1183512	-2718044	0,127	0,083	0	0	-36900	ger.	48396	10511	-40423	22	S1
41	13.45	4,7	9.42	4,8	-356367	SLU 2	336163	1923939	0,099	0,083	0	0	39124	ger.	48396	10511	40423	22	S1
41	13.45	4,7	9.42	4,8	-976164	SLU 19	-1522933	-2718044	0,127	0,083	0	0	-37606	ger.	48396	10511	-40423	22	S1
86	13.45	4,7	9.42	4,8	121920	SLV 1	723630	1923939	0,099	0,083	0	0	37868	ger.	48396	10511	40423	22	S1
86	13.45	4,7	9.42	4,8	-1295798	SLV 16	-1980810	-2718044	0,127	0,083	0	0	-38862	ger.	48396	10511	-40423	22	S1
131	13.45	4,7	9.42	4,8	671884	SLV 1	723630	1923939	0,099	0,083	0	0	36590	ger.	48396	10511	40423	22	S1
131	13.45	4,7	9.42	4,8	-1915695	SLV 16	-1980810	-2718044	0,127	0,083	0	0	-40140	ger.	48396	10511	-40423	22	S1
136	13.45	4,7	9.42	4,8	723630	SLV 1	723630	1923939	0,099	0,083	0	0	36462	ger.	48396	10511	40423	22	S1
136	13.45	4,7	9.42	4,8	-1980810	SLV 16	-1980810	-2718044	0,127	0,083	0	0	-40268	ger.	48396	10511	-40423	22	S1
136	13.45	4,7	9.42	4,8	723687	SLV 1	723687	1923939	0,099	0,083	0	0	36462	ger.	48396	10511	40423	22	S1
136	13.45	4,7	9.42	4,8	-1980882	SLV 16	-1980882	-2718044	0,127	0,083	0	0	-40269	ger.	48396	10511	-40423	22	S1

Valutazione dei tagli secondo gerarchia delle resistenze

x	contr.gravitaz.	VEd negativo	contr.mom.resist.	elastico	VEd positivo	contr.mom.resist.	elastico
0	1872	-36493	-38365	-10668	40237	38365	15139
15	1465	-36900	-38365	-11076	39830	38365	14731
41	759	-37606	-38365	-11781	39124	38365	14026
86	-497	-38862	-38365	-13038	37868	38365	12769
131	-1775	-40140	-38365	-14315	36590	38365	11492
136	-1903	-40268	-38365	-14444	36462	38365	11363
136	-1903	-40269	-38365	-14444	36462	38365	11363

Verifiche in esercizio

x	M.rara	Comb.R	sigma c. rara	sigma f. rara	M.QP	Comb.QP	sigma c. QP	srmi	wki rara	wki freq.	wki QP	srms	wks rara	wks freq.	wks QP	fg. rara	ff. rara	fg. QP	ff. QP	l/ff.qp	Ver.
0	-764762	4	34	1144	-661187	2	30	0	0	0	0	24,1	0,006	0,005	0,006	0	0	0	0	9999	S1
15	-747475	4	34	1118	-647535	2	29	0	0	0	0	24,1	0,006	0,005	0,006	0	0	0	0	9999	S1
41	-747475	4	34	1118	-647535	2	29	0	0	0	0	24,1	0,006	0,005	0,006	-0,01	-0,01	0	-0,01	9067,11	S1
86	-728545	5	33	1089	-632660	2	29	0	0	0	0	24,1	0,006	0,005	0,006	-0,01	-0,01	-0,01	-0,02	8287,79	S1
131	-705603	5	32	1055	-628590	2	28	0	0	0	0	24,1	0,005	0,005	0,006	0	0	0	0	9999	S1
136	-705603	5	32	1055	-628590	2	28	0	0	0	0	24,1	0,005	0,005	0,006	0	0	0	0	9999	S1
136	-705611	5	32	1055	-628597	2	28	0	0	0	0	24,1	0,005	0,005	0,006	0	0	0	0	9999	S1

Campata n. 5 tra i fili 41 e 42, asta n. 40,41

Sezione rettangolare H tot. 60 B 40 Cs 3 Ci 3

Sovrarestistenza 0%

Campata collegata a parete. La relazione di verifica non viene prodotta.

Campata n. 6 tra i fili 42 e 44, asta n. 42,43

Sezione rettangolare H tot. 60 B 40 Cs 3 Ci 3

Sovrarestistenza 0%

Campata collegata a parete. La relazione di verifica non viene prodotta.

Campata n. 7 tra i fili 44 e 49, asta n. 44

Sezione rettangolare H tot. 60 B 40 Cs 3 Ci 3

Sovrarestistenza 0%

Verifiche in stato limite ultimo

x	Asup	cs	Ainf	ci	Mela	comb.	MEd	MRd	x/d	Ast	Afp+	Afp-	VEd	comb.	VRcd	VRd	VRsd	teta	Ver.
0	13.45	4,7	9.42	4,8	1139263	SLV 16	1139263	1923939	0,099	0,083	0	0	40405	ger.	48396	10511	40423	22	S1
0	13.45	4,7	9.42	4,8	-1718938	SLV 1	-1718938	-2718044	0,127	0,083	0	0	-36325	ger.	48396	10511	-40423	22	S1
0	13.45	4,7	9.42	4,8	1139200	SLV 16	1139200	1923939	0,099	0,083	0	0	40405	ger.	48396	10511	40423	22	S1
0	13.45	4,7	9.42	4,8	-1718845	SLV 1	-1718845	-2718044	0,127	0,083	0	0	-36325	ger.	48396	10511	-40423	22	S1
41	13.45	4,7	9.42	4,8	604644	SLV 16	1139200	1923939	0,099	0,083	0	0	39191	ger.	48396	10511	40423	22	S1
41	13.45	4,7	9.42	4,8	-984165	SLV 1	-1718845	-2718044	0,127	0,083	0	0	-37539	ger.	48396	10511	-40423	22	S1
86	13.45	4,7	9.42	4,8	-34072	SLV 14	834613	1923939	0,099	0,083	0	0	37823	ger.	48396	10511	40423	22	S1
86	13.45	4,7	9.42	4,8	-240091	SLV 3	-1286088	-2718044	0,127	0,083	0	0	-38907	ger.	48396	10511	-40423	22	S1
121	13.45	4,7	9.42	4,8	321317	SLV 1	357034	1923939	0,099	0,083	0	0	36756	ger.	48396	10511	40423	22	S1
121	13.45	4,7	9.42	4,8	-599537	SLV 16	-680545	-2718044	0,127	0,083	0	0	-39974	ger.	48396	10511	-40423	22	S1
136	13.45	4,7	9.42	4,8	541589	SLV 1	432650	1923939	0,099	0	0	0	36294	ger.	70174	10511	0	45	S1
136	13.45	4,7	9.42	4,8	-844326	SLV 16	-719588	-2718044	0,127	0	0	0	-40437	ger.	70174	10511	0	45	S1

Ingresso-Principale

Verifiche in stato limite ultimo																			
x	Asup	cs	Ainf	ci	Mela	comb.	MEd	MRd	x/d	Ast	Afp+	Afp-	VEd	comb.	VRcd	VRd	VRsd	teta	Ver.
0	13.45	4.7	9.42	4.8	73765	SLV 1	108955	1923939	0.099	0	0	0	31243	ger.	70174	10511	0	45	S1
0	13.45	4.7	9.42	4.8	-493967	SLV 16	-476335	-2718044	0.127	0	0	0	-24214	ger.	70174	10511	0	45	S1
15	13.45	4.7	9.42	4.8	145543	SLV 1	430497	1923939	0.099	0.079	0	0	31096	ger.	48396	10511	38341	22	S1
15	13.45	4.7	9.42	4.8	-462423	SLV 16	-462423	-2718044	0.127	0.079	0	0	-24360	ger.	48396	10511	-38341	22	S1
56	15.45	4.7	12.29	4.8	337462	SLV 1	671916	2489965	0.107	0.079	0	0	30691	ger.	48344	9332	38299	22	S1
56	15.45	4.7	12.29	4.8	-391490	SLV 16	-462423	-3113137	0.129	0.079	0	0	-24766	ger.	48344	9332	-38299	22	S1
119	13.32	4.8	16.01	4.8	673384	SLV 1	943116	3220377	0.129	0.079	0	0	30077	ger.	48344	9332	38299	22	S1
119	13.32	4.8	16.01	4.8	-361528	SLV 16	-416966	-2692468	0.111	0.079	0	0	-25380	ger.	48344	9332	-38299	22	S1
168	9.42	4.8	9.42	4.8	943116	SLV 3	943116	1923635	0.104	0.079	0	0	29597	ger.	48344	9332	38299	22	S1
168	9.42	4.8	9.42	4.8	-416966	SLV 14	-416966	-1923635	0.104	0.079	0	0	-25860	ger.	48344	9332	-38299	22	S1
188	9.42	4.8	9.42	4.8	1047060	SLV 3	995571	1923635	0.104	0	0	0	29401	ger.	70098	9332	0	45	S1
188	9.42	4.8	9.42	4.8	-446778	SLV 14	-430356	-1923635	0.104	0	0	0	-26056	ger.	70098	9332	0	45	S1

Valutazione dei tagli secondo gerarchia delle resistenze

x	contr.gravitaz.	VEd negativo	contr.mom.resist.	elastico	VEd positivo	contr.mom.resist.	elastico
0	921	-24214	-25135	1654	31243	30322	5389
15	774	-24360	-25135	1507	31096	30322	5242
56	368	-24766	-25135	1101	30691	30322	4836
119	-246	-25380	-25135	-967	30077	30322	5824
168	-725	-25860	-25135	-1446	29597	30322	5345
188	-921	-26056	-25135	-1642	29401	30322	5149

Verifiche in esercizio

x	M.rara	Comb.R	sigma c. rara	sigma f. rara	M.QP	Comb.QP	sigma c. QP	srmi	wki rara	wki freq.	wki QP	srms	wks rara	wks freq.	wks QP	fg. rara	ff. rara	fg. QP	ff. QP	l/ff.qp	Ver.
0	-186256	1	7	102	-186256	1	7	0	0	0	0	0	0	0	0	0	0	0	0	9999	S1
15	37958	5	1	21	33169	2	1	0	0	0	0	0	0	0	0	0	0	0	0	9999	S1
15	-161701	1	6	88	-161701	1	1	0	0	0	0	0	0	0	0	0	0	0	0	9999	S1
56	159285	5	6	86	155300	2	6	0	0	0	0	0	0	0	0	0	0	0	0	9999	S1
56	-161701	1	6	86	-161701	1	6	0	0	0	0	0	0	0	0	0	0	0	0	9999	S1
119	263650	5	9	140	263170	2	9	0	0	0	0	0	0	0	0	0	0	0	0	9999	S1
119	-32379	1	1	17	-32379	1	9	0	0	0	0	0	0	0	0	0	0	0	0	9999	S1
168	263650	2	10	149	263170	1	10	0	0	0	0	0	0	0	0	0	0	0	0	9999	S1
188	284619	2	11	160	284148	1	11	0	0	0	0	0	0	0	0	0	0	0	0	9999	S1

Momenti resistenti a filo appoggi (per controllo pilastri)

campata	x	appoggio	Mb,Rd +	Mb,Rd -
1	20	15	1923130	-3156508
1	190	24	3682191	-3780109
2	40	24	3682191	-3780109
2	521	34	2629747	-2858003
3	0	34	2629747	-2858003
3	53	36	1923939	-2718044
4	15	36	1923939	-2718044
4	136	41	1923939	-2718044
5	0	41	1923939	-2718044
5	39	42	1923939	-2718044
6	15	42	1923939	-2718044
6	54	44	1923939	-2718044
7	0	44	1923939	-2718044
7	121	49	1923939	-2718044
8	15	49	1923939	-2718044
8	168	57	1923635	-1923635

Coefficienti di sicurezza minimi

Resistenza a flessione: 1,06
Resistenza a taglio 1,00
Tensioni in combinazione rara: 1,26
Tensioni in combinazione quasi permanente: 1,55
Fessurazione: 10,60
Deformazione: 2,26

T23

Verifiche di resistenza SLE (§ 7.3.7.1) omesse in quanto garantite da uno spettro SLD sempre minore di quello SLV

Caratteristiche dei materiali

Acciaio: B450C fyk = 4500
Calcestruzzo: C25/30 fck,cub (cubica) = 300 fck (cilindrica) = 249

Output campate

Mensola sinistra tra i fili 1 e 11, asta n. 112

Sezione rettangolare H tot. 30 B 50 Cs 3 Ci 3

Sovreresistenza 0%

Verifiche in stato limite ultimo																			
x	Asup	cs	Ainf	ci	Mela	comb.	MEd	MRd	x/d	Ast	Afp+	Afp-	VEd	comb.	VRcd	VRd	VRsd	teta	Ver.
0	3.8	0	3.8	0	0	SLV 15	0	0	0	0.076	0	0	0	SLV 12	40002	5722	6780	45	S1
0	3.8	0	3.8	0	0	SLV 2	-1499	0	0	0.076	0	0	0	SLV 5	40002	5722	-6780	45	S1
0	3.8	0	3.8	0	0	SLV 15	0	0	0	0.076	0	0	0	SLV 12	40002	5722	6780	45	S1
0	3.8	0	3.8	0	0	SLV 2	-1499	0	0	0.076	0	0	0	SLV 5	40002	5722	-6780	45	S1
81	6.03	4.6	6.03	4.6	-26014	m.i.p.	0	561731	0.175	0.076	0	0	-1643	SLU 19	40319	6553	-6834	45	S1
81	6.03	4.6	6.03	4.6	-66542	SLU 19	-86894	-561731	0.175	0.076	0	0	0	SLU 19	40319	6553	-6834	45	S1
171	6.03	4.6	6.03	4.6	-115941	m.i.p.	0	561731	0.175	0.076	0	0	-3469	SLU 19	40319	6553	-6834	45	S1
171	6.03	4.6	6.03	4.6	-296562	SLU 19	-337863	-561731	0.175	0.076	0	0	0	SLU 19	40319	6553	-6834	45	S1
250	10.05	4.6	6.03	4.6	-634017	SLU 19	-634017	-892825	0.221	0.076	0	0	-5071	SLU 19	40319	7770	-6834	45	S1
270	10.05	4.6	6.03	4.6	-289049	m.i.p.	0	561993	0.177	0	0	0	-5477	SLU 19	40319	7770	0	45	S1
270	10.05	4.6	6.03	4.6	-739352	SLU 19	-684585	-892825	0.221	0.076	0	0	0	SLU 19	40319	7770	0	45	S1

Verifiche in esercizio

x	M.rara	Comb.R	sigma c. rara	sigma f. rara	M.QP	Comb.QP	sigma c. QP	srmi	wki rara	wki freq.	wki QP	srms	wks rara	wks freq.	wks QP	fg. rara	ff. rara	fg. QP	ff. QP	l/ff.qp	Ver.
0	-1078	1	0	0	-937	1	0	0	0	0	0	0	0	0	0	0.21	0.48	0.18	0.9	598.22	S1
0	-1078	1	0	0	-937	1	0	0	0	0	0	0	0	0	0	0	0	0	0	9999	S1
81	-62459	4	8	116	-54320	2	7	0	0	0	0	0	0	0	0	0.12	0.3	0.1	0.56	968.34	S1
171	-242854	4	49	1782	-211206	2	43	0	0	0	0	29.9	0.01	0.009	0.01	0.04	0.12	0.03	0.2	2664.43	S1
250	-455727	4	76	2050	-396339	2	66	0	0	0	0	22.4	0.009	0.007	0.009	0	0	0	0	9999	S1
270	-492075	4	82	2213	-427950	2	71	0	0	0	0	22.4	0.01	0.008	0.01	0	0	0	0	9999	S1

Campata n. 1 tra i fili 11 e 23, asta n. 119

Sezione rettangolare H tot. 30 B 50 Cs 3 Ci 3

Sovreresistenza 0%

Verifiche in stato limite ultimo																			
x	Asup	cs	Ainf	ci	Mela	comb.	MEd	MRd	x/d	Ast	Afp+	Afp-	VEd	comb.	VRcd	VRd	VRsd	teta	Ver.
0	10.05	4.6	6.03	4.6	-182213	m.i.p.	0	561993	0.177	0	0	0	6359	SLU 20	40319	7770	0	45	S1
0	10.05	4.6	6.03	4.6	-479439	SLU 15	-421391	-892825	0.221	0	0	0	-3408	ger.	40319	7770	0	45	S1
20	10.05	4.6	6.03	4.6	-369924	SLU 15	-369924	-892825	0.221	0.168	0	0	5839	ger.	40319	7770	14987	45	S1
20	10.05	4.6	6.03	4.6	0	0	0	0	0.168	0.168	0	0	-3408	ger.	40319	7770	-14987	45	S1
67	8.97	4.6	6.03	4.6	-1806	SLV 16	18123	561936	0.176	0.077	0	0	5839	ger.	40319	7020	6862	45	S1
67	8.97	4.6	6.03	4.6	-161576	SLV 1	-204982	-804038	0.207	0.077	0	0	-3408	ger.	40319	7020	-6862	45	S1
142	6.03	4.6	6.03	4.6	72690	SLV 16	73442	561731	0.175	0.077	0	0	5839	ger.	40319	6553	6862	45	S1
142	6.03	4.6	6.03	4.6	-22347	SLU 12	-35086	-561731	0.175	0.077	0	0	-3408	ger.	40319	6553	-6862	45	S1
185	6.03	4.6	6.03	4.6	61770	SLU 19	69668	561731	0.175	0.168	0	0	5839	ger.	40319	6553	14987	45	S1
185	6.03	4.6	6.03	4.6	0	0	0	0	0.168	0.168	0	0	-3408	ger.	40319	6553	-14987	45	S1
225	6.03	4.6	6.03	4.6	1589	SLU 11	43887	561731	0.175	0	0	0	5839	ger.	40319	6553	0	45	S1
225	6.03	4.6	6.03	4.6	0	0	0	0	0	0	0	0	-3408	ger.	40319	6553	0	45	S1

Valutazione dei tagli secondo gerarchia delle resistenze

x	contr.gravitaz.	VEd negativo	contr.mom.resist.	elastico	VEd positivo	contr.mom.resist.	elastico
0	0	-3408	-3408	2625	6359	5839	6359
20	0	-3408	-3408	2370	5839	5839	5597
67	0	-3408	-3408	1757	5839	5839	3762
142	0	-3408	-3408	95	5839	5839	1136
185	0	-3408	-3408	-969	5839	5839	269
225	0	-3408	-3408	-2504	5839	5839	-323

x	M.rara	Comb.R	sigma c. rara	sigma f. rara	M.QP	Comb.QP	sigma c. QP	srmi	wki rara	wki freq.	wki QP	srms	wks rara	wks freq.	wks QP	fg. rara	ff. rara	fg. QP	ff. QP	l/ff.qp	Ver.
20	-247270	5	41	1112	-221323	2	37	0	0	0	0	22.4	0.004	0.004	0.005	0	0	0	0	9999	S1
67	-119382	5	15	216	-110759	2	14	0	0	0	0	0	0	0	0	0.02	0.02	0.02	0.04	9999	S1
142	45884	4	6	85	35084	2	4	0	0	0	0	0	0	0	0	0.05	0.05	0.05	0.13	3564.21	S1
185	46487	4	6	86	36751	2	5	0	0	0	0	0	0	0	0	0	0	0	0	9999	S1
225	30286	1	4	56	24884	1	3	0	0	0	0	0	0	0	0	0.08	0.08	0.08	0.21	2156.48	S1

Momenti resistenti a filo appoggi (per controllo pilastri)

campata	x	appoggio	Mb,Rd +	Mb,Rd -
mensola sinistra	250	11	561993	-892825
1	20	11	561993	-892825
1	185	23	561731	-561731

Coefficienti di sicurezza minimi

Resistenza a flessione: 1,41

Resistenza a taglio 1,18

Tensioni in combinazione rara: 1,76

Tensioni in combinazione quasi permanente: 1,70

Fessurazione: 31,35

Deformazione: 2,39

T24

Verifiche di resistenza SLE (§ 7.3.7.1) omesse in quanto garantite da uno spettro SLD sempre minore di quello SLV

Caratteristiche dei materiali

Acciaio: B450C fyk = 4500

Calcestruzzo: C25/30 fck,cub (cubica) = 300 fck (cilindrica) = 249

Output campate

Mensola sinistra tra i fili 2 e 14, asta n. 117

Sezione rettangolare H tot. 30 B 50 Cs 3 Ci 3

Sovrarestistenza 0%

Verifiche in stato limite ultimo

x	Asup	cs	Ainf	ci	Mela	comb.	MEd	MRd	x/d	Ast	Afp+	Afp-	VEd	comb.	VRcd	VRd	VRsd	teta	Ver.
0	0	3.8	0	3.8	0	SLV 4	0	0	0	0.076	0	0	0	SLV 7	40002	5722	6780	45	S1
0	0	3.8	0	3.8	0	SLV 13	-1499	0	0	0.076	0	0	0	SLV 10	40002	5722	-6780	45	S1
0	0	3.8	0	3.8	0	SLV 4	0	0	0	0.076	0	0	0	SLV 7	40002	5722	6780	45	S1
0	0	3.8	0	3.8	0	SLV 13	-1499	0	0	0.076	0	0	0	SLV 10	40002	5722	-6780	45	S1
81	6.03	4.6	6.03	4.6	-26014	m.i.p.	0	561731	0.175	0.076	0	0	-1643	SLU 19	40319	6553	-6834	45	S1
81	6.03	4.6	6.03	4.6	-66542	SLU 19	-86894	-561731	0.175	0.076	0	0	-3469	SLU 19	40319	6553	-6834	45	S1
171	6.03	4.6	6.03	4.6	-115941	m.i.p.	0	561731	0.175	0.076	0	0	-5071	SLU 19	40319	7770	-6834	45	S1
171	6.03	4.6	6.03	4.6	-296562	SLU 19	-337863	-561731	0.175	0.076	0	0	-5477	SLU 19	40319	7770	0	45	S1
250	10.05	4.6	6.03	4.6	-634017	SLU 19	-634017	-892825	0.221	0.076	0	0	0	SLU 19	40319	7770	0	45	S1
270	10.05	4.6	6.03	4.6	-289049	m.i.p.	0	561993	0.177	0	0	0	0	SLU 19	40319	7770	0	45	S1
270	10.05	4.6	6.03	4.6	-739352	SLU 19	-684585	-892825	0.221	0	0	0	0	SLU 19	40319	7770	0	45	S1

Verifiche in esercizio

x	M.rara	Comb.R	sigma c. rara	sigma f. rara	M.QP	Comb.QP	sigma c. QP	srmi	wki rara	wki freq.	wki QP	srms	wks rara	wks freq.	wks QP	fg. rara	ff. rara	fg. QP	ff. QP	l/ff.qp	Ver.
0	-1078	1	0	0	-937	1	0	0	0	0	0	0	0	0	0	0.03	0.48	0.03	0.9	598.22	S1
0	-1078	1	0	0	-937	1	0	0	0	0	0	0	0	0	0	0	0	0	0	9999	S1
81	-62459	4	8	116	-54320	2	7	0	0	0	0	0	0	0	0	0	0.3	0	0.56	968.34	S1
171	-242854	4	49	1782	-211206	2	43	0	0	0	0	29.9	0.01	0.009	0.01	-0.03	0.12	-0.03	0.2	2664.43	S1
250	-455727	4	76	2050	-396339	2	66	0	0	0	0	22.4	0.009	0.007	0.009	0	0	0	0	9999	S1
270	-492075	4	82	2213	-427950	2	71	0	0	0	0	22.4	0.01	0.008	0.01	0	0	0	0	9999	S1

Campata n. 1 tra i fili 14 e 25, asta n. 118

Sezione rettangolare H tot. 30 B 50 Cs 3 Ci 3

Sovrarestistenza 0%

Verifiche in stato limite ultimo

x	Asup	cs	Ainf	ci	Mela	comb.	MEd	MRd	x/d	Ast	Afp+	Afp-	VEd	comb.	VRcd	VRd	VRsd	teta	Ver.
0	10.05	4.6	6.03	4.6	-245729	m.i.p.	0	561993	0.177	0	0	0	7361	SLU 20	40319	7770	0	45	Si
0	10.05	4.6	6.03	4.6	-857161	SLU 20	-783553	-892825	0.221	0	0	0	-3531	ger.	40319	7770	0	45	Si
20	10.05	4.6	6.03	4.6	-714510	SLU 20	-714510	-892825	0.221	0.168	0	0	6919	SLU 20	40319	7770	14987	45	Si
20	10.05	4.6	6.03	4.6					0.168	0	0	0	-3531	ger.	40319	7770	-14987	45	Si
67	8.97	4.6	6.03	4.6	-100471	m.i.p.	0	561936	0.176	0.077	0	0	6165	ger.	40319	7020	6862	45	Si
67	8.97	4.6	6.03	4.6	-410402	SLU 20	-479633	-804038	0.207	0.077	0	0	-3531	ger.	40319	7020	-6862	45	Si
142	6.03	4.6	6.03	4.6	54459	SLV 16	77517	561731	0.175	0.077	0	0	6165	ger.	40319	6553	6862	45	Si
142	6.03	4.6	6.03	4.6	-81819	SLV 1	-111100	-561731	0.175	0.077	0	0	-3531	ger.	40319	6553	-6862	45	Si
185	6.03	4.6	6.03	4.6	123481	SLV 16	123481	561731	0.175	0.168	0	0	6165	ger.	40319	6553	14987	45	Si
185	6.03	4.6	6.03	4.6	-3425	SLV 1	-20042	-561731	0.175	0.168	0	0	-3531	ger.	40319	6553	-14987	45	Si
225	6.03	4.6	6.03	4.6	146405	SLV 16	145430	561731	0.175	0	0	0	6165	ger.	40319	6553	0	45	Si
225	6.03	4.6	6.03	4.6					0	0	0	0	-3531	ger.	40319	6553	0	45	Si

Valutazione dei tagli secondo gerarchia delle resistenze

x	contr.gravitaz.	VEd negativo	contr.mom.resist.	elastico	VEd positivo	contr.mom.resist.	elastico
0	0	-3531	-3531	2435	7361	6165	7361
20	0	-3531	-3531	2267	6919	6165	6919
67	0	-3531	-3531	1875	6165	6165	5899
142	0	-3531	-3531	1111	6165	6165	3754
185	0	-3531	-3531	519	6165	6165	1952
225	0	-3531	-3531	-120	6165	6165	298

Verifiche in esercizio

x	M.rara	Comb.R	sigma c. rara	sigma f. rara	M.QP	Comb.QP	sigma c. QP	srmi	wki rara	wki freq.	wki QP	srms	wks rara	wks freq.	wks QP	fg. rara	ff. rara	fg. QP	ff. QP	l/ff.qp	Ver.
0	-551886	5	92	2482	-469572	2	78	0	0	0	0	22.4	0.012	0.01	0.012	0	0	0	0	9999	S1
20	-502841	5	84	2262	-427380	2	71	0	0	0	0	22.4	0.01	0.008	0.01	0	0	0	0	9999	S1
67	-336100	5	58	1686	-284000	2	49	0	0	0	0	23.7	0.007	0.006	0.007	0.07	0.07	0.06	0.11	3982.95	S1
142	15989	1	2	30	15989	1	2	0	0	0	0	0	0	0	0	0.2	0.23	0.17	0.37	1205.15	S1
142	-53809	5	7	100	-41694	2	2	0	0	0	0	0	0	0	0	0	0	0	0	9999	S1
185	64062	4	8	119	60028	2	7	0	0	0	0	0	0	0	0	0	0	0	0	9999	S1
225	91720	4	11	170	84185	2	10	0	0	0	0	0	0	0	0	0.34	0.4	0.29	0.67	669.33	S1

Momenti resistenti a filo appoggi (per controllo pilastri)

campata	x	appoggio	Mb,Rd +	Mb,Rd -
mensola sinistra	250	14	561993	-892825
1	20	14	561993	-892825
1	185	25	561731	-561731

Coefficienti di sicurezza minimi

Resistenza a flessione: 1,25

Resistenza a taglio 1,11

Tensioni in combinazione rara: 1,59

Tensioni in combinazione quasi permanente: 1,57

Fessurazione: 28,90

Deformazione: 2,39

T25

Verifiche di resistenza SLE (§ 7.3.7.1) omesse in quanto garantite da uno spettro SLD sempre minore di quello SLV

Caratteristiche dei materiali

Acciaio: B450C fyk = 4500

Calcestruzzo: C25/30 fck,cub (cubica) = 300 fck (cilindrica) = 249

Output campate

Campata n. 1 tra i fili 47 e 55, asta n. 115

Campata considerata a comportamento non dissipativo

Le sollecitazioni sismiche sono moltiplicate per i fattori di struttura

Sezione rettangolare H tot. 30 B 50 Cs 3 Ci 3

Sovrarestistenza 0%

Verifiche in stato limite ultimo

x	Asup	cs	Ainf	ci	Mela	comb.	MEd	MRd	x/d	Ast	Afp+	Afp-	VEd	comb.	VRcd	VRd	VRsd	teta	Ver.
0	6.03	4.6	6.03	4.6	4717	SLV 2	32102	561731	0.175	0	0	0	2276	SLV 3	40319	6553	0	45	S1
0	6.03	4.6	6.03	4.6	-1793	SLV 15	-11136	-561731	0.175	0	0	0	-833	SLV 14	40319	6553	0	45	S1
25	6.03	4.6	6.03	4.6	53724	SLV 3	70944	561731	0.175	0	0	0	1651	SLV 3	40319	6553	0	45	S1
25	6.03	4.6	6.03	4.6	-30330	SLV 14	-48782	-561731	0.175	0	0	0	-1458	SLV 14	40319	6553	0	45	S1
56	6.03	4.6	6.03	4.6	93151	SLV 3	101229	561731	0.175	0.08	0	0	856	SLV 3	40319	6553	7164	45	S1
56	6.03	4.6	6.03	4.6	-88592	SLV 14	-116188	-561731	0.175	0.08	0	0	-2253	SLV 14	40319	6553	-7164	45	S1
119	8.52	4.6	6.03	4.6	96417	SLV 3	103338	561914	0.176	0.08	0	0	-3868	SLV 14	40319	6553	-7164	45	S1
119	8.52	4.6	6.03	4.6	-280234	SLV 14	-326409	-767143	0.202	0	0	0	0	SLV 14	40319	6553	0	45	S1

[illegible]

x	M.rara	Comb.R	sigma c. rara	sigma f. rara	M.QP	Comb.QP	sigma c. QP	srmi	wki rara	wki freq.	wki QP	srms	wks rara	wks freq.	wks QP	fg. rara	ff. rara	fg. QP	ff. QP	1/f,qp	Ver.
0	12890	4	2	24	10483	2	1	0	0	0	0	0	0	0	0	0	0	0	0	9999	S1
25	15455	4	2	29	11810	2	1	0	0	0	0	0	0	0	0	0	0	0	0	9999	S1
50	12321	4	2	23	8547	2	1	0	0	0	0	0	0	0	0	0	0	0	-0.01	9999	S1
56	-10636	2	1	20	-10607	1	1	0	0	0	0	0	0	0	0	0	0	0	0	9999	S1
119	-135322	5	17	246	-120246	2	15	0	0	0	0	0	0	0	0	-0.01	-0.01	-0.02	7734.03	9999	S1
168	-270984	5	45	1219	-236715	2	39	0	0	0	0	22.4	0.005	0.004	0.005	0	0	0	0	9999	S1
188	-312931	5	52	1407	-272652	2	45	0	0	0	0	22.4	0.005	0.005	0.006	0	0	0	0	9999	S1

Verifiche in stato li

x	Asup	cs	Ainf	ci	Mela	comb.	MEd	MRd	x/d	Ast	Afp+	Afp-	VEd	comb.	VRcd	VRd	VRsd	teta	Ver.
0	10.05	4.6	6.03	4.6	-183569	m.i.p.	0	561993	0.177	0	0	0	3826	SLU 19	40319		7770	0	45
0	10.05	4.6	6.03	4.6	-439995	SLU 19	-401735	-892825	0.221	0	0	0							Sl
20	10.05	4.6	6.03	4.6	-366919	SLU 19	-366919	-892825	0.221	0	0	0	3493	SLU 19	40319	7770	0	45	Sl
69	9.21	4.6	6.03	4.6	-89949	m.i.p.	0	561953	0.176	0	0	0	2678	SLU 19	40319	7084	0	45	Sl
69	9.21	4.6	6.03	4.6	-215597	SLU 19	-247546	-823564	0.21	0	0	0							Sl
146	6.03	4.6	6.03	4.6	-24679	m.i.p.	0	561731	0.175	0	0	0	1403	SLU 19	40319	6553	0	45	Sl
146	6.03	4.6	6.03	4.6	-59154	SLU 19	-76469	-561731	0.175	0	0	0							Sl
222	6.03	4.6	6.03	4.6	-204	SLU 1	0	561731	0.175	0	0	0	128	SLU 19	40319	6553	0	45	Sl
222	6.03	4.6	6.03	4.6	-489	SLU 19	-3169	-561731	0.175	0	0	0							Sl
230	6.03	4.6	6.03	4.6	0	SLV 3	0	561731	0.175	0	0	0	0	SLV 5	40319	6553	0	45	Sl
230	6.03	4.6	6.03	4.6	0	SLV 14	-1217	-561731	0.175	0	0	0	0	SLV 12	40319	6553	0	45	Sl
230	6.03	4.6	6.03	4.6	0	SLV 3	0	561731	0.175	0	0	0	0	SLV 5	40319	6553	0	45	Sl
230	6.03	4.6	6.03	4.6	0	SLV 14	-1217	-561731	0.175	0	0	0	0	SLV 12	40319	6553	0	45	Sl

Genetic	M.rara	Comb.R	sigma c. rara	sigma f. rara	M.QP	Comb.QP	sigma c. QP	srmi	wki rara	wki freq.	wki QP	srms	wks rara	wks freq.	wks QP	fg. rara	ff. rara	fg. QP	ff. QP	l/ff.qp	Ver.	
0	-290171	4	48	1305	-255153	2	43	0	0	0	0	22.4	0.005	0.005	0.005	0	0	0	0	9999	S1	
20	-265023	4	44	1192	-233040	2	39	0	0	0	0	22.4	0.005	0.004	0.005	0	0	0	0	9999	S1	
69	-178801	4	22	323	-197223	2	19	0	0	0	0	0	0	0	0	0	0.02	0.02	0.02	0.05	9308.36	S1
146	-55233	4	7	103	-48567	2	6	0	0	0	0	0	0	0	0	0	0.06	0.07	0.06	0.16	2837.55	S1
222	-22239	4	0	84	-2013	2	0	0	0	0	0	0	0	0	0	0.1	0.12	0.1	0.29	1575.14	S1	
230	-879	5	0	2	-773	2	0	0	0	0	0	0	0	0	0	0	0	0	0	9999	S1	
230	-879	5	0	2	-773	2	0	0	0	0	0	0	0	0	0	0	0.12	0.13	0.11	0.31	1507.3	S1

campata		x	appoggio	Mb,Rd +	Mb,Rd -
1		25	47	561731	-561731
1		168	55	561993	-892825
mensola destra		20	55	561993	-892825

Deformazione: 6,03

Verifiche in stato limite ultimo

x	Asup	cs	Ainf	ci	Mela	comb.	MeD	MRd	x/d	Ast	Afp+	Afp-	VEd	comb.	VRcd	VRd	VRsd	teta	Ver.
0	6.03	4.6	6.03	4.6	129	SLV 5	39629	561731	0.175	0	0	0	3199	SLV 3	40319	6553	0	45	Sl
0	6.03	4.6	6.03	4.6	-12133	SLV 12	-22763	-561731	0.175	0	0	0	-1763	SLV 14	40319	6553	0	45	Sl
25	6.03	4.6	6.03	4.6	74947	SLV 3	106550	561731	0.175	0	0	0	2840	SLV 3	40319	6553	0	45	Sl
25	6.03	4.6	6.03	4.6	-49111	SLV 14	-74443	-561731	0.175	0	0	0	-2122	SLV 14	40319	6553	0	45	Sl
56	6.03	4.6	6.03	4.6	157099	SLV 3	183524	561731	0.175	0.08	0	0	2389	SLV 3	40319	6553	7164	45	Sl
56	6.03	4.6	6.03	4.6	-122873	SLV 14	-153384	-561731	0.175	0.08	0	0	-2573	SLV 14	40319	6553	-7164	45	Sl
119	8.52	4.6	6.03	4.6	278633	SLV 3	294727	561914	0.176	0.08	0	0	1488	SLV 3	40319	6553	7164	45	Sl
119	8.52	4.6	6.03	4.6	-312408	SLV 14	-353250	-767143	0.202	0.08	0	0	-3473	SLV 14	40319	6553	-7164	45	Sl
168	10.05	4.6	6.03	4.6	334253	SLV 3	334253	561993	0.177	0.08	0	0	785	SLV 3	40319	7770	7164	45	Sl
168	10.05	4.6	6.03	4.6	-4499727	SLV 14	-4499727	-892825	0.221	0.08	0	0	-4176	SLV 14	40319	7770	-7164	45	Sl
188	10.05	4.6	6.03	4.6	347131	SLV 3	342150	561993	0.177	0	0	0	498	SLV 3	40319	7770	0	45	Sl
188	10.05	4.6	6.03	4.6	-586085	SLV 14	-541449	-892825	0.221	0	0	0	-4464	SLV 14	40319	7770	0	45	Sl

[illegible]

x	Asup
---	------

x	Asup	cs	Ainf	ci	Mela	comb.	MEd	Mrd	x/d	Ast	Arp+	Alp-	VEd	comb.	VRcd	VRd	VRsd	teta	Ver.
0	10,05	4,6	6,03	4,6	-183567	m.i.p.	0	561993	0,177		0	0	3826	SLU 19	40319	7770	0	45	Si
0	10,05	4,6	6,03	4,6	-439993	SLU 19	-401733	-892825	0,221										Si
20	10,05	4,6	6,03	4,6	-366917	SLU 19	-366917	-892825	0,221	0	0	0	3493	SLU 19	40319	7770	0	45	Si
69	9,21	4,6	6,03	4,6	-89948	m.i.p.	0	561953	0,176	0	0	0	2678	SLU 19	40319	7084	0	45	Si
69	9,21	4,6	6,03	4,6	-215597	SLU 19	-247546	-823567	0,21										Si
146	6,03	4,6	6,03	4,6	-24680	m.i.p.	0	561731	0,175	0	0	0	1403	SLU 19	40319	6553	0	45	Si
146	6,03	4,6	6,03	4,6	-59155	SLU 19	-76470	-561731	0,175										Si
222	6,03	4,6	6,03	4,6	-204	SLU 1	0	561731	0,175	0	0	0	128	SLU 19	40319	6553	0	45	Si
222	6,03	4,6	6,03	4,6	-489	SLU 19	-3170	-561731	0,175										Si
230	6,03	4,6	6,03	4,6	0	SLV 4	0	561731	0,175	0	0	0	0	SLV 6	40319	6553	0	45	Si
230	6,03	4,6	6,03	4,6	0	SLV 13	-1217	-561731	0,175	0	0	0	0	SLV 11	40319	6553	0	45	Si
230	6,03	4,6	6,03	4,6	0	SLV 4	0	561731	0,175	0	0	0	0	SLV 6	40319	6553	0	45	Si
230	6,03	4,6	6,03	4,6	0	SLV 13	-1217	-561731	0,175	0	0	0	0	SLV 11	40319	6553	0	45	Si

[illegible]

x	M.rara	Comb.R	sigma c. rara	sigma f. rara	M.QP	Comb.QP	sigma c. QP	srmi	wki rara	wki freq.	wki QP	srms	wks rara	wks freq.	wks QP	fg. rara	ff. rara	fg. QP	ff. QP	l/ff.qp	Ver.
230	-879	5	0	2	-773	2	0	0	0	0	0	0	0	0	0	0,15	0,13	0,14	0,31	1507,33	S1

Momenti resistenti a filo appoggi (per controllo pilastri)

campata	x	appoggio	Mb,Rd +	Mb,Rd -
1	25	48	561731	-561731
1	168	56	561993	-892825
mensola destra	20	56	561993	-892825

Coefficienti di sicurezza minimi

Resistenza a flessione: 1,68

Resistenza a taglio 1,86

Tensioni in combinazione rara: 3,02

Tensioni in combinazione quasi permanente: 2,89

Fessurazione: 61,29

Deformazione: 6,03

T27

Verifiche di resistenza SLE (§ 7.3.7.1) omesse in quanto garantite da uno spettro SLD sempre minore di quello SLV

Caratteristiche dei materiali

Acciaio: B450C fyk = 4500

Calcestruzzo: C25/30 fck,cub (cubica) = 300 fcd (cilindrica) = 249

Output campate

Campata n. 1 tra i fili 22 e 23, asta n. 47

Sezione rettangolare H tot. 30 B 80 Cs 3 Ci 3

Sovreresistenza 0%

Verifiche in stato limite ultimo

x	Asup	cs	Ainf	ci	Mela	comb.	MEd	MRd	x/d	Ast	Afp+	Afp-	VEd	comb.	VRcd	VRd	VRsd	teta	Ver.
0	10,05	5,6	10,05	5,6	35	SLU 9	5183	903620	0,209	0	0	0	1254	SLU 11	61971	10447	0	45	S1
0	10,05	5,6	10,05	5,6	-4239	SLU 12	-4747	-903620	0,209	0	0	0	-3164	ger.	61971	10447	0	45	S1
15	10,05	5,6	10,05	5,6	13644	SLU 11	26237	903620	0,209	0,125	0	0	1137	SLU 11	61971	10447	10706	45	S1
15	10,05	5,6	10,05	5,6	-10246	SLU 10	-18930	-903620	0,209	0,125	0	0	-3164	ger.	61971	10447	-10706	45	S1
80	19,86	5,6	19,86	5,6	70986	SLU 11	77656	1637204	0,266	0,125	0	0	632	SLU 11	61971	12009	10706	45	S1
80	19,86	5,6	19,86	5,6	-69844	SLU 10	-83084	-1637204	0,266	0,125	0	0	-3164	ger.	61971	12009	-10706	45	S1
168	10,05	5,6	10,05	5,6	96326	SLU 11	96550	903620	0,209	0,125	0	0	-3164	ger.	61971	10447	-10706	45	S1
168	10,05	5,6	10,05	5,6	-192264	SLU 10	-211607	-903620	0,209	0,125	0	0	-3164	ger.	61971	10447	-10706	45	S1
241	10,05	5,6	10,05	5,6	71440	SLU 11	78117	903620	0,209	0,125	0	0	-3164	ger.	61971	10447	-10706	45	S1
241	10,05	5,6	10,05	5,6	-327487	SLU 10	-327487	-903620	0,209	0,125	0	0	-3164	ger.	61971	10447	-10706	45	S1
266	10,05	5,6	10,05	5,6	53413	SLU 11	63668	903620	0,209	0	0	0	-3164	ger.	61971	10447	0	45	S1
266	10,05	5,6	10,05	5,6	-381378	SLU 10	-353477	-903620	0,209	0	0	0	-3164	ger.	61971	10447	0	45	S1

Valutazione dei tagli secondo gerarchia delle resistenze

x	contr.gravitaz.	VEd negativo	contr.mom.resist.	elastico	VEd positivo	contr.mom.resist.	elastico
0	0	-3164	-3164	-636	1254	-379	1254
15	0	-3164	-3164	-726	1137	-379	1137
80	0	-3164	-3164	-1115	632	-379	632
168	0	-3164	-3164	-1661	-46	-379	-46
241	0	-3164	-3164	-2226	-379	-379	-481
266	0	-3164	-3164	-2421	-379	-379	-631

Verifiche in esercizio

Performance results																						
x	M.rara	Comb.R	sigma c. rara	sigma f. rara	M.QP	Comb.QP	sigma c. QP	srmi	wki rara	wki freq.	wki QP	srms	wks rara	wks freq.	wks QP	fg. rara	ff. rara	fg. QP	ff. QP	l/ff.qp	Ver.	
0	1313	4	0	2	1313	2	0	0	0	0	0	0	0	0	0	0	0	0	0	9999	S1	
0	-1836	2	0	2	-572	1	0	0	0	0	0	0	0	0	0	0	0	0	0	9999	S1	
15	6727	1	1	8	6727	1	1	0	0	0	0	0	0	0	0	0	0	0	0	9999	S1	
15	-5893	5	0	7	-839	2	1														S1	
80	11364	1	1	13	11364	1	1	0	0	0	0	0	0	0	0	-0.01	0	0	0	9999	S1	
80	-35478	5	3	39	-17487	2	1														S1	
168	-116697	5	9	137	-81003	2	6	0	0	0	0	0	0	0	0	-0.02	0	0.01	0.01	9999	S1	
241	-200007	5	16	235	-152125	2	12	0	0	0	0	0	0	0	0	0	0	0	0	9999	S1	
266	-219326	5	17	258	-168948	2	13	0	0	0	0	0	0	0	0	0	0.02	0.03	0.02	0.04	9999	S1

Campata n. 2 tra i fili 23 e 25, asta n. 48

Sezione rettangolare H tot. 30 B 80 Cs 3 Ci 3

Sovreresistenza 0%

Verifiche in stato limite ultimo

x	Asup	cs	Ainf	ci	Mela	comb.	MEd	MRd	x/d	Ast	Afp+	Afp-	VEd	comb.	VRcd	VRd	VRsd	teta	Ver.
0	10,05	5,6	10,05	5,6	52863	SLU 11	37333	903620	0,209	0	0	0	-4926	SLU 19	61971	10447	0	45	S1
0	10,05	5,6	10,05	5,6	-383039	SLU 10	-441017	-903620	0,209	0	0	0	-4926	SLU 19	61971	10447	0	45	S1
25	10,05	5,6	10,05	5,6	19359	SLU 11	19359	903620	0,209	0,129	0	0	-5121	SLU 19	61971	10447	-11106	45	S1
25	10,05	5,6	10,05	5,6	-500876	SLU 10	-556231	-903620	0,209	0,129	0	0	-5121	SLU 19	61971	10447	-11106	45	S1
57	10,05	5,6	10,05	5,6	-23556	m.i.p.	0	903620	0,209	0,129	0	0	-5370	SLU 19	61971	10447	-11106	45	S1
57	10,05	5,6	10,05	5,6	-664232	SLU 20	-726384	-903620	0,209	0,129	0	0	-5864	SLU 19	62753	11947	-11247	45	S1
120	16,34	5,3	10,05	5,6	-117738	m.i.p.	0	900626	0,206	0,129	0	0	-6213	SLU 19	62753	12348	-11247	45	S1
120	16,34	5,3	10,05	5,6	-1019962	SLU 19	-1087791	-1396460	0,253	0,129	0	0	-6213	SLU 19	62753	12348	-11247	45	S1
165	16,34	5,3	10,05	5,6	-1289682	SLU 19	-1289682	-1396460	0,253	0,129	0	0	-6408	SLU 19	62753	12348	0	45	S1
190	16,34	5,3	10,05	5,6	-249091	m.i.p.	0	900626	0,206	0	0	0	-6408	SLU 19	62753	12348	0	45	S1
190	16,34	5,3	10,05	5,6	-1447425	SLU 19	-1367331	-1396460	0,253	0	0	0	-6408	SLU 19	62753	12348	0	45	S1

Valutazione dei tagli secondo gerarchia delle resistenze

x	contr.gravitaz.	VEd negativo	contr.mom.resist.	elastico	VEd positivo	contr.mom.resist.	elastico
0	0	-4926	-3164	-4926	-379	-379	-954
25	0	-5121	-3164	-5121	-379	-379	-1104
57	0	-5370	-3164	-5370	-379	-379	-1296
120	0	-5864	-3164	-5864	-379	-379	-1676
165	0	-6213	-3164	-6213	-379	-379	-1944
190	0	-6408	-3164	-6408	-379	-379	-2094

Verifiche in esercizio

Performance Results																					
x	M.rara	Comb.R	sigma c. rara	sigma f. rara	M.QP	Comb.QP	sigma c. QP	srmi	wki rara	wki freq.	wki QP	srms	wks rara	wks freq.	wks QP	fg. rara	ff. rara	fg. QP	ff. QP	l/ff.qp	Ver
0	-284438	5	22	334	-224868	2	18	0	0	0	0	0	0	0	0	0,02	0,03	0,02	0,04	9999	S1
25	-370223	5	61	1709	-298203	2	41	0	0	0	0	29,1	0,009	0,008	0,008	0	0	0	0	9999	S1
57	-489437	5	67	2260	-400799	2	55	0	0	0	0	30,5	0,012	0,011	0,012	0,03	0,06	0,03	0,1	9999	S1
120	-743519	4	83	2134	-621974	2	69	0	0	0	0	23	0,009	0,008	0,01	0,07	0,14	0,07	0,27	4982,94	S1
165	-886281	4	99	2544	-747486	2	83	0	0	0	0	23	0,012	0,01	0,012	0	0	0	0	9999	S1
190	-941289	4	105	2702	-795998	2	89	0	0	0	0	23	0,013	0,011	0,014	0,2	0,37	0,17	0,68	2017,83	S1

Mensola destra tra i fili 25 e 28, asta n. 49,50

Sezione rettangolare H tot. 30 B 80 Cs 3 Ci 3

Sovreresistenza 0%

Verifiche in stato limite ultimo

verifiche in Stato infine ultimo																			
x	Asup	cs	Ainf	ci	Mela	comb.	MEd	MRd	x/d	Ast	Afp+	Afp-	VEd	comb.	VRcd	VRd	VRsd	teta	Ver.
0	16,34	5,3	10,05	5,6	-153938	m.i.p.	0	900626	0,206	0	0	0	7619	SLU 19	62753	12348	0	45	S1
0	16,34	5,3	10,05	5,6	-1118069	SLU 19	-1022829	-1396460	0,253										S1
25	16,34	5,3	10,05	5,6	-930080	SLU 19	-930080	-1396460	0,253	0,13	0	0	7424	SLU 19	62753	12348	11286	45	S1
68	16,34	5,3	10,05	5,6	-75436	m.i.p.	0	900626	0,206	0,13	0	0	7089	SLU 19	62753	12348	11286	45	S1
68	16,34	5,3	10,05	5,6	-618311	SLU 19	-700225	-1396460	0,253										S1
143	19,29	5,6	19,29	5,6	-20703	m.i.p.	0	1594820	0,263	0,13	0	0	4136	SLU 19	61971	12037	11145	45	S1
143	19,29	5,6	19,29	5,6	-171833	SLU 19	-222972	-1594820	0,263										S1
219	10,05	5,6	10,05	5,6	-186	m.i.p.	0	903620	0,209	0,13	0	0	376	SLU 19	61971	8966	11145	45	S1
219	10,05	5,6	10,05	5,6	-1545	SLU 19	-9446	-903620	0,209										S1
227	0	3,8	0	3,8	-3746	SLU 20	-3746	0	0	0,13	0	0	0	SLU 20	64003	9155	-11510	45	S1
227	0	3,8	0	3,8	0	m.i.p.	0	0	0	0,13	0	0	0	SLU 20	64003	9155	-11510	45	S1
227	0	3,8	0	3,8	0	SLU 20	-3746	0	0										S1

Ingresso-Principale

Momenti resistenti a filo appoggi (per controllo pilastri)					
campata		x	appoggio		
1		15	22		
1		241	23		903620
2		25	23		903620
2		165	25		900626
mensola destra		25	25		900626

Coefficienti di sicurezza minimi
Resistenza a flessione: 1,08
Resistenza a taglio 1,66
Tensioni in combinazione rara: 1,42
Tensioni in combinazione quasi permanente: 1,35
Fessurazione: 24,12
Deformazione: 1,79

T28
Verifiche di resistenza SLE (§ 7.3.7.1) omesse in quanto garantite da uno spettro SLD sempre minore di quello SLV

Caratteristiche dei materiali
Acciaio: B450C fyk = 4500
Calcestruzzo: C25/30 fck,cub (cubica) = 300 fck (cilindrica) = 249
Output campate
Campata n. 1 tra i fili 45 e 47, asta n. 137

Sezione rettangolare H tot. 30 B 50 Cs 3 Ci 3
Sovreresistenza 0%

Verifiche in stato limite ultimo

x	Asup	cs	Ainf	ci	Mela	comb.	MEd	MRd	x/d	Ast	Afp+	Afp-	VEd	comb.	VRcd	VRd	VRsd	teta	Ver.
0	6.03	4.6	6.03	4.6	-333	SLV 16	5606	561731	0.175	0	0	0	1315	SLU 20	40319	6553	0	45	S1
0	6.03	4.6	6.03	4.6						0	0	0	-673	ger.	40319	6553	0	45	S1
15	6.03	4.6	6.03	4.6	14856	SLU 19	28786	561731	0.175	0.101	0	0	1242	SLU 20	40319	6553	9065	45	S1
15	6.03	4.6	6.03	4.6						0.101	0	0	-673	ger.	40319	6553	-9065	45	S1
91	8.96	4.6	8.96	4.6	95510	SLU 19	105138	802686	0.201	0.101	0	0	869	SLU 20	40319	6553	9065	45	S1
91	8.96	4.6	8.96	4.6						0.101	0	0	-673	ger.	40319	6553	-9065	45	S1
193	6.03	4.6	6.03	4.6	158651	SLU 19	162601	561731	0.175	0.101	0	0	415	SLV 1	40319	6553	9065	45	S1
193	6.03	4.6	6.03	4.6						0.101	0	0	-673	ger.	40319	6553	-9065	45	S1
279	6.03	4.6	6.03	4.6	172754	SLU 19	173004	561731	0.175	0.101	0	0	90	SLV 1	40319	6553	9065	45	S1
279	6.03	4.6	6.03	4.6						0.101	0	0	-673	ger.	40319	6553	-9065	45	S1
304	6.03	4.6	6.03	4.6	170100	SLU 19	172220	561731	0.175	0.101	0	0	-673	ger.	40319	6553	-9065	45	S1

Valutazione dei tagli secondo gerarchia delle resistenze

x	contr.gravitaz.	VEd negativo	contr.mom.resist.	elastico	VEd positivo	contr.mom.resist.	elastico
0	0	-673	-673		1315	-265	1315
15	0	-673	-673	683	1242	-265	1242
91	0	-673	-673	396	869	-265	869
193	0	-673	-673	16	415	-265	415
279	0	-673	-673	-309	90	-265	90
304	0	-673	-673	-426	-4	-265	-4

Verifiche in esercizio

x	M.rara	Comb.R	sigma c. rara	sigma f. rara	M.QP	Comb.QP	sigma c. QP	srmi	wki rara	wki freq.	wki QP	srms	wks rara	wks freq.	wks QP	fg. rara	ff. rara	fg. QP	ff. QP	l/ff.qp	Ver.
0	4215	1	1	8	4100	1	1	0	0	0	0	0	0	0	0	0	0	0	0	9999	S1
15	21547	4	3	40	20548	2	3	0	0	0	0	0	0	0	0	0	0	0	0	9999	S1
91	78275	4	9	141	73718	2	9	0	0	0	0	0	0	0	0	0.01	0	0.01	-0.01	9999	S1
193	119811	4	15	223	110525	2	14	0	0	0	0	0	0	0	0	-0.02	-0.02	-0.01	-0.06	9999	S1
279	126124	4	16	234	113869	2	14	0	0	0	0	0	0	0	0	0	0	0	0	9999	S1
304	124908	4	15	232	111536	2	14	0	0	0	0	0	0	0	0	-0.08	-0.08	-0.07	-0.2	5375.31	S1

Campata n. 2 tra i fili 47 e 48, asta n. 138

Sezione rettangolare H tot. 30 B 50 Cs 3 Ci 3
Sovreresistenza 0%

Verifiche in stato limite ultimo

x	Asup	cs	Ainf	ci	Mela	comb.	MEd	MRd	x/d	Ast	Afp+	Afp-	VEd	comb.	VRcd	VRd	VRsd	teta	Ver.
0	6.03	4.6	6.03	4.6	171386	SLU 19	152809	561731	0.175	0.101	0	0	-1486	SLU 19	40319	6553	-9065	45	S1
25	6.03	4.6	6.03	4.6	136081	SLV 1	136081	561731	0.175	0.101	0	0	-1608	SLU 19	40319	6553	-9065	45	S1
44	6.03	4.6	6.03	4.6	110838	SLV 1	126635	561731	0.175	0.101	0	0	-1698	SLU 19	40319	6553	-9065	45	S1
92	9.26	4.6	9.16	4.6	39158	SLV 1	56893	819341	0.202	0.101	0	0	-1934	SLU 19	40319	6553	-9065	45	S1
92	9.26	4.6	9.16	4.6	-20967	SLV 16	-32435	-827876	0.204										S1
120	12.06	4.6	12.06	4.6	-6147	SLV 1	12587	1056498	0.222	0.101	0	0	-2071	SLU 19	40319	7694	-9065	45	S1
120	12.06	4.6	12.06	4.6	-50156	SLV 16	-50156	-1056498	0.222										S1
145	12.06	4.6	12.06	4.6	-44515	m.i.p.	0	1056498	0.222	0.101	0	0	-2193	SLU 19	40319	8256	-9065	45	S1
145	12.06	4.6	12.06	4.6	-95349	SLU 19	-67937	-1056498	0.222										S1

Valutazione dei tagli secondo gerarchia delle resistenze

x	contr.gravitaz.	VEd negativo	contr.mom.resist.	elastico	VEd positivo	contr.mom.resist.	elastico
0	0	-1486	-673	-1486	-265	-265	-533
25	0	-1608	-673	-1608	-265	-265	-627
44	0	-1698	-673	-1698	-265	-265	-696
92	0	-1934	-673	-1934	-265	-265	-878
120	0	-2071	-673	-2071	-265	-265	-983
145	0	-2193	-673	-2193	-265	-265	-1077

Verifiche in esercizio

x	M.rara	Comb.R	sigma c. rara	sigma f. rara	M.QP	Comb.QP	sigma c. QP	srmi	wki rara	wki freq.	wki QP	srms	wks rara	wks freq.	wks QP	fg. rara	ff. rara	fg. QP	ff. QP	l/ff.qp	Ver.
0	110613	4	14	206	98290	2	12	0	0	0	0	0	0	0	0	-0.08	-0.08	-0.07	-0.2	5375.31	S1
25	96162	5	12	179	85550	2	11	0	0	0	0	0	0	0	0	0	0	0	0	9999	S1
44	87948	5	11	163	78296	2	10	0	0	0	0	0	0	0	0	-0.11	-0.12	-0.1	-0.28	3826.66	S1
92	26443	5	3	47	23405	2	3	0	0	0	0	0	0	0	0	-0.16	-0.16	-0.14	-0.38	2824.15	S1
92	-5834	1	1	10	-5727	1	3														S1
120	-30543	4	4	53	-28151	2	3	0	0	0	0	0	0	0	0	0	0	0	0	9999	S1
145	-49435	4	6	86	-45332	2	5	0	0	0	0	0	0	0	0	-0.21	-0.2	-0.18	-0.49	2186.13	S1

Campata n. 3 tra i fili 48 e 49, asta n. 139

Sezione rettangolare H tot. 30 B 50 Cs 3 Ci 3
Sovreresistenza 0%

Verifiche in stato limite ultimo

x	Asup	cs	Ainf	ci	Mela	comb.	MEd	MRd	x/d	Ast	Afp+	Afp-	VEd	comb.	VRcd	VRd	VRsd	teta	Ver.
0	12.06	4.6	12.06	4.6	-43845	m.i.p.	0	1056498	0.222	0.101	0	0	-3333	SLV 3	40319	7901	-9065	45	S1
0	12.06	4.6	12.06	4.6	-93965	SLU 19	-135426	-1056498	0.222										
25	10.57	4.6	10.57	4.6	-218193	SLU 19	-218193	-934802	0.212	0.101	0	0	-3439	SLU 19	40319	7160	-9065	45	S1
51	7.87	4.6	7.87	4.6	-125158	m.i.p.	0	713197	0.192	0.101	0	0	-3566	SLU 19	40319	6553	-9065	45	S1
51	7.87	4.6	7.87	4.6	-269952	SLU 19	-304437	-713197	0.192										
61	6.03	4.6	6.03	4.6	-304437	SLU 19	-304437	-561731	0.175	0.101	0	0	-3613	SLU 19	40319	6553	-9065	45	S1
81	6.03	4.6	6.03	4.6	-170457	m.i.p.	0	561731	0.175	0	0	0	-3710	SLU 19	40319	6553	0	45	S1
81	6.03	4.6	6.03	4.6	-377666	SLU 19	-340562	-561731	0.175										

Valutazione dei tagli secondo gerarchia delle resistenze

x	contr.gravitaz.	VEd negativo	contr.mom.resist.	elastico	VEd positivo	contr.mom.resist.	elastico
0	0	-3333	-673	-3333	-265	-265	-1040
25	0	-3439	-673	-3439	-265	-265	-1134
51	0	-3566	-673	-3566	-265	-265	-1232
61	0	-3613	-673	-3613	-265	-265	-1268
81	0	-3710	-673	-3710	-265	-265	-1343

Verifiche in esercizio

x	M.rara	Comb.R	sigma c. rara	sigma f. rara	M.QP	Comb.QP	sigma c. QP	srmi	wki rara	wki freq.	wki QP	srms	wks rara	wks freq.	wks QP	fg. rara	ff. rara	fg. QP	ff. QP	l/ff.qp	Ver.
0	-98624	4	11	171	-90096	2	10	0	0	0	0	0	0	0	0	-0.21	-0.2	-0.18	-0.49	2186.13	S1
25	-158913	4	19	280	-145022	2	17	0	0	0	0	0	0	0	0	0	0	0	0	9999	S1
51	-221834	4	39	1263	-202514	2	36	0	0	0	0	25.6	0.006	0.005	0.006	-0.25	-0.24	-0.22	-0.58	1830.46	S1
61	-221834	4	45	1628	-202514	2	41	0	0	0	0	29.9	0.009	0.008	0.009	0	0	0	0	9999	S1
81	-248213	4	50	1821	-226656	2	46	0	0	0	0	29.9	0.01	0.009	0.01	-0.27	-0.26	-0.23	-0.62	1717.34	S1

Momenti resistenti a filo appoggi (per controllo pilastri)

campata		x	appoggio		Mb,Rd +	Mb,Rd -
1		15	45		561731	-561731
1		279	47		561731	-561731
2		25	47		561731	-561731
2		120	48		1056498	-1056498

campata	x	appoggio	Mb,Rd +	Mb,Rd -
3	25	48	934802	-934802
3	61	49	561731	-561731

Coefficienti di sicurezza minimi

Resistenza a flessione: 1,85
 Resistenza a taglio 2,51
 Tensioni in combinazione rara: 2,21
 Tensioni in combinazione quasi permanente: 2,75
 Fessurazione: 32,70
 Deformazione: 6,87

T31

Verifiche di resistenza SLE (§ 7.3.7.1) omesse in quanto garantite da uno spettro SLD sempre minore di quello SLV

Caratteristiche dei materiali

Acciaio: B450C fyk = 4500
 Calcestruzzo: C25/30 fck,cub (cubica) = 300 fck (cilindrica) = 249

Output campate

Mensola sinistra tra i fili 3 e 10, asta n. 122

Sezione rettangolare H tot. 30 B 50 Cs 3 Ci 3

Sovreresistenza 0%

Verifiche in stato limite ultimo

x	Asup	cs	Ainf	ci	Mela	comb.	MEd	MRd	x/d	Ast	Afp+	Afp-	VEd	comb.	VRcd	VRd	VRsd	teta	Ver.
0	0	3.8	0	3.8	0	SLU 16	0	0	0	0.081	0	0	0	SLU 5	40002	5722	7222	45	S1
0	0	3.8	0	3.8	0	SLU 5	-1562	0	0	0.081	0	0	0	SLU 4	40002	5722	-7222	45	S1
0	0	3.8	0	3.8	0	SLU 16	0	0	0	0.081	0	0	0	SLU 5	40002	5722	7222	45	S1
0	0	3.8	0	3.8	0	SLU 5	-1562	0	0	0.081	0	0	0	SLU 4	40002	5722	-7222	45	S1
78	8.04	10.1	8.04	4.6	-25195	m.1.p.	0	852126	0.318	0.081	0	0	-1694	SLU 19	31589	6494	-5703	45	S1
78	8.04	10.1	8.04	4.6	-65534	SLU 19	-86627	-554608	0.247	0	0	0	0	0	0	0	0	0	S1
165	9.93	9.2	8.04	4.6	-114073	m.1.p.	0	865524	0.308	0.081	0	0	-3695	SLU 19	32946	6619	-5948	45	S1
165	9.93	9.2	8.04	4.6	-298652	SLU 19	-342820	-702032	0.26	0	0	0	0	0	0	0	0	0	S1
241	14.07	8.2	8.04	4.6	-647016	SLU 19	-647016	-1021617	0.305	0.213	0	0	-5538	SLU 19	34650	8076	-16393	45	S1
261	14.07	8.2	6.83	4.6	-289288	m.1.p.	0	773356	0.268	0	0	0	-6042	SLU 19	34650	8147	0	45	S1
261	14.07	8.2	6.83	4.6	-762610	SLU 19	-702188	-1020404	0.317	0	0	0	0	0	0	0	0	0	S1

Verifiche in esercizio

x	M.rara	Comb.R	sigma c. rara	sigma f. rara	M.QP	Comb.QP	sigma c. QP	srmi	wki rara	wki freq.	wki QP	srms	wks rara	wks freq.	wks QP	fg. rara	ff. rara	fg. QP	ff. QP	l/ff.qp	Ver.
0	-1122	5	0	0	-974	2	0	0	0	0	0	0	0	0	0	0.2	0.43	0.17	0.79	658.13	S1
0	-1122	5	0	0	-974	2	0	0	0	0	0	0	0	0	0	0	0	0	0	9999	S1
78	-62188	4	8	118	-53927	2	7	0	0	0	0	0	0	0	0	0.12	0.27	0.1	0.48	1082.74	S1
165	-245991	4	54	1717	-213088	2	47	0	0	0	0	23	0.006	0.006	0.006	0.03	0.1	0.03	0.16	3193.95	S1
241	-464115	4	83	2066	-401735	2	72	0	0	0	0	19.6	0.008	0.007	0.008	0	0	0	0	9999	S1
261	-503668	4	92	2243	-435926	2	80	0	0	0	0	19.6	0.009	0.008	0.01	0	0	0	0	9999	S1

Campata n. 1 tra i fili 10 e 20, asta n. 70,71

Sezione rettangolare H tot. 60 B 30 Cs 4 Ci 4

Sovreresistenza 0%

Campata collegata a parete. La relazione di verifica non viene prodotta.

Campata n. 2 tra i fili 20 e 22, asta n. 72

Sezione rettangolare H tot. 60 B 30 Cs 4 Ci 4

Sovreresistenza 0%

Verifiche in stato limite ultimo

x	Asup	cs	Ainf	ci	Mela	comb.	MEd	MRd	x/d	Ast	Afp+	Afp-	VEd	comb.	VRcd	VRd	VRsd	teta	Ver.
0	6.03	5.6	6.03	5.6	1162241	SLV 13	1162241	1216957	0.111	0.126	0	0	14334	ger.	51812	6592	24074	45	S1
0	6.03	5.6	6.03	5.6	-612485	SLV 4	-612485	-1216957	0.111	0.126	0	0	-5373	ger.	51812	6592	-24074	45	S1
0	6.03	5.6	6.03	5.6	1162226	SLV 13	1162226	1216957	0.111	0.126	0	0	14334	ger.	51812	6592	24074	45	S1
0	6.03	5.6	6.03	5.6	-612452	SLV 4	-612452	-1216957	0.111	0.126	0	0	-5373	ger.	51812	6592	-24074	45	S1
23	6.03	5.6	6.03	5.6	1089390	SLV 13	1162226	1216957	0.111	0.126	0	0	13963	ger.	51812	6592	24074	45	S1
23	6.03	5.6	6.03	5.6	-466076	SLV 4	-612452	-1216957	0.111	0.126	0	0	-5744	ger.	51812	6592	-24074	45	S1
37	6.03	5.6	6.03	5.6	1041901	SLV 13	1124648	1216957	0.111	0.126	0	0	13740	ger.	51812	6592	24074	45	S1
37	6.03	5.6	6.03	5.6	-382932	SLV 4	-533767	-1216957	0.111	0.126	0	0	-5967	ger.	51812	6592	-24074	45	S1
77	6.03	5.6	6.03	5.6	885822	SLV 13	970508	1216957	0.111	0.126	0	0	13079	ger.	51812	6592	24074	45	S1
77	6.03	5.6	6.03	5.6	-158048	SLV 4	-263853	-1216957	0.111	0.126	0	0	-6628	ger.	51812	6592	-24074	45	S1

Valutazione dei tagli secondo gerarchia delle resistenze

x	contr.gravitaz.	VEd negativo	contr.mom.resist.	elastico	VEd positivo	contr.mom.resist.	elastico
0	4439	-5373	-9812	-2980	14334	9895	6545
0	4439	-5373	-9812	-2980	14334	9895	6545
23	4068	-5744	-9812	-3350	13963	9895	6174
37	3845	-5967	-9812	-3573	13740	9895	5951
77	3184	-6628	-9812	-4234	13079	9895	5290

Verifiche in esercizio

x	M.rara	Comb.R	sigma c. rara	sigma f. rara	M.QP	Comb.QP	sigma c. QP	srmi	wki rara	wki freq.	wki QP	srms	wks rara	wks freq.	wks QP	fg. rara	ff. rara	fg. QP	ff. QP	l/ff.qp	Ver.
0	291126	1	15	223	291126	1	15	0	0	0	0	0	0	0	0	0	0	0	0	9999	S1
0	314999	1	16	241	313757	1	16	0	0	0	0	0	0	0	0	0	0	0	0	9999	S1
23	336180	4	17	258	329485	2	17	0	0	0	0	0	0	0	0	0.01	0	0	0.01	9999	S1
37	336180	4	17	258	329485	2	17	0	0	0	0	0	0	0	0	0	0	0	0	9999	S1
77	368663	4	19	283	353328	2	18	0	0	0	0	0	0	0	0	0.01	0.01	0.01	0.02	9999	S1

Campata n. 3 tra i fili 22 e 31, asta n. 73

Sezione rettangolare H tot. 60 B 30 Cs 4 Ci 4

Sovreresistenza 0%

Verifiche in stato limite ultimo

x	Asup	cs	Ainf	ci	Mela	comb.	MEd	MRd	x/d	Ast	Afp+	Afp-	VEd	comb.	VRcd	VRd	VRsd	teta	Ver.
0	6.03	5.6	6.03	5.6	887989	SLV 13	781558	1216957	0.111	0.126	0	0	13079	ger.	51812	6592	24074	45	S1
0	6.03	5.6	6.03	5.6	-157668	SLV 4	-70135	-1216957	0.111	0.126	0	0	-6628	ger.	51812	6592	-24074	45	S1
40	6.03	5.6	6.03	5.6	655278	SLV 13	655278	1216957	0.111	0.084	0	0	12104	ger.	51812	6592	16049	45	S1
40	6.03	5.6	6.03	5.6	-2466	SLV 4	-2466	-1216957	0.111	0.084	0	0	-7603	ger.	51812	6592	-16049	45	S1
100	6.03	5.6	6.03	5.6	316683	SLU 19	416861	1216957	0.111	0.084	0	0	10642	ger.	51812	6592	16049	45	S1
100	6.03	5.6	6.03	5.6						0.084	0	0	-9065	ger.	51812	6592	-16049	45	S1
211	8.4	6.4	9.41	6.1	223129	SLV 4	234420	1855721	0.144	0.069	0	0	7933	ger.	51096	6549	12988	45	S1
211	8.4	6.4	9.41	6.1	-778224	SLV 13	-1042525	-1656704	0.131	0.069	0	0	-11774	ger.	51096	6549	-12988	45	S1
283	12.06	6.9	12.06	6.3	103610	SLV 4	158411	2345245	0.163	0.087	0	0	6172	ger.	50542	7712	16193	45	S1
283	12.06	6.9	12.06	6.3	-1597907	SLV 13	-1597907	-2315255	0.154	0.087	0	0	-13535	ger.	50542	7712	-16193	45	S1
333	12.06	6.9	12.06	6.3	-53072	SLV 4	40711	2345245	0.163	0	0	0	4951	ger.	50542	8208	0	45	S1
333	12.06	6.9	12.06	6.3	-2239495	SLV 13	-1903257	-2315255	0.154	0	0	0	-14756	ger.	50542	8208	0	45	S1

Valutazione dei tagli secondo gerarchia delle resistenze

x	contr.gravitaz.	VEd negativo	contr.mom.resist.	elastico	VEd positivo	contr.mom.resist.	elastico
0	3184	-6628	-9812	-5322	13079	9895	4377
40	2209	-7603	-9812	-6296	12104	9895	3402
100	747	-9065	-9812	-7758	10642	9895	1940
211	-1962	-11774	-9812	-10468	7933	9895	-769
283	-3723	-13535	-9812	-12229	6172	9895	-2531
333	-4944	-14756	-9812	-13450	4951	9895	-3751

Verifiche in esercizio

x	M.rara	Comb.R	sigma c. rara	sigma f. rara	M.QP	Comb.QP	sigma c. QP	srmi	wki rara	wki freq.	wki QP	srms	wks rara	wks freq.	wks QP	fg. rara	ff. rara	fg. QP	ff. QP	l/ff.qp	Ver.	
0	383741	4	20	294	355712	2	18	0	0	0	0	0	0	0	0	0.01	0.01	0.01	0.02	9999	S1	
40	356976	4	18	274	326406	2	17	0	0	0	0	0	0	0	0	0	0	0	0	9999	S1	
100	292434	4	15	224	259888	2	13	0	0	0	0	0	0	0	0	0.01	0	0.01	0.01	9999	S1	
211	-447795	4	22	333	-422927	2	21	0	0	0	0	0	0	0	0	-0.01	-0.01	-0.01	-0.03	9999	S1	
283	-810096	4	46	1472	-747149	2	42	0	0	0	0	0	26	0.008	0.007	0.008	0	0	0	0	9999	S1
333	-1016635	4	57	1848	-931273	2	53	0	0	0	0	0	26	0.011	0.01	0.012	0	0	0	0	9999	S1

Ingresso-Principale

x	Asup	cs	Ainf	ci	Mela	comb.	MEd	MRd	x/d	Ast	Afp+	Afp-	VEd	comb.	VRcd	VRd	VRsd	teta	Ver.
209	8.48	7.5	6.03	6.9	-176005	SLV 15	-329330	-1632800	0.154	0.134	0	0	-21326	ger.	50542	6515	-25104	45	SI
280	12.06	6.9	12.06	6.3	769169	SLV 2	769169	2345245	0.163	0.134	0	0	17427	ger.	51177	7317	25419	45	SI
280	12.06	6.9	12.06	6.3	-660667	SLV 15	-660667	-2315255	0.154	0.134	0	0	-23099	ger.	51177	7317	-25419	45	SI
330	12.06	6.9	12.06	6.3	971712	SLV 2	886657	2345245	0.163	0	0	0	16148	ger.	51177	8257	0	45	SI
330	12.06	6.9	12.06	6.3	-1077746	SLV 15	-852985	-2315255	0.154	0	0	0	-24378	ger.	51177	8257	0	45	SI

Valutazione dei tagli secondo gerarchia delle resistenze

x	contr.gravitaz.	VEd negativo	contr.mom.resist.	elastico	VEd positivo	contr.mom.resist.	elastico
0	4044	-16219	-20263	-832	24307	20263	11561
50	2823	-17440	-20263	-2053	23086	20263	10340
99	1627	-18637	-20263	-3249	21890	20263	9143
209	-1063	-21326	-20263	-5939	19200	20263	6454
280	-2836	-23099	-20263	-7712	17427	20263	4680
330	-4115	-24378	-20263	-8990	16148	20263	3402

Verifiche in esercizio

x	M.rara	Comb.R	sigma c. rara	sigma f. rara	M.QP	Comb.QP	sigma c. QP	srmi	wki rara	wki freq.	wki QP	srms	wks rara	wks freq.	wks QP	fg. rara	ff. rara	fg. QP	ff. QP	I/ff.qp	Ver.
0	-396041	5	19	284	-354701	2	17	0	0	0	0	0	0	0	0	0	0	0	0	9999	SI
50	-278340	5	13	200	-251476	2	12	0	0	0	0	0	0	0	0	0	0	0	0	9999	SI
99	-171151	5	8	126	-157269	2	8	0	0	0	0	0	0	0	0	0	0	0	0	9999	SI
209	111142	5	6	85	100345	2	5	0	0	0	0	0	0	0	0	0	0	0	0	9999	SI
280	89554	2	4	64	83949	1	4	0	0	0	0	0	0	0	0	0	0	0	0	9999	SI
330	54277	2	3	39	46153	1	2	0	0	0	0	0	0	0	0	0	0	0	0	9999	SI
330	-2708	4	0	2	16836	2	2														SI

Campata n. 5 tra i fili 38 e 45, asta n. 75

Sezione rettangolare H tot. 60 B 30 Cs 4 Ci 4

Sovreresistenza 0%

Verifiche in stato limite ultimo

x	Asup	cs	Ainf	ci	Mela	comb.	MEd	MRd	x/d	Ast	Afp+	Afp-	VEd	comb.	VRcd	VRd	VRsd	teta	Ver.
0	12.06	6.9	12.06	6.3	556667	SLV 15	591100	2345245	0.163	0	0	0	15290	ger.	50542	8208	0	45	SI
0	12.06	6.9	12.06	6.3	-1351604	SLV 2	-1103456	-2315255	0.154	0	0	0	-4695	ger.	50542	8208	0	45	SI
50	12.06	6.9	12.06	6.3	592800	SLV 15	593178	2345245	0.163	0.086	0	0	13987	ger.	50542	7805	16105	45	SI
50	12.06	6.9	12.06	6.3	-888041	SLV 2	-888041	-2315255	0.154	0.086	0	0	-5997	ger.	50542	7805	-16105	45	SI
95	11.13	6.8	12.06	6.3	569976	SLV 15	588881	2343020	0.164	0.086	0	0	12802	ger.	50648	6956	16139	45	SI
95	11.13	6.8	12.06	6.3	-528501	SLV 2	-719250	-2151010	0.148	0.086	0	0	-7183	ger.	50648	6956	-16139	45	SI
200	6.03	5.6	6.03	5.6	337599	SLV 19	392037	1216957	0.111	0.067	0	0	9935	ger.	51812	6592	12759	45	SI
200	6.03	5.6	6.03	5.6	104436	SLV 2	-16328	-1216957	0.111	0.067	0	0	-10049	ger.	51812	6592	-12759	45	SI
291	6.03	5.6	6.03	5.6	403550	SLV 2	403550	1216957	0.111	0.084	0	0	7377	ger.	51812	6592	16162	45	SI
291	6.03	5.6	6.03	5.6	-173796	SLV 15	-173796	-1216957	0.111	0.084	0	0	-12608	ger.	51812	6592	-16162	45	SI
316	6.03	5.6	6.03	5.6	445278	SLV 2	429096	1216957	0.111	0.084	0	0	6658	ger.	51812	6592	16162	45	SI
316	6.03	5.6	6.03	5.6	-345780	SLV 15	-255105	-1216957	0.111	0.084	0	0	-13326	ger.	51812	6592	-16162	45	SI

Valutazione dei tagli secondo gerarchia delle resistenze

x	contr.gravitaz.	VEd negativo	contr.mom.resist.	elastico	VEd positivo	contr.mom.resist.	elastico
0	5340	-4695	-10035	1377	15290	9950	9926
50	4037	-5997	-10035	75	13987	9950	8623
95	2852	-7183	-10035	-1111	12802	9950	7438
200	-15	-10049	-10035	-3977	9935	9950	4571
291	-2573	-12608	-10035	7377	6658	9950	2013
316	-3292	-13326	-10035	-7254	6658	9950	1295

Verifiche in esercizio

x	M.rara	Comb.R	sigma c. rara	sigma f. rara	M.QP	Comb.QP	sigma c. QP	srmi	wki rara	wki freq.	wki QP	srms	wks rara	wks freq.	wks QP	fg. rara	ff. rara	fg. QP	ff. QP	I/ff.qp	Ver.
0	-292858	4	14	210	-256178	2	12	0	0	0	0	0	0	0	0	0	0	0	0	9999	SI
50	-166305	4	8	119	-147621	2	7	0	0	0	0	0	0	0	0	0	0	0	0	9999	SI
95	110010	5	5	79	89931	2	4	0	0	0	0	0	0	0	0	0.01	0.01	0.01	0.02	9999	SI
95	-70261	1	3	51	-65184	1	4														SI
200	241322	4	12	185	205385	2	10	0	0	0	0	0	0	0	0	0.02	0.01	0.02	0.03	9999	SI
291	187127	4	10	143	161794	2	8	0	0	0	0	0	0	0	0	0	0	0	0	9999	SI
316	97081	4	5	74	86996	2	4	0	0	0	0	0	0	0	0	0.01	0.01	0.01	0.02	9999	SI

Campata n. 6 tra i fili 45 e 52, asta n. 76

Sezione rettangolare H tot. 60 B 30 Cs 4 Ci 4

Sovreresistenza 0%

Verifiche in stato limite ultimo

x	Asup	cs	Ainf	ci	Mela	comb.	MEd	MRd	x/d	Ast	Afp+	Afp-	VEd	comb.	VRcd	VRd	VRsd	teta	Ver.
0	6.03	5.6	6.03	5.6	442969	SLV 2	445780	1216957	0.111	0.084	0	0	6658	ger.	51812	6592	16162	45	SI
0	6.03	5.6	6.03	5.6	-345748	SLV 15	-445106	-1216957	0.111	0.084	0	0	-13326	ger.	51812	6592	-16162	45	SI
25	6.03	5.6	6.03	5.6	444321	SLV 2	444321	1216957	0.111	0.084	0	0	6317	ger.	51812	6592	16162	45	SI
25	6.03	5.6	6.03	5.6	-548726	SLV 15	-756193	-1216957	0.111	0.084	0	0	-13667	ger.	51812	6592	-16162	45	SI
27	6.03	5.6	6.03	5.6	444108	SLV 2	444321	1216957	0.111	0.084	0	0	6293	ger.	51812	6592	16162	45	SI
27	6.03	5.6	6.03	5.6	-563420	SLV 15	-771502	-1216957	0.111	0.084	0	0	-13692	ger.	51812	6592	-16162	45	SI
57	6.03	5.6	6.03	5.6	433783	SLV 2	443174	1216957	0.111	0.103	0	0	5879	ger.	51812	6592	19826	45	SI
57	6.03	5.6	6.03	5.6	-816872	SLV 15	-1035199	-1216957	0.111	0.103	0	0	-14106	ger.	51812	6592	-19826	45	SI
86	6.03	5.6	6.03	5.6	411010	SLV 2	430682	1216957	0.111	0.103	0	0	5456	ger.	51812	6592	19826	45	SI
86	6.03	5.6	6.03	5.6	-1082772	SLV 15	-1110011	-1216957	0.111	0.103	0	0	-14529	ger.	51812	6592	-19826	45	SI
89	6.03	5.6	6.03	5.6	408043	SLV 2	428753	1216957	0.111	0.103	0	0	5413	ger.	51812	6592	19826	45	SI
89	6.03	5.6	6.03	5.6	-1110011	SLV 15	-1110011	-1216957	0.111	0.103	0	0	-14571	ger.	51812	6592	-19826	45	SI
89	6.03	5.6	6.03	5.6	408038	SLV 2	408038	1216957	0.111	0.103	0	0	5413	ger.	51812	6592	19826	45	SI
89	6.03	5.6	6.03	5.6	-1110057	SLV 15	-1110057	-1216957	0.111	0.103	0	0	-14571	ger.	51812	6592	-19826	45	SI

Valutazione dei tagli secondo gerarchia delle resistenze

x	contr.gravitaz.	VEd negativo	contr.mom.resist.	elastico	VEd positivo	contr.mom.resist.	elastico
0	3292	-13326	-10035	-7949	6658	9950	225
25	-3633	-13667	-10035	-8290	6317	9950	-116
27	-3657	-13692	-10035	-8314	6293	9950	-141
57	-4071	-14106	-10035	-8728	5879	9950	-555
86	-4494	-14529	-10035	-9151	5456	9950	-978
89	-4537	-14571	-10035	-9194	5413	9950	-1020
89	-4537	-14571	-10035	-9194	5413	9950	-1020

Verifiche in esercizio

x	M.rara	Comb.R	sigma c. rara	sigma f. rara	M.QP	Comb.QP	sigma c. QP	srmi	wki rara	wki freq.	wki QP	srms	wks rara	wks freq.	wks QP	fg. rara	ff. rara	fg. QP	ff. QP	I/ff.qp	Ver.
0	8273	4	0	6	8273	2	0	0	0	0	0	0	0	0	0	0.01	0.01	0.01	0.02	9999	SI
0	-9353	2	0	4	337	1	0														SI
25	-191247	5	10	147	-159443	2	8	0	0	0	0	0	0	0	0	0	0	0	0	9999	SI
27	-200627	5	10	154	-167512	2	9	0	0	0	0	0	0	0	0	0.01	0	0.01	0.01	9999	SI
57	-365729	5	19	280	-309646	2	16	0	0	0	0	0	0	0	0	0	0	0	0	9999	SI
86	-413712	5	21	317	-350984	2	18	0	0	0	0	0	0	0	0	0	0	0	0	9999	SI
89	-413712	5	21	317	-350984	2	18	0	0	0	0	0	0	0	0	0	0	0	0	9999	SI
89	-413742	5	21	317	-351009	2	18	0	0	0	0	0	0	0	0	0	0	0	0	9999	SI

Campata n. 7 tra i fili 52 e 53, asta n. 7

Verifiche in esercizio

x	M.rara	Comb.R	sigma c. rara	sigma f. rara	M.QP	Comb.QP	sigma c. QP	srmi	wki rara	wki freq.	wki QP	srms	wks rara	wks freq.	wks QP	fg. rara	ff. rara	fg. QP	ff. QP	l/ff.qp	Ver.
0	-648416	4	114	2830	-559436	2	98	0	0	0	0	19.6	0.012	0.01	0.013	0	0	0	0	9999	S1
20	-601653	4	105	2625	-519142	2	91	0	0	0	0	19.6	0.011	0.009	0.012	0	0	0	0	9999	S1
85	-374777	4	72	2038	-323644	2	62	0	0	0	0	21.2	0.008	0.007	0.008	0.06	0.15	0.06	0.22	2544.35	S1
180	-103377	4	13	196	-89662	2	11	0	0	0	0	0	0	0	0	0.21	0.48	0.19	0.77	742.95	S1
275	-1381	1	0	3	-1295	1	0	0	0	0	0	0	0	0	0	0.39	0.83	0.34	1.37	414.95	S1
285	-332	4	0	0	-323	2	0	0	0	0	0	0	0	0	0	0	0	0	0	9999	S1
285	-332	4	0	0	-323	2	0	0	0	0	0	0	0	0	0	0.4	0.86	0.35	1.43	397.3	S1

Momenti resistenti a filo appoggi (per controllo pilastri)

campata	x	appoggio	Mb,Rd +	Mb,Rd -
mensola sinistra	241	10	863509	-1021617
1	20	10	1314413	-2515218
1	153	20	1216957	-1216957
2	0	20	1216957	-1216957
2	37	22	1216957	-1216957
3	40	22	1216957	-1216957
3	283	31	2345245	-2315255
4	50	31	2345245	-2315255
4	280	38	2345245	-2315255
5	50	38	2345245	-2315255
5	291	45	1216957	-1216957
6	25	45	1216957	-1216957
6	89	52	1216957	-1216957
7	0	52	1216957	-1216957
7	83	53	1295967	-2236214
mensola destra	20	53	857762	-1037294

Coefficienti di sicurezza minimi

Resistenza a flessione: 1,05
Resistenza a taglio 1,03
Tensioni in combinazione rara: 1,37
Tensioni in combinazione quasi permanente: 1,23
Fessurazione: 26,06
Deformazione: 1,59

T32

Verifiche di resistenza SLE (§ 7.3.7.1) omesse in quanto garantite da uno spettro SLD sempre minore di quello SLV

Caratteristiche dei materiali

Acciaio: B450C fyk = 4500
Calcestruzzo: C25/30 fck,cub (cubica) = 300 fck (cilindrica) = 249

Output campate

Campata n. 1 tra i fili 15 e 24, asta n. 55

Sezione rettangolare H tot. 60 B 40 Cs 3 Ci 3

Sovreresistenza 0%

Verifiche in stato limite ultimo

x	Asup	cs	Ainf	ci	Mela	comb.	MEd	MRd	x/d	Ast	Afp+	Afp-	VEd	comb.	VRcd	VRd	VRsd	teta	Ver.
0	13.45	4.7	9.42	4.8	-997091	m.i.p.	0	1923939	0.099	0	0	0	19487	SLU 19	70174	10511	0	45	S1
0	13.45	4.7	9.42	4.8	-2422170	SLU 20	-2227339	-2718044	0.127										S1
20	13.45	4.7	9.42	4.8	-2037688	SLU 20	-2037688	-2718044	0.127	0.084	0	0	18987	SLU 19	48396	10511	40758	22	S1
69	16.99	4.8	9.42	4.8	-358565	SLV 16	313170	1923569	0.097	0.084	0	0	17761	SLU 19	48385	10510	40749	22	S1
69	16.99	4.8	9.42	4.8	-1138108	SLU 20	-2037688	-3407627	0.153										S1
146	18.85	4.8	17.93	6.1	457173	SLV 16	885782	3510635	0.127	0.088	0	0	15844	SLU 19	48344	11586	42589	22	S1
146	18.85	4.8	17.93	6.1	-210814	SLV 1	-888821	-3777902	0.153										S1
190	18.85	4.8	18.85	6.1	885782	SLV 16	885782	3682191	0.131	0.088	0	0	14737	SLU 19	47176	11214	41560	22	S1
190	18.85	4.8	18.85	6.1	228280	SLV 1	-399988	-3780109	0.152										S1
230	18.85	4.8	18.85	6.1	1397258	SLU 19	1122533	3682191	0.131	0.088	0	0	13736	SLU 19	47176	11621	41560	22	S1

Valutazione dei tagli secondo gerarchia delle resistenze

x	contr.gravitaz.	VEd negativo	contr.mom.resist.	elastico	VEd positivo	contr.mom.resist.	elastico
0	8640	3728	-4912	8411	19487	5926	19487
20	8320	3408	-4912	8198	18987	5926	18987
69	7538	2626	-4912	17761	5926	5926	17761
146	6313	1401	-4912	6857	15844	5926	15844
190	5606	694	-4912	6385	14737	5926	14737
230	4967	55	-4912	5958	13736	5926	13736

Verifiche in esercizio

x	M.rara	Comb.R	sigma c. rara	sigma f. rara	M.QP	Comb.QP	sigma c. QP	srmi	wki rara	wki freq.	wki QP	srms	wks rara	wks freq.	wks QP	fg. rara	ff. rara	fg. QP	ff. QP	l/ff.qp	Ver.
0	-1606612	5	72	2402	-1399402	2	63	0	0	0	0	24.1	0.016	0.014	0.016	0	0	0	0	9999	S1
20	-1469248	5	66	2197	-1277920	2	58	0	0	0	0	24.1	0.014	0.012	0.014	0	0	0	0	9999	S1
69	17062	1	1	9	17062	1	1	0	0	0	0	22	0.01	0.009	0.011	0.07	0.13	0.06	0.21	3875.82	S1
69	-1469248	5	61	1756	-1277920	2	1	0	0	0	0										S1
146	606302	1	21	316	557031	1	19	0	0	0	0	0	0	0	0	0.16	0.29	0.14	0.5	1643.47	S1
146	-637080	5	22	330	-541911	2	19	0	0	0	0										S1
190	606302	4	21	315	557031	2	19	0	0	0	0	0	0	0	0	0	0	0	0	9999	S1
190	-96641	2	3	50	-63846	1	19	0	0	0	0										S1
230	819950	4	30	932	746029	2	27	23	0.005	0.004	0.005	0	0	0	0	0.26	0.47	0.23	0.81	1014.19	S1

Campata n. 2 tra i fili 24 e 34, asta n. 56

Sezione rettangolare H tot. 60 B 40 Cs 3 Ci 3

Sovreresistenza 0%

Verifiche in stato limite ultimo

x	Asup	cs	Ainf	ci	Mela	comb.	MEd	MRd	x/d	Ast	Afp+	Afp-	VEd	comb.	VRcd	VRd	VRsd	teta	Ver.
0	18.85	4.8	18.85	6.1	1403515	SLU 19	1549251	3682191	0.131	0.088	0	0	10892	ger.	47176	11595	41560	22	S1
40	18.85	4.8	18.85	6.1	1659960	SLU 19	1928447	3682191	0.131	0.063	0	0	9857	ger.	47176	11322	29693	22	S1
0	18.85	4.8	18.85	6.1						0.063	0	0	-980	ger.	47176	11322	-29693	22	S1
156	9.42	4.8	13.45	6.6	2027988	SLU 19	2033890	2619679	0.132	0.063	0	0	6847	ger.	46759	10340	29431	22	S1
156	9.42	4.8	13.45	6.6						0.063	0	0	-3990	ger.	46759	10340	-29431	22	S1
330	9.42	4.8	13.45	6.6	1515334	SLU 19	1844488	2619679	0.132	0.063	0	0	2349	ger.	46759	10340	29431	22	S1
330	9.42	4.8	13.45	6.6						0.063	0	0	-8488	ger.	46759	10340	-29431	22	S1
503	11.1	4.8	14.43	5.9	-79841	SLV 1	518122	2846315	0.13	0.063	0	0	-13938	SLU 19	47369	9242	-29815	22	S1
503	11.1	4.8	14.43	5.9	-288843	SLV 16	-516738	-2286314	0.123										S1
521	11.1	4.8	13.2	5.6	-220492	SLV 1	315625	2628132	0.122	0.076	0	0	-14670	SLU 19	48344	9855	-37123	22	S1
521	11.1	4.8	13.2	5.6	-516738	SLU 19	-516738	-2277513	0.119										S1
521	11.1	4.8	13.2	5.6	-220492	SLV 1	315625	2628132	0.122	0.076	0	0	-14670	SLU 19	48344	9855	-37123	22	S1
521	11.1	4.8	13.2	5.6	-516738	SLU 19	-516738	-2277513	0.119										S1

Valutazione dei tagli secondo gerarchia delle resistenze

x	contr.gravitaz.	VEd negativo	contr.mom.resist.	elastico	VEd positivo	contr.mom.resist.	elastico
0	4967	55	-4912	2235	10892	5926	7291
40	3932	-980	-4912	1622	9857	5926	5607
156	922	-3990	-4912	-588	6847	5926	1124
330	-3576	-8488	-4912	-6613	2349	5926	-2808
503	-8078	-13938	-4912	-13938	-2153	5926	-5469
521	-8529	-14670	-4912	-14670	-2603	5926	-5735
521	-8529	-14670	-4912	-14670	-2603	5926	-5735

Verifiche in esercizio

x	M.rara	Comb.R	sigma c. rara	sigma f. rara	M.QP	Comb.QP	sigma c. QP	srmi	wki rara	wki freq.	wki QP	srms	wks rara	wks freq.	wks QP	fg. rara	ff. rara	fg. QP	ff. QP	l/ff.qp	Ver.
0	1126771	4	41	1280	1012830	2	37	23	0.006	0.006	0.007	0	0	0	0	0.26	0.47	0.23	0.81	1014.19	S1
40	1393394	4	51	1583	1232262	2	45	23	0.009	0.008	0.009	0	0	0	0	0	0	0	0	9999	S1
156	1464869	4	70	2385	1285295	2	61	26.5	0.016	0.014	0.017	0	0	0	0	0.35	0.68	0.31	1.16	707.24	S1
330	1324244	4	63	2156	1153357	2	55	26.5	0.014	0.012	0.014	0	0	0	0	0.27	0.55	0.23	0.95	859.66	S1
503	366144	2	13	199	309341	1	11	0	0	0	0	0	0	0	0	0.05	0.18	0.04	0.32	2583.54	S1
503	-378301	4	14	208	-339840	2	11	0	0	0	0										S1
521	220373	2	8	121	181959	1	7	0	0	0	0	0	0	0	0	0	0	0	0	9999	S1
521	-378301	4	14	209	-339840	2	7	0	0	0	0										S1
521	220373	2	8	121	181959	1	7	0	0	0	0	0	0	0	0	0.03	0.14	0.02	0.25	3299.98	S1
521	-378301	4	14	209	-339840	2	7	0	0	0	0										S1

Campata n. 3 tra i fili 34 e 36, asta n. 57

Sezione rettangolare H tot. 60 B 40 Cs 3 Ci 3

Sovreresistenza 0%

Ingresso-Principale

Verifiche in stato limite ultimo																			
x	Asup	cs	Ainf	ci	Mela	comb.	MEd	MRd	x/d	Ast	Afp+	Afp-	VEd	comb.	VRcd	VRd	VRsd	teta	Ver.
0	11.1	4.8	13.2	5.6	-216548	m.i.p.	0	2628132	0.122	0.076	0	0	-14670	SLU 19	48344	9332	-37123	22	SI
0	11.1	4.8	13.2	5.6	-507473	SLU 19	-1339780	-2277513	0.119	0									SI
0	11.1	4.8	13.2	5.6	-1339338	SLU 19	-1339338	-2277513	0.119	0.076	0	0	-14670	SLU 19	48344	9332	-37123	22	SI
20	9.3	4.8	9.42	4.8	-367511	m.i.p.	0	1923655	0.104	0.076	0	0	-15546	SLU 19	48344	9290	-37123	22	SI
20	9.3	4.8	9.42	4.8	-814053	SLU 19	-1339780	-1898474	0.104										SI
43	9.42	4.8	9.42	4.8	-507949	m.i.p.	0	1923635	0.104	0.076	0	0	-16528	SLU 19	48344	9332	-37123	22	SI
43	9.42	4.8	9.42	4.8	-1175635	SLU 19	-1339780	-1923635	0.104										SI
53	9.42	4.8	9.42	4.8	-1339780	SLU 19	-1339780	-1923635	0.104	0.076	0	0	-16957	SLU 19	48344	9332	-37123	22	SI
68	9.42	4.8	9.42	4.8	-671681	m.i.p.	0	1923635	0.104	0	0	0	-17618	SLU 19	70098	9332	0	45	SI
68	9.42	4.8	9.42	4.8	-1599063	SLU 19	-1466930	-1923635	0.104										SI

Valutazione dei tagli secondo gerarchia delle resistenze									
x	contr.gravitaz.	VEd negativo	contr.mom.resist.	elastico	VEd positivo	contr.mom.resist.	elastico		
0	-8529	-14670	-4912	-14670	-2603	5926	-5735		
0	-8529	-14670	-4912	-14670	-2603	5926	-5735		
20	-9066	-15546	-4912	-15546	-3141	5926	-6052		
43	-9668	-16528	-4912	-16528	-3743	5926	-6406		
53	-9932	-16957	-4912	-16957	-4006	5926	-6560		
68	-10337	-17618	-4912	-17618	-4411	5926	-6798		

Verifiche in esercizio																					
x	M.rara	Comb.R	sigma c. rara	sigma f. rara	M.QP	Comb.QP	sigma c. QP	srmi	wki rara	wki freq.	wki QP	srms	wks rara	wks freq.	wks QP	fg. rara	ff. rara	fg. QP	ff. QP	I/ff.qp	Ver.
0	-969581	4	45	1746	-853918	2	39	0	0	0	0	27.6	0.011	0.01	0.011	0.03	0.14	0.02	0.25	3299.98	SI
0	-969263	4	45	1746	-853642	2	39	0	0	0	0	27.6	0.011	0.01	0.011	0	0	0	0	9999	SI
20	-969581	4	50	2071	-853918	2	44	0	0	0	0	30.5	0.014	0.013	0.014	0.02	0.1	0.01	0.17	4837.43	SI
43	-969581	4	49	2044	-853918	2	44	0	0	0	0	30.2	0.014	0.012	0.014	0.01	0.05	0.01	0.09	9601.26	SI
53	-969581	4	49	2044	-853918	2	44	0	0	0	0	30.2	0.014	0.012	0.014	0	0	0	0	9999	SI
68	-1060916	4	54	2237	-933290	2	48	0	0	0	0	30.2	0.016	0.014	0.016	0	0	0	0	9999	SI

Campata n. 4 tra i fili 36 e 41, asta n. 58

Sezione rettangolare H tot. 60 B 40 Cs 3 Ci 3

Sovreresistenza 0%

Verifiche in stato limite ultimo																			
x	Asup	cs	Ainf	ci	Mela	comb.	MEd	MRd	x/d	Ast	Afp+	Afp-	VEd	comb.	VRcd	VRd	VRsd	teta	Ver.
0	9.42	4.8	9.42	4.8	-853086	SLU 19	-853086	-1923635	0.104	0	0	0	33669	ger.	70098	9332	0	45	SI
0	9.42	4.8	9.42	4.8						0	0	0	-29925	ger.	70098	9332	0	45	SI
15	9.42	4.8	9.42	4.8	-1073432	SLU 19	-1073432	-1923635	0.104	0.075	0	0	33262	ger.	48344	9332	36341	22	SI
15	9.42	4.8	9.42	4.8						0.075	0	0	-30332	ger.	48344	9332	-36341	22	SI
41	9.42	4.8	9.42	4.8	-354183	SLU 2	103859	1923635	0.104	0.075	0	0	32556	ger.	48344	9332	36341	22	SI
41	9.42	4.8	9.42	4.8	-860322	SLU 19	-1383531	-1923635	0.104	0.075	0	0	-31038	ger.	48344	9332	-36341	22	SI
86	9.42	4.8	9.42	4.8	-30164	SLV 1	337694	1923635	0.104	0.075	0	0	31300	ger.	48344	9332	36341	22	SI
86	9.42	4.8	9.42	4.8	-1175835	SLV 16	-1804183	-1923635	0.104	0.075	0	0	-32294	ger.	48344	9332	-36341	22	SI
131	9.42	4.8	9.42	4.8	307186	SLV 1	337694	1923635	0.104	0.075	0	0	30022	ger.	48344	9332	36341	22	SI
131	9.42	4.8	9.42	4.8	-1744214	SLV 16	-1804183	-1923635	0.104	0.075	0	0	-33572	ger.	48344	9332	-36341	22	SI
136	9.42	4.8	9.42	4.8	337694	SLV 1	337694	1923635	0.104	0.075	0	0	29894	ger.	48344	9332	36341	22	SI
136	9.42	4.8	9.42	4.8	-1804183	SLV 16	-1804183	-1923635	0.104	0.075	0	0	-33700	ger.	48344	9332	-36341	22	SI
136	9.42	4.8	9.42	4.8	337727	SLV 1	337727	1923635	0.104	0.075	0	0	29893	ger.	48344	9332	36341	22	SI
136	9.42	4.8	9.42	4.8	-1804249	SLV 16	-1804249	-1923635	0.104	0.075	0	0	-33700	ger.	48344	9332	-36341	22	SI

Valutazione dei tagli secondo gerarchia delle resistenze									
x	contr.gravitaz.	VEd negativo	contr.mom.resist.	elastico	VEd positivo	contr.mom.resist.	elastico		
0	1872	-29925	-31797	-9532	33669	31797	10449		
15	1465	-30332	-31797	-9939	33262	31797	10042		
41	759	-31038	-31797	-10645	32556	31797	9336		
86	-497	-32294	-31797	-11902	31300	31797	8079		
131	-1775	-33572	-31797	-13179	30022	31797	6802		
136	-1903	-33700	-31797	-13308	29894	31797	6673		
136	-1903	-33700	-31797	-13308	29893	31797	6673		

Verifiche in esercizio																					
x	M.rara	Comb.R	sigma c. rara	sigma f. rara	M.QP	Comb.QP	sigma c. QP	srmi	wki rara	wki freq.	wki QP	srms	wks rara	wks freq.	wks QP	fg. rara	ff. rara	fg. QP	ff. QP	I/ff.qp	Ver.
0	-621110	4	23	350	-537533	2	20	0	0	0	0	0	0	0	0	0	0	0	0	9999	SI
15	-662792	4	25	374	-587457	2	22	0	0	0	0	0	0	0	0	0	0	0	0	9999	SI
41	-718926	4	37	1516	-639836	2	33	0	0	0	0	30.2	0.01	0.009	0.01	-0.01	-0.01	0	-0.02	8794.49	SI
86	-821605	5	42	1732	-733245	2	37	0	0	0	0	30.2	0.012	0.011	0.012	-0.01	-0.01	-0.01	-0.02	7538.92	SI
131	-821605	5	42	1732	-733245	2	37	0	0	0	0	30.2	0.012	0.011	0.012	0	0	0	0	9999	SI
136	-821605	5	42	1732	-733245	2	37	0	0	0	0	30.2	0.012	0.011	0.012	0	0	0	0	9999	SI
136	-821623	5	42	1732	-733261	2	37	0	0	0	0	30.2	0.012	0.011	0.012	0	0	0	0	9999	SI

Campata n. 5 tra i fili 41 e 42, asta n. 59,60

Sezione rettangolare H tot. 60 B 40 Cs 3 Ci 3

Sovreresistenza 0%

Campata collegata a parete. La relazione di verifica non viene prodotta.

Campata n. 6 tra i fili 42 e 44, asta n. 61,62

Sezione rettangolare H tot. 60 B 40 Cs 3 Ci 3

Sovreresistenza 0%

Campata collegata a parete. La relazione di verifica non viene prodotta.

Campata n. 7 tra i fili 44 e 49, asta n. 63

Sezione rettangolare H tot. 60 B 40 Cs 3 Ci 3

Sovreresistenza 0%

Verifiche in stato limite ultimo																			
x	Asup	cs	Ainf	ci	Mela	comb.	MEd	MRd	x/d	Ast	Afp+	Afp-	VEd	comb.	VRcd	VRd	VRsd	teta	Ver.
0	9.42	4.8	9.42	4.8	841316	SLV 16	841316	1923635	0.104	0.075	0	0	33837	ger.	48344	9332	36341	22	SI
0	9.42	4.8	9.42	4.8	-1491413	SLV 1	-1491413	-1923635	0.104	0.075	0	0	-29757	ger.	48344	9332	-36341	22	SI
0	9.42	4.8	9.42	4.8	841270	SLV 16	841270	1923635	0.104	0.075	0	0	33837	ger.	48344	9332	36341	22	SI
0	9.42	4.8	9.42	4.8	-1491332	SLV 1	-1491332	-1923635	0.104	0.075	0	0	-29757	ger.	48344	9332	-36341	22	SI
41	9.42	4.8	9.42	4.8	444568	SLV 16	841270	1923635	0.104	0.075	0	0	32623	ger.	48344	9332	36341	22	SI
41	9.42	4.8	9.42	4.8	-854576	SLV 1	-1491332	-1923635	0.104	0.075	0	0	-30971	ger.	48344	9332	-36341	22	SI
86	9.42	4.8	9.42	4.8	-40327	SLV 14	616728	1923635	0.104	0.075	0	0	31255	ger.	48344	9332	36341	22	SI
86	9.42	4.8	9.42	4.8	-219951	SLV 3	-1115431	-1923635	0.104	0.075	0	0	-32339	ger.	48344	9332	-36341	22	SI
121	9.42	4.8	9.42	4.8	258981	SLV 1	258981	1923635	0.104	0.075	0	0	30188	ger.	48344	9332	36341	22	SI
121	9.42	4.8	9.42	4.8	-489188	SLV 16	-593647	-1923635	0.104	0.075	0	0	-33406	ger.	48344	9332	-36341	22	SI
136	9.42	4.8	9.42	4.8	443180	SLV 1	352231	1923635	0.104	0	0	0	29725	ger.	70098	9332	0	45	SI
136	9.42	4.8	9.42	4.8	-683223	SLV 16	-583816	-1923635	0.104	0	0	0	-33868	ger.	70098	9332	0	45	SI

x	Asup	cs	Ainf	ci	Mela	comb.	MEd	MRd	x/d	Ast	Afp+	Afp-	VEd	comb.	VRcd	VRd	VRsd	teta	Ver.
168	9.42	4.8	9.42	4.8	704372	SLV 3	704372	1923635	0.104	0.079	0	0	24400	ger.	48344	9332	38299	22	SI
168	9.42	4.8	9.42	4.8	-268072	SLV 14	-268072	-1923635	0.104	0.079	0	0	-25865	ger.	48344	9332	-38299	22	SI
188	9.42	4.8	9.42	4.8	775813	SLV 3	740248	1923635	0.104	0	0	0	24218	ger.	70098	9332	0	45	SI
188	9.42	4.8	9.42	4.8	-283425	SLV 14	-274048	-1923635	0.104	0	0	0	-26047	ger.	70098	9332	0	45	SI

Valutazione dei tagli secondo gerarchia delle resistenze

x	contr.gravitaz.	VEd negativo	contr.mom.resist.	elastico	VEd positivo	contr.mom.resist.	elastico
0	906	-24227	-25133	1890	26038	25133	4282
15	769	-24363	-25133	1753	25902	25133	4146
56	393	-24740	-25133	1376	25525	25133	3769
119	-287	-25420	-25133	-310	24845	25133	4184
168	-733	-25865	-25133	-756	24400	25133	3738
188	-915	-26047	-25133	-938	24218	25133	3557

Verifiche in esercizio

x	M.rara	Comb.R	sigma c. rara	sigma f. rara	M.QP	Comb.QP	sigma c. QP	srmi	wki rara	wki freq.	wki QP	srms	wks rara	wks freq.	wks QP	fg. rara	ff. rara	fg. QP	ff. QP	l/ff.qp	Ver.
0	-161823	1	6	91	-161823	1	6	0	0	0	0	0	0	0	0	0	0	0	0	9999	SI
15	34453	5	1	19	32465	2	1	0	0	0	0	0	0	0	0	0	0	0	0	9999	SI
15	-139656	1	5	79	-139656	1	1														SI
56	136704	4	5	75	136704	2	5	0	0	0	0	0	0	0	0	0	0	0	0	9999	SI
56	-139656	2	5	77	-139656	1	5														SI
119	232594	1	8	124	232594	1	8	0	0	0	0	0	0	0	0	0	0	0	0	9999	SI
119	-23550	5	1	13	-23216	2	8														SI
168	232594	1	9	131	232594	1	9	0	0	0	0	0	0	0	0	0	0	0	0	9999	SI
188	250119	1	9	141	250119	1	9	0	0	0	0	0	0	0	0	0	0	0	0	9999	SI

Momenti resistenti a filo appoggi (per controllo pilastri)

campata	x	appoggio	Mb,Rd +	Mb,Rd -
1	20	15	1923939	-2718044
1	190	24	3682191	-3780109
2	40	24	3682191	-3780109
2	521	34	2628132	-2277513
3	0	34	2628132	-2277513
3	53	36	1923635	-1923635
4	15	36	1923635	-1923635
4	136	41	1923635	-1923635
5	0	41	1923635	-1923635
5	39	42	1923635	-1923635
6	15	42	1923635	-1923635
6	54	44	1923635	-1923635
7	0	44	1923635	-1923635
7	121	49	1923635	-1923635
8	15	49	1923635	-1923635
8	168	57	1923635	-1923635

Coefficienti di sicurezza minimi

Resistenza a flessione: 1,07

Resistenza a taglio 1,07

Tensioni in combinazione rara: 1,51

Tensioni in combinazione quasi permanente: 1,84

Fessurazione: 11,57

Deformazione: 2,80

T33

Verifiche di resistenza SLE (§ 7.3.7.1) omesse in quanto garantite da uno spettro SLD sempre minore di quello SLV

Caratteristiche dei materiali

Acciaio: B450C fyk = 4500

Calcestruzzo: C25/30 fck,cub (cubica) = 300 fck (cilindrica) = 249

Output campate

Mensola sinistra tra i fili 4 e 11, asta n. 123

Sezione rettangolare H tot. 30 B 50 Cs 3 Ci 3

Sovreresistenza 0%

Verifiche in stato limite ultimo

x	Asup	cs	Ainf	ci	Mela	comb.	MEd	MRd	x/d	Ast	Afp+	Afp-	VEd	comb.	VRcd	VRd	VRsd	teta	Ver.
0	0	3.8	0	3.8	0	SLV 3	0	0	0	0.077	0	0	0	SLV 1	40002	5722	-6863	45	SI
0	0	3.8	0	3.8	0	SLV 14	-3345	0	0	0	0	0	0	0	0	0	0	0	SI
0	0	3.8	0	3.8	0	SLV 3	0	0	0	0.077	0	0	0	SLV 1	40002	5722	-6863	45	SI
0	0	3.8	0	3.8	0	SLV 14	-3345	0	0	0	0	0	0	0	0	0	0	0	SI
78	8.04	4.6	8.04	4.6	-38208	m.i.p.	0	727686	0.194	0.077	0	0	-2851	SLU 19	40319	7213	-6917	45	SI
78	8.04	4.6	8.04	4.6	-113626	SLU 19	-149017	-727686	0.194										SI
165	11.03	4.7	8.04	4.6	-168060	m.i.p.	0	727390	0.193	0.108	0	0	-6046	SLU 19	40233	7206	-9614	45	SI
165	11.03	4.7	8.04	4.6	-498205	SLU 19	-570379	-970298	0.225										SI
240	14.33	4.7	8.04	4.6	-1062023	SLU 19	-1062023	-1233457	0.267	0.108	0	0	-8931	SLU 19	40180	8730	-9601	45	SI
260	14.33	4.7	8.04	4.6	-420634	m.i.p.	0	727188	0.192	0	0	0	-9713	SLU 19	40180	8730	0	45	SI
260	14.33	4.7	8.04	4.6	-1248137	SLU 19	-1151006	-1233457	0.267										SI

Verifiche in esercizio

x	M.rara	Comb.R	sigma c. rara	sigma f. rara	M.QP	Comb.QP	sigma c. QP	srmi	wki rara	wki freq.	wki QP	srms	wks rara	wks freq.	wks QP	fg. rara	ff. rara	fg. QP	ff. QP	l/ff.qp	Ver.
0	-2375	4	0	0	-2007	2	0	0	0	0	0	0	0	0	0	0.36	0.89	0.3	1.27	410.54	SI
0	-2375	4	0	0	-2007	2	0	0	0	0	0	0	0	0	0	0	0	0	0	9999	SI
78	-106033	4	13	193	-90070	2	11	0	0	0	0	0	0	0	0	0.21	0.56	0.18	0.77	673.13	SI
165	-405907	4	64	1675	-344906	2	54	0	0	0	0	22.3	0.007	0.006	0.007	0.07	0.21	0.06	0.27	1924.07	SI
240	-755752	4	109	2434	-642117	2	93	0	0	0	0	19.8	0.011	0.009	0.011	0	0	0	0	9999	SI
260	-819067	4	118	2638	-695898	2	100	0	0	0	0	19.8	0.012	0.01	0.012	0	0	0	0	9999	SI

Campata n. 1 tra i fili 11 e 23, asta n. 124

Sezione rettangolare H tot. 30 B 50 Cs 3 Ci 3

Sovreresistenza 0%

Verifiche in stato limite ultimo

x	Asup	cs	Ainf	ci	Mela	comb.	MEd	MRd	x/d	Ast	Afp+	Afp-	VEd	comb.	VRcd	VRd	VRsd	teta	Ver.
0	14.33	4.7	8.04	4.6	-282182	m.i.p.	0	727188	0.192	0	0	0	7942	SLU 20	40180	8730	0	45	SI
0	14.33	4.7	8.04	4.6	-774291	SLU 20	-694867	-1233457	0.267	0	0	0	-4544	ger.	40180	8730	0	45	SI
20	14.33	4.7	8.04	4.6	-623671	SLU 20	-623671	-1233457	0.267	0.168	0	0	7623	ger.	40180	8730	14936	45	SI
20	14.33	4.7	8.04	4.6			0			0.168	0	0	-4544	ger.	40180	8730	-14936	45	SI
67	12.58	4.7	8.04	4.6	-126751	m.i.p.	0	727271	0.192	0.086	0	0	7623	ger.	40205	7907	7697	45	SI
67	12.58	4.7	8.04	4.6	-329324	SLU 20	-392484	-1094203	0.244	0.086	0	0	-4544	ger.	40205	7907	-7697	45	SI
142	8.04	4.6	8.04	4.6	2655	SLV 16	12349	727686	0.194	0.086	0	0	7623	ger.	40319	7213	7719	45	SI
142	8.04	4.6	8.04	4.6	-66018	SLV 1	-88412	-727686	0.194	0.086	0	0	-4544	ger.	40319	7213	-7719	45	SI
185	8.04	4.6	8.04	4.6	23169	SLV 16	23169	727686	0.194	0.168	0	0	7623	ger.	40319	7213	14987	45	SI
185	8.04	4.6	8.04	4.6	-11500	SLV 1	-21931	-727686	0.194	0.168	0	0	-4544	ger.	40319	7213	-14987	45	SI
225	8.04	4.6	8.04	4.6	3198	SLV 13	23394	727686	0.194	0	0	0	7623	ger.	40319	7213	0	45	SI
225	8.04	4.6	8.04	4.6						0	0	0	-4544	ger.	40319	7213	0	45	SI

Valutazione dei tagli secondo gerarchia delle resistenze

x	contr.gravitaz.	VEd negativo	contr.mom.resist.	elastico	VEd positivo	contr.mom.resist.	elastico
0	0	-4544	-4544	2751	7942	7623	7942
20	0	-4544	-4544	2486	7623	7623	7144
67	0	-4544	-4544	1857	7623	7623	5251
142	0	-4544	-4544	864	7623	7623	2259
185	0	-4544	-4544	-24	7623	7623	777
225	0	-4544	-4544	-1037	7623	7623	-185

Verifiche in esercizio

x	M.rara	Comb.R	sigma c. rara	sigma f. rara	M.QP	Comb.QP	sigma c. QP	srmi	wki rara	wki freq.	wki QP	srms	wks rara	wks freq.	wks QP	fg. rara	ff. rara	fg. QP	ff. QP	l/ff.qp	Ver.
0	-497201	5	72	1601	-426466	2	61	0	0	0	0	19.8	0.006	0.005	0.006	0	0	0	0	9999	SI
20	-446433	5	64	1438	-383189	2	55	0	0	0	0	19.8	0.005	0.004	0.005	0	0	0	0	9999	SI
67	-281527	5	42	1026	-242535	2	36	0	0	0	0	21	0.004	0.003	0.004	0.02	0.05	0.02	0.08	5713.95	SI
142	-55901	5	7	102	-49479	2	6	0	0	0	0	0	0	0	0	0.08	0.15	0.07	0.26	1745.13	SI
185	7934	4	1	14	5835	2	1	0	0	0	0	0	0	0	0	0	0	0	0	9999	SI
185	-2361	2	0	4	-2103	1	1														SI
225	16391	4	2	30	13522	2	2	0	0	0	0	0	0	0	0	0.15	0.27	0.14	0.47	952.56	SI

Ingresso-Principale

Momenti resistenti a filo appoggi (per controllo pilastri)					
campata	x	appoggio		Mb,Rd +	Mb,Rd -
mensola sinistra	240	11		727188	-1233457
1	20	11		727188	-1233457
1	185	23		727686	-727686

Coefficienti di sicurezza minimi
Resistenza a flessione: 1,16
Resistenza a taglio 1,01
Tensioni in combinazione rara: 1,37
Tensioni in combinazione quasi permanente: 1,21
Fessurazione: 26,94
Deformazione: 1,64

T34

Verifiche di resistenza SLE (§ 7.3.7.1) omesse in quanto garantite da uno spettro SLD sempre minore di quello SLV

Caratteristiche dei materiali

Acciaio: B450C fyk = 4500
Calcestruzzo: C25/30 fck,cub (cubica) = 300 fck (cilindrica) = 249

Output campate

Mensola sinistra tra i fili 6 e 15, asta n. 120

Sezione rettangolare H tot. 30 B 50 Cs 3 Ci 3

Sovreresistenza 0%

Verifiche in stato limite ultimo

x	Asup	cs	Ainf	ci	Mela	comb.	MEd	MRd	x/d	Ast	Afp+	Afp-	VEd	comb.	VRcd	VRd	VRsd	teta	Ver.
0	0	3.8	0	3.8	0	m.i.p.	0	0	0	0.075	0	0	0	SLV 13	40002	5722	6691	45	SI
0	0	3.8	0	3.8	0	SLU 20	-1665	0	0	0.075	0	0	0	SLU 15	40002	5722	-6691	45	SI
0	0	3.8	0	3.8	-1665	SLU 20	-1665	0	0	0.075	0	0	0	SLV 13	40002	5722	6691	45	SI
0	0	3.8	0	3.8	0	SLU 15	0	0	0.075	0	0	0	0	SLU 15	40002	5722	-6691	45	SI
78	8.04	4.6	8.04	4.6	-25940	m.i.p.	0	727686	0.194	0.075	0	0	-1754	SLU 19	40319	7213	-6744	45	SI
78	8.04	4.6	8.04	4.6	-68401	SLU 19	-90192	-727686	0.194	0.075	0	0	0	SLU 15	40002	5722	6691	45	SI
165	10.43	4.6	8.04	4.6	-115607	m.i.p.	0	727469	0.192	0.075	0	0	-3703	SLU 19	40319	7213	-6744	45	SI
165	10.43	4.6	8.04	4.6	-304848	SLU 19	-349001	-923845	0.218	0.075	0	0	0	SLU 15	40002	5722	6691	45	SI
240	12.06	4.6	8.04	4.6	-647760	SLU 19	-647760	-1056391	0.237	0.075	0	0	-5397	SLU 19	40319	8256	-6744	45	SI
260	12.06	4.6	8.04	4.6	-288217	m.i.p.	0	727357	0.191	0	0	0	-5846	SLU 19	40319	8256	0	45	SI
260	12.06	4.6	8.04	4.6	-760009	SLU 19	-701546	-1056391	0.237	0.075	0	0	0	SLU 15	40002	5722	6691	45	SI

Verifiche in esercizio

x	M.rara	Comb.R	sigma c. rara	sigma f. rara	M.QP	Comb.QP	sigma c. QP	srmi	wki rara	wki freq.	wki QP	srms	wks rara	wks freq.	wks QP	fg. rara	ff. rara	fg. QP	ff. QP	l/ff.qp	Ver.
0	-1194	5	0	0	-1034	2	0	0	0	0	0	0	0	0	0	0.07	0.43	0.06	0.75	691.06	SI
0	-1194	5	0	0	-1034	2	0	0	0	0	0	0	0	0	0	0	0	0	0	9999	SI
78	-64689	4	8	117	-55978	2	7	0	0	0	0	0	0	0	0	0.02	0.27	0.02	0.46	1120.06	SI
165	-250314	4	40	1087	-216611	2	35	0	0	0	0	22	0.004	0.004	0.004	-0.01	0.1	-0.01	0.17	3074.77	SI
240	-464593	4	70	1756	-402038	2	61	0	0	0	0	20.6	0.007	0.006	0.007	0	0	0	0	9999	SI
260	-503170	4	76	1902	-435421	2	66	0	0	0	0	20.6	0.008	0.007	0.008	0	0	0	0	9999	SI

Campata n. 1 tra i fili 15 e 26, asta n. 121

Sezione rettangolare H tot. 30 B 50 Cs 3 Ci 3

Sovreresistenza 0%

Verifiche in stato limite ultimo

x	Asup	cs	Ainf	ci	Mela	comb.	MEd	MRd	x/d	Ast	Afp+	Afp-	VEd	comb.	VRcd	VRd	VRsd	teta	Ver.
0	12.06	4.6	8.04	4.6	-259332	m.i.p.	0	727357	0.191	0	0	0	7411	SLU 20	40319	8256	0	45	SI
0	12.06	4.6	8.04	4.6	-681213	SLU 20	-607101	-1056391	0.237	0	0	0	-4474	ger.	40319	8256	0	45	SI
20	12.06	4.6	8.04	4.6	-540735	SLU 20	-540735	-1056391	0.237	0.168	0	0	6659	SLU 20	40319	8256	14987	45	SI
20	12.06	4.6	8.04	4.6	0	0	0	0	0.168	0.168	0	0	-4474	ger.	40319	8256	-14987	45	SI
67	11.67	4.6	8.04	4.6	-100856	m.i.p.	0	727389	0.191	0.077	0	0	6629	ger.	40319	7786	6862	45	SI
67	11.67	4.6	8.04	4.6	-267366	SLU 20	-325784	-1024315	0.232	0.077	0	0	-4474	ger.	40319	7786	-6862	45	SI
142	8.04	4.6	8.04	4.6	24057	SLV 16	31194	727686	0.194	0.077	0	0	6629	ger.	40319	7213	6862	45	SI
142	8.04	4.6	8.04	4.6	-49065	SLV 1	-69583	-727686	0.194	0.077	0	0	-4474	ger.	40319	7213	-6862	45	SI
185	8.04	4.6	8.04	4.6	34994	SLV 16	36391	727686	0.194	0.168	0	0	6629	ger.	40319	7213	14987	45	SI
185	8.04	4.6	8.04	4.6	-1595	SLV 1	-10075	-727686	0.194	0.168	0	0	-4474	ger.	40319	7213	-14987	45	SI
225	8.04	4.6	8.04	4.6	5920	SLU 20	34931	727686	0.194	0	0	0	6629	ger.	40319	7213	0	45	SI
225	8.04	4.6	8.04	4.6	0	0	0	0	0	0	0	0	-4474	ger.	40319	7213	0	45	SI

Valutazione dei tagli secondo gerarchia delle resistenze

x	contr.gravitaz.	VEd negativo	contr.mom.resist.	elastico	VEd positivo	contr.mom.resist.	elastico
0	0	-4474	-4474	2622	7411	6629	7411
20	0	-4474	-4474	2370	6659	6629	6659
67	0	-4474	-4474	1763	6629	6629	4846
142	0	-4474	-4474	775	6629	6629	1904
185	0	-4474	-4474	-256	6629	6629	605
225	0	-4474	-4474	-1451	6629	6629	-315

Verifiche in esercizio

x	M.rara	Comb.R	sigma c. rara	sigma f. rara	M.QP	Comb.QP	sigma c. QP	srmi	wki rara	wki freq.	wki QP	srms	wks rara	wks freq.	wks QP	fg. rara	ff. rara	fg. QP	ff. QP	l/ff.qp	Ver.
0	-435815	5	66	1648	-377858	2	57	0	0	0	0	20.6	0.006	0.005	0.007	0	0	0	0	9999	SI
20	-388421	5	59	1468	-337255	2	51	0	0	0	0	20.6	0.005	0.005	0.005	0	0	0	0	9999	SI
67	-234853	5	36	917	-205557	2	32	0	0	0	0	20.9	0.003	0.003	0.003	0.06	0.04	0.05	0.07	6218.99	SI
142	2673	4	0	5	-28083	1	3	0	0	0	0	0	0	0	0	0.15	0.12	0.13	0.23	1973.77	SI
142	-29116	2	4	53	-28083	1	0	0	0	0	0	0	0	0	0	0	0	0	0	0	SI
185	21279	4	3	39	16699	2	2	0	0	0	0	0	0	0	0	0	0	0	0	9999	SI
225	24597	5	3	45	20389	2	2	0	0	0	0	0	0	0	0	0.26	0.21	0.23	0.41	1102.3	SI

Momenti resistenti a filo appoggi (per controllo pilastri)

campata	x	appoggio		Mb,Rd +	Mb,Rd -
mensola sinistra	240	15		727357	-1056391
1	20	15		727357	-1056391
1	185	26		727686	-727686

Coefficienti di sicurezza minimi
Resistenza a flessione: 1,63
Resistenza a taglio 1,09
Tensioni in combinazione rara: 2,05
Tensioni in combinazione quasi permanente: 1,84
Fessurazione: 41,97
Deformazione: 2,76

T35

Verifiche di resistenza SLE (§ 7.3.7.1) omesse in quanto garantite da uno spettro SLD sempre minore di quello SLV

Caratteristiche dei materiali

Acciaio: B450C fyk = 4500
Calcestruzzo: C25/30 fck,cub (cubica) = 300 fck (cilindrica) = 249

Output campate

Campata n. 1 tra i fili 46 e 54, asta n. 127

Sezione rettangolare H tot. 30 B 50 Cs 3 Ci 3

Sovreresistenza 0%

Verifiche in stato limite ultimo

x	Asup	cs	Ainf	ci	Mela	comb.	MEd	MRd	x/d	Ast	Afp+	Afp-	VEd	comb.	VRcd	VRd	VRsd	teta	Ver.
0	8.04	4.6	8.04	4.6	2501	SLV 2	9045	727686	0.194	0	0	0	7496	ger.	40319	7213	0	45	SI
0	8.04	4.6	8.04	4.6	0	0	0	0	0.168	0	0	0	-12155	ger.	40319	7213	0	45	SI
25	8.04	4.6	8.04	4.6	7957	SLV 4	7957	727686	0.194	0.168	0	0	7496	ger.	40319	7213	14987	45	SI
25	8.04	4.6	8.04	4.6	-8662	SLV 13	-18393	-727686	0.194	0.168	0	0	-12155	ger.	40319	7213	-14987	45	SI
56	8.04	4.6	8.04	4.6	-8064	SLV 4	692	727686	0.194	0.168	0	0	7496	ger.	40319	7213	14987	45	SI
56	8.04	4.6	8.04	4.6	-43255	SLV 13	-62381	-727686	0.194	0.168	0	0	-12155	ger.	40319	7213	-14987	45	SI
119	16.85	4.7	10.18	4.6	-105512	m.i.p.	0	901675	0.204	0.168	0	0	7496	ger.	40153	8345	14926	45	SI
119	16.85	4.7	10.18	4.6	-240079	SLU 20	-296509	-1434569	0.283	0.168	0	0	-12155	ger.	40153	8345	-14926	45	SI
168	20.61	4.7	12.06	4.6	-521734	SLU 20	-521734	-1731155	0.315	0.168	0	0	7496	ger.	40126	9850	14915	45	SI
168	20.61	4.7	12.06	4.6	0	0	0	1054103	0.211	0.168	0	0	-12155	ger.	40126	9850	-14915	45	SI
188	20.61	4.7	12.06	4.6	-261035	m.i.p.	0	1054103	0.211	0	0	0	7496	ger.	40126	9850	0	45	SI
188	20.61	4.7	12.06	4.6	-667831	SLU 20	-590144	-1731155	0.315	0	0	0	-12155	ger.	40126	9850	0	45	SI

Valutazione dei tagli secondo gerarchia delle resistenze

x	contr.gravitaz.	VEd negativo	contr.mom.resist.	elastico	VEd positivo	contr.mom.resist.	elastico
0	0	-12155	-12155	-71	7496	7496	557
25	0	-12155	-12155	-694	7496	7496	-103
56	0	-12155	-12155	-1888	7496	7496	-849

x		contr.gravitaz.	VEd negativo	contr.mom.resist.	elastico	VEd positivo	contr.mom.resist.	elastico
119		0	-12155	-12155	-4651	7496	7496	-1750
168		0	-12155	-12155	-6856	7496	7496	-2468
188		0	-12155	-12155	-7769	7496	7496	-2764

Verifiche in esercizio

x	M.rara	Comb.R	sigma c. rara	sigma f. rara	M.QP	Comb.QP	sigma c. QP	srmi	wki rara	wki freq.	wki QP	srms	wks rara	wks freq.	wks QP	fg. rara	ff. rara	fg. QP	ff. QP	l/ff.qp	Ver.
0	20.61	6107	4	1	11	4616	2	1	0	0	0	0	0	0	0	0	0	0	0	9999	S1
25	1044	4	0	2	-8172	1	1	0	0	0	0	0	0	0	0	0	0	0	0	9999	S1
25	-8223	2	1	15	-8172	1	0														S1
56	-44738	5	5	81	-41394	2	5	0	0	0	0	0	0	0	0	-0.01	-0.01	-0.01	-0.02	9222.43	S1
119	-214552	5	25	361	-188424	2	22	0	0	0	0	0	0	0	0	-0.02	-0.02	-0.01	-0.03	5442.48	S1
168	-375659	5	46	856	-326691	2	40	0	0	0	0	17.6	0.002	0.002	0.003	0	0	0	0	9999	S1
188	-424549	5	51	967	-368573	2	45	0	0	0	0	17.6	0.003	0.003	0.003	0	0	0	0	9999	S1

Mensola destra tra i fili 54 e 67, asta n. 128,129

Sezione rettangolare H tot. 30 B 50 Cs 3 Ci 3

Sovreresistenza 0%

Verifiche in stato limite ultimo

x	Asup	cs	Ainf	ci	Mela	comb.	MEd	MRd	x/d	Ast	Afp+	Afp-	VEd	comb.	VRcd	VRd	VRsd	teta	Ver.
0	20.61	4.7	12.06	4.6	-544854	m.i.p.	0	1054103	0.211	0	0	0	12486	SLU 19	40126	9850	0	45	S1
0	20.61	4.7	12.06	4.6	-1675055	SLU 19	-1550194	-1731155	0.315										S1
20	20.61	4.7	12.06	4.6	-1434786	SLU 19	-1434786	-1731155	0.315	0.168	0	0	11583	SLU 19	40126	9850	14915	45	S1
82	20.61	4.7	12.06	4.6	-262813	m.i.p.	0	1054103	0.211	0.116	0	0	8742	SLU 19	40126	9793	10346	45	S1
82	20.61	4.7	12.06	4.6	-805344	SLU 19	-909052	-1731155	0.315										S1
173	8.04	4.6	8.04	4.6	-67561	m.i.p.	0	727686	0.194	0.116	0	0	4446	SLU 19	40319	7213	10396	45	S1
173	8.04	4.6	8.04	4.6	-204151	SLU 19	-258736	-727686	0.194										S1
264	8.04	4.6	8.04	4.6	-155	SLU 1	0	727686	0.194	0	0	0	44	SLU 11	40319	5751	0	45	S1
264	8.04	4.6	8.04	4.6	-202	SLU 11	-4021	-727686	0.194										S1
273	0	3.8	0	3.8	0	SLU 15	0	0	0	0	0	0	0	SLU 15	40002	5722	0	45	S1
273	0	3.8	0	3.8	0	SLU 6	-782	0	0										S1
273	0	3.8	0	3.8	0	SLU 15	0	0	0	0	0	0	0	SLU 15	40002	5722	0	45	S1
273	0	3.8	0	3.8	0	SLU 6	-782	0	0										S1

Verifiche in esercizio

x	M.rara	Comb.R	sigma c. rara	sigma f. rara	M.QP	Comb.QP	sigma c. QP	srmi	wki rara	wki freq.	wki QP	srms	wks rara	wks freq.	wks QP	fg. rara	ff. rara	fg. QP	ff. QP	l/ff.qp	Ver.
0	-1100710	4	133	2507	-930323	2	113	0	0	0	0	17.6	0.01	0.009	0.011	0	0	0	0	9999	S1
20	-1018782	4	123	2321	-861110	2	104	0	0	0	0	17.6	0.009	0.008	0.01	0	0	0	0	9999	S1
82	-645561	4	78	1471	-545814	2	66	0	0	0	0	17.6	0.005	0.004	0.005	0.09	0.18	0.08	0.22	2499.89	S1
173	-183869	4	22	334	-155717	2	19	0	0	0	0	0	0	0	0	0.31	0.61	0.27	0.76	717.11	S1
264	-2898	1	0	5	-2535	1	0	0	0	0	0	0	0	0	0	0.57	1.08	0.49	1.39	391.72	S1
273	-574	1	0	0	-522	1	0	0	0	0	0	0	0	0	0	0	0	0	0	9999	S1
273	-574	1	0	0	-522	1	0	0	0	0	0	0	0	0	0	0.6	1.13	0.51	1.46	374.57	S1

Momenti resistenti a filo appoggi (per controllo pilastri)

campata	x	appoggio	Mb,Rd +	Mb,Rd -
1	25	46	727686	-727686
1	168	54	1054103	-1731155
mensola destra	20	54	1054103	-1731155

Coefficienti di sicurezza minimi

Resistenza a flessione: 1,21

Resistenza a taglio 1,03

Tensioni in combinazione rara: 1,21

Tensioni in combinazione quasi permanente: 1,07

Fessurazione: 31,12

Deformazione: 1,50

T36

Verifiche di resistenza SLE (§ 7.3.7.1) omesse in quanto garantite da uno spettro SLD sempre minore di quello SLV

Caratteristiche dei materiali

Acciaio: B450C fyk = 4500

Calcestruzzo: C25/30 fck,cub (cubica) = 300 fck (cilindrica) = 249

Output campate

Campata n. 1 tra i fili 48 e 56, asta n. 125

Sezione rettangolare H tot. 30 B 50 Cs 3 Ci 3

Sovreresistenza 0%

Verifiche in stato limite ultimo

x	Asup	cs	Ainf	ci	Mela	comb.	MEd	MRd	x/d	Ast	Afp+	Afp-	VEd	comb.	VRcd	VRd	VRsd	teta	Ver.
0	8.04	4.6	8.04	4.6	-266	SLV 5	20644	727686	0.194	0	0	0	5044	ger.	40319	7213	0	45	S1
0	8.04	4.6	8.04	4.6						0	0	0	-8836	ger.	40319	7213	0	45	S1
25	8.04	4.6	8.04	4.6	34259	SLV 3	46044	727686	0.194	0.168	0	0	5044	ger.	40319	7213	14987	45	S1
25	8.04	4.6	8.04	4.6						0.168	0	0	-8836	ger.	40319	7213	-14987	45	S1
56	8.04	4.6	8.04	4.6	60586	SLV 3	65359	727686	0.194	0.109	0	0	5044	ger.	40319	7213	9742	45	S1
56	8.04	4.6	8.04	4.6	-1734	SLV 14	-9546	-727686	0.194	0.109	0	0	-8836	ger.	40319	7213	-9742	45	S1
119	13.33	4.6	8.04	4.6	55744	SLV 3	62290	727287	0.19	0.109	0	0	5044	ger.	40319	7940	9742	45	S1
119	13.33	4.6	8.04	4.6	-75339	SLV 14	-97139	-1158236	0.253	0.109	0	0	-8836	ger.	40319	7940	-9742	45	S1
168	14.07	4.6	8.04	4.6	-1240	SLV 3	16334	727238	0.189	0.168	0	0	5044	ger.	40319	8692	14987	45	S1
168	14.07	4.6	8.04	4.6	-186027	SLV 14	-186027	-1218248	0.262	0.168	0	0	-8836	ger.	40319	8692	-14987	45	S1
188	14.07	4.6	8.04	4.6	-37842	m.i.p.	0	727238	0.189	0	0	0	5044	ger.	40319	8692	0	45	S1
188	14.07	4.6	8.04	4.6	-244566	SLV 14	-213323	-1218248	0.262	0	0	0	-8836	ger.	40319	8692	0	45	S1

Valutazione dei tagli secondo gerarchia delle resistenze

x	contr.gravitaz.	VEd negativo	contr.mom.resist.	elastico	VEd positivo	contr.mom.resist.	elastico
0	0	-8836	-8836	532	5044	5044	1722
25	0	-8836	-8836	46	5044	5044	1143
56	0	-8836	-8836	-565	5044	5044	532
119	0	-8836	-8836	-2086	5044	5044	-687
168	0	-8836	-8836	-3651	5044	5044	-1250
188	0	-8836	-8836	-4290	5044	5044	-1472

Verifiche in esercizio

x	M.rara	Comb.R	sigma c. rara	sigma f. rara	M.QP	Comb.QP	sigma c. QP	srmi	wki rara	wki freq.	wki QP	srms	wks rara	wks freq.	wks QP	fg. rara	ff. rara	fg. QP	ff. QP	l/ff.qp	Ver.
0	14736	2	2	27	12901	1	2	0	0	0	0	0	0	0	0	0	0	0	0	9999	S1
25	29001	4	4	53	25824	2	3	0	0	0	0	0	0	0	0	0	0	0	0	9999	S1
56	32493	4	4	59	29426	2	4	0	0	0	0	0	0	0	0	0	0	0	0	9999	S1
119	8046	1	1	14	8046	1	1	0	0	0	0	0	0	0	0	0	0	0	0	9999	S1
119	-34513	5	4	60	-25304	2	1														S1
168	-115995	5	14	200	-93634	2	11	0	0	0	0	0	0	0	0	0	0	0	0	9999	S1
188	-141930	5	17	245	-115445	2	14	0	0	0	0	0	0	0	0	0	0	0	0	9999	S1

Mensola destra tra i fili 56 e 68, asta n. 126

Sezione rettangolare H tot. 30 B 50 Cs 3 Ci 3

Sovreresistenza 0%

Verifiche in stato limite ultimo

x	Asup	cs	Ainf	ci	Mela	comb.	MEd	MRd	x/d	Ast	Afp+	Afp-	VEd	comb.	VRcd	VRd	VRsd	teta	Ver.
0	14.07	4.6	8.04	4.6	-343652	m.i.p.	0	727238	0.189		0	0	7047	SLU 19	40319	8692	0	45	Si
0	14.07	4.6	8.04	4.6	-933352	SLU 19	-862880	-1218248	0.262										Si
20	14.07	4.6	8.04	4.6	-797906	SLU 19	-797906	-1218248	0.262	0.168	0	0	6515	SLU 19	40319	8692	14987	45	Si
82	14.07	4.6	8.04	4.6	-165160	m.i.p.	0	727238	0.189	0.076	0	0	4868	SLU 19	40319	8692	6757	45	Si
82	14.07	4.6	8.04	4.6	-445436	SLU 19	-503258	-1218248	0.262										Si
173	8.04	4.6	8.04	4.6	-42719	m.i.p.	0	727686	0.194	0.076	0	0	2446	SLU 19	40319	7213	6757	45	Si
173	8.04	4.6	8.04	4.6	-112645	SLU 19	-142681	-727686	0.194										Si
264	8.04	4.6	8.04	4.6	-155	SLU 1	0	727686	0.194	0	0	0	44	SLU 11	40319	5751	0	45	Si
264	8.04	4.6	8.04	4.6	-202	SLU 11	-2460	-727686	0.194										Si
273	0	3.8	0	3.8	0	SLV 13	0	0	0	0	0	0	0	SLU 20	40002	5722	0	45	Si
273	0	3.8	0	3.8	0	SLV 4	-551	0	0										Si
273	0	3.8	0	3.8	0	SLV 13	0	0	0	0	0	0	0	SLU 20	40002	5722	0	45	Si
273	0	3.8	0	3.8	0	SLV 4	-551	0	0										Si

Ingresso-Principale

x	M.rara	Comb.R	sigma c. rara	sigma f. rara	M.QP	Comb.QP	sigma c. QP	srmi	wki rara	wki freq.	wki QP	srms	wks rara	wks freq.	wks QP	fg. rara	ff. rara	fg. QP	ff. QP	l/ff.qp	Ver.	
173	-102299	4	12	186	-88452	2	11	0	0	0	0	0	0	0	0	0.2	0.33	0.17	0.51	1062.46	S1	
264	-1800	1	0	3	-1629	1	0	0	0	0	0	0	0	0	0	0.35	0.58	0.31	0.92	593.8	S1	
273	-411	4	0	0	-387	2	0	0	0	0	0	0	0	0	0	0	0	0	0	9999	S1	
273	-411	4	0	0	-387	2	0	0	0	0	0	0	0	0	0	0	0.37	0.61	0.33	0.96	568.52	S1

Momenti resistenti a filo appoggi (per controllo pilastri)

campata	x	appoggio	Mb,Rd +	Mb,Rd -
1	25	48	727686	-727686
1	168	56	727238	-1218248
mensola destra	20	56	727238	-1218248

Coefficienti di sicurezza minimi

Resistenza a flessione: 1,53
Resistenza a taglio 1,10
Tensioni in combinazione rara: 1,82
Tensioni in combinazione quasi permanente: 1,58
Fessurazione: 38,63
Deformazione: 2,27

T37

Verifiche di resistenza SLE (§ 7.3.7.1) omesse in quanto garantite da uno spettro SLD sempre minore di quello SLV

Caratteristiche dei materiali

Acciaio: B450C fyk = 4500

Calcestruzzo: C25/30 fck,cub (cubica) = 300 fck (cilindrica) = 249

Output campate

Campata n. 1 tra i fili 22 e 23, asta n. 66

Sezione rettangolare H tot. 30 B 80 Cs 3 Ci 3

Sovreresistenza 0%

Verifiche in stato limite ultimo

x	Asup	cs	Ainf	ci	Mela	comb.	MEd	MRd	x/d	Ast	Afp+	Afp-	VEd	comb.	VRcd	VRd	VRsd	teta	Ver.
0	10.05	5.6	10.05	5.6	-2946	SLU 2	5104	903620	0.209	0	0	0	1362	SLU 19	61971	10447	0	45	S1
0	10.05	5.6	10.05	5.6						0	0	0	-621	ger.	61971	10447	0	45	S1
15	10.05	5.6	10.05	5.6	13417	SLU 17	26686	903620	0.209	0.151	0	0	1245	SLU 19	61971	10447	13000	45	S1
15	10.05	5.6	10.05	5.6						0.151	0	0	-621	ger.	61971	10447	-13000	45	S1
80	19.86	5.6	19.86	5.6	77177	SLU 19	85083	1637204	0.266	0.151	0	0	739	SLU 19	61971	12009	13000	45	S1
80	19.86	5.6	19.86	5.6						0.151	0	0	-621	ger.	61971	12009	-13000	45	S1
168	10.05	5.6	10.05	5.6	112070	SLU 19	112188	903620	0.209	0.151	0	0	83	SLV 16	61971	10447	13000	45	S1
168	10.05	5.6	10.05	5.6						0.151	0	0	-621	ger.	61971	10447	-13000	45	S1
241	10.05	5.6	10.05	5.6	94997	SLU 19	100437	903620	0.209	0.151	0	0	-687	SLU 12	61971	10447	-13000	45	S1
266	10.05	5.6	10.05	5.6	79665	SLU 19	88572	903620	0.209	0	0	0	-882	SLU 12	61971	10447	0	45	S1

Valutazione dei tagli secondo gerarchia delle resistenze

x	contr.gravitaz.	VEd negativo	contr.mom.resist.	elastico	VEd positivo	contr.mom.resist.	elastico
0	0	-621	-621	907	1362	-374	1362
15	0	-621	-621	817	1245	-374	1245
80	0	-621	-621	428	739	-374	739
168	0	-621	-621	-121	83	-374	83
241	0	-687	-621	-687	-352	-374	-352
266	0	-882	-621	-882	-374	-374	-502

Verifiche in esercizio

x	M.rara	Comb.R	sigma c. rara	sigma f. rara	M.QP	Comb.QP	sigma c. QP	srmi	wki rara	wki freq.	wki QP	srms	wks rara	wks freq.	wks QP	fg. rara	ff. rara	fg. QP	ff. QP	l/ff.qp	Ver.	
0	3850	2	0	5	3832	1	0	0	0	0	0	0	0	0	0	0	0	0	0	9999	S1	
15	20354	2	2	24	20156	1	2	0	0	0	0	0	0	0	0	0	0	0	0	9999	S1	
80	64160	4	5	71	62035	2	5	0	0	0	0	0	0	0	0	0	0.03	0	0.03	0	9999	S1
168	83589	4	7	98	79168	2	6	0	0	0	0	0	0	0	0	0	0.05	-0.01	0.05	-0.02	9999	S1
241	73591	4	6	86	67353	2	5	0	0	0	0	0	0	0	0	0	0	0	0	9999	S1	
266	64051	4	5	75	57099	2	4	0	0	0	0	0	0	0	0	0	0.06	-0.03	0.06	-0.07	9999	S1

Campata n. 2 tra i fili 23 e 24, asta n. 67

Sezione rettangolare H tot. 30 B 80 Cs 3 Ci 3

Sovreresistenza 0%

Verifiche in stato limite ultimo

x	Asup	cs	Ainf	ci	Mela	comb.	MEd	MRd	x/d	Ast	Afp+	Afp-	VEd	comb.	VRcd	VRd	VRsd	teta	Ver.
0	10.05	5.6	10.05	5.6	78650	SLU 19	56780	903620	0.209	0	0	0	-1750	SLU 19	61971	10447	0	45	S1
25	10.05	5.6	10.05	5.6	35766	SLV 16	35766	903620	0.209	0.165	0	0	-1945	SLU 19	61971	10447	-14219	45	S1
25	10.05	5.6	10.05	5.6	-543	SLV 1	-12692	-903620	0.209										S1
50	10.05	5.6	10.05	5.6	-6950	SLV 16	13163	903620	0.209	0.165	0	0	-2139	SLU 19	61971	10447	-14219	45	S1
50	10.05	5.6	10.05	5.6	-31309	SLU 11	-49828	-903620	0.209										S1
105	10.05	5.6	10.05	5.6	-99900	m.i.p.	0	903620	0.209	0.165	0	0	-2572	SLU 19	61971	10447	-14219	45	S1
105	10.05	5.6	10.05	5.6	-149214	SLU 19	-179250	-903620	0.209										S1
147	10.05	5.6	10.05	5.6	-261401	SLU 19	-261401	-903620	0.209	0.165	0	0	-2892	SLU 19	61971	10447	-14219	45	S1
167	10.05	5.6	10.05	5.6	-204689	m.i.p.	0	903620	0.209	0	0	0	-3048	SLU 19	61971	10447	0	45	S1
167	10.05	5.6	10.05	5.6	-320778	SLU 19	-290295	-903620	0.209										S1

Valutazione dei tagli secondo gerarchia delle resistenze

x	contr.gravitaz.	VEd negativo	contr.mom.resist.	elastico	VEd positivo	contr.mom.resist.	elastico
0	0	-1750	-621	-1750	-374	-374	-874
25	0	-1945	-621	-1945	-374	-374	-1024
50	0	-2139	-621	-2139	-374	-374	-1174
105	0	-2572	-621	-2572	-374	-374	-1507
147	0	-2892	-621	-2892	-374	-374	-1753
167	0	-3048	-621	-3048	-374	-374	-1873

Verifiche in esercizio

x	M.rara	Comb.R	sigma c. rara	sigma f. rara	M.QP	Comb.QP	sigma c. QP	srmi	wki rara	wki freq.	wki QP	srms	wks rara	wks freq.	wks QP	fg. rara	ff. rara	fg. QP	ff. QP	l/ff.qp	Ver.	
0	40168	4	3	47	34275	2	3	0	0	0	0	0	0	0	0	0	0.06	-0.03	0.06	-0.07	9999	Si
25	22179	4	2	26	17611	2	1	0	0	0	0	0	0	0	0	0	0	0	0	9999	Si	
25	-3114	2	0	4	-3086	1	1														Si	
50	2283	5	0	3	-35901	1	3	0	0	0	0	0	0	0	0	0	0.07	-0.04	0.06	-0.11	9999	Si
50	-35901	1	3	42	-35901	1	0														Si	
105	-135280	4	11	159	-130100	2	10	0	0	0	0	0	0	0	0	0	0.07	-0.06	0.07	-0.14	9487.94	Si
147	-196742	4	15	231	-188426	2	15	0	0	0	0	0	0	0	0	0	0	0	0	0	9999	Si
167	-218383	4	17	256	-209006	2	16	0	0	0	0	0	0	0	0	0	0.08	-0.07	0.08	-0.17	8264.3	Si

Campata n. 3 tra i fili 24 e 26, asta n. 68

Sezione rettangolare H tot. 30 B 80 Cs 3 Ci 3

Sovreresistenza 0%

Verifiche in stato limite ultimo

x	Asup	cs	Ainf	ci	Mela	comb.	MEd	MRd	x/d	Ast	Afp+	Afp-	VEd	comb.	VRcd	VRd	VRsd	teta	Ver.
0	10.05	5.6	10.05	5.6	-202337	m.i.p.	0	903620	0.209	0	0	0	3401	SLU 19	61971	10447	0	45	S1
0	10.05	5.6	10.05	5.6	-315036	SLU 19	-281024	-903620	0.209				-621	ger.	61971	10447	0	45	S1
20	10.05	5.6	10.05	5.6	-248575	SLU 19	-248575	-903620	0.209	0.356	0	0	3245	SLU 19	61971	10447	30578	45	S1
20	10.05	5.6	10.05	5.6						0.356	0	0	-621	ger.	61971	10447	-30578	45	S1
26	10.05	5.6	10.05	5.6	-248548	SLU 19	-248548	-903620	0.209	0.356	0	0	3201	SLU 19	61971	10447	30578	45	S1
26	10.05	5.6	10.05	5.6						0.356	0	0	-621	ger.	61971	10447	-30578	45	S1
51	10.05	5.6	10.05	5.6	-117315	m.i.p.	0	903620	0.209	0	0	0	3006	SLU 19	61971	10447	0	45	S1
51	10.05	5.6	10.05	5.6	-153594	SLU 11	-190349	-903620	0.209	0	0	0	-621	ger.	61971	10447	0	45	S1

Valutazione dei tagli secondo gerarchia delle resistenze

x	contr.gravitaz.	VEd negativo	contr.mom.resist.	elastico	VEd positivo	contr.mom.resist.	elastico
0	0	-621	-621	1815	3401	-374	3401
20	0	-621	-621	1695	3245	-374	3245
26	0	-621	-621	1661	3201	-374	3201
51	0	-621	-621	1511	3006	-374	3006

Verifiche in esercizio

x	M.rara	Comb.R	sigma c. rara	sigma f. rara	M.QP	Comb.QP	sigma c. QP	srmi	wki rara	wki freq.	wki QP	srms	wks rara	wks freq.	wks QP	fg. rara	ff. rara	fg. QP	ff. QP	l/ff.qp	Ver.	
0	-211974	4	17	249	-204022	2	16	0	0	0	0	0	0	0	0	0	0.08	-0.07	0.08	-0.17	8264.3	S1
20	-188066	4	15	221	-182099	2	14	0	0	0	0	0	0	0	0	0	0	0	0	9999	S1	
26	-188046	4	15	221	-182081	2	14	0	0	0	0	0	0	0	0	0	0	0	0	9999	S1	
51	-145190	1	11	170	-142825	1	11	0	0	0	0	0	0	0	0	0	0.1	-0.07	0.1	-0.16	8543.56	S1

Verifiche in stato limite ultimo

x	Asup	cs	Ainf	ci	Mela	comb.	MEd	MRd	x/d	Ast	Afp+	Afp-	VEd	comb.	VRcd	VRd	VRsd	teta	Ver.
0	10.05	5.6	10.05	5.6	-119246	m.i.p.	0	903620	0.209	0	0	0	1555	SLU 11	61971	10447	0	45	SI
0	10.05	5.6	10.05	5.6	-155020	SLU 11	-135581	-903620	0.209										SI
25	10.05	5.6	10.05	5.6	-118611	SLU 11	-118611	-903620	0.209	0.156	0	0	1360	SLU 11	61971	10447	13430	45	SI
60	10.05	5.6	10.05	5.6	-58430	m.i.p.	0	903620	0.209	0.156	0	0	1089	SLU 11	61971	10447	13430	45	SI
60	10.05	5.6	10.05	5.6	-75960	SLU 11	-88999	-903620	0.209										SI
126	17.57	5.6	17.57	5.6	-16032	m.i.p.	0	1467488	0.255	0.156	0	0	570	SLU 11	61971	11377	13430	45	SI
126	17.57	5.6	17.57	5.6	-20842	SLU 11	-27932	-1467488	0.255										SI
193	10.05	5.6	10.05	5.6	-132	SLU 1	0	903620	0.209	0	0	0	52	SLU 11	61971	8966	0	45	SI
193	10.05	5.6	10.05	5.6	-172	SLU 11	-1315	-903620	0.209										SI
199	0	3.8	0	3.8	0	SLU 19	0	0	0	0	0	0	0	SLU 6	64003	9155	0	45	SI
199	0	3.8	0	3.8	0	SLU 2	-548	0	0	0	0	0	0	SLU 5	64003	9155	0	45	SI
199	0	3.8	0	3.8	0	SLU 19	0	0	0	0	0	0	0	SLU 6	64003	9155	0	45	SI
199	0	3.8	0	3.8	0	SLU 2	-548	0	0	0	0	0	0	SLU 5	64003	9155	0	45	SI

Verifiche in esercizio

x	M.rara	Comb.R	sigma c. rara	sigma f. rara	M.QP	Comb.QP	sigma c. QP	srmi	wki rara	wki freq.	wki QP	srms	wks rara	wks freq.	wks QP	fg. rara	ff. rara	fg. QP	ff. QP	I/ff.qp	Ver.
0	-104293	1	8	122	-104293	1	8	0	0	0	0	0	0	0	0	0.1	-0.07	0.1	-0.16	8543.56	SI
25	-91239	1	7	107	-91239	1	7	0	0	0	0	0	0	0	0	0	0	0	0	9999	SI
60	-68460	1	5	80	-68460	1	5	0	0	0	0	0	0	0	0	0.13	-0.06	0.13	-0.14	9999	SI
126	-21486	1	2	24	-21486	1	2	0	0	0	0	0	0	0	0	0.17	-0.04	0.17	-0.1	8235.04	SI
193	-1011	1	0	1	-1011	1	0	0	0	0	0	0	0	0	0	0.21	-0.03	0.2	-0.06	6664.98	SI
199	-421	2	0	0	-421	1	0	0	0	0	0	0	0	0	0	0	0	0	0	9999	SI
199	-421	2	0	0	-421	1	0	0	0	0	0	0	0	0	0	0.22	-0.03	0.21	-0.05	6540.05	SI

Momenti resistenti a filo appoggi (per controllo pilastri)

campata	x	appoggio	Mb,Rd +	Mb,Rd -
1	15	22	903620	-903620
2	241	23	903620	-903620
2	25	23	903620	-903620
2	147	24	903620	-903620
3	20	24	903620	-903620
3	26	26	903620	-903620
mensola destra	25	26	903620	-903620

Coefficienti di sicurezza minimi

Resistenza a flessione: 3,46
Resistenza a taglio 4,92
Tensioni in combinazione rara: 3,96
Tensioni in combinazione quasi permanente: 4,34
Fessurazione: 999,00
Deformazione: 25,13

T38

Verifiche di resistenza SLE (§ 7.3.7.1) omesse in quanto garantite da uno spettro SLD sempre minore di quello SLV

Caratteristiche dei materiali

Acciaio: B450C fyk = 4500
Calcestruzzo: C25/30 fck,cub (cubica) = 300 fck (cilindrica) = 249

Output campate

Campata n. 1 tra i fili 45 e 46, asta n. 132

Sezione rettangolare H tot. 30 B 50 Cs 3 Ci 3

Sovreresistenza 0%

Verifiche in stato limite ultimo

x	Asup	cs	Ainf	ci	Mela	comb.	MEd	MRd	x/d	Ast	Afp+	Afp-	VEd	comb.	VRcd	VRd	VRsd	teta	Ver.
0	6.03	4.6	6.03	4.6	5	SLV 16	6401	561731	0.175	0	0	0	1258	SLU 19	40319	6553	0	45	SI
0	6.03	4.6	6.03	4.6						0	0	0	-549	ger.	40319	6553	0	45	SI
15	6.03	4.6	6.03	4.6	15260	SLU 20	28543	561731	0.175	0.078	0	0	1185	SLU 19	40319	6553	6984	45	SI
15	6.03	4.6	6.03	4.6						0.078	0	0	-549	ger.	40319	6553	-6984	45	SI
59	10.23	4.6	10.23	4.6	62584	SLU 19	73381	906874	0.21	0.078	0	0	971	SLU 19	40319	6553	6984	45	SI
59	10.23	4.6	10.23	4.6						0.078	0	0	-549	ger.	40319	6553	-6984	45	SI
124	6.03	4.6	6.03	4.6	115665	SLU 19	122800	561731	0.175	0.078	0	0	651	SLU 19	40319	6553	6984	45	SI
124	6.03	4.6	6.03	4.6						0.078	0	0	-549	ger.	40319	6553	-6984	45	SI
171	6.03	4.6	6.03	4.6	140882	SLU 19	140882	561731	0.175	0.078	0	0	430	SLV 1	40319	6553	6984	45	SI
171	6.03	4.6	6.03	4.6						0.078	0	0	-549	ger.	40319	6553	-6984	45	SI
196	6.03	4.6	6.03	4.6	149933	SLU 19	146177	561731	0.175	0.078	0	0	336	SLV 1	40319	6553	6984	45	SI
196	6.03	4.6	6.03	4.6						0.078	0	0	-549	ger.	40319	6553	-6984	45	SI

Valutazione dei tagli secondo gerarchia delle resistenze

x	contr.gravitaz.	VEd negativo	contr.mom.resist.	elastico	VEd positivo	contr.mom.resist.	elastico
0	0	-549	-549	692	1258	-229	1258
15	0	-549	-549	635	1185	-229	1185
59	0	-549	-549	471	971	-229	971
124	0	-549	-549	225	651	-229	651
171	0	-549	-549	49	430	-229	430
196	0	-549	-549	-45	336	-229	336

Verifiche in esercizio

x	M.rara	Comb.R	sigma c. rara	sigma f. rara	M.QP	Comb.QP	sigma c. QP	srmi	wki rara	wki freq.	wki QP	srms	wks rara	wks freq.	wks QP	fg. rara	ff. rara	fg. QP	ff. QP	I/ff.qp	Ver.
0	4735	2	1	9	4502	1	1	0	0	0	0	0	0	0	0	0	0	0	0	9999	SI
15	21187	5	3	39	19923	2	2	0	0	0	0	0	0	0	0	0	0	0	0	9999	SI
59	54331	4	6	96	50671	2	6	0	0	0	0	0	0	0	0	0	0	0	0	9999	SI
124	90339	4	11	168	83103	2	10	0	0	0	0	0	0	0	0	-0.01	-0.01	-0.01	-0.01	9999	SI
171	103159	4	13	192	93983	2	12	0	0	0	0	0	0	0	0	0	0	0	0	9999	SI
196	106849	4	13	199	96990	2	12	0	0	0	0	0	0	0	0	-0.04	-0.02	-0.03	-0.06	9999	SI

Campata n. 2 tra i fili 46 e 48, asta n. 133

Sezione rettangolare H tot. 30 B 50 Cs 3 Ci 3

Sovreresistenza 0%

Verifiche in stato limite ultimo

x	Asup	cs	Ainf	ci	Mela	comb.	MEd	MRd	x/d	Ast	Afp+	Afp-	VEd	comb.	VRcd	VRd	VRsd	teta	Ver.
0	6.03	4.6	6.03	4.6	150052	SLU 19	147047	561731	0.175	0.078	0	0	72	SLU 12	40319	6553	6984	45	SI
0	6.03	4.6	6.03	4.6						0.078	0	0	-549	ger.	40319	6553	-6984	45	SI
25	6.03	4.6	6.03	4.6	142486	SLU 19	142486	561731	0.175	0.08	0	0	-549	ger.	40319	6553	-7141	45	SI
80	6.03	4.6	6.03	4.6	114964	SLU 19	121860	561731	0.175	0.08	0	0	-632	SLU 19	40319	6553	-7141	45	SI
170	6.03	4.6	6.03	4.6	46905	SLV 1	56106	561731	0.175	0.08	0	0	-1068	SLU 19	40319	6553	-7141	45	SI
243	12.06	4.6	12.06	4.6	-52340	SLU 19	-52340	-1056498	0.222	0.08	0	0	-1425	SLU 19	40319	7947	-7141	45	SI
268	11.62	4.6	11.62	4.6	-49449	m.i.p.	0	1020455	0.219	0.08	0	0	-1547	SLU 19	40319	8154	-7141	45	SI
268	11.62	4.6	11.62	4.6	-89459	SLU 19	-70122	-1020455	0.219										SI

Valutazione dei tagli secondo gerarchia delle resistenze

x	contr.gravitaz.	VEd negativo	contr.mom.resist.	elastico	VEd positivo	contr.mom.resist.	elastico
0	0	-549	-549	-257	72	-229	72
25	0	-549	-549	-362	-38	-229	-38
80	0	-632	-549	-632	-229	-229	-246
170	0	-1068	-549	-1068	-229	-229	-581
243	0	-1425	-549	-1425	-229	-229	-856
268	0	-1547	-549	-1547	-229	-229	-949

Verifiche in esercizio

x	M.rara	Comb.R	sigma c. rara	sigma f. rara	M.QP	Comb.QP	sigma c. QP	srmi	wki rara	wki freq.	wki QP	srms	wks rara	wks freq.	wks QP	fg. rara	ff. rara	fg. QP	ff. QP	I/ff.qp	Ver.
0	107524	4	13	200	97657	2	12	0	0	0	0	0	0	0	0	-0.04	-0.02	-0.03	-0.06	9999	SI
25	104415	4	13	194	95228	2	12	0	0	0	0	0	0	0	0	0	0	0	0	9999	SI
80	89951	4	11	167	83155	2	10	0	0	0	0	0	0	0	0	-0.08	-0.06	-0.06	-0.14	7549.6	SI
170	38226	5	5	71	36294	2	4	0	0	0	0	0	0	0	0	-0.14	-0.11	-0.12	-0.27	3869.24	SI
243	-38492	4	4	67	-35812	2	4	0	0	0	0	0	0	0	0	0	0	0	0	9999	SI
268	-51772	4	6	90	-48411	2	6	0	0	0	0	0	0	0	0	-0.22	-0.18	-0.19	-0.44	2431.56	SI

Campata n. 3 tra i fili 48 e 49, asta n. 134

Sezione rettangolare H tot. 30 B 50 Cs 3 Ci 3

Sovreresistenza 0%

Verifiche in stato limite ultimo

x	Asup	cs	Ainf	ci	Mela	comb.	MEd	MRd	x/d	Ast	Afp+	Afp-	VEd	comb.	VRcd	VRd	VRsd	teta	Ver.
0	11.62	4.6	11.62	4.6	-48896	m.i.p.	0	1020455	0.219	0.08	0	0	-3269	SLU 19	40319	7459	-7141	45	SI
0	11.62	4.6	11.62	4.6	-88375	SLU 19	-129235	-1020455	0.219										
25	9.03	4.6	9.03	4.6	-210850	SLU 19	-210850	-809020	0.202	0.08	0	0	-3391	SLU 19	40319	6553	-7141	45	SI

Ingresso-Principale

x	Asup	cs	Ainf	ci	Mela	comb.	MEd	MRd	x/d	Ast	Afp+	Afp-	VEd	comb.	VRcd	VRd	VRsd	teta	Ver.
42	6.03	4.6	6.03	4.6	-117276	m.i.p.	0	561731	0.175	0.08	0	0	-3472	SLU 19	40319	6553	-7141	45	SI
42	6.03	4.6	6.03	4.6	-229014	SLU 19	-243492	-561731	0.175										SI
46	6.03	4.6	6.03	4.6	-243492	SLU 19	-243492	-561731	0.175	0.08	0	0	-3492	SLU 19	40319	6553	-7141	45	SI
66	6.03	4.6	6.03	4.6	-159849	m.i.p.	0	561731	0.175	0	0	0	-3590	SLU 19	40319	6553	0	45	SI
66	6.03	4.6	6.03	4.6	-314316	SLU 19	-278416	-561731	0.175										SI

Valutazione dei tagli secondo gerarchia delle resistenze

x	contr.gravitaz.	VEd negativo	contr.mom.resist.	elastico	VEd positivo	contr.mom.resist.	elastico
0	0	0	-3269	-549	-3269	-229	-1532
25	0	0	-3391	-549	-3391	-229	-1625
42	0	0	-3472	-549	-3472	-229	-1688
46	0	0	-3492	-549	-3492	-229	-1704
66	0	0	-3590	-549	-3590	-229	-1779

Verifiche in esercizio

x	M.rara	Comb.R	sigma c. rara	sigma f. rara	M.QP	Comb.QP	sigma c. QP	srmi	wki rara	wki freq.	wki QP	srms	wks rara	wks freq.	wks QP	fg. rara	ff. rara	fg. QP	ff. QP	l/ff.qp	Ver.
0	-95300	4	11	166	-88773	2	10	0	0	0	0	0	0	0	0	-0.22	-0.18	-0.19	-0.44	2431.56	SI
25	-155048	4	19	278	-143641	2	17	0	0	0	0	0	0	0	0	0	0	0	0	9999	SI
42	-178966	4	22	333	-165645	2	21	0	0	0	0	0	0	0	0	-0.25	-0.21	-0.22	-0.5	2136.55	SI
46	-178966	4	22	333	-165645	2	21	0	0	0	0	0	0	0	0	0	0	0	0	9999	SI
66	-204565	4	25	380	-189210	2	23	0	0	0	0	0	0	0	0	-0.26	-0.22	-0.23	-0.52	2025	SI

Momenti resistenti a filo appoggi (per controllo pilastri)

campata	x	appoggio	Mb,Rd +	Mb,Rd -
1	15	45	561731	-561731
1	171	46	561731	-561731
2	25	46	561731	-561731
2	243	48	1056498	-1056498
3	25	48	809020	-809020
3	46	49	561731	-561731

Coefficienti di sicurezza minimi

Resistenza a flessione: 2,31

Resistenza a taglio 2,04

Tensioni in combinazione rara: 2,74

Tensioni in combinazione quasi permanente: 3,36

Fessurazione: 999,00

Deformazione: 8,10

TC1-1

Verifiche di resistenza SLE (§ 7.3.7.1) omesse in quanto garantite da uno spettro SLD sempre minore di quello SLV

Caratteristiche dei materiali

Acciaio: B450C fyk = 4500

Calcestruzzo: C25/30 fck,cub (cubica) = 300 fck (cilindrica) = 249

Output campate

Mensola sinistra tra i fili 8 e 10, asta n. 135

Sezione rettangolare H tot. 78 B 40 Cs 3 Ci 3

Sovreresistenza 0%

Verifiche in stato limite ultimo

x	Asup	cs	Ainf	ci	Mela	comb.	MEd	MRd	x/d	Ast	Afp+	Afp-	VEd	comb.	VRcd	VRd	VRsd	teta	Ver.
0	0	3.8	0	3.8	0	SLU 19	45	0	0	0.062	0	0	0	SLU 13	92957	9609	16030	45	SI
0	0	3.8	0	3.8	0	SLU 2	-112468	0	0	0.062	0	0	-3000	SLU 6	92957	9609	-16030	45	SI
0	0	3.8	0	3.8	0	SLU 19	45	0	0	0.062	0	0	0	SLU 13	92957	9609	16030	45	SI
0	0	3.8	0	3.8	0	SLU 2	-112468	0	0	0.062	0	0	-3000	SLU 6	92957	9609	-16030	45	SI
64	9.42	4.8	9.42	4.8	-31842	m.i.p.	0	2587470	0.079	0.062	0	0	-5670	SLU 17	92957	9609	-16030	45	SI
64	9.42	4.8	9.42	4.8	-258969	SLU 17	-462457	-2587470	0.079										SI
136	9.42	4.8	9.42	4.8	-155517	m.i.p.	0	2587470	0.079	0.062	0	0	-8651	SLU 17	92957	10707	-16030	45	SI
136	9.42	4.8	9.42	4.8	-753490	SLU 17	-1052454	-2587470	0.079										SI
194	9.42	4.8	16.33	11.5	-1313464	SLU 17	-1313464	-2621438	0.144	0.062	0	0	-11059	SLU 17	92957	10707	-16030	45	SI
214	12.06	4.7	22.12	12	-395786	m.i.p.	0	5343267	0.146	0.118	0	0	-11978	SLU 17	93068	10713	-30473	45	SI
214	12.06	4.7	22.12	12	-1538858	SLU 17	-1419078	-3278641	0.158										SI

Verifiche in esercizio

x	M.rara	Comb.R	sigma c. rara	sigma f. rara	M.QP	Comb.QP	sigma c. QP	srmi	wki rara	wki freq.	wki QP	srms	wks rara	wks freq.	wks QP	fg. rara	ff. rara	fg. QP	ff. QP	l/ff.qp	Ver.
0	-75950	2	0	0	-75397	1	0	0	0	0	0	0	0	0	0	0.04	-0.03	0.04	-0.08	5257.91	SI
0	-75950	2	0	0	-75397	1	0	0	0	0	0	0	0	0	0	0	0	0	0	9999	SI
64	-318707	2	7	108	-310921	1	7	0	0	0	0	0	0	0	0	0.03	-0.02	0.02	-0.06	6666.84	SI
136	-734069	2	17	249	-708914	1	16	0	0	0	0	0	0	0	0	0.01	-0.02	0.01	-0.04	9999	SI
194	-918832	2	21	312	-885147	1	20	0	0	0	0	0	0	0	0	0	0	0	0	9999	SI
214	-993670	2	22	330	-956532	1	21	0	0	0	0	0	0	0	0	0	0	0	0	9999	SI

Campata n. 1 tra i fili 10 e 20, asta n. 81,82

Sezione rettangolare H tot. 30 B 100 Cs 4 Ci 4

Sovreresistenza 0%

Campata collegata a parete. La relazione di verifica non viene prodotta.

Campata n. 2 tra i fili 20 e 31, asta n. 83

Sezione rettangolare H tot. 30 B 100 Cs 4 Ci 4

Sovreresistenza 0%

Verifiche in stato limite ultimo

x	Asup	cs	Ainf	ci	Mela	comb.	MEd	MRd	x/d	Ast	Afp+	Afp-	VEd	comb.	VRcd	VRd	VRsd	teta	Ver.
0	14.07	5.6	10.05	5.6	233526	SLV 13	233526	939824	0.199	0.335	0	0	14867	ger.	77464	13561	28795	45	SI
0	14.07	5.6	10.05	5.6	-446272	SLV 4	-446272	-1243110	0.216	0.335	0	0	-621	ger.	77464	13561	-28795	45	SI
0	14.07	5.6	10.05	5.6	233541	SLV 13	266976	939824	0.199	0.335	0	0	14866	ger.	77464	13561	28795	45	SI
0	14.07	5.6	10.05	5.6	-446238	SLV 4	-446238	-1243110	0.216	0.335	0	0	-621	ger.	77464	13561	-28795	45	SI
123	12.18	5.6	10.05	5.6	351460	SLV 13	363988	938560	0.196	0.161	0	0	10839	ger.	77464	12122	13822	45	SI
123	12.18	5.6	10.05	5.6						0.161	0	0	-4649	ger.	77464	12122	-13822	45	SI
260	10.05	5.6	10.05	5.6	178665	m.i.p.	285421	936745	0.192	0.161	0	0	6381	ger.	77464	12122	13822	45	SI
260	10.05	5.6	10.05	5.6	-92826	SLV 13	-148269	-936745	0.192	0.161	0	0	-9106	ger.	77464	12122	-13822	45	SI
360	20.11	5.6	20.11	5.6	-801395	SLV 13	-801395	-1696236	0.248	0.335	0	0	3108	ger.	77464	15273	28795	45	SI
360	20.11	5.6	20.11	5.6						0.335	0	0	-12380	ger.	77464	15273	-28795	45	SI
410	20.11	5.6	20.11	5.6	-1017989	SLV 13	-1017989	-1696236	0.248	0	0	0	1477	ger.	77464	15273	0	45	SI
410	20.11	5.6	20.11	5.6						0	0	0	-14011	ger.	77464	15273	0	45	SI

Valutazione dei tagli secondo gerarchia delle resistenze

x	contr.gravitaz.	VEd negativo	contr.mom.resist.	elastico	VEd positivo	contr.mom.resist.	elastico
0	6702	-621	-7322	2510	14867	8165	7305
0	6701	-621	-7322	2510	14866	8165	7304
123	2674	-4649	-7322	-1190	10839	8165	2473
260	-1784	-9106	-7322	-5648	6381	8165	-1985
360	-5057	-12380	-7322	-10363	3108	8165	-4757
410	-6688	-14011	-7322	-12790	1477	8165	-5799

Verifiche in esercizio

x	M.rara	Comb.R	sigma c. rara	sigma f. rara	M.QP	Comb.QP	sigma c. QP	srmi	wki rara	wki freq.	wki QP	srms	wks rara	wks freq.	wks QP	fg. rara	ff. rara	fg. QP	ff. QP	l/ff.qp	Ver.
0	-151926	2	10	142	-123932	1	8	0	0	0	0	0	0	0	0	0	0	0	0	9999	SI
0	-151899	2	10	142	-123907	1	8	0	0	0	0	0	0	0	0	0	0	0	0	9999	SI
123	265694	3	17	252	250760	2	16	0	0	0	0	0	0	0	0	0.03	0.03	0.03	0.07	5939.04	SI
260	102973	2	7	98	89226	1	6	0	0	0	0	0	0	0	0	0.02	0.01	0.02	0.02	9999	SI
360	-502406	3	44	1192	-481867	2	42	0	0	0	0	25.9	0.005	0.005	0.005	0	0	0	0	9999	SI
410	-684055	3	60	1623	-652668	2	57	0	0	0	0	25.9	0.007	0.006	0.007	0	0	0	0	9999	SI

Campata n. 3 tra i fili 31 e 38, asta n. 84

Sezione rettangolare H tot. 30 B 100 Cs 4 Ci 4

Sovreresistenza 0%

Verifiche in stato limite ultimo

x	Asup	cs	Ainf	ci	Mela	comb.	MEd	MRd	x/d	Ast	Afp+	Afp-	VEd	comb.	VRcd	VRd	VRsd	teta	Ver.
0	20.11	5.6	20.11	5.6	-643132	SLV 2	-643132	-1696236	0.248	0	0	0	20139	ger.	77464	15273	0	45	SI
0	20.11	5.6	20.11	5.6						0	0	0	-9361	ger.	77464	15273	0	45	SI
50	20.11	5.6	20.11	5.6	48335	SLV 15	68582	1696236	0.248	0.335	0	0	18507	ger.	77464	15165	28795	45	SI
50	20.11	5.6	20.11	5.6	-473762	SLV 2	-473762	-1696236	0.248	0.335	0	0	-10992	ger.	77464	15165	-28795	45	SI
99	17.03	5.6	14.84	5.6	119571	SLV 15	122191	1301921	0.223	0.201	0	0	16909	ger.	77464	13655	17277	45	SI
99	17.03	5.6	14.84	5.6	-179299	SLV 2	-236115	-1466322	0.234	0.201	0	0	-12591	ger.	77464	13655	-17277	45	SI
209	14.45	5.6	10.05	5.6	192596	SLV 2	205845	940063	0.199	0.201	0	0	13318	ger.	77464	12122	17277	45	SI
209	14.45	5.6	10.05	5.6	-47578	SLV 15	-46728	-1271979	0.218	0.201	0	0	-16182	ger.	77464	12122	-17277	45	SI
280	20.11	5.6	20.11	5.6	218758	SLV 2	223578	1696236	0.248	0.335	0	0	10988	ger.	77464	15187	28795	45	SI
280	20.11	5.6	20.11	5.6	-307036	SLV 15	-307036	-1696236	0.248	0.335	0	0	-18512	ger.	77464	15187	-28795	45	SI

x	Asup	cs	Ainf	ci	Mela	comb.	MEd	MRd	x/d	Ast	Afp+	Afp-	VEd	comb.	VRcd	VRd	VRsd	teta	Ver.
330	20.11	5.6	20.11	5.6	136191	SLV 2	201154	1696236	0.248	0	0	0	9337	ger.	77464	15273	0	45	SI
330	20.11	5.6	20.11	5.6	-617393	SLV 15	-438532	-1696236	0.248	0	0	0	-20163	ger.	77464	15273	0	45	SI

Valutazione dei tagli secondo gerarchia delle resistenze

x	contr.gravitaz.	VEd negativo	contr.mom.resist.	elastico	VEd positivo	contr.mom.resist.	elastico
0	5389	-9361	-14750	3648	20139	14750	8780
50	3758	-10992	-14750	2016	18507	14750	6572
99	2159	-12591	-14750	417	16909	14750	4973
209	-1432	-16182	-14750	-3173	13318	14750	1383
280	-3762	-18512	-14750	-5503	10988	14750	-948
330	-5413	-20163	-14750	-7386	9337	14750	-2599

Verifiche in esercizio

x	M.rara	Comb.R	sigma c. rara	sigma f. rara	M.QP	Comb.QP	sigma c. QP	srmi	wki rara	wki freq.	wki QP	srms	wks rara	wks freq.	wks QP	fg. rara	ff. rara	fg. QP	ff. QP	l/ff.qp	Ver.
0	-347728	3	21	315	-325138	2	20	0	0	0	0	0	0	0	0	0	0	0	0	9999	SI
50	-227029	3	14	206	-212714	2	13	0	0	0	0	0	0	0	0	0	0	0	0	9999	SI
99	1687	1	0	2	299	1	0	0	0	0	0	0	0	0	0	0	0	0	0	9999	SI
99	-65291	5	4	60	-61567	2	0	0	0	0	0	0	0	0	0	0	0	0	0	9999	SI
209	98054	3	6	93	91420	2	6	0	0	0	0	0	0	0	0	0.01	0	0	0.01	9999	SI
280	-56600	2	3	51	-50576	1	3	0	0	0	0	0	0	0	0	0	0	0	0	9999	SI
330	-138831	2	8	126	-126431	1	8	0	0	0	0	0	0	0	0	0	0	0	0	9999	SI

Campata n. 4 tra i fili 38 e 52, asta n. 85

Sezione rettangolare H tot. 30 B 100 Cs 4 Ci 4

Sovreresistenza 0%

Verifiche in stato limite ultimo

x	Asup	cs	Ainf	ci	Mela	comb.	MEd	MRd	x/d	Ast	Afp+	Afp-	VEd	comb.	VRcd	VRd	VRsd	teta	Ver.
0	20.11	5.6	20.11	5.6	-725438	SLV 2	-725438	-1696236	0.248	0	0	0	14219	ger.	77464	15273	0	45	SI
0	20.11	5.6	20.11	5.6						0	0	0	-1487	ger.	77464	15273	0	45	SI
50	20.11	5.6	20.11	5.6	8688	SLV 15	57209	1696236	0.248	0.335	0	0	12560	ger.	77464	15142	28795	45	SI
50	20.11	5.6	20.11	5.6	-539535	SLV 2	-539535	-1696236	0.248	0.335	0	0	-3146	ger.	77464	15142	-28795	45	SI
122	14.7	5.6	10.05	5.6	225690	SLV 15	250916	940212	0.199	0.164	0	0	10173	ger.	77464	12122	14056	45	SI
122	14.7	5.6	10.05	5.6	-95637	SLV 2	-151551	-1290799	0.22	0.164	0	0	-5533	ger.	77464	12122	-14056	45	SI
257	10.05	5.6	10.05	5.6	332167	m.i.p.	390668	936745	0.192	0.164	0	0	5620	ger.	77464	12122	14056	45	SI
257	10.05	5.6	10.05	5.6						0.164	0	0	-10086	ger.	77464	12122	-14056	45	SI
392	14.07	5.6	10.05	5.6	26150	SLV 2	71224	939824	0.199	0.335	0	0	1007	ger.	77464	13561	28795	45	SI
392	14.07	5.6	10.05	5.6	-509338	SLV 15	-589874	-1243110	0.216	0.335	0	0	-14699	ger.	77464	13561	-28795	45	SI
405	14.07	5.6	10.05	5.6	-29604	SLV 2	15946	939824	0.199	0.335	0	0	542	ger.	77464	13561	28795	45	SI
405	14.07	5.6	10.05	5.6	-607917	SLV 15	-607917	-1243110	0.216	0.335	0	0	-15163	ger.	77464	13561	-28795	45	SI
405	14.07	5.6	10.05	5.6	-607954	SLV 15	-607954	-1243110	0.216	0.335	0	0	542	ger.	77464	13561	28795	45	SI
405	14.07	5.6	10.05	5.6						0.335	0	0	-15163	ger.	77464	13561	-28795	45	SI

Valutazione dei tagli secondo gerarchia delle resistenze

x	contr.gravitaz.	VEd negativo	contr.mom.resist.	elastico	VEd positivo	contr.mom.resist.	elastico
0	6793	-1487	-8280	4642	14219	7426	10972
50	5134	-3146	-8280	3581	12560	7426	8502
122	2747	-5533	-8280	1672	10173	7426	4947
257	-1806	-10086	-8280	-2881	5620	7426	293
392	-6419	-14699	-8280	-8828	1007	7426	-3654
405	-6883	-15163	-8280	-9521	542	7426	-3952
405	-6883	-15163	-8280	-9521	542	7426	-3952

Verifiche in esercizio

x	M.rara	Comb.R	sigma c. rara	sigma f. rara	M.QP	Comb.QP	sigma c. QP	srmi	wki rara	wki freq.	wki QP	srms	wks rara	wks freq.	wks QP	fg. rara	ff. rara	fg. QP	ff. QP	l/ff.qp	Ver.
0	-459597	2	40	1090	-424867	1	37	0	0	0	0	25.9	0.004	0.004	0.005	0	0	0	0	9999	SI
50	-299954	2	18	272	-277001	1	17	0	0	0	0	0	0	0	0	0	0	0	0	9999	SI
122	116129	5	7	110	107746	2	7	0	0	0	0	0	0	0	0	0.03	0.02	0.02	0.06	7306.7	SI
257	252593	2	16	240	233978	1	15	0	0	0	0	0	0	0	0	0.04	0.03	0.04	0.09	4564.12	SI
392	-328484	3	21	308	-304637	2	19	0	0	0	0	0	0	0	0	0	0	0	0.01	9999	SI
405	-343725	3	22	322	-318761	2	20	0	0	0	0	0	0	0	0	0	0	0	0	9999	SI
405	-343756	3	22	322	-318789	2	20	0	0	0	0	0	0	0	0	0	0	0	0	9999	SI

Campata n. 5 tra i fili 52 e 53, asta n. 86,87

Sezione rettangolare H tot. 30 B 100 Cs 4 Ci 4

Sovreresistenza 0%

Campata collegata a parete. La relazione di verifica non viene prodotta.

Momenti resistenti a filo appoggi (per controllo pilastri)

campata	x	appoggio	Mb,Rd +	Mb,Rd -
mensola sinistra	194	10	3999586	-2621438
1	20	10	936745	-936745
1	153	20	939824	-1243110
2	0	20	939824	-1243110
2	360	31	1696236	-1696236
3	50	31	1696236	-1696236
3	280	38	1696236	-1696236
4	50	38	1696236	-1696236
4	405	52	939824	-1243110
5	0	52	939824	-1243110
5	83	53	939824	-1243110

Coefficienti di sicurezza minimi

Resistenza a flessione: 1,97

Resistenza a taglio 1,00

Tensioni in combinazione rara: 2,44

Tensioni in combinazione quasi permanente: 2,65

Fessurazione: 56,65

Deformazione: 17,21

TC2-1

Verifiche di resistenza SLE (§ 7.3.7.1) omesse in quanto garantite da uno spettro SLD sempre minore di quello SLV

Caratteristiche dei materiali

Acciaio: B450C fyk = 4500

Calcestruzzo: C25/30 fck,cub (cubica) = 300 fcl (cilindrica) = 249

Output campate

Campata n. 1 tra i fili 15 e 34, asta n. 89

Sezione rettangolare H tot. 108 B 40 Cs 3 Ci 3

Sovreresistenza 0%

Verifiche in stato limite ultimo

x	Asup	cs	Ainf	ci	Mela	comb.	MEd	MRd	x/d	Ast	Afp+	Afp-	VEd	comb.	VRcd	VRd	VRsd	teta	Ver.
0	15.71	5.8	15.71	5.8	1463641	SLV 16	1513491	6019904	0.075	0	0	0	23302	ger.	129784	15021	0	45	SI
0	15.71	5.8	15.71	5.8						0	0	0	-7149	ger.	129784	15021	0	45	SI
20	15.71	5.8	15.71	5.8	1558692	SLV 16	2177332	6019904	0.075	0.065	0	0	22930	ger.	89506	15021	58628	22	SI
20	15.71	5.8	15.71	5.8						0.065	0	0	-7521	ger.	89506	15021	-58628	22	SI
225	15.71	9.8	15.71	9.8	2496167	SLU 18	2590510	5701787	0.112	0.065	0	0	18961	ger.	86003	14717	56334	22	SI
225	15.71	9.8	15.71	9.8						0.065	0	0	-11489	ger.	86003	14717	-56334	22	SI
475	15.71	9.8	15.71	9.8	2182559	SLU 17	2548424	5701787	0.112	0.065	0	0	13758	ger.	86003	14717	56334	22	SI
475	15.71	9.8	15.71	9.8						0.065	0	0	-16692	ger.	86003	14717	-56334	22	SI
726	21.19	7.6	29.3	10.2	128540	SLU 12	1241196	10531690	0.128	0.065	0	0	8145	ger.	85627	14684	56088	22	SI
726	21.19	7.6	29.3	10.2	-212913	SLV 16	-474636	-7914609	0.119	0.065	0	0	-22305	ger.	85627	14684	-56088	22	SI
751	21.19	6.9	23.9	10.3	-102158	SLU 2	1002378	8667485	0.104	0.076	0	0	7561	ger.	85542	14677	65687	22	SI
751	21.19	6.9	23.9	10.3	-474636	SLV 16	-474636	-7966449	0.122	0.076	0	0	-22889	ger.	85542	14677	-65687	22	SI
751	21.19	6.9	23.9	10.3	-102158	SLU 2	1002378	8667485	0.104	0.076	0	0	7561	ger.	85542	14677	65687	22	SI
751	21.19	6.9	23.9	10.3	-474636	SLV 16	-474636	-7966449	0.122	0.076	0	0	-22889	ger.	85542	14677	-65687	22	SI

Valutazione dei tagli secondo gerarchia delle resistenze

x	contr.gravitaz.	VEd negativo	contr.mom.resist.	elastico	VEd positivo	contr.mom.resist.	elastico
0	8308	-7149	-15457	4985	23302	14993	8580
20	7936	-7521	-15457	4612	22930	14993	8056
225	3968	-11489	-15457	645	18961	14993	2746
475	-1235	-16692	-15457	-5062	13758	14993	-2473
726	-6848	-22305	-15457	-13087	8145	14993	-7177
751	-7432	-22889	-15457	-13924	7561	14993	-7663
751	-7432	-22889	-15457	-13924	7561	14993	-7663

Ingresso-Principale

Verifiche in esercizio																					
x	M.rara	Comb.R	sigma c. rara	sigma f. rara	M.QP	Comb.QP	sigma c. QP	srmi	wki rara	wki freq.	wki QP	srms	wks rara	wks freq.	wks QP	fg. rara	ff. rara	fg. QP	ff. QP	l/ff.qp	Ver.
0	977187	3	11	169	923533	2	11	0	0	0	0	0	0	0	0	0	0	0	0	9999	Si
20	1598376	3	18	277	1507651	2	17	0	0	0	0	0	0	0	0	0	0	0	0	9999	Si
225	1919003	3	23	338	1805810	2	21	0	0	0	0	0	0	0	0	0.08	0.07	0.07	0.17	4752.11	Si
475	1891847	2	22	333	1778426	1	21	0	0	0	0	0	0	0	0	0.08	0.08	0.08	0.19	4235.03	Si
726	932150	2	10	154	864811	1	10	0	0	0	0	0	0	0	0	0.01	0.03	0.01	0.06	9999	Si
726	-315995	4	3	53	-296151	2	10														Si
751	755623	2	8	127	697710	1	8	0	0	0	0	0	0	0	0	0	0	0	0	9999	Si
751	-315995	4	4	53	-296151	2	8														Si
751	755623	2	8	127	697710	1	8	0	0	0	0	0	0	0	0	0.01	0.02	0	0.04	9999	Si
751	-315995	4	4	53	-296151	2	8														Si

Campata n. 2 tra i fili 34 e 36, asta n. 90

Sezione rettangolare H tot. 108 B 40 Cs 3 Ci 3

Sovreresistenza 0%

Verifiche in stato limite ultimo

x	Asup	cs	Ainf	ci	Mela	comb.	MEd	MRd	x/d	Ast	Afp+	Afp-	VEd	comb.	VRcd	VRd	VRsd	teta	Ver.
0	21.19	6.9	23.9	10.3	-100354	m.i.p.	0	8667485	0.104	0.076	0	0	7561	ger.	88558	14939	68002	22	S1
0	21.19	6.9	23.9	10.3	-465120	SLV 16	-1201299	-7966449	0.122	0.076	0	0	-22889	ger.	88558	14939	-68002	22	S1
0	21.19	6.9	23.9	10.3	-1200903	SLV 16	-1200903	-7966449	0.122	0.076	0	0	7561	ger.	88558	14939	68002	22	S1
0	21.19	6.9	23.9	10.3					0.076	0.076	0	0	-22889	ger.	88558	14939	-68002	22	S1
20	15.71	5.8	15.71	10.6	-262529	m.i.p.	0	5724868	0.079	0.076	0	0	7080	ger.	89506	15021	68730	22	S1
20	15.71	5.8	15.71	10.6	-724052	SLU 20	-1201299	-6088228	0.113	0.076	0	0	-23371	ger.	89506	15021	-68730	22	S1
43	15.71	5.8	15.71	10.6	-449335	m.i.p.	0	5724868	0.079	0.076	0	0	6543	ger.	89506	15021	68730	22	S1
43	15.71	5.8	15.71	10.6	-1053025	SLU 20	-1201299	-6088228	0.113	0.076	0	0	-23907	ger.	89506	15021	-68730	22	S1
53	15.71	5.8	15.71	10.6	-1201299	SLU 20	-1201299	-6088228	0.113	0.076	0	0	6309	ger.	89506	15021	68730	22	S1
53	15.71	5.8	15.71	10.6			0		0.076	0.076	0	0	-24141	ger.	89506	15021	-68730	22	S1
68	15.71	5.8	15.71	10.6	-666430	m.i.p.	0	5724868	0.079	0	0	0	5951	ger.	129784	15021	0	45	S1
68	15.71	5.8	15.71	10.6	-1439124	SLU 18	-1317338	-6088228	0.113	0	0	0	-24500	ger.	129784	15021	0	45	S1

Valutazione dei tagli secondo gerarchia delle resistenze

x	contr.gravitaz.	VEd negativo	contr.mom.resist.	elastico	VEd positivo	contr.mom.resist.	elastico
0	-7432	-22889	-15457	-13924	7561	14993	-7663
0	-7432	-22889	-15457	-13924	7561	14993	-7663
20	-7913	-23371	-15457	-14616	7080	14993	-8062
43	-8450	-23907	-15457	-15387	6543	14993	-8508
53	-8684	-24141	-15457	-15723	6309	14993	-8701
68	-9043	-24500	-15457	-16238	5951	14993	-8999

Verifiche in esercizio

x	M.rara	Comb.R	sigma c. rara	sigma f. rara	M.QP	Comb.QP	sigma c. QP	srmi	wki rara	wki freq.	wki QP	srms	wks rara	wks freq.	wks QP	fg. rara	ff. rara	fg. QP	ff. QP	l/ff.qp	Ver.
0	-872025	4	10	147	-834589	2	9	0	0	0	0	0	0	0	0	0.01	0.02	0	0.04	9999	S1
0	-871731	4	10	147	-834304	2	9	0	0	0	0	0	0	0	0	0	0	0	0	9999	S1
20	-872025	5	10	152	-834589	2	10	0	0	0	0	0	0	0	0	0	0.01	0	0.03	9999	S1
43	-872025	5	10	152	-834589	2	10	0	0	0	0	0	0	0	0	0	0.01	0	0.02	9999	S1
53	-872025	5	10	152	-834589	2	10	0	0	0	0	0	0	0	0	0	0	0	0	9999	S1
68	-958084	3	11	167	-916855	2	11	0	0	0	0	0	0	0	0	0	0	0	0	9999	S1

Campata n. 3 tra i fili 36 e 41, asta n. 91

Sezione rettangolare H tot. 108 B 40 Cs 3 Ci 3

Sovreresistenza 0%

Verifiche in stato limite ultimo

x	Asup	cs	Ainf	ci	Mela	comb.	MEd	MRd	x/d	Ast	Afp+	Afp-	VEd	comb.	VRcd	VRd	VRsd	teta	Ver.
0	15.71	5.8	15.71	10.6	-1370921	SLU 18	-1370921	-6088228	0.113	0	0	0	99271	ger.	129784	15021	0	45	S1
0	15.71	5.8	15.71	10.6					0.15	0	0	0	-95995	ger.	129784	15021	0	45	S1
15	15.71	5.8	15.71	10.6	-2604017	SLU 18	-2604017	-6088228	0.113	0.15	0	0	98911	ger.	105394	15021	104962	27	S1
15	15.71	5.8	15.71	10.6					0.15	0	0	0	-96354	ger.	105394	15021	-104962	27	S1
41	15.71	5.8	15.71	10.6	-764735	m.i.p.	10843	5724868	0.079	0.15	0	0	98292	ger.	105394	15021	104962	27	S1
41	15.71	5.8	15.71	10.6	-1693129	SLU 20	-3029692	-6088228	0.113	0.15	0	0	-96974	ger.	105394	15021	-104962	27	S1
86	15.71	5.8	15.71	10.6	-787271	m.i.p.	30534	5724868	0.079	0.15	0	0	97197	ger.	105394	15021	104962	27	S1
86	15.71	5.8	15.71	10.6	-2290001	SLV 16	-3103465	-6088228	0.113	0.15	0	0	-98069	ger.	105394	15021	-104962	27	S1
131	15.71	5.8	15.71	10.6	-3103465	SLV 16	-3103465	-6088228	0.113	0.15	0	0	96095	ger.	105394	15021	104962	27	S1
131	15.71	5.8	15.71	10.6					0.15	0	0	0	-99171	ger.	105394	15021	-104962	27	S1
136	15.71	5.8	15.71	10.6	-3103465	SLV 16	-3103465	-6088228	0.113	0.15	0	0	95985	ger.	105394	15021	104962	27	S1
136	15.71	5.8	15.71	10.6					0.15	0	0	0	-99281	ger.	105394	15021	-104962	27	S1
136	15.71	5.8	15.71	10.6	-3103549	SLV 16	-3103549	-6088228	0.113	0.15	0	0	95984	ger.	105394	15021	104962	27	S1
136	15.71	5.8	15.71	10.6					0.15	0	0	0	-99281	ger.	105394	15021	-104962	27	S1

Valutazione dei tagli secondo gerarchia delle resistenze

x	contr.gravitaz.	VEd negativo	contr.mom.resist.	elastico	VEd positivo	contr.mom.resist.	elastico
0	1638	-95995	-97633	-13639	99271	97633	1038
15	1279	-96354	-97633	-13998	98911	97633	679
41	659	-96974	-97633	-14618	98292	97633	59
86	-436	-98069	-97633	-15713	97197	97633	-1036
131	-1538	-99171	-97633	-16814	96095	97633	-2137
136	-1648	-99281	-97633	-16925	95985	97633	-2248
136	-1649	-99281	-97633	-16925	95984	97633	-2248

Verifiche in esercizio

x	M.rara	Comb.R	sigma c. rara	sigma f. rara	M.QP	Comb.QP	sigma c. QP	srmi	wki rara	wki freq.	wki QP	srms	wks rara	wks freq.	wks QP	fg. rara	ff. rara	fg. QP	ff. QP	l/ff.qp	Ver.
0	-998425	3	12	174	-954103	2	11	0	0	0	0	0	0	0	0	0	0	0	0	9999	S1
15	-1803844	3	21	315	-1708260	2	20	0	0	0	0	0	0	0	0	0	0	0	0	9999	S1
41	-2056514	5	24	359	-1944682	2	23	0	0	0	0	0	0	0	0	0	0	0	0	9999	S1
86	-2101011	5	25	367	-1986369	2	23	0	0	0	0	0	0	0	0	0	0	0	-0.01	9999	S1
131	-2101011	5	25	367	-1986369	2	23	0	0	0	0	0	0	0	0	0	0	0	0	9999	S1
136	-2101011	5	25	367	-1986369	2	23	0	0	0	0	0	0	0	0	0	0	0	0	9999	S1
136	-2101062	5	25	367	-1986416	2	23	0	0	0	0	0	0	0	0	0	0	0	0	9999	S1

Campata n. 4 tra i fili 41 e 42, asta n. 92,93

Sezione rettangolare H tot. 108 B 40 Cs 3 Ci 3

Sovreresistenza 0%

Campata collegata a parete. La relazione di verifica non viene prodotta.

Campata n. 5 tra i fili 42 e 44, asta n. 94

Sezione rettangolare H tot. 108 B 40 Cs 3 Ci 3

Sovreresistenza 0%

Campata collegata a parete. La relazione di verifica non viene prodotta.

Campata n. 6 tra i fili 44 e 49, asta n. 95

Sezione rettangolare H tot. 108 B 40 Cs 3 Ci 3

Sovreresistenza 0%

Verifiche in stato limite ultimo

x	Asup	cs	Ainf	ci	Mela	comb.	MEd	MRd	x/d	Ast	Afp+	Afp-	VEd	comb.	VRcd	VRd	VRsd	teta	Ver.
0	15.71	5.8	15.71	10.6	-2386915	SLV 3	-2386915	-6088228	0.113	0.15	0	0	99325	ger.	105394	15021	104962	27	S1
0	15.71	5.8	15.71	10.6					0.15	0	0	0	-95941	ger.	105394	15021	-104962	27	S1
0	15.71	5.8	15.71	10.6	-2386826	SLV 3	-2386826	-6088228	0.113	0.15	0	0	99325	ger.	105394	15021	104962	27	S1
0	15.71	5.8	15.71	10.6					0.15	0	0	0	-95941	ger.	105394	15021	-104962	27	S1
41	15.71	5.8	15.71	10.6	-689876	m.i.p.	22221	5724868	0.079	0.15	0	0	98313	ger.	105394	15021	104962	27	S1
41	15.71	5.8	15.71	10.6	-1686343	SLV 3	-2386826	-6088228	0.113	0.15	0	0	-96953	ger.	105394	15021	-104962	27	S1
86	15.71	5.8	15.71	10.6	-639909	m.i.p.	24254	5724868	0.079	0.15	0	0	97182	ger.	105394	15021	104962	27	S1
86	15.71	5.8	15.71	10.6	-1157716	SLV 20	-2386826	-6088228	0.113	0.15	0	0	-98083	ger.	105394	15021	-104962	27	S1
121	15.71	5.8	15.71	10.6	-1863506	SLV 15	-1863506	-6088228	0.113	0.15	0	0	96308	ger.	105394	15021	104962	27	S1
121	15.71	5.8	15.71	10.6					0.15	0	0	0	-98958	ger.	105394	15021	-104962	27	S1
136	15.71	5.8	15.71	10.6	-872877	SLV 15	-872877	-6088228	0.113	0	0	0	95931	ger.	129784	15021	0	45	S1
136	15.71	5.8	15.71	10.6						0	0	0	-99335	ger.	129784	15021	0	45	S1

x	M.rara	Comb.R	sigma c. rara	sigma f. rara	M.QP	Comb.QP	sigma c. QP	srmi	wki rara	wki freq.	wki QP	srms	wks rara	wks freq.	wks QP	fg. rara	ff. rara	fg. QP	ff. QP	l/ff.qp	Ver.
0	-1618731	5	19	282	-1549539	2	18	0	0	0	0	0	0	0	0	0	0	0	0	9999	S1
41	-1618731	5	19	282	-1549539	2	18	0	0	0	0	0	0	0	0	0	0	0	0	9999	S1
86	-1618731	5	19	282	-1549539	2	18	0	0	0	0	0	0	0	0	0	0	0	0	9999	S1
121	-1331486	5	16	232	-1278292	2	15	0	0	0	0	0	0	0	0	0	0	0	0	9999	S1
136	-557413	4	7	97	-550812	2	6	0	0	0	0	0	0	0	0	0	0	0	0	9999	S1

Campata n. 7 tra i fili 49 e 57, asta n. 96

Sezione rettangolare H tot. 108 B 40 Cs 3 Ci 3

Sovreresistenza 0%

Verifiche in stato limite ultimo

x	Asup	cs	Ainf	ci	Mela	comb.	MEd	MRd	x/d	Ast	Afp+	Afp-	VEd	comb.	VRcd	VRd	VRsd	teta	Ver.
0	15.71	5.8	15.71	10.6	-814866	SLV 15	-814866	-6088228	0.113	0	0	0	81485	ger.	129784	15021	0	45	S1
0	15.71	5.8	15.71	10.6						0	0	0	-74336	ger.	129784	15021	0	45	S1
15	15.71	5.8	15.71	10.6	-157339	SLV 2	591901	5724868	0.079	0.099	0	0	81107	ger.	89506	15021	88636	22	S1
15	15.71	5.8	15.71	10.6	-757656	SLV 15	-757656	-6088228	0.113	0.099	0	0	-74714	ger.	89506	15021	-88636	22	S1
56	17.61	5.8	20.68	9.4	134299	SLV 1	773479	7597615	0.089	0.099	0	0	80059	ger.	86313	14744	85474	22	S1
56	17.61	5.8	20.68	9.4	-503029	SLV 16	-757656	-6851580	0.107	0.099	0	0	-75762	ger.	86313	14744	-85474	22	S1
119	17.61	5.8	22.37	7.2	524410	SLV 1	773479	8400312	0.092	0.099	0	0	78462	ger.	88254	14913	87396	22	S1
119	17.61	5.8	22.37	7.2	-232495	SLV 16	-757656	-6856877	0.087	0.099	0	0	-77359	ger.	88254	14913	-87396	22	S1
168	15.71	5.8	15.71	5.8	773479	SLV 3	773479	6019904	0.075	0.099	0	0	77206	ger.	89506	15021	88636	22	S1
168	15.71	5.8	15.71	5.8	-105511	SLV 14	-528963	-6019904	0.075	0.099	0	0	-78616	ger.	89506	15021	-88636	22	S1
188	15.71	5.8	15.71	5.8	860147	SLV 3	815147	6019904	0.075	0	0	0	76690	ger.	129784	15021	0	45	S1
188	15.71	5.8	15.71	5.8	-73806	SLV 14	-82757	-6019904	0.075	0	0	0	-79131	ger.	129784	15021	0	45	S1

Valutazione dei tagli secondo gerarchia delle resistenze

x	contr.gravitaz.	VEd negativo	contr.mom.resist.	elastico	VEd positivo	contr.mom.resist.	elastico
0	2388	-74336	-76724	5690	81485	79098	10320
15	2010	-74714	-76724	5312	81107	79098	9795
56	962	-75762	-76724	4264	80059	79098	8339
119	-635	-77359	-76724	2667	78462	79098	6272
168	-1892	-78616	-76724	1411	77206	79098	5015
188	-2407	-79131	-76724	895	76690	79098	4500

Verifiche in esercizio

x	M.rara	Comb.R	sigma c. rara	sigma f. rara	M.QP	Comb.QP	sigma c. QP	srmi	wki rara	wki freq.	wki QP	srms	wks rara	wks freq.	wks QP	fg. rara	ff. rara	fg. QP	ff. QP	l/ff.qp	Ver.
0	-515100	4	6	90	-510738	2	6	0	0	0	0	0	0	0	0	0	0	0	0	9999	S1
15	211089	2	2	37	199065	1	2	0	0	0	0	0	0	0	0	0	0	0	0	9999	S1
15	-460986	4	5	80	-457497	2	2														S1
56	348342	3	4	59	333984	2	4	0	0	0	0	0	0	0	0	0	0	0	0	9999	S1
56	-460986	1	5	79	-457497	1	4														S1
119	348346	5	4	59	333984	2	4	0	0	0	0	0	0	0	0	0	0	0	0	9999	S1
119	-460986	1	5	78	-457497	1	4														S1
168	348346	4	4	60	333984	2	4	0	0	0	0	0	0	0	0	0	0	0	0	9999	S1
168	-214934	2	2	37	-214934	1	4														S1
188	381722	4	4	66	366195	2	4	0	0	0	0	0	0	0	0	0	0	0	0	9999	S1

Momenti resistenti a filo appoggi (per controllo pilastri)

campata	x	appoggio	Mb,Rd +	Mb,Rd -
1	20	15	6019904	-6019904
1	751	34	8667485	-7966449
2	0	34	8667485	-7966449
2	53	36	5724868	-6088228
3	15	36	5724868	-6088228
3	136	41	5724868	-6088228
4	0	41	5724868	-6088228
4	39	42	5724868	-6088228
5	15	42	5724868	-6088228
5	54	44	5724868	-6088228
6	0	44	5724868	-6088228
6	121	49	5724868	-6088228
7	15	49	5724868	-6088228
7	168	57	6019904	-6019904

Coefficienti di sicurezza minimi

Resistenza a flessione: 1,96

Resistenza a taglio 1,05

Tensioni in combinazione rara: 2,51

Tensioni in combinazione quasi permanente: 3,53

Fessurazione: 999,00

Deformazione: 15,74

TC2-2

Verifiche di resistenza SLE (§ 7.3.7.1) omesse in quanto garantite da uno spettro SLD sempre minore di quello SLV

Caratteristiche dei materiali

Acciaio: B450C fyk = 4500

Calcestruzzo: C25/30 fck,cub (cubica) = 300 fcd (cilindrica) = 249

Output campate

Campata n. 1 tra i fili 16 e 37, asta n. 97

Sezione rettangolare H tot. 30 B 100 Cs 4 Ci 4

Sovreresistenza 0%

Verifiche in stato limite ultimo

x	Asup	cs	Ainf	ci	Mela	comb.	MEd	MRd	x/d	Ast	Afp+	Afp-	VEd	comb.	VRcd	VRd	VRsd	teta	Ver.
0	31.42	5.8	18.85	5.8	-2213302	SLU 17	-2213302	-2497559	0.324	0	0	0	18044	SLU 17	76829	17660	0	45	S1
20	31.42	5.8	18.85	5.8	-2044029	SLU 17	-2044029	-2497559	0.324	0.335	0	0	17208	SLU 17	76829	17660	28559	45	S1
241	15.71	5.8	17.52	5.8	719156	m.i.p.	839942	1490893	0.244	0.171	0	0	10319	ger.	76829	14017	14543	45	S1
241	15.71	5.8	17.52	5.8						0.171	0	0	-333	ger.	76829	14017	-14543	45	S1
508	15.71	5.8	21.99	5.8	1157623	m.i.p.	1407128	1818399	0.27	0.171	0	0	2204	ger.	76829	15206	14543	45	S1
508	15.71	5.8	21.99	5.8						0.171	0	0	-8448	ger.	76829	15206	-14543	45	S1
775	31.42	5.8	18.85	5.8	-1924936	SLU 18	-1924936	-2497559	0.324	0.335	0	0	-17523	SLU 18	76829	17660	-28559	45	S1
787	31.42	5.8	18.85	5.8	-1996071	SLU 18	-1996071	-2497559	0.324	0.335	0	0	-18104	SLU 18	76829	17660	-28559	45	S1
802	31.42	5.8	18.85	5.8	-2127495	SLU 18	-2127495	-2497559	0.324	0	0	0	-18847	SLU 18	76829	17660	0	45	S1

Valutazione dei tagli secondo gerarchia delle resistenze

x	contr.gravitaz.	VEd negativo	contr.mom.resist.	elastico	VEd positivo	contr.mom.resist.	elastico
0	11872	6546	-5326	7228	18044	5326	18044
20	11315	5989	-5326	6895	17208	5326	17208
241	4993	-333	-5326	3092	10319	5326	7700
508	-3122	-8448	-5326	-4554	2204	5326	-1783
775	-11717	-17523	-5326	-17523	-6391	5326	-7033
787	-12102	-18104	-5326	-18104	-6776	5326	-7268
802	-12594	-18847	-5326	-18847	-7268	5326	-7570

Verifiche in esercizio

x	M.rara	Comb.R	sigma c. rara	sigma f. rara	M.QP	Comb.QP	sigma c. QP	srmi	wki rara	wki freq.	wki QP	srms	wks rara	wks freq.	wks QP	fg. rara	ff. rara	fg. QP	ff. QP	l/ff.qp	Ver.
0	-1595367	2	123	2500	-1464464	1	113	0	0	0	0	23.4	0.011	0.01	0.013	0	0	0	0	9999	S1
20	-1473417	2	114	2309	-1352134	1	104	0	0	0	0	23.4	0.01	0.009	0.012	0	0	0	0	9999	S1
241	573884	3	55	1563	531383	2	51	30.3	0.007	0.007	0.008	0	0	0	0	0.44	0.94	0.41	1.83	437.12	S1
508	865906	2	77	1901	795515	1	71	27.1	0.008	0.007	0.009	0	0	0	0	0.56	1.2	0.51	2.29	349.61	S1
775	-1383791	3	107	2168	-1280606	2	99	0	0	0	0	23.4	0.009	0.009	0.011	0.03	0.06	0.03	0.13	6192.41	S1
787	-1435023	3	111	2249	-1327814	2	103	0	0	0	0	23.4	0.01	0.009	0.012	0	0	0	0	9999	S1
802	-1529671	3	118	2397	-1415045	2	109	0	0	0	0	23.4	0.011	0.01	0.012	0	0	0	0	9999	S1

Campata n. 2 tra i fili 37 e 43, asta n. 98

Sezione rettangolare H tot. 30 B 100 Cs 4 Ci 4

Sovreresistenza 0%

Verifiche in stato limite ultimo

x	Asup	cs	Ainf	ci	Mela	comb.	MEd	MRd	x/d	Ast	Afp+	Afp-	VEd	comb.	VRcd	VRd	VRsd	teta	Ver.
0	31.42	5.8	18.85	5.8	-1527571	SLU 18	-1527571	-2497559	0.324	0	0	0	34346	ger.	76829	17660	0	45	S1
0	31.42	5.8	18.85	5.8						0	0	0	-22423	ger.	76829	17660	0	45	S1
15	31.42	5.8	18.85	5.8	-1441655	SLU 18	-1441655	-2497559	0.324	0.402	0	0	33854	ger.	76829	17660	34270	45	S1
15	31.42	5.8	18.85	5.8						0.402	0	0	-22915	ger.	76829	17660	-34270	45	S1
57	29.29	5.8	18.43	5.8	-387901	m.i.p.	41160	1556223	0.246	0.402	0	0	32476	ger.	76829	16106	34270	45	S1
57	29.29	5.8	18.43	5.8	-1002685	SLU 18	-1109588	-2346067	0.311	0.402	0	0	-24293	ger.	76829	16106	-34270	45	S1
120	26.56	5.8	26.56	5.8	-210097	m.i.p.	70959	2148869	0.281	0.402	0	0	30399	ger.	76829	16684	34270	45	S1

Ingresso-Principale

x	Asup	cs	Ainf	ci	Mela	comb.	MEd	MRd	x/d	Ast	Afp+	Afp-	VEd	comb.	VRcd	VRd	VRsd	teta	Ver.
120	26.56	5.8	26.56	5.8	-506297	SLU 18	-578618	-2148869	0.281	0.402	0	0	-26371	ger.	76829	16684	-34270	45	SI
175	31.42	5.8	31.42	5.8	-279955	SLU 18	-279955	-2499186	0.296	0.402	0	0	28605	ger.	76829	17660	34270	45	SI
175	31.42	5.8	31.42	5.8						0.402	0	0	-28164	ger.	76829	17660	-34270	45	SI
190	31.42	5.8	31.42	5.8	-210865	SLU 18	-210865	-2499186	0.296	0	0	0	28113	ger.	76829	17660	0	45	SI
190	31.42	5.8	31.42	5.8						0	0	0	-28656	ger.	76829	17660	0	45	SI

Valutazione dei tagli secondo gerarchia delle resistenze

x	contr.gravitaz.	VEd negativo	contr.mom.resist.	elastico	VEd positivo	contr.mom.resist.	elastico
0	3117	-22423	-25540	4554	34346	31230	12253
15	2625	-22915	-25540	4253	33854	31230	11510
57	1247	-24293	-25540	3409	32476	31230	9430
120	-831	-26371	-25540	2137	30399	31230	6293
175	-2625	-28164	-25540	1039	28605	31230	3586
190	-3117	-28656	-25540	738	28113	31230	2843

Verifiche in esercizio

x	M.rara	Comb.R	sigma c. rara	sigma f. rara	M.QP	Comb.QP	sigma c. QP	srmi	wki rara	wki freq.	wki QP	srms	wks rara	wks freq.	wks QP	fg. rara	ff. rara	fg. QP	ff. QP	I/ff.qp	Ver.
0	-1096033	3	85	1718	-1012201	2	78	0	0	0	0	23.4	0.007	0.006	0.008	0	0	0	0	9999	SI
15	-1034482	3	80	1621	-955623	2	74	0	0	0	0	23.4	0.006	0.006	0.007	0	0	0	0	9999	SI
57	-796681	3	63	1334	-737035	2	58	0	0	0	0	24	0.005	0.005	0.005	-0.03	-0.05	-0.03	-0.1	1916.83	SI
120	-417123	3	25	369	-388131	2	23	0	0	0	0	0	0	0	0	-0.03	-0.04	-0.03	-0.08	2335.9	SI
175	-204570	3	12	177	-192726	2	11	0	0	0	0	0	0	0	0	0	0	0	0	9999	SI
190	-155692	3	9	135	-147785	2	9	0	0	0	0	0	0	0	0	0	0	0	0	9999	SI

Campata n. 3 tra i fili 43 e 50, asta n. 99

Sezione rettangolare H tot. 30 B 100 Cs 4 Ci 4

Sovrarresistenza 0%

Verifiche in stato limite ultimo

x	Asup	cs	Ainf	ci	Mela	comb.	MEd	MRd	x/d	Ast	Afp+	Afp-	VEd	comb.	VRcd	VRd	VRsd	teta	Ver.
0	31.42	5.8	31.42	5.8	-206416	SLU 18	-206416	-2499186	0.296	0	0	0	27218	ger.	76829	17660	0	45	SI
0	31.42	5.8	31.42	5.8						0	0	0	-20985	ger.	76829	17660	0	45	SI
15	31.42	5.8	31.42	5.8	-171348	SLU 18	-171348	-2499186	0.296	0.335	0	0	26726	ger.	76829	17660	28559	45	SI
15	31.42	5.8	31.42	5.8						0.335	0	0	-21477	ger.	76829	17660	-28559	45	SI
57	29.29	5.8	29.29	5.8	-3776	m.i.p.	41160	2346332	0.29	0.335	0	0	25348	ger.	76829	16106	28559	45	SI
57	29.29	5.8	29.29	5.8	-29731	SLV 3	-57667	-2346332	0.29	0.335	0	0	-22855	ger.	76829	16106	-28559	45	SI
120	15.71	5.8	15.71	5.8	66150	m.i.p.	70959	1357030	0.234	0.335	0	0	23270	ger.	76829	14017	28559	45	SI
120	15.71	5.8	15.71	5.8	-7439	SLV 16	-20681	-1357030	0.234	0.335	0	0	-24932	ger.	76829	14017	-28559	45	SI
175	15.71	5.8	15.71	5.8	38443	SLV 1	51939	1357030	0.234	0.335	0	0	21477	ger.	76829	14017	28559	45	SI
175	15.71	5.8	15.71	5.8	-112073	SLV 16	-112073	-1357030	0.234	0.335	0	0	-26726	ger.	76829	14017	-28559	45	SI
190	15.71	5.8	15.71	5.8	13966	SLV 1	28098	1357030	0.234	0	0	0	20985	ger.	76829	14017	0	45	SI
190	15.71	5.8	15.71	5.8	-157803	SLV 16	-132988	-1357030	0.234	0	0	0	-27218	ger.	76829	14017	0	45	SI

Valutazione dei tagli secondo gerarchia delle resistenze

x	contr.gravitaz.	VEd negativo	contr.mom.resist.	elastico	VEd positivo	contr.mom.resist.	elastico
0	3117	-20985	-24101	2311	27218	24101	5450
15	2625	-21477	-24101	2010	26726	24101	4707
57	1247	-22855	-24101	1055	25348	24101	2626
120	-831	-24932	-24101	-1023	23270	24101	401
175	-2625	-26726	-24101	-3307	21477	24101	-1076
190	-3117	-27218	-24101	-4050	20985	24101	-1377

Verifiche in esercizio

x	M.rara	Comb.R	sigma c. rara	sigma f. rara	M.QP	Comb.QP	sigma c. QP	srmi	wki rara	wki freq.	wki QP	srms	wks rara	wks freq.	wks QP	fg. rara	ff. rara	fg. QP	ff. QP	I/ff.qp	Ver.
0	-150845	3	9	131	-143490	2	8	0	0	0	0	0	0	0	0	0	0	0	0	9999	SI
15	-125469	3	7	109	-120056	2	7	0	0	0	0	0	0	0	0	0	0	0	0	9999	SI
57	7186	2	0	6	2510	1	0	0	0	0	0	0	0	0	0	0	0	0	0	9999	SI
57	-40377	4	2	35	-38355	2	0														SI
120	37005	3	2	34	30667	2	2	0	0	0	0	0	0	0	0	0	0	0	0	9999	SI
175	-41646	2	3	39	-40396	1	2	0	0	0	0	0	0	0	0	0	0	0	0	9999	SI
190	-59221	2	4	55	-56410	1	3	0	0	0	0	0	0	0	0	0	0	0	0	9999	SI

Campata n. 4 tra i fili 50 e 59, asta n. 100

Sezione rettangolare H tot. 30 B 100 Cs 4 Ci 4

Sovrarresistenza 0%

Verifiche in stato limite ultimo

x	Asup	cs	Ainf	ci	Mela	comb.	MEd	MRd	x/d	Ast	Afp+	Afp-	VEd	comb.	VRcd	VRd	VRsd	teta	Ver.
0	15.71	5.8	15.71	5.8	-168801	SLU 17	-168801	-1357030	0.234	0	0	0	20815	ger.	76829	14017	0	45	SI
0	15.71	5.8	15.71	5.8						0	0	0	-14645	ger.	76829	14017	0	45	SI
15	15.71	5.8	15.71	5.8	-128926	SLU 17	-128926	-1357030	0.234	0.335	0	0	20323	ger.	76829	14017	28559	45	SI
15	15.71	5.8	15.71	5.8						0.335	0	0	-15137	ger.	76829	14017	-28559	45	SI
56	15.71	5.8	15.71	5.8	64652	SLV 1	99613	1357030	0.234	0.238	0	0	18964	ger.	76829	14017	20250	45	SI
56	15.71	5.8	15.71	5.8	2261	SLV 16	-14289	-1357030	0.234	0.238	0	0	-16496	ger.	76829	14017	-20250	45	SI
119	15.71	5.8	15.71	5.8	215023	SLV 1	228419	1357030	0.234	0.238	0	0	16907	ger.	76829	14017	20250	45	SI
119	15.71	5.8	15.71	5.8	1428	SLV 16	-12571	-1357030	0.234	0.238	0	0	-18553	ger.	76829	14017	-20250	45	SI
168	15.71	5.8	15.71	5.8	244644	SLV 3	245300	1357030	0.234	0.335	0	0	15301	ger.	76829	14017	28559	45	SI
168	15.71	5.8	15.71	5.8	-90961	SLV 14	-90961	-1357030	0.234	0.335	0	0	-20159	ger.	76829	14017	-28559	45	SI
188	15.71	5.8	15.71	5.8	234341	SLV 3	242770	1357030	0.234	0	0	0	14645	ger.	76829	14017	0	45	SI
188	15.71	5.8	15.71	5.8	-151269	SLV 14	-117732	-1357030	0.234	0	0	0	-20815	ger.	76829	14017	0	45	SI

Valutazione dei tagli secondo gerarchia delle resistenze

x	contr.gravitaz.	VEd negativo	contr.mom.resist.	elastico	VEd positivo	contr.mom.resist.	elastico
0	3085	-14645	-17730	2160	20815	17730	6090
15	2593	-15137	-17730	1858	20323	17730	5348
56	1234	-16496	-17730	966	18964	17730	3476
119	-823	-18553	-17730	-1091	16907	17730	1420
168	-2429	-20159	-17730	-2698	15301	17730	-187
188	-3085	-20815	-17730	-3354	14645	17730	-843

Verifiche in esercizio

x	M.rara	Comb.R	sigma c. rara	sigma f. rara	M.QP	Comb.QP	sigma c. QP	srmi	wki rara	wki freq.	wki QP	srms	wks rara	wks freq.	wks QP	fg. rara	ff. rara	fg. QP	ff. QP	I/ff.qp	Ver.
0	-119978	2	7	111	-116394	1	7	0	0	0	0	0	0	0	0	0	0	0	0	9999	SI
15	-91478	2	6	85	-89487	1	6	0	0	0	0	0	0	0	0	0	0	0	0	9999	SI
56	61289	3	4	57	55832	2	3	0	0	0	0	0	0	0	0	0	0	0	0.01	9999	SI
119	113161	2	7	105	109074	1	7	0	0	0	0	0	0	0	0	0	0	0	0.01	9999	SI
168	92168	1	6	86	92168	1	6	0	0	0	0	0	0	0	0	0	0	0	0	9999	SI
188	64463	1	4	60	64463	1	4	0	0	0	0	0	0	0	0	0	0	0	0	9999	SI

Momenti resistenti a filo appoggi (per controllo pilastri)

campata	x	appoggio	Mb,Rd +	Mb,Rd -
1	20	16	1587147	-2497559
1	787	37	1587147	-2497559
2	15	37	1587147	-2497559
2	175	43	2499186	-2499186
3	15	43	2499186	-2499186
3	175	50	1357030	-1357030
4	15	50	1357030	-1357030
4	168	59	1357030	-1357030

Coefficienti di sicurezza minimi

Resistenza a flessione: 1,03

Resistenza a taglio: 1,01

Tensioni in combinazione rara: 1,31

Tensioni in combinazione quasi permanente: 1,07

Fessurazione: 25,44

Deformazione: 1,24

7.3 Verifiche piastre e pareti C.A.

nod.: nodo del modello FEM

sez.: tipo di sezione (o = orizzontale, v = verticale)

B: base della sezione

H: altezza della sezione

M: momento flettente di calcolo
Mu: momento flettente ultimo
Nu: sforzo normale ultimo
sf: tensione sull'acciaio in esercizio
Wk: apertura caratteristica delle fessure
Sm: distanza media fra le fessure
st: sigma a trazione nel calcestruzzo in condizioni non fessurate
fck: resistenza caratteristica cilindrica del calcestruzzo
fcd: resistenza a compressione di calcolo del calcestruzzo
fctd: resistenza a trazione di calcolo del calcestruzzo
Hcr: altezza critica
q.Hcr: "quota della sezione alla altezza critica
hw: altezza della parete
lw: lunghezza della parete
n.p.: numero di piani
hs: altezza dell'interpiano
Mxd: momento di progetto attorno all'asse x (fuori piano)
Myd: momento di progetto attorno all'asse y (nel piano)
NEd: sforzo normale di progetto
MEd: Momento flettente di progetto di progetto
VEd: sforzo di taglio di progetto
Ngrav.: sforzo normale dovuto ai carichi gravitazionali
NReale.: sforzo normale derivante dall'analisi
VRcd: resistenza a taglio dovuta alle bielle di calcestruzzo
epsilon: coefficiente di maggiorazione del taglio derivante dall'analisi
alfaS: $MEd/(VEd*lw)$ formula 7.4.15
At: area tesa di acciaio
roh: rapporto tra area della sezione orizzotale dell'armatura di anima e l'area della sezione di calcestruzzo
rov: rapporto tra area della sezione verticale dell'armatura di anima e l'area della sezione di calcestruzzo
VRsd: resistenza a taglio della sezione con armature
Somma(Asj)- Ai: somma delle aree delle barre verticali che attraversano la superficie di scorrimento
csi: altezza della parte compressa normalizzata all'altezza della sezione
Vdd: contributo dell'effetto spinnotto delle armature verticali
Vfd: contributo della resistenza per attrito
Vid: contributo delle armature inclinate presenti alla base
VRd,s: valore di progetto della resistenza a taglio nei confronti dello scorrimento
M01: momento flettente inferiore per verifica instabilità
M02: momento flettente superiore per verifica instabilità
etot: eccentricità complessiva EC2 12.6.5.2 (12.12)
Fi: coefficiente riduttivo EC2 12.6.5.2 (12.11)
l0: lunghezza libera di inflessione
beta: coefficiente EC2 12.6.5.1 (12.9)
Nrd: resistenza di progetto EC2 12.6.5.2 (12.10)
l_{lim}: snellezza limite EC2 12.6.5.1 (4)
At: area di calcestruzzo del traverso in parete con blocco cassero in legno
VR,cls: resistenza a taglio in assenza di armatura orizzontale in parete con blocco cassero in legno
Mu: momento resistente ultimo del singolo traverso in parete con blocco cassero in legno
Hp: resistenza a trazione dell'elemento teso in parete con blocco cassero in legno
R: fattore di efficienza in parete con blocco cassero in legno
VR,s: contributo alla resistenza a taglio della armatura orizzontale in parete con blocco cassero in legno
Vrd: resistenza a taglio per trazione del diagonale in parete con blocco cassero in legno
I: luce netta della trave di collegamento
h: altezza della trave di collegamento
b: spessore della trave di collegamento
d: altezza utile della trave di collegamento
Asi: area complessiva della armatura a X
M_{plast}: momenti resistenti della trave a filo appoggio
T_{plast}: sforzi di taglio nella trave derivanti da gerarchia delle resistenze
N: fattore di capacità portante, distinto nei 3 tipi (c, q, g)
S: fattore correttivo per la forma della fondazione, distinto nei 3 tipi (c, q, g)
D: fattore correttivo per la profondità del piano di posa, distinto nei 3 tipi (c, q, g)
I: fattore correttivo per l'inclinazione del carico, distinto nei 3 tipi (c, q, g)
B: fattore correttivo per l'inclinazione del piano di posa, distinto nei 3 tipi (c, q, g)
G: fattore correttivo per l'inclinazione del pendio, distinto nei 3 tipi (c, q, g)
P: fattore correttivo per punzonamento del suolo, distinto nei 3 tipi (c, q, g)
E: fattore correttivo per l'inerzia sismica del suolo, distinto nei 3 tipi (c, q, g)
Tipo: tipologia del fattore di portanza, per coesione (c), sovraccarico (q) o attrito (g)

Pian-P1

Valori in daN, cm
C25/30; rck 300
fyk 4500

Verifica di stato limite ultimo

nod	sez	B	H	Af+	Af-	c+	c-	c.s.	comb	N	M	Nu	Mu
1625	o	50	25	3.4	3.4	4.8	4.8	15.428	1 SLV	0	17532	0	270497
	v	96	25	7.9	7.9	3.6	3.6	1.024	3 SLV	0	616782	0	631830
1642	o	50	25	4.4	4.4	4.8	4.8	1.014	20 SLU	0	-331707	0	-336285
	v	96	25	11.3	11.3	3.6	3.6	2.059	1 SLV	0	-424260	0	-873521

Combinazione rara

nod sez	B	H	Af+	Af-	c+	c-	sc	c	N	M	sf	c	N	M	Wk (mm)	Wlim	st	Sm (mm)	c
1625	o	50	25	3.4	3.4	4.8	4.8	-2.0	5 ra	0.00E00	5.04E03	81.3	5 ra	0.00E00	5.04E03	0.00999.00	0.9	0.0	4 ra
	v	96	25	7.9	7.9	3.6	3.6	-26.4	5 ra	0.00E00	1.64E05	1073.5	5 ra	0.00E00	1.64E05	0.00999.00	15.3	0.0	1 ra
1642	o	50	25	4.4	4.4	4.8	4.8	-80.6	5 ra	0.00E00	-2.31E05	2929.0	5 ra	0.00E00	-2.31E05	0.15999.00	0.0	131.1	5 ra
	v	96	25	11.3	11.3	3.6	3.6	-17.1	5 ra	0.00E00	-1.26E05	588.2	5 ra	0.00E00	-1.26E05	0.00999.00	11.5	0.0	5 ra

Combinazione frequente

nod	sez	B	H	Af+	Af-	c+	c-	sc	c	N	M	sf	c	N	M	Wk (mm)	Wklim	st	Sm (mm)	c
1625	o	50	25	3.4	3.4	4.8	4.8	-1.9	4 fr	0.00E00	4.98E03	80.2	4 fr	0.00E00	4.98E03	0.00	0.40	0.9	0.0	4 fr
	v	96	25	7.9	7.9	3.6	3.6	-26.3	4 fr	0.00E00	1.63E05	1068.3	4 fr	0.00E00	1.63E05	0.00	0.40	15.3	0.0	1 fr
1642	o	50	25	4.4	4.4	4.8	4.8	-72.4	4 fr	0.00E00	-2.07E05	2630.9	4 fr	0.00E00	-2.07E05	0.13	0.40	0.0	131.1	4 fr
	v	96	25	11.3	11.3	3.6	3.6	-16.8	4 fr	0.00E00	-1.23E05	575.6	4 fr	0.00E00	-1.23E05	0.00	0.40	11.3	0.0	4 fr

Combinazione quasi permanente

nod	sez	B	H	Af+	Af-	c+	c-	sc	c	N	M	sf	c	N	M	Wk (mm)	Wklim	st	Sm (mm)	c
1625	o	50	25	3.4	3.4	4.8	4.8	-1.9	2 q.	0.00E00	4.96E03	79.9	2 q.	0.00E00	4.96E03	0.00	0.30	0.9	0.0	2 q.
	v	96	25	7.9	7.9	3.6	3.6	-26.3	2 q.	0.00E00	1.63E05	1067.1	2 q.	0.00E00	1.63E05	0.00	0.30	15.3	0.0	1 q.
1642	o	50	25	4.4	4.4	4.8	4.8	-69.7	2 q.	0.00E00	-2.00E05	2531.9	2 q.	0.00E00	-2.00E05	0.12	0.30	0.0	131.1	2 q.
	v	96	25	11.3	11.3	3.6	3.6	-16.7	2 q.	0.00E00	-1.23E05	571.6	2 q.	0.00E00	-1.23E05	0.00	0.30	11.2	0.0	2 q.

Pian-P2

Valori in daN, cm
C25/30; rck 300
fyk 4500

Verifica di stato limite ultimo

nod	sez	B	H	Af+	Af-	c+	c-	c.s.	comb	N	M	Nu	Mu
1954	o	50	25	3.4	3.4	4.8	4.8	2.057	3 SLV	0	-131470	0	-270497
	v	96	25	6.8	6.8	3.6	3.6	1.037	3 SLV	0	-530137	0	-549747
1992	o	50	25	3.4	3.4	4.8	4.8	7.299	1 SLV	0	37059	0	270497
	v	48	25	3.4	3.4	3.6	3.6	1.447	16 SLV	0	-189983	0	-274873

Combinazione rara

nod sez	B	H	Af+	Af-	c+	c-	sc	c	N	M	sf	c	N	M	Wk (mm)	Wlim	st	Sm (mm)	c
1954	o	50	25	3.4	3.4	4.8	4.8	-8.6	2 ra	0.00E00	-2.21E04	356.7	2 ra	0.00E00	-2.21E04	0.00999.00	4.1	0.0	2 ra
	v	96	25	6.8	6.8	3.6	3.6	-26.7	5 ra	0.00E00	-1.53E05	1166.3	5 ra	0.00E00	-1.53E05	0.00999.00	14.5	0.0	5 ra
1992	o	50	25	3.4	3.4	4.8	4.8	-3.5	5 ra	0.00E00	-9.00E03	145.0	5 ra	0.00E00	-9.00E03	0.00999.00	1.7	0.0	5 ra
	v	48	25	3.4	3.4	3.6	3.6	-29.9	4 ra	0.00E00	-8.61E04	1309.5	4 ra	0.00E00	-8.61E04	0.00999.00	16.3	0.0	4 ra

Combinazione frequente

nod	sez	B	H	Af+	Af-	c+	c-	sc	c	N	M	sf	c	N	M	Wk (mm)	Wklim	st	Sm (mm)	c
1954	o	50	25	3.4	3.4	4.8	4.8	-8.6	2 fr	0.00E00	-2.21E04	355.8	2 fr	0.00E00	-2.21E04	0.00	0.40	4.1	0.0	2 fr
	v	96	25	6.8	6.8	3.6	3.6	-26.5	4 fr	0.00E00	-1.52E05	1158.2	4 fr	0.00E00	-1.52E05	0.00	0.40	14.4	0.0	4 fr
1992	o	50	25	3.4	3.4	4.8	4.8	-3.2	4 fr	0.00E00	-8.08E03	130.2	4 fr	0.00E00	-8.08E03	0.00	0.40	1.5	0.0	4 fr
	v	48	25	3.4	3.4	3.6	3.6	-25.0	4 fr	0.00E00	-7.20E04	1096.1	4 fr	0.00E00	-7.20E04	0.00	0.40	13.6	0.0	4 fr

Combinazione quasi permanente

nod sez	B	H	Af+	Af-	c+	c-	sc	c	N	M	sf	c	N	M	Wk(mm)	Wklim	st	Sm(mm)	c
1954 o	50	25	3.4	3.4	4.8	4.8	-8.6	1 q.	0.00E00	-2.21E04	355.6	1 q.	0.00E00	-2.21E04	0.00	0.30	4.1	0.0	1 q.

Ingresso-Principale

1992	v	96	25	6.8	3.6	3.6	-26.4	2	q.	0.00E00	-1.52E05	1155.8	2	q.	0.00E00	-1.52E05	0.00	0.30	14.4	0.0	2	q.
	o	50	25	3.4	3.4	4.8	-3.0	2	q.	0.00E00	-7.77E03	125.2	2	q.	0.00E00	-7.77E03	0.00	0.30	1.4	0.0	2	q.
	v	48	25	3.4	3.4	3.6	-23.4	2	q.	0.00E00	-6.74E04	1024.9	2	q.	0.00E00	-6.74E04	0.00	0.30	12.8	0.0	2	q.

Pian-P3

Valori in daN, cm
C25/30; rck 300
fyk 4500

Verifica di stato limite ultimo

nod	sez	B	H	Af+	Af-	c+	c-	c.s.	comb	N	M	Nu	Mu
2222	o	50	25	3.4	3.4	4.8	4.8	8.457	3 SLV	0	-31985	0	-270497
	v	96	25	6.8	6.8	3.6	3.6	1.404	3 SLV	0	-391482	0	-549747
2252	o	50	25	3.4	3.4	4.8	4.8	8.045	1 SLV	0	33624	0	270497
	v	48	25	3.4	3.4	3.6	3.6	1.822	16 SLV	0	-150862	0	-274873

Combinazione rara

nod	sez	B	H	Af+	Af-	c+	c-	sc	c	N	M	sf	c	N	M	Wk(mm)	Wlim	st	Sm(mm)	c			
2222	o	50	25	3.4	3.4	4.8	4.8	-4.3	2	ra	0.00E00	-1.10E04	177.7	2	ra	0.00E00	-1.10E04	0.00999	0.0	2.0	0.2	ra	
	v	96	25	6.8	6.8	3.6	3.6	-23.0	4	ra	0.00E00	-1.32E05	1006.0	4	ra	0.00E00	-1.32E05	0.00999	0.0	12.5	0.0	4	ra
2252	o	50	25	3.4	3.4	4.8	4.8	-2.9	4	ra	0.00E00	-7.33E03	118.2	4	ra	0.00E00	-7.33E03	0.00999	0.0	1.4	0.0	4	ra
	v	48	25	3.4	3.4	3.6	3.6	-30.4	5	ra	0.00E00	-8.74E04	1329.5	5	ra	0.00E00	-8.74E04	0.00999	0.0	16.5	0.0	5	ra

Combinazione frequente

nod	sez	B	H	Af+	Af-	c+	c-	sc	c	N	M	sf	c	N	M	Wk(mm)	Wklim	st	Sm(mm)	c			
2222	o	50	25	3.4	3.4	4.8	4.8	-4.3	2	fr	0.00E00	-1.09E04	176.0	2	fr	0.00E00	-1.09E04	0.00	0.40	2.0	0.0	2	fr
	v	96	25	6.8	6.8	3.6	3.6	-23.0	4	fr	0.00E00	-1.32E05	1004.5	4	fr	0.00E00	-1.32E05	0.00	0.40	12.5	0.0	4	fr
2252	o	50	25	3.4	3.4	4.8	4.8	-2.5	4	fr	0.00E00	-6.35E03	102.3	4	fr	0.00E00	-6.35E03	0.00	0.40	1.2	0.0	4	fr
	v	48	25	3.4	3.4	3.6	3.6	-25.5	4	fr	0.00E00	-7.35E04	1118.0	4	fr	0.00E00	-7.35E04	0.00	0.40	13.9	0.0	4	fr

Combinazione quasi permanente

nod	sez	B	H	Af+	Af-	c+	c-	sc	c	N	M	sf	c	N	M	Wk(mm)	Wklim	st	Sm(mm)	c			
2222	o	50	25	3.4	3.4	4.8	4.8	-4.3	1	q.	0.00E00	-1.09E04	175.6	1	q.	0.00E00	-1.09E04	0.00	0.30	2.0	0.0	1	q.
	v	96	25	6.8	6.8	3.6	3.6	-22.9	2	q.	0.00E00	-1.32E05	1004.0	2	q.	0.00E00	-1.32E05	0.00	0.30	12.5	0.0	2	q.
2252	o	50	25	3.4	3.4	4.8	4.8	-2.4	2	q.	0.00E00	-6.02E03	97.1	2	q.	0.00E00	-6.02E03	0.00	0.30	1.1	0.0	2	q.
	v	48	25	3.4	3.4	3.6	3.6	-23.9	2	q.	0.00E00	-6.89E04	1047.7	2	q.	0.00E00	-6.89E04	0.00	0.30	13.0	0.0	2	q.

PintEst

Parete fra le coordinate in pianta (1410;-20) (0;-20)
da quota -362 a quota 0
Valori in daN, cm
C25/30; rck 300
fyk 4500

Verifica di stato limite ultimo

nod	sez	B	H	Af+	Af-	c+	c-	c.s.	comb	N	M	Nu	Mu
493	o	100	40	5.5	5.5	4.3	4.3	1.048	20 SLU	-9051	-888894	-9490	-931951
	v	78	40	9.7	9.7	4.6	4.6	3.381	20 SLU	10328	-206235	34924	-697367
500	o	50	40	4.4	4.4	4.6	4.6	0.398	20 SLU	32086	-936858	12768	-372814
	v	78	40	9.7	9.7	4.6	4.6	1.515	20 SLU	35742	-237638	54151	-360035
501	o	100	40	5.5	5.5	4.3	4.3	1.459	20 SLU	-51416	-1346596	-75024	-1964882
	v	78	40	9.7	9.7	4.6	4.6	2.423	20 SLU	20251	-185909	49075	-450512
504	o	50	40	8.4	8.4	4.5	4.5	0.802	20 SLU	-144995	-2972883	-116261	-2383751
	v	78	40	9.7	9.7	4.6	4.6	2.288	20 SLU	-22545	-902347	-51587	-2064705
505	o	50	40	8.4	8.4	4.5	4.5	0.802	20 SLU	-144995	-2972883	-116261	-2383750
	v	78	40	9.7	9.7	4.6	4.6	11.484	1 SLV	-7357	-220304	-84488	-2530038
610	o	50	40	4.4	4.4	4.6	4.6	0.408	20 SLU	58342	-431470	23798	-176001
	v	96	40	6.8	6.8	3.6	3.6	1.816	20 SLU	25740	-57617	46733	-104607
700	o	50	40	8.4	8.4	4.5	4.5	0.894	20 SLU	67706	88554	60527	79164
	v	96	40	6.8	6.8	3.6	3.6	1.303	20 SLU	8585	574723	11184	748732
701	o	50	40	8.4	8.4	4.5	4.5	0.894	20 SLU	67706	88554	60527	79164
	v	96	40	6.8	6.8	3.6	3.6	2.859	20 SLU	15251	54583	43596	156034
767	o	100	40	4.9	4.9	4.3	4.3	16.156	15 SLV	-1448	67602	-23390	1092199
	v	96	40	7.9	7.9	3.6	3.6	0.978	20 SLU	58871	-73604	57563	-71969
768	o	100	40	5.5	5.5	4.3	4.3	10.680	3 SLV	-434	-79457	-4639	-848614
	v	96	40	7.9	7.9	3.6	3.6	0.881	20 SLU	60147	167377	52970	147403
769	o	100	40	5.5	5.5	4.3	4.3	9.316	3 SLV	-530	-91626	-4933	-853577
	v	96	40	7.9	7.9	3.6	3.6	0.943	20 SLU	59909	94724	56508	89347
803	o	50	40	8.4	8.4	4.5	4.5	1.143	20 SLU	44512	-209249	50886	-239213
	v	96	40	7.9	7.9	3.6	3.6	0.553	20 SLU	51878	1061643	28691	587141
804	o	100	40	10.7	10.7	4.5	4.5	0.733	20 SLU	89023	-418498	65289	-306926
	v	96	40	7.9	7.9	3.6	3.6	0.649	20 SLU	65535	510421	42506	331063
805	o	100	40	5.1	5.1	4.3	4.3	5.479	20 SLU	6641	10206	36389	55919
	v	48	40	3.4	3.4	3.6	3.6	1.011	20 SLU	19575	-111257	19790	-112480

Combinazione rara

493	sez	B	H	Af+	Af-	c+	c-	sc	c	N	M	sf	c	N	M	Wk(mm)	Wlim	st	Sm(mm)	c			
	o	100	40	5.5	5.5	4.3	4.3	-54.0	5	ra	-6.57E03	-6.48E05	2947.0	5	ra	-6.57E03	-6.48E05	0.00999	0.0	21.9	0.0	1	ra
	v	78	40	9.7	9.7	4.6	4.6	-12.7	5	ra	-8.19E03	-1.73E05	905.2	5	ra	7.54E03	-1.50E05	0.00999	0.0	9.0	0.0	1	ra
500	o	50	40	4.4	4.4	4.6	4.6	-78.6	5	ra	2.36E04	-6.82E05	7602.9	5	ra	2.36E04	-6.82E05	0.45999	0.0	139.9	5	ra	
	v	78	40	9.7	9.7	4.6	4.6	0.0	1	ra	2.27E04	-1.46E05	1960.4	5	ra	2.61E04	-1.73E05	0.00999	0.0	15.8	0.0	1	ra
501	o	100	40	5.5	5.5	4.3	4.3	-75.4	5	ra	-3.73E04	-9.80E05	2216.9	5	ra	-3.73E04	-9.80E05	0.22999	0.0	390.1	5	ra	
	v	78	40	9.7	9.7	4.6	4.6	-13.5	5	ra	-9.26E03	-1.85E05	1242.0	5	ra	1.48E04	-1.35E05	0.00999	0.0	10.6	0.0	1	ra
504	o	50	40	8.4	8.4	4.5	4.5	-223.0	5	ra	-1.05E05	-2.16E06	2856.1	5	ra	-1.05E05	-2.16E06	0.09999	0.0	109.2	5	ra	
	v	78	40	9.7	9.7	4.6	4.6	-49.5	5	ra	-1.64E04	-6.57E05	1383.0	5	ra	-1.64E04	-6.57E05	0.00999	0.0	24.4	0.0	1	ra
505	o	50	40	8.4	8.4	4.5	4.5	-223.0	5	ra	-1.05E05	-2.16E06	2856.1	5	ra	-1.05E05	-2.16E06	0.22999	0.0	255.4	5	ra	
	v	78	40	9.7	9.7	4.6	4.6	-15.0	5	ra	-1.18E04	-2.08E05	182.2	5	ra	-1.18E04	-2.08E05	0.00999	0.0	5.7	0.0	1	ra
610	o	50	40	4.4	4.4	4.6	4.6	-41.0	5	ra	-5.29E03	-2.98E05	7246.5	5	ra	4.27E04	-3.14E05	0.58999	0.0	199.3	5	ra	
	v	96	40	6.8	6.8	3.6	3.6	0.0	1	ra	1.63E04	-3.54E04	1571.0	5	ra	1.88E04	-4.19E04	0.00999	0.0	6.3	0.0	1	ra
700	o	50	40	8.4	8.4	4.5	4.5	-19.0	5	ra	-1.06E04	1.84E05	3204.9	5	ra	4.96E04	6.43E04	0.25999	0.0	270.4	5	ra	
	v	96	40	6.8	6.8	3.6	3.6	-28.9	5	ra	6.25E03	4.17E05	2275.9	5	ra	6.25E03	4.17E05	0.00999	0.0	17.2	0.0	1	ra
701	o	50	40	8.4	8.4	4.5	4.5	-19.0	5	ra	-1.06E04	1.84E05	3204.9	5	ra	4.96E04	6.43E04	0.38999	0.0	416.6	5	ra	
	v	96	40	6.8	6.8	3.6	3.6	-6.2	5	ra	-2.89E03	-6.62E04	997.2	5	ra	1.11E04	3.99E04	0.00999	0.0	4.3	0.0	1	ra
767	o	100	40	4.9	4.9	4.3	4.3	-4.6	4	ra	-1.76E03	5.52E04	171.8	1	ra	-1.50E03	5.22E04	0.00999	0.0	1.6	0.0	1	ra
	v	96	40	7.9	7.9	3.6	3.6	0.0	1	ra	1.14E04	-1.20E04	2929.7	5	ra	4.31E04	-5.37E04	0.00999	0.0	12.9	0.0	1	ra
768	o	100	40	5.5	5.5	4.3	4.3	-4.1	5	ra	-8.06E02	-4.93E04	197.7	5	ra	-8.06E02	-4.93E04	0.00999	0.0	1.6	0.0	1	ra
	v	96	40	7.9	7.9	3.6	3.6	0.0	1	ra	3.95E04	1.14E05	3252.5	5	ra	4.40E04	1.22E05	0.00999	0.0	15.7	0.0	1	ra
769	o	100	40	5.5	5.5	4.3	4.3	-4.4	5	ra	-9.75E02	-5.32E04	203.9	5	ra	-9.75E02	-5.32E04	0.00999	0.0	1.7	0.0	1	ra
	v	96	40	7.9	7.9	3.6	3.6	0.0	1	ra	3.94E04	6.41E04	3035.7	5	ra	4.39E04	6.91E04	0.00999	0.0	13.7	0.0	1	ra
803	o	50	40	8.4	8.4	4.5	4.5	-6.8	5	ra	1.88E03	7.88E04	2543.1	5	ra	3.27E04	-1.51E05	0.13999	0.0	161.9	5	ra	
	v	96	40	7.9	7.9	3.6	3.6	-32.9	5	ra	3.78E04	7.71E05	5307.4	5	ra	3.78E04	7.71E05	0.55999	0.0	257.6	5	ra	
804	o	100	40	10.7	10.7	4.5	4.5	0.0	1	ra	1.42E04	-2.29E04	3965.2	5	ra	6.55E04	-3.03E05	0.49999	0.0	370.6	5	ra	
	v	96	40	7.9	7.9	3.6	3.6	-16.0	5	ra	2.49E04	4.48E05	4443.1	5	ra	4.77E04	3.71E05	0.51999	0.0	326.9	5	ra	
805	o	100	40	5.1	5.1	4.3	4.3	-8.8	5	ra	-2.14E04	-1.05E05	522.0	5	ra	4.86E03	7.41E03	0.00999	0.0	1.5	0.0	1	ra
	v	48	40	3.4	3.4	3.6	3.6	-9.7	5	ra	-2.13E03	-6.69E04	2820.9	5	ra	1.42E04	-8.04E04	0.00999	0.0	13.3	0.0	1	ra

803	v	96	40	7.9	7.9	3.6	3.6	0.0	1	fr	3.94E04	6.41E04	2942.8	4	fr	4.25E04	6.74E04	0.00	0.40	13.3	0.0	1	fr
	o	50	40	8.4	8.4	4.5	4.5	-6.5	4	fr	1.84E03	7.56E04	2440.3	4	fr	3.15E04	-1.44E05	0.00	0.40	24.7	0.0	1	fr
804	v	96	40	7.9	7.9	3.6	3.6	-31.3	4	fr	3.62E04	7.37E05	5078.6	4	fr	3.62E04	7.37E05	0.52	0.40	0.0	257.7	4	fr
	o	100	40	10.7	10.7	4.5	4.5	0.0	1	fr	1.42E04	-2.29E04	3804.9	4	fr	6.31E04	-2.87E05	0.00	0.40	25.4	0.0	1	fr
805	v	96	40	7.9	7.9	3.6	3.6	-15.1	4	fr	2.39E04	4.28E05	4257.7	4	fr	4.58E04	3.55E05	0.00	0.40	24.8	0.0	1	fr
	o	100	40	5.1	5.1	4.3	4.3	-8.4	4	fr	-2.05E04	-9.89E04	501.9	4	fr	4.68E03	7.05E03	0.00	0.40	1.4	0.0	1	fr
	v	48	40	3.4	3.4	3.6	3.6	-9.2	4	fr	-2.06E03	-6.33E04	2695.2	4	fr	1.36E04	-7.62E04	0.00	0.40	12.6	0.0	1	fr

Combinazione quasi permanente

nod	sez	B	H	Af+	Af-	c+	c-	sc	c	N	M	sf	c	N	M	Wk (mm)	Wklim	st	Sm (mm)	c			
493	o	100	40	5.5	5.5	4.3	4.3	-50.7	2	q.	-6.34E03	-6.08E05	2746.9	2	q.	-6.34E03	-6.08E05	0.00	0.30	20.5	0.0	1	q.
	v	78	40	9.7	9.7	4.6	4.6	-11.8	2	q.	-7.69E03	-1.62E05	847.7	2	q.	7.11E03	-1.40E05	0.00	0.30	8.4	0.0	1	q.
500	o	50	40	4.4	4.4	4.6	4.6	-72.9	2	q.	2.25E04	-6.37E05	7161.1	2	q.	2.25E04	-6.37E05	0.42	0.30	0.0	140.1	2	q.
	v	78	40	9.7	9.7	4.6	4.6	0.0	1	q.	2.27E04	-1.46E05	1847.6	2	q.	2.47E04	-1.62E05	0.00	0.30	14.8	0.0	1	q.
501	o	100	40	5.5	5.5	4.3	4.3	-70.1	2	q.	-3.51E04	-9.14E05	2038.0	2	q.	-3.51E04	-9.14E05	0.00	0.30	24.5	0.0	1	q.
	v	78	40	9.7	9.7	4.6	4.6	-12.5	2	q.	-8.69E03	-1.72E05	1164.5	2	q.	1.40E04	-1.25E05	0.00	0.30	9.9	0.0	1	q.
504	o	50	40	8.4	8.4	4.5	4.5	-208.0	2	q.	-9.95E04	-2.01E06	2614.1	2	q.	-9.95E04	-2.01E06	0.08	0.30	0.0	108.3	2	q.
	v	78	40	9.7	9.7	4.6	4.6	-46.6	2	q.	-1.54E04	-6.19E05	1303.2	2	q.	-1.54E04	-6.19E05	0.00	0.30	23.0	0.0	1	q.
505	o	50	40	8.4	8.4	4.5	4.5	-208.0	2	q.	-9.95E04	-2.01E06	2614.1	2	q.	-9.95E04	-2.01E06	0.20	0.30	0.0	254.5	2	q.
	v	78	40	9.7	9.7	4.6	4.6	-13.9	2	q.	-1.12E04	-1.93E05	161.5	2	q.	-1.12E04	-1.93E05	0.00	0.30	5.2	0.0	1	q.
610	o	50	40	4.4	4.4	4.6	4.6	-38.2	2	q.	-4.88E03	-2.78E05	6848.9	2	q.	4.06E04	-2.92E05	0.55	0.30	0.0	202.0	2	q.
	v	96	40	6.8	6.8	3.6	3.6	0.0	1	q.	1.63E04	-3.54E04	1484.8	2	q.	1.78E04	-3.92E04	0.00	0.30	6.0	0.0	1	q.
700	o	50	40	8.4	8.4	4.5	4.5	-17.8	2	q.	-9.91E03	1.73E05	3045.8	2	q.	4.71E04	6.07E04	0.24	0.30	0.0	270.4	2	q.
	v	96	40	6.8	6.8	3.6	3.6	-27.2	2	q.	5.93E03	3.93E05	2144.6	2	q.	5.93E03	3.93E05	0.00	0.30	16.2	0.0	1	q.
701	o	50	40	8.4	8.4	4.5	4.5	-17.8	2	q.	-9.91E03	1.73E05	3045.8	2	q.	4.71E04	6.07E04	0.36	0.30	0.0	416.6	2	q.
	v	96	40	6.8	6.8	3.6	3.6	-5.8	2	q.	-2.75E03	-8.09E04	945.7	2	q.	1.05E04	3.77E04	0.00	0.30	4.1	0.0	1	q.
767	o	100	40	4.9	4.9	4.3	4.3	-4.5	2	q.	-1.66E03	5.40E04	171.8	1	q.	-1.50E03	5.22E04	0.00	0.30	1.6	0.0	1	q.
	v	96	40	7.9	7.9	3.6	3.6	0.0	1	q.	1.14E04	-1.20E04	2803.9	2	q.	4.13E04	-5.08E04	0.00	0.30	12.4	0.0	1	q.
768	o	100	40	5.5	5.5	4.3	4.3	-3.9	2	q.	-7.39E02	-4.67E04	189.2	2	q.	-7.39E02	-4.67E04	0.00	0.30	1.5	0.0	1	q.
	v	96	40	7.9	7.9	3.6	3.6	0.0	1	q.	3.95E04	1.14E05	3123.5	2	q.	4.22E04	1.19E05	0.00	0.30	15.1	0.0	1	q.
769	o	100	40	5.5	5.5	4.3	4.3	-4.2	2	q.	-9.52E02	-5.07E04	192.2	4	q.	-9.52E02	-5.07E04	0.00	0.30	1.6	0.0	1	q.
	v	96	40	7.9	7.9	3.6	3.6	0.0	1	q.	3.94E04	6.41E04	2913.6	2	q.	4.21E04	6.69E04	0.00	0.30	13.1	0.0	1	q.
803	o	50	40	8.4	8.4	4.5	4.5	-6.4	2	q.	1.82E03	7.47E04	2408.6	2	q.	3.12E04	-1.41E05	0.00	0.30	24.4	0.0	1	q.
	v	96	40	7.9	7.9	3.6	3.6	-30.8	2	q.	3.57E04	7.26E05	5007.4	2	q.	3.57E04	7.26E05	0.51	0.30	0.0	257.7	2	q.
804	o	100	40	10.7	10.7	4.5	4.5	0.0	1	q.	1.42E04	-2.29E04	3755.5	2	q.	6.23E04	-2.82E05	0.00	0.30	25.0	0.0	1	q.
	v	96	40	7.9	7.9	3.6	3.6	-14.9	2	q.	2.35E04	4.21E05	4200.1	2	q.	4.52E04	3.50E05	0.00	0.30	24.4	0.0	1	q.
805	o	100	40	5.1	5.1	4.3	4.3	-8.3	2	q.	-2.02E04	-9.70E04	495.7	2	q.	4.62E03	6.94E03	0.00	0.30	1.4	0.0	1	q.
	v	48	40	3.4	3.4	3.6	3.6	-9.0	2	q.	-2.05E03	-6.21E04	2655.8	2	q.	1.35E04	-7.48E04	0.00	0.30	12.4	0.0	1	q.

PintInt-1

Farete fra le coordinate in pianta (564;-814) (564;0)

da quota -362 a quota 0

Valori in daN, cm

C25/30; rck 300

fyk 4500

Verifica di stato limite ultimo

nod	sez	B	H	Af+	Af-	c+	c-	c.s.	comb	N	M	Nu	Mu
53	o	50	30	4.1	4.1	4.3	4.3	1.502	9 SLV	-42322	675931	-63561	1015142
	v	78	30	3.9	3.9	3.5	3.5	3.557	4 SLV	1267	97471	4506	346689
83	o	100	30	7.0	7.0	4.3	4.3	1.149	13 SLV	-48047	1137144	-55183	1306048
	v	78	30	3.9	3.9	3.5	3.5	1.855	20 SLV	3265	175996	6057	326527
783	o	100	30	5.2	5.2	4.3	4.3	11.250	20 SLV	-30678	-119206	-345140	-1341104
	v	96	30	5.5	5.5	3.5	3.5	1.353	20 SLV	26176	-67170	35406	-90855
787	o	100	30	4.8	4.8	4.3	4.3	12.809	20 SLV	-29393	-76442	-376493	-979133
	v	96	30	5.5	5.5	3.5	3.5	1.402	20 SLV	25797	-57263	36180	-80310

Combinazione rara

nod	sez	B	H	Af+	Af-	c+	c-	sc	c	N	M	sf	c	N	M	Wk(mm)	Wlim	st	Sm(mm)	c		
53	o	50	30	4.1	4.1	4.3	4.3	-111.2	5	ra	-3.23E04	5.05E05	1753.5	5	ra	-3.23E04	5.05E05	0.11999.00	0.0	269.9	5	ra
	v	78	30	3.9	3.9	3.5	3.5	-16.9	5	ra	-2.49E03	9.62E04	689.4	5	ra	-2.49E03	9.62E04	0.00999.00	6.9	0.0	1	ra
83	o	100	30	7.0	7.0	4.3	4.3	-106.7	5	ra	-5.12E04	9.01E05	2124.3	5	ra	-5.12E04	9.01E05	0.11999.00	0.0	217.8	5	ra
	v	78	30	3.9	3.9	3.5	3.5	-22.5	5	ra	2.32E03	1.30E05	1646.0	5	ra	2.32E03	1.30E05	0.00999.00	11.6	0.0	1	ra
783	o	100	30	5.2	5.2	4.3	4.3	-12.4	4	ra	-2.22E04	-8.72E04	-48.4	5	ra	-2.23E04	-8.69E04	0.00999.00	0.3	0.0	1	ra
	v	96	30	5.5	5.5	3.5	3.5	0.0	1	ra	1.64E04	-3.21E04	2129.0	5	ra	1.91E04	-4.90E04	0.00999.00	9.7	0.0	1	ra
787	o	100	30	4.8	4.8	4.3	4.3	-10.2	4	ra	-2.12E04	-5.56E04	-65.0	5	ra	-2.13E04	-5.51E04	0.00999.00	0.0	0.0	1	ra
	v	96	30	5.5	5.5	3.5	3.5	0.0	1	ra	1.58E04	-3.58E04	2042.8	5	ra	1.89E04	-4.14E04	0.00999.00	9.3	0.0	1	ra

Combinazione frequente

nod	sez	B	H	Af+	Af-	c+	c-	sc	c	N	M	sf	c	N	M	Wk(mm)	Wklim	st	Sm(mm)	c			
53	o	50	30	4.1	4.1	4.3	4.3	-105.7	4	fr	-3.05E04	4.79E05	1683.5	4	fr	-3.05E04	4.79E05	0.11	0.40	0.0	270.3	4	fr
	v	78	30	3.9	3.9	3.5	3.5	-16.1	4	fr	-2.31E03	9.16E04	663.7	4	fr	-2.31E03	9.16E04	0.00	0.40	6.6	0.0	1	fr
83	o	100	30	7.0	7.0	4.3	4.3	-101.6	4	fr	-4.81E04	8.57E05	2050.0	4	fr	-4.81E04	8.57E05	0.11	0.40	0.0	218.5	4	fr
	v	78	30	3.9	3.9	3.5	3.5	-21.0	4	fr	2.25E03	1.23E05	1566.1	4	fr	2.25E03	1.23E05	0.00	0.40	11.1	0.0	1	fr
783	o	100	30	5.2	5.2	4.3	4.3	-11.7	4	fr	-2.09E04	-8.24E04	-45.1	4	fr	-2.09E04	-8.24E04	0.00	0.40	0.3	0.0	1	fr
	v	96	30	5.5	5.5	3.5	3.5	0.0	1	fr	1.64E04	-3.21E04	2027.9	4	fr	1.83E04	-4.61E04	0.00	0.40	9.3	0.0	1	fr
787	o	100	30	4.8	4.8	4.3	4.3	-9.6	4	fr	-2.01E04	-5.20E04	-61.1	4	fr	-2.01E04	-5.20E04	0.00	0.40	0.0	0.0	1	fr
	v	96	30	5.5	5.5	3.5	3.5	0.0	1	fr	1.58E04	-3.58E04	1947.2	4	fr	1.80E04	-3.87E04	0.00	0.40	8.8	0.0	1	fr

Combinazione quasi permanente

nod	sez	B	H	Af+	Af-	c+	c-	sc	c	N	M	sf
-----	-----	---	---	-----	-----	----	----	----	---	---	---	----

Ingresso-Principale

1154	v	96	30	5.1	5.1	3.5	3.5	0.0	1 q.	1.46E04	-4.71E04	2023.7	2 q.	1.62E04	-5.19E04	0.00	0.30	8.9	0.0	1 q.
	o	100	30	5.5	5.5	4.5	4.5	-15.6	2 q.	-3.48E03	1.11E05	545.4	2 q.	-3.48E03	1.11E05	0.00	0.30	6.0	0.0	1 q.
	v	63	30	5.2	5.2	4.4	4.4	0.0	1 q.	6.93E03	2.72E04	1043.5	2 q.	7.60E03	3.11E04	0.00	0.30	7.0	0.0	1 q.

Platea

Valori in daN, cm
c25/30; rck 300
fyk 4500

Verifica di stato limite ultimo																							
nod	sez	B	H	Af+	Af-	c+	c-	c.s.	comb	N	M	Nu	Mu										
10	v	48	60	16.0	10.0	4.6	5.1	0.650	10 SLV F	0	4966446	0	3226411										
	o	50	60	10.1	10.1	5.4	5.4	1.378	10 SLV F	0	-1478405	0	-2037742										
	v	68	60	20.0	12.0	4.4	4.9	0.630	20 SLV	0	6466926	0	4072561										
25	o	50	60	10.1	10.1	5.4	5.4	3.348	10 SLV F	0	608696	0	2037742										
	v	96	60	28.1	14.1	3.8	3.8	1.018	20 SLV	0	5722528	0	5827238										
	o	50	60	6.0	6.0	5.4	5.4	0.640	20 SLV	0	1958176	0	1253362										
45	v	48	60	17.6	10.0	4.5	5.1	0.864	20 SLV	0	4086355	0	3531598										
	o	50	60	8.0	8.0	5.4	5.4	0.615	20 SLV	0	2679561	0	1647717										
	v	48	60	12.0	12.0	4.9	4.9	0.722	20 SLV	0	3374321	0	2434863										
75	o	100	60	14.1	14.1	5.4	5.4	1.465	20 SLV	0	1981592	0	2902522										
	v	96	60	27.4	13.3	3.9	4.1	0.925	20 SLV	0	6101257	0	5643036										
	o	100	60	12.1	12.1	5.4	5.4	0.781	20 SLV	0	3208612	0	2506725										
78	v	96	60	25.6	16.0	4.0	4.2	2.136	6 SLV F	0	2471002	0	5277162										
	o	100	60	13.2	13.2	5.4	5.4	1.265	20 SLV	0	2157385	0	2730002										
	v	96	60	14.0	14.0	4.2	4.2	0.838	20 SLV	0	3517283	0	2947756										
86	o	100	60	12.1	16.1	5.4	5.4	3.059	20 SLV	0	-1077432	0	-3295435										
	v	96	60	16.0	16.0	4.2	4.2	0.766	20 SLV	0	4386622	0	3358150										
	o	50	60	12.1	18.1	5.4	5.4	1.024	20 SLV	0	-3490895	0	-3575079										
104	v	48	60	9.9	16.0	5.1	4.6	0.553	20 SLV	0	3673315	0	2031073										
	o	50	60	12.1	18.1	5.4	5.4	1.022	20 SLV	0	-3497617	0	-3575079										
	v	59	60	12.0	20.0	4.8	4.4	0.608	20 SLV	0	4036584	0	2455266										
109	o	100	60	14.1	14.1	5.4	5.4	2.345	20 SLV	0	1237838	0	2902522										
	v	96	60	25.8	12.1	3.8	3.8	0.978	20 SLV	0	5475847	0	5357262										
113	o	100	60	14.1	14.1	5.4	5.4	1.075	20 SLV	0	-2699832	0	-2902522										
	v	96	60	14.1	14.1	3.8	3.8	0.963	20 SLV	0	3098574	0	2983399										
148	o	100	60	13.8	13.8	5.4	5.4	1.581	20 SLV	0	-1799941	0	-2844947										
	v	96	60	24.1	12.1	3.8	3.8	0.964	20 SLV	0	5209645	0	5020498										
	o	100	60	12.1	24.1	5.4	5.4	1.016	20 SLV	0	-4770601	0	-4848865										
222	v	96	60	14.1	14.1	3.8	3.8	2.031	1 SLV F	0	-1468738	0	-2983399										
	o	100	60	14.1	14.1	5.4	5.4	1.159	20 SLV	0	2504099	0	2902522										
	v	96	60	12.1	12.1	3.8	3.8	0.949	20 SLV	0	-2703097	0	-2570209										
506	o	50	60	8.0	14.1	5.4	5.4	0.415	20 SLV	0	3968359	0	1647492										
	v	48	60	10.1	16.1	3.8	3.8	1.619	20 SLV	0	-2051936	0	-3322393										
	o	70	60	10.1	18.1	5.4	5.4	0.423	20 SLV	0	4900501	0	2071545										
507	v	48	60	10.1	16.1	3.8	3.8	2.119	20 SLV	0	-1568103	0	-3322393										
	o	100	60	14.1	26.1	5.4	5.4	0.537	20 SLV	0	5410055	0	2903499										
	v	48	60	10.1	16.1	3.8	3.8	0.940	20 SLV	0	2243574	0	2109271										
510	o	100	60	14.1	28.1	5.4	5.4	3.269	12 SLV F	0	-1717967	0	-5615730										
	v	48	60	10.1	16.1	3.8	3.8	1.031	20 SLV	0	-3221371	0	-3322393										
	o	100	60	14.1	24.1	5.4	5.4	1.002	20 SLV	0	2898821	0	2903593										
512	v	48	60	10.1	11.4	3.8	3.8	12.743	6 SLV F	0	-186937	0	-2382172										
	o	100	60	14.0	14.0	5.4	5.4	1.189	20 SLV	0	2432618	0	2892316										
	v	48	60	10.1	10.1	3.8	3.8	7.134	20 SLV	0	-295488	0	-2107905										

Combinazione rara																							
nod	sez	B	H	Af+	Af-	c+	c-	sc	c	N	M	sf	c	N	M	Wk(mm)	Wlim	st	Sm(mm)	c			
10	v	48	60	16.0	10.0	4.6	5.1	-140.8	5 ra	0.00E00	3.68E06	4706.5	5 ra	0.00E00	3.68E06	0.23999	0.0	0.0	114.5	5 ra			
	o	50	60	10.1	10.1	5.4	5.4	-49.8	5 ra	0.00E00	-1.09E06	2181.5	5 ra	0.00E00	-1.09E06	0.16999	0.0	0.0	250.6	5 ra			
	v	68	60	20.0	12.0	4.4	4.9	-137.6	5 ra	0.00E00	4.80E06	4854.7	5 ra	0.00E00	4.80E06	0.39999	0.0	0.0	190.4	5 ra			
25	o	50	60	10.1	10.1	5.4	5.4	-20.3	5 ra	0.00E00	4.45E05	889.8	5 ra	0.00E00	4.45E05	0.00999	0.0	13.6	0.0	4 ra			
	v	96	60	28.1	14.1	3.8	3.8	-85.4	5 ra	0.00E00	4.24E06	2964.1	5 ra	0.00E00	4.24E06	0.15999	0.0	0.0	126.5	5 ra			
	o	50	60	6.0	6.0	5.4	5.4	-85.0	5 ra	0.00E00	1.45E06	4750.7	5 ra	0.00E00	1.45E06	0.59999	0.0	0.0	360.9	5 ra			
45	v	48	60	17.6	10.0	4.5	5.1	-112.2	5 ra	0.00E00	3.03E06	3537.2	5 ra	0.00E00	3.03E06	0.15999	0.0	0.0	105.3	5 ra			
	o	50	60	8.0	8.0	5.4	5.4	-100.6	5 ra	0.00E00	1.97E06	4896.4	5 ra	0.00E00	1.97E06	0.76999	0.0	0.0	411.9	5 ra			
61	v	48	60	12.0	12.0	4.9	4.9	-102.9	5 ra	0.00E00	2.49E06	4245.4	5 ra	0.00E00	2.49E06	0.44999	0.0	0.0	260.9	5 ra			
	o	100	60	14.1	14.1	5.4	5.4	-39.8	5 ra	0.00E00	1.46E06	2063.2	5 ra	0.00E00	1.46E06	0.00999	0.0	22.9	0.0	5 ra			
75	v	96	60	27.4	13.3	3.9	4.1	-92.9	5 ra	0.00E00	4.51E06	3263.5	5 ra	0.00E00	4.51E06	0.13999	0.0	0.0	97.9	5 ra			
	o	100	60	12.1	12.1	5.4	5.4	-69.4	5 ra	0.00E00	2.36E06	3875.5	5 ra	0.00E00	2.36E06	0.60999	0.0	0.0	488.0	5 ra			
78	v	96	60	25.6	16.0	4.0	4.2	-33.8	5 ra	0.00E00	1.63E06	1265.0	5 ra	0.00E00	1.63E06	0.07999	0.0	0.0	197.2	5 ra			
	o	100	60	13.2	13.2	5.4	5.4	-44.6	5 ra	0.00E00	1.59E06	2387.2	5 ra	0.00E00	1.59E06	0.00999	0.0	25.0	0.0	5 ra			
84	v	96	60	14.0	14.0	4.2	4.2	-68.3	5 ra	0.00E00	2.59E06	3611.7	5 ra	0.00E00	2.59E06	0.42999	0.0	0.0	326.6	5 ra			
	o	100	60	12.1	16.1	5.4	5.4	-20.7	5 ra	0.00E00	-7.92E05	983.2	5 ra	0.00E00	-7.92E05	0.00999	0.0	12.4	0.0	5 ra			
86	v	96	60	16.0	16.0	4.2	4.2	-79.5	5 ra	0.00E00	3.24E06	3949.6	5 ra	0.00E00	3.24E06	0.40999	0.0	0.0	268.6	5 ra			
	o	50	60	12.1	18.1	5.4	5.4	-92.2	5 ra	0.00E00	-2.55E06	2892.0	5 ra	0.00E00	-2.55E06	0.30999	0.0	0.0	267.0	5 ra			
98	v	48	60	9.9	16.0	5.1	4.6	-112.5	5 ra	0.00E00	2.69E06	5506.1	5 ra	0.00E00	2.69E06	0.49999	0.0	0.0	218.6	5 ra			
	o	100	60	12.1	18.1	5.4	5.4	-92.5	5 ra	0.00E00	-2.56E06	2898.7	5 ra	0.00E00	-2.56E06	0.30999	0.0	0.0	267.0	5 ra			
	v	59	60	12.0	20.0	4.8	4.4	-99.9	5 ra	0.00E00	2.96E06	4979.5	5 ra	0.00E00	2.96E06	0.54999	0.0	0.0	268.3	5 ra			
109	o	100	60	14.1	14.1	5.4	5.4	-24.8	5 ra	0.00E00	9.10E05	1285.7	5 ra	0.00E00	9.10E05	0.00999	0.0	14.3	0.0	5 ra			
	v	96	60	25.8	12.1	3.8	3.8	-85.0	5 ra	0.00E00	4.04E06	3068.0	5 ra	0.00E00	4.04E06	0.14999	0.0	0.0	110.8	5 ra			
113	o	100	60	14.1	14.1	5.4	5.4	-53.9	5 ra	0.00E00	-1.98E06	2799.1	5 ra	0.00E00	-1.98E06	0.24999	0.0	0.0	297.2	5 ra			
	v	96	60	14.1	14.1	3.8	3.8	-58.9	5 ra	0.00E00	2.28E06	3108.4	5 ra	0.00E00	2.28E06	0.23999	0.0	0.0	208.5	5 ra			
148	o	100	60	13.8	13.8	5.4	5.4	-36.4	5 ra	0.00E00	-1.32E06	1906.2	5 ra	0.00E00	-1.32E06	0.00999	0.0	20.8	0.0	5 ra			
	v	96	60	24.1	12.1	3.8	3.8	-82.6	5 ra	0.00E00	3.83E06	3107.1	5 ra	0.00E00	3.83E06	0.28999	0.0	0.0	232.0	5 ra			
222	o	100	60	12.1	24.1	5.4	5.4	-78.3	5 ra	0.00E00	-3.48E06	2924.5	5 ra	0.00E00	-3.48E06	0.35999	0.0	0.0	335.8	5 ra			
	v	96	60	14.1	14.1	3.8	3.8	-26.5	5 ra	0.00E00	-1.03E06	1398.4	5 ra	0.00E00	-1.03E06	0.00999	0.0	16.6	0.0	5 ra			
253	o	100	60	14.1	14.1	5.4	5.4	-50.4	5 ra	0.00E00	1.85E06	2617.1	5 ra	0.00E00	1.85E06	0.24999	0.0	0.0	324.5	5 ra			
	v	96	60	12.1	12.1	3.8	3.8	-55.9	5 ra	0.00E00	-2.00E06	3174.8	5 ra	0.00E00	-2.00E06	0.36999	0.0	0.0	334.8	5 ra			
506	o	50	60	8.0	14.1	5.4	5.4	-136.2	5 ra	0.00E00	2.88E06	7135.2	5 ra	0.00E00	2.88E06	1.19999	0.0	0.0	411.9	5 ra			
	v	48	60	10.1	16.1	3.8	3.8	-54.6	5 ra	0.00E00	-1.49E06	1819.9	5 ra	0.00E00	-1.49E06	0.07999	0.0	0.0	101.7	5 ra			
507	o	70	60	18.1	18.1	5.4	5.4	-127.5	5 ra	0.00E00	3.55E06	7031.6	5 ra	0.00E00	3.55E06	1.22999	0.0	0.0	339.3	5 ra			
	v	48	60	10.1	18.1	3.8	3.8	-84.7	5 ra	0.00E00	-1.14E06	1392.0	5 ra	0.00E00	-1.14E06	0.05999	0.0	0.0	101.7	5 ra			
508	o	100	60	14.1	26.1	5.4	5.4	-99.2	5 ra	0.00E00	3.93E06	5542.6	5 ra	0.00E00	3.93E06	0.76999	0.0	0.0	362.9	5 ra			
	v	48	60	10.1	16.1	3.8	3.8	-64.0	5 ra	0.00E00	1.63E06	3119.0	5 ra	0.00E00	1.63E06	0.21999	0.0	0.0	171.6	5 ra			
510	o	100	60	14.1	28.1	5.4	5.4	-25.9	5 ra	0.00E00	-1.23E06	891.2	5 ra	0.00E00	-1.23E06	0.00999	0.0	18.8	0.0	5 ra			
	v	48	60	10.1	16.1	3.8	3.8	-86.1	5 ra	0.00E00	-2.35E06	2869.9	5 ra	0.00E00	-2.35E06	0.12999	0.0	0.0	101.7	5 ra			
512	o	100	60	14.1	24.1	5.4	5.4	-53.9	5 ra	0.00E00	2.11E06	2974.3	5 ra	0.00E00	2.11E06	0.32999	0.0	0.0	356.1	5 ra			
	v	48	60	10.1	11.4	3.8	3.8	-5.2	5 ra	0.00E00	-1.27E05	217.0	5 ra	0.00E00	-1.27E05	0.00999	0.0	4.0	0.0	5 ra			
513	o	100	60	14.0	14.0	5.4	5.4	-48.2	5 ra	0.00E00	1.77E06	2506.5	5 ra	0.00E00	1.77E06	0.20999	0.0	0.0	285.2	5 ra			
	v	48	60	10.1	10.1	3.8	3.8	-9.2	5 ra	0.00E00	-2.15E05	413.1	5 ra	0.00E00	-2.15E05	0.00999	0.0	6.8	0.0	5 ra			

253	o	100	60	14.1	14.1	5.4	5.4	-48.0	4	fr	0.00E00	1.76E06	2488.5	4	fr	0.00E00	1.76E06	0.23	0.40	0.0	324.5	4	fr
	v	96	60	12.1	12.1	3.8	3.8	-53.5	4	fr	0.00E00	-1.92E06	3038.9	4	fr	0.00E00	-1.92E06	0.34	0.40	0.0	334.8	4	fr
506	o	50	60	8.0	14.1	5.4	5.4	-129.7	4	fr	0.00E00	2.74E06	6790.5	4	fr	0.00E00	2.74E06	1.12	0.40	0.0	411.9	4	fr
	v	48	60	10.1	16.1	3.8	3.8	-51.9	4	fr	0.00E00	-1.41E06	1730.5	4	fr	0.00E00	-1.41E06	0.06	0.40	0.0	101.7	4	fr
507	o	70	60	10.1	18.1	5.4	5.4	-121.4	4	fr	0.00E00	3.39E06	6697.3	4	fr	0.00E00	3.39E06	1.16	0.40	0.0	439.3	4	fr
	v	48	60	10.1	16.1	3.8	3.8	-39.7	4	fr	0.00E00	-1.08E06	1325.1	4	fr	0.00E00	-1.08E06	0.05	0.40	0.0	101.7	4	fr
508	o	100	60	14.1	26.1	5.4	5.4	-94.5	4	fr	0.00E00	3.74E06	5281.2	4	fr	0.00E00	3.74E06	0.71	0.40	0.0	362.9	4	fr
	v	48	60	10.1	16.1	3.8	3.8	-61.2	4	fr	0.00E00	1.56E06	2980.3	4	fr	0.00E00	1.56E06	0.20	0.40	0.0	171.6	4	fr
510	o	100	60	14.1	28.1	5.4	5.4	-24.8	4	fr	0.00E00	-1.18E06	856.1	4	fr	0.00E00	-1.18E06	0.00	0.40	18.0	0.0	4	fr
	v	48	60	10.1	16.1	3.8	3.8	-82.5	4	fr	0.00E00	-2.25E06	2750.3	4	fr	0.00E00	-2.25E06	0.11	0.40	0.0	101.7	4	fr
512	o	100	60	14.1	24.1	5.4	5.4	-51.3	4	fr	0.00E00	2.01E06	2830.7	4	fr	0.00E00	2.01E06	0.29	0.40	0.0	356.1	4	fr
	v	48	60	10.1	11.4	3.8	3.8	-5.0	4	fr	0.00E00	-1.20E05	204.8	4	fr	0.00E00	-1.20E05	0.00	0.40	3.8	0.0	4	fr
513	o	100	60	14.0	14.0	5.4	5.4	-45.9	4	fr	0.00E00	1.68E06	2384.9	4	fr	0.00E00	1.68E06	0.19	0.40	0.0	285.2	4	fr
	v	48	60	10.1	10.1	3.8	3.8	-8.8	4	fr	0.00E00	-2.04E05	392.0	4	fr	0.00E00	-2.04E05	0.00	0.40	6.4	0.0	4	fr

Combinazione quasi permanente

nod	sez	B	H	Af+	Af-	c+	c-	sc	c	N	M	sf	c	N	M	Wk(mm)	Wklim	st	Sm(mm)	c			
10	v	48	60	16.0	10.0	4.6	5.1	-130.9	2	q.	0.00E00	3.42E06	4375.1	2	q.	0.00E00	3.42E06	0.21	0.30	0.0	114.5	2	q.
	o	50	60	10.1	10.1	5.4	5.4	-46.3	2	q.	0.00E00	-1.02E06	2027.8	2	q.	0.00E00	-1.02E06	0.15	0.30	0.0	250.6	2	q.
	v	68	60	20.0	12.0	4.4	4.9	-127.9	2	q.	0.00E00	4.46E06	4514.4	2	q.	0.00E00	4.46E06	0.36	0.30	0.0	190.4	2	q.
25	o	50	60	10.1	10.1	5.4	5.4	-19.0	2	q.	0.00E00	4.16E05	830.4	2	q.	0.00E00	4.16E05	0.00	0.30	12.7	0.0	2	q.
	v	96	60	28.1	14.1	3.8	3.8	-79.6	2	q.	0.00E00	3.96E06	2763.5	2	q.	0.00E00	3.96E06	0.14	0.30	0.0	126.5	2	q.
45	o	50	60	6.0	6.0	5.4	5.4	-78.6	2	q.	0.00E00	1.34E06	4393.5	2	q.	0.00E00	1.34E06	0.53	0.30	0.0	360.9	2	q.
	v	48	60	17.6	10.0	4.5	5.1	-103.5	2	q.	0.00E00	2.79E06	3260.0	2	q.	0.00E00	2.79E06	0.14	0.30	0.0	105.3	2	q.
61	o	50	60	8.0	8.0	5.4	5.4	-94.6	2	q.	0.00E00	1.86E06	4607.2	2	q.	0.00E00	1.86E06	0.70	0.30	0.0	411.9	2	q.
	v	48	60	12.0	12.0	4.9	4.9	-97.0	2	q.	0.00E00	2.35E06	3999.2	2	q.	0.00E00	2.35E06	0.42	0.30	0.0	260.9	2	q.
75	o	100	60	14.1	14.1	5.4	5.4	-36.9	2	q.	0.00E00	1.36E06	1914.1	2	q.	0.00E00	1.36E06	0.00	0.30	21.3	0.0	2	q.
	v	96	60	27.4	13.3	3.9	4.1	-85.4	2	q.	0.00E00	4.15E06	3001.1	2	q.	0.00E00	4.15E06	0.12	0.30	0.0	97.9	2	q.
78	o	100	60	12.1	12.1	5.4	5.4	-64.9	2	q.	0.00E00	2.21E06	3624.9	2	q.	0.00E00	2.21E06	0.54	0.30	0.0	488.0	2	q.
	v	96	60	25.6	16.0	4.0	4.2	-31.0	2	q.	0.00E00	1.50E06	1157.9	2	q.	0.00E00	1.50E06	0.00	0.30	23.5	0.0	2	q.
84	o	100	60	13.2	13.2	5.4	5.4	-42.0	2	q.	0.00E00	1.49E06	2246.4	2	q.	0.00E00	1.49E06	0.00	0.30	23.5	0.0	2	q.
	v	96	60	14.0	14.0	4.2	4.2	-63.7	2	q.	0.00E00	2.42E06	3371.6	2	q.	0.00E00	2.42E06	0.39	0.30	0.0	326.6	2	q.
86	o	100	60	12.1	16.1	5.4	5.4	-19.3	2	q.	0.00E00	-7.37E05	915.2	2	q.	0.00E00	-7.37E05	0.00	0.30	11.6	0.0	2	q.
	v	96	60	16.0	16.0	4.2	4.2	-74.8	2	q.	0.00E00	3.04E06	3716.2	2	q.	0.00E00	3.04E06	0.37	0.30	0.0	268.6	2	q.
98	o	50	60	12.1	18.1	5.4	5.4	-85.4	2	q.	0.00E00	-2.37E06	2678.9	2	q.	0.00E00	-2.37E06	0.27	0.30	0.0	267.0	2	q.
	v	48	60	9.9	16.0	5.1	4.6	-104.4	2	q.	0.00E00	2.50E06	5110.8	2	q.	0.00E00	2.50E06	0.45	0.30	0.0	218.6	2	q.
104	o	50	60	12.1	18.1	5.4	5.4	-85.8	2	q.	0.00E00	-2.38E06	2689.9	2	q.	0.00E00	-2.38E06	0.28	0.30	0.0	267.0	2	q.
	v	59	60	12.0	20.0	4.8	4.4	-92.7	2	q.	0.00E00	2.75E06	4623.1	2	q.	0.00E00	2.75E06	0.49	0.30	0.0	268.3	2	q.
109	o	100	60	14.1	14.1	5.4	5.4	-23.1	2	q.	0.00E00	8.47E05	1196.9	2	q.	0.00E00	8.47E05	0.00	0.30	13.3	0.0	2	q.
	v	96	60	25.8	12.1	3.8	3.8	-78.4	2	q.	0.00E00	3.72E06	2828.9	2	q.	0.00E00	3.72E06	0.12	0.30	0.0	110.8	2	q.
113	o	100	60	14.1	14.1	5.4	5.4	-50.4	2	q.	0.00E00	-1.85E06	2617.3	2	q.	0.00E00	-1.85E06	0.22	0.30	0.0	297.2	2	q.
	v	96	60	14.1	14.1	3.8	3.8	-55.0	2	q.	0.00E00	2.13E06	2903.5	2	q.	0.00E00	2.13E06	0.21	0.30	0.0	208.5	2	q.
148	o	100	60	13.8	13.8	5.4	5.4	-34.0	2	q.	0.00E00	-1.24E06	1781.1	2	q.	0.00E00	-1.24E06	0.00	0.30	19.4	0.0	2	q.
	v	96	60	24.1	12.1	3.8	3.8	-76.5	2	q.	0.00E00	3.54E06	2875.0	2	q.	0.00E00	3.54E06	0.26	0.30	0.0	232.0	2	q.
222	o	100	60	12.1	24.1	5.4	5.4	-72.7	2	q.	0.00E00	-3.23E06	2714.8	2	q.	0.00E00	-3.23E06	0.32	0.30	0.0	335.8	2	q.
	v	96	60	14.1	14.1	3.8	3.8	-24.4	2	q.	0.00E00	-9.46E05	1289.2	2	q.	0.00E00	-9.46E05	0.00	0.30	15.3	0.0	2	q.
253	o	100	60	14.1	14.1	5.4	5.4	-47.2	2	q.	0.00E00	1.73E06	2448.8	2	q.	0.00E00	1.73E06	0.22	0.30	0.0	324.5	2	q.
	v	96	60	12.1	12.1	3.8	3.8	-52.7	2	q.	0.00E00	-1.89E06	2996.5	2	q.	0.00E00	-1.89E06	0.33	0.30	0.0	334.8	2	q.
506	o	50	60	8.0	14.1	5.4	5.4	-127.6	2	q.	0.00E00	2.70E06	6684.9	2	q.	0.00E00	2.70E06	1.10	0.30	0.0	411.9	2	q.
	v	48	60	10.1	16.1	3.8	3.8	-51.1	2	q.	0.00E00	-1.39E06	1703.2	2	q.	0.00E00	-1.39E06	0.06	0.30	0.0	101.7	2	q.
507	o	70	60	10.1	18.1	5.4	5.4	-119.6	2	q.	0.00E00	3.34E06	6594.8	2	q.	0.00E00	3.34E06	1.14	0.30	0.0	439.3	2	q.
	v	48	60	10.1	16.1	3.8	3.8	-39.1	2	q.	0.00E00	-1.07E06	1304.6	2	q.	0.00E00	-1.07E06	0.04	0.30	0.0	101.7	2	q.
508	o	100	60	14.1	26.1	5.4	5.4	-93.1	2	q.	0.00E00	3.68E06	5201.0	2	q.	0.00E00	3.68E06	0.70	0.30	0.0	362.9	2	q.
	v	48	60	10.1	16.1	3.8	3.8	-60.3	2	q.	0.00E00	1.54E06	2937.8	2	q.	0.00E00	1.54E06	0.19	0.30	0.0	171.6	2	q.
510	o	100	60	14.1	28.1	5.4	5.4	-24.5	2	q.	0.00E00	-1.17E06	845.3	2	q.	0.00E00	-1.17E06	0.00	0.30	17.8	0.0	2	q.
	v	48	60	10.1	16.1	3.8	3.8	-81.4	2	q.	0.00E00	-2.22E06	2713.6	2	q.	0.00E00	-2.22E06	0.11	0.30	0.0	101.7	2	q.
512	o	100	60	14.1	24.1	5.4	5.4	-50.5	2	q.	0.00E00	1.97E06	2787.2	2	q.	0.00E00	1.97E06	0.28	0.30	0.0	356.1	2	q.
	v	48	60	10.1	11.4	3.8	3.8	-4.9	2	q.	0.00E00	-1.18E05	201.0	2	q.	0.00E00	-1.18E05	0.00	0.30	3.7	0.0	2	q.
513	o	100	60	14.0	14.0	5.4	5.4	-45.2	2	q.	0.00E00	1.66E06	2348.2	2	q.	0.00E00	1.66E06	0.19	0.30	0.0	285.2	2	q.
	v	48	60	10.1	10.1	3.8	3.8	-8.6	2	q.	0.00E00	-2.00E05	385.5	2	q.	0.00E00	-2.00E05	0.00	0.30	6.3	0.0	2	q.

PT

Valori in daN, cm

C25/30; rck 300

fyk 4500

Verifica di stato limite ultimo

nod	sez	B	H	Af+	Af-	c+	c-	c.s.	comb	N	M	Nu	Mu
858	v	48	30	4.2	4.2	4.8	4.8	6.310	2 SLV	0	-64189	0	-405027
	o	50	30	4.3	4.3	4.8	4.8	2.259	13 SLV	0	-184644	0	-417104
	v	48	30	5.5	7.0	4.6	4.4	0.928	20 SLU	0	-695128	0	-645159
864	o	50	30	3.4	3.4	4.8	4.8	1.397	13 SLV	0	239738	0	335011
	v	48	30	5.7	5.7	4.6	4.6	0.664	20 SLU	0	794680	0	527272
881	o	100	30	7.9	7.9	4.8	4.8	10.361	15 SLV	0	74123	0	768026
	v	96	30	6.8	9.8	3.6	3.7	1.052	20 SLU	0	-908518	0	-956084
1041	o	100	30	7.9	7.9	4.8	4.8	1.062	20 SLU	0	-723191	0	-768026
	v	96	30	11.4	11.4	4.5	4.5	1.661	20 SLU	0	-642064	0	-1066555
1229	o	50	30	5.4	5.4	4.9	4.9	1.228	12 SLV	0	-410976	0	-504742
	v	48	30	6.9	6.9	4.4	4.4	1.427	16 SLV	0	446776	0	637358

Ingresso-Principale

Verifica di stato limite ultimo													
nod	sez	B	H	Af+	Af-	c+	c-	c.s.	comb	N	M	Nu	Mu
504	o	70	40	16.2	16.2	4.6	4.6	1.922	20 SLU	-54562	1819613	-104877	3497634
	v	78	40	12.6	12.6	4.8	4.8	1.365	12 SLV	25595	777968	34936	1061859
	o	50	40	14.5	14.5	4.7	4.7	7.218	1 SLV	-28180	-353122	-203391	-2548711
553	v	96	40	6.0	6.0	3.4	3.4	0.975	20 SLU	42433	-98984	41388	-96546
	o	70	40	16.2	16.2	4.6	4.6	1.723	20 SLU	29283	735252	50447	1266656
	v	96	40	6.0	6.0	3.4	3.4	0.605	8 SLV	52645	435463	31875	263655
803	o	70	40	16.2	16.2	4.6	4.6	2.832	20 SLU	-65603	-1376441	-185788	-3898065
	v	96	40	6.0	6.0	3.4	3.4	0.841	20 SLU	12346	-788262	10384	-662950
	o	100	40	24.4	24.4	4.7	4.7	2.822	20 SLU	-107857	-1920735	-304376	-5420400
807	v	96	40	6.0	6.0	3.4	3.4	4.181	12 SLV	8390	48312	35075	201981
	o	22	40	0.0	0.0	3.0	3.0	1.138	16 SLV	-21065	-339980	-23967	-386816
	v	15	40	0.0	0.0	3.0	3.0	0.000	16 SLV	-5872	303144	0	7
1632	o	100	40	9.6	9.6	4.8	4.8	0.539	19 SLU	-56981	-3290429	-30717	-1773784
	v	96	40	9.0	9.0	4.5	4.5	1.801	19 SLU	-7805	804136	-14056	1448218
	o	100	40	9.6	9.6	4.8	4.8	0.487	19 SLU	-32390	-3161791	-15783	-1540638
1968	v	96	40	9.0	9.0	4.5	4.5	1.239	19 SLU	-2098	1018887	-2599	1262103
	o	100	40	7.1	7.1	4.4	4.4	1.080	1 SLV	-23847	1300200	-25753	1404129
	v	74	40	6.3	6.3	4.5	4.5	0.603	20 SLU	13918	1177385	8395	710212
2226	o	100	40	9.2	9.2	4.8	4.8	0.486	20 SLU	17764	-2254770	8633	-1095769
	v	96	40	8.5	8.5	4.5	4.5	1.565	19 SLU	-4598	813312	-7196	1272915
2380	o	100	40	6.7	6.7	4.4	4.4	5.264	5 SLV	-5849	272830	-30785	1436092
	v	96	40	4.5	4.5	3.4	3.4	1.060	17 SLU	27358	100381	28994	106385
	o	100	40	6.5	6.5	4.3	4.3	1.656	1 SLV	-5134	628148	-8503	1040352
2480	v	96	40	10.4	10.4	4.5	4.5	1.003	17 SLU	46136	602557	46256	604126
	o	100	40	8.1	8.1	4.3	4.3	0.902	1 SLV	-36119	1818625	-32593	1641090
	v	63	40	10.6	10.6	5.1	5.1	1.103	17 SLU	46799	467248	51637	515544

Combinazione rara													
nod	sez	B	H	Af+	Af-	c+	c-	sc	c	N	M	sf	c
504	o	70	40	16.2	16.2	4.6	4.6	-86.1	5 ra	-3.94E04	1.33E06	1543.2	5 ra
	v	78	40	12.6	12.6	4.8	4.8	-44.4	5 ra	-2.60E04	6.50E05	782.3	5 ra
	o	50	40	14.5	14.5	4.7	4.7	-21.8	5 ra	-1.41E04	-2.51E05	172.9	5 ra
553	v	96	40	6.0	6.0	3.4	3.4	0.0	1 ra	2.52E04	-5.63E04	2929.4	5 ra
	o	70	40	16.2	16.2	4.6	4.6	-33.7	5 ra	7.18E03	5.99E05	1723.6	5 ra
	v	96	40	6.0	6.0	3.4	3.4	0.0	1 ra	2.16E03	-9.28E03	4720.4	5 ra
803	o	70	40	16.2	16.2	4.6	4.6	-66.4	5 ra	-4.74E04	-1.00E06	760.4	5 ra
	v	96	40	6.0	6.0	3.4	3.4	-41.3	5 ra	8.90E03	-5.73E05	3512.7	5 ra
	o	100	40	24.4	24.4	4.7	4.7	-64.4	5 ra	-7.80E04	-1.40E06	563.1	5 ra
807	v	96	40	6.0	6.0	3.4	3.4	-6.6	5 ra	-8.22E03	-1.06E05	653.5	5 ra
	o	22	40	0.0	0.0	3.0	3.0	-97.1	5 ra	-1.62E04	-2.42E05	0.0	5 ra
	v	15	40	0.0	0.0	3.0	3.0	-278328000000.0	3 ra	-4.43E03	2.08E05	0.0	5 ra
1632	o	100	40	9.6	9.6	4.8	4.8	-153.8	5 ra	-4.17E04	-2.31E06	5493.6	4 ra
	v	96	40	9.0	9.0	4.5	4.5	-38.6	5 ra	-5.63E03	5.63E05	1674.0	4 ra
	o	100	40	9.6	9.6	4.8	4.8	-148.7	5 ra	-2.38E04	-2.23E06	6133.6	4 ra
1968	v	96	40	9.0	9.0	4.5	4.5	-48.7	5 ra	-1.51E03	7.19E05	2445.0	4 ra
	o	100	40	7.1	7.1	4.4	4.4	-80.1	4 ra	-3.11E04	1.10E06	2645.5	4 ra
	v	74	40	6.3	6.3	4.5	4.5	-76.1	4 ra	9.48E03	8.50E05	5106.4	5 ra
2162	o	100	40	9.2	9.2	4.8	4.8	-117.4	4 ra	-2.33E04	1.73E06	6267.9	5 ra
	v	96	40	8.5	8.5	4.5	4.5	-41.4	5 ra	-3.33E03	5.89E05	2007.6	4 ra
	o	100	40	6.7	6.7	4.4	4.4	-10.2	2 ra	-2.00E04	1.56E05	46.3	5 ra
2480	v	96	40	4.5	4.5	3.4	3.4	-1.5	1 ra	-7.35E01	-1.70E04	2575.7	2 ra
	o	100	40	6.5	6.5	4.3	4.3	-26.8	2 ra	-6.11E03	3.49E05	1172.1	2 ra
	v	96	40	10.4	10.4	4.5	4.5	-10.2	2 ra	-2.37E04	-1.31E05	2966.0	2 ra
2522	o	100	40	8.1	8.1	4.3	4.3	-77.1	2 ra	-4.04E04	1.14E06	2012.3	2 ra
	v	63	40	10.6	10.6	5.1	5.1	-19.2	2 ra	-3.31E04	-1.54E05	2722.7	2 ra

Combinazione frequente													
nod	sez	B	H	Af+	Af-	c+	c-	sc	c	N	M	sf	c
504	o	70	40	16.2	16.2	4.6	4.6	-82.7	4 fr	-3.73E04	1.27E06	1495.4	4 fr
	v	78	40	12.6	12.6	4.8	4.8	-42.8	4 fr	-2.50E04	6.26E05	755.5	4 fr
	o	50	40	14.5	14.5	4.7	4.7	-20.6	4 fr	-1.32E04	-2.38E05	166.3	4 fr
553	v	96	40	6.0	6.0	3.4	3.4	0.0	1 fr	2.52E04	-5.63E04	2753.2	4 fr
	o	70	40	16.2	16.2	4.6	4.6	-32.3	4 fr	6.80E03	5.75E05	1649.3	4 fr
	v	96	40	6.0	6.0	3.4	3.4	0.0	1 fr	2.16E03	-9.28E03	4512.8	4 fr
803	o	70	40	16.2	16.2	4.6	4.6	-63.7	4 fr	-4.55E04	-9.62E05	730.8	4 fr
	v	96	40	6.0	6.0	3.4	3.4	-39.5	4 fr	8.43E03	-5.47E05	3349.0	4 fr
	o	100	40	24.4	24.4	4.7	4.7	-61.8	4 fr	-7.46E04	-1.34E06	542.9	4 fr
807	v	96	40	6.0	6.0	3.4	3.4	-6.3	4 fr	-7.87E03	-1.01E05	622.8	4 fr
	o	22	40	0.0	0.0	3.0	3.0	-93.6	4 fr	-1.55E04	-2.32E05	0.0	4 fr
	v	15	40	0.0	0.0	3.0	3.0	-388609800000.0	0.2 fr	-3.92E03	1.87E05	0.0	4 fr
1632	o	100	40	9.6	9.6	4.8	4.8	-136.0	4 fr	-4.07E04	-2.05E06	4668.5	4 fr
	v	96	40	9.0	9.0	4.5	4.5	-34.0	4 fr	-5.30E03	4.96E05	1455.0	4 fr
	o	100	40	9.6	9.6	4.8	4.8	-132.1	4 fr	-2.33E04	-1.98E06	5324.6	4 fr
1968	v	96	40	9.0	9.0	4.5	4.5	-43.3	4 fr	-1.46E03	6.38E05	2164.8	4 fr
	o	100	40	7.1	7.1	4.4	4.4	-71.7	4 fr	-2.91E04	9.89E05	2302.6	4 fr
	v	74	40	6.3	6.3	4.5	4.5	-68.7	4 fr	8.84E03	7.68E05	4613.3	4 fr
2226	o	100	40	9.2	9.2	4.8	4.8	-105.9	4 fr	-2.17E04	1.56E06	5652.4	4 fr
	v	96	40	8.5	8.5	4.5	4.5	-37.4	4 fr	-3.47E03	5.32E05	1782.9	4 fr
	o	100	40	6.7	6.7	4.4	4.4	-9.6	2 fr	-1.90E04	1.48E05	34.5	4 fr
2380	v	96	40	4.5	4.5	3.4	3.4	-1.5	1 fr	-7.35E01	-1.70E04	2354.8	2 fr
	o	100	40	6.5	6.5	4.3	4.3	-24.8	2 fr	-5.82E03	3.23E05	1071.8	2 fr
	v	96	40	10.4	10.4	4.5	4.5	-9.5	2 fr	-2.23E04	-1.21E05	2759.0	2 fr
2480	o	100	40	8.1	8.1	4.3	4.3	-69.9	2 fr	-3.80E04	1.04E06	1769.6	2 fr
	v	63	40	10.6	10.6	5.1	5.1	-18.0	2 fr	-3.12E04	-1.43E05	2534.0	2 fr

combinazione quasi permanente													
nod	sez	B	H	Af+	Af-	c+	c-	sc	c	N	M	sf	c
504	o	70	40	16.2	16.2	4.6	4.6	-81.6	2 q.	-3.67E04	1.26E06	1480.7	2 q.
	v	78	40	12.6	12.6	4.8	4.8	-42.3	2 q.	-2.47E04	6.19E05	746.6	2 q.
553	o	50	40	14.5	14.5	4.7	4.7	-20.3	2 q.	-1.30E04	-2.34E05	164.3	2 q.
	v	96	40	6.0	6.0	3.4	3.4	0.0	1 q.	2.52E04	-5.63E04	2698.4	2 q.
608	o	70	40	16.2	16.2	4.6	4.6	-31.9	2 q.	6.68E03	5.67E05	1626.4	2 q.
	v	96	40	6.0	6.0	3.4	3.4	0.0	1 q.	2.16E03	-9.28E03	4449.1	2 q.
803	o	70	40	16.2	16.2	4.6	4.6	-62.9	2 q.	-4.49E04	-9.49E05	721.7	2 q.
	v	96	40	6.0	6.0	3.4	3.4	-38.9	2 q.	8.28E03	-5.39E05	3297.7	2 q.
807	o	100	40	24.4	24.4	4.7	4.7	-61.0	2 q.	-7.35E04	-1.32E06	536.7	2 q.
	v	96	40	6.0	6.0	3.4	3.4	-6.2	2 q.	-7.77E03	-9.96E04	613.1	2 q.
1229	o	22	40	0.0	0.0	3.0	3.0	-92.5	2 q.	-1.53E04	-2.29E05	0.0	2 q.
	v	15	40	0.0	0.0	3.0	3.0	-449296800000.0	0.2 q.	-4.33E03	2.04E05	0.0	2 q.
1632	o	100	40	9.6	9.6	4.8	4.8	-130.2	2 q.	-4.05E04	-1.96E06	4394.1	2 q.
	v	96	40	9.0	9.0	4.5	4.5	-32.5	2 q.	-5.20E03	4.74E05	1382.0	2 q.
1968	o	100	40	9.6	9.6	4.8	4.8	-126.6	2 q.	-2.33E04	-1.90E06	5055.1	2 q.
	v	96	40	9.0	9.0	4.5	4.5	-41.5	2 q.	-1.45E03	6.12E05	2071.4	2 q.
2162	o	100	40	7.1	7.1	4.4	4.4	-68.9	2 q.	-2.84E04	9.51E05	2188.4	2 q.
	v	74	40	6.3	6.3	4.5	4.5	-66.2	2 q.	8.62E03	7.40E05	4457.4	2 q.
2226	o	100	40	9.2	9.2	4.8	4.8	-102.1	2 q.	-2.12E04	1.50E06	5455.5	2 q.
	v	96	40	9.0	9.0	4.5	4.5	-36.1	2 q.	-3.55E03	5.13E05	1708.0	2 q.
2380	o	100	40	6.7	6.7	4.4	4.4	-9.5	1 q.	-1.88E04	1.45E05	31.9	2 q.
	v	96	40	4.5	4.5	3.4	3.4	-1.5	1 q.	-7.35E01	-1.70E04	2299.6	1 q.
2480	o	100	40	6.5	6.5	4.3	4.3	-24.3	1 q.	-5.75E03	3.16E05	1046.7	1 q.
	v	96	40	10.4	10.4	4.5	4.5	-9.3	1 q.	-2.20E04	-1.19E05	2707.3	1 q.
2522	o	100	40	8.1	8.1	4.3	4.3	-68.1	1 q.	-3.74E04	1.02E06	1709.0	1 q.
	v	63	40	10.6	10.6	5.1	5.1	-17.7	1 q.	-3.07E04	-1.40E05	2486.8	1 q.

[illegible]

Armutare verticali											
X	Y	ø	X	Y	ø	X	Y	ø	X	Y	ø
-693.8	-15.7	10	-678.8	-15.7	10	-663.8	-15.7	10	-648.8	-15.7	10
-618.8	-15.7	10	-603.8	-15.7	10	-588.8	-15.7	10	-573.8	-15.7	10
-543.8	-15.7	10	-528.8	-15.7	10	-513.8	-15.7	10	-498.8	-15.7	10
-468.8	-15.7	10	-273.8	-15.7	10	-258.8	-15.7	10	-243.8	-15.7	10
-213.8	-15.7	10	-198.8	-15.7	10	-183.8	-15.7	10	-168.8	-15.7	10
-138.8	-15.7	10	-123.8	-15.7	10	-108.8	-15.7	10	-93.8	-15.7	10
-68.8	-15.7	10	-48.8	-15.7	10	-693.8	-15.7	10	-678.8	-15.7	10
-648.8	15.7	10	-633.8	15.7	10	-618.8	15.7	10	-603.8	15.7	10
-573.8	15.7	10	-558.8	15.7	10	-543.8	15.7	10	-528.8	15.7	10
-498.8	15.7	10	-483.8	15.7	10	-468.8	15.7	10	-273.8	15.7	10
-243.8	15.7	10	-228.8	15.7	10	-213.8	15.7	10	-198.8	15.7	10
-168.8	15.7	10	-153.8	15.7	10	-138.8	15.7	10	-123.8	15.7	10
-93.8	15.7	10	-78.8	15.7	10	-63.8	15.7	10	-48.8	15.7	10
-279.8	15.4	16	-491.1	-14.0	8	-491.1	14.0	8	-471.1	-14.0	8
-451.1	-14.0	8	-451.1	14.0	8	-431.1	-14.0	8	-431.1	14.0	8
-411.1	-14.0	8	-391.1	-14.0	8	-391.1	14.0	8	-371.1	-14.0	8
-351.1	-14.0	8	-331.1	-14.0	8	-331.1	14.0	8	-311.1	-14.0	8
-311.1	-14.0	8	-291.1	-14.0	8	-291.1	14.0	8	-271.1	-14.0	8
-251.1	-14.0	8	-251.1	14.0	8	-231.1	-14.0	8	-231.1	14.0	8
-211.1	-14.0	8	-191.1	-14.0	8	-191.1	14.0	8			

Ammature verticali																	
X	Y	ø	X	Y	ø	X	Y	ø	X	Y	ø	X	Y	ø	X	Y	ø
-693.8	-15.7	10	-678.8	-15.7	10	-663.8	-15.7	10	-648.8	-15.7	10	-633.8	-15.7	10	-618.8	-15.7	10
-618.8	-15.7	10	-603.8	-15.7	10	-588.8	-15.7	10	-573.8	-15.7	10	-558.8	-15.7	10	-543.8	-15.7	10
-543.8	-15.7	10	-528.8	-15.7	10	-513.8	-15.7	10	-498.8	-15.7	10	-483.8	-15.7	10	-468.8	-15.7	10
-468.8	-15.7	10	-273.8	-15.7	10	-258.8	-15.7	10	-243.8	-15.7	10	-228.8	-15.7	10	-213.8	-15.7	10
-213.8	-15.7	10	-198.8	-15.7	10	-183.8	-15.7	10	-168.8	-15.7	10	-153.8	-15.7	10	-138.8	-15.7	10
-138.8	-15.7	10	-123.8	-15.7	10	-108.8	-15.7	10	-93.8	-15.7	10	-78.8	-15.7	10	-63.8	-15.7	10
-63.8	-15.7	10	-48.8	-15.7	10	-693.8	15.7	10	-678.8	15.7	10	-663.8	15.7	10	-648.8	15.7	10
-648.8	15.7	10	-633.8	15.7	10	-618.8	15.7	10	-603.8	15.7	10	-588.8	15.7	10	-573.8	15.7	10
-573.8	15.7	10	-558.8	15.7	10	-543.8	15.7	10	-528.8	15.7	10	-513.8	15.7	10	-498.8	15.7	10
-498.8	15.7	10	-483.8	15.7	10	-468.8	15.7	10	-273.8	15.7	10	-258.8	15.7	10	-243.8	15.7	10
-243.8	15.7	10	-228.8	15.7	10	-213.8	15.7	10	-198.8	15.7	10	-183.8	15.7	10	-168.8	15.7	10
-168.8	15.7	10	-153.8	15.7	10	-138.8	15.7	10	-123.8	15.7	10	-108.8	15.7	10	-93.8	15.7	10
-93.8	15.7	10	-78.8	15.7	10	-63.8	15.7	10	-48.8	15.7	10	-279.8	-15.4	16	-279.8	-15.4	16

Armuten verticali															
X	Y	ø	X	Y	ø	X	Y	ø	X	Y	ø	X	Y	ø	X
-693.8	-15.7	10	-678.8	-15.7	10	-663.8	-15.7	10	-648.8	-15.7	10	-633.8	-15.7	10	-618.8
-618.8	-15.7	10	-603.8	-15.7	10	-588.8	-15.7	10	-573.8	-15.7	10	-558.8	-15.7	10	-543.8
-543.8	-15.7	10	-528.8	-15.7	10	-513.8	-15.7	10	-498.8	-15.7	10	-483.8	-15.7	10	-468.8
-468.8	-15.7	10	-453.8	-15.7	10	-438.8	-15.7	10	-423.8	-15.7	10	-408.8	-15.7	10	-393.8
-393.8	-15.7	10	-378.8	-15.7	10	-363.8	-15.7	10	-348.8	-15.7	10	-333.8	-15.7	10	-318.8
-318.8	-15.7	10	-303.8	-15.7	10	-288.8	-15.7	10	-273.8	-15.7	10	-258.8	-15.7	10	-243.8
-243.8	-15.7	10	-228.8	-15.7	10	-213.8	-15.7	10	-198.8	-15.7	10	-183.8	-15.7	10	-168.8
-168.8	-15.7	10	-153.8	-15.7	10	-138.8	-15.7	10	-123.8	-15.7	10	-108.8	-15.7	10	-93.8
-93.8	-15.7	10	-78.8	-15.7	10	-63.8	-15.7	10	-48.8	-15.7	10	-33.8	-15.7	10	-18.8
-18.8	-15.7	10	-663.8	-15.7	10	-648.8	-15.7	10	-633.8	-15.7	10	-618.8	-15.7	10	-603.8
-603.8	-15.7	10	-588.8	-15.7	10	-573.8	-15.7	10	-558.8	-15.7	10	-543.8	-15.7	10	-528.8
-528.8	-15.7	10	-513.8	-15.7	10	-498.8	-15.7	10	-483.8	-15.7	10	-468.8	-15.7	10	-453.8
-453.8	-15.7	10	-438.8	-15.7	10	-423.8	-15.7	10	-408.8	-15.7	10	-393.8	-15.7	10	-378.8
-378.8	-15.7	10	-363.8	-15.7	10	-348.8	-15.7	10	-333.8	-15.7	10	-318.8	-15.7	10	-303.8
-303.8	-15.7	10	-288.8	-15.7	10	-273.8	-15.7	10	-258.8	-15.7	10	-243.8	-15.7	10	-228.8
-228.8	-15.7	10	-213.8	-15.7	10	-198.8	-15.7	10	-183.8	-15.7	10	-168.8	-15.7	10	-153.8
-153.8	-15.7	10	-138.8	-15.7	10	-123.8	-15.7	10	-108.8	-15.7	10	-93.8	-15.7	10	-78.8
-78.8	-15.7	10	-63.8	-15.7	10	-48.8	-15.7	10	-33.8	-15.7	10	-18.8	-15.7	10	-3.8
-3.8	-15.4	16	-279.8	-15.4	16	-422.2	-14.0	8	-422.2	-14.0	8	-402.2	-14.0	8	-402.2
-402.2	-14.0	8	-382.2	-14.0	8	-382.2	-14.0	8	-362.2	-14.0	8	-362.2	-14.0	8	-342.2
-342.2	-14.0	8	-342.2	-14.0	8	-322.2	-14.0	8	-322.2	-14.0	8	-302.2	-14.0	8	-302.2
-302.2	-14.0	8	-282.2	-14.0	8	-282.2	-14.0	8	-262.2	-14.0	8	-262.2	-14.0	8	-242.2
-242.2	-14.0	8	-242.2	-14.0	8	-222.2	-14.0	8	-222.2	-14.0	8	-202.2	-14.0	8	-202.2
-202.2	-14.0	8	-182.2	-14.0	8	-182.2	-14.0	8	-162.2	-14.0	8	-162.2	-14.0	8	-142.2
-142.2	-14.0	8	-142.2	-14.0	8	-122.2	-14.0	8	-122.2	-14.0	8	-102.2	-14.0	8	-102.2
-102.2	-14.0	8	-102.2	-14.0	8	-82.2	-14.0	8	-82.2	-14.0	8	-62.2	-14.0	8	-62.2
-62.2	-14.0	8	-62.2	-14.0	8	-42.2	-14.0	8	-42.2	-14.0	8	-22.2	-14.0	8	-22.2
-22.2	-14.0	8	-22.2	-14.0	8	-2.2	-14.0	8	-2.2	-14.0	8	-2.2	-14.0	8</	

Ingresso-Principale

Sezione a quota 1354

Coordinate dei vertici

X	Y
-696.8	-20.0
-696.8	20.0
-376.8	20.0
-376.8	-20.0
-281.8	-20.0
-281.8	20.0
-42.0	20.0
-42.0	-20.0

Armature verticali

X	Y	Ø	X	Y	Ø	X	Y	Ø	X	Y	Ø	X	Y	Ø
-693.8	-15.7	10	-678.8	-15.7	10	-663.8	-15.7	10	-648.8	-15.7	10	-633.8	-15.7	10
-618.8	-15.7	10	-603.8	-15.7	10	-588.8	-15.7	10	-573.8	-15.7	10	-558.8	-15.7	10
-543.8	-15.7	10	-528.8	-15.7	10	-513.8	-15.7	10	-498.8	-15.7	10	-483.8	-15.7	10
-468.8	-15.7	10	-453.8	-15.7	10	-438.8	-15.7	10	-423.8	-15.7	10	-408.8	-15.7	10
-393.8	-15.7	10	-378.8	-15.7	10	-363.8	-15.7	10	-348.8	-15.7	10	-333.8	-15.7	10
-318.8	-15.7	10	-303.8	-15.7	10	-288.8	-15.7	10	-273.8	-15.7	10	-258.8	-15.7	10
-243.8	-15.7	10	-228.8	-15.7	10	-213.8	-15.7	10	-198.8	-15.7	10	-183.8	-15.7	10
-168.8	-15.7	10	-153.8	-15.7	10	-138.8	-15.7	10	-123.8	-15.7	10	-108.8	-15.7	10
-93.8	-15.7	10	-78.8	-15.7	10	-63.8	-15.7	10	-48.8	-15.7	10	-380.8	-15.4	16
-380.8	15.4	16	-279.8	-15.4	16	-279.8	15.4	16	-422.2	-14.0	8	-422.2	14.0	8
-402.2	-14.0	8	-402.2	14.0	8	-382.2	-14.0	8	-382.2	14.0	8	-362.2	-14.0	8
-362.2	14.0	8	-342.2	-14.0	8	-342.2	14.0	8	-322.2	-14.0	8	-322.2	14.0	8
-302.2	-14.0	8	-302.2	14.0	8	-282.2	-14.0	8	-282.2	14.0	8	-262.2	-14.0	8
-262.2	14.0	8	-242.2	-14.0	8	-242.2	14.0	8	-222.2	-14.0	8	-222.2	14.0	8
-202.2	-14.0	8	-202.2	14.0	8	-182.2	-14.0	8	-182.2	14.0	8			

Sezione a quota 1515

Coordinate dei vertici

X	Y
-696.8	-20.0
-696.8	20.0
-376.8	20.0
-376.8	-20.0
-281.8	-20.0
-281.8	20.0
-42.0	20.0
-42.0	-20.0

Armature verticali

X	Y	Ø	X	Y	Ø	X	Y	Ø	X	Y	Ø	X	Y	Ø
-693.8	-15.7	10	-678.8	-15.7	10	-663.8	-15.7	10	-648.8	-15.7	10	-633.8	-15.7	10
-618.8	-15.7	10	-603.8	-15.7	10	-588.8	-15.7	10	-573.8	-15.7	10	-558.8	-15.7	10
-543.8	-15.7	10	-528.8	-15.7	10	-513.8	-15.7	10	-498.8	-15.7	10	-483.8	-15.7	10
-468.8	-15.7	10	-453.8	-15.7	10	-438.8	-15.7	10	-423.8	-15.7	10	-408.8	-15.7	10
-393.8	-15.7	10	-378.8	-15.7	10	-363.8	-15.7	10	-348.8	-15.7	10	-333.8	-15.7	10
-318.8	-15.7	10	-303.8	-15.7	10	-288.8	-15.7	10	-273.8	-15.7	10	-258.8	-15.7	10
-243.8	-15.7	10	-228.8	-15.7	10	-213.8	-15.7	10	-198.8	-15.7	10	-183.8	-15.7	10
-168.8	-15.7	10	-153.8	-15.7	10	-138.8	-15.7	10	-123.8	-15.7	10	-108.8	-15.7	10
-93.8	-15.7	10	-78.8	-15.7	10	-63.8	-15.7	10	-48.8	-15.7	10	-380.8	-15.4	16
-380.8	15.4	16	-279.8	-15.4	16	-279.8	15.4	16						

Sezione a quota 1676

Coordinate dei vertici

X	Y
-696.8	-20.0
-696.8	20.0
-42.0	20.0
-42.0	-20.0

Armature verticali

X	Y	Ø	X	Y	Ø	X	Y	Ø	X	Y	Ø	X	Y	Ø
-693.8	-15.7	10	-678.8	-15.7	10	-663.8	-15.7	10	-648.8	-15.7	10	-633.8	-15.7	10
-618.8	-15.7	10	-603.8	-15.7	10	-588.8	-15.7	10	-573.8	-15.7	10	-558.8	-15.7	10
-543.8	-15.7	10	-528.8	-15.7	10	-513.8	-15.7	10	-498.8	-15.7	10	-483.8	-15.7	10
-468.8	-15.7	10	-453.8	-15.7	10	-438.8	-15.7	10	-423.8	-15.7	10	-408.8	-15.7	10
-393.8	-15.7	10	-378.8	-15.7	10	-363.8	-15.7	10	-348.8	-15.7	10	-333.8	-15.7	10
-318.8	-15.7	10	-303.8	-15.7	10	-288.8	-15.7	10	-273.8	-15.7	10	-258.8	-15.7	10
-243.8	-15.7	10	-228.8	-15.7	10	-213.8	-15.7	10	-198.8	-15.7	10	-183.8	-15.7	10
-168.8	-15.7	10	-153.8	-15.7	10	-138.8	-15.7	10	-123.8	-15.7	10	-108.8	-15.7	10
-93.8	-15.7	10	-78.8	-15.7	10	-63.8	-15.7	10	-48.8	-15.7	10	-693.8	15.7	10
-678.8	15.7	10	-663.8	15.7	10	-648.8	15.7	10	-633.8	15.7	10	-618.8	15.7	10
-603.8	15.7	10	-588.8	15.7	10	-573.8	15.7	10	-558.8	15.7	10	-543.8	15.7	10
-528.8	15.7	10	-513.8	15.7	10	-498.8	15.7	10	-483.8	15.7	10	-468.8	15.7	10
-453.8	15.7	10	-438.8	15.7	10	-423.8	15.7	10	-408.8	15.7	10	-393.8	15.7	10
-378.8	15.7	10	-363.8	15.7	10	-348.8	15.7	10	-333.8	15.7	10	-318.8	15.7	10
-303.8	15.7	10	-288.8	15.7	10	-273.8	15.7	10	-258.8	15.7	10	-243.8	15.7	10
-228.8	15.7	10	-213.8	15.7	10	-198.8	15.7	10	-183.8	15.7	10	-168.8	15.7	10
-153.8	15.7	10	-138.8	15.7	10	-123.8	15.7	10	-108.8	15.7	10	-93.8	15.7	10
-78.8	15.7	10	-63.8	15.7	10	-48.8	15.7	10						

Sezione a quota 1706

Coordinate dei vertici

X	Y
-696.8	-20.0
-696.8	20.0
-42.0	20.0
-42.0	-20.0

Armature verticali

X	Y	Ø	X	Y	Ø	X	Y	Ø	X	Y	Ø	X	Y	Ø
-693.8	-15.7	10	-678.8	-15.7	10	-663.8	-15.7	10	-648.8	-15.7	10	-633.8	-15.7	10
-618.8	-15.7	10	-603.8	-15.7	10	-588.8	-15.7	10	-573.8	-15.7	10	-558.8	-15.7	10
-543.8	-15.7	10	-528.8	-15.7	10	-513.8	-15.7	10	-498.8	-15.7	10	-483.8	-15.7	10
-468.8	-15.7	10	-453.8	-15.7	10	-438.8	-15.7	10	-423.8	-15.7	10	-408.8	-15.7	10
-393.8	-15.7	10	-378.8	-15.7	10	-363.8	-15.7	10	-348.8	-15.7	10	-333.8	-15.7	10
-318.8	-15.7	10	-303.8	-15.7	10	-288.8	-15.7	10	-273.8	-15.7	10	-258.8	-15.7	10
-243.8	-15.7	10	-228.8	-15.7	10	-213.8	-15.7	10	-198.8	-15.7	10	-183.8	-15.7	10
-168.8	-15.7	10	-153.8	-15.7	10	-138.8	-15.7	10	-123.8	-15.7	10	-108.8	-15.7	10
-93.8	-15.7	10	-78.8	-15.7	10	-63.8	-15.7	10	-48.8	-15.7	10	-693.8	15.7	10
-678.8	15.7	10	-663.8	15.7	10	-648.8	15.7	10	-633.8	15.7	10	-618.8	15.7	10
-603.8	15.7	10	-588.8	15.7	10	-573.8	15.7	10	-558.8	15.7	10	-543.8	15.7	10
-528.8	15.7	10	-513.8	15.7	10	-498.8	15.7	10	-483.8	15.7	10	-468.8	15.7	10
-453.8	15.7	10	-438.8	15.7	10	-423.8	15.7	10	-408.8	15.7	10	-393.8	15.7	10
-378.8	15.7	10	-363.8	15.7	10	-348.8	15.7	10	-333.8	15.7	10	-318.8	15.7	10
-303.8	15.7	10	-288.8	15.7	10	-273.8	15.7	10	-258.8	15.7	10	-243.8	15.7	10
-228.8	15.7	10	-213.8	15.7	10	-198.8	15.7	10	-183.8	15.7	10	-168.8	15.7	10
-153.8	15.7	10	-138.8	15.7	10	-123.8	15.7	10	-108.8	15.7	10	-93.8	15.7	10
-78.8	15.7	10	-63.8	15.7	10	-48.8	15.7	10	-440.2	-15.8	8	-440.2	15.8	8
-425.2	-15.8	8	-425.2	15.8	8	-410.2	-15.8	8	-410.2	15.8	8	-395.2	-15.8	8
-395.2	15.8	8	-380.2	-15.8	8	-380.2	15.8	8	-365.2	-15.8	8	-365.2	15.8	8
-350.2	-15.8	8	-350.2	15.8	8	-335.2	-15.8	8	-335.2	15.8	8	-320.2	-15.8	8
-320.2	15.8	8	-305.2	-15.8	8	-305.2	15.8	8	-290.2	-15.8	8	-290.2	15.8	8
-275.2	-15.8	8	-275.2	15.8	8	-260.2	-15.8	8	-260.2	15.8	8	-245.2	-15.8	8
-245.2	15.8	8	-230.2	-15.8	8	-230.2	15.8	8	-215.2	-15.8	8	-215.2	15.8	8
-200.2	-15.8	8	-200.2	15.8	8	-185.2	-15.8	8	-185.2	15.8	8	-170.2	-15.8	8
-170.2	15.8	8	-155.2	-15.8	8	-155.2	15.8	8						

Sezione a quota 1715
Coordinate dei vertici
X Y
-696.8 -20.0
-696.8 20.0
-42.0 20.0
-42.0 -20.0

Armature verticali											
X	Y	ø	X	Y	ø	X	Y	ø	X	Y	ø
-693.8	-15.7	10	-678.8	-15.7	10	-663.8	-15.7	10	-648.8	-15.7	10
-618.8	-15.7	10	-603.8	-15.7	10	-588.8	-15.7	10	-573.8	-15.7	10
-543.8	-15.7	10	-528.8	-15.7	10	-513.8	-15.7	10	-498.8	-15.7	10
-468.8	-15.7	10	-453.8	-15.7	10	-438.8	-15.7	10	-423.8	-15.7	10
-393.8	-15.7	10	-378.8	-15.7	10	-363.8	-15.7	10	-348.8	-15.7	10
-318.8	-15.7	10	-303.8	-15.7	10	-288.8	-15.7	10	-273.8	-15.7	10
-243.8	-15.7	10	-228.8	-15.7	10	-213.8	-15.7	10	-198.8	-15.7	10
-168.8	-15.7	10	-153.8	-15.7	10	-138.8	-15.7	10	-123.8	-15.7	10
-93.8	-15.7	10	-78.8	-15.7	10	-63.8	-15.7	10	-48.8	-15.7	10
-678.8	15.7	10	-663.8	15.7	10	-648.8	15.7	10	-633.8	15.7	10
-603.8	15.7	10	-588.8	15.7	10	-573.8	15.7	10	-558.8	15.7	10
-528.8	15.7	10	-513.8	15.7	10	-498.8	15.7	10	-483.8	15.7	10
-453.8	15.7	10	-438.8	15.7	10	-423.8	15.7	10	-408.8	15.7	10
-378.8	15.7	10	-363.8	15.7	10	-348.8	15.7	10	-333.8	15.7	10
-303.8	15.7	10	-288.8	15.7	10	-273.8	15.7	10	-258.8	15.7	10
-228.8	15.7	10	-213.8	15.7	10	-198.8	15.7	10	-183.8	15.7	10
-153.8	15.7	10	-138.8	15.7	10	-123.8	15.7	10	-108.8	15.7	10
-78.8	15.7	10	-63.8	15.7	10	-48.8	15.7	10	-440.2	-15.8	8
-425.2	-15.8	8	-425.2	15.8	8	-410.2	-15.8	8	-410.2	15.8	8
-395.2	15.8	8	-380.2	-15.8	8	-380.2	15.8	8	-365.2	-15.8	8
-350.2	-15.8	8	-350.2	15.8	8	-335.2	-15.8	8	-335.2	15.8	8
-320.2	15.8	8	-305.2	-15.8	8	-305.2	15.8	8	-290.2	-15.8	8
-275.2	-15.8	8	-275.2	15.8	8	-260.2	-15.8	8	-260.2	15.8	8
-245.2	15.8	8	-230.2	-15.8	8	-230.2	15.8	8	-215.2	-15.8	8
-200.2	-15.8	8	-200.2	15.8	8	-185.2	-15.8	8	-185.2	15.8	8
-170.2	15.8	8	-155.2	-15.8	8	-155.2	15.8	8			

Sezione a quota 1724
Coordinate dei vertici
X Y
-696.8 -20.0
-696.8 20.0
-42.0 20.0
-42.0 -20.0

Armature verticali											
X	Y	ø	X	Y	ø	X	Y	ø	X	Y	ø
-693.8	-15.7	10	-678.8	-15.7	10	-663.8	-15.7	10	-648.8	-15.7	10
-618.8	-15.7	10	-603.8	-15.7	10	-588.8	-15.7	10	-573.8	-15.7	10
-543.8	-15.7	10	-528.8	-15.7	10	-513.8	-15.7	10	-498.8	-15.7	10
-468.8	-15.7	10	-453.8	-15.7	10	-438.8	-15.7	10	-423.8	-15.7	10
-393.8	-15.7	10	-378.8	-15.7	10	-363.8	-15.7	10	-348.8	-15.7	10
-318.8	-15.7	10	-303.8	-15.7	10	-288.8	-15.7	10	-273.8	-15.7	10
-243.8	-15.7	10	-228.8	-15.7	10	-213.8	-15.7	10	-198.8	-15.7	10
-168.8	-15.7	10	-153.8	-15.7	10	-138.8	-15.7	10	-123.8	-15.7	10
-93.8	-15.7	10	-78.8	-15.7	10	-63.8	-15.7	10	-48.8	-15.7	10
-678.8	15.7	10	-663.8	15.7	10	-648.8	15.7	10	-633.8	15.7	10
-603.8	15.7	10	-588.8	15.7	10	-573.8	15.7	10	-558.8	15.7	10
-528.8	15.7	10	-513.8	15.7	10	-498.8	15.7	10	-483.8	15.7	10
-453.8	15.7	10	-438.8	15.7	10	-423.8	15.7	10	-408.8	15.7	10
-378.8	15.7	10	-363.8	15.7	10	-348.8	15.7	10	-333.8	15.7	10
-303.8	15.7	10	-288.8	15.7	10	-273.8	15.7	10	-258.8	15.7	10
-228.8	15.7	10	-213.8	15.7	10	-198.8	15.7	10	-183.8	15.7	10
-153.8	15.7	10	-138.8	15.7	10	-123.8	15.7	10	-108.8	15.7	10
-78.8	15.7	10	-63.8	15.7	10	-48.8	15.7	10	-440.2	-15.8	8
-425.2	-15.8	8	-425.2	15.8	8	-410.2	-15.8	8	-410.2	15.8	8
-395.2	15.8	8	-380.2	-15.8	8	-380.2	15.8	8	-365.2	-15.8	8
-350.2	-15.8	8	-350.2	15.8	8	-335.2	-15.8	8	-335.2	15.8	8
-320.2	15.8	8	-305.2	-15.8	8	-305.2	15.8	8	-290.2	-15.8	8
-275.2	-15.8	8	-275.2	15.8	8	-260.2	-15.8	8	-260.2	15.8	8
-245.2	15.8	8	-230.2	-15.8	8	-230.2	15.8	8	-215.2	-15.8	8
-200.2	-15.8	8	-200.2	15.8	8	-185.2	-15.8	8	-185.2	15.8	8
-170.2	15.8	8	-155.2	-15.8	8	-155.2	15.8	8			

fcd fctcd Hcr q.Hcr hw Lw n.p. hs
141 12 712 350 2116 655 6 350

Verifica a pressoflessione											
quota	Mxd	Myd	Ned	Ngrav.	NReale	c.s. comb					
-302	-988171	15064640	-131665	-131665	-131665	15.0274	20	SLU			
-302	-717379	10033880	-17639	-89269	-62273	13.8886	14	SLV			
-166	1378098	-14496260	-245241	-245241	-245241	10.7039	20	SLU			
-166	1076119	-32039910	-65193	-166628	-148507	7.4055	12	SLV			
-30	323702	-18479730	-256405	-256405	-256405	12.9157	20	SLU			
-30	-1078492	-45474710	-22734	-173298	-109383	4.8497	16	SLV			
0	-466724	-37517210	-312488	-312488	-312488	7.0434	20	SLU			
0	-2866430	-70347780	-59179	-213416	-165888	2.3850	16	SLV			
263	-1012133	-26025000	-329040	-329040	-329040	6.8043	20	SLU			
263	-1344920	-50583980	-85609	-223534	-197376	4.6985	16	SLV			
525	-1317333	-19040660	-328525	-328525	-328525	7.9304	20	SLU			
525	-307019	-30970880	-346514	-221274	-235877	8.1014	12	SLV			
555	1797839	-11324730	-267708	-267708	-267708	6.4615	20	SLU			
555	1033129	-31364790	-93640	-183733	-185506	4.8875	16	SLV			
782	-46992	-11029470	-253638	-253638	-253638	9.3078	20	SLU			
782	367150	-66680500	-107171	-172757	-193550	1.6527	16	SLV			
1008	-1797851	-11992390	-231392	-231392	-231392	8.8769	20	SLU			
1008	-757298	-49331800	-88291	-155814	-166198	3.4073	12	SLV			
1038	1062181	-5686191	-169725	-169725	-169725	10.7550	20	SLU			
1038	448589	-43831860	-71003	-117360	-129683	3.0500	12	SLV			
1181	61859	-4142096	-165501	-165501	-165501	14.2646	20	SLU			
1181	-13933	-32762430	-68458	-113635	-125275	4.2965	12	SLV			
1324	-739236	-3645568	-156331	-156331	-156331	18.0228	20	SLU			
1324	-861700	6944379	-33306	-106326	-86469	9.9370	1	SLV			
1354	743809	-2084172	-85976	-85976	-85976	21.6641	20	SLU			
1354	473807	-22786150	-35896	-62027	-66910	6.2243	12	SLV			
1515	-158310	-2841040	-72976	-72976	-72976	36.4811	17	SLU			
1515	91333	-17589000	-25860	-50996	-51358	7.3506	8	SLV			
1676	-499427	-2675215	-57734	-57734	-57734	33.2561	17	SLU			
1676	-1017527	-11036940	-20632	-39220	-40242	4.7426	1	SLV			
1706	-1153490	-8088614	-41960	-41960	-41960	7.4087	17	SLU			
1706	-1459246	-11693460	-15484	-28624	-29796	3.8078	1	SLV			
1715	-1164763	-8076397	-41960	-41960	-41960	7.3261	17	SLU			
1715	-1443565	-11910040	-15484	-28624	-29796	3.8294	1	SLV			
1724	-1176036	-8064180	-37874	-37874	-37874	6.8602	17	SLU			
1724	-1425490	-12126630	-14021	-25481	-26761	3.8051	1	SLV			

Controllo dello sforzo normale massimo											
quota	Ned	Nmax(7.4.4.5.2.1)	c.s. comb								
-302	-164701		-1478298	8.9756	2	SLV					
-166	-296952		-1478298	4.9782	2	SLV					
-30	-326270		-1478298	4.5309	2	SLV					
0	-373943		-1071930	2.8666	2	SLV					
263	-366076		-1071930	2.9282	2	SLV					
525	-351024		-1478298	4.2114	8	SLV					
555	-291524		-1074188	3.6847	8	SLV					
782	-258541		-1074188	4.1548	10	SLV					
1008	-236322		-1478298	6.2554	10	SLV					
1038	-175790		-1074188	6.1106	10	SLV					
1181	-184555		-1074188	5.8204	13	SLV					
1324	-178761		-1478298	8.2697	15	SLV					
1354	-97234		-1263826	12.9978	10	SLV					
1515	-83231		-1263826	15.1845	14	SLV					

Ingresso-Principale

1676	-57103	-1478298	25.8882	13	SLV
1706	-44108	-1478298	33.5154	1	SLV
1715	-44108	-1478298	33.5154	1	SLV
1724	-39501	-1478298	37.4240	1	SLV

Verifica compressione del diagonale

quota	epsilon	VEd	VrEd comb
-302	1.00	14587	761663 9 SLU
-302	1.50	88518	741937 16 SLV
-166	1.00	22974	781341 9 SLU
-166	1.50	110038	746899 16 SLV
-30	1.00	34605	790185 19 SLU
-30	1.50	123493	743696 16 SLV
0	1.00	-5943	581771 14 SLU
0	1.50	-59420	554906 12 SLV
263	1.00	-3639	583646 14 SLU
263	1.50	-55418	557164 12 SLV
525	1.00	-3398	785765 14 SLU
525	1.50	-55155	764197 12 SLV
555	1.00	-1386	583697 17 SLU
555	1.50	-45813	558201 12 SLV
782	1.00	-724	580761 17 SLU
782	1.50	-45665	557310 12 SLV
1008	1.00	-672	778423 17 SLU
1008	1.50	-45903	756807 12 SLV
1038	1.00	-1387	567753 17 SLU
1038	1.50	-27705	551294 12 SLV
1181	1.00	-1034	566658 17 SLU
1181	1.50	-27448	550785 12 SLV
1324	1.00	-1015	766723 17 SLU
1324	1.50	-26947	751955 12 SLV
1354	1.00	-1703	649590 17 SLU
1354	1.50	-17899	639092 12 SLV
1515	1.00	-584	644563 7 SLU
1515	1.50	-13342	637085 8 SLV
1676	1.00	4000	750658 18 SLU
1676	1.50	14042	742918 5 SLV
1706	1.00	-1472	746575 7 SLU
1706	1.50	-10655	741867 12 SLV
1715	1.00	-1472	746575 7 SLU
1715	1.50	-10655	741867 12 SLV
1724	1.00	-1472	745946 7 SLU
1724	1.50	-9897	741507 12 SLV

Verifica trazione del diagonale

quota	At	roh	rov	VEd	NEd	VRsd comb
-302	182.2	0.0052	0.0070	14587	-112568	429373 9 SLU
-302	182.2	0.0052	0.0070	88518	-58576	429373 16 SLV
-166	182.2	0.0021	0.0070	22974	-210962	171749 9 SLU
-166	182.2	0.0021	0.0070	110038	-122064	171749 16 SLV
-30	182.2	0.0032	0.0070	34605	-255179	263750 19 SLU
-30	182.2	0.0032	0.0070	123493	-109383	263750 16 SLV
0	161.8	0.0047	0.0085	-5943	-229030	282155 14 SLU
0	161.8	0.0047	0.0085	-59420	-201415	282155 12 SLV
263	161.8	0.0031	0.0085	-3639	-238407	186806 14 SLU
263	161.8	0.0031	0.0085	-55418	-217762	186806 12 SLV
525	89.2	0.0066	0.0034	-3398	-233080	539767 14 SLU
525	89.2	0.0066	0.0034	-55155	-235877	539767 12 SLV
555	70.4	0.0031	0.0037	-1386	-233016	187199 17 SLU
555	70.4	0.0031	0.0037	-45813	-197400	187199 12 SLV
782	54.3	0.0021	0.0029	-724	-218334	124800 17 SLU
782	54.3	0.0021	0.0029	-45665	-187459	124800 12 SLV
1008	89.2	0.0050	0.0034	-672	-196368	408914 17 SLU
1008	89.2	0.0050	0.0034	-45903	-166198	408914 12 SLV
1038	70.4	0.0042	0.0037	-1387	-153297	249599 17 SLU
1038	70.4	0.0042	0.0037	-27705	-129683	249599 12 SLV
1181	54.3	0.0021	0.0029	-1034	-147819	124800 17 SLU
1181	54.3	0.0021	0.0029	-27448	-125275	124800 12 SLV
1324	90.2	0.0082	0.0034	-1015	-137868	673698 17 SLU
1324	90.2	0.0082	0.0034	-26947	-117193	673698 12 SLV
1354	79.2	0.0031	0.0035	-1703	-88384	220248 17 SLU
1354	79.2	0.0031	0.0035	-17899	-66910	220248 12 SLV
1515	66.2	0.0021	0.0030	-584	-63251	146832 7 SLU
1515	66.2	0.0021	0.0030	-13342	-51358	146832 8 SLV
1676	69.1	0.0034	0.0026	4000	-57543	279093 18 SLU
1676	69.1	0.0034	0.0026	14042	-38453	279093 5 SLV
1706	89.2	0.0068	0.0034	-1472	-37128	558185 7 SLU
1706	89.2	0.0068	0.0034	-10655	-27901	558185 12 SLV
1715	89.2	0.0069	0.0034	-1472	-37128	568516 7 SLU
1715	89.2	0.0069	0.0034	-10655	-27901	568516 12 SLV
1724	89.2	0.0077	0.0034	-1472	-33985	634119 7 SLU
1724	89.2	0.0077	0.0034	-9897	-24528	634119 12 SLV

Verifica per scorrimento a taglio

quota	Somma(Asj)	csi	MEd	VEd	Vdd	Vid	Vfd	Vrd,s	comb
-302	182.21	0.38	6126470	88518	176012	0	174261	350273	16 SLV
-30	182.21	0.53	6126470	123493	176012	0	241618	417630	16 SLV
0	161.79	0.46	-67390920	-59420	156286	0	329839	486125	12 SLV

Pannello : Pannello da Filo 10 a Filo 19

Sezione a quota -302

Coordinate dei vertici

X	Y
-696.8	-20.0
-696.8	20.0
-42.0	20.0
-42.0	-20.0

Armature verticali

X	Y	ø	X	Y	ø	X	Y	ø	X	Y	ø	X	Y	ø
-693.8	-15.7	10	-678.8	-15.7	10	-663.8	-15.7	10	-648.8	-15.7	10	-633.8	-15.7	10
-618.8	-15.7	10	-603.8	-15.7	10	-588.8	-15.7	10	-573.8	-15.7	10	-558.8	-15.7	10
-543.8	-15.7	10	-528.8	-15.7	10	-513.8	-15.7	10	-498.8	-15.7	10	-483.8	-15.7	10
-468.8	-15.7	10	-453.8	-15.7	10	-438.8	-15.7	10	-423.8	-15.7	10	-408.8	-15.7	10
-393.8	-15.7	10	-378.8	-15.7	10	-363.8	-15.7	10	-348.8	-15.7	10	-333.8	-15.7	10
-318.8	-15.7	10	-303.8	-15.7	10	-288.8	-15.7	10	-273.8	-15.7	10	-258.8	-15.7	10
-243.8	-15.7	10	-228.8	-15.7	10	-213.8	-15.7	10	-198.8	-15.7	10	-183.8	-15.7	10
-168.8	-15.7	10	-153.8	-15.7	10	-138.8	-15.7	10	-123.8	-15.7	10	-108.8	-15.7	10
-93.8	-15.7	10	-78.8	-15.7	10	-63.8	-15.7	10	-48.8	-15.7	10	-33.8	-15.7	10
-678.8	15.7	10	-663.8	15.7	10	-648.8	15.7	10	-633.8	15.7	10	-618.8	15.7	10
-603.8	15.7	10	-588.8	15.7	10	-573.8	15.7	10	-558.8	15.7	10	-543.8	15.7	10
-528.8	15.7	10	-513.8	15.7	10	-498.8	15.7	10	-483.8	15.7	10	-468.8	15.7	10
-453.8	15.7	10	-438.8	15.7	10	-423.8	15.7	10	-408.8	15.7	10	-393.8	15.7	10
-378.8	15.7	10	-363.8	15.7	10	-348.8	15.7	10	-333.8	15.7	10	-318.8	15.7	10
-303.8	15.7	10	-288.8	15.7	10	-273.8	15.7	10	-258.8	15.7	10	-243.8	15.7	10
-228.8	15.7	10	-213.8	15.7	10	-198.8	15.7	10	-183.8	15.7	10	-168.8	15.7	10
-153.8	15.7	10	-138.8	15.7	10	-123.8	15.7	10	-108.8	15.7	10	-93.8	15.7	10
-78.8	15.7	10	-63.8	15.7	10	-48.8	15.7	10	-33.8	15.7	10	-18.8	15.7	10
-677.0	-15.2	20	-677.0	15.2	20	-662.0	-15.2	20	-662.0	15.2	20	-647.0	-15.2	20
-647.0	15.2	20	-632.0	-15.2	20	-632.0	15.2	20	-617.0	-15.2	20	-617.0	15.2	20
-602.0	-15.2	20	-602.0	15.2	20	-587.0	-15.2	20	-587.0	15.2	20	-572.0	-15.2	20
-572.0	15.2	20	-46.8	-15.2	20	-46.8	15.2	20	-61.8	-15.2	20	-61.8	15.2	20
-76.8	-15.2	20	-76.8	15.2	20	-91.8	-15.2	20	-91.8	15.2	20	-106.8	-15.2	20
-106.8	15.2	20	-121.8	-15.2	20	-121.8	15.2	20	-136.8	-15.2	20	-136.8	15.2	20
-151.8	-15.2	20	-151.8	15.2	20	-166.8	-15.2	20	-166.8	15.2	20			

Sezione a quota -166

Coordinate dei vertici

X	Y
-696.8	-20.0
-696.8	20.0
-42.0	20.0
-42.0	-20.0

Coordinate dei vertici

X	Y
-696.8	-20.0
-696.8	20.0
-42.0	20.0
-42.0	-20.0

X	Y	ø	X	Y	ø	X	Y	ø	X	Y	ø	X	Y	ø
-693.8	-15.7	10	-678.8	-15.7	10	-668.8	-15.7	10	-648.8	-15.7	10	-633.8	-15.7	10
-618.8	-15.7	10	-603.8	-15.7	10	-588.8	-15.7	10	-573.8	-15.7	10	-558.8	-15.7	10
-543.8	-15.7	10	-528.8	-15.7	10	-513.8	-15.7	10	-498.8	-15.7	10	-483.8	-15.7	10
-468.8	-15.7	10	-453.8	-15.7	10	-438.8	-15.7	10	-423.8	-15.7	10	-408.8	-15.7	10
-393.8	-15.7	10	-378.8	-15.7	10	-363.8	-15.7	10	-348.8	-15.7	10	-333.8	-15.7	10
-318.8	-15.7	10	-303.8	-15.7	10	-288.8	-15.7	10	-273.8	-15.7	10	-258.8	-15.7	10
-243.8	-15.7	10	-228.8	-15.7	10	-213.8	-15.7	10	-198.8	-15.7	10	-183.8	-15.7	10
-168.8	-15.7	10	-153.8	-15.7	10	-138.8	-15.7	10	-123.8	-15.7	10	-108.8	-15.7	10
-93.8	-15.7	10	-78.8	-15.7	10	-63.8	-15.7	10	-48.8	-15.7	10	-693.8	15.7	10
-678.8	15.7	10	-663.8	15.7	10	-648.8	15.7	10	-633.8	15.7	10	-618.8	15.7	10
-603.8	15.7	10	-588.8	15.7	10	-573.8	15.7	10	-558.8	15.7	10	-543.8	15.7	10
-528.8	15.7	10	-513.8	15.7	10	-498.8	15.7	10	-483.8	15.7	10	-468.8	15.7	10
-453.8	15.7	10	-438.8	15.7	10	-423.8	15.7	10	-408.8	15.7	10	-393.8	15.7	10
-378.8	15.7	10	-363.8	15.7	10	-348.8	15.7	10	-333.8	15.7	10	-318.8	15.7	10
-303.8	15.7	10	-288.8	15.7	10	-273.8	15.7	10	-258.8	15.7	10	-243.8	15.7	10
-228.8	15.7	10	-213.8	15.7	10	-198.8	15.7	10	-183.8	15.7	10	-168.8	15.7	10
-153.8	15.7	10	-138.8	15.7	10	-123.8	15.7	10	-108.8	15.7	10	-93.8	15.7	10
-78.8	15.7	10	-63.8	15.7	10	-48.8	15.7	10	-692.0	-15.2	20	-692.0	15.2	20
-677.0	-15.2	20	-667.0	-15.2	20	-657.0	-15.2	20	-647.0	-15.2	20	-647.0	15.2	20
-627.0	-15.2	20	-617.0	-15.2	20	-607.0	-15.2	20	-597.0	-15.2	20	-597.0	15.2	20
-602.0	-15.2	20	-602.0	15.2	20	-587.0	-15.2	20	-587.0	15.2	20	-572.0	-15.2	20
-572.0	-15.2	20	-46.8	-15.2	20	-46.8	15.2	20	-61.8	-15.2	20	-61.8	15.2	20
-76.8	-15.2	20	-76.8	15.2	20	-91.8	-15.2	20	-91.8	15.2	20	-106.8	-15.2	20
-106.8	15.2	20	-121.8	-15.2	20	-121.8	15.2	20	-136.8	-15.2	20	-136.8	15.2	20
-151.8	-15.2	20	-151.8	15.2	20	-166.8	-15.2	20	-166.8	15.2	20			

Coordinate dei vertici

X	Y
-696.8	-20.0
-696.8	20.0
-471.8	20.0
-471.8	-20.0
-291.8	-20.0
-291.8	20.0
-42.0	20.0
-42.0	-20.0

X	Y	ø	X	Y	ø	X	Y	ø	X	Y	ø	X	Y	ø
-693.8	-15.7	10	-678.8	-15.7	10	-663.8	-15.7	10	-648.8	-15.7	10	-633.8	-15.7	10
-618.8	-15.7	10	-603.8	-15.7	10	-588.8	-15.7	10	-573.8	-15.7	10	-558.8	-15.7	10
-543.8	-15.7	10	-528.8	-15.7	10	-513.8	-15.7	10	-498.8	-15.7	10	-483.8	-15.7	10
-273.8	-15.7	10	-258.8	-15.7	10	-243.8	-15.7	10	-228.8	-15.7	10	-213.8	-15.7	10
-198.8	-15.7	10	-183.8	-15.7	10	-168.8	-15.7	10	-153.8	-15.7	10	-138.8	-15.7	10
-123.8	-15.7	10	-108.8	-15.7	10	-93.8	-15.7	10	-78.8	-15.7	10	-63.8	-15.7	10
-48.8	-15.7	10	-693.8	15.7	10	-678.8	15.7	10	-663.8	15.7	10	-648.8	15.7	10
-633.8	15.7	10	-618.8	15.7	10	-603.8	15.7	10	-588.8	15.7	10	-573.8	15.7	10
-558.8	15.7	10	-543.8	15.7	10	-528.8	15.7	10	-513.8	15.7	10	-498.8	15.7	10
-483.8	15.7	10	-273.8	15.7	10	-258.8	15.7	10	-243.8	15.7	10	-228.8	15.7	10
-213.8	15.7	10	-198.8	15.7	10	-183.8	15.7	10	-168.8	15.7	10	-153.8	15.7	10
-153.8	15.7	10	-123.8	15.7	10	-108.8	15.7	10	-93.8	15.7	10	-78.8	15.7	10
-63.8	15.7	10	-663.8	15.7	10	-692.0	15.2	20	-692.0	15.2	20	-677.0	15.2	20
-677.0	15.2	20	-662.0	-15.2	20	-662.0	15.2	20	-647.0	-15.2	20	-647.0	15.2	20
-632.0	-15.2	20	-632.0	15.2	20	-617.0	-15.2	20	-617.0	15.2	20	-602.0	-15.2	20
-602.0	15.2	20	-587.0	-15.2	20	-587.0	15.2	20	-572.0	-15.2	20	-572.0	15.2	20
-46.8	-15.2	20	-46.8	15.2	20	-61.8	-15.2	20	-61.8	15.2	20	-76.8	-15.2	20
-76.8	15.2	20	-91.8	-15.2	20	-91.8	15.2	20	-106.8	-15.2	20	-106.8	15.2	20
-121.8	-15.2	20	-121.8	15.2	20	-136.8	-15.2	20	-136.8	15.2	20	-151.8	-15.2	20
-151.8	15.2	20	-166.8	-15.2	20	-166.8	15.2	20						

Coordinate dei vertici

X	Y
-696.8	-20.0
-696.8	20.0
-471.8	20.0
-471.8	-20.0
-291.8	-20.0
-291.8	20.0
-42.0	20.0
-42.0	-20.0

X	Y	\varnothing	X	Y	\varnothing	X	Y	\varnothing	X	Y	\varnothing	X	Y	\varnothing
-693.8	-15.7	10	-678.8	-15.7	10	-663.8	-15.7	10	-648.8	-15.7	10	-633.8	-15.7	10
-618.8	-15.7	10	-603.8	-15.7	10	-588.8	-15.7	10	-573.8	-15.7	10	-558.8	-15.7	10
-543.8	-15.7	10	-528.8	-15.7	10	-513.8	-15.7	10	-498.8	-15.7	10	-483.8	-15.7	10
-273.8	-15.7	10	-258.8	-15.7	10	-243.8	-15.7	10	-228.8	-15.7	10	-213.8	-15.7	10
-198.8	-15.7	10	-183.8	-15.7	10	-168.8	-15.7	10	-153.8	-15.7	10	-138.8	-15.7	10
-123.8	-15.7	10	-108.8	-15.7	10	-93.8	-15.7	10	-78.8	-15.7	10	-63.8	-15.7	10
-48.8	-15.7	10	-693.8	15.7	10	-678.8	15.7	10	-663.8	15.7	10	-648.8	15.7	10
-633.8	15.7	10	-618.8	15.7	10	-603.8	15.7	10	-588.8	15.7	10	-573.8	15.7	10
-558.8	15.7	10	-543.8	15.7	10	-528.8	15.7	10	-513.8	15.7	10	-498.8	15.7	10
-483.8	15.7	10	-468.8	15.7	10	-453.8	15.7	10	-438.8	15.7	10	-423.8	15.7	10
-213.8	15.7	10	-198.8	15.7	10	-183.8	15.7	10	-168.8	15.7	10	-153.8	15.7	10
-138.8	15.7	10	-123.8	15.7	10	-108.8	15.7	10	-93.8	15.7	10	-78.8	15.7	10
-63.8	15.7	10	-48.8	15.7	10	-692.0	-15.2	20	-692.0	15.2	20	-677.0	-15.2	20
-677.0	15.2	20	-662.0	-15.2	20	-662.0	15.2	20	-647.0	-15.2	20	-647.0	15.2	20
-632.0	-15.2	20	-632.0	15.2	20	-617.0	-15.2	20	-617.0	15.2	20	-602.0	-15.2	20
-602.0	15.2	20	-587.0	-15.2	20	-587.0	15.2	20	-572.0	-15.2	20	-572.0	15.2	20
-46.8	-15.2	20	-46.8	15.2	20	-61.8	-15.2	20	-61.8	15.2	20	-76.8	-15.2	20
-76.8	15.2	20	-91.8	-15.2	20	-91.8	15.2	20	-106.8	-15.2	20	-106.8	15.2	20
-121.8	-15.2	20	-121.8	15.2	20	-136.8	-15.2	20	-136.8	15.2	20	-151.8	-15.2	20
-151.8	15.2	20	-166.8	-15.2	20	-166.8	15.2	20						

Ingresso-Principale

Sezione a quota 525
Coordinate dei vertici
X Y
-696.8 -20.0
-696.8 20.0
-42.0 20.0
-42.0 -20.0

Armature verticali															
X	Y	ø	X	Y	ø	X	Y	ø	X	Y	ø	X	Y	ø	X
-693.8	-15.7	10	-678.8	-15.7	10	-663.8	-15.7	10	-648.8	-15.7	10	-633.8	-15.7	10	-618.8
-618.8	-15.7	10	-603.8	-15.7	10	-588.8	-15.7	10	-573.8	-15.7	10	-558.8	-15.7	10	-543.8
-543.8	-15.7	10	-528.8	-15.7	10	-513.8	-15.7	10	-498.8	-15.7	10	-483.8	-15.7	10	-468.8
-468.8	-15.7	10	-453.8	-15.7	10	-438.8	-15.7	10	-423.8	-15.7	10	-408.8	-15.7	10	-393.8
-393.8	-15.7	10	-378.8	-15.7	10	-363.8	-15.7	10	-348.8	-15.7	10	-333.8	-15.7	10	-318.8
-318.8	-15.7	10	-303.8	-15.7	10	-288.8	-15.7	10	-273.8	-15.7	10	-258.8	-15.7	10	-243.8
-243.8	-15.7	10	-228.8	-15.7	10	-213.8	-15.7	10	-198.8	-15.7	10	-183.8	-15.7	10	-168.8
-168.8	-15.7	10	-153.8	-15.7	10	-138.8	-15.7	10	-123.8	-15.7	10	-108.8	-15.7	10	-93.8
-93.8	-15.7	10	-78.8	-15.7	10	-63.8	-15.7	10	-48.8	-15.7	10	-33.8	-15.7	10	-18.8
-18.8	-15.7	10	-3.8	-15.7	10	11.2	-15.7	10	26.2	-15.7	10	41.2	-15.7	10	56.2
56.2	-15.7	10	71.2	-15.7	10	86.2	-15.7	10	101.2	-15.7	10	116.2	-15.7	10	131.2
131.2	-15.7	10	146.2	-15.7	10	161.2	-15.7	10	176.2	-15.7	10	191.2	-15.7	10	206.2
206.2	-15.7	10	221.2	-15.7	10	236.2	-15.7	10	251.2	-15.7	10	266.2	-15.7	10	281.2
281.2	-15.7	10	296.2	-15.7	10	311.2	-15.7	10	326.2	-15.7	10	341.2	-15.7	10	356.2
356.2	-15.7	10	371.2	-15.7	10	386.2	-15.7	10	401.2	-15.7	10	416.2	-15.7	10	431.2
431.2	-15.7	10	446.2	-15.7	10	461.2	-15.7	10	476.2	-15.7	10	491.2	-15.7	10	506.2
506.2	-15.7	10	521.2	-15.7	10	536.2	-15.7	10	551.2	-15.7	10	566.2	-15.7	10	581.2
581.2	-15.7	10	596.2	-15.7	10	611.2	-15.7	10	626.2	-15.7	10	641.2	-15.7	10	656.2
656.2	-15.7	10	671.2	-15.7	10	686.2	-15.7	10	701.2	-15.7	10	716.2	-15.7	10	731.2
731.2	-15.7	10	746.2	-15.7	10	761.2	-15.7	10	776.2	-15.7	10	791.2	-15.7	10	806.2
806.2	-15.7	10	821.2	-15.7	10	836.2	-15.7	10	851.2	-15.7	10	866.2	-15.7	10	881.2
881.2	-15.7	10	896.2	-15.7	10	911.2	-15.7	10	926.2	-15.7	10	941.2	-15.7	10	956.2
956.2	-15.7	10	971.2	-15.7	10	986.2	-15.7	10	1001.2	-15.7	10	1016.2	-15.7	10	1031.2
1031.2	-15.7	10	1046.2	-15.7	10	1061.2	-15.7	10	1076.2	-15.7	10	1091.2	-15.7	10	1106.2
1106.2	-15.7	10	1121.2	-15.7	10	1136.2	-15.7	10	1151.2	-15.7	10	1166.2	-15.7	10	1181.2
1181.2	-15.7	10	1196.2	-15.7	10	1211.2	-15.7	10	1226.2	-15.7	10	1241.2	-15.7	10	1256.2
1256.2	-15.7	10	1271.2	-15.7	10	1286.2	-15.7	10	1301.2	-15.7	10	1316.2	-15.7	10	1331.2
1331.2	-15.7	10	1346.2	-15.7	10	1361.2	-15.7	10	1376.2	-15.7	10	1391.2	-15.7	10	1406.2
1406.2	-15.7	10	1421.2	-15.7	10	1436.2	-15.7	10	1451.2	-15.7	10	1466.2	-15.7	10	1481.2
1481.2	-15.7	10	1496.2	-15.7	10	1511.2	-15.7	10	1526.2	-15.7	10	1541.2	-15.7	10	1556.2
1556.2	-15.7	10	1571.2	-15.7	10	1586.2	-15.7	10	1601.2	-15.7	10	1616.2	-15.7	10	1631.2
1631.2	-15.7	10	1646.2	-15.7	10	1661.2	-15.7	10	1676.2	-15.7	10	1691.2	-15.7	10	1706.2
1706.2	-15.7	10	1721.2	-15.7	10	1736.2	-15.7	10	1751.2	-15.7	10	1766.2	-15.7	10	1781.2
1781.2	-15.7	10	1796.2	-15.7	10	1811.2	-15.7	10	1826.2	-15.7	10	1841.2	-15.7	10	1856.2
1856.2	-15.7	10	1871.2	-15.7	10	1886.2	-15.7	10	1901.2	-15.7	10	1916.2	-15.7	10	1931.2
1931.2	-15.7	10	1946.2	-15.7	10	1961.2	-15.7	10	1976.2	-15.7	10	1991.2	-15.7	10	2006.2
2006.2	-15.7	10	2021.2	-15.7	10	2036.2	-15.7	10	2051.2	-15.7	10	2066.2	-15.7	10	2081.2
2081.2	-15.7	10	2096.2	-15.7	10	2111.2	-15.7	10	2126.2	-15.7	10	2141.2	-15.7	10	2156.2
2156.2	-15.7	10	2171.2	-15.7	10	2186.2	-15.7	10	2201.2	-15.7	10	2216.2	-15.7	10	2231.2
2231.2	-15.7	10	2246.2	-15.7	10	2261.2	-15.7	10	2276.2	-15.7	10	2291.2	-15.7	10	2306.2
2306.2	-15.7	10	2321.2	-15.7	10	2336.2	-15.7	10	2351.2	-15.7	10	2366.2	-15.7	10	2381.2
2381.2	-15.7	10	2396.2	-15.7	10	2411.2	-15.7	10	2426.2	-15.7	10	2441.2	-15.7	10	2456.2
2456.2	-15.7	10	2471.2	-15.7	10	2486.2	-15.7	10	2501.2	-15.7	10	2516.2	-15.7	10	2531.2
2531.2	-15.7	10	2546.2	-15.7	10	2561.2	-15.7	10	2576.2	-15.7	10	2591.2	-15.7	10	2606.2
2606.2	-15.7	10	2621.2	-15.7	10	2636.2	-15.7	10	2651.2	-15.7	10	2666.2	-15.7	10	2681.2
2681.2	-15.7	10	2696.2	-15.7	10	2711.2	-15.7	10	2726.2	-15.7	10	2741.2	-15.7	10	2756.2
2756.2	-15.7	10	2771.2	-15.7	10	2786.2	-15.7	10	2801.2	-15.7	10	2816.2	-15.7	10	2831.2
2831.2	-15.7	10	2846.2	-15.7	10	2861.2	-15.7	10	2876.2	-15.7	10	2891.2	-15.7	10	2906.2
2906.2	-15.7	10	2921.2	-15.7	10	2936.2	-15.7	10	2951.2	-15.7	10	2966.2	-15.7	10	2981.2
2981.2	-15.7	10	2996.2	-15.7	10	3011.2	-15.7	10	3026.2	-15.7	10	3041.2	-15.7	10	3056.2
3056.2	-15.7	10	3071.2	-15.7	10	3086.2	-15.7	10	3101.2	-15.7	10	3116.2	-15.7	10	3131.2
3131.2	-15.7	10	3146.2	-15.7	10	3161.2	-15.7	10	3176.2	-15.7	10	3191.2	-15.7	10	3206.2
3206.2	-15.7	10	3221.2	-15.7	10	3236.2	-15.7	10	3251.2	-15.7	10	3266.2	-15.7	10	3281.2
3281.2	-15.7	10	3296.2	-15.7	10	3311.2	-15.7	10	3326.2	-15.7	10	3341.2	-15.7	10	3356.2
3356.2	-15.7	10	3371.2	-15.7	10	3386.2	-15.7	10	3401.2	-15.7	10	3416.2	-15.7	10	3431.2
3431.2	-15.7	10	3446.2	-15.7	10	3461.2	-15.7	10	3476.2	-15.7	10	3491.2	-15.7	10	3506.2
3506.2	-15.7	10	3521.2	-15.7	10	3536.2	-15.7	10	3551.2	-15.7	10	3566.2	-15.7	10	3581.2
3581.2	-15.7	10	3596.2	-15.7	10	3611.2	-15.7	10	3626.2	-15.7	10	3641.2	-15.7	10	3656.2
3656.2	-15.7	10	3671.2	-15.7	10	3686.2	-15.7	10	3701.2	-15.7	10	3716.2	-15.7	10	3731.2
3731.2	-15.7	10	3746.2	-15.7	10	3761.2	-15.7	10	3776.2	-15.7	10	3791.2	-15.7	10	3806.2
3806.2	-15.7	10	3821.2	-15.7	10	3836.2	-15.7	10	3851.2	-15.7	10	3866.2	-15.7	10	3881.2
3881.2	-15.7	10	3896.2	-15.7	10	3911.2	-15.7	10	3926.2	-15.7	10	3941.2	-15.7	10	3956.2
3956.2	-15.7	10	3971.2	-15.7	10	3986.2	-15.7	10	4001.2	-15.7	10	4016.2	-15.7	10	4031.2
4031.2	-15.7	10	4046.2	-15.7	10	4061.2	-15.7	10	4076.2	-15.7	10	4091.2	-15.7	10	4106.2
4106.2	-15.7	10	4121.2	-15.7	10	4136.2	-15.7	10	4151.2	-15.7	10	4166.2	-15.7	10	4181.2
4181.2	-15.7	10	4196.2	-15.7	10	4211.2	-15.7	10	4226.2	-15.7	10	4241.2	-15.7	10	4256.2
4256.2	-15.7	10	4271.2	-15.7	10	4286.2	-15.7	10	4301.2	-15.7	10	4316.2	-15.7	10	4331.2
4331.2	-15.7	10	4346.2	-15.7	10	4361.2	-15.7	10	4376.2	-15.7	10	4391.2	-15.7	10	4406.2
4406.2	-15.7	10	4421.2	-15.7	10	4436.2	-15.7	10	4451.2	-15.7	10	4466.2	-15.7	10	4481.2
4481.2	-15.7	10	4496.2	-15.7	10	4511.2	-15.7	10	4526.2	-15.7	10	4541.2	-15.7	10	4556.2
4556.2	-15.7	10	4571.2	-15.7	10	4586.2	-15.7	10	4601.2	-15.7	10	4616.2	-15.7	10	4631.2
4631.2	-15.7	10	4646.2	-15.7	10	4661.2	-15.7	10	4676.2	-15.7	10	4691.2	-15.7	10	4706.2
4706.2	-15.7	10	4721.2	-15.7	10	4736.2	-15.7	10	4751.2	-15.7	10	4766.2	-15.7	10	4781.2
4781.2	-15.7	10	4796.2	-15.7	10	4811.2	-15.7	10	4826.2	-15.7	10	4841.2	-15.7	10	4856.2
4856.2	-15.7	10	4871.2	-15.7	10	4886.2	-15.7	10	4901.2	-15.7	10	4916.2	-15.7	10	4931.2
4931.2	-15.7	10	4946.2	-15.7	10	4961.2	-15.7	10	4976.2	-15.7	10	4991.2	-15.7	10	5006.2
5006.2	-15.7	10	5021.2	-15.7	10	5036.2	-15.7	10	5051.2	-15.7	10	5066.2	-15.7	10	5081.2
5081.2	-15.7	10	5096.2	-15.7	10	5111.2	-15.7	10	5126.2	-15.7	10	5141.2	-15.7	10	5156.2
5156.2	-15.7	10	5171.2	-15.7	10	5186.2	-15.7	10	5201.2	-15.7	10	5216.2	-15.7	10	5231.2
5231.2	-15.7	10	5246.2	-15.7	10	5261.2	-15.7	10	5276.2	-15.7	10	5291.2	-15.7	10	5306.2
5306.2	-15.7	10	5321.2	-15.7	10	5336.2	-15.7	10	5351.2	-15.7	10	5366.2	-15.7	10	

X	Y	ø	X	Y	ø	X	Y	ø	X	Y	ø	X	Y	ø
-693.8	-15.7	10	-678.8	-15.7	10	-663.8	-15.7	10	-648.8	-15.7	10	-633.8	-15.7	10
-618.8	-15.7	10	-603.8	-15.7	10	-588.8	-15.7	10	-573.8	-15.7	10	-558.8	-15.7	10
-543.8	-15.7	10	-528.8	-15.7	10	-513.8	-15.7	10	-498.8	-15.7	10	-483.8	-15.7	10
-468.8	-15.7	10	-273.8	-15.7	10	-258.8	-15.7	10	-243.8	-15.7	10	-228.8	-15.7	10
-213.8	-15.7	10	-198.8	-15.7	10	-183.8	-15.7	10	-168.8	-15.7	10	-153.8	-15.7	10
-138.8	-15.7	10	-123.8	-15.7	10	-108.8	-15.7	10	-93.8	-15.7	10	-78.8	-15.7	10
-63.8	-15.7	10	-48.8	-15.7	10	-693.8	15.7	10	-678.8	15.7	10	-663.8	15.7	10
-648.8	15.7	10	-633.8	15.7	10	-618.8	15.7	10	-603.8	15.7	10	-588.8	15.7	10
-573.8	15.7	10	-558.8	15.7	10	-543.8	15.7	10	-528.8	15.7	10	-513.8	15.7	10
-498.8	15.7	10	-483.8	15.7	10	-468.8	15.7	10	-453.8	15.7	10	-438.8	15.7	10
-243.8	15.7	10	-228.8	15.7	10	-213.8	15.7	10	-198.8	15.7	10	-183.8	15.7	10
-168.8	15.7	10	-153.8	15.7	10	-138.8	15.7	10	-123.8	15.7	10	-108.8	15.7	10
-93.8	15.7	10	-78.8	15.7	10	-63.8	15.7	10	-48.8	15.7	10	-279.8	-15.4	16
-279.8	15.4	8	-491.1	-14.0	8	-491.1	14.0	8	-471.1	-14.0	8	-471.1	14.0	8
-451.1	-14.0	8	-451.1	14.0	8	-431.1	-14.0	8	-431.1	14.0	8	-411.1	-14.0	8
-411.1	14.0	8	-391.1	-14.0	8	-391.1	14.0	8	-371.1	-14.0	8	-371.1	14.0	8
-351.1	-14.0	8	-351.1	14.0	8	-331.1	-14.0	8	-331.1	14.0	8	-311.1	-14.0	8
-311.1	14.0	8	-291.1	-14.0	8	-291.1	14.0	8	-271.1	-14.0	8	-271.1	14.0	8
-251.1	-14.0	8	-251.1	14.0	8	-231.1	-14.0	8	-231.1	14.0	8	-211.1	-14.0	8
-211.1	14.0	8	-191.1	-14.0	8	-191.1	14.0	8						

Coordinate dei vertici	
X	Y
-696.8	-20.0
-696.8	20.0
-462.8	20.0
-462.8	-20.0
-283.8	-20.0
-283.8	20.0
-42.0	20.0
-42.0	-20.0

[illegible]

Coordinate dei vertici	
X	Y
-696.8	-20.0
-696.8	20.0
-42.0	20.0
-42.0	-20.0

[illegible]

Coordinate dei vertici	
X	Y
-696.8	-20.0
-696.8	20.0
-376.8	20.0
-376.8	-20.0
-281.8	-20.0
-281.8	20.0
-42.0	20.0
-42.0	-20.0

X	Y	ø	X	Y	ø	X	Y	ø	X	Y	ø	X	Y	ø
-693.8	-15.7	10	-678.8	-15.7	10	-663.8	-15.7	10	-648.8	-15.7	10	-633.8	-15.7	10
-618.8	-15.7	10	-603.8	-15.7	10	-588.8	-15.7	10	-573.8	-15.7	10	-558.8	-15.7	10
-543.8	-15.7	10	-528.8	-15.7	10	-513.8	-15.7	10	-498.8	-15.7	10	-483.8	-15.7	10
-468.8	-15.7	10	-453.8	-15.7	10	-438.8	-15.7	10	-423.8	-15.7	10	-408.8	-15.7	10
-393.8	-15.7	10	-273.8	-15.7	10	-258.8	-15.7	10	-243.8	-15.7	10	-228.8	-15.7	10
-213.8	-15.7	10	-198.8	-15.7	10	-183.8	-15.7	10	-168.8	-15.7	10	-153.8	-15.7	10
-138.8	-15.7	10	-123.8	-15.7	10	-108.8	-15.7	10	-93.8	-15.7	10	-78.8	-15.7	10
-63.8	-15.7	10	-48.8	-15.7	10	-33.8	-15.7	10	-18.8	-15.7	10	-3.8	-15.7	10
-648.8	15.7	10	-633.8	15.7	10	-618.8	15.7	10	-603.8	15.7	10	-588.8	15.7	10
-573.8	15.7	10	-558.8	15.7	10	-543.8	15.7	10	-528.8	15.7	10	-513.8	15.7	10
-498.8	15.7	10	-483.8	15.7	10	-468.8	15.7	10	-453.8	15.7	10	-438.8	15.7	10
-423.8	15.7	10	-408.8	15.7	10	-393.8	15.7	10	-273.8	15.7	10	-258.8	15.7	10
-243.8	15.7	10	-228.8	15.7	10	-213.8	15.7	10	-198.8	15.7	10	-183.8	15.7	10
-168.8	15.7	10	-153.8	15.7	10	-138.8	15.7	10	-123.8	15.7	10	-108.8	15.7	10
-93.8	15.7	10	-78.8	15.7	10	-63.8	15.7	10	-48.8	15.7	10	-33.8	15.7	10
-380.8	15.4	16	-279.8	-15.4	16	-279.8	15.4	16	-422.2	-14.0	8	-422.2	14.0	8
-402.2	-14.0	8	-402.2	14.0	8	-382.2	-14.0	8	-382.2	14.0	8	-362.2	-14.0	8
-362.2	-14.0	8	-362.2	14.0	8	-342.2	-14.0	8	-342.2	14.0	8	-322.2	-14.0	8
-302.2	-14.0	8	-302.2	14.0	8	-282.2	-14.0	8	-282.2	14.0	8	-262.2	-14.0	8
-262.2	-14.0	8	-262.2	14.0	8	-242.2	-14.0	8	-242.2	14.0	8	-222.2	-14.0	8
-202.2	-14.0	8	-202.2	14.0	8	-182.2	-14.0	8	-182.2	14.0	8	-162.2	-14.0	8

Coordinate dei vertici

Armature verticali

Sezione a quota 1676

X	Y
---	---

Armature verticali

Sezione a quota 1706

X	Y
---	---

Armature verticali

Sezione a quota 1715

	X	Y
.....

Armature verticali

Sismicad 12.3 - Licenza assegnata a STUDIO D.F.G. INGEGNERIA - VIA DELLE QUERCE, 3/A CASTELFRANCO V.TO TV 107

Sezione a quota 1724

Coordinate dei vertici

X	Y
-696.8	-20.0
-696.8	20.0
-42.0	20.0
-42.0	-20.0

Armature verticali

X	Y	Ø	X	Y	Ø	X	Y	Ø	X	Y	Ø	X	Y	Ø
-693.8	-15.7	10	-678.8	-15.7	10	-663.8	-15.7	10	-648.8	-15.7	10	-633.8	-15.7	10
-618.8	-15.7	10	-603.8	-15.7	10	-588.8	-15.7	10	-573.8	-15.7	10	-558.8	-15.7	10
-543.8	-15.7	10	-528.8	-15.7	10	-513.8	-15.7	10	-498.8	-15.7	10	-483.8	-15.7	10
-468.8	-15.7	10	-453.8	-15.7	10	-438.8	-15.7	10	-423.8	-15.7	10	-408.8	-15.7	10
-393.8	-15.7	10	-378.8	-15.7	10	-363.8	-15.7	10	-348.8	-15.7	10	-333.8	-15.7	10
-318.8	-15.7	10	-303.8	-15.7	10	-288.8	-15.7	10	-273.8	-15.7	10	-258.8	-15.7	10
-243.8	-15.7	10	-228.8	-15.7	10	-213.8	-15.7	10	-198.8	-15.7	10	-183.8	-15.7	10
-168.8	-15.7	10	-153.8	-15.7	10	-138.8	-15.7	10	-123.8	-15.7	10	-108.8	-15.7	10
-93.8	-15.7	10	-78.8	-15.7	10	-63.8	-15.7	10	-48.8	-15.7	10	-33.8	-15.7	10
-678.8	15.7	10	-663.8	15.7	10	-648.8	15.7	10	-633.8	15.7	10	-618.8	15.7	10
-603.8	15.7	10	-588.8	15.7	10	-573.8	15.7	10	-558.8	15.7	10	-543.8	15.7	10
-528.8	15.7	10	-513.8	15.7	10	-498.8	15.7	10	-483.8	15.7	10	-468.8	15.7	10
-453.8	15.7	10	-438.8	15.7	10	-423.8	15.7	10	-408.8	15.7	10	-393.8	15.7	10
-378.8	15.7	10	-363.8	15.7	10	-348.8	15.7	10	-333.8	15.7	10	-318.8	15.7	10
-303.8	15.7	10	-288.8	15.7	10	-273.8	15.7	10	-258.8	15.7	10	-243.8	15.7	10
-228.8	15.7	10	-213.8	15.7	10	-198.8	15.7	10	-183.8	15.7	10	-168.8	15.7	10
-153.8	15.7	10	-138.8	15.7	10	-123.8	15.7	10	-108.8	15.7	10	-93.8	15.7	10
-78.8	15.7	10	-63.8	15.7	10	-48.8	15.7	10	-440.2	-15.8	8	-440.2	15.8	8
-425.2	-15.8	8	-425.2	15.8	8	-410.2	-15.8	8	-410.2	15.8	8	-395.2	-15.8	8
-395.2	15.8	8	-380.2	-15.8	8	-380.2	15.8	8	-365.2	-15.8	8	-365.2	15.8	8
-350.2	-15.8	8	-350.2	15.8	8	-335.2	-15.8	8	-335.2	15.8	8	-320.2	-15.8	8
-320.2	15.8	8	-305.2	-15.8	8	-305.2	15.8	8	-290.2	-15.8	8	-290.2	15.8	8
-275.2	-15.8	8	-275.2	15.8	8	-260.2	-15.8	8	-260.2	15.8	8	-245.2	-15.8	8
-245.2	15.8	8	-230.2	-15.8	8	-230.2	15.8	8	-215.2	-15.8	8	-215.2	15.8	8
-200.2	-15.8	8	-200.2	15.8	8	-185.2	-15.8	8	-185.2	15.8	8	-170.2	-15.8	8
-170.2	15.8	8	-155.2	-15.8	8	-155.2	15.8	8						

fcd	fctd	Hcr	q.Hcr	hw	Lw	n.p.	hs
141	12	712	350	2116	655	6	350

Verifica a pressoflessione

quota	Mxd	Myd	Ned	Ngrav.	NReale	c.s.	comb
-302	-988171	15064640	-131665	-131665	-131665	15.0274	20 SLV
-302	-717379	10033880	-17639	-89269	-62273	13.8886	14 SLV
-166	1378098	-14496260	-245241	-245241	-245241	10.7039	20 SLV
-166	1076119	-32039910	-65193	-166628	-148507	7.4055	12 SLV
-30	323702	-18479730	-256405	-256405	-256405	12.9157	20 SLV
-30	-1078492	-45474710	-22734	-173298	-109383	4.8497	16 SLV
0	-466724	-37517210	-312488	-312488	-312488	7.0434	20 SLV
0	-2866430	-70347780	-59179	-213416	-165888	2.3850	16 SLV
263	-1012133	-26025000	-329040	-329040	-329040	6.8043	20 SLV
263	-1344920	-50583980	-85609	-223534	-197376	4.6985	16 SLV
525	-1317333	-19040660	-328525	-328525	-328525	7.9304	20 SLV
525	-307019	-30970890	-346514	-221274	-235877	8.1014	12 SLV
555	1797839	-11324730	-267708	-267708	-267708	6.4615	20 SLV
555	1033129	-31364790	-93640	-183733	-185506	4.8875	16 SLV
782	-46992	-11029470	-253638	-253638	-253638	9.3078	20 SLV
782	367150	-66680500	-107171	-172757	-193550	1.6527	16 SLV
1008	-1797851	-11992390	-231392	-231392	-231392	8.8769	20 SLV
1008	-757298	-49331800	-88291	-155814	-166198	3.4073	12 SLV
1038	1062181	-5686191	-169725	-169725	-169725	10.7550	20 SLV
1038	448589	-43831860	-71003	-117360	-129683	3.0500	12 SLV
1181	61859	-4142096	-165501	-165501	-165501	14.2646	20 SLV
1181	-13933	-32762430	-68458	-113635	-125275	4.2965	12 SLV
1324	-739236	-3645568	-156331	-156331	-156331	18.0228	20 SLV
1324	-861700	6944379	-33306	-106326	-86469	9.9370	1 SLV
1354	743809	-2084172	-85976	-85976	-85976	21.6641	20 SLV
1354	473807	-22786150	-35896	-62027	-66910	6.2243	12 SLV
1515	-158310	-2841040	-72976	-72976	-72976	36.4811	17 SLV
1515	91333	-17589000	-25860	-50996	-51358	7.3506	8 SLV
1676	-499427	-2675215	-57734	-57734	-57734	33.2561	17 SLV
1676	-1017527	-11036940	-20632	-40242	-40242	4.7426	1 SLV
1706	-1153490	-8088614	-41960	-41960	-41960	7.4087	17 SLV
1706	-1459246	-11693460	-15484	-28624	-29796	3.8078	1 SLV
1715	-1164763	-8076397	-41960	-41960	-41960	7.3261	17 SLV
1715	-1443565	-11910040	-15484	-28624	-29796	3.8294	1 SLV
1724	-1176036	-8064180	-37874	-37874	-37874	6.8602	17 SLV
1724	-1425490	-12126630	-14021	-25481	-26761	3.8051	1 SLV

Controllo dello sforzo normale massimo

quota	Ned	Nmax(7.4.4.5.2.1)	c.s.	comb
-302	-164701	-1478298	8.9756	2 SLV
-166	-296952	-1478298	4.9782	2 SLV
-30	-326270	-1478298	4.5309	2 SLV
0	-373943	-1071930	2.8666	2 SLV
263	-366076	-1071930	2.9282	2 SLV
525	-351024	-1478298	4.2114	8 SLV
555	-291524	-1074188	3.6847	8 SLV
782	-258541	-1074188	4.1548	10 SLV
1008	-236322	-1478298	6.2554	10 SLV
1038	-175790	-1074188	6.1106	10 SLV
1181	-184555	-1074188	5.8204	13 SLV
1324	-178761	-1478298	8.2697	15 SLV
1354	-97234	-1263826	12.9978	10 SLV
1515	-83231	-1263826	15.1845	14 SLV
1676	-57103	-1478298	25.8882	13 SLV
1706	-44108	-1478298	33.5154	1 SLV
1715	-44108	-1478298	33.5154	1 SLV
1724	-39501	-1478298	37.4240	1 SLV

Verifica compressione del diagonale

quota	epsilon	VED	Vrzd	comb
-302	1.00	14587	761663	9 SLV
-302	1.50	88518	741937	16 SLV
-166	1.00	22974	781341	9 SLV
-166	1.50	110038	746899	16 SLV
-30	1.00	34605	790185	19 SLV
-30	1.50	123493	743696	16 SLV
0	1.00	-5943	581771	14 SLV
0	1.50	-59420	554906	12 SLV
263	1.00	-3639	583646	14 SLV
263	1.50	-55418	557164	12 SLV
525	1.00	-3398	785765	14 SLV
525	1.50	-55155	764197	12 SLV
555	1.00	-1386	583697	17 SLV
555	1.50	-45813	558201	12 SLV
782	1.00	-724	580761	17 SLV
782	1.50	-45665	557310	12 SLV
1008	1.00	-672	778423	17 SLV
1008	1.50	-45903	756807	12 SLV
1038	1.00	-1387	567753	17 SLV
1038	1.50	-27705	551294	12 SLV
1181	1.00	-1034	566658	17 SLV
1181	1.50	-27448	550785	12 SLV
1324	1.00	-1015	766723	17 SLV
1324	1.50	-26947	751955	12 SLV
1354	1.00	-1703	649590	17 SLV
1354	1.50	-17899	639092	12 SLV
1515	1.00	-584	644563	7 SLV
1515	1.50	-13342	637085	8 SLV
1676	1.00	4000	750658	18 SLV
1676	1.50	14042	742918	5 SLV

Ingresso-Principale

1706	1.00	-1472	746575	7	SLU
1706	1.50	-10655	741867	12	SLV
1715	1.00	-1472	746575	7	SLU
1715	1.50	-10655	741867	12	SLV
1724	1.00	-1472	745946	7	SLU
1724	1.50	-9897	741507	12	SLV

Verifica trazione del diagonale

quota	At	roh	rov	VEd	NEd	VRsd comb
-302	182.2	0.0052	0.0070	14587	-112568	429373 9 SLU
-302	182.2	0.0052	0.0070	88518	-58576	429373 16 SLV
-166	182.2	0.0021	0.0070	22974	-210962	171749 9 SLU
-166	182.2	0.0021	0.0070	110038	-122064	171749 16 SLV
-30	182.2	0.0032	0.0070	34605	-255179	263750 19 SLU
-30	182.2	0.0032	0.0070	123493	-109383	263750 16 SLV
0	161.8	0.0047	0.0085	-5943	-229030	282155 14 SLU
0	161.8	0.0047	0.0085	-59420	-201415	282155 12 SLV
263	161.8	0.0031	0.0085	-3639	-238407	186806 14 SLU
263	161.8	0.0031	0.0085	-55418	-217762	186806 12 SLV
529	89.2	0.0066	0.0034	-3398	-233080	539767 14 SLU
525	89.2	0.0066	0.0034	-55155	-235877	539767 12 SLV
555	70.4	0.0031	0.0037	-1386	-233016	187199 17 SLU
555	70.4	0.0031	0.0037	-45813	-197400	187199 12 SLV
782	54.3	0.0021	0.0029	-724	-218334	124800 17 SLU
782	54.3	0.0021	0.0029	-45665	-187459	124800 12 SLV
1008	89.2	0.0050	0.0034	-672	-196368	408914 17 SLU
1008	89.2	0.0050	0.0034	-45903	-166198	408914 12 SLV
1038	70.4	0.0042	0.0037	-1387	-153297	249599 17 SLU
1038	70.4	0.0042	0.0037	-27705	-129683	249599 12 SLV
1181	54.3	0.0021	0.0029	-1034	-147819	124800 17 SLU
1181	54.3	0.0021	0.0029	-27448	-125275	124800 12 SLV
1324	90.2	0.0082	0.0034	-1015	-137868	673698 17 SLU
1324	90.2	0.0082	0.0034	-26947	-117193	673698 12 SLV
1354	79.2	0.0031	0.0035	-1703	-88384	220248 17 SLU
1354	79.2	0.0031	0.0035	-17899	-66910	220248 12 SLV
1515	66.2	0.0021	0.0030	-584	-63251	146832 7 SLU
1515	66.2	0.0021	0.0030	-13342	-51358	146832 8 SLV
1676	69.1	0.0034	0.0026	4000	-57543	279093 18 SLU
1676	69.1	0.0034	0.0026	14042	-38453	279093 5 SLV
1706	89.2	0.0068	0.0034	-1472	-37128	558185 7 SLU
1706	89.2	0.0068	0.0034	-10655	-27901	558185 12 SLV
1715	89.2	0.0069	0.0034	-1472	-37128	568516 7 SLU
1715	89.2	0.0069	0.0034	-10655	-27901	568516 12 SLV
1724	89.2	0.0077	0.0034	-1472	-33985	634119 7 SLU
1724	89.2	0.0077	0.0034	-9897	-24528	634119 12 SLV

Verifica per scorrimento a taglio

quota	Somma (Asj)	csi	Med	VEd	Vdd	Vid	Vfd	Vrd,s	comb
-302	182.21	0.38	6126470	88518	176012	0	174261	350273	16 SLV
-30	182.21	0.53	6126470	123493	176012	0	241618	417630	16 SLV
0	161.79	0.46	-67390920	-59420	156286	0	329839	486125	12 SLV

S1B

Parete fra le coordinate in pianta (394;-777) (20;-697)
da quota -362 a quota 1706
Valori in daN, cm
C25/30; rck 300
fyk 4500

Verifica di stato limite ultimo

nod	sez	B	H	Af+	Af-	c+	c-	c.s.	comb	N	M	Nu	Mu
64	o	50	30	4.4	4.4	4.6	4.6	1.485	20 SLU	-115248	538162	-171124	799076
	v	78	30	10.0	10.0	4.9	4.9	3.497	20 SLU	-97833	-206460	-342078	-721900
94	o	100	30	4.7	4.7	4.5	4.5	1.265	20 SLU	3192	-342608	4038	-433422
	v	78	30	10.0	10.0	4.9	4.9	1.158	20 SLU	42902	305689	49681	353990
105	o	50	30	2.4	2.4	4.5	4.5	0.431	20 SLU	-44445	1078401	-19163	464976
	v	78	30	10.0	10.0	4.9	4.9	0.792	1 SLV	59732	481907	47325	381807
553	o	50	30	2.4	2.4	4.5	4.5	1.051	20 SLU	-19431	-450298	-20432	-473488
	v	96	30	4.7	4.7	3.5	3.5	0.881	20 SLU	22718	251869	20009	221831
742	o	50	30	4.4	4.4	4.6	4.6	1.116	13 SLV	27121	-45589	30279	-50897
	v	96	30	5.5	5.5	3.5	3.5	2.550	20 SLU	13810	-36839	35219	-93944
864	o	50	30	3.5	3.5	4.6	4.6	0.648	13 SLV	15993	-342568	10370	-222133
	v	15	30	0.0	0.0	3.0	3.0	0.000	20 SLU	8616	-55723	1	-4
2459	o	50	30	4.4	4.4	4.6	4.6	1.397	18 SLU	-7039	-378897	-9832	-529220
	v	63	30	3.1	3.1	3.5	3.5	2.738	13 SLV	1163	-103349	3185	-282980

Combinazione rara

nod	sez	B	H	Af+	Af-	c+	c-	sc	c	N	M	sf	c	N	M	Wk(mm)	Wlim	st	Sm(mm)	c
64	o	50	30	4.4	4.4	4.6	4.6	-99.1	5 ra	-8.50E04	3.97E05	-287.4	5 ra	-8.50E04	3.97E05	0.00999,00	0.0	0.0	0.0	1 ra
	v	78	30	10.0	10.0	4.9	4.9	-38.4	5 ra	-7.24E04	-1.51E05	-285.3	5 ra	-7.24E04	-1.51E05	0.00999,00	0.0	0.0	0.0	1 ra
94	o	100	30	4.7	4.7	4.5	4.5	-38.8	5 ra	2.33E03	-2.51E05	2508.2	5 ra	2.33E03	-2.51E05	0.00999,00	17.0	0.0	0.0	1 ra
	v	78	30	10.0	10.0	4.9	4.9	-1.9	5 ra	3.18E04	2.23E05	2842.2	5 ra	3.18E04	2.23E05	0.23999,00	0.0	202.1	5 ra	5 ra
105	o	50	30	2.4	2.4	4.5	4.5	-228.5	5 ra	-3.26E04	7.89E05	7344.3	5 ra	-3.26E04	7.89E05	0.69999,00	0.0	298.5	5 ra	5 ra
	v	78	30	10.0	10.0	4.9	4.9	-22.8	5 ra	4.19E04	3.74E05	4134.1	5 ra	4.19E04	3.74E05	0.35999,00	0.0	198.5	5 ra	5 ra
553	o	50	30	2.4	2.4	4.5	4.5	-98.4	5 ra	-1.44E04	-3.31E05	3014.7	5 ra	-1.44E04	-3.31E05	0.23999,00	0.0	297.4	5 ra	5 ra
	v	96	30	4.7	4.7	3.5	3.5	-14.5	5 ra	4.30E03	-1.11E05	3458.9	5 ra	1.68E04	1.84E05	0.00999,00	18.0	0.0	0.0	1 ra
742	o	50	30	4.4	4.4	4.6	4.6	-10.7	5 ra	-8.15E03	-4.76E04	2450.3	5 ra	1.85E04	-2.93E04	0.00999,00	15.6	0.0	0.0	1 ra
	v	96	30	5.5	5.5	3.5	3.5	-1.5	5 ra	8.60E02	1.43E04	1145.8	5 ra	1.02E04	-2.75E04	0.00999,00	5.3	0.0	0.0	1 ra
864	o	50	30	3.5	3.5	4.6	4.6	-67.7	5 ra	9.18E03	-2.74E05	4784.0	5 ra	9.18E03	-2.74E05	0.40999,00	0.0	212.3	5 ra	5 ra
	v	15	30	0.0	0.0	3.0	3.0	-31754720	4 ra	6.31E03	-4.10E04	0.0	5 ra	6.33E03	-4.11E04	0.00999,00	0.0	0.0	0.0	5 ra
2459	o	50	30	4.4	4.4	4.6	4.6	-62.7	3 ra	-5.08E03	-2.65E05	2087.8	3 ra	-5.08E03	-2.65E05	0.13999,00	0.0	233.8	3 ra	3 ra
	v	63	30	3.1	3.1	3.5	3.5	-23.8	3 ra	-3.52E03	-1.10E05	887.0	5 ra	-3.18E03	-1.06E05	0.00999,00	9.4	0.0	0.0	1 ra

Combinazione frequente

nod	sez	B	H	Af+	Af-	c+	c-	sc	c	N	M	sf	c	N	M	Wk(mm)	Wklim	st	Sm(mm)	c	
64	o	50	30	4.4	4.4	4.6	4.6	-94.7	4 fr	-8.10E04	3.81E05	-270.9	4 fr	-8.10E04	3.81E05	0.00	0.40	0.0	0.0	0.0	1 fr
	v	78	30	10.0	10.0	4.9	4.9	-36.7	4 fr	-6.93E04	-1.44E05	-274.2	4 fr	-6.93E04	-1.44E05	0.00	0.40	0.0	0.0	0.0	1 fr
94	o	100	30	4.7	4.7	4.5	4.5	-36.8	4 fr	2.21E03	-2.38E05	2377.3	4 fr	2.21E03	-2.38E05	0.00	0.40	16.1	0.0	0.0	1 fr
	v	78	30	10.0	10.0	4.9	4.9	-0.6	4 fr	3.07E04	2.13E05	2729.8	4 fr	3.07E04	2.13E05	0.22	0.40	0.0	202.6	4 fr	4 fr
105	o	50	30	2.4	2.4	4.5	4.5	-216.7	4 fr	-3.07E04	7.48E05	7006.9	4 fr	-3.07E04	7.48E05	0.65	0.40	0.0	298.8	4 fr	4 fr
	v	78	30	10.0	10.0	4.9	4.9	-20.9	4 fr	4.03E04	3.55E05	3953.7	4 fr	4.03E04	3.55E05	0.33	0.40	0.0	198.6	4 fr	4 fr
553	o	50	30	2.4	2.4	4.5	4.5	-93.4	4 fr	-1.35E04	-3.13E05	2880.5	4 fr	-1.35E04	-3.13E05	0.22	0.40	0.0	297.9	4 fr	4 fr
	v	96	30	4.7	4.7	3.5	3.5	-13.6	4 fr	4.00E03	-1.04E05	3302.1	4 fr	1.61E04	1.76E05	0.00	0.40	17.2	0.0	0.0	1 fr
742	o	50	30	4.4	4.4	4.6	4.6	-10.4	4 fr	-7.71E03	-4.75E04	2387.9	4 fr	1.79E04	-3.01E04	0.00	0.40	15.3	0.0	0.0	1 fr
	v	96	30	5.5	5.5	3.5	3.5	-1.3	4 fr	8.16E02	1.31E04	1099.0	4 fr	9.77E03	-2.66E04	0.00	0.40	5.1	0.0	0.0	1 fr
864	o	50	30	3.5	3.5	4.6	4.6	-65.3	4 fr	8.99E03	-2.65E05	4640.8	4 fr	8.99E03	-2.65E05	0.39	0.40	0.0	212.4	4 fr	4 fr
	v	15	30	0.0	0.0	3.0	3.0	-81770980	4 fr	6.05E03	-3.94E04	0.0	4 fr	6.05E03	-3.94E04	0.00	0.40	0.0	0.0	0.0	4 fr
2459	o	50	30	4.4	4.4	4.6	4.6	-59.2	3 fr	-4.62E03	-2.50E05	1991.2	3 fr	-4.62E03	-2.50E05	0.13	0.40	0.0	234.2	3 fr	3 fr
	v	63	30	3.1	3.1	3.5	3.5	-22.5	3 fr	-3.19E03	-1.04E05	856.5	3 fr	-3.19E03	-1.04E05	0.00	0.40	8.9	0.0	0.0	1 fr

Combinazione quasi permanente

nod	sez	B	H	Af+	Af-	c+	c-	sc	c	N	M	sf	c	N	M	Wk(mm)	Wklim	st	Sm(mm)	c	
64	o	50	30	4.4	4.4	4.6	4.6	-93.4	2 q.	-7.97E04	3.76E05	-265.6	2 q.	-7.97E04	3.76E05	0.00	0.30	0.0	0.0	0.0	1 q.
	v	78	30	10.0	10.0	4.9	4.9	-36.2	2 q.	-6.84E04	-1.41E05	-270.9	2 q.	-6.84E04	-1.41E05	0.00	0.30	0.0	0.0	0.0	1 q.
94	o	100	30	4.7	4.7	4.5	4.5	-36.1	2 q.	2.18E03	-2.34E05	2337.6	2 q.	2.18E03	-2.34E05	0.00	0.30	15.8	0.0	0.0	1 q.
	v	78	30	10.0	10.0	4.9	4.9	-0.12	2 q.	3.04E04	2.10E05	2695.8	2 q.	3.04E04	2.10E05	0.00	0.30	0.0	0.0	0.0	1 q.
105	o	50	30	2.4	2.4	4.5	4.5	-213.2	2 q.	-3.01E04	7.35E05	6904.2	2 q.	-3.01E04	7.35E05	0.00	0.30	0.0	0.0	0.0	1 q.
	v	78	30	10.0	10.0	4.9	4.9	-20.4	2 q.	3.98E04	3.49E05	3899.1	2 q.	3.98E04	3.49E05	0.00	0.30	0.0	0.0	0.0	1 q.
553	o	50	30	2.4	2.4	4.5	4.5	-91.8	2 q.	-1.32E04	3.98E05	2839.3	2 q.	-1.32E04	3.98E05	0.00	0.30	0.0	0.0	0.0	1 q.
	v	96	30	4.7	4.7	3.5	3.5	-13.3	2 q.	3.91E03	-1.02E05	3564.3	2 q.	3.91E03	-1.02E05	0.00	0.30	0.0	0.0	0.0	1 q.
742	o	50	30	4.4	4.4	4.6	4.6	-10.4	2 q.	-5.7E04	3.76E05	-33.6	2 q.	-5.7E04	3.76E05	0.00	0.30	0.0	0.0	0.0	1 q.
	v	96	30	5.5	5.5	3.5	3.5	-13.3	2 q.	8.03E02	1.28E04	1804.2	2 q.	8.03E02	1.28E04	0.00	0.30	0.0	0.0	0.0	1 q.
864	o	50	30	3.5	3.5	4.6	4.6	-64.6	2 q.	8.94E03	-2.62E05	4596.9	2 q.	8.94E03	-2.62E05	0.00	0.30	0.0	0.0	0.0	1 q.
	v	15	30	0.0	0.0	3.0	3.0	-1990372	2 q.	5.97E03	3.88E04	0.0	2 q.	5.97E03	3.88E04	0.00	0.30	0.0	0.0	0.0	1 q.
2459	o	50	30	4.4	4.4	4.6	4.6	-58.4	2 q.	-4.50E03	-2.46E05	1968.0	2 q.	-4.50E03	-2.46E05	0.00	0.30	0.0	0.0	0.0	1 q.
	v	63	30	3.1	3.1	3.5	3.5	-22.2	2 q.	-3.10E03	-1.02E05	850.8	2 q.	-3.10E03	-1.02E05	0.00	0.30	0.0	0.0	0.0	1 q.

Sezione a quota 0

Coordinate dei vertici

X	Y
-319.5	-15.0
-319.5	15.0
-166.3	15.0
-166.3	-15.0

Armature verticali

X	Y	ø	X	Y	ø	X	Y	ø	X	Y	ø	X	Y	ø
-311.0	-10.5	10	-296.0	-10.5	10	-281.0	-10.5	10	-266.0	-10.5	10	-251.0	-10.5	10
-236.0	-10.5	10	-221.0	-10.5	10	-206.0	-10.5	10	-191.0	-10.5	10	-176.0	-10.5	10
-311.0	10.5	10	-296.0	10.5	10	-281.0	10.5	10	-266.0	10.5	10	-251.0	10.5	10
-236.0	10.5	10	-221.0	10.5	10	-206.0	10.5	10	-191.0	10.5	10	-176.0	10.5	10
-314.9	-10.2	16	-314.9	10.2	16	-299.9	-10.2	16	-299.9	10.2	16	-284.9	-10.2	16
-284.9	10.2	16	-170.9	-10.2	16	-170.9	10.2	16	-185.9	-10.2	16	-185.9	10.2	16
-200.9	-10.2	16	-200.9	10.2	16	-315.5	-10.2	16	-315.5	10.2	16	-166.9	-10.2	16
-166.9	10.2	16	-310.8	-10.6	8	-310.8	10.6	8	-295.8	-10.6	8	-295.8	10.6	8
-280.8	-10.6	8	-280.8	10.6	8	-265.8	-10.6	8	-265.8	10.6	8	-250.8	-10.6	8
-250.8	10.6	8	-235.8	-10.6	8	-235.8	10.6	8	-220.8	-10.6	8	-220.8	10.6	8
-205.8	-10.6	8	-205.8	10.6	8	-190.8	-10.6	8	-190.8	10.6	8	-175.8	-10.6	8
-175.8	10.6	8												

Sezione a quota 263

Coordinate dei vertici

X	Y
-319.5	-15.0
-319.5	15.0
-166.3	15.0
-166.3	-15.0

Armature verticali

X	Y	ø	X	Y	ø	X	Y	ø	X	Y	ø	X	Y	ø
-311.0	-10.5	10	-296.0	-10.5	10	-281.0	-10.5	10	-266.0	-10.5	10	-251.0	-10.5	10
-236.0	-10.5	10	-221.0	-10.5	10	-206.0	-10.5	10	-191.0	-10.5	10	-176.0	-10.5	10
-311.0	10.5	10	-296.0	10.5	10	-281.0	10.5	10	-266.0	10.5	10	-251.0	10.5	10
-236.0	10.5	10	-221.0	10.5	10	-206.0	10.5	10	-191.0	10.5	10	-176.0	10.5	10
-314.9	-10.2	16	-314.9	10.2	16	-299.9	-10.2	16	-299.9	10.2	16	-284.9	-10.2	16
-284.9	10.2	16	-170.9	-10.2	16	-170.9	10.2	16	-185.9	-10.2	16	-185.9	10.2	16
-200.9	-10.2	16	-200.9	10.2	16	-315.5	-10.2	16	-315.5	10.2	16	-166.9	-10.2	16
-166.9	10.2	16												

Sezione a quota 525

Coordinate dei vertici

X	Y
-319.5	-15.0
-319.5	15.0
-166.3	15.0
-166.3	-15.0

Armature verticali

X	Y	ø	X	Y	ø	X	Y	ø	X	Y	ø	X	Y	ø
-311.0	-10.5	10	-296.0	-10.5	10	-281.0	-10.5	10	-266.0	-10.5	10	-251.0	-10.5	10
-236.0	-10.5	10	-221.0	-10.5	10	-206.0	-10.5	10	-191.0	-10.5	10	-176.0	-10.5	10
-311.0	10.5	10	-296.0	10.5	10	-281.0	10.5	10	-266.0	10.5	10	-251.0	10.5	10
-236.0	10.5	10	-221.0	10.5	10	-206.0	10.5	10	-191.0	10.5	10	-176.0	10.5	10
-315.5	-10.2	16	-315.5	10.2	16	-166.9	-10.2	16	-166.9	10.2	16			

Sezione a quota 555

Coordinate dei vertici

X	Y
-319.5	-15.0
-319.5	15.0
-166.3	15.0
-166.3	-15.0

Armature verticali

X	Y	ø	X	Y	ø	X	Y	ø	X	Y	ø	X	Y	ø
-311.0	-10.5	10	-296.0	-10.5	10	-281.0	-10.5	10	-266.0	-10.5	10	-251.0	-10.5	10
-236.0	-10.5	10	-221.0	-10.5	10	-206.0	-10.5	10	-191.0	-10.5	10	-176.0	-10.5	10
-311.0	10.5	10	-296.0	10.5	10	-281.0	10.5	10	-266.0	10.5	10	-251.0	10.5	10
-236.0	10.5	10	-221.0	10.5	10	-206.0	10.5	10	-191.0	10.5	10	-176.0	10.5	10
-315.5	-10.2	16	-315.5	10.2	16	-166.9	-10.2	16	-166.9	10.2	16			

Sezione a quota 782

Coordinate dei vertici

X	Y
-319.5	-15.0
-319.5	15.0
-166.3	15.0
-166.3	-15.0

Armature verticali

X	Y	ø	X	Y	ø	X	Y	ø	X	Y	ø	X	Y	ø
-311.0	-10.5	10	-296.0	-10.5	10	-281.0	-10.5	10	-266.0	-10.5	10	-251.0	-10.5	10
-236.0	-10.5	10	-221.0	-10.5	10	-206.0	-10.5	10	-191.0	-10.5	10	-176.0	-10.5	10
-311.0	10.5	10	-296.0	10.5	10	-281.0	10.5	10	-266.0	10.5	10	-251.0	10.5	10
-236.0	10.5	10	-221.0	10.5	10	-206.0	10.5	10	-191.0	10.5	10	-176.0	10.5	10
-315.5	-10.2	16	-315.5	10.2	16	-166.9	-10.2	16	-166.9	10.2	16			

Sezione a quota 1008

Coordinate dei vertici

X	Y
-319.5	-15.0
-319.5	15.0
-166.3	15.0
-166.3	-15.0

Armature verticali

X	Y	ø	X	Y	ø	X	Y	ø	X	Y	ø	X	Y	ø
-311.0	-10.5	10	-296.0	-10.5	10	-281.0	-10.5	10	-266.0	-10.5	10	-251.0	-10.5	10
-236.0	-10.5	10	-221.0	-10.5	10	-206.0	-10.5	10	-191.0	-10.5	10	-176.0	-10.5	10
-311.0	10.5	10	-296.0	10.5	10	-281.0	10.5	10	-266.0	10.5	10	-251.0	10.5	10
-236.0	10.5	10	-221.0	10.5	10	-206.0	10.5	10	-191.0	10.5	10	-176.0	10.5	10
-315.5	-10.2	16	-315.5	10.2	16	-166.9	-10.2	16	-166.9	10.2	16			

Sezione a quota 1038

Coordinate dei vertici

X	Y
-319.5	-15.0
-319.5	15.0
-166.3	15.0
-166.3	-15.0

Armature verticali

X	Y	ø	X	Y	ø	X	Y	ø	X	Y	ø	X	Y	ø
-311.0	-10.5	10	-296.0	-10.5	10	-281.0	-10.5	10	-266.0	-10.5	10	-251.0	-10.5	10
-236.0	-10.5	10	-221.0	-10.5	10	-206.0	-10.5	10	-191.0	-10.5	10	-176.0	-10.5	10
-311.0	10.5	10	-296.0	10.5	10	-281.0	10.5	10	-266.0	10.5	10	-251.0	10.5	10
-236.0	10.5	10	-221.0	10.5	10	-206.0	10.5	10	-191.0	10.5	10	-176.0	10.5	10
-315.5	-10.2	16	-315.5	10.2	16	-166.9	-10.2	16	-166.9	10.2	16			

Sezione a quota 1181

Coordinate dei vertici

X	Y
-319.5	-15.0
-319.5	15.0
-166.3	15.0
-166.3	-15.0

Ingresso-Principale

Armature verticali

X	Y	ø	X	Y	ø	X	Y	ø	X	Y	ø	X	Y	ø
-311.0	-10.5	10	-296.0	-10.5	10	-281.0	-10.5	10	-266.0	-10.5	10	-251.0	-10.5	10
-236.0	-10.5	10	-221.0	-10.5	10	-206.0	-10.5	10	-191.0	-10.5	10	-176.0	-10.5	10
-311.0	10.5	10	-296.0	10.5	10	-281.0	10.5	10	-266.0	10.5	10	-251.0	10.5	10
-236.0	10.5	10	-221.0	10.5	10	-206.0	10.5	10	-191.0	10.5	10	-176.0	10.5	10
-315.5	-10.2	16	-315.5	10.2	16	-166.9	-10.2	16	-166.9	10.2	16			

Sezione a quota 1324

Coordinate dei vertici

X	Y
-319.5	-15.0
-319.5	15.0
-166.3	15.0
-166.3	-15.0

Armature verticali

X	Y	ø	X	Y	ø	X	Y	ø	X	Y	ø	X	Y	ø
-311.0	-10.5	10	-296.0	-10.5	10	-281.0	-10.5	10	-266.0	-10.5	10	-251.0	-10.5	10
-236.0	-10.5	10	-221.0	-10.5	10	-206.0	-10.5	10	-191.0	-10.5	10	-176.0	-10.5	10
-311.0	10.5	10	-296.0	10.5	10	-281.0	10.5	10	-266.0	10.5	10	-251.0	10.5	10
-236.0	10.5	10	-221.0	10.5	10	-206.0	10.5	10	-191.0	10.5	10	-176.0	10.5	10
-315.5	-10.2	16	-315.5	10.2	16	-166.9	-10.2	16	-166.9	10.2	16			

Sezione a quota 1354

Coordinate dei vertici

X	Y
-319.5	-15.0
-319.5	15.0
-166.3	15.0
-166.3	-15.0

Armature verticali

X	Y	ø	X	Y	ø	X	Y	ø	X	Y	ø	X	Y	ø
-311.0	-10.5	10	-296.0	-10.5	10	-281.0	-10.5	10	-266.0	-10.5	10	-251.0	-10.5	10
-236.0	-10.5	10	-221.0	-10.5	10	-206.0	-10.5	10	-191.0	-10.5	10	-176.0	-10.5	10
-311.0	10.5	10	-296.0	10.5	10	-281.0	10.5	10	-266.0	10.5	10	-251.0	10.5	10
-236.0	10.5	10	-221.0	10.5	10	-206.0	10.5	10	-191.0	10.5	10	-176.0	10.5	10
-315.5	-10.2	16	-315.5	10.2	16	-166.9	-10.2	16	-166.9	10.2	16			

Sezione a quota 1515

Coordinate dei vertici

X	Y
-319.5	-15.0
-319.5	15.0
-166.3	15.0
-166.3	-15.0

Armature verticali

X	Y	ø	X	Y	ø	X	Y	ø	X	Y	ø	X	Y	ø
-311.0	-10.5	10	-296.0	-10.5	10	-281.0	-10.5	10	-266.0	-10.5	10	-251.0	-10.5	10
-236.0	-10.5	10	-221.0	-10.5	10	-206.0	-10.5	10	-191.0	-10.5	10	-176.0	-10.5	10
-311.0	10.5	10	-296.0	10.5	10	-281.0	10.5	10	-266.0	10.5	10	-251.0	10.5	10
-236.0	10.5	10	-221.0	10.5	10	-206.0	10.5	10	-191.0	10.5	10	-176.0	10.5	10
-315.5	-10.2	16	-315.5	10.2	16	-166.9	-10.2	16	-166.9	10.2	16			

Sezione a quota 1676

Coordinate dei vertici

X	Y
-319.5	-15.0
-319.5	15.0
-166.3	15.0
-166.3	-15.0

Armature verticali

X	Y	ø	X	Y	ø	X	Y	ø	X	Y	ø	X	Y	ø
-311.0	-10.5	10	-296.0	-10.5	10	-281.0	-10.5	10	-266.0	-10.5	10	-251.0	-10.5	10
-236.0	-10.5	10	-221.0	-10.5	10	-206.0	-10.5	10	-191.0	-10.5	10	-176.0	-10.5	10
-311.0	10.5	10	-296.0	10.5	10	-281.0	10.5	10	-266.0	10.5	10	-251.0	10.5	10
-236.0	10.5	10	-221.0	10.5	10	-206.0	10.5	10	-191.0	10.5	10	-176.0	10.5	10
-315.5	-10.2	16	-315.5	10.2	16	-166.9	-10.2	16	-166.9	10.2	16			

fcd	fctcd	Hcr	q.Hcr	hw	Lw	n.p.	hs
141	12	319	289	1736	153	5	411

Verifica a pressoflessione

quota	Mxd	Myd	Ned	Ngrav.	NReale	c.s. comb
0	96586	2512691	-114759	-114759	-114759	5.3605 20 SLU
0	-46029	7142315	-178164	-79228	-138550	2.6684 13 SLV
263	-13906	1212716	-79467	-79467	-79467	8.2814 20 SLU
263	-25185	6441258	-36966	-54695	-64313	2.6355 16 SLV
525	-12762	-443723	-51163	-51163	-51163	11.9440 20 SLU
525	-63853	2736706	-4462	-34787	-21855	2.5426 16 SLV
555	26452	92763	-42014	-42014	-42014	14.5451 15 SLU
555	-9205	3089742	2032	-28865	-12400	1.9438 16 SLV
782	-24387	41965	-37957	-37957	-37957	16.0996 20 SLU
782	-1024	-511082	14195	-26062	1164	4.3677 16 SLV
1008	-3211	-130405	-36530	-36530	-36530	16.7285 20 SLU
1008	-2887	-2246346	25335	-24795	12937	1.6390 16 SLV
1038	32097	-284426	-29853	-29853	-29853	20.4698 20 SLU
1038	23974	-583543	20592	-20758	10213	3.2404 16 SLV
1181	11007	-66202	-22653	-22653	-22653	26.9765 20 SLU
1181	12227	-1189673	19372	-15695	11525	2.5867 16 SLV
1324	-40533	-490127	-18983	-18983	-18983	23.8837 20 SLU
1324	-12572	-2221723	12454	-13128	5890	2.1209 16 SLV
1354	-6607	-61823	-14189	-14189	-14189	43.0674 18 SLU
1354	6143	-571698	8879	-10270	3744	5.5186 16 SLV
1515	-783	-408331	-14680	-14680	-14680	32.1261 17 SLV
1515	4904	-1230437	2820	-9945	-2152	4.5634 16 SLV
1676	438942	24808	-12238	-12238	-12238	3.7317 17 SLV
1676	287630	-526066	-257	-8119	-4316	3.6851 16 SLV

Controllo dello sforzo normale massimo

quota	Ned	Nmax(7.4.4.5.2.1)	c.s. comb
0	-195296	-259503	1.3288 9 SLV
263	-125348	-259503	2.0703 9 SLV
525	-75750	-259503	3.4258 5 SLV
555	-66642	-259503	3.8940 5 SLV
782	-66320	-259503	3.9129 1 SLV
1008	-74926	-259503	3.4634 1 SLV
1038	-62109	-259503	4.1782 1 SLV
1181	-50763	-259503	5.1120 1 SLV
1324	-39610	-259503	6.5514 3 SLV
1354	-29419	-259503	8.8210 1 SLV
1515	-21757	-259503	11.9276 4 SLV
1676	-16040	-259503	16.1785 2 SLV

Verifica compressione del diagonale

quota	epsilon	VED	Vrzd comb
0	1.00	16954	152703 20 SLU
0	1.50	46958	149539 13 SLV
263	1.00	12644	145645 20 SLU
263	1.50	45015	142019 13 SLV
525	1.00	12442	139984 20 SLU
525	1.50	43684	133690 13 SLV
555	1.00	1637	138039 19 SLU
555	1.50	20996	132210 13 SLV
782	1.00	-101	135978 10 SLU
782	1.50	16182	129751 13 SLV
1008	1.00	361	135406 16 SLU
1008	1.50	17309	129751 13 SLV
1038	1.00	5155	135722 20 SLU

1038	1.50	14519	134306	9	SLV
1181	1.00	4339	134282	20	SLU
1181	1.50	9120	133203	9	SLV
1324	1.00	3259	133208	15	SLU
1324	1.50	11735	129751	9	SLV
1354	1.00	830	132432	16	SLU
1354	1.50	7993	131917	5	SLV
1515	1.00	894	132387	19	SLU
1515	1.50	6573	132305	1	SLV
1676	1.00	-5225	132199	17	SLU
1676	1.50	-9307	129803	16	SLV

Verifica trazione del diagonale

quota	At	roh	rov	VEd	NEd	VRsd comb
0	57.7	0.0066	0.0126	16954	-114759	95162 20 SLU
0	57.7	0.0066	0.0126	46958	-138550	95162 13 SLV
263	47.7	0.0033	0.0104	12644	-79467	47110 20 SLU
263	47.7	0.0033	0.0104	45015	-88687	47110 13 SLV
525	23.5	0.0038	0.0051	12442	-51163	54962 20 SLU
525	23.5	0.0038	0.0051	43684	-37087	54962 13 SLV
555	23.5	0.0038	0.0051	1637	-41436	54962 19 SLU
555	23.5	0.0038	0.0051	20996	-26724	54962 13 SLV
782	23.5	0.0033	0.0051	-101	-31135	47110 10 SLU
782	23.5	0.0033	0.0051	-16249	-40881	47110 4 SLV
1008	23.5	0.0033	0.0051	361	-28271	47110 16 SLU
1008	23.5	0.0033	0.0051	17309	-3317	47110 13 SLV
1038	23.5	0.0033	0.0051	5155	-29853	47110 20 SLU
1038	23.5	0.0033	0.0051	14519	-33152	47110 9 SLV
1181	23.5	0.0038	0.0051	4339	-22653	54962 20 SLU
1181	23.5	0.0038	0.0051	9120	-25106	54962 9 SLV
1324	23.5	0.0033	0.0051	3259	-17282	47110 15 SLU
1324	23.5	0.0033	0.0051	11735	-6151	47110 9 SLV
1354	23.5	0.0033	0.0051	830	-13402	47110 16 SLU
1354	23.5	0.0033	0.0051	7993	-15961	47110 5 SLV
1515	23.5	0.0038	0.0051	894	-13177	54962 19 SLU
1515	23.5	0.0038	0.0051	6573	-17738	54962 1 SLV
1676	23.5	0.0034	0.0051	-5225	-12238	48315 17 SLU
1676	23.5	0.0034	0.0051	-9307	-4316	48315 16 SLV

Verifica per scorrimento a taglio

quota	Somma(Asj)	csi	Med	VEd	Vdd	Vid	Vfd	Vrd,s	comb
0	57.71	0.52	7149974	46041	55749	0	91117	146867	14 SLV

S2A

Parete fra le coordinate in pianta (1390;-992) (1390;0)
da quota -362 a quota 1754
Valori in daN, cm
C25/30: rck 300
fyk 4500

Verifica di stato limite ultimo

nod	sez	B	H	Af+	Af-	c+	c-	c.s.	comb	N	M	Nu	Mu
9	o	50	40	19.9	19.9	4.6	4.6	0.952	20 SLU	-18783	-2874559	-17888	-2737625
	v	78	40	8.5	8.5	4.4	4.4	5.162	20 SLU	-2981	-268857	-15386	-1387868
24	o	100	40	35.4	35.4	4.6	4.6	1.219	20 SLU	-56996	-4462572	-69498	-5441480
	v	78	40	8.5	8.5	4.4	4.4	1.541	20 SLU	-5491	-829255	-8462	-1277944
596	o	100	40	27.5	27.5	4.7	4.7	4.178	20 SLU	-55768	-1442666	-233012	-6027767
	v	96	40	6.0	6.0	3.4	3.4	0.891	20 SLU	-5853	-1054559	-5217	-940031
618	o	100	40	5.5	5.5	4.3	4.3	1.369	20 SLU	-61544	-1531955	-84283	-2098000
	v	96	40	4.0	4.0	3.4	3.4	2.470	6 SLV	-18	-233077	-45	-575711
1453	o	100	40	5.5	5.5	4.3	4.3	7.254	2 SLV	-3286	161655	-23836	1172713
	v	88	40	3.5	3.5	3.4	3.4	1.868	2 SLV	6190	154633	11562	288851
1935	o	100	40	5.7	5.7	4.3	4.3	1.007	3 SLV	-9200	-950279	-9262	-956739
	v	96	40	4.0	4.0	3.4	3.4	3.323	3 SLV	8	-172806	28	-574285
2175	o	100	40	4.7	4.7	4.3	4.3	1.058	19 SLU	-1234	-649023	-1306	-686745
	v	96	40	4.0	4.0	3.4	3.4	5.670	19 SLU	-745	114879	-4225	651352
2191	o	100	40	4.7	4.7	4.3	4.3	0.919	19 SLU	6561	-604890	6028	-555725
	v	74	40	3.0	3.0	3.4	3.4	2.878	20 SLU	260	145197	748	417873

Combinazione rara

nod	sez	B	H	Af+	Af-	c+	c-	sc	c	N	M	sf	c	N										
9	o	50	40	19.9	19.9	4.6	4.6	-138.2	5	ra	-1.40E04	-2.13E06	3180.5	5	ra	-1.40E04	-2.13E06	0.13999	0.0	100.6	5	ra		
	v	78	40	8.5	8.5	4.4	4.4	-15.7	5	ra	-2.21E03	-2.00E05	620.6	5	ra	-2.21E03	-2.00E05	0.00999	0.0	8.3	0	1	ra	
24	o	100	40	35.4	35.4	4.6	4.6	-117.6	5	ra	-4.24E04	-3.31E06	2503.8	5	ra	-4.24E04	-3.31E06	0.08999	0.0	83.7	5	ra		
	v	78	40	8.5	8.5	4.4	4.4	-48.0	5	ra	-4.10E03	-6.14E05	2057.3	5	ra	-4.10E03	-6.14E05	0.15999	0.0	272.2	5	ra		
596	o	100	40	27.5	27.5	4.7	4.7	-46.2	5	ra	-4.15E04	-1.07E06	614.6	5	ra	-4.15E04	-1.07E06	0.00999	0.0	25.1	0	0	1	ra
	v	96	40	6.0	6.0	3.4	3.4	-60.5	5	ra	-4.37E03	-7.82E05	3447.2	5	ra	-4.37E03	-7.82E05	0.23999	0.0	239.7	5	ra		
618	o	100	40	5.5	5.5	4.3	4.3	-86.2	5	ra	-4.67E04	-1.14E06	2385.7	5	ra	-4.56E04	-1.13E06	0.21999	0.0	357.1	5	ra		
	v	96	40	4.0	4.0	3.4	3.4	-19.2	5	ra	-1.86E03	-2.05E05	1248.3	5	ra	-1.86E03	-2.05E05	0.00999	0.0	7.3	0	0	1	ra
1453	o	100	40	5.5	5.5	4.3	4.3	-6.6	5	ra	-1.32E04	9.88E04	-6.9	5	ra	-1.32E04	9.88E04	0.00999	0.0	0.4	0	0	1	ra
	v	88	40	3.5	3.5	3.4	3.4	-7.9	5	ra	-2.15E03	7.88E04	369.4	5	ra	-2.04E03	7.84E04	0.00999	0.0	2.7	0	0	1	ra
1935	o	100	40	5.7	5.7	4.3	4.3	-24.0	2	ra	-1.13E04	-3.14E05	737.6	1	ra	-1.12E04	-3.13E05	0.00999	0.0	8.6	0	0	1	ra
	v	96	40	4.0	4.0	3.4	3.4	-8.2	5	ra	-5.03E02	-8.71E04	566.4	5	ra	-5.03E02	-8.71E04	0.00999	0.0	3.2	0	0	1	ra
2175	o	100	40	4.7	4.7	4.3	4.3	-41.0	4	ra	-1.38E03	-4.57E05	2751.4	4	ra	-1.38E03	-4.57E05	0.00999	0.0	16.3	0	0	1	ra
	v	96	40	4.0	4.0	3.4	3.4	-7.6	5	ra	-5.71E02	8.09E04	514.0	4	ra	-5.68E02	8.09E04	0.00999	0.0	2.9	0	0	1	ra
2191	o	100	40	4.7	4.7	4.3	4.3	-38.1	4	ra	4.68E03	-4.34E05	3259.3	4	ra	4.68E03	-4.34E05	0.00999	0.0	17.0	0	0	1	ra
	v	74	40	3.0	3.0	3.4	3.4	-12.7	5	ra	2.05E02	1.04E05	1031.2	5	ra	2.05E02	1.04E05	0.00999	0.0	5.2	0	0	1	ra

Combinazione frequente

nod	sez	B	H	Af+	Af-	c+	c-	sc	c	N	M	sf	c	N										
9	o	50	40	19.9	19.9	4.6	4.6	-131.1	4	fr	-1.32E04	-2.02E06	3017.0	4	fr	-1.32E04	-2.02E06	0.12	0.40	0.0	100.6	4	fr	
	v	78	40	8.5	8.5	4.4	4.4	-15.0	4	fr	-2.13E03	-1.91E05	590.8	4	fr	-2.13E03	-1.91E05	0.00	0.40	8.0	0	0	1	fr
24	o	100	40	35.4	35.4	4.6	4.6	-111.5	4	fr	-4.01E04	-3.14E06	2373.6	4	fr	-4.01E04	-3.14E06	0.08	0.40	0.0	83.7	4	fr	
	v	78	40	8.5	8.5	4.4	4.4	-45.5	4	fr	-3.87E03	-5.83E05	1952.5	4	fr	-3.87E03	-5.83E05	0.00	0.40	25.1	0	0	1	fr
596	o	100	40	27.5	27.5	4.7	4.7	-43.7	4	fr	-3.93E04	-1.01E06	582.0	4	fr	-3.93E04	-1.01E06	0.00	0.40	23.8	0	0	1	fr
	v	96	40	6.0	6.0	3.4	3.4	-57.4	4	fr	-4.17E03	-7.42E05	3267.9	4	fr	-4.17E03	-7.42E05	0.22	0.40	0.0	239.7	4	fr	
618	o	100	40	5.5	5.5	4.3	4.3	-81.8	4	fr	-4.44E04	-1.08E06	2260.4	4	fr	-4.33E04	-1.08E06	0.20	0.40	0.0	357.0	4	fr	
	v	96	40	4.0	4.0	3.4	3.4	-18.1	4	fr	-1.81E03	-1.94E05	1177.0	4	fr	-1.81E03	-1.94E05	0.00	0.40	6.9	0	0	1	fr
1453	o	100	40	5.5	5.5	4.3	4.3	-6.4	4	fr	-1.27E04	9.57E04	-6.1	4	fr	-1.27E04	9.57E04	0.00	0.40	0.4	0	0	1	fr
	v	88	40	3.5	3.5	3.4	3.4	-7.6	4	fr	-2.05E03	7.59E04	348.2	4	fr	-2.05E03	7.59E04	0.00	0.40	2.6	0	0	1	fr
1935	o	100	40	5.7	5.7	4.3	4.3	-24.0	2	fr	-1.12E04	-3.13E05	737.6	1	fr	-1.12E04	-3.13E05	0.00	0.40	8.6	0	0	1	fr
	v	96	40	4.0	4.0	3.4	3.4	-7.6	4	fr	-4.68E02	-8.08E04	525.3	4	fr	-4.68E02	-8.08E04	0.00	0.40	2.9	0	0	1	fr
2175	o	100	40	4.7	4.7	4.3	4.3	-35.7	4	fr	-1.77E03	-3.99E05	2338.8	4	fr	-1.77E03	-3.99E05	0.00	0.40	14.1	0	0	1	fr
	v	96	40	4.0	4.0	3.4	3.4	-6.7	4	fr	-5.35E02	7.10E04	446.8	4	fr	-5.35E02	7.10E04	0.00	0.40	2.6	0	0	1	fr
2191	o	100	40	4.7	4.7	4.3	4.3	-34.8	4	fr	3.98E03	-3.96E05	2939.3	4	fr	3.98E03	-3.96E05	0.00	0.40	15.4	0	0	1	fr
	v	74	40	3.0	3.0	3.4	3.4	-11.4	4	fr	1.14E02	9.30E04	912.2	4	fr	1.14E02	9.30E04	0.00	0.40	4.6	0	0	1	fr

Combinazione quasi permanente

nod	sez	B	H	Af+	Af-	c+	c-	sc	c	N	M	sf	c	N	M	Wk(mm)	Wklim	st	Sm(mm)	c
9	o	50	40	19.9	19.9	4.6	4.6	-128.9	2	q.	-1.30E04	-1.99E06	2965.9	2	q.	-1.30E04	-1.99E06	0.12	0.30	0.0

Ingresso-Principale

Coordinate dei vertici

X	Y
-991.9	-20.0
-991.9	20.0
-661.9	20.0
-661.9	-20.0
-511.9	-20.0
-511.9	20.0
-42.0	20.0
-42.0	-20.0

Armature verticali

X	Y	ø	X	Y	ø	X	Y	ø	X	Y	ø	X	Y	ø
-988.9	-15.7	10	-973.9	-15.7	10	-958.9	-15.7	10	-943.9	-15.7	10	-928.9	-15.7	10
-913.9	-15.7	10	-898.9	-15.7	10	-883.9	-15.7	10	-868.9	-15.7	10	-853.9	-15.7	10
-838.9	-15.7	10	-823.9	-15.7	10	-808.9	-15.7	10	-793.9	-15.7	10	-778.9	-15.7	10
-763.9	-15.7	10	-748.9	-15.7	10	-733.9	-15.7	10	-718.9	-15.7	10	-703.9	-15.7	10
-688.9	-15.7	10	-673.9	-15.7	10	-658.9	-15.7	10	-643.9	-15.7	10	-628.9	-15.7	10
-463.9	-15.7	10	-448.9	-15.7	10	-433.9	-15.7	10	-418.9	-15.7	10	-403.9	-15.7	10
-388.9	-15.7	10	-373.9	-15.7	10	-358.9	-15.7	10	-343.9	-15.7	10	-328.9	-15.7	10
-313.9	-15.7	10	-298.9	-15.7	10	-283.9	-15.7	10	-268.9	-15.7	10	-253.9	-15.7	10
-238.9	-15.7	10	-223.9	-15.7	10	-208.9	-15.7	10	-193.9	-15.7	10	-178.9	-15.7	10
-163.9	-15.7	10	-148.9	-15.7	10	-133.9	-15.7	10	-118.9	-15.7	10	-103.9	-15.7	10
-88.9	-15.7	10	-73.9	-15.7	10	-58.9	-15.7	10	-43.9	-15.7	10	-28.9	-15.7	10
-973.9	15.7	10	-958.9	15.7	10	-943.9	15.7	10	-928.9	15.7	10	-913.9	15.7	10
-898.9	15.7	10	-883.9	15.7	10	-868.9	15.7	10	-853.9	15.7	10	-838.9	15.7	10
-823.9	15.7	10	-808.9	15.7	10	-793.9	15.7	10	-778.9	15.7	10	-763.9	15.7	10
-748.9	15.7	10	-733.9	15.7	10	-718.9	15.7	10	-703.9	15.7	10	-688.9	15.7	10
-673.9	15.7	10	-658.9	15.7	10	-643.9	15.7	10	-628.9	15.7	10	-613.9	15.7	10
-448.9	15.7	10	-433.9	15.7	10	-418.9	15.7	10	-403.9	15.7	10	-388.9	15.7	10
-373.9	15.7	10	-358.9	15.7	10	-343.9	15.7	10	-328.9	15.7	10	-313.9	15.7	10
-298.9	15.7	10	-283.9	15.7	10	-268.9	15.7	10	-253.9	15.7	10	-238.9	15.7	10
-223.9	15.7	10	-208.9	15.7	10	-193.9	15.7	10	-178.9	15.7	10	-163.9	15.7	10
-148.9	15.7	10	-133.9	15.7	10	-118.9	15.7	10	-103.9	15.7	10	-88.9	15.7	10
-73.9	15.7	10	-58.9	15.7	10	-43.9	15.7	10	-28.9	15.7	10	-13.9	15.7	10
-972.1	-15.2	20	-972.1	15.2	20	-957.1	-15.2	20	-957.1	15.2	20	-942.1	-15.2	20
-942.1	-15.2	20	-927.1	-15.2	20	-927.1	15.2	20	-912.1	-15.2	20	-912.1	15.2	20
-897.1	-15.2	20	-897.1	15.2	20	-882.1	-15.2	20	-882.1	15.2	20	-867.1	-15.2	20
-867.1	-15.2	20	-852.1	-15.2	20	-852.1	15.2	20	-837.1	-15.2	20	-837.1	15.2	20
-822.1	-15.2	20	-822.1	15.2	20	-807.1	-15.2	20	-807.1	15.2	20	-792.1	-15.2	20
-792.1	-15.2	20	-777.1	-15.2	20	-777.1	15.2	20	-762.1	-15.2	20	-762.1	15.2	20
-747.1	-15.2	20	-747.1	15.2	20	-732.1	-15.2	20	-732.1	15.2	20	-717.1	-15.2	20
-717.1	-15.2	20	-702.1	-15.2	20	-702.1	15.2	20	-687.1	-15.2	20	-687.1	15.2	20
-687.1	-15.2	20	-672.1	-15.2	20	-672.1	15.2	20	-657.1	-15.2	20	-657.1	15.2	20
-657.1	-15.2	20	-642.1	-15.2	20	-642.1	15.2	20	-627.1	-15.2	20	-627.1	15.2	20
-627.1	-15.2	20	-612.1	-15.2	20	-612.1	15.2	20	-597.1	-15.2	20	-597.1	15.2	20
-597.1	-15.2	20	-582.1	-15.2	20	-582.1	15.2	20	-567.1	-15.2	20	-567.1	15.2	20
-567.1	-15.2	20	-552.1	-15.2	20	-552.1	15.2	20	-537.1	-15.2	20	-537.1	15.2	20
-537.1	-15.2	20	-522.1	-15.2	20	-522.1	15.2	20	-507.1	-15.2	20	-507.1	15.2	20
-507.1	-15.2	20	-492.1	-15.2	20	-492.1	15.2	20	-477.1	-15.2	20	-477.1	15.2	20
-477.1	-15.2	20	-462.1	-15.2	20	-462.1	15.2	20	-447.1	-15.2	20	-447.1	15.2	20
-447.1	-15.2	20	-432.1	-15.2	20	-432.1	15.2	20	-417.1	-15.2	20	-417.1	15.2	20
-417.1	-15.2	20	-402.1	-15.2	20	-402.1	15.2	20	-387.1	-15.2	20	-387.1	15.2	20
-387.1	-15.2	20	-372.1	-15.2	20	-372.1	15.2	20	-357.1	-15.2	20	-357.1	15.2	20
-357.1	-15.2	20	-342.1	-15.2	20	-342.1	15.2	20	-327.1	-15.2	20	-327.1	15.2	20
-327.1	-15.2	20	-312.1	-15.2	20	-312.1	15.2	20	-297.1	-15.2	20	-297.1	15.2	20
-297.1	-15.2	20	-282.1	-15.2	20	-282.1	15.2	20	-267.1	-15.2	20	-267.1	15.2	20
-267.1	-15.2	20	-252.1	-15.2	20	-252.1	15.2	20	-237.1	-15.2	20	-237.1	15.2	20
-237.1	-15.2	20	-222.1	-15.2	20	-222.1	15.2	20	-207.1	-15.2	20	-207.1	15.2	20
-207.1	-15.2	20	-192.1	-15.2	20	-192.1	15.2	20	-177.1	-15.2	20	-177.1	15.2	20
-177.1	-15.2	20	-162.1	-15.2	20	-162.1	15.2	20	-147.1	-15.2	20	-147.1	15.2	20
-147.1	-15.2	20	-132.1	-15.2	20	-132.1	15.2	20	-117.1	-15.2	20	-117.1	15.2	20
-117.1	-15.2	20	-102.1	-15.2	20	-102.1	15.2	20	-87.1	-15.2	20	-87.1	15.2	20
-87.1	-15.2	20	-72.1	-15.2	20	-72.1	15.2	20	-57.1	-15.2	20	-57.1	15.2	20
-57.1	-15.2	20	-42.1	-15.2	20	-42.1	15.2	20	-27.1	-15.2	20	-27.1	15.2	20
-27.1	-15.2	20	-12.1	-15.2	20	-12.1	15.2	20	3.9	-15.2	20	3.9	15.2	20
3.9	-15.2	20	18.9	-15.2	20	18.9	15.2	20	33.9	-15.2	20	33.9	15.2	20
33.9	-15.2	20	48.9	-15.2	20	48.9	15.2	20	63.9	-15.2	20	63.9	15.2	20
63.9	-15.2	20	78.9	-15.2	20	78.9	15.2	20	93.9	-15.2	20	93.9	15.2	20
93.9	-15.2	20	108.9	-15.2	20	108.9	15.2	20	123.9	-15.2	20	123.9	15.2	20
123.9	-15.2	20	138.9	-15.2	20	138.9	15.2	20	153.9	-15.2	20	153.9	15.2	20
153.9	-15.2	20	168.9	-15.2	20	168.9	15.2	20	183.9	-15.2	20	183.9	15.2	20
183.9	-15.2	20	198.9	-15.2	20	198.9	15.2	20	213.9	-15.2	20	213.9	15.2	20
213.9	-15.2	20	228.9	-15.2	20	228.9	15.2	20	243.9	-15.2	20	243.9	15.2	20
243.9	-15.2	20	258.9	-15.2	20	258.9	15.2	20	273.9	-15.2	20	273.9	15.2	20
273.9	-15.2	20	288.9	-15.2	20	288.9	15.2	20	303.9	-15.2	20	303.9	15.2	20
303.9	-15.2	20	318.9	-15.2	20	318.9	15.2	20	333.9	-15.2	20	333.9	15.2	20
333.9	-15.2	20	348.9	-15.2	20	348.9	15.2	20	363.9	-15.2	20	363.9	15.2	20
363.9	-15.2	20	378.9	-15.2	20	378.9	15.2	20	393.9	-15.2	20	393.9	15.2	20
393.9	-15.2	20	408.9	-15.2	20	408.9	15.2	20	423.9	-15.2	20	423.9	15.2	20
423.9	-15.2	20	438.9	-15.2	20	438.9	15.2	20	453.9	-15.2	20	453.9	15.2	20
453.9	-15.2	20	468.9	-15.2	20	468.9	15.2	20	483.9	-15.2	20	483.9	15.2	20
483.9	-15.2	20	498.9	-15.2	20	498.9	15.2	20	513.9	-15.2	20	513.9	15.2	20
513.9	-15.2	20	528.9	-15.2	20	528.9	15.2	20	543.9	-15.2	20	543.9	15.2	20
543.9	-15.2	20	558.9	-15.2	20	558.9	15.2	20	573.9	-15.2	20	573.9	15.2	20
573.9	-15.2	20	588.9	-15.2	20	588.9	15.2	20	603.9	-15.2	20	603.9	15.2	20
603.9	-15.2	20	618.9	-15.2	20	618.9	15.2	20	633.9	-15.2	20	633.9	15.2	20
633.9	-15.2	20	648.9	-15.2	20	648.9	15.2	20	663.9	-15.2	20	663.9	15.2	20
663.9	-15.2	20	678.9	-15.2	20	678.9	15.2	20	693.9	-15.2	20	693.9	15.2	20
693.9	-15.2	20	708.9	-15.2	20	708.9	15.2	20	723.9	-15.2	20	723.9	15.2	20
723.9	-15.2	20	738.9	-15.2	20	738.9	15.2	20	753.9	-15.2	20	753.9	15.2	20
753.9	-15.2	20	768.9	-15.2	20	768.9	15.2	20	783.9	-15.2	20	783.9	15.2	20
783.9	-15.2	20	798.9	-15.2	20	798.9	15.2	20	813.9	-15.2	20	813.9	15.2	20
813.9	-15.2	20	828.9	-15.2	20	828.9	15.2	20	843.9	-15.2	20	843.9	15.2	20
843.9	-15.2	20	858.9	-15.2	20	858.9	15.2	20	873.9	-15.2	20	873.9	15.2	20
873.9	-15.2	20	888.9	-15.2	20	888.9	15.2	20	903.9	-15.2	20	903.9	15.2	20
903.9	-15.2	20	918.9	-15.2	20	918.9	15.2	20	933.9	-15.2	20	933.9	15.2	20
933.9	-15.2	20	948.9	-15.2	20	948.9	15.2	20	963.9	-15.2	20	963.9	15.2	20
963.9	-15.2	20	978.9	-15.2	20	978.9	15.2	20	993.9	-15.2	20	993.9	15.2	20
993.9	-15.2	20	1008.9	-15.2	20	1008.9	15.2	20	1023.9	-15.2	20	1023.9	15.2	20
1023.9	-15.2	20	1038.9	-15.2	20	1038.9	15							

-987.9 15.4

-42.0 -20.0

-106.8 -15.2
106.8 15.2

-991.9	20.0
10.0	20.0

Coordinate dei vertici

Armature verticali

Sezione a quota 1181

Armature verticali

Sezione a quota 1324

Armature verticali

Sezione a quota 1354

116


```
-991.9    -20.0
-991.9     20.0
 -42.0     20.0
 -42.0    -20.0
```

X	Y	ϕ	X	Y	ϕ	X	Y	ϕ	X	Y	ϕ	X	Y	ϕ
-988.9	-15.7	10	-973.9	-15.7	10	-958.9	-15.7	10	-943.9	-15.7	10	-928.9	-15.7	10
-913.9	-15.7	10	-898.9	-15.7	10	-883.9	-15.7	10	-868.9	-15.7	10	-853.9	-15.7	10
-838.9	-15.7	10	-823.9	-15.7	10	-808.9	-15.7	10	-793.9	-15.7	10	-778.9	-15.7	10
-763.9	-15.7	10	-748.9	-15.7	10	-733.9	-15.7	10	-718.9	-15.7	10	-703.9	-15.7	10
-688.9	-15.7	10	-673.9	-15.7	10	-658.9	-15.7	10	-643.9	-15.7	10	-628.9	-15.7	10
-613.9	-15.7	10	-598.9	-15.7	10	-583.9	-15.7	10	-568.9	-15.7	10	-553.9	-15.7	10
-538.9	-15.7	10	-523.9	-15.7	10	-508.9	-15.7	10	-493.9	-15.7	10	-478.9	-15.7	10
-463.9	-15.7	10	-448.9	-15.7	10	-433.9	-15.7	10	-418.9	-15.7	10	-403.9	-15.7	10
-388.9	-15.7	10	-373.9	-15.7	10	-358.9	-15.7	10	-343.9	-15.7	10	-328.9	-15.7	10
-313.9	-15.7	10	-298.9	-15.7	10	-283.9	-15.7	10	-268.9	-15.7	10	-253.9	-15.7	10
-238.9	-15.7	10	-223.9	-15.7	10	-208.9	-15.7	10	-193.9	-15.7	10	-178.9	-15.7	10
-163.9	-15.7	10	-148.9	-15.7	10	-133.9	-15.7	10	-118.9	-15.7	10	-103.9	-15.7	10
-88.9	-15.7	10	-73.9	-15.7	10	-58.9	-15.7	10	-43.9	-15.7	10	-28.9	-15.7	10
-958.9	15.7	10	-943.9	15.7	10	-928.9	15.7	10	-913.9	15.7	10	-898.9	15.7	10
-883.9	15.7	10	-868.9	15.7	10	-853.9	15.7	10	-838.9	15.7	10	-823.9	15.7	10
-808.9	15.7	10	-793.9	15.7	10	-778.9	15.7	10	-763.9	15.7	10	-748.9	15.7	10
-733.9	15.7	10	-718.9	15.7	10	-703.9	15.7	10	-688.9	15.7	10	-673.9	15.7	10
-658.9	15.7	10	-643.9	15.7	10	-628.9	15.7	10	-613.9	15.7	10	-598.9	15.7	10
-583.9	15.7	10	-568.9	15.7	10	-553.9	15.7	10	-538.9	15.7	10	-523.9	15.7	10
-508.9	15.7	10	-493.9	15.7	10	-478.9	15.7	10	-463.9	15.7	10	-448.9	15.7	10
-433.9	15.7	10	-418.9	15.7	10	-403.9	15.7	10	-388.9	15.7	10	-373.9	15.7	10
-358.9	15.7	10	-343.9	15.7	10	-328.9	15.7	10	-313.9	15.7	10	-298.9	15.7	10
-283.9	15.7	10	-268.9	15.7	10	-253.9	15.7	10	-238.9	15.7	10	-223.9	15.7	10
-208.9	15.7	10	-193.9	15.7	10	-178.9	15.7	10	-163.9	15.7	10	-148.9	15.7	10
-133.9	15.7	10	-118.9	15.7	10	-103.9	15.7	10	-88.9	15.7	10	-73.9	15.7	10
-58.9	15.7	10	-461.5	-15.4	16	-461.5	15.4	16	-446.5	-15.4	16	-446.5	15.4	16
-431.5	-15.4	16	-431.5	15.4	16	-416.5	-15.4	16	-416.5	15.4	16	-401.5	-15.4	16
-401.5	-15.4	16	-386.5	-15.4	16	-386.5	15.4	16	-371.5	-15.4	16	-371.5	15.4	16
-356.5	-15.4	16	-356.5	15.4	16	-341.5	-15.4	16	-341.5	15.4	16	-326.5	-15.4	16
-326.5	-15.4	16	-311.5	-15.4	16	-311.5	15.4	16	-296.5	-15.4	16	-296.5	15.4	

-991.9	-20.0
-991.9	20.0
-42.0	20.0
-42.0	-20.0

X	Y	ϕ	Y	ϕ	X	Y	ϕ	X	Y	ϕ	X	Y	ϕ	
-988.9	-15.7	10	-973.9	-15.7	10	-958.9	-15.7	10	-943.9	-15.7	10	-928.9	-15.7	10
-913.9	-15.7	10	-898.9	-15.7	10	-883.9	-15.7	10	-868.9	-15.7	10	-853.9	-15.7	10
-838.9	-15.7	10	-823.9	-15.7	10	-808.9	-15.7	10	-793.9	-15.7	10	-778.9	-15.7	10
-763.9	-15.7	10	-748.9	-15.7	10	-733.9	-15.7	10	-718.9	-15.7	10	-703.9	-15.7	10
-688.9	-15.7	10	-673.9	-15.7	10	-658.9	-15.7	10	-643.9	-15.7	10	-628.9	-15.7	10
-613.9	-15.7	10	-598.9	-15.7	10	-583.9	-15.7	10	-568.9	-15.7	10	-553.9	-15.7	10
-538.9	-15.7	10	-523.9	-15.7	10	-508.9	-15.7	10	-493.9	-15.7	10	-478.9	-15.7	10
-463.9	-15.7	10	-448.9	-15.7	10	-433.9	-15.7	10	-418.9	-15.7	10	-403.9	-15.7	10
-388.9	-15.7	10	-373.9	-15.7	10	-358.9	-15.7	10	-343.9	-15.7	10	-328.9	-15.7	10
-313.9	-15.7	10	-298.9	-15.7	10	-283.9	-15.7	10	-268.9	-15.7	10	-253.9	-15.7	10
-238.9	-15.7	10	-223.9	-15.7	10	-208.9	-15.7	10	-193.9	-15.7	10	-178.9	-15.7	10
-163.9	-15.7	10	-148.9	-15.7	10	-133.9	-15.7	10	-118.9	-15.7	10	-103.9	-15.7	10
-88.9	-15.7	10	-73.9	-15.7	10	-58.9	-15.7	10	-43.9	-15.7	10	-28.9	-15.7	10
-958.9	15.7	10	-943.9	15.7	10	-928.9	15.7	10	-913.9	15.7	10	-898.9	15.7	10
-883.9	15.7	10	-868.9	15.7	10	-853.9	15.7	10	-838.9	15.7	10	-823.9	15.7	10
-808.9	15.7	10	-793.9	15.7	10	-778.9	15.7	10	-763.9	15.7	10	-748.9	15.7	10
-733.9	15.7	10	-718.9	15.7	10	-703.9	15.7	10	-688.9	15.7	10	-673.9	15.7	10
-658.9	15.7	10	-643.9	15.7	10	-628.9	15.7	10	-613.9	15.7	10	-598.9	15.7	10
-583.9	15.7	10	-568.9	15.7	10	-553.9	15.7	10	-538.9	15.7	10	-523.9	15.7	10
-508.9	15.7	10	-493.9	15.7	10	-478.9	15.7	10	-463.9	15.7	10	-448.9	15.7	10
-433.9	15.7	10	-418.9	15.7	10	-403.9	15.7	10	-388.9	15.7	10	-373.9	15.7	10
-358.9	15.7	10	-343.9	15.7	10	-328.9	15.7	10	-313.9	15.7	10	-298.9	15.7	10
-283.9	15.7	10	-268.9	15.7	10	-253.9	15.7	10	-238.9	15.7	10	-223.9	15.7	10
-208.9	15.7	10	-193.9	15.7	10	-178.9	15.7	10	-163.9	15.7	10	-148.9	15.7	10
-133.9	15.7	10	-118.9	15.7	10	-103.9	15.7	10	-88.9	15.7	10	-73.9	15.7	10
-58.9	15.7	10	-461.5	-15.4	16	-461.5	-15.4	16	-446.5	-15.4	16	-446.5	-15.4	16
-431.5	-15.4	16	-431.5	-15.4	16	-416.5	-15.4	16	-416.5	-15.4	16	-401.5	-15.4	16
-401.5	-15.4	16	-386.5	-15.4	16	-386.5	-15.4	16	-371.5	-15.4	16	-371.5	-15.4	16
-356.5	-15.4	16	-356.5	-15.4	16	-341.5	-15.4	16	-341.5	-15.4	16	-326.5	-15.4	16
-326.5	-15.4	16	-311.5	-15.4	16	-311.5	-15.4	16	-296.5	-15.4	16	-296.5	-15.4	

Quota	Mxd	Myd	Ned	Ngrav.	NReale	c.s.	comb
-302	8792987	50005440	-288903	-288903	-288903	3.4177	20 SLV
-302	8263051	54393100	-148555	-201734	-249421	2.8714	10 SLV
-166	1373811	24467930	-309425	-309425	-309425	11.5848	20 SLV
-166	1595662	26903920	-30275	-215373	-137962	8.4586	1 SLV
-30	-1195972	12713730	-294824	-294824	-294824	15.5535	20 SLV
-30	-3057105	45340080	-202271	-204052	-304297	7.8324	14 SLV
0	181423	16538050	-320211	-320211	-320211	11.8128	20 SLV
0	3010867	-29440020	1572	-224051	-110454	3.9788	3 SLV
263	-249653	2226297	-307251	-307251	-307251	13.9207	20 SLV
263	-644577	49831720	-404283	-213633	-297467	8.9352	14 SLV
525	-1203408	4917470	-285306	-285306	-285306	15.1110	20 SLV
525	-2301085	4904811	-45261	-196217	-143370	4.5829	3 SLV
555	-75204	14571800	-261013	-261013	-261013	14.1269	20 SLV
555	-989747	37479760	-322875	-181852	-231950	8.9407	14 SLV
782	-144293	7874631	-227933	-227933	-227933	15.9183	20 SLV
782	-393358	-41493120	-69866	-157824	-148778	7.7815	7 SLV
1008	-191480	-78218	-191566	-191566	-191566	24.5330	20 SLV

Ingresso-Principale

1008	-1729257	-14204310	-49822	-130715	-115179	5.5084	3	SLV
1038	471490	7981472	-161807	-161807	-161807	20.7361	20	SLU
1038	715067	-25864140	-57481	-112548	-113755	9.3147	7	SLV
1181	-158159	5813808	-147052	-147052	-147052	24.6737	20	SLU
1181	-419138	24334370	-51255	-101475	-101992	13.8129	6	SLV
1324	-941488	1251501	-126075	-126075	-126075	27.8419	20	SLU
1324	-1753358	8082215	-35533	-85834	-78450	4.9377	1	SLV
1354	1120572	-3180178	-53249	-53249	-53249	16.8278	9	SLU
1354	1212157	-9497995	-22868	-49037	-47386	6.3645	7	SLV
1515	383551	-6419935	-30616	-30616	-30616	38.1500	10	SLU
1515	446033	-10016190	-10639	-27309	-24293	13.0243	11	SLV
1676	-374455	-6236646	-15403	-15403	-15403	27.2485	19	SLU
1676	-723687	-7227491	-3784	-10976	-9272	10.3751	7	SLV
1706	-510757	-6016629	-16235	-16235	-16235	24.0790	19	SLU
1706	-953521	-3752182	-2661	-11460	-8392	10.6299	3	SLV
1715	-540959	-6000691	-16235	-16235	-16235	22.6844	19	SLU
1715	-980280	-3686658	-2661	-11460	-8392	10.3772	3	SLV
1724	-571160	-5984754	-10308	-10308	-10308	18.3618	19	SLU
1724	-1041121	-3626833	-498	-6901	-3949	9.5161	3	SLV

Controllo dello sforzo normale massimo

quota	Ned	Nmax(7.4.4.5.2.1)	c.s. comb
-302	-375006	-1805788	4.8154 14 SLV
-166	-408263	-1805788	4.4231 14 SLV
-30	-406213	-2144428	5.2791 13 SLV
0	-452057	-1437799	3.1806 13 SLV
263	-404906	-1663559	4.1085 15 SLV
525	-351718	-2144428	6.0970 16 SLV
555	-324982	-1663559	5.1189 16 SLV
782	-266275	-1663559	6.2475 16 SLV
1008	-204226	-2144428	10.5003 12 SLV
1038	-170918	-1663559	9.7331 12 SLV
1181	-158611	-1663559	10.4883 14 SLV
1324	-136136	-2144428	15.7521 16 SLV
1354	-78382	-2144428	27.3586 2 SLV
1515	-39239	-2144428	54.6504 3 SLV
1676	-193209	-2144428	117.7699 14 SLV
1706	-20259	-2144428	105.8521 14 SLV
1715	-20259	-2144428	105.8521 14 SLV
1724	-13303	-2144428	161.1959 14 SLV

Verifica compressione del diagonale

quota	epsilon	VEd	VrEd comb
-302	1.00	-53944	953505 15 SLV
-302	1.50	-93625	934237 16 SLV
-166	1.00	-41947	954758 14 SLV
-166	1.50	-75654	939913 16 SLV
-30	1.00	-38664	1120578 14 SLV
-30	1.50	-75923	1110246 16 SLV
0	1.00	-2975	770661 14 SLV
0	1.50	-53115	746997 11 SLV
263	1.00	-2140	872016 11 SLV
263	1.50	43995	858098 10 SLV
525	1.00	-2397	1107510 11 SLV
525	1.50	-44235	1089953 7 SLV
555	1.00	6673	883813 19 SLV
555	1.50	58261	852345 10 SLV
782	1.00	7106	877203 19 SLV
782	1.50	60386	849371 10 SLV
1008	1.00	7042	1110368 19 SLV
1008	1.50	59707	1085829 10 SLV
1038	1.00	8212	863981 19 SLV
1038	1.50	37786	842793 10 SLV
1181	1.00	8810	861033 19 SLV
1181	1.50	37325	842702 10 SLV
1324	1.00	7983	1097278 19 SLV
1324	1.50	35900	1081203 10 SLV
1354	1.00	2811	1082407 14 SLV
1354	1.50	18843	1077448 10 SLV
1515	1.00	3400	1077348 14 SLV
1515	1.50	16992	1075628 10 SLV
1676	1.00	4282	1073130 14 SLV
1676	1.50	19585	1073652 10 SLV
1706	1.00	-3006	1075439 7 SLV
1706	1.50	-12843	1072884 7 SLV
1715	1.00	-3006	1075439 7 SLV
1715	1.50	-12843	1072884 7 SLV
1724	1.00	-3006	1074527 7 SLV
1724	1.50	-12896	1072471 7 SLV

Verifica trazione del diagonale

quota	At	roh	rov	VEd	NEd	VRsd comb
-302	353.5	0.0042	0.0110	-53944	-253056	419594 15 SLV
-302	353.5	0.0042	0.0110	-93625	-257581	419594 16 SLV
-166	252.2	0.0031	0.0079	-41952	-260091	314696 15 SLV
-166	252.2	0.0031	0.0079	-75654	-292784	314696 16 SLV
-30	267.9	0.0036	0.0071	-38666	-242557	427085 15 SLV
-30	267.9	0.0036	0.0071	-75923	-292184	427085 16 SLV
0	231.8	0.0052	0.0091	-2975	-258807	417610 14 SLV
0	231.8	0.0052	0.0091	-53115	-252514	417610 11 SLV
263	242.8	0.0031	0.0082	-2140	-201183	289909 11 SLV
263	242.8	0.0031	0.0082	43995	-238409	289909 10 SLV
525	114.0	0.0024	0.0030	-2397	-176479	284723 11 SLV
525	114.0	0.0024	0.0030	-44235	-186805	284723 7 SLV
555	92.0	0.0024	0.0031	6673	-260167	217432 19 SLV
555	92.0	0.0024	0.0031	58261	-193753	217432 10 SLV
782	77.0	0.0021	0.0026	7106	-227116	193273 19 SLV
782	77.0	0.0021	0.0026	60386	-166870	193273 10 SLV
1008	105.0	0.0020	0.0028	7042	-190770	237269 19 SLV
1008	105.0	0.0020	0.0028	59707	-133431	237269 10 SLV
1038	83.0	0.0021	0.0028	8212	-161009	193273 19 SLV
1038	83.0	0.0021	0.0028	37786	-111341	193273 10 SLV
1181	77.0	0.0021	0.0026	8810	-146266	193273 19 SLV
1181	77.0	0.0021	0.0026	37325	-105351	193273 10 SLV
1324	99.0	0.0021	0.0026	7983	-125319	253357 19 SLV
1324	99.0	0.0021	0.0026	35900	-87862	253357 10 SLV
1354	99.0	0.0021	0.0026	2811	-50967	251925 14 SLV
1354	99.0	0.0021	0.0026	18843	-50687	251925 10 SLV
1515	99.0	0.0021	0.0026	3400	-25671	249140 14 SLV
1515	99.0	0.0021	0.0026	16992	-30723	249140 10 SLV
1676	137.2	0.0021	0.0036	4282	-4579	249140 14 SLV
1676	137.2	0.0021	0.0036	19585	-12681	249140 10 SLV
1706	175.4	0.0031	0.0046	-3006	-16125	373711 7 SLV
1706	175.4	0.0031	0.0046	-12843	-9081	373711 7 SLV
1715	175.4	0.0032	0.0046	-3006	-16125	377984 7 SLV
1715	175.4	0.0032	0.0046	-12843	-9081	377984 7 SLV
1724	175.4	0.0035	0.0046	-3006	-11565	421601 7 SLV
1724	175.4	0.0035	0.0046	-12896	-4734	421601 7 SLV

Verifica per scorrimento a taglio

quota	Somma(Asj)	csi	MEd	VEd	Vdd	Vid	Vfd	Vrd,s	comb
-302	353.47	0.91	37044460	-93625	341440	0	877409	1218849	16 SLV
-30	267.92	0.84	45340080	-70727	258798	0	665965	924763	14 SLV
0	231.79	0.48	51941550	51452	223899	0	343571	567470	6 SLV

S2B

Farete fra le coordinate in pianta (1390;-992) (564;-814)

da quota -362 a quota 1706

Valori in daN, cm

C25/30; rck 300

f_{yk} 4500

Verifica di stato limite ultimo

nod	sez	B	H	Af+	Af-	c+	c-	c.s.	comb	N	M	Nu	Mu
14	o	100	30	4.7	4.7	4.5	4.5	4.326	20 SLU	6829	-22773	29544	-98523
	v	78	30	8.7	8.7	4.6	4.6	1.120	20 SLU	55268	-72066	61905	-80720
535	o	50	30	5.5	5.5	4.6	4.6	1.798	20 SLU	16579	-93439	29808	-168001
	v	96	30	10.2	10.2	3.5	3.5	0.642	20 SLU	88859	-443418	57065	-284762
536	o	100	30	5.5	5.5	4.5	4.5	12.576	20 SLU	-27692	-106011	-348247	-1333153
	v	96	30	8.8	8.8	3.5	3.5	1.190	20 SLU	45413	-148988	54056	-177342
839	o	50	30	1.5	1.5	4.4	4.4	0.891	6 SLV	6601	91523	5880	81527
	v	15	30	2.0	2.0	5.8	5.8	9.390	4 SLV	1171	6601	11000	61985
855	o	50	30	3.5	3.5	4.6	4.6	5.835	20 SLU	-27572	-139353	-160871	-813052
	v	15	30	0.0	0.0	3.0	3.0	0.000	20 SLU	11202	8227	3	2
2452	o	50	30	4.4	4.4	4.6	4.6	2.221	17 SLU	-14116	-338876	-31355	-752709
	v	63	30	3.1	3.1	3.5	3.5	2.201	17 SLU	-5157	-211222	-11349	-464858

Combinazione rara

nod	sez	B	H	Af+	Af-	c+	c-	sc	c	N	M	sf	c	N	M	Wk(mm)	Wlim	st	Sm(mm)	c		
14	o	100	30	4.7	4.7	4.5	4.5	0.0	1	ra	4.36E03	-1.53E04	713.1	5	ra	5.09E03	-1.71E04	0.00999.00	2.8	0.0	1	ra
	v	78	30	8.7	8.7	4.6	4.6	0.0	1	ra	3.44E04	-4.57E04	2660.5	5	ra	4.09E04	-5.36E04	0.00999.00	20.9	0.0	1	ra
535	o	50	30	5.5	5.5	4.6	4.6	-4.1	5	ra	-3.51E03	-1.69E04	1728.0	5	ra	1.22E04	-6.93E04	0.00999.00	16.4	0.0	1	ra
	v	96	30	10.2	10.2	3.5	3.5	0.0	1	ra	5.54E04	-2.64E05	4612.8	5	ra	6.59E04	-3.26E05	0.24999.00	0.0	128.3	5	ra
536	o	100	30	5.5	5.5	4.5	4.5	-11.7	5	ra	-1.07E04	-1.06E05	76.6	4	ra	-1.06E04	-1.06E05	0.00999.00	3.4	0.0	1	ra
	v	96	30	8.8	8.8	3.5	3.5	0.0	1	ra	1.77E04	-9.24E04	2457.3	5	ra	3.36E04	-1.09E05	0.00999.00	18.3	0.0	1	ra
839	o	50	30	1.5	1.5	4.4	4.4	-29.0	5	ra	2.35E03	7.81E04	2975.6	5	ra	2.35E03	7.81E04	0.00999.00	11.8	0.0	1	ra
	v	15	30	2.0	2.0	5.8	5.8	-6.0	5	ra	-2.04E03	5.14E03	-41.8	5	ra	-2.04E03	5.14E03	0.00999.00	0.0	0.0	1	ra
855	o	50	30	3.5	3.5	4.6	4.6	-24.9	5	ra	-2.01E04	-1.02E05	-57.3	5	ra	-2.01E04	-1.02E05	0.00999.00	0.3	0.0	1	ra
	v	15	30	0.0	0.0	3.0	3.0	0.0	5	ra	8.20E03	5.93E03	0.0	5	ra	8.20E03	5.93E03	0.00999.00	0.0	0.0	5	ra
2452	o	50	30	4.4	4.4	4.6	4.6	-54.7	2	ra	-1.02E04	-2.37E05	1263.5	2	ra	-1.02E04	-2.37E05	0.00999.00	23.4	0.0	1	ra
	v	63	30	3.1	3.1	3.5	3.5	-32.3	3	ra	-3.84E03	-1.48E05	1339.1	2	ra	-3.72E03	-1.48E05	0.00999.00	13.1	0.0	1	ra

Combinazione frequente

nod	sez	B	H	Af+	Af-	c+	c-	sc	c	N	M	sf	c	N	M	Wk(mm)	Wklim	st	Sm(mm)	c			
14	o	100	30	4.7	4.7	4.5	4.5	0.0	1	fr	4.36E03	-1.53E04	682.8	4	fr	4.86E03	-1.65E04	0.00	0.40	2.7	0.0	1	fr
	v	78	30	8.7	8.7	4.6	4.6	0.0	1	fr	3.44E04	-4.57E04	2541.6	4	fr	3.91E04	-5.10E04	0.00	0.40	20.0	0.0	1	fr
535	o	50	30	5.5	5.5	4.6	4.6	-3.8	4	fr	-3.27E03	-1.59E04	1639.9	4	fr	1.16E04	-6.54E04	0.00	0.40	15.6	0.0	1	fr
	v	96	30	10.2	10.2	3.5	3.5	0.0	1	fr	5.54E04	-2.64E05	4370.8	4	fr	6.26E04	-3.07E05	0.22	0.40	0.0	129.0	4	fr
536	o	100	30	5.5	5.5	4.5	4.5	-11.1	4	fr	-1.00E04	-1.01E05	76.0	4	fr	-1.00E04	-1.01E05	0.00	0.40	3.2	0.0	1	fr
	v	96	30	8.8	8.8	3.5	3.5	0.0	1	fr	1.77E04	-9.24E04	2341.2	4	fr	3.22E04	-1.02E05	0.00	0.40	17.4	0.0	1	fr
839	o	50	30	1.5	1.5	4.4	4.4	-26.1	4	fr	2.26E03	7.06E04	2740.0	4	fr	2.26E03	7.06E04	0.00	0.40	10.7	0.0	1	fr
	v	15	30	2.0	2.0	5.8	5.8	-5.5	4	fr	-1.86E03	4.76E03	-37.7	4	fr	-1.86E03	4.76E03	0.00	0.40	0.0	0.0	1	fr
855	o	50	30	3.5	3.5	4.6	4.6	-23.2	4	fr	-1.87E04	-9.57E04	-52.0	4	fr	-1.87E04	-9.57E04	0.00	0.40	0.3	0.0	1	fr
	v	15	30	0.0	0.0	3.0	3.0	0.0	4	fr	7.82E03	5.58E03	0.0	4	fr	7.82E03	5.58E03	0.00	0.40	0.0	0.0	4	fr
2452	o	50	30	4.4	4.4	4.6	4.6	-51.7	2	fr	-9.62E03	-2.24E05	1193.8	2	fr	-9.62E03	-2.24E05	0.00	0.40	22.1	0.0	1	fr
	v	63	30	3.1	3.1	3.5	3.5	-30.5	3	fr	-3.61E03	-1.40E05	1266.1	2	fr	-3.51E03	-1.40E05	0.00	0.40	12.4	0.0	1	fr

Combinazione quasi permanente

nod	sez	B	H	Af+	Af-	c+	c-	sc	c	N	M	sf	c	N	M	Wk(mm)	Wklim	st	Sm(mm)	c			
14	o	100	30	4.7	4.7	4.5	4.5	0.0	1	q.	4.36E03	-1.53E04	673.5	2	q.	4.79E03	-1.63E04	0.00	0.30	2.6	0.0	1	q.
	v	78	30	8.7	8.7	4.6	4.6	0.0	1	q.	3.44E04	-4.57E04	2503.5	2	q.	3.85E04	-5.03E04	0.00	0.30	19.7	0.0	1	q.
535	o	50	30	5.5	5.5	4.6	4.6	-3.7	2	q.	-3.20E03	-1.56E04	1612.3	2	q.	1.15E04	-6.42E04	0.00	0.30	15.3	0.0	1	q.
	v	96	30	10.2	10.2	3.5	3.5	0.0	1	q.	5.54E04	-2.64E05	4294.3	2	q.	6.15E04	-3.01E05	0.22	0.30	0.0	129.2	2	q.
536	o	100	30	5.5	5.5	4.5	4.5	-10.9	2	q.	-9.80E03	-9.91E04	75.8	2	q.	-9.80E03	-9.91E04	0.00	0.30	3.2	0.0	1	q.
	v	96	30	8.8	8.8	3.5	3.5	0.0	1	q.	1.77E04	-9.24E04	2303.8	2	q.	3.17E04	-9.97E04	0.00	0.30	17.1	0.0	1	q.
839	o	50	30	1.5	1.5	4.4	4.4	-25.2	2	q.	2.24E03	6.82E04	2665.7	2	q.	2.24E03	6.82E04	0.00	0.30	10.4	0.0	1	q.
	v	15	30	2.0	2.0	5.8	5.8	-5.3	2	q.	-1.80E03	4.64E03	-36.4	2	q.	-1.80E03	4.64E03	0.00	0.30	0.0	0.0	1	q.
855	o	50	30	3.5	3.5	4.6	4.6	-22.8	2	q.	-1.83E04	-9.38E04	-50.4	2	q.	-1.83E04	-9.38E04	0.00	0.30	0.3	0.0	1	q.
	v	15	30	0.0	0.0	3.0	3.0	0.0	2	q.	7.71E03	5.48E03	0.0	2	q.	7.71E03	5.48E03	0.00	0.30	0.0	0.0	2	q.
2452	o	50	30	4.4	4.4	4.6	4.6	-50.9	1	q.	-9.48E03	-2.20E05	1176.3	1	q.	-9.48E03	-2.20E05	0.00	0.30	21.8	0.0	1	q.
	v	63	30	3.1	3.1	3.5	3.5	-30.1	2	q.	-3.56E03	-1.38E05	1247.8	1	q.	-3.45E03	-1.38E05	0.00	0.30	12.2	0.0	1	q.

Verifica dei pannelli

Pannello : Pannello da Filo 53 a Filo 52

Sezione a quota 0

Coordinate dei vertici

X	Y
-1567.7	-15.0
-1567.7	15.0
-1464.5	15.0
-1464.5	-15.0

Armature verticali

X	Y	ø	X	Y	ø	X	Y	ø	X	Y	ø	X	Y	ø
-1555.7	-10.5	10	-1540.7	-10.5	10	-1525.7	-10.5	10	-1510.7	-10.5	10	-1495.7	-10.5	10
-1480.7	-10.5	10	-1555.7	10.5	10	-1540.7	10.5	10	-1525.7	10.5	10	-1510.7	10.5	10
-1495.7	10.5	10	-1480.7	10.5	10	-1563.1	-10.2	16	-1563.1	10.2	16	-1548.1	-10.2	16
-1548.1	10.2	16	-1533.1	-10.2	16	-1533.1	10.2	16	-1469.1	-10.2	16	-1469.1	10.2	16
-1484.1	-10.2	16	-1484.1	10.2	16	-1499.1	-10.2	16	-1499.1	10.2	16	-1563.7	-10.2	16
-1563.7	10.2	16	-1468.5	-10.2	16	-1468.5	10.2	16	-1558.0	-10.6	8	-1558.0	10.6	8
-1543.0	-10.6	8	-1543.0	10.6	8	-1528.0	-10.6	8	-1528.0	10.6	8	-1513.0	-10.6	8
-1513.0	10.6	8	-1498.0	-10.6	8	-1498.0	10.6	8	-1483.0	-10.6	8	-1483.0	10.6	8
-1468.0	-10.6	8	-1468.0	10.6	8									

Sezione a quota 263

Coordinate dei vertici

X	Y
-1567.7	-15.0
-1567.7	15.0
-1464.5	15.0
-1464.5	-15.0

Armature verticali

X	Y	ø	X	Y	ø	X	Y	ø	X	Y	ø	X	Y	ø
-1555.7	-10.5	10	-1540.7	-10.5	10	-1525.7	-10.5	10	-1510.7	-10.5	10	-1495.7	-10.5	10
-1480.7	-10.5	10	-1555.7	10.5	10	-1540.7	10.5	10	-1525.7	10.5	10	-1510.7	10.5	10
-1495.7	10.5	10	-1480.7	10.5	10	-1563.7	-10.2	16	-1563.7	10.2	16	-1468.5	-10.2	16
-1468.5	10.2	16												

Sezione a quota 525

Coordinate dei vertici

X	Y
-1567.7	-15.0
-1567.7	15.0
-1464.5	15.0
-1464.5	-15.0

Armature verticali

X	Y	ø	X	Y	ø	X	Y	ø	X	Y	ø	X	Y	ø
---	---	---	---	---	---	---	---	---	---	---	---	---	---	---

Ingresso-Principale

X	Y																																																																																																																																																																																																																																																																																																																																																																																																																																																																																																																																																																																																																																																																																																																																																																																																																																																																																																																																																																																																																																																																																																																																																																																																																																																																																																																																																																																																																				
---	---	--	--	--	--	--	--	--	--	--	--	--	--	--	--	--	--	--	--	--	--	--	--	--	--	--	--	--	--	--	--	--	--	--	--	--	--	--	--	--	--	--	--	--	--	--	--	--	--	--	--	--	--	--	--	--	--	--	--	--	--	--	--	--	--	--	--	--	--	--	--	--	--	--	--	--	--	--	--	--	--	--	--	--	--	--	--	--	--	--	--	--	--	--	--	--	--	--	--	--	--	--	--	--	--	--	--	--	--	--	--	--	--	--	--	--	--	--	--	--	--	--	--	--	--	--	--	--	--	--	--	--	--	--	--	--	--	--	--	--	--	--	--	--	--	--	--	--	--	--	--	--	--	--	--	--	--	--	--	--	--	--	--	--	--	--	--	--	--	--	--	--	--	--	--	--	--	--	--	--	--	--	--	--	--	--	--	--	--	--	--	--	--	--	--	--	--	--	--	--	--	--	--	--	--	--	--	--	--	--	--	--	--	--	--	--	--	--	--	--	--	--	--	--	--	--	--	--	--	--	--	--	--	--	--	--	--	--	--	--	--	--	--	--	--	--	--	--	--	--	--	--	--	--	--	--	--	--	--	--	--	--	--	--	--	--	--	--	--	--	--	--	--	--	--	--	--	--	--	--	--	--	--	--	--	--	--	--	--	--	--	--	--	--	--	--	--	--	--	--	--	--	--	--	--	--	--	--	--	--	--	--	--	--	--	--	--	--	--	--	--	--	--	--	--	--	--	--	--	--	--	--	--	--	--	--	--	--	--	--	--	--	--	--	--	--	--	--	--	--	--	--	--	--	--	--	--	--	--	--	--	--	--	--	--	--	--	--	--	--	--	--	--	--	--	--	--	--	--	--	--	--	--	--	--	--	--	--	--	--	--	--	--	--	--	--	--	--	--	--	--	--	--	--	--	--	--	--	--	--	--	--	--	--	--	--	--	--	--	--	--	--	--	--	--	--	--	--	--	--	--	--	--	--	--	--	--	--	--	--	--	--	--	--	--	--	--	--	--	--	--	--	--	--	--	--	--	--	--	--	--	--	--	--	--	--	--	--	--	--	--	--	--	--	--	--	--	--	--	--	--	--	--	--	--	--	--	--	--	--	--	--	--	--	--	--	--	--	--	--	--	--	--	--	--	--	--	--	--	--	--	--	--	--	--	--	--	--	--	--	--	--	--	--	--	--	--	--	--	--	--	--	--	--	--	--	--	--	--	--	--	--	--	--	--	--	--	--	--	--	--	--	--	--	--	--	--	--	--	--	--	--	--	--	--	--	--	--	--	--	--	--	--	--	--	--	--	--	--	--	--	--	--	--	--	--	--	--	--	--	--	--	--	--	--	--	--	--	--	--	--	--	--	--	--	--	--	--	--	--	--	--	--	--	--	--	--	--	--	--	--	--	--	--	--	--	--	--	--	--	--	--	--	--	--	--	--	--	--	--	--	--	--	--	--	--	--	--	--	--	--	--	--	--	--	--	--	--	--	--	--	--	--	--	--	--	--	--	--	--	--	--	--	--	--	--	--	--	--	--	--	--	--	--	--	--	--	--	--	--	--	--	--	--	--	--	--	--	--	--	--	--	--	--	--	--	--	--	--	--	--	--	--	--	--	--	--	--	--	--	--	--	--	--	--	--	--	--	--	--	--	--	--	--	--	--	--	--	--	--	--	--	--	--	--	--	--	--	--	--	--	--	--	--	--	--	--	--	--	--	--	--	--	--	--	--	--	--	--	--	--	--	--	--	--	--	--	--	--	--	--	--	--	--	--	--	--	--	--	--	--	--	--	--	--	--	--	--	--	--	--	--	--	--	--	--	--	--	--	--	--	--	--	--	--	--	--	--	--	--	--	--	--	--	--	--	--	--	--	--	--	--	--	--	--	--	--	--	--	--	--	--	--	--	--	--	--	--	--	--	--	--	--	--	--	--	--	--	--	--	--	--	--	--	--	--	--	--	--	--	--	--	--	--	--	--	--	--	--	--	--	--	--	--	--	--	--	--	--	--	--	--	--	--	--	--	--	--	--	--	--	--	--	--	--	--	--	--	--	--	--	--	--	--	--	--	--	--	--	--	--	--	--	--	--	--	--	--	--	--	--	--	--	--	--	--	--	--	--	--	--	--	--	--	--	--	--	--	--	--	--	--	--	--	--	--	--	--	--	--	--	--	--	--	--	--	--	--	--	--	--	--	--	--	--	--	--	--	--	--	--	--	--	--	--	--	--	--	--	--	--	--	--	--	--	--	--	--	--	--	--	--	--	--	--	--	--	--	--	--	--	--	--	--	--	--	--	--	--	--	--	--	--	--	--	--	--	--	--	--	--	--	--	--	--	--	--	--	--	--	--	--	--	--	--	--	--	--	--	--	--	--	--	--	--	--	--	--	--	--	--	--	--	--	--	--	--	--	--	--	--	--	--	--	--	--	--	--	--	--	--	--	--	--	--	--	--	--	--	--	--	--	--	--	--	--	--	--	--	--	--	--	--	--	--	--	--	--	--	--	--	--	--	--	--	--	--	--	--	--	--	--	--	--	--	--	--	--	--	--	--	--	--	--	--	--	--	--	--	--	--	--	--	--	--	--	--	--	--	--	--	--	--	--	--	--	--	--	--	--	--	--	--	--	--	--	--	--	--	--	--	--	--	--	--	--	--	--	--	--	--	--	--	--	--	--	--	--	--	--	--	--	--	--	--	--	--	--	--	--	--	--	--	--	--	--	--	--	--	--	--	--	--	--	--	--	--	--	--	--	--	--	--	--	--	--	--	--	--	--	--	--	--	--	--	--	--	--	--	--	--	--	--	--	--	--	--	--	--	--	--	--	--	--	--	--	--	--	--	--	--	--	--	--	--	--	--	--	--	--	--	--	--	--	--	--	--	--	--	--	--	--	--	--	--	--	--	--	--	--	--	--	--	--	--	--	--	--	--	--	--	--	--	--	--	--	--	--	--	--	--	--	--	--	--	--	--	--	--	--	--	--	--	--	--	--	--	--	--	--	--	--	--	--	--	--	--	--	--	--	--	--	--	--	--	--	--	--	--	--	--	--	--	--	--	--	--	--	--	--	--	--	--	--	--

782	-9848	898198	-816	-16706	-9170	3.5357	11	SLV
1008	1294	-506708	-29111	-29111	-29111	11.4243	20	SLU
1008	-8741	546448	14427	-19465	4694	2.5583	3	SLV
1038	22088	384054	-15771	-15771	-15771	17.1839	20	SLU
1038	665	305578	10377	-11343	4706	3.9492	3	SLV
1181	2727	62781	-16407	-16407	-16407	25.4567	20	SLU
1181	-1226	497389	8808	-11554	3031	3.4378	3	SLV
1324	-2674	-327747	-18054	-18054	-18054	18.0384	20	SLU
1324	-3468	487775	8048	-12326	1885	3.6161	2	SLV
1354	-9001	177002	-13790	-13790	-13790	26.8655	20	SLU
1354	-9578	321248	1506	-9866	-3427	7.8824	1	SLV
1515	-21572	-91865	-20051	-20051	-20051	20.8302	18	SLU
1515	-15871	472774	-1465	-13748	-8339	7.4077	2	SLV
1676	308635	-742257	-17421	-17421	-17421	4.0198	18	SLU
1676	207412	-752319	-7907	-11767	-13790	4.2804	11	SLV

Controllo dello sforzo normale massimo

quota	Ned	Nmax(7.4.4.5.2.1)	c.s. comb
0	-108104	-174657	1.6156 6 SLV
263	-70622	-174657	2.4731 6 SLV
525	-48726	-174657	3.5845 10 SLV
555	-32698	-174657	5.3415 10 SLV
782	-41370	-174657	4.2219 14 SLV
1008	-53357	-174657	3.2734 14 SLV
1038	-33063	-174657	5.2826 14 SLV
1181	-31917	-174657	5.4722 14 SLV
1324	-32701	-174657	5.3411 15 SLV
1354	-21238	-174657	8.2240 16 SLV
1515	-26030	-174657	6.7099 15 SLV
1676	-20833	-174657	8.3836 15 SLV

Verifica compressione del diagonale

quota	epsilon	Ved	Vrzd comb
0	1.00	-5307	98725 20 SLU
0	1.50	-20648	99646 2 SLV
263	1.00	-2829	94533 17 SLU
263	1.50	-19505	94521 2 SLV
525	1.00	-1355	9161 17 SLU
525	1.50	-17661	88680 2 SLV
555	1.00	5152	90555 20 SLU
555	1.50	14485	88631 15 SLV
782	1.00	4184	92208 20 SLU
782	1.50	11384	90807 15 SLV
1008	1.00	5189	93151 20 SLU
1008	1.50	13974	87435 11 SLV
1038	1.00	3509	90483 20 SLU
1038	1.50	9355	90466 15 SLV
1181	1.00	2164	90610 20 SLU
1181	1.50	5176	90530 15 SLV
1324	1.00	5942	90939 20 SLU
1324	1.50	11434	90829 11 SLV
1354	1.00	5183	90087 20 SLU
1354	1.50	7317	88942 11 SLV
1515	1.00	3024	91223 7 SLU
1515	1.50	3734	88882 7 SLV
1676	1.00	4776	90751 17 SLU
1676	1.50	6493	88910 11 SLV

Verifica trazione del diagonale

quota	At	roh	rov	VEd	NEd	VRsd comb
0	48.6	0.0072	0.0157	-5307	-56983	69333 20 SLU
0	48.6	0.0072	0.0157	-20648	-81620	69333 2 SLV
263	17.5	0.0033	0.0056	-2829	-36023	31707 17 SLU
263	17.5	0.0033	0.0056	-19505	-51441	31707 2 SLV
525	17.5	0.0038	0.0056	-1355	-22437	36992 17 SLU
525	17.5	0.0038	0.0056	-17661	-16959	36992 2 SLV
555	17.5	0.0038	0.0056	5152	-16134	36992 20 SLU
555	17.5	0.0038	0.0056	14485	-12395	36992 15 SLV
782	17.5	0.0033	0.0056	4184	-24399	31707 20 SLU
782	17.5	0.0033	0.0056	11384	-25743	31707 15 SLV
1008	17.5	0.0033	0.0056	5189	-29111	31707 20 SLU
1008	17.5	0.0033	0.0056	14662	-34214	31707 15 SLV
1038	17.5	0.0033	0.0056	3509	-15771	31707 20 SLU
1038	17.5	0.0033	0.0056	9355	-21356	31707 15 SLV
1181	17.5	0.0038	0.0056	2164	-16407	36992 20 SLU
1181	17.5	0.0038	0.0056	5176	-21786	36992 15 SLV
1324	17.5	0.0033	0.0056	5942	-18054	31707 20 SLU
1324	17.5	0.0033	0.0056	11434	-23665	31707 11 SLV
1354	17.5	0.0033	0.0056	5183	-13790	31707 20 SLU
1354	17.5	0.0033	0.0056	7317	-13000	31707 11 SLV
1515	17.5	0.0038	0.0056	3024	-19471	36992 17 SLU
1515	17.5	0.0038	0.0056	3743	-17458	36992 11 SLV
1676	17.5	0.0034	0.0056	4776	-17112	32518 17 SLU
1676	17.5	0.0034	0.0056	6493	-13790	32518 11 SLV

Verifica per scorrimento a taglio

quota	Somma(Asj)	csi	MEd	VEd	Vdd	Vid	Vfd	Vrd,s	comb
0	48.63	0.59	-2605903	-20648	46977	0	69708	116685	2 SLV

S3

Parete fra le coordinate in pianta (822;-436) (822;-202)

da quota -362 a quota 1754

Valori in daN, cm

C25/30; rck 300

fyk 4500

Verifica di stato limite ultimo

nod	sez	B	H	Af+	Af-	c+	c-	c.s.	comb	N	M	Nu	Mu
1615	o	100	30	4.9	4.9	4.3	4.3	1.062	16 SLV	-2896	505453	-3074	536541
	v	96	30	7.0	7.0	4.7	4.7	2.174	16 SLV	4850	-260323	10547	-566070
1936	o	50	30	8.4	8.4	4.5	4.5	1.093	16 SLV	-5870	757136	-6415	827377
	v	96	30	3.5	3.5	3.4	3.4	1.098	8 SLV	9002	216099	9883	237239
2198	o	50	30	8.4	8.4	4.5	4.5	1.220	16 SLV	-2272	646382	-2773	788822
	v	96	30	3.5	3.5	3.4	3.4	1.265	16 SLV	-5760	367538	-7289	465113
2521	o	100	30	4.7	4.7	4.3	4.3	1.252	18 SLV	4491	330125	5620	413165
	v	63	30	6.0	6.0	4.9	4.9	2.095	18 SLU	-4424	320958	-9269	672391
2532	o	50	30	4.4	4.4	4.4	4.4	0.742	18 SLU	-32260	-920498	-23926	-682688
	v	63	30	6.0	6.0	4.9	4.9	1.280	13 SLU	18184	-237446	23270	-303860

Combinazione rara

nod	sez	B	H	Af+	Af-	c+	c-	sc	c	N	M	sf	c	N	M	Wk(mm)	Wlim	st	Sm(mm)	c			
1615	o	100	30	4.9	4.9	4.3	4.3	-26.9	4	ra	-9.91E03	1.97E05	724.3	4	ra	-9.91E03	1.97E05	0.00999	0.0	9.5	0.0	1	ra
	v	96	30	7.0	7.0	4.7	4.7	-11.2	5	ra	-5.13E03	9.08E04	995.8	4	ra	5.54E03	-8.59E04	0.00999	0.0	7.6	0.0	1	ra
1936	o	50	30	8.4	8.4	4.5	4.5	-65.3	5	ra	-5.20E03	3.75E05	1729.1	4	ra	-5.03E03	3.74E05	0.13999	0.0	0.0	249.6	4	ra
	v	96	30	3.5	3.5	3.4	3.4	-22.3	5	ra	-3.50E03	1.37E05	1992.9	4	ra	7.50E03	-7.63E04	0.00999	0.0	9.7	0.0	1	ra
2198	o	50	30	8.4	8.4	4.5	4.5	-64.7	5	ra	2.30E03	3.86E05	2219.0	5	ra	2.30E03	3.86E05	0.19999	0.0	0.0	254.9	5	ra
	v	96	30	3.5	3.5	3.4	3.4	-40.4	3	ra	-5.64E03	2.47E05	2032.1	3	ra	-5.64E03	2.47E05	0.00999	0.0	14.8	0.0	1	ra
2521	o	100	30	4.7	4.7	4.3	4.3	-36.2	3	ra	2.33E03	2.39E05	2382.2	3	ra	2.33E03	2.39E05	0.00999	0.0	16.2	0.0	1	ra
	v	63	30	6.0	6.0	4.9	4.9	-42.5	3	ra	-4.33E03	2.32E05	1453.8	3	ra	-4.33E03	2.32E05	0.00999	0.0	21.0	0.0	1	ra
2532	o	50	30	4.4	4.4	4.4	4.4	-153.3	3	ra	-2.39E04	-6.66E05	4004.3	3	ra	-2.39E04	-6.66E05	0.27999	0.0	0.0	209.4	3	ra
	v	63	30	6.0	6.0	4.9	4.9	-48.9	3	ra	1.04E03	-2.69E05	2217.0	3	ra	1.04E03	-2.69E05	0.12999	0.0	0.0	164.1	3	ra

Combinazione frequente

nod	sez	B	H	Af+	Af-	c+	c-	sc	c	N	M	sf	c	N	M	Wk (mm)	Wklim	st	Sm (mm)	c			
1615	o	100	30	4.9	4.9	4.3	4.3	-23.9	4	fr	-1.01E04	1.79E05	567.3	4	fr	-1.01E04	1.79E05	0.00	0.40	8.2	0.0	1	fr
	v	96	30	7.0	7.0	4.7	4.7	-10.2	4	fr	-4.62E03	8.22E04	891.9	4	fr	4.92E03	-7.75E04	0.00	0.40	6.8	0.0	1	fr
1936	o	50	30	8.4	8.4	4.5	4.5	-59.5	4	fr	-5.19E03	3.41E05	1540.8	4	fr	-5.19E03	3.41E05	0.11	0.40	0.0	249.0	4	fr
	v	96	30	3.5	3.5	3.4	3.4	-20.5	4	fr	-3.07E03	1.26E05	1871.5	2	fr	2.92E03	1.27E05	0.00	0.40	9.5	0.0	1	fr
2198	o	50	30	8.4	8.4	4.5	4.5	-60.0	4	fr	1.68E03	3.56E05	2024.5	4	fr	1.68E03	3.56E05	0.17	0.40	0.0	254.6	4	fr
	v	96	30	3.5	3.5	3.4	3.4	-38.3	3	fr	-5.33E03	2.34E05	1927.9	3	fr	-5.33E03	2.34E05	0.00	0.40	14.0	0.0	1	fr
2521	o	100	30	4.7	4.7	4.3	4.3	-34.1	3	fr	2.23E03	2.25E05	2250.1	3	fr	2.23E03	2.25E05	0.00	0.40	15.3	0.0	1	fr
	v	63	30	6.0	6.0	4.9	4.9	-40.1	3	fr	-4.00E03	2.19E05	1375.7	3	fr	-4.00E03	2.19E05	0.00	0.40	19.8	0.0	1	fr

Ingresso-Principale

2532	o	50	30	4.4	4.4	4.4	4.4	4.4	4.4	-144.5	3	fr	-2.24E04	-6.27E05	3785.7	3	fr	-2.24E04	-6.27E05	0.25	0.40	0.0	209.5	3	fr	
	v	63	30	6.0	6.0	4.9	4.9	4.9	4.9	-46.1	3	fr	9.23E02	-2.54E05	2083.9	3	fr	9.23E02	-2.54E05	0.11	0.40	0.0	164.0	3	fr	
Combinazione quasi permanente																										
nod sez	B	H	Af+	Af-	c+	c-	sc	c	N	M	sf	c	N	M	Wk(mm)	Wklm	st	Sm(mm)	c							
1615	o	100	30	4.9	4.9	4.3	4.3	-22.8	2	q.	-1.01E04	1.73E05	516.2	2	q.	-1.01E04	1.73E05	0.00	0.30	7.8	0.0	1	q.			
	v	96	30	7.0	7.0	4.7	4.7	-9.9	2	q.	-4.45E03	7.94E04	857.2	2	q.	4.71E03	-7.47E04	0.00	0.30	6.5	0.0	1	q.			
1936	o	50	30	8.4	8.4	4.5	4.5	-57.7	2	q.	-5.24E03	3.30E05	1478.1	2	q.	-5.24E03	3.30E05	0.10	0.30	0.0	248.8	2	q.			
	v	96	30	3.5	3.5	3.4	3.4	-20.1	1	q.	2.91E03	1.26E05	1863.0	1	q.	2.91E03	1.26E05	0.00	0.30	9.5	0.0	1	q.			
2198	o	50	30	8.4	8.4	4.5	4.5	-58.6	2	q.	1.41E03	3.48E05	1962.7	2	q.	1.41E03	3.48E05	0.16	0.30	0.0	254.4	2	q.			
	v	96	30	3.5	3.5	3.4	3.4	-37.8	2	q.	-5.28E03	2.32E05	1903.9	2	q.	-5.28E03	2.32E05	0.00	0.30	13.8	0.0	1	q.			
2521	o	100	30	4.7	4.7	4.3	4.3	-33.6	2	q.	2.21E03	2.22E05	2218.2	2	q.	2.21E03	2.22E05	0.00	0.30	15.1	0.0	1	q.			
	v	63	30	6.0	6.0	4.9	4.9	-39.5	2	q.	-3.92E03	2.15E05	1357.0	2	q.	-3.92E03	2.15E05	0.00	0.30	19.5	0.0	1	q.			
2532	o	50	30	4.4	4.4	4.4	4.4	-142.4	2	q.	-2.20E04	-6.18E05	3733.7	2	q.	-2.20E04	-6.18E05	0.24	0.30	0.0	209.6	2	q.			
	v	63	30	6.0	6.0	4.9	4.9	-45.4	2	q.	8.96E02	-2.50E05	2051.9	2	q.	8.96E02	-2.50E05	0.00	0.30	25.4	0.0	1	q.			

Verifica dei pannelli

Pannello : Pannello da Filo 36 a Filo 37

Sezione a quota 0

Coordinate dei vertici

X	Y
-436.1	-15.0
-436.1	15.0
-202.1	15.0
-202.1	-15.0

Armature verticali

X	Y	ø	X	Y	ø	X	Y	ø	X	Y	ø	X	Y	ø
-421.1	-10.7	10	-406.1	-10.7	10	-391.1	-10.7	10	-376.1	-10.7	10	-361.1	-10.7	10
-346.1	-10.7	10	-331.1	-10.7	10	-316.1	-10.7	10	-301.1	-10.7	10	-286.1	-10.7	10
-271.1	-10.7	10	-256.1	-10.7	10	-241.1	-10.7	10	-226.1	-10.7	10	-211.1	-10.7	10
-421.1	10.7	10	-406.1	10.7	10	-391.1	10.7	10	-376.1	10.7	10	-361.1	10.7	10
-346.1	10.7	10	-331.1	10.7	10	-316.1	10.7	10	-301.1	10.7	10	-286.1	10.7	10
-271.1	10.7	10	-256.1	10.7	10	-241.1	10.7	10	-226.1	10.7	10	-211.1	10.7	10
-431.5	-10.4	16	-431.5	10.4	16	-416.5	-10.4	16	-416.5	10.4	16	-401.5	-10.4	16
-401.5	10.4	16	-206.7	-10.4	16	-206.7	10.4	16	-221.7	-10.4	16	-221.7	10.4	16
-236.7	-10.4	16	-236.7	10.4	16	-206.1	-10.4	16	-206.1	10.4	16	-432.1	-10.4	16
-432.1	10.4	16	-432.1	-10.4	16	-432.1	10.4	16	-432.1	-10.4	16	-432.1	10.4	16

Sezione a quota 263

Coordinate dei vertici

X	Y
-436.1	-15.0
-436.1	15.0
-202.1	15.0
-202.1	-15.0

Armature verticali

X	Y	ø	X	Y	ø	X	Y	ø	X	Y	ø	X	Y	ø
-421.1	-10.7	10	-406.1	-10.7	10	-391.1	-10.7	10	-376.1	-10.7	10	-361.1	-10.7	10
-346.1	-10.7	10	-331.1	-10.7	10	-316.1	-10.7	10	-301.1	-10.7	10	-286.1	-10.7	10
-271.1	-10.7	10	-256.1	-10.7	10	-241.1	-10.7	10	-226.1	-10.7	10	-211.1	-10.7	10
-421.1	10.7	10	-406.1	10.7	10	-391.1	10.7	10	-376.1	10.7	10	-361.1	10.7	10
-346.1	10.7	10	-331.1	10.7	10	-316.1	10.7	10	-301.1	10.7	10	-286.1	10.7	10
-271.1	10.7	10	-256.1	10.7	10	-241.1	10.7	10	-226.1	10.7	10	-211.1	10.7	10
-431.5	-10.4	16	-431.5	10.4	16	-416.5	-10.4	16	-416.5	10.4	16	-401.5	-10.4	16
-401.5	10.4	16	-206.7	-10.4	16	-206.7	10.4	16	-221.7	-10.4	16	-221.7	10.4	16
-236.7	-10.4	16	-236.7	10.4	16	-206.1	-10.4	16	-206.1	10.4	16	-432.1	-10.4	16
-432.1	10.4	16	-432.1	-10.4	16	-432.1	10.4	16	-432.1	-10.4	16	-432.1	10.4	16

Sezione a quota 525

Coordinate dei vertici

X	Y
-436.1	-15.0
-436.1	15.0
-202.1	15.0
-202.1	-15.0

Armature verticali

X	Y	ø	X	Y	ø	X	Y	ø	X	Y	ø	X	Y	ø
-421.1	-10.7	10	-406.1	-10.7	10	-391.1	-10.7	10	-376.1	-10.7	10	-361.1	-10.7	10
-346.1	-10.7	10	-331.1	-10.7	10	-316.1	-10.7	10	-301.1	-10.7	10	-286.1	-10.7	10
-271.1	-10.7	10	-256.1	-10.7	10	-241.1	-10.7	10	-226.1	-10.7	10	-211.1	-10.7	10
-421.1	10.7	10	-406.1	10.7	10	-391.1	10.7	10	-376.1	10.7	10	-361.1	10.7	10
-346.1	10.7	10	-331.1	10.7	10	-316.1	10.7	10	-301.1	10.7	10	-286.1	10.7	10
-271.1	10.7	10	-256.1	10.7	10	-241.1	10.7	10	-226.1	10.7	10	-211.1	10.7	10
-206.1	-10.4	16	-206.1	10.4	16	-432.1	-10.4	16	-432.1	10.4	16	-432.1	-10.4	16
-432.1	10.4	16	-432.1	-10.4	16	-432.1	10.4	16						

Sezione a quota 555

Coordinate dei vertici

X	Y
-436.1	-15.0
-436.1	15.0
-202.1	15.0
-202.1	-15.0

Armature verticali

X	Y	ø	X	Y	ø	X	Y	ø	X	Y	ø	X	Y	ø
-421.1	-10.7	10	-406.1	-10.7	10	-391.1	-10.7	10	-376.1	-10.7	10	-361.1	-10.7	10
-346.1	-10.7	10	-331.1	-10.7	10	-316.1	-10.7	10	-301.1	-10.7	10	-286.1	-10.7	10
-271.1	-10.7	10	-256.1	-10.7	10	-241.1	-10.7	10	-226.1	-10.7	10	-211.1	-10.7	10
-421.1	10.7	10	-406.1	10.7	10	-391.1	10.7	10	-376.1	10.7	10	-361.1	10.7	10
-346.1	10.7	10	-331.1	10.7	10	-316.1	10.7	10	-301.1	10.7	10	-286.1	10.7	10
-271.1	10.7	10	-256.1	10.7	10	-241.1	10.7	10	-226.1	10.7	10	-211.1	10.7	10
-206.1	-10.4	16	-206.1	10.4	16	-432.1	-10.4	16	-432.1	10.4	16	-432.1	-10.4	16
-432.1	10.4	16	-432.1	-10.4	16	-432.1	10.4	16						

Sezione a quota 782

Coordinate dei vertici

X	Y
-436.1	-15.0
-436.1	15.0
-202.1	15.0
-202.1	-15.0

Armature verticali

X	Y	ø	X	Y	ø	X	Y	ø	X	Y	ø	X	Y	ø
-421.1	-10.7	10	-406.1	-10.7	10	-391.1	-10.7	10	-376.1	-10.7	10	-361.1	-10.7	10
-346.1	-10.7	10	-331.1	-10.7	10	-316.1	-10.7	10	-301.1	-10.7	10	-286.1	-10.7	10
-271.1	-10.7	10	-256.1	-10.7	10	-241.1	-10.7	10	-226.1	-10.7	10	-211.1	-10.7	10
-421.1	10.7	10	-406.1	10.7	10	-391.1	10.7	10	-376.1	10.7	10	-361.1	10.7	10
-346.1	10.7	10	-331.1	10.7	10	-316.1	10.7	10	-301.1	10.7	10	-286.1	10.7	10
-271.1	10.7	10	-256.1	10.7	10	-241.1	10.7	10	-226.1	10.7	10	-211.1	10.7	10
-206.1	-10.4	16	-206.1	10.4	16	-432.1	-10.4	16	-432.1	10.4	16	-432.1	-10.4	16
-432.1	10.4	16	-432.1	-10.4	16	-432.1	10.4	16						

Sezione a quota 1008

Coordinate dei vertici

X	Y
-436.1	-15.0
-436.1	15.0
-202.1	15.0
-202.1	-15.0

Armature verticali

X	Y	ø	X	Y	ø	X	Y	ø	X	Y	ø	X	Y	ø
-421.1	-10.7	10	-406.1	-10.7	10	-391.1	-10.7	10	-376.1	-10.7	10	-361.1	-10.7	10
-346.1	-10.7	10	-331.1	-10.7	10	-316.1	-10.7	10	-301.1	-10.7	10	-286.1	-10.7	10
-271.1	-10.7	10	-256.1	-10.7	10	-241.1	-10.7	10	-226.1	-10.7	10	-211.1	-10.7	10

Armature verticali											
X	Y	ø	X	Y	ø	X	Y	ø	X	Y	ø
-421.1	-10.7	10	-406.1	-10.7	10	-391.1	-10.7	10	-376.1	-10.7	10
-346.1	-10.7	10	-331.1	-10.7	10	-316.1	-10.7	10	-301.1	-10.7	10
-271.1	-10.7	10	-256.1	-10.7	10	-241.1	-10.7	10	-226.1	-10.7	10
-421.1	10.7	10	-406.1	10.7	10	-391.1	10.7	10	-376.1	10.7	10
-346.1	10.7	10	-331.1	10.7	10	-316.1	10.7	10	-301.1	10.7	10
-271.1	10.7	10	-256.1	10.7	10	-241.1	10.7	10	-226.1	10.7	10
-206.1	-10.4	16	-206.1	10.4	16	-432.1	-10.4	16	-432.1	10.4	16
-432.1	10.4	16	-432.1	10.4	16	-432.1	10.4	16			

Armature verticali											
X	Y	ø	X	Y	ø	X	Y	ø	X	Y	ø
-421.1	-10.7	10	-406.1	-10.7	10	-391.1	-10.7	10	-376.1	-10.7	10
-346.1	-10.7	10	-331.1	-10.7	10	-316.1	-10.7	10	-301.1	-10.7	10
-271.1	-10.7	10	-256.1	-10.7	10	-241.1	-10.7	10	-226.1	-10.7	10
-421.1	10.7	10	-406.1	10.7	10	-391.1	10.7	10	-376.1	10.7	10
-346.1	10.7	10	-331.1	10.7	10	-316.1	10.7	10	-301.1	10.7	10
-271.1	10.7	10	-256.1	10.7	10	-241.1	10.7	10	-226.1	10.7	10
-206.1	-10.4	16	-206.1	10.4	16	-432.1	-10.4	16	-432.1	10.4	16
-432.1	10.4	16	-432.1	-10.4	16	-432.1	10.4	16			

Armature verticali															
X	Y	ø	X	Y	ø	X	Y	ø	X	Y	ø	X	Y	ø	X
-421.1	-10.7	10	-406.1	-10.7	10	-391.1	-10.7	10	-376.1	-10.7	10	-361.1	-10.7	10	-346.1
-346.1	-10.7	10	-331.1	-10.7	10	-316.1	-10.7	10	-301.1	-10.7	10	-286.1	-10.7	10	-271.1
-271.1	-10.7	10	-256.1	-10.7	10	-241.1	-10.7	10	-226.1	-10.7	10	-211.1	-10.7	10	-196.1
-196.1	-10.7	10	-181.1	-10.7	10	-166.1	-10.7	10	-151.1	-10.7	10	-136.1	-10.7	10	-121.1
-121.1	-10.7	10	-106.1	-10.7	10	-91.1	-10.7	10	-76.1	-10.7	10	-61.1	-10.7	10	-46.1
-46.1	-10.7	10	-31.1	-10.7	10	-16.1	-10.7	10	-0.1	-10.7	10	14.9	-10.7	10	30.1
30.1	-10.7	10	45.1	-10.7	10	60.1	-10.7	10	75.1	-10.7	10	90.1	-10.7	10	105.1
105.1	-10.7	10	120.1	-10.7	10	135.1	-10.7	10	150.1	-10.7	10	165.1	-10.7	10	180.1
180.1	-10.7	10	195.1	-10.7	10	210.1	-10.7	10	225.1	-10.7	10	240.1	-10.7	10	255.1
255.1	-10.7	10	270.1	-10.7	10	285.1	-10.7	10	300.1	-10.7	10	315.1	-10.7	10	330.1
330.1	-10.7	10	345.1	-10.7	10	360.1	-10.7	10	375.1	-10.7	10	390.1	-10.7	10	405.1
405.1	-10.7	10	420.1	-10.7	10	435.1	-10.7	10	450.1	-10.7	10	465.1	-10.7	10	480.1
480.1	-10.7	10	495.1	-10.7	10	510.1	-10.7	10	525.1	-10.7	10	540.1	-10.7	10	555.1
555.1	-10.7	10	570.1	-10.7	10	585.1	-10.7	10	600.1	-10.7	10	615.1	-10.7	10	630.1
630.1	-10.7	10	645.1	-10.7	10	660.1	-10.7	10	675.1	-10.7	10	690.1	-10.7	10	705.1
705.1	-10.7	10	720.1	-10.7	10	735.1	-10.7	10	750.1	-10.7	10	765.1	-10.7	10	780.1
780.1	-10.7	10	795.1	-10.7	10	810.1	-10.7	10	825.1	-10.7	10	840.1	-10.7	10	855.1
855.1	-10.7	10	870.1	-10.7	10	885.1	-10.7	10	900.1	-10.7	10	915.1	-10.7	10	930.1
930.1	-10.7	10	945.1	-10.7	10	960.1	-10.7	10	975.1	-10.7	10	990.1	-10.7	10	1005.1
1005.1	-10.7	10	1020.1	-10.7	10	1035.1	-10.7	10	1050.1	-10.7	10	1065.1	-10.7	10	1080.1
1080.1	-10.7	10	1095.1	-10.7	10	1110.1	-10.7	10	1125.1	-10.7	10	1140.1	-10.7	10	1155.1
1155.1	-10.7	10	1170.1	-10.7	10	1185.1	-10.7	10	1200.1	-10.7	10	1215.1	-10.7	10	1230.1
1230.1	-10.7	10	1245.1	-10.7	10	1260.1	-10.7	10	1275.1	-10.7	10	1290.1	-10.7	10	1305.1
1305.1	-10.7	10	1320.1	-10.7	10	1335.1	-10.7	10	1350.1	-10.7	10	1365.1	-10.7	10	1380.1
1380.1	-10.7	10	1395.1	-10.7	10	1410.1	-10.7	10	1425.1	-10.7	10	1440.1	-10.7	10	1455.1
1455.1	-10.7	10	1470.1	-10.7	10	1485.1	-10.7	10	1500.1	-10.7	10	1515.1	-10.7	10	1530.1
1530.1	-10.7	10	1545.1	-10.7	10	1560.1	-10.7	10							

Armature verticali															
X	Y	ø	X	Y	ø	X	Y	ø	X	Y	ø	X	Y	ø	X
-421.1	-10.7	10	-406.1	-10.7	10	-391.1	-10.7	10	-376.1	-10.7	10	-361.1	-10.7	10	-346.1
-346.1	-10.7	10	-331.1	-10.7	10	-316.1	-10.7	10	-301.1	-10.7	10	-286.1	-10.7	10	-271.1
-271.1	-10.7	10	-256.1	-10.7	10	-241.1	-10.7	10	-226.1	-10.7	10	-211.1	-10.7	10	-196.1
-421.1	10.7	10	-406.1	10.7	10	-391.1	10.7	10	-376.1	10.7	10	-361.1	10.7	10	-346.1
-346.1	10.7	10	-331.1	10.7	10	-316.1	10.7	10	-301.1	10.7	10	-286.1	10.7	10	-271.1
-271.1	10.7	10	-256.1	10.7	10	-241.1	10.7	10	-226.1	10.7	10	-211.1	10.7	10	-196.1
-206.1	-10.4	16	-206.1	10.4	16	-432.1	-10.4	16	-432.1	10.4	16	-432.1	-10.4	16	-432.1
-432.1	10.4	16	-432.1	10.4	16	-432.1	10.4	16	-432.1	10.4	16	-432.1	10.4	16	-432.1

Armature verticali														
X	Y	\varnothing	X	Y	\varnothing	X	Y	\varnothing	X	Y	\varnothing	X	Y	\varnothing
-421.1	-10.7	10	-406.1	-10.7	10	-391.1	-10.7	10	-376.1	-10.7	10	-361.1	-10.7	10
-346.1	-10.7	10	-331.1	-10.7	10	-316.1	-10.7	10	-301.1	-10.7	10	-286.1	-10.7	10
-271.1	-10.7	10	-256.1	-10.7	10	-241.1	-10.7	10	-226.1	-10.7	10	-211.1	-10.7	10
-421.1	10.7	10	-406.1	10.7	10	-391.1	10.7	10	-376.1	10.7	10	-361.1	10.7	10
-346.1	10.7	10	-331.1	10.7	10	-316.1	10.7	10	-301.1	10.7	10	-286.1	10.7	10
-271.1	10.7	10	-256.1	10.7	10	-241.1	10.7	10	-226.1	10.7	10	-211.1	10.7	10
-206.1	-10.4	16	-206.1	10.4	16	-432.1	-10.4	16	-432.1	10.4	16	-432.1	-10.4	16
-432.1	10.4	16	-432.1	10.4	16	-432.1	10.4	16						

Armature verticali														
X	Y	ø	X	Y	ø	X	Y	ø	X	Y	ø	X	Y	ø
-421.1	-10.7	10	-406.1	-10.7	10	-391.1	-10.7	10	-376.1	-10.7	10	-361.1	-10.7	10
-346.1	-10.7	10	-331.1	-10.7	10	-316.1	-10.7	10	-301.1	-10.7	10	-286.1	-10.7	10
-271.1	-10.7	10	-256.1	-10.7	10	-241.1	-10.7	10	-226.1	-10.7	10	-211.1	-10.7	10
-421.1	10.7	10	-406.1	10.7	10	-391.1	10.7	10	-376.1	10.7	10	-361.1	10.7	10
-346.1	10.7	10	-331.1	10.7	10	-316.1	10.7	10	-301.1	10.7	10	-286.1	10.7	10
-271.1	10.7	10	-256.1	10.7	10	-241.1	10.7	10	-226.1	10.7	10	-211.1	10.7	10
-206.1	-10.4	16	-206.1	10.4	16	-432.1	-10.4	16	-432.1	10.4	16	-432.1	-10.4	16
-432.1	10.4	16	-432.1	-10.4	16	-432.1	10.4	16						

[illegible]

Ingresso-Principale

-271.1	-10.7	10	-256.1	-10.7	10	-241.1	-10.7	10	-226.1	-10.7	10	-211.1	-10.7	10
-421.1	10.7	10	-406.1	10.7	10	-391.1	10.7	10	-376.1	10.7	10	-361.1	10.7	10
-346.1	10.7	10	-331.1	10.7	10	-316.1	10.7	10	-301.1	10.7	10	-286.1	10.7	10
-271.1	10.7	10	-256.1	10.7	10	-241.1	10.7	10	-226.1	10.7	10	-211.1	10.7	10
-206.1	-10.4	16	-206.1	10.4	16	-432.1	-10.4	16	-432.1	10.4	16	-432.1	-10.4	16
-432.1	10.4	16	-432.1	-10.4	16	-432.1	10.4	16						

Sezione a quota 1715

Coordinate dei vertici

X	Y
-436.1	-15.0
-436.1	15.0
-202.1	15.0
-202.1	-15.0

Armature verticali

X	Y	ø	X	Y	ø	X	Y	ø	X	Y	ø	X	Y	ø
-421.1	-10.7	10	-406.1	-10.7	10	-391.1	-10.7	10	-376.1	-10.7	10	-361.1	-10.7	10
-346.1	-10.7	10	-331.1	-10.7	10	-316.1	-10.7	10	-301.1	-10.7	10	-286.1	-10.7	10
-271.1	-10.7	10	-256.1	-10.7	10	-241.1	-10.7	10	-226.1	-10.7	10	-211.1	-10.7	10
-421.1	10.7	10	-406.1	10.7	10	-391.1	10.7	10	-376.1	10.7	10	-361.1	10.7	10
-346.1	10.7	10	-331.1	10.7	10	-316.1	10.7	10	-301.1	10.7	10	-286.1	10.7	10
-271.1	10.7	10	-256.1	10.7	10	-241.1	10.7	10	-226.1	10.7	10	-211.1	10.7	10
-206.1	-10.4	16	-206.1	10.4	16	-432.1	-10.4	16	-432.1	10.4	16	-432.1	-10.4	16
-432.1	10.4	16	-432.1	-10.4	16	-432.1	10.4	16						

Sezione a quota 1724

Coordinate dei vertici

X	Y
-436.1	-15.0
-436.1	15.0
-202.1	15.0
-202.1	-15.0

Armature verticali

X	Y	ø	X	Y	ø	X	Y	ø	X	Y	ø	X	Y	ø
-421.1	-10.7	10	-406.1	-10.7	10	-391.1	-10.7	10	-376.1	-10.7	10	-361.1	-10.7	10
-346.1	-10.7	10	-331.1	-10.7	10	-316.1	-10.7	10	-301.1	-10.7	10	-286.1	-10.7	10
-271.1	-10.7	10	-256.1	-10.7	10	-241.1	-10.7	10	-226.1	-10.7	10	-211.1	-10.7	10
-421.1	10.7	10	-406.1	10.7	10	-391.1	10.7	10	-376.1	10.7	10	-361.1	10.7	10
-346.1	10.7	10	-331.1	10.7	10	-316.1	10.7	10	-301.1	10.7	10	-286.1	10.7	10
-271.1	10.7	10	-256.1	10.7	10	-241.1	10.7	10	-226.1	10.7	10	-211.1	10.7	10
-206.1	-10.4	16	-206.1	10.4	16	-432.1	-10.4	16	-432.1	10.4	16	-432.1	-10.4	16
-432.1	10.4	16	-432.1	-10.4	16	-432.1	10.4	16						

fcd	fctd	Hcr	q.Hcr	hw	Lw	n.p.	hs
141	12	300	293	1760	234	5	351

Verifica a pressoflessione

quota	Mxd	Myd	Ned	Ngrav.	NReale	c.s. comb
0	-47907	-230108	-145270	-145270	-145270	7.1727 20 SLV
0	-713510	699992	-14224	-98583	-63515	4.7030 16 SLV
263	30289	647779	-140191	-140191	-140191	7.4325 20 SLV
263	128633	-2630279	-179465	-94676	-132127	5.7221 3 SLV
525	108484	1512971	-133419	-133419	-133419	7.1021 20 SLV
525	-176718	2796115	-170542	-89467	-125809	5.5562 3 SLV
555	-335434	-1124631	-105088	-105088	-105088	7.6423 20 SLV
555	-485167	-861859	-9460	-72081	-45501	4.6681 16 SLV
782	-34006	-2105	-99751	-99751	-99751	9.4992 20 SLV
782	-65768	2057179	-126545	-67976	-92557	7.4879 1 SLV
1008	267421	1092377	-94069	-94069	-94069	9.0519 20 SLV
1008	496372	-116215	-6845	-63605	-38648	4.4006 16 SLV
1038	-371593	-954694	-71179	-71179	-71179	9.2938 20 SLV
1038	-456647	-166116	-9823	-49608	-34627	5.3970 16 SLV
1181	-32422	-5776	-67574	-67574	-67574	14.0226 20 SLV
1181	-69217	-150993	-83931	-46835	-60513	11.2898 1 SLV
1324	306749	943142	-63969	-63969	-63969	10.9532 20 SLV
1324	490825	524626	-9281	-44062	-31312	4.3922 16 SLV
1354	-357603	-821634	-45561	-45561	-45561	11.3454 20 SLV
1354	-350875	91130	-10442	-32613	-26748	7.5700 16 SLV
1515	140625	-1431278	-45164	-45164	-45164	15.2148 17 SLV
1515	144952	-994352	-9234	-24137	-29805	16.4880 16 SLV
1676	598364	-2541177	-40450	-40450	-40450	4.9398 18 SLV
1676	602099	-2107015	-7023	-26997	-20522	3.1708 16 SLV
1706	686254	-2711964	-38625	-38625	-38625	4.1006 18 SLV
1706	679878	-2313621	-6370	-25593	-19166	2.7613 16 SLV
1715	712620	-2763200	-38625	-38625	-38625	3.9163 18 SLV
1715	703591	-2374896	-6370	-25593	-19166	2.6637 16 SLV
1724	738987	-2814436	-38625	-38625	-38625	3.7434 18 SLV
1724	727303	-2436171	-6370	-25593	-19166	2.5728 16 SLV

Controllo dello sforzo normale massimo

quota	Ned	Nmax(7.4.4.5.2.1)	c.s. comb
0	-186309	-396209	2.1266 3 SLV
263	-179465	-396209	2.2077 3 SLV
525	-170542	-396209	2.3232 3 SLV
555	-134703	-396209	2.9414 1 SLV
782	-126545	-396209	3.1310 1 SLV
1008	-120364	-396209	3.2918 1 SLV
1038	-89393	-396209	4.4322 1 SLV
1181	-83931	-396209	4.7207 1 SLV
1324	-79734	-396209	4.9691 3 SLV
1354	-54785	-396209	7.2321 1 SLV
1515	-50377	-396209	7.8649 1 SLV
1676	-46972	-396209	8.4351 1 SLV
1706	-44817	-396209	8.8406 1 SLV
1715	-44817	-396209	8.8406 1 SLV
1724	-44817	-396209	8.8406 1 SLV

Verifica compressione del diagonale

quota	epsilon	VED	Vrcd comb
0	1.00	-3438	222830 10 SLV
0	1.50	-20910	211401 7 SLV
263	1.00	-3438	222048 10 SLV
263	1.50	-15926	210492 7 SLV
525	1.00	-3438	221006 10 SLV
525	1.50	-16009	209983 7 SLV
555	1.00	-4925	218803 19 SLV
555	1.50	-5245	209620 4 SLV
782	1.00	-4925	217736 19 SLV
782	1.50	-7578	207052 6 SLV
1008	1.00	-4925	216599 19 SLV
1008	1.50	-5617	204218 10 SLV
1038	1.00	-6639	212014 19 SLV
1038	1.50	-11814	205269 3 SLV
1181	1.00	-6639	211293 19 SLV
1181	1.50	-11656	205320 3 SLV
1324	1.00	-6639	210572 19 SLV
1324	1.50	-11394	205239 3 SLV
1354	1.00	6010	207867 17 SLV
1354	1.50	9588	200193 16 SLV
1515	1.00	6010	207137 17 SLV
1515	1.50	10026	199951 16 SLV
1676	1.00	6010	206407 17 SLV
1676	1.50	10135	199509 16 SLV
1706	1.00	6010	206042 17 SLV
1706	1.50	10212	199378 16 SLV
1715	1.00	6010	206042 17 SLV
1715	1.50	10212	199378 16 SLV
1724	1.00	6010	206042 17 SLV
1724	1.50	10212	199378 16 SLV

Verifica trazione del diagonale									
quota	At	roh	rov	VEd	NEd	VRsd	comb		
0	63.8	0.0021	0.0091	-3489	-145270	46034	20 SLU		
0	63.8	0.0021	0.0091	-20910	-115773	46034	7 SLV		
263	63.8	0.0023	0.0091	-3489	-140191	49870	20 SLU		
263	63.8	0.0023	0.0091	-15928	-132127	49870	3 SLV		
525	39.6	0.0049	0.0056	-3489	-133419	107412	20 SLU		
525	39.6	0.0049	0.0056	-16009	-104126	107412	7 SLV		
555	39.6	0.0049	0.0056	-4925	-103494	107412	19 SLU		
555	39.6	0.0049	0.0056	-5260	-97997	107412	2 SLV		
782	39.6	0.0023	0.0056	-4925	-98158	49870	19 SLU		
782	39.6	0.0023	0.0056	-7578	-78725	49870	6 SLV		
1008	39.6	0.0024	0.0056	-4925	-92475	53706	19 SLU		
1008	39.6	0.0024	0.0056	-5617	-62371	53706	10 SLV		
1038	39.6	0.0024	0.0056	-6639	-69547	53706	19 SLU		
1038	39.6	0.0024	0.0056	-11814	-60626	53706	3 SLV		
1181	39.6	0.0021	0.0056	-6639	-65942	46034	19 SLU		
1181	39.6	0.0021	0.0056	-11656	-59493	46034	3 SLV		
1324	39.6	0.0024	0.0056	-6639	-62338	53706	19 SLU		
1324	39.6	0.0024	0.0056	-11394	-57703	53706	3 SLV		
1354	39.6	0.0024	0.0056	6010	-48814	53706	17 SLU		
1354	39.6	0.0024	0.0056	9588	-26748	53706	16 SLV		
1515	39.6	0.0021	0.0056	6010	-45164	46034	17 SLU		
1515	39.6	0.0021	0.0056	10026	-24137	46034	16 SLV		
1676	39.6	0.0035	0.0056	6010	-41513	76723	17 SLU		
1676	39.6	0.0035	0.0056	10135	-20522	76723	16 SLV		
1706	39.6	0.0049	0.0056	6010	-39688	107412	17 SLU		
1706	39.6	0.0049	0.0056	10212	-19166	107412	16 SLV		
1715	39.6	0.0054	0.0056	6010	-39688	118514	17 SLU		
1715	39.6	0.0054	0.0056	10212	-19166	118514	16 SLV		
1724	39.6	0.0056	0.0056	6010	-39688	122748	17 SLU		
1724	39.6	0.0056	0.0056	10212	-19166	122748	16 SLV		

Verifica per scorrimento a taglio									
quota	Somma(Asj)	csi	Med	VEd	Vdd	Vid	Vfd	Vrd,s	comb
0	63.77	0.52	3407699	14751	61604	0	98101	159706	10 SLV

Pannello : Pannello da Filo 36 a Filo 37

Sezione a quota -302

Coordinate dei vertici

X	Y
-436.1	-15.0
-436.1	15.0
-202.1	15.0
-202.1	-15.0

Armature verticali

X	Y	ø	X	Y	ø	X	Y	ø	X	Y	ø	X	Y	ø
-421.1	-10.7	10	-406.1	-10.7	10	-391.1	-10.7	10	-376.1	-10.7	10	-361.1	-10.7	10
-346.1	-10.7	10	-331.1	-10.7	10	-316.1	-10.7	10	-301.1	-10.7	10	-286.1	-10.7	10
-271.1	-10.7	10	-256.1	-10.7	10	-241.1	-10.7	10	-226.1	-10.7	10	-211.1	-10.7	10
-421.1	10.7	10	-406.1	10.7	10	-391.1	10.7	10	-376.1	10.7	10	-361.1	10.7	10
-346.1	10.7	10	-331.1	10.7	10	-316.1	10.7	10	-301.1	10.7	10	-286.1	10.7	10
-271.1	10.7	10	-256.1	10.7	10	-241.1	10.7	10	-226.1	10.7	10	-211.1	10.7	10
-431.5	-10.4	16	-431.5	10.4	16	-416.5	-10.4	16	-416.5	10.4	16	-401.5	-10.4	16
-401.5	10.4	16	-206.7	-10.4	16	-206.7	10.4	16	-221.7	-10.4	16	-221.7	10.4	16
-236.7	-10.4	16	-236.7	10.4	16	-206.1	-10.4	16	-206.1	10.4	16	-432.1	-10.4	16
-432.1	10.4	16	-432.1	-10.4	16	-432.1	10.4	16	-432.1	-10.4	16	-432.1	10.4	16

Sezione a quota -166

Coordinate dei vertici

X	Y
-436.1	-15.0
-436.1	15.0
-202.1	15.0
-202.1	-15.0

Armature verticali

X	Y	ø	X	Y	ø	X	Y	ø	X	Y	ø	X	Y	ø
-421.1	-10.7	10	-406.1	-10.7	10	-391.1	-10.7	10	-376.1	-10.7	10	-361.1	-10.7	10
-346.1	-10.7	10	-331.1	-10.7	10	-316.1	-10.7	10	-301.1	-10.7	10	-286.1	-10.7	10
-271.1	-10.7	10	-256.1	-10.7	10	-241.1	-10.7	10	-226.1	-10.7	10	-211.1	-10.7	10
-421.1	10.7	10	-406.1	10.7	10	-391.1	10.7	10	-376.1	10.7	10	-361.1	10.7	10
-346.1	10.7	10	-331.1	10.7	10	-316.1	10.7	10	-301.1	10.7	10	-286.1	10.7	10
-271.1	10.7	10	-256.1	10.7	10	-241.1	10.7	10	-226.1	10.7	10	-211.1	10.7	10
-431.5	-10.4	16	-431.5	10.4	16	-416.5	-10.4	16	-416.5	10.4	16	-401.5	-10.4	16
-401.5	10.4	16	-206.7	-10.4	16	-206.7	10.4	16	-221.7	-10.4	16	-221.7	10.4	16
-236.7	-10.4	16	-236.7	10.4	16	-206.1	-10.4	16	-206.1	10.4	16	-432.1	-10.4	16
-432.1	10.4	16	-432.1	-10.4	16	-432.1	10.4	16	-432.1	-10.4	16	-432.1	10.4	16

Sezione a quota -30

Coordinate dei vertici

X	Y
-436.1	-15.0
-436.1	15.0
-202.1	15.0
-202.1	-15.0

Armature verticali

X	Y	ø	X	Y	ø	X	Y	ø	X	Y	ø	X	Y	ø
-421.1	-10.7	10	-406.1	-10.7	10	-391.1	-10.7	10	-376.1	-10.7	10	-361.1	-10.7	10
-346.1	-10.7	10	-331.1	-10.7	10	-316.1	-10.7	10	-301.1	-10.7	10	-286.1	-10.7	10
-271.1	-10.7	10	-256.1	-10.7	10	-241.1	-10.7	10	-226.1	-10.7	10	-211.1	-10.7	10
-421.1	10.7	10	-406.1	10.7	10	-391.1	10.7	10	-376.1	10.7	10	-361.1	10.7	10
-346.1	10.7	10	-331.1	10.7	10	-316.1	10.7	10	-301.1	10.7	10	-286.1	10.7	10
-271.1	10.7	10	-256.1	10.7	10	-241.1	10.7	10	-226.1	10.7	10	-211.1	10.7	10
-431.5	-10.4	16	-431.5	10.4	16	-416.5	-10.4	16	-416.5	10.4	16	-401.5	-10.4	16
-401.5	10.4	16	-206.7	-10.4	16	-206.7	10.4	16	-221.7	-10.4	16	-221.7	10.4	16
-236.7	-10.4	16	-236.7	10.4	16	-206.1	-10.4	16	-206.1	10.4	16	-432.1	-10.4	16
-432.1	10.4	16	-432.1	-10.4	16	-432.1	10.4	16	-432.1	-10.4	16	-432.1	10.4	16

Sezione a quota 0

Coordinate dei vertici

X	Y
-436.1	-15.0
-436.1	15.0
-202.1	15.0
-202.1	-15.0

Armature verticali

X	Y	ø	X	Y	ø	X	Y	ø	X	Y	ø	X	Y	ø
-421.1	-10.7	10	-406.1	-10.7	10	-391.1	-10.7	10	-376.1	-10.7	10	-361.1	-10.7	10
-346.1	-10.7	10	-331.1	-10.7	10	-316.1	-10.7	10	-301.1	-10.7	10	-286.1	-10.7	10
-271.1	-10.7	10	-256.1	-10.7	10	-241.1	-10.7	10	-226.1	-10.7	10	-211.1	-10.7	10
-421.1	10.7	10	-406.1	10.7	10	-391.1	10.7	10	-376.1	10.7	10	-361.1	10.7	10
-346.1	10.7	10	-331.1	10.7	10	-316.1	10.7	10	-301.1	10.7	10	-286.1	10.7	10
-271.1	10.7	10	-256.1	10.7	10	-241.1	10.7	10	-226.1	10.7	10	-211.1	10.7	10
-431.5	-10.4	16	-431.5	10.4	16	-416.5	-10.4	16	-416.5	10.4	16	-401.5	-10.4	16
-401.5	10.4	16	-206.7	-10.4	16	-206.7	10.4	16	-221.7	-10.4	16	-221.7	10.4	16
-236.7	-10.4	16	-236.7	10.4	16	-206.1	-10.4	16	-206.1	10.4	16	-432.1	-10.4	16
-432.1	10.4	16	-432.1	-10.4	16	-432.1	10.4	16	-432.1	-10.4	16	-432.1	10.4	16

Sezione a quota 263

Coordinate dei vertici

X	Y
-436.1	-15.0
-436.1	15.0
-202.1	15.0
-202.1	-15.0

Armature verticali

X	Y	ø	X	Y	ø	X	Y	ø	X	Y	ø	X	Y	ø
-421.1	-10.7	10	-406.1	-10.7	10	-391.1	-10.7	10	-376.1	-10.7	10	-361.1	-10.7	10
-346.1	-10.7	10	-331.1	-10.7	10	-316.1	-10.7	10	-301.1	-10.7	10	-286.1	-10.7	10
-271.1	-10.7	10	-256.1	-10.7	10	-241.1	-10.7	10	-226.1	-10.7	10	-211.1	-10.7	10
-421.1	10.7	10	-406.1	10.7	10	-391.1	10.7	10	-376.1	10.7	10	-361.1	10.7	10
-346.1	10.7	10	-331.1	10.7	10	-316.1	10.7	10	-301.1	10.7	10	-286.1	10.7	10
-271.1	10.7	10	-256.1	10.7	10	-241.1	10.7	10	-226.1	10.7	10	-211.1	10.7	10
-431.5	-10.4	16	-431.5	10.4	16	-416.5	-10.4	16	-416.5	10.4	16	-401.5	-10.4	16
-401.5	10.4	16	-206.7	-10.4	16	-206.7	10.4	16	-221.7	-10.4	16	-221.7	10.4	16
-236.7	-10.4	16	-236.7	10.4	16	-206.1	-10.4	16	-206.1	10.4	16	-432.1	-10.4	16
-432.1	10.4	16	-432.1	-10.4	16	-432.1	10.4	16	-432.1	-10.4	16	-432.1	10.4	16

Ingresso-Principale

-302	31064	9875467	-139566	-139566	-139566	4.5462	20	SLU
-302	74207	9819715	-158481	-96140	-110411	4.3319	5	SLV
-166	24298	5635502	-139890	-139890	-139890	6.1143	20	SLU
-166	10176	9819715	-160556	-95351	-112881	4.3485	5	SLV
-30	-127968	2332589	-134791	-134791	-134791	7.7303	20	SLU
-30	-65172	9106968	-42020	-91178	-87609	4.1083	9	SLV
0	-47907	-230108	-145270	-145270	-145270	7.1727	20	SLU
0	-713510	5561706	-14224	-98583	-63515	3.1780	16	SLV
263	30289	647779	-140191	-140191	-140191	7.4325	20	SLU
263	77970	9106968	-34127	-94676	-81464	3.7841	9	SLV
525	108484	1512971	-133419	-133419	-133419	7.1021	20	SLU
525	302472	3879510	-8391	-89467	-53125	3.9092	14	SLV
555	-335434	-1124631	-105088	-105088	-105088	7.6423	20	SLU
555	-485167	3051611	-9460	-72081	-45501	3.4330	16	SLV
782	-34006	-2105	-99751	-99751	-99751	9.4992	20	SLU
782	-65768	245460	-126545	-67976	-92557	7.4879	1	SLV
1008	267421	1092377	-94069	-94069	-94069	9.0519	20	SLU
1008	496372	-73958	-6845	-63605	-38648	4.3788	16	SLV
1038	-371593	-954694	-71179	-71179	-71179	9.2938	20	SLU
1038	-456647	-166116	-9823	-49608	-34627	5.3970	16	SLV
1181	-32422	-5776	-67574	-67574	-67574	14.0226	20	SLU
1181	-69217	1973838	-83931	-46835	-60513	10.8516	1	SLV
1324	306749	943142	-63969	-63969	-63969	10.9532	20	SLU
1324	490825	524626	-9281	-44062	-31312	4.3922	16	SLV
1354	-357603	-821634	-45561	-45561	-45561	11.3454	20	SLU
1354	-350875	-463109	-10442	-32613	-26748	7.5389	16	SLV
1515	140625	-1431278	-45164	-45164	-45164	15.2148	17	SLU
1515	144952	-994352	-9234	-29805	-24137	16.4880	16	SLV
1676	598364	-2541177	-40450	-40450	-40450	4.9398	18	SLU
1676	602099	-2107015	-7023	-26997	-20522	3.1708	16	SLV
1706	686254	-2711964	-38625	-38625	-38625	4.1006	18	SLU
1706	679878	-2313621	-6370	-25593	-19166	2.7613	16	SLV
1715	712620	-2763200	-38625	-38625	-38625	3.9163	18	SLU
1715	703591	-2374896	-6370	-25593	-19166	2.6637	16	SLV
1724	738987	-2814436	-38625	-38625	-38625	3.7434	18	SLU
1724	727303	-2436171	-6370	-25593	-19166	2.5728	16	SLV

Controllo dello sforzo normale massimo

quota	Ned	Nmax(7.4.4.5.2.1)	c.s.	comb
-302	-162553	-396209	2.4374	1 SLV
-166	-169741	-396209	2.3342	1 SLV
-30	-164209	-396209	2.4128	1 SLV
0	-186309	-396209	2.1266	3 SLV
263	-179465	-396209	2.2077	3 SLV
525	-170542	-396209	2.3232	3 SLV
555	-134703	-396209	2.9414	1 SLV
782	-126545	-396209	3.1310	1 SLV
1008	-120364	-396209	3.2918	1 SLV
1038	-89393	-396209	4.4322	1 SLV
1181	-83931	-396209	4.7207	1 SLV
1324	-79734	-396209	4.9691	3 SLV
1354	-54785	-396209	7.2321	1 SLV
1515	-50377	-396209	7.8649	1 SLV
1676	-46972	-396209	8.4351	1 SLV
1706	-44817	-396209	8.8406	1 SLV
1715	-44817	-396209	8.8406	1 SLV
1724	-44817	-396209	8.8406	1 SLV

Verifica compressione del diagonale

quota	epsilon	Ved	Vrzd comb
-302	1.00	29717	226018 20 SLU
-302	1.50	36541	211387 1 SLV
-166	1.00	26637	226082 20 SLU
-166	1.50	30063	203668 13 SLV
-30	1.00	23595	225063 20 SLU
-30	1.50	27507	212255 3 SLV
0	1.00	-3438	222830 10 SLU
0	1.50	-20910	211401 7 SLV
263	1.00	-3438	222048 10 SLU
263	1.50	-15926	210492 7 SLV
525	1.00	-3438	221006 10 SLU
525	1.50	-16009	209983 7 SLV
555	1.00	-4925	218803 19 SLU
555	1.50	-5245	209620 4 SLV
782	1.00	-4925	217736 19 SLU
782	1.50	-7578	207052 6 SLV
1008	1.00	-4925	216599 19 SLU
1008	1.50	-5617	204218 10 SLV
1038	1.00	-6639	212014 19 SLU
1038	1.50	-11814	205269 3 SLV
1181	1.00	-6639	211293 19 SLU
1181	1.50	-11656	205320 3 SLV
1324	1.00	-6639	210572 19 SLU
1324	1.50	-11394	205239 3 SLV
1354	1.00	6010	207867 17 SLU
1354	1.50	9588	200193 16 SLV
1515	1.00	6010	207137 17 SLU
1515	1.50	10026	199951 16 SLV
1676	1.00	6010	206407 17 SLU
1676	1.50	10135	199509 16 SLV
1706	1.00	6010	206042 17 SLU
1706	1.50	10212	199378 16 SLV
1715	1.00	6010	206042 17 SLU
1715	1.50	10212	199378 16 SLV
1724	1.00	6010	206042 17 SLU
1724	1.50	10212	199378 16 SLV

Verifica trazione del diagonale

quota	At	roh	rov	Ved	NEd	VRsd comb
-302	63.8	0.0021	0.0091	29717	-139566	46034 20 SLU
-302	63.8	0.0021	0.0091	36541	-114483	46034 1 SLV
-166	63.8	0.0021	0.0091	26637	-139890	46034 20 SLU
-166	63.8	0.0021	0.0091	30144	-98909	46034 9 SLV
-30	63.8	0.0021	0.0091	23595	-134791	46034 20 SLU
-30	63.8	0.0021	0.0091	27507	-116340	46034 3 SLV
0	63.8	0.0021	0.0091	-3489	-145270	46034 20 SLU
0	63.8	0.0021	0.0091	-20910	-115773	46034 7 SLV
263	63.8	0.0023	0.0091	-3489	-140191	49870 20 SLU
263	63.8	0.0023	0.0091	-15928	-132127	49870 3 SLV
525	39.6	0.0049	0.0056	-3489	-133419	107412 20 SLU
525	39.6	0.0049	0.0056	-16009	-104126	107412 7 SLV
555	39.6	0.0049	0.0056	-4925	-103494	107412 19 SLU
555	39.6	0.0049	0.0056	-5260	-97997	107412 2 SLV
782	39.6	0.0023	0.0056	-4925	-98158	49870 19 SLU
782	39.6	0.0023	0.0056	-7578	-78725	49870 6 SLV
1008	39.6	0.0024	0.0056	-4925	-92475	53706 19 SLU
1008	39.6	0.0024	0.0056	-5617	-62371	53706 10 SLV
1038	39.6	0.0024	0.0056	-6639	-69547	53706 19 SLU
1038	39.6	0.0024	0.0056	-11814	-60626	53706 3 SLV
1181	39.6	0.0021	0.0056	-6639	-65942	46034 19 SLU
1181	39.6	0.0021	0.0056	-11656	-59493	46034 3 SLV
1324	39.6	0.0024	0.0056	-6639	-62338	53706 19 SLU
1324	39.6	0.0024	0.0056	-13394	-57703	53706 3 SLV
1354	39.6	0.0024	0.0056	6010	-48814	53706 17 SLU
1354	39.6	0.0024	0.0056	9588	-26748	53706 16 SLV
1515	39.6	0.0021	0.0056	6010	-45164	46034 17 SLU
1515	39.6	0.0021	0.0056	10026	-24137	46034 16 SLV
1676	39.6	0.0035	0.0056	6010	-41513	76723 17 SLU
1676	39.6	0.0035	0.0056	10135	-20522	76723 16 SLV
1706	39.6	0.0049	0.0056	6010	-39688	107412 17 SLU
1706	39.6	0.0049	0.0056	10212	-19166	107412 16 SLV
1715	39.6	0.0054	0.0056	6010	-39688	118514 17 SLU

1715	39.6	0.0054	0.0056	10212	-19166	118514	16	SLV
1724	39.6	0.0056	0.0056	6010	-39688	122748	17	SLU
1724	39.6	0.0056	0.0056	10212	-19166	122748	16	SLV

Verifica per scorrimento a taglio								
quota Somma(Asj)	csi	Med	VEd	Vdd	Vid	Vfd	Vrd,s	comb
-302	63.77	0.43	9254931	36541	61604	0	111508	173112 1 SLV
-30	63.77	0.31	5711349	24400	61604	0	68495	130100 15 SLV
0	63.77	0.59	5927180	-20910	61604	0	131653	193258 7 SLV

S4
Parete fra le coordinate in pianta (1012;-421) (1012;-202)
da quota -362 a quota 1754
Valori in daN, cm
C25/30; rck 300
fyk 4500

Verifica di stato limite ultimo													
nod sez	B	H	Af+	Af-	c+	c-	c.s.	comb	N	M	Nu	Mu	
558	o	50	30	9.2	9.2	4.5	4.5	5.507	20 SLU	-43784	-12407	-241112	-68322
	v	96	30	5.0	5.0	3.4	3.4	13.752	20 SLU	-26501	-15760	-364433	-216722
1144	o	80	30	10.0	10.0	4.5	4.5	2.043	14 SLV	8670	357202	17716	729919
	v	96	30	8.5	8.5	4.4	4.4	2.320	3 SLV	2232	-329793	5178	-764968
2533	o	50	30	2.4	2.4	4.3	4.3	1.279	1 SLV	2547	157076	3257	200866
	v	63	30	3.0	3.0	3.4	3.4	5.636	1 SLV	-6176	128401	-34806	723624

Combinazione rara																				
nod	sez	B	H	Af+	Af-	c+	c-	sc	c	N	M	sf	c	N	M	Wk (mm)	Wlim	st	Sm (mm)	c
558	o	50	30	9.2	9.2	4.5	4.5	-19.2	5 ra	-3.24E04	-8.95E03	-264.1	5 ra	-3.24E04	-8.95E03	0.00999,00	0,0	0,0	1 ra	
	v	96	30	5.0	5.0	3.4	3.4	-7.2	5 ra	-1.97E04	-1.17E04	-88.6	5 ra	-1.97E04	-1.17E04	0.00999,00	0,0	0,0	1 ra	
1144	o	80	30	10.0	10.0	4.5	4.5	-7.4	2 ra	-1.15E04	-4.38E04	-40.2	5 ra	-9.32E03	-1.54E04	0.00999,00	0,0	0,0	1 ra	
	v	96	30	8.5	8.5	4.4	4.4	-6.2	2 ra	9.17E02	-5.33E04	348.3	5 ra	1.08E03	-5.29E04	0.00999,00	3,8	0,0	1 ra	
2533	o	50	30	2.4	2.4	4.3	4.3	-13.1	3 ra	3.41E03	5.21E04	1719.7	2 ra	3.53E03	5.18E04	0.00999,00	9,0	0,0	1 ra	
	v	63	30	3.0	3.0	3.4	3.4	-7.9	3 ra	-7.16E03	4.35E04	-4.7	2 ra	-7.22E03	4.32E04	0.00999,00	0,7	0,0	1 ra	

combinazione frequente																				
nod	sez	B	H	Af+	Af-	c+	c-	sc	c	N	M	sf	c	N	M	Wk (mm)	Wklim	st	Sm (mm)	c
558	o	50	30	9.2	9.2	4.5	4.5	-18.3	4 fr	-3.09E04	-8.71E03	-251.0	4 fr	-3.09E04	-8.71E03	0.00	0.40	0.0	0.0	1 fr
	v	96	30	5.0	5.0	3.4	3.4	-6.8	4 fr	-1.86E04	-1.11E04	-83.8	4 fr	-1.86E04	-1.11E04	0.00	0.40	0.0	0.0	1 fr
1144	o	80	30	10.0	10.0	4.5	4.5	-7.2	2 fr	-1.13E04	-4.31E04	-38.9	4 fr	-9.12E03	-1.57E04	0.00	0.40	0.0	0.0	1 fr
	v	96	30	8.5	8.5	4.4	4.4	-6.1	2 fr	9.12E02	-5.26E04	342.6	4 fr	1.03E03	-5.24E04	0.00	0.40	3.8	0.0	1 fr
2533	o	50	30	2.4	2.4	4.3	4.3	-12.4	3 fr	3.19E03	4.90E04	1612.4	2 fr	3.29E03	4.88E04	0.00	0.40	8.5	0.0	1 fr
	v	63	30	3.0	3.0	3.4	3.4	-7.4	3 fr	-6.72E03	4.10E04	-4.1	2 fr	-6.77E03	4.07E04	0.00	0.40	0.7	0.0	1 fr

combinazione quasi permanente																					
	nod	sez	B	H	Af+	Af-	c+	c-	sc	c	N	M	sf	c	N	M	Wk (mm)	Wklim	st	Sm (mm)	c
558	o	50	30	9.2	9.2	4.5	4.5	-18.0	2 q.	-3.04E04	-8.63E03	-247.0	2 q.	-3.04E04	-8.63E03	0.00	0.30	0.0	0.0	1 q.	
	v	96	30	5.0	5.0	3.4	3.4	-6.7	2 q.	-1.83E04	-1.08E04	-82.4	2 q.	-1.83E04	-1.08E04	0.00	0.30	0.0	0.0	1 q.	
1144	o	80	30	10.0	10.0	4.5	4.5	-7.2	1 q.	-1.12E04	-4.30E04	-38.6	2 q.	-9.10E03	-1.59E04	0.00	0.30	0.0	0.0	1 q.	
	v	96	30	8.5	8.5	4.4	4.4	-6.1	1 q.	9.10E02	-5.25E04	341.6	2 q.	1.01E03	-5.24E04	0.00	0.30	3.8	0.0	1 q.	
2533	o	50	30	2.4	2.4	4.3	4.3	-12.2	2 q.	3.13E03	4.83E04	1585.5	1 q.	3.23E03	4.80E04	0.00	0.30	8.3	0.0	1 q.	
	v	63	30	3.0	3.0	3.4	3.4	-7.3	2 q.	-6.61E03	4.04E04	-3.9	1 q.	-6.66E03	4.01E04	0.00	0.30	0.7	0.0	1 q.	

Verifica dei pannelli

Pannello : Pannello da Filo 42 a Filo 43

Sezione a quota -302

Coordinate dei vertici

X	Y
-421.1	-15.0
-421.1	15.0
-202.1	15.0
-202.1	-15.0

Armature verticali

X	Y	ø	X	Y	ø	X	Y	ø	X	Y	ø	X	Y	ø
-418.1	-10.7	10	-403.1	-10.7	10	-388.1	-10.7	10	-373.1	-10.7	10	-358.1	-10.7	10
-343.1	-10.7	10	-328.1	-10.7	10	-313.1	-10.7	10	-298.1	-10.7	10	-283.1	-10.7	10
-268.1	-10.7	10	-253.1	-10.7	10	-238.1	-10.7	10	-223.1	-10.7	10	-208.1	-10.7	10
-418.1	10.7	10	-403.1	10.7	10	-388.1	10.7	10	-373.1	10.7	10	-358.1	10.7	10
-343.1	10.7	10	-328.1	10.7	10	-313.1	10.7	10	-298.1	10.7	10	-283.1	10.7	10
-268.1	10.7	10	-253.1	10.7	10	-238.1	10.7	10	-223.1	10.7	10	-208.1	10.7	10
-416.5	-10.4	16	-416.5	-10.4	16	-401.5	-10.4	16	-401.5	-10.4	16	-386.5	-10.4	16
-386.5	10.4	16	-206.7	-10.4	16	-206.7	10.4	16	-221.7	-10.4	16	-221.7	10.4	16
-236.7	-10.4	16	-236.7	10.4	16									

Sezione a quota -166

Coordinate dei vertici

X	Y
-421.1	-15.0
-421.1	15.0
-202.1	15.0
-202.1	-15.0

Armature verticali

X	Y	ø	X	Y	ø	X	Y	ø	X	Y	ø	X	Y	ø
-418.1	-10.7	10	-403.1	-10.7	10	-388.1	-10.7	10	-373.1	-10.7	10	-358.1	-10.7	10
-343.1	-10.7	10	-328.1	-10.7	10	-313.1	-10.7	10	-298.1	-10.7	10	-283.1	-10.7	10
-268.1	-10.7	10	-253.1	-10.7	10	-238.1	-10.7	10	-223.1	-10.7	10	-208.1	-10.7	10
-418.1	10.7	10	-403.1	10.7	10	-388.1	10.7	10	-373.1	10.7	10	-358.1	10.7	10
-343.1	10.7	10	-328.1	10.7	10	-313.1	10.7	10	-298.1	10.7	10	-283.1	10.7	10
-268.1	10.7	10	-253.1	10.7	10	-238.1	10.7	10	-223.1	10.7	10	-208.1	10.7	10
-416.5	-10.4	16	-416.5	-10.4	16	-401.5	-10.4	16	-401.5	-10.4	16	-386.5	-10.4	16
-386.5	10.4	16	-206.7	-10.4	16	-206.7	10.4	16	-221.7	-10.4	16	-221.7	10.4	16
-236.7	-10.4	16	-236.7	10.4	16									

Sezione a quota -30

Coordinate dei vertici

X	Y
-421.1	-15.0
-421.1	15.0
-202.1	15.0
-202.1	-15.0

Armature verticali

X	Y	ø	X	Y	ø	X	Y	ø	X	Y	ø	X	Y	ø
-418.1	-10.7	10	-403.1	-10.7	10	-388.1	-10.7	10	-373.1	-10.7	10	-358.1	-10.7	10
-343.1	-10.7	10	-328.1	-10.7	10	-313.1	-10.7	10	-298.1	-10.7	10	-283.1	-10.7	10
-268.1	-10.7	10	-253.1	-10.7	10	-238.1	-10.7	10	-223.1	-10.7	10	-208.1	-10.7	10
-418.1	10.7	10	-403.1	10.7	10	-388.1	10.7	10	-373.1	10.7	10	-358.1	10.7	10
-343.1	10.7	10	-328.1	10.7	10	-313.1	10.7	10	-298.1	10.7	10	-283.1	10.7	10
-268.1	10.7	10	-253.1	10.7	10	-238.1	10.7	10	-223.1	10.7	10	-208.1	10.7	10
-416.5	-10.4	16	-416.5	-10.4	16	-401.5	-10.4	16	-401.5	-10.4	16	-386.5	-10.4	16
-386.5	10.4	16	-206.7	-10.4	16	-206.7	10.4	16	-221.7	-10.4	16	-221.7	10.4	16
-236.7	-10.4	16	-236.7	10.4	16									

Sezione a quota 0

Coordinate dei vertici

X	Y
-421.1	-15.0
-421.1	15.0
-202.1	15.0
-202.1	-15.0

Armature verticali

X	Y	ø	X	Y	ø	X	Y	ø	X	Y	ø	X	Y	ø
-418.1	-10.7	10	-403.1	-10.7	10	-388.1	-10.7	10	-373.1	-10.7	10	-358.1	-10.7	10
-343.1	-10.7	10	-328.1	-10.7	10	-313.1	-10.7	10	-298.1	-10.7	10	-283.1	-10.7	10
-268.1	-10.7	10	-253.1	-10.7	10	-238.1	-10.7	10	-223.1	-10.7	10	-208.1	-10.7	10
-418.1	10.7	10	-403.1	10.7	10	-388.1	10.7	10	-373.1	10.7	10	-358.1	10.7	10

-343.1	10.7	10	-328.1	10.7	10	-313.1	10.7	10	-298.1	10.7	10	-283.1	10.7	10
-268.1	10.7	10	-253.1	10.7	10	-238.1	10.7	10	-223.1	10.7	10	-208.1	10.7	10
-416.5	-10.4	16	-416.5	10.4	16	-401.5	-10.4	16	-401.5	10.4	16	-386.5	-10.4	16
-386.5	10.4	16	-206.7	-10.4	16	-206.7	10.4	16	-221.7	-10.4	16	-221.7	10.4	16
-236.7	-10.4	16	-236.7	10.4	16									
Sezione a quota 263														
Coordinate dei vertici														
X	Y													
-421.1	-15.0													
-421.1	15.0													
-202.1	15.0													
-202.1	-15.0													
Armature verticali														
X	Y	ø	X	Y	ø	X	Y	ø	X	Y	ø	X	Y	ø
-418.1	-10.7	10	-403.1	-10.7	10	-388.1	-10.7	10	-373.1	-10.7	10	-358.1	-10.7	10
-343.1	-10.7	10	-328.1	-10.7	10	-313.1	-10.7	10	-298.1	-10.7	10	-283.1	-10.7	10
-268.1	-10.7	10	-253.1	-10.7	10	-238.1	-10.7	10	-223.1	-10.7	10	-208.1	-10.7	10
-418.1	10.7	10	-403.1	10.7	10	-388.1	10.7	10	-373.1	10.7	10	-358.1	10.7	10
-343.1	10.7	10	-328.1	10.7	10	-313.1	10.7	10	-298.1	10.7	10	-283.1	10.7	10
-268.1	10.7	10	-253.1	10.7	10	-238.1	10.7	10	-223.1	10.7	10	-208.1	10.7	10
-416.5	-10.4	16	-416.5	10.4	16	-401.5	-10.4	16	-401.5	10.4	16	-386.5	-10.4	16
-386.5	10.4	16	-206.7	-10.4	16	-206.7	10.4	16	-221.7	-10.4	16	-221.7	10.4	16
-236.7	-10.4	16	-236.7	10.4	16									
Sezione a quota 525														
Coordinate dei vertici														
X	Y													
-421.1	-15.0													
-421.1	15.0													
-202.1	15.0													
-202.1	-15.0													
Armature verticali														
X	Y	ø	X	Y	ø	X	Y	ø	X	Y	ø	X	Y	ø
-418.1	-10.7	10	-403.1	-10.7	10	-388.1	-10.7	10	-373.1	-10.7	10	-358.1	-10.7	10
-343.1	-10.7	10	-328.1	-10.7	10	-313.1	-10.7	10	-298.1	-10.7	10	-283.1	-10.7	10
-268.1	-10.7	10	-253.1	-10.7	10	-238.1	-10.7	10	-223.1	-10.7	10	-208.1	-10.7	10
-418.1	10.7	10	-403.1	10.7	10	-388.1								

X	Y	σ	X	Y	σ	X	Y	σ	X	Y	σ	X	Y	σ	X	Y	σ
-418.1	-10.7	10	-403.1	-10.7	10	-388.1	-10.7	10	-373.1	-10.7	10	-358.1	-10.7	10	-343.1	-10.7	10
-343.1	-10.7	10	-328.1	-10.7	10	-313.1	-10.7	10	-298.1	-10.7	10	-283.1	-10.7	10	-268.1	-10.7	10
-268.1	-10.7	10	-253.1	-10.7	10	-238.1	-10.7	10	-223.1	-10.7	10	-208.1	-10.7	10	-193.1	-10.7	10
-193.1	10.7	10	-178.1	10.7	10	-163.1	10.7	10	-148.1	10.7	10	-133.1	10.7	10	-118.1	10.7	10
-118.1	10.7	10	-103.1	10.7	10	-88.1	10.7	10	-73.1	10.7	10	-58.1	10.7	10	-43.1	10.7	10
-43.1	10.7	10	-28.1	10.7	10	-13.1	10.7	10	2.1	10.7	10	17.1	10.7	10	32.1	10.7	10
32.1	10.7	10	47.1	10.7	10	62.1	10.7	10	77.1	10.7	10	92.1	10.7	10	107.1	10.7	10
107.1	10.7	10	122.1	10.7	10	137.1	10.7	10	152.1	10.7	10	167.1	10.7	10	182.1	10.7	10
182.1	10.7	10	197.1	10.7	10	212.1	10.7	10	227.1	10.7	10	242.1	10.7	10	257.1	10.7	10

X	Y
-421.1	-15.0
-421.1	15.0
-202.1	15.0
-202.1	-15.0

X	Y	σ	X	Y	σ	X	Y	σ	X	Y	σ	X	Y	σ
-418.1	-10.7	10	-403.1	-10.7	10	-388.1	-10.7	10	-373.1	-10.7	10	-358.1	-10.7	10
-343.1	-10.7	10	-328.1	-10.7	10	-313.1	-10.7	10	-298.1	-10.7	10	-283.1	-10.7	10
-268.1	-10.7	10	-253.1	-10.7	10	-238.1	-10.7	10	-223.1	-10.7	10	-208.1	-10.7	10
-418.1	10.7	10	-403.1	10.7	10	-388.1	10.7	10	-373.1	10.7	10	-358.1	10.7	10
-343.1	10.7	10	-328.1	10.7	10	-313.1	10.7	10	-298.1	10.7	10	-283.1	10.7	10
-268.1	10.7	10	-253.1	10.7	10	-238.1	10.7	10	-223.1	10.7	10	-208.1	10.7	10

X	Y
-421.1	-15.0
-421.1	15.0
-202.1	15.0
-202.1	-15.0

X	Y	σ	X	Y	σ	X	Y	σ	X	Y	σ	X	Y	σ	X	Y	σ
-418.1	-10.7	10	-403.1	-10.7	10	-388.1	-10.7	10	-373.1	-10.7	10	-358.1	-10.7	10	-343.1	-10.7	10
-343.1	-10.7	10	-328.1	-10.7	10	-313.1	-10.7	10	-298.1	-10.7	10	-283.1	-10.7	10	-268.1	-10.7	10
-268.1	-10.7	10	-253.1	-10.7	10	-238.1	-10.7	10	-223.1	-10.7	10	-208.1	-10.7	10	-193.1	-10.7	10
-193.1	10.7	10	-178.1	10.7	10	-163.1	10.7	10	-148.1	10.7	10	-133.1	10.7	10	-118.1	10.7	10
-118.1	10.7	10	-103.1	10.7	10	-88.1	10.7	10	-73.1	10.7	10	-58.1	10.7	10	-43.1	10.7	10
-43.1	10.7	10	-28.1	10.7	10	-13.1	10.7	10	2.1	10.7	10	17.1	10.7	10	32.1	10.7	10
32.1	10.7	10	47.1	10.7	10	62.1	10.7	10	77.1	10.7	10	92.1	10.7	10	107.1	10.7	10
107.1	10.7	10	122.1	10.7	10	137.1	10.7	10	152.1	10.7	10	167.1	10.7	10	182.1	10.7	10
182.1	10.7	10	197.1	10.7	10	212.1	10.7	10	227.1	10.7	10	242.1	10.7	10	257.1	10.7	10

X	Y
-421.1	-15.0
-421.1	15.0
-202.1	15.0
-202.1	-15.0

Amplitude vertical															
X	Y	ϕ	X	Y	ϕ	X	Y	ϕ	X	Y	ϕ	X	Y	ϕ	X
-418.1	-10.7	10	-403.1	-10.7	10	-388.1	-10.7	10	-373.1	-10.7	10	-358.1	-10.7	10	-343.1
-343.1	-10.7	10	-328.1	-10.7	10	-313.1	-10.7	10	-298.1	-10.7	10	-283.1	-10.7	10	-268.1
-268.1	-10.7	10	-253.1	-10.7	10	-238.1	-10.7	10	-223.1	-10.7	10	-208.1	-10.7	10	-193.1
-193.1	-10.7	10	-178.1	-10.7	10	-163.1	-10.7	10	-148.1	-10.7	10	-133.1	-10.7	10	-118.1
-118.1	-10.7	10	-103.1	-10.7	10	-88.1	-10.7	10	-73.1	-10.7	10	-58.1	-10.7	10	-43.1
-43.1	-10.7	10	-28.1	-10.7	10	-13.1	-10.7	10	2.1	-10.7	10	17.1	-10.7	10	32.1
32.1	-10.7	10	47.1	-10.7	10	62.1	-10.7	10	77.1	-10.7	10	92.1	-10.7	10	107.1
107.1	-10.7	10	122.1	-10.7	10	137.1	-10.7	10	152.1	-10.7	10	167.1	-10.7	10	182.1
182.1	-10.7	10	197.1	-10.7	10	212.1	-10.7	10	227.1	-10.7	10	242.1	-10.7	10	257.1
257.1	-10.7	10	272.1	-10.7	10	287.1	-10.7	10	302.1	-10.7	10	317.1	-10.7	10	332.1
332.1	-10.7	10	347.1	-10.7	10	362.1	-10.7	10	377.1	-10.7	10	392.1	-10.7	10	407.1
407.1	-10.7	10	422.1	-10.7	10	437.1	-10.7	10	452.1	-10.7	10	467.1	-10.7	10	482.1
482.1	-10.7	10	497.1	-10.7	10	512.1	-10.7	10	527.1	-10.7	10	542.1	-10.7	10	557.1
557.1	-10.7	10	572.1	-10.7	10	587.1	-10.7	10	602.1	-10.7	10	617.1	-10.7	10	632.1
632.1	-10.7	10	647.1	-10.7	10	662.1	-10.7	10	677.1	-10.7	10	692.1	-10.7	10	707.1
707.1	-10.7	10	722.1	-10.7	10	737.1	-10.7	10	752.1	-10.7	10	767.1	-10.7	10	782.1
782.1	-10.7	10	797.1	-10.7	10	812.1	-10.7	10	827.1	-10.7	10	842.1	-10.7	10	857.1
857.1	-10.7	10	872.1	-10.7	10	887.1	-10.7	10	902.1	-10.7	10	917.1	-10.7	10	932.1
932.1	-10.7	10	947.1	-10.7	10	962.1	-10.7	10	977.1	-10.7	10	992.1	-10.7	10	1007.1

X	Y
-421.1	-15.0
-421.1	15.0
-202.1	15.0
-202.1	-15.0

Amplitude vertical															
X	Y	ϕ	X	Y	ϕ	X	Y	ϕ	X	Y	ϕ	X	Y	ϕ	X
-418.1	-10.7	10	-403.1	-10.7	10	-388.1	-10.7	10	-373.1	-10.7	10	-358.1	-10.7	10	-343.1
-343.1	-10.7	10	-328.1	-10.7	10	-313.1	-10.7	10	-298.1	-10.7	10	-283.1	-10.7	10	-268.1
-268.1	-10.7	10	-253.1	-10.7	10	-238.1	-10.7	10	-223.1	-10.7	10	-208.1	-10.7	10	-193.1
-193.1	-10.7	10	-178.1	-10.7	10	-163.1	-10.7	10	-148.1	-10.7	10	-133.1	-10.7	10	-118.1
-118.1	-10.7	10	-103.1	-10.7	10	-88.1	-10.7	10	-73.1	-10.7	10	-58.1	-10.7	10	-43.1
-43.1	-10.7	10	-28.1	-10.7	10	-13.1	-10.7	10	2.1	-10.7	10	17.1	-10.7	10	32.1
32.1	-10.7	10	47.1	-10.7	10	62.1	-10.7	10	77.1	-10.7	10	92.1	-10.7	10	107.1
107.1	-10.7	10	122.1	-10.7	10	137.1	-10.7	10	152.1	-10.7	10	167.1	-10.7	10	182.1
182.1	-10.7	10	197.1	-10.7	10	212.1	-10.7	10	227.1	-10.7	10	242.1	-10.7	10	257.1
257.1	-10.7	10	272.1	-10.7	10	287.1	-10.7	10	302.1	-10.7	10	317.1	-10.7	10	332.1
332.1	-10.7	10	347.1	-10.7	10	362.1	-10.7	10	377.1	-10.7	10	392.1	-10.7	10	407.1
407.1	-10.7	10	422.1	-10.7	10	437.1	-10.7	10	452.1	-10.7	10	467.1	-10.7	10	482.1
482.1	-10.7	10	497.1	-10.7	10	512.1	-10.7	10	527.1	-10.7	10	542.1	-10.7	10	557.1
557.1	-10.7	10	572.1	-10.7	10	587.1	-10.7	10	602.1	-10.7	10	617.1	-10.7	10	632.1
632.1	-10.7	10	647.1	-10.7	10	662.1	-10.7	10	677.1	-10.7	10	692.1	-10.7	10	707.1
707.1	-10.7	10	722.1	-10.7	10	737.1	-10.7	10	752.1	-10.7	10	767.1	-10.7	10	782.1
782.1	-10.7	10	797.1	-10.7	10	812.1	-10.7	10	827.1	-10.7	10	842.1	-10.7	10	857.1
857.1	-10.7	10	872.1	-10.7	10	887.1	-10.7	10	902.1	-10.7	10	917.1	-10.7	10	932.1
932.1	-10.7	10	947.1	-10.7	10	962.1	-10.7	10	977.1	-10.7	10	992.1	-10.7	10	1007.1

X	Y
-421.1	-15.0
-421.1	15.0
-202.1	15.0
-202.1	-15.0

Arizumale vertical											
X	Y	ø	X	Y	ø	X	Y	ø	X	Y	ø
-418.1	-10.7	10	-403.1	-10.7	10	-388.1	-10.7	10	-373.1	-10.7	10
-343.1	-10.7	10	-328.1	-10.7	10	-313.1	-10.7	10	-298.1	-10.7	10
-268.1	-10.7	10	-253.1	-10.7	10	-238.1	-10.7	10	-223.1	-10.7	10
-418.1	-10.7	10	-403.1	-10.7	10	-388.1	-10.7	10	-373.1	-10.7	10
-343.1	-10.7	10	-328.1	-10.7	10	-313.1	-10.7	10	-298.1	-10.7	10
-268.1	-10.7	10	-253.1	-10.7	10	-238.1	-10.7	10	-223.1	-10.7	10

X	Y
-421.1	-15.0
-421.1	15.0
-202.1	15.0
202.1	15.0

Armutale vertikali											
X	Y	ø	X	Y	ø	X	Y	ø	X	Y	ø
-418.1	-10.7	10	-403.1	-10.7	10	-388.1	-10.7	10	-373.1	-10.7	10
-343.1	-10.7	10	-328.1	-10.7	10	-313.1	-10.7	10	-298.1	-10.7	10
-268.1	-10.7	10	-253.1	-10.7	10	-238.1	-10.7	10	-223.1	-10.7	10
-418.1	10.7	10	-403.1	10.7	10	-388.1	10.7	10	-373.1	10.7	10
-343.1	10.7	10	-328.1	10.7	10	-313.1	10.7	10	-298.1	10.7	10
-268.1	10.7	10	-253.1	10.7	10	-238.1	10.7	10	-223.1	10.7	10

Verifica a pressoflessione							
	quota	Mxd	Myd	Ned	Ngrav.	NReale	c.s. comb
-302		30223	3793988	-42252	-42252	-42252	9,6221 20 SLU
-302		-9294	3823490	-3231	-30001	-18231	4,9346 5 SLV
-166		17102	5035255	-74979	-74979	-74979	7,0637 20 SLU
-166		-4817	4817434	-26378	-52470	-52613	6,0762 10 SLV
-30		8951	1703524	-70389	-70389	-70389	12,0821 20 SLV
-30		-260653	4288581	-18259	-49389	-42954	5,1753 14 SLV
0		36878	2597203	-74665	-74665	-74665	10,0787 20 SLV
0		-412061	4288581	-8199	-52670	-34534	3,9479 14 SLV
263		-20978	805287	-71540	-71540	-71540	12,9751 20 SLV
263		-62211	4288581	-14898	-50290	-40044	5,6408 14 SLV
525		-60585	-331538	-72762	-72762	-72762	11,4596 20 SLV
525		-54077	3017127	-25380	-50916	-50838	7,0614 10 SLV

Ingresso-Principale

555	-58340	-309543	-73460	-73460	-73460	11.3507	20	SLV
555	-88899	4304619	-24875	-51469	-50610	3.8511	14	SLV
782	-14726	-209458	-62834	-62834	-62834	13.2702	20	SLV
782	8133	2767348	-21579	-43935	-43547	7.5855	10	SLV
1008	5110	10142	-52923	-52923	-52923	15.7553	20	SLV
1008	-119922	37461	-58726	-36903	-40274	14.1986	3	SLV
1038	-3892	5189	-51904	-51904	-51904	16.0648	20	SLV
1038	-60968	21434	-57345	-36289	-39201	14.5403	3	SLV
1181	3628	-42754	-42730	-42730	-42730	19.5137	20	SLV
1181	-33906	81504	-47467	-29927	-32503	17.5663	1	SLV
1324	16858	-27964	-33727	-33727	-33727	24.7226	20	SLV
1324	-70078	138238	-37936	-23711	-26081	21.9795	1	SLV
1354	5460	-731170	-26181	-26181	-26181	28.0541	20	SLV
1354	8611	-688037	-29022	-18689	-19677	26.4976	6	SLV
1515	-10348	3908	-22764	-22764	-22764	36.6285	20	SLV
1515	-94108	43235	-25560	-16061	-17530	28.9950	1	SLV
1676	-26156	738987	-19348	-19348	-19348	32.2929	20	SLV
1676	-146377	535958	-8006	-13433	-14723	12.8023	1	SLV
1706	-29101	875959	-17640	-17640	-17640	29.8514	20	SLV
1706	-155064	656636	-7261	-12119	-13321	10.4312	1	SLV
1715	-29985	917050	-17640	-17640	-17640	28.9422	20	SLV
1715	-155311	689776	-7261	-12119	-13321	10.2953	1	SLV
1724	-30868	958141	-17640	-17640	-17640	28.0279	20	SLV
1724	-154939	722916	-7261	-12119	-13321	10.1637	1	SLV

Controllo dello sforzo normale massimo				
quota	Ned	Nmax(7.4.4.5.2.1)	c.s.	comb
-302	-56771	-370811	6.5317	12 SLV
-166	-78796	-370811	4.7059	11 SLV
-30	-80519	-370811	4.6052	3 SLV
0	-97142	-370811	3.8172	3 SLV
263	-85682	-370811	4.3277	3 SLV
525	-78086	-370811	4.7487	1 SLV
555	-79688	-370811	4.6533	1 SLV
782	-68854	-370811	5.3854	1 SLV
1008	-58726	-370811	6.3143	3 SLV
1038	-57345	-370811	6.4663	3 SLV
1181	-47467	-370811	7.8120	1 SLV
1324	-37936	-370811	9.7746	1 SLV
1354	-29438	-370811	12.5962	1 SLV
1515	-25560	-370811	14.5073	1 SLV
1676	-20634	-370811	17.9712	9 SLV
1706	-19380	-370811	19.1334	1 SLV
1715	-19380	-370811	19.1334	1 SLV
1724	-19380	-370811	19.1334	1 SLV

Verifica compressione del diagonale				
quota	epsilon	VEd	VrEd	comb
-302	1.00	31524	193856	20 SLV
-302	1.50	37306	187588	9 SLV
-166	1.00	43056	200401	20 SLV
-166	1.50	59229	190768	13 SLV
-30	1.00	42821	199483	20 SLV
-30	1.50	57752	189512	9 SLV
0	1.00	12693	200214	19 SLV
0	1.50	26108	187338	10 SLV
263	1.00	7093	197297	14 SLV
263	1.50	19389	188787	10 SLV
525	1.00	6293	197695	14 SLV
525	1.50	16925	190481	10 SLV
555	1.00	-2383	200097	20 SLV
555	1.50	-3041	190380	14 SLV
782	1.00	-3196	197972	20 SLV
782	1.50	-5380	189721	10 SLV
1008	1.00	-3324	195990	20 SLV
1008	1.50	-5521	188771	10 SLV
1038	1.00	-3966	195786	20 SLV
1038	1.50	-5329	189249	7 SLV
1181	1.00	-3839	193951	20 SLV
1181	1.50	-5260	188471	7 SLV
1324	1.00	-4753	192151	20 SLV
1324	1.50	-6353	188150	3 SLV
1354	1.00	-4566	190642	20 SLV
1354	1.50	-6280	187541	2 SLV
1515	1.00	-4566	189958	20 SLV
1515	1.50	-5727	187202	6 SLV
1676	1.00	-4566	189275	20 SLV
1676	1.50	-6208	186948	6 SLV
1706	1.00	-4566	188933	20 SLV
1706	1.50	-6208	186820	6 SLV
1715	1.00	-4566	188933	20 SLV
1715	1.50	-6208	186820	6 SLV
1724	1.00	-4566	188933	20 SLV
1724	1.50	-6208	186820	6 SLV

Verifica trazione del diagonale					
quota	At	roh	rov	VED	NEd
-302	47.7	0.0035	0.0073	31524	-42252
-302	47.7	0.0035	0.0073	37494	-40377
-166	47.7	0.0031	0.0073	43056	-74979
-166	47.7	0.0031	0.0073	59229	-53047
-30	47.7	0.0063	0.0073	42821	-70389
-30	47.7	0.0063	0.0073	57752	-45229
0	47.7	0.0063	0.0073	12693	-74044
0	47.7	0.0063	0.0073	26108	-35997
263	47.7	0.0033	0.0073	7093	-59456
263	47.7	0.0033	0.0073	19389	-42051
525	23.6	0.0031	0.0036	6293	-61446
525	23.6	0.0031	0.0036	16925	-50838
555	23.6	0.0031	0.0036	-2383	-73460
555	23.6	0.0031	0.0036	-3041	-50610
782	23.6	0.0035	0.0036	-3196	-62834
782	23.6	0.0035	0.0036	-5380	-43547
1008	23.6	0.0035	0.0036	-3324	-52923
1008	23.6	0.0035	0.0036	-5521	-35280
1038	23.6	0.0035	0.0036	-3966	-51904
1038	23.6	0.0035	0.0036	-5329	-37362
1181	23.6	0.0035	0.0036	-3839	-42730
1181	23.6	0.0035	0.0036	-5260	-30291
1324	23.6	0.0031	0.0036	-4753	-33727
1324	23.6	0.0031	0.0036	-6353	-25577
1354	23.6	0.0031	0.0036	-4566	-26181
1354	23.6	0.0031	0.0036	-6280	-20021
1515	23.6	0.0031	0.0036	-4566	-22764
1515	23.6	0.0031	0.0036	-5727	-17015
1676	23.6	0.0031	0.0036	-4566	-19348
1676	23.6	0.0031	0.0036	-6208	-14428
1706	23.6	0.0031	0.0036	-4566	-17640
1706	23.6	0.0031	0.0036	-6208	-13134
1715	23.6	0.0031	0.0036	-4566	-17640
1715	23.6	0.0031	0.0036	-6208	-13134
1724	23.6	0.0030	0.0036	-4566	-17640
1724	23.6	0.0030	0.0036	-6208	-13134

Verifica per scorrimento a taglio									
quota	Somma(Asj)	csi	MEd	VEd	Vdd	Vid	Vfd	Vrd,s	comb
-302	47.69	0.25	3823490	35001	46067	0	41992	88058	5 SLV
-30	47.69	0.32	4288581	57277	46067	0	54314	100380	14 SLV
0	47.69	0.28	4303563	26108	46067	0	47697	93764	10 SLV

S4B

Parete fra le coordinate in pianta (1066;-421) (958;-421)

da quota -362 a quota 1754

Valori in daN, cm

C25/30; rck 300

fyk 4500

Verifica di stato limite ultimo

nod	sez	B	H	Af+	Af-	c+	c-	c.s.	comb	N	M	Nu	Mu
265	o	50	30	6.0	6.0	4.6	4.6	2,080	20 SLU	-72303	-498969	-150395	-1037888
	v	78	30	2.5	2.5	3.4	3.4	34,043	20 SLU	-8337	-20924	-283808	-712321
1058	o	50	30	6.0	6.0	4.6	4.6	1,645	16 SLV	16629	150645	27350	247779
	v	96	30	3.0	3.0	3.4	3.4	1,229	16 SLV	8307	-146890	10209	-180526
1060	o	100	30	14.1	14.1	4.6	4.6	3,609	7 SLV	5593	296411	20187	1069784
	v	96	30	3.0	3.0	3.4	3.4	1,753	20 SLU	-127	-184194	-222	-322874

Combinazione rara

nod	sez	B	H	Af+	Af-	c+	c-	sc	c	N	M	sf	c	N	M	Wk(mm)	Wlim	st	Sm(mm)	c
265	o	50	30	6.0	6.0	4.6	4.6	-75.3	5 ra	-5.35E04	-3.70E05	-14.8	1 ra	-4.53E04	-3.07E05	0.00999	0.00	12.0	0.0	1 ra
	v	78	30	2.5	2.5	3.4	3.4	-3.8	5 ra	-6.17E03	-1.55E04	-23.8	5 ra	-6.17E03	-1.55E04	0.00999	0.00	0.0	0.0	1 ra
1058	o	50	30	6.0	6.0	4.6	4.6	-28.6	5 ra	-1.81E04	1.45E05	-152.4	5 ra	-2.79E04	-8.14E04	0.00999	0.00	6.5	0.0	1 ra
	v	96	30	3.0	3.0	3.4	3.4	-7.6	4 ra	3.56E03	-5.55E04	1354.8	4 ra	3.56E03	-5.55E04	0.00999	0.00	5.0	0.0	1 ra
1060	o	100	30	14.1	14.1	4.6	4.6	-28.7	5 ra	-3.42E04	3.03E05	-133.0	5 ra	-5.43E04	-1.82E05	0.00999	0.00	7.9	0.0	1 ra
	v	96	30	3.0	3.0	3.4	3.4	-23.8	5 ra	-8.44E01	-1.34E05	1756.9	5 ra	-8.44E01	-1.34E05	0.00999	0.00	9.0	0.0	1 ra

Combinazione frequente

nod	sez	B	H	Af+	Af-	c+	c-	sc	c	N	M	sf	c	N	M	Wk(mm)	Wlim	st	Sm(mm)	c
265	o	50	30	6.0	6.0	4.6	4.6	-71.3	4 fr	-5.09E04	-3.50E05	-14.8	1 fr	-4.53E04	-3.07E05	0.00	0.40	11.1	0.0	1 fr
	v	78	30	2.5	2.5	3.4	3.4	-3.6	4 fr	-5.87E03	-1.46E04	-22.8	4 fr	-5.87E03	-1.46E04	0.00	0.40	0.0	0.0	1 fr
1058	o	50	30	6.0	6.0	4.6	4.6	-26.6	4 fr	-1.74E04	1.34E05	-148.9	4 fr	-2.64E04	-7.34E04	0.00	0.40	5.6	0.0	1 fr
	v	96	30	3.0	3.0	3.4	3.4	-6.9	4 fr	3.39E03	-5.15E04	1271.9	4 fr	3.39E03	-5.15E04	0.00	0.40	4.7	0.0	1 fr
1060	o	100	30	14.1	14.1	4.6	4.6	-26.8	4 fr	-3.28E04	2.82E05	-130.0	4 fr	-5.15E04	-1.66E05	0.00	0.40	7.0	0.0	1 fr
	v	96	30	3.0	3.0	3.4	3.4	-22.5	4 fr	-1.13E02	-1.26E05	1653.8	4 fr	-1.13E02	-1.26E05	0.00	0.40	8.5	0.0	1 fr

Combinazione quasi permanente

nod	sez	B	H	Af+	Af-	c+	c-	sc	c	N	M	sf	c	N	M	Wk(mm)	Wlim	st	Sm(mm)	c
265	o	50	30	6.0	6.0	4.6	4.6	-70.1	2 q.	-5.01E04	-3.44E05	-14.8	1 q.	-4.53E04	-3.07E05	0.00	0.30	10.9	0.0	1 q.
	v	78	30	2.5	2.5	3.4	3.4	-3.6	2 q.	-5.78E03	-1.44E04	-22.4	2 q.	-5.78E03	-1.44E04	0.00	0.30	0.0	0.0	1 q.
1058	o	50	30	6.0	6.0	4.6	4.6	-26.0	2 q.	-1.72E04	1.31E05	-148.2	2 q.	-2.60E04	-7.07E04	0.00	0.30	5.3	0.0	1 q.
	v	96	30	3.0	3.0	3.4	3.4	-6.7	2 q.	3.33E03	-5.02E04	1244.3	2 q.	3.33E03	-5.02E04	0.00	0.30	4.5	0.0	1 q.
1060	o	100	30	14.1	14.1	4.6	4.6	-26.1	2 q.	-3.24E04	2.74E05	-129.4	2 q.	-5.06E04	-1.60E05	0.00	0.30	6.6	0.0	1 q.
	v	96	30	3.0	3.0	3.4	3.4	-22.0	2 q.	-1.26E02	-1.24E05	1619.9	2 q.	-1.26E02	-1.24E05	0.00	0.30	8.4	0.0	1 q.

S5

Parete fra le coordinate in pianta (1202;-436) (1202;-202)

da quota -362 a quota 1754

Valori in daN, cm

C25/30; rck 300

fyk 4500

Verifica di stato limite ultimo

nod	sez	B	H	Af+	Af-	c+	c-	c.s.	comb	N	M	Nu	Mu
251	o	50	30	11.2	11.2	4.5	4.5	3,417	20 SLU	-66401	-241137	-226860	-823847
	v	78	30	2.5	2.5	3.4	3.4	16,074	20 SLU	-16920	-57178	-271967	-919091
1644	o	50	30	4.4	4.4	4.4	4.4	1,628	1 SLV	-7919	-347443	-12896	-565786
	v	96	30	3.0	3.0	3.4	3.4	1,022	1 SLV	8617	-195451	8811	-199847
1937	o	50	30	5.2	5.2	4.4	4.4	1,077	1 SLV	-5417	515165	-5837	555051
	v	96	30	7.5	7.5	4.6	4.6	4,569	12 SLV	2374	-133075	10847	-607979

Combinazione rara

nod	sez	B	H	Af+	Af-	c+	c-	sc	c	N	M	sf	c	N	M	Wk(mm)	Wlim	st	Sm(mm)	c
251	o	50	30	11.2	11.2	4.5	4.5	-44.6	5 ra	-4.92E04	-1.77E05	-212.0	5 ra	-4.92E04	-1.77E05	0.00999	0.00	0.0	0.0	1 ra
	v	78	30	2.5	2.5	3.4	3.4	-8.6	5 ra	-1.26E04	-4.22E04	-38.6	5 ra	-1.26E04	-4.22E04	0.00999	0.00	0.0	0.0	1 ra
1644	o	50	30	4.4	4.4	4.4	4.4	-31.1	5 ra	-2.35E04	1.40E05	76.1	4 ra	-1.32E04	-1.14E05	0.00999	0.00	5.9	0.0	1 ra
	v	96	30	3.0	3.0	3.4	3.4	-14.7	4 ra	4.75E03	-9.60E04	2094.6	4 ra	4.75E03	-9.60E04	0.00999	0.00	8.1	0.0	1 ra
1937	o	50	30	5.2	5.2	4.4	4.4	-22.9	5 ra	-6.64E03	-1.10E05	386.5	1 ra	-5.93E03	-1.07E05	0.00999	0.00	9.6	0.0	1 ra
	v	96	30	7.5	7.5	4.6	4.6	-2.7	2 ra	9.16E02	-2.31E04	227.6	5 ra	1.20E03	-2.32E04	0.00999	0.00	1.9	0.0	1 ra

Combinazione frequente

nod	sez	B	H	Af+	Af-	c+	c-	sc	c	N	M	sf	c	N	M	Wk(mm)	Wlim	st	Sm(mm)	c
251	o	50	30	11.2	11.2	4.5	4.5	-42.4	4 fr	-4.66E04	-1.70E05	-198.2	4 fr	-4.66E04	-1.70E05	0.00	0.40	0.0	0.0	1 fr
	v	78	30	2.5	2.5	3.4	3.4	-8.2	4 fr	-1.18E04	-4.04E04	-35.6	4 fr	-1.18E04	-4.04E04	0.00	0.40	0.0	0.0	1 fr
1644	o	50	30	4.4	4.4	4.4	4.4	-29.6	4 fr	-2.25E04	1.33E05	69.6	4 fr	-1.28E04	-1.10E05	0.00	0.40	5.6	0.0	1 fr
	v	96	30	3.0	3.0	3.4	3.4	-13.6	4 fr	4.28E03	-8.81E04	1907.9	4 fr	4.28E03	-8.81E04	0.00	0.40	7.4	0.0	1 fr
1937	o	50	30	5.2	5.2	4.4	4.4	-22.8	4 fr	-6.38E03	-1.09E05	386.5	1 fr	-5.93E03	-1.07E05	0.00	0.40	9.6	0.0	1 fr
	v	96	30	7.5	7.5	4.6	4.6	-2.7	2 fr	9.22E02	-2.30E04	221.0	4 fr	1.12E03	-2.31E04	0.00	0.40	1.9	0.0	1 fr

Combinazione quasi permanente

nod	sez	B	H	Af+	Af-	c+	c-	sc	c	N	M	sf	c	N	M	Wk(mm)	Wlim	st	Sm(mm)	c
251	o	50	30	11.2	11.2	4.5	4.5	-41.7	2 q.	-4.58E04	-1.67E05	-194.1	2 q.	-4.58E04	-1.67E05	0.00	0.30	0.0	0.0	1 q.
	v	78	30	2.5	2.5	3.4	3.4	-8.0	2 q.	-1.16E04	-3.98E04	-34.8	2 q.	-1.16E04	-3.98E04	0.00	0.30	0.0	0.0	1 q.
1644	o	50	30	4.4	4.4	4.4	4.4	-29.2	2 q.	-2.21E04	1.31E05	67.4	2 q.	-1.27E04	-1.08E05	0.00	0.30	5.5	0.0	1 q.
	v	96	30	3.0	3.0	3.4	3.4	-13.2	2 q.	4.13E03	-8.54E04	1845.7	2 q.	4.13E03	-8.54E04	0.00	0.30	7.2	0.0	1 q.
1937	o	50	30	5.2	5.2	4.4	4.4	-22.8	2 q.	-6.31E03	-1.09E05	386.5	1 q.	-5.93E03	-1.07E05	0.00	0.30	9.6	0.0	1 q.
	v	96	30	7.5	7.5	4.6	4.6	-2.7	1 q.	9.23E02	-2.30E04	218.8	2 q.	1.09E03	-2.31E04	0.00	0.30	1.9	0.0	1 q.

Verifica dei pannelli

Pannello : Pannello da Filo 49 a Filo 50

Sezione a quota -302

Coordinate dei vertici

X	Y
-436.1	-15.0
-436.1	15.0
-202.1	15.0
-202.1	-15.0

Armature verticali

X	Y	Ø	X	Y	Ø	X	Y	Ø	X	Y	Ø	X	Y	Ø
-433.1	-10.7	10	-418.1	-10.7	10	-403.1	-10.7	10	-388.1	-10.7	10	-373.1	-10.7	10
-358.1	-10.7	10	-343.1	-10.7	10	-328.1	-10.7	10	-313.1	-10.7	10	-298.1	-10.7	10
-283.1	-10.7	10	-268.1	-10.7	10	-253.1	-10.7	10	-238.1	-10.7	10	-223.1	-10.7	10
-208.1	-10.7	10	-433.1	10.7	10	-418.1	10.7	10	-403.1	10.7	10	-388.1	10.7	10
-373.1	10.7	10	-358.1	10.7	10	-343.1	10.7	10	-328.1	10.7	10	-313.1	10.7	10
-298.1	10.7	10	-283.1	10.7	10	-268.1	10.7	10	-253.1	10.7	10	-238.1	10.7	10
-223.1	10.7	10	-208.1	10.7	10	-431.5	-10.4	16	-431.5	10.4	16	-416.5	-10.4	16
-416.5	10.4	16	-401.5	-10.4	16	-401.5	10.4	16	-206.7	-10.4	16	-206.7	10.4	16
-221.7	-10.4	16	-221.7	10.4	16	-236.7	-10.4	16	-236.7	10.4	16	-432.1	-10.4	16
-432.1	10.4	16	-206.4	-10.4	16	-206.4	10.4	16						

Sezione a quota -166

Coordinate dei vertici

X	Y
-436.1	-15.0
-436.1	15.0
-202.1	15.0
-202.1	-15.0

Armature verticali

X	Y	ø	X	Y	ø	X	Y	ø	X	Y	ø	X	Y	ø
-433.1	-10.7	10	-418.1	-10.7	10	-403.1	-10.7	10	-388.1	-10.7	10	-373.1	-10.7	10
-358.1	-10.7	10	-343.1	-10.7	10	-328.1	-10.7	10	-313.1	-10.7	10	-298.1	-10.7	10
-283.1	-10.7	10	-268.1	-10.7	10	-253.1	-10.7	10	-238.1	-10.7	10	-223.1	-10.7	10
-208.1	-10.7	10	-433.1	10.7	10	-418.1	10.7	10	-403.1	10.7	10	-388.1	10.7	10
-373.1	10.7	10	-358.1	10.7	10	-343.1	10.7	10	-328.1	10.7	10	-313.1	10.7	10
-298.1	10.7	10	-283.1	10.7	10	-268.1	10.7	10	-253.1	10.7	10	-238.1	10.7	10
-223.1	10.7	10	-208.1	10.7	10	-193.1	10.7	10	-178.1	10.7	10	-163.1	10.7	10
-148.1	10.7	10	-133.1	10.7	10	-118.1	10.7	10	-103.1	10.7	10	-88.1	10.7	10
-63.1	10.7	10	-48.1	10.7	10	-33.1	10.7	10	-18.1	10.7	10	-3.1	10.7	10
22.1	10.7	10	37.1	10.7	10	52.1	10.7	10	67.1	10.7	10	82.1	10.7	10
107.1	10.7	10	122.1	10.7	10	137.1	10.7	10	152.1	10.7	10	167.1	10.7	10
232.1	10.7	10	247.1	10.7	10	262.1	10.7	10	277.1	10.7	10	292.1	10.7	10
357.1	10.7	10	372.1	10.7	10	387.1	10.7	10	402.1	10.7	10	417.1	10.7	10
482.1	10.7	10	497.1	10.7	10	512.1	10.7	10	527.1	10.7	10	542.1	10.7	10
607.1	10.7	10	622.1	10.7	10	637.1	10.7	10	652.1	10.7	10	667.1	10.7	10
782.1	10.7	10	797.1	10.7	10	812.1	10.7	10	827.1	10.7	10	842.1	10.7	10
957.1	10.7	10	972.1	10.7	10	987.1	10.7	10	1002.1	10.7	10	1017.1	10.7	10
1132.1	10.7	10	1147.1	10.7	10	1162.1	10.7	10	1177.1	10.7	10	1192.1	10.7	10
1307.1	10.7	10	1322.1	10.7	10	1337.1	10.7	10	1352.1	10.7	10	1367.1	10.7	10
1482.1	10.7	10	1497.1	10.7	10	1512.1	10.7	10	1527.1	10.7	10	1542.1	10.7	10
1657.1	10.7	10	1672.1	10.7	10	1687.1	10.7	10	1702.1	10.7	10	1717.1	10.7	10
1782.1	10.7	10	1797.1	10.7	10	1812.1	10.7	10	1827.1	10.7	10	1842.1	10.7	10
1957.1	10.7	10	1972.1	10.7	10	1987.1	10.7	10	2002.1	10.7	10	2017.1	10.7	10
2092.1	10.7	10	2107.1	10.7	10	2122.1	10.7	10	2137.1	10.7	10	2152.1	10.7	10
2267.1	10.7	10	2282.1	10.7	10	2297.1	10.7	10	2312.1	10.7	10	2327.1	10.7	10
2402.1	10.7	10	2417.1	10.7	10	2432.1	10.7	10	2447.1	10.7	10	2462.1	10.7	10
2577.1	10.7	10	2592.1	10.7	10	2607.1	10.7	10	2622.1	10.7	10	2637.1	10.7	10
2752.1	10.7	10	2767.1	10.7	10	2782.1	10.7	10	2797.1	10.7	10	2812.1	10.7	10
2877.1	10.7	10	2892.1	10.7	10	2907.1	10.7	10	2922.1	10.7	10	2937.1	10.7	10
3052.1	10.7	10	3067.1	10.7	10	3082.1	10.7	10	3097.1	10.7	10	3112.1	10.7	10
3177.1	10.7	10	3192.1	10.7	10	3207.1	10.7	10	3222.1	10.7	10	3237.1	10.7	10
3352.1	10.7	10	3367.1	10.7	10	3382.1	10.7	10	3397.1	10.7	10	3412.1	10.7	10
3477.1	10.7	10	3492.1	10.7	10	3507.1	10.7	10	3522.1	10.7	10	3537.1	10.7	10
3652.1	10.7	10	3667.1	10.7	10	3682.1	10.7	10	3697.1	10.7	10	3712.1	10.7	10
3777.1	10.7	10	3792.1	10.7	10	3807.1	10.7	10	3822.1	10.7	10	3837.1	10.7	10
3952.1	10.7	10	3967.1	10.7	10	3982.1	10.7	10	3997.1	10.7	10	4012.1	10.7	10
4077.1	10.7	10	4092.1	10.7	10	4107.1	10.7	10	4122.1	10.7	10	4137.1	10.7	10
4252.1	10.7	10	4267.1	10.7	10	4282.1	10.7	10	4297.1	10.7	10	4312.1	10.7	10
4377.1	10.7	10	4392.1	10.7	10	4407.1	10.7	10	4422.1	10.7	10	4437.1	10.7	10
4552.1	10.7	10	4567.1	10.7	10	4582.1	10.7	10	4597.1	10.7	10	4612.1	10.7	10
4677.1	10.7	10	4692.1	10.7	10	4707.1	10.7	10	4722.1	10.7	10	4737.1	10.7	10
4852.1	10.7	10	4867.1	10.7	10	4882.1	10.7	10	4897.1	10.7	10	4912.1	10.7	10
4977.1	10.7	10	4992.1	10.7	10	5007.1	10.7	10	5022.1	10.7	10	5037.1	10.7	10
5152.1	10.7	10	5167.1	10.7	10	5182.1	10.7	10	5197.1	10.7	10	5212.1	10.7	10
5277.1	10.7	10	5292.1	10.7	10	5307.1	10.7	10	5322.1	10.7	10	5337.1	10.7	10
5452.1	10.7	10	5467.1	10.7	10	5482.1	10.7	10	5497.1	10.7	10	5512.1	10.7	10
5577.1	10.7	10	5592.1	10.7	10	5607.1	10.7	10	5622.1	10.7	10	5637.1	10.7	10
5752.1	10.7	10	5767.1	10.7	10	5782.1	10.7	10	5797.1	10.7	10	5812.1	10.7	10
5877.1	10.7	10	5892.1	10.7	10	5907.1	10.7	10	5922.1	10.7	10	5937.1	10.7	10
6052.1	10.7	10	6067.1	10.7	10	6082.1	10.7	10	6097.1	10.7	10	6112.1	10.7	10
6177.1	10.7	10	6192.1	10.7	10	6207.1	10.7	10	6222.1	10.7	10	6237.1	10.7	10
6352.1	10.7	10	6367.1	10.7	10	6382.1	10.7	10	6397.1	10.7	10	6412.1	10.7	10
6477.1	10.7	10	6492.1	10.7	10	6507.1	10.7	10	6522.1	10.7	10	6537.1	10.7	10
6652.1	10.7	10	6667.1	10.7	10	6682.1	10.7	10	6697.1	10.7	10	6712.1	10.7	10
6777.1	10.7	10	6792.1	10.7	10	6807.1	10.7	10	6822.1	10.7	10	6837.1	10.7	10
6952.1	10.7	10	6967.1	10.7	10	6982.1	10.7	10	6997.1	10.7	10	7012.1	10.7	10
7077.1	10.7	10	7092.1	10.7	10	7107.1	10.7	10	7122.1	10.7	10	7137.1	10.7	10
7252.1	10.7	10	7267.1	10.7	10	7282.1	10.7	10	7297.1	10.7	10	7312.1	10.7	10
7377.1	10.7	10	7392.1	10.7	10	7407.1	10.7	10	7422.1	10.7	10	7437.1	10.7	10
7552.1	10.7	10	7567.1	10.7	10	7582.1	10.7	10	7597.1	10.7	10	7612.1	10.7	10
7677.1	10.7	10	7692.1	10.7	10	7707.1	10.7	10	7722.1	10.7	10	7737.1	10.7	10
7852.1	10.7	10	7867.1	10.7	10	7882.1	10.7	10	7897.1	10.7	10	7912.1	10.7	10
7977.1	10.7	10	7992.1	10.7	10	8007.1	10.7	10	8022.1	10.7	10	8037.1	10.7	10
8152.1	10.7	10	8167.1	10.7	10	8182.1	10.7	10	8197.1	10.7	10	8212.1	10.7	10
8277.1	10.7	10	8292.1	10.7	10	8307.1	10.7	10	8322.1	10.7	10	8337.1	10.7	10
8452.1	10.7	10	8467.1	10.7	10	8482.1	10.7	10	8497.1	10.7	10	8512.1	10.7	10
8577.1	10.7	10	8592.1	10.7	10	8607.1	10.7	10	8622.1	10.7	10	8637.1	10.7	10
8752.1	10.7	10	8767.1	10.7	10	8782.1	10.7	10	8797.1	10.7	10	8812.1	10.7	10
8877.1	10.7	10	8892.1	10.7	10	8907.1	10.7	10	8922.1	10.7	10	8937.1	10.7	10
9052.1	10.7	10	9067.1	10.7	10	9082.1	10.7	10	9097.1	10.7	10	9112.1	10.7	10
9177.1	10.7	10	9192.1	10.7	10	9207.1	10.7	10	9222.1	10.7	10	9237.1	10.7	10
9352.1	10.7	10	9367.1	10.7	10	9382.1	10.7	10	9397.1	10.7	10	9412.1	10.7	10
9477.1	10.7	10	9492.1	10.7	10	9507.1	10.7	10	9522.1	10.7	10	9537.1	10.7	10
9652.1	10.7	10	9667.1	10.7	10	9682.1	10.7	10	9697.1	10.7	10	9712.1	10.7	10
9777.1	10.7	10	9792.1	10.7	10	9807.1	10.7	10	9822.1	10.7	10	9837.1	10.7	10
9952.1	10.7	10	9967.1	10.7	10	9982.1	10.7	10	9997.1	10.7	10	10012.1	10.7	10
10077.1	10.7	10	10092.1	10.7	10	10107.1	10.7	10	10122.1	10.7	10	10137.1	10.7	10
10252.1	10.7	10	10267.1	10.7	10	10282.1	10.7	10	10297.1	10.7	10	10312.1	10.7	10
10377.1	10.7	10	10392.1	10.7	10	10407.1	10.7	10	10422.1	10.7	10	10437.1	10.7	10
10552.1	10.7	10	10567.1	10.7	10	10582.1	10.7	10	10597.1	10.7	10	10612.1	10.7	10
10677.1	10.7	10	10692.1	10.7	10	10707.1	10.7	10	10722.1	10.7	10	10737.1	10.7	10
10852.1	10.7	10	10867.1	10.7	10	10882.1	10.7	10	10897.1	10.7	10	10912.1	10.7	10
10977.1	10.7	10	10992.1	10.7	10	11007.1	10.7	10	11022.1	10.7	10	11037.1	10.7	10
11152.1	10.7	10	11167.1	10.7	10	11182.1	10.7	10	11197.1	10.7	10	11212.1	10.7	10
11277.1	10.7	10	11292.1	10.7	10	11307.1	10.7	10	11322.1	10.7	10	11337.1	10.7	10
11452.1	10.7	10	11467.1	10.7	10	11482.1	10.7	10	11497.1	10.7	10	11512.1	10.7	10
11577.1	10.7	10	11592.1	10.7	10	11607.1	10.7	10	11622.1	10.7	10	11637.1	10.7	10
11752.1	10.7	10	11767.1	10.7	10	11782.1	10.7	10	11797.1	10.7	10	11812.1	10.7	10
11877.1	10.7	10	11892.1	10.7	10	11907.1	10.7	10	11922.1					

Sezione a quota 1008
Coordinate dei vertici

X	Y
-436.1	-15.0
-436.1	15.0
-202.4	15.0
-202.4	-15.0

Armature verticali

X	Y	Ø	X	Y	Ø	X	Y	Ø	X	Y	Ø	X	Y	Ø
-433.1	-10.7	10	-418.1	-10.7	10	-403.1	-10.7	10	-388.1	-10.7	10	-373.1	-10.7	10
-358.1	-10.7	10	-343.1	-10.7	10	-328.1	-10.7	10	-313.1	-10.7	10	-298.1	-10.7	10
-283.1	-10.7	10	-268.1	-10.7	10	-253.1	-10.7	10	-238.1	-10.7	10	-223.1	-10.7	10
-208.1	-10.7	10	-433.1	10.7	10	-418.1	10.7	10	-403.1	10.7	10	-388.1	10.7	10

X	Y
-436.1	-15.0
-436.1	15.0
-202.4	15.0
-202.4	-15.0

[illegible]

X	Y
-436.1	-15.0
-436.1	15.0
-202.4	15.0
-202.4	-15.0

X	Y	ø	X	Y	ø	X	Y	ø	X	Y	ø	X	Y	ø
-433.1	-10.7	10	-418.1	-10.7	10	-403.1	-10.7	10	-388.1	-10.7	10	-373.1	-10.7	10
-358.1	-10.7	10	-343.1	-10.7	10	-328.1	-10.7	10	-313.1	-10.7	10	-298.1	-10.7	10
-283.1	-10.7	10	-268.1	-10.7	10	-253.1	-10.7	10	-238.1	-10.7	10	-223.1	-10.7	10
-208.1	-10.7	10	-433.1	10.7	10	-418.1	10.7	10	-403.1	10.7	10	-388.1	10.7	10
-373.1	10.7	10	-358.1	10.7	10	-343.1	10.7	10	-328.1	10.7	10	-313.1	10.7	10
-298.1	10.7	10	-283.1	10.7	10	-268.1	10.7	10	-253.1	10.7	10	-238.1	10.7	10
-223.1	10.7	10	-208.1	10.7	10	-432.1	-10.4	16	-432.1	10.4	16	-406.4	-10.4	16

X	Y
-436.1	-15.0
-436.1	15.0
-202.4	15.0
-202.4	-15.0

[illegible]

X	Y
-436.1	-15.0
-436.1	15.0
-202.4	15.0
-202.4	-15.0

[illegible]

X	Y
-436.1	-15.0
-436.1	15.0
-202.4	15.0
-202.4	-15.0

[illegible]

X	Y
-436.1	-15.0
-436.1	15.0
-202.4	15.0
-202.4	-15.0

[illegible]

X	Y
-436.1	-15.0
-436.1	15.0
-202.4	15.0
-202.4	-15.0

Horizontal			Vertical			Horizontal			Vertical			Horizontal			Vertical		
X	Y	Ø	X	Y	Ø	X	Y	Ø	X	Y	Ø	X	Y	Ø	X	Y	Ø
-433.1	-10.7	10	-418.1	-10.7	10	-403.1	-10.7	10	-388.1	-10.7	10	-373.1	-10.7	10	-358.1	-10.7	10
-358.1	-10.7	10	-343.1	-10.7	10	-328.1	-10.7	10	-313.1	-10.7	10	-298.1	-10.7	10	-283.1	-10.7	10
-283.1	-10.7	10	-268.1	-10.7	10	-253.1	-10.7	10	-238.1	-10.7	10	-223.1	-10.7	10	-208.1	-10.7	10

-208.1	-10.7	10	-433.1	10.7	10	-418.1	10.7	10	-403.1	10.7	10	-388.1	10.7	10
-373.1	10.7	10	-358.1	10.7	10	-268.1	10.7	10	-253.1	10.7	10	-238.1	10.7	10
-298.1	10.7	10	-283.1	10.7	10	-268.1	10.7	10	-253.1	10.7	10	-238.1	10.7	10
-223.1	10.7	10	-208.1	10.7	10	-432.1	-10.4	16	-432.1	10.4	16	-206.4	-10.4	16
-206.4	10.4	16												
Sezione a quota 1715														
Coordinate dei vertici														
X	Y													
-436.1	-15.0													
-436.1	15.0													
-202.4	15.0													
-202.4	-15.0													
Armature verticali														
X	Y	ø	X	Y	ø	X	Y	ø	X	Y	ø	X	Y	ø
-433.1	-10.7	10	-418.1	-10.7	10	-403.1	-10.7	10	-388.1	-10.7	10	-373.1	-10.7	10
-358.1	-10.7	10	-343.1	-10.7	10	-328.1	-10.7	10	-313.1	-10.7	10	-298.1	-10.7	10
-283.1	-10.7	10	-268.1	-10.7	10	-253.1	-10.7	10	-238.1	-10.7	10	-223.1	-10.7	10
-208.1	-10.7	10	-433.1	10.7	10	-418.1	10.7	10	-403.1	10.7	10	-388.1	10.7	10
-373.1	10.7	10	-358.1	10.7	10	-343.1	10.7	10	-328.1	10.7	10	-313.1	10.7	10
-298.1	10.7	10	-283.1	10.7	10	-268.1	10.7	10	-253.1	10.7	10	-238.1	10.7	10
-223.1	10.7	10	-208.1	10.7	10	-432.1	-10.4	16	-432.1	10.4	16	-206.4	-10.4	16
-206.4	10.4	16												
Sezione a quota 1724														
Coordinate dei vertici														
X	Y													
-436.1	-15.0													
-436.1	15.0													
-202.4	15.0													
-202.4	-15.0													
Armature verticali														
X	Y	ø	X	Y	ø	X	Y	ø	X	Y	ø	X	Y	ø

1324	1.50	-8685	202956	16	SLV
1354	1.00	2380	201185	10	SLV
1354	1.50	8095	198244	1	SLV
1515	1.00	2380	200624	10	SLV
1515	1.50	8011	197910	1	SLV
1676	1.00	2380	200063	10	SLV
1676	1.50	8020	197910	1	SLV
1706	1.00	2380	199783	10	SLV
1706	1.50	7912	197910	1	SLV
1715	1.00	2380	199783	10	SLV
1715	1.50	7912	197910	1	SLV
1724	1.00	2380	199783	10	SLV
1724	1.50	7912	197910	1	SLV

Verifica trazione del diagonale

quota	At	roh	rov	VEd	NEd	VRsd	comb
-302	57.3	0.0021	0.0082	3191	-105401	46034	15 SLV
-302	57.3	0.0021	0.0082	-12588	-95095	46034	11 SLV
-166	57.3	0.0021	0.0082	2763	-121000	46034	15 SLV
-166	57.3	0.0021	0.0082	-11877	-108356	46034	11 SLV
-30	57.3	0.0021	0.0082	2754	-122277	46034	15 SLV
-30	57.3	0.0021	0.0082	-13188	-115449	46034	11 SLV
0	57.3	0.0021	0.0082	-2307	-134315	46034	19 SLV
0	57.3	0.0021	0.0082	-8490	-105890	46034	11 SLV
263	57.3	0.0023	0.0082	-2307	-127577	49821	19 SLV
263	57.3	0.0023	0.0082	-7549	-101529	49821	11 SLV
525	33.2	0.0021	0.0047	-2307	-122464	45989	19 SLV
525	33.2	0.0021	0.0047	-8877	-98684	45989	11 SLV
555	33.2	0.0021	0.0047	750	-76274	45989	10 SLV
555	33.2	0.0021	0.0047	5794	-61314	45989	3 SLV
782	33.2	0.0023	0.0047	750	-72040	49821	10 SLV
782	33.2	0.0023	0.0047	6796	-48756	49821	1 SLV
1008	33.2	0.0052	0.0047	750	-67806	114971	10 SLV
1008	33.2	0.0052	0.0047	6518	-45016	114971	1 SLV
1038	33.2	0.0052	0.0047	-1464	-37466	114971	12 SLV
1038	33.2	0.0052	0.0047	-8919	-46455	114971	16 SLV
1181	33.2	0.0021	0.0047	-1464	-33864	45989	12 SLV
1181	33.2	0.0021	0.0047	-8645	-44030	45989	16 SLV
1324	33.2	0.0052	0.0047	-1464	-30263	114971	12 SLV
1324	33.2	0.0052	0.0047	-8685	-41038	114971	16 SLV
1354	33.2	0.0052	0.0047	2380	-16376	114971	10 SLV
1354	33.2	0.0052	0.0047	8095	-9271	114971	1 SLV
1515	33.2	0.0021	0.0047	2380	-13571	45989	10 SLV
1515	33.2	0.0021	0.0047	8011	-5552	45989	1 SLV
1676	33.2	0.0021	0.0047	2380	-10765	45989	10 SLV
1676	33.2	0.0021	0.0047	8020	-2395	45989	1 SLV
1706	33.2	0.0021	0.0047	2380	-9363	45989	10 SLV
1706	33.2	0.0021	0.0047	7912	-1068	45989	1 SLV
1715	33.2	0.0023	0.0047	2380	-9363	50742	10 SLV
1715	33.2	0.0023	0.0047	7912	-1068	50742	1 SLV
1724	33.2	0.0021	0.0047	2380	-9363	47165	10 SLV
1724	33.2	0.0021	0.0047	7912	-1068	47165	1 SLV

Verifica per scorrimento a taglio

quota	Somma(Asj)	csi	MEd	VEd	Vdd	Vid	Vfd	Vrd,s	comb
-302	57.30	0.37	6810585	11578	55353	0	79352	134705	6 SLV
-30	57.30	0.40	6810585	11476	55353	0	85345	140698	6 SLV
0	57.30	0.86	3180662	-8490	55353	0	156915	212267	11 SLV

PROVINCIA di PADOVA

**RELAZIONE di CALCOLO
STRUTTURE in CEMENTO ARMATO**

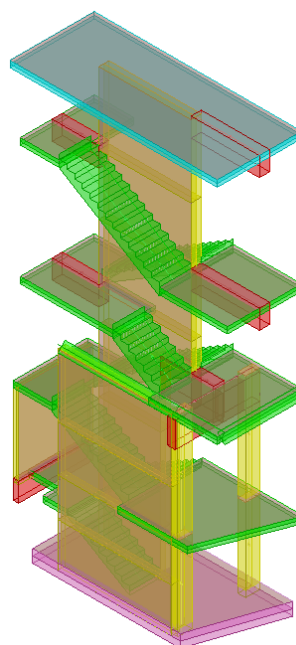
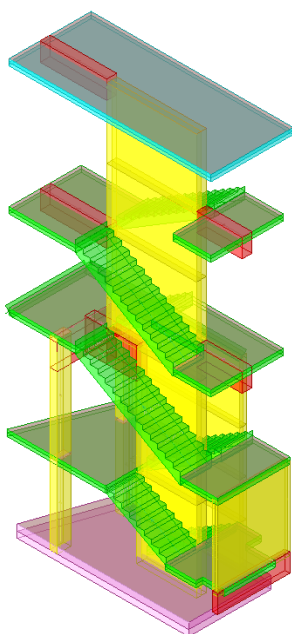
nel progetto di :

“ SCALA di EMERGENZA “

Polo Museale delle Scienze di Palazzo Cavalli - Lotto 3 -

PROGETTO ESECUTIVO

Sito in Via Giotto, Padova



COMMITTENTE :

Università degli Studi di Padova

DATA

22.05.2015

IL CALCOLATORE

Ing. Gambarotto Dario

D.F.G. INGEGNERIA S.R.L.

31033 Via Delle Querce 3/A, Castelfranco Veneto (TV) , tel. 0423.720101, fax 0423.723379

INDICE

• Relazione illustrativa	pag.	3
• Normativa	pag.	5
• Caratteristiche dei materiali	pag.	5
• Analisi dei carichi	pag.	6
• Criteri di progetto	pag.	7
• Struttura in c.a. : Analisi Numerica ad Elementi Finiti	pag.	8
• <i>Appendice : Analisi ad Elementi Finiti Struttura in c.a.</i>	pag.	9

RELAZIONE ILLUSTRATIVA

La presente relazione riguarda il PROGETTO ESECUTIVO delle strutture in elevazione di una SCALA DI EMERGENZA di un fabbricato esistente, sito in Padova Via Giotto.

Essa verrà realizzata in c.a. completamente in opera e sarà adibita ad uscita di sicurezza.

Tale scala si svilupperà per cinque pianerottoli fuori terra, uno sotto il livello piano terra e la partenza al piano interrato; essa avrà copertura piana.

Il complesso scala sarà a pianta di forma praticamente rettangolare di dimensioni al piano primo e superiori di circa 7.4 m x 3.3 m.

La struttura portante verticale sarà costituita da un setto centrale principale in c.a. in opera di spessore 40 cm che si sviluppa per l'altezza complessiva del vano scala e da altri due setti secondari di spessore 30 cm e 20 cm che arrivano invece a quote più basse, nonché da due pilastri di dimensioni 55x30 cm; la struttura portante orizzontale dei pianerottoli e dell'impalcato di copertura sarà costituita da solette piene in c.a. di spessore 25 cm; le rampe della scala avranno spessore di almeno 25 cm al netto dei gradini.

La struttura sarà separata dal fabbricato esistente mediante un giunto sismico adeguato.

Terreno di fondazione :

Come prescritto dalla normativa vigente D.M. 11.03.1988 e Circ. del 05.04.2000 della Regione Veneto, del terreno in cui sarà realizzata l'opera è stata redatta dal dott. Geol. Gabriele Simonetto, iscritto all'Ordine dei Geologi del Veneto al n°653, una Relazione Geologico-Geotecnica.

La presente relazione è stata redatta in riferimento a tale Relazione Geologica e a quanto emerso da una serie di scavi eseguiti nella zona di costruzione e nell'area limitrofa nonché considerando la tipologia della costruzione che verrà realizzata.

Il terreno su cui verrà realizzata l'opera risulta di buone caratteristiche geologiche e capacità portanti ed è costituito, al di sotto di uno strato superficiale di 1.0 mt di terreno di riporto, da uno strato fino a -1.60 mt di limo argilloso; da quota -1.60 a -3.00 mt è presente un'alternanza di argille e sabbia limosa; da -3.00 a -3.80 mt vi è limo argilloso sabbioso; da -3.80 a -4.80 mt sabbia limosa più o meno argillosa; da -4.80 a -7.60 mt sabbia limosa; da -7.60 a -10.0 mt sabbia più o meno limosa; da -10.0 a -18.20 mt sabbia limosa ed infine da -18.20 a -22.80 da sabbia addensata.

L'intervento quindi sarà su un TERRENO BUONO con buone caratteristiche litologiche, geotecniche e geomorfologiche e non obbliga a particolari interventi antisismici, se non la stretta applicazione della Normativa Antisismica.

Al terreno si attribuiscono i seguenti parametri:

D.F.G. INGEGNERIA S.R.L.

31033 Via Delle Querce 3/A, Castelfranco Veneto (TV) , tel. 0423.720101, fax 0423.723379

- categoria del suolo tipo “C”
- categoria topografica T1
- coefficiente di sicurezza 2.3
- tensione limite per fondazioni a platea $\sigma_{t,lim} = 2347.37 \text{ kPa} \approx 23.47 \text{ daN/cm}^2$
- tensione di progetto per fondazioni a platea $\sigma_t = 1020.6 \text{ kPa} \approx 10.21 \text{ daN/cm}^2$

Quindi con riferimento alla tipologia della struttura e in relazione ai risultati di tali indagini si è ritenuto di adottare fondazioni a platea di spessore 60 cm ad una quota di posa magrone di -3.70 mt. Dati i valori delle tensioni a cui il terreno sarà sottoposto e vista la sua omogeneità orizzontale è prevedibile che si verificheranno degli abbassamenti poco significativi delle fondazioni e di conseguenza dei cedimenti differenziali minimi. In ogni caso la tipologia strutturale dell'opera è tale da sopportare senza danno tali eventuali piccoli cedimenti differenziali.

Si precisa inoltre che le caratteristiche meccaniche del terreno e quindi le conseguenti deformazioni delle fondazioni non possono essere influenzate dalla presenza di acque di falda essendo queste state rilevate ad una profondità superiore alla quota di imposta delle fondazioni stesse e cioè a quota di circa -5.54 mt da quota piazzale.

La natura del terreno e le sue caratteristiche meccaniche dovranno essere confermate da quanto emergerà nelle operazioni di scavo. La D.L. dovrà quindi verificare in fase esecutiva la natura, consistenza e uniformità stratigrafica del piano di posa delle fondazioni e se il caso apportare eventuali modifiche.

NORMATIVA

DECRETO MINISTERIALE INFRASTRUTTURE del 14 gennaio 2008 - NTC

“ Nuove Norme Tecniche per le Costruzioni “

CIRCOLARE n° 617 del 02 febbraio 2009 – MINISTERO DELLE INFRASTRUTTURE E DEI TRASPORTI

“ Istruzioni per l'applicazione delle <Nuove Norme Tecniche per le Costruzioni> “ di cui al Decreto Ministeriale del 14 gennaio 2008

EUROCODICE2

“ Progettazione delle strutture in calcestruzzo “

EUROCODICE3

“ Progettazione delle strutture in acciaio “

CARATTERISTICHE dei MATERIALI

CALCESTRUZZO

A struttura chiusa, con consistenza al momento della posa pari alla classe di abbassamento al cono Abrams S3.

Per strutture di fondazione :

Con grado di durabilità per una classe di esposizione XC2; sarà confezionato con cemento Portland tipo 325, con inerti di cava di varie pezzature atte ad assicurare un assortimento granulometrico adeguato alle destinazioni del getto secondo progetto strutturale e comunque con inerti di diametro $\max \leq 25$ mm, con dosatura di cemento e rapporto acqua/cemento compatibili con la classe di esposizione, con la lavorazione degli impasti e tali da garantire una resistenza cubica caratteristica a 28 gg. pari a $R_{ck}=35$ N/mm², classe C28/35.

Per strutture in elevazione :

Con grado di durabilità per una classe di esposizione XC1; sarà confezionato con cemento Portland tipo 325, con inerti di cava di varie pezzature atte ad assicurare un assortimento granulometrico adeguato alle destinazioni del getto secondo progetto strutturale e comunque con inerti di diametro $\max \leq 25$ mm, con dosatura di cemento e rapporto acqua/cemento compatibili con la classe di esposizione, con la lavorazione degli impasti e tali da garantire una resistenza cubica caratteristica a 28 gg. pari a $R_{ck}=35$ N/mm², classe C28/35.

ACCIAIO PER C.A.

Acciaio per barre ad aderenza migliorata tipo B450C conforme a quanto indicato nel prospetto 11.3.lb del D.M. del 14/01/2008 con tensione caratteristica di snervamento $f_{yk}=450$ N/mm², con tensione caratteristica di rottura $f_{tk} = 540$ N/mm².

ANALISI dei CARICHI

PIANEROTTOLI E RAMPE SCALE

SOLETTA in C.A. s = 25 cm

Permanente G_1 : Peso proprio soletta (in automatico)

Sovraccarico variabile Q (ambienti suscettibili di affollamento cat.C3) = 500 daN/mq

PIANO COPERTURA

SOLETTA IN C.A. s = 25 cm

Permanente G_1 : Peso proprio soletta (in automatico)

Permanente G_2 : Impermeabilizzazione = 10 daN/mq

Sovraccarico variabile Q (neve) = 80 daN/mq

CARICO LINEARE FRANGISOLE IN ACCIAIO

Frangisole = 1000 daN/m

CRITERI di PROGETTO

La verifica antisismica, come previsto dalla normativa :

- DECRETO MINISTERIALE INFRASTRUTTURE del 14 gennaio 2008

“ Nuove Norme Tecniche per le Costruzioni “

è stata effettuata considerando la struttura come una struttura a setti in zona con grado di sismicità pari a IV.

Sono stati assunti inoltre, in funzione della tipologia dell'opera e delle caratteristiche tecniche del terreno, i seguenti parametri :

Tipo di costruzione “2”

Classe d'uso “III”

Classe di duttilità “B”

Struttura a pareti non accoppiate $q_0 = 3.0$

Tipo di terreno “C”

La struttura è stata calcolata e verificata mediante un programma ad elementi finiti di cui si riporta in “Appendice” il file di output delle sollecitazioni e verifiche delle strutture più significative che lo costituiscono e cioè setti, piastre, pilastri e travi in c.a..

L'ipotesi più rilevante assunta è quella di zero sismico in corrispondenza del livello piano terra.

Le singole parti della struttura sono state verificate col *metodo agli stati limite*.

Di seguito vengono riportati il calcolo e la verifica degli elementi strutturali più significativi del fabbricato.

N.B. : Vista la quantità di dati contenuti nel file di output delle analisi ad elementi finiti della struttura in c.a., si riportano in “Appendice” solo alcune parti dello stesso, rimandando per altre parti alle uscite grafiche allegate. Si ricorda inoltre che presso lo studio dello scrivente sono disponibili tutte le parti integrali del file di relazione del telaio.

STRUTTURA in C.A.

ANALISI NUMERICA ad ELEMENTI FINITI

Come precedentemente riportato la struttura in c.a. che costituisce la struttura portante del fabbricato è stata calcolata e verificata utilizzando un programma ad elementi finiti di cui si riporta in “Appendice” il tabulato di output.

La verifica antisismica è stata effettuata secondo la normativa in vigore D.M. 14.01.2008.

Si tratta di una ***struttura a pareti non accoppiate, in zona con grado di sismicità pari a IV.***

Sono stati assunti, in funzione della tipologia dell’opera e delle caratteristiche tecniche del terreno, i seguenti **parametri** :

Località Padova, Via Giotto \Rightarrow Grado di sismicità : zona IV

Tipo di costruzione : 2

Classe d’uso : III

Classe di duttilità : B

Tipo di terreno : C

Tipo di struttura : Struttura *a pareti non accoppiate* $q_0 = 3.0$

Analisi : Lineare dinamica

Zero sismico : quota livello piano terra 0.0 mt

Nell’analisi della struttura sono state considerate le seguenti **condizioni di carico** :

1. Azioni permanenti G_1 : pesi propri strutture orizzontali e verticali calcolati in automatico dal programma
2. Azioni permanenti portati G_2 : peso proprio frangisole in acciaio
3. Azioni variabili Q : azioni variabili sulle rampe, sui pianerottoli e in copertura
4. e 5. spinte orizzontali dovute al sisma nelle due direzioni principali X e Y : calcolate in automatico dal programma

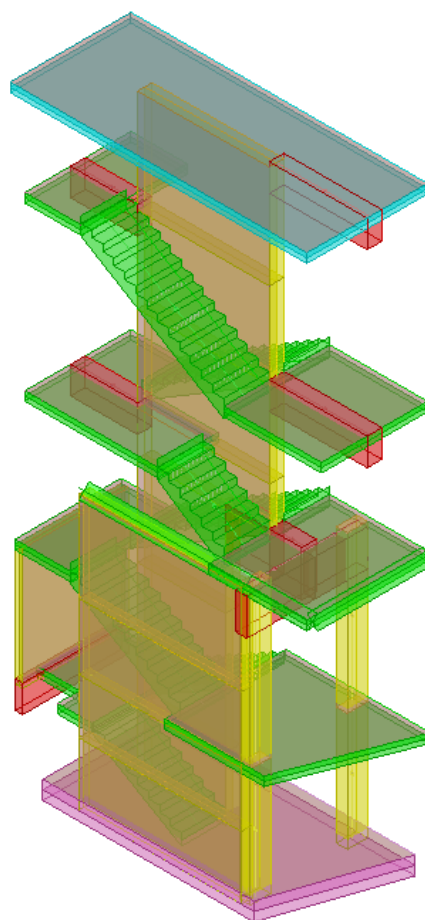
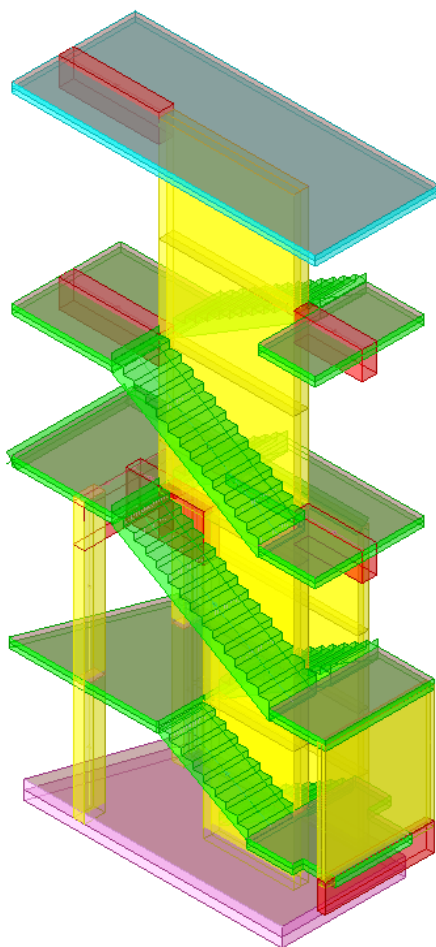
Esse sono state considerate secondo le **combinazioni di carico** agli stati limite sia in assenza di sisma (SLU – SLE) che in presenza di sisma (SLV – SLD).

APPENDICE

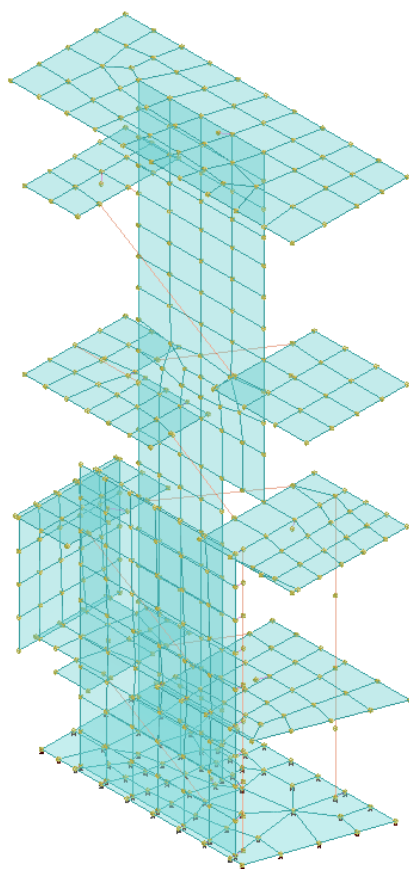
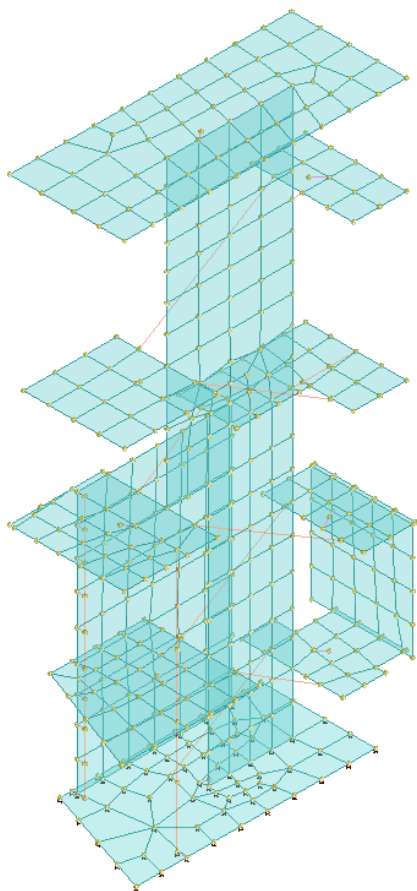
SCALA di EMERGENZA in C.A.

ANALISI ad ELEMENTI FINITI

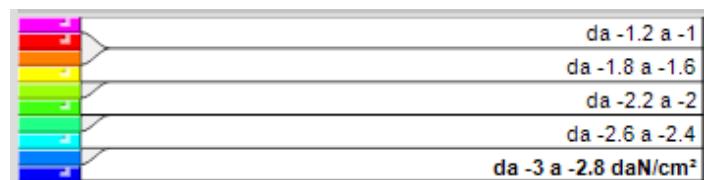
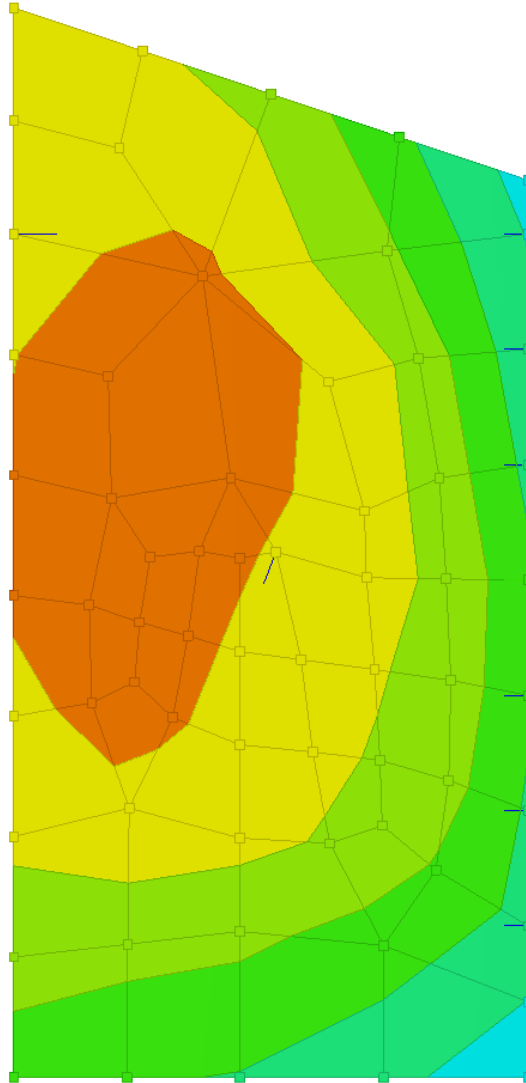
STRUTTURA



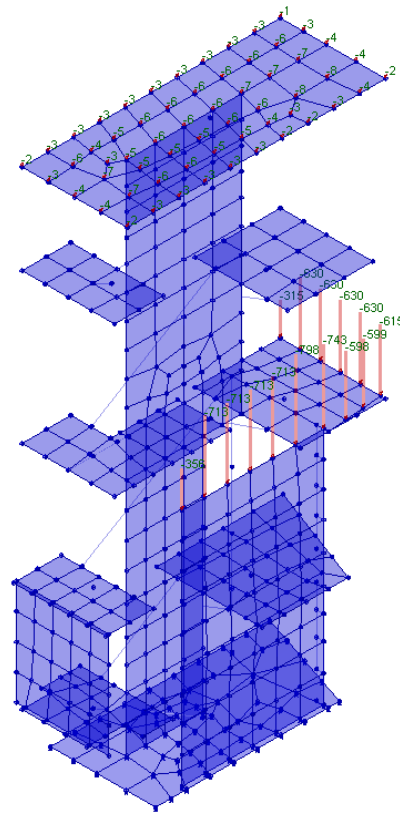
MODELLO



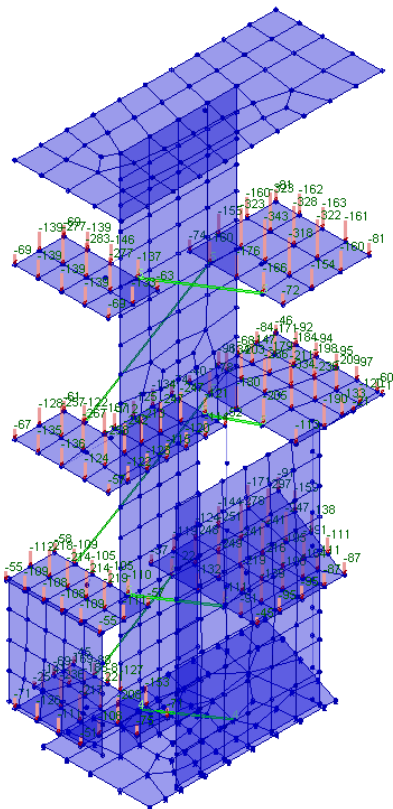
TENSIONI TERRENO MINIME (Compressione)



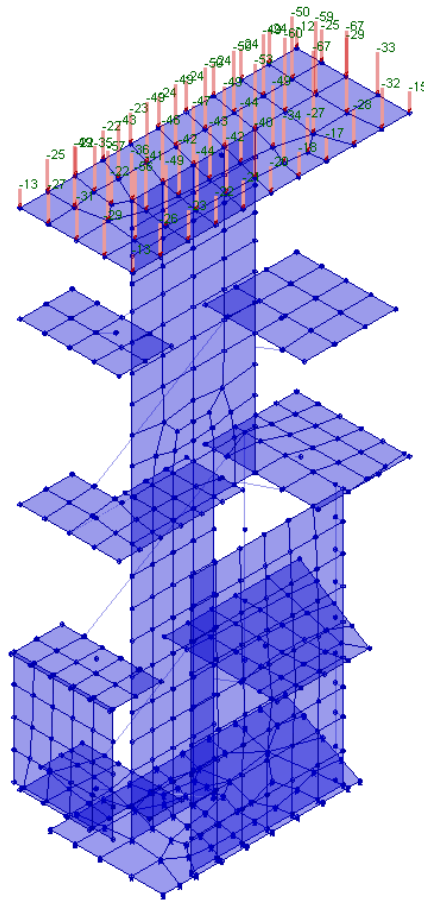
CONDIZIONE DI CARICO : PERMANENTI PORTATI



CONDIZIONE DI CARICO : VARIABILI “C”



CONDIZIONE DI CARICO : VARIABILE NEVE



PALAZZO CAVALLI

Comune di: Padova

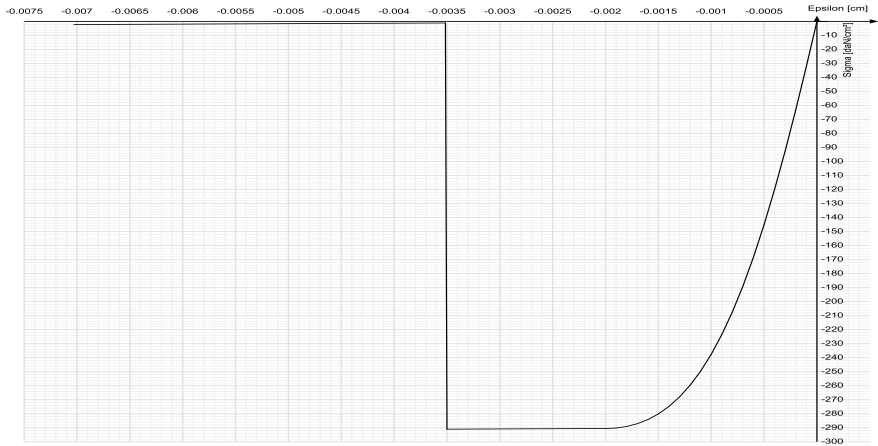
Committente: Università degli Studi di Padova

Progettista delle strutture: ing. Dario Gambarotto

Progettista architettonico: arch. Giovanna Mar

Oggetto: PROGETTO ESECUTIVO SCALA DI EMERGENZA

Sommario	2
1 Normative	2
2 Descrizione del software	2
3 Descrizione hardware	2
4 Dati generali	2
4.1 Materiali	2
4.1.1 Materiali c.a.	2
4.1.2 Curve di materiali c.a.	2
4.1.3 Armature	3
4.2 Sezioni	3
4.2.1 Sezioni C.A.	3
4.2.1.1 Sezioni rettangolari C.A.	3
4.2.1.2 Caratteristiche inerziali sezioni C.A.	3
5 Dati di definizione	3
5.1 Preferenze commessa	3
5.1.1 Preferenze di analisi	3
5.1.2 Spettri NTC 08	4
5.1.3 Preferenze di verifica	6
5.1.3.1 Normativa di verifica in uso	6
5.1.3.2 Normativa di verifica C.A.	6
5.1.4 Preferenze FEM	6
5.1.5 Moltiplicatori inerziali	7
5.1.6 Preferenze di analisi non lineare FEM	7
5.1.7 Preferenze di analisi carichi superficiali	7
5.2 Azioni e carichi	7
5.2.1 Condizioni elementari di carico	7
5.2.2 Combinazioni di carico	7
5.2.3 Definizioni di carichi lineari	9
5.2.4 Definizioni di carichi superficiali	9
5.3 Quote	9
5.3.1 Livelli	9
5.3.2 Tronchi	9
5.4 Elementi di input	9
5.4.1 Fili fissi	9
5.4.1.1 Fili fissi di piano	9
5.4.2 Travi C.A. di piano	10
5.4.2.1 Travi C.A. di piano	10
5.4.3 Scale C.A.	10
5.4.3.1 Scale C.A. ad una rampa	10
5.4.3.2 Travi di scale C.A.	10
5.4.4 Pilastri C.A.	10
5.4.5 Piastre C.A.	11
5.4.5.1 Piastre C.A. di piano	11
5.4.6 Fondazioni di piastre	11
5.4.7 Pareti C.A.	11
5.4.8 Carichi lineari	12
5.4.8.1 Carichi lineari di piano	12
6 Dati di modellazione	12
6.1 Nodi	12
6.1.1 Nodi di definizione	12
6.2 Carichi concentrati	13
6.3 Carichi concentrati sismici	30
6.4 Aste	45
6.4.1 Carichi su aste	45
6.4.1.1 Carichi trapezoidali locali	45
6.4.2 Caratteristiche meccaniche aste	46
6.4.3 Definizioni aste	46
6.5 Masse aggregate	46
6.6 Masse di piano	48
6.7 Gusci	48
6.7.1 Caratteristiche meccaniche gusci	48
6.7.2 Definizioni gusci	48
6.8 Accelerazioni spettrali	49
7 Risultati numerici	52
7.1 Spostamenti nodali	52
7.1.1 Spostamenti nodali estremi	52
7.2 Sollecitazioni aste	52
7.2.1 Convenzioni di segno aste	52
7.2.2 Sollecitazioni estreme aste	54
7.3 Pressioni massime sul terreno	54
7.4 Spostamenti di interpiano estremi	55
7.5 Verifica effetti secondo ordine	56
7.6 Verifica deformabilità torsionale struttura	57
7.7 Rigidezze di interpiano	57
7.8 Tagli ai livelli	58
7.9 Risposta modale	67
7.10 Equilibrio forze	67
7.11 Risposta di spettro	68
8 Verifiche	68
8.1 Verifiche pilastrate C.A.	68
8.2 Verifiche travate C.A.	73
8.3 Verifiche piastre e pareti C.A.	79



4.1.3 Armature

Descrizione: descrizione o nome assegnato all'elemento.

fyk: resistenza caratteristica. [daN/cm²]

σamm.: tensione ammissibile. [daN/cm²]

Tipo: tipo di barra.

E: modulo di elasticità longitudinale del materiale per edifici o materiali nuovi. [daN/cm²]

γ: peso specifico del materiale. [daN/cm³]

Poisson: coefficiente di Poisson. Il valore è adimensionale.

α: coefficiente longitudinale di dilatazione termica. [°C-1]

Livello di conoscenza: indica se il materiale è nuovo o esistente, e in tal caso il livello di conoscenza secondo Circ. 02/02/09 n. 617 §C8A. Informazione impiegata solo in analisi D.M. 14-01-08 (N.T.C.).

Descrizione	fyk	σamm.	Tipo	E	γ	Poisson	α	Livello di conoscenza
B450C	4500	2550	Aderenza migliorata	2060000	0.00785	0.3	0.000012	Nuovo

4.2 Sezioni

4.2.1 Sezioni C.A.

4.2.1.1 Sezioni rettangolari C.A.

Descrizione: descrizione o nome assegnato all'elemento.

Area Tx FEM: area di taglio in direzione X per l'analisi FEM. [cm²]

Area Ty FEM: area di taglio in direzione Y per l'analisi FEM. [cm²]

JxFEM: momento di inerzia attorno all'asse X per l'analisi FEM. [cm4]

JyFEM: momento di inerzia attorno all'asse Y per l'analisi FEM. [cm4]

JtFEM: momento d'inerzia torsionale corretto con il fattore di forma per l'analisi FEM. [cm4]

H: altezza della sezione. [cm]

B: larghezza della sezione. [cm]

c.s.: copriferro superiore della sezione. [cm]

c.i.: copriferro inferiore della sezione. [cm]

c.l.: copriferro laterale della sezione. [cm]

Descrizione	Area Tx FEM	Area Ty FEM	JxFEM	JyFEM	JtFEM	H	B	c.s.	c.i.	c.l.
R 120x12	1200	1200	17280	1728000	64765.44	12	120	3	3	3
R 125x25	2604.17	2604.17	162760.42	4.069E06	569010.42	25	125	4	4	4
R 40x125	4166.67	4166.67	6.510E06	666666.67	2.129E06	125	40	4	4	4
R 40x75	2500	2500	1406250	400000	1062400	75	40	4	4	4
R 30x55	1375	1375	415937.5	123750	324900	55	30	4	4	4
R 30*100	2500	2500	2500000	225000	729900	100	30	3	3	3
R 20x75	1250	1250	703125	50000	166400	75	20	4	4	4

4.2.1.2 Caratteristiche inerziali sezioni C.A.

Descrizione: descrizione o nome assegnato all'elemento.

Xg: ascissa del baricentro definita rispetto al sistema geometrico in cui sono definiti i vertici del poligono. [cm]

Yg: ordinata del baricentro definita rispetto al sistema geometrico in cui sono definiti i vertici del poligono. [cm]

Area: area inerziale nel sistema geometrico centrato nel baricentro. [cm²]

Jx: momento d'inerzia attorno all'asse orizzontale baricentrico di definizione della sezione. [cm4]

Jy: momento d'inerzia attorno all'asse verticale baricentrico di definizione della sezione. [cm4]

Jxy: momento centrifugo rispetto al sistema di riferimento baricentrico di definizione della sezione. [cm4]

Jm: momento d'inerzia attorno all'asse baricentrico principale M. [cm4]

Jn: momento d'inerzia attorno all'asse baricentrico principale N. [cm4]

Alfa: angolo tra gli assi del sistema di riferimento geometrico di definizione e quelli del sistema di riferimento principale. [deg]

Area Tx FEM: area di taglio in direzione X per l'analisi FEM. [cm²]

Area Ty FEM: area di taglio in direzione Y per l'analisi FEM. [cm²]

JxFEM: momento di inerzia attorno all'asse X per l'analisi FEM. [cm4]

JyFEM: momento di inerzia attorno all'asse Y per l'analisi FEM. [cm4]

JtFEM: momento d'inerzia torsionale corretto con il fattore di forma per l'analisi FEM. [cm4]

Descrizione	Xg	Yg	Area	Jx	Jy	Jxy	Jm	Jn	Alfa	Area Tx FEM	Area Ty FEM	JxFEM	JyFEM	JtFEM
R 120x12	60	6	1440	17280	1.7E6	0	17280	1.7E6	0	1200	1200	17280	1728000	64765.44
R 125x25	62.5	12.5	3125	1.6E5	4.1E6	0	1.6E5	4.1E6	0	2604.17	2604.17	1.63E05	4.07E06	5.69E05
R 40x125	20	62.5	5000	6.5E6	6.7E5	0	6.5E6	6.7E5	0	4166.67	4166.67	6.51E06	6.67E05	2.13E06
R 40x75	20	37.5	3000	1.4E6	400000	0	1.4E6	400000	0	2500	2500	1406250	400000	1062400
R 30x55	15	27.5	1650	4.2E5	123750	0	4.2E5	123750	0	1375	1375	415937.5	123750	324900
R 30*100	15	50	3000	2.5E6	225000	0	2.5E6	225000	0	2500	2500	2500000	225000	729900
R 20x75	10	37.5	1500	703125	50000	0	703125	50000	0	1250	1250	703125	50000	166400

5 Dati di definizione

5.1 Preferenze commessa

5.1.1 Preferenze di analisi

Metodo di analisi

D.M. 14-01-08 (N.T.C.)

Tipo di costruzione

2

Vn

50

Classe d'uso

III

Vr

75

Tipo di analisi

Lineare dinamica

Località

Padova, via Giotto; Latitudine ED50 45,4141° (45° 24' 51'');
Longitudine ED50 11,8755° (11° 52' 32''); Altitudine s.l.m. 15,54 m.

Zona sismica

Zona 4

Categoria del suolo

C - sabbie ed argille medie

Categoria topografica

T1

Ss orizzontale SLO

1.5

Tb orizzontale SLO

0.135

[s]

Tc orizzontale SLO

0.404

[s]

Td orizzontale SLO

1.742

[s]

Ss orizzontale SLD

1.5

Tb orizzontale SLD

0.149

[s]

Tc orizzontale SLD

0.448

[s]

Td orizzontale SLD

1.771

[s]

Ss orizzontale SLV

1.5

Tb orizzontale SLV

0.171

[s]

Tc orizzontale SLV

0.514

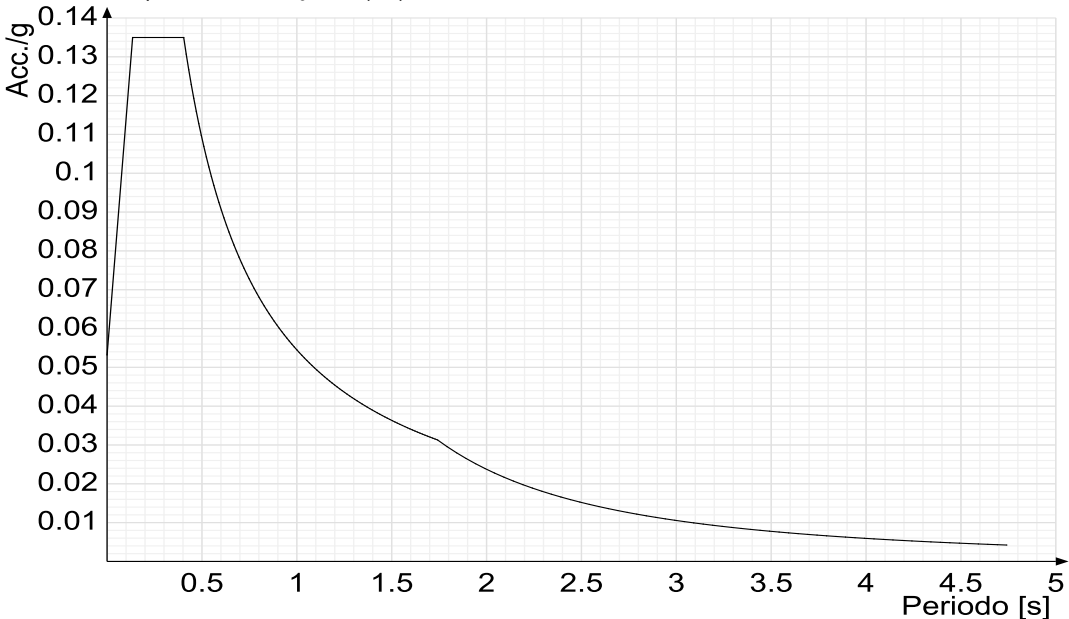
[s]

Td orizzontale SLV	1.983	[s]
St	1	
PVr SLO (%)	81	
Tr SLO	45.16	
Ag/g SLO	0.0354	
Fo SLO	2.539	
Tc* SLO	0.24	
PVr SLD (%)	63	
Tr SLD	75.43	
Ag/g SLD	0.0427	
Fo SLD	2.534	
Tc* SLD	0.28	
PVr SLV (%)	10	
Tr SLV	711.84	
Ag/g SLV	0.0957	
Fo SLV	2.62	
Tc* SLV	0.345	
Smorzamento viscoso (%)	5	
Classe di duttilità	CD"B"	
Rotazione del sisma	0	[deg]
Quota dello '0' sismico	0	[cm]
Regolarità in pianta	No	
Regolarità in elevazione	No	
Edificio C.A.	Si	
Tipologia C.A.	Strutture a pareti non accoppiate q0=3.0	
Kw	1	
Edificio esistente	No	
Altezza costruzione	1315	[cm]
C1	0.05	
T1	0.345	[s]
Lambda SLO	0.85	
Lambda SLD	0.85	
Lambda SLV	0.85	
Numero modi	11	
Metodo di Ritz	applicato	
Torsione accidentale semplificata	No	
Torsione accidentale per piani (livelli e falde) flessibili	Si	
Eccentricità X (per sisma Y) livello "Fondazione"	34.4	[cm]
Eccentricità Y (per sisma X) livello "Fondazione"	16.5	[cm]
Eccentricità X (per sisma Y) livello "Pianerottolo interrato"	10.5	[cm]
Eccentricità Y (per sisma X) livello "Pianerottolo interrato"	14.5	[cm]
Eccentricità X (per sisma Y) livello "Piano terra"	19.8	[cm]
Eccentricità Y (per sisma X) livello "Piano terra"	16.5	[cm]
Eccentricità X (per sisma Y) livello "1° pianerottolo"	7.5	[cm]
Eccentricità Y (per sisma X) livello "1° pianerottolo"	14.5	[cm]
Eccentricità X (per sisma Y) livello "2° pianerottolo"	13.4	[cm]
Eccentricità Y (per sisma X) livello "2° pianerottolo"	16.5	[cm]
Eccentricità X (per sisma Y) livello "Piano 1 - 3° pianerottolo"	18.2	[cm]
Eccentricità Y (per sisma X) livello "Piano 1 - 3° pianerottolo"	14.5	[cm]
Eccentricità X (per sisma Y) livello "4° pianerottolo"	13.4	[cm]
Eccentricità Y (per sisma X) livello "4° pianerottolo"	14.5	[cm]
Eccentricità X (per sisma Y) livello "Piano 2 - 5° pianerottolo"	7.7	[cm]
Eccentricità Y (per sisma X) livello "Piano 2 - 5° pianerottolo"	14.5	[cm]
Eccentricità X (per sisma Y) livello "Copertura"	40.5	[cm]
Eccentricità Y (per sisma X) livello "Copertura"	16.5	[cm]
Limite spostamenti interpiano	0.005	
Fattore di struttura per sisma X	2.4	
Fattore di struttura per sisma Y	2.4	
Fattore di struttura per sisma Z	1.5	
Applica 1% (§ 3.1.1)	No	
Coefficiente di sicurezza portanza fondazioni superficiali	2.3	
Coefficiente di sicurezza scorrimento fondazioni superficiali	1.1	
Coefficiente di sicurezza portanza verticale pali infissi, punta	1.15	
Coefficiente di sicurezza portanza verticale pali infissi, laterale compressione	1.15	
Coefficiente di sicurezza portanza verticale pali infissi, laterale trazione	1.25	
Coefficiente di sicurezza portanza verticale pali trivellati, punta	1.35	
Coefficiente di sicurezza portanza verticale pali trivellati, laterale compressione	1.15	
Coefficiente di sicurezza portanza verticale pali trivellati, laterale trazione	1.25	
Coefficiente di sicurezza portanza verticale micropali, punta	1.35	
Coefficiente di sicurezza portanza verticale micropali, laterale compressione	1.15	
Coefficiente di sicurezza portanza verticale micropali, laterale trazione	1.25	
Coefficiente di sicurezza portanza trasversale pali	1.3	
Fattore di correlazione resistenza caratteristica dei pali in base alle verticali indagate	1.7	

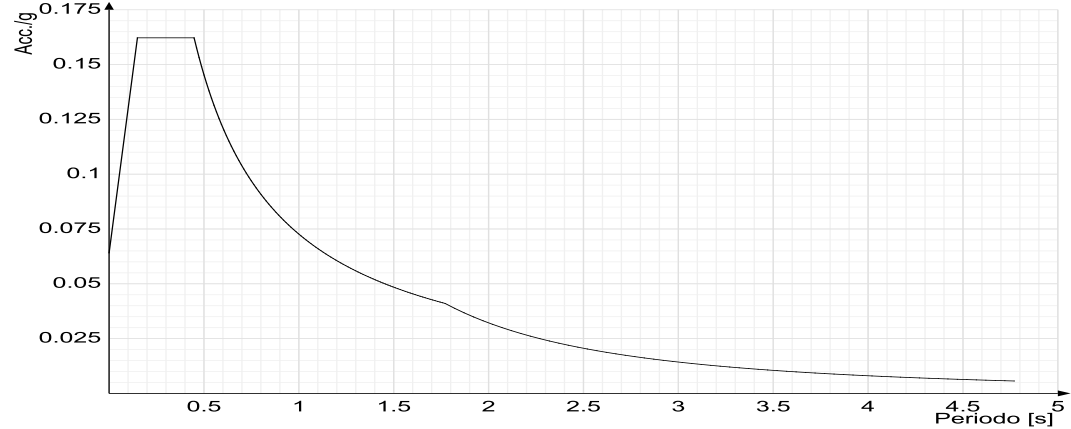
5.1.2 Spettri NTC 08

Acc./g: Accelerazione spettrale normalizzata ottenuta dividendo l'accelerazione spettrale per l'accelerazione di gravità.
Periodo: Periodo di vibrazione.

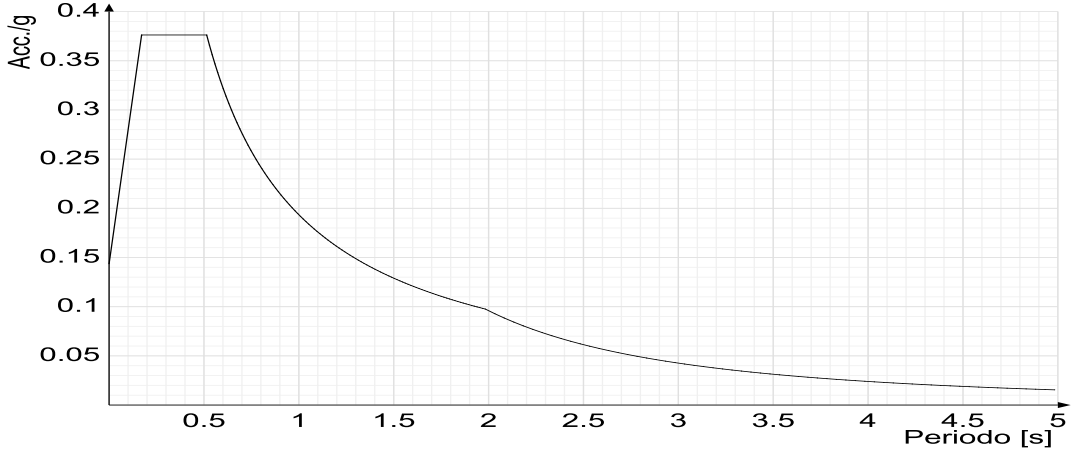
Spettro di risposta elastico in accelerazione delle componenti orizzontali SLO § 3.2.3.2.1 (3.2.4)



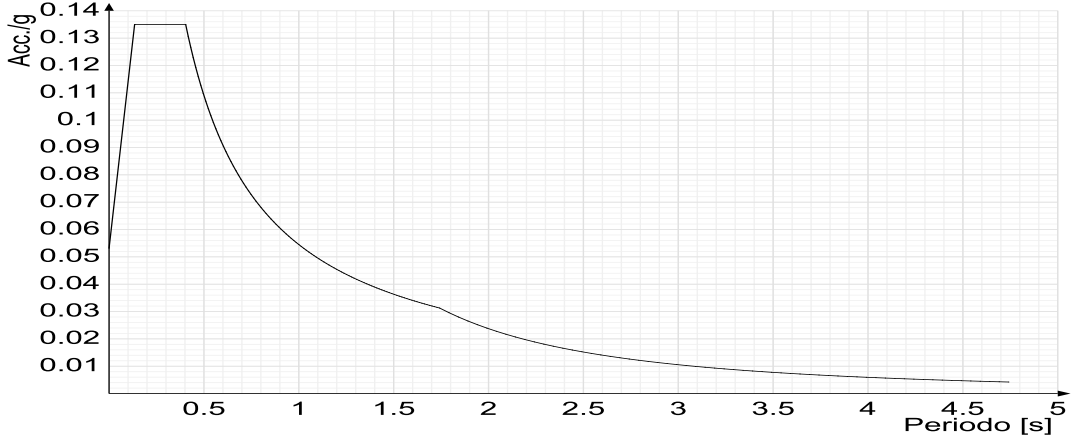
Spettro di risposta elastico in accelerazione delle componenti orizzontali SLD § 3.2.3.2.1 (3.2.4)



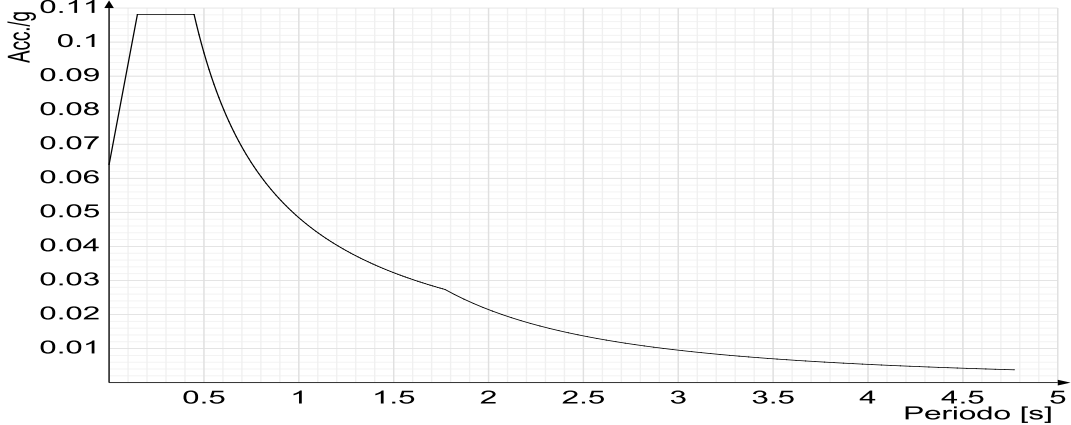
Spettro di risposta elastico in accelerazione delle componenti orizzontali SLV § 3.2.3.2.1 (3.2.4)



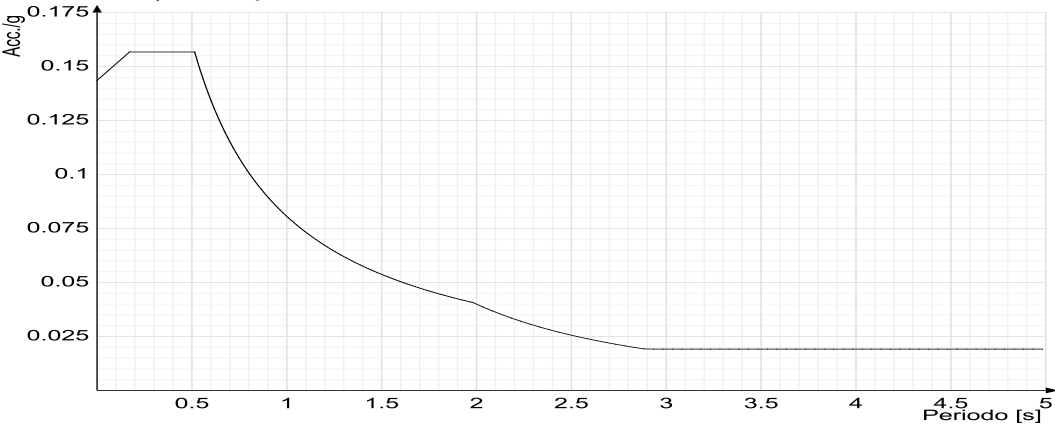
Spettro di risposta di progetto in accelerazione delle componenti orizzontali SLO § 3.2.3.4



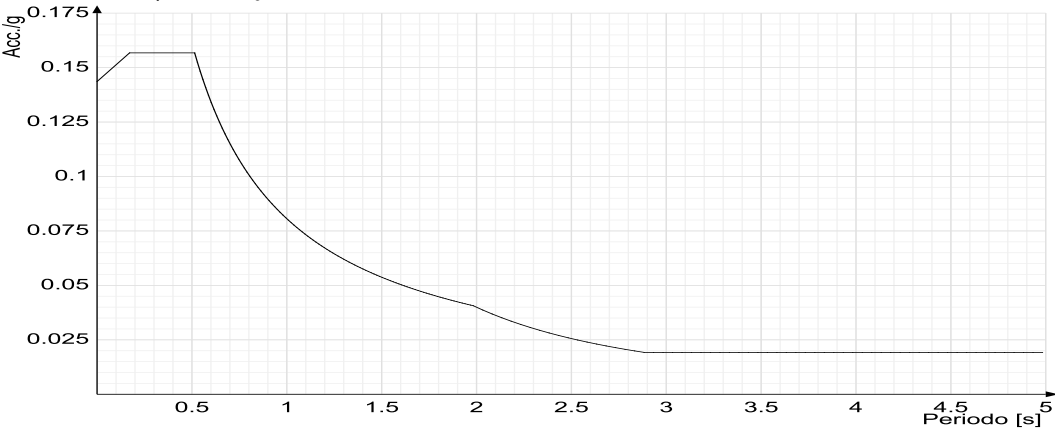
Spettro di risposta di progetto in accelerazione delle componenti orizzontali SLD § 7.3.7.1



Spettro di risposta di progetto in accelerazione della componente X SLV § 3.2.3.5

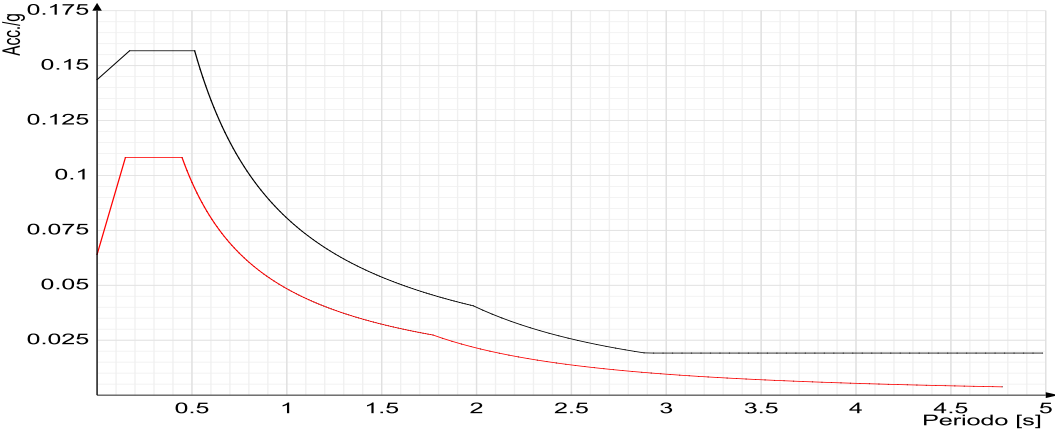


Spettro di risposta di progetto in accelerazione della componente Y SLV § 3.2.3.5



Confronti spettri SLV-SLD

Vengono confrontati lo spettro Spettro di risposta di progetto in accelerazione delle componenti orizzontali SLD § 7.3.7.1 (di colore rosso) e Spettro di risposta di progetto in accelerazione della componente X SLV § 3.2.3.5 (di colore nero). Questo confronto tra spettri è valido anche per l'altra componente orizzontale, essendo coincidente.



5.1.3 Preferenze di verifica

5.1.3.1 Normativa di verifica in uso

Norma di verifica
Cemento armato
Legno
Acciaio
Alluminio
Pannelli in gessofibra
Psi

D.M. 14-01-08 (N.T.C.)
Preferenze analisi di verifica in stato limite
Preferenze di verifica legno NTC08
Preferenze di verifica acciaio EC3
Preferenze di verifica alluminio EC3
Preferenze di verifica pannelli gessofibra D.M. 14-01-08 (N.T.C.)

5.1.3.2 Normativa di verifica C.A.

Coefficiente di omogeneizzazione
ys (fattore di sicurezza parziale per l'acciaio)
yc (fattore di sicurezza parziale per il calcestruzzo)
Limite sigmac/fck in combinazione rara
Limite sigmac/fck in combinazione quasi permanente
Limite sigmat/fyk in combinazione rara
Coefficiente di riduzione della tau per cattiva aderenza
Dimensione limite fessure w1 §4.1.2.2.4.1
Dimensione limite fessure w2 §4.1.2.2.4.1
Dimensione limite fessure w3 §4.1.2.2.4.1
Fattori parziali di sicurezza unitari per meccanismi duttili di strutture esistenti con fattore q
Copriferro secondo EC2

15
1.15
1.5
0.6
0.45
0.8
0.7
0.02 [cm]
0.03 [cm]
0.04 [cm]
No
Si

5.1.4 Preferenze FEM

Dimensione massima ottimale mesh pareti (default)
Dimensione massima ottimale mesh piastre (default)
Tipo di mesh dei gusci (default)
Tipo di mesh imposta ai gusci

80 [cm]
80 [cm]
Quadrilateri o triangoli
Specifico dell'elemento

Metodo P-Delta	non utilizzato	
Analisi buckling	non utilizzata	
Rapporto spessore flessionale/membranale gusci muratura verticali	0.2	
Spessori membranale e flessionale pareti XLAM da sole tavole verticali	No	
Moltiplicatore rigidezza connettori pannelli pareti legno a diaframma	1	
Tolleranza di parallelismo	4.99	[deg]
Tolleranza di unicità punti	10	[cm]
Tolleranza generazione nodi di aste	1	[cm]
Tolleranza di parallelismo in suddivisione aste	4.99	[deg]
Tolleranza generazione nodi di gusci	4	[cm]
Tolleranza eccentricità carichi concentrati	100	[cm]
Considera deformazione a taglio delle piastre	No	
Modello elastico pareti in muratura	Gusci	
Concentra masse pareti nei vertici	No	
Segno risultati analisi spettrale	Analisi statica	
Memoria utilizzabile dal solutore	8000000	
Metodo di risoluzione della matrice	Matrici sparse	
Scrivi commenti nel file di input	No	
Scrivi file di output in formato testo	No	
Solidi colle e corpi ruvidi (default)	Solidi reali	
Moltiplicatore rigidezza molla torsionale applicata ad aste di fondazione	1	
Modello trave su suolo alla Winkler nel caso di modellazione lineare	Equilibrio elastico	

5.1.5 Moltiplicatori inerziali
Tipologia: tipo di entità a cui si riferiscono i moltiplicatori inerziali.
J2: moltiplicatore inerziale di J2. Il valore è adimensionale.
J3: moltiplicatore inerziale di J3. Il valore è adimensionale.
Jt: moltiplicatore inerziale di Jt. Il valore è adimensionale.
A: moltiplicatore dell'area della sezione. Il valore è adimensionale.
A2: moltiplicatore dell'area a taglio in direzione 2. Il valore è adimensionale.
A3: moltiplicatore dell'area a taglio in direzione 3. Il valore è adimensionale.
Conci rigidi: fattore di riduzione dei tronchi rigidi. Il valore è adimensionale.

Tipologia	J2	J3	Jt	A	A2	A3	Conci rigidi
Trave C.A.	1	1	0.01	1	1	1	0.5
Pilastro C.A.	1	1	0.01	1	1	1	0.5
Trave di fondazione	1	1	0.01	1	1	1	0.5
Palo	1	1	0.01	1	1	1	0
Trave in legno	1	1	1	1	1	1	1
Colonna in legno	1	1	1	1	1	1	1
Trave in acciaio	1	1	1	1	1	1	1
Colonna in acciaio	1	1	1	1	1	1	1
Trave di reticolare in acciaio	1	1	1	1	1	1	1
Maschio in muratura	0	1	0	1	1	1	1
Trave di accoppiamento in muratura	0	1	0	1	1	1	1
Trave di scala C.A. nervata	1	1	1	1	1	1	0.5
Trave tralicciata	1	1	0.01	1	1	1	0.5

5.1.6 Preferenze di analisi non lineare FEM	
Metodo iterativo	Secante
Tolleranza iterazione	0.0001
Numero massimo iterazioni	50
5.1.7 Preferenze di analisi carichi superficiali	
Detrazione peso proprio solai nelle zone di sovrapposizione	non applicata
Metodo di ripartizione	a zone d'influenza
Percentuale carico calcolato a trave continua	0
Esegui smoothing diagrammi di carico	applicata
Tolleranza smoothing altezza trapezi	0.001 [daN/cm]
Tolleranza smoothing altezza media trapezi	0.001 [daN/cm]

5.2.1 Condizioni elementari di carico
Descrizione: nome assegnato alla condizione elementare.
Nome breve: nome breve assegnato alla condizione elementare.
I/II: descrive la classificazione della condizione (necessario per strutture in acciaio e in legno).
Durata: descrive la durata della condizione (necessario per strutture in legno).
Psi0: coefficiente moltiplicatore Psi0. Il valore è adimensionale.
Psi1: coefficiente moltiplicatore Psi1. Il valore è adimensionale.
Psi2: coefficiente moltiplicatore Psi2. Il valore è adimensionale.
Var.segno: descrive se la condizione elementare ha la possibilità di variare di segno.

Descrizione	Nome breve	I/II	Durata	Psi0	Psi1	Psi2	Var.segno
Pesi strutturali	Pesi		Permanente	0	0	0	
Permanenti portati	Port.	I	Permanente	0	0	0	
Neve	Neve	I	Media	0.5	0.2	0	
Variabile C	Variabile C	I	Media	0.7	0.7	0.6	
Delta T	Dt	II	Media	0.6	0.5	0	No
Sisma X SLV	X SLV			0	0	0	
Sisma Y SLV	Y SLV			0	0	0	
Sisma Z SLV	Z SLV			0	0	0	
Eccentricità Y per sisma X SLV	EY SLV			0	0	0	
Eccentricità X per sisma Y SLV	EX SLV			0	0	0	
Sisma X SLO	X SLO			0	0	0	
Sisma Y SLO	Y SLO			0	0	0	
Sisma Z SLO	Z SLO			0	0	0	
Eccentricità Y per sisma X SLO	EY SLO			0	0	0	
Eccentricità X per sisma Y SLO	EX SLO			0	0	0	
Terreno sisma X SLV	Tr x SLV			0	0	0	
Terreno sisma Y SLV	Tr y SLV			0	0	0	
Terreno sisma Z SLV	Tr z SLV			0	0	0	
Terreno sisma X SLO	Tr x SLO			0	0	0	
Terreno sisma Y SLO	Tr y SLO			0	0	0	
Terreno sisma Z SLO	Tr z SLO			0	0	0	
Rig. Ux	R Ux			0	0	0	
Rig. Uy	R Uy			0	0	0	
Rig. Rz	R Rz			0	0	0	

5.2.2 Combinazioni di carico
Tutte le combinazioni di carico vengono raggruppate per famiglia di appartenenza. Le celle di una riga contengono i coefficienti moltiplicatori della i-esima combinazione, dove il valore della prima cella è da intendersi come moltiplicatore associato alla prima condizione elementare, la seconda cella si riferisce alla seconda condizione elementare e così via.

Famiglia SLU							
Il nome compatto della famiglia è SLU.							
Nome	Nome breve	Pesi	Port.	Neve	Variabile C	Dt	
1	SLU 1	1	0	0	0	0	0
2	SLU 2	1	0	0	0	1.5	0
3	SLU 3	1	0	0.75	0	1.5	0
4	SLU 4	1	0	1.5	0	0	0
5	SLU 5	1	0	1.5	1.05	0	0
6	SLU 6	1	1.5	0	0	0	0
7	SLU 7	1	1.5	0	0	1.5	0
8	SLU 8	1	1.5	0.75	0	1.5	0
9	SLU 9	1	1.5	1.5	0	0	0
10	SLU 10	1	1.5	1.5	1.05	0	0
11	SLU 11	1.3	0	0	0	0	0
12	SLU 12	1.3	0	0	0	1.5	0
13	SLU 13	1.3	0	0.75	0	1.5	0
14	SLU 14	1.3	0	1.5	0	0	0
15	SLU 15	1.3	0	1.5	1.05	0	0
16	SLU 16	1.3	1.5	0	0	0	0
17	SLU 17	1.3	1.5	0	1.5	0	0
18	SLU 18	1.3	1.5	0.75	1.5	0	0

Nome	Nome breve	Pesi	Port.	Neve	Variabile C	Dt
19	SLU 19	1.3	1.5	1.5	0	0
20	SLU 20	1.3	1.5	1.5	1.05	0

Famiglia SLE rara

Il nome compatto della famiglia è SLE RA.

Nome	Nome breve	Pesi	Port.	Neve	Variabile C	Dt
1	SLE RA 1	1	1	0	0	0
2	SLE RA 2	1	1	0	1	0
3	SLE RA 3	1	1	0.5	1	0
4	SLE RA 4	1	1	1	0	0
5	SLE RA 5	1	1	1	0.7	0

Famiglia SLE frequente

Il nome compatto della famiglia è SLE FR.

Nome	Nome breve	Pesi	Port.	Neve	Variabile C	Dt
1	SLE FR 1	1	1	0	0	0
2	SLE FR 2	1	1	0	0.7	0
3	SLE FR 3	1	1	0.2	0	0
4	SLE FR 4	1	1	0.2	0.6	0

Famiglia SLE quasi permanente

Il nome compatto della famiglia è SLE QP.

Nome	Nome breve	Pesi	Port.	Neve	Variabile C	Dt
1	SLE QP 1	1	1	0	0	0
2	SLE QP 2	1	1	0	0.6	0

Famiglia SLO

Il nome compatto della famiglia è SLO.

Poiché il numero di condizioni elementari previste per le combinazioni di questa famiglia è cospicuo, la tabella verrà spezzata in più parti.

Nome	Nome breve	Pesi	Port.	Neve	Variabile C	Dt	X SLO	Y SLO
1	SLO 1	1	1	0	0.6	0	-1	-0.3
2	SLO 2	1	1	0	0.6	0	-1	-0.3
3	SLO 3	1	1	0	0.6	0	-1	0.3
4	SLO 4	1	1	0	0.6	0	-1	0.3
5	SLO 5	1	1	0	0.6	0	-0.3	-1
6	SLO 6	1	1	0	0.6	0	-0.3	-1
7	SLO 7	1	1	0	0.6	0	-0.3	1
8	SLO 8	1	1	0	0.6	0	-0.3	1
9	SLO 9	1	1	0	0.6	0	0.3	-1
10	SLO 10	1	1	0	0.6	0	0.3	-1
11	SLO 11	1	1	0	0.6	0	0.3	1
12	SLO 12	1	1	0	0.6	0	0.3	1
13	SLO 13	1	1	0	0.6	0	1	-0.3
14	SLO 14	1	1	0	0.6	0	1	-0.3
15	SLO 15	1	1	0	0.6	0	1	0.3
16	SLO 16	1	1	0	0.6	0	1	0.3

Nome	Nome breve	Z SLO	EY SLO	EX SLO	Tr x SLO	Tr y SLO	Tr z SLO
1	SLO 1	0	-1	0.3	-1	-0.3	0
2	SLO 2	0	-1	-0.3	-1	-0.3	0
3	SLO 3	0	-1	0.3	-1	0.3	0
4	SLO 4	0	1	-0.3	-1	0.3	0
5	SLO 5	0	-0.3	1	-0.3	-1	0
6	SLO 6	0	0.3	-1	-0.3	-1	0
7	SLO 7	0	-0.3	1	-0.3	1	0
8	SLO 8	0	0.3	-1	-0.3	1	0
9	SLO 9	0	-0.3	1	0.3	-1	0
10	SLO 10	0	0.3	-1	0.3	-1	0
11	SLO 11	0	-0.3	1	0.3	1	0
12	SLO 12	0	0.3	-1	0.3	1	0
13	SLO 13	0	-1	0.3	1	-0.3	0
14	SLO 14	0	1	-0.3	1	-0.3	0
15	SLO 15	0	-1	0.3	1	0.3	0
16	SLO 16	0	1	-0.3	1	0.3	0

Famiglia SLV

Il nome compatto della famiglia è SLV.

Poiché il numero di condizioni elementari previste per le combinazioni di questa famiglia è cospicuo, la tabella verrà spezzata in più parti.

Nome	Nome breve	Pesi	Port.	Neve	Variabile C	Dt	X SLV	Y SLV
1	SLV 1	1	1	0	0.6	0	-1	-0.3
2	SLV 2	1	1	0	0.6	0	-1	-0.3
3	SLV 3	1	1	0	0.6	0	-1	0.3
4	SLV 4	1	1	0	0.6	0	-1	0.3
5	SLV 5	1	1	0	0.6	0	-0.3	-1
6	SLV 6	1	1	0	0.6	0	-0.3	-1
7	SLV 7	1	1	0	0.6	0	-0.3	1
8	SLV 8	1	1	0	0.6	0	-0.3	1
9	SLV 9	1	1	0	0.6	0	0.3	-1
10	SLV 10	1	1	0	0.6	0	0.3	-1
11	SLV 11	1	1	0	0.6	0	0.3	1
12	SLV 12	1	1	0	0.6	0	0.3	1
13	SLV 13	1	1	0	0.6	0	1	-0.3
14	SLV 14	1	1	0	0.6	0	1	-0.3
15	SLV 15	1	1	0	0.6	0	1	0.3
16	SLV 16	1	1	0	0.6	0	1	0.3

Nome	Nome breve	Z SLV	EY SLV	EX SLV	Tr x SLV	Tr y SLV	Tr z SLV
1	SLV 1	0	-1	0.3	-1	-0.3	0
2	SLV 2	0	-1	-0.3	-1	-0.3	0
3	SLV 3	0	-1	0.3	-1	0.3	0
4	SLV 4	0	1	-0.3	-1	0.3	0
5	SLV 5	0	-0.3	1	-0.3	-1	0
6	SLV 6	0	0.3	-1	-0.3	-1	0
7	SLV 7	0	-0.3	1	-0.3	1	0
8	SLV 8	0	0.3	-1	-0.3	1	0
9	SLV 9	0	-0.3	1	0.3	-1	0
10	SLV 10	0	0.3	-1	0.3	-1	0
11	SLV 11	0	-0.3	1	0.3	1	0
12	SLV 12	0	0.3	-1	0.3	1	0
13	SLV 13	0	-1	0.3	1	-0.3	0
14	SLV 14	0	1	-0.3	1	-0.3	0
15	SLV 15	0	-1	0.3	1	0.3	0
16	SLV 16	0	1	-0.3	1	0.3	0

Famiglia SLV fondazioni

Il nome compatto della famiglia è SLV FO.

Poiché il numero di condizioni elementari previste per le combinazioni di questa famiglia è cospicuo, la tabella verrà spezzata in più parti.

Nome	Nome breve	Pesi	Port.	Neve	Variabile C	Dt	X SLV	Y SLV
1	SLV FO 1	1	1	0	0.6	0	-1.1	-0.33
2	SLV FO 2	1	1	0	0.6	0	-1.1	-0.33
3	SLV FO 3	1	1	0	0.6	0	-1.1	0.33
4	SLV FO 4	1	1	0	0.6	0	-1.1	0.33
5	SLV FO 5	1	1	0	0.6	0	-0.33	-1.1
6	SLV FO 6	1	1	0	0.6	0	-0.33	-1.1
7	SLV FO 7	1	1	0	0.6	0	-0.33	1.1
8	SLV FO 8	1	1	0	0.6	0	-0.33	1.1
9	SLV FO 9	1	1	0	0.6	0	0.33	-1.1
10	SLV FO 10	1	1	0	0.6	0	0.33	-1.1
11	SLV FO 11	1	1	0	0.6	0	0.33	1.1
12	SLV FO 12	1	1	0	0.6	0	0.33	1.1
13	SLV FO 13	1	1	0	0.6	0	1.1	-0.33
14	SLV FO 14	1	1	0	0.6	0	1.1	-0.33
15	SLV FO 15	1	1	0	0.6	0	1.1	0.33
16	SLV FO 16	1	1	0	0.6	0	1.1	0.33

Nome	Nome breve	Z SLV	EY SLV	EX SLV	Tr x SLV	Tr y SLV	Tr z SLV
1	SLV FO 1	0	-1.1	0.33	-1.1	-0.33	0
2	SLV FO 2	0	1.1	-0.33	-1.1	-0.33	0
3	SLV FO 3	0	-1.1	0.33	-1.1	0.33	0
4	SLV FO 4	0	1.1	-0.33	-1.1	0.33	0
5	SLV FO 5	0	-0.33	1.1	-0.33	-1.1	0
6	SLV FO 6	0	0.33	-1.1	-0.33	-1.1	0
7	SLV FO 7	0	-0.33	1.1	-0.33	1.1	0
8	SLV FO 8	0	0.33	-1.1	-0.33	1.1	0
9	SLV FO 9	0	-0.33	1.1	0.33	-1.1	0
10	SLV FO 10	0	0.33	-1.1	0.33	-1.1	0
11	SLV FO 11	0	-0.33	1.1	0.33	1.1	0
12	SLV FO 12	0	0.33	-1.1	0.33	1.1	0
13	SLV FO 13	0	-1.1	0.33	1.1	-0.33	0
14	SLV FO 14	0	1.1	-0.33	1.1	-0.33	0
15	SLV FO 15	0	-1.1	0.33	1.1	0.33	0
16	SLV FO 16	0	1.1	-0.33	1.1	0.33	0

Famiglia Calcolo rigidezza torsionale/flessionale di piano
Il nome compatto della famiglia è CRTFP.

Nome	Nome breve	R Ux	R Uy	R Rz
Rig. Ux+	CRTFP Ux+	1	0	0
Rig. Ux-	CRTFP Ux-	-1	0	0
Rig. Uy+	CRTFP Uy+	0	1	0
Rig. Uy-	CRTFP Uy-	0	-1	0
Rig. Rz+	CRTFP Rz+	0	0	1
Rig. Rz-	CRTFP Rz-	0	0	-1

5.2.3 Definizioni di carichi lineari

Nome: nome identificativo della definizione di carico.

Valori: valori associati alle condizioni di carico.

Condizione: condizione di carico a cui sono associati i valori.

Descrizione: nome assegnato alla condizione elementare.

Fx i.: valore iniziale della forza, per unità di lunghezza, agente in direzione X. [daN/cm]

Fx f.: valore finale della forza, per unità di lunghezza, agente in direzione X. [daN/cm]

Fy i.: valore iniziale della forza, per unità di lunghezza, agente in direzione Y. [daN/cm]

Fy f.: valore finale della forza, per unità di lunghezza, agente in direzione Y. [daN/cm]

Fz i.: valore iniziale della forza, per unità di lunghezza, agente in direzione Z. [daN/cm]

Fz f.: valore finale della forza, per unità di lunghezza, agente in direzione Z. [daN/cm]

Mx i.: valore iniziale della coppia, per unità di lunghezza, agente attorno l'asse X. [daN]

Mx f.: valore finale della coppia, per unità di lunghezza, agente attorno l'asse X. [daN]

My i.: valore iniziale della coppia, per unità di lunghezza, agente attorno l'asse Y. [daN]

My f.: valore finale della coppia, per unità di lunghezza, agente attorno l'asse Y. [daN]

Mz i.: valore iniziale della coppia, per unità di lunghezza, agente attorno l'asse Z. [daN]

Mz f.: valore finale della coppia, per unità di lunghezza, agente attorno l'asse Z. [daN]

Nome	Valori												
	Condizione	Fx i.	Fx f.	Fy i.	Fy f.	Fz i.	Fz f.	Mx i.	Mx f.	My i.	My f.	Mz i.	Mz f.
	Descrizione												
Frangisole	Pesi strutturali	0	0	0	0	0	0	0	0	0	0	0	0
	Permanenti portati	0	0	0	0	-10	-10	0	0	0	0	0	0
	Neve	0	0	0	0	0	0	0	0	0	0	0	0
	Variabile C	0	0	0	0	0	0	0	0	0	0	0	0

5.2.4 Definizioni di carichi superficiali

Nome: nome identificativo della definizione di carico.

Valori: valori associati alle condizioni di carico.

Condizione: condizione di carico a cui sono associati i valori.

Descrizione: nome assegnato alla condizione elementare.

Valore: modulo del carico superficiale applicato alla superficie. [daN/cm²]

Applicazione: modalità con cui il carico è applicato alla superficie.

Nome	Valori											
	Condizione	Valore										Applicazione
	Descrizione											
Scale	Pesi strutturali	0										Verticale
	Permanenti portati	0										Verticale
	Neve	0										Verticale
Neve	Variabile C	0.05										Verticale in proiezione
	Pesi strutturali	0										Verticale
	Permanenti portati	0.001										Verticale
	Neve	0.008										Verticale in proiezione
	Variabile C	0										Verticale

5.3 Quote

5.3.1 Livelli

Descrizione breve: nome sintetico assegnato al livello.

Descrizione: nome assegnato al livello.

Quota: quota superiore espressa nel sistema di riferimento assoluto. [cm]

Spessore: spessore del livello. [cm]

Descrizione breve	Descrizione	Quota	Spessore
L1	Fondazione	-282	50
L2	Pianerottolo interrato	-122	25
L3	Piano terra	28	25
L4	1° pianerottolo	209	25
L5	2° pianerottolo	456	25
L6	Piano 1 - 3° pianerottolo	575	25
L7	4° pianerottolo	810	25
L8	Piano 2 - 5° pianerottolo	1045	25
L9	Copertura	1327	25

5.3.2 Tronchi

Descrizione breve: nome sintetico assegnato al tronco.

Descrizione: nome assegnato al tronco.

Quota 1: riferimento della prima quota di definizione del tronco. esprimibile come livello, falda, piano orizzontale alla Z specificata. [cm]

Quota 2: riferimento della seconda quota di definizione del tronco. esprimibile come livello, falda, piano orizzontale alla Z specificata. [cm]

Descrizione breve	Descrizione	Quota 1	Quota 2
T1	Piano terra - 1° pianerottolo	Piano terra	1° pianerottolo
T2	1° pianerottolo - 2° pianerottolo	1° pianerottolo	2° pianerottolo
T3	2° pianerottolo - Piano 1 - 3° pianerottolo	2° pianerottolo	Piano 1 - 3° pianerottolo
T4	Piano 1 - 3° pianerottolo - 4° pianerottolo	Piano 1 - 3° pianerottolo	4° pianerottolo
T5	4° pianerottolo - Piano 2 - 5° pianerottolo	4° pianerottolo	Piano 2 - 5° pianerottolo
T6	Piano 2 - 5° pianerottolo - Copertura	Piano 2 - 5° pianerottolo	Copertura
T7	Piano terra - 2° pianerottolo	Piano terra	2° pianerottolo
T8	1° pianerottolo - Piano 1 - 3° pianerottolo	1° pianerottolo	Piano 1 - 3° pianerottolo
T9	2° pianerottolo - 4° pianerottolo	2° pianerottolo	4° pianerottolo
T10	4° pianerottolo - Copertura	4° pianerottolo	Copertura
T11	Piano 1 - 3° pianerottolo - Piano 2 - 5° pianerottolo	Piano 1 - 3° pianerottolo	Piano 2 - 5° pianerottolo
T12	Fondazione - Pianerottolo interrato	Fondazione	Pianerottolo interrato
T13	Fondazione - Piano terra	Fondazione	Piano terra
T14	Pianerottolo interrato - Piano terra	Pianerottolo interrato	Piano terra
T15	Pianerottolo interrato - 1° pianerottolo	Pianerottolo interrato	1° pianerottolo

5.4 Elementi di input

5.4.1 Fili fissi

5.4.1.1 Fili fissi di piano

Livello: quota di inserimento espressa con notazione breve esprimibile come livello, falda, piano orizzontale alla Z specificata. [cm]

Punto: punto di inserimento.

X: coordinata X. [cm]

Y: coordinata Y. [cm]

Estradosso: distanza dalla quota di inserimento misurata in direzione ortogonale al piano della quota e con verso positivo verso l'alto. [cm]

Angolo: angolo misurato dal semiasse positivo delle ascisse in verso antiorario. [deg]

Tipo: tipo di simbolo.
T.c.: testo completo visualizzato accanto al filo fisso, costituito dalla concatenazione del prefisso e del testo.

Livello		Punto		Estradosso	Angolo	Tipo	T.c.	Livello		Punto		Estradosso	Angolo	Tipo	T.c.
	X	Y							X	Y					
L1	240	145	0	0	Croce	30		L1	240	-145	0	0	Croce	28	
L1	-307	-145	0	0	Croce	7		L1	334	185	0	0	Croce	40	
L1	-182	185	0	0	Croce	16		L1	334	85	0	0	Croce	38	
L1	363	-145	0	0	Croce	41		L1	334	145	0	0	Croce	39	
L1	363	-118	0	0	Croce	42		L1	450	85	0	0	Croce	52	
L1	450	-118	0	0	Croce	50		L1	-270,5	185	0	0	Croce	8	
L1	0	-145	0	0	Croce	21		L1	-395,5	-145	0	0	Croce	1	
L1	440	144,5	0	0	Croce	48		L1	440	-145,5	0	0	Croce	47	
L1	-243	185	0	0	Croce	9		L1	334	-145	0	0	Croce	37	
L1	0	185	0	0	Croce	24		L1	-354	-145	0	0	Croce	6	
L3	0	82,5	0	0	Croce	23		L3	270	145	0	0	Croce	33	
L3	423	185	0	0	Croce	46		L3	-208,5	120	0	0	Croce	13	
L3	-208,5	147,5	0	0	Croce	14		L3	0	0	0	0	Croce	22	
L3	-208,5	-117,5	0	0	Croce	11		L3	-387,5	-145	0	0	Croce	2	
L3	-387,5	0	0	0	Croce	3		L3	-120	-145	0	0	Croce	17	
L3	-387,5	185	0	0	Croce	5		L3	450	145	0	0	Croce	53	
L3	60	145	0	0	Croce	26		L3	300	-145	0	0	Croce	34	
L3	450	-145	0	0	Croce	49		L3	-120	0	0	0	Croce	18	
L3	240	0	0	0	Croce	29		L3	300	0	0	0	Croce	35	
L3	300	145	0	0	Croce	36		L3	450	0	0	0	Croce	51	
L3	270	-20	0	0	Croce	32		L3	423	-145	0	0	Croce	43	
L3	423	145	0	0	Croce	45		L3	-120	145	0	0	Croce	19	
L3	-387,5	145	0	0	Croce	4		L3	270	-145	0	0	Croce	31	
L3	60	-20	0	0	Croce	25		L3	-208,5	170	0	0	Croce	15	
L3	236,5	170	0	0	Croce	27		L3	-120	185	0	0	Croce	20	
L3	423	0	0	0	Croce	44		L3	-208,5	-145	0	0	Croce	10	
L3	-208,5	0	0	0	Croce	12									

5.4.2 Travi C.A.
5.4.2.1 Travi C.A. di piano
Sezione: riferimento ad una definizione di sezione C.A..
P.i.: posizione dei punti d'inserimento rispetto alla geometria della sezione. SA=Sinistra anima, CA=Centro anima, DA=Destra anima
Liv.: quota del punto di inserimento iniziale. esprimibile come livello, falda, piano orizzontale alla Z specificata. [cm]
Punto i.: punto di inserimento iniziale.
X: coordinata X. [cm]
Y: coordinata Y. [cm]
Punto f.: punto di inserimento finale.
X: coordinata X. [cm]
Y: coordinata Y. [cm]
Estr.: distanza dalla quota di inserimento misurata in direzione ortogonale al piano della quota e con verso positivo verso l'alto. [cm]
Mat: riferimento ad una definizione di materiale calcestruzzo.
Car.lin.: riferimento alla definizione di un carico lineare.L: valori del carico espressi nel sistema locale dell'elemento.G: valori del carico espressi nel sistema globale.
DeltaT: riferimento alla definizione di una variazione termica. Accetta anche il valore "Nessuno".
Sovr.: aliquota di sovraresistenza da assicurare in verifica.
S.Z: indica se l'elemento deve essere verificato considerando il sisma verticale.
C.I.: svincolo o cerniera da applicare al relativo estremo dell'asta nel modello.
C.f.: svincolo o cerniera da applicare al relativo estremo dell'asta nel modello.
P.lin.: peso per unità di lunghezza. [daN/cm]

Sezione	P.i.	Liv.	Punto i.		Punto f.		Estr.	Mat.	Car.lin.	DeltaT	Sovr.	S.Z	C.i.	C.f.	P.lin.
			X	Y	X	Y									
R 20x75	CA	L2	440	-145,5	440	144,5	0	C28/35	Nessuno; G		0	No	No	No	3,75
R 30*100	CA	L5	-208,5	0	-208,5	-145	-25	C28/35	Nessuno; G		0	No	No	No	7,5
R 40x125	CA	L5	-120	0	-208,5	0	0	C28/35	Nessuno; G		0	No	No	No	12,5
R 40x125	CA	L5	0	0	-120	0	0	C28/35	Nessuno; G		0	No	No	No	12,5
R 30*100	CA	L5	-208,5	185	-208,5	0	-25	C28/35	Nessuno; G		0	No	No	No	7,5
R 40x75	CA	L6	240	0	423	0	0	C28/35	Nessuno; G		0	No	No	No	7,5
R 40x75	CA	L7	-120	0	-387,5	0	0	C28/35	Nessuno; G		0	No	No	No	7,5
R 40x75	CA	L8	240	0	423	0	0	C28/35	Nessuno; G		0	No	No	No	7,5
R 40x75	CA	L9	-120	0	-387,5	0	0	C28/35	Nessuno; G		0	No	No	No	7,5

5.4.3 Scale C.A.
5.4.3.1 Scale C.A. ad una rampa
Nome: identificazione dell'elemento per i riferimenti dei pezzi di scala
T.m.: tipo di modellazione FEM. R=Trave rampante, N=Trave nervata, G=Gusci
Tr.: riferimento al tronco indicante la quota inferiore e superiore.
Punto iniziale: punto iniziale di inserimento della scala.
X: coordinata X. [cm]
Y: coordinata Y. [cm]
Punto finale: punto finale di inserimento della scala.
X: coordinata X. [cm]
Y: coordinata Y. [cm]
P.i.: posizione dei punti d'inserimento rispetto alla geometria della scala. S=Sinistra, D=Destra
Finitura partenza: spessore della finitura al piano di partenza. [cm]
Finitura arrivo: spessore della finitura al piano di arrivo. [cm]
Finitura alzate: spessore della finitura delle alzate dei gradini. [cm]
Finitura pedate: spessore della finitura delle pedate dei gradini. [cm]
Peso finitura: peso specifico medio della finitura, impiegato nell'analisi dei carichi; viene computato nella condizione 'Permanenti portati' o, in mancanza di questa, nella condizione 'Permanenti'. [daN/cm²]
Mat.: riferimento ad una definizione di calcestruzzo.
Desc.: descrizione o nome assegnato all'elemento.
Carico: riferimento alla definizione di un carico di superficie.
Alzata (A): misura dell'alzata di ciascun gradino; in genere è compresa tra i 13 e i 20 cm. [cm]
Pedata (P): misura della pedata di ciascun gradino: la legge sulle barriere architettoniche (D.M. Ministero dei LL. PP. 14/06/89 n°236) richiede una pedata minima di 30 cm. [cm]
2A+P: in architettura è nota come formula di "Blondel": la legge sulle barriere architettoniche (D.M. Ministero dei LL. PP. 14/06/89 n°236) richiede un valore compreso tra 62 e 64 cm. [cm]

Nome	T.m.	Tr.	Punto iniziale		Punto finale		P.i.	Finitura partenza	Finitura arrivo	Finitura alzate	Finitura pedate	Peso finitura	Mat.	Carico	Alzata (A)	Pedata (P)	2A+P
			X	Y	X	Y											
ST6	R	T12	0	140	240	140	S	0	0	0	0	0	C28/35	Scale	17,8	30	65,6
ST7	R	T14	240	-140	0	-140	S	0	0	0	0	0	C28/35	Scale	16,7	30	63,3
ST1	R	T1	0	20	300	20	D	0	0	0	0	0	C28/35	Scale	18,1	30	66,2
ST2	R	T2	300	-20	-120	-20	D	0	0	0	0	0	C28/35	Scale	17,7	30	65,3
ST3	R	T3	-120	145	60	145	S	0	0	0	0	0	C28/35	Scale	19,7	30	69,4
ST4	R	T4	270	-20	-120	-20	D	0	0	0	0	0	C28/35	Scale	18,1	30	66,3
ST5	R	T5	-120	145	270	145	S	0	0	0	0	0	C28/35	Scale	18,3	30	66,6

5.4.3.2 Travi di scale C.A.
Scala: identificatore della scala C.A. a cui appartiene l'elemento
Elemento: funzionalità dell'elemento nella scala.
Sezione: riferimento ad una definizione di sezione C.A. rettangolare.
Descrizione: descrizione o nome assegnato all'elemento.
Larghezza: larghezza. [cm]
Spessore: spessore. [cm]
Lunghezza: lunghezza. Misurata sul bordo di inserimento della scala. [cm]
N.a.: numero di alzate.

Scala	Elemento	Sezione	Larghezza	Spessore	Lunghezza	N.a.
		Descrizione				
ST1	Rampa	R 125x25	125	25	300	11
ST2	Rampa	R 125x25	125	25	420	15
ST3	Rampa	R 125x25	125	25	180	7
ST4	Rampa	R 125x25	125	25	390	14
ST5	Rampa	R 125x25	125	25	390	14
ST6	Rampa	R 120x12	120	12	240	9
ST7	Rampa	R 120x12	120	12	240	9

5.4.4 Pilastri C.A.
Tr.: riferimento al tronco indicante la quota inferiore e superiore.
Sezione: riferimento ad una definizione di sezione C.A..
P.i.: posizione del punto di inserimento rispetto alla geometria della sezione. SS=Sinistra-sotto, SC=Sinistra-centro, SA=Sinistra-alto, CS=Centro-sotto, CC=Centro-centro, CA=Centro-alto, DS=Destra-sotto, DC=Destra-centro, DA=Destra-alto

Palazzo-Cavalli-Esecutivo

Punto: posizione del punto di inserimento rispetto alla geometria della sezione.
X: coordinata X. [cm]
Y: coordinata Y. [cm]
Ang.: angolo misurato dal semiasse positivo delle ascisse in verso antiorario. [deg]
Mat.: riferimento ad una definizione di calcestruzzo.
Car.lin.: riferimento alla definizione di un carico lineare. L: valori del carico espressi nel sistema locale dell'elemento. G: valori del carico espressi nel sistema globale.
DeltaT: riferimento alla definizione di una variazione termica. Accetta anche il valore "Nessuno".
Sovr.: aliquota di sovrarresistenza da assicurare in verifica.
S.Z: indica se l'elemento deve essere verificato considerando il sisma verticale.
C.i.: svincolo o cerniera da applicare al relativo estremo dell'asta nel modello.
C.f.: svincolo o cerniera da applicare al relativo estremo dell'asta nel modello.
P.lin.: peso per unità di lunghezza. [daN/cm]
Corr.: lista di elementi correlati all'elemento generati durante la modellazione.

Tr.	Sezione	P.i.	Punto		Ang.	Mat.	Car.lin.	DeltaT	Sovr.	S.Z	C.i.	C.f.	P.lin.	Corr.
			X	Y										
T13	R 30x55	CC	-208,5	147,5	0	C28/35	Nessuno; G		0	No	No	No	4,13	26-29
T13	R 30x55	CC	-208,5	-117,5	0	C28/35	Nessuno; G		0	No	No	No	4,13	30-31
T7	R 30x55	CC	-208,5	-117,5	0	C28/35	Nessuno; G		0	No	No	No	4,13	24-25
T7	R 30x55	CC	-208,5	147,5	0	C28/35	Nessuno; G		0	No	No	No	4,13	39-43

5.4.5 Piastre C.A.
5.4.5.1 Piastre C.A. di piano
Livello: quota di inserimento espressa con notazione breve esprimibile come livello, falda, piano orizzontale alla Z specificata. [cm]
Sp.: spessore misurato in direzione ortogonale al piano medio dell'elemento. [cm]
Punti: punti di definizione in pianta.
L: indice del punto corrente nell'insieme dei punti di definizione dell'elemento.
X: coordinata X. [cm]
Y: coordinata Y. [cm]
Estr.: distanza dalla quota di inserimento misurata in direzione ortogonale al piano della quota e con verso positivo verso l'alto. [cm]
Mat.: riferimento ad una definizione di calcestruzzo.
Car.sup.: riferimento alla definizione di un carico superficiale. Accetta anche il valore "Nessuno".
Car.pot.: riferimento alla definizione di un carico potenziale. Accetta anche il valore "Nessuno".
DeltaT: riferimento alla definizione di una variazione termica. Accetta anche il valore "Nessuno".
Sovr.: aliquota di sovrarresistenza da assicurare in verifica.
S.Z: indica se l'elemento deve essere verificato considerando il sisma verticale.
P.sup.: peso per unità di superficie. [daN/cm²]
Fond.: riferimento alla fondazione sottostante l'elemento.
Fori: riferimenti a tutti gli elementi che forano la piastra.

Livello	Sp.	Punti			Estr.	Mat.	Car.sup.	Car.pot.	DeltaT	Sovr.	S.Z	P.sup.	Fond.	Fori
		L	X	Y										
L1	50	1	334	-145	0	C28/35				0	No	0,125		
		2	334	185										
		3	-243	185										
		4	-354	-145										
L2	25	1	363	-145	0	C28/35	Scale			0	No	0,0625		
		2	363	-118										
		3	450	-118										
		4	450	85										
		5	334	85										
		6	334	145										
		7	240	145										
		8	240	-145										
L3	25	1	0	185	0	C28/35	Scale			0	No	0,0625		
		2	-270,5	185										
		3	-395,5	-145										
		4	0	-145										
L4	25	1	450	-145	0	C28/35	Scale			0	No	0,0625		
		2	450	145										
		3	300	145										
		4	300	-145										
L5	25	1	-120	-145	0	C28/35	Scale			0	No	0,0625		
		2	-120	185										
		3	-387,5	185										
		4	-387,5	-145										
L6	25	1	270	-20	0	C28/35	Scale			0	No	0,0625		
		2	270	-145										
		3	423	-145										
		4	423	145										
		5	60	145										
		6	60	-20										
L7	25	1	-120	145	0	C28/35	Scale			0	No	0,0625		
		2	-387,5	145										
		3	-387,5	-145										
		4	-120	-145										
L8	25	1	270	-145	0	C28/35	Scale			0	No	0,0625		
		2	423	-145										
		3	423	145										
		4	270	145										
L9	25	1	423	-145	0	C28/35	Neve			0	No	0,0625		
		2	423	185										
		3	-387,5	185										
		4	-387,5	-145										

5.4.6 Fondazioni di piastre
Descrizione breve: descrizione breve usata nelle tabelle dei capitoli delle piastre di fondazione.
Stratigrafia: stratigrafia del terreno nel punto medio in pianta dell'elemento.
Sondaggio: è possibile indicare esplicitamente un sondaggio definito nelle preferenze oppure richiedere di estrapolare il sondaggio dalla definizione del sito espressa nelle preferenze.
Estradosso: distanza dalla quota superiore del sondaggio misurata in verticale con verso positivo verso l'alto. [cm]
Deformazione volumetrica: valore della deformazione volumetrica impiegato nel calcolo della pressione limite a rottura con la formula di Vesic. Il valore è adimensionale. Accetta anche il valore di default espresso nelle preferenze.
K verticale: coefficiente di sottofondo verticale del letto di molle. [daN/cm³]
Limite compressione: pressione limite di plasticizzazione a compressione del letto di molle. [daN/cm²]
Limite trazione: pressione limite di plasticizzazione a trazione del letto di molle. [daN/cm²]

Descrizione breve	Stratigrafia		K verticale	Limite compressione	Limite trazione
	Sondaggio	Estradosso			
FS1	Piu' vicino in sito	0	Default (3)	Default (10)	Default (0.001)

5.4.7 Pareti C.A.
Tr.: riferimento al tronco indicante la quota inferiore e superiore.
Sp.: spessore misurato in direzione ortogonale al piano medio dell'elemento. [cm]
P.i.: posizione del punto di inserimento rispetto ad una sezione verticale, vista dal punto iniziale verso il punto finale.
Punto i.: punto iniziale in pianta.
X: coordinata X. [cm]
Y: coordinata Y. [cm]
Punto f.: punto finale in pianta.
X: coordinata X. [cm]
Y: coordinata Y. [cm]
Mat.: riferimento ad una definizione di calcestruzzo.
Car.pot.: riferimento alla definizione di un carico potenziale. Accetta anche il valore "Nessuno".
DeltaT: riferimento alla definizione di una variazione termica. Accetta anche il valore "Nessuno".
Sovr.: aliquota di sovrarresistenza da assicurare in verifica.
S.Z: indica se l'elemento deve essere verificato considerando il sisma verticale.
Aperture: Riferimenti a tutti gli elementi che forano la parete.

Tr.	Sp.	P.i.	Punto i.		Punto f.		Mat.	Car.pot.	DeltaT	Sovr.	S.Z	Aperture
			X	Y	X	Y						
T12	40	Centro	0	0	240	0	C28/35			0	No	
T12	30	Centro	-208,5	170	236,5	170	C28/35			0	No	
T15	20	Centro	440	-145,5	440	144,5	C28/35			0	No	
T14	40	Centro	0	0	240	0	C28/35			0	No	
T14	30	Centro	-208,5	170	236,5	170	C28/35			0	No	
T1	30	Centro	-208,4	170	236,5	170	C28/35			0	No	
T1	40	Centro	0	0	240	0	C28/35			0	No	

Tr.	Sp.	P.I.	Punto i.		Punto f.		Mat.	Car.pot.	DeltaT	Sovr.	S.Z	Aperture
			X	Y	X	Y						
T2	30	Centro	-208.4	170	236.5	170	C28/35			0	No	
T2	40	Centro	0	0	240	0	C28/35			0	No	
T3	40	Centro	-120	0	240	0	C28/35			0	No	
T4	40	Centro	-120	0	240	0	C28/35			0	No	
T5	40	Centro	-120	0	240	0	C28/35			0	No	
T6	40	Centro	-120	0	240	0	C28/35			0	No	

5.4.8 Carichi lineari

5.4.8.1 Carichi lineari di piano

Carico: riferimento alla definizione di un carico lineare.

Livello: quota del punto di inserimento iniziale, esprimibile come livello, falda, piano orizzontale alla Z specificata. [cm]

Punto i.: punto di inserimento iniziale.

X: coordinata X. [cm]

Y: coordinata Y. [cm]

Punto f.: punto di inserimento finale.

X: coordinata X. [cm]

Y: coordinata Y. [cm]

Estr.: distanza dalla quota di inserimento misurata in direzione ortogonale al piano della quota e con verso positivo verso l'alto. [cm]

Carico	Livello	Punto i.		Car.pot.	Punto f.		Estr.
		X	Y		X	Y	
Frangisole	2° pianerottolo	-387.5		170	-387.5	-145	0
Frangisole	2° pianerottolo	-208.5		170	-387.5	170	0
Frangisole	2° pianerottolo	236.5		170	-208.5	170	0

6 Dati di modellazione

6.1 Nodi

6.1.1 Nodi di definizione

Indice: numero dell'elemento nell'insieme che lo contiene.

Posizione: coordinate del nodo.

X: coordinata X. [cm]

Y: coordinata Y. [cm]

Z: coordinata Z. [cm]

Indice	Posizione			Indice	Posizione			Indice	Posizione			Indice	Posizione		
	X	Y	Z		X	Y	Z		X	Y	Z		X	Y	Z
2	-354	-145	-307	3	-281.3	-145	-307	4	-208.5	-145	-307	5	-131	-145	-307
6	-53.5	-145	-307	7	24	-145	-307	8	101.5	-145	-307	9	179	-145	-307
10	256.5	-145	-307	11	334	-145	-307	12	-208.5	-117.5	-307	13	30.1	-96.6	-307
14	93.1	-95	-307	15	-117.1	-84.4	-307	16	-38.6	-82.2	-307	17	-263.5	-77.3	-307
18	334	-72.5	-307	19	248.2	-71.9	-307	20	160.7	-71	-307	21	79.6	-67.5	-307
22	41.1	-64.3	-307	23	-326.3	-62.5	-307	24	-0.7	-57.4	-307	25	102.5	-42.9	-307
26	49.9	-33.3	-307	27	-4.6	-25.8	-307	28	-181.2	-23.9	-307	29	-51.8	-5.7	-307
30	0	0	-307	31	60	0	-307	32	120	0	-307	33	180	0	-307
34	240	0	-307	35	334	0	-307	36	16.9	15.2	-307	37	-298.5	20	-307
38	-4.2	23.3	-307	39	65.3	39.5	-307	40	124.6	46.8	-307	41	-113.4	57	-307
42	183.4	57.8	-307	43	-30.4	80	-307	44	12.5	81.3	-307	45	71.5	86.6	-307
46	129.9	90	-307	47	171.9	91.4	-307	48	249	92.4	-307	49	334	92.5	-307
50	-197.7	94.5	-307	51	-270.8	102.5	-307	52	-128.6	114.9	-307	53	200.5	125.9	-30
54	-51.6	128.1	-307	55	13.3	132.5	-307	56	142.8	134.1	-307	57	78.5	135.5	-30
58	-208.5	147.5	-307	59	-208.5	170	-307	60	-134.4	170	-307	61	-60.2	170	-307
62	14	170	-307	63	88.1	170	-307	64	162.3	170	-307	65	236.5	170	-307
66	-243	185	-307	67	-208.5	185	-307	68	-134.4	185	-307	69	-60.2	185	-307
70	14	185	-307	71	88.1	185	-307	72	162.3	185	-307	73	236.5	185	-307
74	285.2	185	-307	75	334	185	-307	76	0	0	-220.8	77	60	0	-220.8
78	120	0	-220.8	79	180	0	-220.8	80	240	0	-220.8	81	-208.5	147.5	-220.8
82	-208.5	170	-220.8	83	-134.4	170	-220.8	84	-60.2	170	-220.8	85	14	170	-220.8
86	88.1	170	-220.8	87	162.3	170	-220.8	88	236.5	170	-220.8	89	440	-145.5	-134.5
90	240	-145	-134.5	91	301.5	-145	-134.5	92	363	-145	-134.5	93	363	-118	-134.5
94	440	-118	-134.5	95	450	-118	-134.5	96	-208.5	-117.5	-134.5	97	303.4	-96.3	-134.5
98	240	-80	-134.5	99	440	-50.3	-134.5	100	450	-50.3	-134.5	101	376.5	-48.4	-134.5
102	309.1	-42.4	-134.5	103	240	-40	-134.5	104	335.8	-9.5	-134.5	105	0	0	-134.5
106	60	0	-134.5	107	120	0	-134.5	108	180	0	-134.5	109	240	0	-134.5
110	316.7	15	-134.5	111	383.8	17.2	-134.5	112	440	17.4	-134.5	113	450	17.4	-134.5
114	240	80	-134.5	115	260.6	80	-134.5	116	334	85	-134.5	117	392	85	-134.5
118	440	85	-134.5	119	450	85	-134.5	120	440	144.5	-134.5	121	240	145	-134.5
122	334	145	-134.5	123	-208.5	147.5	-134.5	124	-208.5	170	-134.5	125	-134.4	170	-134.5
126	-60.2	170	-134.5	127	14	170	-134.5	128	88.1	170	-134.5	129	162.3	170	-134.5
130	236.5	170	-134.5	131	0	0	-59.5	132	60	0	-59.5	133	120	0	-59.5
134	180	0	-59.5	135	240	0	-59.5	136	-208.5	147.5	-59.5	137	-208.5	170	-59.5
138	-136.6	170	-59.5	139	-64.5	170	-59.5	140	8.3	170	-59.5	141	83.8	170	-59.5
142	160.1	170	-59.5	143	236.5	170	-59.5	144	440	-145.5	-51.8	145	440	-99.6	-51.8
146	440	-41.5	-51.8	147	440	20.6	-51.8	148	440	83.5	-51.8	149	440	144.5	-51.8
150	-395.5	-145	15.5	151	-302	-145	15.5	152	-208.5	-145	15.5	153	-139	-145	15.5
154	-69.5	-145	15.5	155	0	-145	15.5	156	-208.5	-117.5	15.5	157	0	-80	15.5
158	-67.3	-75.1	15.5	159	-137.3	-73.8	15.5	160	-208.6	-72.9	15.5	161	-286.2	-69.4	15.5
162	-364.3	-62.5	15.5	163	-134.5	-2	15.5	164	-66.4	-1	15.5	165	-201.9	-0.6	15.5
166	0	0	15.5	167	60	0	15.5	168	120	0	15.5	169	180	0	15.5
170	240	0	15.5	171	-269.2	5.4	15.5	172	-333	20	15.5	173	-123.5	25.9	15.5
174	-133.2	66.5	15.5	175	-196.7	67.8	15.5	176	-66.9	70.8	15.5	177	-253.8	76.1	15.5
178	0	82.5	15.5	179	3.4	82.5	15.5	180	-301.8	102.5	15.5	181	-196.8	129.2	15.5
182	-134.7	129.3	15.5	183	-67.8	129.7	15.5	184	-241.9	130.3	15.5	185	0	133.8	15.5
186	-208.5	147.5	15.5	187	-208.5	170	15.5	188	-139	170	15.5	189	-69.5	170	15.5
190	0	170	15.5	191	78.8	170	15.5	192	157.6	170	15.5	193	236.5	170	15.5
194	-270.5	185	15.5	195	-208.4	185	15.5	196	-138.9	185	15.5	197	-69.5	185	15.5
198	0	185	15.5	199	440	-145.5	31	200	440	-92.8	31	201	440	-36	31
202	440	23.6	31	203	440	84.2	31	204	440	144.5	31	205	0	0	106
206	60	0	106	207	120	0	106	208	180	0	106	209	240	0	106
210	-208.5	147.5	106	211	-208.4	170	106	212	-136.5	170	106	213	-64.5	170	106
214	8.3	170	106	215	83.8	170	106	216	160.1	170	106	217	236.5	170	106
218	440	-145.5	113.8	219	440	-89.7	113.8	220	440	-32.4	113.8	221	440	26.1	113.8
222	440	85.3	113.8	223	440	144.5	113.8	224	440	-145.5	196.5	225	300	-145	196.5
226	375	-145	196.5	227	450	-145	196.5	228	-208.5	-117.5	196.5	229	440	-87.5	196.5
230	450	-87	196.5	231	375	-85.7	196.5	232	296.6	-82.5	196.5	233	300	-82.5	196.5
234	440	-29.5	196.5	235	450	-29	196.5	236	375	-28.4	196.5	237	300	-27.5	196.5
238	337.1	-7.2	196.5	239	0	0	196.5	240	60	0	196.5	241	120	0	196.5
242	180	0	196.5	243	240	0	196.5	244	300	27.5	196.5	245	375	28.5	196.5
246	440	28.5	196.5	247	450	29	196.5	248	300	82.5	196.5	249	303.6	82.5	196.5
250	375	85.8	196.5	251	440	86.5	196.5	252	450	87	196.5	253	440	144.5	196.5
254	300	145	196.5	255	375	145	196.5	256	450	145	196.5	257	-208.5	147.5	196.5
258	-208.4	170	196.5	259	-134.2	170	196.5	260	-60.1	170	196.5	261	14	170	196.5
262	88.2	170	196.5	263	162.3	170	196.5	264	236.5	170	196.5	265	0	0	278.8
266	60	0	278.8	267	120	0	278.8	268	180	0	278.8	269	240	0	278.8
270	-208.5	147.5	278.8	271	-208.4	170	278.8	272	-132.1	170	278.8	273	-57.3	170	278.8
274	16.5	170	278.8	275	90	170	278.8	276	163.3	170	278.8	277	236.5	170	278.8
278	0	0	361.2	279	60	0	361.2	280	120	0	361.2	281	180	0	361.2
282	240	0	361.2	283	-208.5	147.5	361.2	284	-208.4	170	361.2	285	-128.6	170	361.2
286	-53.8	170	361.2	287	19.3	170	361.2	288	91.9	170	361.2	289	164.2	170	361.2
290	236.5	170	361.2	291	-387.5	-145	443.5	292	-327.9	-145	443.5	293	-268.2	-145	443.5
294	-208.5	-145	443.5	295	-208.5	-145	443.5	296	-120	-145	443.5	297	-208.5	-117.5	443.5
298	-268.2	-99.4	443.5	299	-327.9	-89.2	443.5	300	-122.9	-82.5	443.5	301	-120	-82.5	443.5
302	-387.5	-82	443.5	303	-208.5	-72.5	443.5	304	-268.2	-45.4	443.5	305	-327.9	-30	443.5
306	-387.5	-19	443.5	307	-208.5	0	443.5	308	-120	0	443.5	309	-60	0	443.5
310	0	0	443.5	311	60	0	443.5	312	120	0	443.5	313	180	0	443.5
314	240	0	443.5	315	-268.2	21.2	443.5	316	-228.4	26.1	443.5	317	-327.9	34.4	443.5
318	-387.5	44	443.5	319	-120	82.5	443.5	320	-116.3	82.5	443.5	321	-208.5	82.6	443.5
322	-268.1	96.6	443.5	323	-327.8	103.1	443.5	324	-387.5	107	443.5	325	-208.5	147.5	443.5
326	-387.5	170	443.5	327	-208.4	170	443.5	328	-120	170	443.5	329	-48.7	170	443.5
330	22.6	170	443.5	331	93.9	170	443.5	332	165.2	170	443.5	333	236.5	170	443.5
334	-327.8	175	443.5	335	-268.1	180	443.5	336	-387.5	185	443.5	337	-298	185	443.5

Indice			Posizione			Indice			Posizione			Indice			Posizione		
	X	Y	Z			X	Y	Z				X	Y	Z			
338	-208.4	185	443.5	339	-120	185	443.5	340	270	-145	562.5	341	346.5	-145	562.5		
342	423	-145	562.5	343	266.5	-82.5	562.5	344	270	-82.5	562.5	345	346.5	-77.5	562.5		
346	423	-72.5	562.5	347	60	-20	562.5	348	120	-20	562.5	349	180	-20	562.5		
350	240	-20	562.5	351	270	-20	562.5	352	346.5	-10	562.5	353	-120	0	562.5		
354	-60	0	562.5	355	0	0	562.5	356	60	0	562.5	357	120	0	562.5		
358	180	0	562.5	359	240	0	562.5	360	270	0	562.5	361	346.5	0	562.5		
362	423	0	562.5	363	236.8	4.5	562.5	364	238.2	63.4	562.5	365	291.5	64.2	562.5		
366	179.8	64.2	562.5	367	355.9	68	562.5	368	120.1	68	562.5	369	423	72.5	562.5		
370	60	82.5	562.5	371	64.8	82.5	562.5	372	60	145	562.5	373	120.5	145	562.5		
374	181	145	562.5	375	241.5	145	562.5	376	302	145	562.5	377	362.5	145	562.5		
378	423	145	562.5	379	60.2	0	615.8	380	115.1	0	616.4	381	4.9	0	619.5		
382	170.4	0	631.2	383	-50	0	632.4	384	-120	0	640.8	385	240	0	640.8		
386	107.5	0	662	387	13.7	0	663.7	388	60.8	0	664.6	389	146.6	0	705		
390	-24.7	0	706.8	391	61.5	0	718	392	-120	0	719.2	393	240	0	719.2		
394	-387.5	-145	797.5	395	-298.4	-145	797.5	396	-209.2	-145	797.5	397	-120	-145	797.5		
398	-122.1	-82.5	797.5	399	-120	-82.5	797.5	400	-209.2	-75.1	797.5	401	-298.4	-73.1	797.5		
402	-387.5	-72.5	797.5	403	-387.5	0	797.5	404	-298.4	0	797.5	405	-209.2	0	797.5		
406	-120	0	797.5	407	-30	0	797.5	408	60	0	797.5	409	150	0	797.5		
410	240	0	797.5	411	-197.6	0	797.5	412	-387.5	72.5	797.5	413	-298.4	73.2	797.5		
414	-209.2	75.2	797.5	415	-120	82.5	797.5	416	-116.5	82.5	797.5	417	-387.5	145	797.5		
418	-298.4	145	797.5	419	-209.2	145	797.5	420	-120	145	797.5	421	-120	0	875.8		
422	-30	0	875.8	423	60	0	875.8	424	150	0	875.8	425	240	0	875.8		
426	-120	0	954.2	427	-30	0	954.2	428	60	0	954.2	429	150	0	954.2		
430	240	0	954.2	431	270	-145	1032.5	432	346.5	-145	1032.5	433	423	-145	1032.5		
434	270	-72.5	1032.5	435	346.5	-72.5	1032.5	436	423	-72.5	1032.5	437	-120	0	1032.5		
438	-30	0	1032.5	439	60	0	1032.5	440	150	0	1032.5	441	240	0	1032.5		
442	270	0	1032.5	443	346.5	0	1032.5	444	423	0	1032.5	445	317.3	30.4	1032.5		
446	423	72.5	1032.5	447	346.5	75	1032.5	448	270	82.5	1032.5	449	270	145	1032.5		
450	346.5	145	1032.5	451	423	145	1032.5	452	-120	0	1103	453	-30	0	1103		
454	60	0	1103	455	150	0	1103	456	240	0	1103	457	-120	0	1173.5		
458	-30	0	1173.5	459	60	0	1173.5	460	150	0	1173.5	461	240	0	1173.5		
462	-120	0	1244	463	-30	0	1244	464	60	0	1244	465	150	0	1244		
466	240	0	1244	467	-387.5	-145	1314.5	468	-306.5	-145	1314.5	469	-225.4	-145	1314.5		
470	-144.4	-145	1314.5	471	-63.3	-145	1314.5	472	17.7	-145	1314.5	473	98.8	-145	1314.5		
474	179.8	-145	1314.5	475	260.9	-145	1314.5	476	341.9	-145	1314.5	477	423	-145	1314.5		
478	274.1	-76.6	1314.5	479	205.5	-74.6	1314.5	480	123.1	-73.2	1314.5	481	38.5	-72.7	1314.5		
482	-46.6	-72.6	1314.5	483	-132.1	-72.5	1314.5	484	-217.3	-72.5	1314.5	485	-302.4	-72.5	1314.5		
486	-387.5	-72.5	1314.5	487	342.4	-66.6	1314.5	488	423	-62.5	1314.5	489	280.3	-19.8	1314.5		
490	-387.5	0	1314.5	491	-298.4	0	1314.5	492	-209.2	0	1314.5	493	-120	0	1314.5		
494	-30	0	1314.5	495	60	0	1314.5	496	150	0	1314.5	497	240	0	1314.5		
498	-5.9	16.8	1314.5	499	327	17.3	1314.5	500	423	20	1314.5	501	245.8	47.3	1314.5		
502	160.3	57	1314.5	503	73.4	60.6	1314.5	504	-13.9	63.9	1314.5	505	-101.5	71.8	1314.5		
506	-387.5	92.5	1314.5	507	-296.8	93.5	1314.5	508	-195	96.4	1314.5	509	423	102.5	1314.5		
510	336.9	105	1314.5	511	255.9	115.1	1314.5	512	170.8	119.7	1314.5	513	86	121.6	1314.5		
514	2	123.1	1314.5	515	-76.7	127.4	1314.5	516	-139.2	135.5	1314.5	517	-387.5	185	1314.5		
518	-306.5	185	1314.5	519	-225.4	185	1314.5	520	-144.4	185	1314.5	521	-63.3	185	1314.5		
522	17.7	185	1314.5	523	98.8	185	1314.5	524	179.8	185	1314.5	525	260.9	185	1314.5		
526	341.9	185	1314.5	527	423	185	1314.5										

Indice: numero dell'elemento nell'insieme che lo contiene.
Nodo: nodo su cui agisce il carico.
Condizione: condizione elementare mappata nella quale agisce il carico.
Fx: componente della forza lungo l'asse X. [daN]
Fy: componente della forza lungo l'asse Y. [daN]
Fz: componente della forza lungo l'asse Z. [daN]
Mx: componente del momento attorno all'asse X. [daN*cm]
My: componente del momento attorno all'asse Y. [daN*cm]
Mz: componente del momento attorno all'asse Z. [daN*cm]

6.2 Carichi concentrati

Indice	Nodo	Condizione	Fx	Fy	Fz	Mx	My	Mz	Indice	Nodo	Condizione	Fx	Fy	Fz	Mx	My	Mz
1	227	Variabile C	0	0	-54.7	0	0	0	2	230	Variabile C	0	0	-1.1E2	0	0	0
3	231	Variabile C	0	0	-2.2E2	0	0	0	4	226	Variabile C	0	0	-1.1E2	0	0	0
5	233	Variabile C	0	0	-1.1E2	0	0	0	6	225	Variabile C	0	0	-57.8	0	0	0
7	235	Variabile C	0	0	-1.1E2	0	0	0	8	236	Variabile C	0	0	-2.1E2	0	0	0
9	237	Variabile C	0	0	-1.0E2	0	0	0	10	247	Variabile C	0	0	-1.1E2	0	0	0
11	245	Variabile C	0	0	-2.1E2	0	0	0	12	244	Variabile C	0	0	-1.0E2	0	0	0
13	252	Variabile C	0	0	-1.1E2	0	0	0	14	250	Variabile C	0	0	-2.2E2	0	0	0
15	248	Variabile C	0	0	-1.1E2	0	0	0	16	256	Variabile C	0	0	-54.7	0	0	0
17	255	Variabile C	0	0	-1.1E2	0	0	0	18	254	Variabile C	0	0	-57.1	0	0	0
19	338	Variabile C	0	0	-1.9E2	0	0	0	20	337	Variabile C	0	0	-21.5	0	0	0
21	335	Variabile C	0	0	-1.3E2	0	0	0	22	334	Variabile C	0	0	-1.2E2	0	0	0
23	297	Variabile C	0	0	-1.3E2	0	0	0	24	301	Variabile C	0	0	-1.8E2	0	0	0
25	303	Variabile C	0	0	-2.0E2	0	0	0	26	326	Variabile C	0	0	-59.9	0	0	0
27	336	Variabile C	0	0	-11.2	0	0	0	28	324	Variabile C	0	0	-96.7	0	0	0
29	323	Variabile C	0	0	-2.1E2	0	0	0	30	322	Variabile C	0	0	-2.4E2	0	0	0
31	321	Variabile C	0	0	-3.3E2	0	0	0	32	318	Variabile C	0	0	-95.3	0	0	0
33	317	Variabile C	0	0	-2.0E2	0	0	0	34	315	Variabile C	0	0	-2.1E2	0	0	0
35	307	Variabile C	0	0	-2.9E2	0	0	0	36	306	Variabile C	0	0	-93.5	0	0	0
37	305	Variabile C	0	0	-184	0	0	0	38	304	Variabile C	0	0	-1.8E2	0	0	0
39	302	Variabile C	0	0	-91.9	0	0	0	40	299	Variabile C	0	0	-1.7E2	0	0	0
41	298	Variabile C	0	0	-1.5E2	0	0	0	42	291	Variabile C	0	0	-45.6	0	0	0
43	292	Variabile C	0	0	-84	0	0	0	44	293	Variabile C	0	0	-68.4	0	0	0
45	295	Variabile C	0	0	-96.4	0	0	0	46	296	Variabile C	0	0	-40.1	0	0	0
47	308	Variabile C	0	0	-1.8E2	0	0	0	48	319	Variabile C	0	0	-2.0E2	0	0	0
49	339	Variabile C	0	0	-1.1E2	0	0	0	50	351	Variabile C	0	0	-1.7E2	0	0	0
51	344	Variabile C	0	0	-1.2E2	0	0	0	52	345	Variabile C	0	0	-257	0	0	0
53	352	Variabile C	0	0	-2.7E2	0	0	0	54	346	Variabile C	0	0	-1.4E2	0	0	0
55	362	Variabile C	0	0	-1.4E2	0	0	0	56	340	Variabile C	0	0	-61	0	0	0
57	341	Variabile C	0	0	-1.3E2	0	0	0	58	342	Variabile C	0	0	-66.9	0	0	0
59	369	Variabile C	0	0	-1.2E2	0	0	0	60	367	Variabile C	0	0	-2.6E2	0	0	0
61	365	Variabile C	0	0	-2.4E2	0	0	0	62	364	Variabile C	0	0	-2.1E2	0	0	0
63	350	Variabile C	0	0	-1.1E2	0	0	0	64	366	Variabile C	0	0	-2.5E2	0	0	0
65	349	Variabile C	0	0	-1.3E2	0	0	0	66	368	Variabile C	0	0	-2.5E2	0	0	0
67	348	Variabile C	0	0	-1.3E2	0	0	0	68	370	Variabile C	0	0	-1.2E2	0	0	0
69	347	Variabile C	0	0	-74.2	0	0	0	70	378	Variabile C	0	0	-57.2	0	0	0
71	377	Variabile C	0	0	-1.2E2	0	0	0	72	376	Variabile C	0	0	-1.2E2	0	0	0
73	375	Variabile C	0	0	-1.2E2	0	0	0	74	374	Variabile C	0	0	-1.2E2	0	0	0
75	373	Variabile C	0	0	-1.1E2	0	0	0	76	372	Variabile C	0	0	-52.4	0	0	0
77	420	Variabile C	0	0	-71.7	0	0	0	78	419	Variabile C	0	0	-1.5E2	0	0	0
79	414	Variabile C	0	0	-3.2E2	0	0	0	80	415	Variabile C	0	0	-1.7E2	0	0	0
81	405	Variabile C	0	0	-3.4E2	0	0	0	82	406	Variabile C	0	0	-1.8E2	0	0	0
83	418	Variabile C	0	0	-1.6E2	0	0	0	84	413	Variabile C	0	0	-3.2E2	0	0	0
85	404	Variabile C	0	0	-3.3E2	0	0	0	86	417	Variabile C	0	0	-80.6	0	0	0
87	412	Variabile C	0	0	-1.6E2	0	0	0	88	403	Variabile C	0	0	-1.6E2	0	0	0
89	402	Variabile C	0	0	-1.6E2	0	0	0	90	401	Variabile C	0	0	-323	0	0	0
91	400	Variabile C	0	0	-3.2E2	0	0	0	92	399	Variabile C	0	0	-1.6E2	0	0	0
93	394	Variabile C	0	0	-80.6	0	0	0	94	395	Variabile C	0	0	-1.6E2	0	0	0
95	396	Variabile C	0	0	-1.5E2	0	0	0	96	397	Variabile C	0	0	-73.7	0	0	0
97	433	Variabile C	0	0	-69.3	0	0	0	98	436	Variabile C	0	0	-1.4E2	0	0	0
99	435	Variabile C	0	0	-2.8E2	0	0	0	100	432	Variabile C	0	0	-1.4E2	0	0	0
101	434	Variabile C	0	0	-1.4E2	0	0	0	102	431	Variabile C	0	0	-69.3	0	0	0
103	444	Variabile C	0	0	-1.4E2	0	0	0	104	443	Variabile C	0	0	-2.8E2	0	0	0
105	442	Variabile C	0	0	-1.5E2	0	0	0	106	446	Variabile C	0	0	-1.4E2	0	0	0
107	447	Variabile C	0	0	-2.8E2	0	0	0	108	448	Variabile C	0	0	-1.4E2	0	0	0
109	451	Variabile C	0	0	-68.7	0	0	0	110	450	Variabile C	0	0	-1.3E2	0	0	0
111	449	Variabile C	0	0	-63.4	0	0	0	112	525	Permanenti portati	0	0	-2.9	0	0	0
113	524	Permanenti portati	0	0	-2.7	0	0	0	114	512	Permanenti portati	0	0	-5.5	0	0	0

Indice	Nodo	Condizione	Fx	Fy	Fz	Mx	My	Mz	Indice	Nodo	Condizione	Fx	Fy	Fz	Mx	My	Mz
115	511	Permanenti portati	0	0	-6.1	0	0	0	116	525	Neve	0	0	-23.1	0	0	0
117	524	Neve	0	0	-21.6	0	0	0	118	512	Neve	0	0	-44.1	0	0	0
119	511	Neve	0	0	-48.9	0	0	0	120	523	Permanenti portati	0	0	-2.6	0	0	0
121	513	Permanenti portati	0	0	-5.3	0	0	0	122	523	Neve	0	0	-20.8	0	0	0
123	513	Neve	0	0	-42.1	0	0	0	124	522	Permanenti portati	0	0	-2.5	0	0	0
125	514	Permanenti portati	0	0	-5	0	0	0	126	522	Neve	0	0	-20	0	0	0
127	514	Neve	0	0	-39.7	0	0	0	128	521	Permanenti portati	0	0	-2.3	0	0	0
129	515	Permanenti portati	0	0	-4.3	0	0	0	130	521	Neve	0	0	-18	0	0	0
131	515	Neve	0	0	-34.3	0	0	0	132	520	Permanenti portati	0	0	-2.1	0	0	0
133	516	Permanenti portati	0	0	-3.4	0	0	0	134	520	Neve	0	0	-17	0	0	0
135	516	Neve	0	0	-26.8	0	0	0	136	519	Permanenti portati	0	0	-3.5	0	0	0
137	508	Permanenti portati	0	0	-8.4	0	0	0	138	519	Neve	0	0	-27.7	0	0	0
139	508	Neve	0	0	-67	0	0	0	140	518	Permanenti portati	0	0	-4	0	0	0
141	507	Permanenti portati	0	0	-8.3	0	0	0	142	518	Neve	0	0	-31.9	0	0	0
143	507	Neve	0	0	-66.7	0	0	0	144	517	Permanenti portati	0	0	-1.9	0	0	0
145	506	Permanenti portati	0	0	-4.1	0	0	0	146	517	Neve	0	0	-15.4	0	0	0
147	506	Neve	0	0	-33.1	0	0	0	148	490	Permanenti portati	0	0	-3.7	0	0	0
149	491	Permanenti portati	0	0	-7.4	0	0	0	150	490	Neve	0	0	-29.4	0	0	0
151	491	Neve	0	0	-59.4	0	0	0	152	492	Permanenti portati	0	0	-7.5	0	0	0
153	492	Neve	0	0	-59.7	0	0	0	154	493	Permanenti portati	0	0	-6.6	0	0	0
155	505	Permanenti portati	0	0	-6.1	0	0	0	156	493	Neve	0	0	-52.5	0	0	0
157	505	Neve	0	0	-49.2	0	0	0	158	494	Permanenti portati	0	0	-6.1	0	0	0
159	504	Permanenti portati	0	0	-5.5	0	0	0	160	494	Neve	0	0	-48.9	0	0	0
161	504	Neve	0	0	-44.3	0	0	0	162	495	Permanenti portati	0	0	-5.9	0	0	0
163	503	Permanenti portati	0	0	-5.4	0	0	0	164	495	Neve	0	0	-47.5	0	0	0
165	503	Neve	0	0	-42.8	0	0	0	166	496	Permanenti portati	0	0	-5.8	0	0	0
167	502	Permanenti portati	0	0	-5.2	0	0	0	168	496	Neve	0	0	-46	0	0	0
169	502	Neve	0	0	-41.9	0	0	0	170	497	Permanenti portati	0	0	-4.5	0	0	0
171	501	Permanenti portati	0	0	-5.1	0	0	0	172	497	Neve	0	0	-36.3	0	0	0
173	501	Neve	0	0	-40.5	0	0	0	174	480	Permanenti portati	0	0	-6.1	0	0	0
175	479	Permanenti portati	0	0	-5.4	0	0	0	176	480	Neve	0	0	-49.1	0	0	0
177	479	Neve	0	0	-43.1	0	0	0	178	481	Permanenti portati	0	0	-6.2	0	0	0
179	481	Neve	0	0	-49.4	0	0	0	180	482	Permanenti portati	0	0	-6.2	0	0	0
181	482	Neve	0	0	-49.5	0	0	0	182	483	Permanenti portati	0	0	-6.2	0	0	0
183	483	Neve	0	0	-49.5	0	0	0	184	484	Permanenti portati	0	0	-6.2	0	0	0
185	484	Neve	0	0	-49.4	0	0	0	186	485	Permanenti portati	0	0	-6.2	0	0	0
187	485	Neve	0	0	-49.8	0	0	0	188	486	Permanenti portati	0	0	-3.1	0	0	0
189	486	Neve	0	0	-24.7	0	0	0	190	467	Permanenti portati	0	0	-1.5	0	0	0
191	468	Permanenti portati	0	0	-3	0	0	0	192	467	Neve	0	0	-11.9	0	0	0
193	468	Neve	0	0	-23.8	0	0	0	194	469	Permanenti portati	0	0	-3	0	0	0
195	469	Neve	0	0	-23.8	0	0	0	196	470	Permanenti portati	0	0	-3	0	0	0
197	470	Neve	0	0	-23.8	0	0	0	198	471	Permanenti portati	0	0	-3	0	0	0
199	471	Neve	0	0	-23.8	0	0	0	200	472	Permanenti portati	0	0	-3	0	0	0
201	472	Neve	0	0	-23.7	0	0	0	202	473	Permanenti portati	0	0	-2.9	0	0	0
203	473	Neve	0	0	-23.4	0	0	0	204	474	Permanenti portati	0	0	-2.8	0	0	0
205	474	Neve	0	0	-22.4	0	0	0	206	475	Permanenti portati	0	0	-2.7	0	0	0
207	478	Permanenti portati	0	0	-4.4	0	0	0	208	475	Neve	0	0	-21.7	0	0	0
209	478	Neve	0	0	-35.5	0	0	0	210	476	Permanenti portati	0	0	-3.1	0	0	0
211	487	Permanenti portati	0	0	-6.1	0	0	0	212	476	Neve	0	0	-24.6	0	0	0
213	487	Neve	0	0	-48.6	0	0	0	214	477	Permanenti portati	0	0	-1.6	0	0	0
215	488	Permanenti portati	0	0	-3.4	0	0	0	216	477	Neve	0	0	-13.2	0	0	0
217	488	Neve	0	0	-27.2	0	0	0	218	500	Permanenti portati	0	0	-3.9	0	0	0
219	499	Permanenti portati	0	0	-7.1	0	0	0	220	500	Neve	0	0	-31	0	0	0
221	499	Neve	0	0	-56.6	0	0	0	222	509	Permanenti portati	0	0	-3.6	0	0	0
223	510	Permanenti portati	0	0	-7	0	0	0	224	509	Neve	0	0	-28.5	0	0	0
225	510	Neve	0	0	-55.6	0	0	0	226	527	Permanenti portati	0	0	-1.7	0	0	0
227	526	Permanenti portati	0	0	-3.2	0	0	0	228	527	Neve	0	0	-13.5	0	0	0
229	526	Neve	0	0	-25.9	0	0	0	230	489	Permanenti portati	0	0	-2.7	0	0	0
231	489	Neve	0	0	-21.6	0	0	0	232	328	Permanenti portati	0	0	-8.0E2	0	0	0
233	329	Permanenti portati	0	0	-713	0	0	0	234	330	Permanenti portati	0	0	-713	0	0	0
235	331	Permanenti portati	0	0	-713	0	0	0	236	332	Permanenti portati	0	0	-713	0	0	0
237	333	Permanenti portati	0	0	-3.6E2	0	0	0	238	327	Permanenti portati	0	0	-4.4E2	0	0	0
239	327	Permanenti portati	0	0	-3.0E2	0	0	0	240	335	Permanenti portati	0	0	-6.0E2	0	0	0

Indice	Nodo	Condizione	Fx	Fy	Fz	Mx	My	Mz	Indice	Nodo	Condizione	Fx	Fy	Fz	Mx	My	Mz
241	334	Permanenti portati	0	0	-6.0E2	0	0	0	242	326	Permanenti portati	0	0	-3.0E2	0	0	0
243	326	Permanenti portati	0	0	-315	0	0	0	244	324	Permanenti portati	0	0	-630	0	0	0
245	318	Permanenti portati	0	0	-630	0	0	0	246	306	Permanenti portati	0	0	-630	0	0	0
247	302	Permanenti portati	0	0	-630	0	0	0	248	291	Permanenti portati	0	0	-315	0	0	0
249	119	Variabile C	0	0	-50.8	0	0	0	250	113	Variabile C	0	0	-1.1E2	0	0	0
251	111	Variabile C	0	0	-2.2E2	0	0	0	252	117	Variabile C	0	0	-1.1E2	0	0	0
253	110	Variabile C	0	0	-2.2E2	0	0	0	254	116	Variabile C	0	0	-208	0	0	0
255	109	Variabile C	0	0	-127	0	0	0	256	114	Variabile C	0	0	-1.5E2	0	0	0
257	100	Variabile C	0	0	-1.3E2	0	0	0	258	101	Variabile C	0	0	-2.4E2	0	0	0
259	102	Variabile C	0	0	-1.9E2	0	0	0	260	103	Variabile C	0	0	-81.5	0	0	0
261	95	Variabile C	0	0	-71.3	0	0	0	262	93	Variabile C	0	0	-1.4E2	0	0	0
263	97	Variabile C	0	0	-169	0	0	0	264	98	Variabile C	0	0	-87.9	0	0	0
265	92	Variabile C	0	0	-24.8	0	0	0	266	91	Variabile C	0	0	-69.3	0	0	0
267	90	Variabile C	0	0	-45.2	0	0	0	268	121	Variabile C	0	0	-70.5	0	0	0
269	122	Variabile C	0	0	-74.9	0	0	0	270	153	Variabile C	0	0	-1.2E2	0	0	0
271	154	Variabile C	0	0	-1.2E2	0	0	0	272	158	Variabile C	0	0	-2.5E2	0	0	0
273	159	Variabile C	0	0	-2.5E2	0	0	0	274	155	Variabile C	0	0	-57.1	0	0	0
275	157	Variabile C	0	0	-1.2E2	0	0	0	276	166	Variabile C	0	0	-1.3E2	0	0	0
277	164	Variabile C	0	0	-2.5E2	0	0	0	278	178	Variabile C	0	0	-1.1E2	0	0	0
279	176	Variabile C	0	0	-2.2E2	0	0	0	280	185	Variabile C	0	0	-91.2	0	0	0
281	183	Variabile C	0	0	-1.9E2	0	0	0	282	198	Variabile C	0	0	-45.1	0	0	0
283	197	Variabile C	0	0	-94.5	0	0	0	284	196	Variabile C	0	0	-95	0	0	0
285	182	Variabile C	0	0	-190	0	0	0	286	195	Variabile C	0	0	-87.3	0	0	0
287	181	Variabile C	0	0	-1.6E2	0	0	0	288	194	Variabile C	0	0	-87	0	0	0
289	184	Variabile C	0	0	-1.1E2	0	0	0	290	180	Variabile C	0	0	-1.1E2	0	0	0
291	177	Variabile C	0	0	-1.9E2	0	0	0	292	172	Variabile C	0	0	-1.4E2	0	0	0
293	171	Variabile C	0	0	-2.5E2	0	0	0	294	162	Variabile C	0	0	-1.6E2	0	0	0
295	161	Variabile C	0	0	-3.0E2	0	0	0	296	150	Variabile C	0	0	-91.1	0	0	0
297	151	Variabile C	0	0	-1.7E2	0	0	0	298	152	Variabile C	0	0	-1.4E2	0	0	0
299	160	Variabile C	0	0	-2.8E2	0	0	0	300	175	Variabile C	0	0	-1.9E2	0	0	0
301	165	Variabile C	0	0	-2.4E2	0	0	0	302	163	Variabile C	0	0	-2.4E2	0	0	0
303	174	Variabile C	0	0	-216	0	0	0	304	498	Rig. Ux	1	0	0	0	0	0
305	498	Rig. Uy	0	1	0	0	0	0	306	498	Rig. Rz	0	0	0	0	0	1
307	150	Sisma X SLV	0.6	0	0	0	0	0	308	150	Sisma Y SLV	0	0.6	0	0	0	0
309	150	Eccentricità Y per sisma X SLV	0	0	0	0	0	-9.7	310	150	Eccentricità X per sisma Y SLV	0	0	0	0	0	11.6
311	150	Sisma X SLO	0.5	0	0	0	0	0	312	150	Sisma Y SLO	0	0.5	0	0	0	0
313	150	Eccentricità Y per sisma X SLO	0	0	0	0	0	-8.3	314	150	Eccentricità X per sisma Y SLO	0	0	0	0	0	10
315	151	Sisma X SLV	1.1	0	0	0	0	0	316	151	Sisma Y SLV	0	1.1	0	0	0	0
317	151	Eccentricità Y per sisma X SLV	0	0	0	0	0	-18.2	318	151	Eccentricità X per sisma Y SLV	0	0	0	0	0	21.8
319	151	Sisma X SLO	0.9	0	0	0	0	0	320	151	Sisma Y SLO	0	0.9	0	0	0	0
321	151	Eccentricità Y per sisma X SLO	0	0	0	0	0	-15.6	322	151	Eccentricità X per sisma Y SLO	0	0	0	0	0	18.7
323	152	Sisma X SLV	0.9	0	0	0	0	0	324	152	Sisma Y SLV	0	0.9	0	0	0	0
325	152	Eccentricità Y per sisma X SLV	0	0	0	0	0	-15.4	326	152	Eccentricità X per sisma Y SLV	0	0	0	0	0	18.4
327	152	Sisma X SLO	0.8	0	0	0	0	0	328	152	Sisma Y SLO	0	0.8	0	0	0	0
329	152	Eccentricità Y per sisma X SLO	0	0	0	0	0	-13.2	330	152	Eccentricità X per sisma Y SLO	0	0	0	0	0	15.8
331	153	Sisma X SLV	0.8	0	0	0	0	0	332	153	Sisma Y SLV	0	0.8	0	0	0	0
333	153	Eccentricità Y per sisma X SLV	0	0	0	0	0	-13.2	334	153	Eccentricità X per sisma Y SLV	0	0	0	0	0	15.8
335	153	Sisma X SLO	0.7	0	0	0	0	0	336	153	Sisma Y SLO	0	0.7	0	0	0	0
337	153	Eccentricità Y per sisma X SLO	0	0	0	0	0	-11.4	338	153	Eccentricità X per sisma Y SLO	0	0	0	0	0	13.6
339	154	Sisma X SLV	0.8	0	0	0	0	0	340	154	Sisma Y SLV	0	0.8	0	0	0	0
341	154	Eccentricità Y per sisma X SLV	0	0	0	0	0	-12.7	342	154	Eccentricità X per sisma Y SLV	0	0	0	0	0	15.2
343	154	Sisma X SLO	0.7	0	0	0	0	0	344	154	Sisma Y SLO	0	0.7	0	0	0	0
345	154	Eccentricità Y per sisma X SLO	0	0	0	0	0	-10.9	346	154	Eccentricità X per sisma Y SLO	0	0	0	0	0	13.1
347	155	Sisma X SLV	0.4	0	0	0	0	0	348	155	Sisma Y SLV	0	0.4	0	0	0	0
349	155	Eccentricità Y per sisma X SLV	0	0	0	0	0	-6.1	350	155	Eccentricità X per sisma Y SLV	0	0	0	0	0	7.3
351	155	Sisma X SLO	0.3	0	0	0	0	0	352	155	Sisma Y SLO	0	0.3	0	0	0	0
353	155	Eccentricità Y per sisma X SLO	0	0	0	0	0	-5.2	354	155	Eccentricità X per sisma Y SLO	0	0	0	0	0	6.3
355	156	Sisma X SLV	2.4	0	0	0	0	0	356	156	Sisma Y SLV	0	2.4	0	0	0	0
357	156	Eccentricità Y per sisma X SLV	0	0	0	0	0	-39.2	358	156	Eccentricità X per sisma Y SLV	0	0	0	0	0	47
359	156	Sisma X SLO	2	0	0	0	0	0	360	156	Sisma Y SLO	0	2	0	0	0	0
361	156	Eccentricità Y per sisma X SLO	0	0	0	0	0	-33.8	362	156	Eccentricità X per sisma Y SLO	0	0	0	0	0	40.5
363	157	Sisma X SLV	5.2	0	0	0	0	0	364	157	Sisma Y SLV	0	5.2	0	0	0	0
365	157	Eccentricità Y per sisma X SLV	0	0	0	0	0	-85.5	366	157	Eccentricità X per sisma Y SLV	0	0	0	0	0	102.5
367	157	Sisma X SLO	4.5	0	0	0	0	0	368	157	Sisma Y SLO	0	4.5	0	0	0	0
369	157	Eccentricità Y per sisma X SLO	0	0	0	0	0	-73.7	370	157	Eccentricità X per sisma Y SLO	0	0	0	0	0	88.3
371	158	Sisma X SLV	1.6	0	0	0	0	0	372	158	Sisma Y SLV	0	1.6	0	0	0	0
373	158	Eccentricità Y per sisma X SLV	0	0	0	0	0	-26.3	374	158	Eccentricità X per sisma Y SLV	0	0	0	0	0	31.5
375	158	Sisma X SLO	1.4	0	0	0	0	0	376	158	Sisma Y SLO	0	1.4	0	0	0	0
377	158	Eccentricità Y per sisma X SLO	0	0	0	0	0	-22.7	378	158	Eccentricità X per sisma Y SLO	0	0	0	0	0	27.1
379	159	Sisma X SLV	1.6	0	0	0	0	0	380	159	Sisma Y SLV	0	1.6	0	0	0	0
381	159	Eccentricità Y per sisma X SLV	0	0	0	0	0	-26.7	382	159	Eccentricità X per sisma Y SLV	0	0	0	0	0	32
383	159	Sisma X SLO	1.4	0	0	0	0	0	384	159	Sisma Y SLO	0	1.4	0	0	0	0
385	159	Eccentricità Y per sisma X SLO	0	0	0	0	0	-23	386	159	Eccentricità X per sisma Y SLO	0	0	0	0	0	27.5
387	160	Sisma X SLV	1.8	0	0	0	0	0	388	160	Sisma Y SLV	0	1.8	0	0	0	0
389	160	Eccentricità Y per sisma X SLV	0	0	0	0	0	-29.6	390	160	Eccentricità X per sisma Y SLV	0	0	0	0	0	35.4
391	160	Sisma X SLO	1.5	0	0	0	0	0	392	160	Sisma Y SLO	0	1.5	0	0	0	0
393	160	Eccentricità Y per sisma X SLO	0	0	0	0	0	-25.5	394	160	Eccentricità X per sisma Y SLO	0	0	0	0	0	30.5
395	161	Sisma X SLV	1.9	0	0	0	0	0	396	161	Sisma Y SLV	0	1.9	0	0	0	0
397	161	Eccentricità Y per sisma X SLV	0	0	0	0	0	-31.6	398	161	Eccentricità X per sisma Y SLV	0	0	0	0	0	37.9
399	161	Sisma X SLO	1.6	0	0	0	0	0	400	161	Sisma Y SLO	0	1.6	0	0	0	0
401	161	Eccentricità Y per sisma X SLO	0	0	0	0	0	-27.2	402	161	Eccentricità X per sisma Y SLO	0	0	0	0	0	32.6
403	162	Sisma X SLV	1	0	0	0	0	0	404	162	Sisma Y SLV	0	1	0	0	0	0
405	162	Eccentricità Y per sisma X SLV	0	0	0	0	0	-16.8	406	162	Eccentricità X per sisma Y SLV	0	0	0	0	0	20.2
407	162	Sisma X SLO	0.9	0	0	0	0	0	408	162	Sisma Y SLO	0	0.9	0	0	0	0
409	162	Eccentricità Y per sisma X SLO	0	0	0	0	0	-14.5	410	162	Eccentricità X per sisma Y SLO	0	0	0	0	0	17.4
411	163	Sisma X SLV	1.6	0	0	0	0	0	412	163	Sisma Y SLV	0	1.6	0	0	0	0
413	163	Eccentricità Y per sisma X SLV	0	0	0	0	0	-25.6	414	163	Eccentricità X per sisma Y SLV	0	0	0	0	0	30.7
415	163	Sisma X SLO	1.3	0	0	0	0	0	416	163	Sisma Y SLO	0	1.3	0	0	0	0
417	163	Eccentricità Y per sisma X SLO	0	0	0	0	0	-22.1	418	163	Eccentricità X per sisma Y SLO	0	0	0	0	0	26.5
419	164	Sisma X SLV	1.6	0	0	0	0	0	420	164	Sisma Y SLV	0	1.6	0	0	0	0

Indice	Nodo	Condizione	Fx	Fy	Fz	Mx	My	Mz	Indice	Nodo	Condizione	Fx	Fy	Fz	Mx	My	Mz
421	164	Eccentricità Y per sisma X SLV	0	0	0	0	0	-26.5	422	164	Eccentricità X per sisma Y SLV	0	0	0	0	0	31.7
423	164	Sisma X SLO	1.4	0	0	0	0	0	424	164	Sisma Y SLO	0	1.4	0	0	0	0
425	164	Eccentricità Y per sisma X SLO	0	0	0	0	0	-22.8	426	164	Eccentricità X per sisma Y SLO	0	0	0	0	0	27.3
427	165	Sisma X SLV	1.5	0	0	0	0	0	428	165	Sisma Y SLV	0	1.5	0	0	0	0
429	165	Eccentricità Y per sisma X SLV	0	0	0	0	0	-25.6	430	165	Eccentricità X per sisma Y SLV	0	0	0	0	0	30.6
431	165	Sisma X SLO	1.3	0	0	0	0	0	432	165	Sisma Y SLO	0	1.3	0	0	0	0
433	165	Eccentricità Y per sisma X SLO	0	0	0	0	0	-22	434	165	Eccentricità X per sisma Y SLO	0	0	0	0	0	26.4
435	166	Sisma X SLV	1.7	0	0	0	0	0	436	166	Sisma Y SLV	0	1.7	0	0	0	0
437	166	Eccentricità Y per sisma X SLV	0	0	0	0	0	-28.3	438	166	Eccentricità X per sisma Y SLV	0	0	0	0	0	33.9
439	166	Sisma X SLO	1.5	0	0	0	0	0	440	166	Sisma Y SLO	0	1.5	0	0	0	0
441	166	Eccentricità Y per sisma X SLO	0	0	0	0	0	-24.3	442	166	Eccentricità X per sisma Y SLO	0	0	0	0	0	29.2
443	167	Sisma X SLV	1.7	0	0	0	0	0	444	167	Sisma Y SLV	0	1.7	0	0	0	0
445	167	Eccentricità Y per sisma X SLV	0	0	0	0	0	-28.5	446	167	Eccentricità X per sisma Y SLV	0	0	0	0	0	34.2
447	167	Sisma X SLO	1.5	0	0	0	0	0	448	167	Sisma Y SLO	0	1.5	0	0	0	0
449	167	Eccentricità Y per sisma X SLO	0	0	0	0	0	-24.6	450	167	Eccentricità X per sisma Y SLO	0	0	0	0	0	29.4
451	168	Sisma X SLV	1.7	0	0	0	0	0	452	168	Sisma Y SLV	0	1.7	0	0	0	0
453	168	Eccentricità Y per sisma X SLV	0	0	0	0	0	-28.5	454	168	Eccentricità X per sisma Y SLV	0	0	0	0	0	34.2
455	168	Sisma X SLO	1.5	0	0	0	0	0	456	168	Sisma Y SLO	0	1.5	0	0	0	0
457	168	Eccentricità Y per sisma X SLO	0	0	0	0	0	-24.6	458	168	Eccentricità X per sisma Y SLO	0	0	0	0	0	29.4
459	169	Sisma X SLV	1.7	0	0	0	0	0	460	169	Sisma Y SLV	0	1.7	0	0	0	0
461	169	Eccentricità Y per sisma X SLV	0	0	0	0	0	-28.5	462	169	Eccentricità X per sisma Y SLV	0	0	0	0	0	34.2
463	169	Sisma X SLO	1.5	0	0	0	0	0	464	169	Sisma Y SLO	0	1.5	0	0	0	0
465	169	Eccentricità Y per sisma X SLO	0	0	0	0	0	-24.6	466	169	Eccentricità X per sisma Y SLO	0	0	0	0	0	29.4
467	170	Sisma X SLV	0.9	0	0	0	0	0	468	170	Sisma Y SLV	0	0.9	0	0	0	0
469	170	Eccentricità Y per sisma X SLV	0	0	0	0	0	-14.3	470	170	Eccentricità X per sisma Y SLV	0	0	0	0	0	17.1
471	170	Sisma X SLO	0.7	0	0	0	0	0	472	170	Sisma Y SLO	0	0.7	0	0	0	0
473	170	Eccentricità Y per sisma X SLO	0	0	0	0	0	-12.3	474	170	Eccentricità X per sisma Y SLO	0	0	0	0	0	14.7
475	171	Sisma X SLV	1.6	0	0	0	0	0	476	171	Sisma Y SLV	0	1.6	0	0	0	0
477	171	Eccentricità Y per sisma X SLV	0	0	0	0	0	-26.2	478	171	Eccentricità X per sisma Y SLV	0	0	0	0	0	31.4
479	171	Sisma X SLO	1.4	0	0	0	0	0	480	171	Sisma Y SLO	0	1.4	0	0	0	0
481	171	Eccentricità Y per sisma X SLO	0	0	0	0	0	-22.6	482	171	Eccentricità X per sisma Y SLO	0	0	0	0	0	27.1
483	172	Sisma X SLV	0.9	0	0	0	0	0	484	172	Sisma Y SLV	0	0.9	0	0	0	0
485	172	Eccentricità Y per sisma X SLV	0	0	0	0	0	-14.6	486	172	Eccentricità X per sisma Y SLV	0	0	0	0	0	17.5
487	172	Sisma X SLO	0.8	0	0	0	0	0	488	172	Sisma Y SLO	0	0.8	0	0	0	0
489	172	Eccentricità Y per sisma X SLO	0	0	0	0	0	-12.6	490	172	Eccentricità X per sisma Y SLO	0	0	0	0	0	15.1
491	174	Sisma X SLV	1.4	0	0	0	0	0	492	174	Sisma Y SLV	0	1.4	0	0	0	0
493	174	Eccentricità Y per sisma X SLV	0	0	0	0	0	-23	494	174	Eccentricità X per sisma Y SLV	0	0	0	0	0	27.5
495	174	Sisma X SLO	1.2	0	0	0	0	0	496	174	Sisma Y SLO	0	1.2	0	0	0	0
497	174	Eccentricità Y per sisma X SLO	0	0	0	0	0	-19.8	498	174	Eccentricità X per sisma Y SLO	0	0	0	0	0	23.7
499	175	Sisma X SLV	1.3	0	0	0	0	0	500	175	Sisma Y SLV	0	1.3	0	0	0	0
501	175	Eccentricità Y per sisma X SLV	0	0	0	0	0	-20.7	502	175	Eccentricità X per sisma Y SLV	0	0	0	0	0	24.8
503	175	Sisma X SLO	1.1	0	0	0	0	0	504	175	Sisma Y SLO	0	1.1	0	0	0	0
505	175	Eccentricità Y per sisma X SLO	0	0	0	0	0	-17.8	506	175	Eccentricità X per sisma Y SLO	0	0	0	0	0	21.4
507	176	Sisma X SLV	1.4	0	0	0	0	0	508	176	Sisma Y SLV	0	1.4	0	0	0	0
509	176	Eccentricità Y per sisma X SLV	0	0	0	0	0	-23.3	510	176	Eccentricità X per sisma Y SLV	0	0	0	0	0	27.9
511	176	Sisma X SLO	1.2	0	0	0	0	0	512	176	Sisma Y SLO	0	1.2	0	0	0	0
513	176	Eccentricità Y per sisma X SLO	0	0	0	0	0	-20.1	514	176	Eccentricità X per sisma Y SLO	0	0	0	0	0	24.1
515	177	Sisma X SLV	1.2	0	0	0	0	0	516	177	Sisma Y SLV	0	1.2	0	0	0	0
517	177	Eccentricità Y per sisma X SLV	0	0	0	0	0	-20.3	518	177	Eccentricità X per sisma Y SLV	0	0	0	0	0	24.4
519	177	Sisma X SLO	1.1	0	0	0	0	0	520	177	Sisma Y SLO	0	1.1	0	0	0	0
521	177	Eccentricità Y per sisma X SLO	0	0	0	0	0	-17.5	522	177	Eccentricità X per sisma Y SLO	0	0	0	0	0	21
523	178	Sisma X SLV	0.7	0	0	0	0	0	524	178	Sisma Y SLV	0	0.7	0	0	0	0
525	178	Eccentricità Y per sisma X SLV	0	0	0	0	0	-11.8	526	178	Eccentricità X per sisma Y SLV	0	0	0	0	0	14.2
527	178	Sisma X SLO	0.6	0	0	0	0	0	528	178	Sisma Y SLO	0	0.6	0	0	0	0
529	178	Eccentricità Y per sisma X SLO	0	0	0	0	0	-10.2	530	178	Eccentricità X per sisma Y SLO	0	0	0	0	0	12.2
531	179	Sisma X SLV	8.3	0	0	0	0	0	532	179	Sisma Y SLV	0	8.3	0	0	0	0
533	179	Eccentricità Y per sisma X SLV	0	0	0	0	0	-1.4E2	534	179	Eccentricità X per sisma Y SLV	0	0	0	0	0	165
535	179	Sisma X SLO	7.2	0	0	0	0	0	536	179	Sisma Y SLO	0	7.2	0	0	0	0
537	179	Eccentricità Y per sisma X SLO	0	0	0	0	0	-1.2E2	538	179	Eccentricità X per sisma Y SLO	0	0	0	0	0	142.1
539	180	Sisma X SLV	0.7	0	0	0	0	0	540	180	Sisma Y SLV	0	0.7	0	0	0	0
541	180	Eccentricità Y per sisma X SLV	0	0	0	0	0	-11.8	542	180	Eccentricità X per sisma Y SLV	0	0	0	0	0	14.2
543	180	Sisma X SLO	0.6	0	0	0	0	0	544	180	Sisma Y SLO	0	0.6	0	0	0	0
545	180	Eccentricità Y per sisma X SLO	0	0	0	0	0	-10.2	546	180	Eccentricità X per sisma Y SLO	0	0	0	0	0	12.2
547	181	Sisma X SLV	1.1	0	0	0	0	0	548	181	Sisma Y SLV	0	1.1	0	0	0	0
549	181	Eccentricità Y per sisma X SLV	0	0	0	0	0	-17.5	550	181	Eccentricità X per sisma Y SLV	0	0	0	0	0	20.9
551	181	Sisma X SLO	0.9	0	0	0	0	0	552	181	Sisma Y SLO	0	0.9	0	0	0	0
553	181	Eccentricità Y per sisma X SLO	0	0	0	0	0	-15	554	181	Eccentricità X per sisma Y SLO	0	0	0	0	0	18
555	182	Sisma X SLV	1.2	0	0	0	0	0	556	182	Sisma Y SLV	0	1.2	0	0	0	0
557	182	Eccentricità Y per sisma X SLV	0	0	0	0	0	-20.2	558	182	Eccentricità X per sisma Y SLV	0	0	0	0	0	24.2
559	182	Sisma X SLO	1.1	0	0	0	0	0	560	182	Sisma Y SLO	0	1.1	0	0	0	0
561	182	Eccentricità Y per sisma X SLO	0	0	0	0	0	-17.4	562	182	Eccentricità X per sisma Y SLO	0	0	0	0	0	20.8
563	183	Sisma X SLV	1.2	0	0	0	0	0	564	183	Sisma Y SLV	0	1.2	0	0	0	0
565	183	Eccentricità Y per sisma X SLV	0	0	0	0	0	-20.1	566	183	Eccentricità X per sisma Y SLV	0	0	0	0	0	24.1
567	183	Sisma X SLO	1	0	0	0	0	0	568	183	Sisma Y SLO	0	1	0	0	0	0
569	183	Eccentricità Y per sisma X SLO	0	0	0	0	0	-17.3	570	183	Eccentricità X per sisma Y SLO	0	0	0	0	0	20.8
571	184	Sisma X SLV	0.7	0	0	0	0	0	572	184	Sisma Y SLV	0	0.7	0	0	0	0
573	184	Eccentricità Y per sisma X SLV	0	0	0	0	0	-11.8	574	184	Eccentricità X per sisma Y SLV	0	0	0	0	0	14.2
575	184	Sisma X SLO	0.6	0	0	0	0	0	576	184	Sisma Y SLO	0	0.6	0	0	0	0
577	184	Eccentricità Y per sisma X SLO	0	0	0	0	0	-10.2	578	184	Eccentricità X per sisma Y SLO	0	0	0	0	0	12.2
579	185	Sisma X SLV	0.6	0	0	0	0	0	580	185	Sisma Y SLV	0	0.6	0	0	0	0
581	185	Eccentricità Y per sisma X SLV	0	0	0	0	0	-9.7	582	185	Eccentricità X per sisma Y SLV	0	0	0	0	0	11.6
583	185	Sisma X SLO	0.5	0	0	0	0	0	584	185	Sisma Y SLO	0	0.5	0	0	0	0

Indice	Nodo	Condizione	Fx	Fy	Fz	Mx	My	Mz	Indice	Nodo	Condizione	Fx	Fy	Fz	Mx	My	Mz
585	185	Eccentricità Y per sisma X SLO	0	0	0	0	0	-8.3	586	185	Eccentricità X per sisma Y SLO	0	0	0	0	0	10
587	186	Sisma X SLV	1.2	0	0	0	0	0	588	186	Sisma Y SLV	0	1.2	0	0	0	0
589	186	Eccentricità Y per sisma X SLV	0	0	0	0	0	-19.6	590	186	Eccentricità X per sisma Y SLV	0	0	0	0	0	23.5
591	186	Sisma X SLO	1	0	0	0	0	0	592	186	Sisma Y SLO	0	1	0	0	0	0
593	186	Eccentricità Y per sisma X SLO	0	0	0	0	0	-16.9	594	186	Eccentricità X per sisma Y SLO	0	0	0	0	0	20.2
595	187	Sisma X SLV	0.8	0	0	0	0	0	596	187	Sisma Y SLV	0	0.8	0	0	0	0
597	187	Eccentricità Y per sisma X SLV	0	0	0	0	0	-12.5	598	187	Eccentricità X per sisma Y SLV	0	0	0	0	0	15
599	187	Sisma X SLO	0.7	0	0	0	0	0	600	187	Sisma Y SLO	0	0.7	0	0	0	0
601	187	Eccentricità Y per sisma X SLO	0	0	0	0	0	-10.8	602	187	Eccentricità X per sisma Y SLO	0	0	0	0	0	12.9
603	188	Sisma X SLV	1.5	0	0	0	0	0	604	188	Sisma Y SLV	0	1.5	0	0	0	0
605	188	Eccentricità Y per sisma X SLV	0	0	0	0	0	-25.2	606	188	Eccentricità X per sisma Y SLV	0	0	0	0	0	30.2
607	188	Sisma X SLO	1.3	0	0	0	0	0	608	188	Sisma Y SLO	0	1.3	0	0	0	0
609	188	Eccentricità Y per sisma X SLO	0	0	0	0	0	-21.7	610	188	Eccentricità X per sisma Y SLO	0	0	0	0	0	26
611	189	Sisma X SLV	1.5	0	0	0	0	0	612	189	Sisma Y SLV	0	1.5	0	0	0	0
613	189	Eccentricità Y per sisma X SLV	0	0	0	0	0	-25.2	614	189	Eccentricità X per sisma Y SLV	0	0	0	0	0	30.2
615	189	Sisma X SLO	1.3	0	0	0	0	0	616	189	Sisma Y SLO	0	1.3	0	0	0	0
617	189	Eccentricità Y per sisma X SLO	0	0	0	0	0	-21.7	618	189	Eccentricità X per sisma Y SLO	0	0	0	0	0	26
619	190	Sisma X SLV	1.6	0	0	0	0	0	620	190	Sisma Y SLV	0	1.6	0	0	0	0
621	190	Eccentricità Y per sisma X SLV	0	0	0	0	0	-26.5	622	190	Eccentricità X per sisma Y SLV	0	0	0	0	0	31.8
623	190	Sisma X SLO	1.4	0	0	0	0	0	624	190	Sisma Y SLO	0	1.4	0	0	0	0
625	190	Eccentricità Y per sisma X SLO	0	0	0	0	0	-22.8	626	190	Eccentricità X per sisma Y SLO	0	0	0	0	0	27.4
627	191	Sisma X SLV	1.7	0	0	0	0	0	628	191	Sisma Y SLV	0	1.7	0	0	0	0
629	191	Eccentricità Y per sisma X SLV	0	0	0	0	0	-27.6	630	191	Eccentricità X per sisma Y SLV	0	0	0	0	0	33.1
631	191	Sisma X SLO	1.4	0	0	0	0	0	632	191	Sisma Y SLO	0	1.4	0	0	0	0
633	191	Eccentricità Y per sisma X SLO	0	0	0	0	0	-23.8	634	191	Eccentricità X per sisma Y SLO	0	0	0	0	0	28.5
635	192	Sisma X SLV	1.7	0	0	0	0	0	636	192	Sisma Y SLV	0	1.7	0	0	0	0
637	192	Eccentricità Y per sisma X SLV	0	0	0	0	0	-27.7	638	192	Eccentricità X per sisma Y SLV	0	0	0	0	0	33.2
639	192	Sisma X SLO	1.4	0	0	0	0	0	640	192	Sisma Y SLO	0	1.4	0	0	0	0
641	192	Eccentricità Y per sisma X SLO	0	0	0	0	0	-23.9	642	192	Eccentricità X per sisma Y SLO	0	0	0	0	0	28.6
643	193	Sisma X SLV	0.8	0	0	0	0	0	644	193	Sisma Y SLV	0	0.8	0	0	0	0
645	193	Eccentricità Y per sisma X SLV	0	0	0	0	0	-13.8	646	193	Eccentricità X per sisma Y SLV	0	0	0	0	0	16.6
647	193	Sisma X SLO	0.7	0	0	0	0	0	648	193	Sisma Y SLO	0	0.7	0	0	0	0
649	193	Eccentricità Y per sisma X SLO	0	0	0	0	0	-11.9	650	193	Eccentricità X per sisma Y SLO	0	0	0	0	0	14.3
651	194	Sisma X SLV	0.6	0	0	0	0	0	652	194	Sisma Y SLV	0	0.6	0	0	0	0
653	194	Eccentricità Y per sisma X SLV	0	0	0	0	0	-9.2	654	194	Eccentricità X per sisma Y SLV	0	0	0	0	0	11.1
655	194	Sisma X SLO	0.5	0	0	0	0	0	656	194	Sisma Y SLO	0	0.5	0	0	0	0
657	194	Eccentricità Y per sisma X SLO	0	0	0	0	0	-8	658	194	Eccentricità X per sisma Y SLO	0	0	0	0	0	9.5
659	195	Sisma X SLV	0.6	0	0	0	0	0	660	195	Sisma Y SLV	0	0.6	0	0	0	0
661	195	Eccentricità Y per sisma X SLV	0	0	0	0	0	-9.3	662	195	Eccentricità X per sisma Y SLV	0	0	0	0	0	11.1
663	195	Sisma X SLO	0.5	0	0	0	0	0	664	195	Sisma Y SLO	0	0.5	0	0	0	0
665	195	Eccentricità Y per sisma X SLO	0	0	0	0	0	-8	666	195	Eccentricità X per sisma Y SLO	0	0	0	0	0	9.6
667	196	Sisma X SLV	0.6	0	0	0	0	0	668	196	Sisma Y SLV	0	0.6	0	0	0	0
669	196	Eccentricità Y per sisma X SLV	0	0	0	0	0	-10.1	670	196	Eccentricità X per sisma Y SLV	0	0	0	0	0	12.1
671	196	Sisma X SLO	0.5	0	0	0	0	0	672	196	Sisma Y SLO	0	0.5	0	0	0	0
673	196	Eccentricità Y per sisma X SLO	0	0	0	0	0	-8.7	674	196	Eccentricità X per sisma Y SLO	0	0	0	0	0	10.4
675	197	Sisma X SLV	0.6	0	0	0	0	0	676	197	Sisma Y SLV	0	0.6	0	0	0	0
677	197	Eccentricità Y per sisma X SLV	0	0	0	0	0	-10	678	197	Eccentricità X per sisma Y SLV	0	0	0	0	0	12
679	197	Sisma X SLO	0.5	0	0	0	0	0	680	197	Sisma Y SLO	0	0.5	0	0	0	0
681	197	Eccentricità Y per sisma X SLO	0	0	0	0	0	-8.7	682	197	Eccentricità X per sisma Y SLO	0	0	0	0	0	10.4
683	198	Sisma X SLV	0.3	0	0	0	0	0	684	198	Sisma Y SLV	0	0.3	0	0	0	0
685	198	Eccentricità Y per sisma X SLV	0	0	0	0	0	-4.8	686	198	Eccentricità X per sisma Y SLV	0	0	0	0	0	5.7
687	198	Sisma X SLO	0.3	0	0	0	0	0	688	198	Sisma Y SLO	0	0.3	0	0	0	0
689	198	Eccentricità Y per sisma X SLO	0	0	0	0	0	-4.1	690	198	Eccentricità X per sisma Y SLO	0	0	0	0	0	4.9
691	199	Sisma X SLV	0.8	0	0	0	0	0	692	199	Sisma Y SLV	0	0.8	0	0	0	0
693	199	Sisma X SLO	0.6	0	0	0	0	0	694	199	Sisma Y SLO	0	0.6	0	0	0	0
695	200	Sisma X SLV	1.5	0	0	0	0	0	696	200	Sisma Y SLV	0	1.5	0	0	0	0
697	200	Sisma X SLO	1.3	0	0	0	0	0	698	200	Sisma Y SLO	0	1.3	0	0	0	0
699	201	Sisma X SLV	1.7	0	0	0	0	0	700	201	Sisma Y SLV	0	1.7	0	0	0	0
701	201	Sisma X SLO	1.5	0	0	0	0	0	702	201	Sisma Y SLO	0	1.5	0	0	0	0
703	202	Sisma X SLV	1.7	0	0	0	0	0	704	202	Sisma Y SLV	0	1.7	0	0	0	0
705	202	Sisma X SLO	1.5	0	0	0	0	0	706	202	Sisma Y SLO	0	1.5	0	0	0	0
707	203	Sisma X SLV	1.8	0	0	0	0	0	708	203	Sisma Y SLV	0	1.8	0	0	0	0
709	203	Sisma X SLO	1.5	0	0	0	0	0	710	203	Sisma Y SLO	0	1.5	0	0	0	0
711	204	Sisma X SLV	0.9	0	0	0	0	0	712	204	Sisma Y SLV	0	0.9	0	0	0	0
713	204	Sisma X SLO	0.7	0	0	0	0	0	714	204	Sisma Y SLO	0	0.7	0	0	0	0
715	205	Sisma X SLV	6.5	0	0	0	0	0	716	205	Sisma Y SLV	0	6.5	0	0	0	0
717	205	Sisma X SLO	5.6	0	0	0	0	0	718	205	Sisma Y SLO	0	5.6	0	0	0	0
719	206	Sisma X SLV	12.9	0	0	0	0	0	720	206	Sisma Y SLV	0	12.9	0	0	0	0
721	206	Sisma X SLO	11.1	0	0	0	0	0	722	206	Sisma Y SLO	0	11.1	0	0	0	0
723	207	Sisma X SLV	12.9	0	0	0	0	0	724	207	Sisma Y SLV	0	12.9	0	0	0	0
725	207	Sisma X SLO	11.1	0	0	0	0	0	726	207	Sisma Y SLO	0	11.1	0	0	0	0
727	208	Sisma X SLV	12.9	0	0	0	0	0	728	208	Sisma Y SLV	0	12.9	0	0	0	0
729	208	Sisma X SLO	11.1	0	0	0	0	0	730	208	Sisma Y SLO	0	11.1	0	0	0	0
731	209	Sisma X SLV	6.5	0	0	0	0	0	732	209	Sisma Y SLV	0	6.5	0	0	0	0
733	209	Sisma X SLO	5.6	0	0	0	0	0	734	209	Sisma Y SLO	0	5.6	0	0	0	0
735	210	Sisma X SLV	8.9	0	0	0	0	0	736	210	Sisma Y SLV	0	8.9	0	0	0	0
737	210	Sisma X SLO	7.7	0	0	0	0	0	738	210	Sisma Y SLO	0	7.7	0	0	0	0
739	211	Sisma X SLV	5.8	0	0	0	0	0	740	211	Sisma Y SLV	0	5.8	0	0	0	0
741	211	Sisma X SLO	5	0	0	0	0	0	742	211	Sisma Y SLO	0	5	0	0	0	0
743	212	Sisma X SLV	11.6	0	0	0	0	0	744	212	Sisma Y SLV	0	11.6	0	0	0	0
745	212	Sisma X SLO	10	0	0	0	0	0	746	212	Sisma Y SLO	0	10	0	0	0	0
747	213	Sisma X SLV	11.6	0	0	0	0	0	748	213	Sisma Y SLV	0	11.6	0	0	0	0
749	213	Sisma X SLO	10	0	0	0	0	0	750	213	Sisma Y SLO	0	10	0	0	0	0
751	214	Sisma X SLV	11.9	0	0	0	0	0	752	214	Sisma Y SLV	0	11.9	0	0	0	0
753	214	Sisma X SLO	10.3	0	0	0	0	0	754	214	Sisma Y SLO	0	10.3	0	0	0	0
755	215	Sisma X SLV	12.4	0	0	0	0	0	756	215	Sisma Y SLV	0	12.4	0	0	0	0
757	215	Sisma X SLO	10.6	0	0	0	0	0	758	215	Sisma Y SLO	0	10.6	0	0	0	0
759	216	Sisma X SLV	12.4	0	0	0	0	0	760	216	Sisma Y SLV	0	12.4	0	0	0	0
761	216	Sisma X SLO	10.7	0	0	0	0	0	762	216	Sisma Y SLO	0	10.7	0	0	0	0
763	217	Sisma X SLV	6.2	0	0	0	0	0	764	217	Sisma Y SLV	0	6.2	0	0	0	0
765	217	Sisma X SLO															

Indice	Nodo	Condizione	Fx	Fy	Fz	Mx	My	Mz	Indice	Nodo	Condizione	Fx	Fy	Fz	Mx	My	Mz
775	220	Sisma X SLV	6.1	0	0	0	0	0	776	220	Sisma Y SLV	0	6.1	0	0	0	0
777	220	Sisma X SLO	5.3	0	0	0	0	0	778	220	Sisma Y SLO	0	5.3	0	0	0	0
779	221	Sisma X SLV	6.2	0	0	0	0	0	780	221	Sisma Y SLV	0	6.2	0	0	0	0
781	221	Sisma X SLO	5.4	0	0	0	0	0	782	221	Sisma Y SLO	0	5.4	0	0	0	0
783	222	Sisma X SLV	6.3	0	0	0	0	0	784	222	Sisma Y SLV	0	6.3	0	0	0	0
785	222	Sisma X SLO	5.4	0	0	0	0	0	786	222	Sisma Y SLO	0	5.4	0	0	0	0
787	223	Sisma X SLV	3.1	0	0	0	0	0	788	223	Sisma Y SLV	0	3.1	0	0	0	0
789	223	Sisma X SLO	2.7	0	0	0	0	0	790	223	Sisma Y SLO	0	2.7	0	0	0	0
791	224	Sisma X SLV	2.6	0	0	0	0	0	792	224	Sisma Y SLV	0	2.6	0	0	0	0
793	224	Eccentricità Y per sisma X SLV	0	0	0	0	0	-38	794	224	Eccentricità X per sisma Y SLV	0	0	0	0	0	19.7
795	224	Sisma X SLO	2.3	0	0	0	0	0	796	224	Sisma Y SLO	0	2.3	0	0	0	0
797	224	Eccentricità Y per sisma X SLO	0	0	0	0	0	-32.7	798	224	Eccentricità X per sisma Y SLO	0	0	0	0	0	16.9
799	225	Sisma X SLV	4.7	0	0	0	0	0	800	225	Sisma Y SLV	0	4.7	0	0	0	0
801	225	Eccentricità Y per sisma X SLV	0	0	0	0	0	-68.5	802	225	Eccentricità X per sisma Y SLV	0	0	0	0	0	35.4
803	225	Sisma X SLO	4.1	0	0	0	0	0	804	225	Sisma Y SLO	0	4.1	0	0	0	0
805	225	Eccentricità Y per sisma X SLO	0	0	0	0	0	-59	806	225	Eccentricità X per sisma Y SLO	0	0	0	0	0	30.5
807	226	Sisma X SLV	9.1	0	0	0	0	0	808	226	Sisma Y SLV	0	9.1	0	0	0	0
809	226	Eccentricità Y per sisma X SLV	0	0	0	0	0	-1.3E2	810	226	Eccentricità X per sisma Y SLV	0	0	0	0	0	68.3
811	226	Sisma X SLO	7.8	0	0	0	0	0	812	226	Sisma Y SLO	0	7.8	0	0	0	0
813	226	Eccentricità Y per sisma X SLO	0	0	0	0	0	-1.1E2	814	226	Eccentricità X per sisma Y SLO	0	0	0	0	0	58.8
815	227	Sisma X SLV	4.5	0	0	0	0	0	816	227	Sisma Y SLV	0	4.5	0	0	0	0
817	227	Eccentricità Y per sisma X SLV	0	0	0	0	0	-64.7	818	227	Eccentricità X per sisma Y SLV	0	0	0	0	0	33.5
819	227	Sisma X SLO	3.8	0	0	0	0	0	820	227	Sisma Y SLO	0	3.8	0	0	0	0
821	227	Eccentricità Y per sisma X SLO	0	0	0	0	0	-55.7	822	227	Eccentricità X per sisma Y SLO	0	0	0	0	0	28.8
823	228	Sisma X SLV	39	0	0	0	0	0	824	228	Sisma Y SLV	0	39	0	0	0	0
825	228	Eccentricità Y per sisma X SLV	0	0	0	0	0	-5.6E2	826	228	Eccentricità X per sisma Y SLV	0	0	0	0	0	292.2
827	228	Sisma X SLO	33.5	0	0	0	0	0	828	228	Sisma Y SLO	0	33.5	0	0	0	0
829	228	Eccentricità Y per sisma X SLO	0	0	0	0	0	-4.9E2	830	228	Eccentricità X per sisma Y SLO	0	0	0	0	0	251.6
831	229	Sisma X SLV	5.2	0	0	0	0	0	832	229	Sisma Y SLV	0	5.2	0	0	0	0
833	229	Eccentricità Y per sisma X SLV	0	0	0	0	0	-75.2	834	229	Eccentricità X per sisma Y SLV	0	0	0	0	0	38.9
835	229	Sisma X SLO	4.5	0	0	0	0	0	836	229	Sisma Y SLO	0	4.5	0	0	0	0
837	229	Eccentricità Y per sisma X SLO	0	0	0	0	0	-64.8	838	229	Eccentricità X per sisma Y SLO	0	0	0	0	0	33.5
839	230	Sisma X SLV	8.9	0	0	0	0	0	840	230	Sisma Y SLV	0	8.9	0	0	0	0
841	230	Eccentricità Y per sisma X SLV	0	0	0	0	0	-1.3E2	842	230	Eccentricità X per sisma Y SLV	0	0	0	0	0	66.7
843	230	Sisma X SLO	7.7	0	0	0	0	0	844	230	Sisma Y SLO	0	7.7	0	0	0	0
845	230	Eccentricità Y per sisma X SLO	0	0	0	0	0	-111	846	230	Eccentricità X per sisma Y SLO	0	0	0	0	0	57.4
847	231	Sisma X SLV	17.8	0	0	0	0	0	848	231	Sisma Y SLV	0	17.8	0	0	0	0
849	231	Eccentricità Y per sisma X SLV	0	0	0	0	0	-2.6E2	850	231	Eccentricità X per sisma Y SLV	0	0	0	0	0	133.7
851	231	Sisma X SLO	15.3	0	0	0	0	0	852	231	Sisma Y SLO	0	15.3	0	0	0	0
853	231	Eccentricità Y per sisma X SLO	0	0	0	0	0	-2.2E2	854	231	Eccentricità X per sisma Y SLO	0	0	0	0	0	115.1
855	232	Sisma X SLV	146.2	0	0	0	0	0	856	232	Sisma Y SLV	0	146.2	0	0	0	0
857	232	Eccentricità Y per sisma X SLV	0	0	0	0	0	-2.1E3	858	232	Eccentricità X per sisma Y SLV	0	0	0	0	0	1.1E3
859	232	Sisma X SLO	125.9	0	0	0	0	0	860	232	Sisma Y SLO	0	125.9	0	0	0	0
861	232	Eccentricità Y per sisma X SLO	0	0	0	0	0	-1.8E3	862	232	Eccentricità X per sisma Y SLO	0	0	0	0	0	944.1
863	233	Sisma X SLV	8.9	0	0	0	0	0	864	233	Sisma Y SLV	0	8.9	0	0	0	0
865	233	Eccentricità Y per sisma X SLV	0	0	0	0	0	-1.3E2	866	233	Eccentricità X per sisma Y SLV	0	0	0	0	0	66.9
867	233	Sisma X SLO	7.7	0	0	0	0	0	868	233	Sisma Y SLO	0	7.7	0	0	0	0
869	233	Eccentricità Y per sisma X SLO	0	0	0	0	0	-1.1E2	870	233	Eccentricità X per sisma Y SLO	0	0	0	0	0	57.6
871	234	Sisma X SLV	5.3	0	0	0	0	0	872	234	Sisma Y SLV	0	5.3	0	0	0	0
873	234	Eccentricità Y per sisma X SLV	0	0	0	0	0	-76.4	874	234	Eccentricità X per sisma Y SLV	0	0	0	0	0	39.5
875	234	Sisma X SLO	4.5	0	0	0	0	0	876	234	Sisma Y SLO	0	4.5	0	0	0	0
877	234	Eccentricità Y per sisma X SLO	0	0	0	0	0	-65.8	878	234	Eccentricità X per sisma Y SLO	0	0	0	0	0	34
879	235	Sisma X SLV	8.8	0	0	0	0	0	880	235	Sisma Y SLV	0	8.8	0	0	0	0
881	235	Eccentricità Y per sisma X SLV	0	0	0	0	0	-1.3E2	882	235	Eccentricità X per sisma Y SLV	0	0	0	0	0	66.3
883	235	Sisma X SLO	7.6	0	0	0	0	0	884	235	Sisma Y SLO	0	7.6	0	0	0	0
885	235	Eccentricità Y per sisma X SLO	0	0	0	0	0	-1.1E2	886	235	Eccentricità X per sisma Y SLO	0	0	0	0	0	57.1
887	236	Sisma X SLV	17.4	0	0	0	0	0	888	236	Sisma Y SLV	0	17.4	0	0	0	0
889	236	Eccentricità Y per sisma X SLV	0	0	0	0	0	-253	890	236	Eccentricità X per sisma Y SLV	0	0	0	0	0	130.9
891	236	Sisma X SLO	15	0	0	0	0	0	892	236	Sisma Y SLO	0	15	0	0	0	0
893	236	Eccentricità Y per sisma X SLO	0	0	0	0	0	-2.2E2	894	236	Eccentricità X per sisma Y SLO	0	0	0	0	0	112.7
895	237	Sisma X SLV	8.5	0	0	0	0	0	896	237	Sisma Y SLV	0	8.5	0	0	0	0
897	237	Eccentricità Y per sisma X SLV	0	0	0	0	0	-1.2E2	898	237	Eccentricità X per sisma Y SLV	0	0	0	0	0	64.1
899	237	Sisma X SLO	7.4	0	0	0	0	0	900	237	Sisma Y SLO	0	7.4	0	0	0	0
901	237	Eccentricità Y per sisma X SLO	0	0	0	0	0	-1.1E2	902	237	Eccentricità X per sisma Y SLO	0	0	0	0	0	55.2
903	239	Sisma X SLV	11.4	0	0	0	0	0	904	239	Sisma Y SLV	0	11.4	0	0	0	0
905	239	Eccentricità Y per sisma X SLV	0	0	0	0	0	-1.7E2	906	239	Eccentricità X per sisma Y SLV	0	0	0	0	0	85.8
907	239	Sisma X SLO	9.9	0	0	0	0	0	908	239	Sisma Y SLO	0	9.9	0	0	0	0
909	239	Eccentricità Y per sisma X SLO	0	0	0	0	0	-1.4E2	910	239	Eccentricità X per sisma Y SLO	0	0	0	0	0	73.9
911	240	Sisma X SLV	22.9	0	0	0	0	0	912	240	Sisma Y SLV	0	22.9	0	0	0	0
913	240	Eccentricità Y per sisma X SLV	0	0	0	0	0	-3.3E2	914	240	Eccentricità X per sisma Y SLV	0	0	0	0	0	171.6
915	240	Sisma X SLO	19.7	0	0	0	0	0	916	240	Sisma Y SLO	0	19.7	0	0	0	0
917	240	Eccentricità Y per sisma X SLO	0	0	0	0	0	-2.9E2	918	240	Eccentricità X per sisma Y SLO	0	0	0	0	0	147.8
919	241	Sisma X SLV	22.9	0	0	0	0	0	920	241	Sisma Y SLV	0	22.9	0	0	0	0
921	241	Eccentricità Y per sisma X SLV	0	0	0	0	0	-3.3E2	922	241	Eccentricità X per sisma Y SLV	0	0	0	0	0	171.6
923	241	Sisma X SLO	19.7	0	0	0	0	0	924	241	Sisma Y SLO	0	19.7	0	0	0	0
925	241	Eccentricità Y per sisma X SLO	0	0	0	0	0	-2.9E2	926	241	Eccentricità X per sisma Y SLO	0	0	0	0	0	147.8
927	242	Sisma X SLV	22.9	0	0	0	0	0	928	242	Sisma Y SLV	0	22.9	0	0	0	0
929	242	Eccentricità Y per sisma X SLV	0	0	0	0	0	-3.3E2	930	242	Eccentricità X per sisma Y SLV	0	0	0	0	0	171.6
931	242	Sisma X SLO	19.7	0	0	0	0	0	932	242	Sisma Y SLO	0	19.7	0	0	0	0
933	242	Eccentricità Y per sisma X SLO	0	0	0	0	0	-2.9E2	934	242	Eccentricità X per sisma Y SLO	0	0	0	0	0	147.8
935	243	Sisma X SLV	11.4	0	0	0	0	0	936	243	Sisma Y SLV	0	11.4	0	0	0	0
937	243	Eccentricità Y per sisma X SLV	0	0	0	0	0	-1.7E2	938	243	Eccentricità X per sisma Y SLV	0	0	0	0	0	85.8
939	243	Sisma X SLO	9.9	0	0	0	0	0	940	243	Sisma Y SLO	0	9.9	0	0	0	0
941	243	Eccentricità Y per sisma X SLO	0	0	0	0	0	-1.4E2	942	243	Eccentricità X per sisma Y SLO	0	0	0	0	0	73.9
943	244	Sisma X SLV	8.5	0	0	0	0	0	944	244	Sisma Y SLV	0	8.5	0	0	0	0

Indice	Nodo	Condizione	Fx	Fy	Fz	Mx	My	Mz	Indice	Nodo	Condizione	Fx	Fy	Fz	Mx	My	Mz
945	244	Eccentricità Y per sisma X SLV	0	0	0	0	0	-1.2E2	946	244	Eccentricità X per sisma Y SLV	0	0	0	0	0	64
947	244	Sisma X SLO	7.4	0	0	0	0	0	948	244	Sisma Y SLO	0	7.4	0	0	0	0
949	244	Eccentricità Y per sisma X SLO	0	0	0	0	0	-1.1E2	950	244	Eccentricità X per sisma Y SLO	0	0	0	0	0	55.1
951	245	Sisma X SLV	17.5	0	0	0	0	0	952	245	Sisma Y SLV	0	17.5	0	0	0	0
953	245	Eccentricità Y per sisma X SLV	0	0	0	0	0	-2.5E2	954	245	Eccentricità X per sisma Y SLV	0	0	0	0	0	130.9
955	245	Sisma X SLO	15	0	0	0	0	0	956	245	Sisma Y SLO	0	15	0	0	0	0
957	245	Eccentricità Y per sisma X SLO	0	0	0	0	0	-2.2E2	958	245	Eccentricità X per sisma Y SLO	0	0	0	0	0	112.7
959	246	Sisma X SLV	5.3	0	0	0	0	0	960	246	Sisma Y SLV	0	5.3	0	0	0	0
961	246	Eccentricità Y per sisma X SLV	0	0	0	0	0	-77.3	962	246	Eccentricità X per sisma Y SLV	0	0	0	0	0	40
963	246	Sisma X SLO	4.6	0	0	0	0	0	964	246	Sisma Y SLO	0	4.6	0	0	0	0
965	246	Eccentricità Y per sisma X SLO	0	0	0	0	0	-66.6	966	246	Eccentricità X per sisma Y SLO	0	0	0	0	0	34.4
967	247	Sisma X SLV	8.8	0	0	0	0	0	968	247	Sisma Y SLV	0	8.8	0	0	0	0
969	247	Eccentricità Y per sisma X SLV	0	0	0	0	0	-1.3E2	970	247	Eccentricità X per sisma Y SLV	0	0	0	0	0	66.3
971	247	Sisma X SLO	7.6	0	0	0	0	0	972	247	Sisma Y SLO	0	7.6	0	0	0	0
973	247	Eccentricità Y per sisma X SLO	0	0	0	0	0	-1.1E2	974	247	Eccentricità X per sisma Y SLO	0	0	0	0	0	57.1
975	248	Sisma X SLV	9	0	0	0	0	0	976	248	Sisma Y SLV	0	9	0	0	0	0
977	248	Eccentricità Y per sisma X SLV	0	0	0	0	0	-1.3E2	978	248	Eccentricità X per sisma Y SLV	0	0	0	0	0	67.6
979	248	Sisma X SLO	7.8	0	0	0	0	0	980	248	Sisma Y SLO	0	7.8	0	0	0	0
981	248	Eccentricità Y per sisma X SLO	0	0	0	0	0	-1.1E2	982	248	Eccentricità X per sisma Y SLO	0	0	0	0	0	58.2
983	249	Sisma X SLV	105.8	0	0	0	0	0	984	249	Sisma Y SLV	0	105.8	0	0	0	0
985	249	Eccentricità Y per sisma X SLV	0	0	0	0	0	-1.5E3	986	249	Eccentricità X per sisma Y SLV	0	0	0	0	0	793.6
987	249	Sisma X SLO	91.1	0	0	0	0	0	988	249	Sisma Y SLO	0	91.1	0	0	0	0
989	249	Eccentricità Y per sisma X SLO	0	0	0	0	0	-1321	990	249	Eccentricità X per sisma Y SLO	0	0	0	0	0	683.3
991	250	Sisma X SLV	17.9	0	0	0	0	0	992	250	Sisma Y SLV	0	17.9	0	0	0	0
993	250	Eccentricità Y per sisma X SLV	0	0	0	0	0	-259	994	250	Eccentricità X per sisma Y SLV	0	0	0	0	0	134
995	250	Sisma X SLO	15.4	0	0	0	0	0	996	250	Sisma Y SLO	0	15.4	0	0	0	0
997	250	Eccentricità Y per sisma X SLO	0	0	0	0	0	-223	998	250	Eccentricità X per sisma Y SLO	0	0	0	0	0	115.4
999	251	Sisma X SLV	5.4	0	0	0	0	0	1000	251	Sisma Y SLV	0	5.4	0	0	0	0
1001	251	Eccentricità Y per sisma X SLV	0	0	0	0	0	-77.8	1002	251	Eccentricità X per sisma Y SLV	0	0	0	0	0	40.2
1003	251	Sisma X SLO	4.6	0	0	0	0	0	1004	251	Sisma Y SLO	0	4.6	0	0	0	0
1005	251	Eccentricità Y per sisma X SLO	0	0	0	0	0	-66.9	1006	251	Eccentricità X per sisma Y SLO	0	0	0	0	0	34.6
1007	252	Sisma X SLV	8.9	0	0	0	0	0	1008	252	Sisma Y SLV	0	8.9	0	0	0	0
1009	252	Eccentricità Y per sisma X SLV	0	0	0	0	0	-1.3E2	1010	252	Eccentricità X per sisma Y SLV	0	0	0	0	0	66.7
1011	252	Sisma X SLO	7.7	0	0	0	0	0	1012	252	Sisma Y SLO	0	7.7	0	0	0	0
1013	252	Eccentricità Y per sisma X SLO	0	0	0	0	0	-111	1014	252	Eccentricità X per sisma Y SLO	0	0	0	0	0	57.4
1015	253	Sisma X SLV	2.7	0	0	0	0	0	1016	253	Sisma Y SLV	0	2.7	0	0	0	0
1017	253	Eccentricità Y per sisma X SLV	0	0	0	0	0	-39.2	1018	253	Eccentricità X per sisma Y SLV	0	0	0	0	0	20.3
1019	253	Sisma X SLO	2.3	0	0	0	0	0	1020	253	Sisma Y SLO	0	2.3	0	0	0	0
1021	253	Eccentricità Y per sisma X SLO	0	0	0	0	0	-33.8	1022	253	Eccentricità X per sisma Y SLO	0	0	0	0	0	17.5
1023	254	Sisma X SLV	4.7	0	0	0	0	0	1024	254	Sisma Y SLV	0	4.7	0	0	0	0
1025	254	Eccentricità Y per sisma X SLV	0	0	0	0	0	-67.6	1026	254	Eccentricità X per sisma Y SLV	0	0	0	0	0	35
1027	254	Sisma X SLO	4	0	0	0	0	0	1028	254	Sisma Y SLO	0	4	0	0	0	0
1029	254	Eccentricità Y per sisma X SLO	0	0	0	0	0	-58.2	1030	254	Eccentricità X per sisma Y SLO	0	0	0	0	0	30.1
1031	255	Sisma X SLV	9.1	0	0	0	0	0	1032	255	Sisma Y SLV	0	9.1	0	0	0	0
1033	255	Eccentricità Y per sisma X SLV	0	0	0	0	0	-1.3E2	1034	255	Eccentricità X per sisma Y SLV	0	0	0	0	0	68.1
1035	255	Sisma X SLO	7.8	0	0	0	0	0	1036	255	Sisma Y SLO	0	7.8	0	0	0	0
1037	255	Eccentricità Y per sisma X SLO	0	0	0	0	0	-1.1E2	1038	255	Eccentricità X per sisma Y SLO	0	0	0	0	0	58.7
1039	256	Sisma X SLV	4.5	0	0	0	0	0	1040	256	Sisma Y SLV	0	4.5	0	0	0	0
1041	256	Eccentricità Y per sisma X SLV	0	0	0	0	0	-64.7	1042	256	Eccentricità X per sisma Y SLV	0	0	0	0	0	33.5
1043	256	Sisma X SLO	3.8	0	0	0	0	0	1044	256	Sisma Y SLO	0	3.8	0	0	0	0
1045	256	Eccentricità Y per sisma X SLO	0	0	0	0	0	-55.7	1046	256	Eccentricità X per sisma Y SLO	0	0	0	0	0	28.8
1047	257	Sisma X SLV	15.7	0	0	0	0	0	1048	257	Sisma Y SLV	0	15.7	0	0	0	0
1049	257	Eccentricità Y per sisma X SLV	0	0	0	0	0	-2.3E2	1050	257	Eccentricità X per sisma Y SLV	0	0	0	0	0	118
1051	257	Sisma X SLO	13.5	0	0	0	0	0	1052	257	Sisma Y SLO	0	13.5	0	0	0	0
1053	257	Eccentricità Y per sisma X SLO	0	0	0	0	0	-2.0E2	1054	257	Eccentricità X per sisma Y SLO	0	0	0	0	0	101.6
1055	258	Sisma X SLV	10.6	0	0	0	0	0	1056	258	Sisma Y SLV	0	10.6	0	0	0	0
1057	258	Eccentricità Y per sisma X SLV	0	0	0	0	0	-1.5E2	1058	258	Eccentricità X per sisma Y SLV	0	0	0	0	0	79.5
1059	258	Sisma X SLO	9.1	0	0	0	0	0	1060	258	Sisma Y SLO	0	9.1	0	0	0	0
1061	258	Eccentricità Y per sisma X SLO	0	0	0	0	0	-1.3E2	1062	258	Eccentricità X per sisma Y SLO	0	0	0	0	0	68.4
1063	259	Sisma X SLV	21	0	0	0	0	0	1064	259	Sisma Y SLV	0	21	0	0	0	0
1065	259	Eccentricità Y per sisma X SLV	0	0	0	0	0	-3.1E2	1066	259	Eccentricità X per sisma Y SLV	0	0	0	0	0	157.8
1067	259	Sisma X SLO	18.1	0	0	0	0	0	1068	259	Sisma Y SLO	0	18.1	0	0	0	0
1069	259	Eccentricità Y per sisma X SLO	0	0	0	0	0	-2.6E2	1070	259	Eccentricità X per sisma Y SLO	0	0	0	0	0	135.9
1071	260	Sisma X SLV	21	0	0	0	0	0	1072	260	Sisma Y SLV	0	21	0	0	0	0
1073	260	Eccentricità Y per sisma X SLV	0	0	0	0	0	-305	1074	260	Eccentricità X per sisma Y SLV	0	0	0	0	0	157.8
1075	260	Sisma X SLO	18.1	0	0	0	0	0	1076	260	Sisma Y SLO	0	18.1	0	0	0	0
1077	260	Eccentricità Y per sisma X SLO	0	0	0	0	0	-2.6E2	1078	260	Eccentricità X per sisma Y SLO	0	0	0	0	0	135.8
1079	261	Sisma X SLV	21.1	0	0	0	0	0	1080	261	Sisma Y SLV	0	21.1	0	0	0	0
1081	261	Eccentricità Y per sisma X SLV	0	0	0	0	0	-3.1E2	1082	261	Eccentricità X per sisma Y SLV	0	0	0	0	0	158.4
1083	261	Sisma X SLO	18.2	0	0	0	0	0	1084	261	Sisma Y SLO	0	18.2	0	0	0	0
1085	261	Eccentricità Y per sisma X SLO	0	0	0	0	0	-2.6E2	1086	261	Eccentricità X per sisma Y SLO	0	0	0	0	0	136.4
1087	262	Sisma X SLV	21.3	0	0	0	0	0	1088	262	Sisma Y SLV	0	21.3	0	0	0	0
1089	262	Eccentricità Y per sisma X SLV	0	0	0	0	0	-3.1E2	1090	262	Eccentricità X per sisma Y SLV	0	0	0	0	0	159.9
1091	262	Sisma X SLO	18.4	0	0	0	0	0	1092	262	Sisma Y SLO	0	18.4	0	0	0	0
1093	262	Eccentricità Y per sisma X SLO	0	0	0	0	0	-2.7E2	1094	262	Eccentricità X per sisma Y SLO	0	0	0	0	0	137.7
1095	263	Sisma X SLV	21.4	0	0	0	0	0	1096	263	Sisma Y SLV	0	21.4	0	0	0	0
1097	263	Eccentricità Y per sisma X SLV	0	0	0	0	0	-310	1098	263	Eccentricità X per sisma Y SLV	0	0	0	0	0	160.3
1099	263	Sisma X SLO	18.4	0	0	0	0	0	1100	263	Sisma Y SLO	0	18.4	0	0	0	0
1101	263	Eccentricità Y per sisma X SLO	0	0	0	0	0	-2.7E2	1102	263	Eccentricità X per sisma Y SLO	0	0	0	0	0	138
1103	264	Sisma X SLV	10.8	0	0	0	0	0	1104	264	Sisma Y SLV	0	10.8	0	0	0	0
1105	264	Eccentricità Y per sisma X SLV	0	0	0	0	0	-156	1106	264	Eccentricità X per sisma Y SLV	0	0	0	0	0	80.7
1107	264	Sisma X SLO	9.3	0	0	0	0	0	1108	264	Sisma Y SLO	0	9.3	0	0	0	0

Indice	Nodo	Condizione	Fx	Fy	Fz	Mx	My	Mz	Indice	Nodo	Condizione	Fx	Fy	Fz	Mx	My	Mz
1109	264	Eccentricità Y per sisma X SLO	0	0	0	0	0	-1,3E2	1110	264	Eccentricità X per sisma Y SLO	0	0	0	0	0	69,5
1111	265	Sisma X SLV	15,5	0	0	0	0	0	1112	265	Sisma Y SLV	0	15,5	0	0	0	0
1113	265	Sisma X SLO	13,3	0	0	0	0	0	1114	265	Sisma Y SLO	0	13,3	0	0	0	0
1115	266	Sisma X SLV	30,9	0	0	0	0	0	1116	266	Sisma Y SLV	0	30,9	0	0	0	0
1117	266	Sisma X SLO	26,6	0	0	0	0	0	1118	266	Sisma Y SLO	0	26,6	0	0	0	0
1119	267	Sisma X SLV	30,9	0	0	0	0	0	1120	267	Sisma Y SLV	0	30,9	0	0	0	0
1121	267	Sisma X SLO	26,6	0	0	0	0	0	1122	267	Sisma Y SLO	0	26,6	0	0	0	0
1123	268	Sisma X SLV	30,9	0	0	0	0	0	1124	268	Sisma Y SLV	0	30,9	0	0	0	0
1125	268	Sisma X SLO	26,6	0	0	0	0	0	1126	268	Sisma Y SLO	0	26,6	0	0	0	0
1127	269	Sisma X SLV	15,5	0	0	0	0	0	1128	269	Sisma Y SLV	0	15,5	0	0	0	0
1129	269	Sisma X SLO	13,3	0	0	0	0	0	1130	269	Sisma Y SLO	0	13,3	0	0	0	0
1131	270	Sisma X SLV	21,3	0	0	0	0	0	1132	270	Sisma Y SLV	0	21,3	0	0	0	0
1133	270	Sisma X SLO	18,3	0	0	0	0	0	1134	270	Sisma Y SLO	0	18,3	0	0	0	0
1135	271	Sisma X SLV	14,7	0	0	0	0	0	1136	271	Sisma Y SLV	0	14,7	0	0	0	0
1137	271	Sisma X SLO	12,7	0	0	0	0	0	1138	271	Sisma Y SLO	0	12,7	0	0	0	0
1139	272	Sisma X SLV	29,2	0	0	0	0	0	1140	272	Sisma Y SLV	0	29,2	0	0	0	0
1141	272	Sisma X SLO	25,2	0	0	0	0	0	1142	272	Sisma Y SLO	0	25,2	0	0	0	0
1143	273	Sisma X SLV	28,7	0	0	0	0	0	1144	273	Sisma Y SLV	0	28,7	0	0	0	0
1145	273	Sisma X SLO	24,7	0	0	0	0	0	1146	273	Sisma Y SLO	0	24,7	0	0	0	0
1147	274	Sisma X SLV	28,5	0	0	0	0	0	1148	274	Sisma Y SLV	0	28,5	0	0	0	0
1149	274	Sisma X SLO	24,5	0	0	0	0	0	1150	274	Sisma Y SLO	0	24,5	0	0	0	0
1151	275	Sisma X SLV	28,4	0	0	0	0	0	1152	275	Sisma Y SLV	0	28,4	0	0	0	0
1153	275	Sisma X SLO	24,4	0	0	0	0	0	1154	275	Sisma Y SLO	0	24,4	0	0	0	0
1155	276	Sisma X SLV	28,3	0	0	0	0	0	1156	276	Sisma Y SLV	0	28,3	0	0	0	0
1157	276	Sisma X SLO	24,4	0	0	0	0	0	1158	276	Sisma Y SLO	0	24,4	0	0	0	0
1159	277	Sisma X SLV	14,2	0	0	0	0	0	1160	277	Sisma Y SLV	0	14,2	0	0	0	0
1161	277	Sisma X SLO	12,2	0	0	0	0	0	1162	277	Sisma Y SLO	0	12,2	0	0	0	0
1163	278	Sisma X SLV	20	0	0	0	0	0	1164	278	Sisma Y SLV	0	20	0	0	0	0
1165	278	Sisma X SLO	17,3	0	0	0	0	0	1166	278	Sisma Y SLO	0	17,3	0	0	0	0
1167	279	Sisma X SLV	40,1	0	0	0	0	0	1168	279	Sisma Y SLV	0	40,1	0	0	0	0
1169	279	Sisma X SLO	34,5	0	0	0	0	0	1170	279	Sisma Y SLO	0	34,5	0	0	0	0
1171	280	Sisma X SLV	40,1	0	0	0	0	0	1172	280	Sisma Y SLV	0	40,1	0	0	0	0
1173	280	Sisma X SLO	34,5	0	0	0	0	0	1174	280	Sisma Y SLO	0	34,5	0	0	0	0
1175	281	Sisma X SLV	40,1	0	0	0	0	0	1176	281	Sisma Y SLV	0	40,1	0	0	0	0
1177	281	Sisma X SLO	34,5	0	0	0	0	0	1178	281	Sisma Y SLO	0	34,5	0	0	0	0
1179	282	Sisma X SLV	20	0	0	0	0	0	1180	282	Sisma Y SLV	0	20	0	0	0	0
1181	282	Sisma X SLO	17,3	0	0	0	0	0	1182	282	Sisma Y SLO	0	17,3	0	0	0	0
1183	283	Sisma X SLV	27,6	0	0	0	0	0	1184	283	Sisma Y SLV	0	27,6	0	0	0	0
1185	283	Sisma X SLO	23,7	0	0	0	0	0	1186	283	Sisma Y SLO	0	23,7	0	0	0	0
1187	284	Sisma X SLV	20	0	0	0	0	0	1188	284	Sisma Y SLV	0	20	0	0	0	0
1189	284	Sisma X SLO	17,3	0	0	0	0	0	1190	284	Sisma Y SLO	0	17,3	0	0	0	0
1191	285	Sisma X SLV	38,8	0	0	0	0	0	1192	285	Sisma Y SLV	0	38,8	0	0	0	0
1193	285	Sisma X SLO	33,4	0	0	0	0	0	1194	285	Sisma Y SLO	0	33,4	0	0	0	0
1195	286	Sisma X SLV	36,9	0	0	0	0	0	1196	286	Sisma Y SLV	0	36,9	0	0	0	0
1197	286	Sisma X SLO	31,8	0	0	0	0	0	1198	286	Sisma Y SLO	0	31,8	0	0	0	0
1199	287	Sisma X SLV	36,5	0	0	0	0	0	1200	287	Sisma Y SLV	0	36,5	0	0	0	0
1201	287	Sisma X SLO	31,4	0	0	0	0	0	1202	287	Sisma Y SLO	0	31,4	0	0	0	0
1203	288	Sisma X SLV	36,3	0	0	0	0	0	1204	288	Sisma Y SLV	0	36,3	0	0	0	0
1205	288	Sisma X SLO	31,3	0	0	0	0	0	1206	288	Sisma Y SLO	0	31,3	0	0	0	0
1207	289	Sisma X SLV	36,2	0	0	0	0	0	1208	289	Sisma Y SLV	0	36,2	0	0	0	0
1209	289	Sisma X SLO	31,2	0	0	0	0	0	1210	289	Sisma Y SLO	0	31,2	0	0	0	0
1211	290	Sisma X SLV	18,1	0	0	0	0	0	1212	290	Sisma Y SLV	0	18,1	0	0	0	0
1213	290	Sisma X SLO	15,6	0	0	0	0	0	1214	290	Sisma Y SLO	0	15,6	0	0	0	0
1215	291	Sisma X SLV	39,8	0	0	0	0	0	1216	291	Sisma Y SLV	0	39,8	0	0	0	0
1217	291	Eccentricità Y per sisma X SLV	0	0	0	0	0	-6,6E2	1218	291	Eccentricità X per sisma Y SLV	0	0	0	0	0	532,2
1219	291	Sisma X SLO	34,3	0	0	0	0	0	1220	291	Sisma Y SLO	0	34,3	0	0	0	0
1221	291	Eccentricità Y per sisma X SLO	0	0	0	0	0	-5,7E2	1222	291	Eccentricità X per sisma Y SLO	0	0	0	0	0	458,2
1223	292	Sisma X SLV	15,5	0	0	0	0	0	1224	292	Sisma Y SLV	0	15,5	0	0	0	0
1225	292	Eccentricità Y per sisma X SLV	0	0	0	0	0	-2,6E2	1226	292	Eccentricità X per sisma Y SLV	0	0	0	0	0	207
1227	292	Sisma X SLO	13,3	0	0	0	0	0	1228	292	Sisma Y SLO	0	13,3	0	0	0	0
1229	292	Eccentricità Y per sisma X SLO	0	0	0	0	0	-2,2E2	1230	292	Eccentricità X per sisma Y SLO	0	0	0	0	0	178,3
1231	293	Sisma X SLV	12,6	0	0	0	0	0	1232	293	Sisma Y SLV	0	12,6	0	0	0	0
1233	293	Eccentricità Y per sisma X SLV	0	0	0	0	0	-2,1E2	1234	293	Eccentricità X per sisma Y SLV	0	0	0	0	0	168,7
1235	293	Sisma X SLO	10,9	0	0	0	0	0	1236	293	Sisma Y SLO	0	10,9	0	0	0	0
1237	293	Eccentricità Y per sisma X SLO	0	0	0	0	0	-1,8E2	1238	293	Eccentricità X per sisma Y SLO	0	0	0	0	0	145,2
1239	294	Sisma X SLV	54,2	0	0	0	0	0	1240	294	Sisma Y SLV	0	54,2	0	0	0	0
1241	294	Eccentricità Y per sisma X SLV	0	0	0	0	0	-8,9E2	1242	294	Eccentricità X per sisma Y SLV	0	0	0	0	0	724,5
1243	294	Sisma X SLO	46,6	0	0	0	0	0	1244	294	Sisma Y SLO	0	46,6	0	0	0	0
1245	294	Eccentricità Y per sisma X SLO	0	0	0	0	0	-7,7E2	1246	294	Eccentricità X per sisma Y SLO	0	0	0	0	0	623,8
1247	295	Sisma X SLV	17,8	0	0	0	0	0	1248	295	Sisma Y SLV	0	17,8	0	0	0	0
1249	295	Eccentricità Y per sisma X SLV	0	0	0	0	0	-2,9E2	1250	295	Eccentricità X per sisma Y SLV	0	0	0	0	0	237,6
1251	295	Sisma X SLO	15,3	0	0	0	0	0	1252	295	Sisma Y SLO	0	15,3	0	0	0	0
1253	295	Eccentricità Y per sisma X SLO	0	0	0	0	0	-2,5E2	1254	295	Eccentricità X per sisma Y SLO	0	0	0	0	0	204,6
1255	296	Sisma X SLV	7,4	0	0	0	0	0	1256	296	Sisma Y SLV	0	7,4	0	0	0	0
1257	296	Eccentricità Y per sisma X SLV	0	0	0	0	0	-1,2E2	1258	296	Eccentricità X per sisma Y SLV	0	0	0	0	0	98,8
1259	296	Sisma X SLO	6,4	0	0	0	0	0	1260	296	Sisma Y SLO	0	6,4	0	0	0	0
1261	296	Eccentricità Y per sisma X SLO	0	0	0	0	0	-105	1262	296	Eccentricità X per sisma Y SLO	0	0	0	0	0	85,1
1263	297	Sisma X SLV	75,5	0	0	0	0	0	1264	297	Sisma Y SLV	0	75,5	0	0	0	0
1265	297	Eccentricità Y per sisma X SLV	0	0	0	0	0	-1,2E3	1266	297	Eccentricità X per sisma Y SLV	0	0	0	0	0	1,0E3
1267	297	Sisma X SLO	65	0	0	0	0	0	1268	297	Sisma Y SLO	0	65	0	0	0	0
1269	297	Eccentricità Y per sisma X SLO	0	0	0	0	0	-1072	1270	297	Eccentricità X per sisma Y SLO	0	0	0	0	0	869
1271	298	Sisma X SLV	27,2	0	0	0	0	0	1272	298	Sisma Y SLV	0	27,2	0	0	0	0
1273	298	Eccentricità Y per sisma X SLV	0	0	0	0	0	-4,5E2	1274	298	Eccentricità X per sisma Y SLV	0	0	0	0	0	363,3
1275	298	Sisma X SLO	23,4	0	0	0	0	0	1276	298	Sisma Y SLO	0	23,4	0	0	0	0
1277	298	Eccentricità Y per sisma X SLO	0	0	0	0	0	-3,9E2	1278	298	Eccentricità X per sisma Y SLO	0	0	0	0	0	312,8
1279	299	Sisma X SLV	31,6	0	0	0	0	0	1280	299	Sisma Y SLV	0	31,6	0	0	0	0
1281	299	Eccentricità Y per sisma X SLV	0	0	0	0	0	-5,2E2	1282	299	Eccentricità X per sisma Y SLV	0	0	0	0	0	422,5
1283	299	Sisma X SLO	27,2	0	0	0	0	0	128								

Indice	Nodo	Condizione	Fx	Fy	Fz	Mx	My	Mz	Indice	Nodo	Condizione	Fx	Fy	Fz	Mx	My	Mz
1305	302	Eccentricità Y per sisma X SLV	0	0	0	0	0	-1315	1306	302	Eccentricità X per sisma Y SLV	0	0	0	0	0	1.1E3
1307	302	Sisma X SLO	68.6	0	0	0	0	0	1308	302	Sisma Y SLO	0	68.6	0	0	0	0
1309	302	Eccentricità Y per sisma X SLO	0	0	0	0	0	-1.1E3	1310	302	Eccentricità X per sisma Y SLO	0	0	0	0	0	917.8
1311	303	Sisma X SLV	37.5	0	0	0	0	0	1312	303	Sisma Y SLV	0	37.5	0	0	0	0
1313	303	Eccentricità Y per sisma X SLV	0	0	0	0	0	-618	1314	303	Eccentricità X per sisma Y SLV	0	0	0	0	0	501
1315	303	Sisma X SLO	32.3	0	0	0	0	0	1316	303	Sisma Y SLO	0	32.3	0	0	0	0
1317	303	Eccentricità Y per sisma X SLO	0	0	0	0	0	-5.3E2	1318	303	Eccentricità X per sisma Y SLO	0	0	0	0	0	431.4
1319	304	Sisma X SLV	33.1	0	0	0	0	0	1320	304	Sisma Y SLV	0	33.1	0	0	0	0
1321	304	Eccentricità Y per sisma X SLV	0	0	0	0	0	-5.5E2	1322	304	Eccentricità X per sisma Y SLV	0	0	0	0	0	442.4
1323	304	Sisma X SLO	28.5	0	0	0	0	0	1324	304	Sisma Y SLO	0	28.5	0	0	0	0
1325	304	Eccentricità Y per sisma X SLO	0	0	0	0	0	-4.7E2	1326	304	Eccentricità X per sisma Y SLO	0	0	0	0	0	380.9
1327	305	Sisma X SLV	33.9	0	0	0	0	0	1328	305	Sisma Y SLV	0	33.9	0	0	0	0
1329	305	Eccentricità Y per sisma X SLV	0	0	0	0	0	-5.6E2	1330	305	Eccentricità X per sisma Y SLV	0	0	0	0	0	453.6
1331	305	Sisma X SLO	29.2	0	0	0	0	0	1332	305	Sisma Y SLO	0	29.2	0	0	0	0
1333	305	Eccentricità Y per sisma X SLO	0	0	0	0	0	-4.8E2	1334	305	Eccentricità X per sisma Y SLO	0	0	0	0	0	390.6
1335	306	Sisma X SLV	80	0	0	0	0	0	1336	306	Sisma Y SLV	0	80	0	0	0	0
1337	306	Eccentricità Y per sisma X SLV	0	0	0	0	0	-1.3E3	1338	306	Eccentricità X per sisma Y SLV	0	0	0	0	0	1.1E3
1339	306	Sisma X SLO	68.9	0	0	0	0	0	1340	306	Sisma Y SLO	0	68.9	0	0	0	0
1341	306	Eccentricità Y per sisma X SLO	0	0	0	0	0	-1.1E3	1342	306	Eccentricità X per sisma Y SLO	0	0	0	0	0	921.2
1343	307	Sisma X SLV	192.8	0	0	0	0	0	1344	307	Sisma Y SLV	0	192.8	0	0	0	0
1345	307	Eccentricità Y per sisma X SLV	0	0	0	0	0	-3.2E3	1346	307	Eccentricità X per sisma Y SLV	0	0	0	0	0	2.6E3
1347	307	Sisma X SLO	166	0	0	0	0	0	1348	307	Sisma Y SLO	0	166	0	0	0	0
1349	307	Eccentricità Y per sisma X SLO	0	0	0	0	0	-2.7E3	1350	307	Eccentricità X per sisma Y SLO	0	0	0	0	0	2.2E3
1351	308	Sisma X SLV	143.4	0	0	0	0	0	1352	308	Sisma Y SLV	0	143.4	0	0	0	0
1353	308	Eccentricità Y per sisma X SLV	0	0	0	0	0	-2.4E3	1354	308	Eccentricità X per sisma Y SLV	0	0	0	0	0	1.9E3
1355	308	Sisma X SLO	123.4	0	0	0	0	0	1356	308	Sisma Y SLO	0	123.4	0	0	0	0
1357	308	Eccentricità Y per sisma X SLO	0	0	0	0	0	-2.0E3	1358	308	Eccentricità X per sisma Y SLO	0	0	0	0	0	1651
1359	309	Sisma X SLV	110.3	0	0	0	0	0	1360	309	Sisma Y SLV	0	110.3	0	0	0	0
1361	309	Eccentricità Y per sisma X SLV	0	0	0	0	0	-1.8E3	1362	309	Eccentricità X per sisma Y SLV	0	0	0	0	0	1.5E3
1363	309	Sisma X SLO	94.9	0	0	0	0	0	1364	309	Sisma Y SLO	0	94.9	0	0	0	0
1365	309	Eccentricità Y per sisma X SLO	0	0	0	0	0	-1.6E3	1366	309	Eccentricità X per sisma Y SLO	0	0	0	0	0	1.3E3
1367	310	Sisma X SLV	85.2	0	0	0	0	0	1368	310	Sisma Y SLV	0	85.2	0	0	0	0
1369	310	Eccentricità Y per sisma X SLV	0	0	0	0	0	-1.4E3	1370	310	Eccentricità X per sisma Y SLV	0	0	0	0	0	1.1E3
1371	310	Sisma X SLO	73.4	0	0	0	0	0	1372	310	Sisma Y SLO	0	73.4	0	0	0	0
1373	310	Eccentricità Y per sisma X SLO	0	0	0	0	0	-1.2E3	1374	310	Eccentricità X per sisma Y SLO	0	0	0	0	0	981.4
1375	311	Sisma X SLV	60.2	0	0	0	0	0	1376	311	Sisma Y SLV	0	60.2	0	0	0	0
1377	311	Eccentricità Y per sisma X SLV	0	0	0	0	0	-9.9E2	1378	311	Eccentricità X per sisma Y SLV	0	0	0	0	0	804.7
1379	311	Sisma X SLO	51.8	0	0	0	0	0	1380	311	Sisma Y SLO	0	51.8	0	0	0	0
1381	311	Eccentricità Y per sisma X SLO	0	0	0	0	0	-8.5E2	1382	311	Eccentricità X per sisma Y SLO	0	0	0	0	0	692.9
1383	312	Sisma X SLV	60.2	0	0	0	0	0	1384	312	Sisma Y SLV	0	60.2	0	0	0	0
1385	312	Eccentricità Y per sisma X SLV	0	0	0	0	0	-9.9E2	1386	312	Eccentricità X per sisma Y SLV	0	0	0	0	0	804.7
1387	312	Sisma X SLO	51.8	0	0	0	0	0	1388	312	Sisma Y SLO	0	51.8	0	0	0	0
1389	312	Eccentricità Y per sisma X SLO	0	0	0	0	0	-8.5E2	1390	312	Eccentricità X per sisma Y SLO	0	0	0	0	0	692.9
1391	313	Sisma X SLV	60.2	0	0	0	0	0	1392	313	Sisma Y SLV	0	60.2	0	0	0	0
1393	313	Eccentricità Y per sisma X SLV	0	0	0	0	0	-9.9E2	1394	313	Eccentricità X per sisma Y SLV	0	0	0	0	0	804.7
1395	313	Sisma X SLO	51.8	0	0	0	0	0	1396	313	Sisma Y SLO	0	51.8	0	0	0	0
1397	313	Eccentricità Y per sisma X SLO	0	0	0	0	0	-8.5E2	1398	313	Eccentricità X per sisma Y SLO	0	0	0	0	0	692.9
1399	314	Sisma X SLV	30.1	0	0	0	0	0	1400	314	Sisma Y SLV	0	30.1	0	0	0	0
1401	314	Eccentricità Y per sisma X SLV	0	0	0	0	0	-5.0E2	1402	314	Eccentricità X per sisma Y SLV	0	0	0	0	0	402.4
1403	314	Sisma X SLO	25.9	0	0	0	0	0	1404	314	Sisma Y SLO	0	25.9	0	0	0	0
1405	314	Eccentricità Y per sisma X SLO	0	0	0	0	0	-4.3E2	1406	314	Eccentricità X per sisma Y SLO	0	0	0	0	0	346.4
1407	315	Sisma X SLV	38.9	0	0	0	0	0	1408	315	Sisma Y SLV	0	38.9	0	0	0	0
1409	315	Eccentricità Y per sisma X SLV	0	0	0	0	0	-6.4E2	1410	315	Eccentricità X per sisma Y SLV	0	0	0	0	0	520.9
1411	315	Sisma X SLO	33.5	0	0	0	0	0	1412	315	Sisma Y SLO	0	33.5	0	0	0	0
1413	315	Eccentricità Y per sisma X SLO	0	0	0	0	0	-5.5E2	1414	315	Eccentricità X per sisma Y SLO	0	0	0	0	0	448.5
1415	317	Sisma X SLV	36.5	0	0	0	0	0	1416	317	Sisma Y SLV	0	36.5	0	0	0	0
1417	317	Eccentricità Y per sisma X SLV	0	0	0	0	0	-6.0E2	1418	317	Eccentricità X per sisma Y SLV	0	0	0	0	0	487.7
1419	317	Sisma X SLO	31.4	0	0	0	0	0	1420	317	Sisma Y SLO	0	31.4	0	0	0	0
1421	317	Eccentricità Y per sisma X SLO	0	0	0	0	0	-5.2E2	1422	317	Eccentricità X per sisma Y SLO	0	0	0	0	0	420
1423	318	Sisma X SLV	80.3	0	0	0	0	0	1424	318	Sisma Y SLV	0	80.3	0	0	0	0
1425	318	Eccentricità Y per sisma X SLV	0	0	0	0	0	-1.3E3	1426	318	Eccentricità X per sisma Y SLO	0	0	0	0	0	1.1E3
1427	318	Sisma X SLO	69.2	0	0	0	0	0	1428	318	Sisma Y SLO	0	69.2	0	0	0	0
1429	318	Eccentricità Y per sisma X SLO	0	0	0	0	0	-1.1E3	1430	318	Eccentricità X per sisma Y SLO	0	0	0	0	0	925
1431	319	Sisma X SLV	37.7	0	0	0	0	0	1432	319	Sisma Y SLV	0	37.7	0	0	0	0
1433	319	Eccentricità Y per sisma X SLV	0	0	0	0	0	-6.2E2	1434	319	Eccentricità X per sisma Y SLO	0	0	0	0	0	504.1
1435	319	Sisma X SLO	32.4	0	0	0	0	0	1436	319	Sisma Y SLO	0	32.4	0	0	0	0
1437	319	Eccentricità Y per sisma X SLO	0	0	0	0	0	-5.4E2	1438	319	Eccentricità X per sisma Y SLO	0	0	0	0	0	434
1439	320	Sisma X SLV	149.6	0	0	0	0	0	1440	320	Sisma Y SLV	0	149.6	0	0	0	0
1441	320	Eccentricità Y per sisma X SLV	0	0	0	0	0	-2.5E3	1442	320	Eccentricità X per sisma Y SLO	0	0	0	0	0	2.0E3
1443	320	Sisma X SLO	128.9	0	0	0	0	0	1444	320	Sisma Y SLO	0	128.9	0	0	0	0
1445	320	Eccentricità Y per sisma X SLO	0	0	0	0	0	-2126	1446	320	Eccentricità X per sisma Y SLO	0	0	0	0	0	1.7E3
1447	321	Sisma X SLV	125.1	0	0	0	0	0	1448	321	Sisma Y SLV	0	125.1	0	0	0	0
1449	321	Eccentricità Y per sisma X SLV	0	0	0	0	0	-2.1E3	1450	321	Eccentricità X per sisma Y SLO	0	0	0	0	0	1.7E3
1451	321	Sisma X SLO	107.7	0	0	0	0	0	1452	321	Sisma Y SLO	0	107.7	0	0	0	0
1453	321	Eccentricità Y per sisma X SLO	0	0	0	0	0	-1.8E3	1454	321	Eccentricità X per sisma Y SLO	0	0	0	0	0	1.4E3
1455	322	Sisma X SLV	43.5	0	0	0	0	0	1456	322	Sisma Y SLV	0	43.5	0	0	0	0
1457	322	Eccentricità Y per sisma X SLV	0	0	0	0	0	-7.2E2	1458	322	Eccentricità X per sisma Y SLO	0	0	0	0	0	582.5
1459	322	Sisma X SLO	37.5	0	0	0	0	0	1460	322	Sisma Y SLO	0	37.5	0	0	0	0
1461	322	Eccentricità Y per sisma X SLO	0	0	0	0	0	-6.2E2	1462	322	Eccentricità X per sisma Y SLO	0	0	0	0	0	501.5
1463	323	Sisma X SLV	38.5	0	0	0	0	0	1464	323	Sisma Y SLV	0	38.5	0	0	0	0
1465	323	Eccentricità Y per sisma X SLV	0	0	0	0	0	-6.4E2	1466	323	Eccentricità X per sisma Y SLO	0	0	0	0	0	514.8
1467	323	Sisma X SLO	33.1	0	0	0	0	0	1468	323	Sisma Y SLO	0	33.1	0	0	0	0

Indice	Nodo	Condizione	Fx	Fy	Fz	Mx	My	Mz	Indice	Nodo	Condizione	Fx	Fy	Fz	Mx	My	Mz
1469	323	Eccentricità Y per sisma X SLO	0	0	0	0	0	-5.5E2	1470	323	Eccentricità X per sisma Y SLO	0	0	0	0	0	443.3
1471	324	Sisma X SLV	80.6	0	0	0	0	0	1472	324	Sisma Y SLV	0	80.6	0	0	0	0
1473	324	Eccentricità Y per sisma X SLV	0	0	0	0	0	-1.3E3	1474	324	Eccentricità X per sisma Y SLV	0	0	0	0	0	1.1E3
1475	324	Sisma X SLO	69.4	0	0	0	0	0	1476	324	Sisma Y SLO	0	69.4	0	0	0	0
1477	324	Eccentricità Y per sisma X SLO	0	0	0	0	0	-1.1E3	1478	324	Eccentricità X per sisma Y SLO	0	0	0	0	0	928
1479	325	Sisma X SLV	16.9	0	0	0	0	0	1480	325	Sisma Y SLV	0	16.9	0	0	0	0
1481	325	Eccentricità Y per sisma X SLV	0	0	0	0	0	-2.8E2	1482	325	Eccentricità X per sisma Y SLV	0	0	0	0	0	226.2
1483	325	Sisma X SLO	14.6	0	0	0	0	0	1484	325	Sisma Y SLO	0	14.6	0	0	0	0
1485	325	Eccentricità Y per sisma X SLO	0	0	0	0	0	-2.4E2	1486	325	Eccentricità X per sisma Y SLO	0	0	0	0	0	194.8
1487	326	Sisma X SLV	72.3	0	0	0	0	0	1488	326	Sisma Y SLV	0	72.3	0	0	0	0
1489	326	Eccentricità Y per sisma X SLV	0	0	0	0	0	-1.2E3	1490	326	Eccentricità X per sisma Y SLV	0	0	0	0	0	966.4
1491	326	Sisma X SLO	62.2	0	0	0	0	0	1492	326	Sisma Y SLO	0	62.2	0	0	0	0
1493	326	Eccentricità Y per sisma X SLO	0	0	0	0	0	-1.0E3	1494	326	Eccentricità X per sisma Y SLO	0	0	0	0	0	832.1
1495	327	Sisma X SLV	119.6	0	0	0	0	0	1496	327	Sisma Y SLV	0	119.6	0	0	0	0
1497	327	Eccentricità Y per sisma X SLV	0	0	0	0	0	-2.0E3	1498	327	Eccentricità X per sisma Y SLV	0	0	0	0	0	1600
1499	327	Sisma X SLO	103	0	0	0	0	0	1500	327	Sisma Y SLO	0	103	0	0	0	0
1501	327	Eccentricità Y per sisma X SLO	0	0	0	0	0	-1.7E3	1502	327	Eccentricità X per sisma Y SLO	0	0	0	0	0	1.4E3
1503	328	Sisma X SLV	104	0	0	0	0	0	1504	328	Sisma Y SLV	0	104	0	0	0	0
1505	328	Eccentricità Y per sisma X SLV	0	0	0	0	0	-1.7E3	1506	328	Eccentricità X per sisma Y SLV	0	0	0	0	0	1.4E3
1507	328	Sisma X SLO	89.6	0	0	0	0	0	1508	328	Sisma Y SLO	0	89.6	0	0	0	0
1509	328	Eccentricità Y per sisma X SLO	0	0	0	0	0	-1.5E3	1510	328	Eccentricità X per sisma Y SLO	0	0	0	0	0	1.2E3
1511	329	Sisma X SLV	93.2	0	0	0	0	0	1512	329	Sisma Y SLV	0	93.2	0	0	0	0
1513	329	Eccentricità Y per sisma X SLV	0	0	0	0	0	-1.5E3	1514	329	Eccentricità X per sisma Y SLV	0	0	0	0	0	1.2E3
1515	329	Sisma X SLO	80.3	0	0	0	0	0	1516	329	Sisma Y SLO	0	80.3	0	0	0	0
1517	329	Eccentricità Y per sisma X SLO	0	0	0	0	0	-1.3E3	1518	329	Eccentricità X per sisma Y SLO	0	0	0	0	0	1.1E3
1519	330	Sisma X SLV	93.1	0	0	0	0	0	1520	330	Sisma Y SLV	0	93.1	0	0	0	0
1521	330	Eccentricità Y per sisma X SLV	0	0	0	0	0	-1.5E3	1522	330	Eccentricità X per sisma Y SLV	0	0	0	0	0	1.2E3
1523	330	Sisma X SLO	80.2	0	0	0	0	0	1524	330	Sisma Y SLO	0	80.2	0	0	0	0
1525	330	Eccentricità Y per sisma X SLO	0	0	0	0	0	-1.3E3	1526	330	Eccentricità X per sisma Y SLO	0	0	0	0	0	1.1E3
1527	331	Sisma X SLV	93.1	0	0	0	0	0	1528	331	Sisma Y SLV	0	93.1	0	0	0	0
1529	331	Eccentricità Y per sisma X SLV	0	0	0	0	0	-1.5E3	1530	331	Eccentricità X per sisma Y SLV	0	0	0	0	0	1.2E3
1531	331	Sisma X SLO	80.1	0	0	0	0	0	1532	331	Sisma Y SLO	0	80.1	0	0	0	0
1533	331	Eccentricità Y per sisma X SLO	0	0	0	0	0	-1.3E3	1534	331	Eccentricità X per sisma Y SLO	0	0	0	0	0	1.1E3
1535	332	Sisma X SLV	93.1	0	0	0	0	0	1536	332	Sisma Y SLV	0	93.1	0	0	0	0
1537	332	Eccentricità Y per sisma X SLV	0	0	0	0	0	-1.5E3	1538	332	Eccentricità X per sisma Y SLV	0	0	0	0	0	1.2E3
1539	332	Sisma X SLO	80.1	0	0	0	0	0	1540	332	Sisma Y SLO	0	80.1	0	0	0	0
1541	332	Eccentricità Y per sisma X SLO	0	0	0	0	0	-1.3E3	1542	332	Eccentricità X per sisma Y SLO	0	0	0	0	0	1.1E3
1543	333	Sisma X SLV	46.5	0	0	0	0	0	1544	333	Sisma Y SLV	0	46.5	0	0	0	0
1545	333	Eccentricità Y per sisma X SLV	0	0	0	0	0	-7.7E2	1546	333	Eccentricità X per sisma Y SLV	0	0	0	0	0	622.1
1547	333	Sisma X SLO	40	0	0	0	0	0	1548	333	Sisma Y SLO	0	40	0	0	0	0
1549	333	Eccentricità Y per sisma X SLO	0	0	0	0	0	-6.6E2	1550	333	Eccentricità X per sisma Y SLO	0	0	0	0	0	535.7
1551	334	Sisma X SLV	81.8	0	0	0	0	0	1552	334	Sisma Y SLV	0	81.8	0	0	0	0
1553	334	Eccentricità Y per sisma X SLV	0	0	0	0	0	-1.3E3	1554	334	Eccentricità X per sisma Y SLV	0	0	0	0	0	1.1E3
1555	334	Sisma X SLO	70.4	0	0	0	0	0	1556	334	Sisma Y SLO	0	70.4	0	0	0	0
1557	334	Eccentricità Y per sisma X SLO	0	0	0	0	0	-1.2E3	1558	334	Eccentricità X per sisma Y SLO	0	0	0	0	0	941.9
1559	335	Sisma X SLV	84.1	0	0	0	0	0	1560	335	Sisma Y SLV	0	84.1	0	0	0	0
1561	335	Eccentricità Y per sisma X SLV	0	0	0	0	0	-1.4E3	1562	335	Eccentricità X per sisma Y SLV	0	0	0	0	0	1.1E3
1563	335	Sisma X SLO	72.4	0	0	0	0	0	1564	335	Sisma Y SLO	0	72.4	0	0	0	0
1565	335	Eccentricità Y per sisma X SLO	0	0	0	0	0	-1.2E3	1566	335	Eccentricità X per sisma Y SLO	0	0	0	0	0	968.6
1567	336	Sisma X SLV	2.1	0	0	0	0	0	1568	336	Sisma Y SLV	0	2.1	0	0	0	0
1569	336	Eccentricità Y per sisma X SLV	0	0	0	0	0	-34	1570	336	Eccentricità X per sisma Y SLV	0	0	0	0	0	27.6
1571	336	Sisma X SLO	1.8	0	0	0	0	0	1572	336	Sisma Y SLO	0	1.8	0	0	0	0
1573	336	Eccentricità Y per sisma X SLO	0	0	0	0	0	-29.3	1574	336	Eccentricità X per sisma Y SLO	0	0	0	0	0	23.8
1575	337	Sisma X SLV	4	0	0	0	0	0	1576	337	Sisma Y SLV	0	4	0	0	0	0
1577	337	Eccentricità Y per sisma X SLV	0	0	0	0	0	-65.3	1578	337	Eccentricità X per sisma Y SLV	0	0	0	0	0	52.9
1579	337	Sisma X SLO	3.4	0	0	0	0	0	1580	337	Sisma Y SLO	0	3.4	0	0	0	0
1581	337	Eccentricità Y per sisma X SLO	0	0	0	0	0	-56.2	1582	337	Eccentricità X per sisma Y SLO	0	0	0	0	0	45.5
1583	338	Sisma X SLV	35	0	0	0	0	0	1584	338	Sisma Y SLV	0	35	0	0	0	0
1585	338	Eccentricità Y per sisma X SLV	0	0	0	0	0	-5.8E2	1586	338	Eccentricità X per sisma Y SLV	0	0	0	0	0	468
1587	338	Sisma X SLO	30.1	0	0	0	0	0	1588	338	Sisma Y SLO	0	30.1	0	0	0	0
1589	338	Eccentricità Y per sisma X SLO	0	0	0	0	0	-5.0E2	1590	338	Eccentricità X per sisma Y SLO	0	0	0	0	0	403
1591	339	Sisma X SLV	20.9	0	0	0	0	0	1592	339	Sisma Y SLV	0	20.9	0	0	0	0
1593	339	Eccentricità Y per sisma X SLV	0	0	0	0	0	-3.4E2	1594	339	Eccentricità X per sisma Y SLV	0	0	0	0	0	279.1
1595	339	Sisma X SLO	18	0	0	0	0	0	1596	339	Sisma Y SLO	0	18	0	0	0	0
1597	339	Eccentricità Y per sisma X SLO	0	0	0	0	0	-3.0E2	1598	339	Eccentricità X per sisma Y SLO	0	0	0	0	0	240.3
1599	340	Sisma X SLV	14.2	0	0	0	0	0	1600	340	Sisma Y SLV	0	14.2	0	0	0	0
1601	340	Eccentricità Y per sisma X SLV	0	0	0	0	0	-2.1E2	1602	340	Eccentricità X per sisma Y SLV	0	0	0	0	0	258.6
1603	340	Sisma X SLO	12.3	0	0	0	0	0	1604	340	Sisma Y SLO	0	12.3	0	0	0	0
1605	340	Eccentricità Y per sisma X SLO	0	0	0	0	0	-1.8E2	1606	340	Eccentricità X per sisma Y SLO	0	0	0	0	0	222.7
1607	341	Sisma X SLV	29.9	0	0	0	0	0	1608	341	Sisma Y SLV	0	29.9	0	0	0	0
1609	341	Eccentricità Y per sisma X SLV	0	0	0	0	0	-4.3E2	1610	341	Eccentricità X per sisma Y SLV	0	0	0	0	0	542.6
1611	341	Sisma X SLO	25.7	0	0	0	0	0	1612	341	Sisma Y SLO	0	25.7	0	0	0	0
1613	341	Eccentricità Y per sisma X SLO	0	0	0	0	0	-3.7E2	1614	341	Eccentricità X per sisma Y SLO	0	0	0	0	0	467.2
1615	342	Sisma X SLV	15.6	0	0	0	0	0	1616	342	Sisma Y SLV	0	15.6	0	0	0	0
1617	342	Eccentricità Y per sisma X SLV	0	0	0	0	0	-2.3E2	1618	342	Eccentricità X per sisma Y SLV	0	0	0	0	0	284
1619	342	Sisma X SLO	13.5	0	0	0	0	0	1620	342	Sisma Y SLO	0	13.5	0	0	0	0
1621	342	Eccentricità Y per sisma X SLO	0	0	0	0	0	-2.0E2	1622	342	Eccentricità X per sisma Y SLO	0	0	0	0	0	244.5
1623	343	Sisma X SLV	392.5	0	0	0	0	0	1624	343	Sisma Y SLV	0	392.5	0	0	0	0
1625	343	Eccentricità Y per sisma X SLV	0	0	0	0	0	-5.7E3	1626	343	Eccentricità X per sisma Y SLV	0	0	0	0	0	7.1E3
1627	343	Sisma X SLO	338	0	0	0	0	0	1628	343	Sisma Y SLO	0	338	0	0	0	0
1629	343	Eccentricità Y per sisma X SLO	0	0	0	0	0	-4.9E3	1630	343	Eccentricità X per sisma Y SLO	0	0	0	0	0	6.1E3
1631	344	Sisma X SLV	28.5	0	0	0	0	0	1632	344	Sisma Y SLV	0	28.5	0	0	0	0

Indice	Nodo	Condizione	Fx	Fy	Fz	Mx	My	Mz	Indice	Nodo	Condizione	Fx	Fy	Fz	Mx	My	Mz
1633	344	Eccentricità Y per sisma X SLV	0	0	0	0	0	-4.1E2	1634	344	Eccentricità X per sisma Y SLV	0	0	0	0	0	517.2
1635	344	Sisma X SLO	24.5	0	0	0	0	0	1636	344	Sisma Y SLO	0	24.5	0	0	0	0
1637	344	Eccentricità Y per sisma X SLO	0	0	0	0	0	-3.6E2	1638	344	Eccentricità X per sisma Y SLO	0	0	0	0	0	445.3
1639	345	Sisma X SLV	60.1	0	0	0	0	0	1640	345	Sisma Y SLV	0	60.1	0	0	0	0
1641	345	Eccentricità Y per sisma X SLV	0	0	0	0	0	-871	1642	345	Eccentricità X per sisma Y SLV	0	0	0	0	0	1.1E3
1643	345	Sisma X SLO	51.7	0	0	0	0	0	1644	345	Sisma Y SLO	0	51.7	0	0	0	0
1645	345	Eccentricità Y per sisma X SLO	0	0	0	0	0	-7.5E2	1646	345	Eccentricità X per sisma Y SLO	0	0	0	0	0	938.7
1647	346	Sisma X SLV	31.6	0	0	0	0	0	1648	346	Sisma Y SLV	0	31.6	0	0	0	0
1649	346	Eccentricità Y per sisma X SLV	0	0	0	0	0	-4.6E2	1650	346	Eccentricità X per sisma Y SLV	0	0	0	0	0	573
1651	346	Sisma X SLO	27.2	0	0	0	0	0	1652	346	Sisma Y SLO	0	27.2	0	0	0	0
1653	346	Eccentricità Y per sisma X SLO	0	0	0	0	0	-3.9E2	1654	346	Eccentricità X per sisma Y SLO	0	0	0	0	0	493.4
1655	347	Sisma X SLV	17.3	0	0	0	0	0	1656	347	Sisma Y SLV	0	17.3	0	0	0	0
1657	347	Eccentricità Y per sisma X SLV	0	0	0	0	0	-2.5E2	1658	347	Eccentricità X per sisma Y SLV	0	0	0	0	0	314.9
1659	347	Sisma X SLO	14.9	0	0	0	0	0	1660	347	Sisma Y SLO	0	14.9	0	0	0	0
1661	347	Eccentricità Y per sisma X SLO	0	0	0	0	0	-2.2E2	1662	347	Eccentricità X per sisma Y SLO	0	0	0	0	0	271.1
1663	348	Sisma X SLV	31.3	0	0	0	0	0	1664	348	Sisma Y SLV	0	31.3	0	0	0	0
1665	348	Eccentricità Y per sisma X SLV	0	0	0	0	0	-4.5E2	1666	348	Eccentricità X per sisma Y SLV	0	0	0	0	0	567.5
1667	348	Sisma X SLO	26.9	0	0	0	0	0	1668	348	Sisma Y SLO	0	26.9	0	0	0	0
1669	348	Eccentricità Y per sisma X SLO	0	0	0	0	0	-3.9E2	1670	348	Eccentricità X per sisma Y SLO	0	0	0	0	0	488.6
1671	349	Sisma X SLV	29.3	0	0	0	0	0	1672	349	Sisma Y SLV	0	29.3	0	0	0	0
1673	349	Eccentricità Y per sisma X SLV	0	0	0	0	0	-4.3E2	1674	349	Eccentricità X per sisma Y SLV	0	0	0	0	0	532.3
1675	349	Sisma X SLO	25.3	0	0	0	0	0	1676	349	Sisma Y SLO	0	25.3	0	0	0	0
1677	349	Eccentricità Y per sisma X SLO	0	0	0	0	0	-3.7E2	1678	349	Eccentricità X per sisma Y SLO	0	0	0	0	0	458.3
1679	350	Sisma X SLV	26.1	0	0	0	0	0	1680	350	Sisma Y SLV	0	26.1	0	0	0	0
1681	350	Eccentricità Y per sisma X SLV	0	0	0	0	0	-3.8E2	1682	350	Eccentricità X per sisma Y SLV	0	0	0	0	0	474.5
1683	350	Sisma X SLO	22.5	0	0	0	0	0	1684	350	Sisma Y SLO	0	22.5	0	0	0	0
1685	350	Eccentricità Y per sisma X SLO	0	0	0	0	0	-3.3E2	1686	350	Eccentricità X per sisma Y SLO	0	0	0	0	0	408.6
1687	351	Sisma X SLV	39	0	0	0	0	0	1688	351	Sisma Y SLV	0	39	0	0	0	0
1689	351	Eccentricità Y per sisma X SLV	0	0	0	0	0	-5.7E2	1690	351	Eccentricità X per sisma Y SLV	0	0	0	0	0	707.9
1691	351	Sisma X SLO	33.6	0	0	0	0	0	1692	351	Sisma Y SLO	0	33.6	0	0	0	0
1693	351	Eccentricità Y per sisma X SLO	0	0	0	0	0	-487	1694	351	Eccentricità X per sisma Y SLO	0	0	0	0	0	609.6
1695	352	Sisma X SLV	62.4	0	0	0	0	0	1696	352	Sisma Y SLV	0	62.4	0	0	0	0
1697	352	Eccentricità Y per sisma X SLV	0	0	0	0	0	-9.0E2	1698	352	Eccentricità X per sisma Y SLV	0	0	0	0	0	1.1E3
1699	352	Sisma X SLO	53.7	0	0	0	0	0	1700	352	Sisma Y SLO	0	53.7	0	0	0	0
1701	352	Eccentricità Y per sisma X SLO	0	0	0	0	0	-7.8E2	1702	352	Eccentricità X per sisma Y SLO	0	0	0	0	0	974.4
1703	353	Sisma X SLV	37.6	0	0	0	0	0	1704	353	Sisma Y SLV	0	37.6	0	0	0	0
1705	353	Eccentricità Y per sisma X SLV	0	0	0	0	0	-5.5E2	1706	353	Eccentricità X per sisma Y SLV	0	0	0	0	0	682.8
1707	353	Sisma X SLO	32.4	0	0	0	0	0	1708	353	Sisma Y SLO	0	32.4	0	0	0	0
1709	353	Eccentricità Y per sisma X SLO	0	0	0	0	0	-4.7E2	1710	353	Eccentricità X per sisma Y SLO	0	0	0	0	0	587.9
1711	354	Sisma X SLV	73.1	0	0	0	0	0	1712	354	Sisma Y SLV	0	73.1	0	0	0	0
1713	354	Eccentricità Y per sisma X SLV	0	0	0	0	0	-1.1E3	1714	354	Eccentricità X per sisma Y SLV	0	0	0	0	0	1.3E3
1715	354	Sisma X SLO	62.9	0	0	0	0	0	1716	354	Sisma Y SLO	0	62.9	0	0	0	0
1717	354	Eccentricità Y per sisma X SLO	0	0	0	0	0	-9.1E2	1718	354	Eccentricità X per sisma Y SLO	0	0	0	0	0	1142
1719	355	Sisma X SLV	66.8	0	0	0	0	0	1720	355	Sisma Y SLV	0	66.8	0	0	0	0
1721	355	Eccentricità Y per sisma X SLV	0	0	0	0	0	-9.7E2	1722	355	Eccentricità X per sisma Y SLV	0	0	0	0	0	1.2E3
1723	355	Sisma X SLO	57.5	0	0	0	0	0	1724	355	Sisma Y SLO	0	57.5	0	0	0	0
1725	355	Eccentricità Y per sisma X SLO	0	0	0	0	0	-8.3E2	1726	355	Eccentricità X per sisma Y SLO	0	0	0	0	0	1.0E3
1727	356	Sisma X SLV	65.1	0	0	0	0	0	1728	356	Sisma Y SLV	0	65.1	0	0	0	0
1729	356	Eccentricità Y per sisma X SLV	0	0	0	0	0	-9.4E2	1730	356	Eccentricità X per sisma Y SLV	0	0	0	0	0	1.2E3
1731	356	Sisma X SLO	56	0	0	0	0	0	1732	356	Sisma Y SLO	0	56	0	0	0	0
1733	356	Eccentricità Y per sisma X SLO	0	0	0	0	0	-8.1E2	1734	356	Eccentricità X per sisma Y SLO	0	0	0	0	0	1.0E3
1735	357	Sisma X SLV	65.8	0	0	0	0	0	1736	357	Sisma Y SLV	0	65.8	0	0	0	0
1737	357	Eccentricità Y per sisma X SLV	0	0	0	0	0	-9.5E2	1738	357	Eccentricità X per sisma Y SLV	0	0	0	0	0	1.2E3
1739	357	Sisma X SLO	56.7	0	0	0	0	0	1740	357	Sisma Y SLO	0	56.7	0	0	0	0
1741	357	Eccentricità Y per sisma X SLO	0	0	0	0	0	-8.2E2	1742	357	Eccentricità X per sisma Y SLO	0	0	0	0	0	1.0E3
1743	358	Sisma X SLV	71.3	0	0	0	0	0	1744	358	Sisma Y SLV	0	71.3	0	0	0	0
1745	358	Eccentricità Y per sisma X SLV	0	0	0	0	0	-1.0E3	1746	358	Eccentricità X per sisma Y SLV	0	0	0	0	0	1.3E3
1747	358	Sisma X SLO	61.4	0	0	0	0	0	1748	358	Sisma Y SLO	0	61.4	0	0	0	0
1749	358	Eccentricità Y per sisma X SLO	0	0	0	0	0	-8.9E2	1750	358	Eccentricità X per sisma Y SLO	0	0	0	0	0	1115
1751	359	Sisma X SLV	51.7	0	0	0	0	0	1752	359	Sisma Y SLV	0	51.7	0	0	0	0
1753	359	Eccentricità Y per sisma X SLV	0	0	0	0	0	-7.5E2	1754	359	Eccentricità X per sisma Y SLV	0	0	0	0	0	939.2
1755	359	Sisma X SLO	44.6	0	0	0	0	0	1756	359	Sisma Y SLO	0	44.6	0	0	0	0
1757	359	Eccentricità Y per sisma X SLO	0	0	0	0	0	-646	1758	359	Eccentricità X per sisma Y SLO	0	0	0	0	0	808.7
1759	360	Sisma X SLV	50.5	0	0	0	0	0	1760	360	Sisma Y SLV	0	50.5	0	0	0	0
1761	360	Eccentricità Y per sisma X SLV	0	0	0	0	0	-7.3E2	1762	360	Eccentricità X per sisma Y SLV	0	0	0	0	0	915.8
1763	360	Sisma X SLO	43.4	0	0	0	0	0	1764	360	Sisma Y SLO	0	43.4	0	0	0	0
1765	360	Eccentricità Y per sisma X SLO	0	0	0	0	0	-630	1766	360	Eccentricità X per sisma Y SLO	0	0	0	0	0	788.5
1767	361	Sisma X SLV	72.5	0	0	0	0	0	1768	361	Sisma Y SLV	0	72.5	0	0	0	0
1769	361	Eccentricità Y per sisma X SLV	0	0	0	0	0	-1.1E3	1770	361	Eccentricità X per sisma Y SLV	0	0	0	0	0	1.3E3
1771	361	Sisma X SLO	62.4	0	0	0	0	0	1772	361	Sisma Y SLO	0	62.4	0	0	0	0
1773	361	Eccentricità Y per sisma X SLO	0	0	0	0	0	-905	1774	361	Eccentricità X per sisma Y SLO	0	0	0	0	0	1.1E3
1775	362	Sisma X SLV	68.1	0	0	0	0	0	1776	362	Sisma Y SLV	0	68.1	0	0	0	0
1777	362	Eccentricità Y per sisma X SLV	0	0	0	0	0	-9.9E2	1778	362	Eccentricità X per sisma Y SLV	0	0	0	0	0	1.2E3
1779	362	Sisma X SLO	58.6	0	0	0	0	0	1780	362	Sisma Y SLO	0	58.6	0	0	0	0
1781	362	Eccentricità Y per sisma X SLO	0	0	0	0	0	-8.5E2	1782	362	Eccentricità X per sisma Y SLO	0	0	0	0	0	1.1E3
1783	364	Sisma X SLV	49.7	0	0	0	0	0	1784	364	Sisma Y SLV	0	49.7	0	0	0	0
1785	364	Eccentricità Y per sisma X SLV	0	0	0	0	0	-7.2E2	1786	364	Eccentricità X per sisma Y SLV	0	0	0	0	0	901.6
1787	364	Sisma X SLO	42.8	0	0	0	0	0	1788	364	Sisma Y SLO	0	42.8	0	0	0	0
1789	364	Eccentricità Y per sisma X SLO	0	0	0	0	0	-6.2E2	1790	364	Eccentricità X per sisma Y SLO	0	0	0	0	0	776.3
1791	365	Sisma X SLV	56.6	0	0	0	0	0	1792	365	Sisma Y SLV	0	56.6	0	0	0	0
1793	365	Eccentricità Y per sisma X SLV	0	0	0	0	0	-8.2E2	1794	365	Eccentricità X per sisma Y SLV	0	0	0	0	0	1028
1795	365	Sisma X SLO	48.8	0	0	0	0	0	1796	365	Sisma Y SLO	0	48.8	0	0	0	0

Indice	Nodo	Condizione	Fx	Fy	Fz	Mx	My	Mz	Indice	Nodo	Condizione	Fx	Fy	Fz	Mx	My	Mz
1797	365	Eccentricità Y per sisma X SLO	0	0	0	0	0	-7.1E2	1798	365	Eccentricità X per sisma Y SLO	0	0	0	0	0	885.2
1799	366	Sisma X SLV	57.8	0	0	0	0	0	1800	366	Sisma Y SLV	0	57.8	0	0	0	0
1801	366	Eccentricità Y per sisma X SLV	0	0	0	0	0	-8.4E2	1802	366	Eccentricità X per sisma Y SLV	0	0	0	0	0	1.0E3
1803	366	Sisma X SLO	49.7	0	0	0	0	0	1804	366	Sisma Y SLO	0	49.7	0	0	0	0
1805	366	Eccentricità Y per sisma X SLO	0	0	0	0	0	-721	1806	366	Eccentricità X per sisma Y SLO	0	0	0	0	0	902.6
1807	367	Sisma X SLV	60.3	0	0	0	0	0	1808	367	Sisma Y SLV	0	60.3	0	0	0	0
1809	367	Eccentricità Y per sisma X SLV	0	0	0	0	0	-8.7E2	1810	367	Eccentricità X per sisma Y SLV	0	0	0	0	0	1.1E3
1811	367	Sisma X SLO	51.9	0	0	0	0	0	1812	367	Sisma Y SLO	0	51.9	0	0	0	0
1813	367	Eccentricità Y per sisma X SLO	0	0	0	0	0	-7.5E2	1814	367	Eccentricità X per sisma Y SLO	0	0	0	0	0	942.2
1815	368	Sisma X SLV	57.8	0	0	0	0	0	1816	368	Sisma Y SLV	0	57.8	0	0	0	0
1817	368	Eccentricità Y per sisma X SLV	0	0	0	0	0	-8.4E2	1818	368	Eccentricità X per sisma Y SLV	0	0	0	0	0	1.0E3
1819	368	Sisma X SLO	49.8	0	0	0	0	0	1820	368	Sisma Y SLO	0	49.8	0	0	0	0
1821	368	Eccentricità Y per sisma X SLO	0	0	0	0	0	-7.2E2	1822	368	Eccentricità X per sisma Y SLO	0	0	0	0	0	903.6
1823	369	Sisma X SLV	29	0	0	0	0	0	1824	369	Sisma Y SLV	0	29	0	0	0	0
1825	369	Eccentricità Y per sisma X SLV	0	0	0	0	0	-4.2E2	1826	369	Eccentricità X per sisma Y SLV	0	0	0	0	0	526.7
1827	369	Sisma X SLO	25	0	0	0	0	0	1828	369	Sisma Y SLO	0	25	0	0	0	0
1829	369	Eccentricità Y per sisma X SLO	0	0	0	0	0	-3.6E2	1830	369	Eccentricità X per sisma Y SLO	0	0	0	0	0	453.5
1831	370	Sisma X SLV	28.4	0	0	0	0	0	1832	370	Sisma Y SLV	0	28.4	0	0	0	0
1833	370	Eccentricità Y per sisma X SLV	0	0	0	0	0	-4.1E2	1834	370	Eccentricità X per sisma Y SLV	0	0	0	0	0	514.8
1835	370	Sisma X SLO	24.4	0	0	0	0	0	1836	370	Sisma Y SLO	0	24.4	0	0	0	0
1837	370	Eccentricità Y per sisma X SLO	0	0	0	0	0	-3.5E2	1838	370	Eccentricità X per sisma Y SLO	0	0	0	0	0	443.3
1839	371	Sisma X SLV	189.8	0	0	0	0	0	1840	371	Sisma Y SLV	0	189.8	0	0	0	0
1841	371	Eccentricità Y per sisma X SLV	0	0	0	0	0	-2.8E3	1842	371	Eccentricità X per sisma Y SLV	0	0	0	0	0	3.4E3
1843	371	Sisma X SLO	163.4	0	0	0	0	0	1844	371	Sisma Y SLO	0	163.4	0	0	0	0
1845	371	Eccentricità Y per sisma X SLO	0	0	0	0	0	-2.4E3	1846	371	Eccentricità X per sisma Y SLO	0	0	0	0	0	3.0E3
1847	372	Sisma X SLV	12.3	0	0	0	0	0	1848	372	Sisma Y SLV	0	12.3	0	0	0	0
1849	372	Eccentricità Y per sisma X SLV	0	0	0	0	0	-1.8E2	1850	372	Eccentricità X per sisma Y SLV	0	0	0	0	0	222.5
1851	372	Sisma X SLO	10.6	0	0	0	0	0	1852	372	Sisma Y SLO	0	10.6	0	0	0	0
1853	372	Eccentricità Y per sisma X SLO	0	0	0	0	0	-153	1854	372	Eccentricità X per sisma Y SLO	0	0	0	0	0	191.5
1855	373	Sisma X SLV	26.7	0	0	0	0	0	1856	373	Sisma Y SLV	0	26.7	0	0	0	0
1857	373	Eccentricità Y per sisma X SLV	0	0	0	0	0	-3.9E2	1858	373	Eccentricità X per sisma Y SLV	0	0	0	0	0	485.4
1859	373	Sisma X SLO	23	0	0	0	0	0	1860	373	Sisma Y SLO	0	23	0	0	0	0
1861	373	Eccentricità Y per sisma X SLO	0	0	0	0	0	-3.3E2	1862	373	Eccentricità X per sisma Y SLO	0	0	0	0	0	418
1863	374	Sisma X SLV	27.9	0	0	0	0	0	1864	374	Sisma Y SLV	0	27.9	0	0	0	0
1865	374	Eccentricità Y per sisma X SLV	0	0	0	0	0	-4.1E2	1866	374	Eccentricità X per sisma Y SLV	0	0	0	0	0	507.1
1867	374	Sisma X SLO	24.1	0	0	0	0	0	1868	374	Sisma Y SLO	0	24.1	0	0	0	0
1869	374	Eccentricità Y per sisma X SLO	0	0	0	0	0	-3.5E2	1870	374	Eccentricità X per sisma Y SLO	0	0	0	0	0	436.6
1871	375	Sisma X SLV	26.9	0	0	0	0	0	1872	375	Sisma Y SLV	0	26.9	0	0	0	0
1873	375	Eccentricità Y per sisma X SLV	0	0	0	0	0	-390	1874	375	Eccentricità X per sisma Y SLV	0	0	0	0	0	488.2
1875	375	Sisma X SLO	23.2	0	0	0	0	0	1876	375	Sisma Y SLO	0	23.2	0	0	0	0
1877	375	Eccentricità Y per sisma X SLO	0	0	0	0	0	-3.4E2	1878	375	Eccentricità X per sisma Y SLO	0	0	0	0	0	420.4
1879	376	Sisma X SLV	28.6	0	0	0	0	0	1880	376	Sisma Y SLV	0	28.6	0	0	0	0
1881	376	Eccentricità Y per sisma X SLV	0	0	0	0	0	-4.2E2	1882	376	Eccentricità X per sisma Y SLV	0	0	0	0	0	519.9
1883	376	Sisma X SLO	24.7	0	0	0	0	0	1884	376	Sisma Y SLO	0	24.7	0	0	0	0
1885	376	Eccentricità Y per sisma X SLO	0	0	0	0	0	-3.6E2	1886	376	Eccentricità X per sisma Y SLO	0	0	0	0	0	447.6
1887	377	Sisma X SLV	28.6	0	0	0	0	0	1888	377	Sisma Y SLV	0	28.6	0	0	0	0
1889	377	Eccentricità Y per sisma X SLV	0	0	0	0	0	-4.1E2	1890	377	Eccentricità X per sisma Y SLV	0	0	0	0	0	519.2
1891	377	Sisma X SLO	24.6	0	0	0	0	0	1892	377	Sisma Y SLO	0	24.6	0	0	0	0
1893	377	Eccentricità Y per sisma X SLO	0	0	0	0	0	-3.6E2	1894	377	Eccentricità X per sisma Y SLO	0	0	0	0	0	447
1895	378	Sisma X SLV	13.4	0	0	0	0	0	1896	378	Sisma Y SLV	0	13.4	0	0	0	0
1897	378	Eccentricità Y per sisma X SLV	0	0	0	0	0	-1.9E2	1898	378	Eccentricità X per sisma Y SLV	0	0	0	0	0	242.6
1899	378	Sisma X SLO	11.5	0	0	0	0	0	1900	378	Sisma Y SLO	0	11.5	0	0	0	0
1901	378	Eccentricità Y per sisma X SLO	0	0	0	0	0	-1.7E2	1902	378	Eccentricità X per sisma Y SLO	0	0	0	0	0	208.9
1903	379	Sisma X SLV	39.3	0	0	0	0	0	1904	379	Sisma Y SLV	0	39.3	0	0	0	0
1905	379	Sisma X SLO	33.8	0	0	0	0	0	1906	379	Sisma Y SLO	0	33.8	0	0	0	0
1907	380	Sisma X SLV	43.3	0	0	0	0	0	1908	380	Sisma Y SLV	0	43.3	0	0	0	0
1909	380	Sisma X SLO	37.2	0	0	0	0	0	1910	380	Sisma Y SLO	0	37.2	0	0	0	0
1911	381	Sisma X SLV	41.7	0	0	0	0	0	1912	381	Sisma Y SLV	0	41.7	0	0	0	0
1913	381	Sisma X SLO	35.9	0	0	0	0	0	1914	381	Sisma Y SLO	0	35.9	0	0	0	0
1915	382	Sisma X SLV	69.2	0	0	0	0	0	1916	382	Sisma Y SLV	0	69.2	0	0	0	0
1917	382	Sisma X SLO	59.6	0	0	0	0	0	1918	382	Sisma Y SLO	0	59.6	0	0	0	0
1919	383	Sisma X SLV	65.7	0	0	0	0	0	1920	383	Sisma Y SLV	0	65.7	0	0	0	0
1921	383	Sisma X SLO	56.6	0	0	0	0	0	1922	383	Sisma Y SLO	0	56.6	0	0	0	0
1923	384	Sisma X SLV	40.1	0	0	0	0	0	1924	384	Sisma Y SLV	0	40.1	0	0	0	0
1925	384	Sisma X SLO	34.5	0	0	0	0	0	1926	384	Sisma Y SLO	0	34.5	0	0	0	0
1927	385	Sisma X SLV	38.6	0	0	0	0	0	1928	385	Sisma Y SLV	0	38.6	0	0	0	0
1929	385	Sisma X SLO	33.2	0	0	0	0	0	1930	385	Sisma Y SLO	0	33.2	0	0	0	0
1931	386	Sisma X SLV	33.6	0	0	0	0	0	1932	386	Sisma Y SLV	0	33.6	0	0	0	0
1933	386	Sisma X SLO	28.9	0	0	0	0	0	1934	386	Sisma Y SLO	0	28.9	0	0	0	0
1935	387	Sisma X SLV	33.3	0	0	0	0	0	1936	387	Sisma Y SLV	0	33.3	0	0	0	0
1937	387	Sisma X SLO	28.7	0	0	0	0	0	1938	387	Sisma Y SLO	0	28.7	0	0	0	0
1939	388	Sisma X SLV	39.8	0	0	0	0	0	1940	388	Sisma Y SLV	0	39.8	0	0	0	0
1941	388	Sisma X SLO	34.3	0	0	0	0	0	1942	388	Sisma Y SLO	0	34.3	0	0	0	0
1943	389	Sisma X SLV	104.5	0	0	0	0	0	1944	389	Sisma Y SLV	0	104.5	0	0	0	0
1945	389	Sisma X SLO	89.9	0	0	0	0	0	1946	389	Sisma Y SLO	0	89.9	0	0	0	0
1947	390	Sisma X SLV	103	0	0	0	0	0	1948	390	Sisma Y SLV	0	103	0	0	0	0
1949	390	Sisma X SLO	88.7	0	0	0	0	0	1950	390	Sisma Y SLO	0	88.7	0	0	0	0
1951	391	Sisma X SLV	95.3	0	0	0	0	0	1952	391	Sisma Y SLV	0	95.3	0	0	0	0
1953	391	Sisma X SLO	82.1	0	0	0	0	0	1954	391	Sisma Y SLO	0	82.1	0	0	0	0
1955	392	Sisma X SLV	61.2	0	0	0	0	0	1956	392	Sisma Y SLV	0	61.2	0	0	0	0
1957	392	Sisma X SLO	52.7	0	0	0	0	0	1958	392	Sisma Y SLO	0	52.7	0	0	0	0
1959	393	Sisma X SLV	58.1	0	0	0	0	0	1960	393	Sisma Y SLV	0	58.1	0	0	0	0
1961	393	Sisma X SLO	50.1	0	0	0	0	0	1962	393	Sisma Y SLO	0	50.1	0	0	0	0
1963	394	Sisma X SLV	26.7	0	0	0	0	0	1964	394	Sisma Y SLV	0	26.7	0	0	0	0
1965	394	Eccentricità Y per sisma X SLV	0	0	0	0	0	-3.9E2	1966	394	Eccentricità X per sisma Y SLV	0	0	0	0	0	357.3
1967	394	Sisma X SLO	23	0	0	0	0	0	1968	394	Sisma Y SLO	0	23	0	0	0	0
1969	394	Eccentricità Y per sisma X SLO	0	0	0	0	0	-3.3E2	1970	394	Eccentricità X per sisma Y SLO	0	0	0	0	0	307.7
1971	395	Sisma X SLV	53	0	0	0	0	0	197								

Indice	Nodo	Condizione	Fx	Fy	Fz	Mx	My	Mz	Indice	Nodo	Condizione	Fx	Fy	Fz	Mx	My	Mz
1979	396	Sisma X SLV	51.3	0	0	0	0	0	1980	396	Sisma Y SLV	0	51.3	0	0	0	0
1981	396	Eccentricità Y per sisma X SLV	0	0	0	0	0	-7.4E2	1982	396	Eccentricità X per sisma Y SLV	0	0	0	0	0	685.8
1983	396	Sisma X SLO	44.2	0	0	0	0	0	1984	396	Sisma Y SLO	0	44.2	0	0	0	0
1985	396	Eccentricità Y per sisma X SLO	0	0	0	0	0	-6.4E2	1986	396	Eccentricità X per sisma Y SLO	0	0	0	0	0	590.5
1987	397	Sisma X SLV	24.4	0	0	0	0	0	1988	397	Sisma Y SLV	0	24.4	0	0	0	0
1989	397	Eccentricità Y per sisma X SLV	0	0	0	0	0	-3.5E2	1990	397	Eccentricità X per sisma Y SLV	0	0	0	0	0	326.9
1991	397	Sisma X SLO	21	0	0	0	0	0	1992	397	Sisma Y SLO	0	21	0	0	0	0
1993	397	Eccentricità Y per sisma X SLO	0	0	0	0	0	-3.1E2	1994	397	Eccentricità X per sisma Y SLO	0	0	0	0	0	281.4
1995	398	Sisma X SLV	556.5	0	0	0	0	0	1996	398	Sisma Y SLV	0	556.5	0	0	0	0
1997	398	Eccentricità Y per sisma X SLV	0	0	0	0	0	-8.1E3	1998	398	Eccentricità X per sisma Y SLV	0	0	0	0	0	7.4E3
1999	398	Sisma X SLO	479.2	0	0	0	0	0	2000	398	Sisma Y SLO	0	479.2	0	0	0	0
2001	398	Eccentricità Y per sisma X SLO	0	0	0	0	0	-6.9E3	2002	398	Eccentricità X per sisma Y SLO	0	0	0	0	0	6.4E3
2003	399	Sisma X SLV	52.9	0	0	0	0	0	2004	399	Sisma Y SLV	0	52.9	0	0	0	0
2005	399	Eccentricità Y per sisma X SLV	0	0	0	0	0	-7.7E2	2006	399	Eccentricità X per sisma Y SLV	0	0	0	0	0	707.3
2007	399	Sisma X SLO	45.5	0	0	0	0	0	2008	399	Sisma Y SLO	0	45.5	0	0	0	0
2009	399	Eccentricità Y per sisma X SLO	0	0	0	0	0	-6.6E2	2010	399	Eccentricità X per sisma Y SLO	0	0	0	0	0	609
2011	400	Sisma X SLV	106.9	0	0	0	0	0	2012	400	Sisma Y SLV	0	106.9	0	0	0	0
2013	400	Eccentricità Y per sisma X SLV	0	0	0	0	0	-1.6E3	2014	400	Eccentricità X per sisma Y SLV	0	0	0	0	0	1.4E3
2015	400	Sisma X SLO	92.1	0	0	0	0	0	2016	400	Sisma Y SLO	0	92.1	0	0	0	0
2017	400	Eccentricità Y per sisma X SLO	0	0	0	0	0	-1335	2018	400	Eccentricità X per sisma Y SLO	0	0	0	0	0	1.2E3
2019	401	Sisma X SLV	107	0	0	0	0	0	2020	401	Sisma Y SLV	0	107	0	0	0	0
2021	401	Eccentricità Y per sisma X SLV	0	0	0	0	0	-1.6E3	2022	401	Eccentricità X per sisma Y SLV	0	0	0	0	0	1.4E3
2023	401	Sisma X SLO	92.2	0	0	0	0	0	2024	401	Sisma Y SLO	0	92.2	0	0	0	0
2025	401	Eccentricità Y per sisma X SLO	0	0	0	0	0	-1.3E3	2026	401	Eccentricità X per sisma Y SLO	0	0	0	0	0	1.2E3
2027	402	Sisma X SLV	53.6	0	0	0	0	0	2028	402	Sisma Y SLV	0	53.6	0	0	0	0
2029	402	Eccentricità Y per sisma X SLV	0	0	0	0	0	-7.8E2	2030	402	Eccentricità X per sisma Y SLV	0	0	0	0	0	716.3
2031	402	Sisma X SLO	46.1	0	0	0	0	0	2032	402	Sisma Y SLO	0	46.1	0	0	0	0
2033	402	Eccentricità Y per sisma X SLO	0	0	0	0	0	-6.7E2	2034	402	Eccentricità X per sisma Y SLO	0	0	0	0	0	616.8
2035	403	Sisma X SLV	113.8	0	0	0	0	0	2036	403	Sisma Y SLV	0	113.8	0	0	0	0
2037	403	Eccentricità Y per sisma X SLV	0	0	0	0	0	-1.6E3	2038	403	Eccentricità X per sisma Y SLV	0	0	0	0	0	1.5E3
2039	403	Sisma X SLO	98	0	0	0	0	0	2040	403	Sisma Y SLO	0	98	0	0	0	0
2041	403	Eccentricità Y per sisma X SLO	0	0	0	0	0	-1.4E3	2042	403	Eccentricità X per sisma Y SLO	0	0	0	0	0	1.3E3
2043	404	Sisma X SLV	228.6	0	0	0	0	0	2044	404	Sisma Y SLV	0	228.6	0	0	0	0
2045	404	Eccentricità Y per sisma X SLV	0	0	0	0	0	-3.3E3	2046	404	Eccentricità X per sisma Y SLV	0	0	0	0	0	3.1E3
2047	404	Sisma X SLO	196.8	0	0	0	0	0	2048	404	Sisma Y SLO	0	196.8	0	0	0	0
2049	404	Eccentricità Y per sisma X SLO	0	0	0	0	0	-2.9E3	2050	404	Eccentricità X per sisma Y SLO	0	0	0	0	0	2.6E3
2051	405	Sisma X SLV	233.5	0	0	0	0	0	2052	405	Sisma Y SLV	0	233.5	0	0	0	0
2053	405	Eccentricità Y per sisma X SLV	0	0	0	0	0	-3.4E3	2054	405	Eccentricità X per sisma Y SLV	0	0	0	0	0	3.1E3
2055	405	Sisma X SLO	201	0	0	0	0	0	2056	405	Sisma Y SLO	0	201	0	0	0	0
2057	405	Eccentricità Y per sisma X SLO	0	0	0	0	0	-2.9E3	2058	405	Eccentricità X per sisma Y SLO	0	0	0	0	0	2.7E3
2059	406	Sisma X SLV	183	0	0	0	0	0	2060	406	Sisma Y SLV	0	183	0	0	0	0
2061	406	Eccentricità Y per sisma X SLV	0	0	0	0	0	-2.7E3	2062	406	Eccentricità X per sisma Y SLV	0	0	0	0	0	2.4E3
2063	406	Sisma X SLO	157.6	0	0	0	0	0	2064	406	Sisma Y SLO	0	157.6	0	0	0	0
2065	406	Eccentricità Y per sisma X SLO	0	0	0	0	0	-2.3E3	2066	406	Eccentricità X per sisma Y SLO	0	0	0	0	0	2.1E3
2067	407	Sisma X SLV	134	0	0	0	0	0	2068	407	Sisma Y SLV	0	134	0	0	0	0
2069	407	Eccentricità Y per sisma X SLV	0	0	0	0	0	-1.9E3	2070	407	Eccentricità X per sisma Y SLV	0	0	0	0	0	1.8E3
2071	407	Sisma X SLO	115.4	0	0	0	0	0	2072	407	Sisma Y SLO	0	115.4	0	0	0	0
2073	407	Eccentricità Y per sisma X SLO	0	0	0	0	0	-1.7E3	2074	407	Eccentricità X per sisma Y SLO	0	0	0	0	0	1.5E3
2075	408	Sisma X SLV	128.9	0	0	0	0	0	2076	408	Sisma Y SLV	0	128.9	0	0	0	0
2077	408	Eccentricità Y per sisma X SLV	0	0	0	0	0	-1.9E3	2078	408	Eccentricità X per sisma Y SLV	0	0	0	0	0	1.7E3
2079	408	Sisma X SLO	111	0	0	0	0	0	2080	408	Sisma Y SLO	0	111	0	0	0	0
2081	408	Eccentricità Y per sisma X SLO	0	0	0	0	0	-1.6E3	2082	408	Eccentricità X per sisma Y SLO	0	0	0	0	0	1.5E3
2083	409	Sisma X SLV	135.4	0	0	0	0	0	2084	409	Sisma Y SLV	0	135.4	0	0	0	0
2085	409	Eccentricità Y per sisma X SLV	0	0	0	0	0	-2.0E3	2086	409	Eccentricità X per sisma Y SLV	0	0	0	0	0	1.8E3
2087	409	Sisma X SLO	116.6	0	0	0	0	0	2088	409	Sisma Y SLO	0	116.6	0	0	0	0
2089	409	Eccentricità Y per sisma X SLO	0	0	0	0	0	-1.7E3	2090	409	Eccentricità X per sisma Y SLO	0	0	0	0	0	1559
2091	410	Sisma X SLV	64.9	0	0	0	0	0	2092	410	Sisma Y SLV	0	64.9	0	0	0	0
2093	410	Eccentricità Y per sisma X SLV	0	0	0	0	0	-9.4E2	2094	410	Eccentricità X per sisma Y SLV	0	0	0	0	0	867.5
2095	410	Sisma X SLO	55.8	0	0	0	0	0	2096	410	Sisma Y SLO	0	55.8	0	0	0	0
2097	410	Eccentricità Y per sisma X SLO	0	0	0	0	0	-8.1E2	2098	410	Eccentricità X per sisma Y SLO	0	0	0	0	0	747
2099	412	Sisma X SLV	53.4	0	0	0	0	0	2100	412	Sisma Y SLV	0	53.4	0	0	0	0
2101	412	Eccentricità Y per sisma X SLV	0	0	0	0	0	-7.7E2	2102	412	Eccentricità X per sisma Y SLV	0	0	0	0	0	713.8
2103	412	Sisma X SLO	46	0	0	0	0	0	2104	412	Sisma Y SLO	0	46	0	0	0	0
2105	412	Eccentricità Y per sisma X SLO	0	0	0	0	0	-6.7E2	2106	412	Eccentricità X per sisma Y SLO	0	0	0	0	0	614.6
2107	413	Sisma X SLV	106.7	0	0	0	0	0	2108	413	Sisma Y SLV	0	106.7	0	0	0	0
2109	413	Eccentricità Y per sisma X SLV	0	0	0	0	0	-1.5E3	2110	413	Eccentricità X per sisma Y SLV	0	0	0	0	0	1.4E3
2111	413	Sisma X SLO	91.9	0	0	0	0	0	2112	413	Sisma Y SLO	0	91.9	0	0	0	0
2113	413	Eccentricità Y per sisma X SLO	0	0	0	0	0	-1.3E3	2114	413	Eccentricità X per sisma Y SLO	0	0	0	0	0	1.2E3
2115	414	Sisma X SLV	105.5	0	0	0	0	0	2116	414	Sisma Y SLV	0	105.5	0	0	0	0
2117	414	Eccentricità Y per sisma X SLV	0	0	0	0	0	-1529	2118	414	Eccentricità X per sisma Y SLV	0	0	0	0	0	1.4E3
2119	414	Sisma X SLO	90.8	0	0	0	0	0	2120	414	Sisma Y SLO	0	90.8	0	0	0	0
2121	414	Eccentricità Y per sisma X SLO	0	0	0	0	0	-1.3E3	2122	414	Eccentricità X per sisma Y SLO	0	0	0	0	0	1.2E3
2123	415	Sisma X SLV	54.9	0	0	0	0	0	2124	415	Sisma Y SLV	0	54.9	0	0	0	0
2125	415	Eccentricità Y per sisma X SLV	0	0	0	0	0	-8.0E2	2126	415	Eccentricità X per sisma Y SLV	0	0	0	0	0	734.4
2127	415	Sisma X SLO	47.3	0	0	0	0	0	2128	415	Sisma Y SLO	0	47.3	0	0	0	0
2129	415	Eccentricità Y per sisma X SLO	0	0	0	0	0	-6.9E2	2130	415	Eccentricità X per sisma Y SLO	0	0	0	0	0	632.4
2131	416	Sisma X SLV	558	0	0	0	0	0	2132	416	Sisma Y SLV	0	558	0	0	0	0
2133	416	Eccentricità Y per sisma X SLV	0	0	0	0	0	-8.1E3	2134	416	Eccentricità X per sisma Y SLV	0	0	0	0	0	7.5E3
2135	416	Sisma X SLO	480.5	0	0	0	0	0	2136	416	Sisma Y SLO	0	480.5	0	0	0	0
2137	416	Eccentricità Y per sisma X SLO	0	0	0	0	0	-7.0E3	2138	416	Eccentricità X per sisma Y SLO	0	0	0	0	0	6.4E3
2139	417	Sisma X SLV	26.7	0	0	0	0	0	2140	417	Sisma Y SLV	0	26.7	0	0	0	0
2141	417	Eccentricità Y per sisma X SLV	0	0	0	0	0	-3.9E2	2142	417	Eccentricità X per sisma Y SLV	0	0	0	0	0	357.3

Indice	Nodo	Condizione	Fx	Fy	Fz	Mx	My	Mz	Indice	Nodo	Condizione	Fx	Fy	Fz	Mx	My	Mz
2143	417	Sisma X SLO	23	0	0	0	0	0	2144	417	Sisma Y SLO	0	23	0	0	0	0
2145	417	Eccentricità Y per sisma X SLO	0	0	0	0	0	-3.3E2	2146	417	Eccentricità X per sisma Y SLO	0	0	0	0	0	307.7
2147	418	Sisma X SLV	52.9	0	0	0	0	0	2148	418	Sisma Y SLV	0	52.9	0	0	0	0
2149	418	Eccentricità Y per sisma X SLV	0	0	0	0	0	-7.7E2	2150	418	Eccentricità X per sisma Y SLV	0	0	0	0	0	708
2151	418	Sisma X SLO	45.6	0	0	0	0	0	2152	418	Sisma Y SLO	0	45.6	0	0	0	0
2153	418	Eccentricità Y per sisma X SLO	0	0	0	0	0	-6.6E2	2154	418	Eccentricità X per sisma Y SLO	0	0	0	0	0	609.6
2155	419	Sisma X SLV	51.1	0	0	0	0	0	2156	419	Sisma Y SLV	0	51.1	0	0	0	0
2157	419	Eccentricità Y per sisma X SLV	0	0	0	0	0	-7.4E2	2158	419	Eccentricità X per sisma Y SLV	0	0	0	0	0	683.3
2159	419	Sisma X SLO	44	0	0	0	0	0	2160	419	Sisma Y SLO	0	44	0	0	0	0
2161	419	Eccentricità Y per sisma X SLO	0	0	0	0	0	-6.4E2	2162	419	Eccentricità X per sisma Y SLO	0	0	0	0	0	588.4
2163	420	Sisma X SLV	23.8	0	0	0	0	0	2164	420	Sisma Y SLV	0	23.8	0	0	0	0
2165	420	Eccentricità Y per sisma X SLV	0	0	0	0	0	-3.4E2	2166	420	Eccentricità X per sisma Y SLV	0	0	0	0	0	317.8
2167	420	Sisma X SLO	20.5	0	0	0	0	0	2168	420	Sisma Y SLO	0	20.5	0	0	0	0
2169	420	Eccentricità Y per sisma X SLO	0	0	0	0	0	-3.0E2	2170	420	Eccentricità X per sisma Y SLO	0	0	0	0	0	273.6
2171	421	Sisma X SLV	69.3	0	0	0	0	0	2172	421	Sisma Y SLV	0	69.3	0	0	0	0
2173	421	Sisma X SLO	59.7	0	0	0	0	0	2174	421	Sisma Y SLO	0	59.7	0	0	0	0
2175	422	Sisma X SLV	138.7	0	0	0	0	0	2176	422	Sisma Y SLV	0	138.7	0	0	0	0
2177	422	Sisma X SLO	119.4	0	0	0	0	0	2178	422	Sisma Y SLO	0	119.4	0	0	0	0
2179	423	Sisma X SLV	138.7	0	0	0	0	0	2180	423	Sisma Y SLV	0	138.7	0	0	0	0
2181	423	Sisma X SLO	119.4	0	0	0	0	0	2182	423	Sisma Y SLO	0	119.4	0	0	0	0
2183	424	Sisma X SLV	138.7	0	0	0	0	0	2184	424	Sisma Y SLV	0	138.7	0	0	0	0
2185	424	Sisma X SLO	119.4	0	0	0	0	0	2186	424	Sisma Y SLO	0	119.4	0	0	0	0
2187	425	Sisma X SLV	69.3	0	0	0	0	0	2188	425	Sisma Y SLV	0	69.3	0	0	0	0
2189	425	Sisma X SLO	59.7	0	0	0	0	0	2190	425	Sisma Y SLO	0	59.7	0	0	0	0
2191	426	Sisma X SLV	75.5	0	0	0	0	0	2192	426	Sisma Y SLV	0	75.5	0	0	0	0
2193	426	Sisma X SLO	65	0	0	0	0	0	2194	426	Sisma Y SLO	0	65	0	0	0	0
2195	427	Sisma X SLV	151.1	0	0	0	0	0	2196	427	Sisma Y SLV	0	151.1	0	0	0	0
2197	427	Sisma X SLO	130.1	0	0	0	0	0	2198	427	Sisma Y SLO	0	130.1	0	0	0	0
2199	428	Sisma X SLV	151.1	0	0	0	0	0	2200	428	Sisma Y SLV	0	151.1	0	0	0	0
2201	428	Sisma X SLO	130.1	0	0	0	0	0	2202	428	Sisma Y SLO	0	130.1	0	0	0	0
2203	429	Sisma X SLV	151.1	0	0	0	0	0	2204	429	Sisma Y SLV	0	151.1	0	0	0	0
2205	429	Sisma X SLO	130.1	0	0	0	0	0	2206	429	Sisma Y SLO	0	130.1	0	0	0	0
2207	430	Sisma X SLV	75.5	0	0	0	0	0	2208	430	Sisma Y SLV	0	75.5	0	0	0	0
2209	430	Sisma X SLO	65	0	0	0	0	0	2210	430	Sisma Y SLO	0	65	0	0	0	0
2211	431	Sisma X SLV	29.7	0	0	0	0	0	2212	431	Sisma Y SLV	0	29.7	0	0	0	0
2213	431	Eccentricità Y per sisma X SLV	0	0	0	0	0	-4.3E2	2214	431	Eccentricità X per sisma Y SLV	0	0	0	0	0	227.5
2215	431	Sisma X SLO	25.6	0	0	0	0	0	2216	431	Sisma Y SLO	0	25.6	0	0	0	0
2217	431	Eccentricità Y per sisma X SLO	0	0	0	0	0	-3.7E2	2218	431	Eccentricità X per sisma Y SLO	0	0	0	0	0	195.9
2219	432	Sisma X SLV	59.5	0	0	0	0	0	2220	432	Sisma Y SLV	0	59.5	0	0	0	0
2221	432	Eccentricità Y per sisma X SLV	0	0	0	0	0	-8.6E2	2222	432	Eccentricità X per sisma Y SLV	0	0	0	0	0	455.1
2223	432	Sisma X SLO	51.2	0	0	0	0	0	2224	432	Sisma Y SLO	0	51.2	0	0	0	0
2225	432	Eccentricità Y per sisma X SLO	0	0	0	0	0	-7.4E2	2226	432	Eccentricità X per sisma Y SLO	0	0	0	0	0	391.8
2227	433	Sisma X SLV	29.7	0	0	0	0	0	2228	433	Sisma Y SLV	0	29.7	0	0	0	0
2229	433	Eccentricità Y per sisma X SLV	0	0	0	0	0	-4.3E2	2230	433	Eccentricità X per sisma Y SLV	0	0	0	0	0	227.5
2231	433	Sisma X SLO	25.6	0	0	0	0	0	2232	433	Sisma Y SLO	0	25.6	0	0	0	0
2233	433	Eccentricità Y per sisma X SLO	0	0	0	0	0	-3.7E2	2234	433	Eccentricità X per sisma Y SLO	0	0	0	0	0	195.9
2235	434	Sisma X SLV	59.5	0	0	0	0	0	2236	434	Sisma Y SLV	0	59.5	0	0	0	0
2237	434	Eccentricità Y per sisma X SLV	0	0	0	0	0	-8.6E2	2238	434	Eccentricità X per sisma Y SLV	0	0	0	0	0	455.1
2239	434	Sisma X SLO	51.2	0	0	0	0	0	2240	434	Sisma Y SLO	0	51.2	0	0	0	0
2241	434	Eccentricità Y per sisma X SLO	0	0	0	0	0	-7.4E2	2242	434	Eccentricità X per sisma Y SLO	0	0	0	0	0	391.8
2243	435	Sisma X SLV	119	0	0	0	0	0	2244	435	Sisma Y SLV	0	119	0	0	0	0
2245	435	Eccentricità Y per sisma X SLV	0	0	0	0	0	-1.7E3	2246	435	Eccentricità X per sisma Y SLV	0	0	0	0	0	910.2
2247	435	Sisma X SLO	102.4	0	0	0	0	0	2248	435	Sisma Y SLO	0	102.4	0	0	0	0
2249	435	Eccentricità Y per sisma X SLO	0	0	0	0	0	-1.5E3	2250	435	Eccentricità X per sisma Y SLO	0	0	0	0	0	783.7
2251	436	Sisma X SLV	59.5	0	0	0	0	0	2252	436	Sisma Y SLV	0	59.5	0	0	0	0
2253	436	Eccentricità Y per sisma X SLV	0	0	0	0	0	-8.6E2	2254	436	Eccentricità X per sisma Y SLV	0	0	0	0	0	455.1
2255	436	Sisma X SLO	51.2	0	0	0	0	0	2256	436	Sisma Y SLO	0	51.2	0	0	0	0
2257	436	Eccentricità Y per sisma X SLO	0	0	0	0	0	-7.4E2	2258	436	Eccentricità X per sisma Y SLO	0	0	0	0	0	391.8
2259	437	Sisma X SLV	77.7	0	0	0	0	0	2260	437	Sisma Y SLV	0	77.7	0	0	0	0
2261	437	Eccentricità Y per sisma X SLV	0	0	0	0	0	-1.1E3	2262	437	Eccentricità X per sisma Y SLV	0	0	0	0	0	594.1
2263	437	Sisma X SLO	66.9	0	0	0	0	0	2264	437	Sisma Y SLO	0	66.9	0	0	0	0
2265	437	Eccentricità Y per sisma X SLO	0	0	0	0	0	-9.7E2	2266	437	Eccentricità X per sisma Y SLO	0	0	0	0	0	511.5
2267	438	Sisma X SLV	155.3	0	0	0	0	0	2268	438	Sisma Y SLV	0	155.3	0	0	0	0
2269	438	Eccentricità Y per sisma X SLV	0	0	0	0	0	-2.3E3	2270	438	Eccentricità X per sisma Y SLV	0	0	0	0	0	1.2E3
2271	438	Sisma X SLO	133.7	0	0	0	0	0	2272	438	Sisma Y SLO	0	133.7	0	0	0	0
2273	438	Eccentricità Y per sisma X SLO	0	0	0	0	0	-1.9E3	2274	438	Eccentricità X per sisma Y SLO	0	0	0	0	0	1.0E3
2275	439	Sisma X SLV	155.3	0	0	0	0	0	2276	439	Sisma Y SLV	0	155.3	0	0	0	0
2277	439	Eccentricità Y per sisma X SLV	0	0	0	0	0	-2.3E3	2278	439	Eccentricità X per sisma Y SLV	0	0	0	0	0	1.2E3
2279	439	Sisma X SLO	133.7	0	0	0	0	0	2280	439	Sisma Y SLO	0	133.7	0	0	0	0
2281	439	Eccentricità Y per sisma X SLO	0	0	0	0	0	-1.9E3	2282	439	Eccentricità X per sisma Y SLO	0	0	0	0	0	1.0E3
2283	440	Sisma X SLV	155.3	0	0	0	0	0	2284	440	Sisma Y SLV	0	155.3	0	0	0	0
2285	440	Eccentricità Y per sisma X SLV	0	0	0	0	0	-2.3E3	2286	440	Eccentricità X per sisma Y SLV	0	0	0	0	0	1.2E3
2287	440	Sisma X SLO	133.7	0	0	0	0	0	2288	440	Sisma Y SLO	0	133.7	0	0	0	0
2289	440	Eccentricità Y per sisma X SLO	0	0	0	0	0	-1.9E3	2290	440	Eccentricità X per sisma Y SLO	0	0	0	0	0	1.0E3
2291	441	Sisma X SLV	103.7	0	0	0	0	0	2292	441	Sisma Y SLV	0	103.7	0	0	0	0
2293	441	Eccentricità Y per sisma X SLV	0	0	0	0	0	-1.5E3	2294	441	Eccentricità X per sisma Y SLV	0	0	0	0	0	793.7
2295	441	Sisma X SLO	89.3	0	0	0	0	0	2296	441	Sisma Y SLO	0	89.3	0	0	0	0
2297	441	Eccentricità Y per sisma X SLO	0	0	0	0	0	-1.3E3	2298	441	Eccentricità X per sisma Y SLO	0	0	0	0	0	683.4
2299	442	Sisma X SLV	155.4	0	0	0	0	0	2300	442	Sisma Y SLV	0	155.4	0	0	0	0
2301	442	Eccentricità Y per sisma X SLV	0	0	0	0	0	-2.3E3	2302	442	Eccentricità X per sisma Y SLV	0	0	0	0	0	1.2E3
2303	442	Sisma X SLO	133.8	0	0	0	0	0	2304	442	Sisma Y SLO	0	133.8	0	0	0	0
2305	442	Eccentricità Y per sisma X SLO	0	0	0	0	0	-1.9E3	2306	442	Eccentricità X per sisma Y SLO	0	0	0	0	0	1.0E3
2307	443	Sisma X SLV	254.6	0	0	0	0	0	2308	443	Sisma Y SLV	0	254.6	0	0	0	0
2309	443	Eccentricità Y per sisma X SLV	0	0	0	0	0	-3.7E3	2310	443	Eccentricità X per sisma Y SLV	0	0	0	0	0	1.9E3
2311	443	Sisma X SLO	219.2	0	0	0	0	0	2312	443	Sisma Y SLO	0	219.2	0	0	0	0
2313	443	Eccentricità Y per sisma X SLO	0	0	0	0	0	-3.2E3	2314	443	Eccentricità X per sisma Y SLO	0	0	0	0	0	1677
2315	444	Sisma X SLV	126.3	0	0	0	0	0	2316	444	Sisma Y SLV	0					

Indice	Nodo	Condizione	Fx	Fy	Fz	Mx	My	Mz	Indice	Nodo	Condizione	Fx	Fy	Fz	Mx	My	Mz
2321	444	Eccentricità Y per sisma X SLO	0	0	0	0	0	-1.6E3	2322	444	Eccentricità X per sisma Y SLO	0	0	0	0	0	831.7
2323	446	Sisma X SLV	59.5	0	0	0	0	0	2324	446	Sisma Y SLV	0	59.5	0	0	0	0
2325	446	Eccentricità Y per sisma X SLV	0	0	0	0	0	-8.6E2	2326	446	Eccentricità X per sisma Y SLV	0	0	0	0	0	455.1
2327	446	Sisma X SLO	51.2	0	0	0	0	0	2328	446	Sisma Y SLO	0	51.2	0	0	0	0
2329	446	Eccentricità Y per sisma X SLO	0	0	0	0	0	-7.4E2	2330	446	Eccentricità X per sisma Y SLO	0	0	0	0	0	391.8
2331	447	Sisma X SLV	118.7	0	0	0	0	0	2332	447	Sisma Y SLV	0	118.7	0	0	0	0
2333	447	Eccentricità Y per sisma X SLV	0	0	0	0	0	-1.7E3	2334	447	Eccentricità X per sisma Y SLV	0	0	0	0	0	908.2
2335	447	Sisma X SLO	102.2	0	0	0	0	0	2336	447	Sisma Y SLO	0	102.2	0	0	0	0
2337	447	Eccentricità Y per sisma X SLO	0	0	0	0	0	-1.5E3	2338	447	Eccentricità X per sisma Y SLO	0	0	0	0	0	782
2339	448	Sisma X SLV	781.2	0	0	0	0	0	2340	448	Sisma Y SLV	0	781.2	0	0	0	0
2341	448	Eccentricità Y per sisma X SLV	0	0	0	0	0	-1.1E4	2342	448	Eccentricità X per sisma Y SLV	0	0	0	0	0	6.0E3
2343	448	Sisma X SLO	672.6	0	0	0	0	0	2344	448	Sisma Y SLO	0	672.6	0	0	0	0
2345	448	Eccentricità Y per sisma X SLO	0	0	0	0	0	-9.8E3	2346	448	Eccentricità X per sisma Y SLO	0	0	0	0	0	5.1E3
2347	449	Sisma X SLV	27.2	0	0	0	0	0	2348	449	Sisma Y SLV	0	27.2	0	0	0	0
2349	449	Eccentricità Y per sisma X SLV	0	0	0	0	0	-3.9E2	2350	449	Eccentricità X per sisma Y SLV	0	0	0	0	0	207.9
2351	449	Sisma X SLO	23.4	0	0	0	0	0	2352	449	Sisma Y SLO	0	23.4	0	0	0	0
2353	449	Eccentricità Y per sisma X SLO	0	0	0	0	0	-3.4E2	2354	449	Eccentricità X per sisma Y SLO	0	0	0	0	0	179
2355	450	Sisma X SLV	57.2	0	0	0	0	0	2356	450	Sisma Y SLV	0	57.2	0	0	0	0
2357	450	Eccentricità Y per sisma X SLV	0	0	0	0	0	-8.3E2	2358	450	Eccentricità X per sisma Y SLV	0	0	0	0	0	437.4
2359	450	Sisma X SLO	49.2	0	0	0	0	0	2360	450	Sisma Y SLO	0	49.2	0	0	0	0
2361	450	Eccentricità Y per sisma X SLO	0	0	0	0	0	-7.1E2	2362	450	Eccentricità X per sisma Y SLO	0	0	0	0	0	376.6
2363	451	Sisma X SLV	29.5	0	0	0	0	0	2364	451	Sisma Y SLV	0	29.5	0	0	0	0
2365	451	Eccentricità Y per sisma X SLV	0	0	0	0	0	-4.3E2	2366	451	Eccentricità X per sisma Y SLV	0	0	0	0	0	225.6
2367	451	Sisma X SLO	25.4	0	0	0	0	0	2368	451	Sisma Y SLO	0	25.4	0	0	0	0
2369	451	Eccentricità Y per sisma X SLO	0	0	0	0	0	-3.7E2	2370	451	Eccentricità X per sisma Y SLO	0	0	0	0	0	194.2
2371	452	Sisma X SLV	78.6	0	0	0	0	0	2372	452	Sisma Y SLV	0	78.6	0	0	0	0
2373	452	Sisma X SLO	67.7	0	0	0	0	0	2374	452	Sisma Y SLO	0	67.7	0	0	0	0
2375	453	Sisma X SLV	157.2	0	0	0	0	0	2376	453	Sisma Y SLV	0	157.2	0	0	0	0
2377	453	Sisma X SLO	135.3	0	0	0	0	0	2378	453	Sisma Y SLO	0	135.3	0	0	0	0
2379	454	Sisma X SLV	157.2	0	0	0	0	0	2380	454	Sisma Y SLV	0	157.2	0	0	0	0
2381	454	Sisma X SLO	135.3	0	0	0	0	0	2382	454	Sisma Y SLO	0	135.3	0	0	0	0
2383	455	Sisma X SLV	157.2	0	0	0	0	0	2384	455	Sisma Y SLV	0	157.2	0	0	0	0
2385	455	Sisma X SLO	135.3	0	0	0	0	0	2386	455	Sisma Y SLO	0	135.3	0	0	0	0
2387	456	Sisma X SLV	78.6	0	0	0	0	0	2388	456	Sisma Y SLV	0	78.6	0	0	0	0
2389	456	Sisma X SLO	67.7	0	0	0	0	0	2390	456	Sisma Y SLO	0	67.7	0	0	0	0
2391	457	Sisma X SLV	83.6	0	0	0	0	0	2392	457	Sisma Y SLV	0	83.6	0	0	0	0
2393	457	Sisma X SLO	72	0	0	0	0	0	2394	457	Sisma Y SLO	0	72	0	0	0	0
2395	458	Sisma X SLV	167.2	0	0	0	0	0	2396	458	Sisma Y SLV	0	167.2	0	0	0	0
2397	458	Sisma X SLO	144	0	0	0	0	0	2398	458	Sisma Y SLO	0	144	0	0	0	0
2399	459	Sisma X SLV	167.2	0	0	0	0	0	2400	459	Sisma Y SLV	0	167.2	0	0	0	0
2401	459	Sisma X SLO	144	0	0	0	0	0	2402	459	Sisma Y SLO	0	144	0	0	0	0
2403	460	Sisma X SLV	167.2	0	0	0	0	0	2404	460	Sisma Y SLV	0	167.2	0	0	0	0
2405	460	Sisma X SLO	144	0	0	0	0	0	2406	460	Sisma Y SLO	0	144	0	0	0	0
2407	461	Sisma X SLV	83.6	0	0	0	0	0	2408	461	Sisma Y SLV	0	83.6	0	0	0	0
2409	461	Sisma X SLO	72	0	0	0	0	0	2410	461	Sisma Y SLO	0	72	0	0	0	0
2411	462	Sisma X SLV	88.6	0	0	0	0	0	2412	462	Sisma Y SLV	0	88.6	0	0	0	0
2413	462	Sisma X SLO	76.3	0	0	0	0	0	2414	462	Sisma Y SLO	0	76.3	0	0	0	0
2415	463	Sisma X SLV	177.3	0	0	0	0	0	2416	463	Sisma Y SLV	0	177.3	0	0	0	0
2417	463	Sisma X SLO	152.6	0	0	0	0	0	2418	463	Sisma Y SLO	0	152.6	0	0	0	0
2419	464	Sisma X SLV	177.3	0	0	0	0	0	2420	464	Sisma Y SLV	0	177.3	0	0	0	0
2421	464	Sisma X SLO	152.6	0	0	0	0	0	2422	464	Sisma Y SLO	0	152.6	0	0	0	0
2423	465	Sisma X SLV	177.3	0	0	0	0	0	2424	465	Sisma Y SLV	0	177.3	0	0	0	0
2425	465	Sisma X SLO	152.6	0	0	0	0	0	2426	465	Sisma Y SLO	0	152.6	0	0	0	0
2427	466	Sisma X SLV	88.6	0	0	0	0	0	2428	466	Sisma Y SLV	0	88.6	0	0	0	0
2429	466	Sisma X SLO	76.3	0	0	0	0	0	2430	466	Sisma Y SLO	0	76.3	0	0	0	0
2431	467	Sisma X SLV	27.9	0	0	0	0	0	2432	467	Sisma Y SLV	0	27.9	0	0	0	0
2433	467	Eccentricità Y per sisma X SLV	0	0	0	0	0	-4.6E2	2434	467	Eccentricità X per sisma Y SLV	0	0	0	0	0	1130
2435	467	Sisma X SLO	24	0	0	0	0	0	2436	467	Sisma Y SLO	0	24	0	0	0	0
2437	467	Eccentricità Y per sisma X SLO	0	0	0	0	0	-4.0E2	2438	467	Eccentricità X per sisma Y SLO	0	0	0	0	0	972.9
2439	468	Sisma X SLV	55.7	0	0	0	0	0	2440	468	Sisma Y SLV	0	55.7	0	0	0	0
2441	468	Eccentricità Y per sisma X SLV	0	0	0	0	0	-9.2E2	2442	468	Eccentricità X per sisma Y SLV	0	0	0	0	0	2.3E3
2443	468	Sisma X SLO	48	0	0	0	0	0	2444	468	Sisma Y SLO	0	48	0	0	0	0
2445	468	Eccentricità Y per sisma X SLO	0	0	0	0	0	-792	2446	468	Eccentricità X per sisma Y SLO	0	0	0	0	0	1.9E3
2447	469	Sisma X SLV	55.7	0	0	0	0	0	2448	469	Sisma Y SLV	0	55.7	0	0	0	0
2449	469	Eccentricità Y per sisma X SLV	0	0	0	0	0	-9.2E2	2450	469	Eccentricità X per sisma Y SLV	0	0	0	0	0	2259
2451	469	Sisma X SLO	48	0	0	0	0	0	2452	469	Sisma Y SLO	0	48	0	0	0	0
2453	469	Eccentricità Y per sisma X SLO	0	0	0	0	0	-7.9E2	2454	469	Eccentricità X per sisma Y SLO	0	0	0	0	0	1.9E3
2455	470	Sisma X SLV	55.8	0	0	0	0	0	2456	470	Sisma Y SLV	0	55.8	0	0	0	0
2457	470	Eccentricità Y per sisma X SLV	0	0	0	0	0	-920	2458	470	Eccentricità X per sisma Y SLV	0	0	0	0	0	2.3E3
2459	470	Sisma X SLO	48	0	0	0	0	0	2460	470	Sisma Y SLO	0	48	0	0	0	0
2461	470	Eccentricità Y per sisma X SLO	0	0	0	0	0	-7.9E2	2462	470	Eccentricità X per sisma Y SLO	0	0	0	0	0	1.9E3
2463	471	Sisma X SLV	55.7	0	0	0	0	0	2464	471	Sisma Y SLV	0	55.7	0	0	0	0
2465	471	Eccentricità Y per sisma X SLV	0	0	0	0	0	-9.2E2	2466	471	Eccentricità X per sisma Y SLV	0	0	0	0	0	2.3E3
2467	471	Sisma X SLO	48	0	0	0	0	0	2468	471	Sisma Y SLO	0	48	0	0	0	0
2469	471	Eccentricità Y per sisma X SLO	0	0	0	0	0	-7.9E2	2470	471	Eccentricità X per sisma Y SLO	0	0	0	0	0	1.9E3
2471	472	Sisma X SLV	55.6	0	0	0	0	0	2472	472	Sisma Y SLV	0	55.6	0	0	0	0
2473	472	Eccentricità Y per sisma X SLV	0	0	0	0	0	-9.2E2	2474	472	Eccentricità X per sisma Y SLV	0	0	0	0	0	2.3E3
2475	472	Sisma X SLO	47.8	0	0	0	0	0	2476	472	Sisma Y SLO	0	47.8	0	0	0	0
2477	472	Eccentricità Y per sisma X SLO	0	0	0	0	0	-7.9E2	2478	472	Eccentricità X per sisma Y SLO	0	0	0	0	0	1.9E3
2479	473	Sisma X SLV	54.9	0	0	0	0	0	2480	473	Sisma Y SLV	0	54.9	0	0	0	0
2481	473	Eccentricità Y per sisma X SLV	0	0	0	0	0	-9.1E2	2482	473	Eccentricità X per sisma Y SLV	0	0	0	0	0	2.2E3
2483	473	Sisma X SLO	47.3	0	0	0	0	0	2484	473	Sisma Y SLO	0	47.3	0	0	0	0
2485	473	Eccentricità Y per sisma X SLO	0	0	0	0	0	-7.8E2	2486	473	Eccentricità X per sisma Y SLO	0	0	0	0	0	1.9E3
2487	474	Sisma X SLV	52.6	0	0	0	0	0	2488	474	Sisma Y SLV	0	52.6	0	0	0	0
2489	474	Eccentricità Y per sisma X SLV	0	0	0	0	0	-8.7E2	2490	474	Eccentricità X per sisma Y SLV	0	0	0	0	0	2.1E3
2491	474	Sisma X SLO	45.3	0	0	0	0	0	2492	474	Sisma Y SLO	0	45.3	0	0	0	0
2493	474	Eccentricità Y per sisma X SLO	0	0	0	0	0	-7.5E2	2494	474	Eccentricità X per sisma Y SLO	0	0	0	0	0	1.8E3
2495	475	Sisma X SLV															

Indice	Nodo	Condizione	Fx	Fy	Fz	Mx	My	Mz	Indice	Nodo	Condizione	Fx	Fy	Fz	Mx	My	Mz
2503	476	Sisma X SLV	57.7	0	0	0	0	0	2504	476	Sisma Y SLV	0	57.7	0	0	0	0
2505	476	Eccentricità Y per sisma X SLV	0	0	0	0	0	-9.5E2	2506	476	Eccentricità X per sisma Y SLV	0	0	0	0	0	2.3E3
2507	476	Sisma X SLO	49.7	0	0	0	0	0	2508	476	Sisma Y SLO	0	49.7	0	0	0	0
2509	476	Eccentricità Y per sisma X SLO	0	0	0	0	0	-8.2E2	2510	476	Eccentricità X per sisma Y SLO	0	0	0	0	0	2.0E3
2511	477	Sisma X SLV	30.9	0	0	0	0	0	2512	477	Sisma Y SLV	0	30.9	0	0	0	0
2513	477	Eccentricità Y per sisma X SLV	0	0	0	0	0	-5.1E2	2514	477	Eccentricità X per sisma Y SLV	0	0	0	0	0	1.3E3
2515	477	Sisma X SLO	26.6	0	0	0	0	0	2516	477	Sisma Y SLO	0	26.6	0	0	0	0
2517	477	Eccentricità Y per sisma X SLO	0	0	0	0	0	-439	2518	477	Eccentricità X per sisma Y SLO	0	0	0	0	0	1.1E3
2519	478	Sisma X SLV	83.1	0	0	0	0	0	2520	478	Sisma Y SLV	0	83.1	0	0	0	0
2521	478	Eccentricità Y per sisma X SLV	0	0	0	0	0	-1.4E3	2522	478	Eccentricità X per sisma Y SLV	0	0	0	0	0	3.4E3
2523	478	Sisma X SLO	71.6	0	0	0	0	0	2524	478	Sisma Y SLO	0	71.6	0	0	0	0
2525	478	Eccentricità Y per sisma X SLO	0	0	0	0	0	-1.2E3	2526	478	Eccentricità X per sisma Y SLO	0	0	0	0	0	2.9E3
2527	479	Sisma X SLV	101.1	0	0	0	0	0	2528	479	Sisma Y SLV	0	101.1	0	0	0	0
2529	479	Eccentricità Y per sisma X SLV	0	0	0	0	0	-1668	2530	479	Eccentricità X per sisma Y SLV	0	0	0	0	0	4.1E3
2531	479	Sisma X SLO	87	0	0	0	0	0	2532	479	Sisma Y SLO	0	87	0	0	0	0
2533	479	Eccentricità Y per sisma X SLO	0	0	0	0	0	-1.4E3	2534	479	Eccentricità X per sisma Y SLO	0	0	0	0	0	3.5E3
2535	480	Sisma X SLV	115	0	0	0	0	0	2536	480	Sisma Y SLV	0	115	0	0	0	0
2537	480	Eccentricità Y per sisma X SLV	0	0	0	0	0	-1.9E3	2538	480	Eccentricità X per sisma Y SLV	0	0	0	0	0	4.7E3
2539	480	Sisma X SLO	99.1	0	0	0	0	0	2540	480	Sisma Y SLO	0	99.1	0	0	0	0
2541	480	Eccentricità Y per sisma X SLO	0	0	0	0	0	-1.6E3	2542	480	Eccentricità X per sisma Y SLO	0	0	0	0	0	4.0E3
2543	481	Sisma X SLV	115.9	0	0	0	0	0	2544	481	Sisma Y SLV	0	115.9	0	0	0	0
2545	481	Eccentricità Y per sisma X SLV	0	0	0	0	0	-1.9E3	2546	481	Eccentricità X per sisma Y SLV	0	0	0	0	0	4.7E3
2547	481	Sisma X SLO	99.8	0	0	0	0	0	2548	481	Sisma Y SLO	0	99.8	0	0	0	0
2549	481	Eccentricità Y per sisma X SLO	0	0	0	0	0	-1.6E3	2550	481	Eccentricità X per sisma Y SLO	0	0	0	0	0	4.0E3
2551	482	Sisma X SLV	116.1	0	0	0	0	0	2552	482	Sisma Y SLV	0	116.1	0	0	0	0
2553	482	Eccentricità Y per sisma X SLV	0	0	0	0	0	-1.9E3	2554	482	Eccentricità X per sisma Y SLV	0	0	0	0	0	4.7E3
2555	482	Sisma X SLO	100	0	0	0	0	0	2556	482	Sisma Y SLO	0	100	0	0	0	0
2557	482	Eccentricità Y per sisma X SLO	0	0	0	0	0	-1.6E3	2558	482	Eccentricità X per sisma Y SLO	0	0	0	0	0	4.1E3
2559	483	Sisma X SLV	116	0	0	0	0	0	2560	483	Sisma Y SLV	0	116	0	0	0	0
2561	483	Eccentricità Y per sisma X SLV	0	0	0	0	0	-1.9E3	2562	483	Eccentricità X per sisma Y SLV	0	0	0	0	0	4.7E3
2563	483	Sisma X SLO	99.9	0	0	0	0	0	2564	483	Sisma Y SLO	0	99.9	0	0	0	0
2565	483	Eccentricità Y per sisma X SLO	0	0	0	0	0	-1.6E3	2566	483	Eccentricità X per sisma Y SLO	0	0	0	0	0	4.0E3
2567	484	Sisma X SLV	115.7	0	0	0	0	0	2568	484	Sisma Y SLV	0	115.7	0	0	0	0
2569	484	Eccentricità Y per sisma X SLV	0	0	0	0	0	-1.9E3	2570	484	Eccentricità X per sisma Y SLV	0	0	0	0	0	4.7E3
2571	484	Sisma X SLO	99.7	0	0	0	0	0	2572	484	Sisma Y SLO	0	99.7	0	0	0	0
2573	484	Eccentricità Y per sisma X SLO	0	0	0	0	0	-1.6E3	2574	484	Eccentricità X per sisma Y SLO	0	0	0	0	0	4.0E3
2575	485	Sisma X SLV	116.7	0	0	0	0	0	2576	485	Sisma Y SLV	0	116.7	0	0	0	0
2577	485	Eccentricità Y per sisma X SLV	0	0	0	0	0	-1.9E3	2578	485	Eccentricità X per sisma Y SLV	0	0	0	0	0	4.7E3
2579	485	Sisma X SLO	100.5	0	0	0	0	0	2580	485	Sisma Y SLO	0	100.5	0	0	0	0
2581	485	Eccentricità Y per sisma X SLO	0	0	0	0	0	-1.7E3	2582	485	Eccentricità X per sisma Y SLO	0	0	0	0	0	4.1E3
2583	486	Sisma X SLV	57.8	0	0	0	0	0	2584	486	Sisma Y SLV	0	57.8	0	0	0	0
2585	486	Eccentricità Y per sisma X SLV	0	0	0	0	0	-9.5E2	2586	486	Eccentricità X per sisma Y SLV	0	0	0	0	0	2.3E3
2587	486	Sisma X SLO	49.8	0	0	0	0	0	2588	486	Sisma Y SLO	0	49.8	0	0	0	0
2589	486	Eccentricità Y per sisma X SLO	0	0	0	0	0	-8.2E2	2590	486	Eccentricità X per sisma Y SLO	0	0	0	0	0	2.0E3
2591	487	Sisma X SLV	113.9	0	0	0	0	0	2592	487	Sisma Y SLV	0	113.9	0	0	0	0
2593	487	Eccentricità Y per sisma X SLV	0	0	0	0	0	-1.9E3	2594	487	Eccentricità X per sisma Y SLV	0	0	0	0	0	4.6E3
2595	487	Sisma X SLO	98.1	0	0	0	0	0	2596	487	Sisma Y SLO	0	98.1	0	0	0	0
2597	487	Eccentricità Y per sisma X SLO	0	0	0	0	0	-1.6E3	2598	487	Eccentricità X per sisma Y SLO	0	0	0	0	0	4.0E3
2599	488	Sisma X SLV	63.6	0	0	0	0	0	2600	488	Sisma Y SLV	0	63.6	0	0	0	0
2601	488	Eccentricità Y per sisma X SLV	0	0	0	0	0	-1.1E3	2602	488	Eccentricità X per sisma Y SLV	0	0	0	0	0	2.6E3
2603	488	Sisma X SLO	54.8	0	0	0	0	0	2604	488	Sisma Y SLO	0	54.8	0	0	0	0
2605	488	Eccentricità Y per sisma X SLO	0	0	0	0	0	-9.0E2	2606	488	Eccentricità X per sisma Y SLO	0	0	0	0	0	2.2E3
2607	489	Sisma X SLV	50.6	0	0	0	0	0	2608	489	Sisma Y SLV	0	50.6	0	0	0	0
2609	489	Eccentricità Y per sisma X SLV	0	0	0	0	0	-8.3E2	2610	489	Eccentricità X per sisma Y SLV	0	0	0	0	0	2.1E3
2611	489	Sisma X SLO	43.6	0	0	0	0	0	2612	489	Sisma Y SLO	0	43.6	0	0	0	0
2613	489	Eccentricità Y per sisma X SLO	0	0	0	0	0	-7.2E2	2614	489	Eccentricità X per sisma Y SLO	0	0	0	0	0	1.8E3
2615	490	Sisma X SLV	167.6	0	0	0	0	0	2616	490	Sisma Y SLV	0	167.6	0	0	0	0
2617	490	Eccentricità Y per sisma X SLV	0	0	0	0	0	-2.8E3	2618	490	Eccentricità X per sisma Y SLV	0	0	0	0	0	6.8E3
2619	490	Sisma X SLO	144.3	0	0	0	0	0	2620	490	Sisma Y SLO	0	144.3	0	0	0	0
2621	490	Eccentricità Y per sisma X SLO	0	0	0	0	0	-2.4E3	2622	490	Eccentricità X per sisma Y SLO	0	0	0	0	0	5.8E3
2623	491	Sisma X SLV	336.6	0	0	0	0	0	2624	491	Sisma Y SLV	0	336.6	0	0	0	0
2625	491	Eccentricità Y per sisma X SLV	0	0	0	0	0	-5.6E3	2626	491	Eccentricità X per sisma Y SLV	0	0	0	0	0	13640
2627	491	Sisma X SLO	289.8	0	0	0	0	0	2628	491	Sisma Y SLO	0	289.8	0	0	0	0
2629	491	Eccentricità Y per sisma X SLO	0	0	0	0	0	-4.8E3	2630	491	Eccentricità X per sisma Y SLO	0	0	0	0	0	1.2E4
2631	492	Sisma X SLV	337.4	0	0	0	0	0	2632	492	Sisma Y SLV	0	337.4	0	0	0	0
2633	492	Eccentricità Y per sisma X SLV	0	0	0	0	0	-5.6E3	2634	492	Eccentricità X per sisma Y SLV	0	0	0	0	0	1.4E4
2635	492	Sisma X SLO	290.5	0	0	0	0	0	2636	492	Sisma Y SLO	0	290.5	0	0	0	0
2637	492	Eccentricità Y per sisma X SLO	0	0	0	0	0	-4793	2638	492	Eccentricità X per sisma Y SLO	0	0	0	0	0	1.2E4
2639	493	Sisma X SLV	268.6	0	0	0	0	0	2640	493	Sisma Y SLV	0	268.6	0	0	0	0
2641	493	Eccentricità Y per sisma X SLV	0	0	0	0	0	-4.4E3	2642	493	Eccentricità X per sisma Y SLV	0	0	0	0	0	1.1E4
2643	493	Sisma X SLO	231.3	0	0	0	0	0	2644	493	Sisma Y SLO	0	231.3	0	0	0	0
2645	493	Eccentricità Y per sisma X SLO	0	0	0	0	0	-3.8E3	2646	493	Eccentricità X per sisma Y SLO	0	0	0	0	0	9.4E3
2647	494	Sisma X SLV	208.3	0	0	0	0	0	2648	494	Sisma Y SLV	0	208.3	0	0	0	0
2649	494	Eccentricità Y per sisma X SLV	0	0	0	0	0	-3.4E3	2650	494	Eccentricità X per sisma Y SLV	0	0	0	0	0	8.4E3
2651	494	Sisma X SLO	179.4	0	0	0	0	0	2652	494	Sisma Y SLO	0	179.4	0	0	0	0
2653	494	Eccentricità Y per sisma X SLO	0	0	0	0	0	-3.0E3	2654	494	Eccentricità X per sisma Y SLO	0	0	0	0	0	7.3E3
2655	495	Sisma X SLV	205	0	0	0	0	0	2656	495	Sisma Y SLV	0	205	0	0	0	0
2657	495	Eccentricità Y per sisma X SLV	0	0	0	0	0	-3.4E3	2658	495	Eccentricità X per sisma Y SLV	0	0	0	0	0	8306
2659	495	Sisma X SLO	176.5	0	0	0	0	0	2660	495	Sisma Y SLO	0	176.5	0	0	0	0
2661	495	Eccentricità Y per sisma X SLO	0	0	0	0	0	-2.9E3	2662	495	Eccentricità X per sisma Y SLO	0	0	0	0	0	7.2E3
2663	496	Sisma X SLV	201.5	0	0	0	0	0	2664	496	Sisma Y SLV	0	201.5	0	0	0	0
2665	496	Eccentricità Y per sisma X SLV	0	0	0	0	0	-3.3E3	2666	496	Eccentricità X per sisma Y SLV	0	0	0	0	0	8.2E3

Indice	Nodo	Condizione	Fx	Fy	Fz	Mx	My	Mz	Indice	Nodo	Condizione	Fx	Fy	Fz	Mx	My	Mz
2667	496	Sisma X SLO	173.5	0	0	0	0	0	2668	496	Sisma Y SLO	0	173.5	0	0	0	0
2669	496	Eccentricità Y per sisma X SLO	0	0	0	0	0	-2.9E3	2670	496	Eccentricità X per sisma Y SLO	0	0	0	0	0	7.0E3
2671	497	Sisma X SLV	131.9	0	0	0	0	0	2672	497	Sisma Y SLV	0	131.9	0	0	0	0
2673	497	Eccentricità Y per sisma X SLV	0	0	0	0	0	-2.2E3	2674	497	Eccentricità X per sisma Y SLV	0	0	0	0	0	5.3E3
2675	497	Sisma X SLO	113.6	0	0	0	0	0	2676	497	Sisma Y SLO	0	113.6	0	0	0	0
2677	497	Eccentricità Y per sisma X SLO	0	0	0	0	0	-1874	2678	497	Eccentricità X per sisma Y SLO	0	0	0	0	0	4.6E3
2679	499	Sisma X SLV	132.6	0	0	0	0	0	2680	499	Sisma Y SLV	0	132.6	0	0	0	0
2681	499	Eccentricità Y per sisma X SLV	0	0	0	0	0	-2.2E3	2682	499	Eccentricità X per sisma Y SLV	0	0	0	0	0	5.4E3
2683	499	Sisma X SLO	114.2	0	0	0	0	0	2684	499	Sisma Y SLO	0	114.2	0	0	0	0
2685	499	Eccentricità Y per sisma X SLO	0	0	0	0	0	-1.9E3	2686	499	Eccentricità X per sisma Y SLO	0	0	0	0	0	4.6E3
2687	500	Sisma X SLV	72.6	0	0	0	0	0	2688	500	Sisma Y SLV	0	72.6	0	0	0	0
2689	500	Eccentricità Y per sisma X SLV	0	0	0	0	0	-1.2E3	2690	500	Eccentricità X per sisma Y SLV	0	0	0	0	0	2.9E3
2691	500	Sisma X SLO	62.5	0	0	0	0	0	2692	500	Sisma Y SLO	0	62.5	0	0	0	0
2693	500	Eccentricità Y per sisma X SLO	0	0	0	0	0	-1.0E3	2694	500	Eccentricità X per sisma Y SLO	0	0	0	0	0	2.5E3
2695	501	Sisma X SLV	95	0	0	0	0	0	2696	501	Sisma Y SLV	0	95	0	0	0	0
2697	501	Eccentricità Y per sisma X SLV	0	0	0	0	0	-1567	2698	501	Eccentricità X per sisma Y SLV	0	0	0	0	0	3.8E3
2699	501	Sisma X SLO	81.8	0	0	0	0	0	2700	501	Sisma Y SLO	0	81.8	0	0	0	0
2701	501	Eccentricità Y per sisma X SLO	0	0	0	0	0	-1.3E3	2702	501	Eccentricità X per sisma Y SLO	0	0	0	0	0	3.3E3
2703	502	Sisma X SLV	98.1	0	0	0	0	0	2704	502	Sisma Y SLV	0	98.1	0	0	0	0
2705	502	Eccentricità Y per sisma X SLV	0	0	0	0	0	-1619	2706	502	Eccentricità X per sisma Y SLV	0	0	0	0	0	4.0E3
2707	502	Sisma X SLO	84.5	0	0	0	0	0	2708	502	Sisma Y SLO	0	84.5	0	0	0	0
2709	502	Eccentricità Y per sisma X SLO	0	0	0	0	0	-1394	2710	502	Eccentricità X per sisma Y SLO	0	0	0	0	0	3.4E3
2711	503	Sisma X SLV	100.3	0	0	0	0	0	2712	503	Sisma Y SLV	0	100.3	0	0	0	0
2713	503	Eccentricità Y per sisma X SLV	0	0	0	0	0	-1.7E3	2714	503	Eccentricità X per sisma Y SLV	0	0	0	0	0	4.1E3
2715	503	Sisma X SLO	86.4	0	0	0	0	0	2716	503	Sisma Y SLO	0	86.4	0	0	0	0
2717	503	Eccentricità Y per sisma X SLO	0	0	0	0	0	-1.4E3	2718	503	Eccentricità X per sisma Y SLO	0	0	0	0	0	3.5E3
2719	504	Sisma X SLV	103.7	0	0	0	0	0	2720	504	Sisma Y SLV	0	103.7	0	0	0	0
2721	504	Eccentricità Y per sisma X SLV	0	0	0	0	0	-1.7E3	2722	504	Eccentricità X per sisma Y SLV	0	0	0	0	0	4.2E3
2723	504	Sisma X SLO	89.3	0	0	0	0	0	2724	504	Sisma Y SLO	0	89.3	0	0	0	0
2725	504	Eccentricità Y per sisma X SLO	0	0	0	0	0	-1.5E3	2726	504	Eccentricità X per sisma Y SLO	0	0	0	0	0	3.6E3
2727	505	Sisma X SLV	115.3	0	0	0	0	0	2728	505	Sisma Y SLV	0	115.3	0	0	0	0
2729	505	Eccentricità Y per sisma X SLV	0	0	0	0	0	-1.9E3	2730	505	Eccentricità X per sisma Y SLV	0	0	0	0	0	4.7E3
2731	505	Sisma X SLO	99.3	0	0	0	0	0	2732	505	Sisma Y SLO	0	99.3	0	0	0	0
2733	505	Eccentricità Y per sisma X SLO	0	0	0	0	0	-1.6E3	2734	505	Eccentricità X per sisma Y SLO	0	0	0	0	0	4.0E3
2735	506	Sisma X SLV	77.6	0	0	0	0	0	2736	506	Sisma Y SLV	0	77.6	0	0	0	0
2737	506	Eccentricità Y per sisma X SLV	0	0	0	0	0	-1.3E3	2738	506	Eccentricità X per sisma Y SLV	0	0	0	0	0	3.1E3
2739	506	Sisma X SLO	66.9	0	0	0	0	0	2740	506	Sisma Y SLO	0	66.9	0	0	0	0
2741	506	Eccentricità Y per sisma X SLO	0	0	0	0	0	-1.1E3	2742	506	Eccentricità X per sisma Y SLO	0	0	0	0	0	2.7E3
2743	507	Sisma X SLV	156.3	0	0	0	0	0	2744	507	Sisma Y SLV	0	156.3	0	0	0	0
2745	507	Eccentricità Y per sisma X SLV	0	0	0	0	0	-2.6E3	2746	507	Eccentricità X per sisma Y SLV	0	0	0	0	0	6.3E3
2747	507	Sisma X SLO	134.6	0	0	0	0	0	2748	507	Sisma Y SLO	0	134.6	0	0	0	0
2749	507	Eccentricità Y per sisma X SLO	0	0	0	0	0	-2.2E3	2750	507	Eccentricità X per sisma Y SLO	0	0	0	0	0	5.5E3
2751	508	Sisma X SLV	157	0	0	0	0	0	2752	508	Sisma Y SLV	0	157	0	0	0	0
2753	508	Eccentricità Y per sisma X SLV	0	0	0	0	0	-2.6E3	2754	508	Eccentricità X per sisma Y SLV	0	0	0	0	0	6.4E3
2755	508	Sisma X SLO	135.1	0	0	0	0	0	2756	508	Sisma Y SLO	0	135.1	0	0	0	0
2757	508	Eccentricità Y per sisma X SLO	0	0	0	0	0	-2.2E3	2758	508	Eccentricità X per sisma Y SLO	0	0	0	0	0	5.5E3
2759	509	Sisma X SLV	66.9	0	0	0	0	0	2760	509	Sisma Y SLV	0	66.9	0	0	0	0
2761	509	Eccentricità Y per sisma X SLV	0	0	0	0	0	-1.1E3	2762	509	Eccentricità X per sisma Y SLV	0	0	0	0	0	2.7E3
2763	509	Sisma X SLO	57.6	0	0	0	0	0	2764	509	Sisma Y SLO	0	57.6	0	0	0	0
2765	509	Eccentricità Y per sisma X SLO	0	0	0	0	0	-9.5E2	2766	509	Eccentricità X per sisma Y SLO	0	0	0	0	0	2.3E3
2767	510	Sisma X SLV	130.4	0	0	0	0	0	2768	510	Sisma Y SLV	0	130.4	0	0	0	0
2769	510	Eccentricità Y per sisma X SLV	0	0	0	0	0	-2.2E3	2770	510	Eccentricità X per sisma Y SLV	0	0	0	0	0	5.3E3
2771	510	Sisma X SLO	112.3	0	0	0	0	0	2772	510	Sisma Y SLO	0	112.3	0	0	0	0
2773	510	Eccentricità Y per sisma X SLO	0	0	0	0	0	-1.9E3	2774	510	Eccentricità X per sisma Y SLO	0	0	0	0	0	4.6E3
2775	511	Sisma X SLV	114.7	0	0	0	0	0	2776	511	Sisma Y SLV	0	114.7	0	0	0	0
2777	511	Eccentricità Y per sisma X SLV	0	0	0	0	0	-1892	2778	511	Eccentricità X per sisma Y SLV	0	0	0	0	0	4.6E3
2779	511	Sisma X SLO	98.7	0	0	0	0	0	2780	511	Sisma Y SLO	0	98.7	0	0	0	0
2781	511	Eccentricità Y per sisma X SLO	0	0	0	0	0	-1629	2782	511	Eccentricità X per sisma Y SLO	0	0	0	0	0	4001
2783	512	Sisma X SLV	103.3	0	0	0	0	0	2784	512	Sisma Y SLV	0	103.3	0	0	0	0
2785	512	Eccentricità Y per sisma X SLV	0	0	0	0	0	-1.7E3	2786	512	Eccentricità X per sisma Y SLV	0	0	0	0	0	4186
2787	512	Sisma X SLO	88.9	0	0	0	0	0	2788	512	Sisma Y SLO	0	88.9	0	0	0	0
2789	512	Eccentricità Y per sisma X SLO	0	0	0	0	0	-1.5E3	2790	512	Eccentricità X per sisma Y SLO	0	0	0	0	0	3.6E3
2791	513	Sisma X SLV	98.8	0	0	0	0	0	2792	513	Sisma Y SLV	0	98.8	0	0	0	0
2793	513	Eccentricità Y per sisma X SLV	0	0	0	0	0	-1.6E3	2794	513	Eccentricità X per sisma Y SLV	0	0	0	0	0	4.0E3
2795	513	Sisma X SLO	85	0	0	0	0	0	2796	513	Sisma Y SLO	0	85	0	0	0	0
2797	513	Eccentricità Y per sisma X SLO	0	0	0	0	0	-1403	2798	513	Eccentricità X per sisma Y SLO	0	0	0	0	0	3.4E3
2799	514	Sisma X SLV	93	0	0	0	0	0	2800	514	Sisma Y SLV	0	93	0	0	0	0
2801	514	Eccentricità Y per sisma X SLV	0	0	0	0	0	-1.5E3	2802	514	Eccentricità X per sisma Y SLV	0	0	0	0	0	3769
2803	514	Sisma X SLO	80.1	0	0	0	0	0	2804	514	Sisma Y SLO	0	80.1	0	0	0	0
2805	514	Eccentricità Y per sisma X SLO	0	0	0	0	0	-1.3E3	2806	514	Eccentricità X per sisma Y SLO	0	0	0	0	0	3.2E3
2807	515	Sisma X SLV	80.4	0	0	0	0	0	2808	515	Sisma Y SLV	0	80.4	0	0	0	0
2809	515	Eccentricità Y per sisma X SLV	0	0	0	0	0	-1.3E3	2810	515	Eccentricità X per sisma Y SLV	0	0	0	0	0	3.3E3
2811	515	Sisma X SLO	69.2	0	0	0	0	0	2812	515	Sisma Y SLO	0	69.2	0	0	0	0
2813	515	Eccentricità Y per sisma X SLO	0	0	0	0	0	-1.1E3	2814	515	Eccentricità X per sisma Y SLO	0	0	0	0	0	2.8E3
2815	516	Sisma X SLV	62.9	0	0	0	0	0	2816	516	Sisma Y SLV	0	62.9	0	0	0	0
2817	516	Eccentricità Y per sisma X SLV	0	0	0	0	0	-1038	2818	516	Eccentricità X per sisma Y SLV	0	0	0	0	0	2.5E3
2819	516	Sisma X SLO	54.2	0	0	0	0	0	2820	516	Sisma Y SLO	0	54.2	0	0	0	0
2821	516	Eccentricità Y per sisma X SLO	0	0	0	0	0	-8.9E2	2822	516	Eccentricità X per sisma Y SLO	0	0	0	0	0	2.2E3
2823	517	Sisma X SLV	36.1	0	0	0	0	0	2824	517	Sisma Y SLV	0	36.1	0	0	0	0
2825	517	Eccentricità Y per sisma X SLV	0	0	0	0	0	-6.0E2	2826	517	Eccentricità X per sisma Y SLV	0	0	0	0	0	1.5E3
2827	517	Sisma X SLO	31.1	0	0	0	0	0	2828	517	Sisma Y SLO	0	31.1	0	0	0	0
2829	517	Eccentricità Y per sisma X SLO	0	0	0	0	0	-5.1E2	2830	517	Eccentricità X per sisma Y SLO	0	0	0	0	0	1.3E3

Indice	Nodo	Condizione	Fx	Fy	Fz	Mx	My	Mz	Indice	Nodo	Condizione	Fx	Fy	Fz	Mx	My	Mz
2831	518	Sisma X SLV	74.8	0	0	0	0	0	2832	518	Sisma Y SLV	0	74.8	0	0	0	0
2833	518	Eccentricità Y per sisma X SLV	0	0	0	0	0	-1.2E3	2834	518	Eccentricità X per sisma Y SLV	0	0	0	0	0	3.0E3
2835	518	Sisma X SLO	64.4	0	0	0	0	0	2836	518	Sisma Y SLO	0	64.4	0	0	0	0
2837	518	Eccentricità Y per sisma X SLO	0	0	0	0	0	-1.1E3	2838	518	Eccentricità X per sisma Y SLO	0	0	0	0	0	2.6E3
2839	519	Sisma X SLV	64.9	0	0	0	0	0	2840	519	Sisma Y SLV	0	64.9	0	0	0	0
2841	519	Eccentricità Y per sisma X SLV	0	0	0	0	0	-1.1E3	2842	519	Eccentricità X per sisma Y SLV	0	0	0	0	0	2.6E3
2843	519	Sisma X SLO	55.9	0	0	0	0	0	2844	519	Sisma Y SLO	0	55.9	0	0	0	0
2845	519	Eccentricità Y per sisma X SLO	0	0	0	0	0	-9.2E2	2846	519	Eccentricità X per sisma Y SLO	0	0	0	0	0	2.3E3
2847	520	Sisma X SLV	39.7	0	0	0	0	0	2848	520	Sisma Y SLV	0	39.7	0	0	0	0
2849	520	Eccentricità Y per sisma X SLV	0	0	0	0	0	-6.6E2	2850	520	Eccentricità X per sisma Y SLV	0	0	0	0	0	1.6E3
2851	520	Sisma X SLO	34.2	0	0	0	0	0	2852	520	Sisma Y SLO	0	34.2	0	0	0	0
2853	520	Eccentricità Y per sisma X SLO	0	0	0	0	0	-5.6E2	2854	520	Eccentricità X per sisma Y SLO	0	0	0	0	0	1.4E3
2855	521	Sisma X SLV	42.2	0	0	0	0	0	2856	521	Sisma Y SLV	0	42.2	0	0	0	0
2857	521	Eccentricità Y per sisma X SLV	0	0	0	0	0	-7.0E2	2858	521	Eccentricità X per sisma Y SLV	0	0	0	0	0	1.7E3
2859	521	Sisma X SLO	36.3	0	0	0	0	0	2860	521	Sisma Y SLO	0	36.3	0	0	0	0
2861	521	Eccentricità Y per sisma X SLO	0	0	0	0	0	-6.0E2	2862	521	Eccentricità X per sisma Y SLO	0	0	0	0	0	1.5E3
2863	522	Sisma X SLV	47	0	0	0	0	0	2864	522	Sisma Y SLV	0	47	0	0	0	0
2865	522	Eccentricità Y per sisma X SLV	0	0	0	0	0	-7.7E2	2866	522	Eccentricità X per sisma Y SLV	0	0	0	0	0	1.9E3
2867	522	Sisma X SLO	40.4	0	0	0	0	0	2868	522	Sisma Y SLO	0	40.4	0	0	0	0
2869	522	Eccentricità Y per sisma X SLO	0	0	0	0	0	-6.7E2	2870	522	Eccentricità X per sisma Y SLO	0	0	0	0	0	1.6E3
2871	523	Sisma X SLV	48.8	0	0	0	0	0	2872	523	Sisma Y SLV	0	48.8	0	0	0	0
2873	523	Eccentricità Y per sisma X SLV	0	0	0	0	0	-8.0E2	2874	523	Eccentricità X per sisma Y SLV	0	0	0	0	0	2.0E3
2875	523	Sisma X SLO	42	0	0	0	0	0	2876	523	Sisma Y SLO	0	42	0	0	0	0
2877	523	Eccentricità Y per sisma X SLO	0	0	0	0	0	-6.9E2	2878	523	Eccentricità X per sisma Y SLO	0	0	0	0	0	1.7E3
2879	524	Sisma X SLV	50.6	0	0	0	0	0	2880	524	Sisma Y SLV	0	50.6	0	0	0	0
2881	524	Eccentricità Y per sisma X SLV	0	0	0	0	0	-8.3E2	2882	524	Eccentricità X per sisma Y SLV	0	0	0	0	0	2.0E3
2883	524	Sisma X SLO	43.5	0	0	0	0	0	2884	524	Sisma Y SLO	0	43.5	0	0	0	0
2885	524	Eccentricità Y per sisma X SLO	0	0	0	0	0	-7.2E2	2886	524	Eccentricità X per sisma Y SLO	0	0	0	0	0	1.8E3
2887	525	Sisma X SLV	54	0	0	0	0	0	2888	525	Sisma Y SLV	0	54	0	0	0	0
2889	525	Eccentricità Y per sisma X SLV	0	0	0	0	0	-8.9E2	2890	525	Eccentricità X per sisma Y SLV	0	0	0	0	0	2.2E3
2891	525	Sisma X SLO	46.5	0	0	0	0	0	2892	525	Sisma Y SLO	0	46.5	0	0	0	0
2893	525	Eccentricità Y per sisma X SLO	0	0	0	0	0	-7.7E2	2894	525	Eccentricità X per sisma Y SLO	0	0	0	0	0	1.9E3
2895	526	Sisma X SLV	60.6	0	0	0	0	0	2896	526	Sisma Y SLV	0	60.6	0	0	0	0
2897	526	Eccentricità Y per sisma X SLV	0	0	0	0	0	-1.0E3	2898	526	Eccentricità X per sisma Y SLV	0	0	0	0	0	2.5E3
2899	526	Sisma X SLO	52.2	0	0	0	0	0	2900	526	Sisma Y SLO	0	52.2	0	0	0	0
2901	526	Eccentricità Y per sisma X SLO	0	0	0	0	0	-8.6E2	2902	526	Eccentricità X per sisma Y SLO	0	0	0	0	0	2.1E3
2903	527	Sisma X SLV	31.6	0	0	0	0	0	2904	527	Sisma Y SLV	0	31.6	0	0	0	0
2905	527	Eccentricità Y per sisma X SLV	0	0	0	0	0	-5.2E2	2906	527	Eccentricità X per sisma Y SLV	0	0	0	0	0	1.3E3
2907	527	Sisma X SLO	27.2	0	0	0	0	0	2908	527	Sisma Y SLO	0	27.2	0	0	0	0
2909	527	Eccentricità Y per sisma X SLO	0	0	0	0	0	-4.5E2	2910	527	Eccentricità X per sisma Y SLO	0	0	0	0	0	1.1E3

6.3 Carichi concentrati sismici

Indice: numero dell'elemento nell'insieme che lo contiene.

Nodo: nodo su cui agisce il carico.

Condizione: condizione elementare mappata nella quale agisce il carico.

Fx: componente della forza lungo l'asse X. [daN]

Fy: componente della forza lungo l'asse Y. [daN]

Fz: componente della forza lungo l'asse Z. [daN]

Mz: componente del momento attorno all'asse Z. [daN*cm]

Peso: peso sismico. [daN]

y: coefficiente y. Il valore è adimensionale.

Indice	Nodo	Condizione	Fx	Fy	Fz	Mz	Peso	y	Indice	Nodo	Condizione	Fx	Fy	Fz	Mz	Peso	y
307	150	Sisma X SLV	0.6	0	0	0	1.7E2	0.026	308	150	Sisma Y SLV	0	0.6	0	0	1.7E2	0.026
309	150	Eccentricità Y per sisma X SLV	0	0	0	-9.7	1.7E2	0.026	310	150	Eccentricità X per sisma Y SLV	0	0	0	11.6	1.7E2	0.026
311	150	Sisma X SLO	0.5	0	0	0	1.7E2	0.026	312	150	Sisma Y SLO	0	0.5	0	0	1.7E2	0.026
313	150	Eccentricità Y per sisma X SLO	0	0	0	-8.3	1.7E2	0.026	314	150	Eccentricità X per sisma Y SLO	0	0	0	10	1.7E2	0.026
315	151	Sisma X SLV	1.1	0	0	0	3.2E2	0.026	316	151	Sisma Y SLV	0	1.1	0	0	3.2E2	0.026
317	151	Eccentricità Y per sisma X SLV	0	0	0	-18.2	3.2E2	0.026	318	151	Eccentricità X per sisma Y SLV	0	0	0	21.8	3.2E2	0.026
319	151	Sisma X SLO	0.9	0	0	0	3.2E2	0.026	320	151	Sisma Y SLO	0	0.9	0	0	3.2E2	0.026
321	151	Eccentricità Y per sisma X SLO	0	0	0	-15.6	3.2E2	0.026	322	151	Eccentricità X per sisma Y SLO	0	0	0	18.7	3.2E2	0.026
323	152	Sisma X SLV	0.9	0	0	0	2.7E2	0.026	324	152	Sisma Y SLV	0	0.9	0	0	2.7E2	0.026
325	152	Eccentricità Y per sisma X SLV	0	0	0	-15.4	2.7E2	0.026	326	152	Eccentricità X per sisma Y SLV	0	0	0	18.4	2.7E2	0.026
327	152	Sisma X SLO	0.8	0	0	0	2.7E2	0.026	328	152	Sisma Y SLO	0	0.8	0	0	2.7E2	0.026
329	152	Eccentricità Y per sisma X SLO	0	0	0	-13.2	2.7E2	0.026	330	152	Eccentricità X per sisma Y SLO	0	0	0	15.8	2.7E2	0.026
331	153	Sisma X SLV	0.8	0	0	0	2.3E2	0.026	332	153	Sisma Y SLV	0	0.8	0	0	2.3E2	0.026
333	153	Eccentricità Y per sisma X SLV	0	0	0	-13.2	2.3E2	0.026	334	153	Eccentricità X per sisma Y SLV	0	0	0	15.8	2.3E2	0.026
335	153	Sisma X SLO	0.7	0	0	0	2.3E2	0.026	336	153	Sisma Y SLO	0	0.7	0	0	2.3E2	0.026
337	153	Eccentricità Y per sisma X SLO	0	0	0	-11.4	2.3E2	0.026	338	153	Eccentricità X per sisma Y SLO	0	0	0	13.6	2.3E2	0.026
339	154	Sisma X SLV	0.8	0	0	0	2.2E2	0.026	340	154	Sisma Y SLV	0	0.8	0	0	2.2E2	0.026
341	154	Eccentricità Y per sisma X SLV	0	0	0	-12.7	2.2E2	0.026	342	154	Eccentricità X per sisma Y SLV	0	0	0	15.2	2.2E2	0.026
343	154	Sisma X SLO	0.7	0	0	0	2.2E2	0.026	344	154	Sisma Y SLO	0	0.7	0	0	2.2E2	0.026
345	154	Eccentricità Y per sisma X SLO	0	0	0	-10.9	2.2E2	0.026	346	154	Eccentricità X per sisma Y SLO	0	0	0	13.1	2.2E2	0.026
347	155	Sisma X SLV	0.4	0	0	0	1.1E2	0.026	348	155	Sisma Y SLV	0	0.4	0	0	1.1E2	0.026
349	155	Eccentricità Y per sisma X SLV	0	0	0	-6.1	1.1E2	0.026	350	155	Eccentricità X per sisma Y SLV	0	0	0	7.3	1.1E2	0.026
351	155	Sisma X SLO	0.3	0	0	0	1.1E2	0.026	352	155	Sisma Y SLO	0	0.3	0	0	1.1E2	0.026
353	155	Eccentricità Y per sisma X SLO	0	0	0	-5.2	1.1E2	0.026	354	155	Eccentricità X per sisma Y SLO	0	0	0	6.3	1.1E2	0.026
355	156	Sisma X SLV	2.4	0	0	0	6.8E2	0.026	356	156	Sisma Y SLV	0	2.4	0	0	6.8E2	0.026
357	156	Eccentricità Y per sisma X SLV	0	0	0	-39.2	6.8E2	0.026	358	156	Eccentricità X per sisma Y SLV	0	0	0	47	6.8E2	0.026
359	156	Sisma X SLO	2	0	0	0	6.8E2	0.026	360	156	Sisma Y SLO	0	2	0	0	6.8E2	0.026
361	156	Eccentricità Y per sisma X SLO	0	0	0	-33.8	6.8E2	0.026	362	156	Eccentricità X per sisma Y SLO	0	0	0	40.5	6.8E2	0.026
363	157	Sisma X SLV	5.2	0	0	0	1.5E3	0.026	364	157	Sisma Y SLV	0	5.2	0	0	1.5E3	0.026
365	157	Eccentricità Y per sisma X SLV	0	0	0	-85.5	1.5E3	0.026	366	157	Eccentricità X per sisma Y SLV	0	0	0	102.5	1.5E3	0.026
367	157	Sisma X SLO	4.5	0	0	0	1.5E3	0.026	368	157	Sisma Y SLO	0	4.5	0	0	1.5E3	0.026
369	157	Eccentricità Y per sisma X SLO	0	0	0	-73.7	1.5E3	0.026	370	157	Eccentricità X per sisma Y SLO	0	0	0	88.3	1.5E3	0.026
371	158	Sisma X SLV	1.6	0	0	0	4.6E2	0.026	372	158	Sisma Y SLV	0	1.6	0	0	4.6E2	0.026
373	158	Eccentricità Y per sisma X SLV	0	0	0	-26.3	4.6E2	0.026	374	158	Eccentricità X per sisma Y SLV	0	0	0	31.5	4.6E2	0.026

Indice	Nodo	Condizione	Fx	Fy	Fz	Mz	Peso	γ	Indice	Nodo	Condizione	Fx	Fy	Fz	Mz	Peso	γ
375	158	Sisma X SLO	1.4	0	0	0	4.6E2	0.026	376	158	Sisma Y SLO	0	1.4	0	0	4.6E2	0.026
377	158	Eccentricità Y per sisma X SLO	0	0	0	-22.7	4.6E2	0.026	378	158	Eccentricità X per sisma Y SLO	0	0	0	27.1	4.6E2	0.026
379	159	Sisma X SLV	1.6	0	0	0	4.6E2	0.026	380	159	Sisma Y SLV	0	1.6	0	0	4.6E2	0.026
381	159	Eccentricità Y per sisma X SLV	0	0	0	-26.7	4.6E2	0.026	382	159	Eccentricità X per sisma Y SLV	0	0	0	32	4.6E2	0.026
383	159	Sisma X SLO	1.4	0	0	0	4.6E2	0.026	384	159	Sisma Y SLO	0	1.4	0	0	4.6E2	0.026
385	159	Eccentricità Y per sisma X SLO	0	0	0	-23	4.6E2	0.026	386	159	Eccentricità X per sisma Y SLO	0	0	0	27.5	4.6E2	0.026
387	160	Sisma X SLV	1.8	0	0	0	5.1E2	0.026	388	160	Sisma Y SLV	0	1.8	0	0	5.1E2	0.026
389	160	Eccentricità Y per sisma X SLV	0	0	0	-29.6	5.1E2	0.026	390	160	Eccentricità X per sisma Y SLV	0	0	0	35.4	5.1E2	0.026
391	160	Sisma X SLO	1.5	0	0	0	5.1E2	0.026	392	160	Sisma Y SLO	0	1.5	0	0	5.1E2	0.026
393	160	Eccentricità Y per sisma X SLO	0	0	0	-25.5	5.1E2	0.026	394	160	Eccentricità X per sisma Y SLO	0	0	0	30.5	5.1E2	0.026
395	161	Sisma X SLV	1.9	0	0	0	5.5E2	0.026	396	161	Sisma Y SLV	0	1.9	0	0	5.5E2	0.026
397	161	Eccentricità Y per sisma X SLV	0	0	0	-31.6	5.5E2	0.026	398	161	Eccentricità X per sisma Y SLV	0	0	0	37.9	5.5E2	0.026
399	161	Sisma X SLO	1.6	0	0	0	5.5E2	0.026	400	161	Sisma Y SLO	0	1.6	0	0	5.5E2	0.026
401	161	Eccentricità Y per sisma X SLO	0	0	0	-27.2	5.5E2	0.026	402	161	Eccentricità X per sisma Y SLO	0	0	0	32.6	5.5E2	0.026
403	162	Sisma X SLV	1	0	0	0	2.9E2	0.026	404	162	Sisma Y SLV	0	1	0	0	2.9E2	0.026
405	162	Eccentricità Y per sisma X SLV	0	0	0	-16.8	2.9E2	0.026	406	162	Eccentricità X per sisma Y SLV	0	0	0	20.2	2.9E2	0.026
407	162	Sisma X SLO	0.9	0	0	0	2.9E2	0.026	408	162	Sisma Y SLO	0	0.9	0	0	2.9E2	0.026
409	162	Eccentricità Y per sisma X SLO	0	0	0	-14.5	2.9E2	0.026	410	162	Eccentricità X per sisma Y SLO	0	0	0	17.4	2.9E2	0.026
411	163	Sisma X SLV	1.6	0	0	0	4.5E2	0.026	412	163	Sisma Y SLV	0	1.6	0	0	4.5E2	0.026
413	163	Eccentricità Y per sisma X SLV	0	0	0	-25.6	4.5E2	0.026	414	163	Eccentricità X per sisma Y SLV	0	0	0	30.7	4.5E2	0.026
415	163	Sisma X SLO	1.3	0	0	0	4.5E2	0.026	416	163	Sisma Y SLO	0	1.3	0	0	4.5E2	0.026
417	163	Eccentricità Y per sisma X SLO	0	0	0	-22.1	4.5E2	0.026	418	163	Eccentricità X per sisma Y SLO	0	0	0	26.5	4.5E2	0.026
419	164	Sisma X SLV	1.6	0	0	0	4.6E2	0.026	420	164	Sisma Y SLV	0	1.6	0	0	4.6E2	0.026
421	164	Eccentricità Y per sisma X SLV	0	0	0	-26.5	4.6E2	0.026	422	164	Eccentricità X per sisma Y SLV	0	0	0	31.7	4.6E2	0.026
423	164	Sisma X SLO	1.4	0	0	0	4.6E2	0.026	424	164	Sisma Y SLO	0	1.4	0	0	4.6E2	0.026
425	164	Eccentricità Y per sisma X SLO	0	0	0	-22.8	4.6E2	0.026	426	164	Eccentricità X per sisma Y SLO	0	0	0	27.3	4.6E2	0.026
427	165	Sisma X SLV	1.5	0	0	0	4.5E2	0.026	428	165	Sisma Y SLV	0	1.5	0	0	4.5E2	0.026
429	165	Eccentricità Y per sisma X SLV	0	0	0	-25.6	4.5E2	0.026	430	165	Eccentricità X per sisma Y SLV	0	0	0	30.6	4.5E2	0.026
431	165	Sisma X SLO	1.3	0	0	0	4.5E2	0.026	432	165	Sisma Y SLO	0	1.3	0	0	4.5E2	0.026
433	165	Eccentricità Y per sisma X SLO	0	0	0	-22	4.5E2	0.026	434	165	Eccentricità X per sisma Y SLO	0	0	0	26.4	4.5E2	0.026
435	166	Sisma X SLV	1.7	0	0	0	4.9E2	0.026	436	166	Sisma Y SLV	0	1.7	0	0	4.9E2	0.026
437	166	Eccentricità Y per sisma X SLV	0	0	0	-28.3	4.9E2	0.026	438	166	Eccentricità X per sisma Y SLV	0	0	0	33.9	4.9E2	0.026
439	166	Sisma X SLO	1.5	0	0	0	4.9E2	0.026	440	166	Sisma Y SLO	0	1.5	0	0	4.9E2	0.026
441	166	Eccentricità Y per sisma X SLO	0	0	0	-24.3	4.9E2	0.026	442	166	Eccentricità X per sisma Y SLO	0	0	0	29.2	4.9E2	0.026
443	167	Sisma X SLV	1.7	0	0	0	4.9E2	0.026	444	167	Sisma Y SLV	0	1.7	0	0	4.9E2	0.026
445	167	Eccentricità Y per sisma X SLV	0	0	0	-28.5	4.9E2	0.026	446	167	Eccentricità X per sisma Y SLV	0	0	0	34.2	4.9E2	0.026
447	167	Sisma X SLO	1.5	0	0	0	4.9E2	0.026	448	167	Sisma Y SLO	0	1.5	0	0	4.9E2	0.026
449	167	Eccentricità Y per sisma X SLO	0	0	0	-24.6	4.9E2	0.026	450	167	Eccentricità X per sisma Y SLO	0	0	0	29.4	4.9E2	0.026
451	168	Sisma X SLV	1.7	0	0	0	4.9E2	0.026	452	168	Sisma Y SLV	0	1.7	0	0	4.9E2	0.026
453	168	Eccentricità Y per sisma X SLV	0	0	0	-28.5	4.9E2	0.026	454	168	Eccentricità X per sisma Y SLV	0	0	0	34.2	4.9E2	0.026
455	168	Sisma X SLO	1.5	0	0	0	4.9E2	0.026	456	168	Sisma Y SLO	0	1.5	0	0	4.9E2	0.026
457	168	Eccentricità Y per sisma X SLO	0	0	0	-24.6	4.9E2	0.026	458	168	Eccentricità X per sisma Y SLO	0	0	0	29.4	4.9E2	0.026
459	169	Sisma X SLV	1.7	0	0	0	4.9E2	0.026	460	169	Sisma Y SLV	0	1.7	0	0	4.9E2	0.026
461	169	Eccentricità Y per sisma X SLV	0	0	0	-28.5	4.9E2	0.026	462	169	Eccentricità X per sisma Y SLV	0	0	0	34.2	4.9E2	0.026
463	169	Sisma X SLO	1.5	0	0	0	4.9E2	0.026	464	169	Sisma Y SLO	0	1.5	0	0	4.9E2	0.026
465	169	Eccentricità Y per sisma X SLO	0	0	0	-24.6	4.9E2	0.026	466	169	Eccentricità X per sisma Y SLO	0	0	0	29.4	4.9E2	0.026
467	170	Sisma X SLV	0.9	0	0	0	2.5E2	0.026	468	170	Sisma Y SLV	0	0.9	0	0	2.5E2	0.026
469	170	Eccentricità Y per sisma X SLV	0	0	0	-14.3	2.5E2	0.026	470	170	Eccentricità X per sisma Y SLV	0	0	0	17.1	2.5E2	0.026
471	170	Sisma X SLO	0.7	0	0	0	2.5E2	0.026	472	170	Sisma Y SLO	0	0.7	0	0	2.5E2	0.026
473	170	Eccentricità Y per sisma X SLO	0	0	0	-12.3	2.5E2	0.026	474	170	Eccentricità X per sisma Y SLO	0	0	0	14.7	2.5E2	0.026
475	171	Sisma X SLV	1.6	0	0	0	4.6E2	0.026	476	171	Sisma Y SLV	0	1.6	0	0	4.6E2	0.026
477	171	Eccentricità Y per sisma X SLV	0	0	0	-26.2	4.6E2	0.026	478	171	Eccentricità X per sisma Y SLV	0	0	0	31.4	4.6E2	0.026
479	171	Sisma X SLO	1.4	0	0	0	4.6E2	0.026	480	171	Sisma Y SLO	0	1.4	0	0	4.6E2	0.026
481	171	Eccentricità Y per sisma X SLO	0	0	0	-22.6	4.6E2	0.026	482	171	Eccentricità X per sisma Y SLO	0	0	0	27.1	4.6E2	0.026
483	172	Sisma X SLV	0.9	0	0	0	2.5E2	0.026	484	172	Sisma Y SLV	0	0.9	0	0	2.5E2	0.026
485	172	Eccentricità Y per sisma X SLV	0	0	0	-14.6	2.5E2	0.026	486	172	Eccentricità X per sisma Y SLV	0	0	0	17.5	2.5E2	0.026
487	172	Sisma X SLO	0.8	0	0	0	2.5E2	0.026	488	172	Sisma Y SLO	0	0.8	0	0	2.5E2	0.026
489	172	Eccentricità Y per sisma X SLO	0	0	0	-12.6	2.5E2	0.026	490	172	Eccentricità X per sisma Y SLO	0	0	0	15.1	2.5E2	0.026
491	174	Sisma X SLV	1.4	0	0	0	4.0E2	0.026	492	174	Sisma Y SLV	0	1.4	0	0	4.0E2	0.026
493	174	Eccentricità Y per sisma X SLV	0	0	0	-23	4.0E2	0.026	494	174	Eccentricità X per sisma Y SLV	0	0	0	27.5	4.0E2	0.026
495	174	Sisma X SLO	1.2	0	0	0	4.0E2	0.026	496	174	Sisma Y SLO	0	1.2	0	0	4.0E2	0.026
497	174	Eccentricità Y per sisma X SLO	0	0	0	-19.8	4.0E2	0.026	498	174	Eccentricità X per sisma Y SLO	0	0	0	23.7	4.0E2	0.026
499	175	Sisma X SLV	1.3	0	0	0	3.6E2	0.026	500	175	Sisma Y SLV	0	1.3	0	0	3.6E2	0.026
501	175	Eccentricità Y per sisma X SLV	0	0	0	-20.7	3.6E2	0.026	502	175	Eccentricità X per sisma Y SLV	0	0	0	24.8	3.6E2	0.026
503	175	Sisma X SLO	1.1	0	0	0	3.6E2	0.026	504	175	Sisma Y SLO	0	1.1	0	0	3.6E2	0.026
505	175	Eccentricità Y per sisma X SLO	0	0	0	-17.8	3.6E2	0.026	506	175	Eccentricità X per sisma Y SLO	0	0	0	21.4	3.6E2	0.026
507	176	Sisma X SLV	1.4	0	0	0	4.1E2	0.026	508	176	Sisma Y SLV	0	1.4	0	0	4.1E2	0.026
509	176	Eccentricità Y per sisma X SLV	0	0	0	-23.3	4.1E2	0.026	510	176	Eccentricità X per sisma Y SLV	0	0	0	27.9	4.1E2	0.026
511	176	Sisma X SLO	1.2	0	0	0	4.1E2	0.026	512	176	Sisma Y SLO	0	1.2	0	0	4.1E2	0.026
513	176	Eccentricità Y per sisma X SLO	0	0	0	-20.1	4.1E2	0.026	514	176	Eccentricità X per sisma Y SLO	0	0	0	24.1	4.1E2	0.026
515	177	Sisma X SLV	1.2	0	0	0	3.5E2	0.026	516	177	Sisma Y SLV	0	1.2	0	0	3.5E2	0.026
517	177	Eccentricità Y per sisma X SLV	0	0	0	-20.3	3.5E2	0.026	518	177	Eccentricità X per sisma Y SLV	0	0	0	24.4	3.5E2	0.026
519	177	Sisma X SLO	1.1	0	0	0	3.5E2	0.026	520	177	Sisma Y SLO	0	1.1	0	0	3.5E2	0.026
521	177	Eccentricità Y per sisma X SLO	0	0	0	-17.5	3.5E2	0.026	522	177	Eccentricità X per sisma Y SLO	0	0	0	21	3.5E2	0.026
523	178	Sisma X SLV	0.7	0	0	0	2.1E2	0.026	524	178	Sisma Y SLV	0	0.7	0	0	2.1E2	0.026
525	178	Eccentricità Y per sisma X SLV	0	0	0	-11.8	2.1E2	0.026	526	178	Eccentricità X per sisma Y SLV	0	0	0	14.2	2.1E2	0.026
527	178	Sisma X SLO	0.6	0	0	0	2.1E2	0.026	528	178	Sisma Y SLO	0	0.6	0	0	2.1E2	0.026
529	178	Eccentricità Y per sisma X SLO	0	0	0	-10.2	2.1E2	0.026	530	178	Eccentricità X per sisma Y SLO	0	0	0	12.2	2.1E2	0.026
531	179	Sisma X SLV	8.3	0	0	0	2.4E3	0.026	532	179	Sisma Y SLV	0	8.3	0	0	2.4E3	0.026
533	179	Eccentricità Y per sisma X SLV	0	0	0	-1.4E2	2.4E3	0.026	534	179	Eccentricità X per sisma Y SLV	0	0	0	165</		

Indice	Nodo	Condizione	Fx	Fy	Fz	Mz	Peso	γ	Indice	Nodo	Condizione	Fx	Fy	Fz	Mz	Peso	γ
539	180	Sisma X SLV	0.7	0	0	0	2.1E2	0.026	540	180	Sisma Y SLV	0	0.7	0	0	2.1E2	0.026
541	180	Eccentricità Y per sisma X SLV	0	0	0	-11.8	2.1E2	0.026	542	180	Eccentricità X per sisma Y SLV	0	0	0	14.2	2.1E2	0.026
543	180	Sisma X SLO	0.6	0	0	0	2.1E2	0.026	544	180	Sisma Y SLO	0	0.6	0	0	2.1E2	0.026
545	180	Eccentricità Y per sisma X SLO	0	0	0	-10.2	2.1E2	0.026	546	180	Eccentricità X per sisma Y SLO	0	0	0	12.2	2.1E2	0.026
547	181	Sisma X SLV	1.1	0	0	0	3.0E2	0.026	548	181	Sisma Y SLV	0	1.1	0	0	3.0E2	0.026
549	181	Eccentricità Y per sisma X SLV	0	0	0	-17.5	3.0E2	0.026	550	181	Eccentricità X per sisma Y SLV	0	0	0	20.9	3.0E2	0.026
551	181	Sisma X SLO	0.9	0	0	0	3.0E2	0.026	552	181	Sisma Y SLO	0	0.9	0	0	3.0E2	0.026
553	181	Eccentricità Y per sisma X SLO	0	0	0	-15	3.0E2	0.026	554	181	Eccentricità X per sisma Y SLO	0	0	0	18	3.0E2	0.026
555	182	Sisma X SLV	1.2	0	0	0	3.5E2	0.026	556	182	Sisma Y SLV	0	1.2	0	0	3.5E2	0.026
557	182	Eccentricità Y per sisma X SLV	0	0	0	-20.2	3.5E2	0.026	558	182	Eccentricità X per sisma Y SLV	0	0	0	24.2	3.5E2	0.026
559	182	Sisma X SLO	1.1	0	0	0	3.5E2	0.026	560	182	Sisma Y SLO	0	1.1	0	0	3.5E2	0.026
561	182	Eccentricità Y per sisma X SLO	0	0	0	-17.4	3.5E2	0.026	562	182	Eccentricità X per sisma Y SLO	0	0	0	20.8	3.5E2	0.026
563	183	Sisma X SLV	1.2	0	0	0	3.5E2	0.026	564	183	Sisma Y SLV	0	1.2	0	0	3.5E2	0.026
565	183	Eccentricità Y per sisma X SLV	0	0	0	-20.1	3.5E2	0.026	566	183	Eccentricità X per sisma Y SLV	0	0	0	24.1	3.5E2	0.026
567	183	Sisma X SLO	1	0	0	0	3.5E2	0.026	568	183	Sisma Y SLO	0	1	0	0	3.5E2	0.026
569	183	Eccentricità Y per sisma X SLO	0	0	0	-17.3	3.5E2	0.026	570	183	Eccentricità X per sisma Y SLO	0	0	0	20.8	3.5E2	0.026
571	184	Sisma X SLV	0.7	0	0	0	2.1E2	0.026	572	184	Sisma Y SLV	0	0.7	0	0	2.1E2	0.026
573	184	Eccentricità Y per sisma X SLV	0	0	0	-11.8	2.1E2	0.026	574	184	Eccentricità X per sisma Y SLV	0	0	0	14.2	2.1E2	0.026
575	184	Sisma X SLO	0.6	0	0	0	2.1E2	0.026	576	184	Sisma Y SLO	0	0.6	0	0	2.1E2	0.026
577	184	Eccentricità Y per sisma X SLO	0	0	0	-10.2	2.1E2	0.026	578	184	Eccentricità X per sisma Y SLO	0	0	0	12.2	2.1E2	0.026
579	185	Sisma X SLV	0.6	0	0	0	1.7E2	0.026	580	185	Sisma Y SLV	0	0.6	0	0	1.7E2	0.026
581	185	Eccentricità Y per sisma X SLV	0	0	0	-9.7	1.7E2	0.026	582	185	Eccentricità X per sisma Y SLV	0	0	0	11.6	1.7E2	0.026
583	185	Sisma X SLO	0.5	0	0	0	1.7E2	0.026	584	185	Sisma Y SLO	0	0.5	0	0	1.7E2	0.026
585	185	Eccentricità Y per sisma X SLO	0	0	0	-8.3	1.7E2	0.026	586	185	Eccentricità X per sisma Y SLO	0	0	0	10	1.7E2	0.026
587	186	Sisma X SLV	1.2	0	0	0	3.4E2	0.026	588	186	Sisma Y SLV	0	1.2	0	0	3.4E2	0.026
589	186	Eccentricità Y per sisma X SLV	0	0	0	-19.6	3.4E2	0.026	590	186	Eccentricità X per sisma Y SLV	0	0	0	23.5	3.4E2	0.026
591	186	Sisma X SLO	1	0	0	0	3.4E2	0.026	592	186	Sisma Y SLO	0	1	0	0	3.4E2	0.026
593	186	Eccentricità Y per sisma X SLO	0	0	0	-16.9	3.4E2	0.026	594	186	Eccentricità X per sisma Y SLO	0	0	0	20.2	3.4E2	0.026
595	187	Sisma X SLV	0.8	0	0	0	2.2E2	0.026	596	187	Sisma Y SLV	0	0.8	0	0	2.2E2	0.026
597	187	Eccentricità Y per sisma X SLV	0	0	0	-12.5	2.2E2	0.026	598	187	Eccentricità X per sisma Y SLV	0	0	0	15	2.2E2	0.026
599	187	Sisma X SLO	0.7	0	0	0	2.2E2	0.026	600	187	Sisma Y SLO	0	0.7	0	0	2.2E2	0.026
601	187	Eccentricità Y per sisma X SLO	0	0	0	-10.8	2.2E2	0.026	602	187	Eccentricità X per sisma Y SLO	0	0	0	12.9	2.2E2	0.026
603	188	Sisma X SLV	1.5	0	0	0	4.4E2	0.026	604	188	Sisma Y SLV	0	1.5	0	0	4.4E2	0.026
605	188	Eccentricità Y per sisma X SLV	0	0	0	-25.2	4.4E2	0.026	606	188	Eccentricità X per sisma Y SLV	0	0	0	30.2	4.4E2	0.026
607	188	Sisma X SLO	1.3	0	0	0	4.4E2	0.026	608	188	Sisma Y SLO	0	1.3	0	0	4.4E2	0.026
609	188	Eccentricità Y per sisma X SLO	0	0	0	-21.7	4.4E2	0.026	610	188	Eccentricità X per sisma Y SLO	0	0	0	26	4.4E2	0.026
611	189	Sisma X SLV	1.5	0	0	0	4.4E2	0.026	612	189	Sisma Y SLV	0	1.5	0	0	4.4E2	0.026
613	189	Eccentricità Y per sisma X SLV	0	0	0	-25.2	4.4E2	0.026	614	189	Eccentricità X per sisma Y SLV	0	0	0	30.2	4.4E2	0.026
615	189	Sisma X SLO	1.3	0	0	0	4.4E2	0.026	616	189	Sisma Y SLO	0	1.3	0	0	4.4E2	0.026
617	189	Eccentricità Y per sisma X SLO	0	0	0	-21.7	4.4E2	0.026	618	189	Eccentricità X per sisma Y SLO	0	0	0	26	4.4E2	0.026
619	190	Sisma X SLV	1.6	0	0	0	4.6E2	0.026	620	190	Sisma Y SLV	0	1.6	0	0	4.6E2	0.026
621	190	Eccentricità Y per sisma X SLV	0	0	0	-26.5	4.6E2	0.026	622	190	Eccentricità X per sisma Y SLV	0	0	0	31.8	4.6E2	0.026
623	190	Sisma X SLO	1.4	0	0	0	4.6E2	0.026	624	190	Sisma Y SLO	0	1.4	0	0	4.6E2	0.026
625	190	Eccentricità Y per sisma X SLO	0	0	0	-22.8	4.6E2	0.026	626	190	Eccentricità X per sisma Y SLO	0	0	0	27.4	4.6E2	0.026
627	191	Sisma X SLV	1.7	0	0	0	4.8E2	0.026	628	191	Sisma Y SLV	0	1.7	0	0	4.8E2	0.026
629	191	Eccentricità Y per sisma X SLV	0	0	0	-27.6	4.8E2	0.026	630	191	Eccentricità X per sisma Y SLV	0	0	0	33.1	4.8E2	0.026
631	191	Sisma X SLO	1.4	0	0	0	4.8E2	0.026	632	191	Sisma Y SLO	0	1.4	0	0	4.8E2	0.026
633	191	Eccentricità Y per sisma X SLO	0	0	0	-23.8	4.8E2	0.026	634	191	Eccentricità X per sisma Y SLO	0	0	0	28.5	4.8E2	0.026
635	192	Sisma X SLV	1.7	0	0	0	4.8E2	0.026	636	192	Sisma Y SLV	0	1.7	0	0	4.8E2	0.026
637	192	Eccentricità Y per sisma X SLV	0	0	0	-27.7	4.8E2	0.026	638	192	Eccentricità X per sisma Y SLV	0	0	0	33.2	4.8E2	0.026
639	192	Sisma X SLO	1.4	0	0	0	4.8E2	0.026	640	192	Sisma Y SLO	0	1.4	0	0	4.8E2	0.026
641	192	Eccentricità Y per sisma X SLO	0	0	0	-23.9	4.8E2	0.026	642	192	Eccentricità X per sisma Y SLO	0	0	0	28.6	4.8E2	0.026
643	193	Sisma X SLV	0.8	0	0	0	2.4E2	0.026	644	193	Sisma Y SLV	0	0.8	0	0	2.4E2	0.026
645	193	Eccentricità Y per sisma X SLV	0	0	0	-13.8	2.4E2	0.026	646	193	Eccentricità X per sisma Y SLV	0	0	0	16.6	2.4E2	0.026
647	193	Sisma X SLO	0.7	0	0	0	2.4E2	0.026	648	193	Sisma Y SLO	0	0.7	0	0	2.4E2	0.026
649	193	Eccentricità Y per sisma X SLO	0	0	0	-11.9	2.4E2	0.026	650	193	Eccentricità X per sisma Y SLO	0	0	0	14.3	2.4E2	0.026
651	194	Sisma X SLV	0.6	0	0	0	1.6E2	0.026	652	194	Sisma Y SLV	0	0.6	0	0	1.6E2	0.026
653	194	Eccentricità Y per sisma X SLV	0	0	0	-9.2	1.6E2	0.026	654	194	Eccentricità X per sisma Y SLV	0	0	0	11.1	1.6E2	0.026
655	194	Sisma X SLO	0.5	0	0	0	1.6E2	0.026	656	194	Sisma Y SLO	0	0.5	0	0	1.6E2	0.026
657	194	Eccentricità Y per sisma X SLO	0	0	0	-8	1.6E2	0.026	658	194	Eccentricità X per sisma Y SLO	0	0	0	9.5	1.6E2	0.026
659	195	Sisma X SLV	0.6	0	0	0	1.6E2	0.026	660	195	Sisma Y SLV	0	0.6	0	0	1.6E2	0.026
661	195	Eccentricità Y per sisma X SLV	0	0	0	-9.3	1.6E2	0.026	662	195	Eccentricità X per sisma Y SLV	0	0	0	11.1	1.6E2	0.026
663	195	Sisma X SLO	0.5	0	0	0	1.6E2	0.026	664	195	Sisma Y SLO	0	0.5	0	0	1.6E2	0.026
665	195	Eccentricità Y per sisma X SLO	0	0	0	-8	1.6E2	0.026	666	195	Eccentricità X per sisma Y SLO	0	0	0	9.6	1.6E2	0.026
667	196	Sisma X SLV	0.6	0	0	0	1.8E2	0.026	668	196	Sisma Y SLV	0	0.6	0	0	1.8E2	0.026
669	196	Eccentricità Y per sisma X SLV	0	0	0	-10.1	1.8E2	0.026	670	196	Eccentricità X per sisma Y SLV	0	0	0	12.1	1.8E2	0.026
671	196	Sisma X SLO	0.5	0	0	0	1.8E2	0.026	672	196	Sisma Y SLO	0	0.5	0	0	1.8E2	0.026
673	196	Eccentricità Y per sisma X SLO	0	0	0	-8.7	1.8E2	0.026	674	196	Eccentricità X per sisma Y SLO	0	0	0	10.4	1.8E2	0.026
675	197	Sisma X SLV	0.6	0	0	0	1.7E2	0.026	676	197	Sisma Y SLV	0	0.6	0	0	1.7E2	0.026
677	197	Eccentricità Y per sisma X SLV	0	0	0	-10	1.7E2	0.026	678	197	Eccentricità X per sisma Y SLV	0	0	0	12	1.7E2	0.026
679	197	Sisma X SLO	0.5	0	0	0	1.7E2	0.026	680	197	Sisma Y SLO	0	0.5	0	0	1.7E2	0.026
681	197	Eccentricità Y per sisma X SLO	0	0	0	-8.7	1.7E2	0.026	682	197	Eccentricità X per sisma Y SLO	0	0	0	10.4	1.7E2	0.026
683	198	Sisma X SLV	0.3	0	0	0	8.3E1	0.026	684	198	Sisma Y SLV	0	0.3	0	0	8.3E1	0.026
685	198	Eccentricità Y per sisma X SLV	0	0	0	-4.8	8.3E1	0.026	686	198	Eccentricità X per sisma Y SLV	0	0	0	5.7	8.3E1	0.026
687	198	Sisma X SLO	0.3	0	0	0	8.3E1	0.026	688	198	Sisma Y SLO	0	0.3	0	0	8.3E1	0.026
689	198	Eccentricità Y per sisma X SLO	0	0	0	-4.1	8.3E1	0.026	690	198	Eccentricità X per sisma Y SLO	0	0	0	4.9	8.3E1	0.026
691	199	Sisma X SLV	0.8	0	0	0	1.1E2	0.052	692	199	Sisma Y SLV	0	0.8	0	0	1.1E2	0.052
693	199	Sisma X SLO	0.6	0	0	0	1.1E2	0.052	694	199	Sisma Y SLO	0	0.6	0	0	1.1E2	0.052
695	200	Sisma X SLV	1.5	0	0	0	2.2E2	0.052	696	200	Sisma Y SLV	0	1.5	0	0	2.2E2	0.052
697	200	Sisma X SLO	1.3	0	0	0	2.2E2	0.052	698	200	Sisma Y SLO</						

Indice	Nodo	Condizione	Fx	Fy	Fz	Mz	Peso	y	Indice	Nodo	Condizione	Fx	Fy	Fz	Mz	Peso	y
709	203	Sisma X SLO	1.5	0	0	0	2.5E2	0.052	710	203	Sisma Y SLO	0	1.5	0	0	2.5E2	0.052
711	204	Sisma X SLV	0.9	0	0	0	1.2E2	0.052	712	204	Sisma Y SLV	0	0.9	0	0	1.2E2	0.052
713	204	Sisma X SLO	0.7	0	0	0	1.2E2	0.052	714	204	Sisma Y SLO	0	0.7	0	0	1.2E2	0.052
715	205	Sisma X SLV	6.5	0	0	0	271.5	0.179	716	205	Sisma Y SLV	0	6.5	0	0	271.5	0.179
717	205	Sisma X SLO	5.6	0	0	0	271.5	0.179	718	205	Sisma Y SLO	0	5.6	0	0	271.5	0.179
719	206	Sisma X SLV	12.9	0	0	0	543	0.179	720	206	Sisma Y SLV	0	12.9	0	0	543	0.179
721	206	Sisma X SLO	11.1	0	0	0	543	0.179	722	206	Sisma Y SLO	0	11.1	0	0	543	0.179
723	207	Sisma X SLV	12.9	0	0	0	543	0.179	724	207	Sisma Y SLV	0	12.9	0	0	543	0.179
725	207	Sisma X SLO	11.1	0	0	0	543	0.179	726	207	Sisma Y SLO	0	11.1	0	0	543	0.179
727	208	Sisma X SLV	12.9	0	0	0	543	0.179	728	208	Sisma Y SLV	0	12.9	0	0	543	0.179
729	208	Sisma X SLO	11.1	0	0	0	543	0.179	730	208	Sisma Y SLO	0	11.1	0	0	543	0.179
731	209	Sisma X SLV	6.5	0	0	0	271.5	0.179	732	209	Sisma Y SLV	0	6.5	0	0	271.5	0.179
733	209	Sisma X SLO	5.6	0	0	0	271.5	0.179	734	209	Sisma Y SLO	0	5.6	0	0	271.5	0.179
735	210	Sisma X SLV	8.9	0	0	0	3.7E2	0.179	736	210	Sisma Y SLV	0	8.9	0	0	3.7E2	0.179
737	210	Sisma X SLO	7.7	0	0	0	3.7E2	0.179	738	210	Sisma Y SLO	0	7.7	0	0	3.7E2	0.179
739	211	Sisma X SLV	5.8	0	0	0	2.4E2	0.179	740	211	Sisma Y SLV	0	5.8	0	0	2.4E2	0.179
741	211	Sisma X SLO	5	0	0	0	2.4E2	0.179	742	211	Sisma Y SLO	0	5	0	0	2.4E2	0.179
743	212	Sisma X SLV	11.6	0	0	0	4.9E2	0.179	744	212	Sisma Y SLV	0	11.6	0	0	4.9E2	0.179
745	212	Sisma X SLO	10	0	0	0	4.9E2	0.179	746	212	Sisma Y SLO	0	10	0	0	4.9E2	0.179
747	213	Sisma X SLV	11.6	0	0	0	4.9E2	0.179	748	213	Sisma Y SLV	0	11.6	0	0	4.9E2	0.179
749	213	Sisma X SLO	10	0	0	0	4.9E2	0.179	750	213	Sisma Y SLO	0	10	0	0	4.9E2	0.179
751	214	Sisma X SLV	11.9	0	0	0	5.0E2	0.179	752	214	Sisma Y SLV	0	11.9	0	0	5.0E2	0.179
753	214	Sisma X SLO	10.3	0	0	0	5.0E2	0.179	754	214	Sisma Y SLO	0	10.3	0	0	5.0E2	0.179
755	215	Sisma X SLV	12.4	0	0	0	5.2E2	0.179	756	215	Sisma Y SLV	0	12.4	0	0	5.2E2	0.179
757	215	Sisma X SLO	10.6	0	0	0	5.2E2	0.179	758	215	Sisma Y SLO	0	10.6	0	0	5.2E2	0.179
759	216	Sisma X SLV	12.4	0	0	0	5.2E2	0.179	760	216	Sisma Y SLV	0	12.4	0	0	5.2E2	0.179
761	216	Sisma X SLO	10.7	0	0	0	5.2E2	0.179	762	216	Sisma Y SLO	0	10.7	0	0	5.2E2	0.179
763	217	Sisma X SLV	6.2	0	0	0	2.6E2	0.179	764	217	Sisma Y SLV	0	6.2	0	0	2.6E2	0.179
765	217	Sisma X SLO	5.3	0	0	0	2.6E2	0.179	766	217	Sisma Y SLO	0	5.3	0	0	2.6E2	0.179
767	218	Sisma X SLV	2.9	0	0	0	1.2E2	0.192	768	218	Sisma Y SLV	0	2.9	0	0	1.2E2	0.192
769	218	Sisma X SLO	2.5	0	0	0	1.2E2	0.192	770	218	Sisma Y SLO	0	2.5	0	0	1.2E2	0.192
771	219	Sisma X SLV	5.9	0	0	0	2.3E2	0.192	772	219	Sisma Y SLV	0	5.9	0	0	2.3E2	0.192
773	219	Sisma X SLO	5.1	0	0	0	2.3E2	0.192	774	219	Sisma Y SLO	0	5.1	0	0	2.3E2	0.192
775	220	Sisma X SLV	6.1	0	0	0	2.4E2	0.192	776	220	Sisma Y SLV	0	6.1	0	0	2.4E2	0.192
777	220	Sisma X SLO	5.3	0	0	0	2.4E2	0.192	778	220	Sisma Y SLO	0	5.3	0	0	2.4E2	0.192
779	221	Sisma X SLV	6.2	0	0	0	2.4E2	0.192	780	221	Sisma Y SLV	0	6.2	0	0	2.4E2	0.192
781	221	Sisma X SLO	5.4	0	0	0	2.4E2	0.192	782	221	Sisma Y SLO	0	5.4	0	0	2.4E2	0.192
783	222	Sisma X SLV	6.3	0	0	0	2.5E2	0.192	784	222	Sisma Y SLV	0	6.3	0	0	2.5E2	0.192
785	222	Sisma X SLO	5.4	0	0	0	2.5E2	0.192	786	222	Sisma Y SLO	0	5.4	0	0	2.5E2	0.192
787	223	Sisma X SLV	3.1	0	0	0	1.2E2	0.192	788	223	Sisma Y SLV	0	3.1	0	0	1.2E2	0.192
789	223	Sisma X SLO	2.7	0	0	0	1.2E2	0.192	790	223	Sisma Y SLO	0	2.7	0	0	1.2E2	0.192
791	224	Sisma X SLV	2.6	0	0	0	5.9E1	0.331	792	224	Sisma Y SLV	0	2.6	0	0	5.9E1	0.331
793	224	Eccentricità Y per sisma X SLV	0	0	0	-38	5.9E1	0.331	794	224	Eccentricità X per sisma Y SLV	0	0	0	19.7	5.9E1	0.331
795	224	Sisma X SLO	2.3	0	0	0	5.9E1	0.331	796	224	Sisma Y SLO	0	2.3	0	0	5.9E1	0.331
797	224	Eccentricità Y per sisma X SLO	0	0	0	-32.7	5.9E1	0.331	798	224	Eccentricità X per sisma Y SLO	0	0	0	16.9	5.9E1	0.331
799	225	Sisma X SLV	4.7	0	0	0	1.1E2	0.331	800	225	Sisma Y SLV	0	4.7	0	0	1.1E2	0.331
801	225	Eccentricità Y per sisma X SLV	0	0	0	-68.5	1.1E2	0.331	802	225	Eccentricità X per sisma Y SLV	0	0	0	35.4	1.1E2	0.331
803	225	Sisma X SLO	4.1	0	0	0	1.1E2	0.331	804	225	Sisma Y SLO	0	4.1	0	0	1.1E2	0.331
805	225	Eccentricità Y per sisma X SLO	0	0	0	-59	1.1E2	0.331	806	225	Eccentricità X per sisma Y SLO	0	0	0	30.5	1.1E2	0.331
807	226	Sisma X SLV	9.1	0	0	0	2.1E2	0.331	808	226	Sisma Y SLV	0	9.1	0	0	2.1E2	0.331
809	226	Eccentricità Y per sisma X SLV	0	0	0	-1.3E2	2.1E2	0.331	810	226	Eccentricità X per sisma Y SLV	0	0	0	68.3	2.1E2	0.331
811	226	Sisma X SLO	7.8	0	0	0	2.1E2	0.331	812	226	Sisma Y SLO	0	7.8	0	0	2.1E2	0.331
813	226	Eccentricità Y per sisma X SLO	0	0	0	-1.1E2	2.1E2	0.331	814	226	Eccentricità X per sisma Y SLO	0	0	0	58.8	2.1E2	0.331
815	227	Sisma X SLV	4.5	0	0	0	1.0E2	0.331	816	227	Sisma Y SLV	0	4.5	0	0	1.0E2	0.331
817	227	Eccentricità Y per sisma X SLV	0	0	0	-64.7	1.0E2	0.331	818	227	Eccentricità X per sisma Y SLV	0	0	0	33.5	1.0E2	0.331
819	227	Sisma X SLO	3.8	0	0	0	1.0E2	0.331	820	227	Sisma Y SLO	0	3.8	0	0	1.0E2	0.331
821	227	Eccentricità Y per sisma X SLO	0	0	0	-55.7	1.0E2	0.331	822	227	Eccentricità X per sisma Y SLO	0	0	0	28.8	1.0E2	0.331
823	228	Sisma X SLV	39	0	0	0	8.8E2	0.331	824	228	Sisma Y SLV	0	39	0	0	8.8E2	0.331
825	228	Eccentricità Y per sisma X SLV	0	0	0	-5.6E2	8.8E2	0.331	826	228	Eccentricità X per sisma Y SLV	0	0	0	292.2	8.8E2	0.331
827	228	Sisma X SLO	33.5	0	0	0	8.8E2	0.331	828	228	Sisma Y SLO	0	33.5	0	0	8.8E2	0.331
829	228	Eccentricità Y per sisma X SLO	0	0	0	-4.9E2	8.8E2	0.331	830	228	Eccentricità X per sisma Y SLO	0	0	0	251.6	8.8E2	0.331
831	229	Sisma X SLV	5.2	0	0	0	1.2E2	0.331	832	229	Sisma Y SLV	0	5.2	0	0	1.2E2	0.331
833	229	Eccentricità Y per sisma X SLV	0	0	0	-75.2	1.2E2	0.331	834	229	Eccentricità X per sisma Y SLV	0	0	0	38.9	1.2E2	0.331
835	229	Sisma X SLO	4.5	0	0	0	1.2E2	0.331	836	229	Sisma Y SLO	0	4.5	0	0	1.2E2	0.331
837	229	Eccentricità Y per sisma X SLO	0	0	0	-64.8	1.2E2	0.331	838	229	Eccentricità X per sisma Y SLO	0	0	0	33.5	1.2E2	0.331
839	230	Sisma X SLV	8.9	0	0	0	2.0E2	0.331	840	230	Sisma Y SLV	0	8.9	0	0	2.0E2	0.331
841	230	Eccentricità Y per sisma X SLV	0	0	0	-1.3E2	2.0E2	0.331	842	230	Eccentricità X per sisma Y SLV	0	0	0	66.7	2.0E2	0.331
843	230	Sisma X SLO	7.7	0	0	0	2.0E2	0.331	844	230	Sisma Y SLO	0	7.7	0	0	2.0E2	0.331
845	230	Eccentricità Y per sisma X SLO	0	0	0	-111	2.0E2	0.331	846	230	Eccentricità X per sisma Y SLO	0	0	0	57.4	2.0E2	0.331
847	231	Sisma X SLV	17.8	0	0	0	4.0E2	0.331	848	231	Sisma Y SLV	0	17.8	0	0	4.0E2	0.331
849	231	Eccentricità Y per sisma X SLV	0	0	0	-2.6E2	4.0E2	0.331	850	231	Eccentricità X per sisma Y SLV	0	0	0	133.7	4.0E2	0.331
851	231	Sisma X SLO	15.3	0	0	0	4.0E2	0.331	852	231	Sisma Y SLO	0	15.3	0	0	4.0E2	0.331
853	231	Eccentricità Y per sisma X SLO	0	0	0	-2.2E2	4.0E2	0.331	854	231	Eccentricità X per sisma Y SLO	0	0	0	115.1	4.0E2	0.331
855	232	Sisma X SLV	146.2	0	0	0	3.3E3	0.331	856	232	Sisma Y SLV	0	146.2	0	0	3.3E3	0.331
857	232	Eccentricità Y per sisma X SLV	0	0	0	-2.1E3	3.3E3	0.331	858	232	Eccentricità X per sisma Y SLV	0	0	0	1.1E3	3.3E3	0.331
859	232	Sisma X SLO	125.9	0	0	0	3.3E3	0.331	860	232	Sisma Y SLO	0	125.9	0	0	3.3E3	0.331
861	232	Eccentricità Y per sisma X SLO	0	0	0	-1.8E3	3.3E3	0.331	862	232	Eccentricità X per sisma Y SLO	0	0	0	944.1	3.3E3	0.331
863	233	Sisma X SLV	8.9	0	0	0	2.0E2	0.331	864	233	Sisma Y SLV	0	8.9	0	0	2.0E2	0.331
865	233	Eccentricità Y per sisma X SLV	0	0	0	-1.3E2	2.0E2	0.331	866	233	Eccentricità X per sisma Y SLV	0	0	0	66.9	2.0E2	0.331
867	233	Sisma X SLO	7.7	0	0	0	2.0E2	0.331	868	233	Sisma Y SLO	0	7.7	0	0	2.0E2	0.331
869	233	Eccentricità Y per sisma X SLO	0	0	0	-1.1E2	2.0E2	0.331	870	233	Eccentricità X per sisma Y SLO	0	0	0	57.6	2.0E2	0.331
871	234	Sisma X SLV	5.3	0	0	0	1.2E2	0.331	872								

Indice	Nodo	Condizione	Fx	Fy	Fz	Mz	Peso	γ	Indice	Nodo	Condizione	Fx	Fy	Fz	Mz	Peso	γ
899	237	Sisma X SLO	7.4	0	0	0	1.9E2	0.331	900	237	Sisma Y SLO	0	7.4	0	0	1.9E2	0.331
901	237	Eccentricità Y per sisma X SLO	0	0	0	-1.1E2	1.9E2	0.331	902	237	Eccentricità X per sisma Y SLO	0	0	0	55.2	1.9E2	0.331
903	239	Sisma X SLV	11.4	0	0	0	2.6E2	0.331	904	239	Sisma Y SLV	0	11.4	0	0	2.6E2	0.331
905	239	Eccentricità Y per sisma X SLV	0	0	0	-1.7E2	2.6E2	0.331	906	239	Eccentricità X per sisma Y SLV	0	0	0	85.8	2.6E2	0.331
907	239	Sisma X SLO	9.9	0	0	0	2.6E2	0.331	908	239	Sisma Y SLO	0	9.9	0	0	2.6E2	0.331
909	239	Eccentricità Y per sisma X SLO	0	0	0	-1.4E2	2.6E2	0.331	910	239	Eccentricità X per sisma Y SLO	0	0	0	73.9	2.6E2	0.331
911	240	Sisma X SLV	22.9	0	0	0	518.5	0.331	912	240	Sisma Y SLV	0	22.9	0	0	518.5	0.331
913	240	Eccentricità Y per sisma X SLV	0	0	0	-3.3E2	518.5	0.331	914	240	Eccentricità X per sisma Y SLV	0	0	0	171.6	518.5	0.331
915	240	Sisma X SLO	19.7	0	0	0	518.5	0.331	916	240	Sisma Y SLO	0	19.7	0	0	518.5	0.331
917	240	Eccentricità Y per sisma X SLO	0	0	0	-2.9E2	518.5	0.331	918	240	Eccentricità X per sisma Y SLO	0	0	0	147.8	518.5	0.331
919	241	Sisma X SLV	22.9	0	0	0	518.5	0.331	920	241	Sisma Y SLV	0	22.9	0	0	518.5	0.331
921	241	Eccentricità Y per sisma X SLV	0	0	0	-3.3E2	518.5	0.331	922	241	Eccentricità X per sisma Y SLV	0	0	0	171.6	518.5	0.331
923	241	Sisma X SLO	19.7	0	0	0	518.5	0.331	924	241	Sisma Y SLO	0	19.7	0	0	518.5	0.331
925	241	Eccentricità Y per sisma X SLO	0	0	0	-2.9E2	518.5	0.331	926	241	Eccentricità X per sisma Y SLO	0	0	0	147.8	518.5	0.331
927	242	Sisma X SLV	22.9	0	0	0	518.5	0.331	928	242	Sisma Y SLV	0	22.9	0	0	518.5	0.331
929	242	Eccentricità Y per sisma X SLV	0	0	0	-3.3E2	518.5	0.331	930	242	Eccentricità X per sisma Y SLV	0	0	0	171.6	518.5	0.331
931	242	Sisma X SLO	19.7	0	0	0	518.5	0.331	932	242	Sisma Y SLO	0	19.7	0	0	518.5	0.331
933	242	Eccentricità Y per sisma X SLO	0	0	0	-2.9E2	518.5	0.331	934	242	Eccentricità X per sisma Y SLO	0	0	0	147.8	518.5	0.331
935	243	Sisma X SLV	11.4	0	0	0	2.6E2	0.331	936	243	Sisma Y SLV	0	11.4	0	0	2.6E2	0.331
937	243	Eccentricità Y per sisma X SLV	0	0	0	-1.7E2	2.6E2	0.331	938	243	Eccentricità X per sisma Y SLV	0	0	0	85.8	2.6E2	0.331
939	243	Sisma X SLO	9.9	0	0	0	2.6E2	0.331	940	243	Sisma Y SLO	0	9.9	0	0	2.6E2	0.331
941	243	Eccentricità Y per sisma X SLO	0	0	0	-1.4E2	2.6E2	0.331	942	243	Eccentricità X per sisma Y SLO	0	0	0	73.9	2.6E2	0.331
943	244	Sisma X SLV	8.5	0	0	0	1.9E2	0.331	944	244	Sisma Y SLV	0	8.5	0	0	1.9E2	0.331
945	244	Eccentricità Y per sisma X SLV	0	0	0	-1.2E2	1.9E2	0.331	946	244	Eccentricità X per sisma Y SLV	0	0	0	64	1.9E2	0.331
947	244	Sisma X SLO	7.4	0	0	0	1.9E2	0.331	948	244	Sisma Y SLO	0	7.4	0	0	1.9E2	0.331
949	244	Eccentricità Y per sisma X SLO	0	0	0	-1.1E2	1.9E2	0.331	950	244	Eccentricità X per sisma Y SLO	0	0	0	55.1	1.9E2	0.331
951	245	Sisma X SLV	17.5	0	0	0	4.0E2	0.331	952	245	Sisma Y SLV	0	17.5	0	0	4.0E2	0.331
953	245	Eccentricità Y per sisma X SLV	0	0	0	-2.5E2	4.0E2	0.331	954	245	Eccentricità X per sisma Y SLV	0	0	0	130.9	4.0E2	0.331
955	245	Sisma X SLO	15	0	0	0	4.0E2	0.331	956	245	Sisma Y SLO	0	15	0	0	4.0E2	0.331
957	245	Eccentricità Y per sisma X SLO	0	0	0	-2.2E2	4.0E2	0.331	958	245	Eccentricità X per sisma Y SLO	0	0	0	112.7	4.0E2	0.331
959	246	Sisma X SLV	5.3	0	0	0	1.2E2	0.331	960	246	Sisma Y SLV	0	5.3	0	0	1.2E2	0.331
961	246	Eccentricità Y per sisma X SLV	0	0	0	-77.3	1.2E2	0.331	962	246	Eccentricità X per sisma Y SLV	0	0	0	40	1.2E2	0.331
963	246	Sisma X SLO	4.6	0	0	0	1.2E2	0.331	964	246	Sisma Y SLO	0	4.6	0	0	1.2E2	0.331
965	246	Eccentricità Y per sisma X SLO	0	0	0	-66.6	1.2E2	0.331	966	246	Eccentricità X per sisma Y SLO	0	0	0	34.4	1.2E2	0.331
967	247	Sisma X SLV	8.8	0	0	0	200.4	0.331	968	247	Sisma Y SLV	0	8.8	0	0	200.4	0.331
969	247	Eccentricità Y per sisma X SLV	0	0	0	-1.3E2	200.4	0.331	970	247	Eccentricità X per sisma Y SLV	0	0	0	66.3	200.4	0.331
971	247	Sisma X SLO	7.6	0	0	0	200.4	0.331	972	247	Sisma Y SLO	0	7.6	0	0	200.4	0.331
973	247	Eccentricità Y per sisma X SLO	0	0	0	-1.1E2	200.4	0.331	974	247	Eccentricità X per sisma Y SLO	0	0	0	57.1	200.4	0.331
975	248	Sisma X SLV	9	0	0	0	2.0E2	0.331	976	248	Sisma Y SLV	0	9	0	0	2.0E2	0.331
977	248	Eccentricità Y per sisma X SLV	0	0	0	-1.3E2	2.0E2	0.331	978	248	Eccentricità X per sisma Y SLV	0	0	0	67.6	2.0E2	0.331
979	248	Sisma X SLO	7.8	0	0	0	2.0E2	0.331	980	248	Sisma Y SLO	0	7.8	0	0	2.0E2	0.331
981	248	Eccentricità Y per sisma X SLO	0	0	0	-1.1E2	2.0E2	0.331	982	248	Eccentricità X per sisma Y SLO	0	0	0	58.2	2.0E2	0.331
983	249	Sisma X SLV	105.8	0	0	0	2.4E3	0.331	984	249	Sisma Y SLV	0	105.8	0	0	2.4E3	0.331
985	249	Eccentricità Y per sisma X SLV	0	0	0	-1.5E3	2.4E3	0.331	986	249	Eccentricità X per sisma Y SLV	0	0	0	793.6	2.4E3	0.331
987	249	Sisma X SLO	91.1	0	0	0	2.4E3	0.331	988	249	Sisma Y SLO	0	91.1	0	0	2.4E3	0.331
989	249	Eccentricità Y per sisma X SLO	0	0	0	-1321	2.4E3	0.331	990	249	Eccentricità X per sisma Y SLO	0	0	0	683.3	2.4E3	0.331
991	250	Sisma X SLV	17.9	0	0	0	4.0E2	0.331	992	250	Sisma Y SLV	0	17.9	0	0	4.0E2	0.331
993	250	Eccentricità Y per sisma X SLV	0	0	0	-259	4.0E2	0.331	994	250	Eccentricità X per sisma Y SLV	0	0	0	134	4.0E2	0.331
995	250	Sisma X SLO	15.4	0	0	0	4.0E2	0.331	996	250	Sisma Y SLO	0	15.4	0	0	4.0E2	0.331
997	250	Eccentricità Y per sisma X SLO	0	0	0	-223	4.0E2	0.331	998	250	Eccentricità X per sisma Y SLO	0	0	0	115.4	4.0E2	0.331
999	251	Sisma X SLV	5.4	0	0	0	1.2E2	0.331	1000	251	Sisma Y SLV	0	5.4	0	0	1.2E2	0.331
1001	251	Eccentricità Y per sisma X SLV	0	0	0	-77.8	1.2E2	0.331	1002	251	Eccentricità X per sisma Y SLV	0	0	0	40.2	1.2E2	0.331
1003	251	Sisma X SLO	4.6	0	0	0	1.2E2	0.331	1004	251	Sisma Y SLO	0	4.6	0	0	1.2E2	0.331
1005	251	Eccentricità Y per sisma X SLO	0	0	0	-66.9	1.2E2	0.331	1006	251	Eccentricità X per sisma Y SLO	0	0	0	34.6	1.2E2	0.331
1007	252	Sisma X SLV	8.9	0	0	0	2.0E2	0.331	1008	252	Sisma Y SLV	0	8.9	0	0	2.0E2	0.331
1009	252	Eccentricità Y per sisma X SLV	0	0	0	-1.3E2	2.0E2	0.331	1010	252	Eccentricità X per sisma Y SLV	0	0	0	66.7	2.0E2	0.331
1011	252	Sisma X SLO	7.7	0	0	0	2.0E2	0.331	1012	252	Sisma Y SLO	0	7.7	0	0	2.0E2	0.331
1013	252	Eccentricità Y per sisma X SLO	0	0	0	-111	2.0E2	0.331	1014	252	Eccentricità X per sisma Y SLO	0	0	0	57.4	2.0E2	0.331
1015	253	Sisma X SLV	2.7	0	0	0	6.1E1	0.331	1016	253	Sisma Y SLV	0	2.7	0	0	6.1E1	0.331
1017	253	Eccentricità Y per sisma X SLV	0	0	0	-39.2	6.1E1	0.331	1018	253	Eccentricità X per sisma Y SLV	0	0	0	20.3	6.1E1	0.331
1019	253	Sisma X SLO	2.3	0	0	0	6.1E1	0.331	1020	253	Sisma Y SLO	0	2.3	0	0	6.1E1	0.331
1021	253	Eccentricità Y per sisma X SLO	0	0	0	-33.8	6.1E1	0.331	1022	253	Eccentricità X per sisma Y SLO	0	0	0	17.5	6.1E1	0.331
1023	254	Sisma X SLV	4.7	0	0	0	1.1E2	0.331	1024	254	Sisma Y SLV	0	4.7	0	0	1.1E2	0.331
1025	254	Eccentricità Y per sisma X SLV	0	0	0	-67.6	1.1E2	0.331	1026	254	Eccentricità X per sisma Y SLV	0	0	0	35	1.1E2	0.331
1027	254	Sisma X SLO	4	0	0	0	1.1E2	0.331	1028	254	Sisma Y SLO	0	4	0	0	1.1E2	0.331
1029	254	Eccentricità Y per sisma X SLO	0	0	0	-58.2	1.1E2	0.331	1030	254	Eccentricità X per sisma Y SLO	0	0	0	30.1	1.1E2	0.331
1031	255	Sisma X SLV	9.1	0	0	0	2.1E2	0.331	1032	255	Sisma Y SLV	0	9.1	0	0	2.1E2	0.331
1033	255	Eccentricità Y per sisma X SLV	0	0	0	-1.3E2	2.1E2	0.331	1034	255	Eccentricità X per sisma Y SLV	0	0	0	68.1	2.1E2	0.331
1035	255	Sisma X SLO	7.8	0	0	0	2.1E2	0.331	1036	255	Sisma Y SLO	0	7.8	0	0	2.1E2	0.331
1037	255	Eccentricità Y per sisma X SLO	0	0	0	-1.1E2	2.1E2	0.331	1038	255	Eccentricità X per sisma Y SLO	0	0	0	58.7	2.1E2	0.331
1039	256	Sisma X SLV	4.5	0	0	0	1.0E2	0.331	1040	256	Sisma Y SLV	0	4.5	0	0	1.0E2	0.331
1041	256	Eccentricità Y per sisma X SLV	0	0	0	-64.7	1.0E2	0.331	1042	256	Eccentricità X per sisma Y SLV	0	0	0	33.5	1.0E2	0.331
1043	256	Sisma X SLO	3.8	0	0	0	1.0E2	0.331	1044	256	Sisma Y SLO	0	3.8	0	0	1.0E2	0.331
1045	256	Eccentricità Y per sisma X SLO	0	0	0	-55.7	1.0E2	0.331	1046	256	Eccentricità X per sisma Y SLO	0	0	0	28.8	1.0E2	0.331
1047	257	Sisma X SLV	15.7	0	0	0	3.6E2	0.331	1048	257	Sisma Y SLV	0	15.7	0	0	3.6E2	0.331
1049	257	Eccentricità Y per sisma X SLV	0	0	0	-2.3E2	3.6E2	0.331	1050	257	Eccentricità X per sisma Y SLV	0	0	0	118	3.6E2	0.331
1051	257	Sisma X SLO	13.5	0	0	0	3.6E2	0.331	1052	257	Sisma Y SLO	0	13.5	0	0	3.6E2	0.331
1053	257	Eccentricità Y per sisma X SLO	0	0	0	-2.0E2	3.6E2	0.331	1054	257	Eccentricità X per sisma Y SLO	0	0	0	101.6	3.6E2	0.331
1055	258	Sisma X SLV	10.6	0	0	0	2.4E2	0.331	1056								

Indice	Nodo	Condizione	Fx	Fy	Fz	Mz	Peso	γ	Indice	Nodo	Condizione	Fx	Fy	Fz	Mz	Peso	γ
1063	259	Sisma X SLV	21	0	0	0	4.8E2	0.331	1064	259	Sisma Y SLV	0	21	0	0	4.8E2	0.331
1065	259	Eccentricità Y per sisma X SLV	0	0	0	-3.1E2	4.8E2	0.331	1066	259	Eccentricità X per sisma Y SLV	0	0	0	157.8	4.8E2	0.331
1067	259	Sisma X SLO	18.1	0	0	0	4.8E2	0.331	1068	259	Sisma Y SLO	0	18.1	0	0	4.8E2	0.331
1069	259	Eccentricità Y per sisma X SLO	0	0	0	-2.6E2	4.8E2	0.331	1070	259	Eccentricità X per sisma Y SLO	0	0	0	135.9	4.8E2	0.331
1071	260	Sisma X SLV	21	0	0	0	4.8E2	0.331	1072	260	Sisma Y SLV	0	21	0	0	4.8E2	0.331
1073	260	Eccentricità Y per sisma X SLV	0	0	0	-305	4.8E2	0.331	1074	260	Eccentricità X per sisma Y SLV	0	0	0	157.8	4.8E2	0.331
1075	260	Sisma X SLO	18.1	0	0	0	4.8E2	0.331	1076	260	Sisma Y SLO	0	18.1	0	0	4.8E2	0.331
1077	260	Eccentricità Y per sisma X SLO	0	0	0	-2.6E2	4.8E2	0.331	1078	260	Eccentricità X per sisma Y SLO	0	0	0	135.8	4.8E2	0.331
1079	261	Sisma X SLV	21.1	0	0	0	4.8E2	0.331	1080	261	Sisma Y SLV	0	21.1	0	0	4.8E2	0.331
1081	261	Eccentricità Y per sisma X SLV	0	0	0	-3.1E2	4.8E2	0.331	1082	261	Eccentricità X per sisma Y SLV	0	0	0	158.4	4.8E2	0.331
1083	261	Sisma X SLO	18.2	0	0	0	4.8E2	0.331	1084	261	Sisma Y SLO	0	18.2	0	0	4.8E2	0.331
1085	261	Eccentricità Y per sisma X SLO	0	0	0	-2.6E2	4.8E2	0.331	1086	261	Eccentricità X per sisma Y SLO	0	0	0	136.4	4.8E2	0.331
1087	262	Sisma X SLV	21.3	0	0	0	4.8E2	0.331	1088	262	Sisma Y SLV	0	21.3	0	0	4.8E2	0.331
1089	262	Eccentricità Y per sisma X SLV	0	0	0	-3.1E2	4.8E2	0.331	1090	262	Eccentricità X per sisma Y SLV	0	0	0	159.9	4.8E2	0.331
1091	262	Sisma X SLO	18.4	0	0	0	4.8E2	0.331	1092	262	Sisma Y SLO	0	18.4	0	0	4.8E2	0.331
1093	262	Eccentricità Y per sisma X SLO	0	0	0	-2.7E2	4.8E2	0.331	1094	262	Eccentricità X per sisma Y SLO	0	0	0	137.7	4.8E2	0.331
1095	263	Sisma X SLV	21.4	0	0	0	4.8E2	0.331	1096	263	Sisma Y SLV	0	21.4	0	0	4.8E2	0.331
1097	263	Eccentricità Y per sisma X SLV	0	0	0	-310	4.8E2	0.331	1098	263	Eccentricità X per sisma Y SLV	0	0	0	160.3	4.8E2	0.331
1099	263	Sisma X SLO	18.4	0	0	0	4.8E2	0.331	1100	263	Sisma Y SLO	0	18.4	0	0	4.8E2	0.331
1101	263	Eccentricità Y per sisma X SLO	0	0	0	-2.7E2	4.8E2	0.331	1102	263	Eccentricità X per sisma Y SLO	0	0	0	138	4.8E2	0.331
1103	264	Sisma X SLV	10.8	0	0	0	2.4E2	0.331	1104	264	Sisma Y SLV	0	10.8	0	0	2.4E2	0.331
1105	264	Eccentricità Y per sisma X SLV	0	0	0	-156	2.4E2	0.331	1106	264	Eccentricità X per sisma Y SLV	0	0	0	80.7	2.4E2	0.331
1107	264	Sisma X SLO	9.3	0	0	0	2.4E2	0.331	1108	264	Sisma Y SLO	0	9.3	0	0	2.4E2	0.331
1109	264	Eccentricità Y per sisma X SLO	0	0	0	-1.3E2	2.4E2	0.331	1110	264	Eccentricità X per sisma Y SLO	0	0	0	69.5	2.4E2	0.331
1111	265	Sisma X SLV	15.5	0	0	0	247	0.47	1112	265	Sisma Y SLV	0	15.5	0	0	247	0.47
1113	265	Sisma X SLO	13.3	0	0	0	247	0.47	1114	265	Sisma Y SLO	0	13.3	0	0	247	0.47
1115	266	Sisma X SLV	30.9	0	0	0	494	0.47	1116	266	Sisma Y SLV	0	30.9	0	0	494	0.47
1117	266	Sisma X SLO	26.6	0	0	0	494	0.47	1118	266	Sisma Y SLO	0	26.6	0	0	494	0.47
1119	267	Sisma X SLV	30.9	0	0	0	494	0.47	1120	267	Sisma Y SLV	0	30.9	0	0	494	0.47
1121	267	Sisma X SLO	26.6	0	0	0	494	0.47	1122	267	Sisma Y SLO	0	26.6	0	0	494	0.47
1123	268	Sisma X SLV	30.9	0	0	0	494	0.47	1124	268	Sisma Y SLV	0	30.9	0	0	494	0.47
1125	268	Sisma X SLO	26.6	0	0	0	494	0.47	1126	268	Sisma Y SLO	0	26.6	0	0	494	0.47
1127	269	Sisma X SLV	15.5	0	0	0	247	0.47	1128	269	Sisma Y SLV	0	15.5	0	0	247	0.47
1129	269	Sisma X SLO	13.3	0	0	0	247	0.47	1130	269	Sisma Y SLO	0	13.3	0	0	247	0.47
1131	270	Sisma X SLV	21.3	0	0	0	3.4E2	0.47	1132	270	Sisma Y SLV	0	21.3	0	0	3.4E2	0.47
1133	270	Sisma X SLO	18.3	0	0	0	3.4E2	0.47	1134	270	Sisma Y SLO	0	18.3	0	0	3.4E2	0.47
1135	271	Sisma X SLV	14.7	0	0	0	2.4E2	0.47	1136	271	Sisma Y SLV	0	14.7	0	0	2.4E2	0.47
1137	271	Sisma X SLO	12.7	0	0	0	2.4E2	0.47	1138	271	Sisma Y SLO	0	12.7	0	0	2.4E2	0.47
1139	272	Sisma X SLV	29.2	0	0	0	4.7E2	0.47	1140	272	Sisma Y SLV	0	29.2	0	0	4.7E2	0.47
1141	272	Sisma X SLO	25.2	0	0	0	4.7E2	0.47	1142	272	Sisma Y SLO	0	25.2	0	0	4.7E2	0.47
1143	273	Sisma X SLV	28.7	0	0	0	4.6E2	0.47	1144	273	Sisma Y SLV	0	28.7	0	0	4.6E2	0.47
1145	273	Sisma X SLO	24.7	0	0	0	4.6E2	0.47	1146	273	Sisma Y SLO	0	24.7	0	0	4.6E2	0.47
1147	274	Sisma X SLV	28.5	0	0	0	4.5E2	0.47	1148	274	Sisma Y SLV	0	28.5	0	0	4.5E2	0.47
1149	274	Sisma X SLO	24.5	0	0	0	4.5E2	0.47	1150	274	Sisma Y SLO	0	24.5	0	0	4.5E2	0.47
1151	275	Sisma X SLV	28.4	0	0	0	4.5E2	0.47	1152	275	Sisma Y SLV	0	28.4	0	0	4.5E2	0.47
1153	275	Sisma X SLO	24.4	0	0	0	4.5E2	0.47	1154	275	Sisma Y SLO	0	24.4	0	0	4.5E2	0.47
1155	276	Sisma X SLV	28.3	0	0	0	4.5E2	0.47	1156	276	Sisma Y SLV	0	28.3	0	0	4.5E2	0.47
1157	276	Sisma X SLO	24.4	0	0	0	4.5E2	0.47	1158	276	Sisma Y SLO	0	24.4	0	0	4.5E2	0.47
1159	277	Sisma X SLV	14.2	0	0	0	2.3E2	0.47	1160	277	Sisma Y SLV	0	14.2	0	0	2.3E2	0.47
1161	277	Sisma X SLO	12.2	0	0	0	2.3E2	0.47	1162	277	Sisma Y SLO	0	12.2	0	0	2.3E2	0.47
1163	278	Sisma X SLV	20	0	0	0	247	0.609	1164	278	Sisma Y SLV	0	20	0	0	247	0.609
1165	278	Sisma X SLO	17.3	0	0	0	247	0.609	1166	278	Sisma Y SLO	0	17.3	0	0	247	0.609
1167	279	Sisma X SLV	40.1	0	0	0	494	0.609	1168	279	Sisma Y SLV	0	40.1	0	0	494	0.609
1169	279	Sisma X SLO	34.5	0	0	0	494	0.609	1170	279	Sisma Y SLO	0	34.5	0	0	494	0.609
1171	280	Sisma X SLV	40.1	0	0	0	494	0.609	1172	280	Sisma Y SLV	0	40.1	0	0	494	0.609
1173	280	Sisma X SLO	34.5	0	0	0	494	0.609	1174	280	Sisma Y SLO	0	34.5	0	0	494	0.609
1175	281	Sisma X SLV	40.1	0	0	0	494	0.609	1176	281	Sisma Y SLV	0	40.1	0	0	494	0.609
1177	281	Sisma X SLO	34.5	0	0	0	494	0.609	1178	281	Sisma Y SLO	0	34.5	0	0	494	0.609
1179	282	Sisma X SLV	20	0	0	0	247	0.609	1180	282	Sisma Y SLV	0	20	0	0	247	0.609
1181	282	Sisma X SLO	17.3	0	0	0	247	0.609	1182	282	Sisma Y SLO	0	17.3	0	0	247	0.609
1183	283	Sisma X SLV	27.6	0	0	0	3.4E2	0.609	1184	283	Sisma Y SLV	0	27.6	0	0	3.4E2	0.609
1185	283	Sisma X SLO	23.7	0	0	0	3.4E2	0.609	1186	283	Sisma Y SLO	0	23.7	0	0	3.4E2	0.609
1187	284	Sisma X SLV	20	0	0	0	2.5E2	0.609	1188	284	Sisma Y SLV	0	20	0	0	2.5E2	0.609
1189	284	Sisma X SLO	17.3	0	0	0	2.5E2	0.609	1190	284	Sisma Y SLO	0	17.3	0	0	2.5E2	0.609
1191	285	Sisma X SLV	38.8	0	0	0	4.8E2	0.609	1192	285	Sisma Y SLV	0	38.8	0	0	4.8E2	0.609
1193	285	Sisma X SLO	33.4	0	0	0	4.8E2	0.609	1194	285	Sisma Y SLO	0	33.4	0	0	4.8E2	0.609
1195	286	Sisma X SLV	36.9	0	0	0	4.6E2	0.609	1196	286	Sisma Y SLV	0	36.9	0	0	4.6E2	0.609
1197	286	Sisma X SLO	31.8	0	0	0	4.6E2	0.609	1198	286	Sisma Y SLO	0	31.8	0	0	4.6E2	0.609
1199	287	Sisma X SLV	36.5	0	0	0	4.5E2	0.609	1200	287	Sisma Y SLV	0	36.5	0	0	4.5E2	0.609
1201	287	Sisma X SLO	31.4	0	0	0	4.5E2	0.609	1202	287	Sisma Y SLO	0	31.4	0	0	4.5E2	0.609
1203	288	Sisma X SLV	36.3	0	0	0	4.5E2	0.609	1204	288	Sisma Y SLV	0	36.3	0	0	4.5E2	0.609
1205	288	Sisma X SLO	31.3	0	0	0	4.5E2	0.609	1206	288	Sisma Y SLO	0	31.3	0	0	4.5E2	0.609
1207	289	Sisma X SLV	36.2	0	0	0	4.5E2	0.609	1208	289	Sisma Y SLV	0	36.2	0	0	4.5E2	0.609
1209	289	Sisma X SLO	31.2	0	0	0	4.5E2	0.609	1210	289	Sisma Y SLO	0	31.2	0	0	4.5E2	0.609
1211	290	Sisma X SLV	18.1	0	0	0	2.2E2	0.609	1212	290	Sisma Y SLV	0	18.1	0	0	2.2E2	0.609
1213	290	Sisma X SLO	15.6	0	0	0	2.2E2	0.609	1214	290	Sisma Y SLO	0	15.6	0	0	2.2E2	0.609
1215	291	Sisma X SLV	39.8	0	0	0	4.0E2	0.748	1216	291	Sisma Y SLV	0	39.8	0	0	4.0E2	0.748
1217	291	Eccentricità Y per sisma X SLV	0	0	0	-6.6E2	4.0E2	0.748	1218	291	Eccentricità X per sisma Y SLV	0	0	0	532.2	4.0E2	0.748
1219	291	Sisma X SLO	34.3	0	0	0	4.0E2	0.748	1220	291	Sisma Y SLO	0	34.3	0	0	4.0E2	0.748
1221	291	Eccentricità Y per sisma X SLO	0	0	0	-5.7E2	4.0E2	0.748	1222	291	Eccentricità X per sisma Y SLO	0	0	0	458.2	4.0E2	0.748
1223	292	Sisma X SLV	15.5	0	0	0	1.6E2	0.748	1224	292	Sisma Y SLV	0	15.5	0	0	1.6E2	0.748
1225	292																

Indice	Nodo	Condizione	Fx	Fy	Fz	Mz	Peso	γ	Indice	Nodo	Condizione	Fx	Fy	Fz	Mz	Peso	γ
1261	296	Eccentricità Y per sisma X SLO	0	0	0	-105	7.4E1	0.748	1262	296	Eccentricità X per sisma Y SLO	0	0	0	85.1	7.4E1	0.748
1263	297	Sisma X SLV	75.5	0	0	0	7.6E2	0.748	1264	297	Sisma Y SLV	0	75.5	0	0	7.6E2	0.748
1265	297	Eccentricità Y per sisma X SLV	0	0	0	-1.2E3	7.6E2	0.748	1266	297	Eccentricità X per sisma Y SLV	0	0	0	1.0E3	7.6E2	0.748
1267	297	Sisma X SLO	65	0	0	0	7.6E2	0.748	1268	297	Sisma Y SLO	0	65	0	0	7.6E2	0.748
1269	297	Eccentricità Y per sisma X SLO	0	0	0	-1072	7.6E2	0.748	1270	297	Eccentricità X per sisma Y SLO	0	0	0	869	7.6E2	0.748
1271	298	Sisma X SLV	27.2	0	0	0	2.7E2	0.748	1272	298	Sisma Y SLV	0	27.2	0	0	2.7E2	0.748
1273	298	Eccentricità Y per sisma X SLV	0	0	0	-4.5E2	2.7E2	0.748	1274	298	Eccentricità X per sisma Y SLV	0	0	0	363.3	2.7E2	0.748
1275	298	Sisma X SLO	23.4	0	0	0	2.7E2	0.748	1276	298	Sisma Y SLO	0	23.4	0	0	2.7E2	0.748
1277	298	Eccentricità Y per sisma X SLO	0	0	0	-3.9E2	2.7E2	0.748	1278	298	Eccentricità X per sisma Y SLO	0	0	0	312.8	2.7E2	0.748
1279	299	Sisma X SLV	31.6	0	0	0	3.2E2	0.748	1280	299	Sisma Y SLV	0	31.6	0	0	3.2E2	0.748
1281	299	Eccentricità Y per sisma X SLV	0	0	0	-5.2E2	3.2E2	0.748	1282	299	Eccentricità X per sisma Y SLV	0	0	0	422.5	3.2E2	0.748
1283	299	Sisma X SLO	27.2	0	0	0	3.2E2	0.748	1284	299	Sisma Y SLO	0	27.2	0	0	3.2E2	0.748
1285	299	Eccentricità Y per sisma X SLO	0	0	0	-4.5E2	3.2E2	0.748	1286	299	Eccentricità X per sisma Y SLO	0	0	0	363.8	3.2E2	0.748
1287	300	Sisma X SLV	330	0	0	0	3.3E3	0.748	1288	300	Sisma Y SLV	0	330	0	0	3.3E3	0.748
1289	300	Eccentricità Y per sisma X SLV	0	0	0	-5.4E3	3.3E3	0.748	1290	300	Eccentricità X per sisma Y SLV	0	0	0	4.4E3	3.3E3	0.748
1291	300	Sisma X SLO	284.1	0	0	0	3.3E3	0.748	1292	300	Sisma Y SLO	0	284.1	0	0	3.3E3	0.748
1293	300	Eccentricità Y per sisma X SLO	0	0	0	-4.7E3	3.3E3	0.748	1294	300	Eccentricità X per sisma Y SLO	0	0	0	3.8E3	3.3E3	0.748
1295	301	Sisma X SLV	32.9	0	0	0	3.3E2	0.748	1296	301	Sisma Y SLV	0	32.9	0	0	3.3E2	0.748
1297	301	Eccentricità Y per sisma X SLV	0	0	0	-5.4E2	3.3E2	0.748	1298	301	Eccentricità X per sisma Y SLV	0	0	0	439.7	3.3E2	0.748
1299	301	Sisma X SLO	28.3	0	0	0	3.3E2	0.748	1300	301	Sisma Y SLO	0	28.3	0	0	3.3E2	0.748
1301	301	Eccentricità Y per sisma X SLO	0	0	0	-467	3.3E2	0.748	1302	301	Eccentricità X per sisma Y SLO	0	0	0	378.6	3.3E2	0.748
1303	302	Sisma X SLV	79.7	0	0	0	8.0E2	0.748	1304	302	Sisma Y SLV	0	79.7	0	0	8.0E2	0.748
1305	302	Eccentricità Y per sisma X SLV	0	0	0	-1315	8.0E2	0.748	1306	302	Eccentricità X per sisma Y SLV	0	0	0	1.1E3	8.0E2	0.748
1307	302	Sisma X SLO	68.6	0	0	0	8.0E2	0.748	1308	302	Sisma Y SLO	0	68.6	0	0	8.0E2	0.748
1309	302	Eccentricità Y per sisma X SLO	0	0	0	-1.1E3	8.0E2	0.748	1310	302	Eccentricità X per sisma Y SLO	0	0	0	917.8	8.0E2	0.748
1311	303	Sisma X SLV	37.5	0	0	0	3.8E2	0.748	1312	303	Sisma Y SLV	0	37.5	0	0	3.8E2	0.748
1313	303	Eccentricità Y per sisma X SLV	0	0	0	-618	3.8E2	0.748	1314	303	Eccentricità X per sisma Y SLV	0	0	0	501	3.8E2	0.748
1315	303	Sisma X SLO	32.3	0	0	0	3.8E2	0.748	1316	303	Sisma Y SLO	0	32.3	0	0	3.8E2	0.748
1317	303	Eccentricità Y per sisma X SLO	0	0	0	-5.3E2	3.8E2	0.748	1318	303	Eccentricità X per sisma Y SLO	0	0	0	431.4	3.8E2	0.748
1319	304	Sisma X SLV	33.1	0	0	0	3.3E2	0.748	1320	304	Sisma Y SLV	0	33.1	0	0	3.3E2	0.748
1321	304	Eccentricità Y per sisma X SLV	0	0	0	-5.5E2	3.3E2	0.748	1322	304	Eccentricità X per sisma Y SLV	0	0	0	442.4	3.3E2	0.748
1323	304	Sisma X SLO	28.5	0	0	0	3.3E2	0.748	1324	304	Sisma Y SLO	0	28.5	0	0	3.3E2	0.748
1325	304	Eccentricità Y per sisma X SLO	0	0	0	-4.7E2	3.3E2	0.748	1326	304	Eccentricità X per sisma Y SLO	0	0	0	380.9	3.3E2	0.748
1327	305	Sisma X SLV	33.9	0	0	0	3.4E2	0.748	1328	305	Sisma Y SLV	0	33.9	0	0	3.4E2	0.748
1329	305	Eccentricità Y per sisma X SLV	0	0	0	-5.6E2	3.4E2	0.748	1330	305	Eccentricità X per sisma Y SLV	0	0	0	453.6	3.4E2	0.748
1331	305	Sisma X SLO	29.2	0	0	0	3.4E2	0.748	1332	305	Sisma Y SLO	0	29.2	0	0	3.4E2	0.748
1333	305	Eccentricità Y per sisma X SLO	0	0	0	-4.8E2	3.4E2	0.748	1334	305	Eccentricità X per sisma Y SLO	0	0	0	390.6	3.4E2	0.748
1335	306	Sisma X SLV	80	0	0	0	8.0E2	0.748	1336	306	Sisma Y SLV	0	80	0	0	8.0E2	0.748
1337	306	Eccentricità Y per sisma X SLV	0	0	0	-1.3E3	8.0E2	0.748	1338	306	Eccentricità X per sisma Y SLV	0	0	0	1.1E3	8.0E2	0.748
1339	306	Sisma X SLO	68.9	0	0	0	8.0E2	0.748	1340	306	Sisma Y SLO	0	68.9	0	0	8.0E2	0.748
1341	306	Eccentricità Y per sisma X SLO	0	0	0	-1.1E3	8.0E2	0.748	1342	306	Eccentricità X per sisma Y SLO	0	0	0	921.2	8.0E2	0.748
1343	307	Sisma X SLV	192.8	0	0	0	1.9E3	0.748	1344	307	Sisma Y SLV	0	192.8	0	0	1.9E3	0.748
1345	307	Eccentricità Y per sisma X SLV	0	0	0	-3.2E3	1.9E3	0.748	1346	307	Eccentricità X per sisma Y SLV	0	0	0	2.6E3	1.9E3	0.748
1347	307	Sisma X SLO	166	0	0	0	1.9E3	0.748	1348	307	Sisma Y SLO	0	166	0	0	1.9E3	0.748
1349	307	Eccentricità Y per sisma X SLO	0	0	0	-2.7E3	1.9E3	0.748	1350	307	Eccentricità X per sisma Y SLO	0	0	0	2.2E3	1.9E3	0.748
1351	308	Sisma X SLV	143.4	0	0	0	1.4E3	0.748	1352	308	Sisma Y SLV	0	143.4	0	0	1.4E3	0.748
1353	308	Eccentricità Y per sisma X SLV	0	0	0	-2.4E3	1.4E3	0.748	1354	308	Eccentricità X per sisma Y SLV	0	0	0	1.9E3	1.4E3	0.748
1355	308	Sisma X SLO	123.4	0	0	0	1.4E3	0.748	1356	308	Sisma Y SLO	0	123.4	0	0	1.4E3	0.748
1357	308	Eccentricità Y per sisma X SLO	0	0	0	-2.0E3	1.4E3	0.748	1358	308	Eccentricità X per sisma Y SLO	0	0	0	1651	1.4E3	0.748
1359	309	Sisma X SLV	110.3	0	0	0	1.107	0.748	1360	309	Sisma Y SLV	0	110.3	0	0	1.107	0.748
1361	309	Eccentricità Y per sisma X SLV	0	0	0	-1.8E3	1.107	0.748	1362	309	Eccentricità X per sisma Y SLV	0	0	0	1.5E3	1.107	0.748
1363	309	Sisma X SLO	94.9	0	0	0	1.107	0.748	1364	309	Sisma Y SLO	0	94.9	0	0	1.107	0.748
1365	309	Eccentricità Y per sisma X SLO	0	0	0	-1.6E3	1.107	0.748	1366	309	Eccentricità X per sisma Y SLO	0	0	0	1.3E3	1.107	0.748
1367	310	Sisma X SLV	85.2	0	0	0	855.5	0.748	1368	310	Sisma Y SLV	0	85.2	0	0	855.5	0.748
1369	310	Eccentricità Y per sisma X SLV	0	0	0	-1.4E3	855.5	0.748	1370	310	Eccentricità X per sisma Y SLV	0	0	0	1.1E3	855.5	0.748
1371	310	Sisma X SLO	73.4	0	0	0	855.5	0.748	1372	310	Sisma Y SLO	0	73.4	0	0	855.5	0.748
1373	310	Eccentricità Y per sisma X SLO	0	0	0	-1.2E3	855.5	0.748	1374	310	Eccentricità X per sisma Y SLO	0	0	0	981.4	855.5	0.748
1375	311	Sisma X SLV	60.2	0	0	0	604	0.748	1376	311	Sisma Y SLV	0	60.2	0	0	604	0.748
1377	311	Eccentricità Y per sisma X SLV	0	0	0	-9.9E2	604	0.748	1378	311	Eccentricità X per sisma Y SLV	0	0	0	804.7	604	0.748
1379	311	Sisma X SLO	51.8	0	0	0	604	0.748	1380	311	Sisma Y SLO	0	51.8	0	0	604	0.748
1381	311	Eccentricità Y per sisma X SLO	0	0	0	-8.5E2	604	0.748	1382	311	Eccentricità X per sisma Y SLO	0	0	0	692.9	604	0.748
1383	312	Sisma X SLV	60.2	0	0	0	604	0.748	1384	312	Sisma Y SLV	0	60.2	0	0	604	0.748
1385	312	Eccentricità Y per sisma X SLV	0	0	0	-9.9E2	604	0.748	1386	312	Eccentricità X per sisma Y SLV	0	0	0	804.7	604	0.748
1387	312	Sisma X SLO	51.8	0	0	0	604	0.748	1388	312	Sisma Y SLO	0	51.8	0	0	604	0.748
1389	312	Eccentricità Y per sisma X SLO	0	0	0	-8.5E2	604	0.748	1390	312	Eccentricità X per sisma Y SLO	0	0	0	692.9	604	0.748
1391	313	Sisma X SLV	60.2	0	0	0	604	0.748	1392	313	Sisma Y SLV	0	60.2	0	0	604	0.748
1393	313	Eccentricità Y per sisma X SLV	0	0	0	-9.9E2	604	0.748	1394	313	Eccentricità X per sisma Y SLV	0	0	0	804.7	604	0.748
1395	313	Sisma X SLO	51.8	0	0	0	604	0.748	1396	313	Sisma Y SLO	0	51.8	0	0	604	0.748
1397	313	Eccentricità Y per sisma X SLO	0	0	0	-8.5E2	604	0.748	1398	313	Eccentricità X per sisma Y SLO	0	0	0	692.9	604	0.748
1399	314	Sisma X SLV	30.1	0	0	0	302	0.748	1400	314	Sisma Y SLV	0	30.1	0	0	302	0.748
1401	314	Eccentricità Y per sisma X SLV	0	0	0	-5.0E2	302	0.748	1402	314	Eccentricità X per sisma Y SLV	0	0	0	402.4	302	0.748
1403	314	Sisma X SLO	25.9	0	0	0	302	0.748	1404	314	Sisma Y SLO	0	25.9	0	0	302	0.748
1405	314	Eccentricità Y per sisma X SLO	0	0	0	-4.3E2	302	0.748	1406	314	Eccentricità X per sisma Y SLO	0	0	0	346.4	302	0.748
1407	315	Sisma X SLV	38.9	0	0	0	3.9E2	0.748	1408	315	Sisma Y SLV	0	38.9	0	0	3.9E2	0.748
1409	315	Eccentricità Y per sisma X SLV	0	0	0	-6.4E2	3.9E2	0.748	1410	315	Eccentricità X per sisma Y SLV	0	0	0	520.9	3.9E2	0.748
1411	315	Sisma X SLO	33.5	0	0	0	3.9E2	0.748	1412	315	Sisma Y SLO	0	33.5	0	0	3.9E2	0.748
1413	315	Eccentricità Y per sisma X SLO	0	0	0	-5.5E2	3.9E2	0.748	1414	315	Eccentricità X per sisma Y SLO	0	0	0	448.5	3.9E2	0.748
1415	317	Sisma X SLV	36.5	0	0	0	3.7E2	0.748	1416	317	Sisma Y SLV	0					

Indice	Nodo	Condizione	Fx	Fy	Fz	Mz	Peso	γ	Indice	Nodo	Condizione	Fx	Fy	Fz	Mz	Peso	γ
1425	318	Eccentricità Y per sisma X SLV	0	0	0	-1.3E3	8.1E2	0.748	1426	318	Eccentricità X per sisma Y SLV	0	0	0	1.1E3	8.1E2	0.748
1427	318	Sisma X SLO	69.2	0	0	0	8.1E2	0.748	1428	318	Sisma Y SLO	0	69.2	0	0	8.1E2	0.748
1429	318	Eccentricità Y per sisma X SLO	0	0	0	-1.1E3	8.1E2	0.748	1430	318	Eccentricità X per sisma Y SLO	0	0	0	925	8.1E2	0.748
1431	319	Sisma X SLV	37.7	0	0	0	3.8E2	0.748	1432	319	Sisma Y SLV	0	37.7	0	0	3.8E2	0.748
1433	319	Eccentricità Y per sisma X SLV	0	0	0	-6.2E2	3.8E2	0.748	1434	319	Eccentricità X per sisma Y SLV	0	0	0	504.1	3.8E2	0.748
1435	319	Sisma X SLO	32.4	0	0	0	3.8E2	0.748	1436	319	Sisma Y SLO	0	32.4	0	0	3.8E2	0.748
1437	319	Eccentricità Y per sisma X SLO	0	0	0	-5.4E2	3.8E2	0.748	1438	319	Eccentricità X per sisma Y SLO	0	0	0	434	3.8E2	0.748
1439	320	Sisma X SLV	149.6	0	0	0	1.5E3	0.748	1440	320	Sisma Y SLV	0	149.6	0	0	1.5E3	0.748
1441	320	Eccentricità Y per sisma X SLV	0	0	0	-2.5E3	1.5E3	0.748	1442	320	Eccentricità X per sisma Y SLV	0	0	0	2.0E3	1.5E3	0.748
1443	320	Sisma X SLO	128.9	0	0	0	1.5E3	0.748	1444	320	Sisma Y SLO	0	128.9	0	0	1.5E3	0.748
1445	320	Eccentricità Y per sisma X SLO	0	0	0	-2126	1.5E3	0.748	1446	320	Eccentricità X per sisma Y SLO	0	0	0	1.7E3	1.5E3	0.748
1447	321	Sisma X SLV	125.1	0	0	0	1.3E3	0.748	1448	321	Sisma Y SLV	0	125.1	0	0	1.3E3	0.748
1449	321	Eccentricità Y per sisma X SLV	0	0	0	-2.1E3	1.3E3	0.748	1450	321	Eccentricità X per sisma Y SLV	0	0	0	1.7E3	1.3E3	0.748
1451	321	Sisma X SLO	107.7	0	0	0	1.3E3	0.748	1452	321	Sisma Y SLO	0	107.7	0	0	1.3E3	0.748
1453	321	Eccentricità Y per sisma X SLO	0	0	0	-1.8E3	1.3E3	0.748	1454	321	Eccentricità X per sisma Y SLO	0	0	0	1.4E3	1.3E3	0.748
1455	322	Sisma X SLV	43.5	0	0	0	4.4E2	0.748	1456	322	Sisma Y SLV	0	43.5	0	0	4.4E2	0.748
1457	322	Eccentricità Y per sisma X SLV	0	0	0	-7.2E2	4.4E2	0.748	1458	322	Eccentricità X per sisma Y SLV	0	0	0	582.5	4.4E2	0.748
1459	322	Sisma X SLO	37.5	0	0	0	4.4E2	0.748	1460	322	Sisma Y SLO	0	37.5	0	0	4.4E2	0.748
1461	322	Eccentricità Y per sisma X SLO	0	0	0	-6.2E2	4.4E2	0.748	1462	322	Eccentricità X per sisma Y SLO	0	0	0	501.5	4.4E2	0.748
1463	323	Sisma X SLV	38.5	0	0	0	3.9E2	0.748	1464	323	Sisma Y SLV	0	38.5	0	0	3.9E2	0.748
1465	323	Eccentricità Y per sisma X SLV	0	0	0	-6.4E2	3.9E2	0.748	1466	323	Eccentricità X per sisma Y SLV	0	0	0	514.8	3.9E2	0.748
1467	323	Sisma X SLO	33.1	0	0	0	3.9E2	0.748	1468	323	Sisma Y SLO	0	33.1	0	0	3.9E2	0.748
1469	323	Eccentricità Y per sisma X SLO	0	0	0	-5.5E2	3.9E2	0.748	1470	323	Eccentricità X per sisma Y SLO	0	0	0	443.3	3.9E2	0.748
1471	324	Sisma X SLV	80.6	0	0	0	8.1E2	0.748	1472	324	Sisma Y SLV	0	80.6	0	0	8.1E2	0.748
1473	324	Eccentricità Y per sisma X SLV	0	0	0	-1.3E3	8.1E2	0.748	1474	324	Eccentricità X per sisma Y SLV	0	0	0	1.1E3	8.1E2	0.748
1475	324	Sisma X SLO	69.4	0	0	0	8.1E2	0.748	1476	324	Sisma Y SLO	0	69.4	0	0	8.1E2	0.748
1477	324	Eccentricità Y per sisma X SLO	0	0	0	-1.1E3	8.1E2	0.748	1478	324	Eccentricità X per sisma Y SLO	0	0	0	928	8.1E2	0.748
1479	325	Sisma X SLV	16.9	0	0	0	1.7E2	0.748	1480	325	Sisma Y SLV	0	16.9	0	0	1.7E2	0.748
1481	325	Eccentricità Y per sisma X SLV	0	0	0	-2.8E2	1.7E2	0.748	1482	325	Eccentricità X per sisma Y SLV	0	0	0	226.2	1.7E2	0.748
1483	325	Sisma X SLO	14.6	0	0	0	1.7E2	0.748	1484	325	Sisma Y SLO	0	14.6	0	0	1.7E2	0.748
1485	325	Eccentricità Y per sisma X SLO	0	0	0	-2.4E2	1.7E2	0.748	1486	325	Eccentricità X per sisma Y SLO	0	0	0	194.8	1.7E2	0.748
1487	326	Sisma X SLV	72.3	0	0	0	7.3E2	0.748	1488	326	Sisma Y SLV	0	72.3	0	0	7.3E2	0.748
1489	326	Eccentricità Y per sisma X SLV	0	0	0	-1.2E3	7.3E2	0.748	1490	326	Eccentricità X per sisma Y SLV	0	0	0	966.4	7.3E2	0.748
1491	326	Sisma X SLO	62.2	0	0	0	7.3E2	0.748	1492	326	Sisma Y SLO	0	62.2	0	0	7.3E2	0.748
1493	326	Eccentricità Y per sisma X SLO	0	0	0	-1.0E3	7.3E2	0.748	1494	326	Eccentricità X per sisma Y SLO	0	0	0	832.1	7.3E2	0.748
1495	327	Sisma X SLV	119.6	0	0	0	1.2E3	0.748	1496	327	Sisma Y SLV	0	119.6	0	0	1.2E3	0.748
1497	327	Eccentricità Y per sisma X SLV	0	0	0	-2.0E3	1.2E3	0.748	1498	327	Eccentricità X per sisma Y SLV	0	0	0	1600	1.2E3	0.748
1499	327	Sisma X SLO	103	0	0	0	1.2E3	0.748	1500	327	Sisma Y SLO	0	103	0	0	1.2E3	0.748
1501	327	Eccentricità Y per sisma X SLO	0	0	0	-1.7E3	1.2E3	0.748	1502	327	Eccentricità X per sisma Y SLO	0	0	0	1.4E3	1.2E3	0.748
1503	328	Sisma X SLV	104	0	0	0	1.0E3	0.748	1504	328	Sisma Y SLV	0	104	0	0	1.0E3	0.748
1505	328	Eccentricità Y per sisma X SLV	0	0	0	-1.7E3	1.0E3	0.748	1506	328	Eccentricità X per sisma Y SLV	0	0	0	1.4E3	1.0E3	0.748
1507	328	Sisma X SLO	89.6	0	0	0	1.0E3	0.748	1508	328	Sisma Y SLO	0	89.6	0	0	1.0E3	0.748
1509	328	Eccentricità Y per sisma X SLO	0	0	0	-1.5E3	1.0E3	0.748	1510	328	Eccentricità X per sisma Y SLO	0	0	0	1.2E3	1.0E3	0.748
1511	329	Sisma X SLV	93.2	0	0	0	9.4E2	0.748	1512	329	Sisma Y SLV	0	93.2	0	0	9.4E2	0.748
1513	329	Eccentricità Y per sisma X SLV	0	0	0	-1.5E3	9.4E2	0.748	1514	329	Eccentricità X per sisma Y SLV	0	0	0	1.2E3	9.4E2	0.748
1515	329	Sisma X SLO	80.3	0	0	0	9.4E2	0.748	1516	329	Sisma Y SLO	0	80.3	0	0	9.4E2	0.748
1517	329	Eccentricità Y per sisma X SLO	0	0	0	-1.3E3	9.4E2	0.748	1518	329	Eccentricità X per sisma Y SLO	0	0	0	1.1E3	9.4E2	0.748
1519	330	Sisma X SLV	93.1	0	0	0	9.3E2	0.748	1520	330	Sisma Y SLV	0	93.1	0	0	9.3E2	0.748
1521	330	Eccentricità Y per sisma X SLV	0	0	0	-1.5E3	9.3E2	0.748	1522	330	Eccentricità X per sisma Y SLV	0	0	0	1.2E3	9.3E2	0.748
1523	330	Sisma X SLO	80.2	0	0	0	9.3E2	0.748	1524	330	Sisma Y SLO	0	80.2	0	0	9.3E2	0.748
1525	330	Eccentricità Y per sisma X SLO	0	0	0	-1.3E3	9.3E2	0.748	1526	330	Eccentricità X per sisma Y SLO	0	0	0	1.1E3	9.3E2	0.748
1527	331	Sisma X SLV	93.1	0	0	0	9.3E2	0.748	1528	331	Sisma Y SLV	0	93.1	0	0	9.3E2	0.748
1529	331	Eccentricità Y per sisma X SLV	0	0	0	-1.5E3	9.3E2	0.748	1530	331	Eccentricità X per sisma Y SLV	0	0	0	1.2E3	9.3E2	0.748
1531	331	Sisma X SLO	80.1	0	0	0	9.3E2	0.748	1532	331	Sisma Y SLO	0	80.1	0	0	9.3E2	0.748
1533	331	Eccentricità Y per sisma X SLO	0	0	0	-1.3E3	9.3E2	0.748	1534	331	Eccentricità X per sisma Y SLO	0	0	0	1.1E3	9.3E2	0.748
1535	332	Sisma X SLV	93.1	0	0	0	9.3E2	0.748	1536	332	Sisma Y SLV	0	93.1	0	0	9.3E2	0.748
1537	332	Eccentricità Y per sisma X SLV	0	0	0	-1.5E3	9.3E2	0.748	1538	332	Eccentricità X per sisma Y SLV	0	0	0	1.2E3	9.3E2	0.748
1539	332	Sisma X SLO	80.1	0	0	0	9.3E2	0.748	1540	332	Sisma Y SLO	0	80.1	0	0	9.3E2	0.748
1541	332	Eccentricità Y per sisma X SLO	0	0	0	-1.3E3	9.3E2	0.748	1542	332	Eccentricità X per sisma Y SLO	0	0	0	1.1E3	9.3E2	0.748
1543	333	Sisma X SLV	46.5	0	0	0	4.7E2	0.748	1544	333	Sisma Y SLV	0	46.5	0	0	4.7E2	0.748
1545	333	Eccentricità Y per sisma X SLV	0	0	0	-7.7E2	4.7E2	0.748	1546	333	Eccentricità X per sisma Y SLV	0	0	0	622.1	4.7E2	0.748
1547	333	Sisma X SLO	40	0	0	0	4.7E2	0.748	1548	333	Sisma Y SLO	0	40	0	0	4.7E2	0.748
1549	333	Eccentricità Y per sisma X SLO	0	0	0	-6.6E2	4.7E2	0.748	1550	333	Eccentricità X per sisma Y SLO	0	0	0	535.7	4.7E2	0.748
1551	334	Sisma X SLV	81.8	0	0	0	8.2E2	0.748	1552	334	Sisma Y SLV	0	81.8	0	0	8.2E2	0.748
1553	334	Eccentricità Y per sisma X SLV	0	0	0	-1.3E3	8.2E2	0.748	1554	334	Eccentricità X per sisma Y SLV	0	0	0	1.1E3	8.2E2	0.748
1555	334	Sisma X SLO	70.4	0	0	0	8.2E2	0.748	1556	334	Sisma Y SLO	0	70.4	0	0	8.2E2	0.748
1557	334	Eccentricità Y per sisma X SLO	0	0	0	-1.2E3	8.2E2	0.748	1558	334	Eccentricità X per sisma Y SLO	0	0	0	941.9	8.2E2	0.748
1559	335	Sisma X SLV	84.1	0	0	0	8.4E2	0.748	1560	335	Sisma Y SLV	0	84.1	0	0	8.4E2	0.748
1561	335	Eccentricità Y per sisma X SLV	0	0	0	-1.4E3	8.4E2	0.748	1562	335	Eccentricità X per sisma Y SLV	0	0	0	1.1E3	8.4E2	0.748
1563	335	Sisma X SLO	72.4	0	0	0	8.4E2	0.748	1564	335	Sisma Y SLO	0	72.4	0	0	8.4E2	0.748
1565	335	Eccentricità Y per sisma X SLO	0	0	0	-1.2E3	8.4E2	0.748	1566	335	Eccentricità X per sisma Y SLO	0	0	0	968.6	8.4E2	0.748
1567	336	Sisma X SLV	2.1	0	0	0	2.1E1	0.748	1568	336	Sisma Y SLV	0	2.1	0	0	2.1E1	0.748
1569	336	Eccentricità Y per sisma X SLV	0	0	0	-34	2.1E1	0.748	1570	336	Eccentricità X per sisma Y SLV	0	0	0	27.6	2.1E1	0.748
1571	336	Sisma X SLO	1.8	0	0	0	2.1E1	0.748	1572	336	Sisma Y SLO	0	1.8	0	0	2.1E1	0.748
1573	336	Eccentricità Y per sisma X SLO	0	0	0	-29.3	2.1E1	0.748	1574	336	Eccentricità X per sisma Y SLO	0	0	0	23.8	2.1E1	0.748
1575	337	Sisma X SLV	4	0	0	0	4.0E1	0.748	1576	337	Sisma Y SLV	0	4	0	0	4.0E1	0.748
1577	337	Eccentricità Y per sisma X SLV	0	0	0	-65.3	4.0E1	0.748	1578	337	Eccentricità X per sisma Y SLV	0	0	0	52.		

Indice	Nodo	Condizione	Fx	Fy	Fz	Mz	Peso	γ	Indice	Nodo	Condizione	Fx	Fy	Fz	Mz	Peso	γ
1589	338	Eccentricità Y per sisma X SLO	0	0	0	-5.0E2	3.5E2	0.748	1590	338	Eccentricità X per sisma Y SLO	0	0	0	403	3.5E2	0.748
1591	339	Sisma X SLV	20.9	0	0	0	2.1E2	0.748	1592	339	Sisma Y SLV	0	20.9	0	0	2.1E2	0.748
1593	339	Eccentricità Y per sisma X SLV	0	0	0	-3.4E2	2.1E2	0.748	1594	339	Eccentricità X per sisma Y SLV	0	0	0	279.1	2.1E2	0.748
1595	339	Sisma X SLO	18	0	0	0	2.1E2	0.748	1596	339	Sisma Y SLO	0	18	0	0	2.1E2	0.748
1597	339	Eccentricità Y per sisma X SLO	0	0	0	-3.0E2	2.1E2	0.748	1598	339	Eccentricità X per sisma Y SLO	0	0	0	240.3	2.1E2	0.748
1599	340	Sisma X SLV	14.2	0	0	0	1.1E2	0.948	1600	340	Sisma Y SLV	0	14.2	0	0	1.1E2	0.948
1601	340	Eccentricità Y per sisma X SLV	0	0	0	-2.1E2	1.1E2	0.948	1602	340	Eccentricità X per sisma Y SLV	0	0	0	258.6	1.1E2	0.948
1603	340	Sisma X SLO	12.3	0	0	0	1.1E2	0.948	1604	340	Sisma Y SLO	0	12.3	0	0	1.1E2	0.948
1605	340	Eccentricità Y per sisma X SLO	0	0	0	-1.8E2	1.1E2	0.948	1606	340	Eccentricità X per sisma Y SLO	0	0	0	222.7	1.1E2	0.948
1607	341	Sisma X SLV	29.9	0	0	0	2.4E2	0.948	1608	341	Sisma Y SLV	0	29.9	0	0	2.4E2	0.948
1609	341	Eccentricità Y per sisma X SLV	0	0	0	-4.3E2	2.4E2	0.948	1610	341	Eccentricità X per sisma Y SLV	0	0	0	542.6	2.4E2	0.948
1611	341	Sisma X SLO	25.7	0	0	0	2.4E2	0.948	1612	341	Sisma Y SLO	0	25.7	0	0	2.4E2	0.948
1613	341	Eccentricità Y per sisma X SLO	0	0	0	-3.7E2	2.4E2	0.948	1614	341	Eccentricità X per sisma Y SLO	0	0	0	467.2	2.4E2	0.948
1615	342	Sisma X SLV	15.6	0	0	0	1.2E2	0.948	1616	342	Sisma Y SLV	0	15.6	0	0	1.2E2	0.948
1617	342	Eccentricità Y per sisma X SLV	0	0	0	-2.3E2	1.2E2	0.948	1618	342	Eccentricità X per sisma Y SLV	0	0	0	284	1.2E2	0.948
1619	342	Sisma X SLO	13.5	0	0	0	1.2E2	0.948	1620	342	Sisma Y SLO	0	13.5	0	0	1.2E2	0.948
1621	342	Eccentricità Y per sisma X SLO	0	0	0	-2.0E2	1.2E2	0.948	1622	342	Eccentricità X per sisma Y SLO	0	0	0	244.5	1.2E2	0.948
1623	343	Sisma X SLV	392.5	0	0	0	3.1E3	0.948	1624	343	Sisma Y SLV	0	392.5	0	0	3.1E3	0.948
1625	343	Eccentricità Y per sisma X SLV	0	0	0	-5.7E3	3.1E3	0.948	1626	343	Eccentricità X per sisma Y SLV	0	0	0	7.1E3	3.1E3	0.948
1627	343	Sisma X SLO	338	0	0	0	3.1E3	0.948	1628	343	Sisma Y SLO	0	338	0	0	3.1E3	0.948
1629	343	Eccentricità Y per sisma X SLO	0	0	0	-4.9E3	3.1E3	0.948	1630	343	Eccentricità X per sisma Y SLO	0	0	0	6.1E3	3.1E3	0.948
1631	344	Sisma X SLV	28.5	0	0	0	2.3E2	0.948	1632	344	Sisma Y SLV	0	28.5	0	0	2.3E2	0.948
1633	344	Eccentricità Y per sisma X SLV	0	0	0	-4.1E2	2.3E2	0.948	1634	344	Eccentricità X per sisma Y SLV	0	0	0	517.2	2.3E2	0.948
1635	344	Sisma X SLO	24.5	0	0	0	2.3E2	0.948	1636	344	Sisma Y SLO	0	24.5	0	0	2.3E2	0.948
1637	344	Eccentricità Y per sisma X SLO	0	0	0	-3.6E2	2.3E2	0.948	1638	344	Eccentricità X per sisma Y SLO	0	0	0	445.3	2.3E2	0.948
1639	345	Sisma X SLV	60.1	0	0	0	4.8E2	0.948	1640	345	Sisma Y SLV	0	60.1	0	0	4.8E2	0.948
1641	345	Eccentricità Y per sisma X SLV	0	0	0	-871	4.8E2	0.948	1642	345	Eccentricità X per sisma Y SLV	0	0	0	1.1E3	4.8E2	0.948
1643	345	Sisma X SLO	51.7	0	0	0	4.8E2	0.948	1644	345	Sisma Y SLO	0	51.7	0	0	4.8E2	0.948
1645	345	Eccentricità Y per sisma X SLO	0	0	0	-7.5E2	4.8E2	0.948	1646	345	Eccentricità X per sisma Y SLO	0	0	0	938.7	4.8E2	0.948
1647	346	Sisma X SLV	31.6	0	0	0	2.5E2	0.948	1648	346	Sisma Y SLV	0	31.6	0	0	2.5E2	0.948
1649	346	Eccentricità Y per sisma X SLV	0	0	0	-4.6E2	2.5E2	0.948	1650	346	Eccentricità X per sisma Y SLV	0	0	0	573	2.5E2	0.948
1651	346	Sisma X SLO	27.2	0	0	0	2.5E2	0.948	1652	346	Sisma Y SLO	0	27.2	0	0	2.5E2	0.948
1653	346	Eccentricità Y per sisma X SLO	0	0	0	-3.9E2	2.5E2	0.948	1654	346	Eccentricità X per sisma Y SLO	0	0	0	493.4	2.5E2	0.948
1655	347	Sisma X SLV	17.3	0	0	0	1.4E2	0.948	1656	347	Sisma Y SLV	0	17.3	0	0	1.4E2	0.948
1657	347	Eccentricità Y per sisma X SLV	0	0	0	-2.5E2	1.4E2	0.948	1658	347	Eccentricità X per sisma Y SLV	0	0	0	314.9	1.4E2	0.948
1659	347	Sisma X SLO	14.9	0	0	0	1.4E2	0.948	1660	347	Sisma Y SLO	0	14.9	0	0	1.4E2	0.948
1661	347	Eccentricità Y per sisma X SLO	0	0	0	-2.2E2	1.4E2	0.948	1662	347	Eccentricità X per sisma Y SLO	0	0	0	271.1	1.4E2	0.948
1663	348	Sisma X SLV	31.3	0	0	0	2.5E2	0.948	1664	348	Sisma Y SLV	0	31.3	0	0	2.5E2	0.948
1665	348	Eccentricità Y per sisma X SLV	0	0	0	-4.5E2	2.5E2	0.948	1666	348	Eccentricità X per sisma Y SLV	0	0	0	567.5	2.5E2	0.948
1667	348	Sisma X SLO	26.9	0	0	0	2.5E2	0.948	1668	348	Sisma Y SLO	0	26.9	0	0	2.5E2	0.948
1669	348	Eccentricità Y per sisma X SLO	0	0	0	-3.9E2	2.5E2	0.948	1670	348	Eccentricità X per sisma Y SLO	0	0	0	488.6	2.5E2	0.948
1671	349	Sisma X SLV	29.3	0	0	0	2.3E2	0.948	1672	349	Sisma Y SLV	0	29.3	0	0	2.3E2	0.948
1673	349	Eccentricità Y per sisma X SLV	0	0	0	-4.3E2	2.3E2	0.948	1674	349	Eccentricità X per sisma Y SLV	0	0	0	532.3	2.3E2	0.948
1675	349	Sisma X SLO	25.3	0	0	0	2.3E2	0.948	1676	349	Sisma Y SLO	0	25.3	0	0	2.3E2	0.948
1677	349	Eccentricità Y per sisma X SLO	0	0	0	-3.7E2	2.3E2	0.948	1678	349	Eccentricità X per sisma Y SLO	0	0	0	458.3	2.3E2	0.948
1679	350	Sisma X SLV	26.1	0	0	0	2.1E2	0.948	1680	350	Sisma Y SLV	0	26.1	0	0	2.1E2	0.948
1681	350	Eccentricità Y per sisma X SLV	0	0	0	-3.8E2	2.1E2	0.948	1682	350	Eccentricità X per sisma Y SLV	0	0	0	474.5	2.1E2	0.948
1683	350	Sisma X SLO	22.5	0	0	0	2.1E2	0.948	1684	350	Sisma Y SLO	0	22.5	0	0	2.1E2	0.948
1685	350	Eccentricità Y per sisma X SLO	0	0	0	-3.3E2	2.1E2	0.948	1686	350	Eccentricità X per sisma Y SLO	0	0	0	408.6	2.1E2	0.948
1687	351	Sisma X SLV	39	0	0	0	3.1E2	0.948	1688	351	Sisma Y SLV	0	39	0	0	3.1E2	0.948
1689	351	Eccentricità Y per sisma X SLV	0	0	0	-5.7E2	3.1E2	0.948	1690	351	Eccentricità X per sisma Y SLV	0	0	0	707.9	3.1E2	0.948
1691	351	Sisma X SLO	33.6	0	0	0	3.1E2	0.948	1692	351	Sisma Y SLO	0	33.6	0	0	3.1E2	0.948
1693	351	Eccentricità Y per sisma X SLO	0	0	0	-487	3.1E2	0.948	1694	351	Eccentricità X per sisma Y SLO	0	0	0	609.6	3.1E2	0.948
1695	352	Sisma X SLV	62.4	0	0	0	4.9E2	0.948	1696	352	Sisma Y SLV	0	62.4	0	0	4.9E2	0.948
1697	352	Eccentricità Y per sisma X SLV	0	0	0	-9.0E2	4.9E2	0.948	1698	352	Eccentricità X per sisma Y SLV	0	0	0	1.1E3	4.9E2	0.948
1699	352	Sisma X SLO	53.7	0	0	0	4.9E2	0.948	1700	352	Sisma Y SLO	0	53.7	0	0	4.9E2	0.948
1701	352	Eccentricità Y per sisma X SLO	0	0	0	-7.8E2	4.9E2	0.948	1702	352	Eccentricità X per sisma Y SLO	0	0	0	974.4	4.9E2	0.948
1703	353	Sisma X SLV	37.6	0	0	0	3.0E2	0.948	1704	353	Sisma Y SLV	0	37.6	0	0	3.0E2	0.948
1705	353	Eccentricità Y per sisma X SLV	0	0	0	-5.5E2	3.0E2	0.948	1706	353	Eccentricità X per sisma Y SLV	0	0	0	682.8	3.0E2	0.948
1707	353	Sisma X SLO	32.4	0	0	0	3.0E2	0.948	1708	353	Sisma Y SLO	0	32.4	0	0	3.0E2	0.948
1709	353	Eccentricità Y per sisma X SLO	0	0	0	-4.7E2	3.0E2	0.948	1710	353	Eccentricità X per sisma Y SLO	0	0	0	587.9	3.0E2	0.948
1711	354	Sisma X SLV	73.1	0	0	0	5.8E2	0.948	1712	354	Sisma Y SLV	0	73.1	0	0	5.8E2	0.948
1713	354	Eccentricità Y per sisma X SLV	0	0	0	-1.1E3	5.8E2	0.948	1714	354	Eccentricità X per sisma Y SLV	0	0	0	1.3E3	5.8E2	0.948
1715	354	Sisma X SLO	62.9	0	0	0	5.8E2	0.948	1716	354	Sisma Y SLO	0	62.9	0	0	5.8E2	0.948
1717	354	Eccentricità Y per sisma X SLO	0	0	0	-9.1E2	5.8E2	0.948	1718	354	Eccentricità X per sisma Y SLO	0	0	0	1142	5.8E2	0.948
1719	355	Sisma X SLV	66.8	0	0	0	5.3E2	0.948	1720	355	Sisma Y SLV	0	66.8	0	0	5.3E2	0.948
1721	355	Eccentricità Y per sisma X SLV	0	0	0	-9.7E2	5.3E2	0.948	1722	355	Eccentricità X per sisma Y SLV	0	0	0	1.2E3	5.3E2	0.948
1723	355	Sisma X SLO	57.5	0	0	0	5.3E2	0.948	1724	355	Sisma Y SLO	0	57.5	0	0	5.3E2	0.948
1725	355	Eccentricità Y per sisma X SLO	0	0	0	-8.3E2	5.3E2	0.948	1726	355	Eccentricità X per sisma Y SLO	0	0	0	1.0E3	5.3E2	0.948
1727	356	Sisma X SLV	65.1	0	0	0	5.2E2	0.948	1728	356	Sisma Y SLV	0	65.1	0	0	5.2E2	0.948
1729	356	Eccentricità Y per sisma X SLV	0	0	0	-9.4E2	5.2E2	0.948	1730	356	Eccentricità X per sisma Y SLV	0	0	0	1.2E3	5.2E2	0.948
1731	356	Sisma X SLO	56	0	0	0	5.2E2	0.948	1732	356	Sisma Y SLO	0	56	0	0	5.2E2	0.948
1733	356	Eccentricità Y per sisma X SLO	0	0	0	-8.1E2	5.2E2	0.948	1734	356	Eccentricità X per sisma Y SLO	0	0	0	1.0E3	5.2E2	0.948
1735	357	Sisma X SLV	65.8	0	0	0	5.2E2	0.948	1736	357	Sisma Y SLV	0	65.8	0	0	5.2E2	0.948
1737	357	Eccentricità Y per sisma X SLV	0	0	0	-9.5E2	5.2E2	0.948	1738	357	Eccentricità X per sisma Y SLV	0	0	0	1.2E3	5.2E2	0.948
1739	357	Sisma X SLO	56.7	0	0	0	5.2E2	0.948	1740	357	Sisma Y SLO	0	56.7	0	0	5.2E2	0.948
1741	357	Eccentricità Y per sisma X SLO	0	0	0	-8.2E2	5.2E2	0.948	1742	357	Eccentricità X per sisma Y SLO	0	0	0	1.0E3	5.2E2	0.948
1743	358	Sisma X SLV	71.3	0	0												

Indice	Nodo	Condizione	Fx	Fy	Fz	Mz	Peso	γ	Indice	Nodo	Condizione	Fx	Fy	Fz	Mz	Peso	γ
1753	359	Eccentricità Y per sisma X SLV	0	0	0	-7.5E2	4.1E2	0.948	1754	359	Eccentricità X per sisma Y SLV	0	0	0	939.2	4.1E2	0.948
1755	359	Sisma X SLO	44.6	0	0	0	4.1E2	0.948	1756	359	Sisma Y SLO	0	44.6	0	0	4.1E2	0.948
1757	359	Eccentricità Y per sisma X SLO	0	0	0	-646	4.1E2	0.948	1758	359	Eccentricità X per sisma Y SLO	0	0	0	808.7	4.1E2	0.948
1759	360	Sisma X SLV	50.5	0	0	0	4.0E2	0.948	1760	360	Sisma Y SLV	0	50.5	0	0	4.0E2	0.948
1761	360	Eccentricità Y per sisma X SLV	0	0	0	-7.3E2	4.0E2	0.948	1762	360	Eccentricità X per sisma Y SLV	0	0	0	915.8	4.0E2	0.948
1763	360	Sisma X SLO	43.4	0	0	0	4.0E2	0.948	1764	360	Sisma Y SLO	0	43.4	0	0	4.0E2	0.948
1765	360	Eccentricità Y per sisma X SLO	0	0	0	-630	4.0E2	0.948	1766	360	Eccentricità X per sisma Y SLO	0	0	0	788.5	4.0E2	0.948
1767	361	Sisma X SLV	72.5	0	0	0	5.7E2	0.948	1768	361	Sisma Y SLV	0	72.5	0	0	5.7E2	0.948
1769	361	Eccentricità Y per sisma X SLV	0	0	0	-1.1E3	5.7E2	0.948	1770	361	Eccentricità X per sisma Y SLV	0	0	0	1.3E3	5.7E2	0.948
1771	361	Sisma X SLO	62.4	0	0	0	5.7E2	0.948	1772	361	Sisma Y SLO	0	62.4	0	0	5.7E2	0.948
1773	361	Eccentricità Y per sisma X SLO	0	0	0	-905	5.7E2	0.948	1774	361	Eccentricità X per sisma Y SLO	0	0	0	1.1E3	5.7E2	0.948
1775	362	Sisma X SLV	68.1	0	0	0	5.4E2	0.948	1776	362	Sisma Y SLV	0	68.1	0	0	5.4E2	0.948
1777	362	Eccentricità Y per sisma X SLV	0	0	0	-9.9E2	5.4E2	0.948	1778	362	Eccentricità X per sisma Y SLV	0	0	0	1.2E3	5.4E2	0.948
1779	362	Sisma X SLO	58.6	0	0	0	5.4E2	0.948	1780	362	Sisma Y SLO	0	58.6	0	0	5.4E2	0.948
1781	362	Eccentricità Y per sisma X SLO	0	0	0	-8.5E2	5.4E2	0.948	1782	362	Eccentricità X per sisma Y SLO	0	0	0	1.1E3	5.4E2	0.948
1783	364	Sisma X SLV	49.7	0	0	0	3.9E2	0.948	1784	364	Sisma Y SLV	0	49.7	0	0	3.9E2	0.948
1785	364	Eccentricità Y per sisma X SLV	0	0	0	-7.2E2	3.9E2	0.948	1786	364	Eccentricità X per sisma Y SLV	0	0	0	901.6	3.9E2	0.948
1787	364	Sisma X SLO	42.8	0	0	0	3.9E2	0.948	1788	364	Sisma Y SLO	0	42.8	0	0	3.9E2	0.948
1789	364	Eccentricità Y per sisma X SLO	0	0	0	-6.2E2	3.9E2	0.948	1790	364	Eccentricità X per sisma Y SLO	0	0	0	776.3	3.9E2	0.948
1791	365	Sisma X SLV	56.6	0	0	0	4.5E2	0.948	1792	365	Sisma Y SLV	0	56.6	0	0	4.5E2	0.948
1793	365	Eccentricità Y per sisma X SLV	0	0	0	-8.2E2	4.5E2	0.948	1794	365	Eccentricità X per sisma Y SLV	0	0	0	1028	4.5E2	0.948
1795	365	Sisma X SLO	48.8	0	0	0	4.5E2	0.948	1796	365	Sisma Y SLO	0	48.8	0	0	4.5E2	0.948
1797	365	Eccentricità Y per sisma X SLO	0	0	0	-7.1E2	4.5E2	0.948	1798	365	Eccentricità X per sisma Y SLO	0	0	0	885.2	4.5E2	0.948
1799	366	Sisma X SLV	57.8	0	0	0	4.6E2	0.948	1800	366	Sisma Y SLV	0	57.8	0	0	4.6E2	0.948
1801	366	Eccentricità Y per sisma X SLV	0	0	0	-8.4E2	4.6E2	0.948	1802	366	Eccentricità X per sisma Y SLV	0	0	0	1.0E3	4.6E2	0.948
1803	366	Sisma X SLO	49.7	0	0	0	4.6E2	0.948	1804	366	Sisma Y SLO	0	49.7	0	0	4.6E2	0.948
1805	366	Eccentricità Y per sisma X SLO	0	0	0	-721	4.6E2	0.948	1806	366	Eccentricità X per sisma Y SLO	0	0	0	902.6	4.6E2	0.948
1807	367	Sisma X SLV	60.3	0	0	0	4.8E2	0.948	1808	367	Sisma Y SLV	0	60.3	0	0	4.8E2	0.948
1809	367	Eccentricità Y per sisma X SLV	0	0	0	-8.7E2	4.8E2	0.948	1810	367	Eccentricità X per sisma Y SLV	0	0	0	1.1E3	4.8E2	0.948
1811	367	Sisma X SLO	51.9	0	0	0	4.8E2	0.948	1812	367	Sisma Y SLO	0	51.9	0	0	4.8E2	0.948
1813	367	Eccentricità Y per sisma X SLO	0	0	0	-7.5E2	4.8E2	0.948	1814	367	Eccentricità X per sisma Y SLO	0	0	0	942.2	4.8E2	0.948
1815	368	Sisma X SLV	57.8	0	0	0	4.6E2	0.948	1816	368	Sisma Y SLV	0	57.8	0	0	4.6E2	0.948
1817	368	Eccentricità Y per sisma X SLV	0	0	0	-8.4E2	4.6E2	0.948	1818	368	Eccentricità X per sisma Y SLV	0	0	0	1.0E3	4.6E2	0.948
1819	368	Sisma X SLO	49.8	0	0	0	4.6E2	0.948	1820	368	Sisma Y SLO	0	49.8	0	0	4.6E2	0.948
1821	368	Eccentricità Y per sisma X SLO	0	0	0	-7.2E2	4.6E2	0.948	1822	368	Eccentricità X per sisma Y SLO	0	0	0	903.6	4.6E2	0.948
1823	369	Sisma X SLV	29	0	0	0	2.3E2	0.948	1824	369	Sisma Y SLV	0	29	0	0	2.3E2	0.948
1825	369	Eccentricità Y per sisma X SLV	0	0	0	-4.2E2	2.3E2	0.948	1826	369	Eccentricità X per sisma Y SLV	0	0	0	526.7	2.3E2	0.948
1827	369	Sisma X SLO	25	0	0	0	2.3E2	0.948	1828	369	Sisma Y SLO	0	25	0	0	2.3E2	0.948
1829	369	Eccentricità Y per sisma X SLO	0	0	0	-3.6E2	2.3E2	0.948	1830	369	Eccentricità X per sisma Y SLO	0	0	0	453.5	2.3E2	0.948
1831	370	Sisma X SLV	28.4	0	0	0	2.2E2	0.948	1832	370	Sisma Y SLV	0	28.4	0	0	2.2E2	0.948
1833	370	Eccentricità Y per sisma X SLV	0	0	0	-4.1E2	2.2E2	0.948	1834	370	Eccentricità X per sisma Y SLV	0	0	0	514.8	2.2E2	0.948
1835	370	Sisma X SLO	24.4	0	0	0	2.2E2	0.948	1836	370	Sisma Y SLO	0	24.4	0	0	2.2E2	0.948
1837	370	Eccentricità Y per sisma X SLO	0	0	0	-3.5E2	2.2E2	0.948	1838	370	Eccentricità X per sisma Y SLO	0	0	0	443.3	2.2E2	0.948
1839	371	Sisma X SLV	189.8	0	0	0	1.5E3	0.948	1840	371	Sisma Y SLV	0	189.8	0	0	1.5E3	0.948
1841	371	Eccentricità Y per sisma X SLV	0	0	0	-2.8E3	1.5E3	0.948	1842	371	Eccentricità X per sisma Y SLV	0	0	0	3.4E3	1.5E3	0.948
1843	371	Sisma X SLO	163.4	0	0	0	1.5E3	0.948	1844	371	Sisma Y SLO	0	163.4	0	0	1.5E3	0.948
1845	371	Eccentricità Y per sisma X SLO	0	0	0	-2.4E3	1.5E3	0.948	1846	371	Eccentricità X per sisma Y SLO	0	0	0	3.0E3	1.5E3	0.948
1847	372	Sisma X SLV	12.3	0	0	0	9.7E1	0.948	1848	372	Sisma Y SLV	0	12.3	0	0	9.7E1	0.948
1849	372	Eccentricità Y per sisma X SLV	0	0	0	-1.8E2	9.7E1	0.948	1850	372	Eccentricità X per sisma Y SLV	0	0	0	222.5	9.7E1	0.948
1851	372	Sisma X SLO	10.6	0	0	0	9.7E1	0.948	1852	372	Sisma Y SLO	0	10.6	0	0	9.7E1	0.948
1853	372	Eccentricità Y per sisma X SLO	0	0	0	-153	9.7E1	0.948	1854	372	Eccentricità X per sisma Y SLO	0	0	0	191.5	9.7E1	0.948
1855	373	Sisma X SLV	26.7	0	0	0	2.1E2	0.948	1856	373	Sisma Y SLV	0	26.7	0	0	2.1E2	0.948
1857	373	Eccentricità Y per sisma X SLV	0	0	0	-3.9E2	2.1E2	0.948	1858	373	Eccentricità X per sisma Y SLV	0	0	0	485.4	2.1E2	0.948
1859	373	Sisma X SLO	23	0	0	0	2.1E2	0.948	1860	373	Sisma Y SLO	0	23	0	0	2.1E2	0.948
1861	373	Eccentricità Y per sisma X SLO	0	0	0	-3.3E2	2.1E2	0.948	1862	373	Eccentricità X per sisma Y SLO	0	0	0	418	2.1E2	0.948
1863	374	Sisma X SLV	27.9	0	0	0	2.2E2	0.948	1864	374	Sisma Y SLV	0	27.9	0	0	2.2E2	0.948
1865	374	Eccentricità Y per sisma X SLV	0	0	0	-4.1E2	2.2E2	0.948	1866	374	Eccentricità X per sisma Y SLV	0	0	0	507.1	2.2E2	0.948
1867	374	Sisma X SLO	24.1	0	0	0	2.2E2	0.948	1868	374	Sisma Y SLO	0	24.1	0	0	2.2E2	0.948
1869	374	Eccentricità Y per sisma X SLO	0	0	0	-3.5E2	2.2E2	0.948	1870	374	Eccentricità X per sisma Y SLO	0	0	0	436.6	2.2E2	0.948
1871	375	Sisma X SLV	26.9	0	0	0	2.1E2	0.948	1872	375	Sisma Y SLV	0	26.9	0	0	2.1E2	0.948
1873	375	Eccentricità Y per sisma X SLV	0	0	0	-390	2.1E2	0.948	1874	375	Eccentricità X per sisma Y SLV	0	0	0	488.2	2.1E2	0.948
1875	375	Sisma X SLO	23.2	0	0	0	2.1E2	0.948	1876	375	Sisma Y SLO	0	23.2	0	0	2.1E2	0.948
1877	375	Eccentricità Y per sisma X SLO	0	0	0	-3.4E2	2.1E2	0.948	1878	375	Eccentricità X per sisma Y SLO	0	0	0	420.4	2.1E2	0.948
1879	376	Sisma X SLV	28.6	0	0	0	2.3E2	0.948	1880	376	Sisma Y SLV	0	28.6	0	0	2.3E2	0.948
1881	376	Eccentricità Y per sisma X SLV	0	0	0	-4.2E2	2.3E2	0.948	1882	376	Eccentricità X per sisma Y SLV	0	0	0	519.9	2.3E2	0.948
1883	376	Sisma X SLO	24.7	0	0	0	2.3E2	0.948	1884	376	Sisma Y SLO	0	24.7	0	0	2.3E2	0.948
1885	376	Eccentricità Y per sisma X SLO	0	0	0	-3.6E2	2.3E2	0.948	1886	376	Eccentricità X per sisma Y SLO	0	0	0	447.6	2.3E2	0.948
1887	377	Sisma X SLV	28.6	0	0	0	2.3E2	0.948	1888	377	Sisma Y SLV	0	28.6	0	0	2.3E2	0.948
1889	377	Eccentricità Y per sisma X SLV	0	0	0	-4.1E2	2.3E2	0.948	1890	377	Eccentricità X per sisma Y SLV	0	0	0	519.2	2.3E2	0.948
1891	377	Sisma X SLO	24.6	0	0	0	2.3E2	0.948	1892	377	Sisma Y SLO	0	24.6	0	0	2.3E2	0.948
1893	377	Eccentricità Y per sisma X SLO	0	0	0	-3.6E2	2.3E2	0.948	1894	377	Eccentricità X per sisma Y SLO	0	0	0	447	2.3E2	0.948
1895	378	Sisma X SLV	13.4	0	0	0	1.1E2	0.948	1896	378	Sisma Y SLV	0	13.4	0	0	1.1E2	0.948
1897	378	Eccentricità Y per sisma X SLV	0	0	0	-1.9E2	1.1E2	0.948	1898	378	Eccentricità X per sisma Y SLV	0	0	0	242.6	1.1E2	0.948
1899	378	Sisma X SLO	11.5	0	0	0	1.1E2	0.948	1900	378	Sisma Y SLO	0	11.5	0	0	1.1E2	0.948
1901	378	Eccentricità Y per sisma X SLO	0	0	0	-1.7E2	1.1E2	0.948	1902	378	Eccentricità X per sisma Y SLO	0	0	0	208.9	1.1E2	0.948
1903	379	Sisma X SLV	39.3	0	0	0	2.8E2	1.038	1904	379	Sisma Y SLV	0	39.3	0	0	2.8E2	1.038
1905	379	Sisma X SLO	33.8	0	0	0	2.8E2	1.038	1906	379	Sisma Y SLO	0	33.8	0	0	2.8E2	1.038
1907	380	Sisma X SLV	43.3	0	0	0	3.1E2	1.039	1908	380	Sisma Y SLV	0	43.3	0	0	3.1E2	1.039

Indice	Nodo	Condizione	Fx	Fy	Fz	Mz	Peso	y	Indice	Nodo	Condizione	Fx	Fy	Fz	Mz	Peso	y
1923	384	Sisma X SLV	40.1	0	0	0	2.8E2	1.08	1924	384	Sisma Y SLV	0	40.1	0	0	2.8E2	1.08
1925	384	Sisma X SLO	34.5	0	0	0	2.8E2	1.08	1926	384	Sisma Y SLO	0	34.5	0	0	2.8E2	1.08
1927	385	Sisma X SLV	38.6	0	0	0	2.7E2	1.08	1928	385	Sisma Y SLV	0	38.6	0	0	2.7E2	1.08
1929	385	Sisma X SLO	33.2	0	0	0	2.7E2	1.08	1930	385	Sisma Y SLO	0	33.2	0	0	2.7E2	1.08
1931	386	Sisma X SLV	33.6	0	0	0	2.3E2	1.116	1932	386	Sisma Y SLV	0	33.6	0	0	2.3E2	1.116
1933	386	Sisma X SLO	28.9	0	0	0	2.3E2	1.116	1934	386	Sisma Y SLO	0	28.9	0	0	2.3E2	1.116
1935	387	Sisma X SLV	33.3	0	0	0	2.2E2	1.119	1936	387	Sisma Y SLV	0	33.3	0	0	2.2E2	1.119
1937	387	Sisma X SLO	28.7	0	0	0	2.2E2	1.119	1938	387	Sisma Y SLO	0	28.7	0	0	2.2E2	1.119
1939	388	Sisma X SLV	39.8	0	0	0	266.9	1.12	1940	388	Sisma Y SLV	0	39.8	0	0	266.9	1.12
1941	388	Sisma X SLO	34.3	0	0	0	266.9	1.12	1942	388	Sisma Y SLO	0	34.3	0	0	266.9	1.12
1943	389	Sisma X SLV	104.5	0	0	0	6.6E2	1.188	1944	389	Sisma Y SLV	0	104.5	0	0	6.6E2	1.188
1945	389	Sisma X SLO	89.9	0	0	0	6.6E2	1.188	1946	389	Sisma Y SLO	0	89.9	0	0	6.6E2	1.188
1947	390	Sisma X SLV	103	0	0	0	6.5E2	1.191	1948	390	Sisma Y SLV	0	103	0	0	6.5E2	1.191
1949	390	Sisma X SLO	88.7	0	0	0	6.5E2	1.191	1950	390	Sisma Y SLO	0	88.7	0	0	6.5E2	1.191
1951	391	Sisma X SLV	95.3	0	0	0	5.9E2	1.21	1952	391	Sisma Y SLV	0	95.3	0	0	5.9E2	1.21
1953	391	Sisma X SLO	82.1	0	0	0	5.9E2	1.21	1954	391	Sisma Y SLO	0	82.1	0	0	5.9E2	1.21
1955	392	Sisma X SLV	61.2	0	0	0	3.8E2	1.212	1956	392	Sisma Y SLV	0	61.2	0	0	3.8E2	1.212
1957	392	Sisma X SLO	52.7	0	0	0	3.8E2	1.212	1958	392	Sisma Y SLO	0	52.7	0	0	3.8E2	1.212
1959	393	Sisma X SLV	58.1	0	0	0	3.6E2	1.212	1960	393	Sisma Y SLV	0	58.1	0	0	3.6E2	1.212
1961	393	Sisma X SLO	50.1	0	0	0	3.6E2	1.212	1962	393	Sisma Y SLO	0	50.1	0	0	3.6E2	1.212
1963	394	Sisma X SLV	26.7	0	0	0	1.5E2	1.344	1964	394	Sisma Y SLV	0	26.7	0	0	1.5E2	1.344
1965	394	Eccentricità Y per sisma X SLV	0	0	0	-3.9E2	1.5E2	1.344	1966	394	Eccentricità X per sisma Y SLV	0	0	0	357.3	1.5E2	1.344
1967	394	Sisma X SLO	23	0	0	0	1.5E2	1.344	1968	394	Sisma Y SLO	0	23	0	0	1.5E2	1.344
1969	394	Eccentricità Y per sisma X SLO	0	0	0	-3.3E2	1.5E2	1.344	1970	394	Eccentricità X per sisma Y SLO	0	0	0	307.7	1.5E2	1.344
1971	395	Sisma X SLV	53	0	0	0	3.0E2	1.344	1972	395	Sisma Y SLV	0	53	0	0	3.0E2	1.344
1973	395	Eccentricità Y per sisma X SLV	0	0	0	-7.7E2	3.0E2	1.344	1974	395	Eccentricità X per sisma Y SLV	0	0	0	708.9	3.0E2	1.344
1975	395	Sisma X SLO	45.6	0	0	0	3.0E2	1.344	1976	395	Sisma Y SLO	0	45.6	0	0	3.0E2	1.344
1977	395	Eccentricità Y per sisma X SLO	0	0	0	-6.6E2	3.0E2	1.344	1978	395	Eccentricità X per sisma Y SLO	0	0	0	610.4	3.0E2	1.344
1979	396	Sisma X SLV	51.3	0	0	0	2.9E2	1.344	1980	396	Sisma Y SLV	0	51.3	0	0	2.9E2	1.344
1981	396	Eccentricità Y per sisma X SLV	0	0	0	-7.4E2	2.9E2	1.344	1982	396	Eccentricità X per sisma Y SLV	0	0	0	685.8	2.9E2	1.344
1983	396	Sisma X SLO	44.2	0	0	0	2.9E2	1.344	1984	396	Sisma Y SLO	0	44.2	0	0	2.9E2	1.344
1985	396	Eccentricità Y per sisma X SLO	0	0	0	-6.4E2	2.9E2	1.344	1986	396	Eccentricità X per sisma Y SLO	0	0	0	590.5	2.9E2	1.344
1987	397	Sisma X SLV	24.4	0	0	0	1.4E2	1.344	1988	397	Sisma Y SLV	0	24.4	0	0	1.4E2	1.344
1989	397	Eccentricità Y per sisma X SLV	0	0	0	-3.5E2	1.4E2	1.344	1990	397	Eccentricità X per sisma Y SLV	0	0	0	326.9	1.4E2	1.344
1991	397	Sisma X SLO	21	0	0	0	1.4E2	1.344	1992	397	Sisma Y SLO	0	21	0	0	1.4E2	1.344
1993	397	Eccentricità Y per sisma X SLO	0	0	0	-3.1E2	1.4E2	1.344	1994	397	Eccentricità X per sisma Y SLO	0	0	0	281.4	1.4E2	1.344
1995	398	Sisma X SLV	556.5	0	0	0	3.1E3	1.344	1996	398	Sisma Y SLV	0	556.5	0	0	3.1E3	1.344
1997	398	Eccentricità Y per sisma X SLV	0	0	0	-8.1E3	3.1E3	1.344	1998	398	Eccentricità X per sisma Y SLV	0	0	0	7.4E3	3.1E3	1.344
1999	398	Sisma X SLO	479.2	0	0	0	3.1E3	1.344	2000	398	Sisma Y SLO	0	479.2	0	0	3.1E3	1.344
2001	398	Eccentricità Y per sisma X SLO	0	0	0	-6.9E3	3.1E3	1.344	2002	398	Eccentricità X per sisma Y SLO	0	0	0	6.4E3	3.1E3	1.344
2003	399	Sisma X SLV	52.9	0	0	0	3.0E2	1.344	2004	399	Sisma Y SLV	0	52.9	0	0	3.0E2	1.344
2005	399	Eccentricità Y per sisma X SLV	0	0	0	-7.7E2	3.0E2	1.344	2006	399	Eccentricità X per sisma Y SLV	0	0	0	707.3	3.0E2	1.344
2007	399	Sisma X SLO	45.5	0	0	0	3.0E2	1.344	2008	399	Sisma Y SLO	0	45.5	0	0	3.0E2	1.344
2009	399	Eccentricità Y per sisma X SLO	0	0	0	-6.6E2	3.0E2	1.344	2010	399	Eccentricità X per sisma Y SLO	0	0	0	609	3.0E2	1.344
2011	400	Sisma X SLV	106.9	0	0	0	6.0E2	1.344	2012	400	Sisma Y SLV	0	106.9	0	0	6.0E2	1.344
2013	400	Eccentricità Y per sisma X SLV	0	0	0	-1.6E3	6.0E2	1.344	2014	400	Eccentricità X per sisma Y SLV	0	0	0	1.4E3	6.0E2	1.344
2015	400	Sisma X SLO	92.1	0	0	0	6.0E2	1.344	2016	400	Sisma Y SLO	0	92.1	0	0	6.0E2	1.344
2017	400	Eccentricità Y per sisma X SLO	0	0	0	-1335	6.0E2	1.344	2018	400	Eccentricità X per sisma Y SLO	0	0	0	1.2E3	6.0E2	1.344
2019	401	Sisma X SLV	107	0	0	0	6.0E2	1.344	2020	401	Sisma Y SLV	0	107	0	0	6.0E2	1.344
2021	401	Eccentricità Y per sisma X SLV	0	0	0	-1.6E3	6.0E2	1.344	2022	401	Eccentricità X per sisma Y SLV	0	0	0	1.4E3	6.0E2	1.344
2023	401	Sisma X SLO	92.2	0	0	0	6.0E2	1.344	2024	401	Sisma Y SLO	0	92.2	0	0	6.0E2	1.344
2025	401	Eccentricità Y per sisma X SLO	0	0	0	-1.3E3	6.0E2	1.344	2026	401	Eccentricità X per sisma Y SLO	0	0	0	1.2E3	6.0E2	1.344
2027	402	Sisma X SLV	53.6	0	0	0	3.0E2	1.344	2028	402	Sisma Y SLV	0	53.6	0	0	3.0E2	1.344
2029	402	Eccentricità Y per sisma X SLV	0	0	0	-7.8E2	3.0E2	1.344	2030	402	Eccentricità X per sisma Y SLV	0	0	0	716.3	3.0E2	1.344
2031	402	Sisma X SLO	46.1	0	0	0	3.0E2	1.344	2032	402	Sisma Y SLO	0	46.1	0	0	3.0E2	1.344
2033	402	Eccentricità Y per sisma X SLO	0	0	0	-6.7E2	3.0E2	1.344	2034	402	Eccentricità X per sisma Y SLO	0	0	0	616.8	3.0E2	1.344
2035	403	Sisma X SLV	113.8	0	0	0	6.4E2	1.344	2036	403	Sisma Y SLV	0	113.8	0	0	6.4E2	1.344
2037	403	Eccentricità Y per sisma X SLV	0	0	0	-1.6E3	6.4E2	1.344	2038	403	Eccentricità X per sisma Y SLV	0	0	0	1.5E3	6.4E2	1.344
2039	403	Sisma X SLO	98	0	0	0	6.4E2	1.344	2040	403	Sisma Y SLO	0	98	0	0	6.4E2	1.344
2041	403	Eccentricità Y per sisma X SLO	0	0	0	-1.4E3	6.4E2	1.344	2042	403	Eccentricità X per sisma Y SLO	0	0	0	1.3E3	6.4E2	1.344
2043	404	Sisma X SLV	228.6	0	0	0	1.3E3	1.344	2044	404	Sisma Y SLV	0	228.6	0	0	1.3E3	1.344
2045	404	Eccentricità Y per sisma X SLV	0	0	0	-3.3E3	1.3E3	1.344	2046	404	Eccentricità X per sisma Y SLV	0	0	0	3.1E3	1.3E3	1.344
2047	404	Sisma X SLO	196.8	0	0	0	1.3E3	1.344	2048	404	Sisma Y SLO	0	196.8	0	0	1.3E3	1.344
2049	404	Eccentricità Y per sisma X SLO	0	0	0	-2.9E3	1.3E3	1.344	2050	404	Eccentricità X per sisma Y SLO	0	0	0	2.6E3	1.3E3	1.344
2051	405	Sisma X SLV	233.5	0	0	0	1.3E3	1.344	2052	405	Sisma Y SLV	0	233.5	0	0	1.3E3	1.344
2053	405	Eccentricità Y per sisma X SLV	0	0	0	-3.4E3	1.3E3	1.344	2054	405	Eccentricità X per sisma Y SLV	0	0	0	3.1E3	1.3E3	1.344
2055	405	Sisma X SLO	201	0	0	0	1.3E3	1.344	2056	405	Sisma Y SLO	0	201	0	0	1.3E3	1.344
2057	405	Eccentricità Y per sisma X SLO	0	0	0	-2.9E3	1.3E3	1.344	2058	405	Eccentricità X per sisma Y SLO	0	0	0	2.7E3	1.3E3	1.344
2059	406	Sisma X SLV	183	0	0	0	1.0E3	1.344	2060	406	Sisma Y SLV	0	183	0	0	1.0E3	1.344
2061	406	Eccentricità Y per sisma X SLV	0	0	0	-2.7E3	1.0E3	1.344	2062	406	Eccentricità X per sisma Y SLV	0	0	0	2.4E3	1.0E3	1.344
2063	406	Sisma X SLO	157.6	0	0	0	1.0E3	1.344	2064	406	Sisma Y SLO	0	157.6	0	0	1.0E3	1.344
2065	406	Eccentricità Y per sisma X SLO	0	0	0	-2.3E3	1.0E3	1.344	2066	406	Eccentricità X per sisma Y SLO	0	0	0	2.1E3	1.0E3	1.344
2067	407	Sisma X SLV	134	0	0	0	7.5E2	1.344	2068	407	Sisma Y SLV	0	134	0	0	7.5E2	1.344
2069	407	Eccentricità Y per sisma X SLV	0	0	0	-1.9E3	7.5E2	1.344	2070	407	Eccentricità X per sisma Y SLV	0	0	0	1.8E3	7.5E2	1.344
2071	407	Sisma X SLO	115.4	0	0	0	7.5E2	1.344	2072	407	Sisma Y SLO	0	115.4	0	0	7.5E2	1.344
2073	407	Eccentricità Y per sisma X SLO	0	0	0	-1.7E3	7.5E2	1.344	2074	407	Eccentricità X per sisma Y SLO	0	0	0	1.5E3	7.5E2	1.344
2075	408	Sisma X SLV	128.9	0	0	0	7.2E2	1.344	2076	408	Sisma Y SLV	0	128.9	0	0	7.2E2	1.344
2077	408	Eccentricità Y per sisma X SLV	0	0	0	-1.9E3	7.2E2	1.344	2078	408	Eccentricità X per sisma Y SLV	0	0	0	1.7E3	7.2E2	1.344
2079	408	Sisma X SLO	111	0</													

Indice	Nodo	Condizione	Fx	Fy	Fz	Mz	Peso	γ	Indice	Nodo	Condizione	Fx	Fy	Fz	Mz	Peso	γ
2101	412	Eccentricità Y per sisma X SLV	0	0	0	-7.7E2	3.0E2	1.344	2102	412	Eccentricità X per sisma Y SLV	0	0	0	713.8	3.0E2	1.344
2103	412	Sisma X SLO	46	0	0	0	3.0E2	1.344	2104	412	Sisma Y SLO	0	46	0	0	3.0E2	1.344
2105	412	Eccentricità Y per sisma X SLO	0	0	0	-6.7E2	3.0E2	1.344	2106	412	Eccentricità X per sisma Y SLO	0	0	0	614.6	3.0E2	1.344
2107	413	Sisma X SLV	106.7	0	0	0	6.0E2	1.344	2108	413	Sisma Y SLV	0	106.7	0	0	6.0E2	1.344
2109	413	Eccentricità Y per sisma X SLV	0	0	0	-1.5E3	6.0E2	1.344	2110	413	Eccentricità X per sisma Y SLV	0	0	0	1.4E3	6.0E2	1.344
2111	413	Sisma X SLO	91.9	0	0	0	6.0E2	1.344	2112	413	Sisma Y SLO	0	91.9	0	0	6.0E2	1.344
2113	413	Eccentricità Y per sisma X SLO	0	0	0	-1.3E3	6.0E2	1.344	2114	413	Eccentricità X per sisma Y SLO	0	0	0	1.2E3	6.0E2	1.344
2115	414	Sisma X SLV	105.5	0	0	0	588.7	1.344	2116	414	Sisma Y SLV	0	105.5	0	0	588.7	1.344
2117	414	Eccentricità Y per sisma X SLV	0	0	0	-1529	588.7	1.344	2118	414	Eccentricità X per sisma Y SLV	0	0	0	1.4E3	588.7	1.344
2119	414	Sisma X SLO	90.8	0	0	0	588.7	1.344	2120	414	Sisma Y SLO	0	90.8	0	0	588.7	1.344
2121	414	Eccentricità Y per sisma X SLO	0	0	0	-1.3E3	588.7	1.344	2122	414	Eccentricità X per sisma Y SLO	0	0	0	1.2E3	588.7	1.344
2123	415	Sisma X SLV	54.9	0	0	0	3.1E2	1.344	2124	415	Sisma Y SLV	0	54.9	0	0	3.1E2	1.344
2125	415	Eccentricità Y per sisma X SLV	0	0	0	-8.0E2	3.1E2	1.344	2126	415	Eccentricità X per sisma Y SLV	0	0	0	734.4	3.1E2	1.344
2127	415	Sisma X SLO	47.3	0	0	0	3.1E2	1.344	2128	415	Sisma Y SLO	0	47.3	0	0	3.1E2	1.344
2129	415	Eccentricità Y per sisma X SLO	0	0	0	-6.9E2	3.1E2	1.344	2130	415	Eccentricità X per sisma Y SLO	0	0	0	632.4	3.1E2	1.344
2131	416	Sisma X SLV	558	0	0	0	3.1E3	1.344	2132	416	Sisma Y SLV	0	558	0	0	3.1E3	1.344
2133	416	Eccentricità Y per sisma X SLV	0	0	0	-8.1E3	3.1E3	1.344	2134	416	Eccentricità X per sisma Y SLV	0	0	0	7.5E3	3.1E3	1.344
2135	416	Sisma X SLO	480.5	0	0	0	3.1E3	1.344	2136	416	Sisma Y SLO	0	480.5	0	0	3.1E3	1.344
2137	416	Eccentricità Y per sisma X SLO	0	0	0	-7.0E3	3.1E3	1.344	2138	416	Eccentricità X per sisma Y SLO	0	0	0	6.4E3	3.1E3	1.344
2139	417	Sisma X SLV	26.7	0	0	0	1.5E2	1.344	2140	417	Sisma Y SLV	0	26.7	0	0	1.5E2	1.344
2141	417	Eccentricità Y per sisma X SLV	0	0	0	-3.9E2	1.5E2	1.344	2142	417	Eccentricità X per sisma Y SLV	0	0	0	357.3	1.5E2	1.344
2143	417	Sisma X SLO	23	0	0	0	1.5E2	1.344	2144	417	Sisma Y SLO	0	23	0	0	1.5E2	1.344
2145	417	Eccentricità Y per sisma X SLO	0	0	0	-3.3E2	1.5E2	1.344	2146	417	Eccentricità X per sisma Y SLO	0	0	0	307.7	1.5E2	1.344
2147	418	Sisma X SLV	52.9	0	0	0	3.0E2	1.344	2148	418	Sisma Y SLV	0	52.9	0	0	3.0E2	1.344
2149	418	Eccentricità Y per sisma X SLV	0	0	0	-7.7E2	3.0E2	1.344	2150	418	Eccentricità X per sisma Y SLV	0	0	0	708	3.0E2	1.344
2151	418	Sisma X SLO	45.6	0	0	0	3.0E2	1.344	2152	418	Sisma Y SLO	0	45.6	0	0	3.0E2	1.344
2153	418	Eccentricità Y per sisma X SLO	0	0	0	-6.6E2	3.0E2	1.344	2154	418	Eccentricità X per sisma Y SLO	0	0	0	609.6	3.0E2	1.344
2155	419	Sisma X SLV	51.1	0	0	0	2.9E2	1.344	2156	419	Sisma Y SLV	0	51.1	0	0	2.9E2	1.344
2157	419	Eccentricità Y per sisma X SLV	0	0	0	-7.4E2	2.9E2	1.344	2158	419	Eccentricità X per sisma Y SLV	0	0	0	683.3	2.9E2	1.344
2159	419	Sisma X SLO	44	0	0	0	2.9E2	1.344	2160	419	Sisma Y SLO	0	44	0	0	2.9E2	1.344
2161	419	Eccentricità Y per sisma X SLO	0	0	0	-6.4E2	2.9E2	1.344	2162	419	Eccentricità X per sisma Y SLO	0	0	0	588.4	2.9E2	1.344
2163	420	Sisma X SLV	23.8	0	0	0	1.3E2	1.344	2164	420	Sisma Y SLV	0	23.8	0	0	1.3E2	1.344
2165	420	Eccentricità Y per sisma X SLV	0	0	0	-3.4E2	1.3E2	1.344	2166	420	Eccentricità X per sisma Y SLV	0	0	0	317.8	1.3E2	1.344
2167	420	Sisma X SLO	20.5	0	0	0	1.3E2	1.344	2168	420	Sisma Y SLO	0	20.5	0	0	1.3E2	1.344
2169	420	Eccentricità Y per sisma X SLO	0	0	0	-3.0E2	1.3E2	1.344	2170	420	Eccentricità X per sisma Y SLO	0	0	0	273.6	1.3E2	1.344
2171	421	Sisma X SLV	69.3	0	0	0	352.5	1.476	2172	421	Sisma Y SLV	0	69.3	0	0	352.5	1.476
2173	421	Sisma X SLO	59.7	0	0	0	352.5	1.476	2174	421	Sisma Y SLO	0	59.7	0	0	352.5	1.476
2175	422	Sisma X SLV	138.7	0	0	0	705	1.476	2176	422	Sisma Y SLV	0	138.7	0	0	705	1.476
2177	422	Sisma X SLO	119.4	0	0	0	705	1.476	2178	422	Sisma Y SLO	0	119.4	0	0	705	1.476
2179	423	Sisma X SLV	138.7	0	0	0	705	1.476	2180	423	Sisma Y SLV	0	138.7	0	0	705	1.476
2181	423	Sisma X SLO	119.4	0	0	0	705	1.476	2182	423	Sisma Y SLO	0	119.4	0	0	705	1.476
2183	424	Sisma X SLV	138.7	0	0	0	705	1.476	2184	424	Sisma Y SLV	0	138.7	0	0	705	1.476
2185	424	Sisma X SLO	119.4	0	0	0	705	1.476	2186	424	Sisma Y SLO	0	119.4	0	0	705	1.476
2187	425	Sisma X SLV	69.3	0	0	0	352.5	1.476	2188	425	Sisma Y SLV	0	69.3	0	0	352.5	1.476
2189	425	Sisma X SLO	59.7	0	0	0	352.5	1.476	2190	425	Sisma Y SLO	0	59.7	0	0	352.5	1.476
2191	426	Sisma X SLV	75.5	0	0	0	352.5	1.608	2192	426	Sisma Y SLV	0	75.5	0	0	352.5	1.608
2193	426	Sisma X SLO	65	0	0	0	352.5	1.608	2194	426	Sisma Y SLO	0	65	0	0	352.5	1.608
2195	427	Sisma X SLV	151.1	0	0	0	705	1.608	2196	427	Sisma Y SLV	0	151.1	0	0	705	1.608
2197	427	Sisma X SLO	130.1	0	0	0	705	1.608	2198	427	Sisma Y SLO	0	130.1	0	0	705	1.608
2199	428	Sisma X SLV	151.1	0	0	0	705	1.608	2200	428	Sisma Y SLV	0	151.1	0	0	705	1.608
2201	428	Sisma X SLO	130.1	0	0	0	705	1.608	2202	428	Sisma Y SLO	0	130.1	0	0	705	1.608
2203	429	Sisma X SLV	151.1	0	0	0	705	1.608	2204	429	Sisma Y SLV	0	151.1	0	0	705	1.608
2205	429	Sisma X SLO	130.1	0	0	0	705	1.608	2206	429	Sisma Y SLO	0	130.1	0	0	705	1.608
2207	430	Sisma X SLV	75.5	0	0	0	352.5	1.608	2208	430	Sisma Y SLV	0	75.5	0	0	352.5	1.608
2209	430	Sisma X SLO	65	0	0	0	352.5	1.608	2210	430	Sisma Y SLO	0	65	0	0	352.5	1.608
2211	431	Sisma X SLV	29.7	0	0	0	1.3E2	1.74	2212	431	Sisma Y SLV	0	29.7	0	0	1.3E2	1.74
2213	431	Eccentricità Y per sisma X SLV	0	0	0	-4.3E2	1.3E2	1.74	2214	431	Eccentricità X per sisma Y SLV	0	0	0	227.5	1.3E2	1.74
2215	431	Sisma X SLO	25.6	0	0	0	1.3E2	1.74	2216	431	Sisma Y SLO	0	25.6	0	0	1.3E2	1.74
2217	431	Eccentricità Y per sisma X SLO	0	0	0	-3.7E2	1.3E2	1.74	2218	431	Eccentricità X per sisma Y SLO	0	0	0	195.9	1.3E2	1.74
2219	432	Sisma X SLV	59.5	0	0	0	2.6E2	1.74	2220	432	Sisma Y SLV	0	59.5	0	0	2.6E2	1.74
2221	432	Eccentricità Y per sisma X SLV	0	0	0	-8.6E2	2.6E2	1.74	2222	432	Eccentricità X per sisma Y SLV	0	0	0	455.1	2.6E2	1.74
2223	432	Sisma X SLO	51.2	0	0	0	2.6E2	1.74	2224	432	Sisma Y SLO	0	51.2	0	0	2.6E2	1.74
2225	432	Eccentricità Y per sisma X SLO	0	0	0	-7.4E2	2.6E2	1.74	2226	432	Eccentricità X per sisma Y SLO	0	0	0	391.8	2.6E2	1.74
2227	433	Sisma X SLV	29.7	0	0	0	1.3E2	1.74	2228	433	Sisma Y SLV	0	29.7	0	0	1.3E2	1.74
2229	433	Eccentricità Y per sisma X SLV	0	0	0	-4.3E2	1.3E2	1.74	2230	433	Eccentricità X per sisma Y SLV	0	0	0	227.5	1.3E2	1.74
2231	433	Sisma X SLO	25.6	0	0	0	1.3E2	1.74	2232	433	Sisma Y SLO	0	25.6	0	0	1.3E2	1.74
2233	433	Eccentricità Y per sisma X SLO	0	0	0	-3.7E2	1.3E2	1.74	2234	433	Eccentricità X per sisma Y SLO	0	0	0	195.9	1.3E2	1.74
2235	434	Sisma X SLV	59.5	0	0	0	2.6E2	1.74	2236	434	Sisma Y SLV	0	59.5	0	0	2.6E2	1.74
2237	434	Eccentricità Y per sisma X SLV	0	0	0	-8.6E2	2.6E2	1.74	2238	434	Eccentricità X per sisma Y SLV	0	0	0	455.1	2.6E2	1.74
2239	434	Sisma X SLO	51.2	0	0	0	2.6E2	1.74	2240	434	Sisma Y SLO	0	51.2	0	0	2.6E2	1.74
2241	434	Eccentricità Y per sisma X SLO	0	0	0	-7.4E2	2.6E2	1.74	2242	434	Eccentricità X per sisma Y SLO	0	0	0	391.8	2.6E2	1.74
2243	435	Sisma X SLV	119	0	0	0	5.1E2	1.74	2244	435	Sisma Y SLV	0	119	0	0	5.1E2	1.74
2245	435	Eccentricità Y per sisma X SLV	0	0	0	-1.7E3	5.1E2	1.74	2246	435	Eccentricità X per sisma Y SLV	0	0	0	910.2	5.1E2	1.74
2247	435	Sisma X SLO	102.4	0	0	0	5.1E2	1.74	2248	435	Sisma Y SLO	0	102.4	0	0	5.1E2	1.74
2249	435	Eccentricità Y per sisma X SLO	0	0	0	-1.5E3	5.1E2	1.74	2250	435	Eccentricità X per sisma Y SLO	0	0	0	783.7	5.1E2	1.74
2251	436	Sisma X SLV	59.5	0	0	0	2.6E2	1.74	2252	436	Sisma Y SLV	0	59.5	0	0	2.6E2	1.74
2253	436	Eccentricità Y per sisma X SLV	0	0	0	-8.6E2	2.6E2	1.74	2254	436	Eccentricità X per sisma Y SLV	0	0	0	455.1	2.6E2	1.74
2255	436	Sisma X SLO	51.2	0	0	0	2.6E2	1.74	2256	436	Sisma Y SLO	0	51.2	0	0	2.6E2	1.74
2257	436	Eccentricità Y per sisma X SLO	0	0	0	-7.4E2	2.6E2	1.74	2258	436	Eccentricità X per sisma Y SLO	0	0	0	391.8	2.6E2	1.74
2259	437	Sisma X															

Indice	Nodo	Condizione	Fx	Fy	Fz	Mz	Peso	γ	Indice	Nodo	Condizione	Fx	Fy	Fz	Mz	Peso	γ
2277	439	Eccentricità Y per sisma X SLV	0	0	0	-2.3E3	6.7E2	1.74	2278	439	Eccentricità X per sisma Y SLV	0	0	0	1.2E3	6.7E2	1.74
2279	439	Sisma X SLO	133.7	0	0	0	6.7E2	1.74	2280	439	Sisma Y SLO	0	133.7	0	0	6.7E2	1.74
2281	439	Eccentricità Y per sisma X SLO	0	0	0	-1.9E3	6.7E2	1.74	2282	439	Eccentricità X per sisma Y SLO	0	0	0	1.0E3	6.7E2	1.74
2283	440	Sisma X SLV	155.3	0	0	0	6.7E2	1.74	2284	440	Sisma Y SLV	0	155.3	0	0	6.7E2	1.74
2285	440	Eccentricità Y per sisma X SLV	0	0	0	-2.3E3	6.7E2	1.74	2286	440	Eccentricità X per sisma Y SLV	0	0	0	1.2E3	6.7E2	1.74
2287	440	Sisma X SLO	133.7	0	0	0	6.7E2	1.74	2288	440	Sisma Y SLO	0	133.7	0	0	6.7E2	1.74
2289	440	Eccentricità Y per sisma X SLO	0	0	0	-1.9E3	6.7E2	1.74	2290	440	Eccentricità X per sisma Y SLO	0	0	0	1.0E3	6.7E2	1.74
2291	441	Sisma X SLV	103.7	0	0	0	4.5E2	1.74	2292	441	Sisma Y SLV	0	103.7	0	0	4.5E2	1.74
2293	441	Eccentricità Y per sisma X SLV	0	0	0	-1.5E3	4.5E2	1.74	2294	441	Eccentricità X per sisma Y SLV	0	0	0	793.7	4.5E2	1.74
2295	441	Sisma X SLO	89.3	0	0	0	4.5E2	1.74	2296	441	Sisma Y SLO	0	89.3	0	0	4.5E2	1.74
2297	441	Eccentricità Y per sisma X SLO	0	0	0	-1.3E3	4.5E2	1.74	2298	441	Eccentricità X per sisma Y SLO	0	0	0	683.4	4.5E2	1.74
2299	442	Sisma X SLV	155.4	0	0	0	6.7E2	1.74	2300	442	Sisma Y SLV	0	155.4	0	0	6.7E2	1.74
2301	442	Eccentricità Y per sisma X SLV	0	0	0	-2.3E3	6.7E2	1.74	2302	442	Eccentricità X per sisma Y SLV	0	0	0	1.2E3	6.7E2	1.74
2303	442	Sisma X SLO	133.8	0	0	0	6.7E2	1.74	2304	442	Sisma Y SLO	0	133.8	0	0	6.7E2	1.74
2305	442	Eccentricità Y per sisma X SLO	0	0	0	-1.9E3	6.7E2	1.74	2306	442	Eccentricità X per sisma Y SLO	0	0	0	1.0E3	6.7E2	1.74
2307	443	Sisma X SLV	254.6	0	0	0	1.1E3	1.74	2308	443	Sisma Y SLV	0	254.6	0	0	1.1E3	1.74
2309	443	Eccentricità Y per sisma X SLV	0	0	0	-3.7E3	1.1E3	1.74	2310	443	Eccentricità X per sisma Y SLV	0	0	0	1.9E3	1.1E3	1.74
2311	443	Sisma X SLO	219.2	0	0	0	1.1E3	1.74	2312	443	Sisma Y SLO	0	219.2	0	0	1.1E3	1.74
2313	443	Eccentricità Y per sisma X SLO	0	0	0	-3.2E3	1.1E3	1.74	2314	443	Eccentricità X per sisma Y SLO	0	0	0	1677	1.1E3	1.74
2315	444	Sisma X SLV	126.3	0	0	0	5.4E2	1.74	2316	444	Sisma Y SLV	0	126.3	0	0	5.4E2	1.74
2317	444	Eccentricità Y per sisma X SLV	0	0	0	-1.8E3	5.4E2	1.74	2318	444	Eccentricità X per sisma Y SLV	0	0	0	966	5.4E2	1.74
2319	444	Sisma X SLO	108.7	0	0	0	5.4E2	1.74	2320	444	Sisma Y SLO	0	108.7	0	0	5.4E2	1.74
2321	444	Eccentricità Y per sisma X SLO	0	0	0	-1.6E3	5.4E2	1.74	2322	444	Eccentricità X per sisma Y SLO	0	0	0	831.7	5.4E2	1.74
2323	446	Sisma X SLV	59.5	0	0	0	2.6E2	1.74	2324	446	Sisma Y SLV	0	59.5	0	0	2.6E2	1.74
2325	446	Eccentricità Y per sisma X SLV	0	0	0	-8.6E2	2.6E2	1.74	2326	446	Eccentricità X per sisma Y SLV	0	0	0	455.1	2.6E2	1.74
2327	446	Sisma X SLO	51.2	0	0	0	2.6E2	1.74	2328	446	Sisma Y SLO	0	51.2	0	0	2.6E2	1.74
2329	446	Eccentricità Y per sisma X SLO	0	0	0	-7.4E2	2.6E2	1.74	2330	446	Eccentricità X per sisma Y SLO	0	0	0	391.8	2.6E2	1.74
2331	447	Sisma X SLV	118.7	0	0	0	5.1E2	1.74	2332	447	Sisma Y SLV	0	118.7	0	0	5.1E2	1.74
2333	447	Eccentricità Y per sisma X SLV	0	0	0	-1.7E3	5.1E2	1.74	2334	447	Eccentricità X per sisma Y SLV	0	0	0	908.2	5.1E2	1.74
2335	447	Sisma X SLO	102.2	0	0	0	5.1E2	1.74	2336	447	Sisma Y SLO	0	102.2	0	0	5.1E2	1.74
2337	447	Eccentricità Y per sisma X SLO	0	0	0	-1.5E3	5.1E2	1.74	2338	447	Eccentricità X per sisma Y SLO	0	0	0	782	5.1E2	1.74
2339	448	Sisma X SLV	781.2	0	0	0	3.4E3	1.74	2340	448	Sisma Y SLV	0	781.2	0	0	3.4E3	1.74
2341	448	Eccentricità Y per sisma X SLV	0	0	0	-1.1E4	3.4E3	1.74	2342	448	Eccentricità X per sisma Y SLV	0	0	0	6.0E3	3.4E3	1.74
2343	448	Sisma X SLO	672.6	0	0	0	3.4E3	1.74	2344	448	Sisma Y SLO	0	672.6	0	0	3.4E3	1.74
2345	448	Eccentricità Y per sisma X SLO	0	0	0	-9.8E3	3.4E3	1.74	2346	448	Eccentricità X per sisma Y SLO	0	0	0	5.1E3	3.4E3	1.74
2347	449	Sisma X SLV	27.2	0	0	0	117.2	1.74	2348	449	Sisma Y SLV	0	27.2	0	0	117.2	1.74
2349	449	Eccentricità Y per sisma X SLV	0	0	0	-3.9E2	117.2	1.74	2350	449	Eccentricità X per sisma Y SLV	0	0	0	207.9	117.2	1.74
2351	449	Sisma X SLO	23.4	0	0	0	117.2	1.74	2352	449	Sisma Y SLO	0	23.4	0	0	117.2	1.74
2353	449	Eccentricità Y per sisma X SLO	0	0	0	-3.4E2	117.2	1.74	2354	449	Eccentricità X per sisma Y SLO	0	0	0	179	117.2	1.74
2355	450	Sisma X SLV	57.2	0	0	0	2.5E2	1.74	2356	450	Sisma Y SLV	0	57.2	0	0	2.5E2	1.74
2357	450	Eccentricità Y per sisma X SLV	0	0	0	-8.3E2	2.5E2	1.74	2358	450	Eccentricità X per sisma Y SLV	0	0	0	437.4	2.5E2	1.74
2359	450	Sisma X SLO	49.2	0	0	0	2.5E2	1.74	2360	450	Sisma Y SLO	0	49.2	0	0	2.5E2	1.74
2361	450	Eccentricità Y per sisma X SLO	0	0	0	-7.1E2	2.5E2	1.74	2362	450	Eccentricità X per sisma Y SLO	0	0	0	376.6	2.5E2	1.74
2363	451	Sisma X SLV	29.5	0	0	0	1.3E2	1.74	2364	451	Sisma Y SLV	0	29.5	0	0	1.3E2	1.74
2365	451	Eccentricità Y per sisma X SLV	0	0	0	-4.3E2	1.3E2	1.74	2366	451	Eccentricità X per sisma Y SLV	0	0	0	225.6	1.3E2	1.74
2367	451	Sisma X SLO	25.4	0	0	0	1.3E2	1.74	2368	451	Sisma Y SLO	0	25.4	0	0	1.3E2	1.74
2369	451	Eccentricità Y per sisma X SLO	0	0	0	-3.7E2	1.3E2	1.74	2370	451	Eccentricità X per sisma Y SLO	0	0	0	194.2	1.3E2	1.74
2371	452	Sisma X SLV	78.6	0	0	0	3.2E2	1.859	2372	452	Sisma Y SLV	0	78.6	0	0	3.2E2	1.859
2373	452	Sisma X SLO	67.7	0	0	0	3.2E2	1.859	2374	452	Sisma Y SLO	0	67.7	0	0	3.2E2	1.859
2375	453	Sisma X SLV	157.2	0	0	0	634.5	1.859	2376	453	Sisma Y SLV	0	157.2	0	0	634.5	1.859
2377	453	Sisma X SLO	135.3	0	0	0	634.5	1.859	2378	453	Sisma Y SLO	0	135.3	0	0	634.5	1.859
2379	454	Sisma X SLV	157.2	0	0	0	634.5	1.859	2380	454	Sisma Y SLV	0	157.2	0	0	634.5	1.859
2381	454	Sisma X SLO	135.3	0	0	0	634.5	1.859	2382	454	Sisma Y SLO	0	135.3	0	0	634.5	1.859
2383	455	Sisma X SLV	157.2	0	0	0	634.5	1.859	2384	455	Sisma Y SLV	0	157.2	0	0	634.5	1.859
2385	455	Sisma X SLO	135.3	0	0	0	634.5	1.859	2386	455	Sisma Y SLO	0	135.3	0	0	634.5	1.859
2387	456	Sisma X SLV	78.6	0	0	0	3.2E2	1.859	2388	456	Sisma Y SLV	0	78.6	0	0	3.2E2	1.859
2389	456	Sisma X SLO	67.7	0	0	0	3.2E2	1.859	2390	456	Sisma Y SLO	0	67.7	0	0	3.2E2	1.859
2391	457	Sisma X SLV	83.6	0	0	0	3.2E2	1.978	2392	457	Sisma Y SLV	0	83.6	0	0	3.2E2	1.978
2393	457	Sisma X SLO	72	0	0	0	3.2E2	1.978	2394	457	Sisma Y SLO	0	72	0	0	3.2E2	1.978
2395	458	Sisma X SLV	167.2	0	0	0	634.5	1.978	2396	458	Sisma Y SLV	0	167.2	0	0	634.5	1.978
2397	458	Sisma X SLO	144	0	0	0	634.5	1.978	2398	458	Sisma Y SLO	0	144	0	0	634.5	1.978
2399	459	Sisma X SLV	167.2	0	0	0	634.5	1.978	2400	459	Sisma Y SLV	0	167.2	0	0	634.5	1.978
2401	459	Sisma X SLO	144	0	0	0	634.5	1.978	2402	459	Sisma Y SLO	0	144	0	0	634.5	1.978
2403	460	Sisma X SLV	167.2	0	0	0	634.5	1.978	2404	460	Sisma Y SLV	0	167.2	0	0	634.5	1.978
2405	460	Sisma X SLO	144	0	0	0	634.5	1.978	2406	460	Sisma Y SLO	0	144	0	0	634.5	1.978
2407	461	Sisma X SLV	83.6	0	0	0	3.2E2	1.978	2408	461	Sisma Y SLV	0	83.6	0	0	3.2E2	1.978
2409	461	Sisma X SLO	72	0	0	0	3.2E2	1.978	2410	461	Sisma Y SLO	0	72	0	0	3.2E2	1.978
2411	462	Sisma X SLV	88.6	0	0	0	3.2E2	2.097	2412	462	Sisma Y SLV	0	88.6	0	0	3.2E2	2.097
2413	462	Sisma X SLO	76.3	0	0	0	3.2E2	2.097	2414	462	Sisma Y SLO	0	76.3	0	0	3.2E2	2.097
2415	463	Sisma X SLV	177.3	0	0	0	634.5	2.097	2416	463	Sisma Y SLV	0	177.3	0	0	634.5	2.097
2417	463	Sisma X SLO	152.6	0	0	0	634.5	2.097	2418	463	Sisma Y SLO	0	152.6	0	0	634.5	2.097
2419	464	Sisma X SLV	177.3	0	0	0	634.5	2.097	2420	464	Sisma Y SLV	0	177.3	0	0	634.5	2.097
2421	464	Sisma X SLO	152.6	0	0	0	634.5	2.097	2422	464	Sisma Y SLO	0	152.6	0	0	634.5	2.097
2423	465	Sisma X SLV	177.3	0	0	0	634.5	2.097	2424	465	Sisma Y SLV	0	177.3	0	0	634.5	2.097
2425	465	Sisma X SLO	152.6	0	0	0	634.5	2.097	2426	465	Sisma Y SLO	0	152.6	0	0	634.5	2.097
2427	466	Sisma X SLV	88.6	0	0	0	3.2E2	2.097	2428	466	Sisma Y SLV	0	88.6	0	0	3.2E2	2.097
2429	466	Sisma X SLO	76.3	0	0	0	3.2E2	2.097	2430	466	Sisma Y SLO	0	76.3	0	0	3.2E2	2.097
2431	467	Sisma X SLV	27.9	0	0	0	9.4E1	2.216	2432	467	Sisma Y SLV	0	27.9	0	0	9.4E1	2.216
2433	467	Eccentricità Y per sisma X SLV	0	0	0	-4.6E2	9.4E1	2.216	2434	467	Eccentricità X per sisma Y SLV	0	0	0	1130		

Indice	Nodo	Condizione	Fx	Fy	Fz	Mz	Peso	γ	Indice	Nodo	Condizione	Fx	Fy	Fz	Mz	Peso	γ
2459	470	Sisma X SLO	48	0	0	0	1.9E2	2.216	2460	470	Sisma Y SLO	0	48	0	0	1.9E2	2.216
2461	470	Eccentricità Y per sisma X SLO	0	0	0	-7.9E2	1.9E2	2.216	2462	470	Eccentricità X per sisma Y SLO	0	0	0	1.9E3	1.9E2	2.216
2463	471	Sisma X SLV	55.7	0	0	0	1.9E2	2.216	2464	471	Sisma Y SLV	0	55.7	0	0	1.9E2	2.216
2465	471	Eccentricità Y per sisma X SLV	0	0	0	-9.2E2	1.9E2	2.216	2466	471	Eccentricità X per sisma Y SLV	0	0	0	2.3E3	1.9E2	2.216
2467	471	Sisma X SLO	48	0	0	0	1.9E2	2.216	2468	471	Sisma Y SLO	0	48	0	0	1.9E2	2.216
2469	471	Eccentricità Y per sisma X SLO	0	0	0	-7.9E2	1.9E2	2.216	2470	471	Eccentricità X per sisma Y SLO	0	0	0	1.9E3	1.9E2	2.216
2471	472	Sisma X SLV	55.6	0	0	0	1.9E2	2.216	2472	472	Sisma Y SLV	0	55.6	0	0	1.9E2	2.216
2473	472	Eccentricità Y per sisma X SLV	0	0	0	-9.2E2	1.9E2	2.216	2474	472	Eccentricità X per sisma Y SLV	0	0	0	2.3E3	1.9E2	2.216
2475	472	Sisma X SLO	47.8	0	0	0	1.9E2	2.216	2476	472	Sisma Y SLO	0	47.8	0	0	1.9E2	2.216
2477	472	Eccentricità Y per sisma X SLO	0	0	0	-7.9E2	1.9E2	2.216	2478	472	Eccentricità X per sisma Y SLO	0	0	0	1.9E3	1.9E2	2.216
2479	473	Sisma X SLV	54.9	0	0	0	1.9E2	2.216	2480	473	Sisma Y SLV	0	54.9	0	0	1.9E2	2.216
2481	473	Eccentricità Y per sisma X SLV	0	0	0	-9.1E2	1.9E2	2.216	2482	473	Eccentricità X per sisma Y SLV	0	0	0	2.2E3	1.9E2	2.216
2483	473	Sisma X SLO	47.3	0	0	0	1.9E2	2.216	2484	473	Sisma Y SLO	0	47.3	0	0	1.9E2	2.216
2485	473	Eccentricità Y per sisma X SLO	0	0	0	-7.8E2	1.9E2	2.216	2486	473	Eccentricità X per sisma Y SLO	0	0	0	1.9E3	1.9E2	2.216
2487	474	Sisma X SLV	52.6	0	0	0	1.8E2	2.216	2488	474	Sisma Y SLV	0	52.6	0	0	1.8E2	2.216
2489	474	Eccentricità Y per sisma X SLV	0	0	0	-8.7E2	1.8E2	2.216	2490	474	Eccentricità X per sisma Y SLV	0	0	0	2.1E3	1.8E2	2.216
2491	474	Sisma X SLO	45.3	0	0	0	1.8E2	2.216	2492	474	Sisma Y SLO	0	45.3	0	0	1.8E2	2.216
2493	474	Eccentricità Y per sisma X SLO	0	0	0	-7.5E2	1.8E2	2.216	2494	474	Eccentricità X per sisma Y SLO	0	0	0	1.8E3	1.8E2	2.216
2495	475	Sisma X SLV	50.9	0	0	0	1.7E2	2.216	2496	475	Sisma Y SLV	0	50.9	0	0	1.7E2	2.216
2497	475	Eccentricità Y per sisma X SLV	0	0	0	-8.4E2	1.7E2	2.216	2498	475	Eccentricità X per sisma Y SLV	0	0	0	2.1E3	1.7E2	2.216
2499	475	Sisma X SLO	43.8	0	0	0	1.7E2	2.216	2500	475	Sisma Y SLO	0	43.8	0	0	1.7E2	2.216
2501	475	Eccentricità Y per sisma X SLO	0	0	0	-7.2E2	1.7E2	2.216	2502	475	Eccentricità X per sisma Y SLO	0	0	0	1.8E3	1.7E2	2.216
2503	476	Sisma X SLV	57.7	0	0	0	2.0E2	2.216	2504	476	Sisma Y SLV	0	57.7	0	0	2.0E2	2.216
2505	476	Eccentricità Y per sisma X SLV	0	0	0	-9.5E2	2.0E2	2.216	2506	476	Eccentricità X per sisma Y SLV	0	0	0	2.3E3	2.0E2	2.216
2507	476	Sisma X SLO	49.7	0	0	0	2.0E2	2.216	2508	476	Sisma Y SLO	0	49.7	0	0	2.0E2	2.216
2509	476	Eccentricità Y per sisma X SLO	0	0	0	-8.2E2	2.0E2	2.216	2510	476	Eccentricità X per sisma Y SLO	0	0	0	2.0E3	2.0E2	2.216
2511	477	Sisma X SLV	30.9	0	0	0	1.0E2	2.216	2512	477	Sisma Y SLV	0	30.9	0	0	1.0E2	2.216
2513	477	Eccentricità Y per sisma X SLV	0	0	0	-5.1E2	1.0E2	2.216	2514	477	Eccentricità X per sisma Y SLV	0	0	0	1.3E3	1.0E2	2.216
2515	477	Sisma X SLO	26.6	0	0	0	1.0E2	2.216	2516	477	Sisma Y SLO	0	26.6	0	0	1.0E2	2.216
2517	477	Eccentricità Y per sisma X SLO	0	0	0	-439	1.0E2	2.216	2518	477	Eccentricità X per sisma Y SLO	0	0	0	1.1E3	1.0E2	2.216
2519	478	Sisma X SLV	83.1	0	0	0	2.8E2	2.216	2520	478	Sisma Y SLV	0	83.1	0	0	2.8E2	2.216
2521	478	Eccentricità Y per sisma X SLV	0	0	0	-1.4E3	2.8E2	2.216	2522	478	Eccentricità X per sisma Y SLV	0	0	0	3.4E3	2.8E2	2.216
2523	478	Sisma X SLO	71.6	0	0	0	2.8E2	2.216	2524	478	Sisma Y SLO	0	71.6	0	0	2.8E2	2.216
2525	478	Eccentricità Y per sisma X SLO	0	0	0	-1.2E3	2.8E2	2.216	2526	478	Eccentricità X per sisma Y SLO	0	0	0	2.9E3	2.8E2	2.216
2527	479	Sisma X SLV	101.1	0	0	0	3.4E2	2.216	2528	479	Sisma Y SLV	0	101.1	0	0	3.4E2	2.216
2529	479	Eccentricità Y per sisma X SLV	0	0	0	-1668	3.4E2	2.216	2530	479	Eccentricità X per sisma Y SLV	0	0	0	4.1E3	3.4E2	2.216
2531	479	Sisma X SLO	87	0	0	0	3.4E2	2.216	2532	479	Sisma Y SLO	0	87	0	0	3.4E2	2.216
2533	479	Eccentricità Y per sisma X SLO	0	0	0	-1.4E3	3.4E2	2.216	2534	479	Eccentricità X per sisma Y SLO	0	0	0	3.5E3	3.4E2	2.216
2535	480	Sisma X SLV	115	0	0	0	3.9E2	2.216	2536	480	Sisma Y SLV	0	115	0	0	3.9E2	2.216
2537	480	Eccentricità Y per sisma X SLV	0	0	0	-1.9E3	3.9E2	2.216	2538	480	Eccentricità X per sisma Y SLV	0	0	0	4.7E3	3.9E2	2.216
2539	480	Sisma X SLO	99.1	0	0	0	3.9E2	2.216	2540	480	Sisma Y SLO	0	99.1	0	0	3.9E2	2.216
2541	480	Eccentricità Y per sisma X SLO	0	0	0	-1.6E3	3.9E2	2.216	2542	480	Eccentricità X per sisma Y SLO	0	0	0	4.0E3	3.9E2	2.216
2543	481	Sisma X SLV	115.9	0	0	0	3.9E2	2.216	2544	481	Sisma Y SLV	0	115.9	0	0	3.9E2	2.216
2545	481	Eccentricità Y per sisma X SLV	0	0	0	-1.9E3	3.9E2	2.216	2546	481	Eccentricità X per sisma Y SLV	0	0	0	4.7E3	3.9E2	2.216
2547	481	Sisma X SLO	99.8	0	0	0	3.9E2	2.216	2548	481	Sisma Y SLO	0	99.8	0	0	3.9E2	2.216
2549	481	Eccentricità Y per sisma X SLO	0	0	0	-1.6E3	3.9E2	2.216	2550	481	Eccentricità X per sisma Y SLO	0	0	0	4.0E3	3.9E2	2.216
2551	482	Sisma X SLV	116.1	0	0	0	3.9E2	2.216	2552	482	Sisma Y SLV	0	116.1	0	0	3.9E2	2.216
2553	482	Eccentricità Y per sisma X SLV	0	0	0	-1.9E3	3.9E2	2.216	2554	482	Eccentricità X per sisma Y SLV	0	0	0	4.7E3	3.9E2	2.216
2555	482	Sisma X SLO	100	0	0	0	3.9E2	2.216	2556	482	Sisma Y SLO	0	100	0	0	3.9E2	2.216
2557	482	Eccentricità Y per sisma X SLO	0	0	0	-1.6E3	3.9E2	2.216	2558	482	Eccentricità X per sisma Y SLO	0	0	0	4.1E3	3.9E2	2.216
2559	483	Sisma X SLV	116	0	0	0	3.9E2	2.216	2560	483	Sisma Y SLV	0	116	0	0	3.9E2	2.216
2561	483	Eccentricità Y per sisma X SLV	0	0	0	-1.9E3	3.9E2	2.216	2562	483	Eccentricità X per sisma Y SLV	0	0	0	4.7E3	3.9E2	2.216
2563	483	Sisma X SLO	99.9	0	0	0	3.9E2	2.216	2564	483	Sisma Y SLO	0	99.9	0	0	3.9E2	2.216
2565	483	Eccentricità Y per sisma X SLO	0	0	0	-1.6E3	3.9E2	2.216	2566	483	Eccentricità X per sisma Y SLO	0	0	0	4.0E3	3.9E2	2.216
2567	484	Sisma X SLV	115.7	0	0	0	3.9E2	2.216	2568	484	Sisma Y SLV	0	115.7	0	0	3.9E2	2.216
2569	484	Eccentricità Y per sisma X SLV	0	0	0	-1.9E3	3.9E2	2.216	2570	484	Eccentricità X per sisma Y SLV	0	0	0	4.7E3	3.9E2	2.216
2571	484	Sisma X SLO	99.7	0	0	0	3.9E2	2.216	2572	484	Sisma Y SLO	0	99.7	0	0	3.9E2	2.216
2573	484	Eccentricità Y per sisma X SLO	0	0	0	-1.6E3	3.9E2	2.216	2574	484	Eccentricità X per sisma Y SLO	0	0	0	4.0E3	3.9E2	2.216
2575	485	Sisma X SLV	116.7	0	0	0	4.0E2	2.216	2576	485	Sisma Y SLV	0	116.7	0	0	4.0E2	2.216
2577	485	Eccentricità Y per sisma X SLV	0	0	0	-1.9E3	4.0E2	2.216	2578	485	Eccentricità X per sisma Y SLV	0	0	0	4.7E3	4.0E2	2.216
2579	485	Sisma X SLO	100.5	0	0	0	4.0E2	2.216	2580	485	Sisma Y SLO	0	100.5	0	0	4.0E2	2.216
2581	485	Eccentricità Y per sisma X SLO	0	0	0	-1.7E3	4.0E2	2.216	2582	485	Eccentricità X per sisma Y SLO	0	0	0	4.1E3	4.0E2	2.216
2583	486	Sisma X SLV	57.8	0	0	0	2.0E2	2.216	2584	486	Sisma Y SLV	0	57.8	0	0	2.0E2	2.216
2585	486	Eccentricità Y per sisma X SLV	0	0	0	-9.5E2	2.0E2	2.216	2586	486	Eccentricità X per sisma Y SLV	0	0	0	2.3E3	2.0E2	2.216
2587	486	Sisma X SLO	49.8	0	0	0	2.0E2	2.216	2588	486	Sisma Y SLO	0	49.8	0	0	2.0E2	2.216
2589	486	Eccentricità Y per sisma X SLO	0	0	0	-8.2E2	2.0E2	2.216	2590	486	Eccentricità X per sisma Y SLO	0	0	0	2.0E3	2.0E2	2.216
2591	487	Sisma X SLV	113.9	0	0	0	3.9E2	2.216	2592	487	Sisma Y SLV	0	113.9	0	0	3.9E2	2.216
2593	487	Eccentricità Y per sisma X SLV	0	0	0	-1.9E3	3.9E2	2.216	2594	487	Eccentricità X per sisma Y SLV	0	0	0	4.6E3	3.9E2	2.216
2595	487	Sisma X SLO	98.1	0	0	0	3.9E2	2.216	2596	487	Sisma Y SLO	0	98.1	0	0	3.9E2	2.216
2597	487	Eccentricità Y per sisma X SLO	0	0	0	-1.6E3	3.9E2	2.216	2598	487	Eccentricità X per sisma Y SLO	0	0	0	4.0E3	3.9E2	2.216
2599	488	Sisma X SLV	63.6	0	0	0	2.2E2	2.216	2600	488	Sisma Y SLV	0	63.6	0	0	2.2E2	2.216
2601	488	Eccentricità Y per sisma X SLV	0	0	0	-1.1E3	2.2E2	2.216	2602	488	Eccentricità X per sisma Y SLV	0	0	0	2.6E3	2.2E2	2.216
2603	488	Sisma X SLO	54.8	0	0	0	2.2E2	2.216	2604	488	Sisma Y SLO	0	54.8	0	0	2.2E2	2.216
2605	488	Eccentricità Y per sisma X SLO	0	0	0	-9.0E2	2.2E2	2.216	2606	488	Eccentricità X per sisma Y SLO	0	0	0	2.2E3	2.2E2	2.216
2607	489	Sisma X SLV	50.6	0	0	0	1.7E2	2.216	2608	489	Sisma Y SLV	0	50.6	0	0	1.7E2	2.216
2609	489	Eccentricità Y per sisma X SLV	0	0	0	-8.3E2	1.7E2	2.216	2610	489	Eccentricità X per sisma Y SLV	0	0	0	2.1E3	1.7E2	2.216
2611	489	Sisma X SLO	43.6	0	0	0	1.7E2	2.216	2612	489	Sisma Y SLO	0	43.6	0	0	1.7E2	2.216
2613	489	Eccentricità Y per sisma X SLO	0	0	0	-7.2E2	1.7E2	2.216	2614	489	Eccentricità X per sisma Y SLO	0	0				

Indice	Nodo	Condizione	Fx	Fy	Fz	Mz	Peso	Y	Indice	Nodo	Condizione	Fx	Fy	Fz	Mz	Peso	Y
2623	491	Sisma X SLV	336.6	0	0	0	1.1E3	2.216	2624	491	Sisma Y SLV	0	336.6	0	0	1.1E3	2.216
2625	491	Eccentricità Y per sisma X SLV	0	0	0	-5.6E3	1.1E3	2.216	2626	491	Eccentricità X per sisma Y SLV	0	0	0	13640	1.1E3	2.216
2627	491	Sisma X SLO	289.8	0	0	0	1.1E3	2.216	2628	491	Sisma Y SLO	0	289.8	0	0	1.1E3	2.216
2629	491	Eccentricità Y per sisma X SLO	0	0	0	-4.8E3	1.1E3	2.216	2630	491	Eccentricità X per sisma Y SLO	0	0	0	1.2E4	1.1E3	2.216
2631	492	Sisma X SLV	337.4	0	0	0	1.1E3	2.216	2632	492	Sisma Y SLV	0	337.4	0	0	1.1E3	2.216
2633	492	Eccentricità Y per sisma X SLV	0	0	0	-5.6E3	1.1E3	2.216	2634	492	Eccentricità X per sisma Y SLV	0	0	0	1.4E4	1.1E3	2.216
2635	492	Sisma X SLO	290.5	0	0	0	1.1E3	2.216	2636	492	Sisma Y SLO	0	290.5	0	0	1.1E3	2.216
2637	492	Eccentricità Y per sisma X SLO	0	0	0	-4.793	1.1E3	2.216	2638	492	Eccentricità X per sisma Y SLO	0	0	0	1.2E4	1.1E3	2.216
2639	493	Sisma X SLV	268.6	0	0	0	9.1E2	2.216	2640	493	Sisma Y SLV	0	268.6	0	0	9.1E2	2.216
2641	493	Eccentricità Y per sisma X SLV	0	0	0	-4.4E3	9.1E2	2.216	2642	493	Eccentricità X per sisma Y SLV	0	0	0	1.1E4	9.1E2	2.216
2643	493	Sisma X SLO	231.3	0	0	0	9.1E2	2.216	2644	493	Sisma Y SLO	0	231.3	0	0	9.1E2	2.216
2645	493	Eccentricità Y per sisma X SLO	0	0	0	-3.8E3	9.1E2	2.216	2646	493	Eccentricità X per sisma Y SLO	0	0	0	9.4E3	9.1E2	2.216
2647	494	Sisma X SLV	208.3	0	0	0	7.1E2	2.216	2648	494	Sisma Y SLV	0	208.3	0	0	7.1E2	2.216
2649	494	Eccentricità Y per sisma X SLV	0	0	0	-3.4E3	7.1E2	2.216	2650	494	Eccentricità X per sisma Y SLV	0	0	0	8.4E3	7.1E2	2.216
2651	494	Sisma X SLO	179.4	0	0	0	7.1E2	2.216	2652	494	Sisma Y SLO	0	179.4	0	0	7.1E2	2.216
2653	494	Eccentricità Y per sisma X SLO	0	0	0	-3.0E3	7.1E2	2.216	2654	494	Eccentricità X per sisma Y SLO	0	0	0	7.3E3	7.1E2	2.216
2655	495	Sisma X SLV	205	0	0	0	6.9E2	2.216	2656	495	Sisma Y SLV	0	205	0	0	6.9E2	2.216
2657	495	Eccentricità Y per sisma X SLV	0	0	0	-3.4E3	6.9E2	2.216	2658	495	Eccentricità X per sisma Y SLV	0	0	0	8306	6.9E2	2.216
2659	495	Sisma X SLO	176.5	0	0	0	6.9E2	2.216	2660	495	Sisma Y SLO	0	176.5	0	0	6.9E2	2.216
2661	495	Eccentricità Y per sisma X SLO	0	0	0	-2.9E3	6.9E2	2.216	2662	495	Eccentricità X per sisma Y SLO	0	0	0	7.2E3	6.9E2	2.216
2663	496	Sisma X SLV	201.5	0	0	0	6.8E2	2.216	2664	496	Sisma Y SLV	0	201.5	0	0	6.8E2	2.216
2665	496	Eccentricità Y per sisma X SLV	0	0	0	-3.3E3	6.8E2	2.216	2666	496	Eccentricità X per sisma Y SLV	0	0	0	8.2E3	6.8E2	2.216
2667	496	Sisma X SLO	173.5	0	0	0	6.8E2	2.216	2668	496	Sisma Y SLO	0	173.5	0	0	6.8E2	2.216
2669	496	Eccentricità Y per sisma X SLO	0	0	0	-2.9E3	6.8E2	2.216	2670	496	Eccentricità X per sisma Y SLO	0	0	0	7.0E3	6.8E2	2.216
2671	497	Sisma X SLV	131.9	0	0	0	4.5E2	2.216	2672	497	Sisma Y SLV	0	131.9	0	0	4.5E2	2.216
2673	497	Eccentricità Y per sisma X SLV	0	0	0	-2.2E3	4.5E2	2.216	2674	497	Eccentricità X per sisma Y SLV	0	0	0	5.3E3	4.5E2	2.216
2675	497	Sisma X SLO	113.6	0	0	0	4.5E2	2.216	2676	497	Sisma Y SLO	0	113.6	0	0	4.5E2	2.216
2677	497	Eccentricità Y per sisma X SLO	0	0	0	-1874	4.5E2	2.216	2678	497	Eccentricità X per sisma Y SLO	0	0	0	4.6E3	4.5E2	2.216
2679	499	Sisma X SLV	132.6	0	0	0	4.5E2	2.216	2680	499	Sisma Y SLV	0	132.6	0	0	4.5E2	2.216
2681	499	Eccentricità Y per sisma X SLV	0	0	0	-2.2E3	4.5E2	2.216	2682	499	Eccentricità X per sisma Y SLV	0	0	0	5.4E3	4.5E2	2.216
2683	499	Sisma X SLO	114.2	0	0	0	4.5E2	2.216	2684	499	Sisma Y SLO	0	114.2	0	0	4.5E2	2.216
2685	499	Eccentricità Y per sisma X SLO	0	0	0	-1.9E3	4.5E2	2.216	2686	499	Eccentricità X per sisma Y SLO	0	0	0	4.6E3	4.5E2	2.216
2687	500	Sisma X SLV	72.6	0	0	0	2.5E2	2.216	2688	500	Sisma Y SLV	0	72.6	0	0	2.5E2	2.216
2689	500	Eccentricità Y per sisma X SLV	0	0	0	-1.2E3	2.5E2	2.216	2690	500	Eccentricità X per sisma Y SLV	0	0	0	2.9E3	2.5E2	2.216
2691	500	Sisma X SLO	62.5	0	0	0	2.5E2	2.216	2692	500	Sisma Y SLO	0	62.5	0	0	2.5E2	2.216
2693	500	Eccentricità Y per sisma X SLO	0	0	0	-1.0E3	2.5E2	2.216	2694	500	Eccentricità X per sisma Y SLO	0	0	0	2.5E3	2.5E2	2.216
2695	501	Sisma X SLV	95	0	0	0	3.2E2	2.216	2696	501	Sisma Y SLV	0	95	0	0	3.2E2	2.216
2697	501	Eccentricità Y per sisma X SLV	0	0	0	-1567	3.2E2	2.216	2698	501	Eccentricità X per sisma Y SLV	0	0	0	3.8E3	3.2E2	2.216
2699	501	Sisma X SLO	81.8	0	0	0	3.2E2	2.216	2700	501	Sisma Y SLO	0	81.8	0	0	3.2E2	2.216
2701	501	Eccentricità Y per sisma X SLO	0	0	0	-1.3E3	3.2E2	2.216	2702	501	Eccentricità X per sisma Y SLO	0	0	0	3.3E3	3.2E2	2.216
2703	502	Sisma X SLV	98.1	0	0	0	3.3E2	2.216	2704	502	Sisma Y SLV	0	98.1	0	0	3.3E2	2.216
2705	502	Eccentricità Y per sisma X SLV	0	0	0	-1619	3.3E2	2.216	2706	502	Eccentricità X per sisma Y SLV	0	0	0	4.0E3	3.3E2	2.216
2707	502	Sisma X SLO	84.5	0	0	0	3.3E2	2.216	2708	502	Sisma Y SLO	0	84.5	0	0	3.3E2	2.216
2709	502	Eccentricità Y per sisma X SLO	0	0	0	-1394	3.3E2	2.216	2710	502	Eccentricità X per sisma Y SLO	0	0	0	3.4E3	3.3E2	2.216
2711	503	Sisma X SLV	100.3	0	0	0	3.4E2	2.216	2712	503	Sisma Y SLV	0	100.3	0	0	3.4E2	2.216
2713	503	Eccentricità Y per sisma X SLV	0	0	0	-1.7E3	3.4E2	2.216	2714	503	Eccentricità X per sisma Y SLV	0	0	0	4.1E3	3.4E2	2.216
2715	503	Sisma X SLO	86.4	0	0	0	3.4E2	2.216	2716	503	Sisma Y SLO	0	86.4	0	0	3.4E2	2.216
2717	503	Eccentricità Y per sisma X SLO	0	0	0	-1.4E3	3.4E2	2.216	2718	503	Eccentricità X per sisma Y SLO	0	0	0	3.5E3	3.4E2	2.216
2719	504	Sisma X SLV	103.7	0	0	0	3.5E2	2.216	2720	504	Sisma Y SLV	0	103.7	0	0	3.5E2	2.216
2721	504	Eccentricità Y per sisma X SLV	0	0	0	-1.7E3	3.5E2	2.216	2722	504	Eccentricità X per sisma Y SLV	0	0	0	4.2E3	3.5E2	2.216
2723	504	Sisma X SLO	89.3	0	0	0	3.5E2	2.216	2724	504	Sisma Y SLO	0	89.3	0	0	3.5E2	2.216
2725	504	Eccentricità Y per sisma X SLO	0	0	0	-1.5E3	3.5E2	2.216	2726	504	Eccentricità X per sisma Y SLO	0	0	0	3.6E3	3.5E2	2.216
2727	505	Sisma X SLV	115.3	0	0	0	3.9E2	2.216	2728	505	Sisma Y SLV	0	115.3	0	0	3.9E2	2.216
2729	505	Eccentricità Y per sisma X SLV	0	0	0	-1.9E3	3.9E2	2.216	2730	505	Eccentricità X per sisma Y SLV	0	0	0	4.7E3	3.9E2	2.216
2731	505	Sisma X SLO	99.3	0	0	0	3.9E2	2.216	2732	505	Sisma Y SLO	0	99.3	0	0	3.9E2	2.216
2733	505	Eccentricità Y per sisma X SLO	0	0	0	-1.6E3	3.9E2	2.216	2734	505	Eccentricità X per sisma Y SLO	0	0	0	4.0E3	3.9E2	2.216
2735	506	Sisma X SLV	77.6	0	0	0	2.6E2	2.216	2736	506	Sisma Y SLV	0	77.6	0	0	2.6E2	2.216
2737	506	Eccentricità Y per sisma X SLV	0	0	0	-1.3E3	2.6E2	2.216	2738	506	Eccentricità X per sisma Y SLV	0	0	0	3.1E3	2.6E2	2.216
2739	506	Sisma X SLO	66.9	0	0	0	2.6E2	2.216	2740	506	Sisma Y SLO	0	66.9	0	0	2.6E2	2.216
2741	506	Eccentricità Y per sisma X SLO	0	0	0	-1.1E3	2.6E2	2.216	2742	506	Eccentricità X per sisma Y SLO	0	0	0	2.7E3	2.6E2	2.216
2743	507	Sisma X SLV	156.3	0	0	0	5.3E2	2.216	2744	507	Sisma Y SLV	0	156.3	0	0	5.3E2	2.216
2745	507	Eccentricità Y per sisma X SLV	0	0	0	-2.6E3	5.3E2	2.216	2746	507	Eccentricità X per sisma Y SLV	0	0	0	6.3E3	5.3E2	2.216
2747	507	Sisma X SLO	134.6	0	0	0	5.3E2	2.216	2748	507	Sisma Y SLO	0	134.6	0	0	5.3E2	2.216
2749	507	Eccentricità Y per sisma X SLO	0	0	0	-2.2E3	5.3E2	2.216	2750	507	Eccentricità X per sisma Y SLO	0	0	0	5.5E3	5.3E2	2.216
2751	508	Sisma X SLV	157	0	0	0	5.3E2	2.216	2752	508	Sisma Y SLV	0	157	0	0	5.3E2	2.216
2753	508	Eccentricità Y per sisma X SLV	0	0	0	-2.6E3	5.3E2	2.216	2754	508	Eccentricità X per sisma Y SLV	0	0	0	6.4E3	5.3E2	2.216
2755	508	Sisma X SLO	135.1	0	0	0	5.3E2	2.216	2756	508	Sisma Y SLO	0	135.1	0	0	5.3E2	2.216
2757	508	Eccentricità Y per sisma X SLO	0	0	0	-2.2E3	5.3E2	2.216	2758	508	Eccentricità X per sisma Y SLO	0	0	0	5.5E3	5.3E2	2.216
2759	509	Sisma X SLV	66.9	0	0	0	2.3E2	2.216	2760	509	Sisma Y SLV	0	66.9	0	0	2.3E2	2.216
2761	509	Eccentricità Y per sisma X SLV	0	0	0	-1.1E3	2.3E2	2.216	2762	509	Eccentricità X per sisma Y SLV	0	0	0	2.7E3	2.3E2	2.216
2763	509	Sisma X SLO	57.6	0	0	0	2.3E2	2.216	2764	509	Sisma Y SLO	0	57.6	0	0	2.3E2	2.216
2765	509	Eccentricità Y per sisma X SLO	0	0	0	-9.5E2	2.3E2	2.216	2766	509	Eccentricità X per sisma Y SLO	0	0	0	2.3E3	2.3E2	2.216
2767	510	Sisma X SLV	130.4	0	0	0	4.4E2	2.216	2768	510	Sisma Y SLV	0	130.4	0	0	4.4E2	2.216
2769	510	Eccentricità Y per sisma X SLV	0	0	0	-2.2E3	4.4E2	2.216	2770	510	Eccentricità X per sisma Y SLV	0	0	0	5.3E3	4.4E2	2.216
2771	510	Sisma X SLO	112.3	0	0	0	4.4E2	2.216	2772	510	Sisma Y SLO	0	112.3	0	0	4.4E2	2.216
2773	510	Eccentricità Y per sisma X SLO	0	0	0	-1.9E3	4.4E2	2.216	2774	510	Eccentricità X per sisma Y SLO	0	0	0	4.6E3	4.4E2	2.216
2775	511	Sisma X SLV	114.7	0	0	0	3.9E2	2.216	2776	511	Sisma Y SLV	0	114.7	0	0	3.9E2	2.216
2																	

Indice	Nodo	Condizione	Fx	Fy	Fz	Mz	Peso	γ	Indice	Nodo	Condizione	Fx	Fy	Fz	Mz	Peso	γ
2787	512	Sisma X SLO	88.9	0	0	0	3.5E2	2.216	2788	512	Sisma Y SLO	0	88.9	0	0	3.5E2	2.216
2789	512	Eccentricità Y per sisma X SLO	0	0	0	-1.5E3	3.5E2	2.216	2790	512	Eccentricità X per sisma Y SLO	0	0	0	3.6E3	3.5E2	2.216
2791	513	Sisma X SLV	98.8	0	0	0	3.3E2	2.216	2792	513	Sisma Y SLV	0	98.8	0	0	3.3E2	2.216
2793	513	Eccentricità Y per sisma X SLV	0	0	0	-1.6E3	3.3E2	2.216	2794	513	Eccentricità X per sisma Y SLV	0	0	0	4.0E3	3.3E2	2.216
2795	513	Sisma X SLO	85	0	0	0	3.3E2	2.216	2796	513	Sisma Y SLO	0	85	0	0	3.3E2	2.216
2797	513	Eccentricità Y per sisma X SLO	0	0	0	-1403	3.3E2	2.216	2798	513	Eccentricità X per sisma Y SLO	0	0	0	3.4E3	3.3E2	2.216
2799	514	Sisma X SLV	93	0	0	0	3.2E2	2.216	2800	514	Sisma Y SLV	0	93	0	0	3.2E2	2.216
2801	514	Eccentricità Y per sisma X SLV	0	0	0	-1.5E3	3.2E2	2.216	2802	514	Eccentricità X per sisma Y SLV	0	0	0	3769	3.2E2	2.216
2803	514	Sisma X SLO	80.1	0	0	0	3.2E2	2.216	2804	514	Sisma Y SLO	0	80.1	0	0	3.2E2	2.216
2805	514	Eccentricità Y per sisma X SLO	0	0	0	-1.3E3	3.2E2	2.216	2806	514	Eccentricità X per sisma Y SLO	0	0	0	3.2E3	3.2E2	2.216
2807	515	Sisma X SLV	80.4	0	0	0	2.7E2	2.216	2808	515	Sisma Y SLV	0	80.4	0	0	2.7E2	2.216
2809	515	Eccentricità Y per sisma X SLV	0	0	0	-1.3E3	2.7E2	2.216	2810	515	Eccentricità X per sisma Y SLV	0	0	0	3.3E3	2.7E2	2.216
2811	515	Sisma X SLO	69.2	0	0	0	2.7E2	2.216	2812	515	Sisma Y SLO	0	69.2	0	0	2.7E2	2.216
2813	515	Eccentricità Y per sisma X SLO	0	0	0	-1.1E3	2.7E2	2.216	2814	515	Eccentricità X per sisma Y SLO	0	0	0	2.8E3	2.7E2	2.216
2815	516	Sisma X SLV	62.9	0	0	0	2.1E2	2.216	2816	516	Sisma Y SLV	0	62.9	0	0	2.1E2	2.216
2817	516	Eccentricità Y per sisma X SLV	0	0	0	-1038	2.1E2	2.216	2818	516	Eccentricità X per sisma Y SLV	0	0	0	2.5E3	2.1E2	2.216
2819	516	Sisma X SLO	54.2	0	0	0	2.1E2	2.216	2820	516	Sisma Y SLO	0	54.2	0	0	2.1E2	2.216
2821	516	Eccentricità Y per sisma X SLO	0	0	0	-8.9E2	2.1E2	2.216	2822	516	Eccentricità X per sisma Y SLO	0	0	0	2.2E3	2.1E2	2.216
2823	517	Sisma X SLV	36.1	0	0	0	1.2E2	2.216	2824	517	Sisma Y SLV	0	36.1	0	0	1.2E2	2.216
2825	517	Eccentricità Y per sisma X SLV	0	0	0	-6.0E2	1.2E2	2.216	2826	517	Eccentricità X per sisma Y SLV	0	0	0	1.5E3	1.2E2	2.216
2827	517	Sisma X SLO	31.1	0	0	0	1.2E2	2.216	2828	517	Sisma Y SLO	0	31.1	0	0	1.2E2	2.216
2829	517	Eccentricità Y per sisma X SLO	0	0	0	-5.1E2	1.2E2	2.216	2830	517	Eccentricità X per sisma Y SLO	0	0	0	1.3E3	1.2E2	2.216
2831	518	Sisma X SLV	74.8	0	0	0	2.5E2	2.216	2832	518	Sisma Y SLV	0	74.8	0	0	2.5E2	2.216
2833	518	Eccentricità Y per sisma X SLV	0	0	0	-1.2E3	2.5E2	2.216	2834	518	Eccentricità X per sisma Y SLV	0	0	0	3.0E3	2.5E2	2.216
2835	518	Sisma X SLO	64.4	0	0	0	2.5E2	2.216	2836	518	Sisma Y SLO	0	64.4	0	0	2.5E2	2.216
2837	518	Eccentricità Y per sisma X SLO	0	0	0	-1.1E3	2.5E2	2.216	2838	518	Eccentricità X per sisma Y SLO	0	0	0	2.6E3	2.5E2	2.216
2839	519	Sisma X SLV	64.9	0	0	0	2.2E2	2.216	2840	519	Sisma Y SLV	0	64.9	0	0	2.2E2	2.216
2841	519	Eccentricità Y per sisma X SLV	0	0	0	-1.1E3	2.2E2	2.216	2842	519	Eccentricità X per sisma Y SLV	0	0	0	2.6E3	2.2E2	2.216
2843	519	Sisma X SLO	55.9	0	0	0	2.2E2	2.216	2844	519	Sisma Y SLO	0	55.9	0	0	2.2E2	2.216
2845	519	Eccentricità Y per sisma X SLO	0	0	0	-9.2E2	2.2E2	2.216	2846	519	Eccentricità X per sisma Y SLO	0	0	0	2.3E3	2.2E2	2.216
2847	520	Sisma X SLV	39.7	0	0	0	1.3E2	2.216	2848	520	Sisma Y SLV	0	39.7	0	0	1.3E2	2.216
2849	520	Eccentricità Y per sisma X SLV	0	0	0	-6.6E2	1.3E2	2.216	2850	520	Eccentricità X per sisma Y SLV	0	0	0	1.6E3	1.3E2	2.216
2851	520	Sisma X SLO	34.2	0	0	0	1.3E2	2.216	2852	520	Sisma Y SLO	0	34.2	0	0	1.3E2	2.216
2853	520	Eccentricità Y per sisma X SLO	0	0	0	-5.6E2	1.3E2	2.216	2854	520	Eccentricità X per sisma Y SLO	0	0	0	1.4E3	1.3E2	2.216
2855	521	Sisma X SLV	42.2	0	0	0	1.4E2	2.216	2856	521	Sisma Y SLV	0	42.2	0	0	1.4E2	2.216
2857	521	Eccentricità Y per sisma X SLV	0	0	0	-7.0E2	1.4E2	2.216	2858	521	Eccentricità X per sisma Y SLV	0	0	0	1.7E3	1.4E2	2.216
2859	521	Sisma X SLO	36.3	0	0	0	1.4E2	2.216	2860	521	Sisma Y SLO	0	36.3	0	0	1.4E2	2.216
2861	521	Eccentricità Y per sisma X SLO	0	0	0	-6.0E2	1.4E2	2.216	2862	521	Eccentricità X per sisma Y SLO	0	0	0	1.5E3	1.4E2	2.216
2863	522	Sisma X SLV	47	0	0	0	1.6E2	2.216	2864	522	Sisma Y SLV	0	47	0	0	1.6E2	2.216
2865	522	Eccentricità Y per sisma X SLV	0	0	0	-7.7E2	1.6E2	2.216	2866	522	Eccentricità X per sisma Y SLV	0	0	0	1.9E3	1.6E2	2.216
2867	522	Sisma X SLO	40.4	0	0	0	1.6E2	2.216	2868	522	Sisma Y SLO	0	40.4	0	0	1.6E2	2.216
2869	522	Eccentricità Y per sisma X SLO	0	0	0	-6.7E2	1.6E2	2.216	2870	522	Eccentricità X per sisma Y SLO	0	0	0	1.6E3	1.6E2	2.216
2871	523	Sisma X SLV	48.8	0	0	0	1.7E2	2.216	2872	523	Sisma Y SLV	0	48.8	0	0	1.7E2	2.216
2873	523	Eccentricità Y per sisma X SLV	0	0	0	-8.0E2	1.7E2	2.216	2874	523	Eccentricità X per sisma Y SLV	0	0	0	2.0E3	1.7E2	2.216
2875	523	Sisma X SLO	42	0	0	0	1.7E2	2.216	2876	523	Sisma Y SLO	0	42	0	0	1.7E2	2.216
2877	523	Eccentricità Y per sisma X SLO	0	0	0	-6.9E2	1.7E2	2.216	2878	523	Eccentricità X per sisma Y SLO	0	0	0	1.7E3	1.7E2	2.216
2879	524	Sisma X SLV	50.6	0	0	0	1.7E2	2.216	2880	524	Sisma Y SLV	0	50.6	0	0	1.7E2	2.216
2881	524	Eccentricità Y per sisma X SLV	0	0	0	-8.3E2	1.7E2	2.216	2882	524	Eccentricità X per sisma Y SLV	0	0	0	2.0E3	1.7E2	2.216
2883	524	Sisma X SLO	43.5	0	0	0	1.7E2	2.216	2884	524	Sisma Y SLO	0	43.5	0	0	1.7E2	2.216
2885	524	Eccentricità Y per sisma X SLO	0	0	0	-7.2E2	1.7E2	2.216	2886	524	Eccentricità X per sisma Y SLO	0	0	0	1.8E3	1.7E2	2.216
2887	525	Sisma X SLV	54	0	0	0	1.8E2	2.216	2888	525	Sisma Y SLV	0	54	0	0	1.8E2	2.216
2889	525	Eccentricità Y per sisma X SLV	0	0	0	-8.9E2	1.8E2	2.216	2890	525	Eccentricità X per sisma Y SLV	0	0	0	2.2E3	1.8E2	2.216
2891	525	Sisma X SLO	46.5	0	0	0	1.8E2	2.216	2892	525	Sisma Y SLO	0	46.5	0	0	1.8E2	2.216
2893	525	Eccentricità Y per sisma X SLO	0	0	0	-7.7E2	1.8E2	2.216	2894	525	Eccentricità X per sisma Y SLO	0	0	0	1.9E3	1.8E2	2.216
2895	526	Sisma X SLV	60.6	0	0	0	2.1E2	2.216	2896	526	Sisma Y SLV	0	60.6	0	0	2.1E2	2.216
2897	526	Eccentricità Y per sisma X SLV	0	0	0	-1.0E3	2.1E2	2.216	2898	526	Eccentricità X per sisma Y SLV	0	0	0	2.5E3	2.1E2	2.216
2899	526	Sisma X SLO	52.2	0	0	0	2.1E2	2.216	2900	526	Sisma Y SLO	0	52.2	0	0	2.1E2	2.216
2901	526	Eccentricità Y per sisma X SLO	0	0	0	-8.6E2	2.1E2	2.216	2902	526	Eccentricità X per sisma Y SLO	0	0	0	2.1E3	2.1E2	2.216
2903	527	Sisma X SLV	31.6	0	0	0	1.1E2	2.216	2904	527	Sisma Y SLV	0	31.6	0	0	1.1E2	2.216
2905	527	Eccentricità Y per sisma X SLV	0	0	0	-5.2E2	1.1E2	2.216	2906	527	Eccentricità X per sisma Y SLV	0	0	0	1.3E3	1.1E2	2.216
2907	527	Sisma X SLO	27.2	0	0	0	1.1E2	2.216	2908	527	Sisma Y SLO	0	27.2	0	0	1.1E2	2.216
2909	527	Eccentricità Y per sisma X SLO	0	0	0	-4.5E2	1.1E2	2.216	2910	527	Eccentricità X per sisma Y SLO	0	0	0	1.1E3	1.1E2	2.216

6.4 Aste

6.4.1 Carichi su aste

6.4.1.1 Carichi trapezoidali locali

Indice asta: indice dell'asta a cui si riferisce il carico trapezoidale.

Condizione: condizione elementare di carico a cui si riferisce il carico.

Posizione iniziale: posizione iniziale del carico sull'asse locale 1. [cm]

F1 iniziale: componente del valore iniziale del carico lungo l'asse locale 1. [daN/cm]

F2 iniziale: componente del valore iniziale del carico lungo l'asse locale 2. [daN/cm]

F3 iniziale: componente del valore iniziale del carico lungo l'asse locale 3. [daN/cm]

Posizione finale: posizione finale del carico sull'asse locale 1. [cm]

F1 finale: componente del valore finale del carico lungo l'asse locale 1. [daN/cm]

F2 finale: componente del valore finale del carico lungo l'asse locale 2. [daN/cm]

F3 finale: componente del valore finale del carico lungo l'asse locale 3. [daN/cm]

Indice asta	Condizione	Posizione iniziale	F1 iniziale	F2 iniziale	F3 iniziale	Posizione finale	F1 finale	F2 finale	F3 finale
1	Pesi strutturali	0	-5.407	-8.966	0	350.5	-5.407	-8.966	0
1	Variabile C	0	-2.762	-4.581	0	350.5	-2.762	-4.581	0
2	Pesi strutturali	0	-5.265	-8.94	0	486.8	-5.265	-8.94	0
2	Variabile C	0	-2.737	-4.647	0	486.8	-2.737	-4.647	0
3	Pesi strutturali	0	-5.904	-8.985	0	216.7	-5.904	-8.985	0
3	Variabile C	0	-2.851	-4.339	0	216.7	-2.851	-4.339	0
13	Pesi strutturali	0	-5.414	-8.953	0	454.1	-5.414	-8.953	0
13	Variabile C	0	-2.778	-4.593	0	454.1	-2.778	-4.593	0
17	Pesi strutturali	0	-5.477	-9.007	0	452.3	-5.477	-9.007	0
17	Variabile C	0	-2.8	-4.604	0	452.3	-2.8	-4.604	0
32	Pesi strutturali	0	-2.598	-4.384	0	338.4	-2.598	-4.384	0
32	Variabile C	0	-2.17	-3.661	0	338.4	-2.17	-3.661	0
33	Pesi strutturali	0	-3.115	-4.984	0	283	-3.115	-4.984	0
33	Variabile C	0	-2.697	-4.315	0	283	-2.697	-4.315	0

6.4.2 Caratteristiche meccaniche aste
I seguenti dati si riferiscono alle caratteristiche meccaniche delle aste utilizzate dal solutore ad elementi finiti. Normalmente differiscono dalle caratteristiche inerziali delle sezioni definite nel database. Tengono conto dei moltiplicatori inerziali espressi nelle preferenze FEM e di indicazioni tratte dalla bibliografia (SAP 90 Volume I Figura X-8; Belluzzi Vol. 1).
I.: numero dell'elemento nell'insieme che lo contiene.
Area: area della sezione trasversale. [cm²]
Area 2: area di taglio per sforzo di taglio nella direzione 2. [cm²]
Area 3: area di taglio per sforzo di taglio nella direzione 3. [cm²]
In.2: momento d'inerzia attorno all'asse locale 2. [cm4]
In.3: momento d'inerzia attorno all'asse locale 3. [cm4]
In.tors.: momento d'inerzia torsionale corretto con il fattore di torsione. [cm4]
E: modulo di elasticità longitudinale. [daN/cm²]
G: modulo di elasticità tangenziale. [daN/cm²]
Alfa: coefficiente di dilatazione termica longitudinale. [°C-1]
P.unit.: peso per unità di lunghezza dell'elemento. [daN/cm]
S.fibre: caratteristiche della sezione a fibre
Sez.corr.: sezione degli elementi correlati.
Desc.: descrizione o nome assegnato all'elemento.
Mat.corr.: materiale degli elementi correlati.
Desc.: descrizione o nome assegnato all'elemento.

I.	Area	Area 2	Area 3	In.2	In.3	In.tors.	E	G	Alfa	P.unit.	S.fibre	Sez.corr.	Mat.corr.
												Desc.	Desc.
1	3125	2604	2604	4069010	162760	5690	325881	148128	0.00001	0		R 125x25	C28/35
2	5000	4167	4167	666667	6510417	21291	325881	148128	0.00001	12.5		R 40x125	C28/35
3	3000	2500	2500	225000	2500000	7299	325881	148128	0.00001	7.5		R 30x100	C28/35
4	3000	2500	2500	400000	1406250	10624	325881	148128	0.00001	7.5		R 40x75	C28/35
5	1650	1375	1375	123750	415938	3249	325881	148128	0.00001	4.125		R 30x55	C28/35
6	1440	1200	1200	1728000	17280	648	325881	148128	0.00001	0		R 120x12	C28/35
7	1500	1250	1250	50000	703125	1664	325881	148128	0.00001	3.75		R 20x75	C28/35

6.4.3 Definizioni aste
Indice: numero dell'elemento nell'insieme che lo contiene.
Nodo I: nodo iniziale.
Nodo J: nodo finale.
Nodo K: nodo che definisce l'asse locale 2.
Sezione: caratteristiche inerziali-meccaniche della sezione.
Indice: numero dell'elemento nell'insieme che lo contiene.

Indice	Nodo I	Nodo J	Nodo K	Sezione	Indice	Nodo I	Nodo J	Nodo K	Sezione	Indice	Nodo I	Nodo J	Nodo K	Sezione	Indice	Nodo I	Nodo J	Nodo K	Sezione
				Indice					Indice					Indice					Indice
1	179	249	530	1	2	232	300	530	1	3	320	371	530	1	4	308	307	530	2
5	310	309	530	2	6	309	308	530	2	7	327	321	530	3	8	321	307	530	3
9	307	294	530	3	10	359	360	530	4	11	360	361	530	4	12	361	362	530	4
13	343	398	530	1	14	406	405	530	4	15	405	404	530	4	16	404	403	530	4
17	416	448	530	1	18	441	442	530	4	19	442	443	530	4	20	443	444	530	4
21	493	492	530	4	22	492	491	530	4	23	491	490	530	4	24	156	228	529	5
25	228	297	529	5	26	58	81	529	5	27	81	123	529	5	28	123	136	529	5
29	136	186	529	5	30	12	96	529	5	31	96	156	529	5	32	43	115	530	6
33	98	157	530	6	34	89	94	530	7	35	94	99	530	7	36	99	112	530	7
37	112	118	530	7	38	118	120	530	7	39	186	210	529	5	40	210	257	529	5
41	257	270	529	5	42	270	283	529	5	43	283	325	529	5					

6.5 Masse aggregate

Nodo: Nodo in cui si considera l'aggregazione delle masse.
Ind.: indice del nodo.
Massa X: massa per la componente di spostamento lungo l'asse X. [daN/(cm/s²)]
Massa Y: massa per la componente di spostamento lungo l'asse Y. [daN/(cm/s²)]
Massa Z: massa per la componente di spostamento lungo l'asse Z. [daN/(cm/s²)]
Momento Z: massa momento d'inerzia per la componente di rotazione attorno all'asse Z. [(daN/(cm/s²))cm²]

Nodo	Massa X	Massa Y	Massa Z	Momento Z	Nodo	Massa X	Massa Y	Massa Z	Momento Z
Ind.					Ind.				
150	0.172	0.172	0		151	0.322	0.322	0	
152	0.272	0.272	0		153	0.234	0.234	0	
154	0.225	0.225	0		155	0.108	0.108	0	
156	0.696	0.696	0		157	1.518	1.518	0	
158	0.467	0.467	0		159	0.473	0.473	0	
160	0.525	0.525	0		161	0.561	0.561	0	
162	0.299	0.299	0		163	0.455	0.455	0	
164	0.469	0.469	0		165	0.454	0.454	0	
166	0.501	0.501	0		167	0.506	0.506	0	
168	0.506	0.506	0		169	0.506	0.506	0	
170	0.253	0.253	0		171	0.465	0.465	0	
172	0.26	0.26	0		174	0.407	0.407	0	
175	0.367	0.367	0		176	0.414	0.414	0	
177	0.361	0.361	0		178	0.21	0.21	0	
179	2.444	2.444	0		180	0.21	0.21	0	
181	0.31	0.31	0		182	0.358	0.358	0	
183	0.357	0.357	0		184	0.21	0.21	0	
185	0.172	0.172	0		186	0.348	0.348	0	
187	0.223	0.223	0		188	0.447	0.447	0	
189	0.448	0.448	0		190	0.471	0.471	0	
191	0.49	0.49	0		192	0.492	0.492	0	
193	0.245	0.245	0		194	0.164	0.164	0	
195	0.165	0.165	0		196	0.179	0.179	0	
197	0.178	0.178	0		198	0.085	0.085	0	
199	0.11	0.11	0		200	0.227	0.227	0	
201	0.248	0.248	0		202	0.255	0.255	0	
203	0.256	0.256	0		204	0.127	0.127	0	
205	0.277	0.277	0		206	0.554	0.554	0	
207	0.554	0.554	0		208	0.554	0.554	0	
209	0.277	0.277	0		210	0.381	0.381	0	
211	0.249	0.249	0		212	0.497	0.497	0	
213	0.499	0.499	0		214	0.51	0.51	0	
215	0.529	0.529	0		216	0.53	0.53	0	
217	0.266	0.266	0		218	0.117	0.117	0	
219	0.237	0.237	0		220	0.244	0.244	0	
221	0.249	0.249	0		222	0.25	0.25	0	
223	0.125	0.125	0		224	0.061	0.061	0	
225	0.109	0.109	0		226	0.21	0.21	0	
227	0.103	0.103	0		228	0.9	0.9	0	
229	0.12	0.12	0		230	0.205	0.205	0	
231	0.412	0.412	0		232	3.377	3.377	0	
233	0.206	0.206	0		234	0.122	0.122	0	
235	0.204	0.204	0		236	0.403	0.403	0	
237	0.197	0.197	0		239	0.264	0.264	0	
240	0.529	0.529	0		241	0.529	0.529	0	
242	0.529	0.529	0		243	0.264	0.264	0	
244	0.197	0.197	0		245	0.403	0.403	0	
246	0.123	0.123	0		247	0.204	0.204	0	
248	0.208	0.208	0		249	2.444	2.444	0	
250	0.413	0.413	0		251	0.124	0.124	0	
252	0.205	0.205	0		253	0.062	0.062	0	
254	0.108	0.108	0		255	0.21	0.21	0	
256	0.103	0.103	0		257	0.363	0.363	0	
258	0.245	0.245	0		259	0.486	0.486	0	
260	0.486	0.486	0		261	0.488	0.488	0	
262	0.492	0.492	0		263	0.494	0.494	0	
264	0.248	0.248	0		265	0.252	0.252	0	
266	0.504	0.504	0		267	0.504	0.504	0	
268	0.504	0.504	0		269	0.252	0.252	0	
270	0.346	0.346	0		271	0.24	0.24	0	
272	0.476	0.476	0		273	0.467	0.467	0	

Nodo	Massa X	Massa Y	Massa Z	Momento Z	Nodo	Massa X	Massa Y	Massa Z	Momento Z
Ind.					Ind.				
274	0.464	0.464	0		275	0.462	0.462	0	
276	0.461	0.461	0		277	0.23	0.23	0	
278	0.252	0.252	0		279	0.504	0.504	0	
280	0.504	0.504	0		281	0.504	0.504	0	
282	0.252	0.252	0		283	0.346	0.346	0	
284	0.252	0.252	0		285	0.487	0.487	0	
286	0.464	0.464	0		287	0.458	0.458	0	
288	0.456	0.456	0		289	0.455	0.455	0	
290	0.227	0.227	0		291	0.407	0.407	0	
292	0.158	0.158	0		293	0.129	0.129	0	
294	0.554	0.554	0		295	0.182	0.182	0	
296	0.076	0.076	0		297	0.772	0.772	0	
298	0.278	0.278	0		299	0.323	0.323	0	
300	3.377	3.377	0		301	0.336	0.336	0	
302	0.816	0.816	0		303	0.383	0.383	0	
304	0.338	0.338	0		305	0.347	0.347	0	
306	0.819	0.819	0		307	1.973	1.973	0	
308	1.467	1.467	0		309	1.128	1.128	0	
310	0.872	0.872	0		311	0.616	0.616	0	
312	0.616	0.616	0		313	0.616	0.616	0	
314	0.308	0.308	0		315	0.399	0.399	0	
317	0.373	0.373	0		318	0.822	0.822	0	
319	0.386	0.386	0		320	1.531	1.531	0	
321	1.28	1.28	0		322	0.446	0.446	0	
323	0.394	0.394	0		324	0.825	0.825	0	
325	0.173	0.173	0		326	0.739	0.739	0	
327	1.224	1.224	0		328	1.064	1.064	0	
329	0.954	0.954	0		330	0.953	0.953	0	
331	0.953	0.953	0		332	0.952	0.952	0	
333	0.476	0.476	0		334	0.837	0.837	0	
335	0.861	0.861	0		336	0.021	0.021	0	
337	0.04	0.04	0		338	0.358	0.358	0	
339	0.214	0.214	0		340	0.115	0.115	0	
341	0.241	0.241	0		342	0.126	0.126	0	
343	3.167	3.167	0		344	0.23	0.23	0	
345	0.485	0.485	0		346	0.255	0.255	0	
347	0.14	0.14	0		348	0.252	0.252	0	
349	0.237	0.237	0		350	0.211	0.211	0	
351	0.315	0.315	0		352	0.503	0.503	0	
353	0.304	0.304	0		354	0.59	0.59	0	
355	0.539	0.539	0		356	0.525	0.525	0	
357	0.531	0.531	0		358	0.576	0.576	0	
359	0.418	0.418	0		360	0.407	0.407	0	
361	0.585	0.585	0		362	0.55	0.55	0	
364	0.401	0.401	0		365	0.457	0.457	0	
366	0.466	0.466	0		367	0.486	0.486	0	
368	0.467	0.467	0		369	0.234	0.234	0	
370	0.229	0.229	0		371	1.531	1.531	0	
372	0.099	0.099	0		373	0.216	0.216	0	
374	0.225	0.225	0		375	0.217	0.217	0	
376	0.231	0.231	0		377	0.231	0.231	0	
378	0.108	0.108	0		379	0.29	0.29	0	
380	0.318	0.318	0		381	0.305	0.305	0	
382	0.498	0.498	0		383	0.472	0.472	0	
384	0.284	0.284	0		385	0.273	0.273	0	
386	0.23	0.23	0		387	0.228	0.228	0	
388	0.272	0.272	0		389	0.672	0.672	0	
390	0.661	0.661	0		391	0.602	0.602	0	
392	0.386	0.386	0		393	0.367	0.367	0	
394	0.152	0.152	0		395	0.302	0.302	0	
396	0.292	0.292	0		397	0.139	0.139	0	
398	3.167	3.167	0		399	0.301	0.301	0	
400	0.609	0.609	0		401	0.609	0.609	0	
402	0.305	0.305	0		403	0.647	0.647	0	
404	1.301	1.301	0		405	1.329	1.329	0	
406	1.041	1.041	0		407	0.763	0.763	0	
408	0.733	0.733	0		409	0.77	0.77	0	
410	0.369	0.369	0		412	0.304	0.304	0	
413	0.607	0.607	0		414	0.6	0.6	0	
415	0.312	0.312	0		416	3.176	3.176	0	
417	0.152	0.152	0		418	0.301	0.301	0	
419	0.291	0.291	0		420	0.135	0.135	0	
421	0.359	0.359	0		422	0.719	0.719	0	
423	0.719	0.719	0		424	0.719	0.719	0	
425	0.359	0.359	0		426	0.359	0.359	0	
427	0.719	0.719	0		428	0.719	0.719	0	
429	0.719	0.719	0		430	0.359	0.359	0	
431	0.131	0.131	0		432	0.261	0.261	0	
433	0.131	0.131	0		434	0.261	0.261	0	
435	0.523	0.523	0		436	0.261	0.261	0	
437	0.341	0.341	0		438	0.683	0.683	0	
439	0.683	0.683	0		440	0.683	0.683	0	
441	0.456	0.456	0		442	0.683	0.683	0	
443	1.119	1.119	0		444	0.555	0.555	0	
446	0.261	0.261	0		447	0.522	0.522	0	
448	3.434	3.434	0		449	0.119	0.119	0	
450	0.251	0.251	0		451	0.13	0.13	0	
452	0.323	0.323	0		453	0.647	0.647	0	
454	0.647	0.647	0		455	0.647	0.647	0	
456	0.323	0.323	0		457	0.323	0.323	0	
458	0.647	0.647	0		459	0.647	0.647	0	
460	0.647	0.647	0		461	0.323	0.323	0	
462	0.323	0.323	0		463	0.647	0.647	0	
464	0.647	0.647	0		465	0.647	0.647	0	
466	0.323	0.323	0		467	0.096	0.096	0	
468	0.192	0.192	0		469	0.192	0.192	0	
470	0.193	0.193	0		471	0.192	0.192	0	
472	0.192	0.192	0		473	0.19	0.19	0	
474	0.182	0.182	0		475	0.176	0.176	0	
476	0.199	0.199	0		477	0.107	0.107	0	
478	0.287	0.287	0		479	0.349	0.349	0	
480	0.397	0.397	0		481	0.4	0.4	0	
482	0.401	0.401	0		483	0.401	0.401	0	
484	0.4	0.4	0		485	0.403	0.403	0	
486	0.2	0.2	0		487	0.393	0.393	0	
488	0.22	0.22	0		489	0.175	0.175	0	
490	0.579	0.579	0		491	1.162	1.162	0	
492	1.165	1.165	0		493	0.927	0.927	0	
494	0.719	0.719	0		495	0.708	0.708	0	
496	0.696	0.696	0		497	0.455	0.455	0	
499	0.458	0.458	0		500	0.251	0.251	0	
501	0.328	0.328	0		502	0.339	0.339	0	
503	0.346	0.346	0		504	0.358	0.358	0	
505	0.398	0.398	0		506	0.268	0.268	0	
507	0.54	0.54	0		508	0.542	0.542	0	
509	0.231	0.231	0		510	0.45	0.45	0	
511	0.396	0.396	0		512	0.357	0.357	0	
513	0.341	0.341	0		514	0.321	0.321	0	
515	0.278	0.278	0		516	0.217	0.217	0	

Nodo	Massa X	Massa Y	Massa Z	Momento Z	Nodo	Massa X	Massa Y	Massa Z	Momento Z
Ind.					Ind.				
517	0.125	0.125	0		518	0.258	0.258	0	
519	0.224	0.224	0		520	0.137	0.137	0	
521	0.146	0.146	0		522	0.162	0.162	0	
523	0.168	0.168	0		524	0.175	0.175	0	
525	0.187	0.187	0		526	0.209	0.209	0	
527	0.109	0.109	0						

6.6 Masse di piano

Quota: quota, livello o falda, a cui compete la massa risultante.
Massa X: massa per la componente di spostamento lungo l'asse X. [daN/(cm/s²)]
Massa Y: massa per la componente di spostamento lungo l'asse Y. [daN/(cm/s²)]

Quota	Massa X	Massa Y	Quota	Massa X	Massa Y
Piano terra	20.002	20.002	1° pianerottolo	15.95	15.95
2° pianerottolo	33.166	33.166	Piano 1 - 3° pianerottolo	16.897	16.897
4° pianerottolo	18.707	18.707	Piano 2 - 5° pianerottolo	11.489	11.489
Copertura	20.664	20.664	Altre quote	38.71	38.71

6.7 Gusci

6.7.1 Caratteristiche meccaniche gusci

Indice: numero dell'elemento nell'insieme che lo contiene.
Comportamento: comportamento del materiale.
E1: modulo di elasticità longitudinale, lungo l'asse 1 del sistema di riferimento locale. [daN/cm²]
Poisson: modulo di Poisson. Il valore è adimensionale.
E2: modulo di elasticità longitudinale, lungo l'asse 2 del sistema di riferimento locale. [daN/cm²]
G: modulo di elasticità tangenziale. [daN/cm²]
Alfa: coefficiente di dilatazione termica longitudinale. [°C/1]
Peso unitario: peso per unità di volume, riferito allo spessore membranale. [daN/cm³]

Indice	Comportamento	E1	Poisson	E2	G	Alfa	Peso unitario
1	Isotropo	325881	0.1	0	0	0.00001	0.0025

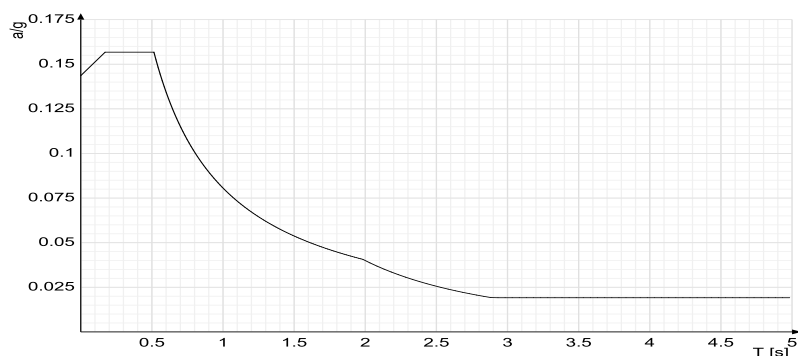
6.7.2 Definizioni gusci

ln. numero dell'elemento nell'insieme che lo contiene.
Nodo I: primo nodo di definizione dell'elemento.
Nodo J: secondo nodo di definizione dell'elemento.
Nodo L: terzo nodo di definizione dell'elemento; nel caso di elementi triangolari non è definito.
Nodo K: ultimo nodo di definizione dell'elemento.
Sp.mem.: spessore membranale dell'elemento. [cm]
Sp.fless.: spessore flessionale dell'elemento. [cm]
Var.term.: variazione termica a cui è soggetto l'elemento. [°C]
Mat.: caratteristiche meccaniche dell'elemento.
Ind.: numero dell'elemento nell'insieme che lo contiene.

In.	Nodo I	Nodo J	Nodo L	Nodo K	Sp.mem.	Sp.fless.	Var.term.	Mat. Ind.	In.	Nodo I	Nodo J	Nodo L	Nodo K	Sp.mem.	Sp.fless.	Var.term.	Mat. Ind.
1	166	205	206	167	40	40	0	1	2	167	206	207	168	40	40	0	1
3	168	207	208	169	40	40	0	1	4	169	208	209	170	40	40	0	1
5	205	239	240	206	40	40	0	1	6	206	240	241	207	40	40	0	1
7	207	241	242	208	40	40	0	1	8	208	242	243	209	40	40	0	1
9	239	265	266	240	40	40	0	1	10	240	266	267	241	40	40	0	1
11	241	267	268	242	40	40	0	1	12	242	268	269	243	40	40	0	1
13	265	278	279	266	40	40	0	1	14	266	279	280	267	40	40	0	1
15	267	280	281	268	40	40	0	1	16	268	281	282	269	40	40	0	1
17	278	310	311	279	40	40	0	1	18	279	311	312	280	40	40	0	1
19	280	312	313	281	40	40	0	1	20	281	313	314	282	40	40	0	1
21	353	354	309	308	40	40	0	1	22	354	355	310	309	40	40	0	1
23	355	356	311	310	40	40	0	1	24	356	357	312	311	40	40	0	1
25	357	358	313	312	40	40	0	1	26	358	359	314	313	40	40	0	1
27	357	356	379	380	40	40	0	1	28	356	355	381	379	40	40	0	1
29	355	354	383	381	40	40	0	1	30	353	384	383	354	40	40	0	1
31	384	392	390	383	40	40	0	1	32	406	407	390	392	40	40	0	1
33	407	408	391	390	40	40	0	1	34	408	409	389	391	40	40	0	1
35	410	393	389	409	40	40	0	1	36	393	385	382	389	40	40	0	1
37	359	358	382	385	40	40	0	1	38	358	357	380	382	40	40	0	1
39	388	379	381	387	40	40	0	1	40	381	383	390	387	40	40	0	1
41	390	391	388	387	40	40	0	1	42	388	391	389	386	40	40	0	1
43	389	382	380	386	40	40	0	1	44	380	379	388	386	40	40	0	1
45	406	421	422	407	40	40	0	1	46	407	422	423	408	40	40	0	1
47	408	423	424	409	40	40	0	1	48	409	424	425	410	40	40	0	1
49	421	426	427	422	40	40	0	1	50	422	427	428	423	40	40	0	1
51	423	428	429	424	40	40	0	1	52	424	429	430	425	40	40	0	1
53	426	437	438	427	40	40	0	1	54	427	438	439	428	40	40	0	1
55	428	439	440	429	40	40	0	1	56	429	440	441	430	40	40	0	1
57	437	452	453	438	40	40	0	1	58	438	453	454	439	40	40	0	1
59	439	454	455	440	40	40	0	1	60	440	455	456	441	40	40	0	1
61	452	457	458	453	40	40	0	1	62	453	458	459	454	40	40	0	1
63	454	459	460	455	40	40	0	1	64	455	460	461	456	40	40	0	1
65	457	462	463	458	40	40	0	1	66	458	463	464	459	40	40	0	1
67	459	464	465	460	40	40	0	1	68	460	465	466	461	40	40	0	1
69	462	493	494	463	40	40	0	1	70	463	494	495	464	40	40	0	1
71	464	495	496	465	40	40	0	1	72	465	496	497	466	40	40	0	1
73	227	230	231	226	25	25	0	1	74	226	231	233	225	25	25	0	1
75	230	235	236	231	25	25	0	1	76	231	236	237	233	25	25	0	1
77	235	247	245	236	25	25	0	1	78	236	245	244	237	25	25	0	1
79	247	252	250	245	25	25	0	1	80	245	250	248	244	25	25	0	1
81	252	256	255	250	25	25	0	1	82	250	255	254	248	25	25	0	1
83	338	337		335	25	25	0	1	84	337	334		335	25	25	0	1
85	297	301		303	25	25	0	1	86	326	334	337	336	25	25	0	1
87	326	324	323	334	25	25	0	1	88	334	323	322	335	25	25	0	1
89	335	322	321	338	25	25	0	1	90	324	318	317	323	25	25	0	1
91	323	317	315	322	25	25	0	1	92	322	315	307	321	25	25	0	1
93	318	306	305	317	25	25	0	1	94	317	305	304	315	25	25	0	1
95	315	304	303	307	25	25	0	1	96	306	302	299	305	25	25	0	1
97	305	299	298	304	25	25	0	1	98	304	298	297	303	25	25	0	1
99	302	291	292	299	25	25	0	1	100	299	292	293	298	25	25	0	1
101	298	293	295	297	25	25	0	1	102	301	297	295	296	25	25	0	1
103	307	303	301	308	25	25	0	1	104	308	319	321	307	25	25	0	1
105	319	339	338	321	25	25	0	1	106	351	344	345	352	25	25	0	1
107	352	345	346	362	25	25	0	1	108	344	340	341	345	25	25	0	1
109	345	341	342	346	25	25	0	1	110	362	369	367	352	25	25	0	1
111	352	367	365	351	25	25	0	1	112	351	365	364	350	25	25	0	1
113	350	364	366	349	25	25	0	1	114	349	366	368	348	25	25	0	1
115	348	368	370	347	25	25	0	1	116	369	378	377	368	25	25	0	1
117	367	377	376	365	25	25	0	1	118	365	376	375	364	25	25	0	1
119	364	375	374	366	25	25	0	1	120	366	374	373	368	25	25	0	1
121	368	373	372	370	25	25	0	1	122	420	419	414	415	25	25	0	1
123	415	414	405	406	25	25	0	1	124	419	418	413	414	25	25	0	1
125	414	413	404	405	25	25	0	1	126	418	417	412	413	25	25	0	1
127	413	412	403	404	25	25	0	1	128	403	402	401	404	25	25	0	1
129	404	401	400	405	25	25	0	1	130	405	400	399	406	25	25	0	1
131	402	394	395	401	25	25	0	1	132	401	395	396	400	25	25	0	1
133	400	396	397	399	25	25	0	1	134	433	436	435	432	25	25	0	1
135	432	435	434	431	25	25	0	1	136	436	444	443	435	25	25	0	1
137	435	443	442	434	25	25	0	1	138	444	446	447	443	25	25	0	1
139	443	447	448	442	25	25	0	1	140	446	451	450	447	25	25	0	1
141	447	450	449	448	25	25	0	1	142	525	524	512	511	25	25	0	1
143	524	523	513	512	25	25	0	1	144	523	522	514	513	25	25	0	1
145	522	521	515	514	25	25	0	1	146	521	520	516	515	25	25	0	1
147	520	519	508	516	25	25	0	1	148	519	518	507	508	25	25	0	1
149	517	506	507	518	25	25	0	1	150	490	491	507	506	25	25	0	1
151	491	492	508	507	25	25	0	1	152	492	493	505	508	25	25	0	1

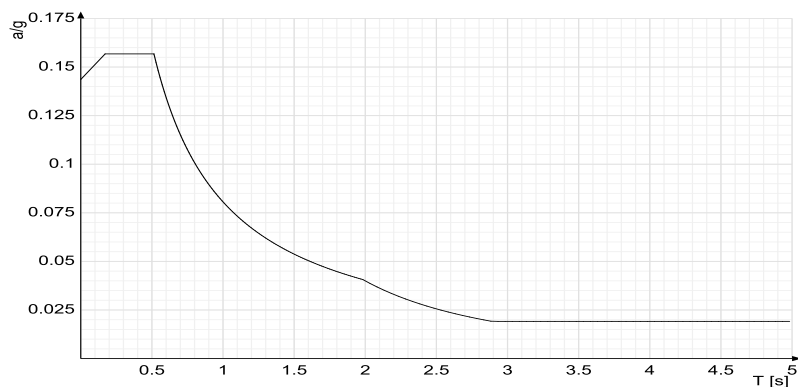
In.	Nodo I	Nodo J	Nodo L	Nodo K	Sp.mem.	Sp.fless.	Var.term.	Mat.	In.	Nodo I	Nodo J	Nodo L	Nodo K	Sp.mem.	Sp.fless.	Var.term.	Mat.
								Ind.									Ind.
153	493	494	504	505	25	25	0	1	154	494	495	503	504	25	25	0	1
155	495	496	502	503	25	25	0	1	156	496	497	501	502	25	25	0	1
157	497	496	480	479	25	25	0	1	158	496	495	481	480	25	25	0	1
159	495	494	482	481	25	25	0	1	160	494	493	483	482	25	25	0	1
161	493	492	484	483	25	25	0	1	162	492	491	485	484	25	25	0	1
163	490	486	485	491	25	25	0	1	164	467	468	485	486	25	25	0	1
165	468	469	484	485	25	25	0	1	166	469	470	483	484	25	25	0	1
167	470	471	482	483	25	25	0	1	168	471	472	481	482	25	25	0	1
169	472	473	480	481	25	25	0	1	170	473	474	479	480	25	25	0	1
171	474	475	478	479	25	25	0	1	172	475	476	487	478	25	25	0	1
173	477	488	487	476	25	25	0	1	174	488	500	499	487	25	25	0	1
175	500	509	510	499	25	25	0	1	176	527	526	510	509	25	25	0	1
177	526	525	511	510	25	25	0	1	178	497	479	478	489	25	25	0	1
179	478	487	499	489	25	25	0	1	180	499	501	497	489	25	25	0	1
181	499	510	511	501	25	25	0	1	182	511	512	502	501	25	25	0	1
183	512	513	503	502	25	25	0	1	184	513	514	504	503	25	25	0	1
185	514	515	505	504	25	25	0	1	186	515	516	508	505	25	25	0	1
187	34	33	79	80	40	40	0	1	188	80	79	108	109	40	40	0	1
189	33	32	78	79	40	40	0	1	190	79	78	107	108	40	40	0	1
191	32	31	77	78	40	40	0	1	192	78	77	106	107	40	40	0	1
193	31	30	76	77	40	40	0	1	194	77	76	105	106	40	40	0	1
195	109	108	134	135	40	40	0	1	196	135	134	169	170	40	40	0	1
197	108	107	133	134	40	40	0	1	198	134	133	168	169	40	40	0	1
199	107	106	132	133	40	40	0	1	200	133	132	167	168	40	40	0	1
201	106	105	131	132	40	40	0	1	202	132	131	166	167	40	40	0	1
203	119	113	111	117	25	25	0	1	204	117	111	110	116	25	25	0	1
205	116	110	109	114	25	25	0	1	206	113	100	101	111	25	25	0	1
207	111	101	102	110	25	25	0	1	208	110	102	103	109	25	25	0	1
209	100	95	93	101	25	25	0	1	210	101	93	97	102	25	25	0	1
211	102	97	98	103	25	25	0	1	212	93	92	91	97	25	25	0	1
213	97	91	90	98	25	25	0	1	214	116	114	121	122	25	25	0	1
215	73	72	56	53	50	50	0	1	216	72	71	57	56	50	50	0	1
217	71	70	55	57	50	50	0	1	218	70	69	54	55	50	50	0	1
219	69	68	52	54	50	50	0	1	220	68	67	50	52	50	50	0	1
221	66	51	50	67	50	50	0	1	222	51	37	28	50	50	50	0	1
223	37	23	17	28	50	50	0	1	224	23	2	3	17	50	50	0	1
225	3	4	28	17	50	50	0	1	226	4	5	15	28	50	50	0	1
227	5	6	16	15	50	50	0	1	228	6	7	13	16	50	50	0	1
229	7	8	14	13	50	50	0	1	230	8	9	20	14	50	50	0	1
231	9	10	19	20	50	50	0	1	232	11	18	19	10	50	50	0	1
233	35	34	19	18	50	50	0	1	234	34	33	20	19	50	50	0	1
235	33	32	25	20	50	50	0	1	236	32	31	26	25	50	50	0	1
237	31	30	27	26	50	50	0	1	238	30	31	39	38	50	50	0	1
239	31	32	40	39	50	50	0	1	240	32	33	42	40	50	50	0	1
241	33	34	48	42	50	50	0	1	242	35	49	48	34	50	50	0	1
243	75	74	48	49	50	50	0	1	244	74	73	53	48	50	50	0	1
245	44	38	39	45	50	50	0	1	246	45	57	55	44	50	50	0	1
247	46	40	42	47	50	50	0	1	248	42	48	53	47	50	50	0	1
249	53	56	46	47	50	50	0	1	250	45	39	40	46	50	50	0	1
251	46	56	57	45	50	50	0	1	252	22	13	14	21	50	50	0	1
253	14	20	25	21	50	50	0	1	254	25	26	22	21	50	50	0	1
255	43	54	52	41	50	50	0	1	256	52	50	28	41	50	50	0	1
257	28	29	43	41	50	50	0	1	258	28	15	16	29	50	50	0	1
259	27	29	16	24	50	50	0	1	260	16	13	22	24	50	50	0	1
261	22	26	27	24	50	50	0	1	262	44	55	54	43	50	50	0	1
263	38	44	43	29	50	50	0	1	264	29	27	30	38	50	50	0	1
265	153	154	158	159	25	25	0	1	266	155	157	158	154	25	25	0	1
267	157	166	164	158	25	25	0	1	268	166	178	176	164	25	25	0	1
269	178	185	183	176	25	25	0	1	270	198	197	183	185	25	25	0	1
271	197	196	182	183	25	25	0	1	272	196	195	181	182	25	25	0	1
273	195	194	184	181	25	25	0	1	274	194	180	177	184	25	25	0	1
275	180	172	171	177	25	25	0	1	276	172	162	161	171	25	25	0	1
277	150	151	161	162	25	25	0	1	278	151	152	160	161	25	25	0	1
279	152	153	159	160	25	25	0	1	280	181	184	177	175	25	25	0	1
281	175	177	171	165	25	25	0	1	282	165	171	161	160	25	25	0	1
283	160	159	163	165	25	25	0	1	284	159	158	164	163	25	25	0	1
285	165	163	174	175	25	25	0	1	286	163	164	176	174	25	25	0	1
287	175	174	182	181	25	25	0	1	288	174	176	183	182	25	25	0	1
289	89	144	145	94	20	20	0	1	290	94	145	146	99	20	20	0	1
291	99	146	147	112	20	20	0	1	292	112	147	148	118	20	20	0	1
293	118	148	149	120	20	20	0	1	294	144	199	200	145	20	20	0	1
295	145	200	201	146	20	20	0	1	296	146	201	202	147	20	20	0	1
297	147	202	203	148	20	20	0	1	298	148	203	204	149	20	20	0	1
299	199	218	219	200	20	20	0	1	300	200	219	220	201	20	20	0	1
301	201	220	221	202	20	20	0	1	302	202	221	222	203	20	20	0	1
303	203	222	223	204	20	20	0	1	304	218	224	229	219	20	20	0	1
305	219	229	234	220	20	20	0	1	306	220	234	246	221	20	20	0	1
307	221	246	251	222	20	20	0	1	308	222	251	253	223	20	20	0	1
309	264	263	276	277	30	30	0	1	310	277	276	289	290	30	30	0	1
311	290	289	332	333	30	30	0	1	312	263	262	275	276	30	30	0	1
313	276	275	288	289	30	30	0	1	314	289	288	331	332	30	30	0	1
315	262	261	274	275	30	30	0	1	316	275	274	287	288	30	30	0	1
317	288	287	330	331	30	30	0	1	318	261	260	273	274	30	30	0	1
319	274	273	286	287	30	30	0	1	320	287	286	329	330	30	30	0	1
321	260	259	272	273	30	30	0	1	322	273	272	285	286	30	30	0	1
323	286	285	328	329	30	30	0	1	324	259	258	271	272	30	30	0	1
325	272	271	284	285	30	30	0	1	326	285	284	327	328	30	30	0	1
327	187	211	212	188	30	30	0	1	328	188	212	213	189	30	30	0	1
329	189	213	214	190	30	30	0	1	330	190	214	215	191	30	30	0	1
331	191	215	216	192	30	30	0	1	332	192	216	217	193	30	30	0	1
333	211	258	259	212	30	30	0	1	334	212	259	260	213	30	30	0	

Sisma X SLV



Ind.vertice	T	a/g	Ind.vertice	T	a/g	Ind.vertice	T	a/g	Ind.vertice	T	a/g
1	0	0.144	2	0.171	0.157	3	0.514	0.157	4	0.529	0.152
5	0.543	0.148	6	0.558	0.144	7	0.572	0.141	8	0.587	0.137
9	0.602	0.134	10	0.616	0.131	11	0.631	0.128	12	0.645	0.125
13	0.66	0.122	14	0.674	0.12	15	0.689	0.117	16	0.703	0.115
17	0.718	0.112	18	0.732	0.11	19	0.747	0.108	20	0.761	0.106
21	0.776	0.104	22	0.791	0.102	23	0.805	0.1	24	0.82	0.098
25	0.834	0.097	26	0.849	0.095	27	0.863	0.093	28	0.878	0.092
29	0.892	0.09	30	0.907	0.089	31	0.921	0.087	32	0.936	0.086
33	0.951	0.085	34	0.965	0.084	35	0.98	0.082	36	0.994	0.081
37	1.009	0.08	38	1.023	0.079	39	1.038	0.078	40	1.052	0.077
41	1.067	0.076	42	1.081	0.075	43	1.096	0.074	44	1.11	0.073
45	1.125	0.072	46	1.14	0.071	47	1.154	0.07	48	1.169	0.069
49	1.183	0.068	50	1.198	0.067	51	1.212	0.067	52	1.227	0.066
53	1.241	0.065	54	1.256	0.064	55	1.27	0.063	56	1.285	0.063
57	1.299	0.062	58	1.314	0.061	59	1.329	0.061	60	1.343	0.06
61	1.358	0.059	62	1.372	0.059	63	1.387	0.058	64	1.401	0.058
65	1.416	0.057	66	1.43	0.056	67	1.445	0.056	68	1.459	0.055
69	1.474	0.055	70	1.489	0.054	71	1.503	0.054	72	1.518	0.053
73	1.532	0.053	74	1.547	0.052	75	1.561	0.052	76	1.576	0.051
77	1.59	0.051	78	1.605	0.05	79	1.619	0.05	80	1.634	0.049
81	1.648	0.049	82	1.663	0.048	83	1.678	0.048	84	1.692	0.048
85	1.707	0.047	86	1.721	0.047	87	1.736	0.046	88	1.75	0.046
89	1.765	0.046	90	1.779	0.045	91	1.794	0.045	92	1.808	0.045
93	1.823	0.044	94	1.838	0.044	95	1.852	0.044	96	1.867	0.043
97	1.881	0.043	98	1.896	0.043	99	1.91	0.042	100	1.925	0.042
101	1.939	0.042	102	1.954	0.041	103	1.968	0.041	104	1.983	0.041
105	2.033	0.039	106	2.083	0.037	107	2.133	0.035	108	2.183	0.034
109	2.233	0.032	110	2.283	0.031	111	2.333	0.029	112	2.383	0.028
113	2.433	0.027	114	2.483	0.026	115	2.533	0.025	116	2.583	0.024
117	2.633	0.023	118	2.683	0.022	119	2.733	0.021	120	2.783	0.021
121	2.833	0.02	122	2.883	0.019	123	2.933	0.019	124	2.983	0.019
125	3.033	0.019	126	3.083	0.019	127	3.133	0.019	128	3.183	0.019
129	3.233	0.019	130	3.283	0.019	131	3.333	0.019	132	3.383	0.019
133	3.433	0.019	134	3.483	0.019	135	3.533	0.019	136	3.583	0.019
137	3.633	0.019	138	3.683	0.019	139	3.733	0.019	140	3.783	0.019
141	3.833	0.019	142	3.883	0.019	143	3.933	0.019	144	3.983	0.019
145	4.033	0.019	146	4.083	0.019	147	4.133	0.019	148	4.183	0.019
149	4.233	0.019	150	4.283	0.019	151	4.333	0.019	152	4.383	0.019
153	4.433	0.019	154	4.483	0.019	155	4.533	0.019	156	4.583	0.019
157	4.633	0.019	158	4.683	0.019	159	4.733	0.019	160	4.783	0.019
161	4.833	0.019	162	4.883	0.019	163	4.933	0.019	164	4.983	0.019

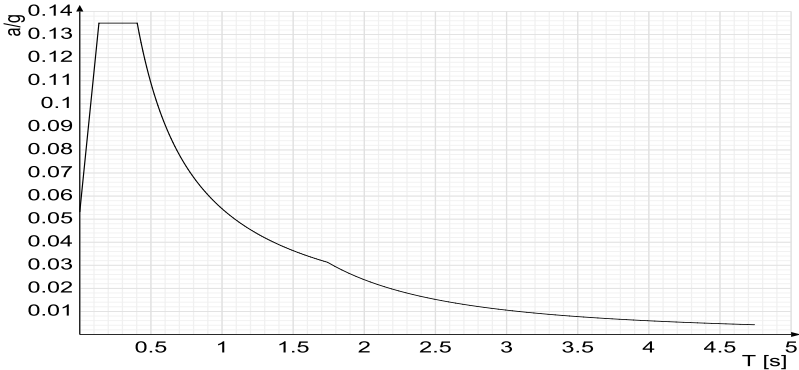
Sisma Y SLV



Ind.vertice	T	a/g	Ind.vertice	T	a/g	Ind.vertice	T	a/g	Ind.vertice	T	a/g
1	0	0.144	2	0.171	0.157	3	0.514	0.157	4	0.529	0.152
5	0.543	0.148	6	0.558	0.144	7	0.572	0.141	8	0.587	0.137
9	0.602	0.134	10	0.616	0.131	11	0.631	0.128	12	0.645	0.125
13	0.66	0.122	14	0.674	0.12	15	0.689	0.117	16	0.703	0.115
17	0.718	0.112	18	0.732	0.11	19	0.747	0.108	20	0.761	0.106
21	0.776	0.104	22	0.791	0.102	23	0.805	0.1	24	0.82	0.098
25	0.834	0.097	26	0.849	0.095	27	0.863	0.093	28	0.878	0.092
29	0.892	0.09	30	0.907	0.089	31	0.921	0.087	32	0.936	0.086
33	0.951	0.085	34	0.965	0.084	35	0.98	0.082	36	0.994	0.081
37	1.009	0.08	38	1.023	0.079	39	1.038	0.078	40	1.052	0.077
41	1.067	0.076	42	1.081	0.075	43	1.096	0.074	44	1.11	0.073
45	1.125	0.072	46	1.14	0.071	47	1.154	0.07	48	1.169	0.069
49	1.183	0.068	50	1.198	0.067	51	1.212	0.067	52	1.227	0.066
53	1.241	0.065	54	1.256	0.064	55	1.27	0.063	56	1.285	0.063
57	1.299	0.062	58	1.314	0.061	59	1.329	0.061	60	1.343	0.06
61	1.358	0.059	62	1.372	0.059	63	1.387	0.058	64	1.401	0.058
65	1.416	0.057	66	1.43	0.056	67	1.445	0.056	68	1.459	0.055
69	1.474	0.055	70	1.489	0.054	71	1.503	0.054	72	1.518	0.053
73	1.532	0.053	74	1.547	0.052	75	1.561	0.052	76	1.576	0.051
77	1.59	0.051	78	1.605	0.05	79	1.619	0.05	80	1.634	0.049
81	1.648	0.049	82	1.663	0.048	83	1.678	0.048	84	1.692	0.048
85	1.707	0.047	86	1.721	0.047	87	1.736	0.046	88	1.75	0.046
89	1.765	0.046	90	1.779	0.045	91	1.794	0.045	92	1.808	0.045
93	1.823	0.044	94	1.838	0.044	95	1.852	0.044	96	1.867	0.043
97	1.881	0.043	98	1.896	0.043	99	1.91	0.042	100	1.925	0.042
101	1.939	0.042	102	1.954	0.041	103	1.968	0.041	104	1.983	0.041
105	2.033	0.039	106	2.083	0.037	107	2.133	0.035	108	2.183	0.034

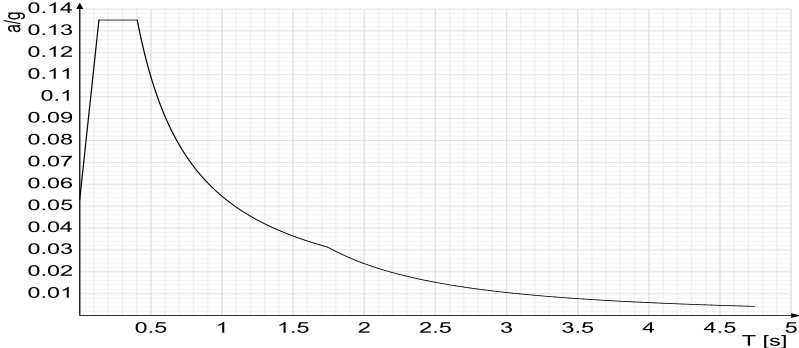
Ind.vertice	T	a/g	Ind.vertice	T	a/g	Ind.vertice	T	a/g	Ind.vertice	T	a/g
109	2.233	0.032	110	2.283	0.031	111	2.333	0.029	112	2.383	0.028
113	2.433	0.027	114	2.483	0.026	115	2.533	0.025	116	2.583	0.024
117	2.633	0.023	118	2.683	0.022	119	2.733	0.021	120	2.783	0.021
121	2.833	0.02	122	2.883	0.019	123	2.933	0.019	124	2.983	0.019
125	3.033	0.019	126	3.083	0.019	127	3.133	0.019	128	3.183	0.019
129	3.233	0.019	130	3.283	0.019	131	3.333	0.019	132	3.383	0.019
133	3.433	0.019	134	3.483	0.019	135	3.533	0.019	136	3.583	0.019
137	3.633	0.019	138	3.683	0.019	139	3.733	0.019	140	3.783	0.019
141	3.833	0.019	142	3.883	0.019	143	3.933	0.019	144	3.983	0.019
145	4.033	0.019	146	4.083	0.019	147	4.133	0.019	148	4.183	0.019
149	4.233	0.019	150	4.283	0.019	151	4.333	0.019	152	4.383	0.019
153	4.433	0.019	154	4.483	0.019	155	4.533	0.019	156	4.583	0.019
157	4.633	0.019	158	4.683	0.019	159	4.733	0.019	160	4.783	0.019
161	4.833	0.019	162	4.883	0.019	163	4.933	0.019	164	4.983	0.019

Sisma X SLO



Ind.vertice	T	a/g	Ind.vertice	T	a/g	Ind.vertice	T	a/g	Ind.vertice	T	a/g
1	0	0.053	2	0.135	0.135	3	0.404	0.135	4	0.417	0.131
5	0.43	0.127	6	0.444	0.123	7	0.457	0.119	8	0.47	0.116
9	0.483	0.113	10	0.497	0.11	11	0.51	0.107	12	0.523	0.104
13	0.536	0.102	14	0.55	0.099	15	0.563	0.097	16	0.576	0.095
17	0.589	0.092	18	0.603	0.09	19	0.616	0.089	20	0.629	0.087
21	0.642	0.085	22	0.656	0.083	23	0.669	0.082	24	0.682	0.08
25	0.695	0.078	26	0.709	0.077	27	0.722	0.076	28	0.735	0.074
29	0.748	0.073	30	0.762	0.072	31	0.775	0.07	32	0.788	0.069
33	0.801	0.068	34	0.814	0.067	35	0.828	0.066	36	0.841	0.065
37	0.854	0.064	38	0.867	0.063	39	0.881	0.062	40	0.894	0.061
41	0.907	0.06	42	0.92	0.059	43	0.934	0.058	44	0.947	0.058
45	0.96	0.057	46	0.973	0.056	47	0.987	0.055	48	1	0.055
49	1.013	0.054	50	1.026	0.053	51	1.04	0.052	52	1.053	0.052
53	1.066	0.051	54	1.079	0.05	55	1.093	0.05	56	1.106	0.049
57	1.119	0.049	58	1.132	0.048	59	1.146	0.048	60	1.159	0.047
61	1.172	0.047	62	1.185	0.046	63	1.199	0.045	64	1.212	0.045
65	1.225	0.044	66	1.238	0.044	67	1.252	0.044	68	1.265	0.043
69	1.278	0.043	70	1.291	0.042	71	1.305	0.042	72	1.318	0.041
73	1.331	0.041	74	1.344	0.041	75	1.358	0.04	76	1.371	0.04
77	1.384	0.039	78	1.397	0.039	79	1.411	0.039	80	1.424	0.038
81	1.437	0.038	82	1.45	0.038	83	1.464	0.037	84	1.477	0.037
85	1.49	0.037	86	1.503	0.036	87	1.517	0.036	88	1.53	0.036
89	1.543	0.035	90	1.556	0.035	91	1.57	0.035	92	1.583	0.034
93	1.596	0.034	94	1.609	0.034	95	1.623	0.034	96	1.636	0.033
97	1.649	0.033	98	1.662	0.033	99	1.676	0.033	100	1.689	0.032
101	1.702	0.032	102	1.715	0.032	103	1.729	0.032	104	1.742	0.031
105	1.792	0.03	106	1.842	0.028	107	1.892	0.027	108	1.942	0.025
109	1.992	0.024	110	2.042	0.023	111	2.092	0.022	112	2.142	0.021
113	2.192	0.02	114	2.242	0.019	115	2.292	0.018	116	2.342	0.017
117	2.392	0.017	118	2.442	0.016	119	2.492	0.015	120	2.542	0.015
121	2.592	0.014	122	2.642	0.014	123	2.692	0.013	124	2.742	0.013
125	2.792	0.012	126	2.842	0.012	127	2.892	0.011	128	2.942	0.011
129	2.992	0.011	130	3.042	0.01	131	3.092	0.01	132	3.142	0.01
133	3.192	0.009	134	3.242	0.009	135	3.292	0.009	136	3.342	0.009
137	3.392	0.008	138	3.442	0.008	139	3.492	0.008	140	3.542	0.008
141	3.592	0.007	142	3.642	0.007	143	3.692	0.007	144	3.742	0.007
145	3.792	0.007	146	3.842	0.006	147	3.892	0.006	148	3.942	0.006
149	3.992	0.006	150	4.042	0.006	151	4.092	0.006	152	4.142	0.006
153	4.192	0.005	154	4.242	0.005	155	4.292	0.005	156	4.342	0.005
157	4.392	0.005	158	4.442	0.005	159	4.492	0.005	160	4.542	0.005
161	4.592	0.005	162	4.642	0.004	163	4.692	0.004	164	4.742	0.004

Sisma Y SLO



Ind.vertice	T	a/g	Ind.vertice	T	a/g	Ind.vertice	T	a/g	Ind.vertice	T	a/g
1	0	0.053	2	0.135	0.135	3	0.404	0.135	4	0.417	0.131
5	0.43	0.127	6	0.444	0.123	7	0.457	0.119	8	0.47	0.116
9	0.483	0.113	10	0.497	0.11	11	0.51	0.107	12	0.523	0.104
13	0.536	0.102	14	0.55	0.099	15	0.563	0.097	16	0.576	0.095
17	0.589	0.092	18	0.603	0.09	19	0.616	0.089	20	0.629	0.087
21	0.642	0.085	22	0.656	0.083	23	0.669	0.082	24	0.682	0.08
25	0.695	0.078	26	0.709	0.077	27	0.722	0.076	28	0.735	0.074
29	0.748	0.073	30	0.762	0.072	31	0.775	0.07	32	0.788	0.069
33	0.801	0.068	34	0.814	0.067	35	0.828	0.066	36	0.841	0.065
37	0.854	0.064	38	0.867	0.063	39	0.881	0.062	40	0.894	0.061
41	0.907	0.06	42	0.92	0.059	43	0.934	0.058	44	0.947	0.058
45	0.96	0.057	46	0.973	0.056	47	0.987	0.055	48	1	0.055

Ind.vertice	T	a/g	Ind.vertice	T	a/g	Ind.vertice	T	a/g	Ind.vertice	T	a/g
49	1.013	0.054	50	1.026	0.053	51	1.04	0.052	52	1.053	0.052
53	1.066	0.051	54	1.079	0.05	55	1.093	0.05	56	1.106	0.049
57	1.119	0.049	58	1.132	0.048	59	1.146	0.048	60	1.159	0.047
61	1.172	0.047	62	1.185	0.046	63	1.199	0.045	64	1.212	0.045
65	1.225	0.044	66	1.238	0.044	67	1.252	0.044	68	1.265	0.043
69	1.278	0.043	70	1.291	0.042	71	1.305	0.042	72	1.318	0.041
73	1.331	0.041	74	1.344	0.041	75	1.358	0.04	76	1.371	0.04
77	1.384	0.039	78	1.397	0.039	79	1.411	0.039	80	1.424	0.038
81	1.437	0.038	82	1.45	0.038	83	1.464	0.037	84	1.477	0.037
85	1.49	0.037	86	1.503	0.036	87	1.517	0.036	88	1.53	0.036
89	1.543	0.035	90	1.556	0.035	91	1.57	0.035	92	1.583	0.034
93	1.596	0.034	94	1.609	0.034	95	1.623	0.034	96	1.636	0.033
97	1.649	0.033	98	1.662	0.033	99	1.676	0.033	100	1.689	0.032
101	1.702	0.032	102	1.715	0.032	103	1.729	0.032	104	1.742	0.031
105	1.792	0.03	106	1.842	0.028	107	1.892	0.027	108	1.942	0.025
109	1.992	0.024	110	2.042	0.023	111	2.092	0.022	112	2.142	0.021
113	2.192	0.02	114	2.242	0.019	115	2.292	0.018	116	2.342	0.017
117	2.392	0.017	118	2.442	0.016	119	2.492	0.015	120	2.542	0.015
121	2.592	0.014	122	2.642	0.014	123	2.692	0.013	124	2.742	0.013
125	2.792	0.012	126	2.842	0.012	127	2.892	0.011	128	2.942	0.011
129	2.992	0.011	130	3.042	0.01	131	3.092	0.01	132	3.142	0.01
133	3.192	0.009	134	3.242	0.009	135	3.292	0.009	136	3.342	0.009
137	3.392	0.008	138	3.442	0.008	139	3.492	0.008	140	3.542	0.008
141	3.592	0.007	142	3.642	0.007	143	3.692	0.007	144	3.742	0.007
145	3.792	0.007	146	3.842	0.006	147	3.892	0.006	148	3.942	0.006
149	3.992	0.006	150	4.042	0.006	151	4.092	0.006	152	4.142	0.006
153	4.192	0.005	154	4.242	0.005	155	4.292	0.005	156	4.342	0.005
157	4.392	0.005	158	4.442	0.005	159	4.492	0.005	160	4.542	0.005
161	4.592	0.005	162	4.642	0.004	163	4.692	0.004	164	4.742	0.004

7 Risultati numerici

7.1 Spostamenti nodali

7.1.1 Spostamenti nodali estremi

Nodo: nodo interessato dallo spostamento.

Ind.: indice del nodo.

Cont.: condizione o combinazione di carico a cui si riferisce lo spostamento.

N.br.: nome breve della condizione o combinazione di carico.

Spostamento: spostamento traslazionale del nodo.

ux: componente X dello spostamento del nodo. [cm]

uy: componente Y dello spostamento del nodo. [cm]

uz: componente Z dello spostamento del nodo. [cm]

Rotazione: spostamento rotazionale del nodo.

rx: componente X della rotazione del nodo. [deg]

ry: componente Y della rotazione del nodo. [deg]

rz: componente Z della rotazione del nodo. [deg]

Spostamenti nodali con componente Ux minima

Vengono mostrati i soli 5 nodi più sollecitati.

Nodo	Cont.	Spostamento			Rotazione		
Ind.	N.br.	ux	uy	uz	rx	ry	rz
467	SLV FO 4	-1.92755	2.91561	-0.66764	-0.1793	-0.0941	-0.0268
468	SLV FO 4	-1.92752	2.90473	-0.53511	-0.1787	-0.0934	-0.027
469	SLV FO 4	-1.92737	2.90104	-0.40542	-0.177	-0.0897	-0.0267
470	SLV FO 4	-1.92718	2.90409	-0.2841	-0.1749	-0.0825	-0.0273
471	SLV FO 4	-1.92691	2.9128	-0.17587	-0.1743	-0.0731	-0.0263

Spostamenti nodali con componente Ux massima

Vengono mostrati i soli 5 nodi più sollecitati.

Nodo	Cont.	Spostamento			Rotazione		
Ind.	N.br.	ux	uy	uz	rx	ry	rz
477	SLV FO 13	2.37582	-0.43174	-0.98729	0.0312	0.0952	0.0416
476	SLV FO 13	2.3758	-0.43038	-0.85376	0.0323	0.0936	0.0416
475	SLV FO 13	2.37572	-0.42993	-0.72559	0.0339	0.0881	0.0416
474	SLV FO 13	2.37557	-0.43057	-0.60726	0.034	0.0822	0.0414
473	SLV FO 13	2.37546	-0.43289	-0.50053	0.0333	0.0801	0.0417

Spostamenti nodali con componente Uy minima

Vengono mostrati i soli 5 nodi più sollecitati.

Nodo	Cont.	Spostamento			Rotazione		
Ind.	N.br.	ux	uy	uz	rx	ry	rz
477	SLV FO 10	0.87235	-3.96197	-1.17762	0.2075	0.0451	-0.0179
488	SLV FO 10	0.88123	-3.96195	-0.89726	0.2061	0.046	-0.0177
500	SLV FO 10	0.89386	-3.96191	-0.6189	0.2023	0.0467	-0.0179
509	SLV FO 10	0.90972	-3.96188	-0.34983	0.199	0.046	-0.0177
527	SLV FO 10	0.92815	-3.96187	-0.08286	0.1979	0.0453	-0.0179

Spostamenti nodali con componente Uy massima

Vengono mostrati i soli 5 nodi più sollecitati.

Nodo	Cont.	Spostamento			Rotazione		
Ind.	N.br.	ux	uy	uz	rx	ry	rz
527	SLV FO 7	-0.56348	6.55419	-1.42361	-0.3606	-0.0034	0.0325
509	SLV FO 7	-0.52377	6.55417	-0.92319	-0.3596	-0.0028	0.0326
500	SLV FO 7	-0.48664	6.55415	-0.42737	-0.3563	-0.0021	0.0325
488	SLV FO 7	-0.45278	6.55413	0.06714	-0.3526	-0.0029	0.0325
477	SLV FO 7	-0.42268	6.55412	0.5555	-0.3511	-0.0038	0.0326

Spostamenti nodali con componente Uz minima

Vengono mostrati i soli 5 nodi più sollecitati.

Nodo	Cont.	Spostamento			Rotazione		
Ind.	N.br.	ux	uy	uz	rx	ry	rz
517	SLV FO 8	-0.46521	6.28074	-1.76891	-0.3627	-0.046	-0.0064
527	SLV FO 11	0.60799	6.35167	-1.76404	-0.3468	0.0406	0.0467
526	SLV FO 11	0.60798	6.31264	-1.70668	-0.3474	0.0397	0.0467
518	SLV FO 8	-0.46521	6.2718	-1.70441	-0.3627	-0.0458	-0.0064
525	SLV FO 11	0.60799	6.27342	-1.65254	-0.3478	0.0361	0.0466

Spostamenti nodali con componente Uz massima

Vengono mostrati i soli 5 nodi più sollecitati.

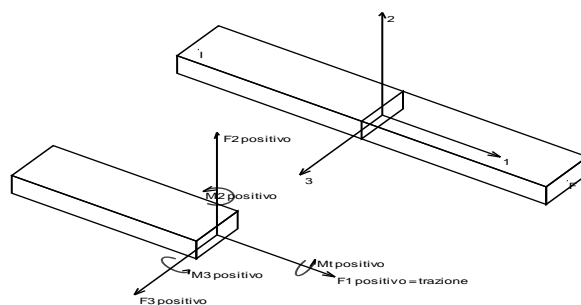
Nodo	Cont.	Spostamento			Rotazione		
Ind.	N.br.	ux	uy	uz	rx	ry	rz
477	Y SLV	-0.07888	4.55455	0.66101	-0.2463	-0.0025	0.0117
476	Y SLV	-0.07888	4.54553	0.65779	-0.2463	-0.0025	0.0117
475	Y SLV	-0.07888	4.53653	0.65466	-0.2464	-0.0024	0.0116
474	Y SLV	-0.07891	4.52758	0.65173	-0.2465	-0.0023	0.0117
473	Y SLV	-0.07896	4.51869	0.64907	-0.2467	-0.0021	0.0116

7.2.1 Convenzioni di segno aste

Le abbreviazioni relative alle sollecitazioni sugli elementi aste sono da intendersi:

- F1 (N): sforzo normale nell'asta;
- F2: sforzo di taglio agente nella direzione dell'asse locale 2;
- F3: sforzo di taglio agente nella direzione dell'asse locale 3;
- M1 (Mt): momento attorno all'asse locale 1; equivale al momento torcente;
- M2: momento attorno all'asse locale 2;
- M3: momento attorno all'asse locale 3.

7.2 Sollecitazioni aste



La convenzione sui segni per i parametri di sollecitazione delle aste è la seguente:

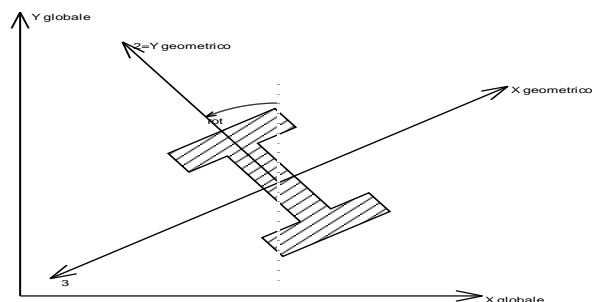
presa un'asta con nodo iniziale i e nodo finale f , asse 1 che va da i a f , assi 2 e 3 presi secondo quanto indicato nei paragrafi successivi relativi al sistema locale delle aste sezionando l'asta in un punto e considerando la sezione sinistra del punto in cui si è effettuato il taglio (sezione da cui esce il versore asse 1) i parametri di sollecitazione sono positivi se hanno verso e direzione concordi con il sistema di riferimento locale dell'asta 1, 2, 3 (per i momenti si adotta la regola della mano destra).

Il sistema è definito diversamente per tre categorie di aste, a seconda che siano originate da:

- aste verticali ad esempio pilastri e colonne;
- aste non verticali non di c.a., ad esempio travi di acciaio o legno;
- aste non verticali in c.a.: travi in c.a. di piano, falda o a quota generica.

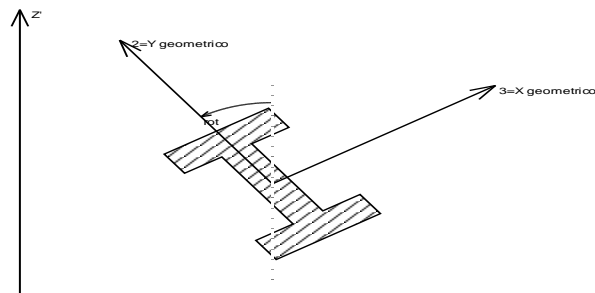
Nel seguito si indica con 1, 2 e 3 il sistema locale dell'asta che non sempre coincide con gli assi principali della sezione. Si ricorda che per assi principali si intendono gli assi rispetto a cui si ha il raggio di inerzia minimo e massimo. Gli assi 1, 2 e 3 rispettano la regola della mano destra.

Sistema locale aste verticali



Nella figura si considera l'asse 1 uscente dal foglio (l'osservatore guarda in direzione opposta a quella dell'asse 1).

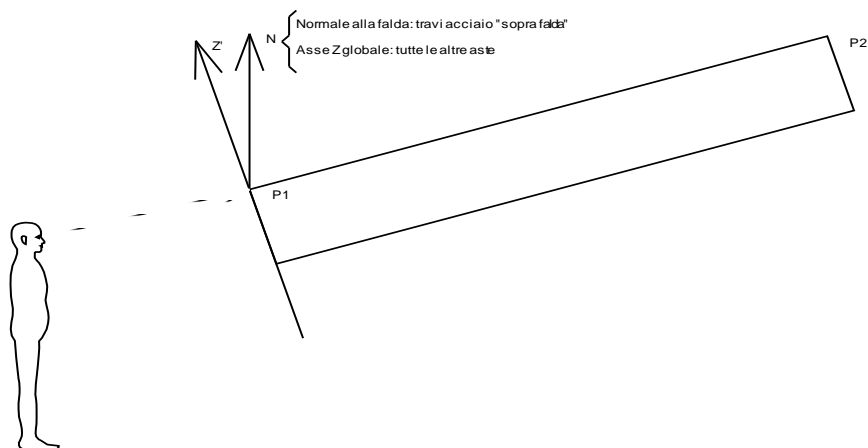
Sistema locale aste non verticali



Nella figura si considera l'asse 1 entrante nel foglio (l'osservatore guarda in direzione coincidente a quella dell'asse 1).

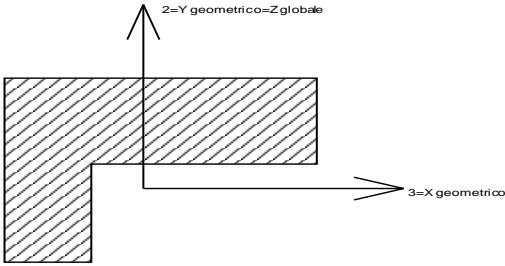
L'asse Z' è illustrato nella figura seguente dove:

- $P1$ è il punto di inserimento iniziale dell'asta;
- $P2$ è il punto di inserimento finale dell'asta;
- N è la normale al piano o falda di inserimento;



Z' è quindi l'intersezione tra il piano passante per $P1$, $P2$ contenente N e il piano della sezione iniziale dell'asta.

Sistema locale aste derivanti da travi in c.a.



Nella figura si considera l'asse 1 entrante nel foglio (l'osservatore guarda in direzione coincidente a quella dell'asse 1). L'asse 2 è sempre verticale e quindi coincidente con l'asse Z globale nonché con l'asse y geometrico. L'asse 3 coincide con l'asse x geometrico. Si sottolinea il fatto che gli assi 2 e 3 non corrispondono agli assi principali della sezione.

7.2.2 Sollecitazioni estreme aste

Asta: elemento asta a cui si riferiscono le sollecitazioni.

Ind.: indice dell'asta.

Cont.: contesto a cui si riferisce la sollecitazione

N.br.: nome breve della condizione o combinazione di carico.

Pos.: numero della sezione all'interno dell'asta (tra 1 e 31, dove 1 corrisponde alla sezione al nodo iniziale, 16 è la sezione in mezziera, 31 corrisponde alla sezione al nodo finale).

Posizione: posizione a cui si riferisce la sollecitazione dell'asta.

X: componente X della posizione a cui si riferisce la sollecitazione dell'asta. [cm]

Y: componente Y della posizione a cui si riferisce la sollecitazione dell'asta. [cm]

Z: componente Z della posizione a cui si riferisce la sollecitazione dell'asta. [cm]

Soll.traslazionale: componente traslazionale della sollecitazione dell'asta.

F1: componente F1 della sollecitazione dell'asta. [daN]

F2: componente F2 della sollecitazione dell'asta. [daN]

F3: componente F3 della sollecitazione dell'asta. [daN]

Soll.rotazionale: componente rotazionale della sollecitazione dell'asta.

M1: componente M1 della sollecitazione dell'asta. [daN*cm]

M2: componente M2 della sollecitazione dell'asta. [daN*cm]

M3: componente M3 della sollecitazione dell'asta. [daN*cm]

Sollecitazioni con sforzo normale (N) minimo

Vengono mostrate le sole 5 aste più sollecitate.

Asta	Cont.	Pos.	Posizione			Soll.traslazionale			Soll.rotazionale		
Ind.	N.br.		X	Y	Z	F1	F2	F3	M1	M2	M3
30	SLV FO 2	1	-209	-117	-307	-48225	548	889	-186	-218498	-97968
31	SLV FO 2	1	-209	-117	-135	-47513	548	889	-186	-65686	-118030
24	SLV FO 2	1	-209	-117	16	-40667	-1753	463	-657	-64039	-243187
25	SLV FO 2	1	-209	-117	197	-39921	-1753	403	61	21206	85274
43	SLV FO 8	1	-209	148	361	-35305	6675	-3624	1910	122861	-435911

Sollecitazioni con sforzo normale (N) massimo

Vengono mostrate le sole 5 aste più sollecitate.

Asta	Cont.	Pos.	Posizione			Soll.traslazionale			Soll.rotazionale		
Ind.	N.br.		X	Y	Z	F1	F2	F3	M1	M2	M3
2	SLU 17	31	-123	-82	444	19922	4970	437	3671	856249	-380395
4	SLV FO 11	1	-120	0	444	18552	2587	-3983	-28541	408375	-8765
30	X SLV	1	-209	-117	-307	16213	-370	-799	175	185039	-66217
31	X SLV	1	-209	-117	-135	16213	-370	-799	175	47326	12434
24	X SLV	1	-209	-117	16	14711	398	-491	356	78768	55275

Sollecitazioni con momento M2 minimo

Vengono mostrate le sole 5 aste più sollecitate.

Asta	Cont.	Pos.	Posizione			Soll.traslazionale			Soll.rotazionale		
Ind.	N.br.		X	Y	Z	F1	F2	F3	M1	M2	M3
3	SLV FO 10	1	-116	83	444	12145	-1656	6462	2469	-1103494	-110960
1	SLU 13	31	304	83	197	-10861	2240	-1742	-2136	-974833	35851
18	SLU 13	31	270	0	1033	4664	-10146	-1211	-51624	-530265	-386928
19	SLU 12	1	270	0	1033	4308	-2929	4375	2130	-441343	-283303
2	SLV FO 6	31	-123	-82	444	14859	2700	-1715	2094	-434804	-87531

Sollecitazioni con momento M2 massimo

Vengono mostrate le sole 5 aste più sollecitate.

Asta	Cont.	Pos.	Posizione			Soll.traslazionale			Soll.rotazionale		
Ind.	N.br.		X	Y	Z	F1	F2	F3	M1	M2	M3
2	SLV FO 11	31	-123	-82	444	11155	3508	2263	2713	1545411	-384346
3	SLV FO 7	1	-116	83	444	-19604	-1396	-7890	-6580	1380772	26145
6	SLV FO 12	31	-120	0	444	577	1001	6352	-43314	870717	94504
4	SLV FO 8	1	-120	0	444	13713	17735	-5941	-26941	580257	1377054
5	SLV FO 12	31	-60	0	444	-6280	-2993	329	14989	445903	317751

Sollecitazioni con momento M3 minimo

Vengono mostrate le sole 5 aste più sollecitate.

Asta	Cont.	Pos.	Posizione			Soll.traslazionale			Soll.rotazionale		
Ind.	N.br.		X	Y	Z	F1	F2	F3	M1	M2	M3
4	X SLV	1	-120	0	444	4123	-19591	543	-5624	-48090	-1799412
6	X SLV	1	-120	0	444	-5278	4366	570	-5969	92149	-1757142
7	SLV FO 8	1	-208	170	444	7863	-21172	-2859	-507	49726	-1693547
9	SLV FO 5	31	-209	-145	444	-1152	19647	-1098	-897	-78339	-1192862
5	X SLV	31	-60	0	444	-12692	13434	-277	1683	96606	-1169310

Sollecitazioni con momento M3 massimo

Vengono mostrate le sole 5 aste più sollecitate.

Asta	Cont.	Pos.	Posizione			Soll.traslazionale			Soll.rotazionale		
Ind.	N.br.		X	Y	Z	F1	F2	F3	M1	M2	M3
4	SLV FO 2	1	-120	0	444	-10296	36834	-900	16386	95785	3171437
6	SLV FO 2	31	-120	0	444	1520	-6646	719	6425	130228	3020875
8	SLV FO 2	31	-209	0	444	314	-16521	1500	-4353	52675	2497751
9	SLV FO 2	1	-209	0	444	-489	23141	-462	451	29526	2493578
5	SLV FO 2	31	-60	0	444	7876	-25107	1241	-2872	71274	2227684

7.3 Pressioni massime sul terreno

Ind.: nodo che interagisce col terreno.

Ind.: indice del nodo.

Pressione minima: situazione in cui si verifica la pressione minima nel nodo.

Cont.: nome breve della condizione o combinazione di carico a cui si riferisce la pressione minima.

uz: spostamento massimo verticale del nodo. [cm]

Valore: pressione minima sul terreno del nodo. [daN/cm²]

Pressione massima: situazione in cui si verifica la pressione massima nel nodo.

Cont.: nome breve della condizione o combinazione di carico a cui si riferisce la pressione massima.

uz: spostamento minimo verticale del nodo. [cm]

Valore: pressione massima sul terreno del nodo. [daN/cm²]

Compressione estrema massima -2.53783 al nodo di indice 75, di coordinate x = 334, y = 185, z = -307, nel contesto SLV fondazioni 16.

Spostamento estremo minimo -0.84594 al nodo di indice 75, di coordinate x = 334, y = 185, z = -307, nel contesto SLV fondazioni 16.

Spostamento estremo massimo 0.17089 al nodo di indice 2, di coordinate x = -354, y = -145, z = -307, nel contesto SLV fondazioni 15.

Nodo		Pressione minima			Pressione massima		
Ind.	Cont.	uz	Valore	Cont.	uz	Valore	
2	SLV FO 2	-0.58792	-1.76375	SLV FO 15	0.17089	0.51267	
3	SLV FO 2	-0.55631	-1.66894	SLV FO 15	0.09597	0.2879	
4	SLV FO 6	-0.54503	-1.63509	SLV FO 11	0.04474	0.13421	
5	SLV FO 6	-0.5354	-1.60619	SLV FO 11	0.01059	0.03176	
6	SLV FO 6	-0.52231	-1.56692	SLV FO 11	-0.02497	-0.07492	
7	SLV FO 10	-0.52094	-1.56283	SLV FO 7	-0.05314	-0.15943	
8	SLV FO 9	-0.55588	-1.66763	SLV FO 8	-0.0435	-0.13049	
9	SLV FO 9	-0.58955	-1.76866	SLV FO 8	-0.02725	-0.08174	
10	SLV FO 13	-0.63227	-1.89681	SLV FO 4	0.00874	0.02622	

Nodo	Pressione minima				Pressione massima			
	Ind.	Cont.	uz	Valore	Cont.	uz	Valore	
11		SLV FO 13	-0.70856	-2.12568	SLV FO 4	0.08568	0.25705	
13		SLV FO 10	-0.48304	-1.44912	SLV FO 7	-0.15039	-0.45116	
14		SLV FO 10	-0.51353	-1.5406	SLV FO 7	-0.14396	-0.43189	
15		SLV FO 6	-0.4743	-1.42289	SLV FO 11	-0.11504	-0.34513	
16		SLV FO 6	-0.46668	-1.40004	SLV FO 11	-0.15577	-0.46731	
17		SLV FO 2	-0.55716	-1.67147	SLV FO 15	0.0247	0.0741	
18		SLV FO 13	-0.72661	-2.17982	SLV FO 4	0.01743	0.05228	
19		SLV FO 13	-0.64351	-1.93052	SLV FO 4	-0.07	-0.21	
20		SLV FO 13	-0.54638	-1.63915	SLV FO 4	-0.15851	-0.47554	
21		SLU 13	-0.5045	-1.51351	SLV FO 7	-0.20123	-0.6037	
22		SLU 18	-0.49102	-1.47306	SLV FO 7	-0.21431	-0.64292	
23		SLV FO 1	-0.59063	-1.7719	SLV FO 16	0.07884	0.23652	
24		SLU 18	-0.48405	-1.45215	SLV FO 11	-0.22277	-0.6683	
25		SLU 13	-0.52621	-1.57864	SLV FO 3	-0.24427	-0.73281	
26		SLU 18	-0.51715	-1.55146	SLV FO 7	-0.27537	-0.82612	
27		SLU 18	-0.50638	-1.51915	SLV FO 11	-0.2834	-0.8502	
28		SLV FO 2	-0.51964	-1.55891	SLV FO 15	-0.10482	-0.31447	
29		SLU 18	-0.50446	-1.51338	SLV FO 15	-0.26577	-0.7973	
30		SLU 18	-0.52611	-1.57833	SLU 1	-0.31348	-0.94044	
31		SLU 18	-0.54316	-1.62948	SLU 1	-0.32881	-0.98644	
32		SLU 18	-0.55681	-1.67042	SLV FO 3	-0.27062	-0.81185	
33		SLV FO 13	-0.57999	-1.73997	SLV FO 4	-0.20871	-0.62613	
34		SLV FO 13	-0.64831	-1.94493	SLV FO 4	-0.14625	-0.43874	
35		SLV FO 13	-0.73709	-2.21126	SLV FO 4	-0.04856	-0.14569	
37		SLV FO 3	-0.62027	-1.86081	SLV FO 14	0.006	0.01799	
38		SLU 18	-0.53971	-1.61913	SLU 1	-0.32078	-0.96235	
39		SLU 18	-0.56777	-1.70332	SLU 1	-0.34327	-1.0298	
40		SLU 18	-0.58403	-1.75209	SLV FO 1	-0.28813	-0.86439	
41		SLV FO 3	-0.53692	-1.61076	SLV FO 14	-0.20291	-0.60872	
42		SLV FO 16	-0.60675	-1.82025	SLV FO 1	-0.23092	-0.69276	
43		SLU 18	-0.56654	-1.69962	SLV FO 9	-0.27776	-0.83328	
44		SLU 18	-0.57796	-1.73387	SLV FO 9	-0.30189	-0.90567	
45		SLU 18	-0.5938	-1.78141	SLV FO 5	-0.30382	-0.91145	
46		SLU 18	-0.6059	-1.81771	SLV FO 1	-0.28545	-0.85634	
47		SLV FO 16	-0.61715	-1.85145	SLV FO 1	-0.24414	-0.73242	
48		SLV FO 16	-0.70064	-2.10193	SLV FO 1	-0.16784	-0.50351	
49		SLV FO 16	-0.78051	-2.34153	SLV FO 1	-0.08352	-0.25055	
50		SLV FO 3	-0.65506	-1.96519	SLV FO 14	-0.09853	-0.29559	
51		SLV FO 3	-0.71998	-2.15993	SLV FO 14	-0.01177	-0.03531	
52		SLV FO 3	-0.623	-1.86901	SLV FO 14	-0.17888	-0.53664	
53		SLV FO 16	-0.67372	-2.02117	SLV FO 1	-0.21773	-0.65318	
54		SLV FO 7	-0.62388	-1.87165	SLV FO 10	-0.21441	-0.64324	
55		SLV FO 8	-0.61193	-1.83579	SLV FO 9	-0.24753	-0.74259	
56		SLV FO 12	-0.64201	-1.92602	SLV FO 5	-0.24744	-0.74232	
57		SLV FO 12	-0.62473	-1.8742	SLV FO 5	-0.25277	-0.75832	
66		SLV FO 3	-0.8246	-2.4738	SLV FO 14	-0.03009	-0.09028	
67		SLV FO 7	-0.80395	-2.41184	SLV FO 10	-0.0626	-0.18781	
68		SLV FO 7	-0.77897	-2.33691	SLV FO 10	-0.10554	-0.31663	
69		SLV FO 7	-0.74907	-2.24722	SLV FO 10	-0.14823	-0.44468	
70		SLV FO 8	-0.71933	-2.15798	SLV FO 9	-0.19063	-0.57189	
71		SLV FO 12	-0.72215	-2.16646	SLV FO 5	-0.20025	-0.60074	
72		SLV FO 12	-0.74215	-2.22644	SLV FO 5	-0.19239	-0.57717	
73		SLV FO 12	-0.75823	-2.27468	SLV FO 5	-0.18255	-0.54766	
74		SLV FO 16	-0.80145	-2.40436	SLV FO 1	-0.13664	-0.40993	
75		SLV FO 16	-0.84594	-2.53783	SLV FO 1	-0.08823	-0.26468	

7.4 Spostamenti di interpiano estremi

Nodo inferiore: nodo inferiore.
I.: numero dell'elemento nell'insieme che lo contiene.
Pos.: coordinate del nodo.
X: coordinata X. [cm]
Y: coordinata Y. [cm]
Z: coordinata Z. [cm]

Nodo superiore: nodo superiore.
I.: numero dell'elemento nell'insieme che lo contiene.
Pos.: coordinate del nodo.
Z: coordinata Z. [cm]

Spost. rel.: spostamento relativo. Il valore è adimensionale.
Comb.: combinazione.

N.b.: nome breve o compatto della combinazione di carico.
Spostamento inferiore: spostamento in pianta del nodo inferiore.

X: coordinata X. [cm]
Y: coordinata Y. [cm]

Spostamento superiore: spostamento in pianta del nodo superiore.
X: coordinata X. [cm]
Y: coordinata Y. [cm]

S.V.: si intende non verificato qualora lo spostamento relativo sia superiore al valore limite espresso nelle preferenze di analisi.

Questo capitolo mostra gli spostamenti estremi per ogni interpiano in ognuna delle combinazioni di carico.
Per spostamenti estremi si intendono i primi 5 spostamenti massimi tra tutti gli interpianti che condividono la stessa quota iniziale e la stessa quota finale.
limite SLO = 0,003333

Nodo inferiore				Nodo superiore		Spost. rel.	Comb.	Spostamento inferiore		Spostamento superiore		S.V.
I.	Pos.			I.	Pos.			X	Y	X	Y	
	X	Y	Z		Z							
89	440	-145.5	-134.5	224	196.5	0.001072	SLO 1	-0.149	-0.043	-0.485	-0.155	si
441	240	0	1032.5	497	1314.5	0.000909	SLO 1	-0.82	0.401	-1.011	0.573	si
406	-120	0	797.5	493	1314.5	0.000777	SLO 1	-0.664	0.202	-1.012	0.403	si
359	240	0	562.5	441	1032.5	0.000755	SLO 1	-0.51	0.229	-0.82	0.401	si
109	240	0	-134.5	359	562.5	0.000657	SLO 1	-0.094	0.038	-0.51	0.229	si
89	440	-145.5	-134.5	224	196.5	0.001124	SLO 2	-0.155	-0.084	-0.505	-0.18	si
441	240	0	1032.5	497	1314.5	0.000879	SLO 2	-0.835	0.313	-1.028	0.469	si
406	-120	0	797.5	493	1314.5	0.0008	SLO 2	-0.677	0.224	-1.029	0.441	si
359	240	0	562.5	441	1032.5	0.000733	SLO 2	-0.521	0.171	-0.835	0.313	si
156	-208.5	-117.5	15.5	297	443.5	0.000669	SLO 2	-0.186	0.091	-0.458	0.183	si
441	240	0	1032.5	497	1314.5	0.002387	SLO 3	-0.85	1.773	-1.045	2.417	si
406	-120	0	797.5	493	1314.5	0.002121	SLO 3	-0.69	1.195	-1.047	2.232	si
359	240	0	562.5	441	1032.5	0.001885	SLO 3	-0.531	0.946	-0.85	1.773	si
308	-120	0	443.5	406	797.5	0.001448	SLO 3	-0.455	0.74	-0.69	1.195	si
109	240	0	-134.5	359	562.5	0.001303	SLO 3	-0.099	0.147	-0.531	0.946	si
441	240	0	1032.5	497	1314.5	0.002336	SLO 4	-0.865	1.684	-1.063	2.313	si
406	-120	0	797.5	493	1314.5	0.002153	SLO 4	-0.702	1.217	-1.064	2.27	si
359	240	0	562.5	441	1032.5	0.001828	SLO 4	-0.543	0.888	-0.865	1.684	si
308	-120	0	443.5	406	797.5	0.001492	SLO 4	-0.465	0.745	-0.702	1.217	si
109	240	0	-134.5	359	562.5	0.001244	SLO 4	-0.101	0.142	-0.543	0.888	si
406	-120	0	797.5	493	1314.5	0.001573	SLO 5	-0.048	-1.006	-0.1	-1.817	si
441	240	0	1032.5	497	1314.5	0.001493	SLO 5	-0.07	-1.263	-0.098	-1.683	si
89	440	-145.5	-134.5	224	196.5	0.001351	SLO 5	-0.045	-0.153	-0.205	-0.57	si
359	240	0	562.5	441	1032.5	0.001334	SLO 5	-0.025	-0.637	-0.07	-1.263	si
120	440	144.5	-134.5	253	196.5	0.001283	SLO 5	0.048	-0.153	0.131	-0.569	si
441	240	0	1032.5	497	1314.5	0.001573	SLO 6	-0.088	-1.373	-0.119	-1.815	si
406	-120	0	797.5	493	1314.5	0.001519	SLO 6	-0.063	-0.976	-0.12	-1.76	si
359	240	0	562.5	441	1032.5	0.001417	SLO 6	-0.039	-0.709	-0.088	-1.373	si
89	440	-145.5	-134.5	224	196.5	0.001412	SLO 6	-0.053	-0.166	-0.228	-0.599	si
120	440	144.5	-134.5	253	196.5	0.001326	SLO 6	0.05	-0.166	0.128	-0.598	si
441	240	0	1032.5	497	1314.5	0.004095	SLO 7	-0.168	3.309	-0.214	4.463	no
406	-120	0	797.5	493	1314.5	0.003824	SLO 7	-0.131	2.304	-0.216	4.279	no
359	240	0	562.5	441	1032.5	0.003314	SLO 7	-0.096	1.753	-0.168	3.309	si
308	-120	0	443.5	406	797.5	0.00273	SLO 7	-0.08	1.339	-0.131	2.304	si
109	240	0	-134.5	359	562.5	0.002135	SLO 7	-0.019	0.267	-0.096	1.753	si
441	240	0	1032.5	497	1314.5	0.004016	SLO 8	-0.186	3.199	-0.235	4.33	no
406	-120	0	797.5	493	1314.5	0.003878	SLO 8	-0.147	2.333	-0.237	4.336	no

Nodo inferiore				Nodo superiore		Spost. rel.	Comb. N.b.	Spostamento inferiore		Spostamento superiore		S.V.
I.	Pos. X	Pos. Y	Pos. Z	I.	Pos. Z			X	Y	X	Y	
359	240	0	562,5	441	1032,5	0,003231	SLO 8	-0,109	1,682	-0,186	3,199	si
308	-120	0	443,5	406	797,5	0,002793	SLO 8	-0,092	1,346	-0,147	2,333	si
109	240	0	-134,5	359	562,5	0,002043	SLO 8	-0,022	0,261	-0,109	1,682	si
441	240	0	1032,5	497	1314,5	0,001667	SLO 9	0,543	-1,327	0,648	-1,785	si
406	-120	0	797,5	493	1314,5	0,001663	SLO 9	0,454	-1,045	0,646	-1,883	si
359	240	0	562,5	441	1032,5	0,001449	SLO 9	0,368	-0,669	0,543	-1,327	si
120	440	144,5	-134,5	253	196,5	0,001403	SLO 9	0,115	-0,143	0,35	-0,543	si
308	-120	0	443,5	406	797,5	0,001292	SLO 9	0,323	-0,607	0,454	-1,045	si
441	240	0	1032,5	497	1314,5	0,001742	SLO 10	0,525	-1,437	0,627	-1,918	si
406	-120	0	797,5	493	1314,5	0,001608	SLO 10	0,439	-1,016	0,625	-1,826	si
359	240	0	562,5	441	1032,5	0,001527	SLO 10	0,354	-0,74	0,525	-1,437	si
120	440	144,5	-134,5	253	196,5	0,001436	SLO 10	0,117	-0,156	0,347	-0,572	si
89	440	-145,5	-134,5	224	196,5	0,001261	SLO 10	0,029	-0,156	0,022	-0,573	si
441	240	0	1032,5	497	1314,5	0,003968	SLO 11	0,445	3,245	0,532	4,361	no
406	-120	0	797,5	493	1314,5	0,003781	SLO 11	0,371	2,264	0,53	4,213	no
359	240	0	562,5	441	1032,5	0,003255	SLO 11	0,298	1,722	0,445	3,245	si
308	-120	0	443,5	406	797,5	0,002784	SLO 11	0,259	1,285	0,371	2,264	si
109	240	0	-134,5	359	562,5	0,002125	SLO 11	0,055	0,261	0,298	1,722	si
441	240	0	1032,5	497	1314,5	0,003889	SLO 12	0,427	3,134	0,511	4,228	no
406	-120	0	797,5	493	1314,5	0,003834	SLO 12	0,355	2,294	0,509	4,27	no
359	240	0	562,5	441	1032,5	0,003172	SLO 12	0,284	1,651	0,427	3,134	si
308	-120	0	443,5	406	797,5	0,002845	SLO 12	0,247	1,292	0,355	2,294	si
109	240	0	-134,5	359	562,5	0,00203	SLO 12	0,052	0,255	0,284	1,651	si
120	440	144,5	-134,5	253	196,5	0,001239	SLO 13	0,187	-0,01	0,593	-0,068	si
156	-208,5	-117,5	15,5	297	443,5	0,001054	SLO 13	0,308	-0,017	0,758	-0,054	si
12	-208,5	-117,5	-307	156	15,5	0,000956	SLO 13	0	0	0,308	-0,017	si
166	0	0	15,5	310	443,5	0,000953	SLO 13	0,288	0,018	0,695	0,048	si
109	240	0	-134,5	359	562,5	0,000943	SLO 13	0,152	0,018	0,801	0,125	si
120	440	144,5	-134,5	253	196,5	0,001232	SLO 14	0,189	-0,021	0,591	-0,093	si
156	-208,5	-117,5	15,5	297	443,5	0,001018	SLO 14	0,299	-0,008	0,733	-0,037	si
166	0	0	15,5	310	443,5	0,000937	SLO 14	0,284	0,017	0,685	0,036	si
12	-208,5	-117,5	-307	156	15,5	0,000927	SLO 14	0	0	0,299	-0,008	si
406	-120	0	797,5	493	1314,5	0,000923	SLO 14	0,997	0,093	1,457	0,221	si
441	240	0	1032,5	497	1314,5	0,002034	SLO 15	1,192	1,559	1,441	2,076	si
406	-120	0	797,5	493	1314,5	0,002033	SLO 15	0,985	1,064	1,439	2,012	si
359	240	0	562,5	441	1032,5	0,001759	SLO 15	0,78	0,842	1,192	1,559	si
308	-120	0	443,5	406	797,5	0,001666	SLO 15	0,677	0,561	0,985	1,064	si
120	440	144,5	-134,5	253	196,5	0,001381	SLO 15	0,183	0,095	0,583	0,315	si
406	-120	0	797,5	493	1314,5	0,002058	SLO 16	0,972	1,086	1,422	2,05	si
441	240	0	1032,5	497	1314,5	0,00198	SLO 16	1,177	1,47	1,423	1,972	si
308	-120	0	443,5	406	797,5	0,0017	SLO 16	0,666	0,567	0,972	1,086	si
359	240	0	562,5	441	1032,5	0,0017	SLO 16	0,768	0,784	1,177	1,47	si
120	440	144,5	-134,5	253	196,5	0,001349	SLO 16	0,185	0,084	0,58	0,29	si

7.5 Verifica effetti secondo ordine

Quota inf.: quota inferiore esprimibile come livello, falda, piano orizzontale alla Z specificata, espressa con notazione breve. esprimibile come livello, falda, piano orizzontale alla Z specificata. [cm]

Quota sup.: quota superiore esprimibile come livello, falda, piano orizzontale alla Z specificata, espressa con notazione breve. esprimibile come livello, falda, piano orizzontale alla Z specificata. [cm]

Comb.: combinazione.

N.b.: nome breve o compatto della combinazione di carico.

Carico verticale: carico verticale. [daN]

Spostamento: spostamento medio di interpiano. [cm]

Forza orizzontale totale: forza orizzontale totale. [daN]

Altezza del piano: altezza del piano. [cm]

Theta: coefficiente Theta formula (7.3.2) § 7.3.1 NTC 2008. Il valore è adimensionale.

Quota inf.	Quota sup.	Comb. N.b.	Carico verticale	Spostamento	Forza orizzontale totale	Altezza del piano	Theta
L1	L2	SLV 1	189232	0,471	18077	173	0,029
L1	L2	SLV 2	189232	0,477	18077	173	0,029
L1	L2	SLV 3	188041	0,728	18524	173	0,043
L1	L2	SLV 4	188041	0,72	18524	173	0,042
L1	L2	SLV 5	190450	0,537	7503	173	0,079
L1	L2	SLV 6	190450	0,561	7503	173	0,083
L1	L2	SLV 7	186482	1,083	8524	173	0,137
L1	L2	SLV 8	186482	1,061	8524	173	0,135
L1	L2	SLV 9	190304	0,63	8524	173	0,082
L1	L2	SLV 10	190304	0,647	8524	173	0,084
L1	L2	SLV 11	186336	1,073	7503	173	0,155
L1	L2	SLV 12	186336	1,049	7503	173	0,151
L1	L2	SLV 13	188745	0,657	18524	173	0,039
L1	L2	SLV 14	188745	0,65	18524	173	0,038
L1	L2	SLV 15	187555	0,781	18077	173	0,047
L1	L2	SLV 16	187555	0,764	18077	173	0,046
L1	L3	SLV 1	169257	0,908	18936	323	0,025
L1	L3	SLV 2	169257	0,923	18936	323	0,026
L1	L3	SLV 3	169160	1,498	18937	323	0,041
L1	L3	SLV 4	169160	1,519	18937	323	0,042
L1	L3	SLV 5	169198	1,128	8123	323	0,073
L1	L3	SLV 6	169198	1,106	8123	323	0,071
L1	L3	SLV 7	168876	2,188	8126	323	0,141
L1	L3	SLV 8	168876	2,213	8126	323	0,143
L1	L3	SLV 9	169051	1,363	8126	323	0,088
L1	L3	SLV 10	169051	1,336	8126	323	0,086
L1	L3	SLV 11	168728	2,085	8123	323	0,134
L1	L3	SLV 12	168728	2,105	8123	323	0,136
L1	L3	SLV 13	168766	1,253	18937	323	0,035
L1	L3	SLV 14	168766	1,239	18937	323	0,034
L1	L3	SLV 15	168669	1,401	18936	323	0,039
L1	L3	SLV 16	168669	1,402	18936	323	0,039
L2	L4	SLV 1	138894	1,21	17876	331	0,028
L2	L4	SLV 2	138894	1,262	17876	331	0,03
L2	L4	SLV 3	139231	1,25	17639	331	0,03
L2	L4	SLV 4	139231	1,251	17639	331	0,03
L2	L4	SLV 5	138120	1,953	10608	331	0,077
L2	L4	SLV 6	138120	2,014	10608	331	0,079
L2	L4	SLV 7	139245	2,224	10203	331	0,092
L2	L4	SLV 8	139245	2,171	10203	331	0,09
L2	L4	SLV 9	137794	1,934	10203	331	0,079
L2	L4	SLV 10	137794	1,979	10203	331	0,081
L2	L4	SLV 11	138918	2,354	10608	331	0,093
L2	L4	SLV 12	138918	2,29	10608	331	0,091
L2	L4	SLV 13	137807	1,407	17639	331	0,033
L2	L4	SLV 14	137807	1,389	17639	331	0,033
L2	L4	SLV 15	138144	1,657	17876	331	0,039
L2	L4	SLV 16	138144	1,603	17876	331	0,037
L3	L5	SLV 1	107066	1,27	16055	428	0,02
L3	L5	SLV 2	107066	1,288	16055	428	0,02
L3	L5	SLV 3	107810	2,077	15285	428	0,034
L3	L5	SLV 4	107810	2,093	15285	428	0,034
L3	L5	SLV 5	109156	1,86	7798	428	0,061
L3	L5	SLV 6	109156	1,855	7798	428	0,061
L3	L5	SLV 7	111636	3,261	6055	428	0,14
L3	L5	SLV 8	111636	3,271	6055	428	0,141
L3	L5	SLV 9	111691	2,111	6055	428	0,091
L3	L5	SLV 10	111691	2,097	6055	428	0,09
L3	L5	SLV 11	114172	3,173	7798	428	0,109
L3	L5	SLV 12	114172	3,177	7798	428	0,109
L3	L5	SLV 13	115517	1,76	15285	428	0,031

Quota inf.	Quota sup.	Comb. N.b.	Carico verticale	Spostamento	Forza orizzontale totale	Altezza del piano	Theta
L3	L5	SLV 14	115517	1.742	15285	428	0.031
L3	L5	SLV 15	116261	2.059	16055	428	0.035
L3	L5	SLV 16	116261	2.048	16055	428	0.035
L2	L6	SLV 1	79444	2.068	11557	697	0.02
L2	L6	SLV 2	79444	2.091	11557	697	0.021
L2	L6	SLV 3	79660	3.642	11243	697	0.037
L2	L6	SLV 4	79660	3.511	11243	697	0.036
L2	L6	SLV 5	80794	3.112	5371	697	0.067
L2	L6	SLV 6	80794	3.347	5371	697	0.072
L2	L6	SLV 7	81516	6.089	4658	697	0.153
L2	L6	SLV 8	81516	5.86	4658	697	0.147
L2	L6	SLV 9	82168	3.414	4658	697	0.086
L2	L6	SLV 10	82168	3.62	4658	697	0.092
L2	L6	SLV 11	82890	6.042	5371	697	0.134
L2	L6	SLV 12	82890	5.805	5371	697	0.129
L2	L6	SLV 13	84024	2.804	11243	697	0.03
L2	L6	SLV 14	84024	2.787	11243	697	0.03
L2	L6	SLV 15	84240	3.782	11557	697	0.04
L2	L6	SLV 16	84240	3.629	11557	697	0.038
L5	L7	SLV 1	58146	1.137	11144	354	0.017
L5	L7	SLV 2	58146	1.134	11144	354	0.017
L5	L7	SLV 3	58432	2.047	11238	354	0.03
L5	L7	SLV 4	58432	2.1	11238	354	0.031
L5	L7	SLV 5	57954	2.533	6893	354	0.06
L5	L7	SLV 6	57954	2.456	6893	354	0.058
L5	L7	SLV 7	58908	4.089	7043	354	0.097
L5	L7	SLV 8	58908	4.169	7043	354	0.098
L5	L7	SLV 9	58076	2.522	7043	354	0.059
L5	L7	SLV 10	58076	2.442	7043	354	0.057
L5	L7	SLV 11	59030	4.165	6893	354	0.101
L5	L7	SLV 12	59030	4.242	6893	354	0.103
L5	L7	SLV 13	58552	1.377	11238	354	0.02
L5	L7	SLV 14	58552	1.365	11238	354	0.02
L5	L7	SLV 15	58838	2.34	11144	354	0.035
L5	L7	SLV 16	58838	2.381	11144	354	0.036
L6	L8	SLV 1	34667	1.499	7757	470	0.014
L6	L8	SLV 2	34667	1.505	7757	470	0.014
L6	L8	SLV 3	34641	3.517	7688	470	0.034
L6	L8	SLV 4	34641	3.425	7688	470	0.033
L6	L8	SLV 5	34674	3.577	5746	470	0.046
L6	L8	SLV 6	34674	3.718	5746	470	0.048
L6	L8	SLV 7	34585	6.533	5653	470	0.085
L6	L8	SLV 8	34585	6.395	5653	470	0.083
L6	L8	SLV 9	34653	3.801	5653	470	0.05
L6	L8	SLV 10	34653	3.935	5653	470	0.051
L6	L8	SLV 11	34565	6.384	5746	470	0.082
L6	L8	SLV 12	34565	6.243	5746	470	0.08
L6	L8	SLV 13	34598	1.891	7688	470	0.018
L6	L8	SLV 14	34598	1.905	7688	470	0.018
L6	L8	SLV 15	34571	3.182	7757	470	0.03
L6	L8	SLV 16	34571	3.085	7757	470	0.029
L8	L9	SLV 1	19000	0.953	4417	282	0.015
L8	L9	SLV 2	19000	0.946	4417	282	0.014
L8	L9	SLV 3	18989	2.59	4404	282	0.04
L8	L9	SLV 4	18989	2.541	4404	282	0.039
L8	L9	SLV 5	19010	2.403	3557	282	0.046
L8	L9	SLV 6	19010	2.484	3557	282	0.047
L8	L9	SLV 7	18973	4.729	3540	282	0.09
L8	L9	SLV 8	18973	4.65	3540	282	0.088
L8	L9	SLV 9	19008	2.601	3540	282	0.05
L8	L9	SLV 10	19008	2.679	3540	282	0.051
L8	L9	SLV 11	18971	4.568	3557	282	0.086
L8	L9	SLV 12	18971	4.488	3557	282	0.085
L8	L9	SLV 13	18992	1.149	4404	282	0.018
L8	L9	SLV 14	18992	1.156	4404	282	0.018
L8	L9	SLV 15	18981	2.151	4417	282	0.033
L8	L9	SLV 16	18981	2.099	4417	282	0.032
L7	L9	SLV 1	19000	1.667	4417	517	0.014
L7	L9	SLV 2	19000	1.686	4417	517	0.014
L7	L9	SLV 3	18989	4.221	4404	517	0.035
L7	L9	SLV 4	18989	4.28	4404	517	0.036
L7	L9	SLV 5	19010	4.54	3557	517	0.047
L7	L9	SLV 6	19010	4.442	3557	517	0.046
L7	L9	SLV 7	18973	8.152	3540	517	0.084
L7	L9	SLV 8	18973	8.253	3540	517	0.086
L7	L9	SLV 9	19008	4.711	3540	517	0.049
L7	L9	SLV 10	19008	4.609	3540	517	0.048
L7	L9	SLV 11	18971	8.05	3557	517	0.083
L7	L9	SLV 12	18971	8.149	3557	517	0.084
L7	L9	SLV 13	18992	2.065	4404	517	0.017
L7	L9	SLV 14	18992	2.041	4404	517	0.017
L7	L9	SLV 15	18981	4.01	4417	517	0.033
L7	L9	SLV 16	18981	4.052	4417	517	0.034

7.6 Verifica deformabilità torsionale struttura

Quota inf.: quota inferiore dell'interpiano per il quale è stata valutata la rigidezza relativa. esprimibile come livello, falda, piano orizzontale alla Z specificata. [cm]
Quota sup.: quota superiore dell'interpiano per il quale è stata valutata la rigidezza relativa. esprimibile come livello, falda, piano orizzontale alla Z specificata. [cm]
KUx: rigidezza relativa alla traslazione in direzione globale X. [daN/cm]
KUy: rigidezza relativa alla traslazione in direzione globale Y. [daN/cm]
KRz: rigidezza relativa alla rotazione attorno l'asse globale Z. [daN°cm/rad]
L: dimensione in pianta, lungo l'asse globale X, dell'edificio. [cm]
B: dimensione in pianta, lungo l'asse globale Y, dell'edificio. [cm]
Is: radice quadrata di (L²+B²)/12. [cm]
rx/Is: rapporto rx/Is. Il valore è adimensionale.
ry/Is: rapporto ry/Is. Il valore è adimensionale.

Quota inf.	Quota sup.	KUx	KUy	KRz	L	B	Is	rx/Is	ry/Is
L1	L2	68562	20894	2.7354E010	210	291	103	6.1	11.06
L2	L3	78347	18933	2.7637E010	396	330	149	3.99	8.13
L3	L4	54493	12933	9.3739E010	150	290	94	13.82	28.56
L4	L5	48423	12718	9533877460	388	330	147	3.02	5.89
L5	L6	86254	10872	6789611231	363	290	134	2.09	5.89
L6	L7	43998	5472	7511650331	268	290	114	3.63	10.29
L7	L8	43984	4198	6227960834	183	290	99	3.8	12.3
L8	L9	34930	3170	2393708230	811	330	253	1.04	3.44

7.7 Rigidezze di interpiano

Quota inf.: quota inferiore dell'interpiano per il quale è stata valutata la rigidezza relativa. esprimibile come livello, falda, piano orizzontale alla Z specificata. [cm]
Quota sup.: quota superiore dell'interpiano per il quale è stata valutata la rigidezza relativa. esprimibile come livello, falda, piano orizzontale alla Z specificata. [cm]
KUx: rigidezza relativa alla traslazione in direzione globale X. [daN/cm]
KUy: rigidezza relativa alla traslazione in direzione globale Y. [daN/cm]

Quota inf.	Quota sup.	KUx	KUy
L1	L2	68562	20894
L2	L3	78347	18933
L3	L4	54493	12933
L4	L5	48423	12718
L5	L6	86254	10872

Quota inf.	Quota sup.	Kux	Kuy
L6	L7	43998	5472
L7	L8	43984	4198
L8	L9	34930	3170

7.8 Tagli ai livelli

Livello: livello rispetto a cui è calcolato il taglio.

Nome: nome completo del livello.

Cont.: Contesto nel quale viene valutato il taglio.

N.br.: nome breve della condizione o combinazione di carico.

Totale: totale del taglio al livello.

F: forza del taglio. [daN]

X: componente lungo l'asse X globale. [daN]

Y: componente lungo l'asse Y globale. [daN]

Z: componente lungo l'asse Z globale. [daN]

Aste verticali: contributo al taglio totale dato dalle aste verticali.

F: forza del taglio. [daN]

X: componente lungo l'asse X globale. [daN]

Y: componente lungo l'asse Y globale. [daN]

Z: componente lungo l'asse Z globale. [daN]

Pareti: contributo al taglio totale dato dalle pareti e piastre generiche verticali.

F: forza del taglio. [daN]

X: componente lungo l'asse X globale. [daN]

Y: componente lungo l'asse Y globale. [daN]

Z: componente lungo l'asse Z globale. [daN]

Livello Nome	Cont. N.br.	Totale			Aste verticali			Pareti		
		X	F Y	Z	X	F Y	Z	X	F Y	Z
Fondazione	Pesi	0	0	-169779	-494	-641	-32013	1596	36	-136508
Fondazione	Port.	0	0	-9664	-172	-25	-4835	216	58	-4801
Fondazione	Neve	0	0	-2141	-22	-29	-447	56	27	-1674
Fondazione	Variabile C	0	0	-38098	13	-190	-8752	-39	22	-28699
Fondazione	X SLV	18371	-238	2159	-202	28363	19749	-404	-26372	
Fondazione	Y SLV	239	5060	-4735	-520	9767	7246	6283	-10690	
Fondazione	EY SLV	0	0	0	-67	160	320	-371	-101	-579
Fondazione	EX SLV	0	0	0	97	-223	-459	513	135	818
Fondazione	X SLO	12437	-157	-35	1459	-127	19197	13381	-284	-17843
Fondazione	Y SLO	235	3061	-4364	-374	5843	5165	4074	-7535	
Fondazione	EY SLO	0	0	0	-58	137	276	-320	-87	-499
Fondazione	EX SLO	0	0	0	83	-192	-395	442	116	705
Fondazione	R Ux	1	0	0	0	0	2	1	0	-2
Fondazione	R Uy	0	1	0	0	0	3	1	1	-2
Fondazione	R Rz	0	0	0	0	0	0	0	0	0
Fondazione	SLU 1	0	0	-169779	-494	-641	-32013	1596	36	-136508
Fondazione	SLU 2	0	0	-226925	-475	-927	-45141	1537	69	-179558
Fondazione	SLU 3	0	0	-228531	-492	-949	-45476	1579	89	-180813
Fondazione	SLU 4	0	0	-172991	-527	-685	-32683	1680	77	-139020
Fondazione	SLU 5	0	0	-212993	-513	-885	-41872	1638	100	-169154
Fondazione	SLU 6	0	0	-184275	-752	-679	-39265	1920	124	-143709
Fondazione	SLU 7	0	0	-241422	-734	-965	-52393	1861	156	-186758
Fondazione	SLU 8	0	0	-243027	-750	-986	-52728	1903	176	-188014
Fondazione	SLU 9	0	0	-187487	-785	-723	-39936	2004	164	-146221
Fondazione	SLU 10	0	0	-227489	-772	-923	-49125	1963	187	-176355
Fondazione	SLU 11	0	0	-220713	-643	-834	-41616	2074	47	-177461
Fondazione	SLU 12	0	0	-277859	-624	-1119	-54744	2015	80	-220510
Fondazione	SLU 13	0	0	-279465	-640	-1141	-55079	2057	100	-221766
Fondazione	SLU 14	0	0	-223925	-675	-877	-42287	2158	88	-179972
Fondazione	SLU 15	0	0	-263927	-662	-1077	-51476	2117	111	-210107
Fondazione	SLU 16	0	0	-235209	-901	-872	-48869	2399	134	-184662
Fondazione	SLU 17	0	0	-292355	-882	-1157	-61997	2340	167	-227711
Fondazione	SLU 18	0	0	-293961	-898	-1179	-62332	2382	187	-228967
Fondazione	SLU 19	0	0	-238421	-933	-915	-49539	2483	175	-187173
Fondazione	SLU 20	0	0	-278423	-920	-1115	-58729	2442	198	-217308
Fondazione	SLE RA 1	0	0	-179443	-666	-667	-36848	1812	94	-141309
Fondazione	SLE RA 2	0	0	-217541	-654	-857	-45600	1773	116	-170008
Fondazione	SLE RA 3	0	0	-218611	-665	-871	-45823	1801	130	-170846
Fondazione	SLE RA 4	0	0	-181584	-688	-696	-37295	1868	122	-142983
Fondazione	SLE RA 5	0	0	-208253	-679	-829	-43421	1841	137	-163073
Fondazione	SLE FR 1	0	0	-179443	-666	-667	-36848	1812	94	-141309
Fondazione	SLE FR 2	0	0	-206111	-658	-800	-42974	1785	110	-161399
Fondazione	SLE FR 3	0	0	-179871	-671	-672	-36937	1823	100	-141644
Fondazione	SLE FR 4	0	0	-202730	-663	-787	-42188	1800	113	-158864
Fondazione	SLE QP 1	0	0	-179443	-666	-667	-36848	1812	94	-141309
Fondazione	SLE QP 2	0	0	-202302	-659	-781	-42099	1789	107	-158529
Fondazione	SLO 1	-12507	-761	-200958	-1923	-336	-63443	-12690	-709	-137715
Fondazione	SLO 2	-12507	-761	-200958	-2089	54	-62655	-13594	-953	-139135
Fondazione	SLO 3	-12366	1075	-203576	-2147	-1361	-59937	-9591	1735	-142236
Fondazione	SLO 4	-12366	1075	-203576	-2313	-971	-59149	-10496	1492	-143656
Fondazione	SLO 5	-3966	-3014	-197928	-622	733	-54179	-6853	-3739	-144787
Fondazione	SLO 6	-3966	-3014	-197928	-823	1199	-53223	-7928	-4023	-146495
Fondazione	SLO 7	-3496	3108	-206655	-1370	-2685	-42493	3476	4408	-159856
Fondazione	SLO 8	-3496	3108	-206655	-1571	-2218	-41537	2401	4124	-161565
Fondazione	SLO 9	3496	-3108	-197948	254	656	-42660	1176	-3909	-155492
Fondazione	SLO 10	3496	-3108	-197948	52	1123	-41705	101	-4193	-157201
Fondazione	SLO 11	3966	3014	-206676	-495	-2761	-30974	11505	4238	-170562
Fondazione	SLO 12	3966	3014	-206676	-696	-2294	-30019	14030	3954	-172271
Fondazione	SLO 13	12366	-1075	-201027	996	-590	-25049	14073	-1277	-173401
Fondazione	SLO 14	12366	-1075	-201027	830	-200	-24261	13168	-1520	-174821
Fondazione	SLO 15	12507	761	-203645	771	-1615	-21543	17172	1167	-177922
Fondazione	SLO 16	12507	761	-203645	605	-1225	-20755	16267	924	-179342
Fondazione	SLV 1	-18443	-1280	-200829	-2565	-171	-73850	-19609	-1232	-128124
Fondazione	SLV 2	-18443	-1280	-200829	-2758	282	-72934	-20659	-1515	-129774
Fondazione	SLV 3	-18299	1756	-203670	-2877	-1440	-67989	-15261	2538	-134539
Fondazione	SLV 4	-18299	1756	-203670	-3070	-987	-67074	-16312	2255	-136188
Fondazione	SLV 5	-5750	-4988	-197551	-670	1123	-60929	-10757	-5890	-138934
Fondazione	SLV 6	-5750	-4988	-197551	-904	1665	-59820	-12006	-6220	-140919
Fondazione	SLV 7	-5272	5131	-207021	-1709	-3106	-41396	3734	6677	-160315
Fondazione	SLV 8	-5272	5131	-207021	-1943	-2564	-40286	2485	6347	-162299
Fondazione	SLV 9	5272	-5131	-197582	625	1002	-43912	1092	-6132	-154758
Fondazione	SLV 10	5272	-5131	-197582	391	1544	-42802	-157	-6462	-156742
Fondazione	SLV 11	5750	4988	-207052	-414	-3227	-24378	15583	6435	-176139
Fondazione	SLV 12	5750	4988	-207052	-648	-2685	-23268	14335	6104	-178123
Fondazione	SLV 13	18299	-1756	-200933	1752	-575	-17124	19889	-2040	-180869
Fondazione	SLV 14	18299	-1756	-200933	1559	-122	-16208	18839	-2323	-182519
Fondazione	SLV 15	18443	1280	-203774	1440	-1843	-11264	24236	1730	-187284
Fondazione	SLV 16	18443	1280	-203774	1248	-1390	-10348	23186	1447	-188933
Fondazione	SLV FO 1	-20287	-1408	-200682	-2756	-110	-77025	-21749	-1366	-125084
Fondazione	SLV FO 2	-20287	-1408	-200682	-2968	388	-76017	-22904	-1677	-126898
Fondazione	SLV FO 3	-20129	1932	-203807	-3099	-1506	-70579	-16966	2781	-132140
Fondazione	SLV FO 4	-20129	1932	-203807	-3311	-1008	-69571	-18122	2470	-133954
Fondazione	SLV FO 5	-6325	-5487	-197076	-671	1314	-62812	-12012	-6489	-136975
Fondazione	SLV FO 6	-6325	-5487	-197076	-928	1910	-61592	-13386	-6853	-139158
Fondazione	SLV FO 7	-5800	5644	-207493	-1814	-3338	-41325	3929	7334	-160494
Fondazione	SLV FO 8	-5800	5644	-207493	-2071	-2742	-40105	2555	6971	-162677
Fondazione	SLV FO 9	5800	-5644	-197110	754	1180	-44093	1022	-6756	-154381
Fondazione	SLV FO 10	5800	-5644	-197110	496	1777	-42873	-351	-7119	-156564
Fondazione	SLV FO 11	6325	5487	-207527	-389	-3471	-22606	16963	7067	-177900
Fondazione	SLV FO 12	6325	5487	-207527	-646	-2875	-21385	15589	6704	-180082
Fondazione	SLV FO 13	20129	-1932	-200797	1993	-554	-14627	21699	-2255	-183103
Fondazione	SLV FO 14	20129	-1932	-200797	1781	-56	-13619	20544	-2566	-184918
Fondazione	SLV FO 15	20287	1408	-203922	1650	-1949	-8180	26481	1892	-190159

Livello Nome	Cont. N.br.	Totale			Aste verticali			Pareti		
		X	F Y	Z	X	F Y	Z	X	F Y	Z
Fondazione	SLV FO 16	20287	1408	-203922	1438	-1451	-7173	25326	1581	-191973
Fondazione	CRTFF Ux+	1	0	0	0	0	2	1	0	-2
Fondazione	CRTFF Ux-	-1	0	0	0	0	-2	-1	0	2
Fondazione	CRTFF Uy+	0	1	0	0	0	3	1	1	-2
Fondazione	CRTFF Uy-	0	-1	0	0	0	-3	-1	-1	2
Fondazione	CRTFF Rz+	0	0	0	0	0	0	0	0	0
Fondazione	CRTFF Rz-	0	0	0	0	0	0	0	0	0
Pianerottolo interrato	Pesi	0	0	-152422	182	-866	-26828	-1924	509	-123366
Pianerottolo interrato	Port.	0	0	-9664	-65	-99	-4197	-22	70	-5420
Pianerottolo interrato	Neve	0	0	-2141	-6	-30	-334	-5	24	-1800
Pianerottolo interrato	Variabile C	0	0	-34080	144	-232	-8172	-705	36	-24747
Pianerottolo interrato	X SLV	18712	-290	268	1137	-8	23956	16153	-233	-22880
Pianerottolo interrato	Y SLV	547	3764	967	215	-2125	17195	-2037	5127	-14825
Pianerottolo interrato	EY SLV	0	0	0	-77	152	46	244	-153	-145
Pianerottolo interrato	EX SLV	0	0	0	110	-214	-79	-347	217	219
Pianerottolo interrato	X SLO	12650	-183	152	770	-3	16202	10915	-146	-15501
Pianerottolo interrato	Y SLO	540	1754	950	138	-1788	11768	-1238	3022	-9848
Pianerottolo interrato	EY SLO	0	0	0	-67	131	40	210	-131	-125
Pianerottolo interrato	EX SLO	0	0	0	95	-184	-68	-299	186	188
Pianerottolo interrato	R Ux	1	0	0	0	0	2	1	0	-2
Pianerottolo interrato	R Uy	0	1	0	0	0	4	0	1	-3
Pianerottolo interrato	R Rz	0	0	0	0	0	0	0	0	0
Pianerottolo interrato	SLU 1	0	0	-152422	182	-866	-26828	-1924	509	-123366
Pianerottolo interrato	SLU 2	0	0	-203542	399	-1213	-39086	-2981	563	-160486
Pianerottolo interrato	SLU 3	0	0	-205148	394	-1236	-39336	-2985	581	-161836
Pianerottolo interrato	SLU 4	0	0	-155634	173	-911	-27328	-1931	545	-126066
Pianerottolo interrato	SLU 5	0	0	-191418	325	-1154	-35909	-2672	583	-152050
Pianerottolo interrato	SLU 6	0	0	-166919	85	-1015	-33124	-1957	614	-131496
Pianerottolo interrato	SLU 7	0	0	-218038	302	-1363	-45382	-3014	667	-168616
Pianerottolo interrato	SLU 8	0	0	-219644	298	-1385	-45632	-3018	685	-169966
Pianerottolo interrato	SLU 9	0	0	-170130	76	-1060	-33624	-1965	650	-134196
Pianerottolo interrato	SLU 10	0	0	-205914	228	-1303	-42204	-2705	687	-160180
Pianerottolo interrato	SLU 11	0	0	-198149	237	-1126	-34876	-2501	662	-160376
Pianerottolo interrato	SLU 12	0	0	-249268	454	-1473	-47134	-3558	716	-197496
Pianerottolo interrato	SLU 13	0	0	-250874	449	-1496	-47384	-3562	734	-198846
Pianerottolo interrato	SLU 14	0	0	-201361	228	-1170	-35377	-2508	698	-163076
Pianerottolo interrato	SLU 15	0	0	-237144	380	-1414	-43957	-3249	736	-189060
Pianerottolo interrato	SLU 16	0	0	-212645	140	-1275	-41172	-2534	767	-168505
Pianerottolo interrato	SLU 17	0	0	-263765	357	-1622	-53430	-3592	820	-205625
Pianerottolo interrato	SLU 18	0	0	-265371	352	-1645	-53680	-3595	838	-206976
Pianerottolo interrato	SLU 19	0	0	-215857	131	-1319	-41672	-2542	803	-171206
Pianerottolo interrato	SLU 20	0	0	-251641	283	-1563	-50253	-3282	840	-197190
Pianerottolo interrato	SLE RA 1	0	0	-162087	118	-965	-31025	-1946	579	-128786
Pianerottolo interrato	SLE RA 2	0	0	-196166	262	-1197	-39197	-2651	615	-153532
Pianerottolo interrato	SLE RA 3	0	0	-197237	259	-1212	-39364	-2653	627	-154432
Pianerottolo interrato	SLE RA 4	0	0	-164228	112	-995	-31359	-1951	603	-130586
Pianerottolo interrato	SLE RA 5	0	0	-188083	213	-1157	-37079	-2444	628	-147909
Pianerottolo interrato	SLE FR 1	0	0	-162087	118	-965	-31025	-1946	579	-128786
Pianerottolo interrato	SLE FR 2	0	0	-185942	219	-1127	-36745	-2439	604	-146108
Pianerottolo interrato	SLE FR 3	0	0	-162515	116	-971	-31092	-1947	584	-129146
Pianerottolo interrato	SLE FR 4	0	0	-182962	203	-1110	-35993	-2370	605	-143994
Pianerottolo interrato	SLE QP 1	0	0	-162087	118	-965	-31025	-1946	579	-128786
Pianerottolo interrato	SLE QP 2	0	0	-182534	204	-1104	-35928	-2369	600	-143634
Pianerottolo interrato	SLO 1	-12812	-343	-182972	-512	-752	-55721	-13213	27	-124997
Pianerottolo interrato	SLO 2	-12812	-343	-182972	-702	-379	-55600	-12613	-347	-125360
Pianerottolo interrato	SLO 3	-12488	709	-182401	-429	-1824	-48660	-13956	1841	-130906
Pianerottolo interrato	SLO 4	-12488	709	-182401	-619	-1451	-48539	-13356	1466	-131269
Pianerottolo interrato	SLO 5	-4335	-1699	-183530	-49	461	-52637	-4767	-2152	-128909
Pianerottolo interrato	SLO 6	-4335	-1699	-183530	-279	908	-52477	-4043	-2604	-129361
Pianerottolo interrato	SLO 7	-3255	1809	-181630	226	-3115	-29100	-7244	3892	-148606
Pianerottolo interrato	SLO 8	-3255	1809	-181630	-4	-2668	-28941	-6520	3440	-149058
Pianerottolo interrato	SLO 9	3255	-1809	-183439	413	459	-42916	1782	-2240	-138210
Pianerottolo interrato	SLO 10	3255	-1809	-183439	183	907	-42756	2506	-2691	-138661
Pianerottolo interrato	SLO 11	4335	1699	-181538	688	-3117	-19379	-695	3804	-157907
Pianerottolo interrato	SLO 12	4335	1699	-181538	458	-2670	-19219	30	3353	-158358

Livello Nome	Cont. N.br.	Totale			Aste verticali			Pareti		
		X	F Y	Z	X	F Y	Z	X	F Y	Z
Pianerottolo interrato	SLO 13	12488	-709	-182667	1028	-757	-23317	8618	-265	-155999
Pianerottolo interrato	SLO 14	12488	-709	-182667	838	-384	-23197	9218	-640	-156361
Pianerottolo interrato	SLO 15	12812	343	-182097	1111	-1830	-16256	7875	1548	-161908
Pianerottolo interrato	SLO 16	12812	343	-182097	920	-1457	-16135	8475	1173	-162270
Pianerottolo interrato	SLV 1	-18876	-839	-183092	-887	-676	-65113	-18259	-487	-116096
Pianerottolo interrato	SLV 2	-18876	-839	-183092	-1108	-242	-64973	-17562	-922	-116517
Pianerottolo interrato	SLV 3	-18548	1419	-182512	-758	-1950	-54796	-19482	2589	-124991
Pianerottolo interrato	SLV 4	-18548	1419	-182512	-979	-1517	-54656	-18784	2154	-125412
Pianerottolo interrato	SLV 5	-6161	-3677	-183582	-218	763	-60403	-5598	-4194	-121682
Pianerottolo interrato	SLV 6	-6161	-3677	-183582	-485	1282	-60218	-4757	-4719	-122207
Pianerottolo interrato	SLV 7	-5066	3851	-181647	211	-3486	-26013	-9673	6059	-151333
Pianerottolo interrato	SLV 8	-5066	3851	-181647	-55	-2967	-25827	-8831	5535	-151857
Pianerottolo interrato	SLV 9	5066	-3851	-183421	464	758	-46029	4094	-4334	-135410
Pianerottolo interrato	SLV 10	5066	-3851	-183421	197	1278	-45844	4935	-4859	-135935
Pianerottolo interrato	SLV 11	6161	3677	-181487	894	-3491	-11639	19	5919	-165061
Pianerottolo interrato	SLV 12	6161	3677	-181487	627	-2972	-11453	861	5395	-165585
Pianerottolo interrato	SLV 13	18548	-1419	-182557	1388	-692	-17201	14047	-953	-161856
Pianerottolo interrato	SLV 14	18548	-1419	-182557	1167	-258	-17061	14744	-1388	-162276
Pianerottolo interrato	SLV 15	18876	839	-181976	1517	-1966	-6883	12825	2123	-170751
Pianerottolo interrato	SLV 16	18876	839	-181976	1296	-1533	-6743	13522	1688	-171171
Pianerottolo interrato	SLV FO 1	-20764	-923	-183148	-996	-633	-68032	-19849	-596	-113342
Pianerottolo interrato	SLV FO 2	-20764	-923	-183148	-1239	-156	-67878	-19081	-1074	-113805
Pianerottolo interrato	SLV FO 3	-20403	1561	-182510	-854	-2035	-56683	-21193	2788	-123127
Pianerottolo interrato	SLV FO 4	-20403	1561	-182510	-1097	-1558	-56529	-20426	2309	-123590
Pianerottolo interrato	SLV FO 5	-6777	-4044	-183687	-261	950	-62851	-5921	-4674	-119487
Pianerottolo interrato	SLV FO 6	-6777	-4044	-183687	-554	1521	-62647	-4996	-5251	-120064
Pianerottolo interrato	SLV FO 7	-5573	4236	-181559	212	-3724	-25021	-10403	6605	-152103
Pianerottolo interrato	SLV FO 8	-5573	4236	-181559	-81	-3153	-24817	-9478	6028	-152680
Pianerottolo interrato	SLV FO 9	5573	-4236	-183510	490	944	-47040	4740	-4827	-134588
Pianerottolo interrato	SLV FO 10	5573	-4236	-183510	197	1516	-46836	5665	-5404	-135165
Pianerottolo interrato	SLV FO 11	6777	4044	-181382	963	-3730	-9210	258	6451	-167203
Pianerottolo interrato	SLV FO 12	6777	4044	-181382	669	-3158	-9006	1184	5874	-167780
Pianerottolo interrato	SLV FO 13	20403	-1561	-182559	1506	-650	-15328	15688	-1108	-163678
Pianerottolo interrato	SLV FO 14	20403	-1561	-182559	1263	-174	-15174	16455	-1587	-164141
Pianerottolo interrato	SLV FO 15	20764	923	-181920	1648	-2052	-3979	14344	2275	-173463
Pianerottolo interrato	SLV FO 16	20764	923	-181920	1405	-1576	-3825	15111	1797	-173925
Pianerottolo interrato	CRTFF Ux+	1	0	0	0	0	2	1	0	-2
Pianerottolo interrato	CRTFF Ux-	-1	0	0	0	0	-2	-1	0	2
Pianerottolo interrato	CRTFF Uy+	0	1	0	0	0	4	0	1	-3
Pianerottolo interrato	CRTFF Uy-	0	-1	0	0	0	-4	0	-1	3
Pianerottolo interrato	CRTFF Rz+	0	0	0	0	0	0	0	0	0
Pianerottolo interrato	CRTFF Rz-	0	0	0	0	0	0	0	0	0
Piano terra	Pesi	0	0	-132847	202	-235	-20582	5154	-683	-106665
Piano terra	Port.	0	0	-9664	205	0	-4163	-232	49	-5519
Piano terra	Neve	0	0	-2141	-1	24	-292	-3	-26	-1851
Piano terra	Variabile C	0	0	-27132	160	-166	-4864	2172	-199	-19605
Piano terra	X SLV	18306	-6	-139	942	3	20708	15810	-133	-21336
Piano terra	Y SLV	-37	7659	161	638	4517	15557	-1902	2392	-15715
Piano terra	EY SLV	0	0	0	-71	93	-74	152	-105	91
Piano terra	EX SLV	0	0	0	97	-133	88	-222	147	-117
Piano terra	X SLO	12394	11	-96	638	5	13998	10708	-83	-14422
Piano terra	Y SLO	18	5447	195	450	3072	10508	-1269	1819	-10532
Piano terra	EY SLO	0	0	0	-61	80	-64	131	-90	79
Piano terra	EX SLO	0	0	0	84	-114	76	-191	126	-101
Piano terra	R Ux	1	0	0	0	0	2	1	0	-2
Piano terra	R Uy	0	1	0	0	1	4	0	0	-4
Piano terra	R Rz	0	0	0	0	0	0	0	0	0
Piano terra	SLU 1	0	0	-132847	202	-235	-20582	5154	-683	-106665
Piano terra	SLU 2	0	0	-173545	442	-484	-27878	8412	-981	-136073
Piano terra	SLU 3	0	0	-175151	441	-466	-28097	8409	-1001	-137461
Piano terra	SLU 4	0	0	-136059	200	-199	-21020	5149	-721	-109441
Piano terra	SLU 5	0	0	-164547	368	-373	-26127	7430	-930	-130027
Piano terra	SLU 6	0	0	-147343	510	-235	-26827	4806	-610	-114944
Piano terra	SLU 7	0	0	-188041	750	-484	-34123	8064	-908	-144352
Piano terra	SLU 8	0	0	-189647	750	-465	-34342	8061	-928	-145740
Piano terra	SLU 9	0	0	-150555	508	-198	-27265	4802	-648	-117720
Piano terra	SLU 10	0	0	-179044	676	-372	-32372	7082	-857	-138306
Piano terra	SLU 11	0	0	-172701	262	-306	-26756	6701	-888	-138665
Piano terra	SLU 12	0	0	-213399	503	-555	-34052	9958	-1186	-168073
Piano terra	SLU 13	0	0	-215005	502	-537	-34271	9956	-1206	-169461
Piano terra	SLU 14	0	0	-175913	260	-269	-27194	6696	-926	-141441
Piano terra	SLU 15	0	0	-204402	429	-444	-32301	8976	-1135	-162026
Piano terra	SLU 16	0	0	-187198	570	-306	-33002	6353	-815	-146944
Piano terra	SLU 17	0	0	-227895	811	-554	-40297	9610	-1113	-176352
Piano terra	SLU 18	0	0	-229501	810	-536	-40516	9608	-1132	-177740
Piano terra	SLU 19	0	0	-190409	569	-269	-33439	6348	-853	-149720
Piano terra	SLU 20	0	0	-218898	737	-443	-38546	8628	-1062	-170305
Piano terra	SLE RA 1	0	0	-142511	407	-235	-24745	4922	-634	-112185
Piano terra	SLE RA 2	0	0	-169643	568	-401	-29609	7094	-833	-131790

Livello Nome	Cont. N.br.	Totale			Aste verticali			Pareti		
		X	F Y	Z	X	F Y	Z	X	F Y	Z
Piano terra	SLE RA 3	0	0	-170714	567	-389	-29755	7092	-846	-132715
Piano terra	SLE RA 4	0	0	-144653	406	-211	-25037	4919	-660	-114035
Piano terra	SLE RA 5	0	0	-163645	518	-327	-28442	6439	-799	-127759
Piano terra	SLE FR 1	0	0	-142511	407	-235	-24745	4922	-634	-112185
Piano terra	SLE FR 2	0	0	-161504	519	-351	-28150	6443	-773	-125908
Piano terra	SLE FR 3	0	0	-142940	407	-230	-24804	4922	-639	-112555
Piano terra	SLE FR 4	0	0	-159219	503	-330	-27722	6225	-759	-124318
Piano terra	SLE QP 1	0	0	-142511	407	-235	-24745	4922	-634	-112185
Piano terra	SLE QP 2	0	0	-158790	503	-335	-27664	6225	-754	-123948
Piano terra	SLO 1	-12399	-1645	-158753	-183	-1376	-44727	-4290	-1088	-106475
Piano terra	SLO 2	-12399	-1645	-158753	-355	-1147	-44900	-3914	-1344	-106257
Piano terra	SLO 3	-12389	1623	-158636	87	467	-38423	-5052	3	-112794
Piano terra	SLO 4	-12389	1623	-158636	-85	696	-38595	-4675	-253	-112577
Piano terra	SLO 5	-3736	-5450	-158957	-36	-3547	-42276	4052	-2394	-109214
Piano terra	SLO 6	-3736	-5450	-158957	-239	-3270	-42466	4513	-2701	-108965
Piano terra	SLO 7	-3701	5443	-158567	864	2598	-21260	1514	1244	-130277
Piano terra	SLO 8	-3701	5443	-158567	660	2874	-21450	1974	937	-130029
Piano terra	SLO 9	3701	-5443	-159014	347	-3544	-33877	10477	-2444	-117867
Piano terra	SLO 10	3701	-5443	-159014	143	-3267	-34068	10937	-2751	-117618
Piano terra	SLO 11	3736	5450	-158624	1246	2601	-12861	7938	1194	-138930
Piano terra	SLO 12	3736	5450	-158624	1042	2878	-13052	8399	887	-138682
Piano terra	SLO 13	12389	-1623	-158944	1092	-1365	-16732	17126	-1254	-135319
Piano terra	SLO 14	12389	-1623	-158944	920	-1137	-16905	17502	-1510	-135101
Piano terra	SLO 15	12399	1645	-158827	1362	478	-10427	16364	-163	-141638
Piano terra	SLO 16	12399	1645	-158827	1190	707	-10600	16741	-419	-141420
Piano terra	SLV 1	-18295	-2291	-158700	-530	-1826	-52939	-9233	-1189	-98024
Piano terra	SLV 2	-18295	-2291	-158700	-729	-1560	-53139	-8795	-1486	-97771
Piano terra	SLV 3	-18317	2304	-158603	-147	884	-43604	-10374	246	-107452
Piano terra	SLV 4	-18317	2304	-158603	-347	1150	-43805	-9936	-51	-107200
Piano terra	SLV 5	-5455	-7657	-158909	-299	-5013	-49323	3117	-2927	-101976
Piano terra	SLV 6	-5455	-7657	-158909	-536	-4692	-49544	3652	-3284	-101688
Piano terra	SLV 7	-5528	7661	-158588	977	4021	-18208	-687	1857	-133406
Piano terra	SLV 8	-5528	7661	-158588	741	4342	-18429	-152	1500	-133117
Piano terra	SLV 9	5528	-7661	-158993	266	-5011	-36898	12603	-3007	-114778
Piano terra	SLV 10	5528	-7661	-158993	29	-4690	-37119	13137	-3364	-114490
Piano terra	SLV 11	5455	7657	-158672	1542	4022	-5783	8799	1776	-146208
Piano terra	SLV 12	5455	7657	-158672	1306	4344	-6005	9334	1420	-145919
Piano terra	SLV 13	18317	-2304	-158977	1353	-1819	-11522	22387	-1456	-140696
Piano terra	SLV 14	18317	-2304	-158977	1154	-1554	-11723	22824	-1753	-140443
Piano terra	SLV 15	18295	2291	-158881	1736	891	-2188	21246	-21	-150125
Piano terra	SLV 16	18295	2291	-158881	1537	1156	-2389	21683	-318	-149872
Piano terra	SLV FO 1	-20125	-2521	-158691	-633	-1975	-55466	-10778	-1233	-95431
Piano terra	SLV FO 2	-20125	-2521	-158691	-853	-1683	-55687	-10297	-1560	-95153
Piano terra	SLV FO 3	-20149	2534	-158585	-212	1006	-45198	-12033	346	-105803
Piano terra	SLV FO 4	-20149	2534	-158585	-432	1298	-45419	-11552	19	-105525
Piano terra	SLV FO 5	-6001	-8423	-158921	-379	-5481	-51489	2806	-3145	-99779
Piano terra	SLV FO 6	-6001	-8423	-158921	-640	-5127	-51732	3394	-3537	-99462
Piano terra	SLV FO 7	-6081	8427	-158568	1025	4456	-17263	-1378	2118	-134352
Piano terra	SLV FO 8	-6081	8427	-158568	764	4809	-17506	-789	1725	-134034
Piano terra	SLV FO 9	-6081	8427	-159013	242	-5479	-37821	13240	-3233	-113861
Piano terra	SLV FO 10	-6081	8427	-159013	-18	-5125	-38065	13829	-3625	-113544
Piano terra	SLV FO 11	6001	8423	-158660	1646	4458	-3595	9057	2029	-148434
Piano terra	SLV FO 12	6001	8423	-158660	1386	4812	-3839	9645	1637	-148116
Piano terra	SLV FO 13	20149	-2534	-158996	1438	-1968	-9908	24003	-1526	-142371
Piano terra	SLV FO 14	20149	-2534	-158996	1219	-1676	-10129	24484	-1853	-142093
Piano terra	SLV FO 15	20125	2521	-158890	1860	1013	360	22748	52	-152743
Piano terra	SLV FO 16	20125	2521	-158890	1640	1306	139	23229	-274	-152464
Piano terra	CRTFP Ux+	1	0	0	0	0	2	1	0	-2
Piano terra	CRTFP Ux-	-1	0	0	0	0	-2	-1	0	2
Piano terra	CRTFP Uy+	0	1	0	0	1	4	0	0	-4
Piano terra	CRTFP Uy-	0	-1	0	0	-1	-4	0	0	4
Piano terra	CRTFP Rz+	0	0	0	0	0	0	0	0	0
Piano terra	CRTFP Rz-	0	0	0	0	0	0	0	0	0
1° pianerottolo	Pesi	0	0	-110982	367	-50	-20731	7509	-199	-92511
1° pianerottolo	Port.	0	0	-9664	245	11	-4705	-259	40	-4985
1° pianerottolo	Neve	0	0	-2141	3	28	-393	-8	-35	-1745
1° pianerottolo	Variabile C	0	0	-23082	191	-77	-5173	2760	-50	-18518
1° pianerottolo	X SLV	16469	-107	-525	855	-123	22297	14676	-624	-22509
1° pianerottolo	Y SLV	555	7151	-1773	1035	5031	4016	-1685	588	-5411
1° pianerottolo	EY SLV	0	0	0	-71	118	-427	154	-66	390
1° pianerottolo	EX SLV	0	0	0	100	-174	598	-225	106	-542
1° pianerottolo	X SLO	11117	-61	-290	579	-83	15070	9912	-413	-15153
1° pianerottolo	Y SLO	546	5110	-1597	706	3423	2595	-985	641	-3944
1° pianerottolo	EY SLO	0	0	0	-61	101	-368	133	-57	336
1° pianerottolo	EX SLO	0	0	0	86	-150	515	-194	91	-467
1° pianerottolo	R Ux	1	0	0	0	0	2	1	0	-2
1° pianerottolo	R Uy	0	1	0	0	1	1	0	0	-1
1° pianerottolo	R Rz	0	0	0	0	0	0	0	0	0
1° pianerottolo	SLU 1	0	0	-110982	367	-50	-20731	7509	-199	-92511
1° pianerottolo	SLU 2	0	0	-145605	654	-166	-28490	11649	-273	-120288
1° pianerottolo	SLU 3	0	0	-147211	656	-145	-28785	11643	-299	-121597
1° pianerottolo	SLU 4	0	0	-114194	372	-8	-21321	7498	-251	-95129
1° pianerottolo	SLU 5	0	0	-138430	573	-89	-26752	10395	-303	-114573
1° pianerottolo	SLU 6	0	0	-125479	735	-34	-27789	7121	-139	-99988
1° pianerottolo	SLU 7	0	0	-160101	1021	-149	-35548	11261	-214	-127765
1° pianerottolo	SLU 8	0	0	-161707	1024	-128	-35843	11255	-240	-129074
1° pianerottolo	SLU 9	0	0	-128690	740	8	-28379	7110	-191	-102606
1° pianerottolo	SLU 10	0	0	-152926	940	-72	-33810	10007	-244	-122050
1° pianerottolo	SLU 11	0	0	-144277	477	-65	-26950	9762	-258	-120264
1° pianerottolo	SLU 12	0	0	-178900	764	-181	-34709	13902	-333	-148041
1° pianerottolo	SLU 13	0	0	-180506	766	-160	-35004	13896	-359	-149350
1° pianerottolo	SLU 14	0	0	-147489	482	-23	-27540	9751	-311	-122882
1° pianerottolo	SLU 15	0	0	-171725	683	-104	-32971	12648	-363	-142326
1° pianerottolo	SLU 16	0	0	-158773	845	-49	-34008	9374	-199	-127741
1° pianerottolo	SLU 17	0	0	-193396	1131	-164	-41767	13514	-273	-155518
1° pianerottolo	SLU 18	0	0	-195002	1134	-143	-42062	13508	-299	-156827
1° pianerottolo	SLU 19	0	0	-161985	850	-7	-34598	9363	-251	-130359
1° pianerottolo	SLU 20	0	0	-186221	1050	-87	-40029	12260	-303	-149803
1° pianerottolo	SLE RA 1	0	0	-120647	612	-39	-25436	7251	-159	-97496
1° pianerottolo	SLE RA 2	0	0	-143728	803	-116	-30609	10010	-209	-116013
1° pianerottolo	SLE RA 3	0	0	-144799	805	-102	-30805	10006	-226	-116886
1° pianerottolo	SLE RA 4	0	0	-122788	615	-11	-25829	7243	-194	-99241
1° pianerottolo	SLE RA 5	0	0	-138945	749	-65	-29450	9175	-229	-112203
1° pianerottolo	SLE FR 1	0	0	-120647	612	-39	-25436	7251	-159	-97496
1° pianerottolo	SLE FR 2	0	0	-136804	746	-93	-29057	9182	-194	-110458
1° pianerottolo	SLE FR 3	0	0	-121075	613	-34	-25515	7249	-166	-97845
1° pianerottolo	SLE FR 4	0	0	-134924	727	-80	-28618	8905	-196	-108955
1° pianerottolo	SLE QP 1	0	0	-120647	612	-39	-25436	7251	-159	-97496
1° pianerottolo	SLE QP 2	0	0	-134496	727	-85	-28540	8906	-189	-108606
1° pianerottolo	SLO 1	-11281	-1472	-133727	22	-1175	-43866	-900	116	-92746
1° pianerottolo	SLO 2	-11281	-1472	-133727	-151	-883	-44910	-519	-53	-91795
1° pianerottolo	SLO 3	-10953	1594	-134685	446	879	-42309	-1491	500	-95112
1° pianerottolo	SLO 4	-10953	1594	-134685	273	1171	-43353	-1110	332	-94161
1° pianerottolo	SLO 5	-3881	-5091	-132812	-49	-3664	-35031	6684	-598	-100684
1° pianerottolo	SLO 6	-3881	-5091	-132812	-257	-3303	-36281	7151	-815	-99549
1° pianerottolo	SLO 7	-2789	5128	-136006	1363	3183	-29841	4715	685	-108572
1° pianerottolo	SLO 8	-2789	5128	-136006	1155	3543	-31090	5182	468	-107437
1° pianerottolo	SLO 9	-2789	-5128	-132985	298	-3714	-25989	12631	-845	-109776

Livello Nome	Cont. N.br.	Totale			Aste verticali			Pareti		
		X	F Y	Z	X	F Y	Z	X	F Y	Z
1° pianerottolo	SLO 10	2789	-5128	-132985	90	-3353	-27239	13098	-1062	-108641
1° pianerottolo	SLO 11	3881	5091	-136180	1711	3133	-20799	10662	437	-117663
1° pianerottolo	SLO 12	3881	5091	-136180	1502	3493	-22048	11129	221	-116529
1° pianerottolo	SLO 13	10953	-1594	-134306	1180	-1342	-13726	18923	-710	-123052
1° pianerottolo	SLO 14	10953	-1594	-134306	1007	-1049	-14770	19304	-878	-122100
1° pianerottolo	SLO 15	11281	1472	-135264	1604	712	-12169	18332	-325	-125418
1° pianerottolo	SLO 16	11281	1472	-135264	1431	1005	-13213	18713	-493	-124466
1° pianerottolo	SLV 1	-16635	-2038	-133439	-338	-1642	-51435	-5486	357	-85027
1° pianerottolo	SLV 2	-16635	-2038	-133439	-539	-1302	-52647	-5043	162	-83922
1° pianerottolo	SLV 3	-16302	2253	-134503	283	1377	-49025	-6497	710	-88274
1° pianerottolo	SLV 4	-16302	2253	-134503	82	1717	-50238	-6054	514	-87169
1° pianerottolo	SLV 5	-5496	-7119	-132565	-444	-5289	-38519	5918	-463	-97101
1° pianerottolo	SLV 6	-5496	-7119	-132565	-686	-4870	-39970	6460	-715	-95783
1° pianerottolo	SLV 7	-4385	7184	-136111	1626	4773	-30487	2547	712	-107924
1° pianerottolo	SLV 8	-4385	7184	-136111	1385	5192	-31939	3090	460	-106606
1° pianerottolo	SLV 9	4385	-7184	-132880	69	-5363	-25141	14723	-838	-110606
1° pianerottolo	SLV 10	4385	-7184	-132880	-173	-4944	-26592	15266	-1090	-109288
1° pianerottolo	SLV 11	5496	7119	-136426	2139	4700	-17109	11353	337	-121429
1° pianerottolo	SLV 12	5496	7119	-136426	1898	5119	-18561	11895	86	-120111
1° pianerottolo	SLV 13	16302	-2253	-134489	1371	-1888	-6841	23867	-892	-130044
1° pianerottolo	SLV 14	16302	-2253	-134489	1170	-1548	-8054	24310	-1087	-128939
1° pianerottolo	SLV 15	16635	2038	-135552	1992	1131	-4432	22856	-539	-133291
1° pianerottolo	SLV 16	16635	2038	-135552	1792	1471	-5645	23298	-735	-132186
1° pianerottolo	SLV FO 1	-18299	-2242	-133333	-445	-1797	-53724	-6925	412	-82669
1° pianerottolo	SLV FO 2	-18299	-2242	-133333	-666	-1424	-55058	-6438	197	-81453
1° pianerottolo	SLV FO 3	-17932	2478	-134503	238	1523	-51074	-8037	800	-86240
1° pianerottolo	SLV FO 4	-17932	2478	-134503	18	1897	-52408	-7550	585	-85025
1° pianerottolo	SLV FO 5	-6046	-7831	-132372	-561	-5810	-39516	5619	-491	-95951
1° pianerottolo	SLV FO 6	-6046	-7831	-132372	-827	-5349	-41113	6215	-767	-94501
1° pianerottolo	SLV FO 7	-4824	7902	-136273	1716	5259	-30682	1911	802	-107856
1° pianerottolo	SLV FO 8	-4824	7902	-136273	1450	5720	-32279	2508	525	-106406
1° pianerottolo	SLV FO 9	4824	-7902	-132718	3	-5891	-24801	15305	-903	-110806
1° pianerottolo	SLV FO 10	4824	-7902	-132718	-263	-5430	-26397	15902	-1180	-109357
1° pianerottolo	SLV FO 11	6046	7831	-136619	2280	5178	-15966	11598	390	-122712
1° pianerottolo	SLV FO 12	6046	7831	-136619	2015	5639	-17563	12194	113	-121262
1° pianerottolo	SLV FO 13	17932	-2478	-134488	1436	-2068	-4671	25363	-962	-132188
1° pianerottolo	SLV FO 14	17932	-2478	-134488	1215	-1694	-6006	25850	-1177	-130972
1° pianerottolo	SLV FO 15	18299	2242	-135658	2119	1253	-2021	24250	-574	-135759
1° pianerottolo	SLV FO 16	18299	2242	-135658	1898	1627	-3355	24738	-789	-134544
1° pianerottolo	CRTPF Ux+	1	0	0	0	0	2	1	0	-2
1° pianerottolo	CRTPF Ux-	-1	0	0	0	0	-2	-1	0	2
1° pianerottolo	CRTPF Uy+	0	1	0	0	1	1	0	0	-1
1° pianerottolo	CRTPF Uy-	0	-1	0	0	-1	-1	0	0	1
1° pianerottolo	CRTPF Rz+	0	0	0	0	0	0	0	0	0
1° pianerottolo	CRTPF Rz-	0	0	0	0	0	0	0	0	0
2° pianerottolo	Pesi	0	0	-79240	0	0	0	1758	-681	-76650
2° pianerottolo	Port.	0	0	-268	0	0	0	125	-39	-186
2° pianerottolo	Neve	0	0	-2141	0	0	0	129	-74	-2056
2° pianerottolo	Variabile C	0	0	-16039	0	0	0	660	10	-14951
2° pianerottolo	X SLV	13276	-500	-3057	0	0	0	11611	-99	-3619
2° pianerottolo	Y SLV	71	5387	-562	0	0	0	10150	-851	6320
2° pianerottolo	EY SLV	0	0	0	0	0	0	-803	85	-404
2° pianerottolo	EX SLV	0	0	0	0	0	0	1306	-140	654
2° pianerottolo	X SLO	9079	-469	-1829	0	0	0	7839	-156	-2278
2° pianerottolo	Y SLO	23	3613	-550	0	0	0	6994	-736	4250
2° pianerottolo	EY SLO	0	0	0	0	0	0	-691	73	-348
2° pianerottolo	EX SLO	0	0	0	0	0	0	1124	-120	563
2° pianerottolo	R Ux	1	0	0	0	0	0	1	0	0
2° pianerottolo	R Uy	0	1	0	0	0	0	2	-1	2
2° pianerottolo	R Rz	0	0	0	0	0	0	0	0	0
2° pianerottolo	SLU 1	0	0	-79240	0	0	0	1758	-681	-76650
2° pianerottolo	SLU 2	0	0	-103298	0	0	0	2748	-666	-39077
2° pianerottolo	SLU 3	0	0	-104904	0	0	0	2845	-721	-100620
2° pianerottolo	SLU 4	0	0	-82451	0	0	0	1952	-792	-79735
2° pianerottolo	SLU 5	0	0	-99292	0	0	0	2645	-782	-95434
2° pianerottolo	SLU 6	0	0	-79641	0	0	0	1945	-740	-76929
2° pianerottolo	SLU 7	0	0	-103699	0	0	0	2935	-724	-99356
2° pianerottolo	SLU 8	0	0	-105305	0	0	0	3032	-780	-100898
2° pianerottolo	SLU 9	0	0	-82853	0	0	0	2139	-851	-80013
2° pianerottolo	SLU 10	0	0	-99694	0	0	0	2832	-840	-95712
2° pianerottolo	SLU 11	0	0	-103011	0	0	0	2285	-886	-99645
2° pianerottolo	SLU 12	0	0	-127070	0	0	0	3276	-870	-122073
2° pianerottolo	SLU 13	0	0	-128675	0	0	0	3373	-926	-123615
2° pianerottolo	SLU 14	0	0	-106223	0	0	0	2479	-997	-102730
2° pianerottolo	SLU 15	0	0	-123064	0	0	0	3172	-986	-118429
2° pianerottolo	SLU 16	0	0	-103413	0	0	0	2472	-944	-99924
2° pianerottolo	SLU 17	0	0	-127471	0	0	0	3463	-929	-122351
2° pianerottolo	SLU 18	0	0	-129077	0	0	0	3560	-984	-123893
2° pianerottolo	SLU 19	0	0	-106625	0	0	0	2666	-1055	-103008
2° pianerottolo	SLU 20	0	0	-123465	0	0	0	3359	-1044	-118707
2° pianerottolo	SLE RA 1	0	0	-79507	0	0	0	1882	-720	-76836
2° pianerottolo	SLE RA 2	0	0	-95546	0	0	0	2543	-710	-91787
2° pianerottolo	SLE RA 3	0	0	-96617	0	0	0	2607	-747	-92815
2° pianerottolo	SLE RA 4	0	0	-81648	0	0	0	2012	-794	-78892
2° pianerottolo	SLE RA 5	0	0	-92876	0	0	0	2474	-787	-89358
2° pianerottolo	SLE FR 1	0	0	-79507	0	0	0	1882	-720	-76836
2° pianerottolo	SLE FR 2	0	0	-90734	0	0	0	2345	-713	-87302
2° pianerottolo	SLE FR 3	0	0	-79935	0	0	0	1908	-735	-77247
2° pianerottolo	SLE FR 4	0	0	-89559	0	0	0	2305	-729	-86218
2° pianerottolo	SLE QP 1	0	0	-79507	0	0	0	1882	-720	-76836
2° pianerottolo	SLE QP 2	0	0	-89130	0	0	0	2279	-714	-85807
2° pianerottolo	SLO 1	-9086	-615	-87137	0	0	0	-6630	-447	-84287
2° pianerottolo	SLO 2	-9086	-615	-87137	0	0	0	-8687	-228	-85321
2° pianerottolo	SLO 3	-9072	1553	-87467	0	0	0	-2434	-889	-81737
2° pianerottolo	SLO 4	-9072	1553	-87467	0	0	0	-4491	-670	-82771
2° pianerottolo	SLO 5	-2747	-3472	-88032	0	0	0	-5736	-74	-88705
2° pianerottolo	SLO 6	-2747	-3472	-88032	0	0	0	-8398	211	-90041
2° pianerottolo	SLO 7	-2700	3754	-89131	0	0	0	8252	-1546	-80206
2° pianerottolo	SLO 8	-2700	3754	-89131	0	0	0	5589	-1261	-81541
2° pianerottolo	SLO 9	2700	-3754	-89129	0	0	0	-1032	-167	-90072
2° pianerottolo	SLO 10	2700	-3754	-89129	0	0	0	-3695	118	-91407
2° pianerottolo	SLO 11	2747	3472	-90229	0	0	0	12956	-1639	-81573
2° pianerottolo	SLO 12	2747	3472	-90229	0	0	0	10293	-1354	-82908
2° pianerottolo	SLO 13	9072	-1553	-90794	0	0	0	9048	-758	-88842
2° pianerottolo	SLO 14	9072	-1553	-90794	0	0	0	6991	-539	-89876
2° pianerottolo	SLO 15	9086	615	-91124	0	0	0	13245	-1200	-86293
2° pianerottolo	SLO 16	9086	615	-91124	0	0	0	11188	-981	-87326
2° pianerottolo	SLV 1	-13297	-1116	-85904	0	0	0	-11183	-487	-83483
2° pianerottolo	SLV 2	-13297	-1116	-85904	0	0	0	-13572	-233	-84684
2° pianerottolo	SLV 3	-13255	2116	-86242	0	0	0	-5092	-997	-79691
2° pianerottolo	SLV 4	-13255	2116	-86242	0	0	0	-7481	-743	-80891
2° pianerottolo	SLV 5	-4054	-5237	-87651	0	0	0	-9808	1	-90266
2° pianerottolo	SLV 6	-4054	-5237	-87651	0	0	0	-12901	332	-91817
2° pianerottolo	SLV 7	-3912	5537	-88776	0	0	0	10492	-1700	-77625
2° pianerottolo	SLV 8	-3912	5537	-88776	0	0	0	7399	-1370	-79176
2° pianerottolo	SLV 9	3912	-5537	-89485	0	0	0	-2842	-59	-92438
2° pianerottolo	SLV 10	3912	-5537	-89485	0	0	0	-5935	272	-93988
2° pianerottolo	SLV 11	4054	5237	-90610	0	0	0	17459	-1760	-79797

Livello Nome	Cont. N.br.	Totale			Aste verticali			Pareti		
		X	F Y	Z	X	F Y	Z	X	F Y	Z
2° pianerottolo	SLV 12	4054	5237	-90610	0	0	0	14366	-1429	-81347
2° pianerottolo	SLV 13	13255	-2116	-92019	0	0	0	12039	-685	-90722
2° pianerottolo	SLV 14	13255	-2116	-92019	0	0	0	9650	-431	-91922
2° pianerottolo	SLV 15	13297	1116	-92357	0	0	0	18129	-1195	-86930
2° pianerottolo	SLV 16	13297	1116	-92357	0	0	0	15740	-941	-88130
2° pianerottolo	SLV FO 1	-14627	-1227	-85582	0	0	0	-12529	-464	-83251
2° pianerottolo	SLV FO 2	-14627	-1227	-85582	0	0	0	-15157	-185	-84571
2° pianerottolo	SLV FO 3	-14580	2328	-85953	0	0	0	-5829	-1025	-79080
2° pianerottolo	SLV FO 4	-14580	2328	-85953	0	0	0	-8457	-746	-80400
2° pianerottolo	SLV FO 5	-4459	-5761	-87503	0	0	0	-11017	72	-90712
2° pianerottolo	SLV FO 6	-4459	-5761	-87503	0	0	0	-14419	436	-92418
2° pianerottolo	SLV FO 7	-4303	6091	-88740	0	0	0	11314	-1799	-76807
2° pianerottolo	SLV FO 8	-4303	6091	-88740	0	0	0	7912	-1435	-78513
2° pianerottolo	SLV FO 9	4303	-6091	-89521	0	0	0	-3354	7	-93101
2° pianerottolo	SLV FO 10	4303	-6091	-89521	0	0	0	-6756	371	-94806
2° pianerottolo	SLV FO 11	4459	5761	-90758	0	0	0	18977	-1864	-79196
2° pianerottolo	SLV FO 12	4459	5761	-90758	0	0	0	15575	-1500	-80901
2° pianerottolo	SLV FO 13	14580	-2328	-92308	0	0	0	13015	-682	-91213
2° pianerottolo	SLV FO 14	14580	-2328	-92308	0	0	0	10387	-403	-92534
2° pianerottolo	SLV FO 15	14627	1227	-92679	0	0	0	19714	-1243	-87042
2° pianerottolo	SLV FO 16	14627	1227	-92679	0	0	0	17086	-964	-88362
2° pianerottolo	CRTFP Ux+	1	0	0	0	0	0	1	0	0
2° pianerottolo	CRTFP Ux-	-1	0	0	0	0	0	-1	0	0
2° pianerottolo	CRTFP Uy+	0	1	0	0	0	0	2	-1	2
2° pianerottolo	CRTFP Uy-	0	-1	0	0	0	0	-2	1	-2
2° pianerottolo	CRTFP Rz+	0	0	0	0	0	0	0	0	0
2° pianerottolo	CRTFP Rz-	0	0	0	0	0	0	0	0	0
Piano 1 - 3° pianerottolo	Pesi	0	0	-66315	0	0	0	825	-382	-64628
Piano 1 - 3° pianerottolo	Port.	0	0	-268	0	0	0	5	0	-271
Piano 1 - 3° pianerottolo	Neve	0	0	-2141	0	0	0	40	-4	-2166
Piano 1 - 3° pianerottolo	Variabile C	0	0	-10972	0	0	0	300	-203	-10043
Piano 1 - 3° pianerottolo	X SLV	10996	25	-1606	0	0	0	10571	57	-1330
Piano 1 - 3° pianerottolo	Y SLV	-49	5353	411	0	0	0	2951	5085	-1508
Piano 1 - 3° pianerottolo	EY SLV	0	0	0	0	0	0	393	26	-227
Piano 1 - 3° pianerottolo	EX SLV	0	0	0	0	0	0	-615	-24	358
Piano 1 - 3° pianerottolo	X SLO	7466	42	-1072	0	0	0	7108	68	-840
Piano 1 - 3° pianerottolo	Y SLO	-69	3823	331	0	0	0	2134	3618	-1084
Piano 1 - 3° pianerottolo	EY SLO	0	0	0	0	0	0	338	23	-196
Piano 1 - 3° pianerottolo	EX SLO	0	0	0	0	0	0	-529	-20	308
Piano 1 - 3° pianerottolo	R Ux	1	0	0	0	0	0	1	0	0
Piano 1 - 3° pianerottolo	R Uy	0	1	0	0	0	0	1	1	-1
Piano 1 - 3° pianerottolo	R Rz	0	0	0	0	0	0	0	0	0
Piano 1 - 3° pianerottolo	SLU 1	0	0	-66315	0	0	0	825	-382	-64628
Piano 1 - 3° pianerottolo	SLU 2	0	0	-82773	0	0	0	1275	-687	-79693
Piano 1 - 3° pianerottolo	SLU 3	0	0	-84379	0	0	0	1305	-690	-81318
Piano 1 - 3° pianerottolo	SLU 4	0	0	-69527	0	0	0	885	-388	-67878
Piano 1 - 3° pianerottolo	SLU 5	0	0	-81047	0	0	0	1200	-601	-78423
Piano 1 - 3° pianerottolo	SLU 6	0	0	-66716	0	0	0	832	-382	-65035
Piano 1 - 3° pianerottolo	SLU 7	0	0	-83175	0	0	0	1282	-687	-80099
Piano 1 - 3° pianerottolo	SLU 8	0	0	-84781	0	0	0	1312	-690	-81724
Piano 1 - 3° pianerottolo	SLU 9	0	0	-69928	0	0	0	892	-388	-68284
Piano 1 - 3° pianerottolo	SLU 10	0	0	-81449	0	0	0	1207	-601	-78829
Piano 1 - 3° pianerottolo	SLU 11	0	0	-86209	0	0	0	1073	-496	-84017
Piano 1 - 3° pianerottolo	SLU 12	0	0	-102668	0	0	0	1523	-801	-99082
Piano 1 - 3° pianerottolo	SLU 13	0	0	-104273	0	0	0	1552	-804	-100706
Piano 1 - 3° pianerottolo	SLU 14	0	0	-89421	0	0	0	1132	-502	-87266
Piano 1 - 3° pianerottolo	SLU 15	0	0	-100942	0	0	0	1447	-716	-97811
Piano 1 - 3° pianerottolo	SLU 16	0	0	-86611	0	0	0	1080	-496	-84423
Piano 1 - 3° pianerottolo	SLU 17	0	0	-103069	0	0	0	1530	-801	-99488
Piano 1 - 3° pianerottolo	SLU 18	0	0	-104675	0	0	0	1560	-804	-101112
Piano 1 - 3° pianerottolo	SLU 19	0	0	-89822	0	0	0	1140	-502	-87672
Piano 1 - 3° pianerottolo	SLU 20	0	0	-101343	0	0	0	1455	-716	-98218
Piano 1 - 3° pianerottolo	SLE RA 1	0	0	-66582	0	0	0	830	-382	-64899
Piano 1 - 3° pianerottolo	SLE RA 2	0	0	-77555	0	0	0	1130	-585	-74942
Piano 1 - 3° pianerottolo	SLE RA 3	0	0	-78625	0	0	0	1150	-587	-76025
Piano 1 - 3° pianerottolo	SLE RA 4	0	0	-68724	0	0	0	870	-386	-67065
Piano 1 - 3° pianerottolo	SLE RA 5	0	0	-76404	0	0	0	1080	-528	-74096
Piano 1 - 3° pianerottolo	SLE FR 1	0	0	-66582	0	0	0	830	-382	-64899
Piano 1 - 3° pianerottolo	SLE FR 2	0	0	-74263	0	0	0	1040	-524	-71929
Piano 1 - 3° pianerottolo	SLE FR 3	0	0	-67011	0	0	0	838	-383	-65332
Piano 1 - 3° pianerottolo	SLE FR 4	0	0	-73594	0	0	0	1018	-505	-71358
Piano 1 - 3° pianerottolo	SLE QP 1	0	0	-66582	0	0	0	830	-382	-64899
Piano 1 - 3° pianerottolo	SLE QP 2	0	0	-73166	0	0	0	1010	-504	-70925
Piano 1 - 3° pianerottolo	SLO 1	-7445	-1189	-72193	0	0	0	-7236	-1686	-69472

Livello Nome	Cont. N.br.	Totale			Aste verticali			Pareti		
		X	F Y	Z	X	F Y	Z	X	F Y	Z
Piano 1 - 3° pianerottolo	SLO 2	-7445	-1189	-72193	0	0	0	-6242	-1628	-70048
Piano 1 - 3° pianerottolo	SLO 3	-7486	1105	-71995	0	0	0	-5955	485	-70122
Piano 1 - 3° pianerottolo	SLO 4	-7486	1105	-71995	0	0	0	-4961	543	-70698
Piano 1 - 3° pianerottolo	SLO 5	-2171	-3836	-73175	0	0	0	-3888	-4169	-69222
Piano 1 - 3° pianerottolo	SLO 6	-2171	-3836	-73175	0	0	0	-2626	-4115	-69956
Piano 1 - 3° pianerottolo	SLO 7	-2308	3811	-72513	0	0	0	381	3066	-71390
Piano 1 - 3° pianerottolo	SLO 8	-2308	3811	-72513	0	0	0	1643	3121	-72124
Piano 1 - 3° pianerottolo	SLO 9	2308	-3811	-73818	0	0	0	377	-4128	-69726
Piano 1 - 3° pianerottolo	SLO 10	2308	-3811	-73818	0	0	0	1639	-4074	-70460
Piano 1 - 3° pianerottolo	SLO 11	2171	3836	-73156	0	0	0	4646	3107	-71894
Piano 1 - 3° pianerottolo	SLO 12	2171	3836	-73156	0	0	0	5908	3161	-72628
Piano 1 - 3° pianerottolo	SLO 13	7486	-1105	-74337	0	0	0	6981	-1550	-71152
Piano 1 - 3° pianerottolo	SLO 14	7486	-1105	-74337	0	0	0	7975	-1493	-71728
Piano 1 - 3° pianerottolo	SLO 15	7445	1189	-74138	0	0	0	8261	620	-71802
Piano 1 - 3° pianerottolo	SLO 16	7445	1189	-74138	0	0	0	9256	678	-72378
Piano 1 - 3° pianerottolo	SLV 1	-10981	-1631	-71683	0	0	0	-11024	-2120	-68808
Piano 1 - 3° pianerottolo	SLV 2	-10981	-1631	-71683	0	0	0	-9869	-2053	-69477
Piano 1 - 3° pianerottolo	SLV 3	-11011	1581	-71436	0	0	0	-9253	931	-69713
Piano 1 - 3° pianerottolo	SLV 4	-11011	1581	-71436	0	0	0	-8098	998	-70382
Piano 1 - 3° pianerottolo	SLV 5	-3249	-5360	-73095	0	0	0	-5845	-5638	-68592
Piano 1 - 3° pianerottolo	SLV 6	-3249	-5360	-73095	0	0	0	-4380	-5575	-69444
Piano 1 - 3° pianerottolo	SLV 7	-3348	5346	-72273	0	0	0	57	4533	-71608
Piano 1 - 3° pianerottolo	SLV 8	-3348	5346	-72273	0	0	0	1523	4596	-72460
Piano 1 - 3° pianerottolo	SLV 9	3348	-5346	-74058	0	0	0	497	-5603	-69390
Piano 1 - 3° pianerottolo	SLV 10	3348	-5346	-74058	0	0	0	1962	-5540	-70242
Piano 1 - 3° pianerottolo	SLV 11	3249	5360	-73237	0	0	0	6400	4567	-72406
Piano 1 - 3° pianerottolo	SLV 12	3249	5360	-73237	0	0	0	7865	4630	-73258
Piano 1 - 3° pianerottolo	SLV 13	11011	-1581	-74895	0	0	0	10118	-2006	-71468
Piano 1 - 3° pianerottolo	SLV 14	11011	-1581	-74895	0	0	0	11273	-1939	-72137
Piano 1 - 3° pianerottolo	SLV 15	10981	1631	-74649	0	0	0	11889	1045	-72373
Piano 1 - 3° pianerottolo	SLV 16	10981	1631	-74649	0	0	0	13044	1112	-73042
Piano 1 - 3° pianerottolo	SLV FO 1	-12080	-1794	-71534	0	0	0	-12227	-2282	-68597
Piano 1 - 3° pianerottolo	SLV FO 2	-12080	-1794	-71534	0	0	0	-10957	-2208	-69332
Piano 1 - 3° pianerottolo	SLV FO 3	-12112	1739	-71263	0	0	0	-10279	1075	-69592
Piano 1 - 3° pianerottolo	SLV FO 4	-12112	1739	-71263	0	0	0	-9009	1148	-70328
Piano 1 - 3° pianerottolo	SLV FO 5	-3574	-5896	-73088	0	0	0	-6531	-6151	-68359
Piano 1 - 3° pianerottolo	SLV FO 6	-3574	-5896	-73088	0	0	0	-4919	-6082	-69296
Piano 1 - 3° pianerottolo	SLV FO 7	-3683	5880	-72184	0	0	0	-38	5036	-71676
Piano 1 - 3° pianerottolo	SLV FO 8	-3683	5880	-72184	0	0	0	1574	5106	-72613
Piano 1 - 3° pianerottolo	SLV FO 9	3683	-5880	-74148	0	0	0	446	-6113	-69237
Piano 1 - 3° pianerottolo	SLV FO 10	3683	-5880	-74148	0	0	0	2058	-6044	-70174
Piano 1 - 3° pianerottolo	SLV FO 11	3574	5896	-73244	0	0	0	6939	5074	-72554
Piano 1 - 3° pianerottolo	SLV FO 12	3574	5896	-73244	0	0	0	8551	5143	-73491
Piano 1 - 3° pianerottolo	SLV FO 13	12112	-1739	-75068	0	0	0	11029	-2156	-71523
Piano 1 - 3° pianerottolo	SLV FO 14	12112	-1739	-75068	0	0	0	12299	-2082	-72258
Piano 1 - 3° pianerottolo	SLV FO 15	12080	1794	-74797	0	0	0	12977	1200	-72518
Piano 1 - 3° pianerottolo	SLV FO 16	12080	1794	-74797	0	0	0	14247	1274	-73254
Piano 1 - 3° pianerottolo	CRTFP Ux+	1	0	0	0	0	0	1	0	0
Piano 1 - 3° pianerottolo	CRTFP Ux-	-1	0	0	0	0	0	-1	0	0
Piano 1 - 3° pianerottolo	CRTFP Uy+	0	1	0	0	0	0	1	1	-1
Piano 1 - 3° pianerottolo	CRTFP Uy-	0	-1	0	0	0	0	-1	-1	1
Piano 1 - 3° pianerottolo	CRTFP Rz+	0	0	0	0	0	0	0	0	0
Piano 1 - 3° pianerottolo	CRTFP Rz-	0	0	0	0	0	0	0	0	0
4° pianerottolo	Pesi	0	0	-46249	0	0	0	2279	569	-42295
4° pianerottolo	Port.	0	0	-268	0	0	0	0	0	-267
4° pianerottolo	Neve	0	0	-2141	0	0	0	8	-2	-2134
4° pianerottolo	Variabile C	0	0	-4656	0	0	0	1130	316	-2665
4° pianerottolo	X SLV	8100	-74	73	0	0	0	7938	-55	3
4° pianerottolo	Y SLV	-289	4627	-245	0	0	0	-3	4552	10
4° pianerottolo	EY SLV	0	0	0	0	0	0	-69	-14	-28
4° pianerottolo	EX SLV	0	0	0	0	0	0	196	-18	102
4° pianerottolo	X SLO	5473	-79	54	0	0	0	5346	-64	-3
4° pianerottolo	Y SLO	-261	3489	-208	0	0	0	-64	3437	-21
4° pianerottolo	EY SLO	0	0	0	0	0	0	-59	-12	-24
4° pianerottolo	EX SLO	0	0	0	0	0	0	169	-15	87
4° pianerottolo	R Ux	1	0	0	0	0	0	1	0	0
4° pianerottolo	R Uy	0	1	0	0	0	0	0	1	0
4° pianerottolo	R Rz	0	0	0	0	0	0	0	0	0
4° pianerottolo	SLU 1	0	0	-46249	0	0	0	2279	569	-42295

Livello Nome	Cont. N.br.	Totale			Aste verticali			Pareti		
		X	F Y	Z	X	F Y	Z	X	F Y	Z
4° pianerottolo	SLU 2	0	0	-53233	0	0	0	3975	1043	-46291
4° pianerottolo	SLU 3	0	0	-54839	0	0	0	3981	1041	-47892
4° pianerottolo	SLU 4	0	0	-49461	0	0	0	2291	566	-45495
4° pianerottolo	SLU 5	0	0	-54349	0	0	0	3478	897	-48293
4° pianerottolo	SLU 6	0	0	-46650	0	0	0	2279	569	-42695
4° pianerottolo	SLU 7	0	0	-53634	0	0	0	3975	1043	-46692
4° pianerottolo	SLU 8	0	0	-55240	0	0	0	3981	1041	-48292
4° pianerottolo	SLU 9	0	0	-49862	0	0	0	2291	566	-45896
4° pianerottolo	SLU 10	0	0	-54751	0	0	0	3478	897	-48693
4° pianerottolo	SLU 11	0	0	-60123	0	0	0	2963	740	-54983
4° pianerottolo	SLU 12	0	0	-67107	0	0	0	4659	1213	-58980
4° pianerottolo	SLU 13	0	0	-68713	0	0	0	4664	1211	-60580
4° pianerottolo	SLU 14	0	0	-63335	0	0	0	2975	736	-58184
4° pianerottolo	SLU 15	0	0	-68224	0	0	0	4162	1068	-60981
4° pianerottolo	SLU 16	0	0	-60525	0	0	0	2963	740	-55383
4° pianerottolo	SLU 17	0	0	-67509	0	0	0	4659	1213	-59380
4° pianerottolo	SLU 18	0	0	-69115	0	0	0	4664	1211	-60980
4° pianerottolo	SLU 19	0	0	-63737	0	0	0	2975	736	-58584
4° pianerottolo	SLU 20	0	0	-68625	0	0	0	4162	1068	-61382
4° pianerottolo	SLE RA 1	0	0	-46516	0	0	0	2279	569	-42561
4° pianerottolo	SLE RA 2	0	0	-51172	0	0	0	3410	885	-45226
4° pianerottolo	SLE RA 3	0	0	-52243	0	0	0	3414	884	-46293
4° pianerottolo	SLE RA 4	0	0	-48658	0	0	0	2287	567	-44695
4° pianerottolo	SLE RA 5	0	0	-51917	0	0	0	3078	788	-46560
4° pianerottolo	SLE FR 1	0	0	-46516	0	0	0	2279	569	-42561
4° pianerottolo	SLE FR 2	0	0	-49776	0	0	0	3071	790	-44427
4° pianerottolo	SLE FR 3	0	0	-46945	0	0	0	2281	569	-42988
4° pianerottolo	SLE FR 4	0	0	-49738	0	0	0	2959	758	-44587
4° pianerottolo	SLE QP 1	0	0	-46516	0	0	0	2279	569	-42561
4° pianerottolo	SLE QP 2	0	0	-49310	0	0	0	2958	759	-44160
4° pianerottolo	SLO 1	-5395	-967	-49302	0	0	0	-2259	-201	-44101
4° pianerottolo	SLO 2	-5395	-967	-49302	0	0	0	-2479	-215	-44201
4° pianerottolo	SLO 3	-5551	1126	-49427	0	0	0	-2298	1861	-44114
4° pianerottolo	SLO 4	-5551	1126	-49427	0	0	0	-2518	1847	-44214
4° pianerottolo	SLO 5	-1381	-3465	-49118	0	0	0	1605	-2670	-44044
4° pianerottolo	SLO 6	-1381	-3465	-49118	0	0	0	1231	-2647	-44233
4° pianerottolo	SLO 7	-1903	3513	-49535	0	0	0	1476	4203	-44086
4° pianerottolo	SLO 8	-1903	3513	-49535	0	0	0	1103	4226	-44275
4° pianerottolo	SLO 9	1903	-3513	-49085	0	0	0	4812	-2709	-44045
4° pianerottolo	SLO 10	1903	-3513	-49085	0	0	0	4439	-2686	-44235
4° pianerottolo	SLO 11	1381	3465	-49502	0	0	0	4684	4164	-44087
4° pianerottolo	SLO 12	1381	3465	-49502	0	0	0	4310	4187	-44277
4° pianerottolo	SLO 13	5551	-1126	-49193	0	0	0	8433	-330	-44106
4° pianerottolo	SLO 14	5551	-1126	-49193	0	0	0	8213	-344	-44207
4° pianerottolo	SLO 15	5395	967	-49318	0	0	0	8394	1732	-44119
4° pianerottolo	SLO 16	5395	967	-49318	0	0	0	8174	1718	-44219
4° pianerottolo	SLV 1	-8013	-1314	-49309	0	0	0	-4852	-543	-44108
4° pianerottolo	SLV 2	-8013	-1314	-49309	0	0	0	-5107	-560	-44224
4° pianerottolo	SLV 3	-8187	1462	-49456	0	0	0	-4853	2188	-44102
4° pianerottolo	SLV 4	-8187	1462	-49456	0	0	0	-5109	2171	-44218
4° pianerottolo	SLV 5	-2141	-4605	-49086	0	0	0	796	-3790	-44061
4° pianerottolo	SLV 6	-2141	-4605	-49086	0	0	0	362	-3763	-44281
4° pianerottolo	SLV 7	-2719	4649	-49577	0	0	0	790	5314	-44041
4° pianerottolo	SLV 8	-2719	4649	-49577	0	0	0	357	5341	-44261
4° pianerottolo	SLV 9	2719	-4649	-49043	0	0	0	5558	-3824	-44060
4° pianerottolo	SLV 10	2719	-4649	-49043	0	0	0	5125	-3797	-44280
4° pianerottolo	SLV 11	2141	4605	-49534	0	0	0	5553	5281	-44039
4° pianerottolo	SLV 12	2141	4605	-49534	0	0	0	5119	5307	-44259
4° pianerottolo	SLV 13	8187	-1462	-49164	0	0	0	11024	-654	-44103
4° pianerottolo	SLV 14	8187	-1462	-49164	0	0	0	10768	-671	-44219
4° pianerottolo	SLV 15	8013	1314	-49311	0	0	0	11023	2077	-44096
4° pianerottolo	SLV 16	8013	1314	-49311	0	0	0	10767	2060	-44213
4° pianerottolo	SLV FO 1	-8814	-1445	-49309	0	0	0	-5632	-673	-44103
4° pianerottolo	SLV FO 2	-8814	-1445	-49309	0	0	0	-5914	-692	-44231
4° pianerottolo	SLV FO 3	-9005	1608	-49471	0	0	0	-5634	2331	-44096
4° pianerottolo	SLV FO 4	-9005	1608	-49471	0	0	0	-5916	2313	-44224
4° pianerottolo	SLV FO 5	-2355	-5065	-49064	0	0	0	580	-4245	-44052
4° pianerottolo	SLV FO 6	-2355	-5065	-49064	0	0	0	103	-4216	-44293
4° pianerottolo	SLV FO 7	-2991	5114	-49604	0	0	0	574	5769	-44029
4° pianerottolo	SLV FO 8	-2991	5114	-49604	0	0	0	97	5799	-44271
4° pianerottolo	SLV FO 9	2991	-5114	-49016	0	0	0	5819	-4282	-44050
4° pianerottolo	SLV FO 10	2991	-5114	-49016	0	0	0	5342	-4252	-44292
4° pianerottolo	SLV FO 11	2355	5065	-49556	0	0	0	5813	5733	-44027
4° pianerottolo	SLV FO 12	2355	5065	-49556	0	0	0	5336	5762	-44269
4° pianerottolo	SLV FO 13	9005	-1608	-49149	0	0	0	11831	-795	-44097
4° pianerottolo	SLV FO 14	9005	-1608	-49149	0	0	0	11549	-814	-44225
4° pianerottolo	SLV FO 15	8814	1445	-49311	0	0	0	11829	2209	-44090
4° pianerottolo	SLV FO 16	8814	1445	-49311	0	0	0	11548	2191	-44218
4° pianerottolo	CRTPF Ux+	1	0	0	0	0	0	1	0	0
4° pianerottolo	CRTPF Ux-	-1	0	0	0	0	0	-1	0	0
4° pianerottolo	CRTPF Uy+	0	1	0	0	0	0	0	1	0
4° pianerottolo	CRTPF Uy-	0	-1	0	0	0	0	0	-1	0
4° pianerottolo	CRTPF Rz+	0	0	0	0	0	0	0	0	0
4° pianerottolo	CRTPF Rz-	0	0	0	0	0	0	0	0	0
Piano 2 - 5° pianerottolo	Pesi	0	0	-28875	0	0	0	0	0	-28875
Piano 2 - 5° pianerottolo	Port.	0	0	-268	0	0	0	0	0	-268
Piano 2 - 5° pianerottolo	Neve	0	0	-2141	0	0	0	0	0	-2141
Piano 2 - 5° pianerottolo	Variabile C	0	0	0	0	0	0	0	0	0
Piano 2 - 5° pianerottolo	X SLV	5652	137	-3	0	0	0	5652	137	-3
Piano 2 - 5° pianerottolo	Y SLV	-80	4669	358	0	0	0	-80	4669	358
Piano 2 - 5° pianerottolo	EY SLV	0	0	0	0	0	0	0	0	0
Piano 2 - 5° pianerottolo	EX SLV	0	0	0	0	0	0	0	0	0
Piano 2 - 5° pianerottolo	X SLO	3796	85	-1	0	0	0	3796	85	-1
Piano 2 - 5° pianerottolo	Y SLO	-70	3801	290	0	0	0	-70	3801	290
Piano 2 - 5° pianerottolo	EY SLO	0	0	0	0	0	0	0	0	0
Piano 2 - 5° pianerottolo	EX SLO	0	0	0	0	0	0	0	0	0
Piano 2 - 5° pianerottolo	R Ux	1	0	0	0	0	0	1	0	0
Piano 2 - 5° pianerottolo	R Uy	0	1	0	0	0	0	0	1	0
Piano 2 - 5° pianerottolo	R Rz	0	0	0	0	0	0	0	0	0
Piano 2 - 5° pianerottolo	SLU 1	0	0	-28875	0	0	0	0	0	-28875
Piano 2 - 5° pianerottolo	SLU 2	0	0	-28875	0	0	0	0	0	-28875

Livello Nome	Cont. N.br.	Totale			Aste verticali			Pareti		
		X	F Y	Z	X	F Y	Z	X	F Y	Z
Piano 2 - 5° pianerottolo	SLU 3	0	0	-30481	0	0	0	0	0	-30481
Piano 2 - 5° pianerottolo	SLU 4	0	0	-32087	0	0	0	0	0	-32087
Piano 2 - 5° pianerottolo	SLU 5	0	0	-32087	0	0	0	0	0	-32087
Piano 2 - 5° pianerottolo	SLU 6	0	0	-29276	0	0	0	0	0	-29276
Piano 2 - 5° pianerottolo	SLU 7	0	0	-29276	0	0	0	0	0	-29276
Piano 2 - 5° pianerottolo	SLU 8	0	0	-30882	0	0	0	0	0	-30882
Piano 2 - 5° pianerottolo	SLU 9	0	0	-32488	0	0	0	0	0	-32488
Piano 2 - 5° pianerottolo	SLU 10	0	0	-32488	0	0	0	0	0	-32488
Piano 2 - 5° pianerottolo	SLU 11	0	0	-37537	0	0	0	0	0	-37537
Piano 2 - 5° pianerottolo	SLU 12	0	0	-37537	0	0	0	0	0	-37537
Piano 2 - 5° pianerottolo	SLU 13	0	0	-39143	0	0	0	0	0	-39143
Piano 2 - 5° pianerottolo	SLU 14	0	0	-40749	0	0	0	0	0	-40749
Piano 2 - 5° pianerottolo	SLU 15	0	0	-40749	0	0	0	0	0	-40749
Piano 2 - 5° pianerottolo	SLU 16	0	0	-37939	0	0	0	0	0	-37939
Piano 2 - 5° pianerottolo	SLU 17	0	0	-37939	0	0	0	0	0	-37939
Piano 2 - 5° pianerottolo	SLU 18	0	0	-39545	0	0	0	0	0	-39545
Piano 2 - 5° pianerottolo	SLU 19	0	0	-41151	0	0	0	0	0	-41151
Piano 2 - 5° pianerottolo	SLU 20	0	0	-41151	0	0	0	0	0	-41151
Piano 2 - 5° pianerottolo	SLE RA 1	0	0	-29142	0	0	0	0	0	-29142
Piano 2 - 5° pianerottolo	SLE RA 2	0	0	-29142	0	0	0	0	0	-29142
Piano 2 - 5° pianerottolo	SLE RA 3	0	0	-30213	0	0	0	0	0	-30213
Piano 2 - 5° pianerottolo	SLE RA 4	0	0	-31284	0	0	0	0	0	-31284
Piano 2 - 5° pianerottolo	SLE RA 5	0	0	-31284	0	0	0	0	0	-31284
Piano 2 - 5° pianerottolo	SLE FR 1	0	0	-29142	0	0	0	0	0	-29142
Piano 2 - 5° pianerottolo	SLE FR 2	0	0	-29142	0	0	0	0	0	-29142
Piano 2 - 5° pianerottolo	SLE FR 3	0	0	-29571	0	0	0	0	0	-29571
Piano 2 - 5° pianerottolo	SLE FR 4	0	0	-29571	0	0	0	0	0	-29571
Piano 2 - 5° pianerottolo	SLE QP 1	0	0	-29142	0	0	0	0	0	-29142
Piano 2 - 5° pianerottolo	SLE QP 2	0	0	-29142	0	0	0	0	0	-29142
Piano 2 - 5° pianerottolo	SLO 1	-3775	-1226	-29228	0	0	0	-3775	-1226	-29228
Piano 2 - 5° pianerottolo	SLO 2	-3775	-1226	-29228	0	0	0	-3775	-1226	-29228
Piano 2 - 5° pianerottolo	SLO 3	-3817	1055	-29054	0	0	0	-3817	1055	-29054
Piano 2 - 5° pianerottolo	SLO 4	-3817	1055	-29054	0	0	0	-3817	1055	-29054
Piano 2 - 5° pianerottolo	SLO 5	-1069	-3827	-29432	0	0	0	-1069	-3827	-29432
Piano 2 - 5° pianerottolo	SLO 6	-1069	-3827	-29432	0	0	0	-1069	-3827	-29432
Piano 2 - 5° pianerottolo	SLO 7	-1209	3776	-28852	0	0	0	-1209	3776	-28852
Piano 2 - 5° pianerottolo	SLO 8	-1209	3776	-28852	0	0	0	-1209	3776	-28852
Piano 2 - 5° pianerottolo	SLO 9	1209	-3776	-29433	0	0	0	1209	-3776	-29433
Piano 2 - 5° pianerottolo	SLO 10	1209	-3776	-29433	0	0	0	1209	-3776	-29433
Piano 2 - 5° pianerottolo	SLO 11	1069	3827	-28852	0	0	0	1069	3827	-28852
Piano 2 - 5° pianerottolo	SLO 12	1069	3827	-28852	0	0	0	1069	3827	-28852
Piano 2 - 5° pianerottolo	SLO 13	3817	-1055	-29231	0	0	0	3817	-1055	-29231
Piano 2 - 5° pianerottolo	SLO 14	3817	-1055	-29231	0	0	0	3817	-1055	-29231
Piano 2 - 5° pianerottolo	SLO 15	3775	1226	-29057	0	0	0	3775	1226	-29057
Piano 2 - 5° pianerottolo	SLO 16	3775	1226	-29057	0	0	0	3775	1226	-29057
Piano 2 - 5° pianerottolo	SLV 1	-5628	-1538	-29247	0	0	0	-5628	-1538	-29247
Piano 2 - 5° pianerottolo	SLV 2	-5628	-1538	-29247	0	0	0	-5628	-1538	-29247
Piano 2 - 5° pianerottolo	SLV 3	-5676	1264	-29033	0	0	0	-5676	1264	-29033
Piano 2 - 5° pianerottolo	SLV 4	-5676	1264	-29033	0	0	0	-5676	1264	-29033
Piano 2 - 5° pianerottolo	SLV 5	-1616	-4711	-29499	0	0	0	-1616	-4711	-29499
Piano 2 - 5° pianerottolo	SLV 6	-1616	-4711	-29499	0	0	0	-1616	-4711	-29499
Piano 2 - 5° pianerottolo	SLV 7	-1776	4628	-28784	0	0	0	-1776	4628	-28784
Piano 2 - 5° pianerottolo	SLV 8	-1776	4628	-28784	0	0	0	-1776	4628	-28784
Piano 2 - 5° pianerottolo	SLV 9	1776	-4628	-29501	0	0	0	1776	-4628	-29501
Piano 2 - 5° pianerottolo	SLV 10	1776	-4628	-29501	0	0	0	1776	-4628	-29501
Piano 2 - 5° pianerottolo	SLV 11	1616	4711	-28786	0	0	0	1616	4711	-28786
Piano 2 - 5° pianerottolo	SLV 12	1616	4711	-28786	0	0	0	1616	4711	-28786
Piano 2 - 5° pianerottolo	SLV 13	5676	-1264	-29252	0	0	0	5676	-1264	-29252
Piano 2 - 5° pianerottolo	SLV 14	5676	-1264	-29252	0	0	0	5676	-1264	-29252
Piano 2 - 5° pianerottolo	SLV 15	5628	1538	-29038	0	0	0	5628	1538	-29038
Piano 2 - 5° pianerottolo	SLV 16	5628	1538	-29038	0	0	0	5628	1538	-29038

Livello Nome	Cont. N.br.	Totale			Aste verticali			Pareti		
		X	F Y	Z	X	F Y	Z	X	F Y	Z
Piano 2 - 5° pianerottolo	SLV FO 1	-6191	-1692	-29258	0	0	0	-6191	-1692	-29258
Piano 2 - 5° pianerottolo	SLV FO 2	-6191	-1692	-29258	0	0	0	-6191	-1692	-29258
Piano 2 - 5° pianerottolo	SLV FO 3	-6243	1390	-29022	0	0	0	-6243	1390	-29022
Piano 2 - 5° pianerottolo	SLV FO 4	-6243	1390	-29022	0	0	0	-6243	1390	-29022
Piano 2 - 5° pianerottolo	SLV FO 5	-1777	-5182	-29535	0	0	0	-1777	-5182	-29535
Piano 2 - 5° pianerottolo	SLV FO 6	-1777	-5182	-29535	0	0	0	-1777	-5182	-29535
Piano 2 - 5° pianerottolo	SLV FO 7	-1953	5091	-28748	0	0	0	-1953	5091	-28748
Piano 2 - 5° pianerottolo	SLV FO 8	-1953	5091	-28748	0	0	0	-1953	5091	-28748
Piano 2 - 5° pianerottolo	SLV FO 9	1953	-5091	-29537	0	0	0	1953	-5091	-29537
Piano 2 - 5° pianerottolo	SLV FO 10	1953	-5091	-29537	0	0	0	1953	-5091	-29537
Piano 2 - 5° pianerottolo	SLV FO 11	1777	5182	-28750	0	0	0	1777	5182	-28750
Piano 2 - 5° pianerottolo	SLV FO 12	1777	5182	-28750	0	0	0	1777	5182	-28750
Piano 2 - 5° pianerottolo	SLV FO 13	6243	-1390	-29263	0	0	0	6243	-1390	-29263
Piano 2 - 5° pianerottolo	SLV FO 14	6243	-1390	-29263	0	0	0	6243	-1390	-29263
Piano 2 - 5° pianerottolo	SLV FO 15	6191	1692	-29027	0	0	0	6191	1692	-29027
Piano 2 - 5° pianerottolo	SLV FO 16	6191	1692	-29027	0	0	0	6191	1692	-29027
Piano 2 - 5° pianerottolo	CRTFF Ux+	1	0	0	0	0	0	1	0	0
Piano 2 - 5° pianerottolo	CRTFF Ux-	-1	0	0	0	0	0	-1	0	0
Piano 2 - 5° pianerottolo	CRTFF Uy+	0	1	0	0	0	0	0	1	0
Piano 2 - 5° pianerottolo	CRTFF Uy-	0	-1	0	0	0	0	0	-1	0
Piano 2 - 5° pianerottolo	CRTFF Rz+	0	0	0	0	0	0	0	0	0
Piano 2 - 5° pianerottolo	CRTFF Rz-	0	0	0	0	0	0	0	0	0

7.9 Risposta modale

Modo: identificativo del modo di vibrare.
Periodo: periodo. [s]
Massa X: massa partecipante in direzione globale X. Il valore è adimensionale.
Massa Y: massa partecipante in direzione globale Y. Il valore è adimensionale.
Massa Z: massa partecipante in direzione globale Z. Il valore è adimensionale.
Massa rot X: massa rotazionale partecipante attorno la direzione globale X. Il valore è adimensionale.
Massa rot Y: massa rotazionale partecipante attorno la direzione globale Y. Il valore è adimensionale.
Massa rot Z: massa rotazionale partecipante attorno la direzione globale Z. Il valore è adimensionale.

Totale masse partecipanti:
Traslazione X: 0.984806
Traslazione Y: 0.998051
Traslazione Z: 0
Rotazione X: 0.999665
Rotazione Y: 0.997475
Rotazione Z: 0.953253

Modo	Periodo	Massa X	Massa Y	Massa Z	Massa rot X	Massa rot Y	Massa rot Z
1	1.413914985	0.000489785	0.703272836	0	0.990086344	0.000446933	0.010158036
2	0.617611198	0.80904847	0.000210275	0	0.000386336	0.96375769	0.000126925
3	0.392017391	0.003830582	0.229885352	0	0.00041534	0.00375802	0.000003167
4	0.310969363	0.002907022	0.001577217	0	0.000194594	0.004053889	0.681853303
5	0.151133421	0.000076589	0.008253931	0	0.001504643	0.000982411	0.212041346
6	0.129197419	0.003413485	0.018574891	0	0.001407584	0.00000503	0.024870999
7	0.11848261	0.001173057	0.000710455	0	0.000093087	0.000049833	0.005758538
8	0.082436576	0.001549991	0.000622584	0	0.000165882	0.000287739	0.007720066
9	0.069790775	0.136878101	0.000025458	0	0.000003807	0.019759398	0.010650408
10	0.050374526	0.00161607	0.0349087	0	0.005372939	0.000201569	0.000045112
11	0.023066306	0.023822497	0.000009799	0	0.000000031	0.004177375	0.00002556

7.10 Equilibrio forze

Contributo: Nome attribuito al sistema risultante.
Fx: Componente X di traslazione del sistema risultante. [daN]
Fy: Componente Y di traslazione del sistema risultante. [daN]
Fz: Componente Z di traslazione del sistema risultante. [daN]
Mx: Componente di momento attorno l'asse X del sistema risultante. [daN*cm]
My: Componente di momento attorno l'asse Y del sistema risultante. [daN*cm]
Mz: Componente di momento attorno l'asse Z del sistema risultante. [daN*cm]
Bilancio in condizione di carico: Pesì strutturali

Contributo	Fx	Fy	Fz	Mx	My	Mz
Applicate	0	0	-195869.601	-5478356	8197873	0
Reazioni	0	0	195869.601	5478356	-8197873	0
PDelta	0	0	0	0	0	0
Totale	0	0	0	0	0	0

Bilancio in condizione di carico: Permanenti portati

Contributo	Fx	Fy	Fz	Mx	My	Mz
Applicate	0	0	-9664.116	-1115852	-1688915	0
Reazioni	0	0	9664.116	1115852	1688915	0
PDelta	0	0	0	0	0	0
Totale	0	0	0	0	0	0

Bilancio in condizione di carico: Neve

Contributo	Fx	Fy	Fz	Mx	My	Mz
Applicate	0	0	-2141.235	-42867	39426	0
Reazioni	0	0	2141.235	42867	-39426	0
PDelta	0	0	0	0	0	0
Totale	0	0	0	0	0	0

Bilancio in condizione di carico: Variabile C

Contributo	Fx	Fy	Fz	Mx	My	Mz
Applicate	0	0	-38097.599	-255098	1655695	0
Reazioni	0	0	38097.599	255098	-1655695	0
PDelta	0	0	0	0	0	0
Totale	0	0	0	0	0	0

Bilancio in condizione di carico: Sisma X SLV

Contributo	Fx	Fy	Fz	Mx	My	Mz
Applicate	22951.18	0	0	0	20209175	-409537
Reazioni	-22951.18	0	0	0	-20209175	409537
PDelta	0	0	0	0	0	0
Totale	0	0	0	0	0	0

Bilancio in condizione di carico: Sisma Y SLV

Contributo	Fx	Fy	Fz	Mx	My	Mz
Applicate	0	22951.18	0	-20209175	0	505163
Reazioni	0	-22951.18	0	20209175	0	-505163
PDelta	0	0	0	0	0	0
Totale	0	0	0	0	0	0

Bilancio in condizione di carico: Eccentricità Y per sisma X SLV						
Contributo	Fx	Fy	Fz	Mx	My	Mz
Applicate	0	0	0	0	0	-279869
Reazioni	0	0	0	0	0	279869
PDelta	0	0	0	0	0	0
Totale	0	0	0	0	0	0
Bilancio in condizione di carico: Eccentricità X per sisma Y SLV						
Contributo	Fx	Fy	Fz	Mx	My	Mz
Applicate	0	0	0	0	0	394689
Reazioni	0	0	0	0	0	-394689
PDelta	0	0	0	0	0	0
Totale	0	0	0	0	0	0
Bilancio in condizione di carico: Sisma X SLO						
Contributo	Fx	Fy	Fz	Mx	My	Mz
Applicate	19761.594	0	0	0	17400653	-352622
Reazioni	-19761.594	0	0	0	-17400653	352622
PDelta	0	0	0	0	0	0
Totale	0	0	0	0	0	0
Bilancio in condizione di carico: Sisma Y SLO						
Contributo	Fx	Fy	Fz	Mx	My	Mz
Applicate	0	19761.594	0	-17400653	0	434959
Reazioni	0	-19761.594	0	17400653	0	-434959
PDelta	0	0	0	0	0	0
Totale	0	0	0	0	0	0
Bilancio in condizione di carico: Eccentricità Y per sisma X SLO						
Contributo	Fx	Fy	Fz	Mx	My	Mz
Applicate	0	0	0	0	0	-240975
Reazioni	0	0	0	0	0	240975
PDelta	0	0	0	0	0	0
Totale	0	0	0	0	0	0
Bilancio in condizione di carico: Eccentricità X per sisma Y SLO						
Contributo	Fx	Fy	Fz	Mx	My	Mz
Applicate	0	0	0	0	0	339838
Reazioni	0	0	0	0	0	-339838
PDelta	0	0	0	0	0	0
Totale	0	0	0	0	0	0
Bilancio in condizione di carico: Rig. Ux						
Contributo	Fx	Fy	Fz	Mx	My	Mz
Applicate	1	0	0	0	1315	-17
Reazioni	-1	0	0	0	-1315	17
PDelta	0	0	0	0	0	0
Totale	0	0	0	0	0	0
Bilancio in condizione di carico: Rig. Uy						
Contributo	Fx	Fy	Fz	Mx	My	Mz
Applicate	0	1	0	-1315	0	-6
Reazioni	0	-1	0	1315	0	6
PDelta	0	0	0	0	0	0
Totale	0	0	0	0	0	0
Bilancio in condizione di carico: Rig. Rz						
Contributo	Fx	Fy	Fz	Mx	My	Mz
Applicate	0	0	0	0	0	1
Reazioni	0	0	0	0	0	-1
PDelta	0	0	0	0	0	0
Totale	0	0	0	0	0	0

7.11 Risposta di spettro

Spettro: condizione elementare corrispondente allo spettro.
N.b.: nome breve della condizione elementare.
Fx: componente della forza lungo l'asse X. [daN]
Fy: componente della forza lungo l'asse Y. [daN]
Fz: componente della forza lungo l'asse Z. [daN]
Mx: componente della coppia attorno all'asse X. [daN*cm]
My: componente della coppia attorno all'asse Y. [daN*cm]
Mz: componente della coppia attorno all'asse Z. [daN*cm]
Max X: massima reazione lungo l'asse X.
Valore: valore massimo della reazione. [daN]
Angolo: angolo d'ingresso del sisma che provoca il valore massimo della reazione. [deg]
Max Y: massima reazione lungo l'asse Y.
Valore: valore massimo della reazione. [daN]
Angolo: angolo d'ingresso del sisma che provoca il valore massimo della reazione. [deg]
Max Z: massima reazione lungo l'asse Z.
Valore: valore massimo della reazione. [daN]
Angolo: angolo d'ingresso del sisma che provoca il valore massimo della reazione. [deg]

Spettro	Fx	Fy	Fz	Mx	My	Mz	Max X		Max Y		Max Z	
N.b.							Valore	Angolo	Valore	Angolo	Valore	Angolo
X SLV	18551.95	916.93	0	337682.14	1.439E07	382459.76	18553.63	178	9386.19	88	0	0
Y SLV	916.93	9378.27	0	5.934E06	634543.93	391656.45	18553.63	178	9386.19	88	0	0
X SLO	12518.43	759.23	0	228992.55	9.726E06	299306.32	12519.38	178	7171.98	86	0	0
Y SLO	759.23	7158.55	0	4.013E06	528736.33	321310.84	12519.38	178	7171.98	86	0	0

8 Verifiche

8.1 Verifiche pilastrate C.A.

Rck: resistenza caratteristica compressione cubica del cls
quota: quota della sezione
Asp: area di acciaio di spigolo
copX: copriferro medio lungo X dell'armatura di spigolo
copY: copriferro medio lungo Y dell'armatura di spigolo
Cop: copriferro per aree di parete
ApX: area di acciaio di parete lungo X
ApY: area di acciaio di parete lungo Y
MsdX: momento di calcolo attorno all'asse X
MsdY: momento di calcolo attorno all'asse Y
Msd: sforzo normale di calcolo
coef: coefficiente di sicurezza
Co: combinazione di carico
SLV: stato limite di salvaguardia della vita
SLU: stato limite ultimo
Ger.: sollecitazioni derivanti da gerarchia delle resistenze
VEdX: taglio di calcolo lungo X
VRdX: resistenza del cls per taglio lungo X
VRsdX: resistenza delle staffe per taglio lungo X
VRcdX: resistenza delle bielle in cls per taglio lungo X
VRdY: resistenza del cls per taglio lungo Y
VRsdY: resistenza delle staffe per taglio lungo Y
VRcdY: resistenza delle bielle in cls per taglio lungo Y
VEDmax: taglio risultante massimo di calcolo
cotg: cotangente dell'angolo di inclinazione delle bielle assunto in verifica
AstX: area di staffe lungo X
AstY: area di staffe lungo Y
Luce: Luce netta del pilastro (misurata a filo delle travi)
Mxp.i: momento da gerarchia attorno all'asse X della sezione inferiore
Mxp.s: momento da gerarchia attorno all'asse X della sezione superiore
Myp.i: momento da gerarchia attorno all'asse Y della sezione inferiore
Myp.s: momento da gerarchia attorno all'asse Y della sezione superiore
Tpx: taglio lungo X in applicazione della gerarchia delle resistenze
Tpy: taglio lungo Y in applicazione della gerarchia delle resistenze
sc.ra: tensione sul cls in combinazione rara (caratteristica)
sf.ra: tensione sull'acciaio in combinazione rara (caratteristica)
sc.q.p.: tensione sul cls in combinazione quasi permanente
Mx: momento attorno all'asse X
My: momento attorno all'asse Y
N: sforzo normale
Wk ra: apertura caratteristica delle fessure in combinazione rara

Palazzo-Cavalli-Esecutivo

Wk fr: apertura caratteristica delle fessure in combinazione frequente
Wk q.p: apertura caratteristica delle fessure in combinazione quasi permanente
MdMax: momento torcente massimo
sc: tensione sul c/s
sf: tensione sull'acciaio
AminX: area minima di staffe richieste lungo X
AminY: area minima di staffe richieste lungo Y
Tmax: taglio massimo
M2: Momento flettente attorno all'asse locale 2
M3: Momento flettente attorno all'asse locale 3
bw,x: Larghezza della sezione assunta per verifica a taglio in direzione x
bw,y: Larghezza della sezione assunta per verifica a taglio in direzione y
Tmax: taglio massimo
M2p,i: momento da gerarchia attorno all'asse 2 della sezione inferiore
M2p,s: momento da gerarchia attorno all'asse 2 della sezione superiore
T3p: taglio lungo l'asse locale 3 in applicazione della gerarchia delle resistenze
A.l.: area longitudinale
A.st.: area staffe
A.l.r.: area longitudinale richiesta per la torsione
A.st.r.: area staffe richiesta per la torsione
A.l.disp.: area longitudinale disponibile per la torsione
A.st.Disp.: area staffe disponibile per la torsione
MdMax: momento torcente massimo
lambda,x lambda,y: snellezze per sbandamento in direzione degli assi di definizione della sezione
Max May: momenti dovuti alle imperfezioni costruttive
M0ex M0ey: momenti secondo EC2 5.8.8.2 (2)
M2x M2y: momenti dovuti agli effetti del secondo ordine EC2 5.8.8.2 (3)
c.s.x c.s.y: coefficienti di sicurezza a pressoflessione retta
(5.38): soddisfacimento sia di EC2 (5.38a) che di EC2 (5.38b)
(5.39): coefficiente risultato dell'applicazione del criterio semplificato EC2 (5.39)
i: interasse verticale delle staffe interne al nodo
bx, by: dimensioni x ed y assunte nella verifica del nodo
nst*Ast,x: area di una staffa per resistenza in direzione x
nst*Ast,y: area di una staffa per resistenza in direzione y
Fi,mm: diametro medio delle barre in mm
h22, h33: altezza della sezione per inflessione attorno agli assi 2 e 3
Lv,plast,22 Lv,plast,33: lunghezza della cerniera plastica per inflessione attorno agli assi 2 e 3
Lv: luce di taglio
Fy: curvatura a snervamento
R_SLU: massima rotazione alla corda in combinazione SLU
Theta,y: capacità di rotazione totale rispetto alla corda allo snervamento
Min: capitolo del DM 14-01-08 di cui applicare i minimi di armatura (cap.4 o cap.7)
R_SLV: massima rotazione alla corda in combinazione SLV
Theta,u: 3/4 della capacità di rotazione totale rispetto alla corda in condizioni di collasso
Grd: coefficiente di amplificazione per gerarchia delle resistenze
Som(Mb,rd): sommatoria dei momenti resistenti delle travi
Sum(Mc,rd): sommatoria dei momenti resistenti dei pilastri
Mc,inf: momento resistente del pilastro inferiore
Mc,sup: momento resistente del pilastro superiore

P-1
forze in kN, momenti in kN*m, tensioni in daN/cm², apertura fessure in mm
Materiali per le armature
B450C, fyk = 4500 (daN/cm²)
Verifiche di resistenza SLE (§ 7.3.7.1) omesse in quanto garantite da uno spettro SLD sempre minore di quello SLV

asta sap n° 30
calcestruzzo C28/35
sezione rettangolare H tot. 55.0 B 30.0 rot. 0

Verifiche a pressoflessione

quota	Asp	copX	copY	ApX	cop	ApY	cop	coef	MsdX	MsdY	Nsd	Co
-282.0	2.0	5.8	5.8	0.0	0.0	6.0	5.8	5.2	39	-3	-442	5 SLV
-183.7	2.0	5.8	5.8	0.0	0.0	6.0	5.8	5.8	29	-3	-438	5 SLV
-134.5	2.0	5.8	5.8	0.0	0.0	6.0	5.8	6.0	26	-3	-436	5 SLV

Sezione a quota -282 Compressione massima = 460 < 1766 DM 08 - 7.4.4.2.2.1
combinazione 2 SLV

Verifiche a taglio
Nelle tese esistenti il taglio ammissibile è assunto come Vrd + Vrsd (C8.7.2.5)

SLU

quota	VrdX	Co	N	AstX	VrcdX	VrdX	VrsdX	cotg	VEdY	Co	N	AstY	VrcdY	VRdY	VrsdY	cotg	VEDmax	Co
-282.0	1.5	12	-341.8	0.22	555.0	107.6	190.4	1.00	5.2	13	-343.5	0.11	615.8	104.4	193.5	1.00	5.4	13
-183.7	1.5	12	-338.7	0.22	554.5	107.2	190.4	1.00	5.2	13	-340.5	0.11	615.2	104.0	193.5	1.00	5.4	13
-134.5	1.5	12	-338.7	0.22	554.5	107.2	190.4	1.00	5.2	13	-340.5	0.11	615.2	104.0	193.5	1.00	5.4	13

SLV

quota	VEdX	Co	N	AstX	VrcdX	VrdX	VrsdX	cotg	VEdY	Co	N	AstY	VrcdY	VRdY	VrsdY	cotg	VEDmax	Co
-282.0	98.1	2	-460.5	0.22	576.6	121.9	190.4	1.00	178.9	2	-460.5	0.11	639.4	120.1	193.5	1.00	204.0	2
-183.7	98.1	2	-458.1	0.22	576.1	121.7	190.4	1.00	178.9	2	-458.1	0.11	638.9	119.8	193.5	1.00	204.0	2
-134.5	98.1	2	-458.1	0.22	576.1	121.7	190.4	1.00	178.9	2	-458.1	0.11	638.9	119.8	193.5	1.00	204.0	2

Tagli plastici secondo (7.4.5) in combinazione SLV
Luce Mxp,i Myp,i Mxp,s Myp,s Txp Typ Co
285 232.5 127.5 231.1 126.5 98.1 178.9 2

Verifiche di esercizio

quota	sc.ra	Mx	My	N	Co	sf.ra	Mx	My	N	Co	sc.q.p.	Mx	My	N	Co	Wk	ra	Wk	fr	Wk	q.p
-282	-21	11	-1	-278	3	-292	11	-1	-278	3	-19.2	9	-1	-252	2	0.000	0.000	0.000			
-184	-19	7	-1	-274	3	-267	7	-1	-274	3	-17.3	6	-1	-248	2	0.000	0.000	0.000			
-135	-18	5	-1	-271	3	-254	5	-1	-271	3	-16.3	5	-1	-246	2	0.000	0.000	0.000			

asta sap n° 31
calcestruzzo C28/35
sezione rettangolare H tot. 55.0 B 30.0 rot. 0

Verifiche a pressoflessione

quota	Asp	copX	copY	ApX	cop	ApY	cop	coef	MsdX	MsdY	Nsd	Co
-134.0	2.0	5.8	5.8	0.0	0.0	6.0	5.8	6.0	26	-3	-436	5 SLV
-42.8	2.0	5.8	5.8	0.0	0.0	6.0	5.8	6.2	23	-1	-438	6 SLV
3.0	2.0	5.8	5.8	0.0	0.0	6.0	5.8	6.2	24	-1	-437	6 SLV

Sezione a quota -134 Compressione massima = 454 < 1766 DM 08 - 7.4.4.2.2.1
combinazione 2 SLV

Verifiche a taglio
Nelle tese esistenti il taglio ammissibile è assunto come Vrd + Vrsd (C8.7.2.5)

SLU

quota	VrdX	Co	N	AstX	VrcdX	VrdX	VrsdX	cotg	VEdY	Co	N	AstY	VrcdY	VRdY	VrsdY	cotg	VEDmax	Co
-134.0	1.5	12	-338.7	0.22	554.5	107.2	190.4	1.00	5.2	13	-340.5	0.11	615.2	104.0	193.5	1.00	5.4	13
-42.8	1.5	12	-329.4	0.22	552.8	106.1	190.4	1.00	5.2	13	-331.2	0.11	613.3	102.8	193.5	1.00	5.4	13
3.0	1.5	12	-329.4	0.22	552.8	106.1	190.4	1.00	5.2	13	-331.2	0.11	613.3	102.8	193.5	1.00	5.4	13

SLV

quota	VEdX	Co	N	AstX	VrcdX	VrdX	VrsdX	cotg	VEdY	Co	N	AstY	VrcdY	VRdY	VrsdY	cotg	VEDmax	Co
-134.0	98.1	2	-458.1	0.22	576.1	121.7	190.4	1.00	178.9	2	-458.1	0.11	638.9	119.8	193.5	1.00	204.0	2
-42.8	98.1	2	-451.0	0.22	574.8	120.8	190.4	1.00	178.9	2	-451.0	0.11	637.5	118.9	193.5	1.00	204.0	2
3.0	98.1	2	-451.0	0.22	574.8	120.8	190.4	1.00	178.9	2	-451.0	0.11	637.5	118.9	193.5	1.00	204.0	2

Tagli plastici secondo (7.4.5) in combinazione SLV
Luce Mxp,i Myp,i Mxp,s Myp,s Txp Typ Co
285 232.5 127.5 231.1 126.5 98.1 178.9 2

Verifiche di esercizio

quota	sc.ra	Mx	My	N	Co	sf.ra	Mx	My	N	Co	sc.q.p.	Mx	My	N	Co	Wk	ra	Wk	fr	Wk	q.p
-134	-18	5	-1	-271	3	-254	5	-1	-271	3	-16.3	5	-1	-246	2	0.000	0.000	0.000			
-43	-16	2	-1	-268	3	-232	2	-1	-268	3	-14.5	2	-1	-242	2	0.000	0.000	0.000			
3	-15	0	-2	-265	2	-221	0	-2	-266	3	-13.6	0	-1	-241	2	0.000	0.000	0.000			

asta sap n° 24
calcestruzzo C28/35
sezione rettangolare H tot. 55.0 B 30.0 rot. 0

Verifiche a pressoflessione												
quota	Asp	copX	copY	ApX	cop	ApY	cop	coef	MsdX	MsdY	Nsd	Co
28.0	2.0	5.8	5.8	0.0	0.0	6.0	5.8	4.6	-26	17	-29	11 SLV
112.3	2.0	5.8	5.8	0.0	0.0	6.0	5.8	7.7	16	-2	-368	6 SLV
154.4	2.0	5.8	5.8	0.0	0.0	6.0	5.8	7.7	0	0	-382	2 SLV
196.5	2.0	5.8	5.8	0.0	0.0	6.0	5.8	7.8	-8	2	-380	2 SLV

Sezione a quota 28 Compressione massima = 387 < 1766 DM 08 - 7.4.4.2.2.1
combinazione 2 SLV

Verifiche a taglio												
Nelle tese esistenti il taglio ammissibile è assunto come Vrd + Vrsd (C8.7.2.5)												
SLV												
quota	VEdX	Co	N	AstX	VRcdX	VRdX	VRsdX	cotg	VEdY	Co	N	AstY
28.0	4.7	17	-293.3	0.20	546.2	101.7	171.4	1.00	9.9	17	-293.3	0.10
112.3	4.7	17	-289.7	0.20	545.6	101.3	171.4	1.00	9.9	17	-289.7	0.10
154.4	4.7	17	-289.7	0.20	545.6	101.3	171.4	1.00	9.9	17	-289.7	0.10
196.5	4.7	17	-289.7	0.20	545.6	101.3	171.4	1.00	9.9	17	-289.7	0.10
SLV												
quota	VEdX	Co	N	AstX	VRcdX	VRdX	VRsdX	cotg	VEdY	Co	N	AstY
28.0	87.6	2	-387.5	0.20	563.3	113.1	171.4	1.00	161.8	2	-387.5	0.10
112.3	87.6	2	-384.7	0.20	562.8	112.8	171.4	1.00	161.8	2	-384.7	0.10
154.4	87.6	2	-384.7	0.20	562.8	112.8	171.4	1.00	161.8	2	-384.7	0.10
196.5	87.6	2	-384.7	0.20	562.8	112.8	171.4	1.00	161.8	2	-384.7	0.10

Tagli plastici secondo (7.4.5) in combinazione SLV												
Luce	Mxp,i	Myp,i	Mxp,s	Myp,s	Txp	Typ	Co					
303	223.7	121.2	222.2	120.1	87.6	161.8	2					

Verifiche di esercizio												
quota	sc.ra	Mx	My	N	Co	sf.ra	Mx	My	N	Co	sc.q.p.	Mx
28	-21	7	6	-217	3	-272	7	6	-217	3	-19.5	7
112	-15	1	4	-214	3	-204	1	4	-214	3	-13.8	1
154	-14	-2	2	-212	3	-197	-2	2	-212	3	-13.0	-2
197	-15	-5	1	-210	3	-204	-5	1	-210	3	-13.2	-5
												My
												N
												Co
												Wk
												ra
												Wk
												fr
												Wk
												q.p

asta sap n° 25
calcestruzzo C28/35
sezione rettangolare H tot. 55.0 B 30.0 rot. 0

Verifiche a pressoflessione												
quota	Asp	copX	copY	ApX	cop	ApY	cop	coef	MsdX	MsdY	Nsd	Co
197.0	2.0	5.8	5.8	0.0	0.0	6.0	5.8	7.8	-8	2	-380	2 SLV
337.2	2.0	5.8	5.8	0.0	0.0	6.0	5.8	4.6	-54	6	-352	5 SLV
431.0	2.0	5.8	5.8	0.0	0.0	6.0	5.8	3.1	42	-21	-19	12 SLV

Sezione a quota 197 Compressione massima = 380 < 1766 DM 08 - 7.4.4.2.2.1
combinazione 2 SLV

Verifiche a taglio												
Nelle tese esistenti il taglio ammissibile è assunto come Vrd + Vrsd (C8.7.2.5)												
SLV												
quota	VEdX	Co	N	AstX	VRcdX	VRdX	VRsdX	cotg	VEdY	Co	N	AstY
197.0	4.7	17	-289.7	0.20	545.6	101.3	171.4	1.00	9.9	17	-289.7	0.10
337.2	4.7	17	-280.7	0.20	543.9	100.2	171.4	1.00	9.9	17	-280.7	0.10
431.0	4.7	17	-280.7	0.20	543.9	100.2	171.4	1.00	9.9	17	-280.7	0.10
SLV												
quota	VEdX	Co	N	AstX	VRcdX	VRdX	VRsdX	cotg	VEdY	Co	N	AstY
197.0	87.6	2	-384.7	0.20	562.8	112.8	171.4	1.00	161.8	2	-384.7	0.10
337.2	87.6	2	-377.7	0.20	561.5	111.9	171.4	1.00	161.8	2	-377.7	0.10
431.0	87.6	2	-377.7	0.20	561.5	111.9	171.4	1.00	161.8	2	-377.7	0.10

Tagli plastici secondo (7.4.5) in combinazione SLV												
Luce	Mxp,i	Myp,i	Mxp,s	Myp,s	Txp	Typ	Co					
303	223.7	121.2	222.2	120.1	87.6	161.8	2					

Verifiche di esercizio												
quota	sc.ra	Mx	My	N	Co	sf.ra	Mx	My	N	Co	sc.q.p.	Mx
197	-15	-5	1	-210	3	-204	-5	1	-210	3	-13.2	-5
337	-23	-15	-4	-204	3	-292	-15	-4	-204	3	-20.9	-14
431	-31	-22	-7	-201	3	85	-22	-7	-199	2	-28.5	-20
												My
												N
												Co
												Wk
												ra
												Wk
												fr
												Wk
												q.p

Verifiche di instabilità												
Verifica secondo il metodo basato sulla curvatura nominale Ec2 5.8.8												
quota	lambda,d,x	lambda,d,y	Nsd	co	Max	M0ex	M2x	May	M0ey	M2y	c.s.x	c.s.y (5.38) (5.39)
-282	37.2	20.3	-352	20SLU	-3	-8	-6	3	1	9	7.920	7.123 SI 0.000
-233	37.2	20.3	-350	20SLU	-3	-8	-6	3	1	9	8.422	7.550 SI 0.000
-184	37.2	20.3	-347	20SLU	-3	-8	-6	3	1	9	8.027	7.227 SI 0.000
-135	37.2	20.3	-344	20SLU	-3	-8	-6	3	1	9	8.085	7.283 SI 0.000
-134	37.2	20.3	-344	20SLU	-3	-8	-6	3	1	9	8.085	7.283 SI 0.000
-89	37.2	20.3	-342	20SLU	-3	-8	-6	3	1	9	8.136	7.333 NO 0.259
-43	37.2	20.3	-340	20SLU	-3	-8	-5	3	1	9	8.188	7.383 NO 0.258
3	37.2	20.3	-337	20SLU	-3	-8	-5	3	1	9	8.238	7.432 NO 0.256

Dettaglio verifica nodi (daN,cm)

Nodo a quota 444 (Nodo non confinato)

-Travature con direzione inclinata di 90 gradi rispetto all'asse X globale

Nodo trave-colonna esterni

Verificata poichè rispetta i minimi di staffe 7.4.6.2.3

(nst*Ast)/(i*b)=0.00335

(0.05*fck)/fyk=0.00323

(nst*Ast)/(i*b),min > (0.05*fck)/fyk

(nst*Ast)/(i*b) = 0.00335 > (0.05*fck)/fyk = 0.00323

b = 30

Verifica secondo 7.4.6.2.3

b,x=55

b,y=30

(nst*Ast)/(i*b),x=0.00366

(nst*Ast)/(i*b),y=0.00335

(0.05*fck)/fyk=0.00323

(nst*Ast)/(i*b),min > (0.05*fck)/fyk

P.2
forze in kN, momenti in kN*m, tensioni in daN/cm², apertura fessure in mm
Materiali per le armature
B450C, fyk = 4500 (daN/cm²)
Verifiche di resistenza SLE (§ 7.3.7.1) omesse in quanto garantite da uno spettro SLD sempre minore di quello SLV

asta sap n° 26
calcestruzzo C28/35
sezione rettangolare H tot. 55.0 B 30.0 rot. 0

Verifiche a pressoflessione												
quota	Asp	copX	copY	ApX	cop	ApY	cop	coef	MsdX	MsdY	Nsd	Co
-282.0	2.0	5.8	5.8	0.0	0.0	6.0	5.8	7.8	0	-14	-309	3 SLV
-220.8	2.0	5.8	5.8	0.0	0.0	6.0	5.8	9.6	-3	-1	-307	3 SLV

Sezione a quota -282 Compressione massima = 309 < 1766 DM 08 - 7.4.4.2.2.1
combinazione 3 SLV

Verifiche a taglio												
Nelle tese esistenti il taglio ammissibile è assunto come Vrd + Vrsd (C8.7.2.5)												
SLV												
quota	VEdX	Co	N	AstX	VRcdX	VRdX	VRsdX	cotg	VEdY	Co	N	AstY
-282.0	9.3	18	-243.1	0.20	537.1	95.6	171.4	1.00	6.8	18	-243.1	0.10
-220.8	9.3	18	-240.2	0.20	536.6	95.3	171.4	1.00	14.3	18	-144.0	0.10
SLV												
quota	VEdX	Co	N	AstX	VRcdX	VRdX	VRsdX	cotg	VEdY	Co	N	AstY
-282.0	9.3	18	-243.1	0.20	537.1	95.6	171.4	1.00	6.8	18	-243.1	0.10
-220.8	9.3	18	-240.2	0.20	536.6	95.3	171.4	1.00	14.3	18	-144.0	0.10

Verifiche a taglio												
quota	VEdX	Co	N	AstX	VRcdX	VRdX	VRsdX	cotg	VEdY	Co	N	AstY
-282.0	9.3	18	-243.1	0.20	537.1	95.6	171.4	1.00	6.8	18	-243.1	0.10
-220.8	9.3	18	-240.2	0.20	536.6	95.3	171.4	1.00	14.3	18	-144.0	0.10

70

Sismicad 12.3 - Licenza assegnata a STUDIO D.F.G. INGEGNERIA

Palazzo-Cavalli-Esecutivo

-282.0	83.2	3	-309.5	0.20	549.2	103.7	171.4	1.00	158.1	3	-309.5	0.10	609.0	99.9	174.2	1.00	178.7	3
-220.8	83.2	3	-307.2	0.20	548.8	103.4	171.4	1.00	158.1	3	-307.2	0.10	608.5	99.6	174.2	1.00	178.7	3

Tagli plastici secondo (7.4.5) in combinazione SLV

Luce	Mxp,i	Myp,i	Mxp,s	Myp,s	Txp	Typ Co
285	214.2	114.5	195.5	101.1	83.2	158.1 3

Verifiche di esercizio

quota	sc.ra	Mx	My	N Co	sf.ra	Mx	My	N Co	sc.q.p.	Mx	My	N Co	Wk	ra	Wk	fr	Wk	q.p
-282	-19	8	-5	-179	3	-238	8	-5	-179	3	-17.5	7	-5	-167	2	0.000	0.000	0.000
-221	-13	5	-1	-176	3	-177	5	-1	-176	3	-11.8	4	-1	-164	2	0.000	0.000	0.000

asta sap n° 27
calcestruzzo C28/35
sezione rettangolare

H tot.	55.0	B	30.0	rot.	0
--------	------	---	------	------	---

Verifiche a pressoflessione

quota	Asp	copX	copY	ApX	cop	ApY	cop	coef	MsdX	MsdY	Nsd Co
-220.3	2.0	5.8	5.8	0.0	0.0	6.0	5.8	9.3	26	0	-208 5 SLV
-177.6	2.0	5.8	5.8	0.0	0.0	6.0	5.8	10.5	21	0	-206 5 SLV
-134.5	2.0	5.8	5.8	0.0	0.0	6.0	5.8	11.4	17	1	-204 5 SLV

Sezione a quota -220 Compressione massima = 247 < 1766 DM 08 - 7.4.4.2.2.1
combinazione 1 SLV

Verifiche a taglio
Nelle tese esistenti il taglio ammissibile è assunto come Vrd + Vrsd (C8.7.2.5)

SLV

quota	VEDX Co	N AstX	VRcdX	VRdX	VRsdX	cotg	VEDY Co	N AstY	VRcdY	VRdY	VRsdY	cotg	VEDmax Co
-220.3	9.3 18	-240.2 0.20	536.6	95.3	171.4	1.00	14.3 18	-144.0 0.10	575.7	77.7	174.2	1.00	15.1 18
-177.6	9.3 18	-240.2 0.20	536.6	95.3	171.4	1.00	14.3 18	-144.0 0.10	575.7	77.7	174.2	1.00	15.1 18
-134.5	9.3 18	-240.2 0.20	536.6	95.3	171.4	1.00	14.3 18	-144.0 0.10	575.7	77.7	174.2	1.00	15.1 18

SLV

quota	VEDX Co	N AstX	VRcdX	VRdX	VRsdX	cotg	VEDY Co	N AstY	VRcdY	VRdY	VRsdY	cotg	VEDmax Co
-220.3	83.2 3	-307.2 0.20	548.8	103.4	171.4	1.00	158.1 3	-307.2 0.10	608.5	99.6	174.2	1.00	178.7 3
-177.6	83.2 3	-307.2 0.20	548.8	103.4	171.4	1.00	158.1 3	-307.2 0.10	608.5	99.6	174.2	1.00	178.7 3
-134.5	83.2 3	-307.2 0.20	548.8	103.4	171.4	1.00	158.1 3	-307.2 0.10	608.5	99.6	174.2	1.00	178.7 3

Tagli plastici secondo (7.4.5) in combinazione SLV

Luce	Mxp,i	Myp,i	Mxp,s	Myp,s	Txp	Typ Co
285	214.2	114.5	195.5	101.1	83.2	158.1 3

Verifiche di esercizio

quota	sc.ra	Mx	My	N Co	sf.ra	Mx	My	N Co	sc.q.p.	Mx	My	N Co	Wk	ra	Wk	fr	Wk	q.p
-220	-14	10	1	-148	3	-187	10	1	-148	3	-12.9	9	1	-137	2	0.000	0.000	0.000
-178	-12	6	1	-146	3	-159	6	1	-146	3	-10.7	6	1	-136	2	0.000	0.000	0.000
-135	-9	2	0	-144	3	-130	2	0	-144	3	-8.4	2	0	-134	2	0.000	0.000	0.000

asta sap n° 28
calcestruzzo C28/35
sezione rettangolare

H tot.	55.0	B	30.0	rot.	0
--------	------	---	------	------	---

Verifiche a pressoflessione

quota	Asp	copX	copY	ApX	cop	ApY	cop	coef	MsdX	MsdY	Nsd Co
-134.0	2.0	5.8	5.8	0.0	0.0	6.0	5.8	11.7	20	0	-168 5 SLV
-59.5	2.0	5.8	5.8	0.0	0.0	6.0	5.8	13.5	15	1	-165 5 SLV

Sezione a quota -134 Compressione massima = 202 < 1766 DM 08 - 7.4.4.2.2.1
combinazione 1 SLV

Verifiche a taglio
Nelle tese esistenti il taglio ammissibile è assunto come Vrd + Vrsd (C8.7.2.5)

SLV

quota	VEDX Co	N AstX	VRcdX	VRdX	VRsdX	cotg	VEDY Co	N AstY	VRcdY	VRdY	VRsdY	cotg	VEDmax Co
-134.0	9.3 18	-240.2 0.20	536.6	95.3	171.4	1.00	14.3 18	-144.0 0.10	575.7	77.7	174.2	1.00	15.1 18
-59.5	9.3 18	-240.2 0.20	536.6	95.3	171.4	1.00	14.3 18	-144.0 0.10	575.7	77.7	174.2	1.00	15.1 18

SLV

quota	VEDX Co	N AstX	VRcdX	VRdX	VRsdX	cotg	VEDY Co	N AstY	VRcdY	VRdY	VRsdY	cotg	VEDmax Co
-134.0	83.2 3	-307.2 0.20	548.8	103.4	171.4	1.00	158.1 3	-307.2 0.10	608.5	99.6	174.2	1.00	178.7 3
-59.5	83.2 3	-307.2 0.20	548.8	103.4	171.4	1.00	158.1 3	-307.2 0.10	608.5	99.6	174.2	1.00	178.7 3

Tagli plastici secondo (7.4.5) in combinazione SLV

Luce	Mxp,i	Myp,i	Mxp,s	Myp,s	Txp	Typ Co
285	214.2	114.5	195.5	101.1	83.2	158.1 3

Verifiche di esercizio

quota	sc.ra	Mx	My	N Co	sf.ra	Mx	My	N Co	sc.q.p.	Mx	My	N Co	Wk	ra	Wk	fr	Wk	q.p
-134	-10	6	1	-122	3	-140	6	1	-122	3	-9.4	5	1	-113	2	0.000	0.000	0.000
-60	-7	0	-1	-119	3	-102	0	-1	-119	3	-6.7	0	-1	-110	2	0.000	0.000	0.000

asta sap n° 29
calcestruzzo C28/35
sezione rettangolare

H tot.	55.0	B	30.0	rot.	0
--------	------	---	------	------	---

Verifiche a pressoflessione

quota	Asp	copX	copY	ApX	cop	ApY	cop	coef	MsdX	MsdY	Nsd Co
-59.0	2.0	5.8	5.8	0.0	0.0	6.0	5.8	13.5	17	1	-149 5 SLV
3.0	2.0	5.8	5.8	0.0	0.0	6.0	5.8	7.7	-28	-3	-47 11 SLV

Sezione a quota -59 Compressione massima = 175 < 1766 DM 08 - 7.4.4.2.2.1
combinazione 1 SLV

Verifiche a taglio
Nelle tese esistenti il taglio ammissibile è assunto come Vrd + Vrsd (C8.7.2.5)

SLV

quota	VEDX Co	N AstX	VRcdX	VRdX	VRsdX	cotg	VEDY Co	N AstY	VRcdY	VRdY	VRsdY	cotg	VEDmax Co
-59.0	9.3 18	-240.2 0.20	536.6	95.3	171.4	1.00	14.3 18	-144.0 0.10	575.7	77.7	174.2	1.00	15.1 18
3.0	5.1 17	-143.5 0.20	519.0	83.6	171.4	1.00	14.3 18	-144.0 0.10	575.7	77.7	174.2	1.00	15.1 18

SLV

quota	VEDX Co	N AstX	VRcdX	VRdX	VRsdX	cotg	VEDY Co	N AstY	VRcdY	VRdY	VRsdY	cotg	VEDmax Co
-59.0	83.2 3	-307.2 0.20	548.8	103.4	171.4	1.00	158.1 3	-307.2 0.10	608.5	99.6	174.2	1.00	178.7 3
3.0	83.2 3	-156.5 0.20	521.4	85.2	171.4	1.00	158.1 3	-156.5 0.10	578.2	79.3	174.2	1.00	178.7 3

Tagli plastici secondo (7.4.5) in combinazione SLV

Luce	Mxp,i	Myp,i	Mxp,s	Myp,s	Txp	Typ Co
285	214.2	114.5	195.5	101.1	83.2	158.1 3

Verifiche di esercizio

quota	sc.ra	Mx	My	N Co	sf.ra	Mx	My	N Co	sc.q.p.	Mx	My	N Co	Wk	ra	Wk	fr	Wk	q.p
-59	-7	1	0	-105	2	-93	1	0	-105	2	-5.9	1	0	-97	2	0.000	0.000	0.000
3	-10	-5	-2	-103	3	-129	-5	-2	-103	3	-9.1	-5	-2	-95	2	0.000	0.000	0.000

asta sap n° 39
calcestruzzo C28/35
sezione rettangolare

H tot.	55.0	B	30.0	rot.	0
--------	------	---	------	------	---

Verifiche a pressoflessione

quota	Asp	copX	copY	ApX	cop	ApY	cop	coef	MsdX	MsdY	Nsd Co
28.0	2.0	5.8	5.8	0.0	0.0	6.0	5.8	5.8	-33	0	-23 12 SLV
106.0	2.0	5.8	5.8	0.0	0.0	6.0	5.8	13.9	-14	-3	-25 11 SLV

Sezione a quota 28 Compressione massima = 147 < 1766 DM 08 - 7.4.4.2.2.1
combinazione 1 SLV

Verifiche a taglio
Nelle tese esistenti il taglio ammissibile è assunto come Vrd + Vrsd (C8.7.2.5)

SLV

quota	VEDX Co	N AstX	VRcdX	VRdX	VRsdX	cotg	VEDY Co	N AstY	VRcdY	VRdY	VRsdY	cotg	VEDmax Co
28.0	3.4 17	-108.3 0.20	512.6	79.3	171.4	1.00	4.9 19	-95.6 0.10	565.9	71.2	174.2	1.00	5.7 18
106.0	6.7 18	-132.9 0.20	517.1	82.3	171.4	1.00	8.4 18	-132.9 0.10	573.4	76.2	174.2	1.00	10.8 18

SLV

quota	VEDX Co	N AstX	VRcdX	VRdX	VRsdX	cotg	VEDY Co	N AstY	VRcdY	VRdY	VRsdY	cotg	VEDmax Co
-------	---------	--------	-------	------	-------	------	---------	--------	-------	------	-------	------	-----------

28.0	75.2	4	-123.9	0.20	515.5	81.2	171.4	1.00	144.3	4	-123.9	0.10	571.6	75.0	174.2	1.00	162.7	4
106.0	75.2	4	-121.2	0.20	515.0	80.9	171.4	1.00	144.3	4	-121.2	0.10	571.1	74.6	174.2	1.00	162.7	4

Tagli plastici secondo (7.4.5) in combinazione SLV

Luce	Mxp,i	Myp,i	Mxp,s	Myp,s	Txp	Typ Co
303	191.1	98.4	206.4	108.9	75.2	144.3 4

Verifiche di esercizio

quota	sc.ra	Mx	My	N	Co	sf.ra	Mx	My	N	Co	sc.q.p.	Mx	My	N	Co	Wk	ra	Wk	fr	Wk	q.p
28	-7	-4	1	-79	3	-96	-4	1	-79	3	-6.8	-4	1	-75	2	0.000	0.000	0.000			
106	-5	-1	-1	-76	3	-75	-1	-1	-76	3	-5.1	-1	-1	-72	2	0.000	0.000	0.000			

asta sap n° 40

calcestruzzo C28/35

sezione rettangolare H tot. 55.0 B 30.0 rot. 0

Verifiche a pressoflessione

quota	Asp	copX	copY	ApX	cop	coef	MsdX	MsdY	Nsd	Co
106.5	2.0	5.8	5.8	0.0	0.0	6.0	5.8	11.3	-22	3
151.3	2.0	5.8	5.8	0.0	0.0	6.0	5.8	19.5	-1	0
196.5	2.0	5.8	5.8	0.0	0.0	6.0	5.8	18.1	8	0

Sezione a quota 107 Compressione massima = 153 < 1766 DM 08 - 7.4.4.2.2.1
combinazione 4 SLV

Verifiche a taglio

Nelle tese esistenti il taglio ammissibile è assunto come Vrd + Vrsd (C8.7.2.5)

SLV	quota	VEDX	Co	N	AstX	VRcdX	VRdX	VrsdX	cotg	VEDY	Co	N	AstY	VRcdY	VRdY	VrsdY	cotg	VEDmax	Co
	106.5	6.7	18	-132.9	0.20	517.1	82.3	171.4	1.00	8.4	18	-132.9	0.10	573.4	76.2	174.2	1.00	10.8	18
	151.3	6.7	18	-132.9	0.20	517.1	82.3	171.4	1.00	8.4	18	-132.9	0.10	573.4	76.2	174.2	1.00	10.8	18
	196.5	6.7	18	-132.9	0.20	517.1	82.3	171.4	1.00	8.4	18	-132.9	0.10	573.4	76.2	174.2	1.00	10.8	18

SLV	quota	VEDX	Co	N	AstX	VRcdX	VRdX	VrsdX	cotg	VEDY	Co	N	AstY	VRcdY	VRdY	VrsdY	cotg	VEDmax	Co
	106.5	75.2	4	-121.2	0.20	515.0	80.9	171.4	1.00	144.3	4	-121.2	0.10	571.1	74.6	174.2	1.00	162.7	4
	151.3	75.2	4	-121.2	0.20	515.0	80.9	171.4	1.00	144.3	4	-121.2	0.10	571.1	74.6	174.2	1.00	162.7	4
	196.5	75.2	4	-121.2	0.20	515.0	80.9	171.4	1.00	144.3	4	-121.2	0.10	571.1	74.6	174.2	1.00	162.7	4

Tagli plastici secondo (7.4.5) in combinazione SLV

Luce	Mxp,i	Myp,i	Mxp,s	Myp,s	Txp	Typ Co
303	191.1	98.4	206.4	108.9	75.2	144.3 4

Verifiche di esercizio

quota	sc.ra	Mx	My	N	Co	sf.ra	Mx	My	N	Co	sc.q.p.	Mx	My	N	Co	Wk	ra	Wk	fr	Wk	q.p
107	-7	-3	1	-86	3	-96	-3	1	-86	3	-6.8	-3	1	-81	2	0.000	0.000	0.000			
151	-5	0	0	-84	3	-68	0	0	-84	3	-4.3	0	0	-79	2	0.000	0.000	0.000			
197	-7	2	-1	-82	3	-90	2	-1	-82	3	-6.4	2	-1	-77	2	0.000	0.000	0.000			

asta sap n° 41

calcestruzzo C28/35

sezione rettangolare H tot. 55.0 B 30.0 rot. 0

Verifiche a pressoflessione

quota	Asp	copX	copY	ApX	cop	coef	MsdX	MsdY	Nsd	Co
197.0	2.0	5.8	5.8	0.0	0.0	6.0	5.8	14.5	-6	3
237.7	2.0	5.8	5.8	0.0	0.0	6.0	5.8	12.9	13	0
278.8	2.0	5.8	5.8	0.0	0.0	6.0	5.8	7.8	-18	0

Sezione a quota 197 Compressione massima = 202 < 1766 DM 08 - 7.4.4.2.2.1
combinazione 8 SLV

Verifiche a taglio

Nelle tese esistenti il taglio ammissibile è assunto come Vrd + Vrsd (C8.7.2.5)

SLV	quota	VEDX	Co	N	AstX	VRcdX	VRdX	VrsdX	cotg	VEDY	Co	N	AstY	VRcdY	VRdY	VrsdY	cotg	VEDmax	Co
	197.0	6.7	18	-132.9	0.20	517.1	82.3	171.4	1.00	8.4	18	-132.9	0.10	573.4	76.2	174.2	1.00	10.8	18
	237.7	6.7	18	-132.9	0.20	517.1	82.3	171.4	1.00	8.4	18	-132.9	0.10	573.4	76.2	174.2	1.00	10.8	18
	278.8	34.3	18	-189.2	0.20	527.3	89.1	171.4	1.00	8.5	18	-158.7	0.10	578.6	79.6	174.2	1.00	34.9	18

SLV	quota	VEDX	Co	N	AstX	VRcdX	VRdX	VrsdX	cotg	VEDY	Co	N	AstY	VRcdY	VRdY	VrsdY	cotg	VEDmax	Co
	197.0	75.2	4	-121.2	0.20	515.0	80.9	171.4	1.00	144.3	4	-121.2	0.10	571.1	74.6	174.2	1.00	162.7	4
	237.7	75.2	4	-121.2	0.20	515.0	80.9	171.4	1.00	144.3	4	-121.2	0.10	571.1	74.6	174.2	1.00	162.7	4
	278.8	75.2	4	-193.5	0.20	528.1	89.6	171.4	1.00	144.3	4	-193.5	0.10	585.6	84.3	174.2	1.00	162.7	4

Tagli plastici secondo (7.4.5) in combinazione SLV

Luce	Mxp,i	Myp,i	Mxp,s	Myp,s	Txp	Typ Co
303	191.1	98.4	206.4	108.9	75.2	144.3 4

Verifiche di esercizio

quota	sc.ra	Mx	My	N	Co	sf.ra	Mx	My	N	Co	sc.q.p.	Mx	My	N	Co	Wk	ra	Wk	fr	Wk	q.p
197	-7	0	2	-98	3	-95	0	2	-98	3	-6.5	0	2	-92	2	0.000	0.000	0.000			
238	-6	2	0	-96	3	-90	2	0	-96	3	-6.0	2	0	-90	2	0.000	0.000	0.000			
279	-9	5	-2	-95	3	-122	5	-2	-95	3	-8.8	4	-2	-89	2	0.000	0.000	0.000			

asta sap n° 42

calcestruzzo C28/35

sezione rettangolare H tot. 55.0 B 30.0 rot. 0

Verifiche a pressoflessione

quota	Asp	copX	copY	ApX	cop	coef	MsdX	MsdY	Nsd	Co
279.3	2.0	5.8	5.8	0.0	0.0	6.0	5.8	6.6	-12	0
320.0	2.0	5.8	5.8	0.0	0.0	6.0	5.8	4.5	-24	-1
361.2	2.0	5.8	5.8	0.0	0.0	6.0	5.8	3.5	-35	-2

Sezione a quota 279 Compressione massima = 284 < 1766 DM 08 - 7.4.4.2.2.1
combinazione 8 SLV

Verifiche a taglio

Nelle tese esistenti il taglio ammissibile è assunto come Vrd + Vrsd (C8.7.2.5)

SLV	quota	VEDX	Co	N	AstX	VRcdX	VRdX	VrsdX	cotg	VEDY	Co	N	AstY	VRcdY	VRdY	VrsdY	cotg	VEDmax	Co
	279.3	34.3	18	-189.2	0.20	527.3	89.1	171.4	1.00	8.5	18	-158.7	0.10	578.6	79.6	174.2	1.00	34.9	18
	320.0	34.3	18	-189.2	0.20	527.3	89.1	171.4	1.00	8.5	18	-158.7	0.10	578.6	79.6	174.2	1.00	34.9	18
	361.2	34.3	18	-189.2	0.20	527.3	89.1	171.4	1.00	8.5	18	-158.7	0.10	578.6	79.6	174.2	1.00	34.9	18

SLV	quota	VEDX	Co	N	AstX	VRcdX	VRdX	VrsdX	cotg	VEDY	Co	N	AstY	VRcdY	VRdY	VrsdY	cotg	VEDmax	Co
	279.3	75.2	4	-193.5	0.20	528.1	89.6	171.4	1.00	144.3	4	-193.5	0.10	585.6	84.3	174.2	1.00	162.7	4
	320.0	75.2	4	-193.5	0.20	528.1	89.6	171.4	1.00	144.3	4	-193.5	0.10	585.6	84.3	174.2	1.00	162.7	4
	361.2	75.2	4	-193.5	0.20	528.1	89.6	171.4	1.00	144.3	4	-193.5	0.10	585.6	84.3	174.2	1.00	162.7	4

Tagli plastici secondo (7.4.5) in combinazione SLV

Luce	Mxp,i	Myp,i	Mxp,s	Myp,s	Txp	Typ Co
303	191.1	98.4	206.4	108.9	75.2	144.3 4

Verifiche di esercizio

quota	sc.ra	Mx	My	N	Co	sf.ra	Mx	My	N	Co	sc.q.p.	Mx	My	N	Co	Wk	ra	Wk	fr	Wk	q.p
279	-11	1	4	-116	3	-134	1	4	-116	3	-9.9	1	4	-109	2	0.000	0.000	0.000			
320	-8	4	0	-114	3	-117	4	0	-114	3	-7.9	4	0	-107	2	0.000	0.000	0.000			
361	-12	6	-3	-112	3	-154	6	-3	-112	3	-11.3	6	-3	-105	2	0.000	0.000	0.000			

asta sap n° 43

calcestruzzo C28/35

sezione rettangolare H tot. 55.0 B 30.0 rot. 0

Verifiche a pressoflessione

quota	Asp	copX	copY	ApX	cop	coef	MsdX	MsdY	Nsd	Co
361.7	2.0	5.8	5.8	0.0	0.0	6.0	5.8	3.3	-36	-7
431.0	2.0	5.8	5.8	0.0	0.0	6.0	5.8	1.9	-71	-13

Sezione a quota 362 Compressione massima = 333 < 1766 DM 08 - 7.4.4.2.2.1
combinazione 8 SLV

Palazzo-Cavalli-Esecutivo

Verifiche a taglio

Nelle tese esistenti il taglio ammissibile è assunto come Vrd + Vrsd (C8.7.2.5)

SLU

quota	VRdX	Co	N	AstX	VRcdX	VRdX	VRsdX	cotg	VEdY	Co	N	AstY	VRcdY	VRdY	VRsdY	cotg	VEDmax	Co
361.7	34.3	18	-189.2	0.20	527.3	89.1	171.4	1.00	8.5	18	-158.7	0.10	578.6	79.6	174.2	1.00	34.9	18
431.0	34.3	18	-189.2	0.20	527.3	89.1	171.4	1.00	8.5	18	-158.7	0.10	578.6	79.6	174.2	1.00	34.9	18

SLV

quota	VRdX	Co	N	AstX	VRcdX	VRdX	VRsdX	cotg	VEdY	Co	N	AstY	VRcdY	VRdY	VRsdY	cotg	VEDmax	Co
361.7	75.2	4	-193.5	0.20	528.1	89.6	171.4	1.00	144.3	4	-193.5	0.10	585.6	84.3	174.2	1.00	162.7	4
431.0	75.2	4	-193.5	0.20	528.1	89.6	171.4	1.00	144.3	4	-193.5	0.10	585.6	84.3	174.2	1.00	162.7	4

Tagli plastici secondo (7.4.5) in combinazione SLV

Luce

Mxp,i	Myp,i	Mxp,s	Myp,s	Txp	Typ	Co
303	191.1	98.4	206.4	108.9	75.2	144.3
4						4

Verifiche di esercizio

quota	sc.ra	Mx	My	N	Co	sf.ra	Mx	My	N	Co	sc.q.p.	Mx	My	N	Co	Wk	ra	Wk	fr	Wk	q.p
362	-11	2	3	-137	3	-142	2	3	-137	3	-10.0	2	2	-128	2	0.000	0.000	0.000	0.000		
431	-28	5	-14	-134	3	159	5	-14	-133	2	-25.9	5	-13	-125	2	0.000	0.000	0.000	0.000		

Verifiche di instabilità non necessaria

Dettaglio verifica nodi (daN,cm)

Nodo a quota 444 (Nodo non confinato)

nodo interno a parete non sottoposto a verifica

8.2 Verifiche travate C.A.

x: distanza da asse appoggio sinistro [cm]
Asup: area efficace di armatura longitudinale superiore [cm²]
Cs: distanza tra bordo superiore e baricentro dell'armatura superiore [cm]
Ainf: area efficace di armatura longitudinale inferiore [cm²]
Cl: distanza tra bordo inferiore e baricentro dell'armatura inferiore [cm]
Mela: momento flettente elastico [daN*cm]
Comb.: combinazione che produce Mela
MEd: momento flettente di progetto [daN*cm]
MRd: momento ultimo [daN*cm]
x/d: distanza asse neutro dal bordo compresso / altezza utile
Ast: area delle staffe [cmq/cm] [cm²]
Alp+: area di staffe equivalenti da sagomati per taglio positivo [cm²]
Alp-: area di staffe equivalenti da sagomati per taglio negativo [cm²]
VEd: taglio di progetto [daN]
Comb.: combinazione che produce VEd
VRcd: resistenza a taglio per rottura delle bielle compresse [daN]
VRd: resistenza a taglio in assenza di staffatura [daN]
Vrsd: resistenza a taglio per la presenza di armatura [daN]
Theta: angolo di inclinazione delle bielle compresse [deg]
Ver.: stato di verifica
Contr.gravitaz.: taglio dovuto ai carichi insistenti sulla trave [daN]
VED negativo: taglio di progetto negativo [daN]
Contr.mom.resist.: taglio dovuto ai momenti resistenti di estremità [daN]
Elastico: taglio desunto dalla analisi [daN]
VED positivo: taglio di progetto positivo [daN]
M.rara: momento flettente in combinazione rara [daN*cm]
Comb.R: combinazione rara
sigma c. rara : tensione nel c.a in combinazione rara [daN/cm²]
sigma f. rara: tensione nell'acciaio in combinazione rara [daN/cm²]
M.QP: momento flettente in combinazione quasi permanente [daN*cm]
Comb.QP: combinazione quasi permanente
sigma c. QP: tensione nel c.a in combinazione quasi permanente [daN/cm²]
srms: interasse tra le fessure al lembo inferiore [cm]
wki rara: apertura caratteristica delle fessure al lembo inferiore in combinazione rara [cm]
wki freq.: apertura caratteristica delle fessure al lembo inferiore in combinazione frequente [cm]
wki QP: apertura caratteristica delle fessure al lembo inferiore in combinazione quasi permanente [cm]
srms: interasse tra le fessure al lembo superiore [cm]
wks rara: apertura caratteristica delle fessure al lembo superiore in combinazione rara [cm]
wks freq.: apertura caratteristica delle fessure al lembo superiore in combinazione frequente [cm]
wks QP: apertura caratteristica delle fessure al lembo superiore in combinazione quasi permanente [cm]
fg. rara: freccia a sezione interamente reagente in combinazione rara [cm]
ff. rara: freccia a sezione fessurata in combinazione rara [cm]
fg. QP: freccia a sezione interamente reagente in combinazione quasi permanente [cm]
ff. QP: freccia a sezione fessurata in combinazione quasi permanente [cm]
l/ff.QP: rapporto luce freccia a viscosità esaurita in combinazione quasi p.
Campata: indice della campata
Appoggio: nome dell'appoggio
Mb,Rd +/-: momento ultimo positivo [daN*cm]
Mb,Rd -: momento ultimo negativo [daN*cm]

Le unità di misura delle verifiche elencate nel capitolo sono in [cm, daN, deg] ove non espressamente specificato.

Rampa-0-1

Verifiche di resistenza SLE (§ 7.3.7.1) omesse in quanto garantite da uno spettro SLD sempre minore di quello SLV

Caratteristiche dei materiali

Acciaio: B450C fyk = 4500
Calcestruzzo: C28/35 fck,cub (cubica) = 350 fck (cilindrica) = 290.5

Output campate

Campata n. 1 tra i fili 23 e 36, asta n. 1
Sezione rettangolare H tot. 25 B 125 Cs 4 Ci 4
Sovreresistenza 0%

Verifiche in stato limite ultimo

x	Asup	cs	Ainf	ci	Mela	comb.	MEd	MRd	x/d	Ast	Alp+	Alp-	VEd	comb.	VRcd	VRd	Vrsd	teta	Ver.
0	0	4.8	0	4.8	-85467	m.i.p.	0	0	0	0.196	0	0	4253	SLU 13	88893	12806	13276	45	S1
0	0	4.8	0	4.8	-319487	SLV 15	-319487	0	0	0	0	0	4253	SLU 13	88893	12806	13276	45	S1
0	0	4.8	0	4.8	-319487	SLV 15	-319487	0	0	0.196	0	0	4253	SLU 13	88893	12806	13276	45	S1
90	10.18	5.4	10.18	5.4	75040	SLV 2	83687	814823	0.203	0.196	0	0	2305	SLU 13	90745	13488	13553	45	S1
90	10.18	5.4	10.18	5.4	-47402	SLV 15	-68310	-814825	0.203	0.196	0	0	1406	ger.	90745	13488	13553	45	S1
190	10.18	5.4	10.18	5.4	170771	SLU 13	171104	814822	0.203	0.196	0	0	-459	SLV 2	90745	13488	-13553	45	S1
190	10.18	5.4	10.18	5.4						0.196	0	0	-459	SLV 2	90745	13488	-13553	45	S1
290	8.55	5.4	8.61	5.4	103593	SLV 11	110823	717274	0.189	0.196	0	0	1406	ger.	88893	12806	13276	45	S1
290	8.55	5.4	8.61	5.4	-42087	SLV 6	-61437	-713820	0.189	0.196	0	0	-2028	SLU 17	90745	13072	-13553	45	S1
300	0	4.8	0	4.8	93758	SLV 11	102388	0	0	0.196	0	0	1406	ger.	88893	12806	13276	45	S1
300	0	4.8	0	4.8	-64139	SLV 6	-64139	0	0	0.196	0	0	-2245	SLU 17	88893	12806	-13276	45	S1
300	0	4.8	0	4.8	93758	SLV 11	102388	0	0	0.196	0	0	1406	ger.	88893	12806	13276	45	S1
300	0	4.8	0	4.8	-64139	SLV 6	-64139	0	0	0.196	0	0	-2245	SLU 17	88893	12806	-13276	45	S1

Valutazione dei tagli secondo gerarchia delle resistenze

x	contr.gravitaz.	VED negativo	contr.mom.resist.	elastico	VED positivo	contr.mom.resist.	elastico
0	0	0	0	2026	4253	1406	4253
0	0	0	0	2026	4253	1406	4253
90	0	0	0	910	2305	1406	2305
190	0	-459	0	-459	1406	1406	604
290	0	-2028	0	-2028	1406	1406	-765
300	0	-2245	0	-2245	1406	1406	-902
300	0	-2245	0	-2245	1406	1406	-902

Verifiche in esercizio

x	M.rara	Comb.R	sigma c. rara	sigma f. rara	M.QP	Comb.QP	sigma c. QP	srmi	wki rara	wki freq.	wki QP	srms	wks rara	wks freq.	wks QP	fg. rara	ff. rara	fg. QP	ff. QP	l/ff.qp	Ver.
0	-232542	3	0	0	-202477	2	0	0	0	0	0	0	0	0	0	0	0	0	0	9999	S1
0	-232542	3	0	0	-202477	2	0	0	0	0	0	0	0	0	0	0	0	0	0	9999	S1
90	35346	3	3	39	27892	2	2	0	0	0	0	0	0	0	0	0.08	0.01	0.07	0.03	8493.72	S1
90	-5485	1	0	6	-5485	1	2														S1
190	122871	3	9	136	102280	2	8	0	0	0	0	0	0	0	0	0.17	0.02	0.15	0.05	4077.07	S1
290	55950	3	4	62	43340	2	3	0	0	0	0	0	0	0	0	0.23	0.01	0.2	0.03	2944.1	S1
300	2431	1	0	0	2431	1	0	0	0	0	0	0	0	0	0	0	0	0	0	9999	S1
300	2431	1	0	0	2431	1	0	0	0	0	0	0	0	0	0	0.24	0.01	0.21	0.03	2874.54	S1

Momenti resistenti a filo appoggi (per controllo pilastri)												
campata		x		appoggio		Mb,Rd +		Mb,Rd -				
1		0		23		0		0				
1		300		36		0		0				

Coefficienti di sicurezza minimi
Resistenza a flessione: 3,34
Resistenza a taglio 3,76
Tensioni in combinazione rara: 4,03
Tensioni in combinazione quasi permanente: 6,06
Fessurazione: 999,00
Deformazione: 10,18

Rampa-1-2

Verifiche di resistenza SLE (§ 7.3.7.1) omesse in quanto garantite da uno spettro SLD sempre minore di quello SLV

Caratteristiche dei materiali

Acciaio: B450C fyk = 4500
Calcestruzzo: C28/35 fck,cub (cubica) = 350 fck (cilindrica) = 290.5

Output campate

Campata n. 1 tra i fili 17 e 34, asta n. 2

Sezione rettangolare H tot. 25 B 125 Cs 4 Ci 4

Sovreresistenza 0%

Verifiche in stato limite ultimo

x	Asup	cs	Ainf	ci	Mela	comb.	MEd	MRd	x/d	Ast	Afp+	Afp-	VEd	comb.	VRcd	VRd	VRsd	teta	Ver.
0	0	4,8	0	4,8	-101022	m.i.p.	0	0	0	0,201	0	0	4970	SLU 18	88893	12806	13595	45	S1
0	0	4,8	0	4,8	-380395	SLU 17	-380395	0	0	0,201	0	0	-225	ger.	88893	12806	-13595	45	S1
0	0	4,8	0	4,8	-380395	SLU 17	-380395	0	0	0,201	0	0	4970	SLU 18	88893	12806	13595	45	S1
0	0	4,8	0	4,8	-380395	SLU 17	-380395	0	0	0,201	0	0	-225	ger.	88893	12806	-13595	45	S1
126	11,31	5,4	11,31	5,4	173821	SLV 6	183296	883764	0,211	0,201	0	0	2255	SLU 18	90745	13970	13878	45	S1
126	11,31	5,4	11,31	5,4	10858	SLV 11	-7978	-883761	0,211	0,201	0	0	-225	ger.	90745	13970	-13878	45	S1
266	11,31	5,4	11,31	5,4	271167	SLU 13	277827	883765	0,211	0,201	0	0	793	ger.	90745	13970	13878	45	S1
266	11,31	5,4	11,31	5,4						0,201	0	0	-878	SLV 6	90745	13970	-13878	45	S1
406	10,98	5,4	10,91	5,4	-34399	m.i.p.	0	859536	0,209	0,201	0	0	793	ger.	90745	13072	13878	45	S1
406	10,98	5,4	10,91	5,4	-112690	SLV 6	-144785	-863359	0,209	0,201	0	0	-3822	SLU 12	90745	13072	-13878	45	S1
420	0	4,8	0	4,8	-168845	SLU 12	-168845	0	0	0,201	0	0	793	ger.	88893	12806	13595	45	S1
420	0	4,8	0	4,8						0,201	0	0	-4124	SLU 12	88893	12806	-13595	45	S1
420	0	4,8	0	4,8	-69295	m.i.p.	0	0	0	0,201	0	0	793	ger.	88893	12806	13595	45	S1
420	0	4,8	0	4,8	-168845	SLU 12	-168845	0	0	0,201	0	0	-4124	SLU 12	88893	12806	-13595	45	S1

Valutazione dei tagli secondo gerarchia delle resistenze

x	contr.gravitaz.	VEd negativo	contr.mom.resist.	elastico	VEd positivo	contr.mom.resist.	elastico
0	0	-225	-225	2301	4970	793	4970
0	0	-225	-225	2301	4970	793	4970
126	0	-225	-225	996	2255	793	2255
266	0	-878	-225	793	793	793	-144
406	0	-3822	-225	793	793	793	-1861
420	0	-4124	-225	793	793	793	-2006
420	0	-4124	-225	793	793	793	-2006

Verifiche in esercizio

x	M.rara	Comb.R	sigma c. rara	sigma f. rara	M.QP	Comb.QP	sigma c. QP	srmi	wki rara	wki freq.	wki QP	srms	wks rara	wks freq.	wks QP	fg. rara	ff. rara	fg. QP	ff. QP	l/ff.qp	Ver.
0	-275654	2	0	0	-235938	2	0	0	0	0	0	0	0	0	0	0	0	0	0	9999	S1
0	-275654	2	0	0	-235938	2	0	0	0	0	0	0	0	0	0	0	0	0	0	9999	S1
126	123684	3	9	136	105526	2	8	0	0	0	0	0	0	0	0	0,14	0,02	0,12	0,04	7022,09	S1
266	199439	3	15	220	168007	2	12	0	0	0	0	0	0	0	0	0,25	0,01	0,22	0,02	3800,96	S1
406	-105675	2	8	117	-99063	2	7	0	0	0	0	0	0	0	0	0,3	-0,06	0,26	-0,14	3196,31	S1
420	-123134	2	0	0	-114258	2	0	0	0	0	0	0	0	0	0	0	0	0	0	9999	S1
420	-123134	2	0	0	-114258	2	0	0	0	0	0	0	0	0	0	0,3	-0,07	0,27	-0,15	3152,28	S1

Momenti resistenti a filo appoggi (per controllo pilastri)

campata		x		appoggio		Mb,Rd +		Mb,Rd -	
1		0		17		0		0	
1		420		34		0		0	

Coefficienti di sicurezza minimi

Resistenza a flessione: 3,06
Resistenza a taglio 3,44
Tensioni in combinazione rara: 3,45
Tensioni in combinazione quasi permanente: 5,08
Fessurazione: 999,00
Deformazione: 11,08

Rampa-2-3

Verifiche di resistenza SLE (§ 7.3.7.1) omesse in quanto garantite da uno spettro SLD sempre minore di quello SLV

Caratteristiche dei materiali

Acciaio: B450C fyk = 4500
Calcestruzzo: C28/35 fck,cub (cubica) = 350 fck (cilindrica) = 290.5

Output campate

Campata n. 1 tra i fili 19 e 23, asta n. 3

Sezione rettangolare H tot. 25 B 125 Cs 4 Ci 4

Sovreresistenza 0%

Verifiche in stato limite ultimo

x	Asup	cs	Ainf	ci	Mela	comb.	MEd	MRd	x/d	Ast	Afp+	Afp-	VEd	comb.	VRcd	VRd	VRsd	teta	Ver.
0	0	4,8	0	4,8	53691	SLV 3	62156	0	0	0,196	0	0	2377	SLU 18	88893	12806	13226	45	S1
0	0	4,8	0	4,8	-138506	SLV 14	-138506	0	0	0,196	0	0	-590	ger.	88893	12806	-13226	45	S1
0	0	4,8	0	4,8	53691	SLV 3	62156	0	0	0,196	0	0	2377	SLU 18	88893	12806	13226	45	S1
0	0	4,8	0	4,8	-138506	SLV 14	-138506	0	0	0,196	0	0	-590	ger.	88893	12806	-13226	45	S1
54	11,31	5,4	11,31	5,4	86252	SLV 3	87123	883763	0,211	0,196	0	0	1438	SLV 16	90745	13970	13501	45	S1
54	11,31	5,4	11,31	5,4	-21600	SLV 14	-37205	-883763	0,211	0,196	0	0	-590	ger.	90745	13970	-13501	45	S1
114	11,31	5,4	11,31	5,4	88625	SLU 18	89008	883764	0,211	0,196	0	0	1217	ger.	90745	13970	13501	45	S1
114	11,31	5,4	11,31	5,4						0,196	0	0	-729	SLV 1	90745	13970	-13501	45	S1
174	8,31	5,4	8,38	5,4	79471	SLV 12	82722	703168	0,187	0,196	0	0	1217	ger.	90745	13072	13501	45	S1
174	8,31	5,4	8,38	5,4	-33304	SLV 5	-43959	-698870	0,187	0,196	0	0	-1566	SLV 1	90745	13072	-13501	45	S1
180	0	4,8	0	4,8	76506	SLV 12	80580	0	0	0,196	0	0	1217	ger.	88893	12806	13226	45	S1
180	0	4,8	0	4,8	-43959	SLV 5	-43959	0	0	0,196	0	0	-1649	SLV 1	88893	12806	-13226	45	S1
180	0	4,8	0	4,8	76506	SLV 12	80580	0	0	0,196	0	0	1217	ger.	88893	12806	13226	45	S1
180	0	4,8	0	4,8	-43959	SLV 5	-43959	0	0	0,196	0	0	-1649	SLV 1	88893	12806	-13226	45	S1

Valutazione dei tagli secondo gerarchia delle resistenze

x	contr.gravitaz.	VEd negativo	contr.mom.resist.	elastico	VEd positivo	contr.mom.resist.	elastico
0	0	-590	-590	862	2377	1217	2377
0	0	-590	-590	862	2377	1217	2377
54	0	-590	-590	108	1438	1217	1438
114	0	-729	-590	1217	1217	1217	601
174	0	-1566	-590	1217	1217	1217	-236
180	0	-1649	-590	1217	1217	1217	-320
180	0	-1649	-590	1217	1217	1217	-320

Verifiche in esercizio

x	M.rara	Comb.R	sigma c. rara	sigma f. rara	M.QP	Comb.QP	sigma c. QP	srmi	wki rara	wki freq.	wki QP	srms	wks rara	wks freq.	wks QP	fg. rara	ff. rara	fg. QP	ff. QP	l/ff.qp	Ver.
0	-49045	2	0	0	-42408	2	0	0	0	0	0	0	0	0	0	0	0	0	0	9999	S1
0	-49045	2	0	0	-42408	2	0	0	0	0	0	0	0	0	0	0	0	0	0	9999	S1
54	44949	3	3	50	39770	2	3	0	0	0	0	0	0	0	0	0,02	0	0,02	0	9999	S1
114	65462	3	5	72	58092	2	4	0	0	0	0	0	0	0	0	0,04	0	0,04	0	9999	S1
174	34624	3	3	39	31879	2	2	0	0	0	0	0	0	0	0	0,06	-0,01	0,05	-0,02	7326,28	S1
180	16214	2	0	0	16274	2	0	0	0	0	0	0	0	0	0	0	0	0	0	9999	S1
180	16214	2	0	0	16274	2	0	0	0	0	0	0	0	0	0	0,06	-0,01	0,05	-0,02	7155,64	S1

Momenti resistenti a filo appoggi (per controllo pilastri)

campata		x		appoggio		Mb,Rd +		Mb,Rd -	
1		0		19		0		0	
1		180		23		0		0	

Coefficienti di sicurezza minimi

Resistenza a flessione: 9,93
Resistenza a taglio 7,71
Tensioni in combinazione rara: 10,87
Tensioni in combinazione quasi permanente: 15,27
Fessurazione: 999,00

Palazzo-Cavalli-Esecutivo

Deformazione: 25,17

Rampa-3-4

Verifiche di resistenza SLE (§ 7.3.7.1) omesse in quanto garantite da uno spettro SLD sempre minore di quello SLV

Caratteristiche dei materiali

Acciaio: B450C fyk = 4500

Calcestruzzo: C28/35 fck,cub (cubica) = 350 fck (cilindrica) = 290.5

Output campate

Campata n. 1 tra i filii 17 e 31, asta n. 13

Sezione rettangolare H tot. 25 B 125 Cs 4 Ci 4

Sovreresistenza 0%

Verifiche in stato limite ultimo

x	Asup	cs	Ainf	ci	Mela	comb.	MEd	MRd	x/d	Ast	Afp+	Afp-	VEd	comb.	VRcd	VRd	VRsd	teta	Ver.
0	0	4.8	0	4.8	-186383	m.i.p.	0	0	0	0.188	0	0	4558	SLU 18	88893	12806	12734	45	S1
0	0	4.8	0	4.8	-395496	SLU 17	-395496	0	0	0.188	0	0	-183	ger.	88893	12806	-12734	45	S1
0	0	4.8	0	4.8	-395496	SLU 17	-395496	0	0	0.188	0	0	4558	SLU 18	88893	12806	12734	45	S1
0	0	4.8	0	4.8						0.188	0	0	-183	ger.	88893	12806	-12734	45	S1
117	11.31	5.4	11.31	5.4	53814	SLU 13	73164	883763	0.211	0.188	0	0	2034	SLU 18	90745	13970	12999	45	S1
117	11.31	5.4	11.31	5.4						0.188	0	0	-183	ger.	90745	13970	-12999	45	S1
247	11.31	5.4	11.31	5.4	149439	SLU 13	155880	883762	0.211	0.188	0	0	774	ger.	90745	13970	12999	45	S1
247	11.31	5.4	11.31	5.4						0.188	0	0	-771	SLU 12	90745	13970	-12999	45	S1
377	10.98	5.4	10.9	5.4	-84662	m.i.p.	0	859263	0.209	0.188	0	0	774	ger.	90745	13072	12999	45	S1
377	10.98	5.4	10.9	5.4	-179893	SLU 17	-217860	-863660	0.209	0.188	0	0	-3576	SLU 12	90745	13072	-12999	45	S1
390	0	4.8	0	4.8	-236140	SLU 17	-236140	0	0	0.188	0	0	774	ger.	88893	12806	12734	45	S1
390	0	4.8	0	4.8						0.188	0	0	-3856	SLU 12	88893	12806	-12734	45	S1
390	0	4.8	0	4.8	-111925	m.i.p.	0	0	0	0.188	0	0	774	ger.	88893	12806	12734	45	S1
390	0	4.8	0	4.8	-236140	SLU 17	-236140	0	0	0.188	0	0	-3856	SLU 12	88893	12806	-12734	45	S1

Valutazione dei tagli secondo gerarchia delle resistenze

x	contr.gravitaz.	VEd negativo	contr.mom.resist.	elastico	VEd positivo	contr.mom.resist.	elastico
0	0	-183	-183	2196	4558	774	4558
0	0	-183	-183	2196	4558	774	4558
117	0	-183	-183	976	2034	774	2034
247	0	-771	-183	-771	774	774	-378
377	0	-3576	-183	-3576	774	774	-1733
390	0	-3856	-183	-3856	774	774	-1869
390	0	-3856	-183	-3856	774	774	-1869

Verifiche in esercizio

x	M.rara	Comb.R	sigma c. rara	sigma f. rara	M.QP	Comb.QP	sigma c. QP	srmi	wki rara	wki freq.	wki QP	srms	wks rara	wks freq.	wks QP	fg. rara	ff. rara	fg. QP	ff. QP	l/ff.qp	Ver.
0	-288517	2	0	0	-247736	2	0	0	0	0	0	0	0	0	0	0	0	0	0	9999	S1
0	-288517	2	0	0	-247736	2	0	0	0	0	0	0	0	0	0	0	0	0	0	9999	S1
117	53818	3	4	59	47773	2	4	0	0	0	0	0	0	0	0	0.03	0.02	0.03	0.05	9999	S1
247	114188	3	8	126	99605	2	7	0	0	0	0	0	0	0	0	0.06	0.03	0.05	0.08	9386.55	S1
377	-159046	2	12	176	-136891	2	10	0	0	0	0	0	0	0	0	0.06	0.02	0.05	0.06	9999	S1
390	-172415	2	0	0	-148459	2	0	0	0	0	0	0	0	0	0	0	0	0	0	9999	S1
390	-172415	2	0	0	-148459	2	0	0	0	0	0	0	0	0	0	0.06	0.02	0.05	0.06	9999	S1

Momenti resistenti a filo appoggi (per controllo pilastri)

campata	x	appoggio	Mb,Rd +	Mb,Rd -
1	0	17	0	0
1	390	31	0	0

Coefficienti di sicurezza minimi

Resistenza a flessione: 3,58

Resistenza a taglio 3,70

Tensioni in combinazione rara: 3,95

Tensioni in combinazione quasi permanente: 5,76

Fessurazione: 999,00

Deformazione: 37,48

Rampa-4-5

Verifiche di resistenza SLE (§ 7.3.7.1) omesse in quanto garantite da uno spettro SLD sempre minore di quello SLV

Caratteristiche dei materiali

Acciaio: B450C fyk = 4500

Calcestruzzo: C28/35 fck,cub (cubica) = 350 fck (cilindrica) = 290.5

Output campate

Campata n. 1 tra i filii 19 e 33, asta n. 17

Sezione rettangolare H tot. 25 B 125 Cs 4 Ci 4

Sovreresistenza 0%

Verifiche in stato limite ultimo

x	Asup	cs	Ainf	ci	Mela	comb.	MEd	MRd	x/d	Ast	Afp+	Afp-	VEd	comb.	VRcd	VRd	VRsd	teta	Ver.
0	0	4.8	0	4.8	-189919	m.i.p.	0	0	0	0.19	0	0	4527	SLU 18	88893	12806	12867	45	S1
0	0	4.8	0	4.8	-400638	SLU 18	-400638	0	0	0.19	0	0	-231	ger.	88893	12806	-12867	45	S1
0	0	4.8	0	4.8	-400638	SLU 18	-400638	0	0	0.19	0	0	4527	SLU 18	88893	12806	12867	45	S1
0	0	4.8	0	4.8						0.19	0	0	-231	ger.	88893	12806	-12867	45	S1
117	11.31	5.4	11.31	5.4	42399	SLU 13	61324	883762	0.211	0.19	0	0	2001	SLU 18	90745	13970	13135	45	S1
117	11.31	5.4	11.31	5.4						0.19	0	0	-231	ger.	90745	13970	-13135	45	S1
247	11.31	5.4	11.31	5.4	132329	SLU 13	139114	883762	0.211	0.19	0	0	774	ger.	90745	13970	13135	45	S1
247	11.31	5.4	11.31	5.4						0.19	0	0	-809	SLU 12	90745	13970	-13135	45	S1
377	10.29	5.4	10.36	5.4	-89872	m.i.p.	0	825476	0.204	0.19	0	0	774	ger.	90745	13072	13135	45	S1
377	10.29	5.4	10.36	5.4	-201682	SLU 12	-239908	-821947	0.204	0.19	0	0	-3616	SLU 12	90745	13072	-13135	45	S1
390	0	4.8	0	4.8	-258314	SLU 12	-258314	0	0	0.19	0	0	774	ger.	88893	12806	12867	45	S1
390	0	4.8	0	4.8						0.19	0	0	-3896	SLU 12	88893	12806	-12867	45	S1
390	0	4.8	0	4.8	-117125	m.i.p.	0	0	0	0.19	0	0	774	ger.	88893	12806	12867	45	S1
390	0	4.8	0	4.8	-258314	SLU 12	-258314	0	0	0.19	0	0	-3896	SLU 12	88893	12806	-12867	45	S1

Valutazione dei tagli secondo gerarchia delle resistenze

x	contr.gravitaz.	VEd negativo	contr.mom.resist.	elastico	VEd positivo	contr.mom.resist.	elastico
0	0	-231	-231	2194	4527	774	4527
0	0	-231	-231	2194	4527	774	4527
117	0	-231	-231	972	2001	774	2001
247	0	-809	-231	-809	774	774	-382
377	0	-3616	-231	-3616	774	774	-1740
390	0	-3896	-231	-3896	774	774	-1875
390	0	-3896	-231	-3896	774	774	-1875

Verifiche in esercizio

x	M.rara	Comb.R	sigma c. rara	sigma f. rara	M.QP	Comb.QP	sigma c. QP	srmi	wki rara	wki freq.	wki QP	srms	wks rara	wks freq.	wks QP	fg. rara	ff. rara	fg. QP	ff. QP	l/ff.qp	Ver.
0	-292414	3	0	0	-251465	2	0	0	0	0	0	0	0	0	0	0	0	0	0	9999	S1
0	-292414	3	0	0	-251465	2	0	0	0	0	0	0	0	0	0	0	0	0	0	9999	S1
117	45345	3	3	50	40738	2	3	0	0	0	0	0	0	0	0	0.05	0.02	0.04	0.05	9999	S1
247	102376	3	8	113	90182	2	7	0	0	0	0	0	0	0	0	0.09	0.04	0.08	0.09	8458.28	S1
377	-174508	2	13	193	-148632	2	11	0	0	0	0	0	0	0	0	0.11	0.04	0.09	0.08	8243.39	S1
390	-187959	2	0	0	-160253	2	0	0	0	0	0	0	0	0	0	0	0	0	0	9999	S1
390	-187959	2	0	0	-160253	2	0	0	0	0	0	0	0	0	0	0.11	0.04	0.1	0.08	8045.92	S1

Momenti resistenti a filo appoggi (per controllo pilastri)

campata	x	appoggio	Mb,Rd +	Mb,Rd -
1	0	19	0	0
1	390	33	0	0

Coefficienti di sicurezza minimi

Resistenza a flessione: 3,48

Resistenza a taglio 3,70

Tensioni in combinazione rara: 3,84

Tensioni in combinazione quasi permanente: 5,59

Fessurazione: 999,00

Deformazione: 27,76

Rampa-Int-0

Verifiche di resistenza SLE (§ 7.3.7.1) omesse in quanto garantite da uno spettro SLD sempre minore di quello SLV

Caratteristiche dei materiali

Acciaio: B450C fyk = 4500

Calcestruzzo: C28/35 fck,cub (cubica) = 350 fck (cilindrica) = 290.5

Output campate

Campata n. 1 tra i fili 21 e 28, asta n. 33

Sezione rettangolare H tot. 12 B 120 Cs 3 Ci 3

Sovreresistenza 0%

Verifiche in stato limite ultimo

x	Asup	cs	Ainf	ci	Mela	comb.	MEd	MRd	x/d	Ast	Afp+	Afp-	VEd	comb.	VRcd	VRd	VRsd	teta	Ver.
0	0	3,8	0	3,8	-8195	m.i.p.	0	0	0	0,337	0	0	1386	SLU 17	32001	4610	8542	45	SI
0	0	3,8	0	3,8	-54560	SLU 17	-54560	0	0	0,337	0	0	-735	ger.	32001	4610	-8542	45	SI
0	0	3,8	0	3,8	-54560	SLU 17	-54560	0	0	0,337	0	0	1386	SLU 17	32001	4610	8542	45	SI
0	0	3,8	0	3,8				0	0	0,337	0	0	-735	ger.	32001	4610	-8542	45	SI
72	6,79	4,4	6,79	4,4	21845	SLV 2	21845	237737	0,399	0,337	0	0	287	SLU 17	33779	6097	9016	45	SI
72	6,79	4,4	6,79	4,4	-3631	SLV 15	-4654	-237737	0,399	0,337	0	0	-735	ger.	33779	6097	-9016	45	SI
152	6,79	4,4	6,79	4,4	-8029	m.i.p.	0	237737	0,399	0,337	0	0	-944	SLU 13	33779	6097	-9016	45	SI
152	6,79	4,4	6,79	4,4	-19025	SLU 11	-21474	-237737	0,399										SI
232	6,79	4,4	6,79	4,4	-78179	m.i.p.	0	237738	0,399	0,337	0	0	-2166	SLU 13	33779	4866	-9016	45	SI
232	6,79	4,4	6,79	4,4	-161010	SLU 13	-169875	-237737	0,399										SI
240	0	3,8	0	3,8	-182023	SLU 13	-182023	0	0	0,337	0	0	-2288	SLU 13	32001	4610	-8542	45	SI
240	0	3,8	0	3,8	-86994	m.i.p.	0	0	0	0,337	0	0	-2288	SLU 13	32001	4610	-8542	45	SI
240	0	3,8	0	3,8	-182023	SLU 13	-182023	0	0										SI

Valutazione dei tagli secondo gerarchia delle resistenze

x	contr.gravitaz.	VEd negativo	contr.mom.resist.	elastico	VEd positivo	contr.mom.resist.	elastico
0	0	-735	-735	443	1386	-120	1386
0	0	-735	-735	443	1386	-120	1386
72	0	-735	-735	20	287	-120	287
152	0	-944	-735	-944	-120	-120	-441
232	0	-2166	-735	-2166	-120	-120	-911
240	0	-2288	-735	-2288	-120	-120	-958
240	0	-2288	-735	-2288	-120	-120	-958

Verifiche in esercizio

x	M.rara	Comb.R	sigma c. rara	sigma f. rara	M.QP	Comb.QP	sigma c. QP	srmi	wki rara	wki freq.	wki QP	srms	wks rara	wks freq.	wks QP	fg. rara	ff. rara	fg. QP	ff. QP	l/ff.qp	Ver.
0	-38253	2	0	0	-28969	2	0	0	0	0	0	0	0	0	0	0	0	0	0	9999	SI
0	-38253	2	0	0	-28969	2	0	0	0	0	0	0	0	0	0	0	0	0	0	9999	SI
72	12372	3	4	64	9470	2	3	0	0	0	0	0	0	0	0	0,02	0	0,02	0	9999	SI
152	-16359	1	6	84	-16359	1	6	0	0	0	0	0	0	0	0	0,04	0	0,03	0	9999	SI
232	-123587	3	113	2423	-107053	2	98	0	0	0	0	11,5	0,003	0,003	0,003	0,08	0	0,07	0	6489,65	SI
240	-132339	3	0	0	-114348	2	0	0	0	0	0	0	0	0	0	0	0	0	0	9999	SI
240	-132339	3	0	0	-114348	2	0	0	0	0	0	0	0	0	0	0,09	0	0,08	0	5811,94	SI

Momenti resistenti a filo appoggi (per controllo pilastri)

campata	x	appoggio	Mb,Rd +	Mb,Rd -
1	0	21		0
1	240	28		0

Coefficienti di sicurezza minimi
Resistenza a flessione: 2,12
Resistenza a taglio 5,01
Tensioni in combinazione rara: 2,24
Tensioni in combinazione quasi permanente: 1,98
Fessurazione: 999,00
Deformazione: 20,47

Rampa-Platea-Int

Verifiche di resistenza SLE (§ 7.3.7.1) omesse in quanto garantite da uno spettro SLD sempre minore di quello SLV

Caratteristiche dei materiali

Acciaio: B450C fyk = 4500
Calcestruzzo: C28/35 fck,cub (cubica) = 350 fck (cilindrica) = 290,5

Output campate

Campata n. 1 tra i fili 23 e ?, asta n. 32

Sezione rettangolare H tot. 12 B 120 Cs 3 Ci 3

Sovreresistenza 0%

Verifiche in stato limite ultimo

x	Asup	cs	Ainf	ci	Mela	comb.	MEd	MRd	x/d	Ast	Afp+	Afp-	VEd	comb.	VRcd	VRd	VRsd	teta	Ver.
0	0	3,8	0	3,8	-20791	m.i.p.	0	0	0	0,196	0	0	1534	SLU 17	32001	4610	4979	45	SI
0	0	3,8	0	3,8	-76328	SLU 17	-76328	0	0	0,196	0	0	-750	ger.	32001	4610	-4979	45	SI
0	0	3,8	0	3,8	-76328	SLU 17	-76328	0	0	0,196	0	0	1534	SLU 17	32001	4610	4979	45	SI
0	0	3,8	0	3,8				0	0	0,196	0	0	-750	ger.	32001	4610	-4979	45	SI
72	6,79	4,4	6,79	4,4	21773	SLU 13	23353	237738	0,399	0,196	0	0	398	SLU 17	33779	6097	5255	45	SI
72	6,79	4,4	6,79	4,4				0,196	0	0,196	0	0	-750	ger.	33779	6097	-5255	45	SI
152	6,79	4,4	6,79	4,4	2122	SLV 2	4294	237738	0,399	0,196	0	0	-867	SLU 13	33779	6097	-5255	45	SI
152	6,79	4,4	6,79	4,4	-15175	SLV 15	-18201	-237736	0,399										SI
232	6,79	4,4	6,79	4,4	-84497	m.i.p.	0	237739	0,399	0,196	0	0	-2129	SLU 13	33779	4866	-5255	45	SI
232	6,79	4,4	6,79	4,4	-173812	SLU 13	-184244	-237736	0,399										SI
240	0	3,8	0	3,8	-198540	SLU 13	-198540	0	0	0,196	0	0	-2255	SLU 13	32001	4610	-4979	45	SI
240	0	3,8	0	3,8	-95047	m.i.p.	0	0	0	0,196	0	0	-2255	SLU 13	32001	4610	-4979	45	SI
240	0	3,8	0	3,8	-198540	SLU 13	-198540	0	0										SI

Valutazione dei tagli secondo gerarchia delle resistenze

x	contr.gravitaz.	VEd negativo	contr.mom.resist.	elastico	VEd positivo	contr.mom.resist.	elastico
0	0	-750	-750	520	1534	-59	1534
0	0	-750	-750	520	1534	-59	1534
72	0	-750	-750	75	398	-59	398
152	0	-867	-750	-867	-59	-59	-416
232	0	-2129	-750	-2129	-59	-59	-911
240	0	-2255	-750	-2255	-59	-59	-960
240	0	-2255	-750	-2255	-59	-59	-960

Verifiche in esercizio

x	M.rara	Comb.R	sigma c. rara	sigma f. rara	M.QP	Comb.QP	sigma c. QP	srmi	wki rara	wki freq.	wki QP	srms	wks rara	wks freq.	wks QP	fg. rara	ff. rara	fg. QP	ff. QP	l/ff.qp	Ver.
0	-53664	2	0	0	-40615	2	0	0	0	0	0	0	0	0	0	0	0	0	0	9999	SI
0	-53664	2	0	0	-40615	2	0	0	0	0	0	0	0	0	0	0	0	0	0	9999	SI
72	16842	3	6	87	13961	2	5	0	0	0	0	0	0	0	0	0,03	0	0,02	0	9999	SI
152	-11859	1	4	61	-11859	1	4	0	0	0	0	0	0	0	0	0,04	0	0,03	0	9999	SI
232	-134382	3	123	2635	-116280	2	106	0	0	0	0	11,5	0,003	0,003	0,003	0,08	0	0,07	0	6676,42	SI
240	-144716	3	0	0	-124923	2	0	0	0	0	0	0	0	0	0	0	0	0	0	9999	SI
240	-144716	3	0	0	-124923	2	0	0	0	0	0	0	0	0	0	0,09	0	0,08	0	5829,99	SI

Momenti resistenti a filo appoggi (per controllo pilastri)

campata	x	appoggio	Mb,Rd +	Mb,Rd -
1	0	23		0
1	240	?		0

Coefficienti di sicurezza minimi
Resistenza a flessione: 2,04
Resistenza a taglio 3,48
Tensioni in combinazione rara: 2,15
Tensioni in combinazione quasi permanente: 1,90
Fessurazione: 150,85
Deformazione: 20,55

T21

Verifiche di resistenza SLE (§ 7.3.7.1) omesse in quanto garantite da uno spettro SLD sempre minore di quello SLV

Caratteristiche dei materiali

Acciaio: B450C fyk = 4500
Calcestruzzo: C28/35 fck,cub (cubica) = 350 fck (cilindrica) = 290,5

Output campate

Campata n. 1 tra i fili 11 e 12, asta n. 9

Sezione rettangolare H tot. 100 B 30 Cs 3 Ci 3

Sovreresistenza 0%

Verifiche in stato limite ultimo

x	Asup	cs	Ainf	ci	Mela	comb.	MEd	MRd	x/d	Ast	Afp+	Afp-	VEd	comb.	VRcd	VRd	VRsd	teta	Ver.
0	12,57	5,8	12,57	4,8	313313	SLV 12	371647	4478972	0,078	0	0	0	40136	ger.	104672	11623	0	45	SI
0	12,57	5,8	12,57	4,8	-1121139	SLV 5	-861079	-4452416	0,069	0	0	0	-44925	ger.	104672	11623	0	45	SI
28	12,57	5,8	12,57	4,8	467104	SLV 8	1210567	4478972	0,078	0,144	0	0	39930	ger.	105783	11686	48148	45	SI
28	12,57	5,8	12,57	4,8	-497748	SLV 9	-497748	-4452416	0,069	0,144	0	0	-45131	ger.	105783	11686	-48148	45	SI
35	12,57	5,8	12,57	4,8	557974	SLV 8	1398854	4478972	0,078	0,144	0	0	39872	ger.	105783	11686	48148	45	SI
35	12,57	5,8	12,57	4,8	-372709	SLV 9	-497748	-4452416	0,069	0,144	0	0	-45189	ger.	105783	11686	-48148	45	SI

x	Asup	cs	Ainf	ci	Mela	comb.	MEd	MRd	x/d	Ast	Afp+	Afp-	VEd	comb.	VRcd	VRd	VRsd	teta	Ver.
74	12,57	5,8	12,57	4,8	1306403	SLV 4	1865280	4478972	0,078	0,144	0	0	39578	ger.	105783	11686	48148	45	SI
74	12,57	5,8	12,57	4,8	-50995	SLV 13	-432694	-4452416	0,069	0,144	0	0	-45483	ger.	105783	11686	-48148	45	SI
98	12,57	5,8	12,57	4,8	1865280	SLV 4	1865280	4478972	0,078	0,144	0	0	43525	ger.	105783	11686	48148	45	SI
98	12,57	5,8	12,57	4,8	4401	SLV 13	-104976	-4452416	0,069	0,144	0	0	-41536	ger.	105783	11686	-48148	45	SI
118	12,57	5,8	12,57	4,8	2375621	SLV 2	2155708	4478972	0,078	0	0	0	43375	ger.	105783	11686	0	45	SI
118	12,57	5,8	12,57	4,8						0	0	0	-41686	ger.	105783	11686	0	45	SI

Valutazione dei tagli secondo gerarchia delle resistenze

x	contr.gravitaz.	VEd negativo	contr.mom.resist.	elastico	VEd positivo	contr.mom.resist.	elastico
0	-2394	-44925	-42530	77	40136	42530	23079
28	-2600	-45131	-42530	-177	39930	42530	22824
35	-2659	-45189	-42530	-249	39872	42530	22753
74	-2952	-45483	-42530	-612	39578	42530	22390
98	995	-41536	-42530	-825	43525	42530	22176
118	845	-41686	-42530	-1010	43375	42530	21991

Verifiche in esercizio

x	M.rara	Comb.R	sigma c. rara	sigma f. rara	M.QP	Comb.QP	sigma c. QP	srmi	wki rara	wki freq.	wki QP	srms	wks rara	wks freq.	wks QP	fg. rara	ff. rara	fg. QP	ff. QP	l/ff.qp	Ver.
0	-264062	3	5	70	-244716	2	4	0	0	0	0	0	0	0	0	0	0	0	0	9999	SI
28	618385	4	11	165	574648	1	10	0	0	0	0	0	0	0	0	0	0	0	0	9999	SI
28	-17950	2	0	5	-15322	2	10	0	0	0	0	0	0	0	0	0	0	0	0	9999	SI
35	730772	3	13	194	678794	2	12	0	0	0	0	0	0	0	0	0,01	0	0,01	0,01	9999	SI
35	-17950	1	0	5	-15322	1	12	0	0	0	0	0	0	0	0	0	0	0	0	9999	SI
74	1007312	3	18	268	934841	2	17	0	0	0	0	0	0	0	0	0,01	0,01	0,01	0,01	9999	SI
98	1007312	3	18	268	934841	2	17	0	0	0	0	0	0	0	0	0	0	0	0	9999	SI
118	1176262	3	21	313	1091142	2	19	0	0	0	0	0	0	0	0	0,02	0,01	0,02	0,02	9999	SI

Campata n. 2 tra i fili 12 e 14, asta n. 8,7

Sezione rettangolare H tot. 100 B 30 Cs 3 Ci 3

Sovreresistenza 0%

Verifiche in stato limite ultimo

x	Asup	cs	Ainf	ci	Mela	comb.	MEd	MRd	x/d	Ast	Afp+	Afp-	VEd	comb.	VRcd	VRd	VRsd	teta	Ver.
0	12,57	5,8	12,57	4,8	2373208	SLV 2	2218031	4478972	0,078	0	0	0	43375	ger.	105783	11686	0	45	SI
0	12,57	5,8	12,57	4,8	-117648	SLV 15	-722211	-4452416	0,069	0	0	0	-41686	ger.	105783	11686	0	45	SI
20	12,57	5,8	12,57	4,8	2035924	SLV 2	2035924	4478972	0,078	0,151	0	0	43225	ger.	105783	11686	50556	45	SI
20	12,57	5,8	12,57	4,8	-37334	SLV 15	-37334	-4452416	0,069	0,151	0	0	-41836	ger.	105783	11686	-50556	45	SI
44	12,57	5,8	12,57	4,8	1635714	SLV 1	2035924	4478972	0,078	0,151	0	0	43043	ger.	105783	11686	50556	45	SI
44	12,57	5,8	12,57	4,8	40652	SLV 16	-325208	-4452416	0,069	0,151	0	0	-42017	ger.	105783	11686	-50556	45	SI
93	12,57	5,8	12,57	4,8	1089222	SLV 5	1541307	4478972	0,078	0,151	0	0	47485	ger.	105783	11686	50556	45	SI
93	12,57	5,8	12,57	4,8	-426047	SLV 12	-934350	-4452416	0,069	0,151	0	0	-37575	ger.	105783	11686	-50556	45	SI
120	12,57	5,8	12,57	4,8	965048	SLV 9	1206542	4478972	0,078	0,151	0	0	47286	ger.	105783	11686	50556	45	SI
120	12,57	5,8	12,57	4,8	-934350	SLV 8	-934350	-4452416	0,069	0,151	0	0	-37775	ger.	105783	11686	-50556	45	SI
148	12,57	5,8	12,57	4,8	930325	SLV 9	945846	4478972	0,078	0	0	0	47080	ger.	104672	11623	0	45	SI
148	12,57	5,8	12,57	4,8	-1568600	SLV 8	-1290605	-4452416	0,069	0	0	0	-37981	ger.	104672	11623	0	45	SI

Valutazione dei tagli secondo gerarchia delle resistenze

x	contr.gravitaz.	VEd negativo	contr.mom.resist.	elastico	VEd positivo	contr.mom.resist.	elastico
0	845	-41686	-42530	-15518	43375	42530	4544
20	695	-41836	-42530	-15691	43225	42530	4371
44	513	-42017	-42530	-15900	43043	42530	4161
93	4955	-37575	-42530	-22032	47485	42530	1620
120	4756	-37775	-42530	-22262	47286	42530	1391
148	4549	-37981	-42530	-22500	47080	42530	1153

Verifiche in esercizio

x	M.rara	Comb.R	sigma c. rara	sigma f. rara	M.QP	Comb.QP	sigma c. QP	srmi	wki rara	wki freq.	wki QP	srms	wks rara	wks freq.	wks QP	fg. rara	ff. rara	fg. QP	ff. QP	l/ff.qp	Ver.
0	1154941	3	21	307	1072910	2	19	0	0	0	0	0	0	0	0	0,02	0,01	0,02	0,02	9999	SI
20	1076289	3	19	286	999295	2	18	0	0	0	0	0	0	0	0	0	0	0	0	9999	SI
44	1076289	3	19	286	999295	2	18	0	0	0	0	0	0	0	0	0,02	0,01	0,01	0,02	9999	SI
93	859536	3	15	229	796084	2	14	0	0	0	0	0	0	0	0	0,01	0	0,01	0,01	9999	SI
93	-24	1	0	0	3350	1	14	0	0	0	0	0	0	0	0	0	0	0	0	9999	SI
120	567894	2	10	151	523034	2	9	0	0	0	0	0	0	0	0	0	0	0	0	9999	SI
120	-24	4	0	0	3350	1	9	0	0	0	0	0	0	0	0	0	0	0	0	9999	SI
148	-180652	3	3	48	-172380	2	3	0	0	0	0	0	0	0	0	0	0	0	0	9999	SI

Momenti resistenti a filo appoggi (per controllo pilastri)

campata	x	appoggio	Mb,Rd +	Mb,Rd -
1	28	11	4478972	-4452416
1	98	12	4478972	-4452416
2	20	12	4478972	-4452416
2	120	14	4478972	-4452416

Coefficienti di sicurezza minimi

Resistenza a flessione; 2,20

Resistenza a taglio 1,06

Tensioni in combinazione rara; 3,68

Tensioni in combinazione quasi permanente; 5,99

Fessurazione; 999,00

Deformazione; 58,17

T22

Verifiche di resistenza SLE (§ 7.3.7.1) omesse in quanto garantite da uno spettro SLD sempre minore di quello SLV

Caratteristiche dei materiali

Acciaio: B450C fyk = 4500

Calcestruzzo: C28/35 fck,cub (cubica) = 350 fck (cilindrica) = 290,5

Output campate

Campata n. 1 tra i fili 12 e 18, asta n. 4

Sezione rettangolare H tot. 125 B 40 Cs 4 Ci 4

Sovreresistenza 0%

Verifiche in stato limite ultimo

x	Asup	cs	Ainf	ci	Mela	comb.	MEd	MRd	x/d	Ast	Afp+	Afp-	VEd	comb.	VRcd	VRd	VRsd	teta	Ver.
0	15,71	5,8	15,71	5,8	-4633	SLU 4	139301	7080963	0,061	0	0	0	107179	ger.	176601	17123	0	45	SI
0	15,71	5,8	15,71	5,8	-360116	SLU 17	-352267	-7080963	0,061	0	0	0	-127481	ger.	176601	17123	0	45	SI
15	15,71	5,8	15,71	5,8	390878	SLV 2	2288243	7080963	0,061	0,314	0	0	107179	ger.	176601	17123	131877	45	SI
15	15,71	5,8	15,71	5,8	-403954	SLV 15	-796181	-7080963	0,061	0,314	0	0	-127481	ger.	176601	17123	-131877	45	SI
27	15,71	5,8	15,71	5,8	801404	SLV 2	2691086	7080963	0,061	0,314	0	0	107179	ger.	176601	17123	131877	45	SI
27	15,71	5,8	15,71	5,8	-485092	SLV 15	-885170	-7080963	0,061	0,314	0	0	-127481	ger.	176601	17123	-131877	45	SI
56	15,71	5,8	15,71	5,8	1842506	SLV 2	2975045	7080963	0,061	0,314	0	0	107179	ger.	176601	17123	131877	45	SI
56	15,71	5,8	15,71	5,8	-700062	SLV 15	-949117	-7080963	0,061	0,314	0	0	-127481	ger.	176601	17123	-131877	45	SI
86	15,71	5,8	15,71	5,8	2872788	SLV 2	2975045	7080963	0,061	0,314	0	0	107179	ger.	176601	17123	131877	45	SI
86	15,71	5,8	15,71	5,8	-925967	SLV 15	-949117	-7080963	0,061	0,314	0	0	-127481	ger.	176601	17123	-131877	45	SI
89	15,71	5,8	15,71	5,8	2975045	SLV 2	2975045	7080963	0,061	0,314	0	0	107179	ger.	176601	17123	131877	45	SI
89	15,71	5,8	15,71	5,8	-949117	SLV 15	-949117	-7080963	0,061	0,314	0	0	-127481	ger.	176601	17123	-131877	45	SI
89	15,71	5,8	15,71	5,8	2975219	SLV 2	2975219	7080963	0,061	0,314	0	0	107179	ger.	176601	17123	131877	45	SI
89	15,71	5,8	15,71	5,8	-949157	SLV 15	-949157	-7080963	0,061	0,314	0	0	-127481	ger.	176601	17123	-131877	45	SI

Valutazione dei tagli secondo gerarchia delle resistenze

x	contr.gravitaz.	VEd negativo	contr.mom.resist.	elastico	VEd positivo	contr.mom.resist.	elastico
0	0	-127481	-127481	-6774	107179	107179	35811
15	0	-127481	-127481	-6962	107179	107179	35624
27	0	-127481	-127481	-7106	107179	107179	35479
56	0	-127481	-127481	-7475	107179	107179	35110
86	0	-127481	-127481	-7843	107179	107179	34742
89	0	-127481	-127481	-7880	107179	107179	34705
89	0	-127481	-127481	-7880	107179	107179	34705

x	M.rara	Comb.R	sigma c. rara	sigma f. rara	M.QP	Comb.QP	sigma c. QP	srm	wki rara	wki freq.	wki QP	srms	wks rara	wks freq.	wks QP	fg. rara	ff. rara	fg. QP	ff. QP	l/ff.qp	Ver.
89	1099237	3	10	144	1012964	2	9	0	0	0	0	0	0	0	0	0	0	0	0	9999	S1
89	1099310	3	10	144	1013031	2	9	0	0	0	0	0	0	0	0	0	0	0	0	9999	S1

Campata n. 2 tra i fili 18 e 22, asta n. 6,5
Sezione rettangolare H tot. 125 B 40 Cs 4 Ci 4
Sovraresistenza 0%
Campata collegata a parete. La relazione di verifica non viene prodotta.

Momenti resistenti a filo appoggi (per controllo pilastri)

campata	x	appoggio	Mb,Rd +	Mb,Rd -
1	15	12	7080963	-7080963
1	88	18	7080963	-7080963
2	0	18	7080963	-7080963
2	120	22	0	0

Coefficienti di sicurezza minimi
Resistenza a flessione: 2,38
Resistenza a taglio 1,03
Tensioni in combinazione rara: 5,69
Tensioni in combinazione quasi permanente: 10,78
Fessurazione: 999,00
Deformazione: 774,15

T31

Verifiche di resistenza SLE (§ 7.3.7.1) omesse in quanto garantite da uno spettro SLD sempre minore di quello SLV

Caratteristiche dei materiali

Acciaio: B450C fyk = 4500
Calcestruzzo: C28/35 fck,cub (cubica) = 350 fck (cilindrica) = 290.5

Output campate

Campata n. 1 tra i fili 29 e 44, asta n. 10,11,12
Campata considerata a comportamento non dissipativo
Le sollecitazioni sismiche sono moltiplicate per i fattori di struttura
Sezione rettangolare H tot. 75 B 40 Cs 4 Ci 4
Sovraresistenza 0%

Verifiche in stato limite ultimo

x	Asup	cs	Ainf	ci	Mela	comb.	MEd	MRd	x/d	Ast	Afp+	Afp-	VEd	comb.	VRcd	VRd	VRsd	teta	Ver.
0	0	4,8	0	4,8	-107928	m.i.p.	0	0	0	0,06	0	0	9842	SLV 12	102523	9956	-14727	45	S1
0	0	4,8	0	4,8	-425541	SLV 13	-425541	0	0	0,06	0	0	-6140	SLV 5	102523	9956	-14727	45	S1
0	0	4,8	0	4,8	-107956	SLV 9	18458	0	0	0,06	0	0	9842	SLV 12	102523	9956	-14727	45	S1
0	0	4,8	0	4,8	-425527	SLV 13	-425527	0	0	0,06	0	0	-6140	SLV 5	102523	9956	-14727	45	S1
55	8,04	5,6	8,04	5,6	34523	SLV 10	50673	2107669	0,083	0,06	0	0	2781	SLV 8	102820	9977	14769	45	S1
55	8,04	5,6	8,04	5,6	-217778	SLV 7	-357876	-2107669	0,083	0,06	0	0	1486	SLV 8	102820	9977	14769	45	S1
116	8,04	5,6	8,04	5,6	48851	SLV 9	57086	2107669	0,083	0,06	0	0	-243	SLV 9	102820	9977	-14769	45	S1
116	8,04	5,6	8,04	5,6	-88863	SLV 8	-146514	-2107669	0,083	0,06	0	0	1028	SLV 8	102820	9977	14769	45	S1
177	8,04	5,6	8,04	5,6	20089	SLV 9	38300	2107669	0,083	0,06	0	0	-701	SLV 9	102820	9977	-14769	45	S1
177	8,04	5,6	8,04	5,6	-12195	SLV 8	-48026	-2107669	0,083	0,06	0	0	983	SLV 8	102523	9956	-14727	45	S1
183	0	4,8	0	4,8	15694	SLV 9	35324	0	0	0,06	0	0	-746	SLV 9	102523	9956	-14727	45	S1
183	0	4,8	0	4,8	-6066	SLV 8	-40459	0	0	0,06	0	0	983	SLV 8	102523	9956	-14727	45	S1
183	0	4,8	0	4,8	15694	SLV 9	35324	0	0	0,06	0	0	-746	SLV 9	102523	9956	-14727	45	S1
183	0	4,8	0	4,8	-6066	SLV 8	-40459	0	0	0,06	0	0	983	SLV 8	102523	9956	-14727	45	S1

Verifiche in esercizio

x	M.rara	Comb.R	sigma c. rara	sigma f. rara	M.QP	Comb.QP	sigma c. QP	srm	wki rara	wki freq.	wki QP	srms	wks rara	wks freq.	wks QP	fg. rara	ff. rara	fg. QP	ff. QP	l/ff.qp	Ver.
0	-309771	3	0	0	-264296	2	0	0	0	0	0	0	0	0	0	0	0	0	0	9999	S1
0	-309761	3	0	0	-264287	2	0	0	0	0	0	0	0	0	0	0	0	0	0	9999	S1
55	-260651	3	6	97	-222676	2	6	0	0	0	0	0	0	0	0	0,02	0	0,02	0	9999	S1
116	-57900	3	1	22	-48247	2	1	0	0	0	0	0	0	0	0	0,05	0	0,04	0,01	8175,88	S1
177	5782	2	0	2	4814	2	0	0	0	0	0	0	0	0	0	0,08	0	0,07	0,01	5326,78	S1
177	-6883	4	0	3	-4863	1	0	0	0	0	0	0	0	0	0	0	0	0	0	9999	S1
183	-4105	4	0	0	-2568	1	0	0	0	0	0	0	0	0	0	0	0	0	0	9999	S1
183	-4105	4	0	0	-2568	1	0	0	0	0	0	0	0	0	0	0,08	0	0,07	0,01	5147,67	S1

Momenti resistenti a filo appoggi (per controllo pilastri)

campata	x	appoggio	Mb,Rd +	Mb,Rd -
1	0	29	0	0
1	183	44	0	0

Coefficienti di sicurezza minimi
Resistenza a flessione: 0,00
Resistenza a taglio 1,50
Tensioni in combinazione rara: 0,00
Tensioni in combinazione quasi permanente: 0,00
Fessurazione: 999,00
Deformazione: 17,53

T41

Verifiche di resistenza SLE (§ 7.3.7.1) omesse in quanto garantite da uno spettro SLD sempre minore di quello SLV

Caratteristiche dei materiali

Acciaio: B450C fyk = 4500
Calcestruzzo: C28/35 fck,cub (cubica) = 350 fck (cilindrica) = 290.5

Output campate

Campata n. 1 tra i fili 3 e 18, asta n. 16,15,14
Campata considerata a comportamento non dissipativo
Le sollecitazioni sismiche sono moltiplicate per i fattori di struttura
Sezione rettangolare H tot. 75 B 40 Cs 4 Ci 4
Sovraresistenza 0%

Verifiche in stato limite ultimo

x	Asup	cs	Ainf	ci	Mela	comb.	MEd	MRd	x/d	Ast	Afp+	Afp-	VEd	comb.	VRcd	VRd	VRsd	teta	Ver.
0	0	4,8	0	4,8	3224	SLV 13	3224	0	0	0,067	0	0	-939	SLV 17	102523	9956	-16333	45	S1
0	0	4,8	0	4,8	1273	SLV 9	-31000	0	0	0,067	0	0	-939	SLV 17	102523	9956	-16333	45	S1
0	0	4,8	0	4,8	3224	SLV 13	3224	0	0	0,067	0	0	-939	SLV 17	102523	9956	-16333	45	S1
0	0	4,8	0	4,8	1273	SLV 9	-31000	0	0	0,067	0	0	-939	SLV 17	102523	9956	-16333	45	S1
80	8,04	5,6	8,04	5,6	-44348	m.i.p.	0	2107669	0,083	0,067	0	0	-1721	SLV 17	102820	10413	-16380	45	S1
80	8,04	5,6	8,04	5,6	-103496	SLV 17	-209801	-2107669	0,083	0,067	0	0	-3857	SLV 12	102820	10413	-16380	45	S1
169	8,04	5,6	8,04	5,6	-186411	m.i.p.	0	2107669	0,083	0,067	0	0	-4239	SLV 13	102820	9977	-16380	45	S1
169	8,04	5,6	8,04	5,6	-416653	SLV 12	-597179	-2107669	0,083	0,067	0	0	-4326	SLV 13	102523	9956	-16333	45	S1
259	8,04	5,6	8,04	5,6	-374653	m.i.p.	0	2107669	0,083	0,067	0	0	-4326	SLV 13	102523	9956	-16333	45	S1
259	8,04	5,6	8,04	5,6	-826056	SLV 12	-864206	-2107669	0,083	0,067	0	0	-4326	SLV 13	102523	9956	-16333	45	S1
268	0	4,8	0	4,8	-864206	SLV 12	-864206	0	0	0,067	0	0	-4326	SLV 13	102523	9956	-16333	45	S1
268	0	4,8	0	4,8	-393261	m.i.p.	0	0	0	0,067	0	0	-4326	SLV 13	102523	9956	-16333	45	S1
268	0	4,8	0	4,8	-864228	SLV 12	-864228	0	0	0,067	0	0	-4326	SLV 13	102523	9956	-16333	45	S1

Verifiche in esercizio

x	M.rara	Comb.R	sigma c. rara	sigma f. rara	M.QP	Comb.QP	sigma c. QP	srm	wki rara	wki freq.	wki QP	srms	wks rara	wks freq.	wks QP	fg. rara	ff. rara	fg. QP	ff. QP	l/ff.qp	Ver.
0	-22079	1	0	0	-17486	1	0	0	0	0	0	0	0	0	0	0,16	0,03	0,13	0,06	4046,35	S1
0	-22079	1	0	0	-17486	1	0	0	0	0	0	0	0	0	0	0	0	0	0	9999	S1
80	-152072	2	4	57	-127899	2	3	0	0	0	0	0	0	0	0	0,11	0,02	0,09	0,04	5930,37	S1
169	-433854	2	11	162	-367887	2	9	0	0	0	0	0	0	0	0	0,05	0,01	0,04	0,01	9999	S1
259	-628283	2	16	234	-534417	2	13	0	0	0	0	0	0	0	0	0	0	0	0	9999	S1
268	-628283	2	0	0	-534417	2	0	0	0	0	0	0	0	0	0	0	0	0	0	9999	S1
268	-628299	2	0	0	-534431	2	0	0	0	0	0	0	0	0	0	0	0	0	0	9999	S1

Momenti resistenti a filo appoggi (per controllo pilastri)

campata	x	appoggio	Mb,Rd +	Mb,Rd -
1	0	3	0	0
1	267	18	0	0

Coefficienti di sicurezza minimi
Resistenza a flessione: 0,00
Resistenza a taglio 3,78
Tensioni in combinazione rara: 0,00
Tensioni in combinazione quasi permanente: 0,00
Fessurazione: 999,00
Deformazione: 13,73

T51

Verifiche di resistenza SLE (§ 7.3.7.1) omesse in quanto garantite da uno spettro SLD sempre minore di quello SLV

Palazzo-Cavalli-Esecutivo

Caratteristiche dei materiali
Acciaio: B450C fyk = 4500
Calcestruzzo: C28/35 fck,cub (cubica) = 350 fck (cilindrica) = 290.5

Output campate
Campata n. 1 tra i fili 29 e 44, asta n. 18,19,20
Campata considerata a comportamento non dissipativo
Le sollecitazioni sismiche sono moltiplicate per il fattori di struttura
Sezione rettangolare H tot. 75 B 40 Cs 4 Ci 4
Sovreresistenza 0%

Verifiche in stato limite ultimo

x	Asup	cs	Ainf	ci	Mela	comb.	MEd	MRd	x/d	Ast	Afp+	Afp-	VEd	comb.	VRcd	VRd	VRsd	teta	Ver.
0	0	4,8	0	4,8	-326564	m.i.p.	0	0	0	0,06	0	0	10445	SLU 12	102523	9956	14727	45	S1
0	0	4,8	0	4,8	-695806	SLU 18	-695806	0	0	0									
0	0	4,8	0	4,8	-695755	SLU 18	-695755	0	0	0,06	0	0	10444	SLU 12	102523	9956	14727	45	S1
55	8,04	5,6	8,04	5,6	-83499	m.i.p.	0	2107669	0,083	0,06	0	0	2697	SLU 18	102820	9977	14769	45	S1
55	8,04	5,6	8,04	5,6	-214165	SLU 18	-451955	-2107669	0,083										
116	8,04	5,6	8,04	5,6	-22426	m.i.p.	0	2107669	0,083	0,06	0	0	1155	SLU 18	102820	9977	14769	45	S1
116	8,04	5,6	8,04	5,6	-53139	SLU 18	-138312	-2107669	0,083										
177	8,04	5,6	8,04	5,6	986	SLV 10	2449	2107669	0,083	0,06	0	0	561	SLU 18	102820	9977	14769	45	S1
177	8,04	5,6	8,04	5,6	-1298	SLV 7	-23122	-2107669	0,083										
183	0	4,8	0	4,8	2449	SLU 12	2449	0	0	0,06	0	0	501	SLU 18	102523	9956	14727	45	S1
183	0	4,8	0	4,8	1159	SLU 9	-18019	0	0	0									
183	0	4,8	0	4,8	2449	SLU 12	2449	0	0	0,06	0	0	501	SLU 18	102523	9956	14727	45	S1
183	0	4,8	0	4,8	1159	SLU 9	-18019	0	0	0									

Verifiche in esercizio

x	M.rara	Comb.R	sigma c. rara	sigma f. rara	M.QP	Comb.QP	sigma c. QP	srmi	wki rara	wki freq.	wki QP	srms	wks rara	wks freq.	wks QP	fg. rara	ff. rara	fg. QP	ff. QP	l/ff.qp	Ver.
0	-507412	3	0	0	-434862	2	0	0	0	0	0	0	0	0	0	0	0	0	0	9999	S1
0	-507375	3	0	0	-434830	2	0	0	0	0	0	0	0	0	0	0	0	0	0	9999	S1
55	-329503	3	8	123	-282044	2	7	0	0	0	0	0	0	0	0	0,03	0	0,03	0	9999	S1
116	-100541	3	2	37	-85190	2	2	0	0	0	0	0	0	0	0	0,07	0	0,06	0,01	6145,49	S1
177	1788	1	0	1	1538	1	0	0	0	0	0	0	0	0	0	0,11	0,01	0,09	0,01	4003,86	S1
177	-16523	3	0	6	-13210	2	0	0	0	0	0	0	0	0	0	0	0	0	0		S1
183	-12819	4	0	0	-10087	1	0	0	0	0	0	0	0	0	0	0	0	0	0	9999	S1
183	-12819	4	0	0	-10087	1	0	0	0	0	0	0	0	0	0	0,11	0,01	0,09	0,02	3869,06	S1

Momenti resistenti a filo appoggi (per controllo pilastri)

campata	x	appoggio	Mb,Rd +	Mb,Rd -
1		29		0
1		183	44	0

Coefficienti di sicurezza minimi
Resistenza a flessione: 0,00
Resistenza a taglio 1,41
Tensioni in combinazione rara: 0,00
Tensioni in combinazione quasi permanente: 0,00
Fessurazione: 999,00
Deformazione: 13,03

TC1

Verifiche di resistenza SLE (§ 7.3.7.1) omesse in quanto garantite da uno spettro SLD sempre minore di quello SLV

Caratteristiche dei materiali
Acciaio: B450C fyk = 4500
Calcestruzzo: C28/35 fck,cub (cubica) = 350 fck (cilindrica) = 290.5

Output campate
Campata n. 1 tra i fili 3 e 18, asta n. 23,22,21
Campata considerata a comportamento non dissipativo
Le sollecitazioni sismiche sono moltiplicate per il fattori di struttura
Sezione rettangolare H tot. 75 B 40 Cs 4 Ci 4
Sovreresistenza 0%

Verifiche in stato limite ultimo

x	Asup	cs	Ainf	ci	Mela	comb.	MEd	MRd	x/d	Ast	Afp+	Afp-	VEd	comb.	VRcd	VRd	VRsd	teta	Ver.
0	0	4,8	0	4,8	2300	SLU 20	2300	0	0	0,06	0	0	-686	SLU 19	102523	9956	-14654	45	S1
0	0	4,8	0	4,8	1559	SLV 12	-24042	0	0	0									
0	0	4,8	0	4,8	2300	SLU 20	2300	0	0	0,06	0	0	-686	SLU 19	102523	9956	-14654	45	S1
0	0	4,8	0	4,8	1559	SLV 12	-24042	0	0	0									
80	8,04	5,6	8,04	5,6	-56729	m.i.p.	0	2107669	0,083	0,06	0	0	-1468	SLU 19	102820	10413	-14696	45	S1
80	8,04	5,6	8,04	5,6	-84158	SLU 19	-184492	-2107669	0,083										
169	8,04	5,6	8,04	5,6	-261987	m.i.p.	0	2107669	0,083	0,06	0	0	-3756	SLU 20	102820	10413	-14696	45	S1
169	8,04	5,6	8,04	5,6	-385517	SLU 20	-550372	-2107669	0,083										
259	8,04	5,6	8,04	5,6	-556881	m.i.p.	0	2107669	0,083	0,06	0	0	-5072	SLU 20	102820	9977	-14696	45	S1
259	8,04	5,6	8,04	5,6	-827568	SLU 20	-873156	-2107669	0,083										
268	0	4,8	0	4,8	-873156	SLU 20	-873156	0	0	0,06	0	0	-5159	SLU 20	102523	9956	-14654	45	S1
268	0	4,8	0	4,8	-587570	m.i.p.	0	0	0	0,06	0	0	-5159	SLU 20	102523	9956	-14654	45	S1
268	0	4,8	0	4,8	-873182	SLU 20	-873182	0	0	0									

Verifiche in esercizio

x	M.rara	Comb.R	sigma c. rara	sigma f. rara	M.QP	Comb.QP	sigma c. QP	srmi	wki rara	wki freq.	wki QP	srms	wks rara	wks freq.	wks QP	fg. rara	ff. rara	fg. QP	ff. QP	l/ff.qp	Ver.
0	-18102	1	0	0	-15838	1	0	0	0	0	0	0	0	0	0	0,11	0,03	0,1	0,06	5389,75	S1
0	-18102	1	0	0	-15838	1	0	0	0	0	0	0	0	0	0	0	0	0	0	9999	S1
80	-139652	4	3	52	-127004	1	3	0	0	0	0	0	0	0	0	0,08	0,02	0,07	0,04	7961,99	S1
169	-416543	5	10	155	-381151	2	9	0	0	0	0	0	0	0	0	0,04	0,01	0,03	0,01	9999	S1
259	-660445	5	16	246	-606217	2	15	0	0	0	0	0	0	0	0	0	0	0	0	9999	S1
268	-660445	5	0	0	-606217	2	0	0	0	0	0	0	0	0	0	0	0	0	0	9999	S1
268	-660464	5	0	0	-606235	2	0	0	0	0	0	0	0	0	0	0	0	0	0	9999	S1

Momenti resistenti a filo appoggi (per controllo pilastri)

campata	x	appoggio	Mb,Rd +	Mb,Rd -
1		0	3	0
1		267	18	0

Coefficienti di sicurezza minimi
Resistenza a flessione: 0,00
Resistenza a taglio 2,84
Tensioni in combinazione rara: 0,00
Tensioni in combinazione quasi permanente: 0,00
Fessurazione: 999,00
Deformazione: 19,15

8.3 Verifiche piastre e pareti C.A.

nod.: nodo del modello FEM
sez.: tipo di sezione (o = orizzontale, v = verticale)
B: base della sezione
H: altezza della sezione
Afx: area di acciaio dal lato B (inferiore per le piastre)
Afy: area di acciaio dal lato A (superiore per le piastre)
cx: copri ferro dal lato B (inferiore per le piastre)
cy: copri ferro dal lato A (superiore per le piastre)
sc: tensione sul calcestruzzo in esercizio
comb; c: combinazione di carico
c.s.: coefficiente di sicurezza
N: sforzo normale di calcolo
M: momento flettente di calcolo
Mu: momento flettente ultimo
Nu: sforzo normale ultimo
sf: tensione sull'acciaio in esercizio
Wk: apertura caratteristica delle fessure
Sm: distanza media fra le fessure
st: sigma a trazione nel calcestruzzo in condizioni non fessurate
fck: resistenza caratteristica cilindrica del calcestruzzo
fcd: resistenza a compressione di calcolo del calcestruzzo
fctd: resistenza a trazione di calcolo del calcestruzzo
Hcr: altezza critica
q,Hcr: "quota della sezione alla altezza critica
hw: altezza della parete
lw: lunghezza della parete
n.p.: numero di piani

hs: altezza dell'interpiano
Mxd: momento di progetto attorno all'asse x (fuori piano)
Myd: momento di progetto attorno all'asse y (nel piano)
NEd: sforzo normale di progetto
MEd: Momento flettente di progetto di progetto
VED: sforzo di taglio di progetto
Ngrav.: sforzo normale dovuto ai carichi gravitazionali
NReale.: sforzo normale derivante dall'analisi
VRcd: resistenza a taglio dovuta alle bielle di calcestruzzo
epsilon: coefficiente di maggiorazione del taglio derivante dall'analisi
alfaS: MEd/(VEd*Iw) formula 7.4.15
At: area tesa di acciaio
roh: rapporto tra area della sezione orizzotale dell'armatura di anima e l'area della sezione di calcestruzzo
rov: rapporto tra area della sezione verticale dell'armatura di anima e l'area della sezione di calcestruzzo
VRsd: resistenza a taglio della sezione con armature
Somma(Asj)- Ai: somma delle aree delle barre verticali che attraversano la superficie di scorrimento
csi: altezza della parte compressa normalizzata all'altezza della sezione
Vdd: contributo dell'effetto spinotto delle armature verticali
Vfd: contributo della resistenza per attrito
Vid: contributo delle armature inclinate presenti alla base
VRd,s: valore di progetto della resistenza a taglio nei confronti dello scorrimento
M01: momento flettente inferiore per verifica instabilità
M02: momento flettente superiore per verifica instabilità
etot: eccentricità complessiva EC2 12.6.5.2 (12.12)
Fi: coefficiente riduttivo EC2 12.6.5.2 (12.11)
I: lunghezza libera di inflessione
beta: coefficiente EC2 12.6.5.1 (12.9)
Nrd: resistenza di progetto EC2 12.6.5.2 (12.10)
Llim: snellezza limite EC2 12.6.5.1 (4)
At: area di calcestruzzo del traverso in parete con blocco cassero in legno
Vr,cls: resistenza a taglio in assenza di armatura orizzontale in parete con blocco cassero in legno
Mu: momento resistente ultimo del singolo traverso in parete con blocco cassero in legno
Hp: resistenza a trazione dell'elemento teso in parete con blocco cassero in legno
R: fattore di efficienza in parete con blocco cassero in legno
Vr,s: contributo alla resistenza a taglio della armatura orizzontale in parete con blocco cassero in legno
VRd: resistenza a taglio per trazione del diagonale in parete con blocco cassero in legno
I: luce netta della trave di collegamento
h: altezza della trave di collegamento
b: spessore della trave di collegamento
d: altezza utile della trave di collegamento
Asi: area complessiva della armatura a X
M,plast: momenti resistenti della trave a filo appoggio
T,plast: sforzi di taglio nella trave derivanti da gerarchia delle resistenze
N: fattore di capacità portante, distinto nei 3 tipi (c, q, g)
S: fattore correttivo per la forma della fondazione, distinto nei 3 tipi (c, q, g)
D: fattore correttivo per la profondità del piano di posa, distinto nei 3 tipi (c, q, g)
I: fattore correttivo per l'inclinazione del carico, distinto nei 3 tipi (c, q, g)
B: fattore correttivo per l'inclinazione del piano di posa, distinto nei 3 tipi (c, q, g)
G: fattore correttivo per l'inclinazione del pendio, distinto nei 3 tipi (c, q, g)
P: fattore correttivo per punzonamento del suolo, distinto nei 3 tipi (c, q, g)
E: fattore correttivo per l'inerzia sismica del suolo, distinto nei 3 tipi (c, q, g)
Tipo: tipologia del fattore di portanza, per coesione (c), sovraccarico (q) o attrito (g)

COPERTURA

Valori in daN, cm
C28/35; rck 350
fyk 4500

Verifica di stato limite ultimo

nod	sez	B	H	Af+	Af-	c+	c-	c.s.	comb	N	M	Nu	Mu
493	o	80	25	6.8	6.8	5.8	5.8	1.683	19 SLU	0	-317645	0	-534656
	v	80	25	6.2	6.2	4.6	4.6	1.543	19 SLU	0	-322802	0	-498056
497	o	80	25	6.8	6.8	5.8	5.8	2.007	19 SLU	0	-266375	0	-534656
	v	80	25	6.2	6.2	4.6	4.6	2.155	19 SLU	0	-231153	0	-498056

Combinazione rara

nod	sez	B	H	Af+	Af-	c+	c-	sc	c	N	M	sf	c	N	M	Wk(mm)	Wlim	st	Sm(mm)	c
493	o	80	25	6.8	6.8	5.8	5.8	-59.6	4 ra	0.00E00	-2.40E05	2050.3	4 ra	0.00E00	-2.40E05	0.00999.00	27.8	0.0	4 ra	ra
	v	80	25	6.2	6.2	4.6	4.6	-54.8	4 ra	0.00E00	-2.44E05	2145.0	4 ra	0.00E00	-2.44E05	0.00999.00	28.0	0.0	4 ra	ra
497	o	80	25	6.8	6.8	5.8	5.8	-49.9	4 ra	0.00E00	-2.01E05	1716.3	4 ra	0.00E00	-2.01E05	0.00999.00	23.2	0.0	4 ra	ra
	v	80	25	6.2	6.2	4.6	4.6	-39.0	4 ra	0.00E00	-1.74E05	1527.1	4 ra	0.00E00	-1.74E05	0.00999.00	19.9	0.0	4 ra	ra

Combinazione frequente

nod	sez	B	H	Af+	Af-	c+	c-	sc	c	N	M	sf	c	N	M	Wk(mm)	Wklim	st	Sm(mm)	c
493	o	80	25	6.8	6.8	5.8	5.8	-54.6	3 fr	0.00E00	-2.20E05	1878.6	3 fr	0.00E00	-2.20E05	0.00	0.40	25.4	0.0	3 fr
	v	80	25	6.2	6.2	4.6	4.6	-50.8	3 fr	0.00E00	-2.27E05	1988.7	3 fr	0.00E00	-2.27E05	0.00	0.40	26.0	0.0	3 fr
497	o	80	25	6.8	6.8	5.8	5.8	-45.3	3 fr	0.00E00	-1.82E05	1558.3	3 fr	0.00E00	-1.82E05	0.00	0.40	21.1	0.0	3 fr
	v	80	25	6.2	6.2	4.6	4.6	-35.1	3 fr	0.00E00	-1.57E05	1374.2	3 fr	0.00E00	-1.57E05	0.00	0.40	17.9	0.0	3 fr

Combinazione quasi permanente

nod	sez	B	H	Af+	Af-	c+	c-	sc	c	N	M	sf	c	N	M	Wk(mm)	Wklim	st	Sm(mm)	c
493	o	80	25	6.8	6.8	5.8	5.8	-53.3	1 q.	0.00E00	-2.15E05	1835.6	1 q.	0.00E00	-2.15E05	0.00	0.30	24.9	0.0	1 q.
	v	80	25	6.2	6.2	4.6	4.6	-49.8	1 q.	0.00E00	-2.22E05	1949.7	1 q.	0.00E00	-2.22E05	0.00	0.30	25.5	0.0	1 q.
497	o	80	25	6.8	6.8	5.8	5.8	-44.1	1 q.	0.00E00	-1.78E05	1518.8	1 q.	0.00E00	-1.78E05	0.00	0.30	20.6	0.0	1 q.
	v	80	25	6.2	6.2	4.6	4.6	-34.1	1 q.	0.00E00	-1.52E05	1336.0	1 q.	0.00E00	-1.52E05	0.00	0.30	17.4	0.0	1 q.

PIAN-1

Valori in daN, cm
C28/35; rck 350
fyk 4500

Verifica di stato limite ultimo

nod	sez	B	H	Af+	Af-	c+	c-	c.s.	comb	N	M	Nu	Mu
233	o	40	25	3.4	7.4	5.8	5.9	1.613	12 SLU	0	-304379	0	-490910
	v	80	25	6.8	6.8	4.6	4.6	1.969	12 SLU	0	-272501	0	-536442
248	o	40	25	3.4	7.4	5.8	5.9	1.156	13 SLU	0	-424837	0	-490910
	v	80	25	6.8	6.8	4.6	4.6	3.036	6 SLV	0	-176705	0	-536442

Combinazione rara

nod	sez	B	H	Af+	Af-	c+	c-	sc	c	N	M	sf	c	N	M	Wk(mm)	Wlim	st	Sm(mm)	c
233	o	40	25	3.4	7.4	5.8	5.9	-83.2	2 ra	0.00E00	-2.25E05	1878.2	2 ra	0.00E00	-2.25E05	0.06999.00	0.0	87.3	2 ra	ra
	v	80	25	6.8	6.8	4.6	4.6	-42.9	2 ra	0.00E00	-1.99E05	1607.6	2 ra	0.00E00	-1.99E05	0.00999.00	22.7	0.0	2 ra	ra
248	o	40	25	3.4	7.4	5.8	5.9	-115.2	3 ra	0.00E00	-3.11E05	2599.3	3 ra	0.00E00	-3.11E05	0.09999.00	0.0	87.3	3 ra	ra
	v	80	25	6.8	6.8	4.6	4.6	-15.4	3 ra	0.00E00	7.16E04	578.8	3 ra	0.00E00	7.16E04	0.00999.00	8.2	0.0	2 ra	ra

Combinazione frequente

nod	sez	B	H	Af+	Af-	c+	c-	sc	c	N	M	sf	c	N	M	Wk(mm)	Wklim	st	Sm(mm)	c
233	o	40	25	3.4	7.4	5.8	5.9	-76.7	2 fr	0.00E00	-2.07E05	1730.1	2 fr	0.00E00	-2.07E05	0.05	0.40	0.0	87.3	2 fr
	v	80	25	6.8	6.8	4.6	4.6	-40.0	2 fr	0.00E00	-1.86E05	1502.0	2 fr	0.00E00	-1.86E05	0.00	0.40	21.2	0.0	2 fr
248	o	40	25	3.4	7.4	5.8	5.9	-105.1	2 fr	0.00E00	-2.84E05	2371.9	2 fr	0.00E00	-2.84E05	0.08	0.40	0.0	87.3	2 fr
	v	80	25	6.8	6.8	4.6	4.6	-13.4	2 fr	0.00E00	6.24E04	504.2	2 fr	0.00E00	6.24E04	0.00	0.40	7.1	0.0	2 fr

Combinazione quasi permanente

nod	sez	B	H	Af+	Af-	c+	c-	sc	c	N	M	sf	c	N	M	Wk(mm)	Wklim	st	Sm(mm)	c
233	o	40	25	3.4	7.4	5.8	5.9	-74.5	2 q.	0.00E00	-2.01E05	1680.8	2 q.	0.00E00	-2.01E05	0.05	0.30	0.0	87.3	2 q.
	v	80	25	6.8	6.8	4.6	4.6	-39.1	2 q.	0.00E00	-1.81E05	1466.7	2 q.	0.00E00	-1.81E05	0.00	0.30	20.7	0.0	2 q.
248	o	40	25	3.4	7.4	5.8	5.9	-101.8	2 q.	0.00E00	-2.75E05	2296.2	2 q.	0.00E00	-2.75E05	0.08	0.30	0.0	87.3	2 q.
	v	80	25	6.8	6.8	4.6	4.6	-12.8	2 q.	0.00E00	5.94E04	479.7	2 q.	0.00E00	5.94E04	0.00	0.30	6.8	0.0	2 q.

PIAN-2

Valori in daN, cm
C28/35; rck 350
fyk 4500

Verifica di stato limite ultimo

nod	sez	B	H	Af+	Af-	c+	c-	c.s.	comb	N	M	Nu	Mu
301	o	40	25	9.3	9.3	6.0	6.0	1.791	11 SLV	0	-329597	0	-590271
	v	80	25	5.7	5.7	4.6	4.6	1.123	11 SLV	0	-408947	0	-459050
308	o	40	25	9.3	9.3	6.0	6.0	1.033	12 SLV	0	-571369	0	-590271
	v	80	25	6.2	6.2	4.6	4.6	2.419	15 SLV	0	-205860	0	-498056

Palazzo-Cavalli-Esecutivo

319	o	40	25	9.3	9.3	6.0	6.0	1.109	7 SLV	0	532096	0	590271
	v	80	25	5.7	5.7	4.6	4.6	2.219	16 SLV	0	-206829	0	-459050
338	o	80	25	5.7	5.7	5.8	5.8	1.729	8 SLV	0	-268057	0	-463584
	v	40	25	2.3	5.7	4.6	4.6	1.230	17 SLU	0	-337587	0	-415117

Combinazione rara

nod sez	B	H	Af+	Af-	c+	c-	sc	c	N	M	sf	c	N	M	Wk(mm)	Wlim	st	Sm(mm)	c
301	o	40	25	9.3	9.3	6.0	6.0	-27.8	3 ra	0.00E00	8.54E04	589.4	3 ra	0.00E00	8.54E04	0.00999,00	18.7	0.0	3 ra
	v	80	25	5.7	5.7	4.6	4.6	-63.0	3 ra	0.00E00	-2.69E05	2584.0	3 ra	0.00E00	-2.69E05	0.00999,00	31.0	0.0	3 ra
308	o	40	25	9.3	9.3	6.0	6.0	-98.9	3 ra	0.00E00	-3.04E05	2095.0	3 ra	0.00E00	-3.04E05	0.18999,00	0.0	239.9	3 ra
	v	80	25	6.2	6.2	4.6	4.6	-7.6	2 ra	0.00E00	-3.40E04	298.4	2 ra	0.00E00	-3.40E04	0.00999,00	3.9	0.0	2 ra
319	o	40	25	9.3	9.3	6.0	6.0	-31.9	3 ra	0.00E00	9.80E04	675.9	3 ra	0.00E00	9.80E04	0.00999,00	21.4	0.0	4 ra
	v	80	25	5.7	5.7	4.6	4.6	-20.0	3 ra	0.00E00	-8.54E04	820.4	3 ra	0.00E00	-8.54E04	0.00999,00	9.8	0.0	3 ra
338	o	80	25	5.7	5.7	5.8	5.8	-40.9	3 ra	0.00E00	-1.52E05	1542.7	3 ra	0.00E00	-1.52E05	0.00999,00	17.7	0.0	3 ra
	v	40	25	2.3	5.7	4.6	4.6	-82.5	2 ra	0.00E00	-2.29E05	2274.3	2 ra	0.00E00	-2.29E05	0.15999,00	0.0	197.7	2 ra

Combinazione frequente

nod	sez	B	H	Af+	Af-	c+	c-	sc	c	N	M	sf	c	N	M	Wk (mm)	Wklim	st	Sm (mm)	c
301	o	40	25	9.3	9.3	6.0	6.0	-25.1	2 fr	0.00E00	7.70E04	531.1	2 fr	0.00E00	7.70E04	0.00	0.40	16.8	0.0	2 fr
	v	80	25	5.7	5.7	4.6	4.6	-56.2	2 fr	0.00E00	-2.40E05	2303.1	2 fr	0.00E00	-2.40E05	0.00	0.40	27.6	0.0	2 fr
308	o	40	25	9.3	9.3	6.0	6.0	-87.8	2 fr	0.00E00	-2.70E05	1859.5	2 fr	0.00E00	-2.70E05	0.15	0.40	0.0	239.9	2 fr
	v	80	25	6.2	6.2	4.6	4.6	-6.4	2 fr	0.00E00	-2.87E04	251.6	2 fr	0.00E00	-2.87E04	0.00	0.40	3.3	0.0	2 fr
319	o	40	25	9.3	9.3	6.0	6.0	-29.0	2 fr	0.00E00	8.89E04	613.5	2 fr	0.00E00	8.89E04	0.00	0.40	19.5	0.0	3 fr
	v	80	25	5.7	5.7	4.6	4.6	-18.1	2 fr	0.00E00	-7.73E04	742.5	2 fr	0.00E00	-7.73E04	0.00	0.40	8.9	0.0	2 fr
338	o	80	25	5.7	5.7	5.8	5.8	-38.4	2 fr	0.00E00	-1.43E05	1449.9	2 fr	0.00E00	-1.43E05	0.00	0.40	16.7	0.0	2 fr
	v	40	25	2.3	5.7	4.6	4.6	-78.1	2 fr	0.00E00	-2.17E05	2152.9	2 fr	0.00E00	-2.17E05	0.14	0.40	0.0	197.7	2 fr

Combinazione quasi permanente

nod	sez	B	H	Af+	Af-	c+	c-	sc	c	N	M	sf	c	N	M	Wk(mm)	Wklim	st	Sm(mm)	c
301	o	40	25	9.3	9.3	6.0	6.0	-24.2	2 q.	0.00E00	7.42E04	511.8	2 q.	0.00E00	7.42E04	0.00	0.30	16.2	0.0	2 q.
	v	80	25	5.7	5.7	4.6	4.6	-53.9	2 q.	0.00E00	-2.30E05	2209.6	2 q.	0.00E00	-2.30E05	0.00	0.30	26.5	0.0	2 q.
308	o	40	25	9.3	9.3	6.0	6.0	-84.1	2 q.	0.00E00	-2.58E05	1781.8	2 q.	0.00E00	-2.58E05	0.15	0.30	0.0	239.9	2 q.
	v	80	25	6.2	6.2	4.6	4.6	-6.0	2 q.	0.00E00	-2.69E04	236.2	2 q.	0.00E00	-2.69E04	0.00	0.30	3.1	0.0	2 q.
319	o	40	25	9.3	9.3	6.0	6.0	-28.3	2 q.	0.00E00	8.69E04	599.3	2 q.	0.00E00	8.69E04	0.00	0.30	19.0	0.0	1 q.
	v	80	25	5.7	5.7	4.6	4.6	-17.5	2 q.	0.00E00	-7.47E04	717.2	2 q.	0.00E00	-7.47E04	0.00	0.30	8.6	0.0	2 q.
338	o	80	25	5.7	5.7	5.8	5.8	-37.7	2 q.	0.00E00	-1.40E05	1421.2	2 q.	0.00E00	-1.40E05	0.00	0.30	16.4	0.0	2 q.
	v	40	25	2.3	5.7	4.6	4.6	-76.6	2 q.	0.00E00	-2.13E05	2112.4	2 q.	0.00E00	-2.13E05	0.13	0.30	0.0	197.7	2 q.

PIAN-3

Valori in daN, cm

C28/35; rck 350

fyk 4500

Verifica di stato limite ultimo

nod	sez	B	H	Af+	Af-	c+	c-	c.s.	comb	N	M	Nu	Mu
350	o	70	25	4.5	4.5	5.8	5.8	1.344	12 SLU	0	-281175	0	-377913
	v	40	25	3.4	3.4	4.6	4.6	1.037	5 SLV	0	-258763	0	-268221
351	o	80	25	6.8	6.8	5.8	5.8	1.037	9 SLV	0	-515552	0	-534656
	v	80	25	6.2	6.2	4.6	4.6	2.093	5 SLV	0	237974	0	498056

Combinazione rara

nod sez	B	H	Af+	Af-	c+	c-	sc	c	N	M	sf	c	N	M	Wk(mm)	Wlim	st	Sm(mm)	c
350	o	70	25	4.5	4.5	5.8	5.8	-64.9	2 ra	0.00E00	-2.04E05	2559.3	2 ra	0.00E00	-2.04E05	0.00999,00	27.2	0.0	2 ra
	v	40	25	3.4	3.4	4.6	4.6	-64.7	2 ra	0.00E00	-1.50E05	2427.8	2 ra	0.00E00	-1.50E05	0.00999,00	34.3	0.0	2 ra
351	o	80	25	6.8	6.8	5.8	5.8	-89.0	2 ra	0.00E00	-3.59E05	3064.1	2 ra	0.00E00	-3.59E05	0.32999,00	0.0	280.5	2 ra
	v	80	25	6.2	6.2	4.6	4.6	-21.6	2 ra	0.00E00	9.61E04	843.5	2 ra	0.00E00	9.61E04	0.00999,00	11.0	0.0	2 ra

Combinazione frequente

nod	sez	B	H	Af+	Af-	c+	c-	sc	c	N	M	sf	c	N	M	Wk(mm)	Wklim	st	Sm(mm)	c
350	o	70	25	4.5	4.5	5.8	5.8	-57.0	2 fr	0.00E00	-1.79E05	2250.0	2 fr	0.00E00	-1.79E05	0.00	0.40	23.9	0.0	2 fr
	v	40	25	3.4	3.4	4.6	4.6	-57.8	2 fr	0.00E00	-1.34E05	2169.3	2 fr	0.00E00	-1.34E05	0.00	0.40	30.6	0.0	2 fr
351	o	80	25	6.8	6.8	5.8	5.8	-79.0	2 fr	0.00E00	-3.18E05	2721.0	2 fr	0.00E00	-3.18E05	0.00	0.40	36.9	0.0	2 fr
	v	80	25	6.2	6.2	4.6	4.6	-19.5	2 fr	0.00E00	8.68E04	761.6	2 fr	0.00E00	8.68E04	0.00	0.40	9.9	0.0	2 fr

Combinazione quasi permanente

nod	sez	B	H	Af+	Af-	c+	c-	sc	c	N	M	sf	c	N	M	Wk(mm)	Wklim	st	Sm(mm)	c
350	o	70	25	4.5	4.5	5.8	5.8	-54.4	2 q.	0.00E00	-1.71E05	2146.9	2 q.	0.00E00	-1.71E05	0.00	0.30	22.8	0.0	2 q.
	v	40	25	3.4	3.4	4.6	4.6	-55.5	2 q.	0.00E00	-1.29E05	2083.1	2 q.	0.00E00	-1.29E05	0.00	0.30	29.4	0.0	2 q.
351	o	80	25	6.8	6.8	5.8	5.8	-75.7	2 q.	0.00E00	-3.05E05	2606.6	2 q.	0.00E00	-3.05E05	0.00	0.30	35.3	0.0	2 q.
	v	80	25	6.2	6.2	4.6	4.6	-18.8	2 q.	0.00E00	8.37E04	734.3	2 q.	0.00E00	8.37E04	0.00	0.30	9.6	0.0	2 q.

PIAN-4

Valori in daN, cm

C28/35; rck 350

fyk 4500

Verifica di stato limite ultimo

nod	sez	B	H	Af+	Af-	c+	c-	c.s.	comb	N	M	Nu	Mu
399	o	40	25	2.3	9.5	5.8	6.0	2.171	18 SLU	0	100848	0	218900
	v	80	25	6.8	6.8	4.6	4.6	1.036	17 SLU	0	-517834	0	-536442
406	o	40	25	2.3	9.5	5.8	6.0	1.185	18 SLU	0	-508486	0	-602612
	v	80	25	5.7	14.8	4.6	6.0	2.104	18 SLU	0	-460466	0	-968839
415	o	40	25	2.3	9.5	5.8	6.0	1.673	18 SLU	0	130863	0	218900
	v	80	25	6.8	13.6	4.6	4.6	1.671	18 SLU	0	-583482	0	-974892
419	o	80	25	5.7	5.7	5.8	5.8	21.701	11 SLV	0	21362	0	463584
	v	40	25	2.8	2.8	4.6	4.6	1.793	18 SLU	0	-127979	0	-229525

Combinazione rara

nod sez	B	H	Af+	Af-	c+	c-	sc	c	N	M	sf	c	N	M	Wk(mm)	Wlim	st	Sm(mm)	c
399	o	40	25	2.3	9.5	5.8	6.0	-45.5	3 ra	0.00E00	7.38E04	1788.5	3 ra	0.00E00	7.38E04	0.00999,00	16.7	0.0	1 ra
	v	80	25	6.8	6.8	4.6	4.6	-81.4	2 ra	0.00E00	-3.78E05	3053.1	2 ra	0.00E00	-3.78E05	0.19999,00	0.0	168.3	2 ra
406	o	40	25	2.3	9.5	5.8	6.0	-128.8	3 ra	0.00E00	-3.71E05	2465.9	3 ra	0.00E00	-3.71E05	0.17999,00	0.0	183.4	3 ra
	v	80	25	5.7	14.8	4.6	6.0	-61.0	3 ra	0.00E00	-3.36E05	1557.3	3 ra	0.00E00	-3.36E05	0.00999,00	38.0	0.0	3 ra
415	o	40	25	2.3	9.5	5.8	6.0	-59.1	3 ra	0.00E00	9.58E04	2319.9	3 ra	0.00E00	9.58E04	0.00999,00	21.6	0.0	1 ra
	v	80	25	6.8	13.6	4.6	4.6	-70.3	3 ra	0.00E00	-4.26E05	1780.4	3 ra	0.00E00	-4.26E05	0.08999,00	0.0	135.7	3 ra
419	o	80	25	5.7	5.7	5.8	5.8	-3.5	3 ra	0.00E00	1.29E04	130.5	3 ra	0.00E00	1.29E04	0.00999,00	1.5	0.0	3 ra
	v	40	25	2.8	2.8	4.6	4.6	-43.8	3 ra	0.00E00	-9.35E04	1796.1	3 ra	0.00E00	-9.35E04	0.00999,00	21.5	0.0	3 ra

Combinazione frequente

nod	sez	B	H	Af+	Af-	c+	c-	sc	c	N	M	sf	c	N	M	Wk(mm)	Wklim	st	Sm(mm)	c
399	o	40	25	2.3	9.5	5.8	6.0	-41.0	2 fr	0.00E00	6.64E04	1609.7	2 fr	0.00E00	6.64E04	0.00	0.40	15.0	0.0	1 fr
	v	80	25	6.8	6.8	4.6	4.6	-72.8	2 fr	0.00E00	-3.38E05	2729.4	2 fr	0.00E00	-3.38E05	0.17	0.40	0.0	168.3	2 fr
406	o	40	25	2.3	9.5	5.8	6.0	-115.2	2 fr	0.00E00	-3.32E05	2204.3	2 fr	0.00E00	-3.32E05	0.15	0.40	0.0	183.4	2 fr
	v	80	25	7.1	7.1	5.4	5.4	-139.3	2 fr	0.00E00	-3.01E05	1393.4	2 fr	0.00E00	-3.01E05	0.20	0.40	34.0	0.0	1 fr
415	o	40	25	2.3	9.5	5.8	6.0	-53.2	2 fr	0.00E00	8.62E04	2088.0	2 fr	0.00E00	8.62E04	0.00	0.40	19.5	0.0	1 fr
	v	80	25	6.8	13.6	4.6	4.6	-63.0	2 fr	0.00E00	-3.81E05	1594.1	2 fr	0.00E00	-3.81E05	0.07	0.40	0.0	135.7	2 fr
419	o	80	25	5.7	5.7	5.8	5.8	-31.2	2 fr	0.00E00	1.15E04	116.8	2 fr	0.00E00	1.15E04	0.00	0.40	1.3	0.0	2 fr
	v	40	25	2.8	2.8	4.6	4.6	-39.3	2 fr	0.00E00	-8.39E04	1611.7	2 fr	0.00E00	-8.39E04	0.00	0.40	19.3	0.0	2 fr

448	o	40	25	3.4	3.4	5.8	5.8	7.214	12	SLU	0	-37055	0	-267328									
	v	80	25	6.8	6.8	4.6	4.6	1.507	12	SLU	0	-355900	0	-536442									
Combinazione rara																							
nod sez	B	H	Af+	Af-	c+	c-	sc	c	N	M	sf	c	N	M Wk(mm) Wlim st Sm(mm) c									
442	o	40	25	3.4	3.4	5.8	5.8	-74.3	2	ra	0.00E00	-1.50E05	2558.1	2	ra	0.00E00	-1.50E05	0.00999.00	34.7	0.0	2	ra	
	v	80	25	5.7	5.7	4.6	4.6	-28.9	2	ra	0.00E00	-1.24E05	1185.9	2	ra	0.00E00	-1.24E05	0.00999.00	14.2	0.0	2	ra	
448	o	40	25	3.4	3.4	5.8	5.8	-13.4	2	ra	0.00E00	-2.69E04	459.6	2	ra	0.00E00	-2.69E04	0.00999.00	6.2	0.0	2	ra	
	v	80	25	6.8	6.8	4.6	4.6	-55.8	2	ra	0.00E00	-2.59E05	2092.6	2	ra	0.00E00	-2.59E05	0.00999.00	29.6	0.0	2	ra	
Combinazione frequente																							
nod sez	B	H	Af+	Af-	c+	c-	sc	c	N	M	sf	c	N	M Wk(mm) Wklim st Sm(mm) c									
442	o	40	25	3.4	3.4	5.8	5.8	-65.6	2	fr	0.00E00	-1.32E05	2259.6	2	fr	0.00E00	-1.32E05	0.00	0.40	30.6	0.0	2	fr
	v	80	25	5.7	5.7	4.6	4.6	-25.7	2	fr	0.00E00	-1.10E05	1055.0	2	fr	0.00E00	-1.10E05	0.00	0.40	12.6	0.0	2	fr
448	o	40	25	3.4	3.4	5.8	5.8	-11.8	2	fr	0.00E00	-2.38E04	406.2	2	fr	0.00E00	-2.38E04	0.00	0.40	5.5	0.0	2	fr
	v	80	25	6.8	6.8	4.6	4.6	-49.6	2	fr	0.00E00	-2.30E05	1860.6	2	fr	0.00E00	-2.30E05	0.00	0.40	26.3	0.0	2	fr
Combinazione quasi permanente																							
nod sez	B	H	Af+	Af-	c+	c-	sc	c	N	M	sf	c	N	M Wk(mm) Wklim st Sm(mm) c									
442	o	40	25	3.4	3.4	5.8	5.8	-62.8	2	q.	0.00E00	-1.26E05	2160.1	2	q.	0.00E00	-1.26E05	0.00	0.30	29.3	0.0	2	q.
	v	80	25	5.7	5.7	4.6	4.6	-24.7	2	q.	0.00E00	-1.05E05	1011.3	2	q.	0.00E00	-1.05E05	0.00	0.30	12.1	0.0	2	q.
448	o	40	25	3.4	3.4	5.8	5.8	-11.3	2	q.	0.00E00	-2.27E04	388.3	2	q.	0.00E00	-2.27E04	0.00	0.30	5.3	0.0	2	q.
	v	80	25	6.8	6.8	4.6	4.6	-47.5	2	q.	0.00E00	-2.21E05	1783.3	2	q.	0.00E00	-2.21E05	0.00	0.30	25.2	0.0	2	q.
PIAN-INT																							
Valori in daN, cm																							
C28/35: rck 350																							
fyk 4500																							
Verifica di stato limite ultimo																							
nod sez	B	H	Af+	Af-	c+	c-	c.s.	comb	N	M			Nu	Mu									
95	o	40	25	2.3	2.3	5.8	5.8	3.190	11	SLV	0	-60870	0	-194169									
	v	40	25	5.7	2.3	4.6	4.6	1.433	17	SLU	0	289717	0	415117									
103	o	40	25	11.8	11.8	6.0	6.0	2.385	12	SLU	0	-302764	0	-722127									
	v	80	25	6.2	12.5	4.6	6.0	1.493	12	SLU	0	-561375	0	-838212									
109	o	40	25	11.8	11.8	6.0	6.0	1.056	17	SLU	0	-684116	0	-722127									
	v	80	25	5.7	18.2	4.6	6.5	0.991	13	SLU	0	-1138687	0	-1128105									
110	o	80	25	5.7	5.7	5.8	5.8	1.099	12	SLU	0	-421890	0	-463584									
	v	80	25	5.7	8.0	4.6	5.4	4.148	6	SLV	0	116975	0	485247									
Combinazione rara																							
nod sez	B	H	Af+	Af-	c+	c-	sc	c	N	M	sf	c	N	M Wk(mm) Wlim st Sm(mm) c									
95	o	40	25	2.3	2.3	5.8	5.8	-18.5	3	ra	0.00E00	-3.13E04	779.0	3	ra	0.00E00	-3.13E04	0.00999.00	7.3	0.0	3	ra	
	v	40	25	5.7	2.3	4.6	4.6	-77.3	2	ra	0.00E00	2.15E05	2130.5	2	ra	0.00E00	2.15E05	0.08999.00	0.0	116.8	2	ra	
103	o	40	25	11.8	11.8	6.0	6.0	-65.0	2	ra	0.00E00	-2.23E05	1236.5	2	ra	0.00E00	-2.23E05	0.04999.00	0.0	98.2	2	ra	
	v	80	25	6.2	12.5	4.6	6.0	-79.0	2	ra	0.00E00	-4.14E05	2232.0	2	ra	0.00E00	-4.14E05	0.07999.00	0.0	101.4	2	ra	
109	o	40	25	11.8	11.8	6.0	6.0	-146.1	2	ra	0.00E00	-5.02E05	2778.3	2	ra	0.00E00	-5.02E05	0.11999.00	0.0	98.2	2	ra	
	v	80	25	5.7	18.2	4.6	6.5	-149.5	3	ra	0.00E00	-8.40E05	3466.5	3	ra	0.00E00	-8.40E05	0.31999.00	0.0	232.6	3	ra	
110	o	80	25	5.7	5.7	5.8	5.8	-83.0	2	ra	0.00E00	-3.10E05	3132.1	2	ra	0.00E00	-3.10E05	0.00999.00	36.0	0.0	2	ra	
	v	80	25	5.7	8.0	4.6	5.4	-15.7	2	ra	0.00E00	6.61E04	626.8	2	ra	0.00E00	6.61E04	0.00999.00	7.6	0.0	3	ra	
Combinazione frequente																							
nod sez	B	H	Af+	Af-	c+	c-	sc	c	N	M	sf	c	N	M Wk(mm) Wklim st Sm(mm) c									
95	o	40	25	2.3	2.3	5.8	5.8	-16.9	2	fr	0.00E00	-2.86E04	712.7	2	fr	0.00E00	-2.86E04	0.00	0.40	6.7	0.0	2	fr
	v	40	25	5.7	2.3	4.6	4.6	-71.6	2	fr	0.00E00	1.99E05	1975.4	2	fr	0.00E00	1.99E05	0.07	0.40	0.0	116.8	2	fr
103	o	40	25	11.8	11.8	6.0	6.0	-59.6	2	fr	0.00E00	-2.05E05	1134.1	2	fr	0.00E00	-2.05E05	0.03	0.40	0.0	98.2	2	fr
	v	80	25	6.2	12.5	4.6	6.0	-72.5	2	fr	0.00E00	-3.79E05	2048.1	2	fr	0.00E00	-3.79E05	0.07	0.40	0.0	101.4	2	fr
109	o	40	25	11.8	11.8	6.0	6.0	-132.3	2	fr	0.00E00	-4.54E05	2516.8	2	fr	0.00E00	-4.54E05	0.09	0.40	0.0	98.2	2	fr
	v	80	25	5.7	18.2	4.6	6.5	-138.0	2	fr	0.00E00	-7.76E05	3199.8	2	fr	0.00E00	-7.76E05	0.29	0.40	0.0	232.6	2	fr
110	o	80	25	5.7	5.7	5.8	5.8	-75.5	2	fr	0.00E00	-2.81E05	2845.9	2	fr	0.00E00	-2.81E05	0.00	0.40	32.7	0.0	2	fr
	v	80	25	5.7	8.0	4.6	5.4	-14.2	2	fr	0.00E00	5.97E04	566.6	2	fr	0.00E00	5.97E04	0.00	0.40	6.9	0.0	2	fr
Combinazione quasi permanente																							
nod sez	B	H	Af+	Af-	c+	c-	sc	c	N	M	sf	c	N	M Wk(mm) Wklim st Sm(mm) c									
95	o	40	25	2.3	2.3	5.8	5.8	-16.4	2	q.	0.00E00	-2.77E04	690.9	2	q.	0.00E00	-2.77E04	0.00	0.30	6.5	0.0	2	q.
	v	40	25	5.7	2.3	4.6	4.6	-69.8	2	q.	0.00E00	1.94E05	1923.8	2	q.	0.00E00	1.94E05	0.07	0.30	0.0	116.8	2	q.
103	o	40	25	11.8	11.8	6.0	6.0	-57.8	2	q.	0.00E00	-1.99E05	1100.0	2	q.	0.00E00	-1.99E05	0.03	0.30	0.0	98.2	2	q.
	v	80	25	6.2	12.5	4.6	6.0	-70.4	2	q.	0.00E00	-3.68E05	1986.8	2	q.	0.00E00	-3.68E05	0.06	0.30	0.0	101.4	2	q.
109	o	40	25	11.8	11.8	6.0	6.0	-127.7	2	q.	0.00E00	-4.39E05	2429.6	2	q.	0.00E00	-4.39E05	0.09	0.30	0.0	98.2	2	q.
	v	80	25	5.7	18.2	4.6	6.5	-134.2	2	q.	0.00E00	-7.54E05	3111.1	2	q.	0.00E00	-7.54E05	0.28	0.30	0.0	232.6	2	q.
110	o	80	25	5.7	5.7	5.8	5.8	-72.9	2	q.	0.00E00	-2.72E05	2750.6	2	q.	0.00E00	-2.72E05	0.00	0.30	31.6	0.0	2	q.
	v	80	25	5.7	8.0	4.6	5.4	-13.7	2	q.	0.00E00	5.76E04	546.6	2	q.	0.00E00	5.76E04	0.00	0.30	6.6	0.0	2	q.
PIAN-PT																							
Valori in daN, cm																							
C28/35: rck 350																							
fyk 4500																							
Verifica di stato limite ultimo																							
nod sez	B	H	Af+	Af-	c+	c-	c.s.	comb	N	M			Nu	Mu									
150	o	40	25	2.3	2.3	5.8	5.8	13.835	5	SLV	0	-14035	0	-194169									
166	o	40	25	6.5	6.5	5.9	5.9	1.197	10	SLV	0	-369167	0	-441851									
	v	80	25	6.2	11.9	4.6	4.6	2.890	15	SLV	0	-299929	0	-866883									
Combinazione rara																							
nod sez	B	H	Af+	Af-	c+	c-	sc	c	N	M	sf	c	N	M Wk(mm) Wlim st Sm(mm) c									
150	o	40	25	2.3	2.3	5.8	5.8	-5.0	3	ra	0.00E00	-8.44E03	210.3	3	ra	0.00E00	-8.44E03	0.00999.00	2.0	0.0	3	ra	
166	o	40	25	6.5	6.5	5.9	5.9	-77.1	2	ra	0.00E00	-2.02E05	1931.5	2	ra	0.00E00	-2.02E05	0.16999.00	0.0	223.9	2	ra	
	v	80	25	6.2	11.9	4.6	4.6	-23.7	2	ra	0.00E00	-1.36E05	646.1	2	ra	0.00E00	-1.36E05	0.00999.00	15.3	0.0	2	ra	
Combinazione frequente																							
nod sez	B	H	Af+	Af-	c+	c-	sc	c	N	M	sf	c	N	M Wk(mm) Wklim st Sm(mm) c									
150	o	40	25	2.3	2.3	5.8	5.8	-4.4	2	fr	0.00E00	-7.48E03	186.3	2	fr	0.00E00	-7.48E03	0.00	0.40	1.8	0.0	2	fr
166	o	40	25	6.5	6.5	5.9	5.9	-68.4	2	fr	0.00E00	-1.79E05	1713.0	2	fr	0.00E00	-1.79E05	0.14	0.40	0.0	223.9	2	fr
	v	80	25	6.2	11.9	4.6	4.6	-21.0	2	fr	0.00E00	-1.21E05	571.8	2	fr	0.00E00	-1.21E05	0.00	0.40	13.5	0.0	2	fr
Combinazione quasi permanente																							
nod sez	B	H	Af+	Af-	c+	c-	sc	c	N	M	sf	c	N	M Wk(mm) Wklim st Sm(mm) c									
150	o	40	25	2.3	2.3	5.8	5.8	-4.2	2	q.	0.00E00	-7.16E03	178.5	2	q.	0.00E00	-7.16E03	0.00	0.30	1.7	0.0	2	q.
166	o																						

Palazzo-Cavalli-Esecutivo

v	50	50	10.8	4.6	6.3	4.7	-49.6	2	fr	0.00E00	7.29E05	1811.5	2	fr	0.00E00	7.29E05	0.15	0.40	0.0	309.3	2	fr
---	----	----	------	-----	-----	-----	-------	---	----	---------	---------	--------	---	----	---------	---------	------	------	-----	-------	---	----

Combinazione quasi permanente																						
nod	sez	B	H	Af+	Af-	c+	c-	sc	c	N	M	sf	c	N	M	Wk (mm)	Wklim	st	Sm (mm)	c		
2	o	50	50	4.6	4.6	6.1	6.1	-3.1	2 q.	0.00E00	-3.25E04	173.5	2 q.	0.00E00	-3.25E04	0.00	0.30	1.5	0.0	2 q.		
31	o	100	50	9.2	9.2	6.1	6.1	-47.4	2 q.	0.00E00	9.86E05	2635.6	2 q.	0.00E00	9.86E05	0.00	0.30	22.8	0.0	1 q.		
	v	100	50	10.0	10.0	4.7	4.7	-18.4	2 q.	0.00E00	4.29E05	1024.6	2 q.	0.00E00	4.29E05	0.00	0.30	9.8	0.0	1 q.		
67	o	85	50	18.5	9.2	7.5	6.1	-39.8	2 q.	0.00E00	9.47E05	1412.7	2 q.	0.00E00	9.47E05	0.00	0.30	25.3	0.0	2 q.		
	v	50	50	10.8	4.6	6.3	4.7	-48.8	2 q.	0.00E00	7.18E05	1783.6	2 q.	0.00E00	7.18E05	0.15	0.30	0.0	309.3	2 q.		

Verifiche geotecniche

Dati geometrici dell'impronta di calcolo
Forma dell'impronta di calcolo: rettangolare di area equivalente
Area di ingombro esterno minore: 227040
Angolo di rotazione corrispondente all'ingombro minore (deg): 0
Rapporto di forma trovato (area ingombro esterno/area fondazione): 1.09
Coordinata X del centro impronta: -10
Coordinata Y del centro impronta: 20
Coordinata Z del centro impronta: -332
Lato minore B dell'impronta: 316
Lato maggiore L dell'impronta: 660
Area dell'impronta rettangolare di calcolo: 208725

Verifica di scorrimento sul piano di posa - Combinazioni non sismiche

Combinazione con fattore di sicurezza minore: SLU 11
Verifica condotta in condizioni drenate (a lungo termine)
Forza risultante agente in direzione x: 0
Forza risultante agente in direzione y: 0
Forza risultante agente in direzione z: -254630.48
Inclinazione del carico in direzione x (deg): 0
Inclinazione del carico in direzione y (deg): 0
Angolo di attrito di progetto (deg): 38
Azione di progetto (risultante del carico tangenziale al piano di posa):
Resistenza di progetto: 180853.76
Coefficiente parziale applicato alla resistenza: 1.1
Coefficiente di sicurezza normalizzato ks min (Rd/Ed): 224952121.73

Verifica di scorrimento sul piano di posa - Combinazioni sismiche

Combinazione con fattore di sicurezza minore: SLV fondazioni 2
Verifica condotta in condizioni drenate (a lungo termine)
Forza risultante agente in direzione x: -20381.04
Forza risultante agente in direzione y: -2338.73
Forza risultante agente in direzione z: -228367.13
Inclinazione del carico in direzione x (deg): -5.1
Inclinazione del carico in direzione y (deg): -0.59
Angolo di attrito di progetto (deg): 38
Azione di progetto (risultante del carico tangenziale al piano di posa): 20514.79
Resistenza di progetto: 162199.96
Coefficiente parziale applicato alla resistenza: 1.1
Coefficiente di sicurezza normalizzato ks min (Rd/Ed): 7.91

Verifica di capacità portante sul piano di posa - Combinazioni non sismiche

Combinazione con fattore di sicurezza minore: SLU 18
Verifica condotta in condizioni drenate (a lungo termine)
Azione di progetto (risultante del carico normale al piano di posa): -327878.98
Resistenza di progetto: 1112463.78
Coefficiente parziale applicato alla resistenza: 2.3
Coefficiente di sicurezza normalizzato kp min (Rd/Ed): 3.39

Parametri utilizzati nel calcolo:
Forza risultante agente in direzione x: 0
Forza risultante agente in direzione y: 0
Forza risultante agente in direzione z: -327878.98
Momento agente in direzione x: -2644207.4
Momento agente in direzione y: 13925678.07
Inclinazione del carico in direzione x (deg): 0
Inclinazione del carico in direzione y (deg): 0
Eccentricità del carico in direzione x: 42.47
Eccentricità del carico in direzione y: -8.06
Impronta al suolo (BxL): 660 x 316
Larghezza efficace (B'=B-2*e): 300.28
Lunghezza efficace (L'=L-2*e): 574.72
Peso specifico di progetto del suolo : 0.0016
Angolo di attrito di progetto (deg): 38

Fattori di capacità portante

N	S	D	I	B	G	P	E	Tipo
61.35	1.42	1.00	1.00	1.00	1.00	1.00	1.00	Coesione
48.93	1.41	1.00	1.00	1.00	1.00	1.00	1.00	Sovraccarico
78.02	0.79	1.00	1.00	1.00	1.00	1.00	1.00	Attrito

Verifica di capacità portante sul piano di posa - Combinazioni sismiche

Combinazione con fattore di sicurezza minore: SLV fondazioni 15
Verifica condotta in condizioni drenate (a lungo termine)
Azione di progetto (risultante del carico normale al piano di posa): -228417.42
Resistenza di progetto: 417847.97
Coefficiente parziale applicato alla resistenza: 2.3
Coefficiente di sicurezza normalizzato kp min (Rd/Ed): 1.83

Parametri utilizzati nel calcolo:
Forza risultante agente in direzione x: 20381.04
Forza risultante agente in direzione y: 2338.73
Forza risultante agente in direzione z: -228417.42
Momento agente in direzione x: -5207348.6
Momento agente in direzione y: 32256029.84
Inclinazione del carico in direzione x (deg): 5.1
Inclinazione del carico in direzione y (deg): 0.59
Eccentricità del carico in direzione x: 141.22
Eccentricità del carico in direzione y: -22.8
Impronta al suolo (BxL): 660 x 316
Larghezza efficace (B'=B-2*e): 270.81
Lunghezza efficace (L'=L-2*e): 377.24
Peso specifico di progetto del suolo : 0.0016
Angolo di attrito di progetto (deg): 38
Accelerazione normalizzata massima al suolo: .04

Fattori di capacità portante

N	S	D	I	B	G	P	E	Tipo
61.35	1.57	1.00	0.87	1.00	1.00	1.00	0.99	Coesione
48.93	1.56	1.00	0.87	1.00	1.00	1.00	0.98	Sovraccarico
78.02	0.71	1.00	0.80	1.00	1.00	1.00	0.98	Attrito

S-1

Parete fra le coordinate in pianta (240;0) (-120;0)
da quota -332 a quota 1327
Valori in daN, cm
C28/35; rcK 350
fyk 4500

Verifica di stato limite ultimo

nod	sez	B	H	Af+	Af-	c+	c-	c.s.	comb	N	M	Nu	Mu
308	o	40	40	10.1	10.1	6.0	6.0	1.017	11 SLV	10992	1038838	11183	1056879
	v	53	40	4.5	4.5	4.6	4.6	1.137	11 SLV	1858	-512379	2112	-582491
441	o	40	40	6.0	6.0	6.0	6.0	5.418	7 SLV	-1626	165842	-8813	898597
	v	80	40	7.7	7.7	5.4	5.4	1.613	13 SLU	1664	-613798	2685	-990311

Combinazione rara																			
nod sez	B	H	Af+	Af-	c+	c-	sc	c	N	M	sf	c	N	M	Wk(mm)	Wlim	st	Sm(mm)	c
308	o	40	40	10.1	10.1	6.0	6.0	-32.0	3 ra	-1.72E03	2.79E05	856.9	2 ra	-1.39E03	2.76E05	0.00999.00	22.4	0.0	1 ra
	v	53	40	4.5	4.5	4.6	4.6	-24.4	3 ra	-2.04E03	-1.85E05	1036.1	3 ra	-2.04E03	-1.85E05	0.00999.00	11.6	0.0	1 ra
441	o	40	40	6.0	6.0	6.0	6.0	-14.4	3 ra	-6.51E03	1.03E05	186.5	5 ra	-2.45E03	6.87E04	0.00999.00	5.2	0.0	1 ra
	v	80	40	7.7	7.7	5.4	5.4	-38.1	3 ra	1.20E03	-4.49E05	1969.6	3 ra	1.20E03	-4.49E05	0.00999.00	20.4	0.0	1 ra

Combinazione frequente																			
nod sez	B	H	Af+	Af-	c+	c-	sc	c	N	M	sf	c	N	M	Wk (mm)	Wlim	st	Sm (mm)	c
308	o	40	40	10.1	10.1	6.0	-29.1	2 fr	-2.47E03	2.51E05	724.6	2 fr	-2.47E03	2.51E05	0.00	0.40	19.7	0.0	1 fr
	v	53	40	4.5	4.5	4.6	-22.2	2 fr	-1.96E03	-1.69E05	936.0	2 fr	-1.96E03	-1.69E05	0.00	0.40	10.6	0.0	1 fr
441	o	40	40	6.0	6.0	6.0	-13.2	2 fr	-5.92E03	9.47E04	170.9	4 fr	-2.31E03	6.38E04	0.00	0.40	4.8	0.0	1 fr
	v	80	40	7.7	7.7	5.4	-34.2	2 fr	1.08E03	-4.03E05	1768.9	2 fr	1.08E03	-4.03E05	0.00	0.40	18.3	0.0	1 fr

Combinazione quasi permanente																				
nod sez		B	H	Af+	Af-	c+	c-	sc	c	N	M	sf	c	N	M	Wk (mm)	Wklim	st	Sm (mm)	c
308	o	40	40	10.1	10.1	6.0	6.0	-28.3	2 q.	-2.83E03	2.43E05	680.9	2 q.	-2.83E03	2.43E05	0.00	0.30	18.8	0.0	1 q.
	v	53	40	4.5	4.5	4.6	4.6	-21.6	2 q.	-1.94E03	-1.64E05	905.7	2 q.	-1.94E03	-1.64E05	0.00	0.30	10.3	0.0	1 q.
441	o	40	40	6.0	6.0	6.0	6.0	-12.9	2 q.	-5.74E03	9.25E04	167.3	2 q.	-2.29E03	6.28E04	0.00	0.30	4.7	0.0	1 q.
	v	80	40	7.7	7.7	5.4	5.4	-32.9	2 q.	1.04E03	-3.88E05	1702.0	2 q.	1.04E03	-3.88E05	0.00	0.30	17.6	0.0	1 q.

Verifica dei pannelli

Pannello : Pannello da Filo 29 a Filo 22

Sezione a quota -282	
Coordinate dei vertici	
X	Y
-240.0	-20.0
-240.0	20.0
0.0	20.0
0.0	-20.0

Armature verticali																				
X	Y	ø	X	Y	ø	X	Y	ø	X	Y	ø	X	Y	ø	X	Y	ø	X	Y	ø
-225.0	-14.0	16	-210.0	-14.0	16	-195.0	-14.0	16	-180.0	-14.0	16	-165.0	-14.0	16	-150.0	-14.0	16	-135.0	-14.0	16
-150.0	-14.0	16	-135.0	-14.0	16	-120.0	-14.0	16	-105.0	-14.0	16	-90.0	-14.0	16	-75.0	-14.0	16	-60.0	-14.0	16
-75.0	-14.0	16	-60.0	-14.0	16	-45.0	-14.0	16	-30.0	-14.0	16	-15.0	-14.0	16	-14.0	-14.0	16	-14.0	-14.0	16
-225.0	14.0	16	-210.0	14.0	16	-195.0	14.0	16	-180.0	14.0	16	-165.0	14.0	16	-150.0	14.0	16	-135.0	14.0	16
-150.0	14.0	16	-135.0	14.0	16	-120.0	14.0	16	-105.0	14.0	16	-90.0	14.0	16	-75.0	14.0	16	-60.0	14.0	16
-75.0	14.0	16	-60.0	14.0	16	-45.0	14.0	16	-30.0	14.0	16	-15.0	14.0	16	-14.0	14.0	16	-14.0	14.0	16
-234.4	-14.0	16	-234.4	-14.0	16	-5.6	-14.0	16	-5.6	14.0	16	-234.4	-14.0	16	-234.4	-14.0	16	-219.4	-14.0	16
-234.4	14.0	16	-219.4	-14.0	16	-219.4	14.0	16	-204.4	-14.0	16	-204.4	14.0	16	-189.4	-14.0	16	-189.4	14.0	16
-189.4	-14.0	16	-189.4	14.0	16	-5.6	-14.0	16	-5.6	14.0	16	-20.6	-14.0	16	-20.6	14.0	16	-35.6	-14.0	16
-20.6	14.0	16	-35.6	-14.0	16	-35.6	14.0	16	-50.6	-14.0	16	-50.6	14.0	16						

Sezione a quota -215	
Coordinate dei vertici	
X	Y
-240.0	-20.0
-240.0	20.0
0.0	20.0
0.0	-20.0

Armature verticali																				
X	Y	ø	X	Y	ø	X	Y	ø	X	Y	ø	X	Y	ø	X	Y	ø	X	Y	ø
-225.0	-14.0	16	-210.0	-14.0	16	-195.0	-14.0	16	-180.0	-14.0	16	-165.0	-14.0	16	-150.0	-14.0	16	-135.0	-14.0	16
-150.0	-14.0	16	-135.0	-14.0	16	-120.0	-14.0	16	-105.0	-14.0	16	-90.0	-14.0	16	-75.0	-14.0	16	-60.0	-14.0	16
-75.0	-14.0	16	-60.0	-14.0	16	-45.0	-14.0	16	-30.0	-14.0	16	-15.0	-14.0	16	-14.0	-14.0	16	-14.0	-14.0	16
-225.0	14.0	16	-210.0	14.0	16	-195.0	14.0	16	-180.0	14.0	16	-165.0	14.0	16	-150.0	14.0	16	-135.0	14.0	16
-150.0	14.0	16	-135.0	14.0	16	-120.0	14.0	16	-105.0	14.0	16	-90.0	14.0	16	-75.0	14.0	16	-60.0	14.0	16
-75.0	14.0	16	-60.0	14.0	16	-45.0	14.0	16	-30.0	14.0	16	-15.0	14.0	16	-234.4	-14.0	16	-234.4	-14.0	16
-234.4	-14.0	16	-234.4	-14.0	16	-5.6	-14.0	16	-5.6	14.0	16	-234.4	-14.0	16	-234.4	14.0	16	-219.4	-14.0	16
-234.4	14.0	16	-219.4	-14.0	16	-219.4	14.0	16	-204.4	-14.0	16	-204.4	14.0	16	-189.4	-14.0	16	-189.4	14.0	16
-189.4	-14.0	16	-189.4	14.0	16	-5.6	-14.0	16	-5.6	14.0	16	-20.6	-14.0	16	-20.6	14.0	16	-35.6	-14.0	16
-20.6	14.0	16	-35.6	-14.0	16	-35.6	14.0	16	-50.6	-14.0	16	-50.6	14.0	16						

Sezione a quota -147	
Coordinate dei vertici	
X	Y
-240.0	-20.0
-240.0	20.0
0.0	20.0
0.0	-20.0

Armature verticali																				
X	Y	ø	X	Y	ø	X	Y	ø	X	Y	ø	X	Y	ø	X	Y	ø	X	Y	ø
-225.0	-14.0	16	-210.0	-14.0	16	-195.0	-14.0	16	-180.0	-14.0	16	-165.0	-14.0	16	-150.0	-14.0	16	-135.0	-14.0	16
-150.0	-14.0	16	-135.0	-14.0	16	-120.0	-14.0	16	-105.0	-14.0	16	-90.0	-14.0	16	-75.0	-14.0	16	-60.0	-14.0	16
-75.0	-14.0	16	-60.0	-14.0	16	-45.0	-14.0	16	-30.0	-14.0	16	-15.0	-14.0	16	-14.0	-14.0	16	-14.0	-14.0	16
-225.0	14.0	16	-210.0	14.0	16	-195.0	14.0	16	-180.0	14.0	16	-165.0	14.0	16	-150.0	14.0	16	-135.0	14.0	16
-150.0	14.0	16	-135.0	14.0	16	-120.0	14.0	16	-105.0	14.0	16	-90.0	14.0	16	-75.0	14.0	16	-60.0	14.0	16
-75.0	14.0	16	-60.0	14.0	16	-45.0	14.0	16	-30.0	14.0	16	-15.0	14.0	16	-234.4	-14.0	16	-234.4	-14.0	16
-234.4	-14.0	16	-234.4	-14.0	16	-5.6	-14.0	16	-5.6	14.0	16	-234.4	-14.0	16	-234.4	14.0	16	-219.4	-14.0	16
-234.4	14.0	16	-219.4	-14.0	16	-219.4	14.0	16	-204.4	-14.0	16	-204.4	14.0	16	-189.4	-14.0	16	-189.4	14.0	16
-189.4	-14.0	16	-189.4	14.0	16	-5.6	-14.0	16	-5.6	14.0	16	-20.6	-14.0	16	-20.6	14.0	16	-35.6	-14.0	16
-20.6	14.0	16	-35.6	-14.0	16	-35.6	14.0	16	-50.6	-14.0	16	-50.6	14.0	16						

Sezione a quota -122	
Coordinate dei vertici	
X	Y
-240.0	-20.0
-240.0	20.0
0.0	20.0
0.0	-20.0

Armature verticali																				
X	Y	ø	X	Y	ø	X	Y	ø	X	Y	ø	X	Y	ø	X	Y	ø	X	Y	ø
-225.0	-14.0	16	-210.0	-14.0	16	-195.0	-14.0	16	-180.0	-14.0	16	-165.0	-14.0	16	-150.0	-14.0	16	-135.0	-14.0	16
-150.0	-14.0	16	-135.0	-14.0	16	-120.0	-14.0	16	-105.0	-14.0	16	-90.0	-14.0	16	-75.0	-14.0	16	-60.0	-14.0	16
-75.0	-14.0	16	-60.0	-14.0	16	-45.0	-14.0	16	-30.0	-14.0	16	-15.0	-14.0	16	-14.0	-14.0	16	-14.0	-14.0	16
-225.0	14.0	16	-210.0	14.0	16	-195.0	14.0	16	-180.0	14.0	16	-165.0	14.0	16	-150.0	14.0	16	-135.0	14.0	16
-150.0	14.0	16	-135.0	14.0	16	-120.0	14.0	16	-105.0	14.0	16	-90.0	14.0	16	-75.0	14.0	16	-60.0	14.0	16
-75.0	14.0	16	-60.0	14.0	16	-45.0	14.0	16	-30.0	14.0	16	-15.0	14.0	16	-14.0	14.0	16	-14.0	14.0	16
-234.4	-14.0	16	-234.4	-14.0	16	-5.6	-14.0	16	-5.6	14.0	16	-234.4	-14.0	16	-234.4	-14.0	16	-234.4	-14.0	16
-234.4	14.0	16	-219.4	-14.0	16	-219.4	14.0	16	-204.4	-14.0	16	-204.4	14.0	16	-189.4	-14.0	16	-189.4	14.0	16
-189.4	-14.0	16	-189.4	14.0	16	-5.6	-14.0	16	-5.6	14.0	16	-20.6	-14.0	16	-20.6	-14.0	16	-20.6	-14.0	16
-20.6	14.0	16	-35.6	-14.0	16	-35.6	14.0	16	-50.6	-14.0	16	-50.6	14.0	16	-50.6	14.0	16	-50.6	14.0	16

0.0	20.0
0.0	-20.0

[illegible]

0.0 -20.0

[illegible]

0.0 -20.0

[illegible]

0.0 -20.0

X	Y	\varnothing	X	Y	\varnothing	X	Y	\varnothing	X	Y	\varnothing	X	Y	\varnothing
-225.0	-14.0	16	-210.0	-14.0	16	-195.0	-14.0	16	-180.0	-14.0	16	-165.0	-14.0	16
-150.0	-14.0	16	-135.0	-14.0	16	-120.0	-14.0	16	-105.0	-14.0	16	-90.0	-14.0	16
-75.0	-14.0	16	-60.0	-14.0	16	-45.0	-14.0	16	-30.0	-14.0	16	-15.0	-14.0	16
0.0	-14.0	16	-225.0	14.0	16	-210.0	14.0	16	-195.0	14.0	16	-180.0	14.0	16
-165.0	14.0	16	-150.0	14.0	16	-135.0	14.0	16	-120.0	14.0	16	-105.0	14.0	16
-90.0	14.0	16	-75.0	14.0	16	-60.0	14.0	16	-45.0	14.0	16	-30.0	14.0	16
-15.0	14.0	16	0.0	14.0	16	-234.4	-14.0	16	-234.4	14.0	16			

0.0	20.0
0.0	-20.0

X	Y	\varnothing	X	Y	\varnothing	X	Y	\varnothing	X	Y	\varnothing	X	Y	\varnothing
-225.0	-14.0	16	-210.0	-14.0	16	-195.0	-14.0	16	-180.0	-14.0	16	-165.0	-14.0	16
-150.0	-14.0	16	-135.0	-14.0	16	-120.0	-14.0	16	-105.0	-14.0	16	-90.0	-14.0	16
-75.0	-14.0	16	-60.0	-14.0	16	-45.0	-14.0	16	-30.0	-14.0	16	-15.0	-14.0	16
0.0	-14.0	16	-225.0	14.0	16	-210.0	14.0	16	-195.0	14.0	16	-180.0	14.0	16
-165.0	14.0	16	-150.0	14.0	16	-135.0	14.0	16	-120.0	14.0	16	-105.0	14.0	16
-90.0	14.0	16	-75.0	14.0	16	-60.0	14.0	16	-45.0	14.0	16	-30.0	14.0	16
-15.0	14.0	16	0.0	14.0	16	-234.4	-14.0	16	-234.4	14.0	16			

0.0	20.0
0.0	-20.0

X	Y	\varnothing	X	Y	\varnothing	X	Y	\varnothing	X	Y	\varnothing	X	Y	\varnothing
-225.0	-14.0	16	-210.0	-14.0	16	-195.0	-14.0	16	-180.0	-14.0	16	-165.0	-14.0	16
-150.0	-14.0	16	-135.0	-14.0	16	-120.0	-14.0	16	-105.0	-14.0	16	-90.0	-14.0	16
-75.0	-14.0	16	-60.0	-14.0	16	-45.0	-14.0	16	-30.0	-14.0	16	-15.0	-14.0	16
0.0	-14.0	16	-225.0	14.0	16	-210.0	14.0	16	-195.0	14.0	16	-180.0	14.0	16
-165.0	14.0	16	-150.0	14.0	16	-135.0	14.0	16	-120.0	14.0	16	-105.0	14.0	16
-90.0	14.0	16	-75.0	14.0	16	-60.0	14.0	16	-45.0	14.0	16	-30.0	14.0	16
-15.0	14.0	16	0.0	14.0	16	-234.4	-14.0	16	-234.4	14.0	16			

0.0 -20.0

X	Y	σ	X	Y	σ	X	Y	σ	X	Y	σ	X	Y	σ
-225.0	-14.0	16	-210.0	-14.0	16	-195.0	-14.0	16	-180.0	-14.0	16	-165.0	-14.0	16
-150.0	-14.0	16	-135.0	-14.0	16	-120.0	-14.0	16	-105.0	-14.0	16	-90.0	-14.0	16

Palazzo-Cavalli-Esecutivo

-75.0	-14.0	16	-60.0	-14.0	16	-45.0	-14.0	16	-30.0	-14.0	16	-15.0	-14.0	16
0.0	-14.0	16	-225.0	14.0	16	-210.0	14.0	16	-195.0	14.0	16	-180.0	14.0	16
-165.0	14.0	16	-150.0	14.0	16	-135.0	14.0	16	-120.0	14.0	16	-105.0	14.0	16
-90.0	14.0	16	-75.0	14.0	16	-60.0	14.0	16	-45.0	14.0	16	-30.0	14.0	16
-15.0	14.0	16	0.0	14.0	16	-234.4	-14.0	16	-234.4	14.0	16			

Sezione a quota 915

Coordinate dei vertici

X	Y
-240.0	-20.0
-240.0	20.0
0.0	20.0
0.0	-20.0

Armature verticali

X	Y	ø	X	Y	ø	X	Y	ø	X	Y	ø	X	Y	ø
-225.0	-14.0	16	-210.0	-14.0	16	-195.0	-14.0	16	-180.0	-14.0	16	-165.0	-14.0	16
-150.0	-14.0	16	-135.0	-14.0	16	-120.0	-14.0	16	-105.0	-14.0	16	-90.0	-14.0	16
-75.0	-14.0	16	-60.0	-14.0	16	-45.0	-14.0	16	-30.0	-14.0	16	-15.0	-14.0	16
0.0	-14.0	16	-225.0	14.0	16	-210.0	14.0	16	-195.0	14.0	16	-180.0	14.0	16
-165.0	14.0	16	-150.0	14.0	16	-135.0	14.0	16	-120.0	14.0	16	-105.0	14.0	16
-90.0	14.0	16	-75.0	14.0	16	-60.0	14.0	16	-45.0	14.0	16	-30.0	14.0	16
-15.0	14.0	16	0.0	14.0	16	-234.4	-14.0	16	-234.4	14.0	16			

Sezione a quota 1020

Coordinate dei vertici

X	Y
-240.0	-20.0
-240.0	20.0
0.0	20.0
0.0	-20.0

Armature verticali

X	Y	ø	X	Y	ø	X	Y	ø	X	Y	ø	X	Y	ø
-225.0	-14.0	16	-210.0	-14.0	16	-195.0	-14.0	16	-180.0	-14.0	16	-165.0	-14.0	16
-150.0	-14.0	16	-135.0	-14.0	16	-120.0	-14.0	16	-105.0	-14.0	16	-90.0	-14.0	16
-75.0	-14.0	16	-60.0	-14.0	16	-45.0	-14.0	16	-30.0	-14.0	16	-15.0	-14.0	16
0.0	-14.0	16	-225.0	14.0	16	-210.0	14.0	16	-195.0	14.0	16	-180.0	14.0	16
-165.0	14.0	16	-150.0	14.0	16	-135.0	14.0	16	-120.0	14.0	16	-105.0	14.0	16
-90.0	14.0	16	-75.0	14.0	16	-60.0	14.0	16	-45.0	14.0	16	-30.0	14.0	16
-15.0	14.0	16	0.0	14.0	16	-234.4	-14.0	16	-234.4	14.0	16			

Sezione a quota 1045

Coordinate dei vertici

X	Y
-240.0	-20.0
-240.0	20.0
0.0	20.0
0.0	-20.0

Armature verticali

X	Y	ø	X	Y	ø	X	Y	ø	X	Y	ø	X	Y	ø
-225.0	-14.0	16	-210.0	-14.0	16	-195.0	-14.0	16	-180.0	-14.0	16	-165.0	-14.0	16
-150.0	-14.0	16	-135.0	-14.0	16	-120.0	-14.0	16	-105.0	-14.0	16	-90.0	-14.0	16
-75.0	-14.0	16	-60.0	-14.0	16	-45.0	-14.0	16	-30.0	-14.0	16	-15.0	-14.0	16
0.0	-14.0	16	-225.0	14.0	16	-210.0	14.0	16	-195.0	14.0	16	-180.0	14.0	16
-165.0	14.0	16	-150.0	14.0	16	-135.0	14.0	16	-120.0	14.0	16	-105.0	14.0	16
-90.0	14.0	16	-75.0	14.0	16	-60.0	14.0	16	-45.0	14.0	16	-30.0	14.0	16
-15.0	14.0	16	0.0	14.0	16	-234.4	-14.0	16	-234.4	14.0	16			

Sezione a quota 1174

Coordinate dei vertici

X	Y
-240.0	-20.0
-240.0	20.0
0.0	20.0
0.0	-20.0

Armature verticali

X	Y	ø	X	Y	ø	X	Y	ø	X	Y	ø	X	Y	ø
-225.0	-14.0	16	-210.0	-14.0	16	-195.0	-14.0	16	-180.0	-14.0	16	-165.0	-14.0	16
-150.0	-14.0	16	-135.0	-14.0	16	-120.0	-14.0	16	-105.0	-14.0	16	-90.0	-14.0	16
-75.0	-14.0	16	-60.0	-14.0	16	-45.0	-14.0	16	-30.0	-14.0	16	-15.0	-14.0	16
0.0	-14.0	16	-225.0	14.0	16	-210.0	14.0	16	-195.0	14.0	16	-180.0	14.0	16
-165.0	14.0	16	-150.0	14.0	16	-135.0	14.0	16	-120.0	14.0	16	-105.0	14.0	16
-90.0	14.0	16	-75.0	14.0	16	-60.0	14.0	16	-45.0	14.0	16	-30.0	14.0	16
-15.0	14.0	16	0.0	14.0	16	-234.4	-14.0	16	-234.4	14.0	16			

Sezione a quota 1302

Coordinate dei vertici

X	Y
-240.0	-20.0
-240.0	20.0
0.0	20.0
0.0	-20.0

Armature verticali

X	Y	ø	X	Y	ø	X	Y	ø	X	Y	ø	X	Y	ø
-225.0	-14.0	16	-210.0	-14.0	16	-195.0	-14.0	16	-180.0	-14.0	16	-165.0	-14.0	16
-150.0	-14.0	16	-135.0	-14.0	16	-120.0	-14.0	16	-105.0	-14.0	16	-90.0	-14.0	16
-75.0	-14.0	16	-60.0	-14.0	16	-45.0	-14.0	16	-30.0	-14.0	16	-15.0	-14.0	16
0.0	-14.0	16	-225.0	14.0	16	-210.0	14.0	16	-195.0	14.0	16	-180.0	14.0	16
-165.0	14.0	16	-150.0	14.0	16	-135.0	14.0	16	-120.0	14.0	16	-105.0	14.0	16
-90.0	14.0	16	-75.0	14.0	16	-60.0	14.0	16	-45.0	14.0	16	-30.0	14.0	16
-15.0	14.0	16	0.0	14.0	16	-234.4	-14.0	16	-234.4	14.0	16			

fcd	fctd	Hcr	q.Hcr	hw	Lw	n.p.	hs
165	13	609	277	1659	240	8	206

Verifica a pressoflessione

quota	Mxd	Myd	Ned	Ngrav.	NReale	c.s.	comb
-282	74661	3136573	-174603	-174603	-174603	9.3334	13 SLV
-282	-1435201	4082734	-55801	-118461	-115032	5.4451	11 SLV
-215	45904	3264588	-171912	-171912	-171912	9.3948	13 SLV
-215	365010	8812194	-204458	-116391	-146262	6.0005	13 SLV
-147	17148	3392602	-169221	-169221	-169221	9.4535	13 SLV
-147	239728	8812194	-201033	-114321	-143872	6.1335	13 SLV
-122	-233842	-22827	-147824	-147824	-147824	11.2136	13 SLV
-122	-399977	8800205	-175273	-100787	-124879	6.3880	15 SLV
-60	-166577	116077	-145484	-145484	-145484	11.3939	13 SLV
-60	-333713	8800205	-172859	-98987	-123365	6.4972	15 SLV
3	-99313	254981	-143144	-143144	-143144	11.5802	13 SLV
3	-191230	8812194	-175076	-97187	-126483	6.6099	13 SLV
28	66323	1509601	-132422	-132422	-132422	12.5178	13 SLV
28	-152414	8800205	-160396	-90794	-114999	6.8839	15 SLV
106	-6504	370435	-129599	-129599	-129599	12.7906	13 SLV
106	-259684	8800205	-158223	-88622	-113912	6.8076	15 SLV
184	-79332	-768732	-126775	-126775	-126775	13.0754	13 SLV
184	-424527	8800205	-153161	-86450	-109935	6.6746	15 SLV
209	-102674	-1133849	-126775	-126775	-126775	13.0754	13 SLV
209	-461139	8800205	-154349	-86450	-111124	6.5938	15 SLV
320	-206313	-2754970	-124206	-124206	-124206	11.4033	13 SLV
320	-1433755	3403229	-46383	-84474	-88620	4.1795	12 SLV
431	-309952	-4376091	-119069	-119069	-119069	9.9494	13 SLV
431	-1914799	-2064900	-27393	-80522	-67654	2.6893	8 SLV
456	-317966	-1017039	-85372	-85372	-85372	16.0852	18 SLV
456	-1975065	3341221	-36413	-58297	-65562	2.6848	12 SLV
503	-412075	-945562	-85372	-85372	-85372	15.0718	18 SLV
503	-1911746	-889398	-15947	-58297	-45096	2.5574	8 SLV
550	-506184	-874086	-81659	-81659	-81659	14.3319	18 SLV
550	-2127355	-572524	-14730	-55441	-42450	2.2264	8 SLV
575	-455175	-2229514	-54978	-54978	-54978	14.4948	18 SLV

575	-2347181	-1892132	-14774	-38601	-34075	1.8964	7	SLV
680	-519667	-1180088	-46686	-46686	-46686	16.1022	18	SLU
680	-1969783	-1181784	-12848	-33165	-29430	2.2954	7	SLV
785	-517387	122175	-38951	-38951	-38951	20.3860	18	SLU
785	-1634727	-312449	-10547	-27737	-24415	2.8319	7	SLV
810	-516714	-1322521	-49009	-49009	-49009	15.7211	18	SLU
810	-1545966	-1228841	-14013	-34003	-31014	3.0077	7	SLV
915	-458000	-100132	-42371	-42371	-42371	21.7523	20	SLU
915	-1285890	-1148606	-17279	-30290	-32424	3.8509	11	SLV
1020	-369378	428285	-35022	-35022	-35022	24.9457	18	SLU
1020	-911505	-2307468	-9987	-24174	-22075	4.7086	7	SLV
1045	-331911	-1090270	-22555	-22555	-22555	22.1503	20	SLU
1045	-808513	-2543213	-6463	-15942	-14434	4.9475	7	SLV
1174	-339652	171025	-12310	-12310	-12310	22.5732	20	SLU
1174	-510092	-1920729	-3635	-8506	-7888	7.5254	7	SLV
1302	-309736	2123916	-5765	-5765	-5765	11.4562	20	SLU
1302	-289911	1443402	-1970	-3668	-3804	12.3892	12	SLV

Controllo dello sforzo normale massimo

quota	Ned	Nmax(7.4.4.5.2.1)	c.s. comb
-282	-207642	-632128	3.0443 13 SLV
-215	-204458	-632128	3.0917 13 SLV
-147	-201033	-632128	3.1444 13 SLV
-122	-180948	-632128	3.4934 13 SLV
-60	-177914	-632128	3.5530 13 SLV
3	-175076	-632128	3.6106 13 SLV
28	-162583	-632128	3.8880 13 SLV
106	-160405	-632128	3.9408 13 SLV
184	-155296	-632128	4.0705 13 SLV
209	-156525	-632128	4.0385 13 SLV
320	-156623	-632128	4.0360 13 SLV
431	-151094	-632128	4.1837 13 SLV
456	-122610	-632128	5.1556 13 SLV
503	-122610	-632128	5.1556 13 SLV
550	-117639	-632128	5.3734 13 SLV
575	-83383	-632128	7.5810 13 SLV
690	-660779	-632128	9.5662 14 SLV
785	-54384	-632128	11.6234 14 SLV
810	-60979	-632128	10.3664 14 SLV
915	-53472	-632128	11.8216 14 SLV
1020	-42409	-632128	14.9056 14 SLV
1045	-28286	-632128	22.3480 14 SLV
1174	-14437	-632128	43.7854 14 SLV
1302	-6039	-632128	104.6720 14 SLV

Verifica compressione del diagonale

quota	epsilon	VEd	Vrzd comb
-282	1.00	-2463	350689 18 SLU
-282	1.50	-26454	321920 4 SLV
-215	1.00	-2463	350151 18 SLU
-215	1.50	-26275	321729 4 SLV
-147	1.00	-2463	349613 18 SLU
-147	1.50	-26674	321586 4 SLV
-122	1.00	-2966	345330 18 SLU
-122	1.50	-22279	320189 4 SLV
-60	1.00	-2966	344862 18 SLU
-60	1.50	-23103	322577 8 SLV
3	1.00	-2966	344394 18 SLU
3	1.50	-22467	319924 4 SLV
28	1.00	14605	342548 13 SLU
28	1.50	30771	329984 15 SLV
106	1.00	14605	341984 13 SLU
106	1.50	30651	329984 15 SLV
184	1.00	14605	341419 13 SLU
184	1.50	30627	329406 15 SLV
209	1.00	14605	341419 13 SLU
209	1.50	30490	329644 15 SLV
320	1.00	14605	340905 13 SLU
320	1.50	30066	330047 15 SLV
431	1.00	14605	339878 13 SLU
431	1.50	29619	329741 15 SLV
456	1.00	2729	329550 14 SLU
456	1.50	-16831	328927 13 SLV
503	1.00	2729	329550 14 SLU
503	1.50	-16831	328927 13 SLV
550	1.00	2729	328807 14 SLU
550	1.50	-18598	328504 13 SLV
575	1.00	-4508	326901 17 SLU
575	1.50	-7670	320852 9 SLV
680	1.00	-6849	325229 17 SLU
680	1.50	-17774	316064 1 SLV
785	1.00	-9575	323685 17 SLU
785	1.50	-20033	316206 1 SLV
810	1.00	-9634	325658 12 SLU
810	1.50	-18741	317476 2 SLV
915	1.00	-1373	324587 12 SLU
915	1.50	-10151	317528 2 SLV
1020	1.00	1504	322900 17 SLU
1020	1.50	10023	319661 15 SLV
1045	1.00	-2863	320460 18 SLU
1045	1.50	-8826	316789 4 SLV
1174	1.00	-8133	318526 20 SLU
1174	1.50	-13701	316595 2 SLV
1302	1.00	-14218	317217 20 SLU
1302	1.50	-19290	316324 4 SLV

Verifica trazione del diagonale

quota	At	roh	rov	VEd	NEd	VRsd comb
-282	100.5	0.0035	0.0105	-2463	-173127	106230 18 SLU
-282	100.5	0.0035	0.0105	-26454	-88511	106230 4 SLV
-215	100.5	0.0042	0.0105	-2463	-170436	127476 18 SLU
-215	100.5	0.0042	0.0105	-26275	-86520	127476 4 SLV
-147	100.5	0.0035	0.0105	-2463	-167745	106230 18 SLU
-147	100.5	0.0035	0.0105	-26674	-84770	106230 4 SLV
-122	100.5	0.0035	0.0105	-2966	-146331	106230 18 SLU
-122	100.5	0.0035	0.0105	-22279	-71020	106230 4 SLV
-60	100.5	0.0035	0.0105	-2966	-143991	106230 18 SLU
-60	100.5	0.0035	0.0105	-23103	-82060	106230 8 SLV
3	100.5	0.0035	0.0105	-2966	-141651	106230 18 SLU
3	100.5	0.0035	0.0105	-22488	-80210	106230 8 SLV
28	100.5	0.0035	0.0105	14605	-132422	106230 13 SLU
28	100.5	0.0035	0.0105	30771	-114999	106230 15 SLV
106	100.5	0.0035	0.0105	14605	-129599	106230 13 SLU
106	100.5	0.0035	0.0105	30651	-113912	106230 15 SLV
184	100.5	0.0035	0.0105	14605	-126775	106230 13 SLU
184	100.5	0.0035	0.0105	30627	-109935	106230 15 SLV
209	100.5	0.0035	0.0105	14605	-126775	106230 13 SLU
209	100.5	0.0035	0.0105	30490	-111124	106230 15 SLV
320	68.4	0.0035	0.0071	14605	-124206	106230 13 SLU
320	68.4	0.0035	0.0071	30066	-112151	106230 15 SLV
431	70.4	0.0042	0.0073	14605	-119069	127476 13 SLU
431	70.4	0.0042	0.0073	29619	-108644	127476 15 SLV
456	70.4	0.0035	0.0073	2729	-67430	106230 14 SLU
456	70.4	0.0035	0.0073	-16831	-93461	106230 13 SLV
503	70.4	0.0042	0.0073	2729	-67430	127476 14 SLU
503	70.4	0.0042	0.0073	-16831	-93461	127476 13 SLV
550	68.3	0.0042	0.0071	2729	-63717	127476 14 SLU
550	68.3	0.0042	0.0071	-18598	-89919	127476 13 SLV
575	66.4	0.0035	0.0069	-4508	-54187	106230 17 SLU
575	66.4	0.0035	0.0069	-7670	-43243	106230 9 SLV
680	66.4	0.0035	0.0069	-6849	-45823	106230 17 SLU
680	66.4	0.0035	0.0069	-17774	-15969	106230 1 SLV

Palazzo-Cavalli-Esecutivo

785	66.4	0.0035	0.0069	-9575	-38107	106230	17	SLU
785	66.4	0.0035	0.0069	-20033	-14580	106230	1	SLV
810	66.4	0.0035	0.0069	-9634	-47968	106230	12	SLU
810	66.4	0.0035	0.0069	-18741	-24061	106230	2	SLV
915	66.4	0.0035	0.0069	-1373	-42617	106230	12	SLU
915	66.4	0.0035	0.0069	-10151	-22467	106230	2	SLV
1020	66.4	0.0035	0.0069	1504	-34180	106230	17	SLU
1020	66.4	0.0035	0.0069	10023	-30072	106230	15	SLV
1045	66.4	0.0042	0.0069	-2863	-21980	127476	18	SLU
1045	66.4	0.0042	0.0069	-8826	-11598	127476	4	SLV
1174	66.4	0.0035	0.0069	-8133	-12310	106230	20	SLU
1174	66.4	0.0035	0.0069	-13701	-6906	106230	2	SLV
1302	66.4	0.0039	0.0069	-14218	-5765	117663	20	SLU
1302	66.4	0.0039	0.0069	-19290	-3134	117663	4	SLV

Verifica per scorrimento a taglio								
quota	Somma(Asj)	csi	Med	VEd	Vdd	Vid	Vfd	Vrd,s comb
-282	100.53	0.38	-5355310	-26454	98346	0	112596	210942 4 SLV
-147	100.53	0.37	-5355310	-26674	98346	0	110061	208406 4 SLV
-122	100.53	0.34	-5355310	-22279	98346	0	100271	198616 4 SLV
3	100.53	0.33	-5355310	-22467	98346	0	98545	19690 4 SLV
28	100.53	0.45	8800205	30771	98346	0	153836	252181 15 SLV
184	100.53	0.44	8800205	30627	98346	0	149991	248336 15 SLV
209	100.53	0.45	8800205	30490	98346	0	151557	249903 15 SLV

S-2
Parete fra le coordinate in pianta (236;170) (-209;170)
da quota -332 a quota 456
Valori in daN, cm
C28/35; rck 350
fyk 4500

Verifica di stato limite ultimo											
nod	sez	B	H	Af+	Af-	c+	c-	c.s.	comb	N	M
60	o	80	30	5.7	5.7	5.8	5.8	2.028	5 SLV	-3620	-319489
	v	65	30	5.7	5.7	4.6	4.6	5.777	5 SLV	2400	-67368
284	o	40	30	2.8	2.8	5.8	5.8	1.134	12 SLV	7646	-155413
	v	80	30	5.7	5.7	4.6	4.6	3.533	11 SLV	525	-153963
328	o	80	30	5.7	5.7	5.8	5.8	1.917	6 SLV	7543	208102
	v	53	30	4.5	4.5	4.6	4.6	1.520	11 SLV	1549	-273741

Combinazione rara											
nod	sez	B	H	Af+	Af-	c+	c-	sc	c	N	M
60	o	80	30	5.7	5.7	5.8	5.8	-26.3 3	ra	-8.97E03	-1.62E05
	v	65	30	5.7	5.7	4.6	4.6	-7.3 3	ra	9.34E02	-4.15E04
284	o	40	30	2.8	2.8	5.8	5.8	-12.3 3	ra	-6.20E03	-4.49E04
	v	80	30	5.7	5.7	4.6	4.6	-10.3 3	ra	-2.41E03	-6.55E04
328	o	80	30	5.7	5.7	5.8	5.8	-19.8 3	ra	-2.65E03	-1.12E05
	v	53	30	4.5	4.5	4.6	4.6	-22.9 3	ra	3.57E03	-1.08E05

Combinazione frequente											
nod	sez	B	H	Af+	Af-	c+	c-	sc	c	N	M
60	o	80	30	5.7	5.7	5.8	5.8	-24.7 2	fr	-8.60E03	-1.53E05
	v	65	30	5.7	5.7	4.6	4.6	-6.8 2	fr	8.78E02	-3.92E04
284	o	40	30	2.8	2.8	5.8	5.8	-11.5 2	fr	-5.86E03	-4.21E04
	v	80	30	5.7	5.7	4.6	4.6	-9.7 2	fr	-2.29E03	-6.14E04
328	o	80	30	5.7	5.7	5.8	5.8	-18.3 2	fr	-2.44E03	-1.04E05
	v	53	30	4.5	4.5	4.6	4.6	-21.0 2	fr	3.39E03	-9.98E04

Combinazione quasi permanente											
nod	sez	B	H	Af+	Af-	c+	c-	sc	c	N	M
60	o	80	30	5.7	5.7	5.8	5.8	-24.3 2	q.	-8.49E03	-1.51E05
	v	65	30	5.7	5.7	4.6	4.6	-6.7 2	q.	8.60E02	-3.84E04
284	o	40	30	2.8	2.8	5.8	5.8	-11.3 2	q.	-5.75E03	-4.13E04
	v	80	30	5.7	5.7	4.6	4.6	-9.5 2	q.	-2.25E03	-6.02E04
328	o	80	30	5.7	5.7	5.8	5.8	-18.0 2	q.	-2.40E03	-1.02E05
	v	53	30	4.5	4.5	4.6	4.6	-20.4 2	q.	3.33E03	-9.71E04

Verifica dei pannelli

Pannello : Pannello da Filo 27 a Filo 15

Sezione a quota 28

Coordinate dei vertici

X	Y
-236.5	-15.0
-236.5	15.0
208.4	15.0
208.4	-15.0

Armature verticali

X	Y	Ø	X	Y	Ø	X	Y	Ø	X	Y	Ø	X	Y	Ø
-224.0	-9.2	12	-209.0	-9.2	12	-194.0	-9.2	12	-179.0	-9.2	12	-164.0	-9.2	12
-149.0	-9.2	12	-134.0	-9.2	12	-119.0	-9.2	12	-104.0	-9.2	12	-89.0	-9.2	12
-74.0	-9.2	12	-59.0	-9.2	12	-44.0	-9.2	12	-29.0	-9.2	12	-14.0	-9.2	12
1.0	-9.2	12	16.0	-9.2	12	31.0	-9.2	12	46.0	-9.2	12	61.0	-9.2	12
76.0	-9.2	12	91.0	-9.2	12	106.0	-9.2	12	121.0	-9.2	12	136.0	-9.2	12
151.0	-9.2	12	166.0	-9.2	12	181.0	-9.2	12	196.0	-9.2	12	224.0	9.2	12
209.0	9.2	12	-194.0	9.2	12	-179.0	9.2	12	-164.0	9.2	12	-149.0	9.2	12
-134.0	9.2	12	-119.0	9.2	12	-104.0	9.2	12	-89.0	9.2	12	-74.0	9.2	12
-59.0	9.2	12	-44.0	9.2	12	-29.0	9.2	12	-14.0	9.2	12	1.0	9.2	12
16.0	9.2	12	31.0	9.2	12	46.0	9.2	12	61.0	9.2	12	76.0	9.2	12
91.0	9.2	12	106.0	9.2	12	121.0	9.2	12	136.0	9.2	12	151.0	9.2	12
166.0	9.2	12	181.0	9.2	12	196.0	9.2	12	-231.3	-9.2	12	-231.3	9.2	12
-216.3	-9.2	12	-216.3	9.2	12	-201.3	-9.2	12	-201.3	9.2	12	-186.3	-9.2	12
-186.3	9.2	12	-171.3	-9.2	12	-171.3	9.2	12	-156.3	-9.2	12	-156.3	9.2	12
203.2	-9.2	12	203.2	9.2	12	188.2	-9.2	12	188.2	9.2	12	173.2	-9.2	12
173.2	9.2	12	158.2	-9.2	12	158.2	9.2	12	143.2	-9.2	12	143.2	9.2	12
128.2	-9.2	12	128.2	9.2	12	-213.0	-8.0	12	-213.0	8.0	12	-163.0	-8.0	12
-163.0	8.0	12	-113.0	-8.0	12	-113.0	8.0	12	-63.0	-8.0	12	-63.0	8.0	12
-13.0	-8.0	12	-13.0	8.0	12	37.0	-8.0	12	37.0	8.0	12	87.0	-8.0	12
87.0	8.0	12	137.0	-8.0	12	137.0	8.0	12	184.9	-8.0	12	184.9	8.0	12
134.9	-8.0	12	134.9	8.0	12	84.9	-8.0	12	84.9	8.0	12	34.9	-8.0	12
34.9	8.0	12	-15.1	-8.0	12	-15.1	8.0	12	-65.1	-8.0	12	-65.1	8.0	12
-115.1	-8.0	12	-115.1	8.0	12	-165.1	-8.0	12	-165.1	8.0	12			

Sezione a quota 106

Coordinate dei vertici

X	Y
-236.5	-15.0
-236.5	15.0
208.4	15.0
208.4	-15.0

Armature verticali

X	Y	Ø	X	Y	Ø	X	Y	Ø	X	Y	Ø	X	Y	Ø
-224.0	-9.2	12	-209.0	-9.2	12	-194.0	-9.2	12	-179.0	-9.2	12	-164.0	-9.2	12
-149.0	-9.2	12	-134.0	-9.2	12	-119.0	-9.2	12	-104.0	-9.2	12	-89.0	-9.2	12
-74.0	-9.2	12	-59.0	-9.2	12	-44.0	-9.2	12	-29.0	-9.2	12	-14.0	-9.2	12
1.0	-9.2	12	16.0	-9.2	12	31.0	-9.2	12	46.0	-9.2	12	61.0	-9.2	12
76.0	-9.2	12	91.0	-9.2	12	106.0	-9.2	12	121.0	-9.2	12	136.0	-9.2	12
151.0	-9.2	12	166.0	-9.2	12	181.0	-9.2	12	196.0	-9.2	12	224.0	9.2	12
-209.0	9.2	12	-194.0	9.2	12	-179.0	9.2	12	-164.0	9.2	12	-149.0	9.2	12
-134.0	9.2	12	-119.0	9.2	12	-104.0	9.2	12	-89.0	9.2	12	-74.0	9.2	12
-59.0	9.2	12	-44.0	9.2	12	-29.0	9.2	12	-14.0	9.2	12	1.0	9.2	12
16.0	9.2	12	31.0	9.2	12	46.0	9.2	12	61.0	9.2	12	76.0	9.2	12
91.0	9.2	12	106.0	9.2	12	121.0	9.2	12	136.0	9.2	12	151.0	9.2	12
166.0	9.2	12	181.0	9.2	12	196.0	9.2	12	-231.3	-9.2	12	-231.3	9.2	12
-216.3	-9.2	12	-216.3	9.2	12	-201.3	-9.2	12	-201.3	9.2	12	-186.3	-9.2	12
-186.3	9.2	12	-171.3	-9.2	12	-171.3	9.2	12	-156.3	-9.2	12	-156.3	9.2	12
203.2	-9.2	12	203.2	9.2	12	188.2	-9.2	12	188.2	9.2	12	173.2	-9.2	12

173.2	9.2	12	158.2	-9.2	12	158.2	9.2	12	143.2	-9.2	12	143.2	9.2	12
128.2	-9.2	12	128.2	9.2	12									

Sezione a quota 184
Coordinate dei vertici
X Y
-236.5 -15.0
-236.5 15.0
208.4 15.0
208.4 -15.0

Armature verticali														
X	Y	ø	X	Y	ø	X	Y	ø	X	Y	ø	X	Y	ø
-224.0	-9.2	12	-209.0	-9.2	12	-194.0	-9.2	12	-179.0	-9.2	12	-164.0	-9.2	12
-149.0	-9.2	12	-134.0	-9.2	12	-119.0	-9.2	12	-104.0	-9.2	12	-89.0	-9.2	12
-74.0	-9.2	12	-59.0	-9.2	12	-44.0	-9.2	12	-29.0	-9.2	12	-14.0	-9.2	12
1.0	-9.2	12	16.0	-9.2	12	31.0	-9.2	12	46.0	-9.2	12	61.0	-9.2	12
76.0	-9.2	12	91.0	-9.2	12	106.0	-9.2	12	121.0	-9.2	12	136.0	-9.2	12
151.0	-9.2	12	166.0	-9.2	12	181.0	-9.2	12	196.0	-9.2	12	-224.0	9.2	12
-209.0	9.2	12	-194.0	9.2	12	-179.0	9.2	12	-164.0	9.2	12	-149.0	9.2	12
-134.0	9.2	12	-119.0	9.2	12	-104.0	9.2	12	-89.0	9.2	12	-74.0	9.2	12
-59.0	9.2	12	-44.0	9.2	12	-29.0	9.2	12	-14.0	9.2	12	1.0	9.2	12
16.0	9.2	12	31.0	9.2	12	46.0	9.2	12	61.0	9.2	12	76.0	9.2	12
91.0	9.2	12	106.0	9.2	12	121.0	9.2	12	136.0	9.2	12	151.0	9.2	12
166.0	9.2	12	181.0	9.2	12	196.0	9.2	12	-231.3	-9.2	12	-231.3	9.2	12
-216.3	-9.2	12	-216.3	9.2	12	-201.3	-9.2	12	-201.3	9.2	12	-186.3	-9.2	12
-186.3	9.2	12	-171.3	-9.2	12	-171.3	9.2	12	-156.3	-9.2	12	-156.3	9.2	12
203.2	-9.2	12	203.2	9.2	12	188.2	-9.2	12	188.2	9.2	12	173.2	-9.2	12
173.2	9.2	12	158.2	-9.2	12	158.2	9.2	12	143.2	-9.2	12	143.2	9.2	12
128.2	-9.2	12	128.2	9.2	12	-164.7	-8.0	12	-164.7	8.0	12	-114.7	-8.0	12
-114.7	8.0	12	-64.7	-8.0	12	-64.7	8.0	12	-14.7	-8.0	12	-14.7	8.0	12
35.3	-8.0	12	35.3	8.0	12	85.3	-8.0	12	85.3	8.0	12	135.3	-8.0	12
135.3	8.0	12	136.7	-8.0	12	136.7	8.0	12	86.7	-8.0	12	86.7	8.0	12
36.7	-8.0	12	36.7	8.0	12	-13.3	-8.0	12	-13.3	8.0	12	-63.3	-8.0	12
-63.3	8.0	12	-113.3	-8.0	12	-113.3	8.0	12	-163.3	-8.0	12	-163.3	8.0	12

Sezione a quota 209
Coordinate dei vertici
X Y
-236.5 -15.0
-236.5 15.0
208.4 15.0
208.4 -15.0

Armature verticali														
X	Y	ø	X	Y	ø	X	Y	ø	X	Y	ø	X	Y	ø
-224.0	-9.2	12	-209.0	-9.2	12	-194.0	-9.2	12	-179.0	-9.2	12	-164.0	-9.2	12
-149.0	-9.2	12	-134.0	-9.2	12	-119.0	-9.2	12	-104.0	-9.2	12	-89.0	-9.2	12
-74.0	-9.2	12	-59.0	-9.2	12	-44.0	-9.2	12	-29.0	-9.2	12	-14.0	-9.2	12
1.0	-9.2	12	16.0	-9.2	12	31.0	-9.2	12	46.0	-9.2	12	61.0	-9.2	12
76.0	-9.2	12	91.0	-9.2	12	106.0	-9.2	12	121.0	-9.2	12	136.0	-9.2	12
151.0	-9.2	12	166.0	-9.2	12	181.0	-9.2	12	196.0	-9.2	12	-224.0	9.2	12
-209.0	9.2	12	-194.0	9.2	12	-179.0	9.2	12	-164.0	9.2	12	-149.0	9.2	12
-134.0	9.2	12	-119.0	9.2	12	-104.0	9.2	12	-89.0	9.2	12	-74.0	9.2	12
-59.0	9.2	12	-44.0	9.2	12	-29.0	9.2	12	-14.0	9.2	12	1.0	9.2	12
16.0	9.2	12	31.0	9.2	12	46.0	9.2	12	61.0	9.2	12	76.0	9.2	12
91.0	9.2	12	106.0	9.2	12	121.0	9.2	12	136.0	9.2	12	151.0	9.2	12
166.0	9.2	12	181.0	9.2	12	196.0	9.2	12	-231.3	-9.2	12	-231.3	9.2	12
-216.3	-9.2	12	-216.3	9.2	12	-201.3	-9.2	12	-201.3	9.2	12	-186.3	-9.2	12
-186.3	9.2	12	-171.3	-9.2	12	-171.3	9.2	12	-156.3	-9.2	12	-156.3	9.2	12
203.2	-9.2	12	203.2	9.2	12	188.2	-9.2	12	188.2	9.2	12	173.2	-9.2	12
173.2	9.2	12	158.2	-9.2	12	158.2	9.2	12	143.2	-9.2	12	143.2	9.2	12
128.2	-9.2	12	128.2	9.2	12	-189.7	-8.0	12	-189.7	8.0	12	-139.7	-8.0	12
-139.7	8.0	12	-89.7	-8.0	12	-89.7	8.0	12	-39.7	-8.0	12	-39.7	8.0	12
10.3	-8.0	12	10.3	8.0	12	60.3	-8.0	12	60.3	8.0	12	110.3	-8.0	12
110.3	8.0	12	161.7	-8.0	12	161.7	8.0	12	111.7	-8.0	12	111.7	8.0	12
61.7	-8.0	12	61.7	8.0	12	11.7	-8.0	12	11.7	8.0	12	-38.3	-8.0	12
-38.3	8.0	12	-88.3	-8.0	12	-88.3	8.0	12	-138.3	-8.0	12	-138.3	8.0	12

Sezione a quota 320
Coordinate dei vertici
X Y
-236.5 -15.0
-236.5 15.0
208.4 15.0
208.4 -15.0

Armature verticali														
X	Y	ø	X	Y	ø	X	Y	ø	X	Y	ø	X	Y	ø
-224.0	-9.2	12	-209.0	-9.2	12	-194.0	-9.2	12	-179.0	-9.2	12	-164.0	-9.2	12
-149.0	-9.2	12	-134.0	-9.2	12	-119.0	-9.2	12	-104.0	-9.2	12	-89.0	-9.2	12
-74.0	-9.2	12	-59.0	-9.2	12	-44.0	-9.2	12	-29.0	-9.2	12	-14.0	-9.2	12
1.0	-9.2	12	16.0	-9.2	12	31.0	-9.2	12	46.0	-9.2	12	61.0	-9.2	12
76.0	-9.2	12	91.0	-9.2	12	106.0	-9.2	12	121.0	-9.2	12	136.0	-9.2	12
151.0	-9.2	12	166.0	-9.2	12	181.0	-9.2	12	196.0	-9.2	12	-224.0	9.2	12
-209.0	9.2	12	-194.0	9.2	12	-179.0	9.2	12	-164.0	9.2	12	-149.0	9.2	12
-134.0	9.2	12	-119.0	9.2	12	-104.0	9.2	12	-89.0	9.2	12	-74.0	9.2	12
-59.0	9.2	12	-44.0	9.2	12	-29.0	9.2	12	-14.0	9.2	12	1.0	9.2	12
16.0	9.2	12	31.0	9.2	12	46.0	9.2	12	61.0	9.2	12	76.0	9.2	12
91.0	9.2	12	106.0	9.2	12	121.0	9.2	12	136.0	9.2	12	151.0	9.2	12
166.0	9.2	12	181.0	9.2	12	196.0	9.2	12						

Sezione a quota 431
Coordinate dei vertici
X Y
-236.5 -15.0
-236.5 15.0
208.4 15.0
208.4 -15.0

Armature verticali														
X	Y	ø	X	Y	ø	X	Y	ø	X	Y	ø	X	Y	ø
-224.0	-9.2	12	-209.0	-9.2	12	-194.0	-9.2	12	-179.0	-9.2	12	-164.0	-9.2	12
-149.0	-9.2	12	-134.0	-9.2	12	-119.0	-9.2	12	-104.0	-9.2	12	-89.0	-9.2	12
-74.0	-9.2	12	-59.0	-9.2	12	-44.0	-9.2	12	-29.0	-9.2	12	-14.0	-9.2	12
1.0	-9.2	12	16.0	-9.2	12	31.0	-9.2	12	46.0	-9.2	12	61.0	-9.2	12
76.0	-9.2	12	91.0	-9.2	12	106.0	-9.2	12	121.0	-9.2	12	136.0	-9.2	12
151.0	-9.2	12	166.0	-9.2	12	181.0	-9.2	12	196.0	-9.2	12	-224.0	9.2	12
-209.0	9.2	12	-194.0	9.2	12	-179.0	9.2	12	-164.0	9.2	12	-149.0	9.2	12
-134.0	9.2	12	-119.0	9.2	12	-104.0	9.2	12	-89.0	9.2	12	-74.0	9.2	12
-59.0	9.2	12	-44.0	9.2	12	-29.0	9.2	12	-14.0	9.2	12	1.0	9.2	12
16.0	9.2	12	31.0	9.2	12	46.0	9.2	12	61.0	9.2	12	76.0	9.2	12
91.0	9.2	12	106.0	9.2	12	121.0	9.2	12	136.0	9.2	12	151.0	9.2	12
166.0	9.2	12	181.0	9.2	12	196.0	9.2	12	203.2	-9.4	8	203.2	9.4	

fed fctd Hcr q.Hcr hw Lw n.p. hs
165 13 219 221 454 445 3 193

Verifica a pressoflessione					
quota	Mxd	Myd	Ned	Ngrav.	NReale
28	-145250	-3953162	-42913	-42913	29.0219 18 SLU
28	-655872	-8820179	-34577	-30547	-49850 6.7432 7 SLV
106	-72115	-3676638	-37693	-37693	35.5191 18 SLU
106	-381901	-8820179	-27975	-26652	-41301 8.4056 7 SLV
184	-13085	-3650881	-33767	-33767	-33767 41.3660 18 SLU
184	-124708	-8820179	-26570	-23633	-38387 14.4785 7 SLV
209	-9031	-3203980	-31601	-31601	-31601 46.2262 18 SLU
209	-88676	-8820179	-20983	-22156	-32061 13.4698 7 SLV
320	46985	-2547417	-25071	-25071	-25071 48.7929 18 SLU
320	194923	-8275192	-9547	-17421	-18257 7.1270 7 SLV
431	116229	-1401317	-8003	-8003	-8003 32.2846 13 SLU
431	404086	-4608797	-4611	-9654	-9438 6.2784 8 SLV

Controllo dello sforzo normale massimo									
quota	Ned	Nmax(7.4.4.5.2.1)	c.s. comb						
28	-47736		-878782	18.4092	16	SLV			
106	-40655		-878782	21.6156	16	SLV			
184	-36181		-878782	24.2884	16	SLV			
209	-33245		-878782	26.4338	15	SLV			
320	-25076		-878782	35.0440	15	SLV			
431	-15936		-878782	55.1460	11	SLV			
Verifica compressione del diagonale									
quota	epsilon	VED	Vrzd comb						
28	1.00	-609	445356	14	SLU				
28	1.50	-12013	444298	3	SLV				
106	1.00	-690	444408	14	SLU				
106	1.50	-11325	443579	3	SLV				
184	1.00	-690	443622	14	SLU				
184	1.50	-11643	443279	3	SLV				
209	1.00	-832	443332	14	SLU				
209	1.50	-11437	442702	3	SLV				
320	1.00	-1123	444270	20	SLU				
320	1.50	-12010	441300	7	SLV				
431	1.00	-3321	442291	18	SLU				
431	1.50	-12863	440619	7	SLV				
Verifica trazione del diagonale									
quota	At	roh	rov	VED	NEd	VRsd comb			
28	92.7	0.0052	0.0083	-609	-29826	215324	14	SLU	
28	92.7	0.0052	0.0083	-12013	-39808	215324	3	SLV	
106	92.7	0.0047	0.0069	-690	-25083	196917	14	SLU	
106	92.7	0.0047	0.0069	-11325	-34267	196917	3	SLV	
184	92.7	0.0054	0.0086	-690	-21158	224766	14	SLU	
184	92.7	0.0054	0.0086	-11643	-31259	224766	3	SLV	
209	92.7	0.0058	0.0086	-832	-19704	243172	14	SLU	
209	92.7	0.0058	0.0086	-11437	-27634	243172	3	SLV	
320	65.6	0.0047	0.0049	-1123	-24395	196917	20	SLU	
320	65.6	0.0047	0.0049	-12010	-18257	196917	7	SLV	
431	66.4	0.0058	0.0050	-3321	-14501	242340	18	SLU	
431	66.4	0.0058	0.0050	-12863	-10966	242340	7	SLV	
Verifica per scorrimento a taglio									
Parete Tozza									
Vid > Ved/2 parete tozza h/1 < 2									
quota	Somma(Asj)	csi	MEd	VED	Vdd	Vid	Vfd	Vrd,s	comb
28	92.74	0.33	2256536	11407	90724	24778	77768	193271	14 SLV
184	92.74	0.30	2256536	10819	90724	43811	70289	204824	14 SLV
209	92.74	0.32	-7564090	-11437	90724	43811	84764	219298	3 SLV

S-3
Parete fra le coordinate in pianta (440;145) (440;-145)
da quota -147 a quota 209
Valori in daN, cm
C28/35; rck 350
fyk 4500

Verifica di stato limite ultimo																				
nod	sez	B	H	Af+	Af-	c+	c-	c.s.	comb	N	M	Nu	Mu							
94	o	68	20	9.1	9.1	5.8	5.8	1.346	17 SLU	-659	351482	-887	473261							
	v	53	20	3.4	3.4	4.6	4.6	2.294	17 SLU	-18	94311	-41	216328							
144	o	40	20	3.4	3.4	5.8	5.8	1.492	13 SLU	87	135779	129	202637							
	v	80	20	6.8	6.8	4.6	4.6	7.866	18 SLU	-36	-51995	-283	-408991							
149	o	40	20	2.3	2.3	5.8	5.8	1.546	13 SLU	484	95531	748	147713							
	v	80	20	6.8	6.8	4.6	4.6	13.601	13 SLU	121	-29188	1641	-396986							
234	o	80	20	5.7	5.7	5.8	5.8	1.557	17 SLU	2691	-217945	4191	-339393							
	v	53	20	3.4	3.4	4.6	4.6	7.626	2 SLV	2704	-7512	20619	-57287							
Combinazione rara																				
nod	sez	B	H	Af+	Af-	c+	c-	sc	c	N	M	sf	c	N	M	Wk (mm)	Wlim	st	Sm (mm)	c
94	o	68	20	9.1	9.1	5.8	5.8	-108.0	2 ra	-4.87E02	2.60E05	2308.0	2 ra	-4.87E02	2.60E05	0.20999.00	0.0	234.4	2 ra	c
	v	53	20	3.4	3.4	4.6	4.6	-41.8	2 ra	-1.28E01	6.97E04	1479.3	2 ra	-1.28E01	6.97E04	0.00999.00	19.2	0.0	1 ra	c
144	o	40	20	3.4	3.4	5.8	5.8	-84.2	3 ra	6.68E01	1.00E05	2312.0	3 ra	6.68E01	1.00E05	0.14999.00	0.0	167.5	3 ra	c
	v	80	20	6.8	6.8	4.6	4.6	-13.4	3 ra	-2.70E01	-3.84E04	413.7	3 ra	-2.70E01	-3.84E04	0.00999.00	6.9	0.0	1 ra	c
149	o	40	20	2.3	2.3	5.8	5.8	-69.8	3 ra	3.51E02	7.08E04	2427.2	3 ra	3.51E02	7.08E04	0.00999.00	26.5	0.0	1 ra	c
	v	80	20	6.8	6.8	4.6	4.6	-7.5	3 ra	8.94E01	-2.15E04	240.1	3 ra	8.94E01	-2.15E04	0.00999.00	3.9	0.0	1 ra	c
234	o	80	20	5.7	5.7	5.8	5.8	-74.1	2 ra	2.02E03	-1.63E05	2394.1	2 ra	2.02E03	-1.63E05	0.23999.00	0.0	277.8	2 ra	c
	v	53	20	3.4	3.4	4.6	4.6	-0.1	1 ra	1.05E03	-3.10E03	339.8	3 ra	1.88E03	2.32E03	0.00999.00	2.4	0.0	1 ra	c
Combinazione frequente																				
nod	sez	B	H	Af+	Af-	c+	c-	sc	c	N	M	sf	c	N	M	Wk (mm)	Wklim	st	Sm (mm)	c
94	o	68	20	9.1	9.1	5.8	5.8	-99.9	2 fr	-4.48E02	2.41E05	2136.7	2 fr	-4.48E02	2.41E05	0.19	0.40	0.0	234.4	2 fr
	v	53	20	3.4	3.4	4.6	4.6	-38.6	2 fr	-1.05E01	6.43E04	1364.0	2 fr	-1.05E01	6.43E04	0.00	0.40	17.7	0.0	1 fr
144	o	40	20	3.4	3.4	5.8	5.8	-77.7	2 fr	6.12E01	9.28E04	2134.9	2 fr	6.12E01	9.28E04	0.12	0.40	0.0	167.5	2 fr
	v	80	20	6.8	6.8	4.6	4.6	-12.3	2 fr	-2.54E01	-3.52E04	379.6	2 fr	-2.54E01	-3.52E04	0.00	0.40	6.3	0.0	1 fr
149	o	40	20	2.3	2.3	5.8	5.8	-64.7	2 fr	3.22E02	6.55E04	2246.6	2 fr	3.22E02	6.55E04	0.00	0.40	24.5	0.0	1 fr
	v	80	20	6.8	6.8	4.6	4.6	-6.9	2 fr	8.34E01	-1.97E04	220.1	2 fr	8.34E01	-1.97E04	0.00	0.40	3.6	0.0	1 fr
234	o	80	20	5.7	5.7	5.8	5.8	-69.7	2 fr	1.91E03	-1.53E05	2253.9	2 fr	1.91E03	-1.53E05	0.21	0.40	0.0	277.8	2 fr
	v	53	20	3.4	3.4	4.6	4.6	-0.1	1 fr	1.05E03	-3.10E03	293.4	2 fr	1.65E03	1.85E03	0.00	0.40	2.1	0.0	1 fr
Combinazione quasi permanente																				
nod	sez	B	H	Af+	Af-	c+	c-	sc	c	N	M	sf	c	N	M	Wk (mm)	Wklim	st	Sm (mm)	c
94	o	68	20	9.1	9.1	5.8	5.8	-97.3	2 q.	-4.34E02	2.35E05	2079.6	2 q.	-4.34E02	2.35E05	0.18	0.30	0.0	234.4	2 q.
	v	53	20	3.4	3.4	4.6	4.6	-37.5	2 q.	-9.74E00	6.25E04	1325.5	2 q.	-9.74E00	6.25E04	0.00	0.30	17.2	0.0	1 q.
144	o	40	20	3.4	3.4	5.8	5.8	-75.6	2 q.	5.99E01	9.02E04	2076.0	2 q.	5.99E01	9.02E04	0.12	0.30	0.0	167.5	2 q.
	v	80	20	6.8	6.8	4.6	4.6	-12.0	2 q.	-2.49E01	-3.42E04	368.3	2 q.	-2.49E01	-3.42E04	0.00	0.30	6.1	0.0	1 q.
149	o	40	20	2.3	2.3	5.8	5.8	-62.9	2 q.	3.11E02	6.38E04	2186.5	2 q.	3.11E02	6.38E04	0.00	0.30	23.9	0.0	1 q.
	v	80	20	6.8	6.8	4.6	4.6	-6.7	2 q.	8.15E01	-1.91E04	213.4	2 q.	8.15E01	-1.91E04	0.00	0.30	3.5	0.0	1 q.
234	o	80	20	5.7	5.7	5.8	5.8	-68.2	2 q.	1.88E03	-1.50E05	2207.2	2 q.	1.88E03	-1.50E05	0.20	0.30	0.0	277.8	2 q.
	v	53	20	3.4	3.4	4.6	4.6	-0.1	1 q.	1.05E03	-3.10E03	278.0	2 q.	1.25E03	-3.43E03	0.00	0.30	2.1	0.0	1 q.